Το κείμενο αυτό αποτελεί απλώς εργαλείο τεκμηρίωσης και δεν έχει καμία νομική ισχύ. Τα θεσμικά όργανα της Ένωσης δεν φέρουν καμία ευθύνη για το περιεχόμενό του. Τα αυθεντικά κείμενα των σχετικών πράξεων, συμπεριλαμβανομένων των προοιμίων τους, είναι εκείνα που δημοσιεύονται στην Επίσημη Εφημερίδα της Ευρωπαϊκής Ένωσης και είναι διαθέσιμα στο EUR-Lex. Αυτά τα επίσημα κείμενα είναι άμεσα προσβάσιμα μέσω των συνδέσμων που περιέχονται στο παρόν έγγραφο

►B ΟΔΗΓΙΑ 2002/49/ΕΚ ΤΟΥ ΕΥΡΩΠΑΪΚΟΥ ΚΟΙΝΟΒΟΥΛΙΟΥ ΚΑΙ ΤΟΥ ΣΥΜΒΟΥΛΙΟΥ

της 25ης Ιουνίου 2002

σχετικά με την αξιολόγηση και τη διαχείριση του περιβαλλοντικού θορύβου

(ΕΕ L 189 της 18.7.2002, σ. 12)

Τροποποιείται από:

		Επίσημη Εφημερίδα		
		αριθ.	σελίδα	ημερομηνία
►M1	Κανονισμός (ΕΚ) αριθ. 1137/2008 του Ευρωπαϊκού Κοινοβουλίου και του Συμβουλίου της 22ας Οκτωβρίου 2008	L 311	1	21.11.2008
►M2	Οδηγία (ΕΕ) 2015/996 της Επιτροπής της 19ης Μαΐου 2015	L 168	1	1.7.2015

Διορθώνεται από:

►C1 Διορθωτικό ΕΕ L 5 της 10.1.2018, σ. 35 (2015/996)

▼B

ΟΔΗΓΙΑ 2002/49/ΕΚ ΤΟΥ ΕΥΡΩΠΑΪΚΟΥ ΚΟΙΝΟΒΟΥΛΙΟΥ ΚΑΙ ΤΟΥ ΣΥΜΒΟΥΛΙΟΥ

της 25ης Ιουνίου 2002

σχετικά με την αξιολόγηση και τη διαχείριση του περιβαλλοντικού θορύβου

Άρθρο 1

Στόχοι

1. Η παρούσα οδηγία αποβλέπει στον καθορισμό μιας κοινής προσέγγισης για την αποφυγή, πρόληψη ή περιορισμό, βάσει ιεράρχησης προτεραιοτήτων, των δυσμενών επιπτώσεων, συμπεριλαμβανομένης της ενόχλησης, από έκθεση στον περιβάλλοντα θόρυβο. Για το σκοπό αυτό, εφαρμόζονται προοδευτικά οι ακόλουθες δράσεις:

α) προσδιορισμός της έκθεσης στον περιβάλλοντα θόρυβο με χαρτογράφηση θορύβου, σύμφωνα με κοινές στα κράτη μέλη μεθόδους αξιολόγησης·

β) μέριμνα ώστε να είναι διαθέσιμες στο κοινό πληροφορίες σχετικά με τον περιβάλλοντα θόρυβο και τις επιδράσεις του·

γ) θέσπιση σχεδίων δράσης από τα κράτη μέλη, βασισμένων στα αποτελέσματα της χαρτογράφησης του θορύβου, με στόχο την πρόληψη και τον περιορισμό του περιβάλλοντος θορύβου όπου χρειάζεται, και ιδίως όπου τα επίπεδα έκθεσης μπορούν να έχουν επιβλαβείς επιδράσεις στην υγεία των ανθρώπων, καθώς και τη διαφύλαξη της ηχητικής ποιότητας του περιβάλλοντος όπου είναι καλή.

2. Η παρούσα οδηγία αποβλέπει επίσης στην παροχή βάσης για την ανάπτυξη κοινοτικών μέτρων για τον περιορισμό του θορύβου που εκπέμπουν οι μείζονες πηγές, και ιδίως τα τροχοφόρα οχήματα, ο σιδηρόδρομος και η σχετική υποδομή, τα αεροσκάφη, ο υπαίθριος και ο βιομηχανικός εξοπλισμός και τα κινητά μηχανήματα. Προς το σκοπό αυτό, η Επιτροπή υποβάλλει στο Ευρωπαϊκό Κοινοβούλιο και το Συμβούλιο, το αργότερο στις στις 18 Ιουλίου 2006, κατάλληλες νομοθετικές προτάσεις. Στις προτάσεις αυτές θα πρέπει να λαμβάνονται υπόψη τα αποτελέσματα της έκθεσης η οποία αναφέρεται στο άρθρο 10 παράγραφος 1.

Άρθρο 2

Πεδίο εφαρμογής

1. Η παρούσα οδηγία καλύπτει τον περιβάλλοντα θόρυβο στον οποίο εκτίθενται οι άνθρωποι, ιδίως σε περιοχές πυκνής δόμησης, σε δημόσια πάρκα ή άλλες ήσυχες περιοχές πολεοδομικών συγκροτημάτων, σε ήσυχες περιοχές της υπαίθρου, κοντά σε σχολεία, κοντά σε νοσοκομεία, καθώς και κοντά σε άλλα κτίρια και περιοχές ευαίσθητες σε θορύβους.

2. Η παρούσα οδηγία δεν εφαρμόζεται στους θορύβους που προκαλούνται από το ίδιο το εκτιθέμενο πρόσωπο, τους θορύβους από οικιακές δραστηριότητες, τους θορύβους των γειτόνων, το θόρυβο στο χώρο εργασίας και το θόρυβο μέσα στα μεταφορικά μέσα, ούτε και στο θόρυβο τον οφειλόμενο σε στρατιωτικές δραστηριότητες μέσα σε στρατιωτικές περιοχές.

▼B

Άρθρο 3

Ορισμοί

Για τους σκοπούς της παρούσας οδηγίας, νοούνται ως:

α) «περιβάλλων θόρυβος»: οι ανεπιθύμητοι ή επιβλαβείς θόρυβοι στο ύπαιθρο που δημιουργούνται από ανθρώπινες δραστηριότητες, συμπεριλαμβανομένων των θορύβων που εκπέμπονται από μεταφορικά μέσα, από οδικές, σιδηροδρομικές και αεροπορικές μεταφορές και από χώρους βιομηχανικής δραστηριότητας όπως αυτοί που ορίζονται στο παράρτημα I της οδηγίας 96/61/ΕΚ του Συμβουλίου, της 24ης Σεπτεμβρίου 1996, σχετικά με την ολοκληρωμένη πρόληψη και έλεγχο της ρύπανσης ([1])·

β) «επιβλαβείς επιδράσεις»: οι αρνητικές επιδράσεις στην ανθρώπινη υγεία·

γ) «ενόχληση»: ο βαθμός ηχητικής ενόχλησης των περιοίκων, όπως προσδιορίζεται με επιτόπου ελέγχους·

δ) «δείκτης θορύβου»: φυσικό μέγεθος για την περιγραφή του περιβάλλοντος θορύβου, το οποίο έχει σχέση με επιβλαβείς επιδράσεις·

ε) «αξιολόγηση»: οποιαδήποτε μέθοδος υπολογισμού, πρόβλεψης, εκτίμησης ή μέτρησης της τιμής ενός δείκτη θορύβου ή των σχετικών επιβλαβών επιδράσεων·

στ) «L_{den}» (δείκτης θορύβου ημέρας-βραδιού-νύχτας): ο δείκτης θορύβου για τη συνολική ενόχληση, όπως προσδιορίζεται ακριβέστερα στο παράρτημα I·

ζ) L_{day} (δείκτης θορύβου ημέρας): ο δείκτης θορύβου για την ενόχληση κατά το διάστημα της ημέρας, όπως προσδιορίζεται ακριβέστερα στο παράρτημα I·

η) $L_{evening}$ (δείκτης βραδινού θορύβου): ο δείκτης θορύβου για την ενόχληση κατά το βραδινό διάστημα, όπως προσδιορίζεται ακριβέστερα στο παράρτημα I·

θ) L_{night} (δείκτης θορύβου νυκτός): ο δείκτης θορύβου για τις διαταραχές του ύπνου, όπως προσδιορίζεται ακριβέστερα στο παράρτημα I·

ι) «σχέση δόσης-επίδρασης»: η σχέση μεταξύ της τιμής του δείκτη θορύβου και της επιβλαβούς επίδρασης·

ια) «πολεοδομικό συγκρότημα»: μέρος της επικρατείας ενός κράτους μέλους οριοθετημένο από αυτό, με πληθυσμό μεγαλύτερο των 100 000 ατόμων και πυκνότητα πληθυσμού τέτοια που το κράτος μέλος εκτιμά ότι αποτελεί αστικοποιημένη ζώνη·

([1]) ΕΕ L 257 της 10.10.1996, σ. 26.

▼B

ιβ) «ήσυχη περιοχή πολεοδομικού συγκροτήματος»: περιοχή οριοθετημένη από την αρμόδια αρχή, η οποία π.χ. δεν εκτίθεται σε τιμή του L_{den} ή άλλου κατάλληλου δείκτη θορύβου μεγαλύτερη από μια συγκεκριμένη τιμή που καθορίζεται από το κράτος μέλος, ανεξαρτήτως ηχητικής πηγής·

ιγ) «ήσυχη περιοχή στην ύπαιθρο»: περιοχή οριοθετημένη από την αρμόδια αρχή, η οποία δεν διαταράσσεται από θορύβους κυκλοφορίας, βιομηχανικών δραστηριοτήτων ή δραστηριοτήτων αναψυχής·

ιδ) «μεγάλος οδικός άξονας»: μια επαρχιακή, εθνική ή διεθνής οδική αρτηρία, καθοριζόμενη από το κράτος μέλος, στην οποία καταγράφεται κυκλοφορία άνω των τριών εκατομμυρίων οχημάτων το χρόνο·

ιε) «μεγάλος σιδηροδρομικός άξονας»: μια σιδηροδρομική γραμμή, καθοριζόμενη από το κράτος μέλος, στην οποία διακινούνται περισσότεροι από 30 000 συρμοί το χρόνο·

ιστ) «μεγάλο αεροδρόμιο»: ένα αεροδρόμιο πολιτικής αεροπορίας, καθοριζόμενο από το κράτος μέλος, με περισσότερες από50 000 κινήσεις (απογειώσεις και προσγειώσεις) το χρόνο, εξαιρουμένων όσων χρησιμοποιούνται αποκλειστικά για εκπαίδευση σε ελαφρά αεροσκάφη·

ιζ) «χαρτογράφηση θορύβου»: η παρουσίαση δεδομένων σχετικά με υπάρχουσα ή προβλεπόμενη ηχητική κατάσταση βάσει δεικτών θορύβου, όπου εμφαίνονται οι υπερβάσεις των οικείων ισχυουσών οριακών τιμών, ο αριθμός ατόμων που θίγονται σε μια συγκεκριμένη περιοχή ή ο αριθμός κατοικιών που εκτίθενται σε ορισμένες τιμές δεικτών θορύβου σε μια συγκεκριμένη περιοχή·

ιη) «στρατηγικός χάρτης θορύβου»: ο χάρτης θορύβου που καταρτίζεται για τη σφαιρική αξιολόγηση μιας έκθεσης σε θόρυβο σε μια συγκεκριμένη περιοχή οφειλόμενης σε διάφορες πηγές θορύβου, ή για τη διατύπωση γενικότερων προβλέψεων για την περιοχή αυτή·

ιθ) «οριακή τιμή»: η τιμή του L_{den} ή L_{night}, και ενδεχομένως του L_{day} και $L_{evening}$, όπως ορίζεται από το κράτος μέλος, η υπέρβαση της οποίας συνεπάγεται την παρέμβαση των αρμοδίων αρχών για τη μελέτη ή την επιβολή μέτρων περιορισμού του θορύβου. Οι οριακές τιμές μπορεί να διαφέρουν ανά τύπο θορύβου (θόρυβος οδικής, σιδηροδρομικής, αεροπορικής κυκλοφορίας, βιομηχανικοί θόρυβοι κ.λπ.), ανά περιβάλλον ή ανά διαφορετική ευαισθησία του πληθυσμού στο θόρυβο· μπορεί επίσης να διαφέρουν ανάλογα με το αν αφορούν ήδη υφιστάμενες ή καινούργιες καταστάσεις (όπου υπάρχει μεταβολή συνθηκών σχετικά με την πηγή θορύβου ή τη χρήση του περιβάλλοντος)·

κ) «σχέδια δράσης»: σχέδια για τη διαχείριση των προβλημάτων και των επιδράσεων του θορύβου, συμπεριλαμβανομένης εν ανάγκη της μείωσης του θορύβου·

▼B

κα) «ηχητικός σχεδιασμός»: ο έλεγχος των θορύβων μελλοντικά με βάση σχεδιαζόμενα μέτρα, όπως χωροταξικός σχεδιασμός, σχεδιασμός συστημάτων διαχείρισης της κυκλοφορίας, κυκλοφοριακός σχεδιασμός, μείωση των οχλήσεων με μέτρα ηχητικής μόνωσης και έλεγχος των θορύβων στην πηγή τους·

κβ) «κοινό»: ένα ή περισσότερα φυσικά ή νομικά πρόσωπα, και, σύμφωνα με την εθνική νομοθεσία και πρακτική, οι ενώσεις, οργανώσεις και ομάδες τέτοιων προσώπων.

Άρθρο 4

Εφαρμογή και ευθύνη

1. Τα κράτη μέλη ορίζουν, στα ενδεδειγμένα επίπεδα, τις αρμόδιες αρχές και τους υπεύθυνους φορείς για την εφαρμογή της παρούσας οδηγίας, και ιδίως τις αρχές τις επιφορτισμένες με:

α) την εκπόνηση και, ενδεχομένως, την έγκριση χαρτών θορύβου και σχεδίων δράσης για τα πολεοδομικά συγκροτήματα, τους μεγάλους οδικούς και σιδηροδρομικούς άξονες και τα μεγάλα αεροδρόμια·

β) τη συγκέντρωση χαρτών θορύβου και σχεδίων δράσης.

2. Τα κράτη μέλη θέτουν στη διάθεση της Επιτροπής και του κοινού τα πληροφοριακά στοιχεία που αναφέρονται στην παράγραφο 1, το αργότερο στις 18 Ιουλίου 2005.

Άρθρο 5

Δείκτες θορύβου και εφαρμογή

1. Τα κράτη μέλη εφαρμόζουν τους δείκτες θορύβου L_{den} και L_{night} κατά τα αναφερόμενα στο παράρτημα I για την προετοιμασία και την αναθεώρηση της στρατηγικής χαρτογράφησης θορύβου σύμφωνα με το άρθρο 7.

Μέχρις ότου καταστεί υποχρεωτική η χρησιμοποίηση των κοινών μεθόδων αξιολόγησης για τον προσδιορισμό των L_{den} και L_{night}, τα κράτη μέλη μπορούν να χρησιμοποιούν για το σκοπό αυτό υπάρχοντες εθνικούς δείκτες θορύβου και συναφή δεδομένα, τα οποία θα πρέπει να μετατρέπονται στους προαναφερόμενους δείκτες. Αυτά τα δεδομένα δεν πρέπει να είναι παλαιότερα των τριών ετών.

2. Τα κράτη μέλη μπορούν να χρησιμοποιούν πρόσθετους δείκτες θορύβου για ειδικές περιπτώσεις, όπως εκείνες που αναφέρονται στο παράρτημα I σημείο 3.

3. Για τον ηχητικό σχεδιασμό και την ηχητική οριοθέτηση, τα κράτη μέλη μπορούν να χρησιμοποιούν και άλλους δείκτες θορύβου πλην των L_{den} και L_{night}.

▼B

4. Το αργότερο στις 18 Ιουλίου 2005, τα κράτη μέλη διαβιβάζουν στην Επιτροπή πληροφορίες για τις τυχόν ισχύουσες στην επικράτειά τους ή υπό εκπόνηση οριακές τιμές, εκφρασμένες με τη βοήθεια των L_{den} και L_{night} και, κατά περίπτωση, των L_{day} και $L_{evening}$,για θορύβους οδικής κυκλοφορίας, θορύβους σιδηροδρομικής κυκλοφορίας, θορύβους αεροπορικής κυκλοφορίας κοντά στα αεροδρόμια και θορύβους σε βιομηχανικούς χώρους, μαζί με εξηγήσεις σχετικά με την υλοποίηση των οριακών τιμών.

Άρθρο 6

Μέθοδοι αξιολόγησης

1. Οι τιμές L_{den} και L_{night} προσδιορίζονται με βάση τις μεθόδους αξιολόγησης που καθορίζονται στο παράρτημα ΙΙ.

▼M1

2. Η Επιτροπή καθορίζει, με αναθεώρηση του παραρτήματος ΙΙ, κοινές μεθόδους αξιολόγησης για τον προσδιορισμό των L_{den} και L_{night}. Τα μέτρα αυτά, τα οποία έχουν ως αντικείμενο την τροποποίηση μη ουσιωδών στοιχείων της παρούσας οδηγίας, θεσπίζονται σύμφωνα με την κανονιστική διαδικασία με έλεγχο στην οποία παραπέμπει το άρθρο 13, παράγραφος 3. Μέχρις ότου θεσπισθούν αυτές οι μέθοδοι, τα κράτη μέλη μπορούν να χρησιμοποιούν μεθόδους αξιολόγησης προσαρμοσμένες σύμφωνα με το παράρτημα ΙΙ και βασισμένες στις μεθόδους που καθορίζει η δική τους νομοθεσία. Στην περίπτωση αυτή, τα κράτη μέλη αποδεικνύουν ότι οι μέθοδοι αυτές οδηγούν σε αποτελέσματα ισοδύναμα με εκείνα που προκύπτουν με τις μεθόδους του σημείου 2.2 του παραρτήματος ΙΙ.

▼B

3. Οι επιβλαβείς επιδράσεις μπορούν να αξιολογούνται με τη βοήθεια των σχέσεων δόσης-επίδρασης που αναφέρονται στο παράρτημα ΙΙΙ.

Άρθρο 7

Στρατηγική χαρτογράφηση θορύβου

1. Τα κράτη μέλη μεριμνούν ώστε, το αργότερο στις 30 Ιουνίου 2007, να έχουν εκπονηθεί και, ενδεχομένως, εγκριθεί από τις αρμόδιες αρχές στρατηγικοί χάρτες θορύβου για την κατάσταση που επικρατούσε το προηγούμενο ημερολογιακό έτος σε όλα τα πολεοδομικά συγκροτήματα άνω των 250 000 κατοίκων, για όλους τους μεγάλους οδικούς άξονες, όπου καταγράφεται κυκλοφορία άνω των έξι εκατομμυρίων οχημάτων ετησίως, για όλους τους μεγάλους σιδηροδρομικούς άξονες όπου διακινούνται άνω των 60 000 συρμών ετησίως, και για όλα τα μεγάλα αεροδρόμια εντός των επικρατειών τους.

Το αργότερο στις 30 Ιουνίου 2005, και ακολούθως ανά πενταετία, τα κράτη μέλη γνωστοποιούν στην Επιτροπή τους μεγάλους οδικούς άξονες, όπου καταγράφεται κυκλοφορία άνω των έξι εκατομμυρίων οχημάτων ετησίως, τους μεγάλους σιδηροδρομικούς άξονες όπου διακινούνται άνω των 60 000 συρμών ετησίως, τα μεγάλα αεροδρόμια και τα πολεοδομικά συγκροτήματα άνω των 250 000 κατοίκων, εντός των επικρατειών τους.

2. Τα κράτη μέλη λαμβάνουν τα απαραίτητα μέτρα ώστε, το αργότερο στις 30 Ιουνίου 2012, και ακολούθως ανά πενταετία, να έχουν εκπονηθεί και, ενδεχομένως, εγκριθεί από τις αρμόδιες αρχές στρατηγικοί χάρτες θορύβου για την κατάσταση που επικρατούσε το προηγούμενο ημερολογιακό έτος σε όλα τα πολεοδομικά συγκροτήματα και για όλους τους μεγάλους οδικούς και σιδηροδρομικούς άξονες, εντός των επικρατειών τους.

▼B

Το αργότερο στις 31 Δεκεμβρίου 2008, τα κράτη μέλη γνωστοποιούν στην Επιτροπή όλα τα πολεοδομικά συγκροτήματα και όλους τους μεγάλους οδικούς και σιδηροδρομικούς άξονες, εντός των επικρατειών τους.

3. Οι στρατηγικοί χάρτες θορύβου πρέπει να ικανοποιούν τις ελάχιστες απαιτήσεις του παραρτήματος IV.

4. Τα γειτνιάζοντα κράτη μέλη συνεργάζονται για τη χαρτογράφηση των θορύβων κοντά στα μεταξύ τους σύνορα.

5. Οι στρατηγικοί χάρτες θορύβου επανεξετάζονται, και εν ανάγκη αναθεωρούνται, τουλάχιστον κάθε πέντε χρόνια μετά την ημερομηνία της εκπόνησής τους.

Άρθρο 8

Σχέδια δράσης

1. Τα κράτη μέλη μεριμνούν ώστε, το αργότερο στις 18 Ιουλίου 2008, να έχουν εκπονηθεί από τις αρμόδιες αρχές σχέδια δράσης για τη διαχείριση, εντός των επικρατειών τους, των προβλημάτων και των επιδράσεων του θορύβου, συμπεριλαμβανόμενου εν ανάγκη του περιορισμού του θορύβου:

α) σε σημεία κοντά σε μεγάλους οδικούς άξονες, όπου καταγράφεται κυκλοφορία άνω των έξι εκατομμυρίων οχημάτων ετησίως, μεγάλους σιδηροδρομικούς άξονες όπου διακινούνται άνω των 60 000 συρμών ετησίως και μεγάλα αεροδρόμια,

β) σε πολεοδομικά συγκροτήματα άνω των 250 000 κατοίκων. Τα σχέδια αυτά αποβλέπουν επίσης στην προστασία των ήσυχων περιοχών από την αύξηση του θορύβου.

Τα μέτρα που λαμβάνονται στα πλαίσια των σχεδίων επαφίενται στη διακριτική ευχέρεια των τοπικών αρχών αλλά θα πρέπει να αποσκοπούν, κυρίως, στην αντιμετώπιση προτεραιοτήτων οι οποίες ενδέχεται να επισημανθούν λόγω υπέρβασης κάποιας οικείας οριακής τιμής ή βάσει άλλων κριτηρίων της εκλογής των κρατών μελών, και να εφαρμόζονται ιδίως στις πιο σημαντικές περιοχές, οι οποίες προσδιορίζονται σύμφωνα με την επιχειρηθείσα χαρτογράφηση θορύβου.

2. Τα κράτη μέλη μεριμνούν ώστε το αργότερο στις 18 Ιουλίου 2013, να έχουν εκπονηθεί από τις αρμόδιες αρχές σχέδια δράσης, κυρίως για την αντιμετώπιση προτεραιοτήτων οι οποίες ενδέχεται να επισημανθούν λόγω υπέρβασης κάποιας οικείας οριακής τιμής ή βάσει άλλων κριτηρίων της εκλογής των κρατών μελών για τα πολεοδομικά συγκροτήματα και για τους μεγάλους οδικούς και σιδηροδρομικούς άξονες εντός των επικρατειών τους.

3. Τα κράτη μέλη ενημερώνουν την Επιτροπή για τα άλλα συναφή κριτήρια, περί των οποίων οι παράγραφοι 1 και 2.

4. Τα σχέδια δράσης πρέπει να ικανοποιούν τις ελάχιστες απαιτήσεις του παραρτήματος V.

5. Τα σχέδια δράσης επανεξετάζονται, και εν ανάγκη αναθεωρούνται, όποτε σημειώνονται σημαντικές εξελίξεις που επηρεάζουν την υπάρχουσα κατάσταση θορύβου και, πάντως, τουλάχιστον κάθε πέντε χρόνια μετά την ημερομηνία της έγκρισής τους.

▼B

6. Τα γειτνιάζοντα κράτη μέλη συνεργάζονται για τα σχέδια δράσης στις περιοχές κοντά στα μεταξύ τους σύνορα.

7. Τα κράτη μέλη μεριμνούν ώστε να ακούγεται η γνώμη του κοινού σχετικά με προτάσεις για σχέδια δράσης, να του δίνεται εγκαίρως και ουσιαστικά η ευκαιρία να συμμετέχει στην προετοιμασία και την αναθεώρηση των σχεδίων δράσης, να λαμβάνονται υπόψη τα αποτελέσματα της συμμετοχής αυτής και να ενημερώνεται το κοινό για τις λαμβανόμενες αποφάσεις. Πρέπει να προβλέπονται λογικά χρονοδιαγράμματα, που να αφήνουν αρκετό χρόνο για κάθε στάδιο της συμμετοχής του κοινού.

Όταν η υποχρέωση διεξαγωγής διαδικασίας συμμετοχής του κοινού απορρέει ταυτόχρονα από την παρούσα οδηγία και από άλλο κοινοτικό νομοθέτημα, τα κράτη μέλη μπορούν να προβλέπουν κοινές διαδικασίες, ώστε να αποφεύγεται η επικάλυψη.

Άρθρο 9

Ενημέρωση των πολιτών

1. Τα κράτη μέλη μεριμνούν ώστε οι στρατηγικοί χάρτες θορύβου που καταρτίζουν και, ενδεχομένως, εγκρίνουν, και τα σχέδια δράσης που καταστρώνουν, να καθίστανται διαθέσιμα και να διαδίδονται στο κοινό σύμφωνα με την οικεία κοινοτική νομοθεσία, και ιδίως την οδηγία 90/313/ΕΟΚ του Συμβουλίου, της 7ης Ιουνίου 1990, σχετικά με την ελεύθερη πληροφόρηση για θέματα περιβάλλοντος ([1]), και σύμφωνα με τα παραρτήματα IV και V της παρούσας οδηγίας, μεταξύ άλλων, με χρήση των διαθέσιμων πληροφορικών τεχνολογιών.

2. Οι εν λόγω πληροφορίες είναι σαφείς, κατανοητές και προσπελάσιμες. Παρέχεται περίληψη στην οποία εκτίθενται τα κυριότερα σημεία.

Άρθρο 10

Συλλογή και δημοσίευση δεδομένων από τα κράτη μέλη και την Επιτροπή

1. Το αργότερο στις 18 Ιανουαρίου 2004, η Επιτροπή θα υποβάλει στο Ευρωπαϊκό Κοινοβούλιο και το Συμβούλιο έκθεση περιέχουσα επισκόπηση των εν ισχύι κοινοτικών μέτρων που αφορούν τις πηγές του περιβαλλοντικού θορύβου.

2. Τα κράτη μέλη μεριμνούν ώστε να αποστέλλονται στην Επιτροπή, εντός έξι μηνών μετά τις ημερομηνίες που αναφέρονται στα άρθρα 7 και 8, αντιστοίχως, οι πληροφορίες που περιλαμβάνονται στους στρατηγικούς χάρτες θορύβου και οι περιλήψεις των σχεδίων δράσης, όπως αναφέρονται στο παράρτημα VI.

3. Η Επιτροπή δημιουργεί τράπεζα δεδομένων με τα στοιχεία των στρατηγικών χαρτών θορύβου για να διευκολύνει τη σύνταξη της αναφερόμενης στο άρθρο 11 έκθεσης και τις άλλες τεχνικές και πληροφοριακές εργασίες.

4. Κάθε πέντε έτη, η Επιτροπή δημοσιεύει συγκεφαλαιωτική έκθεση των δεδομένων των στρατηγικών χαρτών θορύβου και των σχεδίων δράσης. Η πρώτη έκθεση υποβάλλεται μέχρι τις 18 Ιουλίου 2009.

([1]) ΕΕ L 158 της 23.6.1990, σ. 56.

▼B

Άρθρο 11

Επισκόπηση — Εκθέσεις

1. Το αργότερο στις 18 Ιουλίου 2009, η Επιτροπή υποβάλλει έκθεση προς το Ευρωπαϊκό Κοινοβούλιο και το Συμβούλιο σχετικά με την εφαρμογή της παρούσας οδηγίας.

2. Η εν λόγω έκθεση περιλαμβάνει, μεταξύ άλλων, εκτίμηση της ανάγκης περαιτέρω κοινοτικών δράσεων αναφορικά με τον περιβάλλοντα θόρυβο και, ενδεχομένως, προτείνει στρατηγικές για πτυχές, όπως:

α) μακροπρόθεσμους και μεσοπρόθεσμους στόχους μείωσης του αριθμού των ατόμων που υφίστανται επιβλαβή επίδραση από τον περιβάλλοντα θόρυβο, λαμβάνοντας ιδίως υπόψη τις κλιματολογικές και πολιτιστικές διαφορές·

β) περαιτέρω μέτρα για τον περιορισμό του περιβάλλοντος θορύβου που εκπέμπεται από συγκεκριμένες πηγές, ιδίως από εξοπλισμό εξωτερικών χώρων, μεταφορικά μέσα και υποδομές και ορισμένες κατηγορίες βιομηχανικών δραστηριοτήτων, με βάση όσα μέτρα έχουν ήδη τεθεί σε εφαρμογή ή είναι υπό συζήτηση προς έγκριση·

γ) προστασία ήσυχων περιοχών στην ύπαιθρο.

3. Η έκθεση περιλαμβάνει επισκόπηση της ποιότητας του ηχητικού περιβάλλοντος στην Κοινότητα με βάση τα δεδομένα που αναφέρονται στο άρθρο 10, και λαμβάνει υπόψη την επιστημονική και τεχνολογική πρόοδο και κάθε άλλη σχετική πληροφορία. Ο περιορισμός των επιβλαβών επιδράσεων και η σχέση κόστους/ωφέλειας αποτελούν κύρια κριτήρια επιλογής των προτεινομένων στρατηγικών και μέτρων.

4. Όταν η Επιτροπή λάβει το πρώτο σύνολο στρατηγικών χαρτών θορύβου, επανεξετάζει:

— τη δυνατότητα να ορισθεί ύψος μέτρησης 1,5 μέτρου στο σημείο 1 του παραρτήματος I όσον αφορά περιοχές όπου τα σπίτια είναι μονώροφα,

— το κατώτατο όριο για τον εκτιμώμενο αριθμό ατόμων εκτιθέμενων στις διάφορες στάθμες L_{den} και L_{night} στο παράρτημα VI.

5. Η έκθεση αναθεωρείται κάθε πέντε έτη ή και συχνότερα, οσάκις ενδείκνυται. Περιέχει αξιολόγηση της εφαρμογής της παρούσας οδηγίας.

6. Η έκθεση συνοδεύεται, οσάκις ενδείκνυται, από προτάσεις τροποποίησης της παρούσας οδηγίας.

▼M1

Άρθρο 12

Προσαρμογή στην τεχνική ή επιστημονική πρόοδο

Η Επιτροπή προσαρμόζει το παράρτημα I, σημείο 3 και τα παραρτήματα II και III της παρούσας οδηγίας στην τεχνική και επιστημονική πρόοδο. Τα μέτρα αυτά, τα οποία έχουν ως αντικείμενο την τροποποίηση μη ουσιωδών στοιχείων της παρούσας οδηγίας, θεσπίζονται σύμφωνα με την κανονιστική διαδικασία με έλεγχο στην οποία παραπέμπει το άρθρο 13 παράγραφος 3.

▼B

Άρθρο 13

Επιτροπή

1. Η Επιτροπή επικουρείται από την επιτροπή που έχει συσταθεί με το άρθρο 18 της οδηγίας 2000/14/ΕΚ.

▼B

2. Όταν γίνεται αναφορά στην παρούσα παράγραφο, εφαρμόζονται τα άρθρα 5 και 7 της απόφασης 1999/468/ΕΚ, τηρουμένων των διατάξεων του άρθρου 8 αυτής.

Η προθεσμία που προβλέπεται στο άρθρο 5 παράγραφος 6 της απόφασης 1999/468/ΕΚ ορίζεται σε τρεις μήνες.

▼M1

3. Στις περιπτώσεις που γίνεται μνεία της παρούσας παραγράφου, εφαρμόζονται το άρθρο 5α παράγραφοι 1 έως 4 και το άρθρο 7 της απόφασης 1999/468/ΕΚ, τηρουμένων των διατάξεων του άρθρου 8 αυτής.

▼B

Άρθρο 14

Μεταφορά στο εθνικό δίκαιο

1. Τα κράτη μέλη θέτουν σε ισχύ τις νομοθετικές, κανονιστικές και διοικητικές διατάξεις που απαιτούνται για να συμμορφωθούν προς την παρούσα οδηγία, το αργότερο στις 18 Ιουλίου 2004. Ενημερώνουν την Επιτροπή σχετικά.

Οι εν λόγω διατάξεις, όταν θεσπίζονται από τα κράτη μέλη, αναφέρονται στην παρούσα οδηγία ή συνοδεύονται από παρόμοια αναφορά κατά την επίσημη δημοσίευσή τους. Ο τρόπος της αναφοράς καθορίζεται από τα κράτη μέλη.

2. Τα κράτη μέλη ανακοινώνουν στην Επιτροπή το κείμενο των διατάξεων εσωτερικού δικαίου που θεσπίζουν στον τομέα που διέπεται από την παρούσα οδηγία.

Άρθρο 15

Έναρξη ισχύος

Η παρούσα οδηγία αρχίζει να ισχύει την ημέρα της δημοσίευσής της στην *Επίσημη Εφημερίδα των Ευρωπαϊκών Κοινοτήτων*.

Άρθρο 16

Αποδέκτες

Η παρούσα οδηγία απευθύνεται στα κράτη μέλη.

▼B

ΠΑΡΑΡΤΗΜΑ Ι

ΔΕΙΚΤΕΣ ΘΟΡΥΒΟΥ

οι οποίοι αναφέρονται στο άρθρο 5

1. **Ορισμός του επιπέδου ημέρας-βραδιού-νύχτας L_{den}**

Το επίπεδο ημέρας-βραδιού-νύχτας L_{den}, σε ντεσιμπέλ (dB), ορίζεται με τον ακόλουθο τύπο:

$$L_{den} = 10 \lg \frac{1}{24} \left(12 * 10^{\frac{L_{day}}{10}} + 4 * 10^{\frac{L_{evening}+5}{10}} + 8 * 10^{\frac{L_{night}+10}{10}} \right)$$

όπου:

— L_{day} είναι η A-σταθμισμένη μακροπρόθεσμη μέση ηχοστάθμη, όπως ορίζεται στο πρότυπο ISO 1996-2: 1987, προσδιορισμένη επί του συνόλου των περιόδων ημέρας ενός έτους,

— $L_{evening}$ είναι η A-σταθμισμένη μακροπρόθεσμη μέση ηχοστάθμη, όπως ορίζεται στο πρότυπο ISO 1996-2: 1987, προσδιορισμένη επί του συνόλου των βραδινών περιόδων ενός έτους,

— L_{night} είναι η A-σταθμισμένη μακροπρόθεσμη μέση ηχοστάθμη, όπως ορίζεται στο πρότυπο ISO 1996-2: 1987, προσδιορισμένη επί του συνόλου των νυχτερινών περιόδων ενός έτους,

με δεδομένο ότι:

— η ημέρα διαρκεί δώδεκα ώρες, το βράδυ τέσσερις ώρες και η νύχτα οκτώ ώρες. Τα κράτη μέλη μπορούν να περικόψουν τη βραδινή περίοδο κατά μία ή δύο ώρες και να αυξήσουν αναλόγως την περίοδο της ημέρας ή/και της νύχτας, υπό τον όρο ότι η επιλογή αυτή ισχύει για όλες τις πηγές, και ότι θα παράσχουν στην Επιτροπή πληροφορίες για τις συστηματικές διαφορές σε σχέση με τις βασικές επιλογές,

— η αρχή της ημέρας (και κατά συνέπεια η αρχή του βραδιού και της νύκτας) καθορίζεται από το κράτος μέλος (η επιλογή αυτή ισχύει για όλες τις πηγές θορύβου). Οι εξ ορισμού τιμές είναι 07.00 έως 19.00, 19.00 έως 23.00 και 23.00 έως 07.00 τοπική ώρα,

— ένα έτος αντιστοιχεί στο υπόψιν έτος όσον αφορά την εκπομπή θορύβων και σε ένα μέσο έτος όσον αφορά τις καιρικές συνθήκες,

και ότι:

— λαμβάνεται υπόψη ο προσπίπτων θόρυβος, πράγμα που σημαίνει ότι ο ήχος που ανακλάται στην πρόσοψη του συγκεκριμένου κτιρίου δεν λαμβάνεται υπόψη (κατά κανόνα, αυτό σημαίνει διόρθωση 3 dB σε περίπτωση μέτρησης).

Το ύψος του σημείου αξιολόγησης του L_{den} εξαρτάται από την εκάστοτε περίσταση:

— σε περίπτωση υπολογισμού για τους σκοπούς της στρατηγικής χαρτογράφησης θορύβων σε σχέση με την έκθεση στο θόρυβο μέσα και κοντά στα κτίρια, τα σημεία αξιολόγησης βρίσκονται σε ύψος 4,0 ± 0,2 m (3,8 — 4,2 m) πάνω από το έδαφος και στην πιο εκτεθειμένη πρόσοψη. Για το σκοπό αυτό, η πιο εκτεθειμένη πρόσοψη είναι ο εξωτερικός τοίχος που είναι απέναντι και πιο κοντά προς τη συγκεκριμένη πηγή θορύβου. Για άλλους σκοπούς, μπορούν να γίνονται άλλες επιλογές,

— σε περίπτωση μέτρησης για τους σκοπούς της στρατηγικής χαρτογράφησης θορύβου σε σχέση με την έκθεση στο θόρυβο μέσα και κοντά σε κτίρια, μπορούν να επιλέγονται άλλα ύψη αλλά δεν θα πρέπει ποτέ να είναι κάτω του 1,5 m από το έδαφος και τα αποτελέσματα πρέπει να διορθώνονται σύμφωνα με ισοδύναμο ύψος 4 m,

▼B

— για άλλους σκοπούς όπως ο ηχητικός σχεδιασμός και η ηχητική οριοθέτηση, μπορούν να επιλέγονται άλλα ύψη, αλλά τα σημεία μέτρησης δεν πρέπει ποτέ να είναι κάτω του 1,5 m από το έδαφος. Δίδονται τα ακόλουθα παραδείγματα:

— αγροτικές περιοχές με μονώροφα σπίτια,

— σχεδιασμός τοπικών μέτρων για τον περιορισμό των επιπτώσεων του θορύβου επί συγκεκριμένων κατοικιών,

— λεπτομερής χαρτογράφηση θορύβων σε μια περιορισμένη περιοχή, όπου παρουσιάζεται χωριστά η έκθεση καθεμιάς κατοικίας στους θορύβους.

2. **Ορισμός του δείκτη νυχτερινού θορύβου**

Ο δείκτης νυχτερινού θορύβου L_{night} είναι η A-σταθμισμένη μακροπρόθεσμη μέση ηχοστάθμη, όπως ορίζεται στο πρότυπο ISO 1996-2: 1987, προσδιορισμένη με βάση όλες τις νυχτερινές περιόδους επί ένα έτος,

με δεδομένο ότι:

— η νύκτα διαρκεί οκτώ ώρες, όπως ορίζεται στο σημείο 1,

— ένα έτος είναι το υπόψιν έτος όσον αφορά τις ηχητικές εκπομπές και ένα μέσο έτος όσον αφορά τις καιρικές συνθήκες, όπως ορίζεται στο σημείο 1,

— λαμβάνεται υπόψιν ο προσπίπτων ήχος, όπως ορίζεται στο σημείο 1,

— σημείο αξιολόγησης είναι αυτό που προβλέπεται για τον δείκτη L_{den}.

3. **Πρόσθετοι δείκτες θορύβου**

Σε μερικές περιπτώσεις, εκτός των δεικτών L_{den} και L_{night}, και, κατά περίπτωση, των δεικτών L_{day} και $L_{evening}$, μπορεί να αποδειχθεί αποτελεσματική η χρησιμοποίηση ειδικών δεικτών θορύβου και αντίστοιχων οριακών τιμών. Δίνονται τα ακόλουθα παραδείγματα:

— η εξεταζόμενη πηγή θορύβου λειτουργεί μόνο για μικρό χρονικό διάστημα (για παράδειγμα λιγότερο από το 20 % του χρόνου των ολικών ημερήσιων, βραδινών ή νυχτερινών περιόδων ενός έτους),

— ο μέσος αριθμός ηχητικών γεγονότων, σε μια ή περισσότερες περιόδους, είναι πολύ μικρός (π.χ. λιγότερο από ένα ηχητικό γεγονός ανά ώρα· ως ηχητικό γεγονός θα μπορούσε να ορισθεί ο θόρυβος που διαρκεί λιγότερο από πέντε λεπτά, π.χ. ο θόρυβος από διερχόμενο τραίνο ή αεροπλάνο),

— η εμπεριεχόμενη συνιστώσα χαμηλών συχνοτήτων είναι ισχυρή,

— L_{amax} ή SEL (επίπεδο έκθεσης στο θόρυβο) για προστασία κατά τη διάρκεια της νυχτερινής περιόδου στην περίπτωση αιχμών θορύβου,

— επιπρόσθετη προστασία κατά τα Σαββατοκύριακα ή σε ορισμένες χρονικές στιγμές του έτους,

— επιπρόσθετη προστασία της ημερήσιας περιόδου,

— επιπρόσθετη προστασία της βραδινής περιόδου,

— συνδυασμός θορύβων από διάφορες πηγές,

— ήσυχες περιοχές στην ύπαιθρο,

— θόρυβος με έντονα τονικά συστατικά,

— θόρυβος με απότομο (ωθητικό) χαρακτήρα.

▼M2

ΠΑΡΑΡΤΗΜΑ II

ΜΕΘΟΔΟΙ ΑΞΙΟΛΟΓΗΣΗΣ ΓΙΑ ΤΟΥΣ ΔΕΙΚΤΕΣ ΘΟΡΥΒΟΥ

(που αναφέρονται στο άρθρο 6 της οδηγίας 2002/49/ΕΚ)

1. ΕΙΣΑΓΩΓΗ

Οι τιμές L_{den} και L_{night} προσδιορίζονται με υπολογισμό στις θέσεις αξιολόγησης, σύμφωνα με τη μέθοδο που ορίζεται στο κεφάλαιο 2 και τα δεδομένα που περιγράφονται στο κεφάλαιο 3. Οι μετρήσεις δύνανται να εκτελούνται σύμφωνα με το κεφάλαιο 4.

2. ΚΟΙΝΕΣ ΜΕΘΟΔΟΙ ΑΞΙΟΛΟΓΗΣΗΣ ΤΟΥ ΘΟΡΥΒΟΥ

2.1. **Γενικές διατάξεις — Θόρυβοι οδικής και σιδηροδρομικής κυκλοφορίας και βιομηχανικοί θόρυβοι**

2.1.1. *Δείκτες, εύρος συχνοτήτων και ορισμοί ζωνών συχνοτήτων*

Οι υπολογισμοί του θορύβου ορίζονται ►C1 στο φάσμα συχνότητας ζωνών οκτάβας από 63 Hz έως 8 kHz ◄. Τα αποτελέσματα των ζωνών συχνοτήτων παρέχονται στο αντίστοιχο διάστημα συχνοτήτων.

Οι υπολογισμοί εκτελούνται σε οκταβικές ζώνες για τους θορύβους οδικής και σιδηροδρομικής κυκλοφορίας και τους βιομηχανικούς θορύβους, εκτός από την ηχητική ισχύ πηγών θορύβου σιδηροδρομικής κυκλοφορίας, για την οποία χρησιμοποιούνται τριτοκταβικές ζώνες. Για τους θορύβους οδικής και σιδηροδρομικής κυκλοφορίας και τους βιομηχανικούς θορύβους, με βάση αυτά τα αποτελέσματα οκταβικών ζωνών, η A-σταθμισμένη μακροπρόθεσμη μέση στάθμη ηχητικής πίεσης για την περίοδο της ημέρας, του βραδιού και της νύχτας, όπως ορίζεται στο παράρτημα I και αναφέρεται στο άρθρο 5 της οδηγίας 2002/49/ΕΚ, υπολογίζεται με άθροιση όλων των συχνοτήτων:

$$L_{Aeq,T} = 10 \times \lg \sum_{i=1} 10^{(L_{eq,T,i}+A_i)/10} \qquad (2.1.1)$$

όπου

A_i δηλώνει την A-σταθμισμένη διόρθωση σύμφωνα με το πρότυπο IEC 61672-1

i = δείκτης ζώνης συχνοτήτων

και T είναι το χρονικό διάστημα που αντιστοιχεί στην ημέρα, στο βράδυ ή στη νύχτα.

Παράμετροι θορύβου:

L_p	Στιγμιαία στάθμη ηχητικής πίεσης	[dB] (re. 2 10^{-5} Pa)
$L_{Aeq,LT}$	Συνολική μακροπρόθεσμη ηχοστάθμη L_{Aeq} από όλες τις πηγές και πηγές εικόνας στο σημείο R	[dB] (re. 2 10^{-5} Pa)
L_W	«Επιτόπια» στάθμη ηχητικής ισχύος μιας σημειακής πηγής (κινητής ή σταθερής)	[dB] (re. 10^{-12} W)
$L_{W,i,dir}$	Κατευθυντική «επιτόπια» στάθμη ηχητικής ισχύος για την i-οστή ζώνη συχνοτήτων	[dB] (re. 10^{-12} W)
$L_{W'}$	Μέση «επιτόπια» στάθμη ηχητικής ισχύος ανά μέτρο γραμμικής πηγής	[dB/m] (re. 10^{-12} W)

▼**M2**

Άλλες φυσικές παράμετροι:

p	Πραγματική τιμή της στιγμιαίας ηχητικής πίεσης	[Pa]
p_0	Ηχητική πίεση αναφοράς = 2 10^{-5} Pa	[Pa]
W_0	Ηχητική ισχύς αναφοράς = 10^{-12} W	[watt]

2.1.2. *Πλαίσιο ποιότητας*

Ακρίβεια των τιμών εισόδου

Όλες οι τιμές εισόδου που επηρεάζουν το επίπεδο εκπομπών από μια πηγή προσδιορίζονται τουλάχιστον με ακρίβεια που αντιστοιχεί σε αβεβαιότητα ± 2 dB(A) στο επίπεδο εκπομπών της πηγής (αφήνοντας αμετάβλητες όλες τις άλλες παραμέτρους).

Χρήση προεπιλεγμένων τιμών

Κατά την εφαρμογή της μεθόδου, τα δεδομένα εισόδου αντικατοπτρίζουν την πραγματική χρήση. Σε γενικές γραμμές, δεν υπάρχει εξάρτηση από προεπιλεγμένες τιμές εισόδου ή παραδοχές. Οι προεπιλεγμένες τιμές εισόδου και παραδοχές είναι αποδεκτές εάν η συλλογή πραγματικών δεδομένων συνεπάγεται δυσανάλογα υψηλό κόστος.

Ποιότητα του λογισμικού που χρησιμοποιείται για τους υπολογισμούς

Το λογισμικό που χρησιμοποιείται για την εκτέλεση των υπολογισμών πρέπει να αποδεικνύει τη συμμόρφωση με τις μεθόδους που περιγράφονται παρακάτω μέσω πιστοποίησης των αποτελεσμάτων σε σχέση με τις δοκιμαστικές εφαρμογές.

2.2. **Θόρυβοι οδικής κυκλοφορίας**

2.2.1. *Περιγραφή της πηγής*

Ταξινόμηση των οχημάτων

Οι πηγές θορύβου οδικής κυκλοφορίας καθορίζονται με συνδυασμό της εκπομπής θορύβου του καθενός από τα οχήματα που αποτελούν τη ροή της κυκλοφορίας. Τα οχήματα αυτά ομαδοποιούνται σε πέντε διακριτές κατηγορίες ανάλογα με τα χαρακτηριστικά εκπομπής θορύβου:

Κατηγορία 1: Ελαφρά μηχανοκίνητα οχήματα

Κατηγορία 2: Μεσαία βαρέα οχήματα

Κατηγορία 3: Βαρέα οχήματα

Κατηγορία 4: Μηχανοκίνητα δίκυκλα

Κατηγορία 5: Ανοικτή κατηγορία

Στην περίπτωση των μηχανοκίνητων δικύκλων, καθορίζονται δύο διακριτές υποκατηγορίες για τα μοτοποδήλατα και τις μοτοσικλέτες μεγαλύτερης ισχύος, δεδομένου ότι λειτουργούν με πολύ διαφορετικούς τρόπους οδήγησης και οι αριθμοί τους ποικίλλουν σε μεγάλο βαθμό.

Χρησιμοποιούνται οι τέσσερις πρώτες κατηγορίες, ενώ η πέμπτη κατηγορία είναι προαιρετική. Προβλέπεται να απαιτηθεί ο καθορισμός πρόσθετης κατηγορίας για τα νέα οχήματα που ενδέχεται να αναπτυχθούν στο μέλλον, τα οποία δύνανται να διαφέρουν σημαντικά ως προς την

▼**M2**

εκπομπή θορύβου. Η κατηγορία αυτή θα μπορούσε να περιλαμβάνει, για παράδειγμα, τα ηλεκτρικά ή υβριδικά οχήματα ή οχήματα που ίσως αναπτυχθούν στο μέλλον και τα οποία θα διαφέρουν αισθητά από εκείνα των κατηγοριών 1 έως 4.

Οι λεπτομέρειες των διαφόρων κατηγοριών οχημάτων παρατίθενται στον πίνακα [2.2.α].

Πίνακας [2.2.α]

Κατηγορίες οχημάτων

Κατηγορία	Ονομασία	Περιγραφή		Κατηγορία οχήματος στην έγκριση τύπου ΕΚ πλήρους οχήματος (1)
1	Ελαφρά μηχανοκίνητα οχήματα	Επιβατικά αυτοκίνητα, φορτηγά παραδόσεων ≤ 3,5 τόνων, SUV (2), MPV (3), καθώς και ρυμουλκούμενα οχήματα και τροχόσπιτα		M1 και N1
2	Μεσαία βαρέα οχήματα	Μεσαία βαρέα οχήματα, φορτηγά παραδόσεων > 3,5 τόνων, λεωφορεία, αυτοκινούμενα τροχόσπιτα κ.λπ. με δύο άξονες και τοποθέτηση δίδυμου ελαστικού επισώτρου στον οπίσθιο άξονα		M2, M3 και N2, N3
3	Βαρέα οχήματα	Βαρέα επαγγελματικά οχήματα, τουριστικά αυτοκίνητα, λεωφορεία με τρεις ή περισσότερους άξονες		M2 και N2 με ρυμουλκούμενο, M3 και N3
4	Μηχανοκίνητα δίκυκλα	4α	Δίκυκλα, τρίκυκλα και τετράκυκλα μοτοποδήλατα	L1, L2, L6
		4β	Μοτοσικλέτες με ή χωρίς πλευρικό κάνιστρο, τρίκυκλες και τετράκυκλες	L3, L4, L5, L7
5	Ανοικτή κατηγορία	Καθορίζονται ανάλογα με τις μελλοντικές ανάγκες		Δ/Υ

(1) Οδηγία 2007/46/ΕΚ του Ευρωπαϊκού Κοινοβουλίου και του Συμβουλίου, της 5ης Σεπτεμβρίου 2007, για τη θέσπιση πλαισίου για την έγκριση των μηχανοκίνητων οχημάτων και των ρυμουλκουμένων τους, και των συστημάτων, κατασκευαστικών στοιχείων και χωριστών τεχνικών μονάδων που προορίζονται για τα οχήματα αυτά. (ΕΕ L 263 της 9.10.2007, σ. 1).
(2) Οχήματα ψυχαγωγίας/εργασίας.
(3) Οχήματα πολλαπλών χρήσεων.

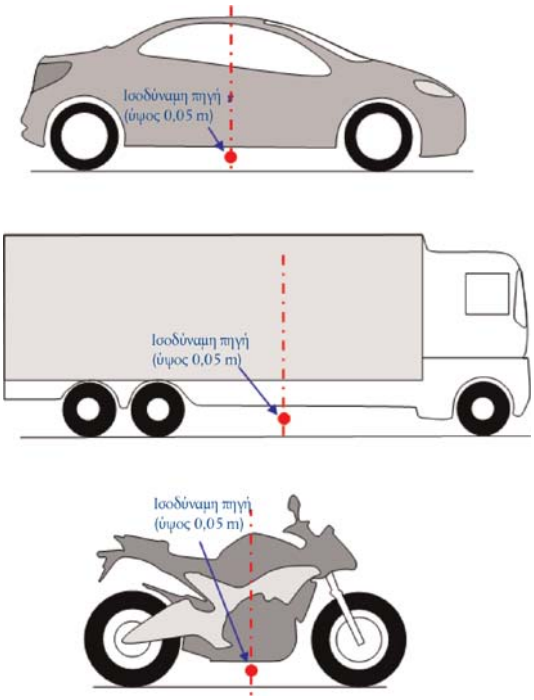
Αριθμός και θέση ισοδύναμων ηχητικών πηγών

Στη μέθοδο αυτή, κάθε όχημα (κατηγορία 1, 2, 3, 4 και 5) αναπαριστάται από μία και μόνο σημειακή πηγή που ακτινοβολεί ομοιόμορφα στον ημιχώρο 2-π πάνω από το έδαφος. Η πρώτη ανάκλαση πάνω στο οδόστρωμα αντιμετωπίζεται εμμέσως. Όπως απεικονίζεται στο σχήμα [2.2.α], η εν λόγω σημειακή πηγή τοποθετείται 0,05 m πάνω από το οδόστρωμα.

▼M2

Σχήμα [2.2.α]

Θέση της ισοδύναμης σημειακής πηγής σε ελαφρά οχήματα (κατηγορία 1), βαρέα οχήματα (κατηγορίες 2 και 3) και δίκυκλα (κατηγορία 4)



Η ροή της κυκλοφορίας αναπαριστάται από γραμμική πηγή. Κατά τη μοντελοποίηση ενός δρόμου με πολλές λωρίδες κυκλοφορίας, κάθε λωρίδα πρέπει, στην ιδανική περίπτωση, να αναπαριστάται από μια γραμμική πηγή τοποθετημένη στο κέντρο κάθε λωρίδας κυκλοφορίας. Ωστόσο, είναι επίσης αποδεκτή η μοντελοποίηση με τοποθέτηση μίας γραμμικής πηγής στο μέσο μιας οδού διπλής κατεύθυνσης ή μίας γραμμικής πηγής ανά οδόστρωμα στην εξωτερική λωρίδα οδών με πολλές λωρίδες κυκλοφορίας.

Εκπομπές ηχητικής ισχύος

Γενικές παρατηρήσεις

Η ηχητική ισχύς της πηγής καθορίζεται στο «ημιελεύθερο πεδίο» και, ως εκ τούτου, η ηχητική ισχύς περιλαμβάνει την επίδραση της ανάκλασης του εδάφους που βρίσκεται ακριβώς κάτω από τη μοντελοποιημένη πηγή, όταν δεν υπάρχουν διαταρακτικά αντικείμενα στο άμεσο περιβάλλον εκτός από την ανάκλαση πάνω στο οδόστρωμα που δεν βρίσκεται ακριβώς κάτω από τη μοντελοποιημένη πηγή.

Ροή της κυκλοφορίας

Η εκπομπή θορύβου από τη ροή κυκλοφορίας αναπαριστάται με μια γραμμική πηγή που χαρακτηρίζεται από την κατευθυντική ηχητική ισχύ της ανά μέτρο και ανά συχνότητα. Αυτή αντιστοιχεί στο άθροισμα των εκπομπών θορύβου των μεμονωμένων οχημάτων της ροής κυκλοφορίας, λαμβανομένου υπόψη του χρόνου παραμονής των οχημάτων στο υπό εξέταση οδικό τμήμα. Η υλοποίηση μεμονωμένου οχήματος εντός της ροής απαιτεί την εφαρμογή ενός μοντέλου ροής κυκλοφορίας.

▼M2

Εάν θεωρήσουμε σταθερή ροή κυκλοφορίας Q_m οχημάτων της κατηγορίας m ανά ώρα, με μέση ταχύτητα v_m (σε km/h), η κατευθυντική ηχητική ισχύς ανά μέτρο στη ζώνη συχνοτήτων i της γραμμικής πηγής $L_{W',eq,line,i,m}$ ορίζεται ως εξής:

$$L_{W',eq,line,i,m} = L_{W,i,m} + 10 \times \lg\left(\frac{Q_m}{1\,000 \times v_m}\right) \qquad (2.2.1)$$

όπου $L_{W,i,m}$ είναι η κατευθυντική ηχητική ισχύς ενός μεμονωμένου οχήματος. Η $L_{W',m}$ εκφράζεται σε dB (re. 10^{-12} W/m). Αυτές οι στάθμες ηχητικής ισχύος υπολογίζονται για ►C1 κάθε οκταβική ζώνη i από 63 Hz έως 8 kHz ◄.

Τα δεδομένα ροής κυκλοφορίας Q_M εκφράζονται ως ετήσιος μέσος όρος ανά ώρα, ανά χρονική περίοδο (ημέρα-βράδυ-νύχτα), ανά κατηγορία οχήματος και ανά γραμμική πηγή. Για όλες τις κατηγορίες, χρησιμοποιούνται δεδομένα εισόδου ροής κυκλοφορίας που αντλούνται από μετρήσεις της κυκλοφορίας και από κυκλοφοριακά μοντέλα.

Η ταχύτητα v_m είναι η αντιπροσωπευτική ταχύτητα ανά κατηγορία οχήματος: στις περισσότερες περιπτώσεις είναι η χαμηλότερη ταχύτητα εκ των εξής δύο: της μέγιστης νόμιμης ταχύτητας για το υπό εξέταση τμήμα της οδού και της μέγιστης νόμιμης ταχύτητας για την υπό εξέταση κατηγορία του οχήματος. Εάν δεν υπάρχουν διαθέσιμα δεδομένα τοπικών μετρήσεων, χρησιμοποιείται η μέγιστη νόμιμη ταχύτητα για την υπό εξέταση κατηγορία του οχήματος.

Μεμονωμένο όχημα

Στη ροή της κυκλοφορίας, θεωρούμε ότι όλα τα οχήματα της κατηγορίας M κινούνται με την ίδια ταχύτητα, δηλαδή v_m, τη μέση ταχύτητα της ροής οχημάτων της υπό εξέταση κατηγορίας.

Η μοντελοποίηση οδικού οχήματος γίνεται μέσω ενός συνόλου μαθηματικών εξισώσεων που αναπαριστούν τις δύο κύριες πηγές θορύβου:

1. Θόρυβος κύλισης λόγω της αλληλεπίδρασης ελαστικών επισώτρων/οδοστρώματος·

2. Θόρυβος των συστημάτων προώθησης που παράγεται από το σύστημα κίνησης (κινητήρας, εξάτμιση κ.λπ.) του οχήματος.

Ο αεροδυναμικός θόρυβος έχει ενσωματωθεί στην πηγή του θορύβου κύλισης.

Για ελαφρά, μεσαία και βαρέα μηχανοκίνητα οχήματα (κατηγορίες 1, 2 και 3), η συνολική ηχητική ισχύς αντιστοιχεί στο ενεργητικό άθροισμα του θορύβου κύλισης και του θορύβου των συστημάτων προώθησης. Συνεπώς, η συνολική στάθμη ηχητικής ισχύος των γραμμικών πηγών m = 1, 2 ή 3 ορίζεται ως εξής:

$$L_{W,i,m}(v_m) = 10 \times \lg(10^{L_{WR,i,m}(v_m)/10} + 10^{L_{WP,i,m}(v_m)/10}) \qquad (2.2.2)$$

όπου $L_{WR,i,m}$ είναι η στάθμη ηχητικής ισχύος του θορύβου κύλισης και $L_{WP,i,m}$ είναι η στάθμη ηχητικής ισχύος του θορύβου των συστημάτων προώθησης. Αυτό ισχύει για όλες τις κλίμακες ταχύτητας. Για ταχύτητες κάτω των 20 km/h ισχύει η ίδια στάθμη ηχητικής ισχύος που ορίζεται με τον τύπο για v_m = 20 km/h.

Για δίκυκλα (κατηγορία 4), εξετάζεται μόνο ο θόρυβος των συστημάτων προώθησης για την πηγή:

$$L_{W,i,m=4}(v_{m=4}) = L_{WP,i,m=4}(v_{m=4}) \qquad (2.2.3)$$

Αυτό ισχύει για όλες τις κλίμακες ταχύτητας. Για ταχύτητες κάτω των 20 km/h ισχύει η ίδια στάθμη ηχητικής ισχύος που ορίζεται με τον τύπο για v_m = 20 km/h.

2.2.2. *Συνθήκες αναφοράς*

Οι εξισώσεις και οι συντελεστές της πηγής ισχύουν για τις εξής συνθήκες αναφοράς:

▼**M2**

— σταθερή ταχύτητα οχήματος

— επίπεδη οδό

— θερμοκρασία αέρα τ_{ref} = 20 °C

— εικονικό οδόστρωμα αναφοράς, αποτελούμενο από μέσο μείγμα πυκνού ασφαλτικού σκυροδέματος 0/11 και σκυρομαστιχικής ασφάλτου 0/11, ηλικίας μεταξύ 2 και 7 ετών, που βρίσκεται σε αντιπροσωπευτική κατάσταση συντήρησης

— ξηρό οδόστρωμα

— χωρίς ελαστικά επίσωτρα με καρφιά

2.2.3. *Θόρυβος κύλισης*

Γενική εξίσωση

Η στάθμη ηχητικής ισχύος του θορύβου κύλισης στη ζώνη συχνοτήτων i για όχημα κατηγορίας M = 1, 2 ή 3 ορίζεται ως εξής:

$$L_{WR,i,m} = A_{R,i,m} + B_{R,i,m} \times \lg\left(\frac{v_m}{v_{ref}}\right) + \Delta L_{WR,i,m} \qquad (2.2.4)$$

Οι συντελεστές $A_{R,i,m}$ και $B_{R,i,m}$ δίνονται σε οκταβικές ζώνες για κάθε κατηγορία οχημάτων και για ταχύτητα αναφοράς v_{ref} = 70 km/h. Η $\Delta L_{WR,i,m}$ αντιστοιχεί στο άθροισμα των συντελεστών διόρθωσης που εφαρμόζονται για τις εκπομπές θορύβου κύλισης για ειδικές συνθήκες της οδού ή του οχήματος που παρεκκλίνουν από τις συνθήκες αναφοράς:

$$\Delta L_{WR,i,m} = \Delta L_{WR,road,i,m} + \Delta L_{studdedtyres,i,m} + \Delta L_{WR,acc,i,m} + \Delta L_{W,temp} \qquad (2.2.5)$$

Η $\Delta L_{WR,road,i,m}$ αντιπροσωπεύει την επίδραση που ασκεί στον θόρυβο κύλισης το οδόστρωμα με ακουστικές ιδιότητες διαφορετικές από εκείνες του εικονικού οδοστρώματος αναφοράς που ορίζονται στο κεφάλαιο 2.2.2. Περιλαμβάνει την επίδραση τόσο στη διάδοση όσο και στη δημιουργία του ήχου.

Η $\Delta L_{studded\ tyres,i,m}$ είναι ένας συντελεστής διόρθωσης που αντιπροσωπεύει τον υψηλότερο θόρυβο κύλισης των ελαφρών οχημάτων που είναι εξοπλισμένα με ελαστικά με καρφιά.

Η $\Delta L_{WR,acc,i,m}$ αντιπροσωπεύει την επίδραση που ασκεί μια διασταύρωση με φωτεινούς σηματοδότες ή κυκλικό κόμβο στον θόρυβο κύλισης. Ενσωματώνει την επίδραση που έχει η διακύμανση ταχύτητας στον θόρυβο.

Η $\Delta L_{W,temp}$ είναι μια διόρθωση για μέση θερμοκρασία τ διαφορετική από τη θερμοκρασία αναφοράς τ_{ref} = 20 °C.

Διόρθωση για ελαστικά επίσωτρα με καρφιά

Σε περιπτώσεις όπου σημαντικός αριθμός ελαφρών οχημάτων στη ροή κυκλοφορίας χρησιμοποιούν ελαστικά με καρφιά κατά τη διάρκεια αρκετών μηνών κάθε έτος, λαμβάνεται υπόψη η επαγόμενη επίδραση στον θόρυβο κύλισης. Για κάθε όχημα της κατηγορίας m = 1 που είναι εφοδιασμένο με ελαστικά με καρφιά, η εξαρτώμενη από την ταχύτητα αύξηση της εκπομπής θορύβου κύλισης αξιολογείται ως εξής:

$$\Delta_{stud,i}(v) = \begin{cases} a_i + b_i \times \lg(50/70) \text{ for } v < 50 \text{ km/h} \\ a_i + b_i \times \lg(v/70) \text{ for } 50 \le v \le 90 \text{ km/h} \\ a_i + b_i \times \lg(90/70) \text{ for } v > 90 \text{ km/h} \end{cases} \qquad (2.2.6)$$

Όπου οι συντελεστές a_i και b_i δίνονται για κάθε οκταβική ζώνη.

▼M2

Η αύξηση των εκπομπών θορύβου κύλισης αποδίδεται αποκλειστικά και μόνο με βάση την αναλογία των ελαφρών οχημάτων που χρησιμοποιούν ελαστικά με καρφιά και κατά τη διάρκεια περιορισμένης περιόδου T_S (σε μήνες) κατά τη διάρκεια του έτους. Εάν $Q_{stud,ratio}$ είναι το μέσο ποσοστό του συνολικού όγκου των ελαφρών οχημάτων εξοπλισμένων με ελαστικά με καρφιά ανά ώρα κατά τη διάρκεια της περιόδου T_s (σε μήνες), τότε η ετήσια μέση αναλογία των οχημάτων που είναι εξοπλισμένα με ελαστικά με καρφιά p_s εκφράζεται ως εξής:

$$p_s = Q_{stud,ratio} \times \frac{T_s}{12} \tag{2.2.7}$$

Η προκύπτουσα διόρθωση που θα εφαρμοστεί στις εκπομπές ηχητικής ισχύος του θορύβου κύλισης που οφείλονται στη χρήση ελαστικών με καρφιά για οχήματα της κατηγορίας $m = 1$ σε ζώνη συχνοτήτων i είναι η εξής:

$$\Delta L_{studdedtyres,i,m=1} = 10 \times \lg\left[(1 - p_s) + p_s 10^{\frac{\Delta_{stud,i,m=1}}{10}}\right] \tag{2.2.8}$$

Για τα οχήματα όλων των άλλων κατηγοριών δεν εφαρμόζεται καμία διόρθωση:

$$\Delta L_{studdedtyres,i,m \neq 1} = 0 \tag{2.2.9}$$

Επίδραση της θερμοκρασίας του αέρα στη διόρθωση του θορύβου κύλισης

Η θερμοκρασία του αέρα επηρεάζει τις εκπομπές θορύβου κύλισης· η στάθμη ηχητικής ισχύος του θορύβου κύλισης μειώνεται με την αύξηση της θερμοκρασίας του αέρα. Η επίδραση αυτή λαμβάνεται υπόψη στη διόρθωση οδοστρώματος. Οι διορθώσεις οδοστρώματος συνήθως αξιολογούνται σε θερμοκρασία αέρα τ_{ref} = 20 °C. Σε περίπτωση διαφορετικής μέσης ετήσιας θερμοκρασίας αέρα °C, ο θόρυβος οδοστρώματος διορθώνεται ως εξής:

$$\Delta L_{W,temp,m}(\tau) = K_m \times (\tau_{ref} - \tau) \tag{2.2.10}$$

Η διόρθωση για τον θόρυβο είναι θετική (δηλαδή αυξάνεται ο θόρυβος) σε θερμοκρασίες κάτω από 20 °C και αρνητική (δηλαδή μειώνεται ο θόρυβος) σε υψηλότερες θερμοκρασίες. Ο συντελεστής K εξαρτάται από το οδόστρωμα και τα χαρακτηριστικά των ελαστικών επισώτρων και, ως ένα βαθμό, και από τη συχνότητα. Εφαρμόζεται γενικός συντελεστής $K_{m = 1}$ = 0,08 dB/°C για ελαφρά οχήματα (κατηγορίας 1) και $K_{m = 2} = K_{m = 3}$ = 0,04 dB/°C για βαρέα οχήματα (κατηγοριών 2 και 3) για όλα τα οδοστρώματα. Ο συντελεστής διόρθωσης εφαρμόζεται εξίσου σε όλες τις οκταβικές ζώνες από 63 έως 8 000 Hz.

2.2.4. *Θόρυβος συστημάτων προώθησης*

Γενική εξίσωση

Ο θόρυβος των συστημάτων προώθησης περιλαμβάνει όλους τους θορύβους που παράγουν ο κινητήρας, η εξάτμιση, τα συστήματα οδοντωτών τροχών, η εισαγωγή αέρα κ.λπ. Η στάθμη ηχητικής ισχύος του θορύβου των συστημάτων προώθησης στη ζώνη συχνοτήτων i για όχημα κατηγορίας m ορίζεται ως εξής:

$$L_{WP,i,m} = A_{P,i,m} + B_{P,i,m} \times \frac{(v_m - v_{ref})}{v_{ref}} + \Delta L_{WP,i,m} \tag{2.2.11}$$

Οι συντελεστές $A_{P,i,m}$ και $B_{P,i,m}$ δίνονται σε οκταβικές ζώνες για κάθε κατηγορία οχημάτων και για ταχύτητα αναφοράς v_{ref} = 70 km/h.

Η $\Delta L_{WP,i,m}$ αντιστοιχεί στο άθροισμα των συντελεστών διόρθωσης που εφαρμόζονται για τις εκπομπές θορύβου των συστημάτων προώθησης για ειδικές συνθήκες οδήγησης ή περιφερειακές συνθήκες που παρεκκλίνουν από τις συνθήκες αναφοράς:

▼M2

$$\Delta L_{WP,i,m} = \Delta L_{WP,road,i,m} + \Delta L_{WP,grad,i,m} + \Delta L_{WP,acc,i,m} \quad (2.2.12)$$

Η $\Delta L_{WP,road,i,m}$ αντιπροσωπεύει την επίδραση του οδοστρώματος στον θόρυβο των συστημάτων προώθησης μέσω απορρόφησης. Ο υπολογισμός πραγματοποιείται σύμφωνα με το κεφάλαιο 2.2.6.

Η $\Delta L_{WP,acc,i,m}$ και η $\Delta L_{WP,grad,i,m}$ αντιπροσωπεύουν την επίδραση των κλίσεων της οδού, καθώς και της επιτάχυνσης και επιβράδυνσης του οχήματος σε κόμβους. Υπολογίζονται σύμφωνα με τα κεφάλαια 2.2.4 και 2.2.5 αντίστοιχα.

Επίδραση των κλίσεων της οδού

Η κλίση της οδού επιδρά με δύο τρόπους στις εκπομπές θορύβου του οχήματος: πρώτον, επηρεάζει την ταχύτητα του οχήματος και, ως εκ τούτου, τις εκπομπές του θορύβου κύλισης και του θορύβου των συστημάτων προώθησης του οχήματος και, δεύτερον, επηρεάζει τόσο το φορτίο όσο και την ταχύτητα του κινητήρα μέσω της επιλογής ταχύτητας και, ως εκ τούτου, τις εκπομπές του θορύβου των συστημάτων προώθησης του οχήματος. Στο παρόν τμήμα εξετάζονται μόνον οι επιπτώσεις επί του θορύβου των συστημάτων προώθησης, όπου η ταχύτητα θεωρείται σταθερή.

Η επίδραση της κλίσης της οδού στον θόρυβο των συστημάτων προώθησης λαμβάνεται υπόψη με διόρθωση $\Delta L_{WP,grad,m}$ που αποτελεί συνάρτηση της κλίσης s (σε %), της ταχύτητας του οχήματος v_m (σε km/h) και της κατηγορίας του οχήματος m. Στην περίπτωση ροής κυκλοφορίας δύο κατευθύνσεων, είναι απαραίτητος ο διαχωρισμός της ροής σε δύο συνιστώσες και η διόρθωση κατά το ήμισυ σε ανηφόρα και κατά το ήμισυ σε κατηφόρα. Η διόρθωση αποδίδεται σε όλες τις οκταβικές ζώνες εξίσου:

Για $m = 1$

$$\Delta L_{WP,grad,i,m=1}(v_m) = \begin{cases} \dfrac{Min(12\,\%; -s) - 6\,\%}{1\,\%} & για\ s < -6\,\% \\ 0 & για\ -6\,\% \le s \le 2\,\% \\ \dfrac{Min(12\,\%; s) - 2\,\%}{1{,}5\,\%} \times \dfrac{v_m}{100} & για\ s > 2\,\% \end{cases} \quad (2.2.13)$$

Για $m = 2$

$$\Delta L_{WP,grad,i,m=2}(v_m) = \begin{cases} \dfrac{Min(12\ \%; -s) - 4\ \%}{0{,}7\ \%} \times \dfrac{v_m - 20}{100} & για\ s < -4\,\% \\ 0 & για\ -4\,\% \le s \le 0\,\% \\ \dfrac{Min(12\ \%; s)}{1\ \%} \times \dfrac{v_m}{100} & για\ s > 0\,\% \end{cases} \quad (2.2.14)$$

Για $m = 3$

$$\Delta L_{WP,grad,i,m=3}(v_m) = \begin{cases} \dfrac{Min(12\ \%; -s) - 4\ \%}{0{,}5\ \%} \times \dfrac{v_m - 10}{100} & για\ s < -4\,\% \\ 0 & για\ -4\,\% \le s \le 0\,\% \\ \dfrac{Min(12\ \%; s)}{0{,}8\ \%} \times \dfrac{v_m}{100} & για\ s > 0\,\% \end{cases} \quad (2.2.15)$$

Για $m = 4$

$$\Delta L_{WP,grad,i,m=4} = 0 \quad (2.2.16)$$

Η διόρθωση $\Delta L_{WP,grad,m}$ περιλαμβάνει εμμέσως την επίδραση που έχει η κλίση στην ταχύτητα.

▼M2

2.2.5. *Επίδραση της επιτάχυνσης και επιβράδυνσης των οχημάτων*

Πριν και μετά τις διασταυρώσεις με φωτεινούς σηματοδότες και κυκλικούς κόμβους, εφαρμόζεται διόρθωση για την επίδραση της επιτάχυνσης και επιβράδυνσης, όπως περιγράφεται κατωτέρω.

Οι διορθώσεις για τον θόρυβο κύλισης, $\Delta L_{WR,acc,m,k}$, και για τον θόρυβο των συστημάτων προώθησης, $\Delta L_{WP,acc,m,k}$, αποτελούν γραμμικές συναρτήσεις της απόστασης x (σε m) της σημειακής πηγής από το πλησιέστερο σημείο τομής της αντίστοιχης γραμμικής πηγής με άλλη γραμμική πηγή. Αποδίδονται σε όλες τις οκταβικές ζώνες εξίσου:

$$\Delta L_{WR,acc,m,k} = C_{R,m,k} \times \mathrm{Max}\left(1 - \frac{|x|}{100}; 0\right) \tag{2.2.17}$$

$$\Delta L_{WP,acc,m,k} = C_{P,m,k} \times \mathrm{Max}\left(1 - \frac{|x|}{100}; 0\right) \tag{2.2.18}$$

Οι συντελεστές $C_{R,m,k}$ και $C_{P,m,k}$ εξαρτώνται από το είδος της διακλάδωσης k (k = 1 για διασταύρωση με φωτεινούς σηματοδότες, και k = 2 για κυκλικό κόμβο) και δίνονται για κάθε κατηγορία οχημάτων. Η διόρθωση περιλαμβάνει την επίδραση της αλλαγής ταχύτητας όταν τα οχήματα πλησιάζουν ή απομακρύνονται από διασταύρωση ή κυκλικό κόμβο.

Σημειώνεται ότι σε απόσταση $|x| \geq 100$ m, $\Delta L_{WR,acc,m,k} = \Delta L_{WP,acc,m,k} = 0$.

2.2.6. *Επίδραση του είδους του οδοστρώματος*

Γενικές αρχές

Για τα οδοστρώματα με ακουστικές ιδιότητες διαφορετικές από εκείνες του οδοστρώματος αναφοράς, εφαρμόζεται φασματική διόρθωση τόσο για τον θόρυβο κύλισης όσο και για τον θόρυβο των συστημάτων προώθησης.

Η διόρθωση οδοστρώματος για τις εκπομπές θορύβου κύλισης δίνεται ως εξής:

$$\Delta L_{WR,road,i,m} = \alpha_{i,m} + \beta_m \times \lg\left(\frac{v_m}{v_{ref}}\right) \tag{2.2.19}$$

όπου

$\alpha_{i,m}$ είναι η φασματική διόρθωση σε dB στην ταχύτητα αναφοράς v_{ref} για την κατηγορία m (1, 2 ή 3) και ζώνη φάσματος i.

β_m είναι η επίδραση της ταχύτητας στη μείωση του θορύβου κύλισης για την κατηγορία m (1, 2 ή 3) και είναι ίδια για όλες τις ζώνες συχνοτήτων.

Η διόρθωση οδοστρώματος για τις εκπομπές θορύβου των συστημάτων προώθησης δίνεται από τον τύπο:

$$\Delta L_{WP,road,i,m} = \min\{\alpha_{i,m}; 0\} \tag{2.2.20}$$

Τα απορροφητικά οδοστρώματα μειώνουν τον θόρυβο των συστημάτων προώθησης, ενώ τα μη απορροφητικά οδοστρώματα δεν τον αυξάνουν.

Η επίδραση της ηλικίας στις ιδιότητες του θορύβου οδοστρώματος

Τα χαρακτηριστικά θορύβου των οδοστρωμάτων ποικίλλουν ανάλογα με την ηλικία και το επίπεδο συντήρησης, παρουσιάζοντας αυξητική τάση ως προς τον θόρυβο με την πάροδο του χρόνου. Στην παρούσα μέθοδο, οι παράμετροι του οδοστρώματος που χρησιμοποιούνται είναι αντιπροσωπευτικές των ακουστικών επιδόσεων του μέσου τύπου οδοστρώματος κατά τη διάρκεια της αντιπροσωπευτικής διάρκειας ζωής του και θεωρώντας ότι γίνεται ορθή συντήρηση.

▼M2

2.3. **Θόρυβος σιδηροδρομικής κυκλοφορίας**

2.3.1. *Περιγραφή της πηγής*

Ταξινόμηση των οχημάτων

Ορισμός οχήματος και αμαξοστοιχίας

Για τους σκοπούς της παρούσας μεθόδου υπολογισμού του θορύβου, ως όχημα νοείται οποιαδήποτε μεμονωμένη σιδηροδρομική υπομονάδα αμαξοστοιχίας (συνήθως μηχανή έλξης, αυτοκινούμενη άμαξα, ρυμουλκούμενη άμαξα ή φορτάμαξα) που μπορεί να κινηθεί ανεξάρτητα και δύναται να αποσπαστεί από την υπόλοιπη αμαξοστοιχία. Είναι δυνατόν να ισχύουν ειδικές περιστάσεις για υπομονάδες μιας αμαξοστοιχίας οι οποίες αποτελούν μέρος ενός μη αποσπώμενου συνόλου, π.χ. χρησιμοποιούν κοινό φορείο. Για τους σκοπούς της παρούσας μεθόδου υπολογισμού, όλες οι υπομονάδες αυτές ομαδοποιούνται σε ένα και μόνο όχημα.

Για τους σκοπούς της παρούσας μεθόδου υπολογισμού, μια αμαξοστοιχία αποτελείται από αρκετά συνδεδεμένα οχήματα.

Ο πίνακας [2.3.α] καθορίζει μια κοινή ορολογία για την περιγραφή των τύπων οχημάτων που περιλαμβάνονται στη βάση δεδομένων πηγής. Παρουσιάζει τις σχετικές περιγραφές που χρησιμοποιούνται για την ταξινόμηση των οχημάτων στο σύνολό τους. Οι εν λόγω περιγραφές αντιστοιχούν στις ιδιότητες του οχήματος που επηρεάζουν την ακουστική κατευθυντική ηχητική ισχύ ανά μέτρο μήκους της ισοδύναμης γραμμικής πηγής που χρησιμοποιήθηκε ως πρότυπο.

Ο αριθμός των οχημάτων για κάθε τύπο καθορίζεται στο καθένα από τα τμήματα τροχιάς για το καθένα από τα χρονικά διαστήματα που πρόκειται να χρησιμοποιηθούν για τον υπολογισμό του θορύβου. Εκφράζεται ως ο μέσος όρος οχημάτων ανά ώρα, που προκύπτει από τη διαίρεση του συνολικού αριθμού των οχημάτων που ταξιδεύουν σε μια δεδομένη χρονική περίοδο με τη διάρκεια της εν λόγω χρονικής περιόδου σε ώρες (π.χ. 24 οχήματα σε 4 ώρες σημαίνει 6 οχήματα ανά ώρα). Χρησιμοποιούνται όλοι οι τύποι οχημάτων που κινούνται σε κάθε τμήμα τροχιάς.

Πίνακας [2.3.α]

Ταξινόμηση και περιγραφές για σιδηροδρομικά οχήματα

Ψηφίο	**1**	**2**	**3**	**4**
Περιγραφή	**Τύπος οχήματος**	**Αριθμός αξόνων ανά όχημα**	**Τύπος πέδης**	**Μέτρο σχετικό με τους τροχούς**
Επεξήγηση της περιγραφής	Γράμμα που περιγράφει τον τύπο	Ο πραγματικός αριθμός αξόνων	Γράμμα που περιγράφει τον τύπο πέδης	Γράμμα που περιγράφει τον τύπο του μέτρου περιορισμού θορύβου
Πιθανές περιγραφές	**h** όχημα υψηλής ταχύτητας (>200 km/h)	**1**	**c** πέδιλο από χυτοσίδηρο	**n** κανένα μέτρο
	m αυτοκινούμενες επιβατάμαξες	**2**	**k** πέδιλα από σύνθετο υλικό ή πυροσυσσωματωμένα μέταλλα	**d** αποσβεστήρες

▼**M2**

Ψηφίο	**1**	**2**	**3**	**4**
Περιγραφή	**Τύπος οχήματος**	**Αριθμός αξόνων ανά όχημα**	**Τύπος πέδης**	**Μέτρο σχετικό με τους τροχούς**
Επεξήγηση της περιγραφής	Γράμμα που περιγράφει τον τύπο	Ο πραγματικός αριθμός αξόνων	Γράμμα που περιγράφει τον τύπο πέδης	Γράμμα που περιγράφει τον τύπο του μέτρου περιορισμού θορύβου
	p ρυμουλκούμενες επιβατάμαξες	**3**	**n** πέδη χωρίς πέδιλα στην επιφάνεια κύλισης, π.χ. πέδη με δίσκο ή τύμπανο ή μαγνητική πέδη	**s** πετάσματα
	c αστικό τραμ ή υπόγειος σιδηρόδρομος ελαφρού τύπου αυτοκινούμενη και μη αυτοκινούμενη επιβατάμαξα	**4**		**o** άλλα
	d πετρελαιομηχανή	κ.λπ.		
	e ηλεκτροκίνητη μηχανή			
	a οποιαδήποτε γενική φορτάμαξα			
	o άλλα (π.χ. συντήρηση οχημάτων κ.λπ.)			

Ταξινόμηση των γραμμών και της δομής στήριξης

Οι υφιστάμενες γραμμές μπορεί να διαφέρουν, δεδομένου ότι υπάρχουν αρκετά στοιχεία που συμβάλλουν στις ηχητικές ιδιότητές τους και τις χαρακτηρίζουν. Οι τύποι γραμμών που χρησιμοποιούνται στην παρούσα μέθοδο αναφέρονται στον πίνακα [2.3.β] κατωτέρω. Ορισμένα από τα στοιχεία ασκούν μεγάλη επίδραση στις ακουστικές ιδιότητες, ενώ άλλα ασκούν μόνο δευτερεύουσα επίδραση. Σε γενικές γραμμές, τα σημαντικότερα στοιχεία που επηρεάζουν τις εκπομπές θορύβου σιδηροδρομικής κυκλοφορίας είναι: η τραχύτητα της κεφαλής της σιδηροτροχιάς, η ακαμψία του υποθέματος της σιδηροτροχιάς, η βάση της σιδηροτροχιάς, οι αρμοί της σιδηροτροχιάς και η ακτίνα καμπυλότητας της σιδηροτροχιάς. Εναλλακτικά, μπορεί να οριστεί το σύνολο των ιδιοτήτων της σιδηροτροχιάς και, στην περίπτωση αυτή, οι δύο ουσιώδεις ακουστικές παράμετροι είναι η τραχύτητα της κεφαλής της σιδηροτροχιάς και η τιμή απόσβεσης για τροχιά σύμφωνα με το πρότυπο ISO 3095, μαζί με την ακτίνα καμπυλότητας της σιδηροτροχιάς.

Ως τμήμα τροχιάς νοείται ένα μέρος μιας ενιαίας τροχιάς, σε σιδηροδρομική γραμμή ή σταθμό ή μηχανοστάσιο, επί του οποίου οι φυσικές ιδιότητες και τα βασικά δομικά στοιχεία της τροχιάς δεν μεταβάλλονται.

Ο πίνακας [2.3.β] καθορίζει μια κοινή ορολογία για την περιγραφή των τύπων τροχιάς που περιλαμβάνονται στη βάση δεδομένων πηγής.

▼**M2**

Πίνακας [2.3.β]

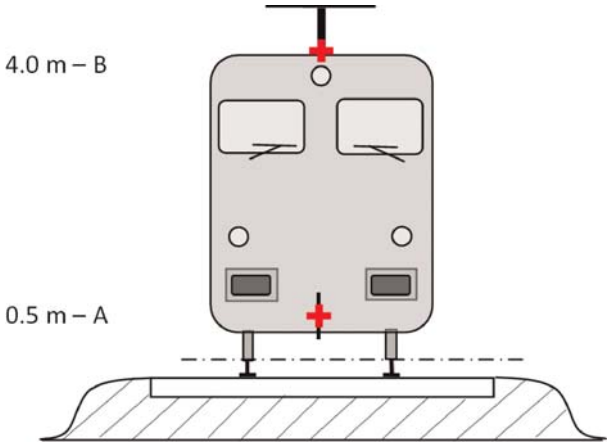
Ψηφίο	**1**	**2**	**3**	**4**	**5**	**6**
Περιγραφή	**Βάση σιδηροτροχιάς**	**Τραχύτητα κεφαλής σιδηροτροχιάς**	**Τύπος υποθέματος σιδηροτροχιάς**	**Πρόσθετα μέτρα**	**Αρμοί σιδηροτροχιάς**	**Καμπυλότητα**
Επεξήγηση της περιγραφής	Τύπος βάσης σιδηροτροχιάς	Δείκτης τραχύτητας	Αποτελεί ένδειξη της «ακουστικής» ακαμψίας	Γράμμα που περιγράφει την ακουστική διάταξη	Ύπαρξη αρμών και διάκενων	Δηλώνει την ακτίνα καμπυλότητας σε m
Επιτρεπόμενοι κωδικοί	**B** Σκύρα	**E** Καλά συντηρημένη και πολύ λεία	**S** Μαλακό (150-250 MN/m)	**N** Κανένα	**N** Κανένα	**N** Ευθεία τροχιά
	S Τροχιά επί πλακών	**M** Κανονικά συντηρημένη	**M** Μέτριο (250 έως 800 MN/m)	**D** Αποσβεστήρας σιδηροτροχιάς	**S** Μονός αρμός ή αλλαγή τροχιάς	**L** Χαμηλή (1 000-500 m)
	L Γέφυρα επί σκύρων	**N** Χωρίς καλή συντήρηση	**H** Άκαμπτο (800-1 000 MN/m)	**B** Χαμηλός φραγμός	**D** Δύο αρμοί ή αλλαγές τροχιάς ανά 100 m	**M** Μέτρια (μικρότερη από 500 m και μεγαλύτερη από 300 m)
	N Γέφυρα χωρίς σκύρα	**B** Χωρίς συντήρηση και σε κακή κατάσταση		**A** Πλάκα απορρόφησης σε τροχιά επί πλακών	**M** Άνω των δύο αρμών ή αλλαγών τροχιάς ανά 100 m	**H** Υψηλή (μικρότερη από 300 m)
	T Ενσωματωμένη σιδηροτροχιά			**E** Ενσωματωμένη γραμμή		
	O Άλλα			**O** Άλλα		

▼M2

Αριθμός και θέση των ισοδύναμων ηχητικών πηγών

Σχήμα [2.3.α]

Θέση ισοδύναμων πηγών θορύβου



Οι διάφορες ισοδύναμες γραμμικές πηγές θορύβου τοποθετούνται σε διάφορα ύψη και στο κέντρο της τροχιάς. Όλα τα ύψη αναφέρονται στο επίπεδο που εφάπτεται με τις δύο άνω επιφάνειες των δύο σιδηροτροχιών.

Οι ισοδύναμες πηγές περιλαμβάνουν διαφορετικές φυσικές πηγές (δείκτης p). Αυτές οι φυσικές πηγές κατατάσσονται σε διαφορετικές κατηγορίες ανάλογα με τον μηχανισμό δημιουργίας, και είναι οι εξής: 1) ο θόρυβος κύλισης (που περιλαμβάνει μεταξύ άλλων τους κραδασμούς της βάσης της σιδηροτροχιάς και τους κραδασμούς των τροχών, αλλά και τον θόρυβο της υπερκατασκευής των φορταμαξών)· 2) ο θόρυβος έλξης· 3) ο αεροδυναμικός θόρυβος· 4) ο κτυπογενής θόρυβος (από διασταυρώσεις, αλλαγές τροχιάς και διακλαδώσεις)· 5) ο θόρυβος στριγκλίσματος· και 6) ο θόρυβος που οφείλεται σε πρόσθετες επιδράσεις, όπως γέφυρες και κοιλαδογέφυρες.

1) Η τραχύτητα των τροχών και των κεφαλών της σιδηροτροχιάς, μέσω τριών τρόπων μετάδοσης στις ακτινοβολούσες επιφάνειες (σιδηροτροχιές, τροχοί και υπερκατασκευή), παράγει τον θόρυβο κύλισης. Ο θόρυβος κύλισης κατανέμεται σε h = 0,5 m (ακτινοβολούσα επιφάνεια A) και αναπαριστά τη συνεισφορά της τροχιάς, συμπεριλαμβανομένης της επίδρασης της επιφάνειας της τροχιάς, ιδίως δε των τροχιών επί πλακών (σύμφωνα με το τμήμα διάδοσης), τη συνεισφορά των τροχών και τη συνεισφορά της υπερκατασκευής του οχήματος στη δημιουργία του θορύβου (σε εμπορευματικές αμαξοστοιχίες).

2) Τα ύψη των ισοδύναμων πηγών όσον αφορά τον θόρυβο έλξης ποικίλλουν μεταξύ 0,5 m (πηγή A) και 4,0 m (πηγή B), ανάλογα με τη φυσική θέση του συγκεκριμένου δομικού στοιχείου. Πηγές όπως τα συστήματα μετάδοσης με οδοντωτούς τροχούς και οι ηλεκτροκινητήρες βρίσκονται συχνά σε ύψος 0,5 m (πηγή A). Οι περσίδες και τα ανοίγματα αερισμού μπορεί να βρίσκονται σε διάφορα ύψη, ενώ οι εξατμίσεις ντιζελοκίνητων οχημάτων βρίσκονται συχνά στο ύψος της οροφής 4,0 m (πηγή B). Άλλες πηγές έλξης, όπως οι ανεμιστήρες ή τα συγκροτήματα ντιζελοκινητήρων, μπορεί να βρίσκονται σε ύψος 0,5 m (πηγή A) ή 4,0 m (πηγή B). Εάν το ακριβές ύψος της πηγής βρίσκεται μεταξύ των υψών του μοντέλου, η ηχητική ενέργεια κατανέμεται αναλογικά στα ύψη της πλησιέστερης παρακείμενης πηγής.

   Για τον λόγο αυτόν, προβλέπονται δύο ύψη πηγής με την εν λόγω μέθοδο, στα 0,5 m (πηγή A) και στα 4,0 m (πηγή B), και η ισοδύναμη ακουστική ισχύς που συνδέεται με το κάθε ύψος κατανέμεται μεταξύ των δύο αναλόγως της συγκεκριμένης διάταξης των πηγών για τον τύπο της μονάδας.

▼**M2**

3) Οι επιδράσεις του αεροδυναμικού θορύβου συνδέονται με την πηγή στα 0,5 m (που αναπαριστά τα καλύμματα και τα πετάσματα, πηγή A) και με την πηγή στα 4,0 m (μοντελοποίηση όλης της οροφής και του παντογράφου, πηγή B). Η επιλογή των 4,0 m για την επίδραση του παντογράφου είναι γνωστό ότι αποτελεί απλό μοντέλο και πρέπει να εξεταστεί προσεκτικά εάν στόχος είναι η επιλογή κατάλληλου ύψους για το ηχοπέτασμα.

4) Ο κτυπογενής θόρυβος συνδέεται με την πηγή στα 0,5 m (πηγή A).

5) Ο θόρυβος στριγκλίσματος συνδέεται με τις πηγές στα 0,5 m (πηγή A).

6) Ο θόρυβος από γέφυρες συνδέεται με την πηγή στα 0,5 m (πηγή A).

2.3.2. *Εκπομπές ηχητικής ισχύος*

Γενικές εξισώσεις

Μεμονωμένο όχημα

Το μοντέλο για τον θόρυβο σιδηροδρομικής κυκλοφορίας, κατ' αναλογία του θορύβου οδικής κυκλοφορίας, περιγράφει τις εκπομπές ηχητικής ισχύος θορύβου ενός ειδικού συνδυασμού τύπου οχήματος και τύπου τροχιάς που πληροί μια δέσμη απαιτήσεων οι οποίες περιγράφονται στην ταξινόμηση του οχήματος και της τροχιάς, όσον αφορά ένα σύνολο ηχητικής ισχύος ανά όχημα ($L_{W,0}$).

Ροή της κυκλοφορίας

Οι εκπομπές θορύβου από τη ροή της κυκλοφορίας σε κάθε τροχιά αναπαριστώνται από ένα σύνολο δύο γραμμικών πηγών που χαρακτηρίζονται από την κατευθυντική ηχητική ισχύ ανά μέτρο και ανά ζώνη συχνοτήτων. Αυτό αντιστοιχεί στο άθροισμα των ηχητικών εκπομπών των μεμονωμένων οχημάτων που διέρχονται στο πλαίσιο της ροής της κυκλοφορίας και, όταν πρόκειται συγκεκριμένα για οχήματα εν στάσει, λαμβάνει υπόψη τον χρόνο που δαπανούν τα οχήματα στο υπό εξέταση τμήμα της σιδηροδρομικής γραμμής.

Η κατευθυντική ηχητική ισχύς ανά μέτρο και ανά ζώνη συχνοτήτων, που οφείλεται σε όλα τα οχήματα που διέρχονται από κάθε τμήμα τροχιάς για τον τύπο τροχιάς (j), ορίζεται:

— για κάθε ζώνη συχνοτήτων (i),

— για κάθε συγκεκριμένο ύψος πηγής (h) (για πηγές στα 0,5 m h = 1, στα 4,0 m h = 2),

και είναι το άθροισμα των ενεργειών όλων των συνεισφορών από όλα τα οχήματα που κινούνται στο συγκεκριμένο j-οστό τμήμα της τροχιάς. Οι συνεισφορές αυτές προέρχονται:

— από όλους τους τύπους οχημάτων (t),

— σε διαφορετικές ταχύτητες (s),

— υπό τις συγκεκριμένες συνθήκες λειτουργίας (σταθερή ταχύτητα) (c),

— για κάθε τύπο φυσικής πηγής (κύλιση, κτύποι, στριγκλίσματα, έλξη, αεροδυναμικές παράμετροι και πηγές που ασκούν πρόσθετη επίδραση, π.χ. ο θόρυβος από γέφυρες) (p).

Για τον υπολογισμό της κατευθυντικής ηχητικής ισχύος ανά μέτρο (εισαγωγή στο τμήμα διάδοσης) που οφείλεται στη μέση σύνθεση της κυκλοφορίας στο j-οστό τμήμα της τροχιάς, χρησιμοποιείται ο εξής τύπος:

▼M2

$$L_{W',eq,T,dir,i} = 10 \cdot \lg\left(\sum_{x=1}^{X} 10^{L_{w',eq,line,x}/10}\right) \qquad (2.3.1)$$

όπου

T_{ref} = η χρονική περίοδος αναφοράς για την οποία εξετάζεται η μέση κυκλοφορία

x = ο συνολικός αριθμός των υφιστάμενων συνδυασμών i, t, s, c, p για κάθε j-οστό τμήμα της τροχιάς

t = ο δείκτης των τύπων οχημάτων στο j-οστό τμήμα της τροχιάς

s = ο δείκτης της ταχύτητας της αμαξοστοιχίας: ο αριθμός των υφιστάμενων δεικτών είναι ίσος με τον αριθμό των διαφόρων μέσων ταχυτήτων αμαξοστοιχίας στο j-οστό τμήμα της τροχιάς

c = ο δείκτης για τις συνθήκες λειτουργίας: 1 (για συνεχή ταχύτητα), 2 (για βραδυπορία)

p = ο δείκτης για τύπους φυσικών πηγών: 1 (για τον θόρυβο κύλισης και τον κτυπογενή θόρυβο), 2 (στριγκλίσματα σε στροφές), 3 (θόρυβος έλξης), 4 (αεροδυναμικός θόρυβος), 5 (πρόσθετες επιδράσεις)

$L_{W',eq,line,x}$ = x-οστή κατευθυντική ηχητική ισχύς ανά μέτρο για γραμμική πηγή συνδυασμού των *t, s, c, p* σε κάθε j-οστό τμήμα της τροχιάς

Εάν θεωρήσουμε σταθερή ροή Q οχημάτων ανά ώρα, με μέση ταχύτητα v, θα υπάρχει κατά μέσο όρο σε κάθε χρονική στιγμή ισοδύναμος αριθμός Q/v οχημάτων ανά μονάδα μήκους του σιδηροδρομικού τμήματος. Οι εκπομπές θορύβου της ροής οχημάτων από την άποψη της κατευθυντικής ηχητικής ισχύος ανά μέτρο $L_{W',eq,line}$ [εκφραζόμενες σε dB/m (re. 10^{-12} W)] ενσωματώνονται ως εξής:

$$L_{W',eq,line,i}(\psi,\varphi) = L_{W,0,dir,i}(\psi,\varphi) + 10 \times \lg\left(\frac{Q}{1\,000v}\right) (\text{για } c{=}1) \qquad (2.3.2)$$

όπου

— Q είναι ο μέσος αριθμός οχημάτων ανά ώρα στο j-οστό τμήμα της τροχιάς για τον τύπο οχήματος t, για μέση ταχύτητα αμαξοστοιχίας s και συνθήκες λειτουργίας c

— v είναι η ταχύτητα στο j-οστό τμήμα της τροχιάς για τον τύπο οχήματος **t** και για μέση ταχύτητα αμαξοστοιχίας s

— $L_{W,0,dir}$ είναι η στάθμη της κατευθυντικής ηχητικής ισχύος (κύλιση, κτύποι, στριγκλίσματα, πέδηση, έλξη, αεροδυναμικές παράμετροι, άλλες επιδράσεις) ενός μεμονωμένου οχήματος στις κατευθύνσεις ψ, φ, οριζόμενη αναφορικά με την κατεύθυνση κίνησης του οχήματος (βλ. σχήμα [2.3.β])

Σε περίπτωση σταθερής πηγής, π.χ. κατά τη βραδυπορία, θεωρείται ότι το όχημα παραμένει για συνολικό χρονικό διάστημα T_{idle} σε μια θέση εντός ενός τμήματος τροχιάς μήκους L. Συνεπώς, όταν T_{ref} είναι η χρονική περίοδος αναφοράς για την αξιολόγηση του θορύβου (π.χ. 12 ώρες, 4 ώρες, 8 ώρες), η κατευθυντική ηχητική ισχύς ανά μονάδα μήκους στο υπό εξέταση τμήμα τροχιάς ορίζεται ως εξής:

▼**M2**

$$L_{W',eq,line,i}(\psi,\varphi) = L_{W,0,dir,i}(\psi,\varphi) + 10 \times \lg\left(\frac{T_{idle}}{T_{ref}L}\right) (\text{για } c = 2) \quad (2.3.4)$$

Σε γενικές γραμμές, η κατευθυντική ηχητική ισχύς λαμβάνεται από κάθε συγκεκριμένη πηγή ως εξής:

$$L_{W,0,dir,i}(\psi,\varphi) = L_{W,0,i} + \Delta L_{W,dir,vert,i} + \Delta L_{W,dir,hor,i} \quad (2.3.5)$$

όπου

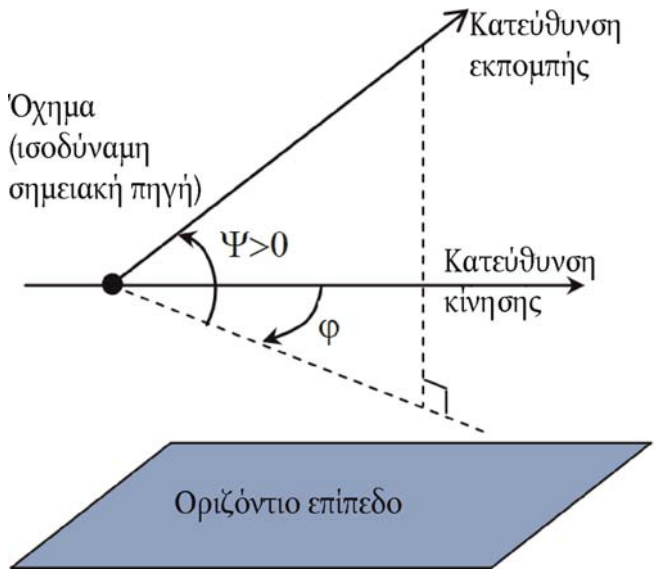
— $\Delta L_{W,dir,vert,i}$ είναι η συνάρτηση διόρθωσης της κάθετης κατευθυντικότητας (αδιάστατη) του ψ (σχήμα [2.3.β])

— $\Delta L_{W,dir,hor,i}$ είναι η συνάρτηση διόρθωσης της οριζόντιας κατευθυντικότητας (αδιάστατη) του φ (σχήμα [2.3.β])

Και όπου το $L_{W,0,dir,i(\psi,\Phi)}$ εκφράζεται, αφού ληφθεί σε τριτοκταβικές ζώνες, σε οκταβικές ζώνες, με την ενεργητική πρόσθεση κάθε σχετικής τριτοκταβικής ζώνης στην αντίστοιχη οκταβική ζώνη.

Σχήμα [2.3.β]

Γεωμετρικός ορισμός



Για τους σκοπούς των υπολογισμών, η ισχύς της πηγής εκφράζεται συγκεκριμένα από την άποψη της κατευθυντικής ηχητικής ισχύος ανά 1 m τροχιάς $L_{W',tot,dir,i}$ για να ληφθεί υπόψη η κατευθυντικότητα των πηγών στην κάθετη και οριζόντια κατεύθυνση, μέσω των συμπληρωματικών διορθώσεων.

Εξετάζονται αρκετές $L_{W,0,dir,i}$ *(ψ, φ)* για κάθε συνδυασμό οχήματος — τροχιάς — ταχύτητας — συνθηκών λειτουργίας:

— για 1/3 τριτοκταβικής ζώνης συχνοτήτων *(i)*

— για κάθε τμήμα τροχιάς *(j)*

— ύψος πηγής *(h)* (για πηγές στα 0,5 m h = 1, στα 4,0 m h = 2)

— κατευθυντικότητα *(d)* της πηγής

▼M2

Εξετάζεται ένα σύνολο $L_{W,0,dir,i}$ (ψ, φ) για κάθε συνδυασμό οχήματος — τροχιάς — ταχύτητας — συνθηκών λειτουργίας, για κάθε τμήμα τροχιάς, για τα ύψη που αντιστοιχούν σε $h = 1$ και $h = 2$ και για την κατευθυντικότητα.

Θόρυβος κύλισης

Η συνεισφορά του οχήματος και η συνεισφορά της τροχιάς στον θόρυβο κύλισης διαχωρίζονται τώρα σε τέσσερα ουσιώδη στοιχεία: την τραχύτητα των τροχών, την τραχύτητα της σιδηροτροχιάς, τη συνάρτηση μετάδοσης του οχήματος στους τροχούς και στην υπερκατασκευή (θάλαμοι), και τη συνάρτηση μετάδοσης τροχιάς. Η τραχύτητα των τροχών και της σιδηροτροχιάς αναπαριστούν την αιτία πρόκλησης των κραδασμών στο σημείο επαφής μεταξύ της τροχιάς και του τροχού, ενώ οι συναρτήσεις μετάδοσης είναι δύο εμπειρικές ή μοντελοποιημένες συναρτήσεις που αναπαριστούν το σύνολο των περίπλοκων φαινομένων των μηχανικών κραδασμών και της παραγωγής ήχου στις επιφάνειες του τροχού, της τροχιάς, του στρωτήρα και της υποδομής της τροχιάς. Ο διαχωρισμός αυτός αντικατοπτρίζει τα υλικά στοιχεία που αποδεικνύουν ότι η τραχύτητα που υφίσταται σε μια σιδηροτροχιά δύναται να προκαλέσει κραδασμούς στην σιδηροτροχιά, αλλά και κραδασμούς στον τροχό και αντιστρόφως. Η παράλειψη μίας από αυτές τις τέσσερις παραμέτρους θα εμπόδιζε την αποσύνδεση της ταξινόμησης των σιδηροτροχιών και των αμαξοστοιχιών.

Τραχύτητα τροχών και σιδηροτροχιάς

Ο θόρυβος κύλισης προκαλείται κυρίως από την τραχύτητα των τροχών και της σιδηροτροχιάς στο εύρος μήκους κύματος από 5 έως 500 mm.

Ορισμός

Η στάθμη τραχύτητας L_r ορίζεται ως το δεκαπλάσιο του δεκαδικού λογαρίθμου του τετραγώνου της μέσης τετραγωνικής τιμής r^2 της τραχύτητας της επιφάνειας κύλισης μιας σιδηροτροχιάς ή ενός τροχού στην κατεύθυνση της κίνησης (επίμηκες επίπεδο), μετρούμενη σε μm επί ορισμένου μήκους σιδηροτροχιάς ή επί της συνολικής διαμέτρου του τροχού, διαιρούμενη διά του τετραγώνου της τιμής αναφοράς r_0^2:

$$L_r = 10 \times \lg\left(\frac{r}{r_0}\right)^2 \text{ dB} \qquad (2.3.6)$$

όπου

$r_0 = 1$ μm

r = πραγματική τιμή της διαφοράς κάθετης μετατόπισης της επιφάνειας επαφής με το μέσο επίπεδο

Η στάθμη τραχύτητας L_r λαμβάνεται συνήθως ως φάσμα μήκους κύματος λ και μετατρέπεται σε φάσμα συχνοτήτων $f = v/\lambda$, όπου f είναι η κεντρική ζώνη συχνοτήτων μιας δεδομένης τριτοκταβικής ζώνης σε Hz, λ είναι το μήκος κύματος σε m, ►C1 και v είναι η ταχύτητα της αμαξοστοιχίας σε m/s ◄. Το φάσμα τραχύτητας ως συνάρτηση της συχνότητας μετατοπίζεται κατά μήκος του άξονα συχνότητας όταν διαφέρουν οι ταχύτητες. Σε γενικές περιπτώσεις, μετά τη μετατροπή του φάσματος συχνοτήτων βάσει της ταχύτητας, είναι αναγκαία η λήψη νέων τιμών φασμάτων τριτοκταβικών ζωνών που αποτελούν τον μέσο όρο μεταξύ δύο αντίστοιχων τριτοκταβικών ζωνών στο πεδίο του μήκους κύματος. Για να αξιολογηθεί το φάσμα συχνοτήτων της συνολικής πραγματικής τραχύτητας που αντιστοιχεί στην κατάλληλη ταχύτητα της αμαξοστοιχίας, υπολογίζεται ενεργητικά και αναλογικά ο μέσος όρος των δύο αντίστοιχων τριτοκταβικών συχνοτήτων που ορίζονται στο πεδίο μήκους κύματος.

Η στάθμη τραχύτητας της σιδηροτροχιάς (τραχύτητα σιδηροτροχιάς) για την i-οστή περιοχή κυματικών αριθμών ορίζεται ως $L_{r,TR,i}$

▼M2

Κατ' αναλογία, ***η στάθμη ταχύτητας τροχού*** (ταχύτητα οχήματος) για την *i*-οστή περιοχή κυματικών αριθμών ορίζεται ως $L_{r,VEH,i}$

Η συνολική και πραγματική στάθμη ταχύτητας για την περιοχή κυματικών αριθμών i ($L_{R,tot,i}$) ορίζεται ως το άθροισμα ενέργειας για τις στάθμες ταχύτητας της σιδηροτροχιάς και των τροχών συν το φίλτρο επαφής ►C1 $A_3(\lambda)$ ◄ προκειμένου να ληφθεί υπόψη το φαινόμενο φιλτραρίσματος του σημείου επαφής μεταξύ της τροχιάς και του τροχού, και είναι σε dB:

$$L_{R,TOT,i} = 10 \cdot \lg(10^{L_{r,TR,i}/10} + 10^{L_{r,VEH,i}/10}) + A_{3,i} \qquad (2.3.7)$$

όταν εκφράζεται ως συνάρτηση της *i*-οστής περιοχής κυματικών αριθμών που αντιστοιχεί στο μήκος κύματος λ.

Το φίλτρο επαφής εξαρτάται από τον τύπο της τροχιάς και του τροχού και από το φορτίο.

Στην εν λόγω μέθοδο χρησιμοποιείται η συνολική πραγματική ταχύτητα για το *j*-οστό τμήμα της τροχιάς και για κάθε τύπο οχήματος *t* για την αντίστοιχη ταχύτητα *v*.

Συνάρτηση μετάδοσης οχήματος, τροχιάς και υπερκατασκευής

Ορίζονται τρεις συναρτήσεις μετάδοσης που είναι ανεξάρτητες από την ταχύτητα: η $L_{H,TR,i}$, η $L_{H,VEH,i}$ και η $L_{H,VEH,SUP,i}$: η πρώτη για κάθε *j*-οστό τμήμα της τροχιάς και οι άλλες δύο για κάθε τύπο οχήματος *t*. Αυτές συσχετίζουν τη συνολική πραγματική στάθμη ταχύτητας με την ηχητική ισχύ της σιδηροτροχιάς, των τροχών και της υπερκατασκευής, αντίστοιχα.

Η συνεισφορά της υπερκατασκευής εξετάζεται μόνο για τις φορτάμαξες και, ως εκ τούτου, μόνο για οχήματα τύπου «α».

Για τον θόρυβο κύλισης, συνεπώς, η συνεισφορά της τροχιάς και η συνεισφορά του οχήματος περιγράφονται πλήρως από τις εν λόγω συναρτήσεις μετάδοσης και με τη συνολική πραγματική στάθμη ταχύτητας. Όταν μια αμαξοστοιχία βρίσκεται σε λειτουργία βραδυπορίας, ο θόρυβος κύλισης πρέπει να αποκλειστεί.

Για την ηχητική ισχύ ανά όχημα ο θόρυβος κύλισης υπολογίζεται στο ύψος του άξονα και λαμβάνει ως δεδομένα τη συνολική πραγματική στάθμη ταχύτητας $L_{R,TOT,i}$ ως συνάρτηση της ταχύτητας του οχήματος *v*, τις συναρτήσεις μετάδοσης τροχιάς, οχήματος και υπερκατασκευής $L_{H,TR,i}$, $L_{H,VEH,i}$ και $L_{H,VEH,SUP,i}$, και τον συνολικό αριθμό αξόνων N_a:

για $h = 1$:

$$L_{W,0,TR,i} = L_{R,TOT,i} + L_{H,TR,i} + 10 \times \lg(N_a) \quad \text{dB} \qquad (2.3.8)$$

$$L_{W,0,VEH,i} = L_{R,TOT,i} + L_{H,VEH,i} + 10 \times \lg(N_a) \quad \text{dB} \qquad (2.3.9)$$

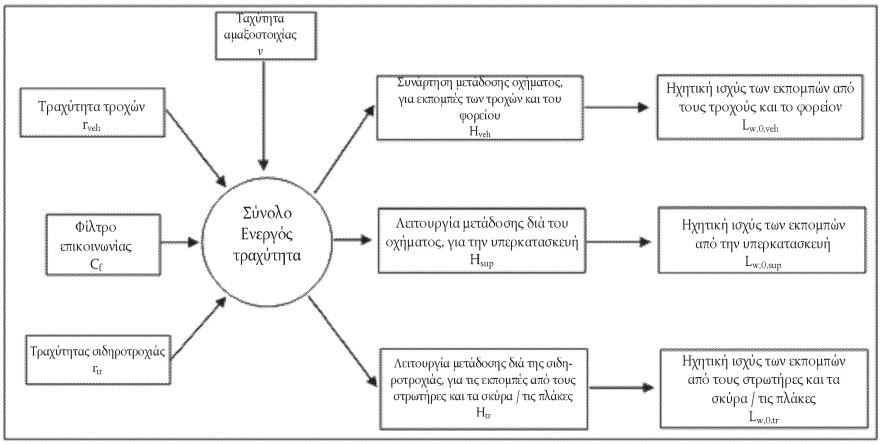
$$L_{W,0,VEHSUP,i} = L_{R,TOT,i} + L_{H,VEHSUP,i} + 10 \times \lg(N_a) \quad \text{dB} \qquad (2.3.10)$$

όπου N_a είναι ο αριθμός αξόνων ανά όχημα για τον *t*-οστό τύπο οχήματος.

▼**M2**

Σχήμα [2.3.γ]

Πρότυπο χρήσης των διαφόρων ορισμών των συναρτήσεων ταχύτητας και μεταφοράς



Χρησιμοποιείται ελάχιστη ταχύτητα 50 km/h (30 km/h μόνο για τραμ και υπόγειο σιδηρόδρομο ελαφρού τύπου) για τον καθορισμό της συνολικής πραγματικής ταχύτητας και, ως εκ τούτου, της ηχητικής ισχύος των οχημάτων (η ταχύτητα αυτή δεν επηρεάζει τον υπολογισμό της ροής οχημάτων) προκειμένου να αντισταθμιστεί το δυνητικό σφάλμα που εισάγεται από την απλοποίηση του ορισμού του θορύβου κύλισης, του ορισμού του θορύβου πέδησης και του ορισμού του κτυπογενούς θορύβου από διασταυρώσεις και αλλαγές τροχιάς.

Κτυπογενής θόρυβος (διασταυρώσεις, αλλαγές τροχιάς και διακλαδώσεις)

Ο κτυπογενής θόρυβος δύναται να προκληθεί από διασταυρώσεις, αλλαγές τροχιάς και αρμούς της σιδηροτροχιάς ή κλειδιά. Μπορεί να διαφέρει σε μέγεθος και μπορεί να κυριαρχεί επί του θορύβου κύλισης. Ο κτυπογενής θόρυβος εξετάζεται για τροχιές με αρμούς. Θα πρέπει να αποφεύγεται η μοντελοποίηση για τον κτυπογενή θόρυβο που προκαλείται από αλλαγές τροχιάς, διασταυρώσεις και αρμούς σε τμήματα τροχιάς με ταχύτητα μικρότερη από 50 km/h (30 km/h μόνο για τραμ και υπόγειο σιδηρόδρομο ελαφρού τύπου), δεδομένου ότι η ελάχιστη ταχύτητα των 50 km/h (30 km/h μόνο για τραμ και υπόγειο σιδηρόδρομο ελαφρού τύπου) χρησιμοποιείται για να συμπεριλάβει περισσότερες επιδράσεις σύμφωνα με την περιγραφή του κεφαλαίου για τον θόρυβο κύλισης. Η μοντελοποίηση του κτυπογενούς θορύβου πρέπει να αποφεύγεται υπό συνθήκες κύλισης $c = 2$ (λειτουργία βραδυπορίας).

Ο κτυπογενής θόρυβος περιλαμβάνεται στον θόρυβο κύλισης (ενέργεια) με την προσθήκη συμπληρωματικής πλασματικής στάθμης κτυπογενούς τραχύτητας στη συνολική πραγματική στάθμη τραχύτητας σε κάθε συγκεκριμένο j-οστό τμήμα της τροχιάς στο οποίο υφίσταται. Σε αυτή την περίπτωση χρησιμοποιείται νέα $L_{R,TOT\ +\ IMPACT,i}$ αντί της $L_{R,TOT,i}$ και τότε αυτή ισούται με:

$$L_{R,TOT+IMPACT,i} = 10 \times \lg(10^{L_{R,TOT,i}/10} + 10^{L_{R,IMPACT,i}/10}) \quad \text{dB} \quad (2.3.11)$$

$L_{R,IMPACT,i}$ είναι το φάσμα τριτοκταβικών ζωνών (ως συνάρτηση της συχνότητας). Για τη λήψη αυτού του φάσματος συχνοτήτων, δίνεται ένα φάσμα ως συνάρτηση του μήκους κύματος λ και μετατρέπεται στο απαιτούμενο φάσμα ως συνάρτηση της συχνότητας που χρησιμοποιεί τον τύπο $\lambda = v/f$, όπου f είναι η κεντρική συχνότητα της τριτοκταβικής ζώνης σε Hz ►**C1** και v είναι η ταχύτητα του s-οστού οχήματος του t-οστού τύπου οχήματος σε m/s ◄.

Ο κτυπογενής θόρυβος εξαρτάται από την ένταση και τον αριθμό των κτύπων ανά μονάδα μήκους ή πυκνότητα αρμών και, ως εκ τούτου, όταν δίνονται πολλαπλοί κτύποι, η στάθμη της κτυπογενούς τραχύτητας που χρησιμοποιείται στην ως άνω εξίσωση υπολογίζεται ως εξής:

▼M2

$$L_{R,IMPACT,i} = L_{R,IMPACT-SINGLE,i} + 10 \times \lg\left(\frac{n_l}{0{,}01}\right) \quad \text{dB} \qquad (2.3.12)$$

όπου $L_{R,IMPACT-SINGLE,i}$ είναι η στάθμη κτυπογενούς τραχύτητας όπως δίνεται για έναν μεμονωμένο κτύπο και n_l είναι η πυκνότητα των αρμών.

Η προεπιλεγμένη στάθμη κτυπογενούς τραχύτητας δίνεται για πυκνότητα αρμών n_l = 0,01 m^{-1}, δηλαδή έναν αρμό ανά 100 m τροχιάς. Σε περιπτώσεις όπου διαφέρει ο αριθμός των αρμών, γίνεται κατά προσέγγιση υπολογισμός με προσαρμογή της πυκνότητας των αρμών n_l. Πρέπει να σημειωθεί ότι, κατά τη μοντελοποίηση της χάραξης και της κατάτμησης της τροχιάς, λαμβάνεται υπόψη η πυκνότητα των σιδηροδρομικών αρμών, δηλαδή ίσως απαιτείται να ληφθεί υπόψη ένα διακριτό τμήμα πηγής για ένα τμήμα της τροχιάς που περιλαμβάνει περισσότερους αρμούς. Η $L_{W,0}$ της εισφοράς της τροχιάς, του τροχού/φορείου και της υπερκατασκευής αυξάνεται μέσω της $L_{R,IMPACT,i}$ για +/– 50 m πριν και μετά τον αρμό της σιδηροτροχιάς. Σε περίπτωση σειράς αρμών, η αύξηση αυτή επεκτείνεται μεταξύ – 50 m πριν από τον πρώτο αρμό και + 50 m μετά τον τελευταίο αρμό.

Η δυνατότητα εφαρμογής των εν λόγω φασμάτων ηχητικής ισχύος υποβάλλεται κανονικά σε επιτόπια επαλήθευση.

Όταν πρόκειται για τροχιές με αρμούς, χρησιμοποιείται προεπιλεγμένη τιμή n_l 0,01.

Στριγκλίσματα

Τα στριγκλίσματα στις στροφές αποτελούν ειδική πηγή, που αφορά μόνο τις στροφές και, ως εκ τούτου, έχουν τοπικό χαρακτήρα. Απαιτείται κατάλληλη περιγραφή, καθώς η πηγή αυτή μπορεί να είναι σημαντική. Τα στριγκλίσματα στις στροφές εξαρτώνται γενικά από την καμπυλότητα, τις συνθήκες τριβής, την ταχύτητα της αμαξοστοιχίας και τη γεωμετρία και τη δυναμική του συνόλου «τροχιά-τροχός». Το επίπεδο εκπομπών που πρέπει να χρησιμοποιείται καθορίζεται για στροφές με ακτίνα μικρότερη ή ίση με 500 m, και για πιο κλειστές στροφές και εξόδους κλειδιών με ακτίνα μικρότερη από 300 m. Οι εκπομπές θορύβου θα πρέπει να αφορούν ειδικά κάθε τύπο τροχαίου υλικού, εφόσον ορισμένοι τύποι τροχών και φορείων δύνανται να είναι σημαντικά λιγότερο επιρρεπείς σε στριγκλίσματα σε σύγκριση με άλλους τύπους.

Η δυνατότητα εφαρμογής των εν λόγω φασμάτων ηχητικής ισχύος υποβάλλεται κανονικά σε επιτόπια επαλήθευση, ιδίως για το τραμ.

Εφαρμόζοντας μια απλή προσέγγιση, ο θόρυβος στριγκλίσματος υπολογίζεται με την προσθήκη 8 dB για R < 300 m και 5 dB για 300 m < R < 500 m στα φάσματα ηχητικής ισχύος του θορύβου κύλισης για όλες τις συχνότητες. Η συνεισφορά του θορύβου στριγκλίσματος εφαρμόζεται για τμήματα σιδηροδρομικής τροχιάς όπου η ακτίνα βρίσκεται εντός του προαναφερθέντος εύρους τιμών τουλάχιστον για μήκος τροχιάς 50 m.

Θόρυβος έλξης

Μολονότι ο θόρυβος έλξης είναι σε γενικές γραμμές συγκεκριμένος για κάθε χαρακτηριστική κατάσταση λειτουργίας, δηλαδή για σταθερή ταχύτητα, επιβράδυνση, επιτάχυνση και βραδυπορία, οι μόνες δύο καταστάσεις που μοντελοποιούνται είναι η σταθερή ταχύτητα (που ισχύει και όταν η αμαξοστοιχία επιβραδύνει ή επιταχύνει) και η βραδυπορία. Η μοντελοποιημένη ισχύς πηγής αντιστοιχεί μόνο σε καταστάσεις μέγιστου φορτίου, από τις οποίες προκύπτει το εξής αποτέλεσμα $L_{W,0,const,i}$ = $L_{W,0,idling,i}$. Επίσης, η $L_{W,0,idling,i}$ αντιστοιχεί στη συνεισφορά όλων των υλικών πηγών ενός δεδομένου οχήματος που μπορούν να αποδοθούν σε συγκεκριμένο ύψος, όπως περιγράφεται στην ενότητα 2.3.1.

▼M2

Η $L_{W,0,idling,i}$ εκφράζεται ως στατική πηγή θορύβου σε βραδυπορία, για το διάστημα κατά το οποίο διαρκεί η βραδυπορία, και χρησιμοποιείται μοντελοποιημένη ως σταθερή σημειακή πηγή, όπως περιγράφεται στο επόμενο κεφάλαιο για τον βιομηχανικό θόρυβο. Εξετάζεται μόνο αν οι αμαξοστοιχίες είναι σε βραδυπορία για διάστημα άνω της 0,5 ώρας.

Είτε μπορούν οι ποσότητες αυτές να ληφθούν από μετρήσεις όλων των πηγών σε κάθε κατάσταση λειτουργίας είτε μπορούν οι μερικές πηγές να χαρακτηριστούν μεμονωμένα, με καθορισμό της εξάρτησής τους από τις παραμέτρους και της σχετικής ισχύος τους. Αυτό μπορεί να γίνει μέσω μετρήσεων σε όχημα εν στάσει, μεταβάλλοντας τις ταχύτητες άξονα του ελκτικού υλικού, σύμφωνα με το πρότυπο ISO 3095:2005. Ανάλογα με την περίπτωση, πρέπει να χαρακτηριστούν διάφορες πηγές θορύβου έλξης που ίσως δεν εξαρτώνται όλες άμεσα από την ταχύτητα της αμαξοστοιχίας:

— ο θόρυβος από το σύστημα κίνησης, λόγου χάρη από τους ντιζελοκινητήρες (συμπεριλαμβανομένης της εισαγωγής, των καυσαερίων και του συγκροτήματος κινητήρα), από το σύστημα μετάδοσης με οδοντωτούς τροχούς, από τις ηλεκτρικές γεννήτριες, που εξαρτάται κυρίως από τον αριθμό στροφών ανά λεπτό (rpm) του κινητήρα, και από ηλεκτρικές πηγές, λόγου χάρη από τους μετατροπείς, που δύνανται να εξαρτώνται κυρίως από το φορτίο,

— ο θόρυβος από ανεμιστήρες και συστήματα ψύξης, που εξαρτάται από τον αριθμό στροφών ανά λεπτό (rpm)· σε ορισμένες περιπτώσεις οι ανεμιστήρες δύνανται να συνδεθούν απευθείας στο σύστημα μετάδοσης,

— διαλείπουσες πηγές, όπως συμπιεστές, βαλβίδες κ.λπ., με χαρακτηριστική διάρκεια λειτουργίας και αντίστοιχη διόρθωση κύκλου λειτουργίας για τις εκπομπές θορύβου.

Δεδομένου ότι οι πηγές αυτές δύνανται να συμπεριφέρονται με διαφορετικό τρόπο σε κάθε κατάσταση λειτουργίας, ο θόρυβος έλξης πρέπει να καθορίζεται αναλόγως. Η ισχύς πηγής λαμβάνεται από μετρήσεις υπό ελεγχόμενες συνθήκες. Σε γενικές γραμμές, οι σιδηροδρομικές μηχανές τείνουν να παρουσιάζουν μεγαλύτερη διακύμανση φορτίου, καθώς ο αριθμός των ρυμουλκούμενων οχημάτων, και, ως εκ τούτου, η ισχύς εξόδου, δύνανται να διαφέρουν σημαντικά, ενώ ο καθορισμός του φορτίου είναι καλύτερος για τις αμαξοστοιχίες σταθερής σύνθεσης όπως οι ηλεκτροκίνητες μονάδες (EMU), οι ντιζελοκίνητες μονάδες (DMU) και οι αμαξοστοιχίες υψηλών ταχυτήτων.

Δεν είναι δυνατόν να συνδεθεί εκ των προτέρων η ηχητική ισχύς της πηγής με τα ύψη πηγής, και η επιλογή αυτή εξαρτάται από τον συγκεκριμένο θόρυβο και όχημα που αξιολογείται. Θα πρέπει να διαμορφωθούν στην πηγή A (h = 1) και στην πηγή B (h = 2).

Αεροδυναμικός θόρυβος

Ο αεροδυναμικός θόρυβος συνδέεται μόνο με υψηλές ταχύτητες άνω των 200 km/h και, ως εκ τούτου, πρέπει πρώτα να επαληθευτεί αν είναι πράγματι απαραίτητος για λόγους εφαρμογής. Εάν οι συναρτήσεις τραχύτητας και μετάδοσης του θορύβου κύλισης είναι γνωστές, είναι δυνατή η παρέκτασή του σε υψηλότερες ταχύτητες και μπορεί να γίνει σύγκριση με τα υφιστάμενα δεδομένα υψηλών ταχυτήτων προκειμένου να εξακριβωθεί αν ο αεροδυναμικός θόρυβος παράγει υψηλότερα επίπεδα. Εάν οι ταχύτητες αμαξοστοιχίας σε δίκτυο κυμαίνονται από 200 km/h έως 250 km/h, σε ορισμένες περιπτώσεις ίσως δεν είναι απαραίτητο να συμπεριληφθεί ο αεροδυναμικός θόρυβος, ανάλογα με τον σχεδιασμό του οχήματος.

Η εισφορά του αεροδυναμικού θορύβου δίνεται ως συνάρτηση της ταχύτητας:

$$L_{W,0,i} = L_{W,0,1,i}(v_0) + \alpha_{1,i} \times \lg\left(\frac{v}{v_0}\right) \quad \text{dB} \quad \text{Για h = 1} \qquad (2.3.13)$$

▼M2

$$L_{W,0,i} = L_{W,0,2,i}(v_0) + \alpha_{2,i} \times \lg\left(\frac{v}{v_0}\right) \quad \text{dB} \quad \text{Για h = 2} \qquad (2.3.14)$$

όπου

v_0 είναι η ταχύτητα στην οποία ο αεροδυναμικός θόρυβος κυριαρχεί και ορίζεται στα 300 km/h

$L_{W,0,1,i}$ είναι ηχητική ισχύς αναφοράς που καθορίζεται από δύο ή περισσότερα σημεία μέτρησης, για πηγές σε γνωστά ύψη πηγής, π.χ. στο ύψος του πρώτου φορείου

$L_{W,0,2,i}$ είναι ηχητική ισχύς αναφοράς που καθορίζεται από δύο ή περισσότερα σημεία μέτρησης, για πηγές σε γνωστά ύψη πηγής, π.χ. στα ύψη της υποδοχής του παντογράφου

$\alpha_{1,i}$ είναι συντελεστής που καθορίζεται από δύο ή περισσότερα σημεία μέτρησης, για πηγές σε γνωστά ύψη πηγής, π.χ. στο ύψος του πρώτου φορείου

$\alpha_{2,i}$ είναι συντελεστής που καθορίζεται από δύο ή περισσότερα σημεία μέτρησης, για πηγές σε γνωστά ύψη πηγής, π.χ. στα ύψη της υποδοχής του παντογράφου.

Κατευθυντικότητα πηγής

Η οριζόντια κατευθυντικότητα $\Delta L_{W,dir,hor,i}$ σε dB δίνεται στο οριζόντιο επίπεδο και δύναται να θεωρηθεί εξ ορισμού ότι αποτελεί δίπολο για τις επιδράσεις από την κύλιση, τους κτύπους (στους αρμούς των τροχιών κ.λπ.), τα στριγκλίσματα, την πέδηση, τους ανεμιστήρες και τις αεροδυναμικές παραμέτρους, και δίνεται για κάθε *i*-οστή ζώνη συχνοτήτων ως εξής:

$$\Delta L_{W,dir,hor,i} = 10 \times \lg(0{,}01 + 0{,}99 \cdot \sin^2\varphi) \qquad (2.3.15)$$

Η κάθετη κατευθυντικότητα $\Delta L_{W,dir,ver,i}$ σε dB δίνεται στο κάθετο επίπεδο για πηγή A (h = 1), ως συνάρτηση της κεντρικής ζώνης συχνοτήτων $f_{c,i}$ κάθε *i*-οστής ζώνης συχνοτήτων, και για $-\pi/2 < \psi < \pi/2$ ως εξής:

$$\Delta L_{W,dir,ver,i} = \left(\left|\frac{40}{3} \times \left[\frac{2}{3} \times \sin(2 \cdot \psi) - \sin\psi\right] \times \lg\left[\frac{f_{c,i} + 600}{200}\right]\right|\right) \qquad (2.3.16)$$

Για πηγή B (h = 2) για την επίδραση του αεροδυναμικού θορύβου:

$$\Delta L_{W,dir,ver,i} = 10 \times \lg(\cos^2\psi) \qquad \text{για } \psi < 0 \qquad (2.3.17)$$

$\Delta L_{W,dir,ver,i} = 0$ αλλού

Η κατευθυντικότητα $\Delta L_{dir,ver,i}$ δεν λαμβάνεται υπόψη για πηγή B (h = 2) όσον αφορά άλλες επιδράσεις, εφόσον για τις πηγές αυτές θεωρείται ότι η κατευθυντικότητα είναι προς όλες τις κατευθύνσεις (omni-directionality) σε αυτή τη θέση.

2.3.3. *Πρόσθετες επιδράσεις*

Διόρθωση για δομική ακτινοβολία (γέφυρες και κοιλαδογέφυρες)

Σε περίπτωση που το υπό εξέταση τμήμα της τροχιάς βρίσκεται σε γέφυρα, είναι απαραίτητο να ληφθεί υπόψη ο πρόσθετος θόρυβος που παράγεται από τους κραδασμούς της γέφυρας λόγω της διέγερσης που προκαλεί η παρουσία της αμαξοστοιχίας. Επειδή δεν είναι εύκολη η μοντελοποίηση των εκπομπών της γέφυρας ως πρόσθετης πηγής εκπομπών, δεδομένων των περίπλοκων σχημάτων των γεφυρών, χρησιμοποιείται η αύξηση του θορύβου κύλισης προκειμένου να ληφθεί υπόψη ο θόρυβος της γέφυρας. Η αύξηση μοντελοποιείται αποκλειστικά και μόνο

▼M2

με την προσθήκη μιας σταθερής αύξησης στην ηχητική ισχύ του θορύβου για κάθε τριτοκταβική ζώνη. Η ηχητική ισχύς μόνο του θορύβου κύλισης τροποποιείται όταν λαμβάνεται υπόψη η διόρθωση, και χρησιμοποιείται η νέα $L_{W,0,rolling–and–bridge,i}$ αντί της $L_{W,0,rolling–only,i}$:

$$L_{W,0,rolling–and–bridge,i} = L_{W,0,rolling–only,i} + C_{bridge} \quad \text{dB} \qquad (2.3.18)$$

όπου C_{bridge} είναι μια σταθερά που εξαρτάται από τον τύπο της γέφυρας, και $L_{W,0,rolling–only,i}$ είναι η ηχητική ισχύς του θορύβου κύλισης σε μια δεδομένη γέφυρα, που εξαρτάται μόνο από το όχημα και τις ιδιότητες της τροχιάς.

Διόρθωση όσον αφορά άλλες πηγές θορύβου σχετικές με τη σιδηροδρομική κίνηση

Ενδέχεται να υφίστανται διάφορες πηγές, όπως αμαξοστάσια, χώροι φόρτωσης/εκφόρτωσης, σταθμοί, κώδωνες, μεγάφωνα σταθμού κ.λπ., οι οποίες σχετίζονται με τον θόρυβο σιδηροδρομικής κυκλοφορίας. Οι πηγές αυτές μπορούν να θεωρηθούν πηγές βιομηχανικού θορύβου (σταθερές πηγές θορύβου) και μοντελοποιούνται, κατά περίπτωση, σύμφωνα με το επόμενο κεφάλαιο περί βιομηχανικού θορύβου.

2.4. **Βιομηχανικός θόρυβος**

2.4.1. *Περιγραφή της πηγής*

Ταξινόμηση των τύπων πηγής (σημειακή, γραμμική, επιφανειακή)

Οι βιομηχανικές πηγές ποικίλλουν σημαντικά ως προς τις διαστάσεις. Μπορεί να πρόκειται για μεγάλες βιομηχανικές μονάδες, καθώς και για μικρές συμπυκνωμένες πηγές, όπως μικρά εργαλεία ή μηχανές σε λειτουργία που χρησιμοποιούνται σε εργοστάσια. Συνεπώς, είναι απαραίτητη η χρήση κατάλληλης τεχνικής μοντελοποίησης για τη συγκεκριμένη υπό εξέταση πηγή. Ανάλογα με τις διαστάσεις και τον τρόπο με τον οποίο εκτείνονται οι διάφορες μεμονωμένες πηγές σε μια περιοχή, η καθεμιά από τις οποίες ανήκει στον ίδιο βιομηχανικό χώρο, αυτές μπορούν να μοντελοποιηθούν ως σημειακές, γραμμικές ή επιφανειακές πηγές. Στην πράξη, οι υπολογισμοί της επίδρασης του θορύβου βασίζονται πάντα σε σημειακές πηγές, αλλά μπορούν να χρησιμοποιηθούν αρκετές σημειακές πηγές για να αναπαραστήσουν μια πραγματική σύνθετη πηγή, η οποία εκτείνεται κυρίως πάνω σε μια γραμμή ή μέσα σε μια περιοχή.

Αριθμός και θέση ισοδύναμων ηχητικών πηγών

Οι πραγματικές ηχητικές πηγές μοντελοποιούνται μέσω ισοδύναμων ηχητικών πηγών που αναπαριστώνται από μία ή περισσότερες σημειακές πηγές, έτσι ώστε η συνολική ηχητική ισχύς της πραγματικής πηγής να αντιστοιχεί στο άθροισμα των μεμονωμένων ηχητικών πηγών που αποδίδονται σε διάφορες σημειακές πηγές.

Ακολουθούν οι γενικοί κανόνες που εφαρμόζονται για τον καθορισμό του αριθμού των σημειακών πηγών που θα πρέπει να χρησιμοποιηθούν:

— Οι γραμμικές ή επιφανειακές πηγές των οποίων η μεγαλύτερη διάσταση υπολείπεται του μισού της απόστασης μεταξύ της πηγής και του δέκτη δύνανται να μοντελοποιηθούν ως μεμονωμένες σημειακές πηγές.

— Οι πηγές των οποίων η μεγαλύτερη διάσταση υπερβαίνει το μισό της απόστασης μεταξύ της πηγής και του δέκτη πρέπει να μοντελοποιούνται ως σειρά ασυνάρτητων σημειακών πηγών σε μια γραμμή ή ως σειρά ασυνάρτητων σημειακών πηγών σε μια περιοχή, έτσι ώστε να εκπληρώνεται ο όρος του «μισού» για καθεμία από αυτές τις πηγές. Η κατανομή σε μια περιοχή μπορεί να συμπεριλάβει την κάθετη κατανομή των σημειακών πηγών.

— Για πηγές των οποίων οι μεγαλύτερες διαστάσεις καθ' ύψος υπερβαίνουν τα 2 m ή βρίσκονται κοντά στο έδαφος, θα πρέπει να

▼M2

λαμβάνεται ειδική μέριμνα σχετικά με το ύψος της πηγής. Ο διπλασιασμός του αριθμού των πηγών, με ανακατανομή τους μόνο κατά τη συνιστώσα z, μπορεί να μην οδηγεί σε σημαντικά καλύτερο αποτέλεσμα για την εν λόγω πηγή.

— Στην περίπτωση οποιασδήποτε πηγής, ο διπλασιασμός του αριθμού των πηγών στην περιοχή της πηγής (σε όλες τις διαστάσεις) μπορεί να μην οδηγεί σε σημαντικά καλύτερο αποτέλεσμα.

Η θέση των ισοδύναμων ηχητικών πηγών δεν μπορεί να καθοριστεί, δεδομένου του μεγάλου αριθμού των διατάξεων που μπορεί να έχει ένας βιομηχανικός χώρος. Κανονικά εφαρμόζονται οι βέλτιστες πρακτικές.

Εκπομπές ηχητικής ισχύος

Γενικά

Τα ακόλουθα στοιχεία αποτελούν το πλήρες σύνολο των δεδομένων εισόδου για τους υπολογισμούς διάδοσης του ήχου με τις μεθόδους που θα χρησιμοποιηθούν για τη χαρτογράφηση του θορύβου:

— Φάσμα σταθμών εκπεμπόμενης ηχητικής ισχύος σε οκταβικές ζώνες

— Ώρες εργασίας (ημέρα, βράδυ, νύχτα, κατ' ετήσιο μέσο όρο)

— Θέση (συντεταγμένες *x, y*) και υψόμετρο (*z*) της πηγής θορύβου

— Τύπος πηγής (σημειακή, γραμμική, επιφανειακή)

— Διαστάσεις και προσανατολισμός

— Συνθήκες λειτουργίας της πηγής

— Κατευθυντικότητα της πηγής

Η ηχητική ισχύς της σημειακής, της γραμμικής και της επιφανειακής πηγής πρέπει οριστεί ως εξής:

— Για σημειακή πηγή, η ηχητική ισχύς L_W και η κατευθυντικότητα ως συνάρτηση των τριών ορθογώνιων συντεταγμένων (*x*, *y*, *z*).

— Μπορούν να οριστούν δύο τύποι γραμμικών πηγών:

— γραμμικές πηγές που αναπαριστούν ιμάντες μεταφοράς, αγωγούς κ.λπ., με ηχητική ισχύ ανά μέτρο μήκους $L_{W'}$ και κατευθυντικότητα ως συνάρτηση των δύο ορθογώνιων συντεταγμένων του άξονα της γραμμικής πηγής·

— γραμμικές πηγές που αναπαριστούν κινούμενα οχήματα, η καθεμιά από τις οποίες συνδέεται με ηχητική πηγή L_W και με κατευθυντικότητα ως συνάρτηση των δύο ορθογώνιων συντεταγμένων του άξονα της γραμμικής πηγής και με ηχητική πίεση ανά μέτρο $L_{W'}$ που λαμβάνεται μέσω της ταχύτητας και του αριθμού των οχημάτων που κινούνται κατά μήκος της γραμμής αυτής κατά τη διάρκεια της ημέρας, του βραδιού και της νύχτας. Η διόρθωση για τις ώρες εργασίας, η οποία προστίθεται στη σημειακή ηχητική ισχύ προκειμένου να οριστεί η διορθωμένη ηχητική ισχύς που θα χρησιμοποιηθεί για τους υπολογισμούς κάθε χρονικής περιόδου, C_W σε dB υπολογίζεται ως εξής:

▼M2

$$C_W = -10\lg\left(\frac{l \times n}{1\,000 \times V \times T_0}\right) \qquad (2.4.1)$$

όπου:

V η ταχύτητα του οχήματος [km/h]

n ο αριθμός των διελεύσεων οχημάτων ανά περίοδο [–]

l το συνολικό μήκος της πηγής [m].

— Για επιφανειακή πηγή, ηχητική ισχύς ανά τετραγωνικό μέτρο $L_{W/m2}$, και καθόλου κατευθυντικότητα (δύναται να είναι οριζόντια ή κάθετη).

Οι ώρες εργασίας αποτελούν βασικό δεδομένο εισόδου για τον υπολογισμό των σταθμών θορύβου. Οι ώρες εργασίας δίνονται για την ημέρα, το βράδυ και τη νύχτα και, εάν η διάδοση χρησιμοποιεί διάφορες μετεωρολογικές κατηγορίες που καθορίζονται για την καθεμία από τις περιόδους της ημέρας, της νύχτας και του βραδιού, δίνεται λεπτομερέστερη κατανομή των ωρών εργασίας σε υποπεριόδους που αντιστοιχούν στην κατανομή των μετεωρολογικών κατηγοριών. Τα στοιχεία αυτά βασίζονται στον ετήσιο μέσο όρο.

Η διόρθωση για τις ώρες εργασίας, που πρέπει να προστεθεί στη σημειακή ηχητική πηγή για τον καθορισμό της διορθωμένης ηχητικής ισχύος που θα χρησιμοποιηθεί για τους υπολογισμούς κάθε χρονικής περιόδου, C_W σε dB υπολογίζεται ως εξής:

$$C_W = 10 \times \lg\left(\frac{T}{T_{ref}}\right) \qquad (2.4.2)$$

όπου

T είναι ο ενεργός χρόνος της πηγής ανά περίοδο βάσει ετήσιας μέσης κατάστασης, σε ώρες

T_{ref} είναι η χρονική περίοδος αναφοράς σε ώρες (π.χ. για την ημέρα είναι 12 ώρες, για το βράδυ είναι 4 ώρες και για τη νύχτα είναι 8 ώρες).

Για τις πιο κυρίαρχες πηγές, η διόρθωση για τον ετήσιο μέσο όρο ωρών εργασίας υπολογίζεται τουλάχιστον με ανοχή 0,5 dB προκειμένου να επιτευχθεί αποδεκτή ακρίβεια (που ισοδυναμεί με αβεβαιότητα μικρότερη του 10 % κατά τον ορισμό της ενεργού περιόδου της πηγής).

Κατευθυντικότητα πηγής

Η κατευθυντικότητα της πηγής συνδέεται σε μεγάλο βαθμό με τη θέση της ισοδύναμης ηχητικής πηγής σε παρακείμενες επιφάνειες. Δεδομένου ότι η μέθοδος διάδοσης εξαρτάται από την ανάκλαση και την ηχητική απορροφητικότητα της παρακείμενης επιφάνειας, είναι αναγκαίο να εξεταστεί προσεκτικά η θέση των παρακείμενων επιφανειών. Σε γενικές γραμμές, οι δύο αυτές περιπτώσεις πρέπει πάντα να διακρίνονται:

— Καθορίζεται και δίνεται η ηχητική ισχύς και κατευθυντικότητα μιας πηγής σε σχέση με μια συγκεκριμένη πραγματική πηγή όταν αυτή βρίσκεται σε ελεύθερο πεδίο (εξαιρουμένης της επίδρασης του εδάφους). Αυτό συμφωνεί με τους ορισμούς που αφορούν τη διάδοση, αν υποτεθεί ότι δεν υπάρχει παρακείμενη επιφάνεια σε απόσταση μικρότερη του 0,01 m από την πηγή και ότι οι επιφάνειες που βρίσκονται σε απόσταση 0,01 m και άνω περιλαμβάνονται στον υπολογισμό της διάδοσης.

— Καθορίζεται και δίνεται η ηχητική ισχύς και κατευθυντικότητα μιας πηγής σε σχέση με μια συγκεκριμένη πραγματική πηγή όταν αυτή είναι τοποθετημένη σε ειδική θέση και, ως εκ τούτου, η ηχητική ισχύς και κατευθυντικότητα της πηγής είναι στην πραγματικότητα «ισοδύναμη», δεδομένου ότι περιλαμβάνει τη μοντελοποίηση της επίδρασης των παρακείμενων επιφανειών. Ορίζεται «ημιελεύθερο πεδίο» σύμφωνα με τους ορισμούς που αφορούν τη διάδοση. Στην περίπτωση αυτή, οι μοντελοποιημένες παρακείμενες επιφάνειες εξαιρούνται από τον υπολογισμό της διάδοσης.

▼M2

Η κατευθυντικότητα εκφράζεται στον υπολογισμό ως συντελεστής $\Delta L_{W,dir,xyz}$ (x, y, z) που προστίθεται στην ηχητική ισχύ για τη λήψη της ορθής κατευθυντικής ηχητικής ισχύος μιας ηχητικής πηγής αναφοράς η οποία λαμβάνεται υπόψη βάσει της διάδοσης του ήχου προς τη διεύθυνση που δίνεται. Ο συντελεστής μπορεί να δοθεί ως συνάρτηση του διανύσματος κατεύθυνσης, που ορίζεται από τα (x, y, z) με τον τύπο $\sqrt{x^2 + y^2 + z^2} = 1$. Η εν λόγω κατευθυντικότητα μπορεί επίσης να εκφραστεί μέσω άλλων συστημάτων συντεταγμένων, όπως τα συστήματα γωνιακών συντεταγμένων.

2.5. **Υπολογισμός της διάδοσης του θορύβου για οδικές, σιδηροδρομικές, βιομηχανικές πηγές.**

2.5.1. *Πεδίο εφαρμογής και εφαρμογή της μεθόδου*

Στο παρόν έγγραφο καθορίζεται μέθοδος για τον υπολογισμό της εξασθένησης του θορύβου κατά τη διάδοση σε εξωτερικούς χώρους. Εάν είναι γνωστά τα χαρακτηριστικά της πηγής, με τη μέθοδο αυτή μπορεί να προβλεφθεί η στάθμη της ισοδύναμης συνεχούς ηχητικής πίεσης στο σημείο του δέκτη που αντιστοιχεί σε δύο συγκεκριμένους τύπους ατμοσφαιρικών συνθηκών:

— συνθήκες διάδοσης με διάθλαση προς τα κάτω (θετική κάθετη κλίση της πραγματικής ταχύτητας του ήχου) από την πηγή στον δέκτη,

— ομοιογενείς ατμοσφαιρικές συνθήκες (μηδενική κάθετη κλίση της πραγματικής ταχύτητας του ήχου) στο σύνολο της περιοχής διάδοσης.

Η μέθοδος υπολογισμού που περιγράφεται στο παρόν έγγραφο ισχύει για βιομηχανικές υποδομές και υποδομές χερσαίων μεταφορών. Ως εκ τούτου, ισχύει ιδίως για οδικές και σιδηροδρομικές υποδομές. Οι εναέριες μεταφορές περιλαμβάνονται στο πεδίο εφαρμογής της μεθόδου μόνο για τον θόρυβο που παράγεται κατά τη διάρκεια των λειτουργιών εδάφους, εξαιρουμένης της απογείωσης και της προσγείωσης.

Οι βιομηχανικές υποδομές που εκπέμπουν κτυπογενείς ή ισχυρούς τονικούς θορύβους, όπως περιγράφονται στο πρότυπο ISO 1996-2:2007, δεν εμπίπτουν στο πεδίο εφαρμογής της παρούσας μεθόδου.

Η μέθοδος υπολογισμού δεν δίνει αποτελέσματα για συνθήκες διάδοσης με διάθλαση προς τα πάνω (αρνητική κάθετη κλίση της πραγματικής ταχύτητας του ήχου), αλλά οι συνθήκες αυτές υπολογίζονται κατά προσέγγιση βάσει των ομοιογενών συνθηκών κατά τον υπολογισμό της L_{den}.

Για τον υπολογισμό της εξασθένησης λόγω της ατμοσφαιρικής απορρόφησης στην περίπτωση των μεταφορικών υποδομών, οι συνθήκες θερμοκρασίας και υγρασίας υπολογίζονται σύμφωνα με το πρότυπο ISO 9613-1:1996.

Η μέθοδος παρέχει αποτελέσματα ανά οκταβική ζώνη, από 63 Hz έως 8 000 Hz. Οι υπολογισμοί γίνονται για καθεμία από τις κεντρικές συχνότητες.

Τα μη πλήρη καλύμματα και τα εμπόδια με κλίση, κατά τη μοντελοποίηση, άνω των 15° σε σχέση με την κάθετο είναι εκτός του πεδίου εφαρμογής της παρούσας μεθόδου υπολογισμού.

Ένα μεμονωμένο πέτασμα υπολογίζεται ως μεμονωμένος υπολογισμός περίθλασης, ενώ δύο ή περισσότερα πετάσματα στην ίδια διαδρομή αντιμετωπίζονται ως μεταγενέστερο σύνολο περιθλάσεων με εφαρμογή της διαδικασίας που περιγράφεται στη συνέχεια.

2.5.2. *Ορισμοί*

Όλες οι αποστάσεις, τα ύψη, οι διαστάσεις και τα υψόμετρα που χρησιμοποιούνται στο παρόν έγγραφο εκφράζονται σε μέτρα (m).

▼**M2**

Το σύμβολο *MN* αναπαριστά την απόσταση σε τρεις διαστάσεις (τρισδιάστατη) μεταξύ των σημείων *M* και *N*, μετρούμενη στην ευθεία που συνδέει τα σημεία αυτά.

Το σύμβολο $\hat{M}$N αναπαριστά το μήκος της καμπύλης τροχιάς μεταξύ των σημείων *M* και *N*, υπό ευνοϊκές συνθήκες.

Είναι σύνηθες να μετρούνται τα πραγματικά ύψη κάθετα σε κατεύθυνση κάθετη προς το οριζόντιο επίπεδο. Τα ύψη των σημείων πάνω από το τοπικό έδαφος συμβολίζονται με το γράμμα h, ενώ τα απόλυτα ύψη των σημείων και το απόλυτο ύψος του εδάφους συμβολίζονται με το γράμμα H.

Για να ληφθεί υπόψη το πραγματικό ανάγλυφο του εδάφους κατά μήκος της τροχιάς διάδοσης, χρησιμοποιείται η έννοια του «ισοδύναμου ύψους», που συμβολίζεται με το γράμμα z. Το ισοδύναμο ύψος αντικαθιστά τα πραγματικά ύψη στις εξισώσεις υπολογισμού της επίδρασης του εδάφους.

Οι ηχοστάθμες, που συμβολίζονται με το γράμμα *L*, εκφράζονται σε ντεσιμπέλ (dB) ανά ζώνη συχνοτήτων όταν παραλείπεται ο δείκτης A. Οι ηχοστάθμες σε ντεσιμπέλ dB(A) είναι όταν δίνεται ο δείκτης A.

Το άθροισμα των ηχοσταθμών που οφείλονται σε αμοιβαία ασυνάρτητες πηγές συμβολίζεται με το σύμβολο ⊕ σύμφωνα με τον εξής ορισμό:

$$L_1 \oplus L_2 = 10 \cdot \lg\left[10^{L_1/10} + 10^{L_2/10}\right] \qquad (2.5.1)$$

2.5.3. *Γεωμετρικοί παράγοντες*

Κατάτμηση πηγής

Οι πραγματικές πηγές περιγράφονται με ένα σύνολο σημειακών πηγών ή, όταν πρόκειται για σιδηροδρομική ή οδική κυκλοφορία, με ασυνάρτητες γραμμικές πηγές. Με τη μέθοδο διάδοσης θεωρούμε ότι οι γραμμικές ή επιφανειακές πηγές έχουν προηγουμένως κατατμηθεί προκειμένου να αναπαρασταθούν από μια σειρά ισοδύναμων σημειακών πηγών. Αυτό μπορεί να έχει γίνει στο πλαίσιο της προκαταρκτικής επεξεργασίας των δεδομένων πηγής ή ενδέχεται να γίνει εντός της συνιστώσας εντοπισμού διαδρομής του λογισμικού που χρησιμοποιείται για τον υπολογισμό. Τα μέσα με τα οποία γίνεται αυτό βρίσκονται εκτός του πεδίου εφαρμογής της παρούσας μεθόδου.

Διαδρομές διάδοσης

Η μέθοδος λειτουργεί σε γεωμετρικό μοντέλο που αποτελείται από μια σειρά συνδεδεμένων επιφανειών εδάφους και εμποδίων. Χρησιμοποιείται κάθετη διαδρομή διάδοσης σε ένα ή περισσότερα κάθετα επίπεδα σε σχέση με το οριζόντιο επίπεδο. Για τροχιές που περιλαμβάνουν ανακλάσεις σε κάθετες επιφάνειες οι οποίες δεν είναι ορθογώνιες προς το επίπεδο πρόσπτωσης, λαμβάνεται υπόψη στη συνέχεια άλλο κάθετο επίπεδο που περιλαμβάνει το ανακλώμενο μέρος της διαδρομής διάδοσης. Στις περιπτώσεις αυτές, όπου χρησιμοποιούνται περισσότερα κάθετα επίπεδα για την περιγραφή του συνόλου της διαδρομής της τροχιάς από την πηγή στον δέκτη, τα κάθετα επίπεδα επιπεδοποιούνται στη συνέχεια, σαν κινεζικό παραβάν που ξεδιπλώνεται.

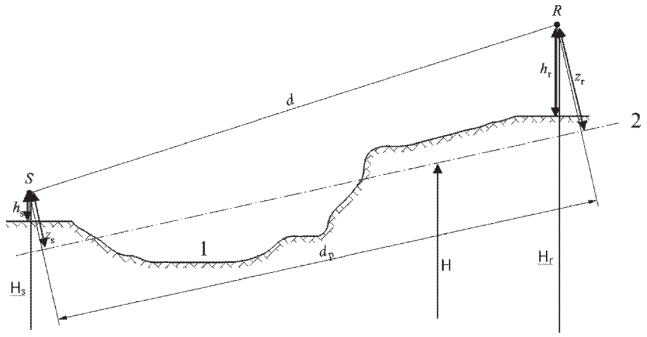
Σημαντικά ύψη πάνω από το έδαφος

Τα ισοδύναμα ύψη λαμβάνονται από το μέσο επίπεδο του εδάφους μεταξύ της πηγής και του δέκτη. Το ύψος αυτό αντικαθιστά το πραγματικό έδαφος με ένα πλασματικό επίπεδο που αναπαριστά τη μέση μορφολογία του εδάφους.

▼M2

Σχήμα 2.5.α

Ισοδύναμα ύψη σε σχέση με το έδαφος



1: Πραγματικό ανάγλυφο

2: Μέσο επίπεδο

Το ισοδύναμο ύψος ενός σημείου είναι το ορθογώνιο ύψος του σε σχέση με το μέσο επίπεδο του εδάφους. Επομένως, μπορούν να καθοριστούν το ισοδύναμο ύψος της πηγής z_s και το ισοδύναμο ύψος του δέκτη z_r. Η απόσταση μεταξύ της πηγής και του δέκτη σε προβολή πάνω στο μέσο επίπεδο του εδάφους συμβολίζεται με τα γράμματα d_p.

Αν το ισοδύναμο ύψος ενός σημείου είναι αρνητικό, δηλαδή αν το σημείο βρίσκεται κάτω από το μέσο επίπεδο του εδάφους, διατηρείται μηδενικό ύψος και το ισοδύναμο σημείο είναι σε αυτή την περίπτωση ίδιο με την πιθανή εικόνα του.

Υπολογισμός του μέσου επιπέδου

Στο επίπεδο της διαδρομής, η τοπογραφία (συμπεριλαμβανομένων του αναγλύφου, των εξάρσεων, των αναχωμάτων και άλλων τεχνητών εμποδίων, κτιρίων κ.ά.) δύναται να περιγραφεί με ένα διευθετημένο σύνολο σημείων $(x_k, H_k)\cdot k \in \{1, \ldots, n\}$. Το εν λόγω σύνολο σημείων ορίζει ένα πολύγραμμο, ή ισοδύναμα, μια αλληλουχία ευθέων τμημάτων $H_k = a_k x + b_k$, $x \in [x_k, x_{k+1}]\cdot k \in \{1, \ldots, n\}$, όπου:

$$\begin{cases} a_k = (H_{k+1} - H_k)/(x_{k+1} - x_k) \\ b_k = (H_k \cdot x_{k+1} - H_{k+1} \cdot x_k)/(x_{k+1} - x_k) \end{cases} \quad (2.5.2)$$

Το μέσο επίπεδο αναπαριστάται από την ευθεία $Z = ax+b\cdot x \in [x_1, x_n]$, που προσαρμόζεται στο πολύγραμμο μέσω προσέγγισης ελάχιστων τετραγώνων. Η εξίσωση της μέσης γραμμής μπορεί να επιλυθεί αναλυτικά.

Με τη χρήση του εξής τύπου:

$$\begin{cases} A = \frac{2}{3}\sum_{k=1}^{n-1} a_k(x_{k+1}^3 - x_k^3) + \sum_{k=1}^{n-1} b_k(x_{k+1}^2 - x_k^2) \\ B = \sum_{k=1}^{n-1} a_k(x_{k+1}^2 - x_k^2) + 2\sum_{k=1}^{n-1} b_k(x_{k+1} - x_k) \end{cases} \quad (2.5.3)$$

Οι συντελεστές της ευθείας δίνονται από τον τύπο:

$$\begin{cases} a = \frac{3(2A - B(x_n + x_1))}{(x_n - x_1)^3} \\ b = \frac{2(x_n^3 - x_1^3)}{(x_n - x_1)^4} B - \frac{3(x_n + x_1)}{(x_n - x_1)^3} A \end{cases} \quad (2.5.4)$$

▼M2

όπου τμήματα με $x_{k+1} = x_k$ αγνοούνται κατά την εκτίμηση της εξίσωσης 2.5.3

Ανακλάσεις από προσόψεις κτιρίων και άλλα κάθετα εμπόδια

Οι εισφορές από τις ανακλάσεις λαμβάνονται υπόψη από την εισαγωγή των πηγών εικόνας όπως περιγράφονται στη συνέχεια.

2.5.4. *Μοντέλο διάδοσης του ήχου*

Για δέκτη *R* οι υπολογισμοί γίνονται σύμφωνα με τα εξής βήματα:

1) Σε κάθε διαδρομή διάδοσης:

— υπολογισμός της εξασθένησης υπό ευνοϊκές συνθήκες,

— υπολογισμός της εξασθένησης υπό ομοιογενείς συνθήκες,

— υπολογισμός της μακροπρόθεσμης ηχοστάθμης για κάθε διαδρομή.

2) Σώρευση των μακροπρόθεσμων ηχοσταθμών για όλες τις διαδρομές που επηρεάζουν έναν συγκεκριμένο δέκτη, επιτρέποντας έτσι τον υπολογισμό της συνολικής ηχοστάθμης στο σημείο του δέκτη.

Πρέπει να σημειωθεί ότι μόνον οι εξασθενήσεις που οφείλονται στην επίδραση του εδάφους (A_{ground}) και στην περίθλαση (A_{dif}) επηρεάζονται από τις μετεωρολογικές συνθήκες.

2.5.5. *Διαδικασία υπολογισμού*

Για σημειακή πηγή *S* κατευθυντικής ηχητικής ισχύος $L_{w,0,dir}$ και για δεδομένη ζώνη συχνοτήτων, η στάθμη της ισοδύναμης συνεχούς ηχητικής πίεσης σε σημείο δέκτη *R* υπό δεδομένες ατμοσφαιρικές συνθήκες λαμβάνεται σύμφωνα με τις κάτωθι εξισώσεις.

Ηχοστάθμη υπό ευνοϊκές συνθήκες (LF) για μια διαδρομή (S,R)

$$L_F = L_{W,0,dir} - A_F \tag{2.5.5}$$

Ο όρος A_F αναπαριστά τη συνολική εξασθένηση κατά μήκος της διαδρομής διάδοσης υπό ευνοϊκές συνθήκες και αναλύεται ως εξής:

$$L_F = A_{div} + A_{atm} + A_{boundary,F} \tag{2.5.6}$$

όπου

A_{div} είναι η εξασθένηση που οφείλεται στη γεωμετρική απόκλιση

A_{atm} είναι η εξασθένηση που οφείλεται στην ατμοσφαιρική απορρόφηση

$A_{boundary,F}$ είναι η εξασθένηση που οφείλεται στο όριο του μέσου διάδοσης υπό ευνοϊκές συνθήκες· μπορεί να περιέχει τους εξής όρους:

$A_{ground,F}$, δηλαδή την εξασθένηση που οφείλεται στο έδαφος υπό ευνοϊκές συνθήκες·

$A_{dif,F}$, δηλαδή την εξασθένηση που οφείλεται στη περίθλαση υπό ευνοϊκές συνθήκες.

Για δεδομένη διαδρομή και ζώνη συχνοτήτων, είναι πιθανά τα εξής δύο σενάρια:

▼M2

— είτε υπολογίζεται η $A_{ground,F}$ χωρίς περίθλαση ($A_{dif,F}$ = 0 dB) και $A_{boundary,F} = A_{ground,F}$,

— είτε υπολογίζεται η $A_{dif,F}$. Η επίδραση του εδάφους λαμβάνεται υπόψη στην ίδια την εξίσωση της $A_{dif,F}$ ($A_{ground,F}$ = 0 dB). Ως εκ τούτου, αυτή δίνει $A_{boundary,F} = A_{dif,F}$.

Ηχοστάθμη υπό ομοιογενείς συνθήκες (L_H) για διαδρομή (S,R)

Η διαδικασία είναι απολύτως όμοια με την περίπτωση των ευνοϊκών συνθηκών που παρουσιάστηκαν στην προηγούμενη ενότητα.

$$L_H = L_{W,0,dir} - A_H \quad (2.5.7)$$

Ο όρος A_H αναπαριστά τη συνολική εξασθένηση κατά μήκος της διαδρομής διάδοσης υπό ομοιογενείς συνθήκες και αναλύεται ως εξής:

$$A_H = A_{div} + A_{atm} + A_{boundary,H} \quad (2.5.8)$$

όπου

A_{div} είναι η εξασθένηση που οφείλεται στη γεωμετρική απόκλιση

A_{atm} είναι η εξασθένηση που οφείλεται στην ατμοσφαιρική απορρόφηση

$A_{boundary,H}$ είναι η εξασθένηση που οφείλεται στο όριο του μέσου διάδοσης υπό ομοιογενείς συνθήκες· μπορεί να περιέχει τους εξής όρους:

$A_{ground,H}$, δηλαδή την εξασθένηση που οφείλεται στο έδαφος υπό ομοιογενείς συνθήκες·

$A_{dif,H}$, δηλαδή την εξασθένηση που οφείλεται στη περίθλαση υπό ομοιογενείς συνθήκες.

Για δεδομένη διαδρομή και ζώνη συχνοτήτων, είναι πιθανά τα εξής δύο σενάρια:

— είτε υπολογίζεται η $A_{ground,H}$ ($A_{dif,H}$ = 0 dB) χωρίς περίθλαση και $A_{boundary,H} = A_{ground,H}$,

— είτε υπολογίζεται η $A_{dif,H}$ ($A_{ground,H}$ = 0 dB). Η επίδραση του εδάφους λαμβάνεται υπόψη στην ίδια την εξίσωση της $A_{dif,H}$. Ως εκ τούτου, αυτή δίνει $A_{boundary,H} = A_{dif,H}$

Στατιστική προσέγγιση εντός αστικών περιοχών για μια διαδρομή (S,R)

Εντός αστικών περιοχών, επιτρέπεται επίσης στατιστική προσέγγιση για τον υπολογισμό της διάδοσης του ήχου πίσω από την πρώτη γραμμή των κτιρίων, υπό την προϋπόθεση ότι η εν λόγω μέθοδος διαθέτει τη δέουσα τεκμηρίωση, συμπεριλαμβανομένων σχετικών στοιχείων για την ποιότητα της μεθόδου. Η εν λόγω μέθοδος δύναται να αντικαταστήσει τον υπολογισμό των $A_{boundary,H}$ και $A_{boundary,F}$ με κατά προσέγγιση υπολογισμό της συνολικής εξασθένησης για την άμεση διαδρομή και όλες τις ανακλάσεις. Ο υπολογισμός βασίζεται στη μέση πυκνότητα δόμησης και στο μέσο ύψος όλων των κτιρίων της περιοχής.

Μακροπρόθεσμη ηχοστάθμη για μια διαδρομή (S,R)

Η «μακροπρόθεσμη» ηχοστάθμη κατά μήκος μιας διαδρομής που ξεκινά από μια δεδομένη σημειακή πηγή λαμβάνεται από το λογαριθμικό άθροισμα της σταθμισμένης ηχητικής ενέργειας υπό ομοιογενείς συνθήκες και της ηχητικής ενέργειας υπό ευνοϊκές συνθήκες.

▼M2

Οι εν λόγω ηχοστάθμες σταθμίζονται βάσει της μέσης εμφάνισης p ευνοϊκών συνθηκών προς την κατεύθυνση της διαδρομής (S,R):

$$L_{LT} = 10 \times \lg\left(p \cdot 10^{\frac{L_F}{10}} + (1-p) \cdot 10^{\frac{L_H}{10}}\right) \qquad (2.5.9)$$

Σημείωση: Οι τιμές εμφάνισης για τις p εκφράζονται υπό τη μορφή ποσοστών. Για παράδειγμα, αν η τιμή της εμφάνισης είναι 82 %, η εξίσωση 2.5.9 έχει την τιμή p = 0,82.

Μακροπρόθεσμη ηχοστάθμη στο σημείο R για όλες τις διαδρομές

Η συνολική ηχοστάθμη στον δέκτη για ζώνη συχνοτήτων λαμβάνεται από το άθροισμα των εισφορών ενέργειας από όλες τις διαδρομές N, συμπεριλαμβανομένων όλων των τύπων:

$$L_{tot,LT} = 10 \times \lg\left(\sum_n 10^{\frac{L_{n,LT}}{10}}\right) \qquad (2.5.10)$$

όπου

n είναι ο δείκτης των διαδρομών μεταξύ S και R.

Η συμπερίληψη των ανακλάσεων μέσω πηγών εικόνας περιγράφεται στη συνέχεια. Το ποσοστό των περιπτώσεων ευνοϊκών συνθηκών σε περίπτωση διαδρομής που ανακλάται σε κάθετο εμπόδιο είναι πανομοιότυπη με την περίπτωση της άμεσης διαδρομής.

Αν S' είναι η πηγή εικόνας του S, τότε η περίπτωση p' της διαδρομής (S',R) θεωρείται ίση με την περίπτωση p της διαδρομής (S_i,R).

Μακροπρόθεσμη ηχοστάθμη στο σημείο R σε ντεσιμπέλ A (dBA)

Η συνολική ηχοστάθμη σε ντεσιμπέλ A (dBA) λαμβάνεται με την άθροιση των σταθμών κάθε ζώνης συχνοτήτων:

$$L_{Aeq,LT} = 10 \times \lg \sum_i 10^{(L_{tot,LT,i} + AWC_{f,i})/10} \qquad (2.5.11)$$

όπου i είναι ο δείκτης της ζώνης συχνοτήτων. AWC είναι η A-σταθμισμένη διόρθωση σύμφωνα με το διεθνές πρότυπο IEC 61672-1:2003.

Η εν λόγω στάθμη $L_{Aeq,LT}$ αποτελεί το τελικό αποτέλεσμα, δηλαδή τη μακροπρόθεσμη A-σταθμισμένη στάθμη ηχητικής πίεσης στο σημείο του δέκτη σε συγκεκριμένο χρονικό διάστημα αναφοράς (π.χ. ημέρα, βράδυ, νύχτα ή μικρότερο χρονικό διάστημα κατά τη διάρκεια της ημέρας, του βραδιού ή της νύχτας).

2.5.6. *Υπολογισμός της διάδοσης του θορύβου για οδικές, σιδηροδρομικές, βιομηχανικές πηγές*

Γεωμετρική απόκλιση

Η εξασθένηση που οφείλεται στη γεωμετρική απόκλιση, A_{div}, αντιστοιχεί σε μείωση της ηχοστάθμης λόγω της απόστασης διάδοσης. Για σημειακή ηχητική πηγή σε ελεύθερο πεδίο, η εξασθένηση σε dB δίνεται από τον τύπο:

$$A_{div} = 20 \times \lg(d) + 11 \qquad (2.5.12)$$

▼M2

όπου d είναι η άμεση 3D διαγώνια απόσταση μεταξύ της πηγής και του δέκτη.

Ατμοσφαιρική απορρόφηση

Η εξασθένηση που οφείλεται στην ατμοσφαιρική απορρόφηση A_{atm} κατά τη διάδοση σε απόσταση d δίνεται σε dB βάσει της εξίσωσης:

$$A_{atm} = \alpha_{atm} \cdot d/1\,000 \qquad (2.5.13)$$

όπου

d είναι η άμεση 3D διαγώνια απόσταση μεταξύ της πηγής και του δέκτη σε m·

α_{atm} είναι ο συντελεστής ατμοσφαιρικής απορρόφησης σε dB/km στην ονομαστική κεντρική συχνότητα για κάθε ζώνη συχνοτήτων, σύμφωνα με το πρότυπο ISO 9613-1.

Οι τιμές του συντελεστή α_{atm} δίνονται για θερμοκρασία 15 °C, σχετική υγρασία 70 % και ατμοσφαιρική πίεση 101 325 Pa. Υπολογίζονται με τις ακριβείς κεντρικές συχνότητες της ζώνης συχνοτήτων. Οι τιμές αυτές είναι σύμφωνες με το πρότυπο ISO 9613-1. Χρησιμοποιούνται οι μακροπρόθεσμοι μετεωρολογικοί μέσοι αν δεν υπάρχουν διαθέσιμα μετεωρολογικά δεδομένα.

Επίδραση του εδάφους

Η εξασθένηση που οφείλεται στην επίδραση του εδάφους αποτελεί κυρίως το αποτέλεσμα της αλληλεπίδρασης μεταξύ του ανακλώμενου ήχου και του ήχου που διαδίδεται απευθείας από την πηγή στον δέκτη. Συνδέεται υλικά με την ακουστική απορρόφηση του εδάφους πάνω από το οποίο διαδίδεται το ηχητικό κύμα. Ωστόσο, εξαρτάται επίσης σε σημαντικό βαθμό από τις ατμοσφαιρικές συνθήκες κατά τη διάρκεια της διάδοσης, δεδομένου ότι η καμπύλωση των ακτίνων μεταβάλλει το ύψος της διαδρομής πάνω από το έδαφος και καθιστά τις επιδράσεις του εδάφους και της γης που βρίσκεται κοντά στην πηγή περισσότερο ή λιγότερο σημαντικές.

Σε περίπτωση που η διάδοση μεταξύ της πηγής και του δέκτη επηρεάζεται από οποιοδήποτε εμπόδιο στο πεδίο διάδοσης, η επίδραση του εδάφους υπολογίζεται χωριστά στην πλευρά της πηγής και στην πλευρά του δέκτη. Στην περίπτωση αυτή, οι τιμές z_s και z_r αναφέρονται στη θέση της ισοδύναμης πηγής και/ή του δέκτη, όπως καταδεικνύεται στη συνέχεια κατά την παρουσίαση του υπολογισμού της περίθλασης A_{dif}.

Ακουστικός χαρακτηρισμός εδάφους

Οι ιδιότητες ακουστικής απορρόφησης του εδάφους συνδέονται κυρίως με το πορώδες. Το συμπαγές έδαφος είναι σε γενικές γραμμές ανακλαστικό και το πορώδες έδαφος είναι απορροφητικό.

Για τις απαιτήσεις των λειτουργικών υπολογισμών, η ακουστική απορρόφηση του εδάφους αναπαριστάται από έναν αδιάστατο συντελεστή G, μεταξύ του 0 και του 1. Ο συντελεστής G είναι ανεξάρτητος από τη συχνότητα. Ο πίνακας 2.5.α δίνει τις τιμές του G για το έδαφος σε εξωτερικούς χώρους. Σε γενικές γραμμές, ο μέσος όρος του συντελεστή G για μια διαδρομή λαμβάνει τιμές μεταξύ 0 και 1.

▼M2

Πίνακας 2.5.α:

Τιμές του συντελεστή G για διαφόρους τύπους εδάφους

Περιγραφή	Τύπος	(kPa·s/m^2)	Τιμή του *G*
Πολύ μαλακό έδαφος (καλυμμένο με χιόνι ή βρύα)	A	12,5	1
Μαλακό δασικό έδαφος (καλυμμένο με κοντά, πυκνά ρείκια ή βρύα)	B	31,5	1
Μη συμπιεσμένο, χαλαρό έδαφος (γρασίδι, χόρτα, χαλαρό έδαφος)	C	80	1
Κανονικό μη συμπιεσμένο έδαφος (δασικά εδάφη, λειμώνες)	D	200	1
Συμπιεσμένος αγρός και χαλίκι (συμπιεσμένοι χλοοτάπητες, πάρκα)	E	500	0,7
Συμπιεσμένο πυκνό έδαφος (χαλικόδρομος, χώρος στάθμευσης αυτοκινήτων)	F	2 000	0,3
Σκληρές επιφάνειες (οι περισσότερες κοινές άσφαλτοι, σκυρόδεμα)	G	20 000	0
Πολύ σκληρές και πυκνές επιφάνειες (πυκνή άσφαλτος, σκυρόδεμα, νερό)	H	200 000	0

Ο συντελεστής G_{path} ορίζεται ως το τμήμα απορροφητικού εδάφους που υφίσταται πάνω από το σύνολο της καλυπτόμενης διαδρομής.

Όταν η πηγή και ο δέκτης βρίσκονται τόσο κοντά μεταξύ τους ώστε $d_p \leq 30(z_s + z_r)$, η διάκριση μεταξύ του τύπου του εδάφους που βρίσκεται κοντά στην πηγή και του τύπου του εδάφους που βρίσκεται κοντά στον δέκτη είναι αμελητέα. Προκειμένου να ληφθεί υπόψη το εν λόγω σχόλιο, ο συντελεστής εδάφους G_{path} διορθώνεται τελικά ως εξής:

$$G'_{path} = \begin{cases} G_{path}\dfrac{d_p}{30(z_s+z_r)} + G_s\left(1 - \dfrac{d_p}{30(z_s+z_r)}\right) & \text{if } d_p \leq 30(z_s + z_r) \\ G_{path} & \text{otherwise} \end{cases} \quad (2.5.14)$$

όπου G_s είναι ο συντελεστής εδάφους της επιφανειακής πηγής. $G_s = 0$ για οδοστρώματα [1], σταθερές επιδομές. $G_s = 1$ για σιδηροδρομικές τροχιές σε σκύρα. Δεν υπάρχει μια γενική απάντηση όταν πρόκειται για βιομηχανικές πηγές και μονάδες.

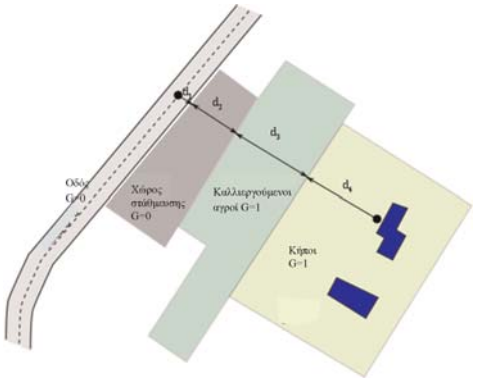
Ο συντελεστής *G* ενδεχομένως να συνδέεται με την ειδική αντίσταση ροής.

[1] Η απορρόφηση από πορώδη οδοστρώματα λαμβάνεται υπόψη στο μοντέλο εκπομπών.

▼**M2**

Σχήμα 2.5.β

Καθορισμός του συντελεστή εδάφους G_{path} σε διαδρομή διάδοσης



$$d_p = d_1 + d_2 + d_3 + d_4$$

$$G_{path} = \left(0 \cdot d_1 + 0 \cdot d_2 + 1 \cdot d_3 + 1 \cdot d_4\right) \Big/ d_p = \left(d_3 + d_4\right) \Big/ d_p$$

Οι επόμενες δύο υποενότητες σχετικά με τους υπολογισμούς υπό ομοιογενείς και ευνοϊκές συνθήκες εισάγουν τους γενικούς συμβολισμούς $\overline{G}_w$ και $\overline{G}_m$ για την εδαφική απορρόφηση. Ο πίνακας 2.5.β δίνει την αντιστοιχία μεταξύ των συμβολισμών αυτών και των μεταβλητών G_{path} και G'_{path}.

Πίνακας 2.5.β

Αντιστοιχία μεταξύ $\overline{G}_w$ και $\overline{G}$ και (G_{path}, G'_{path})

	Ομοιογενείς συνθήκες			Ευνοϊκές συνθήκες		
	A_{ground}	$\Delta_{ground(S,O)}$	$\Delta_{ground(O,R)}$	A_{ground}	$\Delta_{ground(S,O)}$	$\Delta_{ground(O,R)}$
$\overline{G}_w$	G'_{path}		G_{path}			
$\overline{G}_m$	G'_{path}		G_{path}	G'_{path}		G_{path}

Υπολογισμοί υπό ομοιογενείς συνθήκες

Η μείωση που οφείλεται στην επίδραση του εδάφους υπό ομοιογενείς συνθήκες υπολογίζεται βάσει των εξής εξισώσεων:

αν $G_{path} \neq 0$

$$A_{ground,H} = \max\left(-10 \times \lg\left[4\frac{k^2}{d_p^2}\left(z_s^2 - \sqrt{\frac{2C_f}{k}}z_s + \frac{C_f}{k}\right)\left(z_r^2 - \sqrt{\frac{2C_f}{k}}z_r + \frac{C_f}{k}\right)\right], A_{ground,H,min}\right) \quad (2.5.15)$$

όπου

$$k = 2\pi f_m \Big/ c$$

▼M2

f_m είναι η ονομαστική κεντρική συχνότητα της υπό εξέταση ζώνης συχνοτήτων, σε Hz· c είναι η ταχύτητα του ήχου στον αέρα, που θεωρείται ίση με 340 m/s· και το C_f ορίζεται ως εξής:

$$C_f = \mathrm{d}_p \frac{1 + 3wd_p e^{-\sqrt{\mathrm{wd_p}}}}{1 + wd_p} \tag{2.5.16}$$

όπου οι τιμές του w δίνονται από την εξής εξίσωση:

$$w = 0{,}0185 \frac{f_m^{2.5} \overline{G_w}^{2.6}}{f_m^{1.5} \overline{G_w}^{2.6} + 1{,}3 \cdot 10^3 f_m^{0.75} \overline{G_w}^{1.3} + 1{,}16 \cdot 10^6} \tag{2.5.17}$$

$\overline{G_w}$ μπορεί να ισούται με το G_{path} ή το G'_{path} ανάλογα με το κατά πόσον η επίδραση του εδάφους υπολογίζεται με ή χωρίς περίθλαση και σύμφωνα με τη φύση του εδάφους κάτω από την πηγή (πραγματική πηγή ή πηγή με περίθλαση). Αυτό ορίζεται στις επόμενες υποενότητες και συνοψίζεται στον πίνακα 2.5.β.

$$A_{ground,H,\min} = -3(1 - \overline{G_m}) \tag{2.5.18}$$

είναι το κατώτερο όριο της $A_{ground,H}$.

Για διαδρομή (S_i,R) υπό ομοιογενείς συνθήκες χωρίς περίθλαση:

$\overline{G_w} = G'_{path}$

$\overline{G_m} = G'_{path}$

Με περίθλαση, βλ. την ενότητα περί περίθλασης για τους ορισμούς των $\overline{G_w}$ και $\overline{G_m}$.

αν $G_{path} = 0$: $A_{ground,H} = -3$ dB

Ο όρος $-3(1 - \overline{G_m})$ λαμβάνει υπόψη το γεγονός ότι, όταν η πηγή και ο δέκτης απέχουν πολύ μεταξύ τους, η πρώτη πλευρά της πηγής ανάκλασης δεν βρίσκεται πια στην πλατφόρμα, αλλά στο φυσικό έδαφος.

Υπολογισμός υπό ευνοϊκές συνθήκες

Η επίδραση του εδάφους υπό ευνοϊκές συνθήκες υπολογίζεται με την εξίσωση της $A_{ground,H}$, υπό την προϋπόθεση ότι θα γίνουν οι εξής τροποποιήσεις:

Αν $G_{path} \neq 0$

α) Στην εξίσωση της $A_{ground,H}$, τα ύψη z_s και z_r αντικαθίστανται από τα $z_s + \delta z_s + \delta z_T$ και $z_r + \delta z_r + \delta z_T$, αντίστοιχα, όπου

$$\begin{cases} \delta z_s = a_0 \left(\dfrac{z_s}{z_s + z_r} \right)^2 \dfrac{d_p^2}{2} \\ \delta z_r = a_0 \left(\dfrac{z_r}{z_s + z_r} \right)^2 \dfrac{d_p^2}{2} \end{cases} \tag{2.5.19}$$

$a_o = 2 \times 10^{-4}\ \mathrm{m}^{-1}$ είναι το αντίστροφο της ακτίνας καμπυλότητας

$$\delta z_T = 6 \cdot 10^{-3} \frac{d_p}{z_s + z_r}$$

β) Το κατώτατο όριο της $A_{ground,F}$ εξαρτάται από τη γεωμετρία της διαδρομής:

▼M2

►C1 $$A_{ground,F,\min} = \begin{cases} -3\left(1-\overline{G_m}\right) & \alpha\nu\ d_p \le 30\left(z_s+z_r\right) \\ -3\left(1-\overline{G_m}\right)\cdot\left(1+2\left(1-\frac{30\left(z_s+z_r\right)}{d_p}\right)\right) & \alpha\lambda\lambda\iota\acute{\omega}\varsigma \end{cases}$$ ◄ (2.5.20)

Αν $G_{path} = 0$

$A_{\text{ground,F,}} = A_{ground,F,min}$

Οι διορθώσεις του ύψους δz_s και δz_r μεταφέρουν την επίδραση της καμπύλωσης των ακτίνων του ήχου. Η δz_T αντισταθμίζει την επίδραση της τύρβης.

$\overline{G}_m$ μπορεί επίσης να ισούται με το G_{path} ή το G'_{path} ανάλογα με το κατά πόσον η επίδραση του εδάφους υπολογίζεται με ή χωρίς περίθλαση και σύμφωνα με τη φύση του εδάφους κάτω από την πηγή (πραγματική πηγή ή πηγή με περίθλαση). Αυτό καθορίζεται στις ακόλουθες υποενότητες.

Για διαδρομή (S_i,R) υπό ευνοϊκές συνθήκες χωρίς περίθλαση:

$\overline{G}_w = G_{path}$ στην εξίσωση 2.5.17

$\overline{G}_m = G'_{path}$.

Με περίθλαση, βλ. την επόμενη ενότητα για τους ορισμούς των $\overline{G}_w$ και$\overline{G}_m$.

Περίθλαση

Κατά γενικό κανόνα, η περίθλαση μελετάται στην κορυφή κάθε εμποδίου που βρίσκεται επί της διαδρομής διάδοσης. Αν η διαδρομή περνά «αρκετά ψηλά» πάνω από το άκρο της περίθλασης, μπορεί να οριστεί $A_{dif} = 0$ και να υπολογιστεί το άμεσο οπτικό πεδίο, ιδίως μέσω αξιολόγησης της A_{ground}.

Στην πράξη, για κάθε κεντρική συχνότητα της ζώνης συχνοτήτων, η διαφορά διαδρομής δ συγκρίνεται με την ποσότητα — λ/20. Αν ένα εμπόδιο δεν δημιουργεί περίθλαση, κάτι το οποίο καθορίζεται, λόγου χάριν, βάσει του κριτηρίου του Rayleigh, δεν απαιτείται ο υπολογισμός της A_{dif} για την υπό εξέταση ζώνη συχνοτήτων. Με άλλα λόγια, $A_{dif} = 0$ στην περίπτωση αυτή. Διαφορετικά, η A_{dif} υπολογίζεται όπως περιγράφεται στο υπόλοιπο τμήμα αυτού του μέρους. Ο κανόνας αυτός εφαρμόζεται τόσο υπό ομοιογενείς όσο και υπό ευνοϊκές συνθήκες, τόσο για μεμονωμένη όσο και για πολλαπλή περίθλαση.

Όταν, για μια δεδομένη ζώνη συχνοτήτων, ο υπολογισμός γίνεται σύμφωνα με τη διαδικασία που περιγράφεται στην παρούσα ενότητα, η A_{ground} ορίζεται ως ίση με 0 dB κατά τον υπολογισμό της συνολικής εξασθένησης. Η επίδραση του εδάφους λαμβάνεται άμεσα υπόψη στην εξίσωση υπολογισμού της γενικής περίθλασης.

Οι εξισώσεις που προτείνονται εδώ χρησιμοποιούνται για την επεξεργασία της περίθλασης σε πετάσματα μικρού ή μεγάλου πάχους, κτίρια, χωμάτινους αναβαθμούς (φυσικούς ή τεχνητούς), καθώς και εκείνης που προκαλείται από τα άκρα αναχωμάτων, τάφρων και κοιλαδογεφυρών.

Όταν συναντώνται επί της διαδρομής διάδοσης αρκετά εμπόδια που προκαλούν περίθλαση, αντιμετωπίζονται ως πολλαπλή περίθλαση με την εφαρμογή της διαδικασίας που περιγράφεται στην επόμενη ενότητα για τον υπολογισμό της διαφοράς διαδρομής.

▼**M2**

Οι διαδικασίες που παρουσιάζονται εδώ χρησιμοποιούνται για τον υπολογισμό των εξασθενήσεων τόσο υπό ομοιογενείς όσο και υπό ευνοϊκές συνθήκες. Η καμπύλωση των ακτίνων λαμβάνεται υπόψη κατά τον υπολογισμό της διαφοράς διαδρομής και τον υπολογισμό των επιδράσεων του εδάφους πριν και μετά την περίθλαση.

Γενικές αρχές

Το σχήμα 2.5.γ απεικονίζει τη γενική μέθοδο υπολογισμού της εξασθένησης λόγω περίθλασης. Η μέθοδος αυτή βασίζεται στη διαίρεση της διαδρομής διάδοσης σε δύο μέρη: τη διαδρομή προς την «πλευρά της πηγής», που βρίσκεται μεταξύ της πηγής και του σημείου περίθλασης, και τη διαδρομή προς την «πλευρά του δέκτη», που βρίσκεται μεταξύ του σημείου περίθλασης και του δέκτη.

Υπολογίζονται τα εξής:

— η επίδραση του εδάφους στην πλευρά της πηγής $\Delta_{ground(S,O)}$

— η επίδραση του εδάφους στην πλευρά του δέκτη $\Delta_{ground(O,R)}$

— και οι τρεις περιθλάσεις:

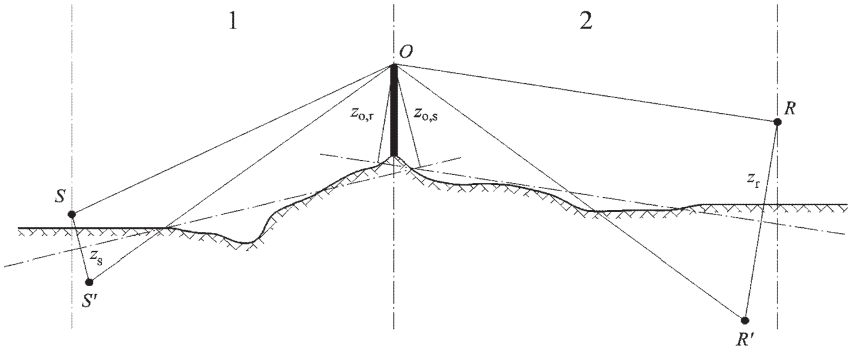
  — μεταξύ της πηγής S και του δέκτη R: $\Delta_{dif(S,R)}$

  — μεταξύ της πηγής της εικόνας S' και του R: $\Delta_{dif(S',R)}$

  — μεταξύ της S και του δέκτη της εικόνας R': $\Delta_{dif(S,R')}$

Σχήμα 2.5.γ

Γεωμετρία υπολογισμού της εξασθένησης λόγω περίθλασης



1: Πλευρά της πηγής

2: Πλευρά του δέκτη

όπου

S είναι η πηγή

R είναι ο δέκτης

S' είναι η πηγή της εικόνας σε σχέση με το μέσο επίπεδο του εδάφους στην πλευρά της πηγής

R' είναι ο δέκτης της εικόνας σε σχέση με το μέσο επίπεδο του εδάφους στην πλευρά του δέκτη

O είναι το σημείο περίθλασης

▼**M2**

z_s είναι το ισοδύναμο ύψος της πηγής *S* σε σχέση με το μέσο επίπεδο του εδάφους στην πλευρά της πηγής

$z_{o,s}$ είναι το ισοδύναμο ύψος του σημείου περίθλασης *O* σε σχέση με το μέσο επίπεδο του εδάφους στην πλευρά του δέκτη

z_r είναι το ισοδύναμο ύψος του δέκτη *R* σε σχέση με το μέσο επίπεδο του εδάφους στην πλευρά της πηγής

$z_{o,r}$ είναι το ισοδύναμο ύψος του σημείου περίθλασης *O* σε σχέση με το μέσο επίπεδο του εδάφους στην πλευρά του δέκτη

Η ανωμαλία του εδάφους μεταξύ της πηγής και του σημείου περίθλασης, καθώς και μεταξύ του σημείου περίθλασης και του δέκτη, λαμβάνεται υπόψη μέσω των ισοδύναμων υψών που υπολογίζονται σε σχέση με το μέσο επίπεδο του εδάφους, πρώτα στην πλευρά της πηγής και έπειτα στην πλευρά του δέκτη (δύο μέσα επίπεδα εδάφους), σύμφωνα με τη μέθοδο που περιγράφεται στην υποενότητα περί σημαντικών υψών πάνω από το έδαφος.

Αμιγής περίθλαση

Για την αμιγή περίθλαση, χωρίς την επίδραση του εδάφους, η εξασθένηση δίνεται από τον τύπο:

$$\Delta_{dif} = \begin{cases} 10C_h \cdot lg\left(3 + \frac{40}{\lambda} C''\delta\right) & \text{αν } \frac{40}{\lambda} C''\delta \geq -2 \\ 0 & \text{αλλιώς} \end{cases} \qquad (2.5.21)$$

όπου

$$C_h = 1 \qquad (2.5.22)$$

λ είναι το μήκος κύματος στην ονομαστική κεντρική συχνότητα της υπό εξέταση ζώνης συχνοτήτων

δ είναι η διαφορά μεταξύ της διαδρομής με περίθλαση και της απευθείας διαδρομής (βλ. επόμενη υποενότητα περί υπολογισμού της διαφοράς διαδρομής)

C'' είναι ο συντελεστής που χρησιμοποιείται προκειμένου να ληφθούν υπόψη οι πολλαπλές περιθλάσεις:

$C'' = 1$ για μεμονωμένη περίθλαση

Για πολλαπλή περίθλαση, αν e είναι η συνολική απόσταση της διαδρομής, O1 έως O2 + O2 έως O3 + O3 έως O4 βάσει της «μεθόδου της ελαστικής ταινίας» (βλ. σχήματα 2.5.δ και 2.5.στ) και, αν η *e* υπερβαίνει τα 0,3 m (αλλιώς $C'' = 1$), ο συντελεστής αυτός ορίζεται από τον τύπο:

$$C'' = \frac{1 + \left(5\lambda/e\right)^2}{1/3 + \left(5\lambda/e\right)^2} \qquad (2.5.23)$$

Οι τιμές της Δ_{dif} περιορίζονται:

— αν $\Delta_{dif} < 0$: $\Delta_{dif} = 0$ Db,

— αν $\Delta_{dif} > 25$: $\Delta_{dif} = 25$ dB για περίθλαση σε οριζόντιο άκρο και μόνο στον όρο Δ_{dif}, που εμφανίζεται στον υπολογισμό της A_{dif}. Αυτό το ανώτατο όριο δεν εφαρμόζεται στους όρους της Δ_{dif} που παρεμβαίνουν στον υπολογισμό της Δ_{ground}, ή για περίθλαση σε κάθετο άκρο (πλευρική περίθλαση) όταν πρόκειται για χαρτογράφηση βιομηχανικού θορύβου.

▼**M2**

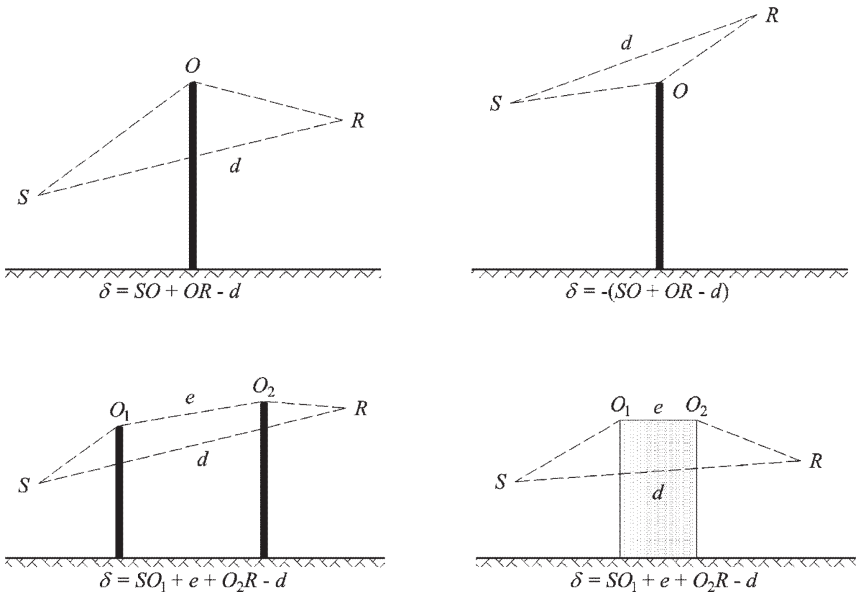
Υπολογισμός της διαφοράς διαδρομής

Η διαφορά διαδρομής *δ* υπολογίζεται σε κάθετο επίπεδο που περιέχει την πηγή και τον δέκτη. Πρόκειται για προσέγγιση σε σχέση με την αρχή του Fermat. Η προσέγγιση εξακολουθεί να ισχύει εν προκειμένω (γραμμικές πηγές). Η διαφορά διαδρομής *δ* υπολογίζεται όπως φαίνεται στα ακόλουθα σχήματα, βάσει των καταστάσεων που ανακύπτουν.

Ομοιογενείς συνθήκες

Σχήμα 2.5.δ

Υπολογισμός της διαφοράς διαδρομής υπό ομοιογενείς συνθήκες. O, O_1 και O_2 είναι τα σημεία περίθλασης

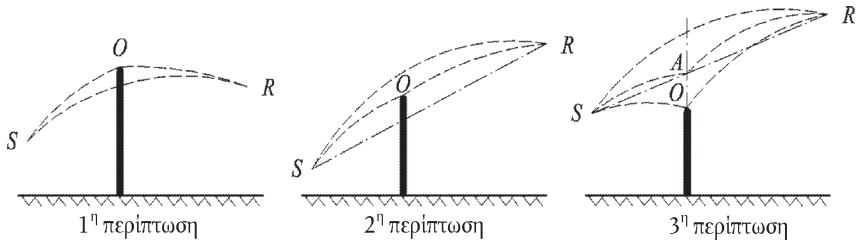


Σημείωση: Για κάθε διάταξη, η έκφραση της *δ* είναι δεδομένη.

Ευνοϊκές συνθήκες

Σχήμα 2.5.ε

Υπολογισμός της διαφοράς διαδρομής υπό ευνοϊκές συνθήκες (μεμονωμένη περίθλαση)



Υπό ευνοϊκές συνθήκες, θεωρείται ότι οι τρεις καμπύλες ηχητικές ακτίνες ►**C1** $\overline{SO}$, $\overline{OR}$ και $\overline{SR}$ ◄ έχουν την ίδια ακτίνα καμπυλότητας Γ, που ορίζεται από τον τύπο:

$$\Gamma = \max(1\,000, 8d) \qquad (2.5.24)$$

Το μήκος της καμπύλης μιας ηχητικής ακτίνας *Μ*Ν συμβολίζεται ως υπό ευνοϊκές συνθήκες. Το μήκος αυτό ισούται με:

▼**M2**

$$\hat{MN} = 2\Gamma \arcsin\left(\frac{MN}{2\Gamma}\right) \tag{2.5.25}$$

Κατ' αρχήν, θα πρέπει να εξεταστούν τρία σενάρια για τον υπολογισμό της διαφοράς διαδρομής υπό ευνοϊκές συνθήκες δ_F (βλ. σχήμα 2.5.ε). Στην πράξη, δύο εξισώσεις αρκούν:

— αν η ευθεία ηχητική ακτίνα *SR* συγκαλύπτεται από το εμπόδιο (1η και 2η περίπτωση στο σχήμα 2.5.ε):

$$\delta_F = \hat{SO} + \hat{OR} - \hat{SR} \tag{2.5.26}$$

— αν η ευθεία ηχητική ακτίνα *SR* δεν συγκαλύπτεται από το εμπόδιο (3η περίπτωση στο σχήμα 2.5.ε):

$$\delta_F = 2\hat{SA} + 2\hat{AR} - \hat{SO} - \hat{OR} - \hat{SR} \tag{2.5.27}$$

όπου *A* είναι το σημείο τομής της ευθείας ηχητικής ακτίνας *SR* και της επέκτασης του εμποδίου που προκαλεί την περίθλαση.

Για πολλαπλές περιθλάσεις υπό ευνοϊκές συνθήκες:

— καθορίζεται το κυρτό πολύγωνο που ορίζεται από τα διάφορα πιθανά άκρα της περίθλασης,

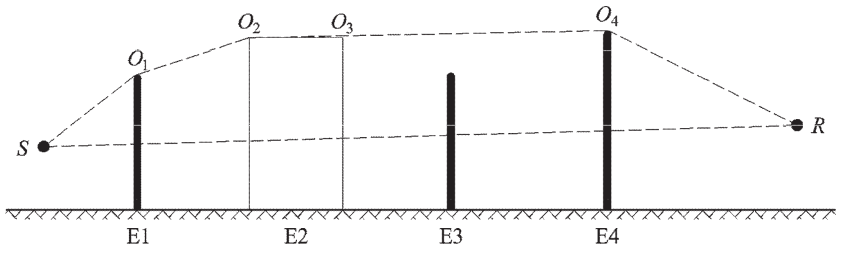
— εξαλείφονται τα άκρα της περίθλασης που δεν βρίσκονται στο όριο του κυρτού πολυγώνου,

— υπολογίζεται η δ_F βάσει των μηκών της καμπύλης ηχητικής ακτίνας, διαιρώντας τη διαδρομή που έχει υποστεί περίθλαση στον απαραίτητο αριθμό καμπύλων τμημάτων (βλ. σχήμα 2.5.στ)

$$\delta_F = \hat{SO}_1 + \sum_{i=1}^{i=n-1} O_i\hat{O}_{i+1} + \hat{O}_n R - \hat{SR} \tag{2.5.28}$$

Σχήμα 2.5.στ

Παράδειγμα υπολογισμού της διαφοράς διαδρομής υπό ευνοϊκές συνθήκες, σε περίπτωση πολλαπλών περιθλάσεων



Στο σενάριο που παρουσιάζεται στο σχήμα 2.5.στ, η διαφορά διαδρομής είναι:

$$\delta_F = \hat{SO}_1 + O_1\hat{O}_2 + O_2\hat{O}_3 + O_3\hat{O}_4 + \hat{O}_4 R - \hat{SR} \tag{2.5.29}$$

Υπολογισμός της εξασθένησης A_{dif}

Η εξασθένηση λόγω περίθλασης, λαμβάνοντας υπόψη τις επιδράσεις στην πλευρά της πηγής και στην πλευρά του δέκτη, υπολογίζεται βάσει των εξής γενικών εξισώσεων:

▼M2

$$A_{dif} = \Delta_{dif(S,R)} + \Delta_{ground(S,O)} + \Delta_{ground(O_n,R)} \quad (2.5.30)$$

όπου

— $\Delta_{dif\ (S,R)}$ είναι η εξασθένηση που οφείλεται στην περίθλαση μεταξύ της πηγής S και του δέκτη R

— $\Delta_{ground(S,O)}$ είναι η εξασθένηση που οφείλεται στην επίδραση του εδάφους στην πλευρά της πηγής, σταθμισμένη βάσει της περίθλασης στην πλευρά της πηγής· όπου νοείται ότι $O = O_1$ όταν πρόκειται για πολλαπλές περιθλάσεις όπως στο σχήμα 2.5.στ

— $\Delta_{ground(O,R)}$ είναι η εξασθένηση που οφείλεται στην επίδραση του εδάφους στην πλευρά του δέκτη, σταθμισμένη βάσει της περίθλασης στην πλευρά του δέκτη [βλ. την επόμενη υποενότητα περί υπολογισμού του όρου $\Delta_{ground(O,R)}$]

Υπολογισμός του όρου $\Delta_{ground(S,O)}$

$$\Delta_{ground(S,O)} = -20 \times \lg\left(1 + \left(10^{-A_{ground(S,O)}/20} - 1\right) \cdot 10^{-\left(\Delta_{dif(S',R)} - \Delta_{dif(S,R)}\right)/20}\right) \quad (2.5.31)$$

όπου

— $A_{ground(S,O)}$ είναι η εξασθένηση που οφείλεται στην επίδραση του εδάφους μεταξύ της πηγής S και του σημείου περίθλασης O. Ο όρος αυτός υπολογίζεται όπως αναφέρεται στην προηγούμενη υποενότητα περί υπολογισμών υπό ομοιογενείς συνθήκες και στην προηγούμενη υποενότητα περί υπολογισμών υπό ευνοϊκές συνθήκες, με τις εξής παραδοχές:

$z_r = z_{o,s}$

— Το G_{path} υπολογίζεται μεταξύ της S και του O

— Υπό ομοιογενείς συνθήκες: $\overline{G}_w = G'_{path}$ στην εξίσωση 2.5.17, $\overline{G}_m = G'_{path}$ στην εξίσωση 2.5.18

— Υπό ευνοϊκές συνθήκες: $\overline{G}_w = G_{path}$ στην εξίσωση (2.5.17), $\overline{G}_m = G'_{path}$ στην εξίσωση 2.5.20

— $\Delta_{dif(S',R)}$ είναι η εξασθένηση που οφείλεται στην περίθλαση μεταξύ της πηγής της εικόνας S' *και του* R, η οποία υπολογίζεται όπως αναφέρεται στην προηγούμενη υποενότητα περί αμιγούς περίθλασης

— $\Delta_{dif(S,R)}$ είναι η εξασθένηση που οφείλεται στην περίθλαση μεταξύ της S και του R, η οποία υπολογίζεται όπως αναφέρεται στην προηγούμενη υποενότητα περί αμιγούς περίθλασης.

Υπολογισμός του όρου $\Delta_{ground(O,R)}$

$$\Delta_{ground(O,R)} = -20 \times \lg\left(1 + \left(10^{-A_{ground(O,R)}/20} - 1\right) \cdot 10^{-\left(\Delta_{dif(S,R')} - \Delta_{dif(S,R)}\right)/20}\right) \quad (2.5.32)$$

όπου

— $A_{ground\ (O,R)}$ είναι η εξασθένηση που οφείλεται στην επίδραση του εδάφους μεταξύ του σημείου περίθλασης O και του δέκτη R. Ο όρος αυτός υπολογίζεται όπως αναφέρεται στην προηγούμενη υποενότητα περί υπολογισμού υπό ομοιογενείς συνθήκες και στην προηγούμενη υποενότητα περί υπολογισμού υπό ευνοϊκές συνθήκες, με τις εξής παραδοχές:

$z_s = z_{o,r}$

— *Το* G_{path} υπολογίζεται μεταξύ του O και του R

Δεν χρειάζεται να ληφθεί υπόψη εν προκειμένω η διόρθωση του G'_{path} εφόσον η υπό εξέταση πηγή είναι το σημείο περίθλασης. Ως εκ τούτου, το G_{path} χρησιμοποιείται όντως για τον υπολογισμό των επιδράσεων του εδάφους, συμπεριλαμβανομένου του όρου του κατώτερου ορίου της εξίσωσης που καθίσταται $-3(1-G_{path})$.

▼M2

— Υπό ομοιογενείς συνθήκες, $\overline{G}_w = G_{path}$ στην εξίσωση 2.5.17 και $\overline{G}_m = G_{path}$ στην εξίσωση 2.5.18

— Υπό ευνοϊκές συνθήκες, $\overline{G}_w = G_{path}$ στην εξίσωση 2.5.17 και $\overline{G}_m = G_{path}$ στην εξίσωση 2.5.20

— $\Delta_{dif(S,R')}$ είναι η εξασθένηση που οφείλεται στην περίθλαση μεταξύ της S και του δέκτη της εικόνας R', η οποία υπολογίζεται όπως αναφέρεται στην προηγούμενη ενότητα περί αμιγούς περίθλασης

— $\Delta_{dif(S,R)}$ είναι η εξασθένηση που οφείλεται στην περίθλαση μεταξύ της S και του R, η οποία υπολογίζεται όπως αναφέρεται στην προηγούμενη υποενότητα περί αμιγούς περίθλασης

Σενάρια κάθετων άκρων

Η εξίσωση 2.5.21 μπορεί να χρησιμοποιηθεί για τον υπολογισμό των περιθλάσεων στα κάθετα άκρα (πλευρικές περιθλάσεις) όταν πρόκειται για βιομηχανικό θόρυβο. Σ' αυτή την περίπτωση, λαμβάνεται $A_{dif} = \Delta_{dif(S,R)}$ και διατηρείται ο όρος A_{ground}. Επιπροσθέτως, οι A_{atm} και A_{ground} υπολογίζονται από το συνολικό μήκος της διαδρομής διάδοσης. Η A_{div} εξακολουθεί να υπολογίζεται από την απευθείας απόσταση d. Οι εξισώσεις 2.5.8 και 2.5.6 καθίστανται αντίστοιχα:

$$A_H = A_{div} + A_{atm}^{path} + A_{ground,H}^{path} + \Delta_{dif,H(S,R)} \quad (2.5.33)$$

$$A_F = A_{div} + A_{atm}^{path} + A_{ground,F}^{path} + \Delta_{dif,H(S,R)} \quad (2.5.34)$$

Η Δ_{dif} χρησιμοποιείται όντως υπό ομοιογενείς συνθήκες στην εξίσωση 2.5.34.

Ανακλάσεις σε κάθετα εμπόδια

Εξασθένηση μέσω απορρόφησης

Οι ανακλάσεις σε κάθετα εμπόδια αντιμετωπίζονται μέσω πηγών εικόνας. Συνεπώς, οι ανακλάσεις σε προσόψεις κτιρίων και ηχητικούς φραγμούς αντιμετωπίζονται κατ' αυτόν τον τρόπο.

Ένα εμπόδιο θεωρείται κάθετο αν η κλίση του σε σχέση με την κάθετο είναι μικρότερη από 15°.

Όταν πρόκειται για ανακλάσεις σε αντικείμενα των οποίων η κλίση σε σχέση με την κάθετο είναι ίση ή μεγαλύτερη από 15°, το αντικείμενο δεν λαμβάνεται υπόψη.

Τα εμπόδια των οποίων τουλάχιστον μία διάσταση είναι μικρότερη από 0,5 m δεν λαμβάνονται υπόψη κατά τον υπολογισμό της ανάκλασης, εκτός αν πρόκειται για ειδικές διατάξεις ([1]).

Σημειωτέον ότι οι ανακλάσεις στο έδαφος δεν εξετάζονται εν προκειμένω. Λαμβάνονται υπόψη στους υπολογισμούς της εξασθένησης που οφείλεται στο όριο (έδαφος, περίθλαση).

Αν L_{WS} είναι η στάθμη ισχύος της πηγής S και α_r είναι ο συντελεστής απορρόφησης της επιφάνειας του εμποδίου, όπως ορίζεται στο πρότυπο EN 1793-1:2013, τότε η στάθμη ισχύος της πηγής της εικόνας S' ισούται με:

$$L_{WS'} = L_{WS} + 10 \cdot \lg(1 - \alpha_r) = L_{WS} + A_{refl} \quad (2.5.35)$$

όπου $0 \leq \alpha_r < 1$

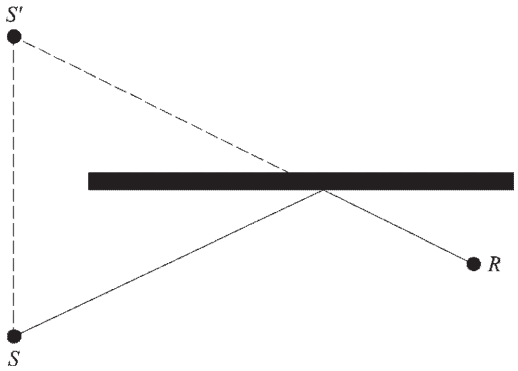
([1]) Ένα δίκτυο μικρών εμποδίων σε ένα επίπεδο και ανά τακτά διαστήματα αποτελεί παράδειγμα ειδικής διάταξης.

▼M2

Οι εξασθενήσεις της διάδοσης που περιγράφονται ανωτέρω εφαρμόζονται τότε σ′ αυτή τη διαδρομή (πηγή εικόνας, δέκτης), όπως και για την απευθείας διαδρομή.

Σχήμα 2.5.ζ

Κατοπτρική ανάκλαση σε εμπόδιο που αντιμετωπίζεται με τη μέθοδο της πηγής της εικόνας (S: πηγή, S′: πηγή εικόνας, R: δέκτης)



Εξασθένηση λόγω οπισθοπερίθλασης

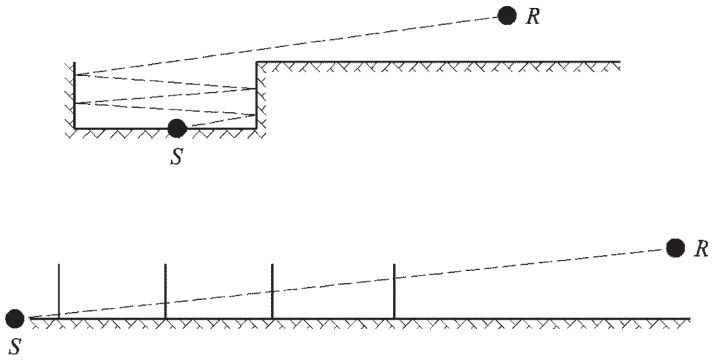
Στη γεωμετρική έρευνα ηχητικών διαδρομών, κατά την ανάκλαση σε κάθετο εμπόδιο (φράγμα τοίχου, κτίριο), η θέση πρόσκρουσης της ακτίνας σε σχέση με το άνω άκρο του εμποδίου αυτού καθορίζει την περισσότερο ή λιγότερο σημαντική αναλογία της ενέργειας που ανακλάται στην πραγματικότητα. Αυτή η απώλεια ακουστικής ενέργειας όταν η ακτίνα υποβάλλεται σε ανάκλαση αποκαλείται εξασθένηση λόγω οπισθοπερίθλασης.

Όταν πρόκειται για πολλαπλές ανακλάσεις μεταξύ δύο κάθετων τοίχων, λαμβάνεται υπόψη τουλάχιστον η πρώτη ανάκλαση.

Όταν πρόκειται για τάφρο (βλ. για παράδειγμα το σχήμα 2.5.η), η εξασθένηση λόγω οπισθοπερίθλασης εφαρμόζεται σε κάθε ανάκλαση πάνω στους τοίχους αντιστήριξης.

Σχήμα 2.5.η

Η ηχητική ακτίνα ανακλάται σε 4η τάξη σε μια τροχιά που βρίσκεται σε τάφρο: πραγματική διατομή (άνω σχήμα), διατομή σε ευθεία γραμμή (κάτω σχήμα)



Στην παρούσα αναπαράσταση, η ηχητική εικόνα φτάνει στον δέκτη «περνώντας διαδοχικά διαμέσου» των τοίχων αντιστήριξης της τάφρου, που μπορούν ως εκ τούτου να παρομοιαστούν με ανοίγματα.

Κατά τον υπολογισμό της διάδοσης διαμέσου ενός ανοίγματος, το ηχητικό πεδίο στον δέκτη είναι το άθροισμα του άμεσου πεδίου και του πεδίου που έχει υποστεί περίθλαση από τα άκρα του ανοίγματος. Το πεδίο που έχει υποστεί περίθλαση διασφαλίζει τη συνέχεια της μετάδοσης μεταξύ της

▼M2

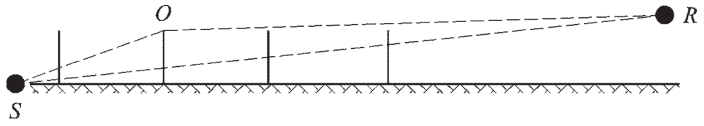
καθαρής περιοχής και της σκιασμένης περιοχής. Όταν η ακτίνα προσεγγίζει το άκρο του ανοίγματος, το άμεσο πεδίο εξασθενίζει. Ο υπολογισμός είναι ίδιος με εκείνον που χρησιμοποιείται για την εξασθένηση λόγω φραγμού στην καθαρή περιοχή.

Η διαφορά διαδρομής δ' που συνδέεται με κάθε οπισθοπερίθλαση είναι το αντίθετο της διαφοράς διαδρομής μεταξύ της S και του R περίπου σε κάθε άνω άκρο O, και αυτό σε οπτικό πεδίο σύμφωνα με τη χρησιμοποιούμενη διατομή (βλ. σχήμα 2.5.θ).

$$\delta' = -(SO + OR - SR) \tag{2.5.36}$$

Σχήμα 2.5.θ

Η διαφορά διαδρομής για τη δεύτερη ανάκλαση



Το πρόσημο «μείον» της εξίσωσης 2.5.36 σημαίνει ότι ο δέκτης θεωρείται εν προκειμένω ότι βρίσκεται στην καθαρή περιοχή.

Η εξασθένηση λόγω οπισθοπερίθλασης $\Delta_{retrodif}$ λαμβάνεται με την εξίσωση 2.5.37, που είναι παρόμοια με την εξίσωση 2.5.21 με αναπροσαρμοσμένους συμβολισμούς.

$$\Delta_{retrodif} = \begin{cases} 10C_h \cdot \lg\left(3 + \dfrac{40}{\lambda}\delta'\right) & \alpha\nu\ \dfrac{40}{\lambda}\delta' \geq -2 \\ 0 & \alpha\lambda\lambda\iota\acute{\omega}\varsigma \end{cases} \tag{2.5.37}$$

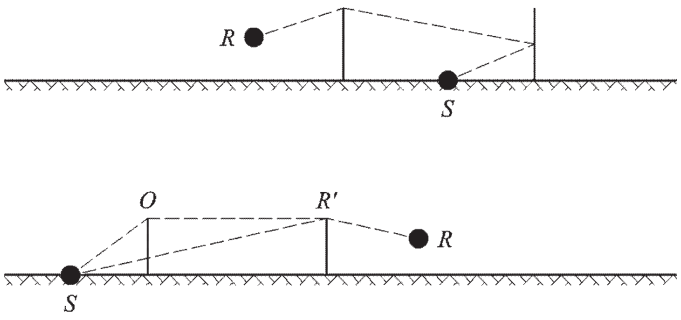
Αυτή η εξασθένηση εφαρμόζεται στην απευθείας ακτίνα κάθε φορά που «διέρχεται» διαμέσου ενός τοίχου ή κτιρίου [αντανακλάται σε αυτό(-όν)]. Ως εκ τούτου, η στάθμη ισχύος της πηγής της εικόνας S' καθίσταται:

$$L_{W'} = L_W + 10 \times \lg(1 - \alpha_r) - \Delta_{retrodif} \tag{2.5.38}$$

Σε περίπλοκες διατάξεις διάδοσης, ενδέχεται να υπάρχουν περιθλάσεις μεταξύ ανακλάσεων ή μεταξύ του δέκτη και των ανακλάσεων. Στην περίπτωση αυτή, η οπισθοπερίθλαση που οφείλεται στους τοίχους εκτιμάται λαμβάνοντας υπόψη τη διαδρομή μεταξύ της πηγής και του πρώτου σημείου περίθλασης R′ (που θεωρείται, ως εκ τούτου, ως ο δέκτης στην εξίσωση 2.5.36). Η αρχή αυτή απεικονίζεται στο σχήμα 2.5.ι.

Σχήμα 2.5.ι

Η διαφορά διαδρομής υπό την παρουσία περίθλασης: πραγματική διατομή (άνω σχήμα), διατομή σε ευθεία γραμμή (κάτω σχήμα)



Όταν πρόκειται για πολλαπλές ανακλάσεις, προστίθενται οι ανακλάσεις που οφείλονται σε κάθε επιμέρους ανάκλαση.

▼M2

2.6. **Γενικές διατάξεις — Αεροπορικός θόρυβος**

2.6.1. *Ορισμοί και σύμβολα*

Ορισμένοι σημαντικοί *όροι* περιγράφονται εδώ βάσει των γενικών εννοιών που τους αποδίδονται στο παρόν έγγραφο. Ο κατάλογος δεν είναι εξαντλητικός· περιλαμβάνει μόνο τις εκφράσεις και τα αρκτικόλεξα που χρησιμοποιούνται συχνά. Τα υπόλοιπα περιγράφονται την πρώτη φορά που εμφανίζονται.

Τα μαθηματικά *σύμβολα* (που αναφέρονται μετά τους όρους) είναι τα κυριότερα που χρησιμοποιούνται στις εξισώσεις στο βασικό κείμενο. Άλλα σύμβολα που χρησιμοποιούνται σε διάφορα επιμέρους σημεία τόσο του κειμένου όσο και των προσαρτημάτων ορίζονται εκεί όπου χρησιμοποιούνται.

Υπενθυμίζεται τακτικά στον αναγνώστη ότι οι λέξεις *ήχος* και *θόρυβος* αποτελούν εναλλάξιμες έννοιες στο παρόν έγγραφο. Μολονότι η λέξη *θόρυβος* έχει υποκειμενικές προεκτάσεις —συνήθως ορίζεται από τους ειδικούς στην ακουστική ως «ανεπιθύμητος ήχος»—, στον τομέα του ελέγχου του αεροπορικού θορύβου νοείται συνήθως ως απλός ήχος —αερομεταφερόμενη ενέργεια μεταδιδόμενη με την κίνηση ακουστικών κυμάτων. Το σύμβολο «→» υποδηλώνει παραπομπές σε άλλους όρους που περιλαμβάνονται στον κατάλογο.

Όροι

AIP	Aeronautical Information Publication (Δημοσίευση Αεροναυτικών Πληροφοριών)
Διαμόρφωση αεροσκάφους	Οι θέσεις των υπεραντωτών χείλους προσβολής και εκφυγής και του συστήματος προσγείωσης.
Κίνηση του αεροσκάφους	Άφιξη, αναχώρηση ή άλλη ενέργεια του αεροσκάφους που επηρεάζει την έκθεση σε θόρυβο γύρω από ένα αεροδρόμιο.
Αεροπορικός θόρυβος και δεδομένα επιδόσεων	Δεδομένα που περιγράφουν τα ακουστικά χαρακτηριστικά και τα χαρακτηριστικά επιδόσεων των διαφόρων τύπων αεροπλάνων, τα οποία είναι απαραίτητα για τη διαδικασία μοντελοποίησης. Περιλαμβάνει → *NPD σχέσεις* και πληροφορίες που επιτρέπουν τον υπολογισμό της ώσης/ισχύος του κινητήρα που υπολογίζεται ως συνάρτηση της → *διαμόρφωσης πτήσης*. Τα δεδομένα παρέχονται συνήθως από τον κατασκευαστή του αεροσκάφους. Ωστόσο, όταν αυτό δεν είναι δυνατόν, ενίοτε λαμβάνονται από άλλες πηγές. Όταν δεν υπάρχουν διαθέσιμα δεδομένα, είναι σύνηθες να αναπαριστάται το υπό εξέταση αεροσκάφος μέσω της προσαρμογής των δεδομένων για κατάλληλο παρόμοιο αεροσκάφος —η τακτική αυτή αναφέρεται ως *υποκατάσταση*.
Υψόμετρο	Ύψος πάνω από τη μέση στάθμη της θάλασσας.
Βάση δεδομένων ANP	Η βάση δεδομένων θορύβου και επιδόσεων αεροσκαφών που περιλαμβάνεται στο προσάρτημα Ι.

▼**M2**

Α-σταθμισμένη ηχοστάθμη, L_A	Βασική κλίμακα στάθμης ήχου/θορύβου που χρησιμοποιείται για τη μέτρηση του περιβαλλοντικού θορύβου, συμπεριλαμβανομένου του θορύβου από αεροσκάφη, στην οποία βασίζονται τα περισσότερα μετρούμενα μεγέθη ισοθορυβικών καμπυλών.
Βασικό ίχνος επί του εδάφους	Αντιπροσωπευτικό ή ονομαστικό ίχνος επί του εδάφους, που ορίζει το κέντρο μιας ζώνης ιχνών.
Βασική στάθμη θορύβου απλού γεγονότος	Η στάθμη θορύβου απλού γεγονότος που αναφέρεται στη βάση δεδομένων NPD.
Απελευθέρωση πέδης	→ *Έναρξη κύλισης*
Διορθωμένη καθαρή ώση	Σε δεδομένη ρύθμιση ισχύος (π.χ. *EPR* ή N_1), η καθαρή ώση συμβαδίζει με την πυκνότητα του αέρα και, ως εκ τούτου, μειώνεται με την αύξηση του υψομέτρου του αεροσκάφους. Διορθωμένη καθαρή ώση είναι η τιμή στη στάθμη της θάλασσας.
Σωρευτική στάθμη ήχου/θορύβου	Μέτρηση του θορύβου σε ντεσιμπέλ που λαμβάνεται σε συγκεκριμένο χρονικό διάστημα, σε ένα σημείο κοντά στον αερολιμένα, η οποία δημιουργείται από την κυκλοφορία των αεροπλάνων με χρήση κανονικών συνθηκών λειτουργίας και ιχνών πτήσης. Υπολογίζεται με την άθροιση καθ' οιονδήποτε τρόπο των σταθμών θορύβου/ήχου, γεγονότος που εμφανίζονται στο σημείο αυτό.
Άθροισμα ή μέσος όρος ντεσιμπέλ	Μερικές φορές αναφέρεται αλλού ως τιμές «ενέργειας» ή «λογαριθμικές» τιμές (σε αντίθεση με τις αριθμητικές τιμές). Χρησιμοποιείται όταν είναι σκόπιμο να υπολογιστεί το άθροισμα ή ο μέσος όρος των υποκείμενων ποσοτήτων που είναι παρόμοιες με την ενέργεια, π.χ. *άθροισμα ντεσιμπέλ.* $= 10 \cdot \lg \sum 10^{L_i/10}$
Κλάσμα ενέργειας, F	Λόγος της ηχητικής ενέργειας που λαμβάνεται από ένα τμήμα προς την ενέργεια που λαμβάνεται από το άπειρο ίχνος πτήσης.
Ρύθμιση ισχύος κινητήρα	Τιμή της → *παραμέτρου ισχύος που σχετίζεται με τον θόρυβο* που χρησιμοποιείται για τον καθορισμό των εκπομπών θορύβου από τη βάση δεδομένων NPD.
Ισοδύναμη (συνεχής) στάθμη θορύβου, L_{eq}	Μέτρο του μακροπρόθεσμου ήχου. Η στάθμη του υποθετικού σταθερού ήχου που κατά τη διάρκεια ορισμένης χρονικής περιόδου περιλαμβάνει την ίδια συνολική ενέργεια με τον πραγματικό μεταβλητό ήχο.

▼**M2**

Στάθμη ήχου/θορύβου γεγονότος	Μέτρηση σε ντεσιμπέλ της πεπερασμένης ποσότητας ήχου (ή θορύβου) που λαμβάνεται από ένα διερχόμενο αεροπλάνο → *επίπεδο έκθεσης σε θόρυβο*
Διαμόρφωση πτήσης	= → *Διαμόρφωση πτήσης* + → *Παράμετροι πτήσης*
Παράμετροι πτήσης	Ρύθμιση ισχύος αεροσκάφους, ταχύτητα, γωνία κλίσης και βάρος.
Ίχνος πτήσης	Το ίχνος ενός αεροσκάφους στον αέρα, καθοριζόμενο σε τρεις διαστάσεις, συνήθως με αναφορά στην προέλευση στο σημείο έναρξης της κύλισης απογείωσης ή στο κατώφλι προσγείωσης.
Τμήμα ίχνους πτήσης	Μέρος του ίχνους πτήσης του αεροσκάφους που αναπαριστάται για τη μοντελοποίηση του θορύβου σε ευθεία γραμμή πεπερασμένου μήκους.
Διαδικασία πτήσης	Η αλληλουχία λειτουργικών βημάτων που ακολουθεί το πλήρωμα του αεροσκάφους ή το σύστημα διαχείρισης πτήσης: εκφράζεται υπό τη μορφή αλλαγών της διαμόρφωσης πτήσης ως συνάρτηση της ταχύτητας κατά μήκος του ίχνους επί του εδάφους.
Προφίλ πτήσης	Διακύμανση του ύψους του αεροσκάφους κατά μήκος του ίχνους επί του εδάφους (ενίοτε περιλαμβάνει και αλλαγές της → *διαμόρφωσης πτήσης*) —που περιγράφεται μέσω μιας δέσμης → *χαρακτηριστικών σημείων*.
Επίπεδο εδάφους	(ή ονομαστικό επίπεδο εδάφους) Οριζόντια επιφάνεια επί του εδάφους μέσω του σημείου αναφοράς αεροδρομίου επί της οποίας υπολογίζονται κανονικά οι ισοθορυβικές καμπύλες.
Ταχύτητα εδάφους	Ταχύτητα αεροσκάφους σε σχέση με ένα σταθερό σημείο επί του εδάφους.
Ίχνος επί του εδάφους	Κάθετη προβολή του ίχνους πτήσης πάνω στο επίπεδο εδάφους.
Ύψος	Κατακόρυφη απόσταση μεταξύ του αεροσκάφους και του → *επιπέδου εδάφους*
Ολοκληρωμένη ηχοστάθμη	Εναλλακτικά ορίζεται και ως → *επίπεδο έκθεσης σε θόρυβο απλού γεγονότος*.

▼**M2**

ISA	Διεθνής πρότυπη ατμόσφαιρα (International Standard Atmosphere) —ορίζεται από τον ΔΟΠΑ. Ορίζει τη διακύμανση της θερμοκρασίας, της πίεσης και της πυκνότητας του αέρα ανάλογα με το ύψος πάνω από τη μέση στάθμη της θάλασσας. Χρησιμοποιείται για την κανονικοποίηση των αποτελεσμάτων των υπολογισμών σχεδιασμού του αεροσκάφους και την ανάλυση των δεδομένων δοκιμών.
Πλευρική εξασθένηση	Πρόσθετη εξασθένηση του ήχου με την απόσταση, η οποία αποδίδεται, άμεσα ή έμμεσα, στην παρουσία της επιφάνειας του εδάφους. Σημαντική σε μικρές γωνίες ανύψωσης (του αεροσκάφους πάνω από το επίπεδο του εδάφους).
Μέγιστη στάθμη θορύβου/ήχου	Η μέγιστη ηχοστάθμη που επιτυγχάνεται κατά τη διάρκεια ενός γεγονότος.
Μέση στάθμη της θάλασσας (*MSL*)	Το τυποποιημένο επίπεδο της επιφάνειας της γης στο οποίο αναφέρεται η → ISA.
Καθαρή ώση	Η προωθητική δύναμη που ασκείται από κινητήρα επί του πλαισίου του αεροσκάφους.
Θόρυβος	Ο θόρυβος ορίζεται ως ανεπιθύμητος ήχος. Ωστόσο, βάσει μετρούμενων μεγεθών όπως η *A-σταθμισμένη ηχοστάθμη* (L_A) και το *πραγματικό επίπεδο αισθητού θορύβου* (EPNL), τα επίπεδα θορύβου μετατρέπονται στην πράξη σε ηχοστάθμες. Παρά τη συνακόλουθη έλλειψη συνέπειας, οι όροι «ήχος» και «θόρυβος» χρησιμοποιούνται ενίοτε εναλλακτικά στο παρόν έγγραφο, όπως και αλλού —ιδίως σε συνδυασμό με τις λέξεις *επίπεδο/στάθμη*.
Ισοθορυβική καμπύλη	Γραμμή σταθερής τιμής μιας σωρευτικής ηχοστάθμης ή ενός σωρευτικού δείκτη θορύβου αεροσκαφών γύρω από αερολιμένα.
Επιπτώσεις του θορύβου	Οι αρνητικές επιπτώσεις του θορύβου στους δέκτες του. Επισημαίνεται ότι τα μετρούμενα μεγέθη θορύβου νοούνται ως δείκτες των επιπτώσεων του θορύβου.

▼**M2**

Δείκτης θορύβου	Μέτρο του μακροχρόνιου ή σωρευτικού ήχου που συσχετίζεται με τις επιπτώσεις του στους ανθρώπους (δηλαδή θεωρείται μέσο πρόβλεψης των επιπτώσεων αυτών). Μπορεί να λαμβάνονται ως ένα βαθμό υπόψη πρόσθετοι παράγοντες πέραν του μεγέθους του ήχου (ιδίως η ώρα της ημέρας). Ένα παράδειγμα είναι η στάθμη ημέρας, βραδιού, νύχτας L_{DEN}.
Στάθμη θορύβου	Μέτρο του ήχου σε ντεσιμπέλ, σε κλίμακα που δείχνει την ένταση ή τον θόρυβο. Για τον περιβαλλοντικό θόρυβο από αεροσκάφη, χρησιμοποιούνται κατά κανόνα δύο κλίμακες: η A-σταθμισμένη ηχοστάθμη και το πραγματικό επίπεδο αισθητού θορύβου. Οι κλίμακες αυτές εφαρμόζουν διαφορετικές σταθμίσεις για τους ήχους διαφορετικών συχνοτήτων, προκειμένου να μιμηθούν την ανθρώπινη αίσθηση.
Μέτρηση θορύβου	Έκφραση που χρησιμοποιείται για να περιγράψει κάθε μέτρο της ποσότητας του θορύβου στη θέση ενός δέκτη, είτε πρόκειται για απλό γεγονός είτε για συσσώρευση θορύβου για παρατεταμένο διάστημα. Υφίστανται δύο ευρέως χρησιμοποιούμενα μέτρα θορύβου απλού γεγονότος: το *μέγιστο επίπεδο* που επιτεύχθηκε κατά τη διάρκεια του γεγονότος ή το *επίπεδο έκθεσης σε θόρυβο*, δηλαδή το μέτρο της συνολικής ηχητικής ενέργειας που καθορίζεται μέσω χρονικής ολοκλήρωσης.
Σχέσεις/δεδομένα θορύβου-ισχύος-απόστασης (NPD)	Τα επίπεδα θορύβου απλού γεγονότος πινακοποιημένα ως συνάρτηση της απόστασης κάτω από ένα αεροπλάνο σε σταθερό υψόμετρο πτήσης, σε ταχύτητα αναφοράς και σε ατμόσφαιρα αναφοράς, για την καθεμιά από ένα σύνολο → *ρυθμίσεων ισχύος κινητήρα*. Τα δεδομένα εξηγούν τις επιπτώσεις της ηχοεξασθένησης λόγω της διάδοσης σφαιρικών κυμάτων (νόμος αντίστροφου τετραγώνου) και της ατμοσφαιρικής απορρόφησης. Η απόσταση ορίζεται κάθετα προς το ίχνος πτήσης του αεροπλάνου και του άξονα των πτερύγων του αεροσκάφους (δηλαδή κάθετα κάτω από το αεροσκάφος σε μη κεκλιμένη πτήση).

▼**M2**

Παράμετρος ισχύος σχετιζόμενη με τον θόρυβο	Παράμετρος που περιγράφει ή καταδεικνύει την προωθητική προσπάθεια που δημιουργείται από κινητήρα αεροσκάφους με τον οποίο είναι λογικώς δυνατόν να συσχετιστεί η εκπομπή ακουστικής ισχύος. Συνήθως θεωρείται ότι είναι η → *διορθωμένη καθαρή ώση*. Ονομάζεται γενικώς «ισχύς» ή «ρύθμιση ισχύος» σε όλο το κείμενο.
Σημασία του θορύβου	Η εισφορά από το τμήμα του ίχνους πτήσης είναι «σημαντική για τον θόρυβο» αν επηρεάζει τη στάθμη θορύβου γεγονότος (event noise level) σε σημαντικό βαθμό. Αγνοώντας τμήματα που δεν είναι σημαντικά ως προς τον θόρυβο, εξοικονομούμε μεγάλες ποσότητες υπολογιστικής επεξεργασίας
Παρατηρητής	→ *Δέκτης*
Διαδικαστικά βήματα	Οδηγίες για εκτέλεση ενός προφίλ πτήσης, βήματα που περιλαμβάνουν μεταβολές ταχύτητας και/ή υψομέτρου.
Σημείο προφίλ	Ύψος του τελικού σημείου τμήματος ίχνους πτήσης —σε κάθετο επίπεδο πάνω από το ίχνος επί του εδάφους
Δέκτης	Δέκτης θορύβου προερχόμενου από μια πηγή. Πρόκειται κυρίως για ένα σημείο πάνω ή κοντά στην επιφάνεια του εδάφους.
Ατμόσφαιρα αναφοράς	Πινακοποίηση των ρυθμών ηχητικής απορροφητικότητας που χρησιμοποιούνται για την τυποποίηση των δεδομένων NPD (βλέπε **προσάρτημα Δ**).
Ημέρα αναφοράς	Σύνολο ατμοσφαιρικών συνθηκών βάσει των οποίων τυποποιούνται τα δεδομένα ANP.
Διάρκεια αναφοράς	Ονομαστικό χρονικό διάστημα που χρησιμοποιείται για την τυποποίηση των μετρήσεων του επιπέδου έκθεσης σε θόρυβο απλού γεγονότος. Ισούται με 1 δευτερόλεπτο στην περίπτωση της → *SEL*.
Ταχύτητα αναφοράς	Ταχύτητα εδάφους αεροπλάνου στην οποία κανονικοποιούνται τα δεδομένα NPD της → *SEL*.
SEL	→ Επίπεδο έκθεσης σε θόρυβο
Επίπεδο έκθεσης σε θόρυβο απλού γεγονότος	Η ηχοστάθμη που θα είχε ένα γεγονός εάν όλη η ηχητική του ενέργεια συμπιεζόταν ομοιόμορφα σε τυποποιημένο χρονικό διάστημα γνωστό ως → *διάρκεια αναφοράς*.

▼**M2**

Μαλακό έδαφος	Επιφάνεια του εδάφους που είναι «μαλακή» από ακουστικής απόψεως, καλυμμένη συνήθως με γρασίδι, η οποία περιβάλλει τα περισσότερα αεροδρόμια. Οι «σκληρές» επιφάνειες από ακουστικής απόψεως, δηλαδή οι εξαιρετικά ανακλαστικές επιφάνειες, περιλαμβάνουν το σκυρόδεμα και το νερό. Η μεθοδολογία της ισοθορυβικής καμπύλης που περιγράφεται στο παρόν έγγραφο εφαρμόζεται σε συνθήκες μαλακού εδάφους.
Ήχος	Ενέργεια μεταδιδόμενη διά του αέρα μέσω της κίνησης (διαμηκών) κυμάτων, η οποία γίνεται αντιληπτή από το αυτί.
Ηχοεξασθένηση	Η μείωση της ηχητικής έντασης με την απόσταση κατά μήκος της διαδρομής διάδοσης. Για τον θόρυβο αεροσκαφών, στα αίτιά της περιλαμβάνονται η διάδοση σφαιρικών κυμάτων, η ατμοσφαιρική απορροφητικότητα και η → *πλευρική εξασθένηση*.
Έκθεση σε ήχο	Μέτρο των συνολικών εκπομπών ηχητικής ενέργειας νόμου επί ένα χρονικό διάστημα.
Επίπεδο έκθεσης σε θόρυβο, L_{AE}	(ακρωνύμιο SEL) μετρούμενο μέγεθος τυποποιημένο κατά το πρότυπο ISO 1996-1 ή ISO 3891 = A-σταθμισμένο επίπεδο έκθεσης σε θόρυβο απλού γεγονότος με αναφορά σε 1 δευτερόλεπτο.
Ένταση του ήχου	Η ισχύς του ήχου που εκπέμπεται σε ένα σημείο, σε σχέση με την ακουστική ενέργεια (και καταδεικνυόμενη μέσω μετρούμενων ηχοσταθμών).
Ηχοστάθμη	Μέτρο της ηχητικής ενέργειας εκφραζόμενο σε ντεσιμπέλ. Ο λαμβανόμενος ήχος μετριέται με ή χωρίς «στάθμιση συχνότητας». Τα επίπεδα που μετρούνται με στάθμιση αποκαλούνται συχνά → *επίπεδα θορύβου*.
Μήκος σταδίου/ταξιδίου	Απόσταση έως τον αρχικό προορισμό του αναχωρούντος αεροσκάφους, η οποία θεωρείται δείκτης του βάρους του αεροσκάφους.
Έναρξη κύλισης, *SOR*	Το σημείο του διαδρόμου προσγείωσης-απογείωσης από το οποίο ξεκινάει την απογείωση ένα αναχωρούν αεροσκάφος. Ονομάζεται και «σημείο απελευθέρωσης πέδης» (brake release).
Πραγματική ταχύτητα αέρα	Η πραγματική ταχύτητα του αεροσκάφους σε σχέση με αέρα (η ταχύτητα εδάφους με άπνοια).

▼**M2**

Σταθμισμένη ισοδύναμη ηχοστάθμη, $L_{eq,W}$	Τροποποιημένη εκδοχή της L_{eq} στην οποία γίνονται διαφορετικές σταθμίσεις του θορύβου που εκπέμπεται κατά τη διάρκεια διαφόρων περιόδων της ημέρας (συνήθως για την ημέρα, το βράδυ και τη νύχτα).

Σύμβολα

d	Η μικρότερη απόσταση από ένα σημείο παρατήρησης έως ένα τμήμα του ίχνους πτήσης
d_p	Η κάθετη απόσταση από ένα σημείο παρατήρησης έως το ίχνος πτήσης (διαγώνια απόσταση ή διαγώνια ακτίνα)
d_λ	Η κλιμακωτή απόσταση
F_n	Η πραγματική καθαρή ώση ανά κινητήρα
F_n/δ	Η διορθωμένη καθαρή ώση ανά κινητήρα
h	Το υψόμετρο του αεροσκάφους (πάνω από την MSL)
L	Το επίπεδο θορύβου απλού γεγονότος (χωρίς προσδιορισμένη κλίμακα)
$L(t)$	Η ηχοστάθμη σε χρόνο t (χωρίς προσδιορισμένη κλίμακα)
L_A, $L_A(t)$	Η A-σταθμισμένη στάθμη ηχητικής πίεσης (μετρούμενη σε χρόνο t) —μετρούμενη στη *βραδεία* κλίμακα μέτρησης ηχοστάθμης
L_{AE}	Το SEL (επίπεδο έκθεσης σε θόρυβο)
L_{Amax}	Η μέγιστη τιμή της $L_A(t)$ κατά τη διάρκεια ενός γεγονότος
L_E	Επίπεδο έκθεσης σε θόρυβο απλού γεγονότος
$L_{E\infty}$	Το επίπεδο έκθεσης σε θόρυβο απλού γεγονότος καθοριζόμενο βάσει της βάσης δεδομένων NPD
L_{EPN}	Το πραγματικό επίπεδο αισθητού θορύβου
L_{eq}	Η ισοδύναμη (συνεχής) ηχοστάθμη
L_{max}	Η μέγιστη τιμή $L(t)$ κατά τη διάρκεια ενός γεγονότος
$L_{max,seg}$	Η μέγιστη στάθμη που δημιουργείται από ένα τμήμα
ℓ	Η κάθετη απόσταση από ένα σημείο παρατήρησης έως το ίχνος επί του εδάφους
lg	Ο δεκαδικός λογάριθμος
N	Ο αριθμός τμημάτων ή υποτμημάτων
NAT	Ο αριθμός γεγονότων με L_{max} που υπερβαίνει μια καθορισμένη τιμή κατωφλίου
P	Η παράμετρος της ισχύος σε μεταβλητή NPD $L(P,d)$
P_{seg}	Η παράμετρος της ισχύος που αφορά ένα συγκεκριμένο τμήμα
q	Η απόσταση από την αρχή ενός τμήματος έως το πλησιέστερο σημείο προσέγγισης
R	Η ακτίνα στροφής
S	Η τυπική απόκλιση

▼**M2**

s	Η απόσταση κατά μήκος του ίχνους επί του εδάφους
s_{RWY}	Το μήκος του διαδρόμου προσγείωσης-απογείωσης
t	Ο χρόνος
t_e	Η πραγματική διάρκεια ενός απλού ηχητικού γεγονότος
t_0	Ο χρόνος αναφοράς για ολοκληρωμένη ηχοστάθμη
V	Η ταχύτητα εδάφους
V_{seg}	Η ισοδύναμη ταχύτητα εδάφους τμήματος
V_{ref}	Η ταχύτητα εδάφους αναφοράς για την οποία ορίζονται δεδομένα NPD
x,y,z	Οι τοπικές συντεταγμένες
x',y',z'	Οι συντεταγμένες του αεροσκάφους
X_{ARP},Y_{ARP},Z_{ARP}	Η θέση του σημείου αναφοράς αεροδρομίου με γεωγραφικές συντεταγμένες
z	Το ύψος του αεροσκάφους πάνω από το επίπεδο του εδάφους/το σημείο αναφοράς αεροδρομίου
α	Παράμετρος χρησιμοποιούμενη για τον υπολογισμό της διόρθωσης πεπερασμένου τμήματος Δ_F
β	Η γωνία ανύψωσης του αεροσκάφους σε σχέση με το επίπεδο του εδάφους
ε	Η γωνία κλίσης του αεροσκάφους
γ	Η γωνία ανόδου/καθόδου
Φ	Η γωνία καταβύθισης (παράμετρος πλευρικής κατευθυντικότητας)
λ	Το συνολικό μήκος τμήματος
ψ	Η γωνία μεταξύ της κατεύθυνσης κίνησης του αεροσκάφους και της κατεύθυνσης του παρατηρητή
ξ	Η πορεία του αεροσκάφους, μετρούμενη δεξιόστροφα από τον μαγνητικό βορρά
$\Lambda(\beta,\ell)$	Η πλευρική εξασθένηση αέρα-εδάφους
$\Lambda(\beta)$	Η πλευρική εξασθένηση αέρα-εδάφους μεγάλης ακτίνας
$\Gamma(\ell)$	Συντελεστής απόστασης πλευρικής εξασθένησης
Δ	Η μεταβολή της τιμής μιας ποσότητας ή μιας διόρθωσης (όπως αναφέρεται στο κείμενο)
Δ_F	Η διόρθωση πεπερασμένου τμήματος
Δ_I	Η διόρθωση της εγκατάστασης κινητήρα
Δ_i	Η στάθμιση για i-οστό χρόνο της περιόδου της ημέρας, σε dB
Δ_{rev}	Η αντιστροφή ώσης

▼**M2**

Δ_{SOR}	Διόρθωση του σημείου έναρξης κύλισης
Δ_V	Η διόρθωση της διάρκειας (ταχύτητας)

Δείκτες

1, 2	Δείκτες που υποδηλώνουν την έναρξη και τις τιμές ενός διαστήματος ή τμήματος
E	Έκθεση
i	Ο δείκτης άθροισης τύπου/κατηγορίας αεροσκαφών
j	Ο δείκτης άθροισης ιχνών επί του εδάφους/υποϊχνών (subtracks)
k	Ο δείκτης άθροισης τμημάτων
max	Μέγιστο
ref	Τιμή αναφοράς
seg	Ειδική τιμή τμήματος
SOR	Σχετίζεται με την έναρξη κύλισης
TO	Απογείωση

2.6.2. *Πλαίσιο ποιότητας*

Ακρίβεια των τιμών εισόδου

Όλες οι τιμές εισόδου που επηρεάζουν το επίπεδο εκπομπών πηγής, συμπεριλαμβανομένης της θέσης της πηγής, προσδιορίζονται με ακρίβεια που αντιστοιχεί τουλάχιστον σε αβεβαιότητα ± 2 dB(A) στο επίπεδο εκπομπών της πηγής (αφήνοντας αμετάβλητες όλες τις υπόλοιπες παραμέτρους).

Χρήση προεπιλεγμένων τιμών

Κατά την εφαρμογή της μεθόδου, τα δεδομένα εισόδου αντικατοπτρίζουν την πραγματική χρήση. Σε γενικές γραμμές, δεν υπάρχει εξάρτηση από προεπιλεγμένες τιμές εισόδου ή παραδοχές. Συγκεκριμένα, χρησιμοποιούνται ίχνη πτήσης από δεδομένα ραδιοεντοπισμού που αποσκοπούν στον καθορισμό ιχνών πτήσης, εάν υπάρχουν και είναι επαρκούς ποιότητας. Γίνονται δεκτές προεπιλεγμένες τιμές εισόδου και παραδοχές· για παράδειγμα, για μοντελοποιημένες διαδρομές που έχουν χρησιμοποιηθεί αντί για ίχνη πτήσης που έχουν ληφθεί από ραδιοεντοπιστή, εάν η συλλογή πραγματικών στοιχείων συνεπάγεται δυσανάλογα υψηλό κόστος.

Ποιότητα του λογισμικού που χρησιμοποιείται για τους υπολογισμούς

Το λογισμικό που χρησιμοποιείται για την εκτέλεση των υπολογισμών πρέπει να αποδεικνύει τη συμμόρφωση με τις μεθόδους που περιγράφονται παρακάτω μέσω πιστοποίησης των αποτελεσμάτων σε σχέση με δοκιμαστικές εφαρμογές.

▼M2

2.7. **Θόρυβος αεροσκαφών**

2.7.1. *Σκοπός και πεδίο εφαρμογής του εγγράφου*

Χρησιμοποιούνται χάρτες ισοθορυβικών καμπυλών προκειμένου να καταδειχθούν η έκταση και το μέγεθος των επιπτώσεων του θορύβου αεροσκαφών γύρω από αερολιμένες, ενώ οι επιπτώσεις αυτές καταδεικνύονται με τις τιμές ενός συγκεκριμένου μετρούμενου μεγέθους ή δείκτη θορύβου. Ισοθορυβική καμπύλη είναι μια γραμμή κατά μήκος της οποίας η τιμή του δείκτη είναι σταθερή. Η τιμή του δείκτη των αδρανών υλικών αθροίζει κατά κάποιον τρόπο όλα τα επιμέρους γεγονότα θορύβου του αεροσκάφους που επέρχονται κατά τη διάρκεια ορισμένης χρονικής περιόδου, που υπό κανονικές συνθήκες μετριέται σε ημέρες ή μήνες.

Ο θόρυβος στα σημεία επί του εδάφους από αεροσκάφη που πετούν προς και από παρακείμενο αεροδρόμιο εξαρτάται από πολλούς παράγοντες. Οι βασικότεροι εξ αυτών των παραγόντων είναι οι τύποι των αεροπλάνων και του προωθητικού τους συστήματος, οι διαδικασίες διαχείρισης της ισχύος, των πτερυγίων καμπυλότητας και της ταχύτητας αέρα που χρησιμοποιούνται στα αεροπλάνα αυτά καθαυτά, οι αποστάσεις από τα υπό εξέταση σημεία έως τα διάφορα ίχνη πτήσης, καθώς και η τοπογραφία και οι καιρικές συνθήκες της περιοχής. Γενικά, οι δραστηριότητες του αερολιμένα περιλαμβάνουν διάφορους τύπους αεροπλάνων, διάφορες διαδικασίες κατά την πτήση και ένα φάσμα επιχειρησιακών βαρών.

Οι ισοθορυβικές καμπύλες δημιουργούνται με τον μαθηματικό υπολογισμό τοπικών τιμών του δείκτη θορύβου. Το παρόν έγγραφο εξηγεί λεπτομερώς τον τρόπο υπολογισμού, στο σημείο του παρατηρητή, των επιμέρους επιπέδων θορύβου αεροσκάφους απλού γεγονότος —το καθένα από αυτά για συγκεκριμένη πτήση αεροσκάφους ή τύπο πτήσης— των οποίων υπολογίζεται στη συνέχεια κατά κάποιον τρόπο ο μέσος όρος, ή τα οποία *αθροίζονται,* προκειμένου να καθοριστούν οι τιμές του δείκτη στο συγκεκριμένο σημείο. Η απαιτούμενη επιφάνεια των τιμών δείκτη δημιουργείται απλώς και μόνο με την επανάληψη των υπολογισμών που απαιτούνται για τις διάφορες κινήσεις αεροσκαφών —μεριμνώντας για τη μεγιστοποίηση της απόδοσης μέσω εξαίρεσης των γεγονότων που δεν είναι σημαντικά για τον θόρυβο (δηλαδή που δεν συμβάλλουν σημαντικά στο σύνολο).

Εάν οι θορυβώδεις δραστηριότητες που συνδέονται με τις αερολιμενικές δραστηριότητες δεν συμβάλλουν ουσιωδώς στη συνολική έκθεση του πληθυσμού στον θόρυβο των αεροσκαφών και στις σχετικές ισοθορυβικές καμπύλες, τότε μπορούν να εξαιρεθούν. Οι δραστηριότητες αυτές περιλαμβάνουν: τα ελικόπτερα, την τροχοδρόμηση, τις δοκιμές κινητήρων και τη χρήση βοηθητικών μονάδων παραγωγής ισχύος. Αυτό δεν σημαίνει κατ' ανάγκην ότι οι επιπτώσεις τους είναι αμελητέες και, όταν επικρατούν οι εν λόγω περιστάσεις, δύναται να γίνει εκτίμηση των πηγών όπως ορίζεται στις παραγράφους 2.7.21 και 2.7.22.

2.7.2. *Περιγραφή του εγγράφου*

Η διαδικασία δημιουργίας ισοθορυβικής καμπύλης απεικονίζεται στο Σχήμα 2.7.α. Ισοθορυβικές καμπύλες δημιουργούνται για διάφορους σκοπούς, οι οποίοι τείνουν να διέπουν τις απαιτήσεις για πηγές και την προκαταρκτική επεξεργασία των δεδομένων εισόδου. Ισοθορυβικές καμπύλες που απεικονίζουν το ιστορικό επιπτώσεων του θορύβου δύνανται να δημιουργηθούν από τα πραγματικά αρχεία λειτουργίας των αεροσκαφών —των κινήσεων, των βαρών, των ιχνών πτήσης που μετρούνται με ραδιοεντοπιστή κ.λπ. Οι ισοθορυβικές καμπύλες για τον αναγκαίο μελλοντικό προγραμματισμό βασίζονται περισσότερο σε προβλέψεις —της κυκλοφορίας και των ιχνών πτήσης, καθώς και των επιδόσεων και των χαρακτηριστικών θορύβου μελλοντικών αεροσκαφών.

▼**M2**

Σχήμα 2.7.α

Η διαδικασία δημιουργίας της ισοθορυβικής καμπύλης



Ανεξάρτητα από την πηγή των δεδομένων πτήσης, κάθε διαφορετική κίνηση του αεροσκάφους, άφιξη ή αναχώρηση, ορίζεται με βάση τη γεωμετρία της τροχιάς πτήσης του και τις εκπομπές θορύβου από το αεροσκάφος, καθώς διανύει την εν λόγω τροχιά (οι κινήσεις που είναι κατ' ουσίαν ίδιες από πλευράς θορύβου και τροχιάς πτήσης περιλαμβάνονται με απλό πολλαπλασιασμό). Οι εκπομπές θορύβου εξαρτώνται από τα χαρακτηριστικά του αεροσκάφους —κυρίως από την ενέργεια που παράγουν οι κινητήρες του. Η συνιστώμενη μεθοδολογία περιλαμβάνει τη διαίρεση του ίχνους πτήσης σε επιμέρους τμήματα. Οι **ενότητες 2.7.3 έως 2.7.6** περιγράφουν τα στοιχεία της μεθοδολογίας και εξηγούν την αρχή της κατάτμησης στην οποία βασίζεται η μεθοδολογία αυτή, δηλαδή ότι το επίπεδο ενός παρατηρούμενου θορύβου απλού γεγονότος αποτελεί την άθροιση των συνεισφορών από όλα τα τμήματα του ίχνους πτήσης που είναι σημαντικά ως προς τον θόρυβο, το καθένα από τα οποία δύναται να υπολογιστεί ανεξάρτητα από τα υπόλοιπα. Οι **ενότητες 2.7.3 έως 2.7.6** περιγράφουν επίσης τις απαιτήσεις που αφορούν τα δεδομένα εισόδου για τη δημιουργία ενός συνόλου ισοθορυβικών καμπυλών. Λεπτομερείς προδιαγραφές για τα απαιτούμενα λειτουργικά δεδομένα παρατίθενται στο **προσάρτημα Α.**

Ο τρόπος υπολογισμού των επιμέρους τμημάτων του ίχνους πτήσης βάσει προεπεξεργασμένων δεδομένων εισόδου περιγράφονται στις **ενότητες 2.7.7 έως 2.7.13**. Αυτό περιλαμβάνει εφαρμογές ανάλυσης των επιδόσεων της πτήσης του αεροσκάφους, της οποίας οι σχετικές εξισώσεις παρατίθενται στο **προσάρτημα Β.** Τα ίχνη πτήσης υπόκεινται σε σημαντικές διαφοροποιήσεις —τα αεροσκάφη που ακολουθούν οποιαδήποτε διαδρομή παρουσιάζουν μεγάλες αποκλίσεις εντός μιας δεδομένης ζώνης εξαιτίας της επίδρασης των διαφορών στις ατμοσφαιρικές συνθήκες, στα βάρη και τις λειτουργικές διαδικασίες των αεροσκαφών, στους περιορισμούς του ελέγχου εναέριας κυκλοφορίας κ.λπ. Προκειμένου να ληφθεί αυτό υπόψη, κάθε ίχνος πτήσης περιγράφεται στατιστικά —ως κεντρικό ίχνος ή ίχνος «κορμού» που συνοδεύεται από μια δέσμη διάσπαρτων ιχνών. Αυτό εξηγείται στις **ενότητες 2.7.7 έως 2.7.13**, με αναφορά σε πρόσθετες πληροφορίες που παρατίθενται στο **προσάρτημα Γ**.

Οι **ενότητες 2.7.14 έως 2.7.19** καθορίζουν τα στάδια που πρέπει να ακολουθούνται για τον υπολογισμό του επιπέδου θορύβου απλού γεγονότος —του θορύβου που παράγεται σε ένα σημείο στο έδαφος από την κίνηση ενός αεροσκάφους. Το **προσάρτημα Δ** ασχολείται με τον επανυπολογισμό των δεδομένων NPD για συνθήκες άλλες εκτός των συνθηκών αναφοράς. Το **προσάρτημα Ε** εξηγεί τη διπολική ακουστική πηγή που χρησιμοποιείται στο μοντέλο για τον καθορισμό της ηχητικής ακτινοβολίας από τμήματα του ίχνους πτήσης που έχουν πεπερασμένο μήκος.

Οι εφαρμογές των σχέσεων μοντελοποίησης που περιγράφονται στα κεφάλαια 3 και 4 απαιτούν, εκτός από τα σχετικά ίχνη πτήσης, κατάλληλα δεδομένα θορύβου και επιδόσεων για το υπό εξέταση αεροσκάφος.

Ο καθορισμός του επιπέδου του γεγονότος για την κίνηση ενός επιμέρους αεροσκάφους σε μεμονωμένο σημείο παρατηρητή αποτελεί τον βασικό υπολογισμό. Ο υπολογισμός αυτός πρέπει να επαναλαμβάνεται για όλες τις κινήσεις αεροσκαφών σε κάθε προκαθορισμένη διάταξη σημείων που καλύπτουν το αναμενόμενο εύρος των απαιτούμενων ισοθορυβικών καμπυλών. Σε κάθε σημείο, τα επίπεδα του γεγονότος αθροίζονται ή υπολογίζεται ο μέσος όρος τους κατά κάποιον τρόπο, προκειμένου να προκύψει ένα «σωρευτικό επίπεδο» ή μια τιμή του δείκτη θορύβου. Αυτό το τμήμα της διαδικασίας περιγράφεται στις **ενότητες 2.7.20** και **2.7.23 έως 2.7.25**.

▼**M2**

Οι **ενότητες 2.7.26 έως 2.7.28** παρουσιάζουν συνοπτικά τις επιλογές και την απαίτηση για την προσαρμογή των ισοθορυβικών καμπυλών σε διατάξεις τιμών του δείκτη θορύβου. Παρέχουν οδηγίες για τη δημιουργία και τη μετέπειτα επεξεργασία των ισοθορυβικών καμπυλών.

2.7.3. *Η έννοια της κατάτμησης*

Για κάθε συγκεκριμένο αεροσκάφος, η βάση δεδομένων περιέχει βασικές σχέσεις θορύβου-ισχύος-απόστασης (NPD). Αυτές καθορίζουν, για σταθερή ευθεία πτήση με *ταχύτητα αναφοράς*, υπό καθορισμένες *ατμοσφαιρικές συνθήκες αναφοράς* και υπό συγκεκριμένη διαμόρφωση πτήσης, τις λαμβανόμενες στάθμες ήχου απλού γεγονότος, τόσο τις ανώτατες όσο και εκείνες που έχουν υποβληθεί σε χρονική ολοκλήρωση, ακριβώς κάτω από το αεροσκάφος ([1]) ως συνάρτηση της απόστασης. Για τη μοντελοποίηση του θορύβου, η ισχύς πρόωσης, που είναι εξαιρετικά σημαντική, αναπαρίσταται από μια *παράμετρο σχετική με τον θόρυβο*. Η παράμετρος που χρησιμοποιείται συνήθως είναι η *διορθωμένη καθαρή ώση*. Τα βασικά επίπεδα γεγονότος που καθορίζονται από τη βάση δεδομένων προσαρμόζονται προκειμένου να ληφθούν υπόψη, αφενός, οι διαφορές μεταξύ των πραγματικών (δηλαδή μοντελοποιημένων) ατμοσφαιρικών συνθηκών και των ατμοσφαιρικών συνθηκών αναφοράς και (στην περίπτωση των επιπέδων έκθεσης σε θόρυβο) της ταχύτητας του αεροσκάφους, και, αφετέρου, όσον αφορά τα σημεία δεκτών που δεν βρίσκονται ακριβώς κάτω από το αεροσκάφος, οι διαφορές μεταξύ του θορύβου που εκπέμπεται προς τα κάτω και εκείνου που ακτινοβολείται πλευρικά. Η τελευταία αυτή διαφορά οφείλεται στην *πλευρική κατευθυντικότητα* (επιδράσεις της εγκατάστασης του κινητήρα) και στην *πλευρική εξασθένηση*. Ωστόσο, τα επίπεδα γεγονότος που προσαρμόζονται κατ' αυτόν τον τρόπο εξακολουθούν να ισχύουν για το σύνολο του θορύβου από το αεροσκάφος σε σταθερή οριζόντια πτήση.

Κατάτμηση είναι η διαδικασία με την οποία το συνιστώμενο μοντέλο ισοθορυβικής καμπύλης προσαρμόζει την άπειρη τροχιά NPD και τα πλευρικά δεδομένα για τον υπολογισμό του θορύβου που φτάνει σε έναν δέκτη από ανομοιογενή τροχιά πτήσης, δηλαδή εκείνη κατά μήκος της οποίας η διαμόρφωση πτήσης του αεροσκάφους ποικίλλει. Για τον υπολογισμό της στάθμης ήχου απλού γεγονότος από την κίνηση ενός αεροσκάφους, το ίχνος πτήσης αναπαρίσταται από μια δέσμη όμορων ευθύγραμμων τμημάτων, το καθένα από τα οποία δύναται να θεωρηθεί πεπερασμένο μέρος μιας άπειρης τροχιάς για την οποία είναι γνωστά τα δεδομένα NPD και οι πλευρικές προσαρμογές. Η μέγιστη στάθμη του γεγονότος είναι απλώς η υψηλότερη από τις τιμές των επιμέρους τμημάτων. Η στάθμη που έχει υποβληθεί σε χρονική ολοκλήρωση του συνολικού γεγονότος θορύβου υπολογίζεται αθροίζοντας τον θόρυβο που λαμβάνεται από επαρκή αριθμό τμημάτων, δηλαδή εκείνων που συμβάλλουν σημαντικά στον συνολικό θόρυβο γεγονότος.

Η μέθοδος υπολογισμού της ποσότητας θορύβου που συνεισφέρει ένα πεπερασμένο τμήμα στην ολοκληρωμένη στάθμη του γεγονότος είναι αμιγώς εμπειρική. Το *κλάσμα ενέργειας F* —το τμήμα του θορύβου που εκφράζεται ως ποσοστό του συνόλου του θορύβου της άπειρης τροχιάς— περιγράφεται με μια σχετικά απλή έκφραση που επιτρέπει τη διαμήκη κατευθυντικότητα του θορύβου του αεροσκάφους και την «εμφάνιση» του τμήματος στο οπτικό πεδίο του δέκτη. Ένας από τους λόγους για τους οποίους συνήθως επαρκεί μια απλή εμπειρική μέθοδος είναι ότι, σε γενικές γραμμές, το μεγαλύτερο μέρος του θορύβου προέρχεται από το πλησιέστερο, συνήθως, παρακείμενο τμήμα —για το οποίο το *πλησιέστερο σημείο προσέγγισης* (CPA) στον δέκτη βρίσκεται εντός του τμήματος (όχι σε ένα από τα άκρα του). Αυτό σημαίνει ότι οι εκτιμήσεις του θορύβου από μη παρακείμενα τμήματα δύνανται να γίνονται ολοένα και περισσότερο κατά προσέγγιση καθώς απομακρύνονται από τον δέκτη χωρίς να επηρεάζεται σημαντικά η ακρίβεια.

([1]) Στην πραγματικότητα, κάτω από το αεροσκάφος κάθετα προς τον άξονα των πτερύγων και την κατεύθυνση πτήσης· θεωρείται ότι είναι κατακορύφως κάτω από το αεροσκάφος όταν αυτό δεν βρίσκεται σε στροφή.

▼M2

2.7.4. *Ίχνη πτήσης: Ίχνη τροχιάς και προφίλ*

Στο πλαίσιο μοντελοποίησης, *το ίχνος πτήσης* (ή τροχιά) αποτελεί την πλήρη περιγραφή της κίνησης του αεροσκάφους στον χώρο και τον χρόνο (1). Μαζί με την προωθητική ώση (ή άλλη παράμετρο ισχύος σχετιζόμενη με τον θόρυβο), συνιστά τις πληροφορίες που απαιτούνται για τον υπολογισμό του θορύβου που παράγεται. Το *ίχνος τροχιάς επί του εδάφους* αποτελεί την κάθετη προβολή του ίχνους πτήσης σε οριζόντιο έδαφος. Αυτό συνδυάζεται με το κατακόρυφο *προφίλ πτήσης* για τη δημιουργία του τρισδιάστατου ίχνους πτήσης. Η μοντελοποίηση με κατάτμηση απαιτεί την περιγραφή του ίχνους πτήσης κάθε επιμέρους κίνησης αεροσκάφους μέσω μιας σειράς από όμορα ευθύγραμμα τμήματα. Ο τρόπος με τον οποίο πραγματοποιείται η κατάτμηση αυτή υπαγορεύεται από την ανάγκη εξισορρόπησης της ακρίβειας και της αποτελεσματικότητας, δηλαδή είναι απαραίτητη η όσο το δυνατόν ακριβέστερη προσέγγιση της πραγματικής καμπύλης ίχνους πτήσης, με παράλληλη ελαχιστοποίηση του υπολογιστικού φόρτου και των απαιτούμενων δεδομένων. Κάθε τμήμα πρέπει να ορίζεται από τις γεωμετρικές συντεταγμένες των ακραίων σημείων του και από τις αντίστοιχες παραμέτρους της ταχύτητας και την ισχύος των κινητήρων του αεροσκάφους (από τις οποίες εξαρτώνται οι εκπομπές ήχου). Τα ίχνη πτήσης και η ισχύς των κινητήρων δύνανται να καθοριστούν με διάφορους τρόπους, οι κυριότεροι εκ των οποίων αφορούν α) τη σύνθεση μιας σειράς διαδικαστικών ενεργειών, και β) την ανάλυση των μετρούμενων δεδομένων προφίλ πτήσης.

Η *σύνθεση* των ιχνών πτήσης α) απαιτεί γνώση των ιχνών των τροχιών επί του εδάφους (ή των σχετικών παραδοχών) και των πλευρικών διασπορών τους, του βάρους του αεροσκάφους, της ταχύτητας, των διαδικασιών διαχείρισης των πτερυγίων καμπυλότητας και ώσης, του υψομέτρου του αερολιμένα, καθώς και του ανέμου και της θερμοκρασίας του αέρα. Οι εξισώσεις για τον υπολογισμό του προφίλ πτήσης βάσει των απαιτούμενων παραμέτρων της πρόωσης και της αεροδυναμικής δίδονται στο **προσάρτημα Β**. Η κάθε εξίσωση περιλαμβάνει συντελεστές (και/ή σταθερές) που βασίζονται σε εμπειρικά δεδομένα για κάθε συγκεκριμένο τύπο αεροσκάφους. Οι εξισώσεις αεροδυναμικών επιδόσεων του **προσαρτήματος Β** επιτρέπουν την εξέταση κάθε εύλογου συνδυασμού βάρους και πτητικής διαδικασίας ενός αεροσκάφους, συμπεριλαμβανομένων των λειτουργιών που εκτελούνται υπό διαφορετικά μεικτά βάρη κατά την απογείωση.

Η *ανάλυση* των μετρούμενων δεδομένων β), π.χ. από καταγραφείς δεδομένων πτήσης, ραδιοεντοπιστή ή άλλα στοιχεία εξοπλισμού εντοπισμού αεροσκαφών, περιλαμβάνει «αποσυμπίληση», ουσιαστικά αντιστροφή της διαδικασίας σύνθεσης α). Αντί της εκτίμησης της κατάστασης του αεροσκάφους και του προωθητικού του συστήματος στα άκρα των τμημάτων του ίχνους πτήσης με την ενσωμάτωση των επιδράσεων της ώσης και των αεροδυναμικών δυνάμεων που ασκούνται επί του πλαισίου του αεροσκάφους, οι δυνάμεις εκτιμώνται με διαφοροποίηση των αλλαγών του ύψους και της ταχύτητας του πλαισίου του αεροσκάφους. Διαδικασίες για την επεξεργασία των πληροφοριών ίχνους πτήσης περιγράφονται στην ενότητα 2.7.12.

Σε μια εφαρμογή ολικής μοντελοποίησης θορύβου, κάθε μεμονωμένη πτήση θα μπορούσε θεωρητικά να αναπαρίσταται ανεξάρτητα. Αυτό θα εξασφάλιζε την ακριβή εκτίμηση της χωρικής διασποράς των ιχνών πτήσης, η οποία μπορεί να είναι πολύ σημαντική. Ωστόσο, προκειμένου να παραμείνει εντός εύλογων ορίων ο χρόνος προετοιμασίας δεδομένων και χρήσης ηλεκτρονικών υπολογιστών, αποτελεί συνήθη πρακτική η αναπαράσταση ζωνών ιχνών πτήσης μέσω περιορισμένου αριθμού πλευρικώς μετατοπιζόμενων «υποϊχνών». (Η κατακόρυφη διασπορά αναπαρίσταται συνήθως ικανοποιητικά αν ληφθούν υπόψη οι επιδράσεις που έχουν οι διαφορές βάρους των αεροσκαφών στα κατακόρυφα προφίλ.)

(1) Ο χρόνος λαμβάνεται υπόψη μέσω της ταχύτητας του αεροσκάφους.

▼M2

2.7.5. *Θόρυβος και επιδόσεις αεροσκαφών*

Η βάση δεδομένων ANP που περιλαμβάνεται στο προσάρτημα Θ καλύπτει την πλειονότητα των υφιστάμενων τύπων αεροσκαφών. Όταν πρόκειται για τύπους ή παραλλαγές αεροσκαφών για τα οποία επί του παρόντος δεν περιλαμβάνονται δεδομένα, αυτά δύνανται να αναπαρίστανται καλύτερα με δεδομένα που ισχύουν για άλλα, συνήθως παρόμοια, αεροσκάφη τα οποία περιλαμβάνονται στον κατάλογο.

Η βάση δεδομένων ANP περιλαμβάνει προεπιλεγμένα «διαδικαστικά βήματα» που επιτρέπουν τη δημιουργία προφίλ πτήσεων τουλάχιστον για μία συνήθη διαδικασία μείωσης του θορύβου κατά την αναχώρηση. Πιο πρόσφατες καταχωρίσεις στη βάση δεδομένων καλύπτουν δύο διαφορετικές διαδικασίες μείωσης του θορύβου κατά την αναχώρηση.

2.7.6. *Λειτουργίες αεροσκάφους και αερολιμένα*

Τα δεδομένα συγκεκριμένων περιπτώσεων βάσει των οποίων υπολογίζονται οι ισοθορυβικές καμπύλες για σενάριο συγκεκριμένου αερολιμένα περιλαμβάνουν τα ακόλουθα.

Γενικά δεδομένα αερολιμένα

— Το σημείο αναφοράς αερολιμένα (απλώς και μόνο για τον εντοπισμό του αερολιμένα με τις ενδεδειγμένες γεωγραφικές συντεταγμένες). Το σημείο αναφοράς ορίζεται ως η προέλευση του συστήματος τοπικών καρτεσιανών συντεταγμένων που χρησιμοποιείται κατά τη διαδικασία υπολογισμού.

— Το υψόμετρο αναφοράς αερολιμένα (= υψόμετρο του σημείου αναφοράς αερολιμένα). Πρόκειται για το ύψος του ονομαστικού επιπέδου του εδάφους στο οποίο ορίζονται οι ισοθορυβικές καμπύλες, ελλείψει τοπογραφικών διορθώσεων.

— Μέσες μετεωρολογικές παράμετροι στο σημείο αναφοράς αερολιμένα ή πλησίον αυτού (θερμοκρασία, σχετική υγρασία, μέση ταχύτητα ανέμου και κατεύθυνση ανέμου).

Δεδομένα διαδρόμου προσγείωσης-απογείωσης

Για κάθε διάδρομο προσγείωσης-απογείωσης:

— Η ονομασία του διαδρόμου προσγείωσης-απογείωσης

— Σημείο αναφοράς διαδρόμου προσγείωσης-απογείωσης (κέντρο του διαδρόμου που εκφράζεται με τοπικές συντεταγμένες)

— Το μήκος, η κατεύθυνση και η μέση κλίση του διαδρόμου προσγείωσης-απογείωσης

— Η θέση της έναρξης κύλισης και του κατωφλίου προσγείωσης [1]

Δεδομένα ίχνους τροχιάς επί του εδάφους

Τα ίχνη τροχιών των αεροσκαφών επί του εδάφους περιγράφονται με σειρά συντεταγμένων στο (οριζόντιο) επίπεδο του εδάφους. Η πηγή των δεδομένων ίχνους τροχιάς επί του εδάφους εξαρτάται από το αν υπάρχουν διαθέσιμα σχετικά δεδομένα ραδιοεντοπισμού ή όχι. Εάν υπάρχουν, ορίζονται ένα αξιόπιστο βασικό ίχνος κορμού και κατάλληλα συνδεόμενα (διάσπαρτα) υποΐχνη βάσει στατιστικής ανάλυσης των δεδομένων. Εάν δεν υπάρχουν, τα ίχνη κορμού συνήθως δημιουργούνται βάσει κατάλληλων διαδικαστικών πληροφοριών, π.χ. χρησιμοποιώντας τυποποιημένες διαδικασίες αναχώρησης με όργανα από δημοσιεύσεις αεροναυτικών πληροφοριών. Η συμβατική αυτή περιγραφή περιλαμβάνει τις εξής πληροφορίες:

— Την ονομασία του διαδρόμου από τον οποίο ξεκινάει το ίχνος

— Περιγραφή του ίχνους προέλευσης (έναρξη κύλισης, κατώφλι προσγείωσης)

[1] Δύνανται να ληφθούν υπόψη μετατοπισμένα κατώφλια με τον ορισμό πρόσθετων διαδρόμων προσγείωσης-απογείωσης.

▼**M2**

— Το μήκος των τμημάτων (για στροφές, ακτίνα και αλλαγή κατεύθυνσης)

Αυτές οι πληροφορίες είναι οι ελάχιστες αναγκαίες για τον ορισμό του βασικού ίχνους (κορμού). Ωστόσο, τα μέσα επίπεδα θορύβου που υπολογίζονται βάσει της υπόθεσης ότι τα αεροσκάφη ακολουθούν επακριβώς τις ονομαστικές διαδρομές είναι δυνατόν να υπόκεινται σε τοπικά σφάλματα της τάξης πολλών ντεσιμπέλ. Συνεπώς αναπαριστάται η πλευρική διασπορά και απαιτούνται οι εξής πρόσθετες πληροφορίες:

— Το πλάτος της ζώνης (ή άλλα στατιστικά στοιχεία της διασποράς) σε κάθε άκρο τμήματος

— Ο αριθμός υποϊχνών

— Η κατανομή των μετακινήσεων κάθετα προς το ίχνος κορμού

Δεδομένα εναέριας κυκλοφορίας

Τα δεδομένα εναέριας κυκλοφορίας περιλαμβάνουν τα εξής:

— τη χρονική περίοδο που καλύπτουν τα δεδομένα, και

— τον αριθμό των μετακινήσεων (αφίξεων και αναχωρήσεων) για κάθε τύπο αεροσκάφους σε κάθε ίχνος πτήσης, που υποδιαιρείται ανά 1) ώρα της ημέρας κατά περίπτωση για συγκεκριμένες περιγραφές θορύβου, 2) για αναχωρήσεις, λειτουργικά βάρη ή μήκη σταδίων, και 3), κατά περίπτωση, διαδικασίες λειτουργίας.

Οι περισσότερες περιγραφές θορύβου απαιτούν τον καθορισμό γεγονότων (δηλαδή κινήσεων αεροσκαφών) υπό τη μορφή μέσων ημερήσιων τιμών κατά τη διάρκεια συγκεκριμένων περιόδων της ημέρας (π.χ. ημέρα, βράδυ και νύχτα) —βλέπε **ενότητες 2.7.23 έως 2.7.25**.

Τοπογραφικά δεδομένα

Το ανάγλυφο γύρω από τους περισσότερους αερολιμένες είναι σχετικά επίπεδο. Ωστόσο, αυτό δεν ισχύει πάντοτε και ενίοτε χρειάζεται να ληφθούν υπόψη οι υψομετρικές διαφορές σε σχέση με το υψόμετρο αναφοράς του αερολιμένα. Η επίδραση των υψομετρικών διαφορών δύναται να είναι ιδιαίτερα σημαντική στην περιοχή των ιχνών προσέγγισης, όπου το αεροσκάφος λειτουργεί σε σχετικά χαμηλά υψόμετρα.

Τα δεδομένα υψομέτρου του αναγλύφου δίνονται ως δέσμη συντεταγμένων (x,y,z) για ορθογώνιο πλέγμα με συγκεκριμένο μέγεθος ανοιγμάτων. Ωστόσο, οι παράμετροι του υψομετρικού πλέγματος ενδέχεται να διαφέρουν από εκείνες του πλέγματος που χρησιμοποιείται για τον υπολογισμό του θορύβου. Στην περίπτωση αυτή, δύναται να χρησιμοποιηθεί γραμμική παρεμβολή για τον υπολογισμό των κατάλληλων z-συντεταγμένων στο δεύτερο πλέγμα.

Η διεξοδική ανάλυση των επιδράσεων του εμφανώς ανισόπεδου εδάφους στη διάδοση του ήχου είναι περίπλοκη και δεν περιλαμβάνεται στο πεδίο εφαρμογής της παρούσας μεθόδου. Οι μέτριες ανομοιομορφίες του εδάφους δύνανται να αντισταθμιστούν θεωρώντας ένα «ψευδοοριζόντιο» έδαφος, δηλαδή απλώς ανυψώνοντας ή χαμηλώνοντας το οριζόντιο επίπεδο του εδάφους στο τοπικό υψόμετρο του εδάφους (σε σχέση με το επίπεδο εδάφους αναφοράς) σε κάθε σημείο δέκτη (βλ. ενότητα 2.7.4).

▼**M2**

Συνθήκες αναφοράς

Τα διεθνή δεδομένα θορύβου και επιδόσεων αεροσκαφών (ANP) κανονικοποιούνται βάσει των πρότυπων συνθηκών αναφοράς που χρησιμοποιούνται ευρέως για μελέτες θορύβου αερολιμένων (βλέπε **προσάρτημα Δ**).

Συνθήκες αναφοράς για δεδομένα NPD

1) Ατμοσφαιρική πίεση: 101,325 kPa (1 013,25 mb)

2) Ατμοσφαιρική απορρόφηση: Οι ρυθμοί εξασθένησης που περιλαμβάνονται στον **πίνακα Δ – 1** του **προσαρτήματος Δ**

3) Κατακρημνίσματα: Κανένα

4) Ταχύτητα ανέμου: Κάτω από 8 m/s (15 κόμβοι)

5) Ταχύτητα εδάφους: 160 κόμβοι

6) Τοπικό ανάγλυφο: Επίπεδο, μαλακό έδαφος χωρίς μεγάλες κατασκευές ή άλλα ανακλαστικά αντικείμενα σε έκταση αρκετών χιλιομέτρων από τα ίχνη των αεροσκαφών επί του εδάφους.

Τυποποιημένες μετρήσεις ήχου αεροσκαφών λαμβάνονται 1,2 m πάνω από την επιφάνεια του εδάφους. Ωστόσο, δεν απαιτείται να ληφθεί αυτό ειδικά υπόψη, εφόσον για τη μοντελοποίηση μπορεί να θεωρηθεί ότι τα επίπεδα γεγονότων είναι σχετικά ανεπηρέαστα από το ύψος του δέκτη ([1]).

Οι συγκρίσεις των κατ' εκτίμηση και των μετρούμενων επιπέδων θορύβου στους αερολιμένες καταδεικνύουν ότι τα δεδομένα NPD δύνανται να θεωρηθούν εφαρμοστέα όταν οι μέσες συνθήκες κοντά στην επιφάνεια εμπίπτουν στο εξής πλαίσιο προϋποθέσεων:

— Θερμοκρασία αέρα μικρότερη από 30 °C

— Το γινόμενο της θερμοκρασίας αέρα (°C) επί τη σχετική υγρασία (σε ποσοστό) υπερβαίνει το 500

— Η ταχύτητα του ανέμου είναι μικρότερη από 8 μέτρα ανά δευτερόλεπτο (15 κόμβοι)

Το εν λόγω πλαίσιο προϋποθέσεων πιστεύεται ότι καλύπτει τις συνθήκες που επικρατούν στους περισσότερους από τους μεγαλύτερους αερολιμένες παγκοσμίως. Το **προσάρτημα Δ** ορίζει τη μέθοδο μετατροπής δεδομένων NPD σε μέσες τοπικές συνθήκες οι οποίες δεν εμπίπτουν στο πεδίο εφαρμογής του, αλλά σε ακραίες περιπτώσεις προτείνεται να ζητείται η γνώμη του κατασκευαστή του αεροπλάνου.

Συνθήκες αναφοράς για δεδομένα αεροδυναμικής και κινητήρων αεροπλάνων

1) Υψόμετρο διαδρόμου προσγείωσης-απογείωσης: Μέση στάθμη της θάλασσας

2) Θερμοκρασία αέρα: 15 °C

3) Μεικτό βάρος φορτίου απογείωσης: Όπως ορίζεται ως συνάρτηση του μήκους σταδίου στη βάση δεδομένων ANP

([1]) Ενίοτε ζητούνται υπολογιζόμενα επίπεδα στα 4 m και άνω. Η σύγκριση μετρήσεων στα 1,2 m και 10 m και ο θεωρητικός υπολογισμός των επιδράσεων του εδάφους καταδεικνύουν ότι οι διακυμάνσεις του A-σταθμισμένου επιπέδου έκθεσης σε θόρυβο είναι σχετικά ανεπηρέαστες από το ύψος του δέκτη. Οι διακυμάνσεις είναι γενικά μικρότερες από ένα ντεσιμπέλ, εκτός εάν η μέγιστη γωνία πρόσπτωσης του ήχου είναι κάτω των 10° και εάν η μέγιστη τιμή του A-σταθμισμένου φάσματος στο σημείο του δέκτη κυμαίνεται μεταξύ 200 και 500 Hz. Τα εν λόγω φάσματα στα οποία κυριαρχούν οι χαμηλές συχνότητες ίσως υφίστανται π.χ. σε μεγάλες αποστάσεις για κινητήρες διπλής ροής με χαμηλό λόγο διακλάδωσης της ροής και για ελικοφόρους κινητήρες με διακριτούς τόνους χαμηλής συχνότητας.

▼**M2**

4) Μεικτό βάρος φορτίου προσγείωσης: 90 % του μέγιστου βάρους φορτίου προσγείωσης

5) Κινητήρες ώσης: Όλοι

Μολονότι τα δεδομένα αεροδυναμικής και κινητήρων ANP βασίζονται σε αυτές τις συνθήκες, μπορούν να χρησιμοποιηθούν ως πινακοποιημένα δεδομένα για υψόμετρα διαδρόμων προσγείωσης-απογείωσης διαφορετικά από τα υψόμετρα αναφοράς και για μέσες θερμοκρασίες αέρα σε χώρες μέλη της ECAC χωρίς να επηρεαστεί σημαντικά η ακρίβεια των υπολογιζόμενων ισοθορυβικών καμπυλών της σωρευτικής μέσης ηχοστάθμης (βλέπε **προσάρτημα Β**).

Η βάση δεδομένων ANP πινακοποιεί δεδομένα αεροδυναμικής για τα μεικτά βάρη απογείωσης και προσγείωσης που αναφέρονται στα στοιχεία 3 και 4 ανωτέρω. Μολονότι, για τους υπολογισμούς του σωρευτικού θορύβου, τα δεδομένα αεροδυναμικής αυτά καθαυτά δεν απαιτείται να προσαρμοστούν σε άλλα μεικτά βάρη, ο υπολογισμός των προφίλ απογείωσης και πτήσης ανόδου, με τη χρήση των διαδικασιών που περιγράφονται στο **προσάρτημα Β**, βασίζεται στα κατάλληλα λειτουργικά μεικτά βάρη απογείωσης.

2.7.7. *Περιγραφή του ίχνους πτήσης*

Το μοντέλο θορύβου απαιτεί την περιγραφή κάθε διαφορετικής κίνησης αεροσκάφους βάσει του τρισδιάστατου ίχνους πτήσης του και της μεταβαλλόμενης ισχύος κινητήρων και ταχύτητας που τη συνοδεύουν. Κατά κανόνα, ένα μοντέλο κίνησης αναπαριστά ένα υποσύνολο της συνολικής κυκλοφορίας του αερολιμένα, π.χ. έναν αριθμό (υποτιθέμενων) πανομοιότυπων κινήσεων, με τον ίδιο τύπο αεροσκάφους, το ίδιο βάρος και την ίδια διαδικασία λειτουργίας, σε ένα και μόνο ίχνος τροχιάς επί του εδάφους. Το εν λόγω ίχνος αυτό καθαυτό μπορεί να αντιστοιχεί σε ένα εκ των πολλών διάσπαρτων υποϊχνών που χρησιμοποιούνται για τη μοντελοποίηση αυτού που στην πράξη αποτελεί μια ζώνη με πολλά ίχνη τα οποία ακολουθούν μία καθορισμένη διαδρομή. Οι ζώνες ιχνών τροχιών επί του εδάφους, τα κάθετα προφίλ και οι λειτουργικές παράμετροι αεροσκάφους καθορίζονται όλα βάσει των δεδομένων του σεναρίου εισόδου, σε συνδυασμό με στοιχεία αεροσκαφών από τη βάση δεδομένων ANP.

Τα στοιχεία θορύβου-ισχύος-απόστασης (στη βάση δεδομένων ANP) καθορίζουν τον θόρυβο από αεροσκάφη που διασχίζουν ιδανικές οριζόντιες τροχιές πτήσης απείρου μήκους με σταθερή ταχύτητα και ισχύ. Προκειμένου να προσαρμοστούν τα δεδομένα αυτά στα ίχνη πτήσης τερματικών περιοχών που χαρακτηρίζονται από συχνές μεταβολές ισχύος και ταχύτητας, κάθε διαδρομή υποδιαιρείται σε πεπερασμένα ευθύγραμμα τμήματα, και ο θόρυβος που συνεισφέρει το καθένα από τα τμήματα αυτά αθροίζεται στη συνέχεια στη θέση του παρατηρητή.

2.7.8. *Σχέσεις μεταξύ ίχνους πτήσης και διαμόρφωσης πτήσης*

Το τρισδιάστατο ίχνος πτήσης της κίνησης ενός αεροσκάφους καθορίζει τις γεωμετρικές πτυχές της ηχητικής ακτινοβολίας και της διάδοσης του ήχου μεταξύ του αεροσκάφους και του παρατηρητή. Για συγκεκριμένο βάρος αεροσκάφους και υπό συγκεκριμένες ατμοσφαιρικές συνθήκες, το ίχνος πτήσης εξαρτάται εξ ολοκλήρου από την αλληλουχία μεταβολών της ισχύος, των πτερυγίων καμπυλότητας και του υψομέτρου που διενεργεί ο κυβερνήτης (ή το αυτόματο σύστημα διαχείρισης πτήσης) προκειμένου να ακολουθεί τις διαδρομές και να διατηρεί τα ύψη και τις ταχύτητες που ορίζει ο έλεγχος εναέριας κυκλοφορίας, σύμφωνα με τις τυποποιημένες λειτουργικές διαδικασίες του φορέα εκμετάλλευσης του

▼M2

αεροσκάφους. Οι εν λόγω οδηγίες και ενέργειες υποδιαιρούν το ίχνος πτήσης σε διακριτές φάσεις που αποτελούν φυσικά τμήματα. Στο οριζόντιο επίπεδο περιλαμβάνουν ευθύγραμμα σκέλη, που ορίζονται ως η απόσταση έως την επόμενη στροφή, και στροφές, που ορίζονται βάσει της ακτίνας και της αλλαγής κατεύθυνσης. Στο κάθετο επίπεδο, τα τμήματα ορίζονται βάσει του χρόνου και/ή της απόστασης που απαιτείται για την επίτευξη των απαραίτητων αλλαγών ταχύτητας προς τα εμπρός και/ή ύψους υπό προσδιορισμένη ισχύ και προσδιορισμένες ρυθμίσεις των πτερυγίων καμπυλότητας. Οι αντίστοιχες κατακόρυφες συντεταγμένες αναφέρονται συχνά ως *σημεία προφίλ*.

Για τη μοντελοποίηση του θορύβου, δημιουργούνται πληροφορίες ίχνους πτήσης είτε μέσω *σύνθεσης* από μια δέσμη διαδικαστικών βημάτων (δηλαδή εκείνων που ακολουθεί ο κυβερνήτης) είτε μέσω *ανάλυσης* των δεδομένων ραδιοεντοπισμού, δηλαδή φυσικών μετρήσεων των πραγματικών τροχιών πτήσης που πραγματοποιούνται. Ανεξάρτητα από τη μέθοδο που χρησιμοποιείται, τόσο τα οριζόντια όσο και τα κάθετα σχήματα του ίχνους πτήσης υποδιαιρούνται σε τμηματοποιημένες μορφές. Το οριζόντιο σχήμα του (δηλαδή στη δισδιάστατη προβολή του επί του εδάφους) είναι το *ίχνος τροχιάς επί του εδάφους* που ορίζεται από την εισερχόμενη ή εξερχόμενη διαδρομή. Το κάθετο σχήμα του, που ορίζεται από τα σημεία προφίλ, και οι σχετικές παράμετροι πτήσης, δηλαδή η ταχύτητα, η γωνία κλίσης και οι ρυθμίσεις ισχύος, καθορίζουν από κοινού το *προφίλ πτήσης*, που εξαρτάται από τη *διαδικασία πτήσης* την οποία ορίζει συνήθως ο κατασκευαστής και/ή ο φορέας εκμετάλλευσης του αεροσκάφους. Το ίχνος πτήσης δημιουργείται με τη συγχώνευση του δισδιάστατου προφίλ πτήσης με το δισδιάστατο ίχνος τροχιάς επί του εδάφους για τη δημιουργία αλληλουχίας τρισδιάστατων τμημάτων ίχνους πτήσης.

Θα πρέπει να υπενθυμίσουμε ότι, για ένα δεδομένο σύνολο διαδικαστικών βημάτων, το προφίλ εξαρτάται από το ίχνος τροχιάς επί του εδάφους. Για παράδειγμα, με την ίδια ώση και ταχύτητα, ο ρυθμός ανόδου του αεροσκάφους είναι μικρότερος στις στροφές απ' ό,τι σε ευθύγραμμο ίχνος πτήσης. Μολονότι η οδηγία αυτή εξηγεί τον τρόπο με τον οποίο πρέπει να ληφθεί υπόψη η εν λόγω εξάρτηση, θα πρέπει να αναγνωρίσουμε ότι αυτό απαιτεί μεγάλο όγκο υπολογισμών, και οι χρήστες ίσως προτιμούν να υποθέσουν ότι, για τη μοντελοποίηση του θορύβου, το προφίλ πτήσης και το ίχνος τροχιάς επί του εδάφους δύνανται να αντιμετωπιστούν ως ανεξάρτητες οντότητες, δηλαδή ότι το προφίλ ανόδου δεν επηρεάζεται από τυχόν στροφές. Ωστόσο, είναι σημαντικό να προσδιοριστούν οι μεταβολές της γωνίας κλίσης που απαιτούν οι στροφές, καθώς αυτό έχει σημαντική επίδραση στην κατευθυντικότητα των εκπομπών ήχου.

Ο θόρυβος που προέρχεται από ένα τμήμα ίχνους πτήσης εξαρτάται από τη γεωμετρία του τμήματος σε σχέση με τον παρατηρητή και τη διαμόρφωση πτήσης του αεροσκάφους. Ωστόσο, αυτά είναι αλληλένδετα, δηλαδή η μεταβολή του ενός μεταβάλλει το άλλο, και είναι απαραίτητο να διασφαλιστεί ότι, σε όλα τα σημεία της διαδρομής, η διαμόρφωση του αεροσκάφους συνάδει με την κίνησή του κατά μήκος της διαδρομής.

Κατά τη σύνθεση ίχνους πτήσης, δηλαδή όταν δημιουργείται ένα ίχνος πτήσης βάσει μιας δέσμης «διαδικαστικών βημάτων» που περιγράφουν τις επιλογές που κάνει ο κυβερνήτης ως προς την ισχύ των κινητήρων, τη γωνία των πτερυγίων καμπυλότητας και την επιτάχυνση/κατακόρυφη ταχύτητα, αυτό που πρέπει να υπολογιστεί είναι η κίνηση. Κατά την ανάλυση του ίχνους πτήσης, ισχύει το αντίστροφο: οι ρυθμίσεις της ισχύος των κινητήρων πρέπει να εκτιμηθούν βάσει της παρατηρούμενης κίνησης του αεροπλάνου, όπως καθορίζεται βάσει δεδομένων ραδιοεντοπισμού ή ενίοτε, σε ειδικές μελέτες, βάσει δεδομένων του καταγραφέα πτήσης του αεροσκάφους (μολονότι στη δεύτερη περίπτωση η ισχύς των κινητήρων συμπεριλαμβάνεται συνήθως στα δεδομένα). Όποια εκδοχή και αν ισχύει, πρέπει να εισαχθούν οι συντεταγμένες και οι παράμετροι πτήσης σε όλα τα ακραία σημεία των τμημάτων για τον υπολογισμό του θορύβου.

▼**M2**

Το **προσάρτημα Β** παρουσιάζει τις εξισώσεις που σχετίζονται με τις δυνάμεις που επενεργούν σε ένα αεροσκάφος και την κίνησή του και εξηγεί πώς επιλύονται για τον καθορισμό των ιδιοτήτων των τμημάτων που αποτελούν τα ίχνη πτήσης. Τα διάφορα είδη τμημάτων (και οι ενότητες του **προσαρτήματος Β** που ασχολούνται μ' αυτά) είναι η κύλιση *απογείωσης* (Β5), η *άνοδος με σταθερή ταχύτητα* (Β6), η *μείωση ισχύος* (Β7), η *επιτάχυνση ανόδου και ανάσυρση των πτερυγίων καμπυλότητας* (Β8), η *επιτάχυνση ανόδου μετά την ανάσυρση των πτερυγίων καμπυλότητας* (Β9), η *κάθοδος και επιβράδυνση* (Β10) και η *τελική προσέγγιση προσγείωσης* (Β11).

Αναπόφευκτα, η μοντελοποίηση στην πράξη περιλαμβάνει διάφορους βαθμούς απλοποίησης, η οποία είναι απαραίτητη ανάλογα με τη φύση της εφαρμογής, τη σημασία των αποτελεσμάτων και τους διαθέσιμους πόρους. Μια γενική απλοποιητική υπόθεση που εφαρμόζεται ακόμη και στις πιο περίπλοκες εφαρμογές είναι ότι, όταν λαμβάνεται υπόψη η διασπορά του ίχνους πτήσης, τα προφίλ και οι διαμορφώσεις πτήσεων σε όλα τα υποΐχνη είναι ίδια με εκείνα που αφορούν το ίχνος κορμού. Δεδομένου ότι χρησιμοποιούνται τουλάχιστον 6 υποΐχνη (βλ. ενότητα 2.7.11), η απλοποίηση αυτή διασφαλίζει τεράστια μείωση των απαιτούμενων υπολογισμών, ενώ η προκαλούμενη ανακρίβεια είναι εξαιρετικά περιορισμένη.

2.7.9. *Πηγές δεδομένων ίχνους πτήσης*

Δεδομένα ραδιοεντοπισμού

Μολονότι οι καταγραφείς δεδομένων πτήσης του αεροσκάφους μπορούν να αποφέρουν πολύ υψηλής ποιότητας δεδομένα, είναι δύσκολη η λήψη δεδομένων για τη μοντελοποίηση του θορύβου, οπότε τα δεδομένα ραδιοεντοπισμού θεωρούνται η πλέον εύκολα προσβάσιμη πηγή πληροφοριών σχετικά με τις πραγματικές τροχιές πτήσης που πραγματοποιούνται σε αερολιμένες ([1]). Εφόσον τα δεδομένα αυτά είναι συνήθως διαθέσιμα από τα συστήματα παρακολούθησης θορύβου και ιχνών πτήσης των αερολιμένων, χρησιμοποιούνται τώρα ολοένα και περισσότερο για τη μοντελοποίηση του θορύβου.

Οι ραδιοεντοπιστές δευτερεύουσας επιτήρησης παρουσιάζουν το ίχνος πτήσης ενός αεροσκάφους ως σειρά συντεταγμένων θέσης ανά διαστήματα ίσα με την περίοδο περιστροφής του ανιχνευτή του ραδιοεντοπιστή, συνήθως ανά 4 δευτερόλεπτα. Η θέση του αεροσκάφους πάνω από το έδαφος καθορίζεται βάσει πολικών συντεταγμένων —απόστασης και αζιμουθίου— από την ανακλώμενη επιστροφή του ραδιοεντοπιστή (μολονότι το σύστημα παρακολούθησης συνήθως μετατρέπει τις πολικές συντεταγμένες σε καρτεσιανές), και το ύψος του ([2]) μετριέται με το υψόμετρο του ίδιου του αεροσκάφους και μεταδίδεται στον υπολογιστή του ελέγχου εναέριας κυκλοφορίας μέσω πομποδέκτη ενεργοποιούμενου από τον ραδιοεντοπιστή. Ωστόσο, τα εγγενή σφάλματα που οφείλονται σε ραδιοφωνικές παρεμβολές και στην περιορισμένη ανάλυση των δεδομένων είναι σημαντικά (παρόλο που δεν επηρεάζουν τον επιδιωκόμενο έλεγχο εναέριας κυκλοφορίας). Επομένως, όταν πρέπει να οριστεί το ίχνος πτήσης της κίνησης ενός συγκεκριμένου αεροσκάφους, είναι απαραίτητη η εξομάλυνση των δεδομένων με τη χρήση κατάλληλης τεχνικής προσαρμογής καμπύλης. Ωστόσο, για τη μοντελοποίηση του θορύβου, η συνήθης απαίτηση συνίσταται στη στατιστική περιγραφή μιας ζώνης ιχνών πτήσης, π.χ. για όλες τις κινήσεις σε μία διαδρομή ή μόνο για εκείνες που περιλαμβάνουν συγκεκριμένο τύπο αεροσκάφους. Εν προκειμένω, τα σφάλματα μέτρησης που σχετίζονται με τα σχετικά στατιστικά στοιχεία δύνανται να περιοριστούν σε ασήμαντα επίπεδα μέσω των διαδικασιών καθορισμού του μέσου όρου.

([1]) Οι καταγραφείς στοιχείων πτήσης αεροσκαφών παρέχουν εκτενή λειτουργικά δεδομένα. Ωστόσο, αυτά δεν είναι εύκολα διαθέσιμα και η απόκτησή τους είναι δαπανηρή. Συνεπώς, η χρήση τους για τη μοντελοποίηση περιορίζεται συνήθως σε ειδικά προγράμματα και μελέτες εκπόνησης μοντέλων.

([2]) Συνήθως μετριέται ως υψόμετρο πάνω από τη μέση στάθμη της θάλασσας (δηλ. αναφορικά με 1 013 mB) και διορθώνεται ανάλογα με το υψόμετρο του αερολιμένα μέσω του συστήματος παρακολούθησης από τον αερολιμένα.

▼**M2**

Διαδικαστικά βήματα

Σε πολλές περιπτώσεις δεν είναι δυνατή η μοντελοποίηση ιχνών πτήσης βάσει δεδομένων ραδιοεντοπισμού, λόγω της μη διαθεσιμότητας των απαραίτητων πόρων ή επειδή το σχετικό σενάριο είναι μελλοντικό και δεν υπάρχουν συναφή δεδομένα ραδιοεντοπισμού για αυτό.

Ελλείψει δεδομένων ραδιοεντοπισμού ή όταν η χρήση τους είναι ακατάλληλη, είναι αναγκαία η εκτίμηση των ιχνών πτήσης βάσει υλικού οδηγιών λειτουργίας, π.χ. οδηγιών προς ιπτάμενα πληρώματα μέσω AIP και εγχειριδίων πτητικής λειτουργίας αεροσκάφους —που αναφέρονται εδώ ως *διαδικαστικά βήματα*. Συμβουλές σχετικά με την ερμηνεία του εν λόγω υλικού ζητούνται από τις αρχές ελέγχου εναέριας κυκλοφορίας και τους φορείς εκμετάλλευσης αεροσκαφών, όταν χρειάζεται.

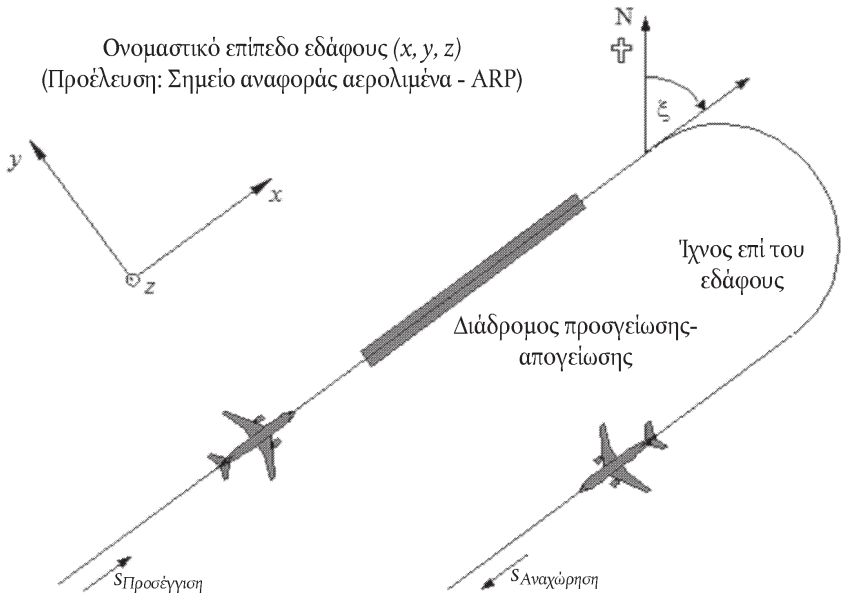
2.7.10. *Συστήματα συντεταγμένων*

Τοπικό σύστημα συντεταγμένων

Το τοπικό σύστημα συντεταγμένων (*x,y,z*) είναι καρτεσιανό και ξεκινάει (0,0,0) στο σημείο αναφοράς του αερολιμένα (X_{ARP},Y_{ARP},Z_{ARP}), όπου Z_{ARP} είναι το υψόμετρο αναφοράς του αερολιμένα και το $z = 0$ ορίζει το ονομαστικό επίπεδο εδάφους στο οποίο υπολογίζονται συνήθως οι ισοθορυβικές καμπύλες. Η κατεύθυνση του αεροσκάφους ξ στο επίπεδο *xy* μετριέται δεξιόστροφα από τον μαγνητικό Βορρά (βλ. **σχήμα 2.7.β**). Όλες οι θέσεις παρατηρητών, το βασικό πλέγμα υπολογισμού και τα σημεία ισοθορυβικών καμπυλών εκφράζονται σε τοπικές συντεταγμένες ([1]).

Σχήμα 2.7.β

Τοπικό σύστημα συντεταγμένων (*x,y,z*) και συντεταγμένη s που ορίζεται στο ίχνος τροχιάς επί του εδάφους



([1]) Συνήθως οι άξονες του τοπικού συστήματος συντεταγμένων είναι παράλληλοι προς τον άξονα του χάρτη στον οποίον χαράσσονται οι ισοθορυβικές καμπύλες. Ωστόσο, είναι ενίοτε χρήσιμη η επιλογή του άξονα *x* ως παραλλήλου ενός διαδρόμου προσγείωσης-απογείωσης για τη λήψη συμμετρικών ισοθορυβικών καμπυλών χωρίς τη χρήση υπολογιστικού πλέγματος (β. **ενότητες 2.7.26 έως 2.7.28**).

▼**M2**

Το σύστημα συντεταγμένων που ορίζονται στο ίχνος τροχιάς επί του εδάφους

Η συντεταγμένη αυτή είναι συγκεκριμένη για κάθε ίχνος τροχιάς επί του εδάφους και αναπαριστά την απόσταση *s* που μετριέται κατά μήκος του ίχνους στην κατεύθυνση της πτήσης. Για ίχνη αναχώρησης, η *s* μετριέται από το σημείο έναρξης της κύλισης, και για ίχνη προσέγγισης μετριέται από το κατώφλι προσγείωσης. Ως εκ τούτου, η *s* λαμβάνει αρνητικές τιμές σε περιοχές

— που βρίσκονται πίσω από το σημείο έναρξης της κύλισης όταν πρόκειται για αναχώρηση, και

— πριν από τη διέλευση από το κατώφλι προσγείωσης του διαδρόμου προσγείωσης-απογείωσης όταν πρόκειται για προσέγγιση.

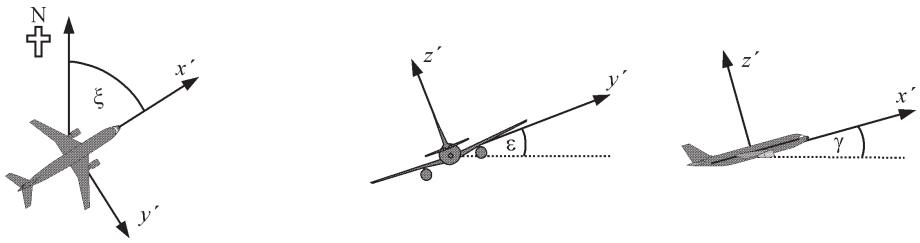
Οι λειτουργικές παράμετροι της πτήσης, όπως το ύψος, η ταχύτητα και η ρύθμιση ισχύος, εκφράζονται ως συνάρτηση της *s*.

Το σύστημα συντεταγμένων του αεροσκάφους

Η σύστημα καρτεσιανών συντεταγμένων που ορίζονται για το αεροσκάφος (*x′,y′,z′*) ξεκινά στην πραγματική θέση του αεροσκάφους. Το σύστημα αξόνων ορίζεται από τη γωνία ανόδου γ, την κατεύθυνση πτήσης ξ και τη γωνία κλίσης ε (βλ. **σχήμα 2.7.γ**).

Σχήμα 2.7.γ

Σύστημα συντεταγμένων που ορίζονται για το αεροσκάφος (*x′,y′,z′*)



Συνεκτίμηση της τοπογραφίας

Όταν πρέπει να ληφθεί υπόψη η τοπογραφία (βλ. ενότητα 2.7.6), η συντεταγμένη του υψομέτρου του αεροσκάφους z πρέπει να αντικατασταθεί από την $z' = z - z_o$ (όπου z_o είναι η συντεταγμένη z της θέσης του παρατηρητή O) κατά τον υπολογισμό της απόστασης διάδοσης d. Η γεωμετρία μεταξύ του αεροσκάφους και του παρατηρητή απεικονίζεται στο **σχήμα 2.7.δ**. Για τους ορισμούς των d και ℓ βλ. ενότητες 2.7.14 έως 2.7.19 ([1]).

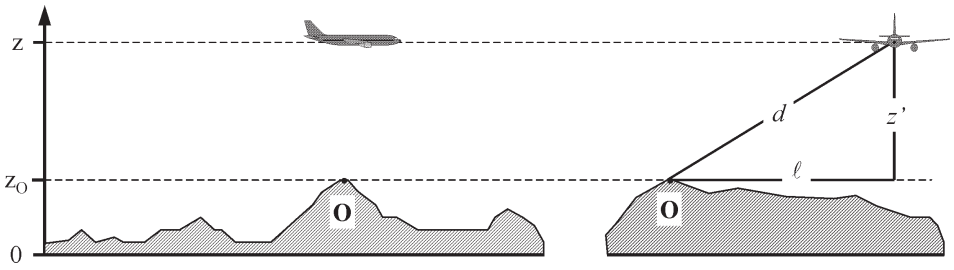
([1]) Όταν πρόκειται για μη οριζόντιο έδαφος, ο παρατηρητής είναι δυνατόν να βρίσκεται πάνω από το αεροσκάφος, οπότε, για τον υπολογισμό της διάδοσης του ήχου, το z' (και η αντίστοιχη γωνία ανύψωσης β — βλ. κεφάλαιο 4) ορίζεται ως μηδενικό.

▼**M2**

Σχήμα 2.7.δ

Στάθμη του εδάφους κατά μήκος (αριστερά) και πλευρικώς (δεξιά) του ίχνους τροχιάς επί του εδάφους

(Το ονομαστικό επίπεδο του εδάφους z = 0 διέρχεται από το σημείο αναφοράς του αερολιμένα. Ο είναι η θέση του παρατηρητή.)



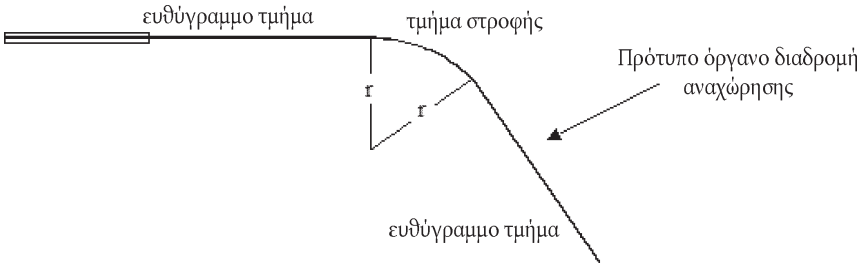
2.7.11. *Ίχνη τροχιάς επί του εδάφους*

Ίχνη κορμού

Το ίχνος κορμού καθορίζει το κέντρο της ζώνης των ιχνών τα οποία ακολουθούν τα αεροσκάφη που χρησιμοποιούν μια συγκεκριμένη διαδρομή. Για τη μοντελοποίηση του θορύβου αεροσκαφών, το ίχνος αυτό ορίζεται είτε i) μέσω περιοριστικών λειτουργικών δεδομένων, όπως οι οδηγίες προς κυβερνήτες που περιλαμβάνονται στα AIP, είτε ii) μέσω στατιστικής ανάλυσης δεδομένων ραδιοεντοπισμού, όπως εξηγείται στην ενότητα 2.7.9 —όταν αυτή είναι διαθέσιμη και κατάλληλη για τις ανάγκες της μελέτης μοντελοποίησης. Η δημιουργία του ίχνους μέσω λειτουργικών οδηγιών είναι συνήθως αρκετά σαφής, εφόσον οι οδηγίες αυτές προβλέπουν μια αλληλουχία σκελών τα οποία είτε είναι ευθύγραμμα, οριζόμενα βάσει του μήκους και της κατεύθυνσης, είτε κυκλικά, οριζόμενα βάσει του συντελεστή στροφής και της αλλαγής κατεύθυνσης· βλ. **σχήμα 2.7.ε.**

Σχήμα 2.7.ε

Γεωμετρία του ίχνους τροχιάς επί του εδάφους βάσει στροφών και ευθύγραμμων τμημάτων



Ο συνδυασμός ίχνους κορμού και δεδομένων ραδιοεντοπισμού είναι πιο περίπλοκος, αφενός διότι οι πραγματικές στροφές πραγματοποιούνται με διαφορετικούς συντελεστές και αφετέρου διότι η γραμμή του συσκοτίζεται εξαιτίας της διασποράς των δεδομένων. Όπως εξηγήθηκε ήδη, δεν έχουν εκπονηθεί ακόμη τυποποιημένες διαδικασίες, οπότε η συνήθης πρακτική προβλέπει τον συνδυασμό τμημάτων, είτε ευθύγραμμων είτε καμπύλων, για τον καθορισμό του μέσου όρου θέσεων υπολογιζόμενων βάσει των διατομών ιχνών ραδιοεντοπισμού ανά διαστήματα κατά μήκος της διαδρομής. Ενδέχεται να δημιουργηθούν στο μέλλον υπολογιστικοί

▼M2

αλγόριθμοι για την εκτέλεση της εργασίας αυτής, αλλά επί του παρόντος επαφίεται στον δημιουργό του μοντέλου να αποφασίσει πώς θα χρησιμοποιήσει τα διαθέσιμα δεδομένα κατά τον βέλτιστο τρόπο. Ένας σημαντικός παράγοντας είναι ότι η ταχύτητα και η ακτίνα στροφής του αεροσκάφους υπαγορεύουν τη γωνία κλίσης και, όπως θα δούμε στην ενότητα 2.7.19, οι ασυμμετρίες της ηχητικής ακτινοβολίας γύρω από το ίχνος πτήσης διέπουν τον θόρυβο στο έδαφος, καθώς επίσης και τη θέση του ίδιου του ίχνους πτήσης.

Θεωρητικά, η απρόσκοπτη μετάβαση από ευθύγραμμη πτήση σε στροφή σταθερής ακτίνας θα απαιτούσε τη στιγμιαία εφαρμογή της γωνίας κλίσης ε, κάτι το οποίο είναι φυσικώς αδύνατο. Στην πράξη, απαιτείται πεπερασμένος χρόνος προκειμένου η γωνία κλίσης να φτάσει στην τιμή που απαιτείται για τη διατήρηση καθορισμένης ταχύτητας και ακτίνας στροφής *r*, κατά τη διάρκεια του οποίου η ακτίνα στροφής περιορίζεται από το άπειρο στην τιμή *r*. Για τους σκοπούς της τυποποίησης, η μεταβολή ακτίνας δύναται να αγνοηθεί και η γωνία κλίσης δύναται να θεωρηθεί ότι αυξάνεται σταθερά από το μηδέν (ή άλλη αρχική τιμή) σε ε κατά την έναρξη της στροφής και ότι είναι η επόμενη τιμή της ε κατά το πέρας της στροφής ([1]).

Διασπορά ίχνους

Όπου είναι δυνατόν, οι ορισμοί της πλευρικής διασποράς και των αντιπροσωπευτικών υποϊχνών βασίζονται στη σχετική προηγούμενη πείρα που έχει συσσωρευτεί από τον υπό εξέταση αερολιμένα, συνήθως μέσω ανάλυσης δειγμάτων δεδομένων ραδιοεντοπισμού. Το πρώτο βήμα είναι να συγκεντρωθούν τα δεδομένα ανά διαδρομή. Τα ίχνη αναχώρησης χαρακτηρίζονται από σημαντική πλευρική διασπορά η οποία πρέπει να ληφθεί υπόψη για να είναι ακριβές το μοντέλο που θα δημιουργηθεί. Οι διαδρομές άφιξης συνήθως συνδυάζονται για τη δημιουργία μιας ζώνης περιορισμένου εύρους γύρω από την τελική διαδρομή προσέγγισης, η οποία επαρκεί συνήθως για την αναπαράσταση όλων των αφίξεων μέσω ενός μεμονωμένου ίχνους. Αν όμως οι ζώνες προσέγγισης έχουν μεγάλο εύρος εντός της περιοχής των ισοθορυβικών καμπυλών, ίσως απαιτηθεί να αναπαρασταθούν με υποΐχνη κατά τον ίδιο τρόπο όπως και οι διαδρομές αναχώρησης.

Κατά τη συνήθη πρακτική, τα δεδομένα μεμονωμένης διαδρομής τυγχάνουν χειρισμού ως δείγμα ενός ενιαίου πληθυσμού, δηλαδή αναπαριστώνται με ένα ίχνος κορμού και μια δέσμη διάσπαρτων υποϊχνών. Ωστόσο, εάν η επιθεώρηση καταδείξει ότι τα δεδομένα για τις διαφορετικές κατηγορίες αεροσκαφών ή λειτουργιών διαφέρουν σημαντικά (π.χ. εάν οι ακτίνες στροφής διαφέρουν σημαντικά μεταξύ μεγάλων και μικρών αεροσκαφών), ίσως κριθεί σκόπιμη η περαιτέρω υποδιαίρεση των δεδομένων σε διαφορετικές ζώνες. Οι πλευρικές διασπορές κάθε ζώνης καθορίζονται ως συνάρτηση της απόστασης από το σημείο προέλευσης. Οι κινήσεις κατανέμονται στη συνέχεια μεταξύ ενός ίχνους κορμού και ενός κατάλληλου αριθμού διάσπαρτων υποϊχνών βάσει των στατιστικών στοιχείων καταμερισμού.

Δεδομένου ότι συνήθως δεν θεωρείται συνετή η παράβλεψη των επιδράσεων της διασποράς του ίχνους, ελλείψει μετρούμενων δεδομένων ζώνης, ορίζεται ονομαστική πλευρική διασπορά εγκάρσια και κάθετα προς το ίχνος κορμού βάσει συμβατικής συνάρτησης κατανομής. Οι υπολογιζόμενες τιμές δεικτών θορύβου δεν είναι ιδιαίτερα ευαίσθητες στο ακριβές σχήμα της πλευρικής κατανομής: η κανονική (γκαουσιανή) κατανομή επαρκεί για την περιγραφή πολλών ζωνών μετρούμενων με ραδιοεντοπιστή.

([1]) Ο προσδιορισμός του βέλτιστου τρόπου προκειμένου να υλοποιηθεί αυτό επαφίεται στον χρήστη, εφόσον αυτό εξαρτάται από τον τρόπο με τον οποίο ορίζονται οι ακτίνες στροφής. Όταν το σημείο έναρξης αποτελεί αλληλουχία ευθύγραμμων ή κυκλικών σκελών, μια σχετικά απλή επιλογή είναι η εισαγωγή μεταβατικών τμημάτων γωνίας κλίσης στην έναρξη και στο πέρας της στροφής στην οποία κινείται το αεροσκάφος με σταθερό ρυθμό (π.χ. εκφραζόμενο σε °/m ή °/s).

▼M2

Συνήθως, χρησιμοποιείται διακριτή προσέγγιση 7 σημείων (δηλαδή που αναπαριστά την πλευρική διασπορά με 6 υποΐχνη τοποθετημένα γύρω από το ίχνος κορμού σε ίση απόσταση μεταξύ τους). Η απόσταση μεταξύ των υποϊχνών εξαρτάται από την τυπική απόκλιση της συνάρτησης πλευρικής διασποράς.

Για κανονικά κατανεμημένα ίχνη με τυπική απόκλιση *S*, το 98,8 % των ιχνών βρίσκεται εντός διαδρόμου με όρια που βρίσκονται σε ± 2,5 *S*. Ο **πίνακας 2.7.α** δίνει την απόσταση μεταξύ των έξι υποϊχνών και το ποσοστό του συνόλου των κινήσεων που αποδίδεται στο καθένα από αυτά. Το **προσάρτημα Γ** δίνει τιμές για άλλους αριθμούς υποϊχνών.

Πίνακας 2.7.α

Ποσοστά των κινήσεων για κανονική συνάρτηση κατανομής με τυπική απόκλιση *S* για 7 υποΐχνη (το ίχνος κορμού είναι το υποΐχνος 1)

Αριθμός υποΐχνους	Θέση υποΐχνους	Ποσοστό κινήσεων στο υποΐχνος
7	2,14 *S*	3 %
5	– 1,43 *S*	11 %
3	– 0,71 *S*	22 %
1	0	28 %
2	0,71 *S*	22 %
4	1,43 *S*	11 %
6	2,14 *S*	3 %

Η τυπική απόκλιση *S* αποτελεί συνάρτηση της συντεταγμένης *s* κατά μήκος του ίχνους κορμού. Δύναται να οριστεί, μαζί με την περιγραφή του ίχνους κορμού, στο δελτίο δεδομένων ίχνους πτήσης που εμφαίνεται στο **προσάρτημα Α3**. Ελλείψει δεικτών τυπικής απόκλισης, π.χ. από δεδομένα ραδιοεντοπισμού που περιγράφουν συγκρίσιμα ίχνη πτήσης, συνιστώνται οι εξής τιμές:

Για ίχνη που εμπεριέχουν στροφές κάτω των 45 μοιρών:

$$S(s) = 0{,}055 \cdot s - 150 \quad \text{for } 2\,700 \text{ m} \leq s \leq 30\,000 \text{ m}$$
$$S(s) = 1\,500 \quad \text{for } s > 30\,000 \text{ m} \qquad (2.7.1)$$

Για ίχνη που εμπεριέχουν στροφές άνω των 45 μοιρών:

$$S(s) = 0{,}128 \cdot s - 420 \quad \text{for } 3\,300 \text{ m} \leq s \leq 15\,000 \text{ m}$$
$$S(s) = 1\,500 \text{ m} \quad \text{for } s > 15\,000 \text{ m} \qquad (2.7.2)$$

Για πρακτικούς λόγους, η *S*(*s*) λαμβάνεται ως μηδενική μεταξύ του σημείου έναρξης της κύλισης και του σημείου $s = 2\,700$ m ή $s = 3\,300$ m ανάλογα με το μέγεθος της στροφής. Οι διαδρομές που εμπεριέχουν περισσότερες από μία στροφές αντιμετωπίζονται όπως στην εξίσωση 2.7.2. Για τις αφίξεις, η πλευρική διασπορά μπορεί να αγνοηθεί εντός ακτίνας 6 000 m από το σημείο επαφής με τον αεροδιάδρομο.

▼M2

2.7.12. *Προφίλ πτήσης*

Το προφίλ πτήσης αποτελεί περιγραφή της κίνησης του αεροσκάφους στο κάθετο επίπεδο πάνω από το ίχνος τροχιάς επί του εδάφους, όσον αφορά τη θέση, την ταχύτητα, τη γωνία κλίσης και τη ρύθμιση ισχύος των κινητήρων του. Μια από τις σημαντικότερες ευθύνες που έχει ο χρήστης του μοντέλου είναι να ορίσει προφίλ πτήσης για τα αεροσκάφη, τα οποία (προφίλ) θα πρέπει να πληρούν τις απαιτήσεις της εφαρμογής μοντελοποίησης, και να το κάνει αυτό με αποδοτικό τρόπο και χωρίς να καταναλώσει υπερβολικό χρόνο και πόρους. Ασφαλώς, για να επιτευχθεί υψηλό επίπεδο ακρίβειας, τα προφίλ πρέπει να αντικατοπτρίζουν πιστά τις λειτουργίες αεροσκαφών που υποτίθεται ότι αναπαριστούν. Αυτό απαιτεί αξιόπιστες πληροφορίες σχετικά με τις ατμοσφαιρικές συνθήκες, τους τύπους και τις παραλλαγές των αεροσκαφών, τα λειτουργικά βάρη και τις λειτουργικές διαδικασίες —τις μεταβολές της ώσης και των ρυθμίσεων των πτερυγίων καμπυλότητας, καθώς και τους συμβιβασμούς μεταξύ μεταβολών ύψους και ταχύτητας— και θα πρέπει να οριστεί ο κατάλληλος μέσος όρος για όλα αυτά για την υπό εξέταση χρονική περίοδο. Συχνά οι εν λόγω λεπτομερείς πληροφορίες δεν είναι διαθέσιμες, αλλά αυτό δεν αποτελεί απαραιτήτως εμπόδιο. Ακόμη και αν ήταν διαθέσιμες, ο δημιουργός του μοντέλου θα έπρεπε να χρησιμοποιήσει την κρίση του προκειμένου να εξισορροπήσει την ακρίβεια και τη λεπτομέρεια των πληροφοριών εισόδου με τις ανάγκες για ισοθορυβικές καμπύλες και τις χρήσεις των καμπυλών αυτών.

Η σύνθεση των προφίλ πτήσης βάσει των «διαδικαστικών βημάτων» από τη βάση δεδομένων ANP ή από τους φορείς εκμετάλλευσης αεροσκαφών περιγράφεται στην ενότητα 2.7.13 και στο **προσάρτημα Β**. Με τη διαδικασία αυτή, που αποτελεί συνήθως τον μοναδικό πόρο που έχει στη διάθεσή του ο δημιουργός του μοντέλου όταν δεν υπάρχουν διαθέσιμα δεδομένα ραδιοεντοπισμού, καθορίζονται τόσο η γεωμετρία του ίχνους πτήσης όσο και οι σχετικές μεταβολές ταχύτητας και ώσης. Φυσικά γίνεται η παραδοχή ότι όλα (εξίσου) τα αεροσκάφη σε μια ζώνη, είτε έχουν συσχετιστεί με το ίχνος κορμού είτε με τα διάσπαρτα ίχνη, ακολουθούν το προφίλ του ίχνους κορμού.

Πέραν της βάσης δεδομένων ANP, η οποία παρέχει προεπιλεγμένες πληροφορίες σχετικά με διαδικαστικά βήματα, οι φορείς εκμετάλλευσης αεροσκαφών αποτελούν την καλύτερη πηγή αξιόπιστων πληροφοριών, δηλαδή για τις διαδικασίες που χρησιμοποιούνται και τα πρότυπα βάρη των πτήσεων. Για μεμονωμένες πτήσεις, η απολύτως ακριβής πηγή είναι ο καταγραφέας στοιχείων πτήσης (FDR) του αεροσκάφους, από τον οποίο μπορούν να ληφθούν όλες οι σχετικές πληροφορίες. Ωστόσο, ακόμη και αν είναι διαθέσιμα τέτοια δεδομένα, η προκαταρκτική επεξεργασία τους απαιτεί τεράστιο όγκο εργασίας. Ως εκ τούτου, και σύμφωνα με την ανάγκη για εξοικονόμηση πόρων κατά τη μοντελοποίηση, η συνήθης πρακτική λύση συνίσταται στη χρήση ορθών παραδοχών σχετικά με τα μέσα βάρη και τις λειτουργικές διαδικασίες.

Πρέπει να δίνεται προσοχή πριν από την υιοθέτηση *προεπιλεγμένων* διαδικαστικών βημάτων που προβλέπονται στη βάση δεδομένων ANP (τα οποία κατά κανόνα γίνονται αποδεκτά όταν είναι άγνωστες οι πραγματικές διαδικασίες). Πρόκειται για τυποποιημένες διαδικασίες που ακολουθούνται ευρέως, αλλά τις οποίες οι φορείς εκμετάλλευσης δύνανται να χρησιμοποιήσουν ή να μη χρησιμοποιήσουν σε συγκεκριμένες περιπτώσεις. Ένας σημαντικός παράγοντας είναι ο ορισμός της ώσης των κινητήρων κατά την απογείωση (ενίοτε δε και κατά την άνοδο), που ίσως εξαρτάται ως ένα βαθμό από τις επικρατούσες συνθήκες. Ειδικότερα, αποτελεί κοινή πρακτική η μείωση των επιπέδων ώσης κατά την αναχώρηση (σε επίπεδα κατώτερα της μέγιστης διαθέσιμης), με σκοπό την παράταση της ζωής του κινητήρα. Το **προσάρτημα Β** δίνει οδηγίες σχετικά με την αναπαράσταση της πρότυπης πρακτικής. Με τον τρόπο αυτό δημιουργούνται γενικά ρεαλιστικότερες ισοθορυβικές καμπύλες απ' ό,τι βάσει παραδοχής πλήρους ώσης. Ωστόσο, εάν, για παράδειγμα, οι διάδρομοι προσγείωσης-απογείωσης έχουν μικρό μήκος και/ή οι μέσες θερμοκρασίες του αέρα είναι υψηλές, η πλήρης ώση ενδέχεται να αποτελεί μια πιο ρεαλιστική εκδοχή.

▼**M2**

Κατά τη μοντελοποίηση πραγματικών σεναρίων, είναι δυνατή η επίτευξη βελτιωμένων επιπέδων ακρίβειας με τη χρήση δεδομένων ραδιοεντοπισμού για τη συμπλήρωση ή την αντικατάσταση των εν λόγω ονομαστικών πληροφοριών. Δύναται να καθοριστούν προφίλ πτήσης από δεδομένα ραδιοεντοπισμού κατά παρόμοιο τρόπο με εκείνον που χρησιμοποιείται για τα πλευρικά ίχνη κορμού ανά τύπο και παραλλαγή αεροσκάφους, ενίοτε δε και κατά βάρος ή μήκος σταδίου (αλλά όχι κατά διασπορά), για τη δημιουργία, για κάθε υποομάδα, ενός μέσου προφίλ ύψους και ταχύτητας έναντι της διανυθείσας απόστασης επί του εδάφους. Και πάλι, κατά τη μετέπειτα συγχώνευση με τα ίχνη επί του εδάφους, το εν λόγω ενιαίο προφίλ συνδυάζεται εξίσου τόσο με το ίχνος κορμού όσο και με τα υποΐχνη.

Εάν είναι γνωστό το βάρος του αεροσκάφους, η διακύμανση της ταχύτητας και της προωθητικής ώσης δύναται να υπολογιστεί μέσω σταδιακής επίλυσης των εξισώσεων κίνησης. Προτού γίνει αυτό, είναι χρήσιμη η προκαταρκτική επεξεργασία των δεδομένων για την ελαχιστοποίηση των επιδράσεων των σφαλμάτων ραδιοεντοπιστή που δύνανται να καταστήσουν τις εκτιμήσεις της επιτάχυνσης αναξιόπιστες. Το πρώτο βήμα σε κάθε περίπτωση είναι ο επανακαθορισμός του προφίλ με τον ορισμό ευθύγραμμων τμημάτων που αναπαριστούν τα σχετικά στάδια της πτήσης. Το κάθε τμήμα ταξινομείται δεόντως, δηλαδή ως κύλιση εδάφους, άνοδος ή κάθοδος με σταθερή ταχύτητα, μείωση ώσης, ή επιτάχυνση/επιβράδυνση με ή χωρίς μεταβολή των πτερυγίων καμπυλότητας. Το βάρος του αεροσκάφους και η κατάσταση της ατμόσφαιρας συμπεριλαμβάνονται επίσης στις παραμέτρους εισόδου.

Η ενότητα 2.7.11 διασαφηνίζει ότι απαιτείται ειδική πρόβλεψη προκειμένου να ληφθεί υπόψη η πλευρική διασπορά των ιχνών πτήσης σε σχέση με την ονομαστική διαδρομή ή τη διαδρομή κορμού. Τα δείγματα δεδομένων ραδιοεντοπισμού χαρακτηρίζονται από παρόμοιες διασπορές των ιχνών πτήσης στο κάθετο επίπεδο. Ωστόσο, η μοντελοποίηση της κάθετης διασποράς ως ανεξάρτητης μεταβλητής δεν αποτελεί συνήθη πρακτική, αλλά προκύπτει κυρίως εξαιτίας των διαφορών ως προς τα βάρη και τις λειτουργικές διαδικασίες των αεροσκαφών που πρέπει να ληφθούν υπόψη κατά την προκαταρκτική επεξεργασία των εισαγόμενων δεδομένων κίνησης.

2.7.13. *Δημιουργία τμημάτων ίχνους πτήσης*

Κάθε ίχνος πτήσης πρέπει να ορίζεται βάσει μιας δέσμης συντεταγμένων (κόμβων) και παραμέτρων πτήσης. Το σημείο εκκίνησης καθορίζει τις συντεταγμένες των τμημάτων του ίχνους τροχιάς επί του εδάφους. Στη συνέχεια υπολογίζεται το προφίλ πτήσης, με δεδομένο ότι, για ένα δεδομένο σύνολο διαδικαστικών βημάτων, το προφίλ εξαρτάται από το ίχνος επί του εδάφους. Για παράδειγμα, με την ίδια ώση και ταχύτητα, ο ρυθμός ανόδου του αεροσκάφους είναι μικρότερος στις στροφές απ' ό,τι σε ευθύγραμμο ίχνος πτήσης. Τέλος, τα τρισδιάστατα τμήματα του ίχνους πτήσης δημιουργούνται μέσω συγχώνευσης του δισδιάστατου προφίλ πτήσης με το δισδιάστατο ίχνος τροχιάς επί του εδάφους ([1]).

Ίχνος τροχιάς επί του εδάφους

Το ίχνος τροχιάς επί του εδάφους, είτε πρόκειται για ίχνος κορμού είτε για διάσπαρτο ίχνος, ορίζεται βάσει μιας σειράς συντεταγμένων (x,y) στο επίπεδο του εδάφους (π.χ. βάσει πληροφοριών ραδιοεντοπισμού) ή βάσει μιας αλληλουχίας διανυσματικών εντολών που περιγράφουν ευθύγραμμα τμήματα και κυκλικά τόξα (στροφές καθορισμένης ακτίνας r και αλλαγής κατεύθυνσης $\Delta\xi$).

Για τη δημιουργία μοντέλων με κατάτμηση, το τόξο αναπαριστάται βάσει μιας αλληλουχίας ευθύγραμμων τμημάτων τοποθετημένων σε υποτόξα. Μολονότι αυτά δεν εμφανίζονται σαφώς στα τμήματα του ίχνους επί του εδάφους, η κλίση του αεροσκάφους κατά τις στροφές επηρεάζει

([1]) Για τον σκοπό αυτόν, το συνολικό μήκος του ίχνους επί του εδάφους πρέπει πάντα να υπερβαίνει το μήκος του προφίλ πτήσης. Αυτό δύναται να επιτευχθεί, κατά περίπτωση, προσθέτοντας ευθύγραμμα τμήματα κατάλληλου μήκους στο τελευταίο τμήμα του ίχνους επί του εδάφους.

▼**M2**

τον ορισμό τους. Το **προσάρτημα Β4** εξηγεί τον τρόπο υπολογισμού των γωνιών κλίσης κατά τη διάρκεια σταθερής στροφής, αλλά φυσικά οι γωνίες αυτές δεν εφαρμόζονται ούτε αφαιρούνται πάραυτα. Δεν περιγράφεται ο τρόπος χειρισμού των μεταβάσεων μεταξύ ευθύγραμμης πτήσης και πτήσης που περιλαμβάνει στροφές, ή μεταξύ της μιας στροφής και της επόμενης. Κατά κανόνα, οι λεπτομέρειες, οι οποίες επαφίενται στον χρήστη (βλ. ενότητα 2.7.11), ενδέχεται να έχουν αμελητέα επίδραση στις τελικές ισοθορυβικές καμπύλες. Η απαίτηση αυτή αποσκοπεί κυρίως στην αποφυγή των απότομων ασυνεχειών στα άκρα της στροφής και αυτό μπορεί να επιτευχθεί απλά, για παράδειγμα με την προσθήκη μικρών μεταβατικών τμημάτων στα οποία η γωνία κλίσης μεταβάλλεται γραμμικά με την απόσταση. Μόνο στην ειδική περίπτωση όπου μια συγκεκριμένη στροφή ενδέχεται να έχει πολύ μεγάλη επίδραση στις τελικές ισοθορυβικές καμπύλες θα ήταν απαραίτητη η ρεαλιστικότερη μοντελοποίηση των δυνάμεων της μετάβασης, προκειμένου να συσχετιστεί η γωνία κλίσης με συγκεκριμένους τύπους αεροσκαφών και να θεσπιστούν κατάλληλοι ρυθμοί κύλισης. Εν προκειμένω, αρκεί να δηλωθεί ότι τα ακραία υποτόξα $\Delta\xi_{trans}$ με οποιαδήποτε σειρά υπαγορεύονται από τις απαιτήσεις μεταβολής της γωνίας κλίσης. Το υπόλοιπο του τόξου με μεταβολή κατεύθυνσης $\Delta\xi - 2\cdot\Delta\xi_{trans}$ μοιρών διαιρείται σε n_{sub} υποτόξα βάσει της κάτωθι εξίσωσης:

$$n_{sub} = \text{int}(1 + (\Delta\xi - 2 \cdot \Delta\xi_{trans})/30) \qquad (2.7.3)$$

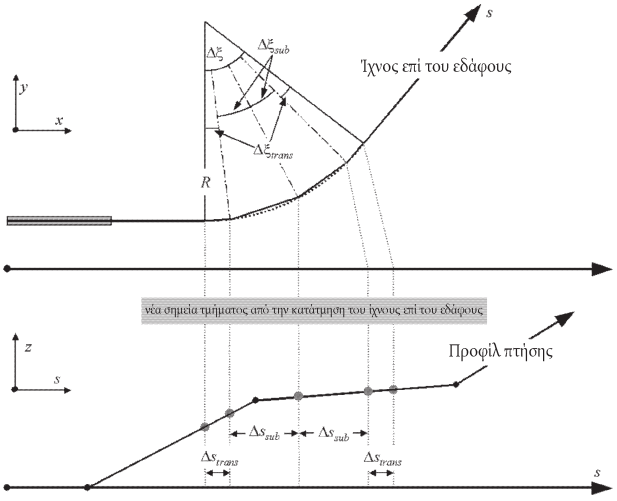
όπου το int(x) αποτελεί συνάρτηση που δίνει το ακέραιο τμήμα του x. Κατόπιν η μεταβολή κατεύθυνσης $\Delta\xi_{sub}$ κάθε υποτόξου υπολογίζεται ως εξής:

$$\Delta\xi_{sub} = (\Delta\xi - 2 \cdot \Delta\xi_{trans})/n_{sub} \qquad (2.7.4)$$

όπου η τιμή του n_{sub} πρέπει να είναι αρκετά υψηλή προκειμένου να διασφαλιστεί $\Delta\xi_{sub} \leq 30$ μοιρών. Η κατάτμηση ενός τόξου (εκτός από τα καταληκτικά υποτμήματα μετάβασης) απεικονίζεται στο **σχήμα 2.7.στ** ([1]).

Σχήμα 2.7.στ

Δημιουργία τμημάτων ίχνους πτήσης που υποδιαιρούν μια στροφή σε τμήματα μήκους *Δs* (πάνω σχήμα: σε οριζόντιο επίπεδο· κάτω σχήμα: σε κάθετο επίπεδο)



([1]) Οριζόμενο κατ' αυτόν τον απλό τρόπο, το συνολικό μήκος της κατατμηθείσας διαδρομής είναι λίγο μικρότερο από το μήκος της κυκλικής διαδρομής. Ωστόσο, το συνακόλουθο σφάλμα τις ισοθορυβικής καμπύλης είναι αμελητέο εάν τα γωνιακά βήματα αύξησης είναι κάτω των 30°.

▼**M2**

Προφίλ πτήσης

Οι παράμετροι περιγραφής κάθε τμήματος του προφίλ πτήσης κατά την έναρξη (δείκτης 1) και κατά το πέρας (δείκτης 2) του τμήματος είναι οι εξής:

s_1, s_2 η απόσταση κατά μήκος του ίχνους επί του εδάφους,

z_1, z_2 το ύψος του αεροπλάνου,

V_1, V_2 η ταχύτητα εδάφους,

P_1, P_2 η σχετική με τον θόρυβο παράμετρος ισχύος (που συνδυάζεται με εκείνη για την οποία δεν ορίζονται καμπύλες NPD), και

ε_1, ε_2 η γωνία κλίσης

Για τη δημιουργία ενός προφίλ πτήσης βάσει μιας δέσμης διαδικαστικών βημάτων (*σύνθεση ίχνους πτήσης*), δημιουργούνται τμήματα εν σειρά ώστε να επιτευχθούν οι απαιτούμενες συνθήκες στα καταληκτικά σημεία. Οι παράμετροι του καταληκτικού σημείου για κάθε τμήμα αποτελούν τις παραμέτρους του σημείου έναρξης για το επόμενο τμήμα. Σε κάθε τμήμα οι παράμετροι υπολογισμού είναι γνωστές κατά την έναρξη, ενώ οι απαιτούμενες συνθήκες κατά το πέρας καθορίζονται βάσει του σχετικού διαδικαστικού βήματος. Τα βήματα αυτά καθαυτά ορίζονται είτε βάσει των πρότυπων οδηγιών της ANP είτε από τον χρήστη (π.χ. βάσει των εγχειριδίων πτήσης αεροσκάφους). Οι καταληκτικές συνθήκες αφορούν συνήθως το ύψος και την ταχύτητα, ενώ η εργασία δημιουργίας του προφίλ συνίσταται στον καθορισμό της απόστασης ίχνους που καλύπτεται για την επίτευξη αυτών των συνθηκών. Οι μη καθορισμένες παράμετροι καθορίζονται μέσω υπολογισμών των επιδόσεων πτήσης που περιγράφονται στο **προσάρτημα Β**.

Εάν το ίχνος επί του εδάφους είναι ευθύγραμμο, τα σημεία του προφίλ και οι σχετικές παράμετροι πτήσης δύνανται να καθοριστούν ανεξάρτητα από το ίχνος επί του εδάφους (η γωνία κλίσης είναι πάντα μηδενική). Ωστόσο, τα ίχνη επί του εδάφους σπανίως είναι ευθύγραμμα. Συνήθως εμπεριέχουν στροφές και, για να επιτευχθούν τα βέλτιστα αποτελέσματα, αυτές πρέπει να ληφθούν υπόψη κατά τον καθορισμό του δισδιάστατου προφίλ πτήσης, μέσω κατάτμησης, κατά περίπτωση, των τμημάτων του προφίλ στους κόμβους του ίχνους τροχιάς επί του εδάφους με σκοπό να εισαχθούν μεταβολές στη γωνία κλίσης. Κατά κανόνα, το μήκος του επόμενου τμήματος είναι αρχικά άγνωστο και υπολογίζεται προσωρινά θεωρώντας ότι δεν υπάρχει μεταβολή στη γωνία κλίσης. Εάν διαπιστωθεί στη συνέχεια ότι το προσωρινό τμήμα διατρέχει έναν ή περισσότερους κόμβους του ίχνους τροχιάς επί του εδάφους, ο πρώτος εκ των οποίων βρίσκεται στο σημείο s, δηλ. $s_1 < s < s_2$, τότε το τμήμα περικόπτεται στο σημείο s, και οι εκεί παράμετροι υπολογίζονται διά παρεμβολής (βλ. κάτωθι). Αυτές αποτελούν τις παραμέτρους του καταληκτικού σημείου του τρέχοντος τμήματος και τις παραμέτρους του σημείου έναρξης ενός νέου τμήματος, το οποίο εξακολουθεί να έχει τις ίδιες σκοπούμενες καταληκτικές συνθήκες. Εάν δεν υπάρχει κανένα ενδιάμεσο ίχνος επί του εδάφους, το προσωρινό τμήμα επιβεβαιώνεται.

Εάν πρόκειται να αγνοηθούν οι επιδράσεις των στροφών στο προφίλ πτήσης, τότε ακολουθείται η λύση του ενιαίου τμήματος ευθύγραμμης πτήσης, μολονότι διατηρούνται οι σχετικές με τη γωνία κλίσης πληροφορίες για μεταγενέστερη χρήση.

Είτε μοντελοποιούνται οι επιδράσεις των στροφών είτε όχι, το κάθε τρισδιάστατο ίχνος πτήσης δημιουργείται μέσω συγχώνευσης του δισδιάστατου προφίλ πτήσης με το δισδιάστατο ίχνος του επί του εδάφους. Το αποτέλεσμα είναι μια δέσμη συντεταγμένων (x,y,z) η καθεμιά από τις οποίες αποτελεί είτε κόμβο του κατατμημένου ίχνους επί του εδάφους είτε κόμβο του προφίλ πτήσης είτε συνδυασμό των δύο αυτών, ενώ τα σημεία του προφίλ συνοδεύονται από τις αντίστοιχες τιμές του ύψους z, της ταχύτητας εδάφους V, της γωνίας κλίσης ε και της ισχύος των

▼**M2**

κινητήρων *P*. Για σημείο ίχνους (*x*,*y*) που βρίσκεται μεταξύ των σημείων κατάληξης ενός τμήματος του προφίλ πτήσης, οι παράμετροι του προφίλ παρεμβάλλονται ως εξής:

$$z = z_1 + f \cdot (z_2 - z_1) \quad (2.7.5)$$

$$V = \sqrt{V_1^2 + f \cdot (V_2^2 - V_1^2)} \quad (2.7.6)$$

$$\varepsilon = \varepsilon_1 + f \cdot (\varepsilon_2 - \varepsilon_1) \quad (2.7.7)$$

$$P = \sqrt{P_1^2 + f \cdot (P_2^2 - P_1^2)} \quad (2.7.8)$$

όπου

$$f = (s - s_1)/(s_2 - s_1) \quad (2.7.9)$$

Σημειώνεται ότι, ενώ οι τιμές των *z* και ε θεωρείται ότι μεταβάλλονται γραμμικά με την απόσταση, οι τιμές των *V* και *P* θεωρείται ότι μεταβάλλονται γραμμικά με τον χρόνο (δηλαδή σταθερή επιτάχυνση ([1])).

Κατά τον συνδυασμό τμημάτων του προφίλ πτήσης με δεδομένα ραδιοεντοπισμού (*ανάλυση ίχνους πτήσης*), όλες οι αποστάσεις, τα ύψη, οι ταχύτητες και οι γωνίες κλίσης των σημείων κατάληξης καθορίζονται απευθείας βάσει των δεδομένων, και μόνο οι ρυθμίσεις ισχύος πρέπει να υπολογιστούν βάσει των εξισώσεων επιδόσεων. Εφόσον δύνανται επίσης να συνδυαστούν κατάλληλα οι συντεταγμένες του ίχνους επί του εδάφους και του προφίλ πτήσης, αυτό είναι συνήθως αρκετά απλό.

Κατάτμηση της κύλισης απογείωσης

Κατά την απογείωση, καθώς το αεροσκάφος επιταχύνει μεταξύ του σημείου απελευθέρωσης της πέδης [που ονομάζεται αλλιώς σημείο έναρξης κύλισης (SOR)] και του σημείου αποκόλλησης από το έδαφος (lift-off), η ταχύτητα αλλάζει ριζικά κατά μήκος μιας απόστασης 1 500 έως 2 500 m, από μηδενική περίπου έως 80 και 100 m/s.

Συνεπώς, η κύλιση απογείωσης υποδιαιρείται σε τμήματα διαφόρων μηκών και στο καθένα από τα τμήματα αυτά η ταχύτητα του αεροσκάφους μεταβάλλεται κατά συγκεκριμένο βήμα αύξησης ΔV που δεν υπερβαίνει τα 10 m/s (περίπου 20 kt). Μολονότι η επιτάχυνση ποικίλλει όντως κατά τη διάρκεια της κύλισης απογείωσης, η παραδοχή ότι η επιτάχυνση είναι σταθερή επαρκεί για τον σκοπό αυτόν. Εν προκειμένω, για τη φάση της απογείωσης, V_1 είναι η αρχική ταχύτητα, V_2 είναι η ταχύτητα απογείωσης, n_{TO} είναι ο αριθμός των τμημάτων απογείωσης και s_{TO} είναι η ισοδύναμη απόσταση απογείωσης. Για ισοδύναμη απόσταση απογείωσης s_{TO} (βλ. **προσάρτημα Β**), αρχική ταχύτητα V_1 και ταχύτητα απογείωσης V_2, ο αριθμός n_{TO} των τμημάτων της κύλισης εδάφους ισούται με

$$n_{TO} = \text{int}(1 + (V_2 - V_1)/10) \quad (2.7.10)$$

και, ως εκ τούτου, η μεταβολή της ταχύτητας κατά μήκος ενός τμήματος ισούται με

$$\Delta V = (V_2 - V_1)/n_{TO} \quad (2.7.11)$$

και ο χρόνος Δt σε κάθε τμήμα ισούται (με παραδοχή σταθερής επιτάχυνσης) με

$$\Delta t = \frac{2 \cdot s_{TO}}{(V_2 + V_1) \cdot n_{TO}} \quad (2.7.12)$$

([1]) Ακόμη και αν οι ρυθμίσεις ισχύος των κινητήρων παραμένουν σταθερές κατά μήκος ενός τμήματος, η προωθητική ισχύς και η επιτάχυνση δύνανται να μεταβάλλονται λόγω της διακύμανσης της πυκνότητας του αέρα ανάλογα με το ύψος. Ωστόσο, κατά κανόνα οι μεταβολές αυτές είναι αμελητέες για τη μοντελοποίηση του θορύβου.

▼**M2**

Οπότε το μήκος $s_{TO,k}$ του τμήματος k ($1 \leq k \leq n_{TO}$) της κύλισης απογείωσης ισούται με:

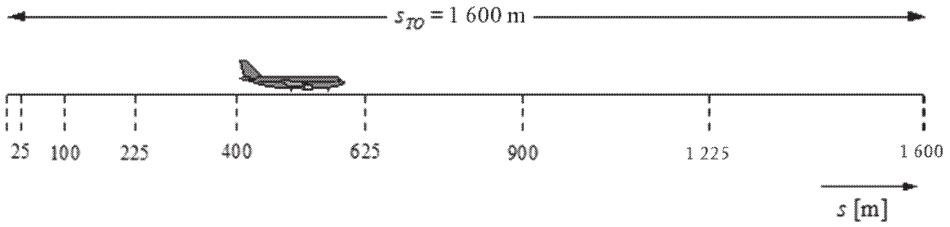
$$s_{TO,k} = (k - 0{,}5) \cdot \Delta V \cdot \Delta t = \frac{(2k-1) \cdot s_{TO}}{n_{TO}^2} \qquad (2.7.13)$$

Παράδειγμα:

Για απόσταση απογείωσης s_{TO} = 1 600 m, V_1 = 0m/s και V_2 = 75 m/s, ο τύπος αυτός δίνει n_{TO} = 8 τμήματα με μήκη που κυμαίνονται μεταξύ 25 και 375 μέτρων (βλ. **σχήμα 2.7.ζ**):

Σχήμα 2.7.ζ

Κατάτμηση της κύλισης απογείωσης (παράδειγμα για 8 τμήματα)



Παρόμοια με τις μεταβολές ταχύτητας, οι μεταβολές της ώσης του αεροσκάφους σε κάθε τμήμα κατά σταθερό βήμα αύξησης ΔP υπολογίζονται ως εξής:

$$\Delta P = (P_{TO} - P_{init})/n_{TO} \qquad (2.7.14)$$

όπου P_{TO} και P_{init} προσδιορίζουν αντίστοιχα την ώση του αεροσκάφους στο σημείο αποκόλλησης από το έδαφος (lift-off) και την ώση του αεροσκάφους κατά την έναρξη της κύλισης απογείωσης.

Το εν λόγω σταθερό βήμα αύξησης της ώσης (αντί της χρήσης της δευτεροβάθμιας εξίσωσης 2.7.8) χρησιμοποιείται προκειμένου να διασφαλιστεί η συνοχή με τη γραμμική σχέση μεταξύ ώσης και ταχύτητας όταν πρόκειται για αεριωθούμενα αεροσκάφη (εξίσωση Β-1).

Κατάτμηση του αρχικού τμήματος ανόδου

Κατά τη διάρκεια του αρχικού τμήματος ανόδου, η γεωμετρία μεταβάλλεται ταχύτατα, ιδίως όσον αφορά τις θέσεις των παρατηρητών πλευρικώς του ίχνους πτήσης, όπου η *γωνία βήτα* μεταβάλλεται ταχύτατα καθώς το αεροσκάφος ανέρχεται κατά μήκος του αρχικού τμήματος. Συγκρίσεις με υπολογισμούς πολύ μικρού τμήματος καταδεικνύουν ότι η χρήση ενιαίου τμήματος ανόδου καταλήγει σε ανακριβή προσέγγιση του επιπέδου του θορύβου πλευρικώς του ίχνους πτήσης για ολοκληρωμένες μετρήσεις. Η ακρίβεια του υπολογισμού βελτιώνεται με την κατάτμηση του αρχικού τμήματος ανόδου σε υποτμήματα. Το μήκος κάθε τμήματος και ο σχετικός αριθμός επηρεάζονται από την πλευρική εξασθένηση. Επισημαίνοντας την έκφραση της συνολικής πλευρικής εξασθένησης για αεροσκάφος με κινητήρες προσαρμοσμένους στην άτρακτο, μπορούμε να καταδείξουμε ότι, για περιορισμένη μεταβολή της πλευρικής εξασθένησης των 1,5 dB ανά υποτμήμα, το αρχικό τμήμα ανόδου υποδιαιρείται σε υποτμήματα βάσει της εξής δέσμης τιμών ύψους:

z = {18,9, 41,5, 68,3, 102,1, 147,5, 214,9, 334,9, 609,6, 1 289,6} μέτρα, ή

z = {62, 136, 224, 335, 484, 705, 1 099, 2 000, 4 231} πόδια

Τα ανωτέρω ύψη υλοποιούνται προσδιορίζοντας ποιο ύψος από την ως άνω δέσμη είναι το πλησιέστερο προς το σημείο κατάληξης του αρχικού τμήματος. Τα πραγματικά ύψη του υποτμήματος θα υπολογίζονταν στην περίπτωση αυτή ως εξής:

▼M2

$$z'_i = z\ [z_i/z_N]\ (i = 1...N) \qquad (2.7.15)$$

όπου z είναι το καταληκτικό ύψος του αρχικού τμήματος, z_i είναι η *i*-οστή τιμή από τη δέσμη τιμών ύψους και z_N είναι το πλησιέστερο άνω όριο προς το ύψος z. Με τη διαδικασία αυτή καθορίζεται η μεταβολή της πλευρικής εξασθένησης για τη σταθερά που απομένει σε κάθε υποτμήμα, δίνοντας έτσι ακριβέστερες ισοθορυβικές καμπύλες χωρίς να απαιτείται η χρήση πολύ μικρών τμημάτων.

Παράδειγμα:

Εάν το ύψος του καταληκτικού σημείου του αρχικού τμήματος είναι z = 304,8 m, τότε από τη δέσμη τιμών ύψους, 214,9 < 304,8 < 334,9 και το πλησιέστερο άνω όριο είναι z = 304,8 m και είναι z_7 = 334,9 m. Τα ύψη των καταληκτικών σημείων των υποτμημάτων υπολογίζονται τότε ως εξής:

$$z_i' = 304{,}8\ [z_i/334{,}9]\ (i = 1..N)$$

Συνεπώς, για i = 1, το z_1' θα ήταν 17,2 m και το z_2' θα ήταν 37,8 m κ.λπ.

Οι τιμές της ταχύτητας και της ισχύος των κινητήρων στα εισαγόμενα σημεία παρεμβάλλονται με τη χρήση αντίστοιχα των εξισώσεων 2.7.11 και 2.7.13.

Κατάτμηση εναέριων τμημάτων

Αφού ληφθεί η κατάτμηση του ίχνους πτήσης βάσει της διαδικασίας που περιγράφεται στην ενότητα 2.7.13 και εφαρμοστεί η περιγραφόμενη περαιτέρω κατάτμηση σε υποτμήματα, ίσως απαιτηθούν πρόσθετες προσαρμογές κατάτμησης. Αυτές περιλαμβάνουν τα εξής:

— την αφαίρεση των σημείων του ίχνους πτήσης που είναι πολύ κοντά μεταξύ τους, και

— την εισαγωγή πρόσθετων σημείων όταν μεταβάλλεται η ταχύτητα σε τμήματα που έχουν πολύ μεγάλο μήκος.

Όταν παρακείμενα σημεία βρίσκονται σε απόσταση μικρότερη των 10 μέτρων μεταξύ τους και όταν οι σχετικές ταχύτητες και ώσεις είναι ίδιες, ένα από τα σημεία αυτά πρέπει να διαγραφεί.

Για εναέρια τμήματα όπου υπάρχει σημαντική μεταβολή ταχύτητας σε κάποιο τμήμα, αυτό υποδιαιρείται όπως γίνεται και στην περίπτωση της κύλισης εδάφους, δηλαδή βάσει του τύπου

$$n_{seg} = \mathrm{int}(1 + |V_2 - V_1|/10) \qquad (2.7.16)$$

όπου V_1 και V_2 είναι οι ταχύτητες αρχής και κατάληξης του τμήματος, αντίστοιχα. Οι αντίστοιχες παράμετροι του υποτμήματος υπολογίζονται με τρόπο παρόμοιο με εκείνον που εφαρμόζεται για την κύλιση απογείωσης, με τη χρήση των εξισώσεων 2.7.11 έως 2.7.13.

Η κύλιση προσγείωσης

Μολονότι η κύλιση προσγείωσης αποτελεί ουσιαστικά αντιστροφή της κύλισης απογείωσης, πρέπει να ληφθούν υπόψη συγκεκριμένα τα εξής:

— η *αντιστροφή ώσης*, η οποία εφαρμόζεται ενίοτε για την επιβράδυνση του αεροσκάφους, και

— τα αεροσκάφη που αναχωρούν από τον διάδρομο προσγείωσης-απογείωσης μετά την επιβράδυνση (τα αεροσκάφη που αναχωρούν από τον διάδρομο δεν συνεισφέρουν πια στον ατμοσφαιρικό θόρυβο, εφόσον ο θόρυβος από την τροχοδρόμηση δεν λαμβάνεται υπόψη).

▼**M2**

Σε αντίθεση με την απόσταση κύλισης απογείωσης, που λαμβάνεται βάσει των παραμέτρων επιδόσεων του αεροσκάφους, η απόσταση ακινητοποίησης s_{stop} (δηλαδή η απόσταση από το σημείο επαφής με τον αεροδιάδρομο έως το σημείο όπου το αεροσκάφος αναχωρεί από τον διάδρομο) δεν είναι αμιγώς συγκεκριμένη για κάθε αεροσκάφος. Μολονότι η ελάχιστη απόσταση ακινητοποίησης δύναται να υπολογιστεί βάσει της μάζας και των επιδόσεων του αεροσκάφους (και της διαθέσιμης αντιστροφής ώσης), η πραγματική απόσταση ακινητοποίησης εξαρτάται επίσης από τη θέση των διαδρόμων τροχοδρόμησης, την κατάσταση της κυκλοφορίας και τις ειδικές διατάξεις του αερολιμένα περί χρήσης της αντιστροφής ώσης.

Η χρήση της αντιστροφής ώσης δεν αποτελεί τυποποιημένη διαδικασία, αλλά εφαρμόζεται μόνο σε περίπτωση που η απαιτούμενη επιβράδυνση δεν δύναται να επιτευχθεί με τη χρήση της πέδης των τροχών. (Η αντιστροφή ώσης δύναται να προκαλέσει μεγάλη ενόχληση, εφόσον η ταχεία μεταβολή της ισχύος των κινητήρων από ταχύτητα βραδυπορίας σε ρυθμίσεις αντιστροφής παράγει μια ξαφνική ριπή θορύβου.)

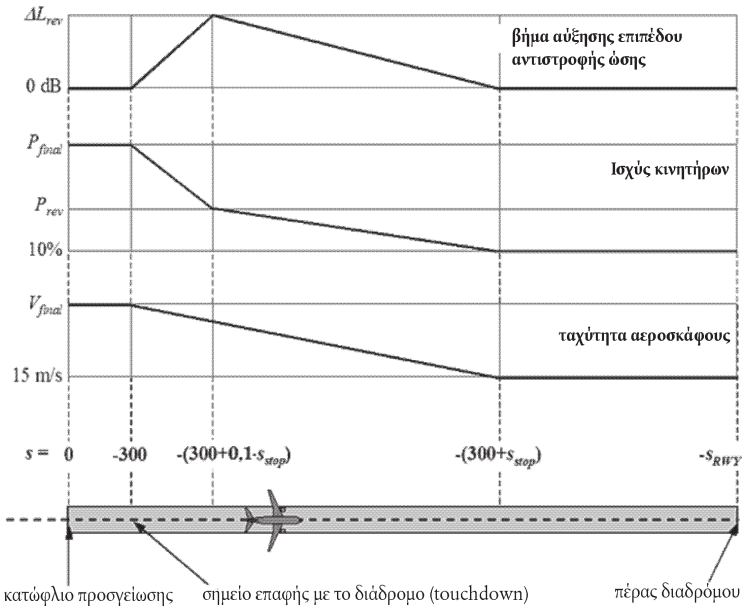
Ωστόσο, οι περισσότεροι διάδρομοι προσγείωσης-απογείωσης χρησιμοποιούνται τόσο για απογειώσεις όσο και για προσγειώσεις και, ως εκ τούτου, η αντιστροφή ώσης έχει πολύ μικρή επίδραση στις ισοθορυβικές καμπύλες, δεδομένου ότι η συνολική ηχητική ενέργεια στην περιοχή του διαδρόμου οφείλεται κατά κύριο λόγο στον θόρυβο που παράγουν οι απογειώσεις. Η συμβολή της αντιστροφής ώσης στις ισοθορυβικές καμπύλες μπορεί να είναι σημαντική μόνον όταν η χρήση του διαδρόμου προσγείωσης-απογείωσης περιορίζεται σε προσγειώσεις.

Φυσικά, ο θόρυβος από την αντιστροφή ώσης αποτελεί εξαιρετικά περίπλοκη διαδικασία. Ωστόσο, λόγω της σχετικά μικρής σημασίας που έχει για τις ισοθορυβικές καμπύλες στην ατμόσφαιρα, είναι δυνατή η μοντελοποίησή του με απλουστευμένο τρόπο, λαμβάνοντας υπόψη την ταχεία μεταβολή της ισχύος των κινητήρων μέσω της δέουσας κατάτμησης.

Είναι σαφές ότι η μοντελοποίηση που αφορά την κύλιση προσγείωσης είναι λιγότερο ευχερής σε σύγκριση με τον θόρυβο της κύλισης απογείωσης. Συστήνονται οι ακόλουθες απλουστευμένες παραδοχές μοντελοποίησης για γενική χρήση, όταν δεν υπάρχουν διαθέσιμες λεπτομερείς πληροφορίες (βλέπε **σχήμα 2.7.η**).

Σχήμα 2.7.η

Μοντελοποίηση της κύλισης προσγείωσης



▼M2

Το αεροπλάνο αγγίζει το έδαφος σε απόσταση 300 μέτρων πέραν του κατωφλίου προσγείωσης (το οποίο έχει συντεταγμένη $s = 0$ κατά μήκος του ίχνους προσέγγισης επί του εδάφους). Το αεροσκάφος επιβραδύνει στη συνέχεια κατά μήκος μιας απόστασης ακινητοποίησης s_{stop} —οι τιμές της οποίας δίνονται για κάθε συγκεκριμένο αεροσκάφος στη βάση δεδομένων ANP— από την τελική ταχύτητα προσέγγισης V_{final} στα 15 m/s. Λόγω των ταχειών μεταβολών ταχύτητας κατά τη διάρκεια αυτού του τμήματος, το τμήμα αυτό υποδιαιρείται σε υποτμήματα με τον ίδιο τρόπο που εφαρμόζεται και για την κύλιση απογείωσης (ή εναέρια τμήματα με ταχείες μεταβολές ταχύτητας), με τη χρήση των εξισώσεων 2.7.10 έως 2.7.13.

Η ισχύς των κινητήρων μεταβάλλεται από την τελική ισχύ προσέγγισης στο σημείο επαφής με τον αεροδιάδρομο έως τη ρύθμιση αντιστροφής ώσης P_{rev} σε απόσταση 0,1 s_{stop}, και στη συνέχεια μειώνεται στο 10 % της μέγιστης διαθέσιμης ισχύος κατά τη διάρκεια του υπολοίπου 90 % της απόστασης ακινητοποίησης. Μέχρι το τέρμα του διαδρόμου προσγείωσης-απογείωσης (σε $s = - s_{\mathrm{RWY}}$) η ταχύτητα του αεροσκάφους μειώνεται σταθερά.

Η βάση δεδομένων ANP δεν περιλαμβάνει επί του παρόντος καμπύλες NPD για την αντιστροφή ώσης και, ως εκ τούτου, είναι αναγκαίο να χρησιμοποιηθούν ως βάση οι συμβατικές καμπύλες για τη μοντελοποίηση αυτής της επίδρασης. Κατά κανόνα, η ισχύς αντιστροφής ώσης P_{rev} αντιστοιχεί περίπου στο 20 % της ρύθμισης πλήρους ισχύος, και η τιμή αυτή συστήνεται όταν δεν υπάρχουν διαθέσιμες λειτουργικές πληροφορίες. Ωστόσο, υπό δεδομένη ρύθμιση ισχύος, η αντιστροφή ώσης τείνει να δημιουργεί σημαντικά μεγαλύτερο θόρυβο απ' ό,τι η προς τα εμπρός ώση, οπότε και εφαρμόζεται βήμα αύξησης ΔL στο επίπεδο που λαμβάνεται από τα δεδομένα NPD, για την αύξηση από μηδενική τιμή σε ΔL_{rev} (συστήνεται προσωρινά η τιμή των 5dB ([1])) κατά μήκος απόστασης 0,1 s_{stop}, ακολουθούμενη στη συνέχεια από γραμμική μείωση ωσότου φτάσει σε μηδενική τιμή κατά μήκος του υπολοίπου της απόστασης ακινητοποίησης.

2.7.14. *Υπολογισμός του θορύβου απλού γεγονότος*

Η βασική διαδικασία μοντελοποίησης, που περιγράφεται πλήρως στο παρόν έγγραφο, συνίσταται στον υπολογισμό του επιπέδου θορύβου απλού γεγονότος βάσει των πληροφοριών ίχνους πτήσης που περιγράφονται στις **ενότητες 2.7.7 έως 2.7.13**.

2.7.15. *Μετρήσεις απλού γεγονότος*

Ο ήχος που παράγεται από την κίνηση αεροσκάφους στη θέση του παρατηρητή εκφράζεται ως «επίπεδο ήχου (θορύβου) απλού γεγονότος», ποσότητα που αποτελεί δείκτη των επιπτώσεών του στον άνθρωπο. Ο λαμβανόμενος ήχος μετριέται, ως θόρυβος, με τη χρήση της βασικής κλίμακας σε ντεσιμπέλ $L(t)$, η οποία εφαρμόζει στάθμιση συχνότητας (ή φιλτράρισμα) προκειμένου να μιμηθεί ένα χαρακτηριστικό της ανθρώπινης ακοής. Η σημαντικότερη κλίμακα για τη μοντελοποίηση του θορύβου αεροσκαφών είναι η Α-σταθμισμένη ηχοστάθμη, L_A.

Το μέγεθος που μετριέται συχνότερα προκειμένου να συμπεριληφθούν ολόκληρα γεγονότα είναι το «επίπεδο έκθεσης σε ήχο (ή θόρυβο) απλού γεγονότος», L_E, που λαμβάνει υπόψη το σύνολο (ή το μεγαλύτερο μέρος) της ηχητικής ενέργειας των γεγονότων. Η θέσπιση προβλέψεων για την απαιτούμενη χρονική ολοκλήρωση συνεπάγεται βασικές περιπλοκότητες ως προς τη μοντελοποίηση με κατάτμηση (ή προσομοίωση). Ένα μετρούμενο μέγεθος που χρησιμοποιείται εναλλακτικά για την απλοποίηση της μοντελοποίησης είναι το L_{max}, δηλαδή το μέγιστο στιγμιαίο επίπεδο που επιτυγχάνεται κατά τη διάρκεια του γεγονότος. Ωστόσο, η βασική συνιστώσα των δεικτών θορύβου των περισσότερων σύγχρονων αεροσκαφών είναι το L_E, ενώ είναι δυνατόν να αναμένουμε ότι τα πρακτικά μοντέλα θα ενσωματώνουν στο μέλλον και τα δύο αυτά μεγέθη, L_{max} και L_E. Οποιοδήποτε από τα δύο μεγέθη δύναται να μετρηθεί σε δύο διαφορετικές κλίμακες θορύβου. Στο παρόν έγγραφο εξετάζουμε μόνο την Α-σταθμισμένη ηχοστάθμη. Συμβολικά, η κλίμακα προσδιορίζεται συνήθως με την προέκταση του επιθέματος του μετρούμενου μεγέθους, δηλαδή L_{AE}, L_{Amax}.

([1]) Αυτή η σύσταση έγινε στην προηγούμενη έκδοση του εγγράφου Doc 29 της ECAC, αλλά εξακολουθεί να θεωρείται προσωρινή ωσότου αποκτηθούν περαιτέρω επιβεβαιωτικά πειραματικά δεδομένα.

▼M2

Το επίπεδο έκθεσης σε ήχο (ή θόρυβο) απλού γεγονότος εκφράζεται επακριβώς ως εξής:

$$L_E = 10 \cdot \lg\left(\frac{1}{t_0}\int_{t_1}^{t_2} 10^{L(t)/10}dt\right) \qquad (2.7.17)$$

όπου t_0 είναι ο χρόνος αναφοράς. Το διάστημα ολοκλήρωσης $[t_1,t_2]$ επιλέγεται με σκοπό να διασφαλίσει ότι θα περιλαμβάνεται το σύνολο (σχεδόν) του σημαντικού ήχου που παράγεται στο πλαίσιο του γεγονότος. Πολύ συχνά, τα όρια t_1 και t_2 επιλέγονται με σκοπό να καλυφθεί η περίοδος για την οποία η στάθμη $L(t)$ βρίσκεται εντός των 10 dB του L_{max}. Η περίοδος αυτή είναι γνωστή ως «κάτω των 10 dB». Τα επίπεδα έκθεσης σε ήχο (θόρυβο) που παρουσιάζονται σε πίνακα στη βάση δεδομένων ANP είναι τιμές «κάτω των 10 dB» ([1]).

Για τη μοντελοποίηση των ισοθορυβικών καμπυλών αεροσκαφών, η βασική εφαρμογή της εξίσωσης 2.7.17 είναι το πρότυπο μετρούμενο μέγεθος «*επίπεδο έκθεσης σε θόρυβο*» L_{AE} (ακρωνύμιο: SEL):

$$L_{AE} = 10 \cdot \lg\left(\frac{1}{t_0}\int_{t_1}^{t_2} 10^{L_A(t)/10}dt\right) \text{ with } t_0 = 1 \text{ second} \qquad (2.7.18)$$

Οι ως άνω εξισώσεις υπολογισμού των επιπέδων έκθεσης δύνανται να χρησιμοποιηθούν για τον καθορισμό επιπέδων απλών γεγονότων όταν είναι γνωστό το σύνολο του χρονικού ιστορικού του $L(t)$. Τα ιστορικά αυτά δεν καθορίζονται στο πλαίσιο της προτεινόμενης μεθοδολογίας μοντελοποίησης του θορύβου. Τα επίπεδα έκθεσης σε θόρυβο απλού γεγονότος υπολογίζονται με την άθροιση τμηματικών τιμών, επιμέρους επιπέδων γεγονότος, το καθένα από τα οποία ορίζει τη συμβολή ενός μεμονωμένου, πεπερασμένου τμήματος του ίχνους πτήσης.

2.7.16. *Καθορισμός των επιπέδων γεγονότος βάσει δεδομένων NPD*

Η κύρια πηγή δεδομένων θορύβου αεροσκαφών είναι η διεθνής βάση δεδομένων θορύβου και επιδόσεων αεροσκαφών (ANP). Η εν λόγω βάση δεδομένων πινακοποιεί τις τιμές L_{max} και L_E ως συναρτήσεις της απόστασης διάδοσης d —για συγκεκριμένους τύπους και παραλλαγές αεροσκαφών, διαμορφώσεις πτήσης (προσέγγιση, αναχώρηση, ρυθμίσεις των πτερυγίων καμπυλότητας) και ρυθμίσεις ισχύος P. Αφορούν σταθερή πτήση με συγκεκριμένες ταχύτητες αναφοράς V_{ref} κατά μήκος μιας ιδεατώς άπειρης, ευθύγραμμης τροχιάς πτήσης ([2]).

Το πώς ορίζονται οι τιμές των ανεξάρτητων μεταβλητών P και d περιγράφεται κατωτέρω. Σε ενιαία αναζήτηση, με τιμές εισόδου τις P και d, οι απαιτούμενες τιμές εξόδου είναι τα *βασικά επίπεδα* $L_{max}(P,d)$ και/ή $L_{E\infty}(P,d)$ (εφαρμοστέα σε άπειρη τροχιά πτήσης). Εκτός εάν οι τιμές τυχαίνει να είναι πινακοποιημένες ακριβώς για P και/ή d, σε γενικές γραμμές είναι απαραίτητος ο προσδιορισμός του (των) απαιτούμενου(-ων) επιπέδου(-ων) θορύβου απλού γεγονότος μέσω παρεμβολής. Χρησιμοποιείται γραμμική παρεμβολή μεταξύ πινακοποιημένων ρυθμίσεων ισχύος και λογαριθμική παρεμβολή μεταξύ πινακοποιημένων αποστάσεων (βλ. **σχήμα 2.7.θ**).

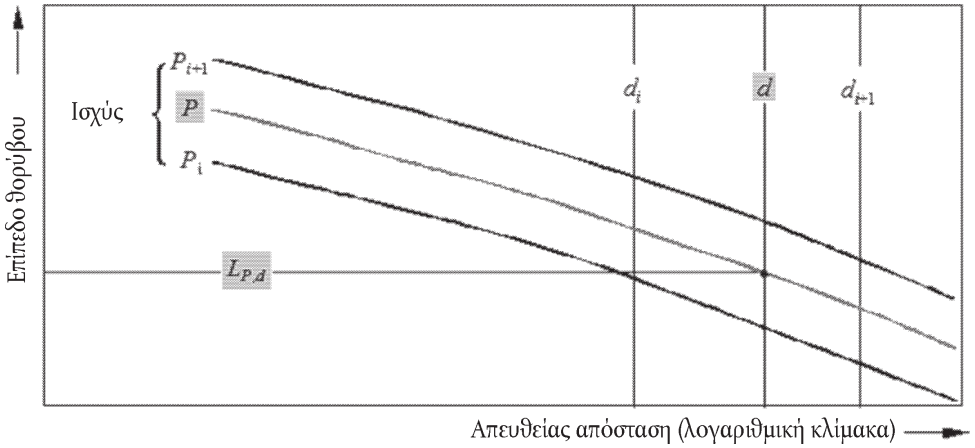
([1]) Το L_E«κάτω των 10 dB» δύναται να φτάνει έως και 0,5 dB κάτω από το L_E που εκτιμάται για μακρότερη διάρκεια. Ωστόσο, εκτός εάν πρόκειται για μικρές απευθείας αποστάσεις όπου τα επίπεδα γεγονότος είναι υψηλά, ο εξωγενής θόρυβος περιβάλλοντος καθιστά συχνά μη πρακτικά τα μεγαλύτερα διαστήματα μέτρησης, οπότε οι τιμές κάτω των 10 dB αποτελούν τον κανόνα. Εφόσον οι μελέτες των επιδράσεων του θορύβου (που χρησιμοποιούνται για τη «βαθμονόμηση» των ισοθορυβικών καμπυλών) τείνουν επίσης να βασίζονται σε τιμές κάτω των 10 dB, οι πινακοποιημένες τιμές ANP θεωρούνται απολύτως κατάλληλες.

([2]) Μολονότι η έννοια του ίχνους πτήσης άπειρου μήκους είναι σημαντική για τον ορισμό του επιπέδου έκθεσης σε θόρυβο απλού γεγονότος L_E, παρουσιάζει μειωμένη συνάφεια όταν πρόκειται για το μέγιστο επίπεδο γεγονότος L_{max}, το οποίο διέπεται από τον θόρυβο που εκπέμπει το αεροσκάφος όταν βρίσκεται σε συγκεκριμένη θέση ακριβώς πάνω στο πλησιέστερο σημείο προσέγγισης προς τον παρατηρητή ή πλησίον αυτού. Για τη μοντελοποίηση, η παράμετρος NPD της απόστασης θεωρείται ότι ισούται με την ελάχιστη απόσταση μεταξύ του παρατηρητή και του τμήματος.

▼M2

Σχήμα 2.7.θ

Παρεμβολή στις καμπύλες θορύβου-ισχύος-απόστασης



Εάν τα P_i και P_{i+1} είναι τιμές ισχύος κινητήρων για τις οποίες πινακοποιείται το επίπεδο θορύβου σε συνάρτηση με τα δεδομένα απόστασης, το επίπεδο θορύβου $L(P)$ σε δεδομένη απόσταση για ενδιάμεση ισχύ P, μεταξύ των P_i και P_{i+1}, δίνεται από τον τύπο:

$$L(P) = L(P_i) + \frac{L(P_{i+1}) - L(P_i)}{P_{i+1} - P_i} \cdot (P - P_i) \qquad (2.7.19)$$

Εάν, υπό οποιαδήποτε ρύθμιση ισχύος, τα d_i και d_{i+1} είναι αποστάσεις για τις οποίες πινακοποιούνται τα δεδομένα θορύβου, το επίπεδο θορύβου $L(d)$ για ενδιάμεση απόσταση d, μεταξύ των d_i και d_{i+1}, δίνεται από τον τύπο:

$$L(d) = L(d_i) + \frac{L(d_{i+1}) - L(d_i)}{\lg d_{i+1} - lg d_i} \cdot (\lg d - \lg d_i) \qquad (2.7.20)$$

Με τη χρήση των εξισώσεων 2.7.19 και 2.7.20, δύναται να ληφθεί επίπεδο θορύβου $L(P,d)$ για οποιαδήποτε ρύθμιση ισχύος P και οποιαδήποτε απόσταση d που βρίσκεται εντός του εύρους της βάσης δεδομένων NPD.

Για αποστάσεις d που βρίσκονται εκτός του εύρους της βάσης δεδομένων NPD, χρησιμοποιείται η εξίσωση 2.7.20 για την παρεμβολή από τις δύο τελευταίες τιμές, δηλαδή προς τα μέσα από τις τιμές $L(d_1)$ και $L(d_2)$ ή προς τα έξω από τις τιμές $L(d_{I-1})$ και $L(d_I)$, όπου I είναι ο συνολικός αριθμός σημείων NPD επί της καμπύλης. Κατά συνέπεια,

$$\text{Προς τα μέσα:} \quad L(d) = L(d_2) + \frac{L(d_1) - L(d_2)}{\lg d_2 - lg d_1} \cdot (\lg d_2 - \lg d) \qquad (2.7.21)$$

$$\text{Προς τα έξω:} \quad L(d) = L(d_{I-1}) - \frac{L(d_{I-1}) - L(d_I)}{\lg d_I - lg d_{I-1}} \cdot (\lg d - \lg d_{I-1}) \qquad (2.7.22)$$

Εφόσον σε μικρές αποστάσεις d τα επίπεδα θορύβου αυξάνουν με τη μείωση της απόστασης διάδοσης, συνιστάται η επιβολή του χαμηλότερου ορίου των 30 m στην απόσταση d, δηλαδή $d = \max(d, 30\ \text{m})$.

Προσαρμογή αντίστασης των πρότυπων δεδομένων NPD

Τα δεδομένα NPD που περιλαμβάνονται στη βάση δεδομένων ANP κανονικοποιούνται βάσει συγκεκριμένων ατμοσφαιρικών συνθηκών (θερμοκρασία 25 °C και πίεση 101,325 kPa). Πριν από την εφαρμογή της μεθόδου παρεμβολής/παρεκβολής, εφαρμόζεται προσαρμογή αντίστασης στα εν λόγω πρότυπα δεδομένα NPD.

▼**M2**

Η ακουστική αντίσταση συνδέεται με τη διάδοση των ηχητικών κυμάτων στο ακουστικό μέσο και ορίζεται ως το γινόμενο της πυκνότητας του αέρα επί την ταχύτητα του ήχου. Για δεδομένη ηχητική ένταση (ισχύς ανά μονάδα επιφάνειας) που γίνεται αντιληπτή σε συγκεκριμένη απόσταση από την πηγή, η σχετική ηχητική πίεση (που χρησιμοποιείται για τον καθορισμό των μεγεθών SEL και L_{Amax}) εξαρτάται από την αντίσταση του αέρα στη θέση μέτρησης. Αποτελεί συνάρτηση της θερμοκρασίας και της ατμοσφαιρικής πίεσης (και εμμέσως του υψομέτρου). Πρέπει λοιπόν να προσαρμοστούν τα πρότυπα δεδομένα NPD της βάσης δεδομένων ANP προκειμένου να ληφθούν υπόψη οι πραγματικές συνθήκες θερμοκρασίας και πίεσης στο σημείο του δέκτη, οι οποίες διαφέρουν σε γενικές γραμμές από τις κανονικοποιημένες συνθήκες δεδομένων ANP.

Η προσαρμογή αντίστασης που εφαρμόζεται στα πρότυπα επίπεδα NPD εκφράζεται ως εξής:

$$\Delta_{Impedance} = 10 \cdot \lg\left(\frac{\rho \cdot c}{409{,}81}\right) \qquad (2.7.23)$$

όπου:

$\Delta_{Impedance}$ Προσαρμογή αντίστασης για τις πραγματικές ατμοσφαιρικές συνθήκες στο σημείο του δέκτη (dB)

$\rho \cdot c$ Ακουστική αντίσταση (newton · δευτερόλεπτα/m^3) του αέρα στο σημείο του δέκτη (όπου 409,81 είναι η αντίσταση του αέρα που συνδέεται με τις ατμοσφαιρικές συνθήκες αναφοράς των δεδομένων NPD στη βάση δεδομένων ANP).

Η αντίσταση $\rho \cdot c$ υπολογίζεται ως εξής:

$$\rho \cdot \mathrm{c} = 416{,}86 \cdot \left[\frac{\delta}{\theta^{1/2}}\right] \qquad (2.7.24)$$

δ p/p_o, ο λόγος της πίεσης του αέρα περιβάλλοντος στο υψόμετρο του παρατηρητή προς την πρότυπη πίεση του αέρα στη μέση στάθμη της θάλασσας: p_o = 101,325 kPa (ή 1013,25 mb)

θ $(T + 273{,}15)/(T_0 + 273{,}15)$ ο λόγος της θερμοκρασίας του αέρα στο υψόμετρο του παρατηρητή προς την πρότυπη θερμοκρασία του αέρα στη μέση στάθμη της θάλασσας: T_0 = 15,0 °C

Η προσαρμογή της ακουστικής αντίστασης είναι συνήθως μικρότερη από μερικά δέκατα του ενός dB. Ειδικότερα, πρέπει να σημειωθεί ότι υπό πρότυπες ατμοσφαιρικές συνθήκες (p_o = 101,325 kPa και T_0 = 15,0 °C), η προσαρμογή αντίστασης είναι μικρότερη από 0,1 dB (0,074 dB). Ωστόσο, όταν υπάρχει σημαντική διακύμανση της θερμοκρασίας και της ατμοσφαιρικής πίεσης σε σχέση με τις ατμοσφαιρικές συνθήκες αναφοράς των δεδομένων NPD, η προσαρμογή ίσως είναι σημαντικότερη.

2.7.17. *Γενικές ενδείξεις*

L_{seg} του επιπέδου γεγονότος τμήματος

Οι τιμές τμήματος καθορίζονται με την εφαρμογή προσαρμογών στις βασικές τιμές (άπειρη διαδρομή) που λαμβάνονται από τα δεδομένα NPD. Το μέγιστο επίπεδο θορύβου από ένα τμήμα του ίχνους πτήσης $L_{max,seg}$ δύναται να εκφραστεί γενικά ως εξής:

$$L_{max,seg} = L_{max}(P,d) + \Delta_I(\varphi) - \Lambda(\beta,\ell) \qquad (2.7.25)$$

▼**M2**

και η συμβολή από ένα τμήμα του ίχνους πτήσης στο L_E δύναται να εκφραστεί γενικά ως εξής:

$$L_{E,seg} = L_{E\infty}(P,d\ ) + \Delta_V + \Delta_I(\varphi) - \Lambda(\beta,\ell) + \Delta_F \quad (2.7.26)$$

Οι «όροι διόρθωσης» στις εξισώσεις 2.7.25 και 2.7.26 —που περιγράφονται λεπτομερώς στην ενότητα 2.7.19— λαμβάνουν υπόψη τις εξής επιδράσεις:

Δ_V *Διάρκεια της διόρθωσης:* τα δεδομένα NPD σχετίζονται με ταχύτητα πτήσης αναφοράς. Αυτή προσαρμόζει τα επίπεδα έκθεσης ταχυτήτων άλλων εκτός των ταχυτήτων αναφοράς. (Δεν εφαρμόζεται στο $L_{max,seg}$.)

Δ_I (Φ) *Επίδραση της εγκατάστασης:* περιγράφει μια διακύμανση της *πλευρικής κατευθυντικότητας* λόγω της θωράκισης, της διάθλασης και της ανάκλασης που προκαλούνται από το πλαίσιο και τους κινητήρες του αεροσκάφους, καθώς και από τα γύρω πεδία ροής.

Λ(β,ℓ) *Πλευρική εξασθένηση:* σημαντική για τη διάδοση του ήχου σε μικρές γωνίες με το έδαφος. Αυτό εξηγεί την αλληλεπίδραση μεταξύ άμεσων και ανακλώμενων ηχητικών κυμάτων (επίδραση του εδάφους) και τις επιπτώσεις των ατμοσφαιρικών ανομοιομορφιών (προκαλούμενων κυρίως από το έδαφος) που έχουν ως αποτέλεσμα τη διάθλαση των ηχητικών κυμάτων καθώς αυτά κινούνται προς την κατεύθυνση του παρατηρητή στην πλευρά του ίχνους πτήσης.

Δ_F *Διόρθωση πεπερασμένου τμήματος (κλάσμα θορύβου):* λαμβάνει υπόψη το πεπερασμένο μήκος του τμήματος, που προκαλεί εμφανώς μικρότερη έκθεση σε θόρυβο απ' ό,τι ένα άπειρο τμήμα. Εφαρμόζεται μόνο σε μετρήσεις της έκθεσης.

Εάν το τμήμα αποτελεί μέρος της κύλισης απογείωσης ή προσγείωσης και ο παρατηρητής βρίσκεται όπισθεν του υπό εξέταση τμήματος, λαμβάνονται ειδικά μέτρα για την αναπαράσταση της έντονης κατευθυντικότητας του θορύβου των κινητήρων αεριοπροώθησης που παρατηρείται όπισθεν ενός αεροσκάφους που πρόκειται να απογειωθεί. Τα ειδικά αυτά μέτρα έχουν ως αποτέλεσμα ιδίως τη χρήση συγκεκριμένου τύπου θορύβου για το επίπεδο έκθεσης:

$$L_{max,seg} = L_{max}(P,d) + \Delta_I(\varphi) - \Lambda(\beta,\ell) + \Delta_{SOR} \quad (2.7.27)$$

$$L_{E,seg} = L_{E\infty}(P,d) + \Delta_V + \Delta_I(\varphi) - \Lambda(\beta,\ell) + \Delta'_F + \Delta_{SOR} \quad (2.7.28)$$

Δ'_F Ειδικός τύπος της *διόρθωσης τμήματος*

D_{SOR} *Διόρθωση κατευθυντικότητας*: λαμβάνει υπόψη την έντονη κατευθυντικότητα του θορύβου των κινητήρων αεριοπροώθησης όπισθεν του τμήματος κύλισης επί του εδάφους

Η ειδική αντιμετώπιση των τμημάτων κύλισης επί του εδάφους περιγράφεται στην ενότητα 2.7.19.

Οι κάτωθι ενότητες περιγράφουν τον υπολογισμό των επιπέδων θορύβου των τμημάτων.

▼M2

Επίπεδο θορύβου απλού γεγονότος L της κίνησης αεροσκάφους

Το μέγιστο επίπεδο L_{max} είναι απλώς η μέγιστη τιμή του τμήματος $L_{max,seg}$ (βλέπε εξισώσεις **2.7.25** και **2.7.27**).

$$L_{max} = \max(L_{max,seg}) \tag{2.7.29}$$

όπου κάθε τιμή τμήματος καθορίζεται βάσει των δεδομένων NPD του αεροσκάφους για ισχύ P και απόσταση d. Οι εν λόγω παράμετροι και οι όροι τροποποίησης Δ_I (Φ) και Λ(β,ℓ) εξηγούνται κατωτέρω.

Το επίπεδο έκθεσης L_E υπολογίζεται ως το άθροισμα των ντεσιμπέλ των σχετικών συνεισφορών $L_{E,seg}$ από κάθε τμήμα του ίχνους πτήσης που είναι σημαντικό ως προς τον θόρυβο, δηλαδή

$$L_E = 10 \cdot \lg\left(\sum 10^{L_{E,seg}/10}\right) \tag{2.7.30}$$

Η άθροιση προχωράει βήμα προς βήμα μεταξύ των τμημάτων του ίχνους πτήσης.

Το υπόλοιπο μέρος του παρόντος κεφαλαίου ασχολείται με τον καθορισμό των επιπέδων θορύβου των τμημάτων $L_{max,seg}$ και $L_{E,seg}$.

2.7.18. *Παράμετροι τμήματος του ίχνους πτήσης*

Η ισχύς P και η απόσταση d, για τις οποίες υπολογίζονται διά παρεμβολής τα βασικά επίπεδα $L_{max,seg}(P,d)$ και $L_{E\infty}(P,d)$ από τους πίνακες NPD, καθορίζονται βάσει γεωμετρικών και λειτουργικών παραμέτρων που ορίζουν το τμήμα. Ο τρόπος με τον οποίο γίνεται αυτό εξηγείται κατωτέρω με τη βοήθεια αναπαραστάσεων του επιπέδου που περιέχει το τμήμα και τον παρατηρητή.

Γεωμετρικές παράμετροι

Τα **σχήματα 2.7.ι έως 2.7.ιβ** παρουσιάζουν τις γεωμετρίες πηγής-δέκτη όταν ο παρατηρητής **O** βρίσκεται α) όπισθεν, β) παραπλεύρως και γ) έμπροσθεν του τμήματος $\mathbf{S_1S_2}$, όταν η κατεύθυνση της πτήσης είναι από $\mathbf{S_1}$ προς $\mathbf{S_2}$. Στα διαγράμματα αυτά

O είναι η θέση του παρατηρητή

$\mathbf{S_1}$, $\mathbf{S_2}$ είναι η έναρξη και το πέρας του τμήματος

$\mathbf{S_p}$ είναι το σημείο της κάθετης πλησιέστερης προσέγγισης στον παρατηρητή επί του τμήματος ή της προέκτασής του

d_1, d_2 είναι οι αποστάσεις μεταξύ της έναρξης, της κατάληξης του τμήματος και του παρατηρητή

d_s είναι η συντομότερη απόσταση μεταξύ παρατηρητή και του τμήματος

d_p είναι η κάθετη απόσταση μεταξύ του παρατηρητή και του προεκταθέντος τμήματος (*ελάχιστη απευθείας απόσταση*)

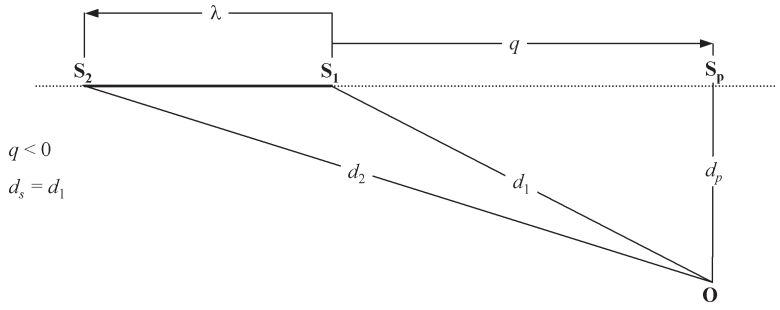
λ είναι το μήκος του τμήματος της πτητικής διαδρομής

q είναι η απόσταση από το $\mathbf{S_1}$ έως το $\mathbf{S_p}$ (η οποία έχει αρνητική τιμή εάν η θέση του παρατηρητή βρίσκεται όπισθεν του τμήματος)

▼**M2**

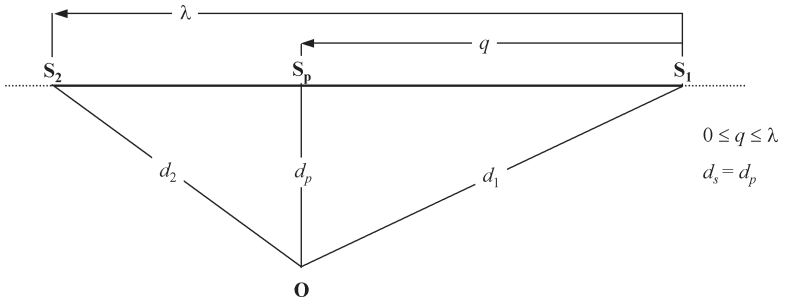
Σχήμα 2.7.ι

Γεωμετρία τμήματος του ίχνους πτήσης για παρατηρητή που βρίσκεται πίσω από το τμήμα



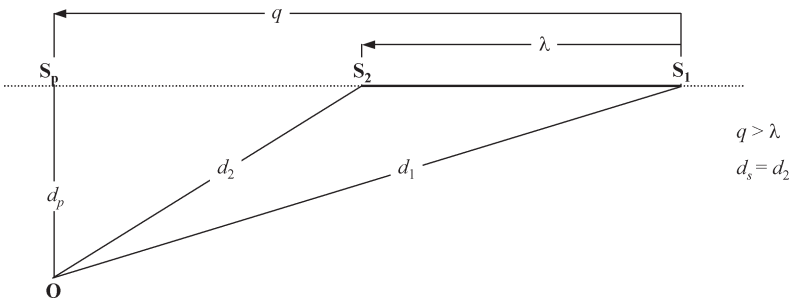
Σχήμα 2.7.ια

Γεωμετρία τμήματος του ίχνους πτήσης για παρατηρητή που βρίσκεται παραπλεύρως του τμήματος



Σχήμα 2.7.ιβ

Γεωμετρία τμήματος του ίχνους πτήσης για παρατηρητή που βρίσκεται μπροστά από το τμήμα



Το τμήμα του ίχνους πτήσης αναπαριστάται με έντονη, συμπαγή γραμμή. Η διακεκομμένη γραμμή αναπαριστά την *προέκταση του ίχνους πτήσης*, η οποία εκτείνεται στο άπειρο και στις δύο κατευθύνσεις. Όταν πρόκειται για εναέρια τμήματα, όταν το μετρούμενο μέγεθος γεγονότος είναι το επίπεδο έκθεσης L_E, η παράμετρος NPD της απόστασης d ισούται με την απόσταση d_p μεταξύ του $\mathbf{S_p}$ και του παρατηρητή, η οποία ονομάζεται *ελάχιστη απευθείας απόσταση* [δηλ. η κάθετη απόσταση από τον παρατηρητή έως το τμήμα ή την προέκτασή του, με άλλα λόγια έως την (υποθετική) άπειρη πτητική τροχιά μέρος της οποίας θεωρείται το τμήμα].

▼M2

Ωστόσο, όταν πρόκειται για τη μέτρηση επιπέδων έκθεσης με τις θέσεις παρατηρητή να βρίσκονται όπισθεν των τμημάτων επί του εδάφους κατά την κύλιση απογείωσης και έμπροσθεν των τμημάτων επί του εδάφους κατά την κύλιση προσγείωσης, η παράμετρος NPD της απόστασης d ισούται με την απόσταση d_s, τη μικρότερη απόσταση από τον παρατηρητή έως το τμήμα (δηλαδή την ίδια με εκείνη που ισχύει για μετρήσεις του μέγιστου επιπέδου).

Όταν πρόκειται για μετρήσεις μέγιστου επιπέδου, η παράμετρος NPD της απόστασης d ισούται με d_s, τη μικρότερη απόσταση από τον παρατηρητή έως το τμήμα.

Ισχύς τμήματος P

Τα πινακοποιημένα δεδομένα NPD περιγράφουν τον θόρυβο ενός αεροσκάφους που κινείται σε σταθερή ευθύγραμμη πτήση επί άπειρης τροχιάς πτήσης, δηλαδή με σταθερή ισχύ κινητήρων P. Η συνιστώμενη μεθοδολογία υποδιαιρεί τα πραγματικά ίχνη πτήσης, κατά μήκος των οποίων ποικίλλουν η ταχύτητα και η κατεύθυνση, σε αρκετά πεπερασμένα τμήματα, το καθένα εκ των οποίων θεωρείται στη συνέχεια ότι αποτελεί μέρος μιας ενιαίας, άπειρης τροχιάς πτήσης για την οποία ισχύουν τα δεδομένα NPD. Αλλά η μεθοδολογία προβλέπει μεταβολές ισχύος κατά μήκος του τμήματος. Η ισχύς θεωρείται ότι μεταβάλλεται γραμμικά με την απόσταση από P_1 στο σημείο έναρξης σε P_2 στο σημείο πέρατος του τμήματος. Ως εκ τούτου, είναι αναγκαίος ο ορισμός μιας ισοδύναμης σταθερής τιμής τμήματος P. Αυτή θεωρείται ότι είναι η τιμή στο σημείο του τμήματος που βρίσκεται πλησιέστερα στον παρατηρητή. Εάν ο παρατηρητής βρίσκεται παραπλεύρως του τμήματος (σχήμα 2.7.ια), η τιμή αυτή λαμβάνεται μέσω παρεμβολής που δίνεται από την εξίσωση 2.7.8 μεταξύ των τιμών κατάληξης, δηλαδή

$$P = \sqrt{P_1^2 + \frac{q}{\lambda} \cdot (P_2^2 - P_1^2)} \qquad (2.7.31)$$

Εάν ο παρατηρητής βρίσκεται όπισθεν ή έμπροσθεν του τμήματος, πρόκειται για την τιμή του πλησιέστερου σημείου κατάληξης, P_1 ή P_2.

2.7.19. *Όροι διόρθωσης επιπέδου γεγονότος τμήματος*

Τα δεδομένα NPD ορίζουν επίπεδα θορύβου γεγονότος ως συνάρτηση της απόστασης καθέτως κάτω από μια ιδανική ευθύγραμμη επίπεδη διαδρομή άπειρου μήκους, κατά μήκος της οποίας πετά το αεροσκάφος με σταθερή ισχύ και σταθερή ταχύτητα αναφοράς ([1]). Το επίπεδο γεγονότος που λαμβάνεται διά παρεμβολής από τον πίνακα NPD για συγκεκριμένη ρύθμιση ισχύος και απευθείας απόσταση περιγράφεται λοιπόν ως *βασικό επίπεδο*. Εφαρμόζεται για άπειρη τροχιά πτήσης και πρέπει να διορθωθεί προκειμένου να ληφθούν υπόψη οι επιδράσεις 1) ταχύτητας άλλης εκτός της ταχύτητας αναφοράς, 2) της εγκατάστασης των κινητήρων (πλευρική κατευθυντικότητα), 3) της πλευρικής εξασθένησης, 4) του μήκους πεπερασμένου τμήματος, και 5) της διαμήκους κατευθυντικότητας όπισθεν του σημείου έναρξης κύλισης απογείωσης· βλ. τις εξισώσεις 2.7.25 και 2.7.26.

Η διόρθωση διάρκειας ΔV (μόνο επίπεδα έκθεσης LE)

Η διόρθωση ([2]) αυτή λαμβάνει υπόψη μια μεταβολή των επιπέδων έκθεσης εάν η πραγματική ταχύτητα εδάφους του τμήματος διαφέρει από την ταχύτητα αναφοράς του αεροσκάφους V_{ref} με την οποία σχετίζονται τα βασικά δεδομένα NPD. Όπως και η ισχύς των κινητήρων, η ταχύτητα μεταβάλλεται κατά μήκος του τμήματος (η ταχύτητα εδάφους μεταβάλλεται από V_1 σε V_2) και είναι απαραίτητος ο ορισμός ισοδύναμης ταχύτητας τμήματος V_{seg} χωρίς να αγνοείται το γεγονός ότι το τμήμα έχει κλίση προς το έδαφος, δηλαδή

([1]) Βάσει των προδιαγραφών NPD, τα στοιχεία πρέπει να βασίζονται σε μετρήσεις σταθερής *ευθύγραμμης* πτήσης, αλλά όχι κατ' ανάγκην οριζόντιας. Για τη δημιουργία των απαραίτητων συνθηκών πτήσης, το ίχνος πτήσης του αεροσκάφους δοκιμής δύναται να παρουσιάζει κλίση ως προς το οριζόντιο επίπεδο. Ωστόσο, όπως θα δούμε, οι κεκλιμένες διαδρομές δημιουργούν υπολογιστικές δυσκολίες και, κατά τη χρήση των δεδομένων για τη μοντελοποίηση, είναι βολική η θεώρηση των ιχνών πτήσης ως ευθύγραμμων και οριζόντιων.

([2]) Αυτό είναι γνωστό ως *διόρθωση διάρκειας* εφόσον λαμβάνει υπόψη τις επιδράσεις της *ταχύτητας* του αεροσκάφους στη διάρκεια του ηχητικού γεγονότος, υλοποιώντας την απλή παραδοχή ότι, τηρουμένων των αναλογιών, η διάρκεια, και ως εκ τούτου η λαμβανόμενη ηχητική ενέργεια του γεγονότος, είναι αντιστρόφως ανάλογη προς την ταχύτητα της πηγής.

▼M2

$$V_{seg} = V/\cos\gamma \qquad (2.7.32)$$

όπου V είναι η ισοδύναμη ταχύτητα εδάφους του τμήματος· για πληροφορίες, βλ. την εξίσωση B-22, που εκφράζει την V ως βαθμονομημένη ταχύτητα αέρα, V_c και

$$\gamma = \tan^{-1}\left(\frac{z_2 - z_1}{s_2 - s_1}\right) \qquad (2.7.33)$$

Όταν πρόκειται για εναέρια τμήματα, η V θεωρείται ότι ισούται με την ταχύτητα εδάφους στο πλησιέστερο σημείο προσέγγισης **S** —παρεμβαλλόμενη μεταξύ των τιμών των σημείων κατάληξης του τμήματος, θεωρώντας ότι μεταβάλλεται γραμμικά με τον χρόνο, δηλαδή εάν ο παρατηρητής βρίσκεται παραπλεύρως του τμήματος:

$$V = \sqrt{V_1^2 + \frac{q}{\lambda} \cdot (V_2^2 - V_1^2)} \qquad (2.7.34)$$

Εάν ο παρατηρητής βρίσκεται όπισθεν ή έμπροσθεν του τμήματος, ισούται με την τιμή του πλησιέστερου σημείου κατάληξης, V_1 ή V_2.

Όταν πρόκειται για τμήματα του διαδρόμου προσγείωσης-απογείωσης (μέρη της κύλισης απογείωσης ή προσγείωσης για τα οποία γ = 0), η V_{seg} θεωρείται ότι ισούται απλώς με τον μέσο όρο των ταχυτήτων έναρξης και κατάληξης του τμήματος, δηλαδή

$$V_{seg} = (V_1 + V_2)/2 \qquad (2.7.35)$$

Σε κάθε περίπτωση, η αυξητική διόρθωση της διάρκειας έχει ως εξής:

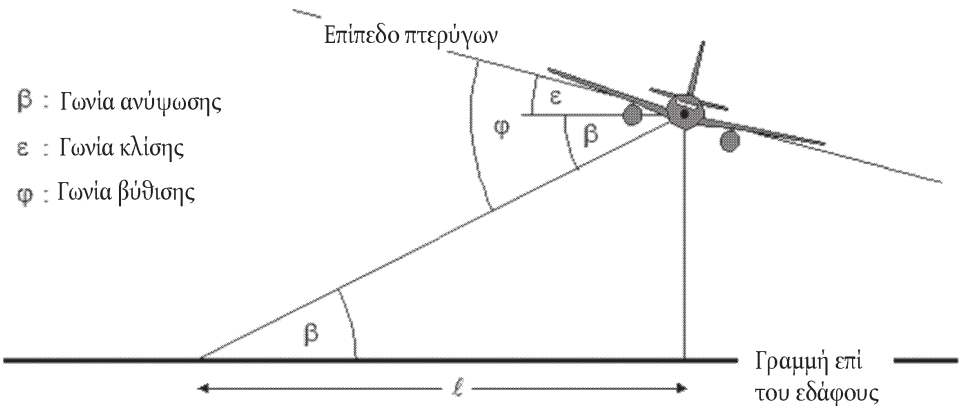
$$\Delta_V = 10 \cdot \lg(V_{ref}/V_{seg}) \qquad (2.7.36)$$

Γεωμετρία διάδοσης του ήχου

Το **σχήμα 2.7.ιβ** απεικονίζει τη βασική γεωμετρία στο κανονικό επίπεδο του ίχνους πτήσης του αεροσκάφους. Η γραμμή επί του εδάφους αποτελεί το σημείο τομής του κανονικού επιπέδου με το οριζόντιο επίπεδο του εδάφους. (Εάν η τροχιά πτήσης είναι οριζόντια, η γραμμή επί του εδάφους αποτελεί την τελική προβολή του επιπέδου του εδάφους.) Το αεροσκάφος έχει κλίση γωνίας ε μετρούμενης αριστερόστροφα σε σχέση με τον άξονα περιστροφής (δηλαδή με τη δεξιά πτέρυγα προς τα πάνω). Ως εκ τούτου, λαμβάνει θετικές τιμές για δεξιά στροφή και αρνητικές τιμές για αριστερή στροφή.

Σχήμα 2.7.ιγ

Γωνίες αεροσκάφους-παρατηρητή σε επίπεδο κανονικό για το ίχνος πτήσης



▼M2

— Η *γωνία ανύψωσης* β (μεταξύ 0 και 90°) μεταξύ της άμεσης διαδρομής διάδοσης του ήχου και της οριζόντιας γραμμής επί του εδάφους ([1]) καθορίζει, μαζί με την κλίση του ίχνους πτήσης και την πλευρική μετατόπιση ℓ του παρατηρητή από το ίχνος επί του εδάφους, την πλευρική εξασθένηση.

— Η *γωνία βύθισης* Φ μεταξύ του επιπέδου πτερύγων και της διαδρομής διάδοσης καθορίζει τις επιδράσεις της εγκατάστασης των κινητήρων. Όσον αφορά τη σύμβαση που αφορά τη γωνία κλίσης $\Phi = \beta \pm \varepsilon$, με θετικό πρόσημο για παρατηρητές που βρίσκονται στα δεξιά και αρνητικό πρόσημο για παρατηρητές που βρίσκονται στα αριστερά.

Διόρθωση εγκατάστασης κινητήρων ΔΙ

Το αεροσκάφος εν πτήσει αποτελεί μια πολύπλοκη ηχητική πηγή. Δεν είναι μόνο οι κινητήρες (και το πλαίσιο) που αποτελούν εξ ορισμού περίπλοκες πηγές, αλλά επίσης η δομή του πλαισίου, ιδίως δε η θέση των κινητήρων, επηρεάζει τα πρότυπα της ηχητικής ακτινοβολίας μέσω των διαδικασιών ανάκλασης, διάθλασης και διασποράς από συμπαγείς επιφάνειες και πεδία αεροδυναμικών ροών. Αυτό καταλήγει σε ανομοιόμορφη κατευθυντικότητα του ήχου που ακτινοβολείται πλευρικώς σε σχέση με τον άξονα περιστροφής του αεροσκάφους, η οποία αναφέρεται εδώ ως *πλευρική κατευθυντικότητα.*

Η πλευρική κατευθυντικότητα διαφέρει σημαντικά μεταξύ αεροσκαφών που έχουν τους κινητήρες προσαρμοσμένους στην άτρακτο και εκείνων που τους έχουν προσαρμοσμένους κάτω από τα φτερά, και οι σχετικές διαφορές λαμβάνονται υπόψη στον ακόλουθο τύπο:

$$\Delta_I(\varphi) = 10 \cdot \lg[(a \cdot \cos^2\varphi + \sin^2\varphi)^b / (c \cdot \sin^2 2\varphi + \cos^2 2\varphi)] \quad \text{dB} \quad (2.7.37)$$

όπου Δ_I (Φ) είναι η διόρθωση, σε dB, στη γωνία βύθισης Φ (βλέπε **σχήμα 2.7.ιγ**) και

$a = 0{,}00384$, $b = 0{,}0621$, $c = 0{,}8786$ για κινητήρες προσαρμοσμένους στα φτερά και

$a = 0{,}1225$, $b = 0{,}3290$, $c = 1$ για κινητήρες προσαρμοσμένους στην άτρακτο.

Όταν πρόκειται για ελικοφόρα αεροσκάφη, οι μεταβολές της κατευθυντικότητας είναι αμελητέες, οπότε λαμβάνεται η εξής παραδοχή για τις μεταβολές αυτές:

$$\Delta_I(\varphi) = 0 \quad (2.7.38)$$

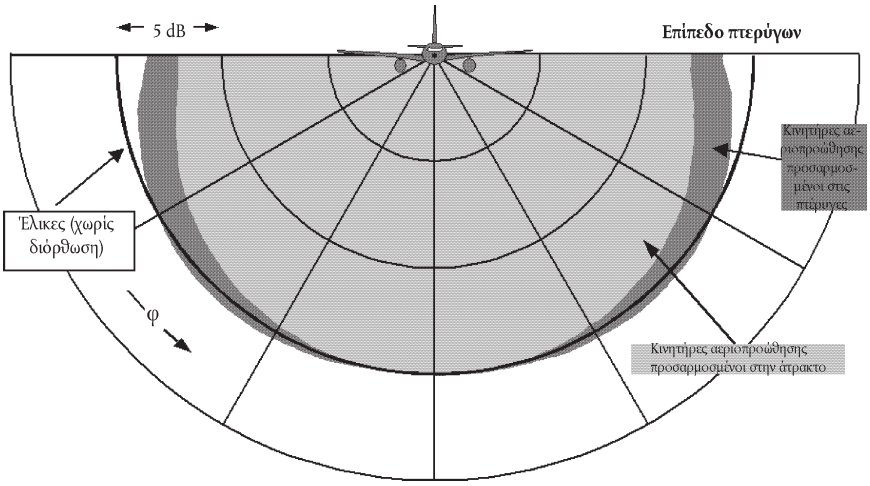
Το **σχήμα 2.7.ιδ** απεικονίζει τη μεταβολή της $\Delta_I(\varphi)$ σε σχέση με τον άξονα περιστροφής του αεροσκάφους για τρεις τρόπους εγκατάστασης των κινητήρων. Οι εν λόγω εμπειρικές σχέσεις έχουν ληφθεί από την Ένωση Μηχανικών Αυτοκινούμενων Μέσων (SAE) μέσω εμπειρικών μετρήσεων που έγιναν κυρίως κάτω από το φτερό. Μέχρις ότου υπάρξουν αναλύσεις δεδομένων πάνω από το φτερό, συνιστάται ότι για αρνητική φ, $\Delta_I(\varphi) = \Delta_I(0)$ για όλες τις εγκαταστάσεις.

([1]) Όταν πρόκειται για μη επίπεδο ανάγλυφο, δύνανται να υπάρξουν διάφοροι ορισμοί της γωνίας ανύψωσης. Εδώ αυτή ορίζεται από το ύψος του αεροσκάφους πάνω από το σημείο παρατήρησης και την απευθείας απόσταση, οπότε αγνοούνται οι κλίσεις του τοπικού αναγλύφου καθώς και τα εμπόδια που βρίσκονται στη διαδρομή διάδοσης του ήχου (βλ. τις ενότητες 2.7.6 και 2.7.10). Σε περίπτωση που, εξαιτίας του υψομέτρου του εδάφους, το σημείο δέκτη βρίσκεται πάνω από το αεροσκάφος, η γωνία ανύψωσης β έχει μηδενική τιμή.

▼M2

Σχήμα 2.7.ιδ

Πλευρική κατευθυντικότητα των επιδράσεων της εγκατάστασης



Θεωρείται ότι η Δ_I (φ) είναι δισδιάστατη, δηλαδή δεν εξαρτάται από καμία άλλη παράμετρο, και κυρίως δεν μεταβάλλεται με την επιμήκη απόσταση του παρατηρητή από το αεροσκάφος. Αυτό σημαίνει ότι η *γωνία ανύψωσης* β για Δ_I (φ) ορίζεται ως $\beta = \tan^{-1}(z/\ell)$. Αυτό ισχύει για τη διευκόλυνση της μοντελοποίησης μέχρις ότου υπάρξει καλύτερη κατανόηση των μηχανισμών. Στην πραγματικότητα, οι επιδράσεις της εγκατάστασης αναμένεται να είναι ουσιαστικά τρισδιάστατες. Παρά ταύτα, η χρήση δισδιάστατου μοντέλου δικαιολογείται από το γεγονός ότι τα επίπεδα γεγονότος τείνουν να κυριαρχούνται από τον θόρυβο που ακτινοβολείται πλευρικώς από το πλησιέστερο τμήμα.

Πλευρική εξασθένηση $\Lambda(\beta,\ell)$ (άπειρη τροχιά πτήσης)

Τα πινακοποιημένα επίπεδα γεγονότος NPD συνδέονται με πτήση σταθερού επιπέδου και βασίζονται γενικώς σε μετρήσεις που λαμβάνονται 1,2 m πάνω από μαλακό επίπεδο έδαφος κάτω από το αεροσκάφος. Η παράμετρος της απόστασης ισούται ουσιαστικά με το ύψος πάνω από την επιφάνεια. Οποιαδήποτε επίδραση της επιφάνειας στα επίπεδα θορύβου απλού γεγονότος κάτω από το αεροσκάφος, η οποία θα μπορούσε να δημιουργήσει διαφορές μεταξύ των πινακοποιημένων επιπέδων και των τιμών ελεύθερου πεδίου ([1]), θεωρείται ότι είναι εγγενής στα δεδομένα (δηλαδή στο σχήμα του επιπέδου έναντι των σχέσεων απόστασης).

Πλευρικώς της τροχιάς πτήσης, η παράμετρος της απόστασης ισούται με την ελάχιστη απευθείας απόσταση, δηλαδή το μήκος της κανονικής απόστασης από τον δέκτη έως το ίχνος πτήσης. Σε οποιαδήποτε πλευρική θέση, το επίπεδο θορύβου είναι γενικά μικρότερο απ' ό,τι στην ίδια απόσταση ακριβώς κάτω από το αεροσκάφος. Εκτός από την *πλευρική κατευθυντικότητα* ή τις «επιδράσεις της εγκατάστασης» που περιγράφονται ανωτέρω, αυτό οφείλεται σε υπερβολική *πλευρική εξασθένηση*, η οποία μειώνει την ηχοστάθμη με την απόσταση ταχύτερα απ' ό,τι καταδεικνύουν οι καμπύλες NPD. Μια προηγούμενη ευρέως χρησιμοποιούμενη μέθοδος μοντελοποίησης της πλευρικής διάδοσης του θορύβου αεροσκαφών αναπτύχθηκε από την Ένωση Μηχανικών Αυτοκινούμενων Μέσων (SAE) στο έγγραφο AIR-1751, και οι αλγόριθμοι που περιγράφονται κατωτέρω βασίζονται σε βελτιώσεις που προτείνει τώρα η SAE στο έγγραφο AIR-5662. Η πλευρική εξασθένηση αποτελεί επίδραση της ανάκλασης, λόγω των παρεμβολών μεταξύ του άμεσα ακτινοβολούμενου ήχου και εκείνου που ανακλάται από την επιφάνεια. Εξαρτάται από τη φύση της επιφάνειας και δύναται να επιφέρει σημαντικές μειώσεις στα παρατηρούμενα επίπεδα θορύβου υπό μικρές γωνίες ανύψωσης. Επηρεάζεται επίσης πάρα πολύ από τη σταθερή και μεταβλητή διάθλαση του ήχου που προκαλείται από τις βαθμίδες ανέμου και θερμοκρασίας καθώς

([1]) Επίπεδο «ελεύθερου πεδίου» είναι εκείνο που θα έβλεπε ο παρατηρητής εάν δεν υπήρχε η επιφάνεια του εδάφους.

▼**M2**

και από την τύρβη, οι οποίες αποδίδονται αυτές καθαυτές στην παρουσία της επιφάνειας [1]. Ο μηχανισμός της επιφανειακής ανάκλασης έχει κατανοηθεί επαρκώς και, υπό ενιαίες συνθήκες ατμόσφαιρας και επιφάνειας, δύναται θεωρητικά να περιγραφεί με σχετική ακρίβεια. Ωστόσο, οι ανομοιομορφίες της ατμόσφαιρας και της επιφάνειας, οι οποίες δεν επιδέχονται απλή θεωρητική ανάλυση, ασκούν σημαντική επίδραση στο φαινόμενο της ανάκλασης, τείνοντας να τη «διασπείρουν» σε μεγαλύτερες γωνίες ανύψωσης, και ως εκ τούτου η εν λόγω θεωρία έχει περιορισμένη εφαρμογή. Η SAE εξακολουθεί να καταβάλλει προσπάθειες για την καλύτερη κατανόηση των επιφανειακών επιδράσεων και αυτό αναμένεται να οδηγήσει στη δημιουργία καλύτερων μοντέλων. Μέχρις ότου εκπονηθούν τα μοντέλα αυτά, συνιστάται η κάτωθι μεθοδολογία, η οποία περιγράφεται στο έγγραφο AIR-5662, για τον υπολογισμό της πλευρικής εξασθένησης. Αυτή αφορά μόνο την περίπτωση διάδοσης του ήχου σε μαλακό οριζόντιο έδαφος, η οποία είναι κατάλληλη για τους περισσότερους πολιτικούς αερολιμένες. Βρίσκονται ήδη υπό εκπόνηση προσαρμογές προκειμένου να ληφθούν υπόψη οι επιδράσεις σκληρής επιφάνειας του εδάφους (ή υδάτινης επιφάνειας, η οποία είναι ισοδύναμη από ακουστικής άποψης).

Η μεθοδολογία βασίζεται στον σημαντικό όγκο πειραματικών δεδομένων που αφορούν τη διάδοση του ήχου από αεροσκάφη με κινητήρες προσαρμοσμένους στην άτρακτο τα οποία κινούνται σε ευθύγραμμη (χωρίς στροφές), σταθερή, οριζόντια πτήση, τα οποία αναφέρθηκαν αρχικά στο έγγραφο AIR-1751. Με την παραδοχή ότι, για οριζόντια πτήση, η εξασθένηση αέρα-εδάφους εξαρτάται i) από τη γωνία ανύψωσης β που μετριέται στο κάθετο επίπεδο, και ii) από την πλευρική μετατόπιση σε σχέση με το ίχνος ℓ του αεροσκάφους επί του εδάφους ℓ, τα δεδομένα υποβλήθηκαν σε ανάλυση προκειμένου να προκύψει μια εμπειρική συνάρτηση για το *σύνολο* της πλευρικής προσαρμογής $\Lambda_T(\beta,\ell)$ (= πλευρικό επίπεδο γεγονότος μείον το επίπεδο στην ίδια απόσταση κάτω από αεροσκάφος).

Εφόσον ο όρος $\Lambda_T(\beta,\ell)$ έλαβε υπόψη τόσο την πλευρική κατευθυντικότητα όσο και την πλευρική εξασθένηση, η τελευταία δύναται να εξαχθεί μέσω αφαίρεσης. Με την περιγραφή της πλευρικής κατευθυντικότητας με την εξίσωση 2.7.37, με συντελεστές προσαρμογής στην άτρακτο και με αντικατάσταση της φ από την β (κατάλληλη για πτήση χωρίς στροφές), η πλευρική εξασθένηση ισούται με:

$$\Lambda(\beta,\ell) = \Lambda_T(\beta,\ell) - \Delta_I(\beta) \qquad (2.7.39)$$

όπου τα β και ℓ μετρούνται όπως παρουσιάζεται στο **σχήμα 2.7.ιγ** σε επίπεδο κανονικό προς την άπειρη τροχιά πτήσης, η οποία είναι επίσης κάθετη για οριζόντια πτήση.

Μολονότι η $\Lambda(\beta,\ell)$ θα μπορούσε να υπολογιστεί άμεσα με τη χρήση της εξίσωσης 2.7.39 λαμβάνοντας το $\Lambda_T(\beta,\ell)$ από το έγγραφο AIR-1751, συνιστάται μια αποδοτικότερη σχέση. Πρόκειται για την εξής εμπειρική προσέγγιση προσαρμοσμένη από το έγγραφο AIR-5662:

$$\Lambda(\beta,\ell) = \Gamma(\ell)\cdot\Lambda(\beta) \qquad (2.7.40)$$

όπου $\Gamma(\ell)$ είναι ένας συντελεστής της απόστασης που δίνεται από τον τύπο

$$\Gamma(\ell) = 1{,}089\cdot\left[1-\exp(-0{,}00274\ell)\right] \quad \text{για } 0 \le \ell \le 914 \text{ m} \qquad (2.7.41)$$

$$\Gamma(\ell) = 1 \quad \text{για } \ell > 914 \text{ m} \qquad (2.7.42)$$

[1] Οι βαθμίδες ανέμου και θερμοκρασίας καθώς και η τύρβη εξαρτώνται εν μέρει από την τραχύτητα και τα χαρακτηριστικά μεταφοράς θερμότητας της επιφάνειας.

▼**M2**

και Λ*(β)* είναι η πλευρική εξασθένηση αέρα-εδάφους μεγάλης απόστασης που δίνεται από τον τύπο

$$\Lambda(\beta) = 1{,}137 - 0{,}0229\beta + 9{,}72 \cdot \exp(-0{,}142\beta) \qquad \text{για } 0° \leq \beta \leq 50° \qquad (2.7.43)$$

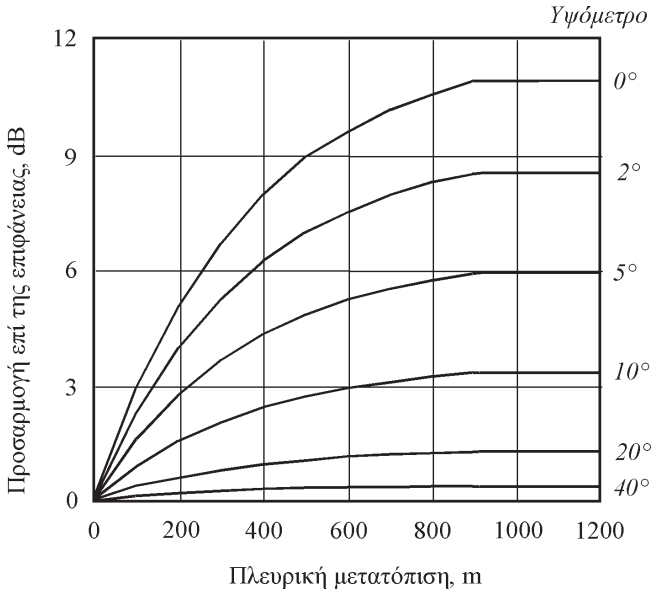
$$\Lambda(\beta) = 0 \qquad \text{για } 50° \leq \beta \leq 90° \qquad (2.7.44)$$

Η έκφραση της πλευρικής εξασθένησης Λ(*β*,*ℓ*), βάσει της εξίσωσης 2.7.40, η οποία θεωρείται ότι είναι κατάλληλη για όλα τα αεροσκάφη, τόσο τα ελικοφόρα όσο και τα αεριωθούμενα που έχουν τους κινητήρες προσαρμοσμένους στην άτρακτο ή στις πτέρυγες, απεικονίζεται γραφικά στο **σχήμα 2.7.ιε**.

Υπό ορισμένες συνθήκες (του αναγλύφου), η τιμή της *β* είναι δυνατόν να είναι κατώτερη του μηδενός. Στις περιπτώσεις αυτές συνιστάται Λ(*β*) = 10,57.

Σχήμα 2.7.ιε

Μεταβολή της πλευρικής εξασθένησης Λ(β, *ℓ*) με τη γωνία ανύψωσης και την απόσταση



Πλευρική εξασθένηση πεπερασμένου τμήματος

Οι εξισώσεις 2.7.41 έως 2.7.44 περιγράφουν την πλευρική εξασθένηση Λ(β,*ℓ*) του ήχου που φτάνει στον παρατηρητή από αεροσκάφος σε σταθερή πτήση κατά μήκος μιας άπειρης οριζόντιας τροχιάς πτήσης. Κατά την εφαρμογή τους σε άπειρα τμήματα διαδρομής που δεν είναι οριζόντια, η εξασθένηση πρέπει να υπολογίζεται για *ισοδύναμο* ίχνος πτήσης, εφόσον το πλησιέστερο σημείο σε απλή προέκταση του κεκλιμένου τμήματος (που διέρχεται από την επιφάνεια του εδάφους σε κάποιο σημείο) συνήθως δεν δίνει την κατάλληλη γωνία ανύψωσης *β*.

Ο καθορισμός της πλευρικής εξασθένησης για πεπερασμένα τμήματα διαφέρει σημαντικά για τις μετρήσεις L_{max} και L_E. Τα μέγιστα επίπεδα του τμήματος L_{max} καθορίζονται βάσει των δεδομένων NPD ως συνάρτηση της απόστασης διάδοσης *d* από το πλησιέστερο σημείο του τμήματος και δεν απαιτούνται διορθώσεις προκειμένου να ληφθούν υπόψη οι διαστάσεις του τμήματος. Παρομοίως, η πλευρική εξασθένηση L_{max} θεωρείται ότι εξαρτάται μόνο από τη γωνία ανύψωσης του ίδιου σημείου και από την απόσταση επί του εδάφους από το σημείο αυτό. Επομένως, απαιτούνται μόνον οι συντεταγμένες του σημείου αυτού. Ωστόσο, για την L_E, η διαδικασία είναι πιο περίπλοκη.

▼M2

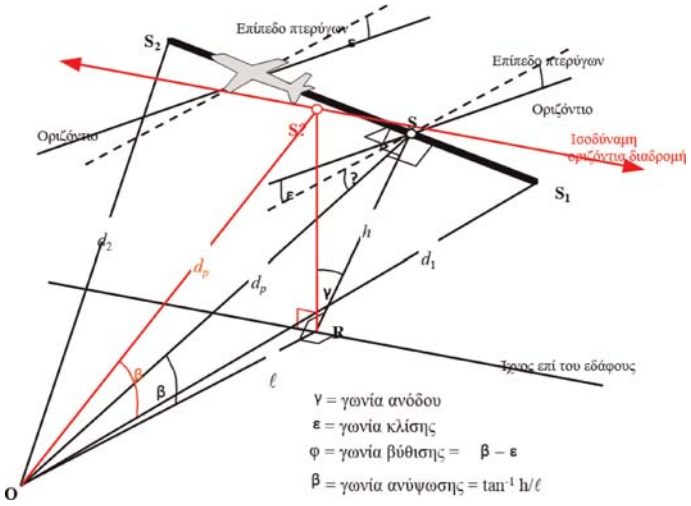
Το βασικό επίπεδο γεγονότος $L_E(P,d)$ που καθορίζεται βάσει των δεδομένων NPD, έστω και αν πρόκειται για παραμέτρους πεπερασμένου τμήματος, εφαρμόζεται μολαταύτα σε άπειρη τροχιά πτήσης. Φυσικά, το επίπεδο έκθεσης σε γεγονός από ένα τμήμα, $L_{E,seg}$, υπολείπεται του βασικού επιπέδου κατά το ύψος της διόρθωσης του πεπερασμένου τμήματος που ορίζεται κατωτέρω στην ενότητα 2.7.19. Η διόρθωση αυτή, που είναι συνάρτηση της γεωμετρίας των τριγώνων OS_1S_2 στα **σχήματα 2.7.ι έως 2.7.ιβ**, ορίζει ποιο είναι το ποσοστό του συνόλου της ενέργειας της άπειρης τροχιάς που λαμβάνεται στο σημείο O το οποίο προέρχεται από το υπό εξέταση τμήμα, ενώ εφαρμόζεται η ίδια διόρθωση είτε υφίσταται τυχόν πλευρική εξασθένηση είτε όχι. Ωστόσο, κάθε πλευρική εξασθένηση υπολογίζεται για την άπειρη τροχιά πτήσης, δηλαδή ως συνάρτηση της μετατόπισης και του υψομέτρου της εν λόγω άπειρης διαδρομής και όχι του πεπερασμένου τμήματος.

Με την προσθήκη των διορθώσεων Δ_V και Δ_I και την αφαίρεση της πλευρικής εξασθένησης $\Lambda(\beta,\ell)$ από το *βασικό επίπεδο* NPD, προκύπτει το προσαρμοσμένο επίπεδο θορύβου για ισοδύναμη σταθερή *οριζόντια* πτήση σε παρακείμενη άπειρη ευθεία τροχιά. Ωστόσο, με τη μοντελοποίηση των τμημάτων του πραγματικού ίχνους πτήσης, εκείνα που επηρεάζουν τις ισοθορυβικές καμπύλες σπανίως είναι οριζόντια, εφόσον το αεροσκάφος συνήθως ακολουθεί είτε πορεία ανόδου είτε πορεία καθόδου.

Το **σχήμα 2.7.ιστ** απεικονίζει ένα τμήμα αναχώρησης $\mathbf{S_1S_2}$ —όπου το αεροσκάφος ανέρχεται υπό γωνία γ—, αλλά οι σχετικές παράμετροι παραμένουν κατά πολύ όμοιες με εκείνες της άφιξης. Το υπόλοιπο τμήμα του «πραγματικού» ίχνους πτήσης δεν απεικονίζεται. Αρκεί η δήλωση ότι το τμήμα $\mathbf{S_1S_2}$ αναπαριστά μέρος του συνόλου της διαδρομής (που είναι σε γενικές γραμμές καμπύλο). Στην περίπτωση αυτή, ο παρατηρητής **O** βρίσκεται παραπλεύρως και στα αριστερά του τμήματος. Το αεροσκάφος έχει κλίση (αριστερόστροφα σε σχέση με το ίχνος πτήσης) υπό γωνία ε προς τον πλευρικό οριζόντιο άξονα. Η γωνία βύθισης *Φ* από το επίπεδο των φτερών, της οποίας αποτελεί συνάρτηση η επίδραση της εγκατάστασης Δ_I (εξίσωση 2.7.39), βρίσκεται εκτός του πεδίου που είναι κανονικό για το ίχνος πτήσης στο οποίο η γωνία ε ορίζεται. Συνεπώς $\Phi = \beta - \varepsilon$ όπου $\beta = \tan^{-1}(h/\ell)$ και ℓ είναι η κάθετη απόσταση **Ή** από τον παρατηρητή έως το ίχνος επί του εδάφους, δηλαδή η πλευρική μετατόπιση του παρατηρητή [1]. Το πλησιέστερο σημείο προσέγγισης του αεροπλάνου προς τον παρατηρητή, **S**, ορίζεται από την κάθετο **OS**, η οποία έχει μήκος (απευθείας απόσταση) d_p. Το τρίγωνο $\mathbf{OS_1S_2}$ συνάδει με το **σχήμα 2.7.ια**, τη γεωμετρία υπολογισμού της διόρθωσης του τμήματος Δ_F.

Σχήμα 2.7.ιστ

Παρατηρητής παραπλεύρως του τμήματος



(1) Για παρατηρητή που βρίσκεται στη δεξιά πλευρά του τμήματος, η γωνία Φ θα ισούταν με β + ε (βλ. ενότητα 2.7.19).

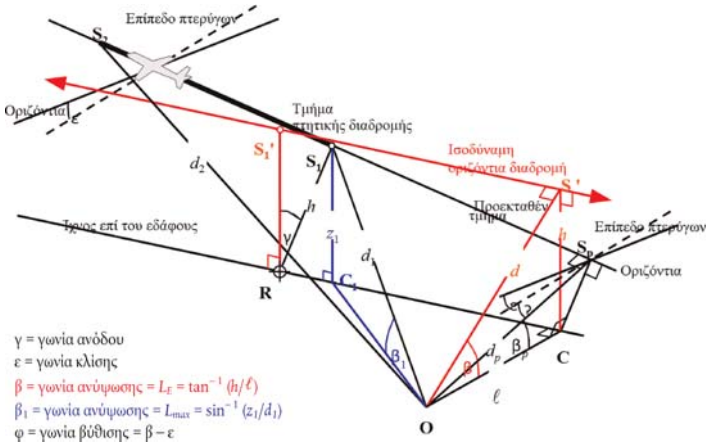
▼M2

Για τον υπολογισμό της πλευρικής εξασθένησης με τη χρήση της εξίσωσης 2.7.40 (όταν η β μετριέται σε κάθετο επίπεδο), ορίζεται *ισοδύναμο οριζόντιο ίχνος πτήσης* στο κάθετο επίπεδο που διέρχεται από το τμήμα $\mathbf{S_1S_2}$ και με την ίδια κάθετη απευθείας απόσταση d_p από τον παρατηρητή. Αυτή απεικονίζεται με την περιστροφή του τριγώνου **ORS** και του συνδεόμενου ίχνους πτήσης του γύρω **Ή** (βλ. **σχήμα 2.7.ιστ**) διαμέσου της γωνίας γ, σχηματίζοντας έτσι το τρίγωνο **ORS′**. Η γωνία ανύψωσης της εν λόγω οριζόντιας διαδρομής $\beta = \tan^{-1}(h/\ell)$ (ℓ παραμένει αμετάβλητη). Στην περίπτωση αυτή, όταν ο παρατηρητής βρίσκεται παραπλεύρως, η πλευρική εξασθένηση $\Lambda(\beta,\ell)$ είναι η ίδια για τις μετρήσεις L_E και L_{max}.

Το **σχήμα 2.7.ιζ** απεικονίζει την κατάσταση όταν το σημείο του παρατηρητή **O** βρίσκεται *όπισθεν του πεπερασμένου τμήματος* και όχι παραπλεύρως αυτού. Στην περίπτωση αυτή, το υπό εξέταση τμήμα παρατηρείται ως πιο απομακρυσμένο μέρος μιας άπειρης τροχιάς, και δύναται να χαραχθεί κάθετος μόνο στο σημείο $\mathbf{S_p}$ επί της προέκτασής του. Το τρίγωνο $\mathbf{OS_1S_2}$ συνάδει με το **σχήμα 2.7.ι**, που ορίζει τη διόρθωση του τμήματος Δ_F. Στην προκειμένη, όμως, περίπτωση, οι παράμετροι για την πλευρική κατευθυντικότητα και εξασθένηση μετριασμού είναι λιγότερο εμφανείς.

Σχήμα 2.7.ιζ

Παρατηρητής όπισθεν του τμήματος



Λαμβάνοντας υπόψη ότι η πλευρική κατευθυντικότητα (επίδραση της εγκατάστασης), όπως γίνεται αντιληπτή για τη μοντελοποίηση, είναι δισδιάστατη, η ορίζουσα γωνία βύθισης φ μετριέται και πάλι πλευρικώς από το επίπεδο των φτερών του αεροσκάφους. (Το βασικό επίπεδο γεγονότος είναι και πάλι το επίπεδο που δημιουργείται όταν το αεροσκάφος διασχίζει την άπειρη τροχιά πτήσης που αναπαριστά το προεκταθέν τμήμα.) Συνεπώς, η γωνία βύθισης καθορίζεται στο πλησιέστερο σημείο προσέγγισης, δηλαδή $\Phi = \beta_p - \varepsilon$, όπου β_p είναι η γωνία $\mathbf{S_pOC}$.

Για τη μέτρηση του μέγιστου επιπέδου, η παράμετρος NPD της απόστασης λαμβάνεται ως η μικρότερη απόσταση έως το τμήμα, δηλαδή $d = d_1$. Για τη μέτρηση του επιπέδου έκθεσης, αυτή είναι η μικρότερη απόσταση d_p από το σημείο **O** έως το σημείο $\mathbf{S_p}$ επί της προεκταθείσας τροχιάς πτήσης, δηλαδή το επίπεδο που παρεμβάλλεται από τον πίνακα NPD είναι $L_{E\infty}$ (P_1, d_p).

Οι γεωμετρικές παράμετροι για την πλευρική εξασθένηση διαφέρουν επίσης για τον υπολογισμό του μέγιστου επιπέδου και του επιπέδου έκθεσης. Για τη μέτρηση του *μέγιστου επιπέδου*, η προσαρμογή $\Lambda(\beta,\ell)$ δίνεται από την εξίσωση 2.7.40, με $\beta = \beta_1 = \sin^{-1}(z_1/d_1)$ και $\ell = \mathbf{OC_1} = \sqrt{d_1^2 - z_1^2}$ όπου τα β_1 και d_1 ορίζονται βάσει του τριγώνου $\mathbf{OC_1S_1}$ στο κάθετο επίπεδο διαμέσου των σημείων **O** και $\mathbf{S_1}$.

▼M2

Κατά τον υπολογισμό της πλευρικής εξασθένησης μόνο για εναέρια τμήματα και για τη μέτρηση του *επιπέδου έκθεσης,* η λ παραμένει η μικρότερη πλευρική μετατόπιση από την προέκταση του τμήματος (**OC**). Ωστόσο, για τον ορισμό της κατάλληλης τιμής της β, είναι και πάλι αναγκαία η οπτική απεικόνιση μιας (άπειρης) *ισοδύναμης οριζόντιας τροχιάς πτήσης* της οποίας μέρος δύναται να θεωρηθεί το υπό εξέταση τμήμα. Αυτή χαράσσεται διαμέσου του σημείου $\mathbf{S_1'}$, σε ύψος *h* πάνω από την επιφάνεια, όπου το h ισούται με το μήκος της $\mathbf{RS_1}$, της καθέτου από το ίχνος επί του εδάφους έως το τμήμα. Αυτό ισοδυναμεί με την περιστροφή της πραγματικής προεκταθείσας τροχιάς πτήσης διαμέσου της γωνίας γ γύρω από το σημείο **R** (βλ. **σχήμα 2.7.ιζ**). Δεδομένου ότι το σημείο **R** βρίσκεται στην κάθετο προς το σημείο $\mathbf{S_1}$, το σημείο επί του τμήματος που είναι το πλησιέστερο προς τον παρατηρητή **O**, η δημιουργία της ισοδύναμης οριζόντιας διαδρομής είναι η ίδια όπως και στην περίπτωση που ο παρατηρητής **O** βρίσκεται παραπλεύρως του τμήματος.

Το πλησιέστερο σημείο προσέγγισης της ισοδύναμης οριζόντιας διαδρομής προς τον παρατηρητή **O** είναι το $\mathbf{S'}$, με απευθείας απόσταση *d*, έτσι ώστε το τρίγωνο $\mathbf{OCS'}$ που σχηματίζεται κατ' αυτόν τον τρόπο στο κάθετο επίπεδο ορίζει τότε τη γωνία ανύψωσης $\beta = \cos^{-1}(\ell/d)$. Μολονότι αυτός ο μετασχηματισμός ίσως φαίνεται μάλλον σπειροειδής, θα πρέπει να σημειωθεί ότι η βασική γεωμετρία της πηγής (οριζόμενη από τα d_1, d_2 και φ) παραμένει αμετάβλητη, ενώ ο ήχος που ταξιδεύει από το υπό εξέταση τμήμα *προς* τον παρατηρητή είναι απλώς αυτός που θα ήταν στην περίπτωση που ολόκληρη η πτήση κατά μήκος του απείρως προεκταθέντος κεκλιμένου τμήματος (του οποίου αποτελεί μέρος το υπό εξέταση τμήμα σε ό,τι αφορά τη μοντελοποίηση) γινόταν με σταθερή ταχύτητα *V* και ισχύ P_1. Από την άλλη πλευρά, η πλευρική εξασθένηση του ήχου από το υπό εξέταση τμήμα που *λαμβάνεται* από τον παρατηρητή συνδέεται όχι με την β_p, δηλαδή τη γωνία ανύψωσης της προεκταθείσας τροχιάς, αλλά με τη β, δηλαδή τη γωνία ανύψωσης της ισοδύναμης οριζόντιας τροχιάς.

Η περίπτωση στην οποία ο παρατηρητής βρίσκεται έμπροσθεν του τμήματος δεν περιγράφεται ξεχωριστά, αλλά είναι προφανές ότι ταυτίζεται ουσιαστικά με την περίπτωση στην οποία ο παρατηρητής βρίσκεται όπισθεν αυτού.

Ωστόσο, για τη μέτρηση του επιπέδου έκθεσης για θέσεις παρατηρητή όπισθεν των τμημάτων επί του εδάφους κατά την κύλιση απογείωσης και για θέσεις έμπροσθεν των τμημάτων επί του εδάφους κατά την κύλιση προσγείωσης, η τιμή της β ταυτίζεται με την τιμή που δίνει η μέτρηση του μέγιστου επιπέδου, δηλαδή $\beta = \beta_1 = \sin^{-1}(z_1/d_1)$ και $\ell = OC_1 = \sqrt{d_1^2 - z_1^2}$

Η διόρθωση του πεπερασμένου τμήματος Δ_F (μόνο επίπεδα έκθεσης L_E)

Το προσαρμοσμένο βασικό επίπεδο έκθεσης σε θόρυβο συνδέεται με αεροσκάφος που κινείται σε συνεχή, ευθύγραμμη, σταθερή τροχιά πτήσης (αν και υπό γωνία κλίσης *ε* που δεν συνάδει με ευθύγραμμη πτήση). Με την εφαρμογή (αρνητικής) *διόρθωσης πεπερασμένου τμήματος* $\Delta_F = 10 \lg(F)$, όπου *F* είναι το *κλάσμα ενέργειας*, διορθώνεται περαιτέρω το επίπεδο προκειμένου να φτάσει στην τιμή που θα ίσχυε εάν το αεροσκάφος διέσχιζε μόνο το πεπερασμένο τμήμα (ή εάν δεν εξέπεμπε κανέναν απολύτως ήχο κατά τη διάρκεια του υπολοίπου της άπειρης τροχιάς πτήσης).

Ο όρος του κλάσματος ενέργειας λαμβάνει υπόψη την έντονη επιμήκη κατευθυντικότητα του θορύβου αεροσκαφών και τη γωνία που τέμνεται από το τμήμα στη θέση του παρατηρητή. Μολονότι οι διαδικασίες που προκαλούν την κατευθυντικότητα είναι εξαιρετικά περίπλοκες, μελέτες έχουν καταδείξει ότι οι ισοθορυβικές καμπύλες που προκύπτουν επηρεάζονται ελάχιστα από τα ακριβή κατευθυντικά χαρακτηριστικά που λαμβάνονται ως παραδοχές. Η έκφραση για την Δ_F κατωτέρω βασίζεται σε ένα διπολικό μοντέλο 90° εις την τετάρτη δύναμη της ηχητικής ακτινοβολίας. Θεωρείται ότι δεν επηρεάζεται από την πλευρική κατευθυντικότητα και εξασθένηση. Το πώς προκύπτει η εν λόγω διόρθωση περιγράφεται λεπτομερώς στο **προσάρτημα Ε.**

Το κλάσμα ενέργειας *F* αποτελεί συνάρτηση του τριγώνου «προβολής» $\mathbf{OS_1S_2}$ που ορίζεται στα **σχήματα 2.7.ι έως 2.7.ιβ** ως εξής:

▼M2

$$\Delta_F = 10 \cdot \lg\left[\frac{1}{\pi}\left(\frac{\alpha_2}{1+\alpha_2^2} + \arctan\alpha_2 - \frac{\alpha_1}{1+\alpha_1^2} - \arctan\alpha_1\right)\right] \qquad (2.7.45)$$

όπου

$$\alpha_1 = -\frac{q}{d_\lambda}; \quad \alpha_2 = -\frac{q-\lambda}{d_\lambda}; \quad d_\lambda = d_0 \cdot 10^{[L_{Ex}(P,d_p) - L_{max}(P,d_p)]/10}; \quad d_0 = \frac{2}{\pi} \cdot V_{ref} \cdot t_0.$$

όπου η d_λ είναι γνωστή ως η «κλιμακούμενη απόσταση» (βλέπε **προσάρτημα Ε**). Σημειωτέον ότι $L_{max}(P, d_p)$ είναι το μέγιστο επίπεδο βάσει δεδομένων NPD, για την κάθετη αντίσταση d_p, ΟΧΙ το τμήμα L_{max}.

Συνιστάται η εφαρμογή κατώτερου ορίου – 150 dB στην Δ_F.

Στη συγκεκριμένη περίπτωση, όπου οι θέσεις του παρατηρητή βρίσκονται όπισθεν κάθε τμήματος κύλισης απογείωσης και κάθε τμήματος κύλισης προσγείωσης, χρησιμοποιείται μειωμένη μορφή του κλάσματος θορύβου το οποίο εκφράζεται στην εξίσωση 2.7.45, που αντιστοιχεί στη συγκεκριμένη περίπτωση του q = 0. Αυτό υπολογίζεται χρησιμοποιώντας τον εξής τύπο:

$$\Delta_{F'} = 10\ \log_{10}[(1/\pi)[\alpha_2/(1+\alpha_2^2) + \tan^{-1}\alpha_2]\ 10^{\Delta SOR/10}] \qquad (2.7.46)$$

όπου $\alpha_2 = \lambda/d_\lambda$ και Δ_{SOR} είναι η συνάρτηση κατευθυντικότητας της έναρξης κύλισης που ορίζεται από τις εξισώσεις 2.7.51 και 2.7.52.

Το σκεπτικό για τη χρήση αυτής της ιδιαίτερης μορφής κλάσματος θορύβου εξηγείται περαιτέρω στην κάτωθι ενότητα, στο πλαίσιο της μεθόδου εφαρμογής της κατευθυντικότητας στο σημείο έναρξης κύλισης.

Ειδικές μέθοδοι επεξεργασίας τμημάτων κύλισης επί του εδάφους, συμπεριλαμβανομένης της συνάρτησης κατευθυντικότητας του σημείου έναρξης κύλισης Δ_{SOR}

Όταν πρόκειται για τμήματα κύλισης επί του εδάφους, τόσο για απογείωση όσο και για προσγείωση, εφαρμόζονται ειδικές μέθοδοι επεξεργασίας, οι οποίες περιγράφονται κατωτέρω.

Η συνάρτηση κατευθυντικότητας του σημείου έναρξης κύλισης Δ_{SOR}

Ο θόρυβος αεριωθούμενων αεροσκαφών, ιδίως δε εκείνων που είναι εφοδιασμένα με κινητήρες διπλής ροής οι οποίοι έχουν χαμηλότερο λόγο διακλάδωσης της ροής, παρουσιάζει λοβοειδές πρότυπο ακτινοβολίας στο οπίσθιο τόξο, το οποίο είναι χαρακτηριστικό του ήχου των καυσαερίων της αεριοπροώθησης. Το πρότυπο αυτό οξύνεται ή αμβλύνεται με την αύξηση ή τη μείωση της ταχύτητας του αεριωθούμενου αεροσκάφους, αντίστοιχα. Αυτό έχει ιδιαίτερη σημασία για τις θέσεις παρατηρητή που βρίσκονται όπισθεν του σημείου έναρξης κύλισης, όταν πληρούνται και οι δύο προϋποθέσεις. Η επίδραση αυτή λαμβάνεται υπόψη βάσει της συνάρτησης κατευθυντικότητας Δ_{SOR}.

Η συνάρτηση Δ_{SOR} έχει ληφθεί βάσει αρκετών εκστρατειών μέτρησης θορύβου με τη χρήση μικροφώνων κατάλληλα τοποθετημένων όπισθεν και πλευρικώς του σημείου SOR ενός αναχωρούντος αεριωθούμενου αεροσκάφους.

Το **σχήμα 2.7.ιη** παρουσιάζει τη σχετική γεωμετρία. Η γωνία αζιμουθίου ψ μεταξύ του διαμήκους άξονα του αεροσκάφους και του διανύσματος προς τον παρατηρητή ορίζεται ως εξής

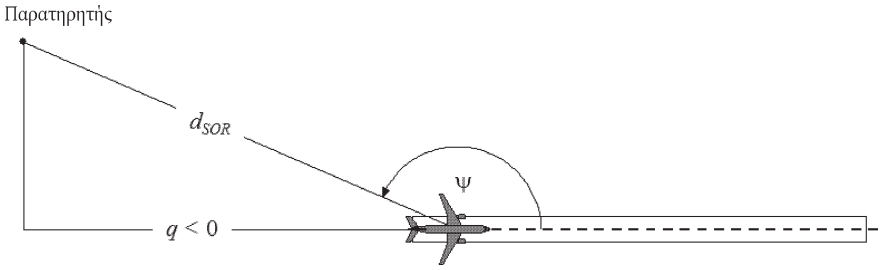
$$\psi = \arccos\left(\frac{q}{d_{SOR}}\right). \qquad (2.7.47)$$

Η σχετική απόσταση q είναι αρνητική (βλ. **σχήμα 2.7.ι**), ώστε η ψ κυμαίνεται μεταξύ 0° όταν το αεροσκάφος κινείται με κατεύθυνση προς τα εμπρός και 180° όταν το αεροσκάφος κινείται με αντίστροφη κατεύθυνση.

▼**M2**

Σχήμα 2.7.ιη

Γεωμετρία αεροσκάφους-παρατηρητή στο έδαφος για την εκτίμηση της διόρθωσης κατευθυντικότητας



Η συνάρτηση Δ_{SOR} αναπαριστά τη διαφορά του συνόλου του θορύβου που προέρχεται από την κύλιση απογείωσης όπισθεν του σημείου SOR, σε σχέση με το σύνολο του θορύβου της κύλισης απογείωσης που μετριέται πλευρικώς του σημείου SOR, στην ίδια απόσταση:

$$L_{TGR}(d_{SOR},\psi) = L_{TGR}(d_{SOR},90°) + \Delta_{SOR}(d_{SOR},\psi) \qquad (2.7.48)$$

όπου $L_{TGR}(d_{SOR},90°)$ είναι το σύνολο του επιπέδου θορύβου από την κύλιση απογείωσης που δημιουργείται από όλα τα τμήματα της κύλισης απογείωσης σε σημειακή απόσταση d_{SOR} πλευρικώς του σημείου SOR. Σε αποστάσεις d_{SOR} μικρότερες της απόστασης κανονικοποίησης $d_{SOR,0}$, η συνάρτηση κατευθυντικότητας του σημείου SOR δίνεται από τον εξής τύπο:

$$\Delta^0_{SOR} = 51{,}47 - 1{,}553 \cdot \psi + 0{,}015147 \cdot \psi^2 - 0{,}000047173 \cdot \psi^3 \qquad \text{αν } 90° \le \psi < 148{,}4° \qquad (2.7.49)$$

$$\Delta^0_{SOR} = 339{,}18 - 2{,}5802 \cdot \psi - 0{,}0045545 \cdot \psi^2 + 0{,}000044193 \cdot \psi^3 \qquad \text{αν } 148{,}4° \le \psi \le 180° \qquad (2.7.50)$$

Εάν η απόσταση d_{SOR} υπερβαίνει την απόσταση κανονικοποίησης $d_{SOR,0}$, η διόρθωση κατευθυντικότητας πολλαπλασιάζεται με συντελεστή διόρθωσης προκειμένου να ληφθεί υπόψη το γεγονός ότι μειώνεται η ένταση κατευθυντικότητας όσο αυξάνεται η απόσταση από το αεροσκάφος, δηλαδή

$$\Delta_{SOR} = \Delta^0_{SOR} \qquad \text{αν } d_{\mathrm{SOR}} \le d_{\mathrm{SOR,0}} \qquad (2.7.51)$$

$$\Delta_{SOR} = \Delta^0_{SOR} \cdot \frac{d_{SOR,0}}{d_{SOR}} \qquad \text{αν } d_{\mathrm{SOR}} > d_{\mathrm{SOR,0}} \qquad (2.7.52)$$

Η απόσταση κανονικοποίησης $d_{SOR,0}$ ισούται με 762 m (2 500 ft).

Μεταχείριση των δεκτών που βρίσκονται όπισθεν κάθε τμήματος κύλισης απογείωσης και προσγείωσης

Η ως άνω περιγραφόμενη συνάρτηση Δ_{SOR} χρησιμοποιείται κυρίως για τον καθορισμό της επίδρασης της έντονης κατευθυντικότητας στο αρχικό τμήμα της κύλισης απογείωσης σε θέσεις όπισθεν του σημείου SOR (εφόσον βρίσκεται στο πλησιέστερο σημείο προς τους δέκτες, με τον υψηλότερο λόγο ταχύτητας αεριοπροώθησης προς ταχύτητα αεροσκάφους). Ωστόσο, η χρήση της ως άνω καθοριζόμενης Δ_{SOR} καθίσταται «γενική» σε θέσεις που βρίσκονται όπισθεν κάθε επιμέρους τμήματος της κύλισης εδάφους, τόσο για την απογείωση όσο και για την προσγείωση, και συνεπώς όχι μόνο όπισθεν του σημείου SOR (όταν πρόκειται για απογείωση).

Οι παράμετροι d_S και ψ υπολογίζονται σε σχέση με την έναρξη κάθε επιμέρους τμήματος κύλισης επί του εδάφους.

Το επίπεδο γεγονότος L_{seg} για μια θέση όπισθεν δεδομένου τμήματος κύλισης απογείωσης ή προσγείωσης υπολογίζεται έτσι ώστε να συνάδει με την τυποποίηση της συνάρτησης της Δ_{SOR}: υπολογίζεται κατ' ουσίαν για το σημείο αναφοράς που βρίσκεται στην πλευρά του σημείου έναρξης του τμήματος, στην ίδια απόσταση d_s με το πραγματικό σημείο, και προσαρμόζεται περαιτέρω με την Δ_{SOR} προκειμένου να προκύψει το επίπεδο γεγονότος στο πραγματικό σημείο.

▼M2

Αυτό σημαίνει ότι οι διάφοροι όροι διόρθωσης στις κάτωθι εξισώσεις χρησιμοποιούν τις γεωμετρικές παραμέτρους που αντιστοιχούν στο εν λόγω σημείο αναφοράς που βρίσκεται στην πλευρά του σημείου έναρξης:

$$L_{max,seg} = L_{max}(P,d = d_s) + \Delta_I(\varphi) - \Lambda(\beta,l = d_s) + \Delta_{SOR} \quad (2.7.53)$$

$$L_{E,seg} = L_{E,\infty}(P,d = d_s) + \Delta_V + \Delta_I(\varphi) - \Lambda(\beta,l = d_s) + \Delta'_F + \Delta_{SOR} \quad (2.7.54)$$

όπου Δ'_F είναι η μειωμένη μορφή του κλάσματος θορύβου που εκφράζεται στην εξίσωση (2.7.46) για την περίπτωση του $q = 0$ (εφόσον το σημείο αναφοράς βρίσκεται στην πλευρά του σημείου έναρξης) και λαμβάνοντας υπόψη ότι η d_λ υπολογίζεται με τη χρήση της d_S (όχι της d_p):

$$d_\lambda = d_0 \cdot 10^{[L_{E\infty}(P,d_s) - L_{max}(P,d_s)]/10} \quad (2.7.55)$$

2.7.20. *Επίπεδο θορύβου απλού γεγονότος L της κίνησης αεροσκαφών γενικής αεροπορίας*

Η μέθοδος που περιγράφεται στην ενότητα 2.7.19 εφαρμόζεται σε ελικοφόρα αεροσκάφη γενικής αεροπορίας όταν αυτά αντιμετωπίζονται ως ελικοφόρα αεροσκάφη αναφορικά με τις επιδράσεις της εγκατάστασης των κινητήρων.

Η βάση δεδομένων ANP περιλαμβάνει καταχωρίσεις για αρκετά αεροσκάφη γενικής αεροπορίας. Μολονότι αυτά είναι τα πιο συνηθισμένα αεροσκάφη γενικής αεροπορίας που βρίσκονται σε λειτουργία, ίσως υπάρχουν περιπτώσεις όπου κρίνεται σκόπιμη η χρήση συμπληρωματικών δεδομένων.

Όταν το συγκεκριμένο αεροσκάφος γενικής αεροπορίας δεν είναι γνωστό ή δεν περιλαμβάνεται στη βάση δεδομένων ANP, συνιστάται η χρήση των γενικότερων δεδομένων αεροσκαφών GASEPF και GASEPV, αντίστοιχα. Τα δεδομένα αυτά αναπαριστούν ένα μικρό μονοκινητήριο αεροσκάφος γενικής αεροπορίας με έλικες σταθερού και μεταβλητού βήματος, αντίστοιχα. Πίνακες με τις σχετικές καταχωρίσεις παρουσιάζονται στο παράρτημα I (πίνακες I-11 I-17).

2.7.21. *Μέθοδος υπολογισμού του θορύβου ελικοπτέρων*

Για τον υπολογισμό του θορύβου ελικοπτέρων, δύναται να χρησιμοποιηθεί η ίδια μέθοδος υπολογισμού με εκείνη που χρησιμοποιείται για αεροσκάφη σταθερών πτερύγων (όπως περιγράφεται στην ενότητα 2.7.14), υπό την προϋπόθεση ότι τα ελικόπτερα αντιμετωπίζονται ως ελικοφόρα αεροσκάφη και δεν εφαρμόζονται οι επιδράσεις της εγκατάστασης των κινητήρων που συνδέονται με τα αεριωθούμενα αεροσκάφη. Πίνακες με καταχωρίσεις για δύο διαφορετικά σύνολα δεδομένων παρουσιάζονται στο παράρτημα I (πίνακες I- 18 I- 27).

2.7.22. *Θόρυβος που συνδέεται με τις λειτουργίες δοκιμής κινητήρα (προθέρμανσης), την τροχοδρόμηση και τις βοηθητικές μονάδες ηλεκτροπαραγωγής*

Στις περιπτώσεις όπου κρίνεται ότι πρέπει να μοντελοποιηθεί ο θόρυβος που συνδέεται με τις δοκιμές κινητήρα και τις βοηθητικές μονάδες ηλεκτροπαραγωγής, αυτό γίνεται σύμφωνα με το κεφάλαιο περί βιομηχανικού θορύβου. Αν και δεν ισχύει αυτό γενικά, ο θόρυβος από τις δοκιμές των κινητήρων αεροσκαφών (που ενίοτε αναφέρονται και ως «προθέρμανση») στους αερολιμένες δύναται να συμβάλει στις επιπτώσεις του θορύβου. Οι δοκιμές αυτές εκτελούνται συνήθως για μηχανολογικούς σκοπούς προκειμένου να ελεγχθούν οι επιδόσεις των κινητήρων, και στην περίπτωση αυτή τα αεροσκάφη είναι τοποθετημένα ασφαλώς μακριά από κτίρια, καθώς και από την κίνηση άλλων αεροσκαφών, οχημάτων και/ή προσωπικού για την αποφυγή των ζημιών που οφείλονται στο ωστικό κύμα της αεριοπροώθησης.

▼M2

Για λόγους περαιτέρω ασφάλειας και ελέγχου του θορύβου, οι αερολιμένες, ιδίως δε εκείνοι που διαθέτουν εγκαταστάσεις συντήρησης όπου ίσως εκτελούνται συχνές δοκιμές κινητήρων, μπορούν να εγκαταστήσουν τις λεγόμενες «περιοχές θορύβου» (noise pens), δηλαδή κλειστούς χώρους που καλύπτονται στις τρεις πλευρές τους και είναι ειδικά σχεδιασμένοι για να ανακλούν και να απάγουν το ωστικό κύμα της αεριοπροώθησης και τον θόρυβο. Η έρευνα που αφορά τις επιπτώσεις του θορύβου από αυτές τις εγκαταστάσεις, ο οποίος δύναται να εξασθενεί και να μειώνεται περαιτέρω με τη χρήση πρόσθετων αναχωμάτων ή ηχοπετασμάτων επαρκούς μεγέθους, διενεργείται καλύτερα όταν οι περιοχές θορύβου αντιμετωπίζονται ως πηγή βιομηχανικού θορύβου με τη χρήση κατάλληλου μοντέλου διάδοσης του θορύβου και του ήχου.

2.7.23. *Υπολογισμός σωρευτικών επιπέδων*

Οι ενότητες 2.7.14 έως 2.7.19 περιγράφουν τον υπολογισμό του επιπέδου του ήχου απλού γεγονότος από την κίνηση ενός μεμονωμένου αεροσκάφους στη θέση ενός επιμέρους παρατηρητή. Το σύνολο της έκθεσης σε θόρυβο στη θέση αυτή υπολογίζεται αθροίζοντας τα επίπεδα γεγονότων όλων των κινήσεων αεροσκαφών που είναι σημαντικές ως προς τον θόρυβο, δηλαδή όλων των κινήσεων άφιξης και αναχώρησης που επηρεάζουν το αθροιστικό επίπεδο.

2.7.24. *Σταθμισμένες ισοδύναμες ηχοστάθμες*

Οι χρονικά σταθμισμένες ισοδύναμες ηχοστάθμες, που αντιπροσωπεύουν όλη τη λαμβανόμενη σημαντική ηχητική ενέργεια από αεροσκάφη, εκφράζονται με γενικό τρόπο με τον τύπο

$$L_{eq,W} = 10 \cdot \lg \left[\frac{t_0}{T_0} \cdot \sum_{i=1}^{N} g_i \cdot 10^{L_{E,i}/10} \right] + C \qquad (2.7.56)$$

Η άθροιση αυτή εκτελείται για όλα τα N ηχητικά γεγονότα διάστημα T_0 στα οποία εφαρμόζεται ο δείκτης θορύβου. $L_{E,i}$ είναι το επίπεδο έκθεσης σε θόρυβο απλού γεγονότος του i-οστού ηχητικού γεγονότος. g_i είναι ο συντελεστής στάθμισης που εξαρτάται από την περίοδο της ημέρας (συνήθως ορίζεται για τις περιόδους της ημέρας, του βραδιού και της νύχτας). Ουσιαστικά g_i είναι ένας πολλαπλασιαστής για τον αριθμό των πτήσεων που λαμβάνουν χώρα κατά τη διάρκεια συγκεκριμένων περιόδων. Η σταθερά C δύναται να έχει διάφορες σημασίες (σταθερά κανονικοποίησης, εποχική προσαρμογή κ.λπ.).

Χρησιμοποιώντας τη σχέση

$$g_i = 10^{\Delta_i/10}$$

όπου Δ_i είναι η στάθμιση σε ντεσιμπέλ για την i-οστή περίοδο, η εξίσωση 2.7.56 μπορεί να αναδιαταχθεί ως εξής:

$$L_{eq,W} = 10 \cdot \lg \left[\frac{t_0}{T_0} \sum_{i=1}^{N} 10^{(L_{E,i}+\Delta_i)/10} \right] + C \qquad (2.7.57)$$

δηλαδή η στάθμιση βάσει της περιόδου της ημέρας εκφράζεται βάσει αντιστάθμισης πρόσθετου επιπέδου.

2.7.25. *Ο σταθμισμένος αριθμός λειτουργιών*

Το σωρευτικό επίπεδο θορύβου εκτιμάται αθροίζοντας τις συνεισφορές όλων των διαφόρων τύπων ή των κατηγοριών αεροσκαφών που χρησιμοποιούν τα διάφορα ίχνη πτήσης τα οποία αποτελούν το σενάριο του αερολιμένα.

Για την περιγραφή αυτής της διαδικασίας άθροισης χρησιμοποιούνται οι εξής δείκτες:

i ο δείκτης για τον τύπο ή την κατηγορία αεροσκάφους

j ο δείκτης για το ίχνος ή υποΐχνος πτήσης (εάν ορίζονται υποΐχνη)

k ο δείκτης για το τμήμα του ίχνους πτήσης

Πολλοί δείκτες θορύβου —ιδίως οι ισοδύναμες ηχοστάθμες— περιλαμβάνουν στον ορισμό τους συντελεστές στάθμισης g_i για συγκεκριμένες περιόδους της ημέρας (εξίσωση 2.7.56 και 2.7.57).

▼M2

Η διαδικασία άθροισης δύναται να απλοποιηθεί με την εφαρμογή «σταθμισμένου αριθμού λειτουργιών»

$$M_{ij} = (g_{day} \cdot N_{ij,day} + g_{evening} \cdot N_{ij,evening} + g_{night} \cdot N_{ij,night}) \quad (2.7.58)$$

Οι τιμές N_{ij} αναπαριστούν τους αριθμούς λειτουργιών του τύπου ή της κατηγορίας αεροσκάφους i επί το ίχνος (ή το υποΐχνος) j κατά τη διάρκεια της περιόδου της ημέρας, του βραδιού και της νύχτας, αντίστοιχα ([1]).

Βάσει της εξίσωσης 2.7.57, η (γενική) σωρευτική ισοδύναμη ηχοστάθμη L_{eq} στο σημείο του παρατηρητή (x, y) είναι

$$L_{eq,W}(x,y) = 10 \cdot \lg\left[\frac{t_0}{T_0} \cdot \sum_i \sum_j \sum_k M_{ij} \cdot 10^{L_{E,ijk}(x,y)/10}\right] + C \quad (2.7.59)$$

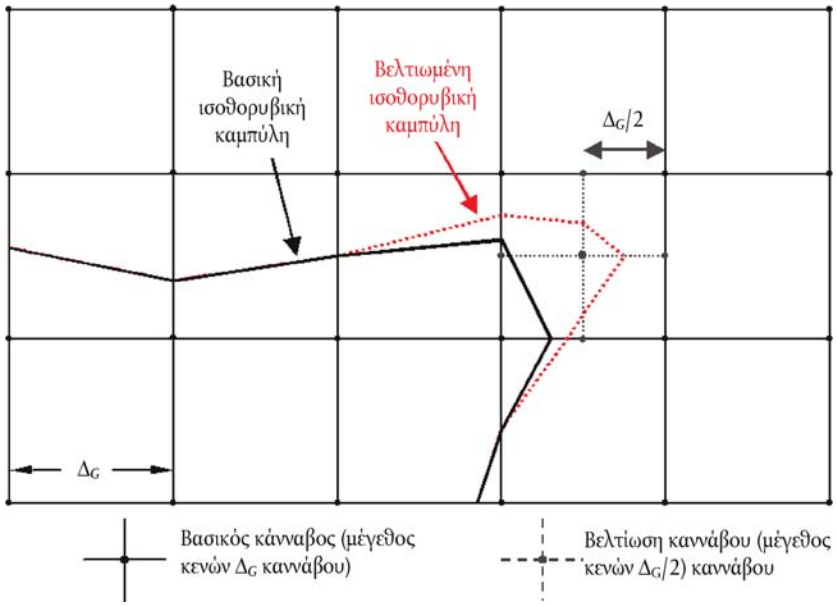
T_0 είναι η χρονική περίοδος αναφοράς. Εξαρτάται, όπως και οι συντελεστές στάθμισης g_i, από τον συγκεκριμένο ορισμό του χρησιμοποιούμενου σταθμισμένου δείκτη (π.χ. L_{DEN}). $L_{E,ijk}$ είναι η συμβολή στο επίπεδο θορύβου απλού γεγονότος από το τμήμα k του ίχνους ή του υποΐχνους j από τη λειτουργία αεροσκάφους κατηγορίας i. Η εκτίμηση του $L_{E,ijk}$ περιγράφεται λεπτομερώς στις ενότητες 2.7.14 έως 2.7.19.

2.7.26. *Υπολογισμός και βελτίωση πρότυπου πλέγματος*

Όταν οι ισοθορυβικές καμπύλες λαμβάνονται μέσω παρεμβολής μεταξύ τιμών δείκτη στα σημεία πλέγματος με ορθογώνια κενά, η ακρίβειά τους εξαρτάται από την επιλογή των κενών του πλέγματος (ή του μεγέθους των ανοιγμάτων του) Δ_G, ιδίως δε σε κυψέλες όπου οι μεγάλες βαθμίδες της χωρικής κατανομής του δείκτη προκαλούν μεγάλη καμπυλότητα στις ισοθορυβικές καμπύλες (βλ. **σχήμα 2.7.ιθ**). Τα σφάλματα παρεμβολής μειώνονται με τη μείωση του μεγέθους των κενών του πλέγματος, αλλά εφόσον αυτό αυξάνει τον αριθμό των σημείων του πλέγματος, αυξάνεται ο χρόνος υπολογισμού. Η βελτιστοποίηση ενός κανονικού δικτύου πλέγματος προϋποθέτει την εξισορρόπηση της ακρίβειας μοντελοποίησης και του χρόνου λειτουργίας.

Σχήμα 2.7.ιθ

Πρότυπο πλέγμα και βελτίωση πλέγματος



([1]) Οι χρονικές περίοδοι δύνανται να διαφέρουν από τις εν λόγω τρεις, ανάλογα με τον ορισμό του δείκτη θορύβου που χρησιμοποιείται.

▼M2

Μια αξιοσημείωτη βελτίωση των υπολογιστικών επιδόσεων που αποφέρει ακριβέστερα αποτελέσματα συνίσταται στη χρήση ακανόνιστου πλέγματος για τη βελτίωση της παρεμβολής σε κρίσιμες κυψέλες. Η τεχνική αυτή, που απεικονίζεται στο **σχήμα 2.7.ιθ**, συνίσταται στην πύκνωση του πλέγματος τοπικά, αφήνοντας τον κύριο όγκο του πλέγματος αμετάβλητο. Αυτό είναι πολύ απλό και επιτυγχάνεται με τα εξής βήματα:

1) Ορίζεται μια διαφορά κατωφλίου βελτίωσης ΔL_R για τον δείκτη θορύβου.

2) Υπολογίζεται το βασικό πλέγμα για διάσταση κενού Δ_G.

3) Ελέγχονται οι διαφορές ΔL των τιμών του δείκτη μεταξύ παρακείμενων κόμβων του πλέγματος.

4) Εάν υπάρχουν τυχόν διαφορές $\Delta L > \Delta L_R$, ορίζεται νέο πλέγμα με διάσταση κενού $\Delta_G/2$ και εκτιμώνται τα επίπεδα των νέων κόμβων με τον εξής τρόπο:

$$\text{αν} \begin{cases} \Delta L \leq \Delta L_R \\ \\ \Delta L > \Delta L_R \end{cases} \text{η νέα τιμή υπολογιζεται} \begin{cases} \text{με γραμμική παρεμβολή από τους παρακείμενους κόμβους} \\ \\ \text{εντελώς εξ υπαρχής από τα βασικά εισαγόμενα δεδομένα} \end{cases}$$

5) Επαναλαμβάνονται τα στάδια 1-4 μέχρις ότου καταστούν όλες οι διαφορές μικρότερες από τη διαφορά κατωφλίου.

6) Εκτιμώνται οι ισοθορυβικές καμπύλες μέσω γραμμικής παρεμβολής.

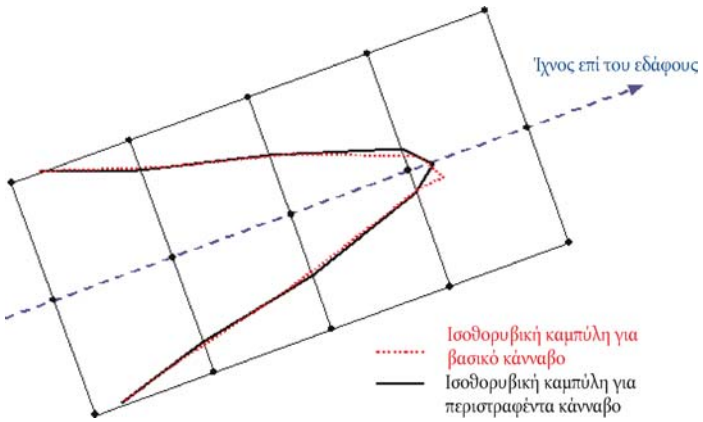
Εάν το φάσμα των τιμών του δείκτη πρέπει να αθροιστεί με άλλες τιμές (π.χ. κατά τον υπολογισμό σταθμισμένων δεικτών μέσω άθροισης διακριτών ισοθορυβικών καμπυλών για την ημέρα, το βράδυ και τη νύχτα), απαιτείται προσοχή προκειμένου να εξασφαλιστεί ότι τα επιμέρους πλέγματα θα είναι πανομοιότυπα.

2.7.27. *Χρήση εναλλασσόμενων πλεγμάτων*

Σε πολλές περιπτώσεις στην πράξη, το ακριβές σχήμα μιας ισοθορυβικής καμπύλης τείνει να είναι συμμετρικό ως προς ένα ίχνος επί του εδάφους. Ωστόσο, εάν η κατεύθυνση του ίχνους αυτού δεν έχει ευθυγραμμιστεί με το πλέγμα υπολογισμού, αυτό δύναται να οδηγήσει σε ασύμμετρο σχήμα της καμπύλης.

Σχήμα 2.7.κ

Χρήση εναλλασσόμενου πλέγματος



Ο άμεσος τρόπος για να αποφευχθεί αυτή η επίδραση είναι να συμπτυχθεί το πλέγμα. Ωστόσο, αυτό αυξάνει τον χρόνο υπολογισμού. Μια λεπτομερέστερη λύση είναι η περιστροφή του πλέγματος υπολογισμού έτσι ώστε η κατεύθυνσή του να είναι παράλληλη προς τα κύρια ίχνη επί του εδάφους (δηλαδή συνήθως παράλληλη προς τον κύριο διάδρομο προσγείωσης-απογείωσης). Το **σχήμα 2.7.κ** παρουσιάζει την επίδραση αυτής της περιστροφής του πλέγματος στο σχήμα της ισοθορυβικής καμπύλης.

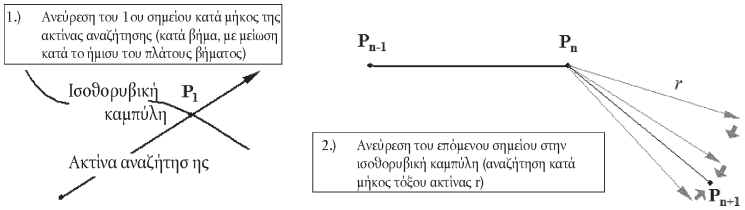
▼M2

2.7.28. *Εντοπισμός ισοθορυβικών καμπυλών*

Ένας πολύ αποδοτικός από πλευράς χρόνου αλγόριθμος, που εξαλείφει την ανάγκη υπολογισμού ενός πλήρους φάσματος πλέγματος των τιμών του δείκτη και ο οποίος αυξάνει ελάχιστα την υπολογιστική περιπλοκότητα, συνίσταται στον εντοπισμό της διαδρομής της ισοθορυβικής καμπύλης, σημείο προς σημείο. Η επιλογή αυτή απαιτεί την εκτέλεση και την επανάληψη δύο βασικών βημάτων (βλ. **σχήμα 2.7.κα**):

Σχήμα 2.7.κα

Έννοια του αλγορίθμου εντοπισμού

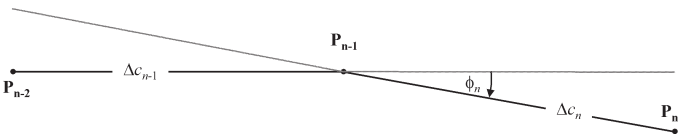


Το βήμα 1 αποσκοπεί στην ανεύρεση ενός αρχικού σημείου $\mathbf{P_1}$ στην ισοθορυβική καμπύλη. Αυτό γίνεται υπολογίζοντας τα επίπεδα του δείκτη θορύβου L σε ισαπέχοντα βήματα κατά μήκος μιας «ακτίνας αναζήτησης» που αναμένεται να τέμνει την απαιτούμενη ισοθορυβική καμπύλη του επιπέδου L_C. Όταν τέμνεται η ισοθορυβική καμπύλη, η διαφορά $\delta = L_C - L$ αλλάζει πρόσημο. Εάν συμβεί αυτό, το πλάτος του βήματος κατά μήκος της ακτίνας μειώνεται κατά το ήμισυ και η κατεύθυνση της αναζήτησης αντιστρέφεται. Αυτό γίνεται μέχρις ότου η δ καταστεί μικρότερη από προκαθορισμένο κατώφλι ακριβείας.

Το βήμα 2, που επαναλαμβάνεται ωσότου οριστεί με επαρκή σαφήνεια η ισοθορυβική καμπύλη, συνίσταται στην ανεύρεση του επόμενου σημείου στην ισοθορυβική καμπύλη L_C, το οποίο βρίσκεται σε συγκεκριμένη ευθύγραμμη απόσταση r από το τρέχον σημείο. Κατά τη διάρκεια διαδοχικών γωνιακών βημάτων, υπολογίζονται τα επίπεδα του δείκτη και οι διαφορές δ στα άκρα διανυσμάτων που περιγράφουν ένα τόξο με ακτίνα r. Με παρόμοια μείωση κατά το ήμισυ και αντιστροφή των βαθμίδων αύξησης, αυτή τη φορά προς τις κατευθύνσεις του διανύσματος, καθορίζεται η επόμενη ισοθορυβική καμπύλη με προκαθορισμένη ακρίβεια.

Σχήμα 2.7.κβ

Γεωμετρικές παράμετροι που ορίζουν τις προϋποθέσεις για τον αλγόριθμο εντοπισμού



Επιβάλλονται ορισμένοι περιορισμοί προκειμένου να εξασφαλιστεί ότι η εκτίμηση της ισοθορυβικής καμπύλης γίνεται με επαρκή βαθμό ακρίβειας (βλ. **σχήμα 2.7.κβ)**:

1) Το μήκος της χορδής Δc (η απόσταση μεταξύ δύο σημείων της ισοθορυβικής καμπύλης) βρίσκεται εντός διαστήματος $[\Delta c_{min}, \Delta c_{max}]$, π.χ. [10 m, 200 m].

2) Ο λόγος του μήκους μεταξύ δύο παρακείμενων χορδών των μηκών Δc_n και Δc_{n+1} περιορίζεται, π.χ. $0{,}5 < \Delta c_n / \Delta c_{n+1} < 2$.

3) Όσον αφορά την κατάλληλη προσαρμογή του μήκους της χορδής στην καμπυλότητα της ισοθορυβικής καμπύλης, πρέπει να πληρούνται οι εξής προϋποθέσεις:

$$\Phi_n \cdot \max(\Delta c_{n-1}, \Delta c_n) \leq \varepsilon \ (\varepsilon \approx 15 \text{ m})$$

όπου φ_n είναι η διαφορά των κατευθύνσεων χορδής.

▼M2

Η πείρα όσον αφορά τον αλγόριθμο αυτόν έχει καταδείξει ότι, κατά μέσον όρο, πρέπει να υπολογιστούν από 2 έως 3 τιμές του δείκτη προκειμένου να καθοριστεί μια ισοθορυβική καμπύλη με ακρίβεια ανώτερη των 0,01 dB.

Ιδίως κατά τον υπολογισμό μεγάλων ισοθορυβικών καμπυλών, ο αλγόριθμος αυτός επιταχύνει θεαματικά τον χρόνο υπολογισμού. Ωστόσο, πρέπει να σημειωθεί ότι η εφαρμογή του απαιτεί πείρα, ιδίως όταν μια ισοθορυβική καμπύλη υποδιαιρείται σε διακριτές νησίδες.

2.8. **Προσδιορισμός επιπέδων θορύβου και πληθυσμού για κτίρια**

Για την εκτίμηση της έκθεσης του πληθυσμού σε θόρυβο, πρέπει να εξετάζονται μόνο κτίρια κατοικιών. Δεν πρέπει να συσχετίζονται πρόσωπα με άλλα κτίρια, τα οποία δεν χρησιμοποιούνται για κατοικία, όπως σχολεία, νοσοκομεία, κτίρια γραφείων και εργοστάσια. Ο συσχετισμός του πληθυσμού με κτίρια κατοικιών βασίζεται στα πλέον πρόσφατα επίσημα στοιχεία (ανάλογα με τους σχετικούς κανονισμούς του κράτους μέλους).

Δεδομένου ότι οι υπολογισμοί αεροσκαφών διενεργούνται σε πλέγμα ανάλυσης 100 m × 100 m, στη συγκεκριμένη περίπτωση του θορύβου αεροσκαφών παρεμβάλλονται επίπεδα βάσει των επιπέδων θορύβου του πλησιέστερου πλέγματος.

Προσδιορισμός του αριθμού των κατοίκων ενός κτιρίου

Ο αριθμός των κατοίκων ενός κτιρίου κατοικίας αποτελεί μια σημαντική ενδιάμεση παράμετρο για την εκτίμηση της έκθεσης σε θόρυβο. Δυστυχώς, τα στοιχεία για την παράμετρο αυτή δεν είναι πάντα διαθέσιμα. Κάτωθι διευκρινίζεται πώς η παράμετρος αυτή δύναται να εξαχθεί βάσει δεδομένων που δύνανται να βρεθούν ευκολότερα.

Τα σύμβολα που χρησιμοποιούνται κατωτέρω είναι:

BA = base area of the building (βασική έκταση του κτιρίου)

DFS = dwelling floor space (εμβαδόν κατοικίας)

DUFS = dwelling unit floor space (εμβαδόν μονάδας κατοικίας)

H = height of the building (ύψος του κτιρίου)

FSI = dwelling floor space per inhabitant (εμβαδόν κατοικίας ανά κάτοικο)

Inh = number of inhabitants (αριθμός κατοίκων)

NF = number of floors (αριθμός ορόφων)

V = volume of residential buildings (όγκος κτιρίων κατοικιών)

Για τον υπολογισμό του αριθμού των κατοίκων, χρησιμοποιείται η ακόλουθη διαδικασία της περίπτωσης 1 ή της περίπτωσης 2 ανάλογα με τη διαθεσιμότητα των δεδομένων.

ΠΕΡΙΠΤΩΣΗ 1: τα δεδομένα σχετικά με τον αριθμό των κατοίκων είναι διαθέσιμα

1Α: Ο αριθμός των κατοίκων είναι γνωστός ή έχει εκτιμηθεί βάσει των μονάδων κατοικίας. Στην περίπτωση αυτή, ο αριθμός των κατοίκων του κτιρίου ισούται με το άθροισμα του αριθμού των κατοίκων όλων των μονάδων κατοικίας του κτιρίου:

$$Inh_{building} = \sum_{i=1}^{n} Inh_{dwelling_{unit_i}} \quad (2.8.1)$$

1Β: Ο αριθμός των κατοίκων είναι γνωστός μόνο για οντότητες μεγαλύτερες του ενός κτιρίου, π.χ. πλευρές συνοικιών, συνοικίες ή έναν ολόκληρο δήμο. Στην περίπτωση αυτή, ο αριθμός των κατοίκων ενός κτιρίου εκτιμάται βάσει του όγκου του:

$$Inh_{building} = \frac{V_{building}}{V_{total}} \times Inh_{total} \quad (2.8.2)$$

Ο δείκτης «*σύνολο*» αφορά εν προκειμένω την αντίστοιχη υπό εξέταση οντότητα. Ο όγκος του κτιρίου ισούται με το γινόμενο του εμβαδού βάσης του επί το ύψος του:

▼M2

$$V_{building} = BA_{building} \times H_{building} \quad (2.8.3)$$

Εάν δεν είναι γνωστό το ύψος του κτιρίου, εκτιμάται βάσει του αριθμού των ορόφων του $NF_{building}$, θεωρώντας ότι το μέσο ύψος ορόφου είναι 3 m:

$$H_{building} = NF_{building} \times 3 \text{ m} \quad (2.8.4)$$

Εάν δεν είναι γνωστός ούτε ο αριθμός των ορόφων, χρησιμοποιείται μια προκαθορισμένη τιμή για τον αριθμό ορόφων η οποία θεωρείται αντιπροσωπευτική για την περιοχή ή τον δήμο.

Ο συνολικός όγκος των κτιρίων κατοικίας στην υπό εξέταση οντότητα V_{total} υπολογίζεται ως το άθροισμα των όγκων όλων των κτιρίων κατοικίας της οντότητας:

$$V_{total} = \sum_{i=1}^{n} V_{building_i} \quad (2.8.5)$$

ΠΕΡΙΠΤΩΣΗ 2: δεν υπάρχουν διαθέσιμα στοιχεία σχετικά με τον αριθμό των κατοίκων

Στην περίπτωση αυτή, ο αριθμός των κατοίκων υπολογίζεται βάσει του μέσου εμβαδού κατοικίας ανά κάτοικο *FSI*. Εάν δεν είναι γνωστή η παράμετρος αυτή, χρησιμοποιείται μια προεπιλεγμένη τιμή.

2Α: Το εμβαδόν του χώρου κατοικίας είναι γνωστό βάσει των μονάδων κατοικίας. Στην περίπτωση αυτή, ο αριθμός των κατοίκων ανά μονάδα κατοικίας υπολογίζεται ως εξής:

$$Inh_{dwelling_{unit_i}} = \frac{DUFS_i}{FSI} \quad (2.8.6)$$

Ο αριθμός των κατοίκων του κτιρίου δύναται να εκτιμηθεί όπως και στην ΠΕΡΙΠΤΩΣΗ 1Α ανωτέρω.

2Β: Το εμβαδόν του χώρου κατοικίας είναι γνωστό για το σύνολο του κτιρίου, δηλαδή είναι γνωστό το άθροισμα των εμβαδών χώρων κατοικίας όλων των μονάδων κατοικίας του κτιρίου. Στην περίπτωση αυτή, ο αριθμός των κατοίκων υπολογίζεται ως εξής:

$$Inh_{building} = \frac{DFS_{building}}{FSI} \quad (2.8.7)$$

2Γ: Το εμβαδόν του χώρου κατοικίας είναι γνωστό μόνο για οντότητες μεγαλύτερες του ενός κτιρίου, π.χ. πλευρές συνοικιών, συνοικίες ή έναν ολόκληρο δήμο.

Στην περίπτωση αυτή, ο αριθμός των κατοίκων του κτιρίου εκτιμάται βάσει του όγκου του κτιρίου όπως περιγράφεται στην ΠΕΡΙΠΤΩΣΗ 1Β, ενώ ο συνολικός αριθμός των κατοίκων εκτιμάται ως εξής:

$$Inh_{total} = \frac{DFS_{total}}{FSI} \quad (2.8.8)$$

2Δ: Το εμβαδόν χώρου κατοικίας είναι άγνωστο. Στην περίπτωση αυτή, ο αριθμός των κατοίκων ενός κτιρίου εκτιμάται όπως περιγράφεται στην ΠΕΡΙΠΤΩΣΗ 2Β ανωτέρω, ενώ το εμβαδόν χώρου κατοικίας εκτιμάται ως εξής:

$$DFS_{building} = BA_{building} \times 0{,}8 \times NF_{building} \quad (2.8.9)$$

Ο συντελεστής 0,8 είναι ο συντελεστής μετατροπής *μεικτού εμβαδού → εμβαδόν χώρου κατοικίας*. Εάν είναι γνωστό ότι υπάρχει διαφορετικός συντελεστής που είναι αντιπροσωπευτικός για την περιοχή, τότε χρησιμοποιείται και τεκμηριώνεται σαφώς αυτός αντί του προαναφερθέντος συντελεστή.

▼M2

Εάν δεν είναι γνωστός ο αριθμός των ορόφων του κτιρίου, τότε υπολογίζεται βάσει του ύψους του κτιρίου, $H_{building}$, οπότε με τον υπολογισμό αυτό προκύπτει συνήθως μη ακέραιος αριθμός ορόφων:

$$NF_{building} = \frac{H_{building}}{3\ \text{m}} \tag{2.8.10}$$

Εάν δεν είναι γνωστό ούτε το ύψος του κτιρίου ούτε ο αριθμός ορόφων, τότε χρησιμοποιείται μια προεπιλεγμένη τιμή για τον αριθμό ορόφων αντιπροσωπευτική για την περιοχή ή το δήμο.

Ορισμός σημείων δεκτών στις προσόψεις κτιρίων

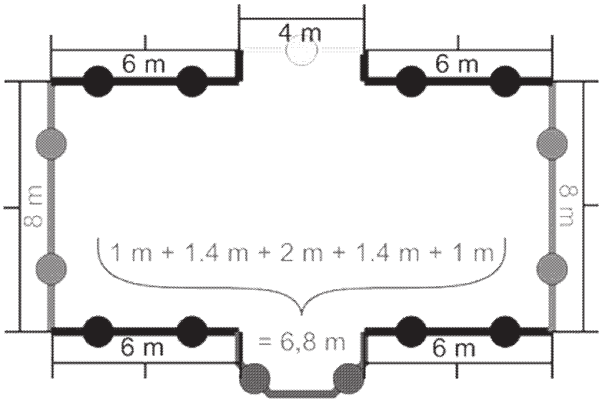
Η εκτίμηση της έκθεσης του πληθυσμού στον θόρυβο βασίζεται σε επίπεδα σημείων δεκτών που βρίσκονται σε ύψος 4 m πάνω από το επίπεδο του αναγλύφου μπροστά από τις προσόψεις κτιρίων κατοικιών.

Για τον υπολογισμό του αριθμού των κατοίκων, χρησιμοποιείται η διαδικασία της περίπτωσης 1 ή 2 για πηγές θορύβου που βρίσκονται επί του εδάφους. Για τον θόρυβο αεροσκαφών που υπολογίζεται σύμφωνα με την ενότητα 2.6, το σύνολο του πληθυσμού ενός κτιρίου συνδέεται με το πλησιέστερο σημείο υπολογισμού του θορύβου στο πλέγμα.

ΠΕΡΙΠΤΩΣΗ 1

Σχήμα α

παράδειγμα θέσης δεκτών γύρω από ένα κτίριο με χρήση της διαδικασίας της ΠΕΡΙΠΤΩΣΗΣ 1



α) Τα τμήματα που έχουν μήκος άνω των 5 m υποδιαιρούνται σε τακτά διαστήματα με το μεγαλύτερο δυνατό μήκος, το οποίο όμως δεν υπερβαίνει τα 5 m. Τα σημεία δεκτών τοποθετούνται στο μέσο του κάθε τακτού διαστήματος.

β) Τα εναπομείναντα τμήματα μήκους άνω των 2,5 m αναπαρίστανται από ένα σημείο δέκτη στο μέσο κάθε τμήματος.

γ) Τα εναπομείναντα παρακείμενα τμήματα συνολικού μήκους άνω των 5 m θεωρούνται πολυγραμμικά αντικείμενα κατά τρόπο παρόμοιο με αυτόν που περιγράφεται στα στοιχεία α) και β).

δ) Ο αριθμός των κατοίκων που συνδέεται με ένα σημείο δέκτη σταθμίζεται βάσει του μήκους της αναπαριστώμενης πρόσοψης, έτσι ώστε το άθροισμα όλων των σημείων δεκτών να αναπαριστά τον συνολικό αριθμό των κατοίκων.

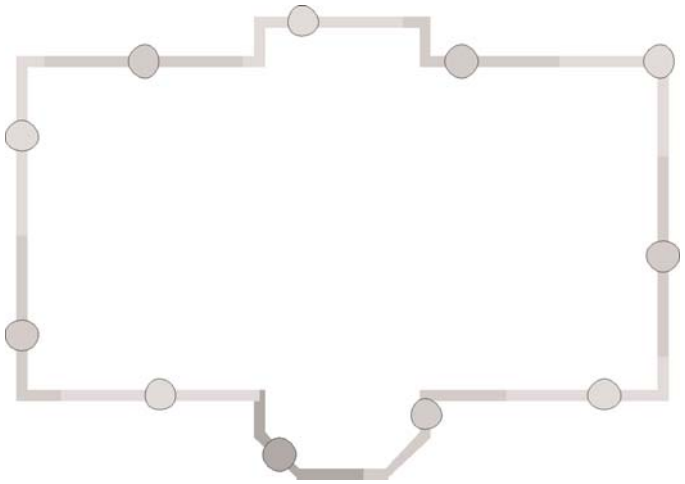
ε) Μόνο όταν πρόκειται για κτίρια που έχουν εμβαδό που καταδεικνύει την ύπαρξη μίας κατοικίας ανά όροφο, το επίπεδο θορύβου της πλέον εκτεθειμένης πρόσοψης χρησιμοποιείται άμεσα για τα στατιστικά στοιχεία και συνδέεται με τον αριθμό των κατοίκων.

▼**M2**

ΠΕΡΙΠΤΩΣΗ 2

Σχήμα β

παράδειγμα θέσης δεκτών γύρω από ένα κτίριο με χρήση της διαδικασίας της ΠΕΡΙΠΤΩΣΗΣ 2



α) Οι προσόψεις εξετάζονται χωριστά ή υποδιαιρούνται ανά 5 m από τη θέση έναρξης και μετά, με τη θέση δέκτη να τοποθετείται στο μέσον του ημίσεως της απόστασης της πρόσοψης ή του τμήμα των 5 m.

β) Όσον αφορά το εναπομείναν τμήμα, το σημείο δέκτη βρίσκεται στο μέσο του.

γ) Ο αριθμός των κατοίκων που συνδέεται με ένα σημείο δέκτη σταθμίζεται βάσει του μήκους της αναπαριστώμενης πρόσοψης, έτσι ώστε το άθροισμα όλων των σημείων δεκτών να αναπαριστά το συνολικό αριθμό των κατοίκων.

δ) Μόνο όταν πρόκειται για κτίρια που έχουν εμβαδό που καταδεικνύει την ύπαρξη μίας κατοικίας ανά όροφο, το επίπεδο θορύβου της πλέον εκτεθειμένης πρόσοψης χρησιμοποιείται άμεσα για τα στατιστικά στοιχεία και συνδέεται με τον αριθμό των κατοίκων.

3. ΔΕΔΟΜΕΝΑ ΕΙΣΟΔΟΥ

Τα κατάλληλα δεδομένα εισόδου που χρησιμοποιούνται για τις μεθόδους που περιγράφονται ανωτέρω δίνονται στα προσαρτήματα ΣΤ έως Θ.

Σε περιπτώσεις όπου τα δεδομένα εισόδου που δίνονται στα προσαρτήματα ΣΤ έως Θ δεν εφαρμόζονται ή προκαλούν αποκλίσεις από την πραγματική τιμή οι οποίες δεν πληρούν τους όρους που αναφέρονται στις ενότητες 2.1.2 και 2.6.2, δύνανται να χρησιμοποιηθούν άλλες τιμές, υπό την προϋπόθεση ότι τόσο οι τιμές αυτές όσο και η μεθοδολογία που χρησιμοποιείται για τη λήψη τους έχουν τεκμηριωθεί επαρκώς και έχει αποδειχθεί η καταλληλότητά τους. Οι πληροφορίες αυτές δημοσιοποιούνται.

4. ΜΕΘΟΔΟΙ ΜΕΤΡΗΣΗΣ

Σε περιπτώσεις όπου, για οποιονδήποτε λόγο, διενεργούνται μετρήσεις, αυτές πρέπει να διενεργούνται σύμφωνα με τις αρχές που διέπουν τις μακροπρόθεσμες μέσες μετρήσεις που αναφέρονται στα πρότυπα ISO 1996-1:2003 και ISO 1996-2:2007 ή, όταν πρόκειται για θόρυβο αεροσκαφών, σύμφωνα με το πρότυπο ISO 20906:2009.

▼M2

Προσάρτημα Α

Απαιτήσεις δεδομένων

Το τμήμα 2.7.6 του κυρίως κειμένου περιγράφει σε γενικές γραμμές τις απαιτήσεις για δεδομένα κατά περίπτωση τα οποία περιγράφουν έναν αερολιμένα και τις λειτουργίες του που απαιτούνται για τους υπολογισμούς ισοθορυβικών καμπυλών. Τα ακόλουθα φύλλα δεδομένων περιέχουν ενδεικτικά δεδομένα από έναν υποθετικό αερολιμένα. Οι ειδικοί μορφότυποι δεδομένων εξαρτώνται γενικά από τις απαιτήσεις και τις ανάγκες του συγκεκριμένου συστήματος μοντελοποίησης θορύβου και του σεναρίου μελέτης.

Σημείωση: Συνιστάται να ορίζονται οι γεωγραφικές πληροφορίες (σημεία αναφοράς κ.λπ.) σε καρτεσιανές συντεταγμένες. Η επιλογή του συγκεκριμένου συστήματος συντεταγμένων συνήθως εξαρτάται από τους διαθέσιμους χάρτες.

A1 ΓΕΝΙΚΑ ΔΕΔΟΜΕΝΑ ΑΕΡΟΛΙΜΕΝΑ

Ονομασία αεροδρομίου	Υποθετικός αερολιμένας	
Σύστημα συντεταγμένων	UTM, ζώνη 15, επίπεδο αναφοράς WGS-84	
Σημείο αναφοράς αεροδρομίου, ARP	3 600 000 m E	6 300 000 m N
	Μέσο σημείο του διαδρόμου 09L-27R	
Το υψόμετρο του ARP	120 m /	
Μέση θερμοκρασία αέρα στο ARP (*)	12,0 °C	
Μέση σχετική υγρασία στο ARP (*)	60 %	
Μέση ταχύτητα & κατεύθυνση ανέμου (*)	5 kt	270 μοίρες
Πηγή τοπογραφικών δεδομένων	Άγνωστη	
(*) Επαναλάβετε για κάθε υπό εξέταση χρονικό διάστημα (ώρα της ημέρας, περίοδο κ.λπ.)		

A2 ΠΕΡΙΓΡΑΦΗ ΔΙΑΔΡΟΜΟΥ ΠΡΟΣΓΕΙΩΣΗΣ-ΑΠΟΓΕΙΩΣΗΣ

Ονομασία διαδρόμου προσγείωσης-απογείωσης	09L	
Έναρξη του διαδρόμου προσγείωσης-απογείωσης	3 599 000 m E	6 302 000 m N
Τέλος του διαδρόμου προσγείωσης-απογείωσης	3 603 000 m E	6 302 000 m N
Έναρξη κύλισης	3 599 000 m E	6 302 000 m N
Κατώφλι προσγείωσης	3 599 700 m E	6 302 000 m N
Υψόμετρο σημείου έναρξης του διαδρόμου προσγείωσης-απογείωσης	110 m	
Μέση κλίση διαδρόμου προσγείωσης-απογείωσης	0,001	

Σε περίπτωση μετατόπισης των κατωφλίων, η περιγραφή του διαδρόμου προσγείωσης-απογείωσης μπορεί να συμπεριληφθεί στο τμήμα που περιγράφει το ίχνος επί του εδάφους.

▼M2

Α3 ΠΕΡΙΓΡΑΦΗ ΤΟΥ ΙΧΝΟΥΣ ΕΠΙ ΤΟΥ ΕΔΑΦΟΥΣ

Ελλείψει δεδομένων ραδιοεντοπισμού, απαιτούνται οι ακόλουθες πληροφορίες για την περιγραφή συγκεκριμένων ιχνών επί του εδάφους.

Ίχνος αριθ.	001
Ονομασία ίχνους	Dep 01 – 09L
Από τον διάδρομο	09L
Τύπος ίχνους	Αναχώρηση
Μετατόπιση του σημείου έναρξης κύλισης	0 m
Αριθμός υποϊχνών	7

Περιγραφή ίχνους κορμού

Τμήμα αριθ.	Ευθεία [m]	Καμπύλη			Πρότυπη απόκλιση για πλευρική διασπορά στο πέρας του τμήματος [m]
		L/R	Αλλαγή κατεύθυνσης [°]	Ακτίνα [m]	
1	10 000				2 000
3		R	90,00	3 000	2 500
4	20 000				3 000

Ίχνος αριθ.	002
Ονομασία ίχνους	App 01 – 09L – Disp 300
Από τον διάδρομο	09L
Τύπος ίχνους	Προσέγγιση
Μετατόπιση από το κατώφλι προσγείωσης	300 m
Αριθμός υποϊχνών	1

Περιγραφή ίχνους κορμού

Τμήμα αριθ.	Ευθεία [m]	Καμπύλη			Πρότυπη απόκλιση για πλευρική διασπορά στο πέρας του τμήματος [m]
		L/R	Αλλαγή κατεύθυνσης [°]	Ακτίνα [m]	
1	30 000				0

Πληροφορίες ίχνους προσέγγισης

Γωνία κατολίσθησης για ίχνη προσέγγισης	2,7°
Ύψος σύλληψης σήματος κατολίσθησης της πτήσης	4 000 ft

▼M2

Α4 ΠΕΡΙΓΡΑΦΗ ΕΝΑΕΡΙΑΣ ΚΥΚΛΟΦΟΡΙΑΣ

Χρονική περίοδος αναφοράς	366 d (1.1.2014 έως 31.12.2014)	= 8 748 h
Χρόνος της περιόδου ημέρας I	Από 7 έως 19 h	= 12 h
Χρόνος της περιόδου ημέρας II	Από 19 έως 23 h	= 4 h
Χρόνος της περιόδου ημέρας III	Από 23 έως 7 h	= 8 h

ΦΥΛΛΟ ΔΕΔΟΜΕΝΩΝ ΠΕΡΙΓΡΑΦΗΣ ΕΝΑΕΡΙΑΣ ΚΥΚΛΟΦΟΡΙΑΣ — ΚΙΝΗΣΕΙΣ ΑΝΑ ΙΧΝΟΣ			
Ίχνος επί του εδάφους αριθ.	001		
Ονομασία ίχνους	Dep 01 – 09L		
Ονομασία αεροσκάφους	**Κινήσεις κατά τη χρονική περίοδο**		
	I	**II**	**III**
A/C 1, Dep. 1	20 000	4 000	1 000
A/C 2, Dep. 4	10 000	5 000	500
A/C 4, Dep. 3	2 000	300	0
Ίχνος επί του εδάφους αριθ.	002		
Ονομασία ίχνους	Dep 01 – 09L – Disp 300		
Ονομασία αεροσκάφους	**Κινήσεις κατά τη χρονική περίοδο**		
	I	**II**	**III**
A/C 1, App. 1	18 000	2 000	5 000
A/C 2, App. 1	10 000	3 000	2 500
A/C 4, App. 1	1 300	0	1 000

▼M2

Α5 ΦΥΛΛΟ ΔΕΔΟΜΕΝΩΝ ΔΙΑΔΙΚΑΣΙΑΣ ΠΤΗΣΗΣ

Ενδεικτικό αεροσκάφος για το κεφάλαιο 3 είναι το Boeing 727-200, β άσει ραδιοεντοπιστή που χρησιμοποιεί τις οδηγίες που ορίζονται στο τμήμα 2.7.9 του κυρίως κειμένου.

Ονομασία αεροσκάφους	B727C3
Κωδικός αναγνώρισης NPD από τη βάση δεδομένων ANP	JT8E5
Αριθ. κινητήρων	3
Κατάσταση λειτουργίας	Αναχώρηση
Πραγματική μάζα του αεροσκάφους [t]	71,5
Αντίθετος άνεμος [m/s]	5
Θερμοκρασία [°C]	20
Υψόμετρο αερολιμένα [m]	83

Τμήμα αριθ.	Απόσταση από το σημείο αναφοράς ([1]) [m]	Ύψος [m]	Ταχύτητα εδάφους [m/s]	Ισχύς κινητήρων ([2])
1	0	0	0	14 568
2	2 500	0	83	13 335
3	3 000	117	88	13 120
4	4 000	279	90	13 134
5	4 500	356	90	13 147
6	5 000	431	90	13 076
7	6 000	543	90	13 021
8	7 000	632	93	12 454
9	8 000	715	95	10 837
10	10 000	866	97	10 405
11	12 000	990	102	10 460
12	14 000	1 122	111	10 485
13	16 000	1 272	119	10 637
14	18 000	1 425	125	10 877
15	20 000	1 581	130	10 870
16	25 000	1 946	134	10 842
17	30 000	2 242	142	10 763

([1]) Το σημείο αναφοράς RP είναι το σημείο έναρξης κύλισης για αναχωρήσεις και το κατώφλι προσγείωσης για προσεγγίσεις.
([2]) Μονάδες που αντιστοιχούν στις μονάδες της βάσης δεδομένων ANP.

▼**M2**

Παράδειγμα για ένα διαδικαστικό προφίλ που βασίζεται σε δεδομένα A/C αποθηκευμένα στη βάση δεδομένων ANP:

Ονομασία αεροσκάφους από τη βάση δεδομένων ANP	B727C3
Κωδικός αναγνώρισης NPD από τη βάση δεδομένων ANP	JT8E5
Αριθ. κινητήρων	3
Κατάσταση λειτουργίας	Αναχώρηση
Πραγματική μάζα του αεροσκάφους [t]	71,5
Αντίθετος άνεμος [m/s]	5
Θερμοκρασία [°C]	15
Υψόμετρο αερολιμένα [m]	100

Τμήμα αριθ.	Κατάσταση λειτουργίας	Στόχος	Πτερύγια καμπυλότητας	Ισχύς κινητήρων
1	Απογείωση		5	Απογείωση
2	Αρχική άνοδος	Υψόμετρο 1 500 ft	5	Απογείωση
3	Ανάσυρση των πτερυγίων καμπυλότητας	210 kts IAS ROC 750 ft/λεπτό	0	Μέγιστη άνοδος
4	Επιτάχυνση	250 kts IAS ROC 1 500 ft/λεπτό	0	Μέγιστη άνοδος
5	Άνοδος	10 000 ft	0	Μέγιστη άνοδος

▼M2

Προσάρτημα Β

Υπολογισμοί επιδόσεων πτήσης

Όροι και σύμβολα

Οι όροι και τα σύμβολα που χρησιμοποιούνται στο παρόν προσάρτημα συνάδουν με τις συμβατικές μεθόδους που χρησιμοποιούν οι μηχανικοί που ασχολούνται με τις επιδόσεις των αεροσκαφών. Ορισμένοι βασικοί όροι εξηγούνται συνοπτικά κατωτέρω προς όφελος των χρηστών που δεν είναι εξοικειωμένοι με αυτούς. Για την ελαχιστοποίηση των αντιφάσεων με το κύριο τμήμα της μεθόδου, τα σύμβολα ορίζονται ως επί το πλείστον ξεχωριστά στο παρόν προσάρτημα. Για τις ποσότητες που αναφέρονται στο κύριο τμήμα της μεθόδου χρησιμοποιούνται κοινά σύμβολα. Ορισμένα που χρησιμοποιούνται διαφορετικά στο παρόν προσάρτημα επισημαίνονται με αστερίσκο (*). Ως έναν βαθμό παρατίθενται τόσο οι μονάδες που χρησιμοποιούνται στις ΗΠΑ όσο και οι μονάδες του Διεθνούς Συστήματος Μονάδων (SI)· αυτό γίνεται και πάλι για να διατηρηθούν οι συμβάσεις με τις οποίες είναι εξοικειωμένοι οι χρήστες από διάφορους επιστημονικούς κλάδους.

Όροι

Σημείο διακοπής	Βλ. Οριοθέτηση ώσης
Βαθμονομημένη ταχύτητα αέρα	(Αλλιώς ονομάζεται ισοδύναμη ή ενδεικνυόμενη ταχύτητα αέρα.) Η ταχύτητα του αεροσκάφους σε σχέση με τον αέρα όπως υποδεικνύεται από βαθμονομημένο όργανο επί του αεροσκάφους. Η πραγματική ταχύτητα αέρα, που κατά κανόνα είναι μεγαλύτερη, μπορεί να υπολογιστεί βάσει της βαθμονομημένης ταχύτητας αέρα εάν είναι γνωστή η πυκνότητα του αέρα.
Διορθωμένη καθαρή ώση	Καθαρή ώση είναι η προωθητική δύναμη που ασκείται από έναν κινητήρα επί του πλαισίου του αεροσκάφους. Υπό δεδομένη ρύθμιση ισχύος (*EPR* ή N_1), αυτή μειώνεται με την πυκνότητα του αέρα καθώς αυξάνεται το υψόμετρο. Διορθωμένη καθαρή ώση είναι η ώση στη στάθμη της θάλασσας.
Οριοθέτηση ώσης	Για ειδικές μέγιστες θερμοκρασίες εξαρτημάτων, η ώση του κινητήρα μειώνεται καθώς αυξάνεται η θερμοκρασία του αέρα περιβάλλοντος, και αντίστροφα. Αυτό σημαίνει ότι υπάρχει μια κρίσιμη θερμοκρασία αέρα πάνω από την οποία δεν μπορεί να επιτευχθεί η *ονομαστική ώση*. Για τους περισσότερους σύγχρονους κινητήρες η θερμοκρασία αυτή ονομάζεται «θερμοκρασία οριοθέτησης ώσης» διότι, σε χαμηλότερες θερμοκρασίες του αέρα η ώση περιορίζεται αυτόματα στο επίπεδο της ονομαστικής ώσης για να μεγιστοποιηθεί η διάρκεια ζωής. Η ώση μειώνεται ούτως ή άλλως υπό θερμοκρασίες που υπερβαίνουν τη θερμοκρασία οριοθέτησης ώσης, φαινόμενο που αποκαλείται συχνά *σημείο διακοπής* ή *θερμοκρασία διακοπής*.
Ταχύτητα	Μέγεθος του διανύσματος της ταχύτητας του αεροσκάφους (σε σχέση με σύστημα συντεταγμένων του αεροδρομίου).
Ονομαστική ώση	Η διάρκεια ζωής ενός κινητήρα αεροσκάφους εξαρτάται κατά πολύ από τη θερμοκρασία λειτουργίας των εξαρτημάτων

▼M2

	του. Όσο αυξάνεται η δημιουργούμενη ισχύς ή ώση τόσο αυξάνονται οι θερμοκρασίες του και μειώνεται η διάρκεια ζωής του. Με σκοπό την εξισορρόπηση των επιδόσεων και της διάρκειας ζωής των κινητήρων, για τους κινητήρες οριοθετημένης ώσης ορίζονται *τιμές ώσης* για την απογείωση, την άνοδο και την πτήση οι οποίες αντιστοιχούν στις κανονικές ρυθμίσεις μέγιστης ισχύος.
Παράμετρος ρύθμισης ώσης	Ο κυβερνήτης δεν μπορεί να επιλέξει συγκεκριμένη ώση κινητήρων. Αντιθέτως, επιλέγει κατάλληλη ρύθμιση για την παράμετρο αυτή, η οποία εμφανίζεται στον θάλαμο διακυβέρνησης. Συνήθως η ρύθμιση αυτή είναι είτε ο λόγος πίεσης κινητήρα (*EPR*) είτε η ταχύτητα περιστροφής (N_1) χαμηλής πίεσης του στροφέα (ή του ανεμιστήρα).

Σύμβολα

Οι ποσότητες είναι αδιάστατες, εκτός αν αναφέρεται διαφορετικά. Τα σύμβολα και οι συντμήσεις που δεν αναφέρονται κατωτέρω χρησιμοποιούνται μόνο τοπικά και ορίζονται στο κείμενο. Οι δείκτες 1 και 2 υποδηλώνουν τις συνθήκες στα σημεία έναρξης και πέρατος ενός τμήματος, αντίστοιχα. Οι υπερκείμενες γραμμές υποδηλώνουν τις μέσες τιμές του τμήματος, δηλαδή τον μέσο όρο των τιμών έναρξης και πέρατος.

A	Μέση επιτάχυνση, ft/s^2
a_{max}	Μέγιστη διαθέσιμη επιτάχυνση, ft/s^2
A, B, C, D	Συντελεστές πτερυγίων καμπυλότητας
$E, F, G_{A,B}, H$	Συντελεστές ώσης κινητήρα
F_n	Καθαρή ώση ανά κινητήρα, lbf
F_n/δ	Διορθωμένη καθαρή ώση ανά κινητήρα, lbf
G	Κλίση ανόδου
G'	Κλίση ανόδου με κινητήρα εκτός λειτουργίας
G_R	Μέση θετική κλίση διαδρόμου σε ανωφέρεια
g	Επιτάχυνση της βαρύτητας, ft/s^2
ISA	Διεθνής Πρότυπη Ατμόσφαιρα (International Standard Atmosphere)
N *	Αριθμός κινητήρων που παράγουν ώση
R	Λόγος οπισθέλκουσας προς άντωση C_D/C_L
ROC	Βαθμός ανόδου τμήματος (ft/λεπτό)
s	Διανυθείσα απόσταση επί του εδάφους κατά μήκος του ίχνους, ft
s_{TO8}	Απόσταση απογείωσης με αντίθετο άνεμο 8 kt, ft

▼M2

s_{TOG}	Διορθωμένη απόσταση απογείωσης για w και G_R, ft
s_{TOw}	Απόσταση απογείωσης με αντίθετο άνεμο w, ft
T	Θερμοκρασία αέρα, °C
T_B	Θερμοκρασία διακοπής, °C
V	Ταχύτητα εδάφους, kt
V_C	Βαθμονομημένη ταχύτητα αέρα, kt
V_T	Πραγματική ταχύτητα αέρα, kt
W	Βάρος αεροπλάνου, lb
w	Ταχύτητα αντίθετου ανέμου, kt
Δs	Μήκος τμήματος σε νηνεμία που προβάλλεται σε ίχνος επί του εδάφους, ft
Δs_w	Προβολή επί του εδάφους του μήκους τμήματος, διορθωμένη για αντίθετο άνεμο, ft
δ	p/p_o, ο λόγος της πίεσης του αέρα περιβάλλοντος στο αεροπλάνο προς την πρότυπη πίεση του αέρα στη μέση στάθμη της θάλασσας: p_o = 101,325 kPa (ή 1 013,25 mb)
ε	Γωνία κλίσης, ακτίνια
γ	Γωνία ανόδου/καθόδου, ακτίνια
θ	$(T + 273,15)/(T_0 + 273,15)$ ο λόγος της θερμοκρασίας του αέρα σε συγκεκριμένο υψόμετρο προς την πρότυπη θερμοκρασία του αέρα στη μέση στάθμη της θάλασσας: T_0 = 15,0 °C
σ *	ρ/ρ_0 = λόγος της πυκνότητας του αέρα σε συγκεκριμένο υψόμετρο προς την αντίστοιχη τιμή στη μέση στάθμη της θάλασσας (επίσης, $\sigma = \delta/\theta$)

B1 ΕΙΣΑΓΩΓΗ

Σύνθεση πτητικής διαδρομής

Κατά κύριο λόγο, το παρόν προσάρτημα προτείνει διαδικασίες για τον υπολογισμό του προφίλ πτήσης του αεροπλάνου, βάσει καθορισμένων παραμέτρων που αφορούν την αεροδυναμική και το προωθητικό σύστημα του αεροσκάφους, του βάρους του αεροσκάφους, των ατμοσφαιρικών συνθηκών, του ίχνους επί του εδάφους και της λειτουργικής διαδικασίας (διαμόρφωση πτήσης, ρύθμιση ισχύος, ταχύτητα προς τα εμπρός, κατακόρυφη ταχύτητα κ.λπ.). Η λειτουργική διαδικασία περιγράφεται βάσει μιας δέσμης *διαδικαστικών βημάτων* που περιγράφουν τον τρόπο υλοποίησης του προφίλ πτήσης.

Το προφίλ πτήσης, για την απογείωση ή την προσέγγιση, αναπαριστάται από μια σειρά ευθύγραμμων τμημάτων, τα άκρα των οποίων ονομάζεται *σημεία του προφίλ*. Υπολογίζεται βάσει εξισώσεων αεροδυναμικής και ώσης που περιέχουν μεγάλο αριθμό συντελεστών και σταθερών, τα οποία πρέπει να είναι διαθέσιμα για τον συγκεκριμένο συνδυασμό του πλαισίου και κινητήρα του αεροσκάφους. Η εν λόγω διαδικασία υπολογισμού περιγράφεται στο κείμενο ως η διαδικασία *σύνθεσης* της πτητικής διαδρομής.

Εκτός από τις παραμέτρους των επιδόσεων του αεροσκάφους, που δύνανται να ληφθούν από τη βάση δεδομένων ANP, οι εξισώσεις αυτές απαιτούν τον προσδιορισμό των εξής: 1) του μεικτού βάρους του αεροπλάνου, 2) του αριθμού των κινητήρων, 3) της θερμοκρασίας του αέρα, 4) του υψόμετρου του διαδρόμου προσγείωσης-απογείωσης και 5) των διαδικαστικών βημάτων (που εκφράζονται με βάση τις ρυθμίσεις ισχύος, τις αποκλίσεις των πτερυγίων καμπυλότητας, της

▼**M2**

ταχύτητας του αέρα και, κατά τη διάρκεια της επιτάχυνσης, του μέσου ρυθμού ανόδου/καθόδου) για κάθε τμήμα κατά την απογείωση και την προσέγγιση. Κάθε τμήμα κατατάσσεται στη συνέχεια ως τμήμα κύλισης επί του εδάφους, απογείωσης ή προσγείωσης, ανόδου σταθερής ταχύτητας, μείωσης ισχύος, επιταχυνόμενης ανόδου με ή χωρίς ανάσυρση των πτερυγίων καμπυλότητας, καθόδου με ή χωρίς επιβράδυνση και/ή χρήση των πτερυγίων καμπυλότητας ή τελικής προσέγγισης προσγείωσης. Το προφίλ πτήσης δημιουργείται βήμα βήμα, ενώ οι παράμετροι του σημείου έναρξης κάθε τμήματος είναι ίδιες με αυτές που ισχύουν για το σημείο πέρατος του προηγούμενου τμήματος.

Οι παράμετροι αεροδυναμικής-επιδόσεων της βάσης δεδομένων ANP έχουν σκοπό να διασφαλίσουν την ακριβή, σε λογικό βαθμό, αναπαράσταση της πτητικής διαδρομής ενός αεροπλάνου υπό τις συγκεκριμένες συνθήκες αναφοράς (βλέπε **τμήμα 2.7.6 του κυρίως κειμένου**). Αλλά έχει αποδειχτεί ότι οι παράμετροι αεροδυναμικής και οι συντελεστές κινητήρων επαρκούν για θερμοκρασίες αέρα έως τους 43 °C, για υψόμετρα αεροδρομίου έως τα 4 000 ft και για ολόκληρο το φάσμα των βαρών που προσδιορίζονται στη βάση δεδομένων της ANP. Συνεπώς οι εξισώσεις επιτρέπουν τον υπολογισμό των πτητικών διαδρομών υπό διαφορετικές συνθήκες, δηλαδή για τιμές του βάρους του αεροπλάνου, της ταχύτητας του ανέμου, της θερμοκρασίας του αέρα και του υψόμετρου του διαδρόμου προσγείωσης-απογείωσης (πίεσης του αέρα) που διαφέρουν από τις τιμές αναφοράς, συνήθως με επαρκή ακρίβεια για τον υπολογισμό των ισοθορυβικών καμπυλών των μέσων ηχοσταθμών γύρω από έναν αερολιμένα.

Στο **τμήμα Β-4** επεξηγείται πώς λαμβάνονται υπόψη οι επιδράσεις μιας πτήσης που περιλαμβάνει στροφές για τις αναχωρήσεις. Αυτό επιτρέπει να ληφθεί υπόψη η γωνία κλίσης κατά τον υπολογισμό των επιδράσεων της πλευρικής κατευθυντικότητας (επιδράσεις της εγκατάστασης). Επίσης, κατά τη διάρκεια πτήσης που περιλαμβάνει στροφές, οι κλίσεις ανόδου μειώνονται κατά γενικό κανόνα ανάλογα με την ακτίνα της στροφής και την ταχύτητα του αεροπλάνου. (Οι επιδράσεις των στροφών κατά τη διάρκεια της προσέγγισης προσγείωσης είναι πιο περίπλοκες και δεν καλύπτονται επί του παρόντος. Ωστόσο, αυτές σπανίως επηρεάζουν σημαντικά τις ισοθορυβικές καμπύλες.)

Τα **τμήματα Β-5 έως Β-9** περιγράφουν τη συνιστώμενη μεθοδολογία για τη δημιουργία προφίλ πτήσεων αναχώρησης, βάσει συντελεστών και διαδικαστικών βημάτων από τη βάση δεδομένων ANP.

Τα **τμήματα Β-10** και **Β-11** περιγράφουν τη μεθοδολογία που χρησιμοποιείται για τη δημιουργία προφίλ πτήσεων προσέγγισης, βάσει συντελεστών και πτητικών διαδικασιών από τη βάση δεδομένων ANP.

Το **τμήμα Β-12** παρέχει επεξεργασμένα παραδείγματα των υπολογισμών.

Παρέχονται ξεχωριστές εξισώσεις για τον καθορισμό της καθαρής ώσης που δημιουργούν οι κινητήρες αεριοπροώθησης και οι έλικες, αντίστοιχα. Εάν δεν αναφέρεται διαφορετικά, οι εξισώσεις για τις αεροδυναμικές επιδόσεις ενός αεροπλάνου ισχύουν εξίσου τόσο για ελικοφόρα όσο και για αεριωθούμενα αεροπλάνα.

Τα χρησιμοποιούμενα μαθηματικά σύμβολα ορίζονται στην αρχή του παρόντος προσαρτήματος και/ή όταν αναφέρονται για πρώτη φορά. Σε όλες τις εξισώσεις οι μονάδες των συντελεστών και σταθερών πρέπει φυσικά να συνάδουν με τις μονάδες των αντίστοιχων παραμέτρων και μεταβλητών. Για λόγους ομοιομορφίας με τη βάση δεδομένων ANP, στο παρόν προσάρτημα ακολουθούνται οι συμβάσεις που αφορούν τις μηχανικές επιδόσεις του αεροσκάφους, δηλαδή οι αποστάσεις και τα ύψη δίνονται σε πόδια (ft), η ταχύτητα σε κόμβους (kt), η μάζα σε λίβρες (lb), η ισχύς σε ισχύ λίβρας (διορθωμένη καθαρή ώση υψηλής θερμοκρασίας) κ.λπ., έστω και αν ορισμένες διαστάσεις (π.χ. οι ατμοσφαιρικές) εκφράζονται σε μονάδες SI. Οι δημιουργοί μοντέλων που χρησιμοποιούν διαφορετικά συστήματα μονάδων πρέπει να είναι πολύ προσεκτικοί κατά την εφαρμογή κατάλληλων συντελεστών μετατροπής όταν χρησιμοποιούν τις εξισώσεις για τις ανάγκες τους.

▼M2

Ανάλυση πτητικής διαδρομής

Σε ορισμένες εφαρμογές μοντελοποίησης της πτητικής διαδρομής, οι πληροφορίες παρέχονται όχι ως διαδικαστικά βήματα, αλλά ως συντεταγμένες στη θέση και στον χρόνο, οι οποίες προσδιορίζονται συνήθως με ανάλυση δεδομένων ραδιοεντοπισμού. Το θέμα αυτό εξετάζεται στο **τμήμα 2.7.7** του κυρίως κειμένου. Στην περίπτωση αυτή οι εξισώσεις που παρουσιάζονται στο παρόν προσάρτημα χρησιμοποιούνται «αντίστροφα». Οι παράμετροι ώσης κινητήρων λαμβάνονται από την κίνηση του αεροσκάφους και όχι αντιστρόφως. Γενικά, αφού καθοριστούν τα μέσα δεδομένα της πτητικής διαδρομής και αναχθούν σε επίπεδο τμήματος, όπου το κάθε τμήμα κατατάσσεται ως τμήμα ανόδου ή καθόδου, επιτάχυνσης ή επιβράδυνσης, και αλλαγών ώσης και πτερυγίων καμπυλότητας, αυτό είναι σχετικά απλό σε σύγκριση με τη σύνθεση που περιλαμβάνει συχνά επαναλαμβανόμενη διαδικασία.

B2 ΩΣΗ ΚΙΝΗΤΗΡΩΝ

Η προωθητική ισχύς που παράγεται από κάθε κινητήρα αποτελεί μία από τις πέντε ποσότητες που πρέπει να καθοριστούν στα άκρα κάθε τμήματος της πτητικής διαδρομής (οι άλλες ποσότητες είναι το ύψος, η ταχύτητα, η ρύθμιση ισχύος και η γωνία κλίσης). Η καθαρή ώση αποτελεί το τμήμα εκείνο της μεικτής ώσης των κινητήρων το οποίο είναι διαθέσιμο για την προώθηση. Για τους αεροδυναμικούς και ακουστικούς υπολογισμούς, η καθαρή ώση αναφέρεται υπό πρότυπη πίεση του αέρα στη μέση στάθμη της θάλασσας. Αυτή είναι γνωστή ως *διορθωμένη καθαρή ώση,* F_n/δ.

Πρόκειται είτε για την καθαρή ώση που είναι διαθέσιμη κατά τη λειτουργία υπό συγκεκριμένη *τιμή ώσης* είτε για την καθαρή ώση που προκύπτει όταν η *παράμετρος της ρύθμισης ώσης* έχει καθοριστεί σε συγκεκριμένη τιμή. Για στροβιλοκινητήρες ή κινητήρες διπλής ροής που λειτουργούν υπό συγκεκριμένη τιμή ώσης, η διορθωμένη καθαρή ώση δίνεται από την εξίσωση

$$F_n/\delta = E + F \cdot V_c + G_A \cdot h + G_B \cdot h^2 + H \cdot T \qquad \text{(B-1)}$$

όπου

F_n είναι η καθαρή ώση ανά κινητήρα, lbf

δ είναι ο λόγος της πίεσης του αέρα περιβάλλοντος στο αεροπλάνο προς την πρότυπη πίεση του αέρα στη μέση στάθμη της θάλασσας, δηλαδή στα 101,325 kPa (ή 1 013,25 mb) [αριθ. 1]

F_n/δ είναι η διορθωμένη καθαρή ώση ανά κινητήρα, lbf

V_C είναι η διορθωμένη ταχύτητα αέρα, kt

T είναι η θερμοκρασία του αέρα περιβάλλοντος στο οποίο λειτουργεί το αεροσκάφος, °C, και

E, F, G_A, G_B, H είναι οι σταθερές ή οι συντελεστές ώσης κινητήρα για θερμοκρασίες κάτω από τη θερμοκρασία οριοθέτησης ώσης του κινητήρα υπό τη χρησιμοποιούμενη τιμή ώσης (στο τρέχον τμήμα της πτητικής διαδρομής/ανόδου απομάκρυνσης ή προσέγγισης), lb.s/ft, lb/ft, lb/ft^2, lb/°C. Λαμβάνονται από τη βάση δεδομένων ANP.

Παρέχονται επίσης δεδομένα από τη βάση δεδομένων ANP για τον υπολογισμό της μη ονομαστικής ώσης ως συνάρτησης της παραμέτρου της ρύθμισης ώσης. Αυτή ορίζεται από ορισμένους κατασκευαστές ως ο λόγος πίεσης κινητήρα (*EPR*) και από άλλους ως η ταχύτητα περιστροφής χαμηλής πίεσης του στροφέα, ή ταχύτητα του ανεμιστήρα, N_1. Όταν η παράμετρος είναι ο *EPR*, η εξίσωση B-1 αντικαθίσταται από την εξής:

$$F_n/\delta = E + F \cdot V_C + G_A \cdot h + G_B \cdot h^2 + H \cdot T + K_1 \cdot EPR + K_2 \cdot EPR^2 \qquad \text{(B-2)}$$

όπου K_1 και K_2 είναι οι συντελεστές από τη βάση δεδομένων ANP που συσχετίζουν τη διορθωμένη καθαρή ώση και τον λόγο πίεσης κινητήρα κοντά στην περιοχή του υπό εξέταση λόγου πίεσης κινητήρα για τον συγκεκριμένο αριθμό Mach του αεροπλάνου.

▼**M2**

Όταν η ταχύτητα περιστροφής του κινητήρα N_1 είναι η παράμετρος που χρησιμοποιείται από το πλήρωμα του θαλάμου διακυβέρνησης για τον ορισμό της ώσης, η γενικευμένη εξίσωση της ώσης γίνεται:

$$F_n/\delta = E + F \cdot V_C + G_A \cdot h + G_B \cdot h^2 + H \cdot T + K_3 \cdot \left(\frac{N_1}{\sqrt{\theta}}\right) + K_4 \cdot \left(\frac{N_1}{\sqrt{\theta}}\right)^2 \quad \text{(B-3)}$$

όπου

N_1 είναι η ταχύτητα περιστροφής του συμπιεστή χαμηλής πίεσης (ή του ανεμιστήρα) του κινητήρα και οι βαθμίδες του αεριοστρόβιλου, %

θ = (T + 273)/288,15, ο λόγος της απόλυτης συνολικής θερμοκρασίας στο στόμιο εισαγωγής του κινητήρα προς την απόλυτη πρότυπη θερμοκρασία του αέρα στη μέση στάθμη της θάλασσας [αριθ. 1].

$\frac{N_1}{\sqrt{\theta}}$ είναι η διορθωμένη ταχύτητα χαμηλής πίεσης του στροφέα, %, και

K_3, K_4 είναι σταθερές που προκύπτουν από δεδομένα του εγκαταστημένου κινητήρα που περιλαμβάνουν τις υπό εξέταση ταχύτητες N_1.

Σημειωτέον ότι, για ένα συγκεκριμένο αεροπλάνο, τα μεγέθη E, F, G_A, G_B και H στις εξισώσεις Β-2 και Β-3 ίσως έχουν διαφορετικές τιμές από ό,τι στην εξίσωση Β-1.

Δεν είναι πάντα σημαντικός κάθε όρος της εξίσωσης. Για παράδειγμα, ίσως δεν απαιτείται ο όρος της θερμοκρασίας για κινητήρες οριοθετημένης ώσης που λειτουργούν υπό θερμοκρασίες κατώτερες του σημείου διακοπής (κατά κανόνα 30 °C). Για τους κινητήρες μη οριοθετημένης ώσης, η θερμοκρασία περιβάλλοντος πρέπει να λαμβάνεται υπόψη κατά τον καθορισμό της ονομαστικής ώσης. Για θερμοκρασίες που υπερβαίνουν τη θερμοκρασία οριοθέτησης ώσης του κινητήρα, πρέπει να χρησιμοποιείται διαφορετική δέσμη συντελεστών ώσης κινητήρα (E, F, G_A, G_B και H)$_{high}$ για τον καθορισμό του επιπέδου της διαθέσιμης ώσης. Κατά τη συνήθη πρακτική, στη συνέχεια γίνεται υπολογισμός του F_n/δ χρησιμοποιώντας τους συντελεστές τόσο της χαμηλής όσο και της υψηλής θερμοκρασίας και χρησιμοποιείται το υψηλότερο επίπεδο ώσης για θερμοκρασίες *κάτω* από τη θερμοκρασία οριοθέτησης ώσης και το κατώτερο υπολογιζόμενο επίπεδο ώσης για θερμοκρασία *πάνω* από τη θερμοκρασία οριοθέτησης ώσης.

Όταν είναι διαθέσιμοι μόνο οι συντελεστές χαμηλής θερμοκρασίας, μπορεί να χρησιμοποιηθεί η εξής σχέση:

$$(F_n/\delta)_{high} = F \cdot V_C + (E + H \cdot T_B) \cdot (1 - 0{,}006 \cdot T)/(1 - 0{,}006 \cdot T_B) \quad \text{(B-4)}$$

όπου

$(F_n/\delta)_{high}$ η διορθωμένη καθαρή ώση υψηλής θερμοκρασίας (lbf)

T_B η θερμοκρασία του σημείου διακοπής (ελλείψει οριστικής τιμής θεωρείται η προεπιλεγμένη τιμή των 30 °C).

Η βάση δεδομένων ANP παρέχει τιμές για τις σταθερές και τους συντελεστές των εξισώσεων Β-1 έως Β-4.

Για ελικοφόρα αεροπλάνα, η διορθωμένη καθαρή ώση ανά κινητήρα θα πρέπει να λαμβάνεται από γραφήματα ή να υπολογίζεται με την εξίσωση:

$$F_n/\delta = (326 \cdot \eta \cdot P_p/V_T)/\delta \quad \text{(B-5)}$$

όπου

η είναι η απόδοση του έλικα για συγκεκριμένη εγκατάσταση έλικα, που αποτελεί συνάρτηση της ταχύτητας περιστροφής του έλικα και της ταχύτητας πτήσης του αεροπλάνου

V_T είναι η πραγματική ταχύτητα αέρα, kt

P_p είναι η καθαρή προωθητική ισχύς για δεδομένες συνθήκες πτήσης, π.χ. μέγιστη ισχύς απογείωσης ή ανόδου, hp

▼M2

Οι παράμετροι στην εξίσωση Β-5 παρέχονται από τη βάση δεδομένων ANP για ρυθμίσεις μέγιστης ώσης απογείωσης και μέγιστης ώσης ανόδου.

Η πραγματική ταχύτητα V_T υπολογίζεται βάσει της βαθμονομημένης ταχύτητας του αέρα V_C με τη χρήση της εξής σχέσης:

$$V_T = V_C/\sqrt{\sigma} \qquad \text{(B-6)}$$

όπου σ είναι ο λόγος της πυκνότητας του αέρα στο αεροπλάνο προς την αντίστοιχη τιμή στη μέση στάθμη της θάλασσας.

Οδηγίες για λειτουργία με μειωμένη ώση απογείωσης

Συχνά, τα βάρη απογείωσης των αεροσκαφών είναι κάτω του μέγιστου επιτρεπόμενου βάρους και/ή το διαθέσιμο μήκος του διαδρόμου προσγείωσης-απογείωσης υπερβαίνει το ελάχιστο που απαιτείται με τη χρήση της μέγιστης ώσης απογείωσης. Σε αυτές τις περιπτώσεις η συνήθης πρακτική είναι να μειώνεται η ώση του κινητήρα κάτω από τα μέγιστα επίπεδα με σκοπό την παράταση της διάρκειας ζωής του κινητήρα και ενίοτε για λόγους μείωσης του θορύβου. Η ώση του κινητήρα δύναται να μειωθεί μόνο σε επίπεδα στα οποία διατηρείται το απαιτούμενο περιθώριο ασφαλείας. Η διαδικασία υπολογισμού που χρησιμοποιούν οι αεροπορικές εταιρείες για να καθορίσουν τη μείωση της ώσης ρυθμίζεται αναλόγως: είναι περίπλοκη και λαμβάνει υπόψη πολλούς παράγοντες, όπως το βάρος απογείωσης, τη θερμοκρασία του αέρα περιβάλλοντος, τις δηλωθείσες αποστάσεις του διαδρόμου προσγείωσης-απογείωσης, το υψόμετρο του διαδρόμου και τα κριτήρια αποφυγής εμποδίων στον διάδρομο. Ως εκ τούτου, η μείωση της ώσης ποικίλλει από πτήση σε πτήση.

Εφόσον αυτά δύνανται να επηρεάσουν σημαντικά τις ισοθορυβικές καμπύλες αναχώρησης, οι δημιουργοί των μοντέλων οφείλουν να λαμβάνουν υπόψη σε λογικό βαθμό τις λειτουργίες μειωμένης ώσης και, για να κάνουν τις βέλτιστες προβλέψεις, να ζητούν πρακτικές υποδείξεις από τους φορείς εκμετάλλευσης.

Εάν οι υποδείξεις αυτές δεν είναι διαθέσιμες, εξακολουθεί να κρίνεται σκόπιμο να αφήνονται κάποια περιθώρια με τη χρήση εναλλακτικών μέσων. Είναι ανέφικτο να χρησιμοποιούνται ως έχουν οι υπολογισμοί των φορέων εκμετάλλευσης για τη μοντελοποίηση του θορύβου. Αυτοί δε οι υπολογισμοί δεν είναι κατάλληλοι όταν συνδυάζονται με συμβατικές απλουστεύσεις και προσεγγίσεις που αποσκοπούν στον υπολογισμό των μακροπρόθεσμων μέσων επιπέδων θορύβου. Δίνονται οι εξής οδηγίες, ως εφικτή εναλλακτική λύση. Θα πρέπει να υπογραμμιστεί ότι βρίσκονται σε εξέλιξη σημαντικές έρευνες στον τομέα αυτόν και, επομένως, οι οδηγίες μπορεί να αλλάξουν.

Η ανάλυση των δεδομένων FDR έχει καταδείξει ότι η μείωση της ώσης συνδέεται στενά με τον λόγο του πραγματικού βάρους απογείωσης προς το εγκεκριμένο βάρος απογείωσης (RTOW), έως ενός καθορισμένου κατώτατου ορίου [1], δηλαδή

$$F_n/\delta = (F_n/\delta)_{max} \cdot W/W_{RTOW} \qquad \text{(B-7)}$$

όπου $(F_n/\delta)_{max}$ είναι η μέγιστη ονομαστική ώση, W είναι το πραγματικό μεικτό βάρος απογείωσης και W_{RTOW} είναι το εγκεκριμένο βάρος απογείωσης.

RTOW είναι το μέγιστο βάρος απογείωσης που μπορεί να χρησιμοποιηθεί με ασφάλεια, ικανοποιώντας παράλληλα τις απαιτήσεις που σχετίζονται με το μήκος του πεδίου απογείωσης, τον κινητήρα εκτός λειτουργίας και τα εμπόδια. Αποτελεί συνάρτηση του διαθέσιμου μήκους του διαδρόμου προσγείωσης-απογείωσης, του υψομέτρου του αεροδρομίου, της θερμοκρασίας, του αντίθετου ανέμου και της γωνίας των πτερυγίων καμπυλότητας. Οι εν λόγω πληροφορίες μπορούν να λαμβάνονται από τους φορείς εκμετάλλευσης και θα πρέπει να είναι πιο άμεσα διαθέσιμες από τα δεδομένα που αφορούν τα πραγματικά επίπεδα μειωμένης ώσης. Εναλλακτικά, μπορούν να υπολογιστούν με βάση τα δεδομένα που περιέχονται στα εγχειρίδια πτήσης των αεροσκαφών.

[1] Οι αρχές που είναι αρμόδιες για την αξιοπλοΐα συνήθως ορίζουν χαμηλότερο όριο ώσης, συχνά 25 % κατώτερο της μέγιστης ώσης.

▼M2

Μειωμένη ώση ανόδου

Όταν χρησιμοποιείται μειωμένη ώση απογείωσης, οι φορείς εκμετάλλευσης μειώνουν συχνά, αλλά όχι πάντα, την ώση ανόδου από σημεία κάτω από τα μέγιστα επίπεδα ([1]). Αυτό αποτρέπει καταστάσεις όπου, στο τέλος της αρχικής ανόδου υπό ώση απογείωσης, η ισχύς πρέπει να αυξηθεί αντί να περικοπεί. Ωστόσο, είναι πιο δύσκολο να καθοριστεί μια λογική για τη δημιουργία κοινής βάσης. Ορισμένοι φορείς εκμετάλλευσης χρησιμοποιούν σταθερούς αναστολείς για να κρατούν την ώση ανόδου, που αναφέρεται ενίοτε ως άνοδος 1 και άνοδος 2, κάτω από το μέγιστο επίπεδο, μειώνοντας συνήθως την ώση ανόδου κατά 10 και 20 %, αντίστοιχα, σε σύγκριση με τη μέγιστη ώση. Οποτεδήποτε χρησιμοποιείται μειωμένη ώση απογείωσης, συνιστάται να μειώνονται και τα επίπεδα ώσης ανόδου κατά 10 %.

Β3 ΚΑΤΑΚΟΡΥΦΑ ΠΡΟΦΙΛ ΤΗΣ ΘΕΡΜΟΚΡΑΣΙΑΣ, ΤΗΣ ΠΙΕΣΗΣ, ΤΗΣ ΠΥΚΝΟΤΗΤΑΣ ΚΑΙ ΤΗΣ ΤΑΧΥΤΗΤΑΣ ΤΟΥ ΑΝΕΜΟΥ

Για τους σκοπούς του παρόντος εγγράφου, οι διακυμάνσεις της θερμοκρασίας, της πίεσης και της πυκνότητας ανάλογα με το ύψος πάνω τη μέση στάθμη της θάλασσας θεωρείται ότι είναι αυτές που αναφέρονται στη διεθνή πρότυπη ατμόσφαιρα. Οι μεθοδολογίες που περιγράφονται κατωτέρω έχουν επικυρωθεί για υψόμετρα αεροδρομίων έως τα 4 000 ft πάνω από τη στάθμη της θάλασσας και για θερμοκρασίες αέρα έως 43 °C (109 °F).

Παρόλο που, στην πραγματικότητα, η μέση ταχύτητα του ανέμου ποικίλλει ανάλογα με το ύψος και τον χρόνο, συνήθως δεν είναι εφικτό να ληφθεί αυτό υπόψη κατά τη μοντελοποίηση των ισοθορυβικών καμπυλών. Αντ' αυτού, οι εξισώσεις επιδόσεων πτήσης που ακολουθούν βασίζονται στην κοινή παραδοχή ότι το αεροπλάνο κατευθύνεται απευθείας σε (εξ ορισμού) αντίθετο άνεμο 8 kt ανά πάσα στιγμή —ανεξαρτήτως της διόπτευσης πυξίδας (μολονότι δεν λαμβάνεται ρητά υπόψη η μέση ταχύτητα του ανέμου στους υπολογισμούς διάδοσης του ήχου). Παρέχονται μέθοδοι προσαρμογής των αποτελεσμάτων για άλλες ταχύτητες αντίθετου ανέμου.

Β4 ΟΙ ΕΠΙΔΡΑΣΕΙΣ ΤΩΝ ΣΤΡΟΦΩΝ

Στο υπόλοιπο του παρόντος προσαρτήματος εξηγείται πώς υπολογίζονται οι απαιτούμενες ιδιότητες των τμημάτων που συνδέουν τα σημεία του προφίλ *s, z* τα οποία ορίζουν τη δισδιάστατη πτητική διαδρομή στο κάθετο επίπεδο πάνω από το ίχνος επί του εδάφους. Τα τμήματα ορίζονται σε σειρά κατά τη φορά κίνησης. Στο σημείο πέρατος κάθε τμήματος (ή στο σημείο έναρξης κύλισης όταν πρόκειται για το αρχικό τμήμα μιας αναχώρησης), όταν καθορίζονται οι λειτουργικές παράμετροι και το επόμενο διαδικαστικό βήμα, πρέπει να υπολογιστούν η γωνία ανόδου και η απόσταση του ίχνους έως το σημείο όπου επιτυγχάνεται το απαιτούμενο ύψος και/ή η ταχύτητα.

Εάν το ίχνος είναι ευθύγραμμο, θα καλύπτεται από ένα μεμονωμένο τμήμα του προφίλ, η γεωμετρία του οποίου δύναται στη συνέχεια να προσδιοριστεί άμεσα (αν και ενίοτε με έναν ορισμένο βαθμό επανάληψης). Αν όμως αρχίζει ή τελειώνει με στροφή, ή αν αλλάζει ακτίνα ή κατεύθυνση, προτού επιτευχθούν οι απαιτούμενες τελικές συνθήκες, δεν αρκεί ένα μεμονωμένο τμήμα, εφόσον η άντωση και η οπισθέλκουσα του αεροσκάφους μεταβάλλονται ανάλογα με τη γωνία κλίσης. Για να ληφθούν υπόψη οι επιδράσεις της ανόδου, απαιτούνται πρόσθετα τμήματα του προφίλ για την υλοποίηση του διαδικαστικού βήματος, ως εξής.

Η δημιουργία του ίχνους επί του εδάφους περιγράφεται στο τμήμα **2.7.13** του κειμένου. Αυτό γίνεται ανεξάρτητα από οποιαδήποτε προφίλ πτήσης αεροσκάφους (αν και απαιτείται προσοχή για να μην οριστούν στροφές που δεν μπορούν να υλοποιηθούν εξαιτίας των κανονικών λειτουργικών περιορισμών). Εφόσον όμως το προφίλ πτήσης —το ύψος και η ταχύτητα ως συνάρτηση της απόστασης του ίχνους— επηρεάζεται από τις στροφές, το προφίλ πτήσης δεν μπορεί να προσδιοριστεί ανεξάρτητα από το ίχνος επί του εδάφους.

([1]) Οπότε η ώση μειώνεται σε αυτό το επίπεδο μετά την αρχική άνοδο υπό ισχύ απογείωσης.

▼M2

Για να διατηρηθεί η ταχύτητα κατά τη στροφή, πρέπει να αυξηθεί η αεροδυναμική άντωση της πτέρυγας, έτσι ώστε να αντισταθμιστούν η φυγόκεντρη δύναμη και το βάρος του αεροσκάφους. Αυτό, με τη σειρά του, αυξάνει την οπισθέλκουσα και, κατά συνέπεια, απαιτείται προωθητική ώση. Οι επιδράσεις της στροφής εκφράζονται στις εξισώσεις επιδόσεων ως συναρτήσεις της γωνίας κλίσης ε, η οποία, για αεροσκάφος σε οριζόντια πτήση που στρίβει με σταθερή ταχύτητα σε κυκλική διαδρομή, δίνεται από τον τύπο:

$$\varepsilon = \tan^{-1}\left\{\frac{2{,}85 \cdot V^2}{r \cdot g}\right\} \qquad \text{(B-8)}$$

όπου V είναι η ταχύτητα εδάφους, kt

r είναι η ακτίνα στροφής, η ft

και g είναι η επιτάχυνση λόγω βαρύτητας, ft/s^2

Όλες οι στροφές θεωρείται ότι πρέπει να έχουν σταθερή ακτίνα, ενώ αγνοούνται οι δευτερεύουσες επιδράσεις που συνδέονται με μη οριζόντιες πτητικές διαδρομές· οι γωνίες κλίσης βασίζονται μόνο στην ακτίνα στροφής *r* του ίχνους επί του εδάφους.

Για να υλοποιηθεί ένα διαδικαστικό στάδιο, υπολογίζεται αρχικά ένα προσωρινό τμήμα του προφίλ χρησιμοποιώντας τη γωνία κλίσης ε στο σημείο έναρξης —όπως ορίζεται από την εξίσωση B-8 για την ακτίνα *r* του τμήματος του ίχνους. Αν το υπολογισθέν μήκος του προσωρινού τμήματος δεν τέμνει το σημείο έναρξης ή πέρατος μιας στροφής, το προσωρινό τμήμα επιβεβαιώνεται και η προσοχή στρέφεται στο επόμενο βήμα.

Αν όμως το τμήμα τέμνει ένα ή περισσότερα σημεία έναρξης ή πέρατος στροφών (όπου μεταβάλλεται η ε) ([1]), οι παράμετροι πτήσης στο πρώτο εν λόγω σημείο υπολογίζονται με παρεμβολή (βλέπε τμήμα **2.7.13**) και αποθηκεύονται μαζί με τις συντεταγμένες ως τιμές τελικού σημείου και το τμήμα περικόπτεται. Το δεύτερο μέρος του διαδικαστικού βήματος εφαρμόζεται στη συνέχεια από το σημείο αυτό —και πάλι υποθέτοντας προσωρινά ότι δύναται να ολοκληρωθεί σε ένα μεμονωμένο τμήμα με τις ίδιες τελικές συνθήκες, αλλά με το νέο σημείο έναρξης και τη νέα γωνία κλίσης. Εάν το εν λόγω δεύτερο τμήμα στη συνέχεια διέλθει από άλλη αλλαγή ακτίνας/κατεύθυνσης στροφής, απαιτείται τρίτο τμήμα, και ούτω καθεξής, έως ότου επιτευχθούν οι τελικές συνθήκες.

Μέθοδος προσέγγισης

Είναι προφανές ότι, για να ληφθεί πλήρως υπόψη η επίδραση των στροφών, όπως περιγράφεται ανωτέρω, η απαιτούμενη υπολογιστική διαδικασία είναι αρκετά περίπλοκη διότι το προφίλ ανόδου οποιουδήποτε αεροσκάφους πρέπει να υπολογιστεί ξεχωριστά για κάθε ίχνος επί του εδάφους που ακολουθεί το αεροσκάφος. Οι μεταβολές όμως του κάθετου προφίλ που προκαλούνται από τις στροφές συνήθως ασκούν σαφώς μικρότερη επίδραση στις ισοθορυβικές καμπύλες από ό,τι οι μεταβολές της γωνίας κλίσης, οπότε ορισμένοι χρήστες ίσως προτιμούν να αποφύγουν την περιπλοκότητα, σε βάρος της ακρίβειας ως έναν βαθμό, αγνοώντας τις επιδράσεις που ασκούν οι στροφές στα προφίλ, ενώ εξακολουθούν να λαμβάνουν υπόψη τη γωνία κλίσης κατά τον υπολογισμό της πλευρικής εκπομπής ήχου (βλ. τμήμα 2.7.19). Βάσει της προσεγγιστικής αυτής μεθόδου, τα σημεία του προφίλ για τη λειτουργία ενός συγκεκριμένου αεροσκάφους υπολογίζονται μόνο μία φορά, θεωρώντας ότι κινείται σε ευθύγραμμο ίχνος επί του εδάφους (για το οποίο ε = 0).

B5 ΚΥΛΙΣΗ ΑΠΟΓΕΙΩΣΗΣ

Η ώση απογείωσης επιταχύνει το αεροπλάνο κατά μήκος του διαδρόμου προσγείωσης-απογείωσης μέχρις ότου αυτό αποκολληθεί από το έδαφος. Κατόπιν θεωρείται ότι η διορθωμένη ταχύτητα αέρα παραμένει σταθερή καθ' όλη τη διάρκεια του αρχικού τμήματος της ανόδου απομάκρυνσης. Το σύστημα προσγείωσης, εάν είναι ανασυρόμενο, υποτίθεται ότι ανασύρεται λίγο μετά την αποκόλληση από το έδαφος.

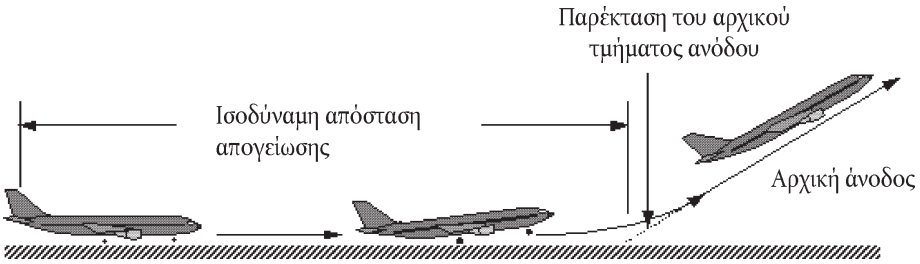
([1]) Για να αποφεύγονται οι ασυνέχειες των καμπυλών που προκαλούνται από τις στιγμιαίες αλλαγές της γωνίας κλίσης στα σημεία επαφής μεταξύ ευθείας πτήσης και πτήσης με στροφές, εισάγονται υποδιαιρέσεις των τμημάτων στους υπολογισμούς ισοθορυβικών καμπυλών, ώστε να επιτρέπονται οι γραμμικές μεταβάσεις της γωνίας κλίσης στις πρώτες και τις τελευταίες 5° της στροφής. Αυτές οι υποδιαιρέσεις των τμημάτων δεν είναι απαραίτητες για τους υπολογισμούς απόδοσης· η γωνία κλίσης υπολογίζεται πάντοτε με την εξίσωση B-8.

▼**M2**

Για τους σκοπούς του παρόντος εγγράφου, η πραγματική κύλιση απογείωσης υπολογίζεται κατά προσέγγιση βάσει ισοδύναμης απόστασης απογείωσης (με προκαθορισμένο αντίθετο άνεμο 8 kt), s_{TO8}, που ορίζεται όπως καταδεικνύεται στο **σχήμα Β-1** ως η απόσταση κατά μήκος του διαδρόμου προσγείωσης-απογείωσης από το σημείο απελευθέρωσης της πέδης έως το σημείο όπου μια ευθύγραμμη προέκταση της αρχικής πτητικής διαδρομής ανόδου, με το σύστημα προσγείωσης ανασυρμένο, τέμνει τον διάδρομο.

Σχήμα Β-1

Ισοδύναμη απόσταση απογείωσης



Σε οριζόντιο διάδρομο, η ισοδύναμη απόσταση κύλισης απογείωσης s_{TO8} σε πόδια προσδιορίζεται ως εξής:

$$S_{TO8} = \frac{B_8 \cdot \theta \cdot (W/\delta)^2}{N \cdot (F_n/\delta)} \qquad \text{(B-9)}$$

όπου

B_8 είναι ένας συντελεστής κατάλληλος για συγκεκριμένο συνδυασμό αεροπλάνου/απόκλισης πτερυγίων καμπυλότητας για τις συνθήκες αναφοράς της διεθνούς πρότυπης ατμόσφαιρας, λαμβάνοντας υπόψη αντίθετο άνεμο 8 kt, ft/lbf

W είναι το μεικτό βάρος του αεροπλάνου με απελευθερωμένη την πέδη, lbf

N είναι ο αριθμός των κινητήρων που παράγουν ώση

Σημείωση: Δεδομένου ότι η εξίσωση Β-9 αφορά τις μεταβολές της ώσης ανάλογα με την ταχύτητα αέρα και το υψόμετρο του διαδρόμου προσγείωσης-απογείωσης, για δεδομένο αεροπλάνο ο συντελεστής B_8 εξαρτάται μόνο από την απόκλιση των πτερυγίων καμπυλότητας.

Για διαφορετικό αντίθετο άνεμο, εκτός του προκαθορισμένου ανέμου των 8 kt, η απόσταση κύλισης απογείωσης διορθώνεται με τη χρήση του εξής τύπου:

$$S_{TOw} = S_{TO8} \cdot \frac{(V_C - w)^2}{(V_C - 8)^2} \qquad \text{(B-10)}$$

όπου

S_{TOw} είναι η διορθωμένη απόσταση κύλισης επί του εδάφους για αντίθετο άνεμο w, ft

V_C (στην παρούσα εξίσωση) είναι η βαθμονομημένη ταχύτητα κατά την εναλλαγή απογείωσης, kt

w είναι ο αντίθετος άνεμος, kt

Διορθώνεται επίσης η απόσταση κύλισης απογείωσης λαμβάνοντας υπόψη την κλίση του διαδρόμου προσγείωσης-απογείωσης ως εξής:

$$S_{TOG} = S_{TOw} \cdot \frac{\alpha}{(\alpha - g \cdot G_R)} \qquad \text{(B-11)}$$

▼**M2**

όπου

S_{TOG} είναι η απόσταση κύλισης επί του εδάφους, αφού διορθωθεί λαμβάνοντας υπόψη τον αντίθετο άνεμο και την κλίση του διαδρόμου προσγείωσης-απογείωσης

a είναι η μέση επιτάχυνση κατά μήκος του διαδρόμου προσγείωσης-απογείωσης, που ισούται $(V_C \cdot \sqrt{\sigma})^2/(2 \cdot s_{TOw})$, ft/s^2

G_R είναι η κλίση του διαδρόμου προσγείωσης-απογείωσης, που είναι θετική κατά την απογείωση σε ανωφέρεια

Β6 ΑΝΟΔΟΣ ΜΕ ΣΤΑΘΕΡΗ ΤΑΧΥΤΗΤΑ

Αυτού του είδους το τμήμα ορίζεται από τη βαθμονομημένη ταχύτητα του αεροπλάνου, τις ρυθμίσεις των πτερυγίων καμπυλότητας και το ύψος και τη γωνία κλίσης στο σημείο πέρατός του, σε συνδυασμό με την ταχύτητα του αντίθετου ανέμου (προεπιλεγμένη τιμή 8 kt). Όπως και για κάθε τμήμα, οι παράμετροι του σημείου έναρξης του τμήματος, συμπεριλαμβανομένης της διορθωμένης καθαρής ώσης, ορίζονται ως ταυτόσημες με εκείνες του σημείου πέρατος του προηγούμενου τμήματος —δεν υφίστανται ασυνέχειες (εκτός από τη γωνία των πτερυγίων καμπυλότητας και τη γωνία κλίσης που επιτρέπεται να μεταβάλλεται κατά βαθμίδες στους υπολογισμούς αυτούς). Οι καθαρές ώσεις στο σημείο πέρατος του τμήματος υπολογίζονται αρχικά χρησιμοποιώντας μια κατάλληλη εξίσωση από τις εξισώσεις Β-1 έως Β-5. Η μέση γεωμετρική γωνία ανόδου γ (βλ. **σχήμα Β-1**) δίνεται στη συνέχεια από τον τύπο:

$$\gamma = \arcsin\left(K \cdot \left[N \cdot \frac{\overline{F_n/\delta}}{\overline{W/\delta}} - \frac{R}{\cos\varepsilon} \right] \right) \qquad \text{(B-12)}$$

όπου οι υπερκείμενες γραμμές υποδηλώνουν τις τιμές του μέσου του τμήματος (= μέσος όρος της τιμής του σημείου έναρξης και της τιμής του σημείου πέρατος, αναφερόμενες γενικά ως οι τιμές του μέσου του τμήματος) και

K είναι η εξαρτώμενη από την ταχύτητα σταθερά που ισούται με 1,01 όταν $V_C \leq 200$ kt ή 0,95 σε διαφορετική περίπτωση. Η εν λόγω σταθερά αντιπροσωπεύει τις επιδράσεις της κίνησης ανόδου με αντίθετο άνεμο 8 kt και της επιτάχυνσης που είναι εγγενής στην άνοδο με σταθερή βαθμονομημένη ταχύτητα αέρα (η πραγματική ταχύτητα αέρα αυξάνεται όσο μειώνεται η πυκνότητα του αέρα με το ύψος).

R είναι ο λόγος του συντελεστή οπισθέλκουσας του αεροπλάνου προς τον συντελεστή άντωσής του που είναι κατάλληλος για τη δεδομένη ρύθμιση των πτερυγίων καμπυλότητας· το σύστημα προσγείωσης θεωρείται ότι έχει ανασυρθεί

ε γωνία κλίσης, ακτίνια

Η γωνία ανόδου διορθώνεται για αντίθετο άνεμο w με τη χρήση του τύπου:

$$\gamma_w = \gamma \cdot \frac{(V_C - 8)}{(V_C - w)} \qquad \text{(B-13)}$$

όπου γ_w είναι η μέση γωνία ανόδου, αφού διορθωθεί λαμβάνοντας υπόψη τον αντίθετο άνεμο.

Η απόσταση που διανύει το αεροπλάνο διασχίζοντας κατά μήκος το ίχνος επί του εδάφους, Δs, ενόσω ανέρχεται υπό γωνία γ_w, από αρχικό υψόμετρο h_1 σε τελικό υψόμετρο h_2, δίνεται από τον τύπο:

$$\Delta_S = \frac{(h_2 - h_1)}{\tan\gamma_w} \qquad \text{(B-14)}$$

Κατά κανόνα, δύο διακριτές φάσεις του προφίλ αναχώρησης περιλαμβάνουν άνοδο υπό σταθερή ταχύτητα αέρα. Η πρώτη, ενίοτε αναφερόμενη ως *αρχικό τμήμα ανόδου*, υφίσταται αμέσως μετά την αποκόλληση από το έδαφος, όπου οι απαιτήσεις ασφαλείας υπαγορεύουν ότι το αεροπλάνο πετά με ελάχιστη ταχύτητα αέρα φτάνοντας τουλάχιστον την ταχύτητα ασφαλείας απογείωσης. Πρόκειται για ρυθμιζόμενη ταχύτητα και θα πρέπει να επιτυγχάνεται σε ύψος 35 ft πάνω

▼M2

από το διάδρομο προσγείωσης-απογείωσης κατά την κανονική λειτουργία. Εντούτοις, κατά τη συνήθη πρακτική διατηρείται αρχική ταχύτητα ανόδου ελαφρώς ανώτερη της ταχύτητας ασφαλείας απογείωσης, συνήθως κατά 10-20 kt, εφόσον αυτό τείνει να βελτιώνει την αρχική κλίση ανόδου που επιτυγχάνεται. Η δεύτερη υφίσταται μετά την ανάσυρση των πτερυγίων καμπυλότητας και την αρχική επιτάχυνση και αναφέρεται ως *συνεχής άνοδος*.

Κατά τη διάρκεια της αρχικής ανόδου, η ταχύτητα αέρα εξαρτάται από τη ρύθμιση των πτερυγίων καμπυλότητας και το μεικτό βάρος του αεροπλάνου κατά την απογείωση. Η βαθμονομημένη αρχική ταχύτητα ανόδου V_{CTO} υπολογίζεται με τη χρήση της εξής προσέγγισης πρώτης τάξης:

$$V_{CTO} = C \cdot \sqrt{\mathrm{W}} \tag{B-15}$$

όπου C είναι ένας συντελεστής κατάλληλος για τη ρύθμιση των πτερυγίων καμπυλότητας (kt/√lbf), που λαμβάνεται από τη βάση δεδομένων ANP.

Για τη συνεχή άνοδο μετά την επιτάχυνση, η βαθμονομημένη ταχύτητα αέρα αποτελεί παράμετρο την οποία εισάγει ο χρήστης.

Β7 ΜΕΙΩΣΗ ΙΣΧΥΟΣ (ΜΕΤΑΒΑΤΙΚΟ ΤΜΗΜΑ)

Η ισχύς μειώνεται, ή αλλιώς *περικόπτεται*, σε σύγκριση με τη ρύθμιση απογείωσης σε κάποιο σημείο μετά την απογείωση με σκοπό την παράταση της διάρκειας ζωής του κινητήρα και συχνά για τη μείωση του θορύβου σε ορισμένες περιοχές. Η ώση μειώνεται φυσιολογικά είτε κατά τη διάρκεια ενός τμήματος ανόδου σταθερής ταχύτητας (**τμήμα Β6)** είτε κατά τη διάρκεια ενός τμήματος επιτάχυνσης (**τμήμα Β8)**. Καθότι αποτελεί μια σχετικά σύντομη διαδικασία, συνήθως διάρκειας μόλις 3-5 δευτερολέπτων, μοντελοποιείται με την προσθήκη ενός «μεταβατικού τμήματος» στο πρωτεύον τμήμα. Αυτό συνήθως θεωρείται ότι καλύπτει οριζόντια απόσταση επί του εδάφους 1 000 ft (305 m).

Ποσοστό μείωσης ώσης

Κατά την κανονική λειτουργία η ώση του κινητήρα μειώνεται στη ρύθμιση μέγιστης ώσης ανόδου. Σε αντίθεση με την ώση απογείωσης, η ώση ανόδου δύναται να διατηρηθεί επ' αόριστον, συνήθως στην πράξη μέχρις ότου φτάσει το αεροσκάφος στο αρχικό ύψος πτήσης του. Το μέγιστο επίπεδο ώσης ανόδου προσδιορίζεται με την εξίσωση Β-1 χρησιμοποιώντας τους συντελεστές μέγιστης ώσης που παρέχει ο κατασκευαστής. Ωστόσο, οι απαιτήσεις μείωσης του θορύβου ίσως απαιτούν πρόσθετη μείωση της ώσης, η οποία αναφέρονται ενίοτε ως βαθιά μείωση (deep cutback). Για λόγους ασφαλείας η μέγιστη μείωση ώσης περιορίζεται [1] στο ποσοστό που καθορίζεται από τις επιδόσεις του αεροπλάνου και τον αριθμό των κινητήρων.

Το ελάχιστο επίπεδο «μειωμένης ώσης» αναφέρεται ενίοτε ως η «μειωμένη ώση» με τους κινητήρες εκτός λειτουργίας:

$$(F_n/\delta)_{engine.out} = \frac{(W/\delta_2)}{(N-1)} \cdot \left[\frac{\sin(\arctan(0{,}01 \cdot G'))}{K} + \frac{R}{\cos\varepsilon}\right] \tag{B-16}$$

όπου

δ_2 είναι ο λόγος της πίεσης σε υψόμετρο h_2

G' είναι η ποσοστιαία βαθμίδα ανόδου με τους κινητήρες εκτός λειτουργίας:

= 0 % για αεροπλάνα με συστήματα αυτόματης αποκατάστασης της ώσης ή

= 1,2 % για δικινητήριο αεροπλάνο

= 1,5 % για τρικινητήριο αεροπλάνο

= 1,7 % για τετρακινητήριο αεροπλάνο

[1] «Διαδικασίες μείωσης θορύβου», έγγραφο ICAO 8168, «PANS-OPS», τόμος 1, τμήμα V, κεφάλαιο 3, ICAO 2004.

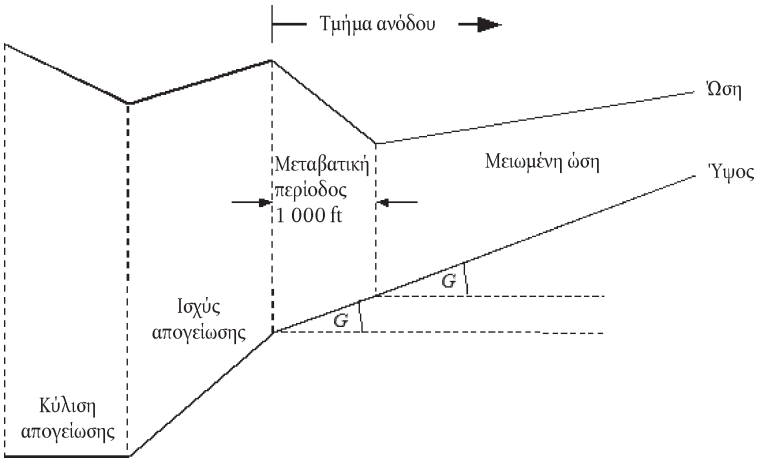
▼M2

Τμήμα ανόδου σταθερής ταχύτητας με μείωση

Η κλίση του τμήματος ανόδου υπολογίζεται με την εξίσωση Β-12, ενώ η ώση υπολογίζεται με την εξίσωση Β-1 με μέγιστους συντελεστές ανόδου ή με την εξίσωση Β-16 για μειωμένη ώση. Το τμήμα ανόδου στη συνέχεια υποδιαιρείται σε δύο υποτμήματα, που έχουν και τα δύο την ίδια γωνία ανόδου. Αυτό απεικονίζεται στο **σχήμα Β-2**.

Σχήμα Β-2

Τμήμα ανόδου σταθερής ταχύτητας με μείωση (απεικόνιση — όχι σε κλίμακα)



Επί του πρώτου υποτμήματος ορίζεται απόσταση επί του εδάφους 1 000 ft (304 m) και η διορθωμένη καθαρή ώση ανά κινητήρα στο πέρας των 1 000 ft ορίζεται ως ίση με την τιμή της μείωσης. (Εάν η αρχική οριζόντια απόσταση είναι μικρότερη από 2 000 ft, χρησιμοποιείται το ήμισυ του τμήματος για τη μείωση ώσης.) Η τελική ώση στο δεύτερο υποτμήμα ορίζεται και αυτή ως ίση με τη μείωση ώσης. Συνεπώς, η πτήση στο δεύτερο υποτμήμα πραγματοποιείται υπό σταθερή ώση.

Β8 ΕΠΙΤΑΧΥΝΟΜΕΝΗ ΑΝΟΔΟΣ ΚΑΙ ΑΝΑΣΥΡΣΗ ΤΩΝ ΠΤΕΡΥΓΙΩΝ ΚΑΜΠΥΛΟΤΗΤΑΣ

Αυτό συνήθως έπεται της αρχικής ανόδου. Όπως και για όλα τα τμήματα της πτήσης, το υψόμετρο του σημείου έναρξης h_1, η πραγματική ταχύτητα αέρα V_{T1} και η ώση $(F_n/\delta)_1$ είναι ίδια με τα αντίστοιχα μεγέθη του σημείου πέρατος του προηγούμενου τμήματος. Η βαθμονομημένη ταχύτητα αέρα του σημείου πέρατος V_{C2} και ο μέσος ρυθμός ανόδου *ROC* είναι μεγέθη που εισάγει ο χρήστης (η γωνία κλίσης ε αποτελεί συνάρτηση της ταχύτητας και της ακτίνας στροφής). Καθώς είναι αλληλεξαρτώμενα μεγέθη, το υψόμετρο του σημείου πέρατος h_2, η τελική πραγματική ταχύτητα αέρα του σημείου πέρατος V_{T2}, η τελική ώση του σημείου πέρατος $(F_n/\delta)_2$ και το μήκος του ίχνους τμήματος Δs πρέπει να υπολογιστούν μέσω επαναλήψεων. Το τελικό υψόμετρο h_2 ορίζεται αρχικά κατ' εκτίμηση και κατόπιν επανυπολογίζεται επανειλημμένα με τη χρήση των εξισώσεων Β-16 και Β-17 μέχρις ότου η διαφορά μεταξύ των διαδοχικών εκτιμήσεων καταστεί μικρότερη ενός προσδιορισμένου ορίου ανοχής, π.χ. ενός ποδός. Μια πρακτική αρχική εκτίμηση είναι $h_2 = h_1 + 250$ ft.

Το μήκος του ίχνους τμήματος (καλυπτόμενη οριζόντια απόσταση) υπολογίζεται ως εξής:

$$S_{seg} = 0{,}95 \cdot k^2 \cdot (V_{T2}^2 - V_{T1}^2)/2 \ (\alpha_{max} - G \cdot g) \qquad \text{(B-17)}$$

▼**M2**

όπου

0,95 είναι ένας συντελεστής που λαμβάνει υπόψη την επίδραση αντίθετου ανέμου 8 kt κατά την άνοδο με 160 kt

k είναι μια σταθερά για τη μετατροπή των κόμβων σε ft/sec = 1,688 ft/s ανά kt

V_{T2} = πραγματική ταχύτητα αέρα στο σημείο πέρατος του τμήματος, kt: $V_{T2} = V_{C2}/\sqrt{\sigma_2}$

όπου σ_2 = η πυκνότητα του αέρα στο τελικό υψόμετρο h_2

a_{max} = μέγιστη επιτάχυνση στο επίπεδο πτήσης (ft/s^2)

$$= g\left[N \cdot \overline{F_n/\delta}/\left(\overline{W/\delta}\right) - R/\cos\varepsilon\right]$$

G = κλίση ανόδου $\approx \dfrac{ROC}{60 \cdot k \cdot \overline{V_T}}$

όπου ROC = ρυθμός ανόδου, ft/λεπτό

Χρησιμοποιώντας αυτή την εκτίμηση του Δs, επανυπολογίζεται το h_2' με τη χρήση του εξής τύπου:

$$h_2' = h_1 + s \cdot G/0{,}95 \qquad \text{(B-18)}$$

Εφόσον το σφάλμα $|h'_2 - h_2|$ βρίσκεται εκτός των προσδιορισμένων ορίων ανοχής, τα βήματα B-17 και B-18 επαναλαμβάνονται με τη χρήση των τρεχουσών επαναλαμβανόμενων τιμών του σημείου πέρατος του τμήματος που αφορούν το υψόμετρο h_2, την πραγματική ταχύτητα αέρα V_{T2} και τη διορθωμένη καθαρή ώση ανά κινητήρα $(F_n/\delta)_2$. Όταν το σφάλμα είναι εντός των ορίων ανοχής, τερματίζεται ο επαναλαμβανόμενος κύκλος και το τμήμα επιτάχυνσης ορίζεται βάσει των τιμών του σημείου πέρατος του τελικού τμήματος.

Σημείωση: Εάν κατά τη διάρκεια της διαδικασίας επανάληψης ($a_{max} - G \cdot g$) < 0,02 g, η επιτάχυνση ίσως είναι υπερβολικά μικρή για να επιτευχθεί η επιθυμητή V_{C2} σε λογική απόσταση. Στην περίπτωση αυτή η κλίση ανόδου δύναται να περιοριστεί σε $G = a_{max}/g - 0{,}02$, μειώνοντας έτσι τον επιθυμητό ρυθμό ανόδου για να διατηρηθεί η επιθυμητή επιτάχυνση. Εάν $G < 0{,}01$, θα πρέπει να συναχθεί ότι δεν υπάρχει αρκετή ώση για να επιτευχθεί το προσδιορισμένο ποσοστό επιτάχυνσης και ανόδου, οπότε θα πρέπει να τερματιστεί ο υπολογισμός και να αναθεωρηθούν τα διαδικαστικά βήματα ([1]).

Το μήκος του τμήματος επιτάχυνσης διορθώνεται για άνεμο w χρησιμοποιώντας τον εξής τύπο:

$$\Delta S_w = \Delta_S \cdot \frac{(V_T - w)}{(V_T - 8)} \qquad \text{(B-19)}$$

Τμήμα επιτάχυνσης με μείωση

Εφαρμόζεται μείωση ώσης σε τμήμα επιτάχυνσης με τον ίδιο τρόπο που ισχύει για τμήμα σταθερής ταχύτητας, μετατρέποντας το αρχικό του μέρος σε μεταβατικό τμήμα. Το επίπεδο μείωσης ώσης υπολογίζεται όπως και στη διαδικασία μείωσης ώσης σταθερής ταχύτητας, χρησιμοποιώντας μόνο την εξίσωση B-1. Σημειώνεται ότι δεν είναι γενικά δυνατή η επίτευξη επιτάχυνσης και ανόδου ενόσω διατηρείται η ρύθμιση ελάχιστης ώσης με τους κινητήρες εκτός λειτουργίας. Η μετάβαση ώσης ορίζεται σε απόσταση επί του εδάφους 1 000 ft (305 m), και η διορθωμένη καθαρή ώση ανά κινητήρα στο πέρας των 1 000 ft ορίζεται ως ίση με την τιμή της μείωσης. Η ταχύτητα στο σημείο πέρατος του τμήματος καθορίζεται μέσω επανάληψης για μήκος τμήματος 1 000 ft. (Εάν η αρχική

([1]) Σε κάθε περίπτωση, το υπολογιστικό μοντέλο θα πρέπει να προγραμματιστεί έτσι ώστε να ενημερώνει τον χρήστη για την ασυμφωνία.

▼M2

οριζόντια απόσταση είναι μικρότερη από 2 000 ft, χρησιμοποιείται το ήμισυ του τμήματος για τη μεταβολή ώσης.) Η τελική ώση στο δεύτερο υποτμήμα ορίζεται και αυτή ως ίση με τη μείωση ώσης. Συνεπώς, η πτήση στο δεύτερο υποτμήμα πραγματοποιείται υπό σταθερή ώση.

Β9 ΠΡΟΣΘΕΤΑ ΤΜΗΜΑΤΑ ΑΝΟΔΟΥ ΚΑΙ ΕΠΙΤΑΧΥΝΣΗΣ ΜΕΤΑ ΤΗΝ ΑΝΑΣΥΡΣΗ ΤΩΝ ΠΤΕΡΥΓΙΩΝ ΚΑΜΠΥΛΟΤΗΤΑΣ

Εάν συμπεριληφθούν πρόσθετα τμήματα επιτάχυνσης στην πτητική διαδρομή ανόδου απομάκρυνσης, θα πρέπει να χρησιμοποιηθούν και πάλι οι εξισώσεις Β-12 έως Β-19 για τον υπολογισμό της απόστασης του ίχνους επί του εδάφους, της μέσης γωνίας ανόδου και του κέρδους ύψους για κάθε τμήμα. Όπως και προηγουμένως, το ύψος του τελικού τμήματος πρέπει να εκτιμηθεί μέσω επανάληψης.

Β10 ΚΑΘΟΔΟΣ ΚΑΙ ΕΠΙΒΡΑΔΥΝΣΗ

Κατά κανόνα η πτήση προσέγγισης απαιτεί την κάθοδο και την επιβράδυνση του αεροπλάνου κατά την προετοιμασία για το τμήμα τελικής προσέγγισης, όπου το αεροπλάνο έχει τα πτερύγια καμπυλότητας σε θέση προσέγγισης και το σύστημα προσγείωσης κατεβασμένο. Δεν υπάρχουν διαφορές ως προς τις μηχανικές ρυθμίσεις της πτήσης σε σύγκριση με την αποχώρηση. Η βασική διαφορά είναι ότι το ύψος και το προφίλ ταχύτητας είναι γενικά γνωστά, ενώ πρέπει να γίνει εκτίμηση των επιπέδων ώσης των κινητήρων για κάθε τμήμα. Η βασική εξίσωση ισοζυγίου ισχύος είναι η εξής:

$$F_n/\delta = W \cdot \frac{R \cdot \cos\gamma + \sin\gamma + \alpha/g}{N \cdot \delta} \qquad \text{(B-20)}$$

Η εξίσωση Β-20 δύναται να χρησιμοποιηθεί με δύο διακριτούς τρόπους. Πρώτον, δύνανται να καθοριστούν οι ταχύτητες του αεροπλάνου στα σημεία έναρξης και πέρατος ενός τμήματος, παράλληλα με μια γωνία καθόδου (ή απόσταση οριζόντιου τμήματος) και τα υψόμετρα του αρχικού και του τελικού τμήματος. Στην περίπτωση αυτή η επιβράδυνση μπορεί να υπολογιστεί με τη χρήση του εξής τύπου:

$$\alpha = \frac{(V_2/\cos\gamma)^2 - (V_1/\cos\gamma)^2}{(2 \cdot \Delta_S/\cos\gamma)} \qquad \text{(B-21)}$$

όπου Δ*s* είναι η καλυπτόμενη απόσταση επί του εδάφους, ενώ V_1 και V_2 είναι η αρχική και η τελική ταχύτητα εδάφους, που υπολογίζονται με τη χρήση του τύπου:

$$V = \frac{V_C \cdot \cos\gamma}{\sqrt{\sigma}} - w \qquad \text{(B-22)}$$

Οι εξισώσεις Β-20, Β-21 και Β-22 επιβεβαιώνουν ότι, κατά την επιβράδυνση σε προσδιορισμένη απόσταση με σταθερό ρυθμό καθόδου, ο ισχυρότερος αντίθετος άνεμος αυξάνει την ώση που απαιτείται για να διατηρηθεί η ίδια επιβράδυνση, ενώ ο ούριος άνεμος μειώνει την ώση που απαιτείται για να διατηρηθεί η ίδια επιβράδυνση.

Στην πράξη, οι περισσότερες επιβραδύνσεις κατά τη διάρκεια της πτήσης προσέγγισης, αν όχι όλες, εκτελούνται με την ώση σε κατάσταση βραδυπορίας. Συνεπώς, για τη δεύτερη εφαρμογή της εξίσωσης Β-20, η ώση ορίζεται υπό ρύθμιση βραδυπορίας και η εξίσωση επιλύεται κατ' επανάληψη έτσι ώστε να καθοριστεί 1) η επιβράδυνση και 2) το ύψος στο σημείο πέρατος του τμήματος επιβράδυνσης, κατά τρόπο παρόμοιο με εκείνον που χρησιμοποιείται για τα τμήματα επιτάχυνσης αναχώρησης. Στην περίπτωση αυτή, η απόσταση επιβράδυνσης δύναται να διαφέρει κατά πολύ ανάλογα με το αν ο άνεμος είναι αντίθετος ή ούριος, και ενίοτε απαιτείται να μειωθεί η γωνία καθόδου για να επιτευχθούν εύλογα αποτελέσματα.

▼**M2**

Για τα περισσότερα αεροπλάνα, η ώση σε βραδυπορία δεν είναι μηδενική και, για πολλά από αυτά, αποτελεί επίσης συνάρτηση της ταχύτητας πτήσης. Συνεπώς, η εξίσωση Β-20 επιλύεται για την επιβράδυνση με την εισαγωγή ώσης σε βραδυπορία, ενώ η ώση σε βραδυπορία υπολογίζεται με τη χρήση μιας εξίσωσης του τύπου:

$$(F_n/\delta)_{idle} = E_{idle} + F_{idle} \cdot V_C + G_{A,idle} \cdot h + G_{B,idle} \cdot h^2 + H_{idle} \cdot T \qquad \text{(B-23)}$$

όπου (E_{idle}, $F_{idle,}$ $G_{A,idle}$, $G_{B,idle}$ και H_{idle}) είναι οι συντελεστές ώσης κινητήρων σε βραδυπορία που είναι διαθέσιμες στη βάση δεδομένων ANP.

Β11 ΠΡΟΣΕΓΓΙΣΗ ΠΡΟΣΓΕΙΩΣΗΣ

Η βαθμονομημένη ταχύτητα αέρα της προσέγγισης προσγείωσης, V_{CA}, συνδέεται με το μεικτό βάρος προσγείωσης βάσει μιας εξίσωσης του ίδιου τύπου με την εξίσωση Β11, και συγκεκριμένα:

$$V_{CA} \approx D \cdot \sqrt{W} \qquad \text{(B-24)}$$

όπου ο συντελεστής D (kt/√lbf) αντιστοιχεί στη ρύθμιση των πτερυγίων καμπυλότητας για την προσγείωση.

Η διορθωμένη καθαρή ώση ανά κινητήρα κατά την κάθοδο, κατά μήκος της κατολίσθησης προσέγγισης, υπολογίζεται με την επίλυση της εξίσωσης Β-12 για βάρος προσγείωσης W και λόγο οπισθέλκουσας προς άντωση R, που συνάδει με τη ρύθμιση των πτερυγίων καμπυλότητας όταν το σύστημα προσγείωσης βρίσκεται σε θέση έκτασης. Η ρύθμιση των πτερυγίων καμπυλότητας θα πρέπει να είναι αυτή που χρησιμοποιείται κατά κανόνα όταν εκτελούνται πραγματικές λειτουργίες. Κατά την προσέγγιση προσγείωσης, η γωνία καθόδου κατολίσθησης γ μπορεί να θεωρηθεί σταθερή. Για αεριωθούμενα και πολυκινητήρια ελικοφόρα αεροπλάνα, η γωνία γ είναι κατά γενικό κανόνα – 3°. Για μονοκινητήρια ελικοφόρα αεροπλάνα, η γωνία γ είναι κατά γενικό κανόνα – 5°.

Η μέση διορθωμένη καθαρή ώση υπολογίζεται αντιστρέφοντας την εξίσωση Β-12 και χρησιμοποιώντας k = 1,03 ώστε να ληφθεί υπόψη η επιβράδυνση που είναι εγγενής κατά την υλοποίηση μιας καθοδικής πτητικής διαδρομής με αντίθετο άνεμο αναφοράς 8 kt και υπό σταθερή βαθμονομημένη ταχύτητα αέρα που δίνεται από την εξίσωση Β-24, δηλαδή

$$\overline{F_n/\delta} = \frac{\overline{W/\delta}}{N} \cdot \left(R + \frac{\sin\gamma}{1{,}03} \right) \qquad \text{(B-25)}$$

Για αντίθετο άνεμο ταχύτητας άλλης εκτός των 8 kt, η μέση διορθωμένη καθαρή ώση καθίσταται

$$\left(\overline{F_n/\delta}\right)_w = \overline{F_n/\delta} + 1{,}03 \cdot \overline{W/\delta} \cdot \frac{\sin\gamma \cdot (w-8)}{N \cdot V_{CA}} \qquad \text{(B-26)}$$

Η καλυπτόμενη οριζόντια απόσταση υπολογίζεται με τον εξής τύπο:

$$\Delta_S = \frac{(h_2 - h_1)}{\tan\gamma} \qquad \text{(B-27)}$$

(θετική εφόσον $h_1 > h_2$ και η γ είναι αρνητική).

▼**M2**

Προσάρτημα Γ

Μοντελοποίηση της πλευρικής διασποράς του ίχνους επί του εδάφους

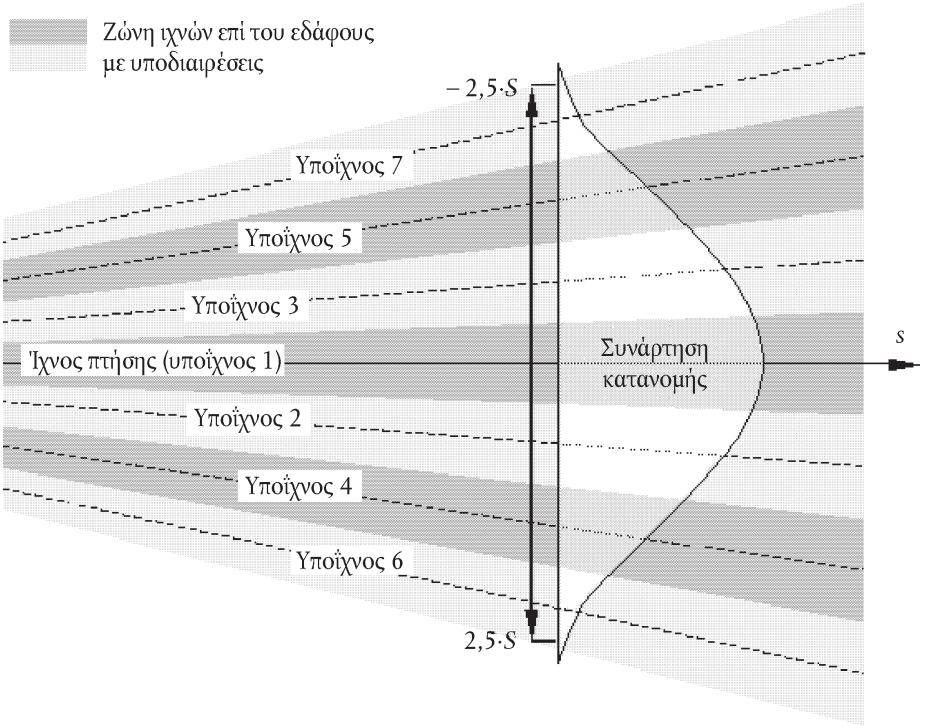
Συνιστάται, ελλείψει στοιχείων ραδιοεντοπισμού, να γίνεται μοντελοποίηση της πλευρικής διασποράς του ίχνους επί του εδάφους με την παραδοχή ότι η διασπορά των ιχνών κάθετα προς το ίχνος κορμού ακολουθεί κανονική γκαουσιανή κατανομή. Η πείρα έχει δείξει ότι η παραδοχή αυτή είναι εύλογη στις περισσότερες περιπτώσεις.

Με την παραδοχή γκαουσιανής κατανομής με πρότυπη απόκλιση S, που απεικονίζεται στο **σχήμα Γ-1**, περίπου το 98,8 % όλων των κινήσεων εμπίπτουν εντός των ορίων του ± 2,5 *S* (δηλαδή εντός ζώνης πλάτους 5 *S*).

Σχήμα Γ-1

Υποδιαίρεση ίχνους επί του εδάφους σε 7 υποΐχνη

Το πλάτος της ζώνης είναι 5πλάσιο της πρότυπης απόκλισης της διασποράς του ίχνους επί του εδάφους



Η γκαουσιανή κατανομή δύναται συνήθως να μοντελοποιηθεί επαρκώς με τη χρήση 7 διακριτών υποΐχνών που ισαπέχουν από τα όρια ± 2,5 *S* της ζώνης, όπως φαίνεται στο **σχήμα Γ-1**.

Ωστόσο, η επάρκεια της προσέγγισης εξαρτάται από τη σχέση μεταξύ του διαχωρισμού των υποΐχνών και των υψών του ως άνω αεροσκάφους. Ενδέχεται να υπάρχουν καταστάσεις (εξαιρετικά συνεκτικά και εξαιρετικά διάσπαρτα ίχνη) όπου είναι καταλληλότερη η χρήση διαφορετικού αριθμού υποΐχνών. Η χρήση πολύ λίγων υποΐχνών εμφανίζει «δάκτυλα» στην ισοθορυβική καμπύλη. Οι **πίνακες Γ-1** και **Γ-2** δείχνουν τις παραμέτρους για υποδιαίρεση σε 5 έως 13 υποΐχνη. Ο **πίνακας Γ-1** παρουσιάζει τη θέση των συγκεκριμένων υποΐχνών και ο **πίνακας Γ-2** παρουσιάζει το αντίστοιχο ποσοστό των κινήσεων σε κάθε υποΐχνος.

▼**M2**

Πίνακας Γ-1

Θέση του υποΐχνους 5, 7, 9, 11 ή13

Το συνολικό πλάτος της ζώνης (που περιέχει το 98 % όλων των κινήσεων) είναι πενταπλάσιο της πρότυπης απόκλισης

Αριθμός υποΐχνους	Θέση υποϊχνών για υποδιαίρεση σε				
	5 υποΐχνη	7 υποΐχνη	9 υποΐχνη	11 υποΐχνη	13 υποΐχνη
12/13					± 2,31·*S*
10/11				± 2,27·*S*	± 1,92·*S*
8/9			± 2,22·*S*	± 1,82·*S*	± 1,54·*S*
6/7		± 2,14·*S*	± 1,67·*S*	± 1,36·*S*	± 1,15·*S*
4/5	± 2,00·*S*	± 1,43·*S*	± 1,11·*S*	± 0,91·*S*	± 0,77·*S*
2/3	± 1,00·*S*	± 0,71·*S*	± 0,56·*S*	± 0,45·*S*	± 0,38·*S*
1	0	0	0	0	0

Πίνακας Γ-2

Ποσοστό κινήσεων στο υποΐχνος 5, 7, 9, 11 ή 13

Το συνολικό πλάτος της ζώνης (που περιέχει το 98 % όλων των κινήσεων) είναι πενταπλάσιο της πρότυπης απόκλισης

Αριθμός υποΐχνους	Ποσοστό των κινήσεων στο υποΐχνος για υποδιαίρεση σε				
	5 υποΐχνη	7 υποΐχνη	9 υποΐχνη	11 υποΐχνη	13 υποΐχνη
12/13					1,1 %
10/11				1,4 %	2,5 %
8/9			2,0 %	3,5 %	4,7 %
6/7		3,1 %	5,7 %	7,1 %	8,0 %
4/5	6,3 %	10,6 %	12,1 %	12,1 %	11,5 %
2/3	24,4 %	22,2 %	19,1 %	16,6 %	14,4 %
1	38,6 %	28,2 %	22,2 %	18,6 %	15,6 %

▼M2

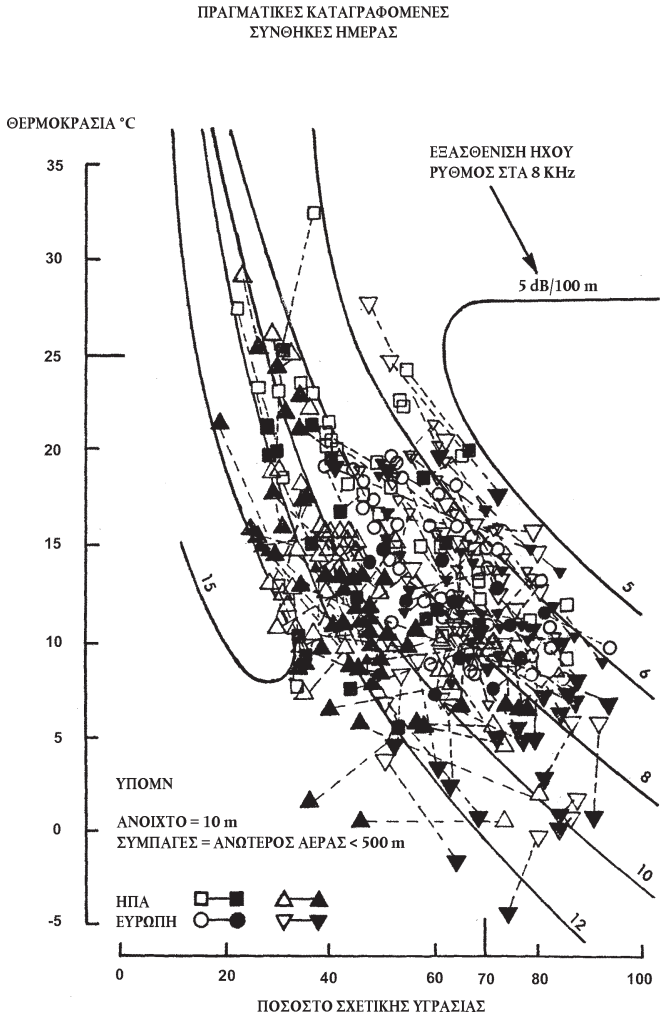
Προσάρτημα Δ

Επανυπολογισμός των δεδομένων NPD για συνθήκες άλλες εκτός των συνθηκών αναφοράς

Οι συνεισφορές στο επίπεδο θορύβου από κάθε τμήμα της πτητικής διαδρομής λαμβάνονται από τα δεδομένα ANP που είναι αποθηκευμένα στη βάση δεδομένων ANP. Πρέπει, ωστόσο, να σημειωθεί ότι τα δεδομένα αυτά έχουν κανονικοποιηθεί με χρήση των μέσων ρυθμών εξασθένισης λόγω ατμοσφαιρικής απορρόφησης που καθορίζονται στο πρότυπο SAE AIR-1845. Οι εν λόγω συντελεστές είναι οι μέσοι όροι των τιμών που προσδιορίζονται κατά τη διάρκεια των δοκιμών πιστοποίησης θορύβου αεροσκαφών στην Ευρώπη και στις ΗΠΑ. Η ευρεία διακύμανση των ατμοσφαιρικών συνθηκών (θερμοκρασία και σχετική υγρασία) στις εν λόγω δοκιμές παρουσιάζονται στο **σχήμα Δ-1**.

Σχήμα Δ-1

Μετεωρολογικές συνθήκες που καταγράφονται κατά τη διάρκεια δοκιμών πιστοποίησης θορύβου



Οι καμπύλες που τίθενται πάνω στο **σχήμα Δ-1**, οι οποίες υπολογίζονται χρησιμοποιώντας ένα μοντέλο ατμοσφαιρικής εξασθένισης ARP 866A που θεωρείται πρότυπο για τον συγκεκριμένο κλάδο, καταδεικνύουν ότι υπό όλες τις συνθήκες δοκιμών θα αναμενόταν σημαντική διακύμανση της απορρόφησης ήχων υψηλής συχνότητας (8 kHz) (αν και η διακύμανση της συνολικής απορρόφησης θα είναι μάλλον μικρότερη).

Εφόσον οι ρυθμοί εξασθένισης, που δίνονται στον πίνακα Δ-1, είναι αριθμητικοί μέσοι όροι, δεν είναι δυνατή η σύνδεση ολόκληρου του συνόλου με μια ενιαία ατμόσφαιρα αναφοράς (δηλαδή με ειδικές τιμές θερμοκρασίας και σχετικής

▼M2

υγρασίας). Δύνανται να νοηθούν μόνο ως ιδιότητες μιας αμιγώς φανταστικής ατμόσφαιρας, η οποία αναφέρεται ως «ατμόσφαιρα AIR-1845».

Πίνακας Δ-1

Μέσοι ρυθμοί ατμοσφαιρικής εξασθένισης που χρησιμοποιούνται για την κανονικοποίηση των δεδομένων NPD στη βάση δεδομένων ANP

Κεντρική συχνότητα της τριτοκταβικής ζώνης συχνοτήτων [Hz]	Ρυθμός εξασθένισης [dB/100 m]	Κεντρική συχνότητα της τριτοκταβικής ζώνης συχνοτήτων [Hz]	Ρυθμός εξασθένισης [dB/100 m]
50	0,033	800	0,459
63	0,033	1 000	0,590
80	0,033	1 250	0,754
100	0,066	1 600	0,983
125	0,066	2 000	1,311
160	0,098	2 500	1,705
200	0,131	3 150	2,295
250	0,131	4 000	3,115
315	0,197	5 000	3,607
400	0,230	6 300	5,246
500	0,295	8 000	7,213
630	0,361	10 000	9,836

Οι συντελεστές εξασθένισης του **πίνακα Δ-1** δύνανται θα θεωρηθούν έγκυροι για λογικά φάσματα θερμοκρασίας και υγρασίας. Ωστόσο, για να ελεγχθεί αν απαιτούνται προσαρμογές, θα πρέπει να χρησιμοποιηθεί το μοντέλο ARP-866A για να υπολογιστεί ο μέσος όρος των συντελεστών ατμοσφαιρικής απορρόφησης για μέση θερμοκρασία αερολιμένα *T* και σχετική υγρασία *RH*. Όταν κρίνεται, βάσει σύγκρισης αυτών των συντελεστών με εκείνους που δίνονται στον **πίνακα Δ-1**, ότι απαιτείται προσαρμογή, θα πρέπει να χρησιμοποιείται η ακόλουθη μεθοδολογία.

Η βάση δεδομένων ANP παρέχει τα εξής δεδομένα NPD για κάθε ρύθμιση ισχύος:

— μέγιστη ηχοστάθμη έναντι της διαγώνιας απόστασης, $L_{max}(d)$

— χρονικώς ολοκληρωμένο επίπεδο έναντι της απόστασης για την ταχύτητα αέρα αναφοράς, $L_E(d)$, και

— μη σταθμισμένο φάσμα ήχου αναφοράς σε διαγώνια απόσταση 305 m (1 000 ft), $L_{n,ref}(d_{ref})$ όπου n = ζώνη συχνοτήτων (που ποικίλλει από 1 έως 24 για τριτοκταβικές ζώνες με κεντρικές συχνότητες από 50 Hz έως 10 kHz),

όλα τα δεδομένα κανονικοποιούνται βάσει της ατμόσφαιρας αναφοράς του AIR-1845.

Η προσαρμογή των καμπυλών NPD στις συνθήκες που ορίζει ο χρήστης *T* και *RH* πραγματοποιείται σε τρία στάδια:

▼**M2**

1. Πρώτον, το φάσμα αναφοράς διορθώνεται για να αφαιρεθεί η ατμοσφαιρική εξασθένιση του SAE AIR-1845 $\alpha_{n,ref}$:

$$L_n(d_{ref}) = L_{n,ref}(d_{ref}) + \alpha_{n,ref} \cdot d_{ref} \quad \text{(D-1)}$$

όπου $L_n(d_{ref})$ είναι το μη εξασθενισμένο φάσμα σε d_{ref} = 305 m, και $\alpha_{n,ref}$ είναι ο συντελεστής ατμοσφαιρικής απορρόφησης για τη ζώνη συχνοτήτων *n* που λαμβάνεται από τον **πίνακα Δ-1** (αλλά εκφράζεται σε dB/m).

2. Στη συνέχεια, το διορθωμένο φάσμα προσαρμόζεται σε καθεμία από τις δέκα πρότυπες αποστάσεις NPD d_i χρησιμοποιώντας ρυθμούς εξασθένισης τόσο i) για την ατμόσφαιρα του SAE AIR-1845 όσο και ii) για την ατμόσφαιρα που ορίζει ο χρήστης (βάσει του SAE ARP-866A).

i) Για την ατμόσφαιρα του SAE AIR-1845:

$$L_{n,ref}(d_i) = L_n(d_{ref}) - 20\lg(d_i/d_{ref}) - \alpha_{n,ref} \cdot d_i \quad \text{(D-2)}$$

ii) Για την ατμόσφαιρα χρήστη:

$$L_{n,866A}(T,RH,d_i) = L_n(d_{ref}) - 20\lg(d_i/d_{ref}) - \alpha_{n,866A}(T,RH) \cdot d_i \quad \text{(D-3)}$$

όπου $\alpha_{n,866A}$ είναι ο συντελεστής ατμοσφαιρικής απορροφητικότητας για τη ζώνη συχνοτήτων *n* (εκφραζόμενος σε dB/m) που υπολογίζεται με τη χρήση του SAE ARP-866A υπό θερμοκρασία *T* και σχετική υγρασία *RH*.

3. Σε κάθε απόσταση NPD d_i τα δύο φάσματα έχουν υποβληθεί σε A-στάθμιση και άθροιση των decibel για τον καθορισμό των συνακόλουθων A-σταθμισμένων επιπέδων $L_{A,866A}$ και $L_{A,ref}$, τα οποία αφαιρούνται στη συνέχεια αυτόματα:

$$\Delta L(T, RH, d_i) = L_{A,866A} - L_{A,ref} = 10 \cdot \lg \sum_{n=1}^{24} 10^{(L_{n,866A}(T,RH,d_i) - A_n)/10} - 10 \cdot \lg \sum_{n=1}^{24} 10^{(L_{n,ref}(d_i) - A_n)/10} \quad \text{(D-4)}$$

Το βήμα αύξησης ισούται με τη διαφορά μεταξύ των NPD της ατμόσφαιρας που ορίζει ο χρήστης και εκείνων της ατμόσφαιρας αναφοράς. Αυτό προστίθεται στην τιμή των δεδομένων NPD της βάσης δεδομένων ANP για να εξαχθούν τα προσαρμοσμένα δεδομένα NPD.

Για την εφαρμογή του Δ*L* για την προσαρμογή τόσο του L_{max} όσο και του L_E NPD ουσιαστικά θεωρούμε ότι διαφορετικές ατμοσφαιρικές συνθήκες επηρεάζουν μόνο το φάσμα αναφοράς, χωρίς να επιδρούν στο σχήμα του ιστορικού-χρόνου-επιπέδου. Αυτό δύναται να θεωρηθεί έγκυρο για πρότυπα φάσματα διάδοσης και πρότυπες ατμοσφαιρικές συνθήκες.

▼**M2**

Προσάρτημα Ε

Η διόρθωση πεπερασμένου τμήματος

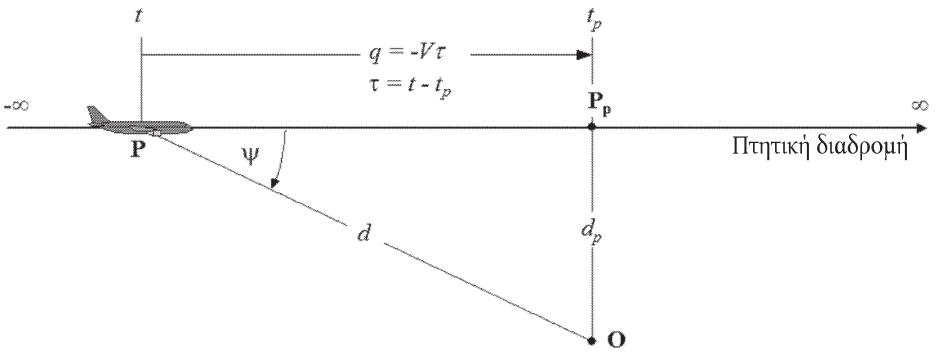
Το παρόν προσάρτημα περιγράφει την εξαγωγή της διόρθωσης πεπερασμένου τμήματος, ενώ ο σχετικός αλγόριθμος του κλάσματος ενέργειας περιγράφεται στο τμήμα 2.7.19.

Ε1 ΓΕΩΜΕΤΡΙΑ

Ο αλγόριθμος του κλάσματος ενέργειας βασίζεται στην ηχητική ακτινοβολία μιας διπολικής ηχητικής πηγής 90 μοιρών εις την τετάρτη. Η ακτινοβολία αυτή έχει κατευθυντικά χαρακτηριστικά τα οποία προσεγγίζουν τα χαρακτηριστικά του ήχου των αεριωθούμενων αεροσκαφών, τουλάχιστον στη γωνιακή περιοχή που επηρεάζει περισσότερο τα επίπεδα ηχητικού γεγονότος κάτωθεν και πλευρικώς της πτητικής διαδρομής του αεροσκάφους.

Σχήμα Ε-1

Γεωμετρία μεταξύ της πτητικής διαδρομής και της θέσης του παρατηρητή Ο



Το **σχήμα Ε-1** απεικονίζει τη γεωμετρία διάδοσης του ήχου μεταξύ της πτητικής διαδρομής και της θέσης του παρατηρητή **Ο**. Το αεροσκάφος στο σημείο **P** πετάει υπό συνθήκες νηνεμίας και ομοιομορφίας του αέρα με σταθερή ταχύτητα σε ευθύγραμμη, οριζόντια πτητική διαδρομή. Το πλησιέστερο σημείο προσέγγισης προς τον παρατηρητή είναι το $\mathbf{P_p}$. Οι παράμετροι είναι:

d η απόσταση από τον παρατηρητή έως το αεροσκάφος

d_p η κάθετη απόσταση από τον παρατηρητή έως την πτητική διαδρομή (διαγώνια απόσταση)

q η απόσταση μεταξύ των σημείων **P** και $\mathbf{P_p} = -V \cdot \tau$

V η ταχύτητα του αεροσκάφους

t ο χρόνος κατά τον οποίον το αεροσκάφος βρίσκεται στο σημείο **P**

t_p ο χρόνος κατά τον οποίο το αεροσκάφος βρίσκεται στο σημείο της πλησιέστερης προσέγγισης $\mathbf{P_p}$

τ ο χρόνος πτήσης = ο χρόνος σε σχέση με τον χρόνο στο σημείο $\mathbf{P_p} = t - t_p$

ψ η γωνία μεταξύ της πτητικής διαδρομής και του διανύσματος αεροσκάφους-παρατηρητή

Θα πρέπει να σημειωθεί ότι, εφόσον ο χρόνος πτήσης τ σε σχέση με το σημείο πλησιέστερης προσέγγισης είναι αρνητικός όταν το αεροσκάφος βρίσκεται πριν από τη θέση του παρατηρητή (όπως φαίνεται στο **σχήμα Ε-1**), η σχετική απόσταση q έως το σημείο πλησιέστερης προσέγγισης καθίσταται θετική στην προκειμένη περίπτωση. Εάν το αεροσκάφος βρίσκεται μπροστά από τον παρατηρητή, η απόσταση q καθίσταται αρνητική.

▼M2

Ε2 ΕΚΤΙΜΗΣΗ ΤΟΥ ΚΛΑΣΜΑΤΟΣ ΕΝΕΡΓΕΙΑΣ

Η βασική ιδέα του κλάσματος ενέργειας είναι να εκφράσει την έκθεση σε θόρυβο E που παράγεται στη θέση του παρατηρητή από το τμήμα της πτητικής διαδρομής $\mathbf{P_1P_2}$ (με σημείο έναρξης το $\mathbf{P_1}$ και σημείο πέρατος το $\mathbf{P_2}$) πολλαπλασιάζοντας την έκθεση E_∞ από το σύνολο της άπειρης διαδρομής διέλευσης (flyby) με έναν απλό συντελεστή, τον *συντελεστή κλάσματος ενέργειας* F:

$$E = F \cdot E_\infty \tag{E-1}$$

Δεδομένου ότι η έκθεση μπορεί να εκφραστεί ως το ολοκλήρωμα του χρόνου του πραγματικού (σταθμισμένου) επιπέδου ηχητικής πίεσης, δηλαδή

$$E = const \cdot \int p^2(\tau) d\tau \tag{E-2}$$

Για τον υπολογισμό της Ε, η πραγματική πίεση πρέπει να εκφραστεί ως συνάρτηση των γνωστών γεωμετρικών και λειτουργικών παραμέτρων. Για διπολική πηγή 90°,

$$p^2 = p_p^2 \cdot \frac{d_p^2}{d^2} \cdot \sin^2\psi = p_p^2 \cdot \frac{d_p^4}{d^4} \tag{E-3}$$

όπου p^2 και ${p_p}^2$ είναι οι παρατηρούμενες πραγματικές ηχητικές πιέσεις που δημιουργεί το αεροσκάφος καθώς διέρχεται από τα σημεία $\mathbf{P}$ και $\mathbf{P_p}$.

Αυτή η σχετικά απλή σχέση έχει διαπιστωθεί ότι διασφαλίζει καλή προσομοίωση του θορύβου αεριωθούμενων αεροσκαφών, μολονότι οι πραγματικοί μηχανισμοί που εμπλέκονται είναι εξαιρετικά περίπλοκοι. Ο όρος ${d_p}^2/d^2$ στην εξίσωση Ε-3 περιγράφει μόνο τον μηχανισμό σφαιρικής διάδοσης που είναι κατάλληλη για σημειακή πηγή, άπειρη ταχύτητα του ήχου και ομοιόμορφη, μη σκεδάζουσα ατμόσφαιρα. Όλες οι άλλες υλικές επιδράσεις, η κατευθυντικότητα της πηγής, η πεπερασμένη ταχύτητα του ήχου, η ατμοσφαιρική απορρόφηση, το φαινόμενο Doppler κ.λπ., καλύπτονται εμμέσως από τον όρο $sin^2\psi$. Ο συντελεστής αυτός προκαλεί την αντίστροφη μείωση της πραγματικής πίεσης ως d^4, εξ ου και η έκφραση πηγή «εις την τετάρτη».

Εισαγωγή υποκαταστάσεων

$$d^2 = d_p^2 + q^2 = d_p^2 + (V \cdot \tau)^2 \text{ and } \left(\frac{d}{d_p}\right)^2 = 1 + \left(\frac{V \cdot \tau}{d_p}\right)^2$$

Η μέση τετραγωνική πίεση δύναται να εκφραστεί ως συνάρτηση του χρόνου (αγνοώντας και πάλι τον χρόνο διάδοσης του ήχου):

$$p^2 = p_p^2 \cdot \left(1 + \left(\frac{V \cdot \tau}{d_p}\right)^2\right)^{-2} \tag{E-4}$$

Εισάγοντάς την στην εξίσωση (Ε- 2) και εκτελώντας την υποκατάσταση

$$\alpha = \frac{V \cdot \tau}{d_p} \tag{E-5}$$

η έκθεση σε ήχο στη θέση του παρατηρητή από τη διέλευση (flypast) μεταξύ του χρονικού διαστήματος $[\tau_1,\tau_2]$ δύναται να εκφραστεί ως

$$E = const \cdot p_p^2 \cdot \frac{d_p}{V} \cdot \int_{\alpha_1}^{\alpha_2} \frac{1}{(1+\alpha^2)^2} d\alpha \tag{E-6}$$

Η λύση του ολοκληρώματος αυτού είναι η εξής:

$$E = const \cdot p_p^2 \cdot \frac{d_p}{V} \cdot \frac{1}{2}\left(\frac{\alpha_2}{1+\alpha_2^2} + \arctan\alpha_2 - \frac{\alpha_1}{1+\alpha_1^2} - \arctan\alpha_1\right) \tag{E-7}$$

▼M2

Η ολοκλήρωση επί του διαστήματος [– ∞,+ ∞] (δηλαδή επί ολόκληρης της άπειρης πτητικής διαδρομής) δίνει την εξής έκφραση της συνολικής έκθεσης E_{∞}:

$$E_{\infty} = const \cdot \frac{\pi}{2} \cdot p_p^2 \cdot \frac{d_p}{V} \qquad \text{(E-8)}$$

και, ως εκ τούτου, το κλάσμα ενέργειας σύμφωνα με την εξίσωση Ε-1 είναι

$$F = \frac{1}{\pi}\left(\frac{\alpha_2}{1 + \alpha_2^2} + \arctan \alpha_2 - \frac{\alpha_1}{1 + \alpha_1^2} - \arctan \alpha_1\right) \qquad \text{(E-9)}$$

Ε3 ΟΜΟΙΟΜΟΡΦΙΑ ΤΗΣ ΜΕΓΙΣΤΗΣ ΚΑΙ ΤΗΣ ΧΡΟΝΙΚΑ ΟΛΟΚΛΗΡΩΜΕΝΗΣ ΜΕΤΡΗΣΗΣ — Η ΚΛΙΜΑΚΩΤΗ ΑΠΟΣΤΑΣΗ

Συνέπεια της χρήσης του απλού διπολικού μοντέλου για τον ορισμό του κλάσματος ενέργειας είναι το γεγονός ότι συνεπάγεται ειδική θεωρητική διαφορά ΔL μεταξύ των επιπέδων θορύβου απλού γεγονότος L_{max} και L_E. Για να είναι εσωτερικά ομοιόμορφο το μοντέλο ισοθορυβικής καμπύλης, πρέπει να ισούται με τη διαφορά των τιμών που καθορίζονται βάσει των καμπυλών NPD. Ένα πρόβλημα είναι ότι τα δεδομένα NPD λαμβάνονται από πραγματικές μετρήσεις του θορύβου αεροσκαφών, οι οποίες δεν συνάδουν απαραιτήτως με την απλή θεωρία. Συνεπώς η θεωρία χρειάζεται ένα πρόσθετο στοιχείο ευελιξίας. Κατ' αρχήν όμως οι μεταβλητές α_1 και α_2 καθορίζονται βάσει της γεωμετρίας και της ταχύτητας του αεροσκάφους, οπότε δεν αφήνουν περαιτέρω περιθώριο ελευθερίας. Μια λύση δίνεται βάσει της ιδέας της *κλιμακωτής απόστασης* d_λ ως εξής.

Το επίπεδο έκθεσης $L_{E,\infty}$ όπως πινακοποιείται ως συνάρτηση της d_p στη βάση δεδομένων ANP για ταχύτητα αναφοράς V_{ref}, δύναται να εκφραστεί ως εξής:

$$L_{E,\infty}(V_{ref}) = 10 \cdot \lg\left[\frac{\int_{-\infty}^{\infty} p^2 \cdot dt}{p_0^2 \cdot t_{ref}}\right] \qquad \text{(E-10)}$$

όπου p_0 είναι μια πρότυπη πίεση αναφοράς και t_{ref} είναι ένας χρόνος αναφοράς (= 1 δευτερόλεπτο για SEL). Για την πραγματική ταχύτητα V αυτό καθίσταται:

$$L_{E,\infty}(V) = L_{E,\infty}(V_{ref}) + 10 \cdot \lg\left(\frac{V_{ref}}{V}\right) \qquad \text{(E-11)}$$

Ομοίως, το μέγιστο επίπεδο γεγονότος L_{max} δύναται να αναγραφεί ως εξής:

$$L_{max} = 10 \cdot \lg\left[\frac{p_p^2}{p_0^2}\right] \qquad \text{(E-12)}$$

Για διπολική πηγή, όταν χρησιμοποιούνται οι εξισώσεις Ε-8, Ε-11 και Ε-12, σημειωτέον ότι (από τις εξισώσεις Ε-2 και Ε-8) $\int_{-\infty}^{\infty} p^2 \cdot dt = \frac{\pi}{2} \cdot p_p^2 \cdot \frac{d_p}{V}$, η διαφορά ΔL δύναται να αναγραφεί ως εξής:

$$\Delta L = L_{E,\infty} - L_{max} = 10 \cdot \lg\left[\frac{V}{V_{ref}} \cdot \left(\frac{\pi}{2} p_p^2 \frac{d_p}{V}\right) \cdot \frac{1}{p_0^2 \cdot t_{ref}}\right] - 10 \cdot \lg\left[\frac{p_p^2}{p_0^2}\right] \qquad \text{(E-13)}$$

Αυτό μπορεί να εξισωθεί με την τιμή της ΔL που καθορίζεται βάσει των δεδομένων NPD εάν η διαγώνια απόσταση d_p που χρησιμοποιείται για τον υπολογισμό του κλάσματος ενέργειας αντικαθίσταται από *κλιμακωτή απόσταση* d_λ, που δίνεται από τον εξής τύπο:

$$d_\lambda = \frac{2}{\pi} \cdot V_{ref} \cdot t_{ref} \cdot 10^{(L_{E,\infty} - L_{max})/10} \qquad \text{(E-14α)}$$

ή

$$d_\lambda = d_0 \cdot 10^{(L_{E,\infty} - L_{max})/10} \text{ με } d_0 = \frac{2}{\pi} \cdot V_{ref} \cdot t_{ref} \qquad \text{(E-14β)}$$

▼**M2**

Αντικαθιστώντας την d_p με την d_λ στην εξίσωση Ε-5 και χρησιμοποιώντας τον ορισμό $q = V\tau$ από το **σχήμα Ε-1**, οι παράμετροι α_1 και α_2 στην εξίσωση Ε-9 δύνανται να αναγραφούν (θέτοντας $q = q_1$ στο σημείο έναρξης και $q - \lambda = q_2$ στο σημείο πέρατος ενός τμήματος της πτητικής διαδρομής μήκους λ) ως εξής:

$$\alpha_1 = \frac{-q_1}{d_\lambda} \text{ και } \alpha_2 = \frac{-q_1 + \lambda}{d_\lambda} \quad \text{(Ε-15)}$$

Η αντικατάσταση της διαγώνιας πραγματικής απόστασης με την κλιμακωτή απόσταση μειώνει την απλότητα του διπολικού μοντέλου 90 μοιρών εις την τετάρτη. Δεδομένου όμως ότι βαθμονομείται αποτελεσματικά *επιτόπου* βάσει δεδομένων που λαμβάνονται από μετρήσεις, ο αλγόριθμος του κλάσματος ενέργειας δύναται να θεωρηθεί ημιεμπειρικός και όχι αμιγώς θεωρητικός.

▼**M2**

Προσάρτημα ΣΤ

Βάση δεδομένων για τις πηγές θορύβου οδικής κυκλοφορίας

Στο παρόν προσάρτημα παρατίθεται η βάση δεδομένων για τις περισσότερες από τις υφιστάμενες πηγές θορύβου οδικής κυκλοφορίας, η οποία χρησιμοποιείται για τον υπολογισμό του θορύβου οδικής κυκλοφορίας, σύμφωνα με τη μέθοδο που περιγράφεται στο σημείο «2.2 Θόρυβοι οδικής κυκλοφορίας».

Πίνακας ΣΤ-1

Συντελεστές $A_{R,i,m}$ και $B_{R,i,m}$ για τον θόρυβο κύλισης και $A_{P,i,m}$ και $B_{P,i,m}$ για τον θόρυβο των συστημάτων προώθησης

Κατηγορία	Συντελε-στής	63	125	250	500	1 000	2 000	4 000	8 000
1	A_R	79,7	85,7	84,5	90,2	97,3	93,9	84,1	74,3
	B_R	30	41,5	38,9	25,7	32,5	37,2	39	40
	A_P	94,5	89,2	88	85,9	84,2	86,9	83,3	76,1
	B_P	– 1,3	7,2	7,7	8	8	8	8	8
2	A_R	84	88,7	91,5	96,7	97,4	90,9	83,8	80,5
	B_R	30	35,8	32,6	23,8	30,1	36,2	38,3	40,1
	A_P	101	96,5	98,8	96,8	98,6	95,2	88,8	82,7
	B_P	– 1,9	4,7	6,4	6,5	6,5	6,5	6,5	6,5
3	A_R	87	91,7	94,1	100,7	100,8	94,3	87,1	82,5
	B_R	30	33,5	31,3	25,4	31,8	37,1	38,6	40,6
	A_P	104,4	100,6	101,7	101	100,1	95,9	91,3	85,3
	B_P	0	3	4,6	5	5	5	5	5
4a	A_R	0	0	0	0	0	0	0	0
	B_R	0	0	0	0	0	0	0	0
	A_P	88	87,5	89,5	93,7	96,6	98,8	93,9	88,7
	B_P	4,2	7,4	9,8	11,6	15,7	18,9	20,3	20,6
4b	A_R	0	0	0	0	0	0	0	0
	B_R	0	0	0	0	0	0	0	0
	A_P	95	97,2	92,7	92,9	94,7	93,2	90,1	86,5
	B_P	3,2	5,9	11,9	11,6	11,5	12,6	11,1	12

▼**M2**

Κατηγορία	Συντελε-στής	63	125	250	500	1 000	2 000	4 000	8 000
5	A_R								
	B_R								
	A_P								
	B_P								

Πίνακας ΣΤ-2

Συντελεστές a_i και b_i για ελαστικά επίσωτρα με καρφιά

Κατηγορία	Συντελε-στής	63	125	250	500	1 000	2 000	4 000	8 000
1	a_i	0,0	0,0	0,0	2,6	2,9	1,5	2,3	9,2
	b_i	0,0	0,0	0,0	– 3,1	– 6,4	– 14,0	– 22,4	– 11,4

Πίνακας ΣΤ-3

Συντελεστές $C_{R,m,k}$ και $C_{P,m,k}$ για επιτάχυνση και επιβράδυνση

Κατηγορία	k	Cr	Cp
1	1 = διασταύρωση	– 4,5	5,5
	2 = κυκλικός κόμβος	– 4,4	3,1
2	1 = διασταύρωση	– 4	9
	2 = κυκλικός κόμβος	– 2,3	6,7
3	1 = διασταύρωση	– 4	9
	2 = κυκλικός κόμβος	– 2,3	6,7
4a	1 = διασταύρωση	0	0
	2 = κυκλικός κόμβος	0	0
4b	1 = διασταύρωση	0	0
	2 = κυκλικός κόμβος	0	0
5	1 = διασταύρωση		
	2 = κυκλικός κόμβος		

▼**M2**

Πίνακας ΣΤ-4

Συντελεστές $\alpha_{i,m}$ και β_m για την επιφάνεια οδού

Περιγραφή	Ελάχιστη ταχύτητα για την οποία ισχύει η τιμή [km/h]	Μέγιστη ταχύτητα για την οποία ισχύει η τιμή [km/h]	Κατηγορία	α_m (63 Hz)	α_m (125 Hz)	α_m (250 Hz)	α_m (500 Hz)	α_m (1 kHz)	α_m (2 kHz)	α_m (4 kHz)	α_m (8 kHz)	βm
Επιφάνεια (οδού) αναφοράς	—	—	1	0,0	0,0	0,0	0,0	0,0	0,0	0,0	0,0	0,0
			2	0,0	0,0	0,0	0,0	0,0	0,0	0,0	0,0	0,0
			3	0,0	0,0	0,0	0,0	0,0	0,0	0,0	0,0	0,0
			4a	0,0	0,0	0,0	0,0	0,0	0,0	0,0	0,0	0,0
			4b	0,0	0,0	0,0	0,0	0,0	0,0	0,0	0,0	0,0
			5									
1 στρώση ZOAB (άσφαλτος που έχει βελτιστοποιηθεί για τη μείωση του θορύβου)	50	130	1	0,5	3,3	2,4	3,2	– 1,3	– 3,5	– 2,6	0,5	– 6,5
			2	0,9	1,4	1,8	– 0,4	– 5,2	– 4,6	– 3,0	– 1,4	0,2
			3	0,9	1,4	1,8	– 0,4	– 5,2	– 4,6	– 3,0	– 1,4	0,2
			4a	0,0	0,0	0,0	0,0	0,0	0,0	0,0	0,0	0,0
			4b	0,0	0,0	0,0	0,0	0,0	0,0	0,0	0,0	0,0
			5									
2 στρώσεις ZOAB	50	130	1	0,4	2,4	0,2	– 3,1	– 4,2	– 6,3	– 4,8	– 2,0	– 3,0
			2	0,4	0,2	– 0,7	– 5,4	– 6,3	– 6,3	– 4,7	– 3,7	4,7
			3	0,4	0,2	– 0,7	– 5,4	– 6,3	– 6,3	– 4,7	– 3,7	4,7
			4a	0,0	0,0	0,0	0,0	0,0	0,0	0,0	0,0	0,0
			4b	0,0	0,0	0,0	0,0	0,0	0,0	0,0	0,0	0,0
			5									
2 στρώσεις ZOAB (λεπτή)	80	130	1	– 1,0	1,7	– 1,5	– 5,3	– 6,3	– 8,5	– 5,3	– 2,4	– 0,1
			2	1,0	0,1	– 1,8	– 5,9	– 6,1	– 6,7	– 4,8	– 3,8	– 0,8
			3	1,0	0,1	– 1,8	– 5,9	– 6,1	– 6,7	– 4,8	– 3,8	– 0,8
			4a	0,0	0,0	0,0	0,0	0,0	0,0	0,0	0,0	0,0
			4b	0,0	0,0	0,0	0,0	0,0	0,0	0,0	0,0	0,0
			5									
SMA-NL5	40	80	1	1,1	– 1,0	0,2	1,3	– 1,9	– 2,8	– 2,1	– 1,4	– 1,0
			2	0,0	0,0	0,0	0,0	0,0	0,0	0,0	0,0	0,0
			3	0,0	0,0	0,0	0,0	0,0	0,0	0,0	0,0	0,0
			4a	0,0	0,0	0,0	0,0	0,0	0,0	0,0	0,0	0,0
			4b	0,0	0,0	0,0	0,0	0,0	0,0	0,0	0,0	0,0
			5									

▼**M2**

Περιγραφή	Ελάχιστη ταχύτητα για την οποία ισχύει η τιμή [km/h]	Μέγιστη ταχύτητα για την οποία ισχύει η τιμή [km/h]	Κατηγορία	α_m (63 Hz)	α_m (125 Hz)	α_m (250 Hz)	α_m (500 Hz)	α_m (1 kHz)	α_m (2 kHz)	α_m (4 kHz)	α_m (8 kHz)	ßm
SMA-NL8	40	80	1	0,3	0,0	0,0	– 0,1	– 0,7	– 1,3	– 0,8	– 0,8	– 1,0
			2	0,0	0,0	0,0	0,0	0,0	0,0	0,0	0,0	0,0
			3	0,0	0,0	0,0	0,0	0,0	0,0	0,0	0,0	0,0
			4a	0,0	0,0	0,0	0,0	0,0	0,0	0,0	0,0	0,0
			4b	0,0	0,0	0,0	0,0	0,0	0,0	0,0	0,0	0,0
			5									
Εκτραχυμένο με μεταλλική βούρτσα σκυρόδεμα	70	120	1	1,1	– 0,4	1,3	2,2	2,5	0,8	– 0,2	– 0,1	1,4
			2	0,0	1,1	0,4	– 0,3	– 0,2	– 0,7	– 1,1	– 1,0	4,4
			3	0,0	1,1	0,4	– 0,3	– 0,2	– 0,7	– 1,1	– 1,0	4,4
			4a	0,0	0,0	0,0	0,0	0,0	0,0	0,0	0,0	0,0
			4b	0,0	0,0	0,0	0,0	0,0	0,0	0,0	0,0	0,0
			5									
Βελτιστοποιημένο σκυρόδεμα που είναι εκτραχυμένο με μεταλλική βούρτσα	70	80	1	– 0,2	– 0,7	0,6	1,0	1,1	– 1,5	– 2,0	– 1,8	1,0
			2	– 0,3	1,0	– 1,7	– 1,2	– 1,6	– 2,4	– 1,7	– 1,7	– 6,6
			3	– 0,3	1,0	– 1,7	– 1,2	– 1,6	– 2,4	– 1,7	– 1,7	– 6,6
			4a	0,0	0,0	0,0	0,0	0,0	0,0	0,0	0,0	0,0
			4b	0,0	0,0	0,0	0,0	0,0	0,0	0,0	0,0	0,0
			5									
Εκτραχυμένο με λεπτή μεταλλική σκούπα σκυρόδεμα	70	120	1	1,1	– 0,5	2,7	2,1	1,6	2,7	1,3	– 0,4	7,7
			2	0,0	3,3	2,4	1,9	2,0	1,2	0,1	0,0	3,7
			3	0,0	3,3	2,4	1,9	2,0	1,2	0,1	0,0	3,7
			4a	0,0	0,0	0,0	0,0	0,0	0,0	0,0	0,0	0,0
			4b	0,0	0,0	0,0	0,0	0,0	0,0	0,0	0,0	0,0
			5									
Επεξεργασμένη επιφάνεια	50	130	1	1,1	1,0	2,6	4,0	4,0	0,1	– 1,0	– 0,8	– 0,2
			2	0,0	2,0	1,8	1,0	– 0,7	– 2,1	– 1,9	– 1,7	1,7
			3	0,0	2,0	1,8	1,0	– 0,7	– 2,1	– 1,9	– 1,7	1,7
			4a	0,0	0,0	0,0	0,0	0,0	0,0	0,0	0,0	0,0
			4b	0,0	0,0	0,0	0,0	0,0	0,0	0,0	0,0	0,0
			5									
Μεταλλικά στοιχεία που προστίθενται εντός του σκυροδέματος σε διάταξη ψαροκόκαλου	30	60	1	8,3	8,7	7,8	5,0	3,0	– 0,7	0,8	1,8	2,5
			2	8,3	8,7	7,8	5,0	3,0	– 0,7	0,8	1,8	2,5
			3	8,3	8,7	7,8	5,0	3,0	– 0,7	0,8	1,8	2,5
			4a	0,0	0,0	0,0	0,0	0,0	0,0	0,0	0,0	0,0
			4b	0,0	0,0	0,0	0,0	0,0	0,0	0,0	0,0	0,0
			5									

▼**M2**

Περιγραφή	Ελάχιστη ταχύτητα για την οποία ισχύει η τιμή [km/h]	Μέγιστη ταχύτητα για την οποία ισχύει η τιμή [km/h]	Κατηγορία	α_m (63 Hz)	α_m (125 Hz)	α_m (250 Hz)	α_m (500 Hz)	α_m (1 kHz)	α_m (2 kHz)	α_m (4 kHz)	α_m (8 kHz)	ßm
Μεταλλικά στοιχεία που προστίθενται εντός του σκυροδέματος όχι σε διάταξη ψαροκόκαλου	30	60	1	12,3	11,9	9,7	7,1	7,1	2,8	4,7	4,5	2,9
			2	12,3	11,9	9,7	7,1	7,1	2,8	4,7	4,5	2,9
			3	12,3	11,9	9,7	7,1	7,1	2,8	4,7	4,5	2,9
			4a	0,0	0,0	0,0	0,0	0,0	0,0	0,0	0,0	0,0
			4b	0,0	0,0	0,0	0,0	0,0	0,0	0,0	0,0	0,0
			5									
Μεταλλικά στοιχεία για απορρόφηση του θορύβου	30	60	1	7,8	6,3	5,2	2,8	– 1,9	– 6,0	– 3,0	– 0,1	– 1,7
			2	0,2	0,7	0,7	1,1	1,8	1,2	1,1	0,2	0,0
			3	0,2	0,7	0,7	1,1	1,8	1,2	1,1	0,2	0,0
			4a	0,0	0,0	0,0	0,0	0,0	0,0	0,0	0,0	0,0
			4b	0,0	0,0	0,0	0,0	0,0	0,0	0,0	0,0	0,0
			5									
Λεπτή στρώση Α	40	130	1	1,1	0,1	– 0,7	– 1,3	– 3,1	– 4,9	– 3,5	– 1,5	– 2,5
			2	1,6	1,3	0,9	– 0,4	– 1,8	– 2,1	– 0,7	– 0,2	0,5
			3	1,6	1,3	0,9	– 0,4	– 1,8	– 2,1	– 0,7	– 0,2	0,5
			4a	0,0	0,0	0,0	0,0	0,0	0,0	0,0	0,0	0,0
			4b	0,0	0,0	0,0	0,0	0,0	0,0	0,0	0,0	0,0
			5									
Λεπτή στρώση Β	40	130	1	0,4	– 1,3	– 1,3	– 0,4	– 5,0	– 7,1	– 4,9	– 3,3	– 1,5
			2	1,6	1,3	0,9	– 0,4	– 1,8	– 2,1	– 0,7	– 0,2	0,5
			3	1,6	1,3	0,9	– 0,4	– 1,8	– 2,1	– 0,7	– 0,2	0,5
			4a	0,0	0,0	0,0	0,0	0,0	0,0	0,0	0,0	0,0
			4b	0,0	0,0	0,0	0,0	0,0	0,0	0,0	0,0	0,0
			5									

▼M2
▼C1

Προσάρτημα Ζ

Βάση δεδομένων για τις πηγές θορύβου σιδηροδρομικής κυκλοφορίας

Στο παρόν προσάρτημα παρατίθεται η βάση δεδομένων για τις περισσότερες από τις υφιστάμενες πηγές θορύβου σιδηροδρομικής κυκλοφορίας, η οποία χρησιμοποιείται για τον υπολογισμό του θορύβου σιδηροδρομικής κυκλοφορίας, σύμφωνα με τη μέθοδο που περιγράφεται στο σημείο «2.3 Θόρυβος σιδηροδρομικής κυκλοφορίας».

Πίνακας Ζ-1

Συντελεστές $L_{r,TR,i}$ και $L_{r,VEH,i}$ για την ταχύτητα των τροχών και της σιδηροτροχιάς

$L_{r,VEH,i}$			
Μήκος κύματος	Τύπος φρένου		
	c	k	n
	Φρένο με πέδιλα από χυτοσίδηρο	Φρένο από σύνθετο υλικό	Δισκόφρενο
1 000 mm	2,2	– 4,0	– 5,9
800 mm	2,2	– 4,0	– 5,9
630 mm	2,2	– 4,0	– 5,9
500 mm	2,2	– 4,0	– 5,9
400 mm	2,2	– 4,0	– 5,9
315 mm	2,2	– 4,0	– 5,9
250 mm	2,2	– 4,0	2,3
200 mm	2,2	– 4,0	2,8
160 mm	2,4	– 4,0	2,6
120 mm	0,6	– 4,0	1,2
100 mm	2,6	– 4,0	2,1
80 mm	5,8	– 4,3	0,9
63 mm	8,8	– 4,6	– 0,3
50 mm	11,1	– 4,9	– 1,6
40 mm	11,0	– 5,2	– 2,9
31,5 mm	9,8	– 6,3	– 4,9
25 mm	7,5	– 6,8	– 7,0
20 mm	5,1	– 7,2	– 8,6
16 mm	3,0	– 7,3	– 9,3
12 mm	1,3	– 7,3	– 9,5
10 mm	0,2	– 7,1	– 10,1
8 mm	– 0,7	– 6,9	– 10,3
6,3 mm	– 1,2	– 6,7	– 10,3

▼C1

$L_{r,VEH,i}$

Μήκος κύματος	Τύπος φρένου		
	c	k	n
	Φρένο με πέδιλα από χυτοσίδηρο	Φρένο από σύνθετο υλικό	Δισκόφρενο
5 mm	– 1,0	– 6,0	– 10,8
4 mm	0,3	– 3,7	– 10,9
3,2 mm	0,2	– 2,4	– 9,5
2,5 mm	1,3	– 2,6	– 9,5
2 mm	3,1	– 2,5	– 9,5
1,6 mm	3,1	– 2,5	– 9,5
1,2 mm	3,1	– 2,5	– 9,5
1 mm	3,1	– 2,5	– 9,5
0,8 mm	3,1	– 2,5	– 9,5

$L_{r,TR,i}$

Μήκος κύματος	Τραχύτητα σιδηροτροχιάς	
	E	M
	EN ISO 3095:2013 (Καλά συντηρημένη και πολύ λεία)	Μέσο δίκτυο (Κανονικά συντηρημένη)
1 000 mm	17,1	11,0
800 mm	17,1	11,0
630 mm	17,1	11,0
500 mm	17,1	11,0
400 mm	17,1	11,0
315 mm	15,0	10,0
250 mm	13,0	9,0
200 mm	11,0	8,0
160 mm	9,0	7,0
120 mm	7,0	6,0
100 mm	4,9	5,0
80 mm	2,9	4,0
63 mm	0,9	3,0
50 mm	– 1,1	2,0
40 mm	– 3,2	1,0

▼C1

$L_{r,TR,i}$		
Μήκος κύματος	Ταχύτητα σιδηροτροχιάς	
	E	M
	EN ISO 3095:2013 (Καλά συντηρημένη και πολύ λεία)	Μέσο δίκτυο (Κανονικά συντηρημένη)
31,5 mm	– 5,0	0,0
25 mm	– 5,6	– 1,0
20 mm	– 6,2	– 2,0
16 mm	– 6,8	– 3,0
12 mm	– 7,4	– 4,0
10 mm	– 8,0	– 5,0
8 mm	– 8,6	– 6,0
6,3 mm	– 9,2	– 7,0
5 mm	– 9,8	– 8,0
4 mm	– 10,4	– 9,0
3,2 mm	– 11,0	– 10,0
2,5 mm	– 11,6	– 11,0
2 mm	– 12,2	– 12,0
1,6 mm	– 12,8	– 13,0
1,2 mm	– 13,4	– 14,0
1 mm	– 14,0	– 15,0
0,8 mm	– 14,0	– 15,0

Πίνακας Z– 2

Συντελεστές $A_{3,i}$ για το φίλτρο επαφής

$A_{3,i}$					
Μήκος κύματος	Φορτίο επί του άξονα 50 kN — διάμετρος τροχού 360 mm	Φορτίο επί του άξονα 50 kN — διάμετρος τροχού 680 mm	Φορτίο επί του άξονα 25 kN — διάμετρος τροχού 920 mm	Φορτίο επί του άξονα 50 kN — διάμετρος τροχού 920 mm	Φορτίο επί του άξονα 100 kN — διάμετρος τροχού 920 mm
1 000 mm	0,0	0,0	0,0	0,0	0,0
800 mm	0,0	0,0	0,0	0,0	0,0
630 mm	0,0	0,0	0,0	0,0	0,0
500 mm	0,0	0,0	0,0	0,0	0,0
400 mm	0,0	0,0	0,0	0,0	0,0
315 mm	0,0	0,0	0,0	0,0	0,0
250 mm	0,0	0,0	0,0	0,0	0,0

▼C1

	$A_{3,i}$				
Μήκος κύματος	Φορτίο επί του άξονα 50 kN — διάμετρος τροχού 360 mm	Φορτίο επί του άξονα 50 kN — διάμετρος τροχού 680 mm	Φορτίο επί του άξονα 25 kN — διάμετρος τροχού 920 mm	Φορτίο επί του άξονα 50 kN — διάμετρος τροχού 920 mm	Φορτίο επί του άξονα 100 kN — διάμετρος τροχού 920 mm
200 mm	0,0	0,0	0,0	0,0	0,0
160 mm	0,0	0,0	0,0	0,0	0,0
120 mm	0,0	0,0	0,0	0,0	0,0
100 mm	0,0	0,0	0,0	0,0	0,0
80 mm	0,0	0,0	0,0	– 0,2	– 0,2
63 mm	0,0	– 0,2	– 0,2	– 0,5	– 0,6
50 mm	– 0,2	– 0,4	– 0,5	– 0,9	– 1,3
40 mm	– 0,5	– 0,7	– 0,9	– 1,6	– 2,2
31,5 mm	– 1,2	– 1,5	– 1,6	– 2,5	– 3,7
25 mm	– 2,0	– 2,8	– 2,5	– 3,8	– 5,8
20 mm	– 3,0	– 4,5	– 3,8	– 5,8	– 9,0
16 mm	– 4,3	– 7,0	– 5,8	– 8,5	– 11,5
12 mm	– 6,0	– 10,3	– 8,5	– 11,4	– 12,5
10 mm	– 8,4	– 12,0	– 12,0	– 12,0	– 12,0
8 mm	– 12,0	– 12,5	– 12,6	– 13,5	– 14,0
6,3 mm	– 11,5	– 13,5	– 13,5	– 14,5	– 15,0
5 mm	– 12,5	– 16,0	– 14,5	– 16,0	– 17,0
4 mm	– 13,9	– 16,0	– 16,0	– 16,5	– 18,4
3,2 mm	– 14,7	– 16,5	– 16,5	– 17,7	– 19,5
2,5 mm	– 15,6	– 17,0	– 17,7	– 18,6	– 20,5
2 mm	– 16,6	– 18,0	– 18,6	– 19,6	– 21,5
1,6 mm	– 17,6	– 19,0	– 19,6	– 20,6	– 22,4
1,2 mm	– 18,6	– 20,2	– 20,6	– 21,6	– 23,5
1 mm	– 19,6	– 21,2	– 21,6	– 22,6	– 24,5
0,8 mm	– 20,6	– 22,2	– 22,6	– 23,6	– 25,4

▼C1

Πίνακας Z-3

Συντελεστές $L_{H,TR,i}$ $L_{H,VEH,i}$ και $L_{H,VEH,SUP,i}$ για τις συναρτήσεις μετάδοσης

(Οι τιμές εκφράζονται σε στάθμη ηχητικής ισχύος ανά άξονα)

	$L_{H,TR,i}$						
	Βάση σιδηροτροχιάς/Τύπος υποθέματος σιδηροτροχιάς						
	B/S	B/M	B/H	B/S	B/M	B/H	B/H
Συχνότητα	Μονοκόμματος στρωτήρας σε μαλακό υπόθεμα σιδηροτροχιάς	Μονοκόμματος στρωτήρας σε υπόθεμα σιδηροτροχιάς μέτριας ακαμψίας	Μονοκόμματος στρωτήρας σε άκαμπτο υπόθεμα σιδηροτροχιάς	Στρωτήρας σε δύο κομμάτια σε μαλακό υπόθεμα σιδηροτροχιάς	Στρωτήρας σε δύο κομμάτια σε υπόθεμα σιδηροτροχιάς μέτριας ακαμψίας	Στρωτήρας σε δύο κομμάτια σε άκαμπτο υπόθεμα σιδηροτροχιάς	Στρωτήρες από ξύλο
50 Hz	53,3	50,9	50,1	50,9	50,0	49,8	44,0
63 Hz	59,3	57,8	57,2	56,6	56,1	55,9	51,0
80 Hz	67,2	66,5	66,3	64,3	64,1	64,0	59,9
100 Hz	75,9	76,8	77,2	72,3	72,5	72,5	70,8
125 Hz	79,2	80,9	81,6	75,4	75,8	75,9	75,1
160 Hz	81,8	83,3	84,0	78,5	79,1	79,4	76,9
200 Hz	84,2	85,8	86,5	81,8	83,6	84,4	77,2
250 Hz	88,6	90,0	90,7	86,6	88,7	89,7	80,9
316 Hz	91,0	91,6	92,1	89,1	89,6	90,2	85,3
400 Hz	94,5	93,9	94,3	91,9	89,7	90,2	92,5
500 Hz	97,0	95,6	95,8	94,5	90,6	90,8	97,0
630 Hz	99,2	97,4	97,0	97,5	93,8	93,1	98,7
800 Hz	104,0	101,7	100,3	104,0	100,6	97,9	102,8
1 000 Hz	107,1	104,4	102,5	107,9	104,7	101,1	105,4
1 250 Hz	108,3	106,0	104,2	108,9	106,3	103,4	106,5
1 600 Hz	108,5	106,8	105,4	108,8	107,1	105,4	106,4
2 000 Hz	109,7	108,3	107,1	109,8	108,8	107,7	107,5
2 500 Hz	110,0	108,9	107,9	110,2	109,3	108,5	108,1
3 160 Hz	110,0	109,1	108,2	110,1	109,4	108,7	108,4
4 000 Hz	110,0	109,4	108,7	110,1	109,7	109,1	108,7
5 000 Hz	110,3	109,9	109,4	110,3	110,0	109,6	109,1
6 350 Hz	110,0	109,9	109,7	109,9	109,8	109,6	109,1
8 000 Hz	110,1	110,3	110,4	110,0	110,0	109,9	109,5
10 000 Hz	110,6	111,0	111,4	110,4	110,5	110,6	110,2

▼C1

$L_{H,VEH,i}$				
Συχνότητα	Τροχός με διάμετρο 920 mm, κανένα μέτρο	Τροχός με διάμετρο 840 mm, κανένα μέτρο	Τροχός με διάμετρο 680 mm, κανένα μέτρο	Τροχός με διάμετρο 1 200 mm, κανένα μέτρο
50 Hz	75,4	75,4	75,4	75,4
63 Hz	77,3	77,3	77,3	77,3
80 Hz	81,1	81,1	81,1	81,1
100 Hz	84,1	84,1	84,1	84,1
125 Hz	83,3	82,8	82,8	82,8
160 Hz	84,3	83,3	83,3	83,3
200 Hz	86,0	84,1	83,9	84,5
250 Hz	90,1	86,9	86,3	90,4
316 Hz	89,8	87,9	88,0	90,4
400 Hz	89,0	89,9	92,2	89,9
500 Hz	88,8	90,9	93,9	90,1
630 Hz	90,4	91,5	92,5	91,3
800 Hz	92,4	91,5	90,9	91,5
1 000 Hz	94,9	93,0	90,4	93,6
1 250 Hz	100,4	98,7	93,2	100,5
1 600 Hz	104,6	101,6	93,5	104,6
2 000 Hz	109,6	107,6	99,6	115,6
2 500 Hz	114,9	111,9	104,9	115,9
3 160 Hz	115,0	114,5	108,0	116,0
4 000 Hz	115,0	114,5	111,0	116,0
5 000 Hz	115,5	115,0	111,5	116,5
6 350 Hz	115,6	115,1	111,6	116,6
8 000 Hz	116,0	115,5	112,0	117,0
10 000 Hz	116,7	116,2	112,7	117,7

$L_{H,VEH,SUP,i}$	
Συχνότητα	Τύπος οχήματος
	a
	πρότυπο ΕΕ
50 Hz	0,0
63 Hz	0,0
80 Hz	0,0
100 Hz	0,0
125 Hz	0,0
160 Hz	0,0

▼C1

$L_{H,VEH,SUP,i}$	
Συχνότητα	Τύπος οχήματος
	a
	πρότυπο ΕΕ
200 Hz	0,0
250 Hz	0,0
316 Hz	0,0
400 Hz	0,0
500 Hz	0,0
630 Hz	0,0
800 Hz	0,0
1 000 Hz	0,0
1 250 Hz	0,0
1 600 Hz	0,0
2 000 Hz	0,0
2 500 Hz	0,0
3 160 Hz	0,0
4 000 Hz	0,0
5 000 Hz	0,0
6 350 Hz	0,0
8 000 Hz	0,0
10 000 Hz	0,0

Πίνακας Ζ-4

Συντελεστές $L_{R,IMPACT,i}$ για κτυπογενή θόρυβο

$L_{R,IMPACT,i}$	
Μήκος κύματος	Μονή αλλαγή τροχιάς/αρμός/διασταύρωση/ 100m
1 000 mm	22,4
800 mm	22,4
630 mm	22,4
500 mm	23,8
400 mm	24,7
315 mm	24,7
250 mm	23,4
200 mm	21,7
160 mm	20,2

▼C1

$L_{R,IMPACT,i}$	
Μήκος κύματος	Μονή αλλαγή τροχιάς/αρμός/διασταύρωση/ 100m
120 mm	20,4
100 mm	20,8
80 mm	20,9
63 mm	19,8
50 mm	18
40 mm	16
31,5 mm	13
25 mm	10
20 mm	6
16 mm	1
12 mm	– 4
10 mm	– 11
8 mm	– 16,5
6,3 mm	– 18,5
5 mm	– 21
4 mm	– 22,5
3,2 mm	– 24,7
2,5 mm	– 26,6
2 mm	– 28,6
1,6 mm	– 30,6
1,2 mm	– 32,6
1 mm	– 34
0,8 mm	– 34

Πίνακας Z-5

Συντελεστές $L_{W,0,idling}$ για θόρυβο έλξης

(Οι τιμές εκφράζονται σε στάθμη ηχητικής ισχύος ανά όχημα)

$L_{W,0,idling}$										
Συχνότητα	Τύπος οχήματος									
	d		d		d		e		e	
	Πετρελαιομηχανή (περ. 800 kW)		Πετρελαιομηχανή (περ. 2 200 kW)		Ντιζελοκίνητη πολυμερής σύνθεση		Ηλεκτροκίνητη μηχανή		Ηλεκτροκίνητη πολυμερής σύνθεση	
	Πηγή Α	Πηγή Β	Πηγή Α	Πηγή Β	Πηγή Α	Πηγή Β	Πηγή Α	Πηγή Β	Πηγή Α	Πηγή Β
50 Hz	98,9	103,2	99,4	103,7	82,6	86,9	87,9	92,2	80,5	84,8
63 Hz	94,8	100,0	107,3	112,5	82,5	87,7	90,8	96,0	81,4	86,6

▼C1

$L_{W,0,idling}$										
Συχνότητα	Τύπος οχήματος									
	d		d		d		e		e	
	Πετρελαιομηχανή (περ. 800 kW)		Πετρελαιομηχανή (περ. 2 200 kW)		Ντιζελοκίνητη πολυμερής σύνθεση		Ηλεκτροκίνητη μηχανή		Ηλεκτροκίνητη πολυμερής σύνθεση	
	Πηγή Α	Πηγή Β	Πηγή Α	Πηγή Β	Πηγή Α	Πηγή Β	Πηγή Α	Πηγή Β	Πηγή Α	Πηγή Β
80 Hz	92,6	95,5	103,1	106,0	89,3	92,2	91,6	94,5	80,5	83,4
100 Hz	94,6	94,0	102,1	101,5	90,3	89,7	94,6	94,0	82,2	81,6
125 Hz	92,8	93,3	99,3	99,8	93,5	94,0	94,8	95,3	80,0	80,5
160 Hz	92,8	93,6	99,3	100,1	99,5	100,3	96,8	97,6	79,7	80,5
200 Hz	93,0	92,9	99,5	99,4	98,7	98,6	104,0	103,9	79,6	79,5
250 Hz	94,8	92,7	101,3	99,2	95,5	93,4	100,8	98,7	96,4	94,3
316 Hz	94,6	92,4	101,1	98,9	90,3	88,1	99,6	97,4	80,5	78,3
400 Hz	95,7	92,8	102,2	99,3	91,4	88,5	101,7	98,8	81,3	78,4
500 Hz	95,6	92,8	102,1	99,3	91,3	88,5	98,6	95,8	97,2	94,4
630 Hz	98,6	96,8	101,1	99,3	90,3	88,5	95,6	93,8	79,5	77,7
800 Hz	95,2	92,7	101,7	99,2	90,9	88,4	95,2	92,7	79,8	77,3
1 000 Hz	95,1	93,0	101,6	99,5	91,8	89,7	96,1	94,0	86,7	84,6
1 250 Hz	95,1	92,9	99,3	97,1	92,8	90,6	92,1	89,9	81,7	79,5
1 600 Hz	94,1	93,1	96,0	95,0	92,8	91,8	89,1	88,1	82,7	81,7
2 000 Hz	94,1	93,2	93,7	92,8	90,8	89,9	87,1	86,2	80,7	79,8
2 500 Hz	99,4	98,3	101,9	100,8	88,1	87,0	85,4	84,3	78,0	76,9
3 160 Hz	92,5	91,5	89,5	88,5	85,2	84,2	83,5	82,5	75,1	74,1
4 000 Hz	89,5	88,7	87,1	86,3	83,2	82,4	81,5	80,7	72,1	71,3

▼C1

$L_{W,0,idling}$										
Συχνότητα	Τύπος οχήματος									
	d		d		d		e		e	
	Πετρελαιομηχανή (περ. 800 kW)		Πετρελαιομηχανή (περ. 2 200 kW)		Ντιζελοκίνητη πολυμερής σύνθεση		Ηλεκτροκίνητη μηχανή		Ηλεκτροκίνητη πολυμερής σύνθεση	
	Πηγή A	Πηγή B	Πηγή A	Πηγή B	Πηγή A	Πηγή B	Πηγή A	Πηγή B	Πηγή A	Πηγή B
5 000 Hz	87,0	86,0	90,5	89,5	81,7	80,7	80,0	79,0	69,6	68,6
6 350 Hz	84,1	83,4	31,4	30,7	78,8	78,1	78,1	77,4	66,7	66,0
8 000 Hz	81,5	80,9	81,2	80,6	76,2	75,6	76,5	75,9	64,1	63,5
10 000 Hz	79,2	78,7	79,6	79,1	73,9	73,4	75,2	74,7	61,8	61,3

Πίνακας Z-6

Συντελεστές $L_{W,0,1}$, $L_{W,0,2}$, α_1, α_2 για αεροδυναμικούς θορύβους

[Οι τιμές εκφράζονται σε στάθμη ηχητικής ισχύος ανά όχημα (για όχημα μήκους 20 m)]

	Αεροδυναμικός θόρυβος σε 300 km/h	
	α_1	α_2
	50	50
Συχνότητα	$L_{W,0,1}$	$L_{W,0,2}$
50 Hz	112,6	36,7
63 Hz	113,2	38,5
80 Hz	115,7	39,0
100 Hz	117,4	37,5
125 Hz	115,3	36,8
160 Hz	115,0	37,1
200 Hz	114,9	36,4
250 Hz	116,4	36,2
316 Hz	115,9	35,9
400 Hz	116,3	36,3
500 Hz	116,2	36,3
630 Hz	115,2	36,3
800 Hz	115,8	36,2
1 000 Hz	115,7	36,5
1 250 Hz	115,7	36,4
1 600 Hz	114,7	105,2

▼C1

	Αεροδυναμικός θόρυβος σε 300 km/h	
	α_1	α_2
	50	50
Συχνότητα	$L_{W,0,1}$	$L_{W,0,2}$
2 000 Hz	114,7	110,3
2 500 Hz	115,0	110,4
3 160 Hz	114,5	105,6
4 000 Hz	113,1	37,2
5 000 Hz	112,1	37,5
6 350 Hz	110,6	37,9
8 000 Hz	109,6	38,4
10 000 Hz	108,8	39,2

Πίνακας Z-7

Συντελεστές C_{bridge} για δομική ακτινοβολία

C_{bridge}	
Βάση σιδηροτροχιάς	
N	L
Κυρίως από σκυρόδεμα ή κτιστές γέφυρες με κάθε μορφή τροχιάς	Κυρίως χαλύβδινες γέφυρες με σιδηροδρομικές γραμμές με έρμα
1	4

▼M2

Προσάρτημα Η

Βάση δεδομένων για πηγές βιομηχανικού θορύβου

Στο παρόν προσάρτημα παρατίθενται ορισμένα παραδείγματα για τις εισαγόμενες τιμές για ορισμένες βιομηχανικές πηγές θορύβου, τα οποία μπορούν να χρησιμοποιηθούν για τον υπολογισμό του βιομηχανικό θόρυβο, σύμφωνα με τη μέθοδο που περιγράφεται στο σημείο «2.4 Βιομηχανικός θόρυβος». Επειδή για κάθε βιομηχανικό χώρο είναι εξαιρετικά ειδικές οι βιομηχανικές πηγές θορύβου, λαμβάνονται κατάλληλες τιμές από τις τοπικές, εθνικές ή διεθνείς βάσεις δεδομένων ή μετρήσεις, ανάλογα με την περίπτωση.

Πίνακας Η-1

Συντελεστές L_W, $L_{W'}$ και $\Delta L_{W,dir,xyz}$ (*x, y, z*) για την ηχητική ισχύ

$\Delta L_{W,dir,xyz}$ (x, y, z)=0

Η $L_{W'}$ εκφράζεται ως ηχητική ισχύς ανά μέτρο γραμμικής πηγής, ή ανά τετραγωνικό μέτρο επιφανειακής πηγής.

Περιγραφή	Τύπος πηγής	Κατευθυντικότητα πηγής	63	125	250	500	1 000	2 000	4 000	8 000
Χαλικοβολή - εξωτερικά — με ακροφύσιο	Σημειακή πηγή	Ελεύθερο πεδίο	108,77	110,37	112,77	107,77	104,37	98,07	97,07	86,97
Περιστροφικός κλίβανος	Γραμμική πηγή	Ελεύθερο πεδίο	79,27	84,17	86,67	89,27	93,07	93,47	92,07	87,77
Ναυπηγείο	Επιφανειακή πηγή	Ημισφαιρικό	67,17	69,07	74,57	62,17	63,97	66,77	70,97	68,07
Τερματικός σταθμός φυσικού αερίου	Επιφανειακή πηγή	Ημισφαιρικό	74,17	70,07	65,57	64,17	59,97	57,77	51,97	56,07

▼**M2**

Προσάρτημα Θ

Βάση δεδομένων για πηγές αεροπορικού θορύβου

Στο παρόν προσάρτημα παρατίθεται βάση δεδομένων για τις περισσότερες από τις υφιστάμενες πηγές αεροπορικού θορύβου, η οποία χρησιμοποιείται για τον υπολογισμό του αεροπορικού θορύβου, σύμφωνα με τη μέθοδο που περιγράφεται στο σημείο «2.6 Αεροπορικός θόρυβος».

Πίνακας Θ-1

Αεροδυναμικοί συντελεστές

ACFT_ID	OP_TYPE	FLAP_ID	B (ft/lb)	C (kt/√lb)	D (kt/√lb)	R
1900D	A	35-A			0,915858	0,130495
1900D	A	A_40D			0,416345	0,140491
1900D	A	ZERO-A				0,106643
1900D	D	17-D	0,060076	0,858496		0,072968
1900D	D	ZERO-D				0,094383
707320	A	D-25			0,307537	0,107756
707320	A	D-40			0,279116	0,134567
707320	A	D-50			0,275511	0,15472
707320	A	U-25				0,098219
707320	D	14	0,004514	0,312431		0,089316
707320	D	INT				0,072743
707320	D	ZERO				0,05617
707QN	A	D-25			0,307537	0,107756
707QN	A	D-40			0,279116	0,134567
707QN	A	D-50			0,275511	0,15472
707QN	A	U-25				0,098219
707QN	D	14	0,004514	0,312431		0,089316
707QN	D	INT				0,072743
707QN	D	ZERO				0,05617
717200	A	A_0U				0,06456
717200	A	A_13D				0,109249

▼**M2**

ACFT_ID	OP_TYPE	FLAP_ID	B (ft/lb)	C (kt/√lb)	D (kt/√lb)	R
717200	A	A_13U				0,095353
717200	A	A_18D				0,11009
717200	A	A_18U				0,095015
717200	A	A_40D			0,416345	0,140491
717200	D	T_00B				0,06
717200	D	T_00C				0,06
717200	D	T_05H	0,011607	0,483254		0,075
717200	D	T_05M	0,011795	0,489068		0,075
717200	D	T_13A	0,010862	0,469923		0,078
720B	A	D-30			0,350247	0,109478
720B	A	D-50			0,339412	0,148843
720B	A	U-30				0,09805
720B	D	20	0,00573	0,356426		0,091933
720B	D	30	0,005238	0,340735		0,104243
720B	D	INT				0,074052
720B	D	ZERO				0,05617
727100	A	D-25			0,350485	0,128359
727100	A	D-30			0,343897	0,145903
727100	A	D-40			0,335992	0,186604
727100	A	U-15				0,090698
727100	A	U-25				0,113154
727100	D	2				0,0857
727100	D	5	0,008692	0,415048		0,088916
727100	D	15	0,008301	0,392649		0,095459
727100	D	25	0,007389	0,371567		0,115623
727100	D	ZERO				0,0636

▼**M2**

ACFT_ID	OP_TYPE	FLAP_ID	B (ft/lb)	C (kt/√lb)	D (kt/√lb)	R
727D15	A	D-25			0,383689	0,109535
727D15	A	D-30			0,368	0,1437
727D15	A	D-40			0,36	0,1844
727D15	A	U-15				0,089969
727D15	A	U-25				0,109535
727D15	D	2				0,0857
727D15	D	5	0,00924	0,409		0,0869
727D15	D	15	0,00826	0,388		0,0929
727D15	D	20	0,007712	0,376653		0,108897
727D15	D	25	0,00763	0,367		0,1112
727D15	D	ZERO				0,0594
727D17	A	D-25			0,383689	0,124821
727D17	A	D-30			0,368	0,1437
727D17	A	D-40			0,36	0,1844
727D17	A	U-15				0,089969
727D17	A	U-25				0,109535
727D17	D	2				0,0857
727D17	D	5	0,00924	0,409		0,0869
727D17	D	15	0,00826	0,388		0,0929
727D17	D	20	0,007712	0,376653		0,108897
727D17	D	25	0,00763	0,367		0,1112
727D17	D	ZERO				0,0594
727EM1	A	D-25			0,350485	0,128359
727EM1	A	D-30			0,343897	0,145903
727EM1	A	D-40			0,335992	0,186604
727EM1	A	U-15				0,090698

▼**M2**

ACFT_ID	OP_TYPE	FLAP_ID	B (ft/lb)	C (kt/√lb)	D (kt/√lb)	R
727EM1	A	U-25				0,113154
727EM1	D	2				0,0857
727EM1	D	5	0,008692	0,415048		0,088916
727EM1	D	15	0,008301	0,392649		0,095459
727EM1	D	25	0,007389	0,371567		0,115623
727EM1	D	ZERO				0,0636
727EM2	A	D-25			0,383689	0,109535
727EM2	A	D-30			0,368	0,1437
727EM2	A	D-40			0,36	0,1844
727EM2	A	U-15				0,089969
727EM2	A	U-25				0,109535
727EM2	D	2				0,0857
727EM2	D	5	0,00924	0,409		0,0869
727EM2	D	15	0,00826	0,388		0,0929
727EM2	D	20	0,007712	0,376653		0,108897
727EM2	D	25	0,00763	0,367		0,1112
727EM2	D	ZERO				0,0594
727Q15	A	D-25			0,383689	0,109535
727Q15	A	D-30			0,368	0,1437
727Q15	A	D-40			0,36	0,1844
727Q15	A	U-15				0,089969
727Q15	A	U-25				0,109535
727Q15	D	2				0,0857
727Q15	D	5	0,00924	0,409		0,0869
727Q15	D	15	0,00826	0,388		0,0929
727Q15	D	20	0,007712	0,376653		0,108897

▼**M2**

ACFT_ID	OP_TYPE	FLAP_ID	B (ft/lb)	C (kt/√lb)	D (kt/√lb)	R
727Q15	D	25	0,00763	0,367		0,1112
727Q15	D	ZERO				0,0594
727Q7	A	D-25			0,350485	0,128359
727Q7	A	D-30			0,343897	0,145903
727Q7	A	D-40			0,335992	0,186604
727Q7	A	U-15				0,090698
727Q7	A	U-25				0,113154
727Q7	D	2				0,0857
727Q7	D	5	0,008692	0,415048		0,088916
727Q7	D	15	0,008301	0,392649		0,095459
727Q7	D	25	0,007389	0,371567		0,115623
727Q7	D	ZERO				0,0636
727Q9	A	D-25			0,372885	0,124565
727Q9	A	D-30			0,367614	0,142606
727Q9	A	D-40			0,359182	0,184273
727Q9	A	U-15				0,090523
727Q9	A	U-25				0,109315
727Q9	D	2				0,0857
727Q9	D	5	0,00924	0,409		0,0869
727Q9	D	15	0,00826	0,388		0,0929
727Q9	D	20	0,007712	0,376653		0,108897
727Q9	D	25	0,00763	0,367		0,1112
727Q9	D	ZERO				0,0594
727QF	A	D-15				0,1182
727QF	A	D-25				0,1359
727QF	A	D-30			0,3658	0,1602

▼**M2**

ACFT_ID	OP_TYPE	FLAP_ID	B (ft/lb)	C (kt/√lb)	D (kt/√lb)	R
727QF	A	D-40			0,3568	0,2003
727QF	A	U-05				0,08709
727QF	A	U-15				0,09676
727QF	A	U-25				0,1201
727QF	A	U-ZERO				0,06027
727QF	D	2				0,081
727QF	D	5	0,00849	0,4242		0,0921
727QF	D	15	0,007525	0,412		0,1005
727QF	D	25	0,0069	0,3885		0,1222
727QF	D	ZERO				0,06599
737	A	D-25			0,452885	0,113106
737	A	D-30			0,442783	0,124898
737	A	D-40			0,432682	0,155057
737	A	U-15				0,088617
737	A	U-25				0,097687
737	D	5	0,011593	0,475473		0,085235
737	D	10	0,010935	0,457438		0,093192
737	D	25	0,010293	0,436124		0,109993
737	D	INT				0,07477
737	D	ZERO				0,0643
737300	A	D-15			0,4639	0,1103
737300	A	D-30			0,434	0,1247
737300	A	D-40			0,4215	0,1471
737300	D	1	0,0126	0,4958		0,069
737300	D	5	0,0116	0,477215		0,0742
737300	D	15	0,0111	0,4572		0,0872
737300	D	ZERO				0,062

▼**M2**

ACFT_ID	OP_TYPE	FLAP_ID	B (ft/lb)	C (kt/√lb)	D (kt/√lb)	R
7373B2	A	D-15			0,4639	0,1103
7373B2	A	D-30			0,434	0,1247
7373B2	A	D-40			0,4215	0,1471
7373B2	D	1	0,0124	0,4958		0,0761
7373B2	D	5	0,011511	0,477758		0,0794
7373B2	D	15	0,011	0,4575		0,0872
7373B2	D	T_01				0,067
7373B2	D	T_05				0,074679
7373B2	D	ZERO				0,062
737400	A	D-15			0,4779	0,1079
737400	A	D-30			0,4338	0,1251
737400	A	D-40			0,423	0,151
737400	D	1				0,0713
737400	D	5	0,0117	0,4834		0,0798
737400	D	15	0,0109	0,4596		0,0924
737400	D	ZERO				0,0628
737500	A	D-15			0,4538	0,1084
737500	A	D-30			0,4281	0,1253
737500	A	D-40			0,4166	0,151
737500	D	1				0,0712
737500	D	5	0,01138	0,474697		0,0803
737500	D	15	0,0109	0,4541		0,0925
737500	D	ZERO				0,061
737700	A	A_15			0,4122	0,1048
737700	A	A_30			0,3986	0,1194
737700	A	A_40			0,3907	0,1434
737700	D	T_00H				0,063

▼**M2**

ACFT_ID	OP_TYPE	FLAP_ID	B (ft/lb)	C (kt/√lb)	D (kt/√lb)	R
737700	D	T_01	0,0097	0,4329		0,062
737700	D	T_05A				0,07
737700	D	T_10	0,0089	0,4112		0,0858
737700	D	T_15	0,0087	0,406		0,0889
737700	D	T_25	0,0086	0,4021		0,0932
737700	D	T_5	0,0093	0,4251		0,0749
737700	D	T_ZERO				0,0552
737800	D	T_00				0,05625
737800	D	T_01				0,06253
737800	D	T_05	0,009633	0,435043		0,0737
737D17	A	D-25			0,451848	0,113169
737D17	A	D-30			0,443779	0,125252
737D17	A	D-40			0,434096	0,156502
737D17	A	U-15				0,106085
737D17	A	U-25				0,097127
737D17	D	5	0,011677	0,473007		0,087424
737D17	D	10	0,010956	0,456114		0,096364
737D17	D	25	0,010406	0,436124		0,10878
737D17	D	INT				0,07586
737D17	D	ZERO				0,0643
737N17	A	D-25			0,451848	0,113169
737N17	A	D-30			0,443779	0,125252
737N17	A	D-40			0,434096	0,156502
737N17	A	U-15				0,106085
737N17	A	U-25				0,097127

▼**M2**

ACFT_ID	OP_TYPE	FLAP_ID	B (ft/lb)	C (kt/√lb)	D (kt/√lb)	R
737N17	D	5	0,011677	0,473007		0,087424
737N17	D	10	0,010956	0,456114		0,096364
737N17	D	25	0,010406	0,436124		0,10878
737N17	D	INT				0,07586
737N17	D	ZERO				0,0643
737N9	A	D-25			0,452885	0,113106
737N9	A	D-30			0,442783	0,124898
737N9	A	D-40			0,432682	0,155057
737N9	A	U-15				0,088617
737N9	A	U-25				0,097687
737N9	D	5	0,011593	0,475473		0,085235
737N9	D	10	0,010935	0,457438		0,093192
737N9	D	25	0,010293	0,436124		0,109993
737N9	D	INT				0,07477
737N9	D	ZERO				0,0643
737QN	A	D-25			0,452885	0,113106
737QN	A	D-30			0,442783	0,124898
737QN	A	D-40			0,432682	0,155057
737QN	A	U-15				0,088617
737QN	A	U-25				0,097687
737QN	D	5	0,011593	0,475473		0,085235
737QN	D	10	0,010935	0,457438		0,093192
737QN	D	25	0,010293	0,436124		0,109993
737QN	D	INT				0,07477
737QN	D	ZERO				0,0643
74710Q	A	D-20			0,217555	0,109467
74710Q	A	D-25			0,210537	0,116953

▼**M2**

ACFT_ID	OP_TYPE	FLAP_ID	B (ft/lb)	C (kt/√lb)	D (kt/√lb)	R
74710Q	A	D-30			0,202116	0,142564
74710Q	A	U-20				0,091737
74710Q	D	5				0,07456
74710Q	D	10	0,002333	0,212212		0,092196
74710Q	D	20	0,002187	0,202456		0,099504
74710Q	D	ZERO				0,05693
747200	A	D-20			0,217555	0,109467
747200	A	D-25			0,210537	0,116953
747200	A	D-30			0,202116	0,142564
747200	A	U-20				0,091737
747200	D	5				0,074042
747200	D	10	0,00235	0,211659		0,091154
747200	D	20	0,002207	0,203133		0,098616
747200	D	ZERO				0,05693
74720A	A	D-25			0,2105	0,118
74720A	A	D-30			0,2017	0,1438
74720A	D	5				0,0722
74720A	D	10	0,00234	0,2115		0,08917
74720A	D	20	0,002186	0,2029		0,09728
74720A	D	ZERO				0,05524
74720B	A	D-25			0,2113	0,1207
74720B	A	D-30			0,2016	0,1444
74720B	D	5				0,07276
74720B	D	10	0,002351	0,213		0,0886
74720B	D	20	0,002196	0,2045		0,09867
74720B	D	ZERO				0,05693

▼**M2**

ACFT_ID	OP_TYPE	FLAP_ID	B (ft/lb)	C (kt/√lb)	D (kt/√lb)	R
747400	A	D-25			0,2143	0,1171
747400	A	D-30			0,2064	0,141
747400	D	5				0,069
747400	D	10	0,002104	0,21338		0,0823
747400	D	20	0,0021	0,2062		0,0916
747400	D	T_00H				0,053
747400	D	T_01				0,057691
747400	D	T_05				0,071
747400	D	T_05C				0,057569
747400	D	T_10	0,002101	0,207131		0,110782
747400	D	T_10H				0,1
747400	D	ZERO		0,3111		0,0508
7478	A	F_20			0,192660	0,128462
7478	A	F_30			0,189605	0,143406
7478	D	F_0				0,052717
7478	D	F_1				0,064841
7478	D	F_10	0,002000	0,204760		0,083321
7478	D	F_5				0,073443
747SP	A	D-20			0,216415	0,110347
747SP	A	D-25			0,209991	0,116897
747SP	A	D-30			0,202497	0,143096
747SP	A	U-20				0,092569
747SP	D	5				0,076123
747SP	D	10	0,002357	0,210572		0,095316
747SP	D	20	0,002179	0,201901		0,103296
747SP	D	ZERO				0,05693
757300	D	T_00				0,05554

▼**M2**

ACFT_ID	OP_TYPE	FLAP_ID	B (ft/lb)	C (kt/√lb)	D (kt/√lb)	R
757300	D	T_01				0,05943
757300	D	T_05	0,006931	0,38754		0,07993
757PW	A	D-25			0,3234	0,1186
757PW	A	D-30			0,3179	0,1342
757PW	D	5	0,006243	0,360271		0,0722
757PW	D	15	0,00611	0,3454		0,0782
757PW	D	20	0,00573	0,33		0,0864
757PW	D	T_00				0,055346
757PW	D	T_01				0,0609
757PW	D	T_05		0,360271		0,0682
757PW	D	ZERO		0,4699		0,0548
757RR	A	D-25			0,3238	0,1178
757RR	A	D-30			0,3191	0,1337
757RR	D	5	0,006319	0,36165		0,07
757RR	D	15	0,00614	0,3454		0,0758
757RR	D	20	0,0057	0,33		0,0847
757RR	D	INT				0,0621
757RR	D	T_00				0,0525
757RR	D	T_01				0,058316
757RR	D	T_05				0,0635
757RR	D	ZERO		0,4699		0,0541
767300	A	D-25			0,2627	0,121
767300	A	D-30			0,2555	0,1329
767300	D	5	0,00409	0,297		0,075
767300	D	15	0,00381	0,2853		0,0824
767300	D	20	0,00367	0,2788		0,0866
767300	D	INT				0,0641

▼**M2**

ACFT_ID	OP_TYPE	FLAP_ID	B (ft/lb)	C (kt/√lb)	D (kt/√lb)	R
767300	D	ZERO				0,0531
767400	A	L_25_D			0,2601	0,1156
767400	A	L_30_D			0,2536	0,1265
767400	D	T_00_U				0,0492
767400	D	T_05_U	0,0043	0,2972		0,0674
767400	D	T_05A				0,055
767400	D	T_05B				0,06
767400	D	T_15_U	0,0041	0,2876		0,0736
767400	D	T_20_U	0,003624	0,2775		0,0794
767CF6	A	D-25			0,29009	0,1075
767CF6	A	D-30			0,28096	0,1232
767CF6	D	1	0,00557	0,31625		0,0646
767CF6	D	5	0,0053	0,30576		0,0685
767CF6	D	15	0,00504	0,29249		0,074
767CF6	D	20	0,0049	0,28496		0,0779
767CF6	D	ZERO				0,0489
767JT9	A	D-25			0,29009	0,1085
767JT9	A	D-30			0,28096	0,1258
767JT9	D	1	0,00504	0,31625		0,0658
767JT9	D	5	0,00472	0,30576		0,0705
767JT9	D	15	0,00436	0,29249		0,0756
767JT9	D	20	0,00417	0,28496		0,0802
767JT9	D	ZERO				0,052
777200	A	D20			0,2204	0,09765
777200	A	D25			0,2133	0,1158
777200	A	D30			0,203	0,133
777200	D	15	0,002867	0,2299		0,07432

▼**M2**

ACFT_ID	OP_TYPE	FLAP_ID	B (ft/lb)	C (kt/√lb)	D (kt/√lb)	R
777200	D	20	0,002751	0,2239		0,08186
777200	D	T_00		0,3218		0,05065
777200	D	T_00H				0,052
777200	D	T_00L				0,048
777200	D	T_01		0,2921		0,05555
777200	D	T_01H				0,06
777200	D	T_05	0,002475	0,239429		0,06898
777200	D	T_05A				0,063456
777200	D	T_05C				0,092
777200	D	T_05CH				0,085
777300	A	L_25_D			0,2156	0,116
777300	A	L_30_D			0,2071	0,1322
777300	D	T_00_U				0,0504
777300	D	T_05_U	0,0031	0,2586		0,0645
777300	D	T_15_U	0,0028	0,2454		0,0704
777300	D	T_20_U	0,0027	0,2363		0,0783
7773ER	A	F_20			0,225340	0,104970
7773ER	A	F_30			0,209490	0,134910
7773ER	D	FLAP_0				0,050171
7773ER	D	FLAP_1				0,054934
7773ER	D	FLAP_5	0,002710	0,240000		0,066100
7878R	A	F_00			0,393870	0,045060
7878R	A	F_01			0,329760	0,047700
7878R	A	F_05			0,288410	0,067150
7878R	A	FLAP20			0,260280	0,088050
7878R	A	FLAP30			0,246840	0,105000
7878R	D	FLAP_0				0,050055

▼**M2**

ACFT_ID	OP_TYPE	FLAP_ID	B (ft/lb)	C (kt/√lb)	D (kt/√lb)	R
7878R	D	FLAP_1				0,052026
7878R	D	FLAP_5	0,002949	0,256410		0,071636
A300-622R	A	1				0,071539
A300-622R	A	2_D				0,094763
A300-622R	A	2_U				0,072592
A300-622R	A	3_D			0,274926	0,102372
A300-622R	A	FULL_D			0,253296	0,125036
A300-622R	A	ZERO				0,052053
A300-622R	D	0				0,053127
A300-622R	D	1500	0,004121	0,292		0,072348
A300B4-203	A	D-15			0,28237	0,10607
A300B4-203	A	D-25			0,27151	0,125568
A300B4-203	D	1	0,005307	0,324359		0,090223
A300B4-203	D	8	0,004239	0,291059		0,093067
A300B4-203	D	15	0,00402	0,278999		0,102935
A300B4-203	D	ZERO				0,063491
A310-304	A	1				0,068197
A310-304	A	2_D				0,096731
A310-304	A	2_U				0,072778
A310-304	A	3_D			0,274926	0,106084
A310-304	A	FULL_D			0,253296	0,129438
A310-304	A	ZERO				0,054935
A310-304	D	0				0,055191
A310-304	D	1500	0,004875	0,313705		0,072016
A319-131	A	1_A				0,06317
A319-131	A	2_D				0,098119
A319-131	A	2_U				0,071826

▼**M2**

ACFT_ID	OP_TYPE	FLAP_ID	B (ft/lb)	C (kt/√lb)	D (kt/√lb)	R
A319-131	A	3_D			0,379931	0,098121
A319-131	A	FULL_D			0,355927	0,124534
A319-131	A	ZERO_A				0,056446
A319-131	D	1				0,071598
A319-131	D	1+F	0,007077	0,376764		0,072635
A319-131	D	ZERO				0,05429
A320-211	A	1_A				0,061662
A320-211	A	2_D				0,096267
A320-211	A	2_U				0,067463
A320-211	A	3_D			0,385223	0,101204
A320-211	A	FULL_D			0,37052	0,11586
A320-211	A	ZERO_A				0,057558
A320-211	D	1				0,066827
A320-211	D	1+F	0,007701	0,394884		0,071403
A320-211	D	ZERO				0,056281
A320-232	A	1_A				0,059086
A320-232	A	2_D				0,095899
A320-232	A	2_U				0,06679
A320-232	A	3_D			0,379853	0,100263
A320-232	A	FULL_D			0,369833	0,121141
A320-232	A	ZERO_A				0,054309
A320-232	D	1				0,065822
A320-232	D	1+F	0,007626	0,395674		0,069873
A320-232	D	ZERO				0,05332
A321-232	A	1_A				0,064258
A321-232	A	2_D				0,101798

▼**M2**

ACFT_ID	OP_TYPE	FLAP_ID	B (ft/lb)	C (kt/√lb)	D (kt/√lb)	R
A321-232	A	2_U				0,074849
A321-232	A	3_D			0,368096	0,112676
A321-232	A	FULL_D			0,357761	0,119073
A321-232	A	ZERO_A				0,057183
A321-232	D	1				0,071631
A321-232	D	1+F	0,007524	0,390238		0,075946
A321-232	D	ZERO				0,056647
A330-301	A	1_A				0,057783
A330-301	A	2_D				0,081654
A330-301	A	2_U				0,064098
A330-301	A	3_D			0,229065	0,092737
A330-301	A	FULL_D			0,222802	0,100779
A330-301	A	ZERO_A				0,047685
A330-301	D	1				0,059866
A330-301	D	1+F	0,002905	0,247076		0,061736
A330-301	D	ZERO				0,046057
A330-343	A	1_A				0,055464
A330-343	A	2_D				0,083569
A330-343	A	2_U				0,063042
A330-343	A	3_D			0,229705	0,092555
A330-343	A	FULL_D			0,222498	0,10202
A330-343	A	ZERO_A				0,046224
A330-343	D	1				0,05926
A330-343	D	1+F	0,0029	0,245211		0,062365
A330-343	D	ZERO				0,044593
A340-211	A	1_A				0,063657

▼**M2**

ACFT_ID	OP_TYPE	FLAP_ID	B (ft/lb)	C (kt/√lb)	D (kt/√lb)	R
A340-211	A	2_D				0,092945
A340-211	A	2_U				0,071673
A340-211	A	3_D			0,224603	0,101734
A340-211	A	FULL_D			0,220432	0,108554
A340-211	A	ZERO_A				0,051221
A340-211	D	1				0,068547
A340-211	D	1+F	0,002605	0,223635		0,073134
A340-211	D	ZERO				0,048646
A340-642	A	1_A				0,054416
A340-642	A	2_D				0,087508
A340-642	A	2_U				0,067996
A340-642	A	3_D			0,213821	0,100473
A340-642	A	FULL_D			0,20733	0,105616
A340-642	A	ZERO_A				0,051608
A340-642	D	1				0,06118
A340-642	D	1+F	0,002423	0,225716		0,06743
A340-642	D	ZERO				0,051433
A380-841	A	A_1+F				0,055657
A380-841	A	A_2_D				0,081906
A380-841	A	A_2_U				0,064109
A380-841	A	A_3_D			0,154745	0,101662
A380-841	A	A_FULL			0,154745	0,107331
A380-841	A	ZERO_A				0,050279
A380-841	D	D_1				0,053173
A380-841	D	D_1+F	0,00125	0,159626		0,068055
A380-841	D	ZERO				0,050472

▼**M2**

ACFT_ID	OP_TYPE	FLAP_ID	B (ft/lb)	C (kt/√lb)	D (kt/√lb)	R
A380-861	A	A_1+F				0,058557
A380-861	A	A_2_D				0,081967
A380-861	A	A_2_U				0,06558
A380-861	A	A_3_D			0,154745	0,101738
A380-861	A	A_FULL			0,154745	0,108118
A380-861	A	ZERO_A				0,048776
A380-861	D	D_1				0,053241
A380-861	D	D_1+F	0,00125	0,159567		0,070602
A380-861	D	ZERO				0,049623
BAC111	A	D-45			0,49076	0,139207
BAC111	A	U-INT				0,106398
BAC111	D	8	0,01569	0,54382		0,082179
BAC111	D	INT1				0,07359
BAC111	D	ZERO				0,065
BAE146	A	D-18			0,61667	0,119715
BAE146	A	D-24			0,61667	0,138371
BAE146	A	D-33			0,45555	0,153186
BAE146	A	U-18				0,0818
BAE146	A	U-24				0,095298
BAE146	D	18	0,009678	0,49296		0,13241
BAE146	D	24	0,008979	0,45846		0,1412
BAE146	D	30	0,008173	0,43179		0,15287
BAE146	D	ZERO				0,083096
BAE300	A	D-18			0,60557	0,116925
BAE300	A	D-24			0,60557	0,134808
BAE300	A	D-33			0,4511	0,149009

▼**M2**

ACFT_ID	OP_TYPE	FLAP_ID	B (ft/lb)	C (kt/√lb)	D (kt/√lb)	R
BAE300	A	U-18				0,08058
BAE300	A	U-24				0,093519
BAE300	D	18	0,009449	0,49847		0,1279
BAE300	D	24	0,008341	0,462		0,1352
BAE300	D	30	0,00775	0,43351		0,14711
BAE300	D	ZERO				0,081866
BEC58P	A	D-15				0,14885
BEC58P	A	D-30			1,33492	0,16
BEC58P	D	TO	0,100258	1,28098		0,1377
BEC58P	D	ZERO				0,125381
CIT3	A	D-40			0,966375	0,147159
CIT3	A	D-INTR				0,130842
CIT3	D	10				0,092263
CIT3	D	20	0,04284	0,947523		0,114525
CIT3	D	ZERO				0,07
CL600	A	D-45			0,766248	0,169002
CL600	A	D-INTR				0,128747
CL600	D	10				0,079246
CL600	D	20	0,028225	0,780719		0,088492
CL600	D	ZERO				0,07
CL601	A	D-45			0,769487	0,163669
CL601	A	D-INTR				0,122639
CL601	D	10				0,075805
CL601	D	20	0,032183	0,780565		0,081609
CL601	D	ZERO				0,07
CNA172	A	10-D			1,3132	0,0994

▼**M2**

ACFT_ID	OP_TYPE	FLAP_ID	B (ft/lb)	C (kt/√lb)	D (kt/√lb)	R
CNA172	A	30-D			1,2526	0,1516
CNA172	A	ZERO-D				0,096
CNA172	D	10-C	0,0992	1,0304		0,1446
CNA172	D	CRUISE				0,096
CNA172	D	ZERO-C	0,1025	1,1112		0,0831
CNA182	A	F10APP				0,122
CNA182	A	F30APP			1,285	0,151
CNA182	D	F-20D	0,058	1,204		0,17
CNA182	D	ZERO				0,127
CNA182	D	ZERO-A				0,127
CNA182	D	ZERO-C				0,097
CNA182	D	ZERO-T				0,103
CNA206	A	10_D				0,105632
CNA206	A	40_D			1,23852	0,169084
CNA206	D	20_T	0,055005	1,02562		0,136998
CNA206	D	ZERO_C				0,09563
CNA206	D	ZERO_T	0,055005	1,02562		0,106327
CNA208	A	F30APP			0,867722	0,099468
CNA208	A	ZERO-A				0,089802
CNA208	D	F-20D	0,033202	0,74833		0,105087
CNA208	D	ZERO	0,05003	0,887307		0,089802
CNA208	D	ZERO-C				0,087252
CNA208	D	ZERO-T				0,060282
CNA20T	A	10_D				0,109615
CNA20T	A	40_D			1,32574	0,211577
CNA20T	D	20_T	0,054669	1,045287		0,13795

▼**M2**

ACFT_ID	OP_TYPE	FLAP_ID	B (ft/lb)	C (kt/√lb)	D (kt/√lb)	R
CNA20T	D	ZERO_C				0,101535
CNA20T	D	ZERO_T	0,054669	0,959417		0,099791
CNA441	A	D-INTR				0,141579
CNA441	A	D-L			1,02329	0,162936
CNA441	D	TO	0,072722	1,10834		0,120222
CNA441	D	ZERO				0,096518
CNA500	A	D-35			0,991547	0,147335
CNA500	A	D-INTR				0,113809
CNA500	D	1				0,080282
CNA500	D	12	0,054342	0,956752		0,090564
CNA500	D	ZERO				0,07
CNA510	A	A_15			1,073624	0,088506
CNA510	A	A_35			1,002913	0,126185
CNA510	D	D_15	0,07051	1,179843		0,097415
CNA510	D	ZERO_C				0,088914
CNA510	D	ZERO_D	0,090811	1,347624		0,103158
CNA525C	A	A_15			1,012614	0,106795
CNA525C	A	A_35			0,946574	0,126615
CNA525C	D	D-15	0,053355	0,993147		0,096525
CNA525C	D	ZERO_C				0,085
CNA525C	D	ZERO_D	0,061279	1,065348		0,09129
CNA55B	A	A_15			1,01427	0,118086
CNA55B	A	A_35			0,9553	0,200794
CNA55B	D	D_15	0,05628	1,080923		0,128052
CNA55B	D	ZERO_C				0,10833
CNA55B	D	ZERO_D	0,063189	1,159835		0,119835

▼**M2**

ACFT_ID	OP_TYPE	FLAP_ID	B (ft/lb)	C (kt/√lb)	D (kt/√lb)	R
CNA560E	D	15	0,054336	1,014289		0,122203
CNA560E	A	15 U			0,919106	0,099403
CNA560E	A	35 D			0,870372	0,130841
CNA560E	D	7	0,059522	1,061591		0,11951
CNA560E	D	ZERO				0,122635
CNA560U	D	15	0,038136	1,069934		0,13523
CNA560U	D	7	0,041179	1,10518		0,12699
CNA560U	A	7_APP				0,12699
CNA560U	A	D 15			0,86464	0,088125
CNA560U	A	D 35			0,811918	0,132402
CNA560U	D	ZERO				0,07
CNA560XL	D	15	0,030657	1,045811		0,13852
CNA560XL	D	7	0,035712	1,095308		0,13505
CNA560XL	A	D 15U			0,91189	0,08555
CNA560XL	A	D 35D			0,86179	0,126192
CNA560XL	D	ZERO				0,074551
CNA680	D	15	0,027468	0,725152		0,127804
CNA680	A	15 GU			0,717794	0,093247
CNA680	A	35 GD			0,662727	0,146827
CNA680	D	7	0,030105	0,764412		0,122083
CNA680	D	ZERO				0,105329
CNA750	A	15_GD			0,753068	0,174519
CNA750	A	15_GU			0,753068	0,146147
CNA750	A	35_GD			0,714646	0,250382
CNA750	A	5_GU			0,799175	0,118139
CNA750	D	5	0,038446	0,82511		0,122657
CNA750	D	15	0,034761	0,787004		0,12822

▼**M2**

ACFT_ID	OP_TYPE	FLAP_ID	B (ft/lb)	C (kt/√lb)	D (kt/√lb)	R
CNA750	D	ZERO				0,096475
CONCRD	A	D-L			0,349148	0,205927
CONCRD	A	U-L				0,183067
CONCRD	D	CL1				0,13294
CONCRD	D	TO	0,008051	0,338363		0,13294
CONCRD	D	ZERO				0,13294
CRJ9-ER	A	20				0,0976
CRJ9-ER	A	D-45			0,5801	0,1551
CRJ9-ER	A	U-45				0,1504
CRJ9-ER	A	ZERO				0,0655
CRJ9-ER	D	0-204				0,0599
CRJ9-ER	D	0-250				0,0641
CRJ9-ER	D	D-8	0,0177	0,5902		0,0978
CRJ9-ER	D	U-8				0,0775
CRJ9-LR	A	20				0,0976
CRJ9-LR	A	D-45			0,5801	0,1551
CRJ9-LR	A	U-45				0,1504
CRJ9-LR	A	ZERO				0,0655
CRJ9-LR	D	0-204				0,0599
CRJ9-LR	D	0-250				0,0641
CRJ9-LR	D	D-8	0,0177	0,5902		0,0978
CRJ9-LR	D	U-8				0,0775
CVR580	A	D-28			0,51972	0,118937
CVR580	A	D-40			0,49138	0,124222
CVR580	D	10	0,028303	0,540116		0,130717
CVR580	D	INTR				0,102858

▼**M2**

ACFT_ID	OP_TYPE	FLAP_ID	B (ft/lb)	C (kt/√lb)	D (kt/√lb)	R
CVR580	D	ZERO				0,075
DC1010	A	D-35			0,251236	0,132645
DC1010	A	D-50			0,244243	0,164729
DC1010	A	U-35				0,127457
DC1010	A	U-50				0,161155
DC1010	D	5				0,079893
DC1010	D	10	0,00356	0,261942		0,101376
DC1010	D	INT				0,068522
DC1010	D	ZERO				0,057149
DC1030	A	D-35			0,2534	0,13
DC1030	A	U-20				0,104
DC1030	D	20	0,003091	0,2434		0,104
DC1030	D	INT1				0,09454
DC1030	D	INT2				0,07307
DC1030	D	ZERO				0,06519
DC1040	A	D-35			0,254879	0,121114
DC1040	A	D-50			0,247241	0,151007
DC1040	A	U-35				0,114222
DC1040	A	U-50				0,145481
DC1040	D	5				0,082503
DC1040	D	15	0,004009	0,272697		0,111044
DC1040	D	INT				0,071264
DC1040	D	ZERO				0,060025
DC3	A	D-45			0,597793	0,155222
DC3	A	U-INT				0,133361
DC3	D	TO	0,019837	0,619256		0,123784

▼**M2**

ACFT_ID	OP_TYPE	FLAP_ID	B (ft/lb)	C (kt/√lb)	D (kt/√lb)	R
DC3	D	ZERO				0,1115
DC6	A	D-INTR				0,10199
DC6	A	D-L			0,294594	0,125979
DC6	D	TO	0,007829	0,430006		0,08204
DC6	D	ZERO				0,078
DC850	A	D-35			0,328558	0,129965
DC850	A	D-50			0,313281	0,149354
DC850	A	U-35				0,126751
DC850	A	U-50				0,145337
DC850	D	15	0,005206	0,323443		0,090417
DC850	D	25	0,004708	0,315832		0,103092
DC850	D	INT				0,074401
DC850	D	ZERO				0,058535
DC860	A	D-35			0,312879	0,117758
DC860	A	D-50			0,304526	0,130913
DC860	A	U-35				0,115049
DC860	A	U-50				0,12766
DC860	D	12	0,004899	0,320082		0,090214
DC860	D	23	0,004572	0,304797		0,095953
DC860	D	INT				0,071703
DC860	D	ZERO				0,05319
DC870	A	D-35			0,312879	0,117758

▼**M2**

ACFT_ID	OP_TYPE	FLAP_ID	B (ft/lb)	C (kt/√lb)	D (kt/√lb)	R
DC870	A	D-50			0,304526	0,130913
DC870	A	U-35				0,115049
DC870	A	U-50				0,12766
DC870	D	12	0,004899	0,320082		0,090214
DC870	D	23	0,004572	0,304797		0,095953
DC870	D	INT				0,071703
DC870	D	ZERO				0,05319
DC8QN	A	D-35			0,312879	0,117758
DC8QN	A	D-50			0,304526	0,130913
DC8QN	A	U-35				0,115049
DC8QN	A	U-50				0,12766
DC8QN	D	12	0,004899	0,320082		0,090214
DC8QN	D	23	0,004572	0,304797		0,095953
DC8QN	D	INT				0,071703
DC8QN	D	ZERO				0,05319
DC910	A	D-35			0,480101	0,134177
DC910	A	D-50			0,445486	0,157948
DC910	A	U-15				0,087963
DC910	A	U-35				0,130625
DC910	A	U-50				0,153365
DC910	D	5	0,012996	0,49557		0,07757
DC910	D	15	0,010618	0,477234		0,087963
DC910	D	INT				0,076753
DC910	D	ZERO				0,075935
DC930	A	D-35			0,470211	0,135075
DC930	A	D-50			0,438965	0,165052

▼**M2**

ACFT_ID	OP_TYPE	FLAP_ID	B (ft/lb)	C (kt/√lb)	D (kt/√lb)	R
DC930	A	U-15				0,092489
DC930	A	U-35				0,131559
DC930	A	U-50				0,155925
DC930	D	5	0,012098	0,4899		0,084985
DC930	D	15	0,010507	0,471774		0,092489
DC930	D	INT				0,076701
DC930	D	ZERO				0,068416
DC93LW	A	D-35			0,470211	0,135075
DC93LW	A	D-50			0,438965	0,165052
DC93LW	A	U-15				0,092489
DC93LW	A	U-35				0,131559
DC93LW	A	U-50				0,155925
DC93LW	D	5	0,012098	0,4899		0,084985
DC93LW	D	15	0,010507	0,471774		0,092489
DC93LW	D	INT				0,076701
DC93LW	D	ZERO				0,068416
DC950	A	D-35			0,468147	0,135234
DC950	A	D-50			0,442406	0,160018
DC950	A	U-15				0,092489
DC950	A	U-35				0,131677

▼**M2**

ACFT_ID	OP_TYPE	FLAP_ID	B (ft/lb)	C (kt/√lb)	D (kt/√lb)	R
DC950	A	U-50				0,155399
DC950	D	5	0,012098	0,4899		0,084985
DC950	D	15	0,010507	0,471774		0,092489
DC950	D	INTR				0,076701
DC950	D	ZERO				0,068416
DC95HW	A	D-35			0,468147	0,135234
DC95HW	A	D-50			0,442406	0,160018
DC95HW	A	U-15				0,092489
DC95HW	A	U-35				0,131677
DC95HW	A	U-50				0,155399
DC95HW	D	5	0,012098	0,4899		0,084985
DC95HW	D	15	0,010507	0,471774		0,092489
DC95HW	D	INTR				0,076701
DC95HW	D	ZERO				0,068416
DC9Q7	A	D-35			0,480101	0,134177
DC9Q7	A	D-50			0,445486	0,157948
DC9Q7	A	U-15				0,087963
DC9Q7	A	U-35				0,130625
DC9Q7	A	U-50				0,153365
DC9Q7	D	5	0,012996	0,49557		0,07757
DC9Q7	D	15	0,010618	0,477234		0,087963
DC9Q7	D	INT				0,076753
DC9Q7	D	ZERO				0,075935
DC9Q9	A	D-35			0,470211	0,135075
DC9Q9	A	D-50			0,438965	0,165052
DC9Q9	A	U-15				0,092489
DC9Q9	A	U-35				0,131559
DC9Q9	A	U-50				0,155925

▼**M2**

ACFT_ID	OP_TYPE	FLAP_ID	B (ft/lb)	C (kt/√lb)	D (kt/√lb)	R
DC9Q9	D	5	0,012098	0,4899		0,084985
DC9Q9	D	15	0,010507	0,471774		0,092489
DC9Q9	D	INT				0,076701
DC9Q9	D	ZERO				0,068416
DHC6	A	D-INTR				0,125975
DHC6	A	D-L			0,577068	0,176949
DHC6	D	INTR				0,090222
DHC6	D	TO	0,031032	0,787095		0,105443
DHC6	D	ZERO				0,075
DHC6QP	A	D-INTR				0,125975
DHC6QP	A	D-L			0,577068	0,176949
DHC6QP	D	INTR				0,090222
DHC6QP	D	TO	0,031032	0,787095		0,105443
DHC6QP	D	ZERO				0,075
DHC7	A	D-25			0,51353	0,127688
DHC7	A	D-INTR				0,117133
DHC7	D	10				0,117133
DHC7	D	25	0,009556	0,466702		0,159266
DHC7	D	ZERO				0,075
DHC8	A	D-15			0,54969	0,092335
DHC8	A	D-35			0,50961	0,10086
DHC8	A	D-5			0,60123	0,087745
DHC8	A	U-15				0,080204
DHC8	A	U-5				0,073647
DHC8	D	5	0,017289	0,61342		0,07808

▼**M2**

ACFT_ID	OP_TYPE	FLAP_ID	B (ft/lb)	C (kt/√lb)	D (kt/√lb)	R
DHC8	D	15	0,017361	0,56668		0,08519
DHC8	D	ZERO				0,072424
DHC830	A	D-10			0,62986	0,091024
DHC830	A	D-15			0,60123	0,094958
DHC830	A	D-35			0,55542	0,103483
DHC830	A	U-10				0,079221
DHC830	A	U-15				0,084139
DHC830	D	5	0,017836	0,61764		0,070652
DHC830	D	10	0,015165	0,570532		0,076309
DHC830	D	15	0,014403	0,549595		0,080292
DHC830	D	INT	0,019987	0,659514		0,067572
DHC830	D	ZERO				0,068308
DO228	A	F30APP			0,75885	0,11911
DO228	A	ZERO-A				0,10717
DO228	D	FLAPS1	0,02196	0,80401		0,09042
DO228	D	ZERO	0,02745	0,86388		0,10717
DO228	D	ZERO-C				0,14459
DO228	D	ZERO-T				0,09218
DO328	A	F32APP			0,638	0,0961
DO328	A	ZERO-A				0,0916
DO328	D	F12-D	0,016	0,666		0,0664
DO328	D	ZERO				0,0916
DO328	D	ZERO-C				0,1206
ECLIPSE500	A	A_A_DN			1,273746	0,133462
ECLIPSE500	A	A_T_DN				0,178304
ECLIPSE500	D	TO_DN	0,100203	1,381422		0,105314
ECLIPSE500	D	TO_UP		1,381422		0,086185
ECLIPSE500	D	UP_DN		1,690947		0,103009
ECLIPSE500	D	UP_UP		1,690947		0,073313

▼**M2**

ACFT_ID	OP_TYPE	FLAP_ID	B (ft/lb)	C (kt/√lb)	D (kt/√lb)	R
EMB120	A	D-25			0,837	0,0801
EMB120	A	D-45			0,782	0,1305
EMB120	D	15	0,0297	0,82		0,1014
EMB120	D	ZERO		0,929		0,0834
EMB145	A	D-22			0,6836	0,1291
EMB145	A	D-45			0,6811	0,1809
EMB145	D	9		0,6503		0,0825
EMB145	D	9-GEAR	0,0218	0,6562		0,1048
EMB145	D	ZERO				0,0691
EMB14L	A	D-22			0,6836	0,1291
EMB14L	D	9		0,6503		0,083
EMB14L	D	9-GEAR	0,0212	0,6562		0,083
EMB14L	D	D-45		0,6811		0,1809
EMB14L	D	ZERO				0,0694
EMB170	D	1	0,015720	0,579870		0,076830
EMB170	A	FULL			0,498900	0,145550
EMB170	D	ZERO				0,066180
EMB175	D	1	0,015900	0,578990		0,077300
EMB175	A	FULL			0,498200	0,145800
EMB175	D	ZERO				0,066000
EMB190	D	1	0,012300	0,494610		0,082600
EMB190	A	FULL			0,434400	0,137100
EMB190	D	ZERO				0,066400
EMB195	D	1	0,012200	0,494520		0,083100
EMB195	A	FULL			0,433600	0,137400
EMB195	D	ZERO				0,067400
F10062	A	D-42			0,4731	0,1565
F10062	A	U-INT				0,1124
F10062	D	INT2				0,0904
F10062	D	TO	0,0122	0,5162		0,0683

▼**M2**

ACFT_ID	OP_TYPE	FLAP_ID	B (ft/lb)	C (kt/√lb)	D (kt/√lb)	R
F10062	D	ZERO				0,0683
F10065	A	D-42			0,4731	0,1565
F10065	A	U-INT				0,1129
F10065	D	INT2				0,0911
F10065	D	TO	0,0123	0,521		0,0693
F10065	D	ZERO				0,0693
F28MK2	A	D-42			0,5334	0,1677
F28MK2	A	U-INTR				0,1248
F28MK2	D	6	0,0171	0,6027		0,0793
F28MK2	D	INT2				0,1033
F28MK2	D	ZERO				0,0819
F28MK4	A	D-42			0,5149	0,1619
F28MK4	A	U-INTR				0,1187
F28MK4	D	6	0,01515	0,5731		0,0749
F28MK4	D	INT2				0,0971
F28MK4	D	ZERO				0,0755
FAL20	A	D-25			0,804634	0,117238
FAL20	A	D-40			0,792624	0,136348
FAL20	D	10	0,035696	0,807797		0,098781
FAL20	D	INTR				0,084391
FAL20	D	ZERO				0,07
GII	A	L-0-U				0,0751
GII	A	L-10-U				0,0852
GII	D	L-20-D				0,1138
GII	D	L-39-D		0,5822		0,1742
GII	D	T-0-U				0,0814
GII	D	T-10-U				0,0884

▼**M2**

ACFT_ID	OP_TYPE	FLAP_ID	B (ft/lb)	C (kt/√lb)	D (kt/√lb)	R
GII	D	T-20-D	0,02	0,634		0,1159
GIIB	A	L-0-U				0,0722
GIIB	A	L-10-U				0,0735
GIIB	D	L-20-D				0,1091
GIIB	D	L-39-D		0,562984		0,1509
GIIB	D	T-0-U				0,0738
GIIB	D	T-10-U				0,0729
GIIB	D	T-20-D	0,0162	0,583		0,1063
GIV	A	L-0-U				0,06
GIV	A	L-39-D			0,5805	0,1403
GIV	D	L-20-D				0,1063
GIV	D	T-0-U				0,0586
GIV	D	T-10-U				0,0666
GIV	D	T-20-D	0,0146	0,5798		0,1035
GIV	D	T-20-U				0,0797
GV	A	L-20-D				0,0974
GV	A	L-20-U				0,0749
GV	A	L-39-D			0,4908	0,1328
GV	D	L-0-U				0,0617
GV	D	T-0-U				0,058
GV	D	T-10-U				0,0606
GV	D	T-20-D	0,01178	0,516		0,0953
GV	D	T-20-U				0,0743
HS748A	A	D-30			0,45813	0,13849
HS748A	A	D-INTR				0,106745
HS748A	D	INTR				0,088176

▼**M2**

ACFT_ID	OP_TYPE	FLAP_ID	B (ft/lb)	C (kt/√lb)	D (kt/√lb)	R
HS748A	D	TO	0,012271	0,542574		0,101351
HS748A	D	ZERO				0,075
IA1125	A	D-40			0,967478	0,136393
IA1125	A	D-INTR				0,118618
IA1125	D	12	0,040745	0,963488		0,100843
IA1125	D	INTR				0,085422
IA1125	D	ZERO				0,07
L1011	A	D-33			0,286984	0,137671
L1011	A	D-42			0,256389	0,155717
L1011	D	10	0,004561	0,265314		0,093396
L1011	D	22	0,004759	0,251916		0,105083
L1011	D	INTR				0,07959
L1011	D	ZERO				0,06243
L10115	A	D-33			0,262728	0,140162
L10115	A	D-42			0,256123	0,155644
L10115	D	10	0,004499	0,265314		0,093396
L10115	D	22	0,004695	0,251916		0,105083
L10115	D	INTR				0,07959
L10115	D	ZERO				0,06243
L188	A	D-100			0,436792	0,174786
L188	A	D-78-%			0,456156	0,122326
L188	D	39-%	0,009995	0,420533		0,142992
L188	D	78-%	0,010265	0,404302		0,159974
L188	D	INTR				0,120987
L188	D	ZERO				0,082

▼**M2**

ACFT_ID	OP_TYPE	FLAP_ID	B (ft/lb)	C (kt/√lb)	D (kt/√lb)	R
LEAR25	A	D-40			1,28239	0,176632
LEAR25	A	D-INTR				0,149986
LEAR25	D	10				0,09667
LEAR25	D	20	0,082866	1,27373		0,12334
LEAR25	D	ZERO				0,07
LEAR35	A	D-40			1,08756	0,150688
LEAR35	A	D-INTR				0,129456
LEAR35	D	10				0,089112
LEAR35	D	20	0,043803	1,05985		0,108224
LEAR35	D	ZERO				0,07
MD11GE	D	10	0,003812	0,2648		0,0843
MD11GE	D	15	0,003625	0,2578		0,0891
MD11GE	D	20	0,003509	0,2524		0,0947
MD11GE	D	25	0,003443	0,2481		0,1016
MD11GE	D	0/EXT				0,0692
MD11GE	D	0/RET				0,0551
MD11GE	D	ZERO				0,0551
MD11PW	D	10	0,003829	0,265		0,08425
MD11PW	D	15	0,003675	0,2576		0,08877
MD11PW	D	20	0,003545	0,2526		0,09472
MD11PW	D	25	0,003494	0,2487		0,1018
MD11PW	D	0/EXT				0,0691
MD11PW	D	0/RET				0,05512
MD11PW	D	ZERO				0,05512
MD81	D	11	0,009276	0,4247		0,07719

▼**M2**

ACFT_ID	OP_TYPE	FLAP_ID	B (ft/lb)	C (kt/√lb)	D (kt/√lb)	R
MD81	D	INT1				0,07643
MD81	D	INT2				0,06313
MD81	D	INT3				0,06156
MD81	D	INT4				0,06366
MD81	D	T_15	0,009369	0,420798		0,0857
MD81	D	T_INT				0,0701
MD81	D	T_ZERO				0,061
MD81	D	ZERO				0,06761
MD82	D	11	0,009248	0,4236		0,07969
MD82	D	INT1				0,07625
MD82	D	INT2				0,06337
MD82	D	INT3				0,06196
MD82	D	INT4				0,0634
MD82	D	T_15	0,009267	0,420216		0,086
MD82	D	T_INT				0,065
MD82	D	T_ZERO				0,061
MD82	D	ZERO				0,06643
MD83	D	11	0,009301	0,4227		0,0798
MD83	D	INT1				0,07666
MD83	D	INT2				0,0664
MD83	D	INT3				0,06247
MD83	D	INT4				0,06236
MD83	D	T_15	0,009384	0,420307		0,086
MD83	D	T_INT				0,0664
MD83	D	T_ZERO				0,0611

▼**M2**

ACFT_ID	OP_TYPE	FLAP_ID	B (ft/lb)	C (kt/√lb)	D (kt/√lb)	R
MD83	D	ZERO				0,06573
MD9025	A	D-28			0,4118	0,1181
MD9025	A	D-40			0,4003	0,1412
MD9025	A	U-0			0,4744	0,0876
MD9025	D	EXT/06	0,010708	0,458611		0,070601
MD9025	D	EXT/11	0,009927	0,441118		0,073655
MD9025	D	EXT/18	0,009203	0,421346		0,083277
MD9025	D	EXT/24	0,008712	0,408301		0,090279
MD9025	D	RET/0				0,05186
MD9028	A	D-28			0,4118	0,1181
MD9028	A	D-40			0,4003	0,1412
MD9028	A	U-0			0,4744	0,0876
MD9028	D	EXT/06	0,010993	0,463088		0,070248
MD9028	D	EXT/11	0,010269	0,446501		0,072708
MD9028	D	EXT/18	0,009514	0,426673		0,082666
MD9028	D	EXT/24	0,008991	0,413409		0,090018
MD9028	D	RET/0				0,05025
MU3001	A	D-30			1,07308	0,147487
MU3001	A	D-INTR				0,114684
MU3001	D	1	0,065703	1,1529		0,08188
MU3001	D	10	0,055318	1,0729		0,09285
MU3001	D	ZERO				0,07
PA30	A	27-A			1,316667	0,104586
PA30	A	ZERO-A				0,078131
PA30	D	15-D	0,100146	1,166667		0,154071

▼**M2**

ACFT_ID	OP_TYPE	FLAP_ID	B (ft/lb)	C (kt/√lb)	D (kt/√lb)	R
PA30	D	ZERO-D				0,067504
PA42	A	30-DN			1,09213	0,14679
PA42	A	ZERO-A				0,087856
PA42	D	ZER-DN	0,06796	1,011055		0,08088
PA42	D	ZERO				0,087856
PA42	D	ZERO-C				0,139096
PA42	D	ZERO-T				0,07651
SD330	A	D-15			0,746802	0,109263
SD330	A	D-35			0,702872	0,143475
SD330	D	10	0,031762	0,727556		0,138193
SD330	D	INTR				0,106596
SD330	D	ZERO				0,075
SF340	A	D-35			0,75674	0,147912
SF340	A	D-INTR				0,111456
SF340	D	5				0,105831
SF340	D	15	0,026303	0,746174		0,136662
SF340	D	ZERO				0,075

▼M2

Πίνακας Θ-2

Αεροσκάφη

ACFTID	Περιγραφή	Τύπος κινητήρα	Αριθμός κινητήρων	Κατηγοριοποίηση βάρους	Κατηγορία ιδιοκτήτη	MGTOW (lb)	MGLW (lb)	Μέγιστη διαδρομή προσγείωσης (ft)	Μέγιστη στατική ώση σε επίπεδο θάλασσας (lb)	Κεφάλαιο Θόρυβος	NPD_ID	Παράμετροι ισχύος	Ηχοφασματική ανάλυση προσέγγισης αεροσκάφους	Ηχοφασματική ανάλυση αναχώρησης αεροσκάφους	Δείκτης εγκάρσιας εκπομπής θορύβου
1900D	Beech 1900D/PT6A67	Ελικοστρόβιλος	2	Μεγάλο	Εμπορικό	16 950	14 940	1 696	3 367	1	PT6A67	CNT (lb)	213	109	Έλικας
707	Boeing 707-120/JT3C	Αεριοστρόβιλος	4	Βαρύ	Εμπορικό	302 400	188 900	6 682	10 120	1	JT4A	CNT (lb)	208	107	Πτέρυγα
707120	Boeing 707-120B/JT3D-3	Αεριοστρόβιλος	4	Βαρύ	Εμπορικό	302 400	188 900	6 893	14 850	1	JT3D	CNT (lb)	208	107	Πτέρυγα
707320	Boeing 707-320B/JT3D-7	Αεριοστρόβιλος	4	Βαρύ	Εμπορικό	334 000	247 000	5 622	19 000	1	JT3D	CNT (lb)	208	107	Πτέρυγα
707QN	Boeing 707-320B/JT3D-7QN	Αεριοστρόβιλος	4	Βαρύ	Εμπορικό	334 000	247 000	5 622	19 000	2	JT3DQ	CNT (lb)	208	106	Πτέρυγα
717200	Boeing 717-200/BR 715	Αεριοστρόβιλος	2	Μεγάλο	Εμπορικό	121 000	110 000	4 600	18 000	3	BR715	CNT (lb)	203	105	Άτρακτος
720	Boeing 720/JT3C	Αεριοστρόβιλος	4	Μεγάλο	Εμπορικό	223 500	155 600	4 871	10 120	1	JT4A	CNT (lb)	208	107	Πτέρυγα
720B	Boeing 720B/JT3D-3	Αεριοστρόβιλος	4	Μεγάλο	Εμπορικό	234 000	175 000	5 717	18 000	1	JT3D	CNT (lb)	208	107	Πτέρυγα
727100	Boeing 727-100/JT8D-7	Αεριοστρόβιλος	3	Μεγάλο	Εμπορικό	169 500	142 500	4 867	14 000	1	3JT8D	CNT (lb)	201	101	Άτρακτος
727200	Boeing 727-200/JT8D-7	Αεριοστρόβιλος	3	Μεγάλο	Εμπορικό	217 600	163 300	5 571	11 895	1	3JT8D	CNT (lb)	201	101	Άτρακτος
727D15	Boeing 727-200/JT8D-15	Αεριοστρόβιλος	3	Μεγάλο	Εμπορικό	208 000	169 000	4 922	15 500	1	3JT8D	CNT (lb)	201	101	Άτρακτος
727D17	Boeing 727-200/JT8D-17	Αεριοστρόβιλος	3	Μεγάλο	Εμπορικό	208 000	169 000	5 444	16 000	2	3JT8DQ	CNT (lb)	201	101	Άτρακτος
727EM1	FEDX 727-100/JT8D-7	Αεριοστρόβιλος	3	Μεγάλο	Εμπορικό	169 500	142 500	4 867	14 000	3	3JT8E7	CNT (lb)	201	101	Άτρακτος

▼M2

ACFTID	Περιγραφή	Τύπος κινητήρα	Αριθμός κινητήρων	Κατηγοριοποίηση βάρους	Κατηγορία ιδιοκτήτη	MGTOW (lb)	MGLW (lb)	Μέγιστη διαδρομή προσγείωσης (ft)	Μέγιστη στατική ώση σε επίπεδο θάλασσας (lb)	Κεφάλαιο Θόρυβος	NPD_ID	Παράμετροι ισχύος	Ηχοφασματική ανάλυση προσέγγισης αεροσκάφους	Ηχοφασματική ανάλυση αναχώρησης αεροσκάφους	Δείκτης εγκάρσιας εκπομπής θορύβου
727EM2	FEDX 727-200/JT8D-15	Αεριοστρόβιλος	3	Μεγάλο	Εμπορικό	208 000	169 000	4 922	15 500	3	3JT8E5	CNT (lb)	201	101	Άτρακτος
727Q15	Boeing 727-200/JT8D-15QN	Αεριοστρόβιλος	3	Μεγάλο	Εμπορικό	208 000	169 000	4 922	15 500	2	3JT8DQ	CNT (lb)	201	101	Άτρακτος
727Q7	Boeing 727-100/JT8D-7QN	Αεριοστρόβιλος	3	Μεγάλο	Εμπορικό	169 500	142 500	4 867	14 000	2	3JT8DQ	CNT (lb)	201	101	Άτρακτος
727Q9	Boeing 727-200/JT8D-9	Αεριοστρόβιλος	3	Μεγάλο	Εμπορικό	191 000	160 000	5 444	14 500	2	3JT8DQ	CNT (lb)	201	101	Άτρακτος
727QF	UPS 727-100 22C 25C	Αεριοστρόβιλος	3	Μεγάλο	Εμπορικό	169 000	142 500	4 448	15 380	3	TAY651	CNT (lb)	201	101	Άτρακτος
737	Boeing 737/JT8D-9	Αεριοστρόβιλος	2	Μεγάλο	Εμπορικό	109 000	98 000	3 900	14 500	1	2JT8DW	CNT (lb)	201	101	Πτέρυγα
737300	Boeing 737-300/CFM56-3B-1	Αεριοστρόβιλος	2	Μεγάλο	Εμπορικό	135 000	114 000	4 580	20 000	3	CFM563	CNT (lb)	202	102	Πτέρυγα
7373B2	Boeing 737-300/CFM56-3B-2	Αεριοστρόβιλος	2	Μεγάλο	Εμπορικό	139 500	114 000	4 580	22 000	3	CFM563	CNT (lb)	202	102	Πτέρυγα
737400	Boeing 737-400/CFM56-3C-1	Αεριοστρόβιλος	2	Μεγάλο	Εμπορικό	150 000	124 000	5 062	23 500	3	CFM563	CNT (lb)	202	102	Πτέρυγα
737500	Boeing 737-500/CFM56-3C-1	Αεριοστρόβιλος	2	Μεγάλο	Εμπορικό	133 500	111 000	4 551	20 000	3	CFM563	CNT (lb)	202	102	Πτέρυγα
737700	Boeing 737-700/CFM56-7B24	Αεριοστρόβιλος	2	Μεγάλο	Εμπορικό	154 500	129 200	4 445	24 000	3	CF567B	CNT (lb)	203	104	Πτέρυγα
737800	Boeing 737-800/CFM56-7B26	Αεριοστρόβιλος	2	Μεγάλο	Εμπορικό	174 200	146 300	5 435	26 300	3	CF567B	CNT (lb)	203	104	Πτέρυγα
737D17	Boeing 737-200/JT8D-17	Αεριοστρόβιλος	2	Μεγάλο	Εμπορικό	124 000	107 000	4 244	16 000	2	2JT8QW	CNT (lb)	201	101	Πτέρυγα

▼M2

ACFTID	Περιγραφή	Τύπος κινητήρα	Αριθμός κινητήρων	Κατηγοριοποίηση βάρους	Κατηγορία ιδιοκτήτη	MGTOW (lb)	MGLW (lb)	Μέγιστη διαδρομή προσγείωσης (ft)	Μέγιστη στατική ώση σε επίπεδο θάλασσας (lb)	Κεφάλαιο Θόρυβος	NPD_ID	Παράμετροι ισχύος	Ηχοφασματική ανάλυση προσέγγισης αεροσκάφους	Ηχοφασματική ανάλυση αναχώρησης αεροσκάφους	Δείκτης εγκάρσιας εκπομπής θορύβου
737N17	Boeing 737-200/JT8D-17 Nordam B737 LGW Hushkit	Αεριοστρόβιλος	2	Μεγάλο	Εμπορικό	124 000	107 000	4 244	16 000	3	2JT8DN	CNT (lb)	202	104	Πτέρυγα
737N9	Boeing 737/JT8D-9 Nordam B737 LGW Hushkit	Αεριοστρόβιλος	2	Μεγάλο	Εμπορικό	109 000	98 000	3 900	14 500	3	2JT8DN	CNT (lb)	202	104	Πτέρυγα
737QN	Boeing 737/JT8D-9QN	Αεριοστρόβιλος	2	Μεγάλο	Εμπορικό	109 000	98 000	3 900	14 500	2	2JT8QW	CNT (lb)	201	101	Πτέρυγα
747100	Boeing 747-100/JT9DBD	Αεριοστρόβιλος	4	Βαρύ	Εμπορικό	733 000	516 600	5 727	33 042	2	JT9DBD	CNT (lb)	209	107	Πτέρυγα
74710Q	Boeing 747-100/JT9D-7QN	Αεριοστρόβιλος	4	Βαρύ	Εμπορικό	733 000	564 000	6 200	45 500	3	JT9DFL	CNT (lb)	207	107	Πτέρυγα
747200	Boeing 747-200/JT9D-7	Αεριοστρόβιλος	4	Βαρύ	Εμπορικό	775 000	564 000	6 200	45 500	3	JT9DFL	CNT (lb)	207	107	Πτέρυγα
74720A	Boeing 747-200/JT9D-7A	Αεριοστρόβιλος	4	Βαρύ	Εμπορικό	785 000	564 000	6 200	46 300	3	JT9D7Q	CNT (lb)	207	107	Πτέρυγα
74720B	Boeing 747-200/JT9D-7Q	Αεριοστρόβιλος	4	Βαρύ	Εμπορικό	800 000	630 000	6 200	53 000	3	JT9D7Q	CNT (lb)	207	107	Πτέρυγα
747400	Boeing 747-400/PW4056	Αεριοστρόβιλος	4	Βαρύ	Εμπορικό	875 000	652 000	6 989	56 800	3	PW4056	CNT (lb)	207	107	Πτέρυγα
7478	Boeing 747-8F/GEnx-2B67	Αεριοστρόβιλος	4	Βαρύ	Εμπορικό	987 000	757 000	7 900	68 000	4	GENX67	CNT (lb)	205	107	Πτέρυγα
747SP	Boeing 747SP/JT9D-7	Αεριοστρόβιλος	4	Βαρύ	Εμπορικό	702 000	475 000	5 911	45 500	3	JT9DFL	CNT (lb)	207	107	Πτέρυγα
757300	Boeing 757-300/RB211-535E4B	Αεριοστρόβιλος	2	Μεγάλο	Εμπορικό	275 000	224 000	5 651	43 100	3	RR535E	CNT (lb)	203	103	Πτέρυγα
757PW	Boeing 757-200/PW2037	Αεριοστρόβιλος	2	Μεγάλο	Εμπορικό	255 000	210 000	4 790	38 300	3	PW2037	CNT (lb)	203	103	Πτέρυγα

▼M2

ACFTID	Περιγραφή	Τύπος κινητήρα	Αριθμός κινητήρων	Κατηγοριοποίηση βάρους	Κατηγορία ιδιοκτήτη	MGTOW (lb)	MGLW (lb)	Μέγιστη διαδρομή προσγείωσης (ft)	Μέγιστη στατική ώση σε επίπεδο θάλασσας (lb)	Κεφάλαιο Θόρυβος	NPD_ID	Παράμετροι ισχύος	Ηχοφασματική ανάλυση προσέγγισης αεροσκάφους	Ηχοφασματική ανάλυση αναχώρησης αεροσκάφους	Δείκτης εγκάρσιας εκπομπής θορύβου
757RR	Boeing 757-200/RB211-535E4	Αεριοστρόβιλος	2	Μεγάλο	Εμπορικό	255 000	210 000	4 640	40 100	3	RR535E	CNT (lb)	203	103	Πτέρυγα
767300	Boeing 767-300/PW4060	Αεριοστρόβιλος	2	Βαρύ	Εμπορικό	407 000	320 000	4 710	60 000	3	2CF680	CNT (lb)	203	103	Πτέρυγα
767400	Boeing 767-400ER/CF6-80C2B(F)	Αεριοστρόβιλος	2	Βαρύ	Εμπορικό	450 000	340 000	6 000	58 685	3	CF680C	CNT (lb)	205	102	Πτέρυγα
767CF6	Boeing 767-200/CF6-80A	Αεριοστρόβιλος	2	Βαρύ	Εμπορικό	315 500	270 000	4 700	48 000	3	2CF680	CNT (lb)	203	103	Πτέρυγα
767JT9	Boeing 767-200/JT9D-7R4D	Αεριοστρόβιλος	2	Βαρύ	Εμπορικό	351 000	270 000	4 744	48 000	3	2CF680	CNT (lb)	203	103	Πτέρυγα
777200	Boeing 777-200/GE90-76B	Αεριοστρόβιλος	2	Βαρύ	Εμπορικό	656 000	470 000	4 450	90 000	3	GE90	CNT (lb)	205	105	Πτέρυγα
777300	Boeing 777-300/Trent 892	Αεριοστρόβιλος	2	Βαρύ	Εμπορικό	660 000	524 000	6 012	77 000	0	TRENT8	CNT (lb)	203	105	Πτέρυγα
7773ER	Boeing 777-300ER/GE90-115B-EIS	Αεριοστρόβιλος	2	Βαρύ	Εμπορικό	775 000	554 000	5 805	115 000	3	GE9015	CNT (lb)	204	107	Πτέρυγα
7878R	Boeing 787-8/T1000-C/01 Family Plan Cert	Αεριοστρόβιλος	2	Βαρύ	Εμπορικό	502 500	380 000	5 090	70 000	4	T1KBFP	CNT (lb)	205	103	Πτέρυγα
A300-622R	Airbus A300-622R/PW4158	Αεριοστρόβιλος	2	Βαρύ	Εμπορικό	378 533	308 647	4 735	58 000	3	PW4158	CNT (lb)	202	103	Πτέρυγα
A300B4-203	Airbus A300B4-200/CF6-50C2	Αεριοστρόβιλος	2	Βαρύ	Εμπορικό	364 000	295 000	5 367	52 500	3	2CF650	CNT (lb)	203	103	Πτέρυγα
A310-304	Airbus A310-304/GE CF6-80C2A2	Αεριοστρόβιλος	2	Βαρύ	Εμπορικό	346 126	273 373	4 682	53 500	3	A310	CNT (lb)	204	103	Πτέρυγα
A319-131	Airbus A319-131/V2522-A5	Αεριοστρόβιλος	2	Μεγάλο	Εμπορικό	166 449	137 789	4 364	22 000	3	V2522A	CNT (lb)	205	103	Πτέρυγα

▼M2

ACFTID	Περιγραφή	Τύπος κινητήρα	Αριθμός κινητήρων	Κατηγοριοποίηση βάρους	Κατηγορία ιδιοκτήτη	MGTOW (lb)	MGLW (lb)	Μέγιστη διαδρομή προσγείωσης (ft)	Μέγιστη στατική ώση σε επίπεδο θάλασσας (lb)	Κεφάλαιο Θόρυβος	NPD_ID	Παράμετροι ισχύος	Ηχοφασματική ανάλυση προσέγγισης αεροσκάφους	Ηχοφασματική ανάλυση αναχώρησης αεροσκάφους	Δείκτης εγκάρσιας εκπομπής θορύβου
A320-211	Airbus A320-211/ CFM56-5A1	Αεριοστρόβιλος	2	Μεγάλο	Εμπορικό	169 756	142 198	4 753	25 000	3	CFM565	CNT (lb)	202	103	Πτέρυγα
A320-232	Airbus A320-232/V2527-A5	Αεριοστρόβιλος	2	Μεγάλο	Εμπορικό	169 756	145 505	4 917	26 500	3	V2527A	CNT (lb)	205	103	Πτέρυγα
A321-232	Airbus A321-232/IAE V2530-A5	Αεριοστρόβιλος	2	Μεγάλο	Εμπορικό	196 211	166 449	5 587	30 000	3	V2530	CNT (lb)	202	103	Πτέρυγα
A330-301	Airbus A330-301/GE CF6-80 E1A2	Αεριοστρόβιλος	2	Βαρύ	Εμπορικό	478 400	383 604	5 966	67 500	3	CF680E	CNT (lb)	202	102	Πτέρυγα
A330-343	Airbus A330-343/RR Trent 772B	Αεριοστρόβιλος	2	Βαρύ	Εμπορικό	513 677	412 264	5 512	71 100	3	TRENT7	CNT (lb)	205	102	Πτέρυγα
A340-211	Airbus A340-211/ CFM56-5C2	Αεριοστρόβιλος	4	Βαρύ	Εμπορικό	573 200	399 036	5 900	31 200	3	CF565C	CNT (lb)	206	107	Πτέρυγα
A340-642	Airbus A340-642/RR Trent 556	Αεριοστρόβιλος	4	Βαρύ	Εμπορικό	804 687	564 383	6 919	56 000	4	TRENT5	CNT (lb)	205	102	Πτέρυγα
A380-841	Airbus A380-841/RR Trent 970	Αεριοστρόβιλος	4	Βαρύ	Εμπορικό	1 254 430	862 007	6 752	70 000	4	TRENT9	CNT (lb)	205	105	Πτέρυγα
A380-861	Airbus A380-861/EA GP7270	Αεριοστρόβιλος	4	Βαρύ	Εμπορικό	1 254 430	862 007	6 837	70 000	4	GP7270	CNT (lb)	206	105	Πτέρυγα
BAC111	BAC 111/SPEY MK511-14	Αεριοστρόβιλος	2	Μεγάλο	Εμπορικό	89 600	82 000	4 449	11 400	2	2JT8D	CNT (lb)	201	101	Άτρακτος
BAE146	BAe 146-200/ALF502R-5	Αεριοστρόβιλος	4	Μεγάλο	Εμπορικό	93 000	81 000	3 770	6 970	3	AL502R	CNT (lb)	206	108	Πτέρυγα
BAE300	BAe 146-300/ALF502R-5	Αεριοστρόβιλος	4	Μεγάλο	Εμπορικό	97 500	84 500	3 960	6 970	3	AL502R	CNT (lb)	206	108	Πτέρυγα

▼M2

ACFTID	Περιγραφή	Τύπος κινητήρα	Αριθμός κινητήρων	Κατηγοριοποίηση βάρους	Κατηγορία ιδιοκτήτη	MGTOW (lb)	MGLW (lb)	Μέγιστη διαδρομή προσγείωσης (ft)	Μέγιστη στατική ώση σε επίπεδο θάλασσας (lb)	Κεφάλαιο Θόρυβος	NPD_ID	Παράμετροι ισχύος	Ηχοφασματική ανάλυση προσέγγισης αεροσκάφους	Ηχοφασματική ανάλυση αναχώρησης αεροσκάφους	Δείκτης εγκάρσιας εκπομπής θορύβου
BEC58P	Raytheon BARON 58P/ TS10-520-L	Εμβολοφόρος	2	Μικρό	Γενική αεροπορία	6 100	6 100	2 733	779	0	TSIO52	CNT (% of Max Static Thrust)	215	109	Έλικας
CIT3	Cessna Citation III/ TFE731-3-100S	Αεριοστρόβιλος	2	Μεγάλο	Γενική αεροπορία	20 000	17 000	2 770	3 650	3	TF7313	CNT (lb)	216	113	Άτρακτος
CL600	Canadair CL-600/ ALF502L	Αεριοστρόβιλος	2	Μεγάλο	Γενική αεροπορία	36 000	33 000	3 300	7 500	3	AL502L	CNT (lb)	216	113	Άτρακτος
CL601	Canadair CL-601/CF34-3A	Αεριοστρόβιλος	2	Μεγάλο	Γενική αεροπορία	43 100	36 000	3 550	9 220	3	CF34	CNT (lb)	216	113	Άτρακτος
CNA172	Cessna 172R/Lycoming IO-360-L2A	Εμβολοφόρος	1	Μικρό	Γενική αεροπορία	2 450	2 450	1 695	436	0	IO360L	CNT (% of Max Static Thrust)	215	109	Έλικας
CNA182	Cessna 182H/Continental O-470-R	Εμβολοφόρος	1	Μικρό	Γενική αεροπορία	2 800	2 800	1 544	965	2	O470R	CNT (lb)	215	113	Έλικας
CNA206	Cessna 206H/Lycoming IO-540-AC	Εμβολοφόρος	1	Μικρό	Γενική αεροπορία	3 600	3 600	1 880	798	0	IO540	Other (RPM)	215	109	Έλικας
CNA208	Cessna 208/PT6A-114	Ελικοστρόβιλος	1	Μικρό	Γενική αεροπορία	8 750	8 500	1 740	2 300	3	PT6A114	CNT (lb)	210	109	Έλικας
CNA20T	Cessna T206H/Lycoming TIO-540-AJ1A	Εμβολοφόρος	1	Μικρό	Γενική αεροπορία	3 600	3 600	1 880	825	0	TIO540	Other (RPM)	215	109	Έλικας
CNA441	Cessna CONQUEST II /TPE331-8	Ελικοστρόβιλος	2	Μικρό	Εμπορικό	9 900	9 400	1 939	1 535	0	TPE331	CNT (% of Max Static Thrust)	210	111	Έλικας

▼M2

ACFTID	Περιγραφή	Τύπος κινητήρα	Αριθμός κινητήρων	Κατηγοριοποίηση βάρους	Κατηγορία ιδιοκτήτη	MGTOW (lb)	MGLW (lb)	Μέγιστη διαδρομή προσγείωσης (ft)	Μέγιστη στατική ώση σε επίπεδο θάλασσας (lb)	Κεφάλαιο Θόρυβος	NPD_ID	Παράμετροι ισχύος	Ηχοφασματική ανάλυση προσέγγισης αεροσκάφους	Ηχοφασματική ανάλυση αναχώρησης αεροσκάφους	Δείκτης εγκάρσιας εκπομπής θορύβου
CNA500	Cessna Citation II/JT15D-4	Αεριοστρόβιλος	2	Μεγάλο	Γενική αεροπορία	14 700	14 000	3 050	2 500	3	JT15D1	CNT (lb)	216	113	Άτρακτος
CNA510	Cessna Mustang Model 510/PW615F	Αεριοστρόβιλος	2	Μικρό	Εμπορικό	8 645	7 200	3 010	1 466	0	PW615F	CNT (lb)	203	113	Άτρακτος
CNA525C	Cessna Citation CJ4 525C /FJ44-4A	Αεριοστρόβιλος	2	Μικρό	Εμπορικό	16 950	15 500	3 010	3 600	4	FJ44-4	CNT (lb)	235	136	Άτρακτος
CNA55B	Cessna 550 Citation Bravo/PW530A	Αεριοστρόβιλος	2	Μεγάλο	Γενική αεροπορία	14 800	13 500	3 010	2 863	0	PW530A	CNT (lb)	203	113	Άτρακτος
CNA560E	Cessna Citation Encore 560/PW535A	Αεριοστρόβιλος	2	Μικρό	Εμπορικό	16 300	13 680	3 000	3 313	3	2PW535	CNT (lb)	238	138	Άτρακτος
CNA560U	Cessna Citation Ultra 560/ JT15D-5D	Αεριοστρόβιλος	2	Μικρό	Εμπορικό	16 300	13 680	2 700	3 029	3	2J155D	CNT (lb)	237	113	Άτρακτος
CNA560-XL	Cessna Citation Excel 560/PW545A	Αεριοστρόβιλος	2	Μικρό	Εμπορικό	20 000	16 830	3 000	3 824	3	PW545A	CNT (lb)	238	137	Άτρακτος
CNA680	Cessna Citation Sovereign 680/PW306C	Αεριοστρόβιλος	2	Μικρό	Εμπορικό	30 000	24 390	3 010	5 749	3	PW306C	CNT (lb)	236	136	Άτρακτος
CNA750	Cessna Citation X/Rolls Royce Allison AE3007C	Αεριοστρόβιλος	2	Μεγάλο	Γενική αεροπορία	35 700	31 800	3 500	6 407	3	AE300C	CNT (lb)	202	105	Άτρακτος
CONCRD	Concorde/OLY593	Αεριοστρόβιλος	4	Βαρύ	Εμπορικό	400 000	245 000	10 600	38 100	0	OLY593	CNT (lb)	206	106	Πτέρυγα
CRJ9-ER	Bombardier CL-600-2D15/CL-600-2D24/ CF34-8C5	Αεριοστρόβιλος	2	Μεγάλο	Εμπορικό	82 500	73 500	5 779	13 525	3	CF348C5	CNT (lb)	216	113	Άτρακτος

▼M2

ACFTID	Περιγραφή	Τύπος κινητήρα	Αριθμός κινητήρων	Κατηγοριοποίηση βάρους	Κατηγορία ιδιοκτήτη	MGTOW (lb)	MGLW (lb)	Μέγιστη διαδρομή προσγείωσης (ft)	Μέγιστη στατική ώση σε επίπεδο θάλασσας (lb)	Κεφάλαιο Θόρυβος	NPD_ID	Παράμετροι ισχύος	Ηχοφασματική ανάλυση προσέγγισης αεροσκάφους	Ηχοφασματική ανάλυση αναχώρησης αεροσκάφους	Δείκτης εγκάρσιας εκπομπής θορύβου
CRJ9-LR	Bombardier CL-600-2D15/CL-600-2D24/CF34-8C5	Αεριοστρόβιλος	2	Μεγάλο	Εμπορικό	84 500	75 100	5 680	13 525	3	CF348C5	CNT (lb)	216	113	Άτρακτος
CVR580	Convair CV-580/ALL 501-D15	Ελικοστρόβιλος	2	Μεγάλο	Εμπορικό	58 000	52 000	4 256	8 100	0	501D13	CNT (% of Max Static Thrust)	214	112	Έλικας
DC1010	McDonnell Douglas DC10-10/CF6-6D	Αεριοστρόβιλος	3	Βαρύ	Εμπορικό	455 000	363 000	5 820	40 000	3	CF66D	CNT (lb)	203	101	Πτέρυγα
DC1030	McDonnell Douglas DC10-30/CF6-50C2	Αεριοστρόβιλος	3	Βαρύ	Εμπορικό	572 000	403 000	5 418	53 200	3	CF66D	CNT (lb)	203	101	Πτέρυγα
DC1040	McDonnell Douglas DC10-40/JT9D-20	Αεριοστρόβιλος	3	Βαρύ	Εμπορικό	555 000	403 000	6 020	49 400	3	CF66D	CNT (lb)	203	101	Πτέρυγα
DC3	Douglas DC-3/R1820-86	Εμβολοφόρος	2	Μεγάλο	Εμπορικό	28 000	24 500	2 222	3 120	0	2R2800	CNT (% of Max Static Thrust)	213	110	Έλικας
DC6	Douglas DC-6/R2800-CB17	Εμβολοφόρος	4	Μεγάλο	Εμπορικό	106 000	95 000	3 010	4 180	0	4R2800	CNT (% of Max Static Thrust)	213	110	Έλικας
DC820	Douglas DC-8-20/JT4A	Αεριοστρόβιλος	4	Βαρύ	Εμπορικό	317 600	194 400	6 527	11 850	1	JT4A	CNT (lb)	208	107	Πτέρυγα
DC850	Douglas DC-8-50/JT3D-3B	Αεριοστρόβιλος	4	Βαρύ	Εμπορικό	325 000	240 000	5 400	18 000	1	JT3D	CNT (lb)	208	107	Πτέρυγα
DC860	Douglas DC-8-60/JT3D-7	Αεριοστρόβιλος	4	Βαρύ	Εμπορικό	355 000	275 000	5 310	19 000	1	JT3D	CNT (lb)	208	107	Πτέρυγα

▼M2

ACFTID	Περιγραφή	Τύπος κινητήρα	Αριθμός κινητήρων	Κατηγοριοποίηση βάρους	Κατηγορία ιδιοκτήτη	MGTOW (lb)	MGLW (lb)	Μέγιστη διαδρομή προσγείωσης (ft)	Μέγιστη στατική ώση σε επίπεδο θάλασσας (lb)	Κεφάλαιο Θόρυβος	NPD_ID	Παράμετροι ισχύος	Ηχοφασματική ανάλυση προσέγγισης αεροσκάφους	Ηχοφασματική ανάλυση αναχώρησης αεροσκάφους	Δείκτης εγκάρσιας εκπομπής θορύβου
DC870	Douglas DC-8-70/ CFM56-2C-5	Αεριοστρόβιλος	4	Βαρύ	Εμπορικό	355 000	258 000	6 500	22 000	3	CFM562	CNT (lb)	206	106	Πτέρυγα
DC8QN	Douglas DC-8-60/JT8D-7QN	Αεριοστρόβιλος	4	Βαρύ	Εμπορικό	355 000	275 000	5 310	19 000	2	JT3DQ	CNT (lb)	208	106	Πτέρυγα
DC910	McDonnell Douglas DC-9-10/JT8D-7	Αεριοστρόβιλος	2	Μεγάλο	Εμπορικό	90 700	81 700	5 030	14 000	1	2JT8D	CNT (lb)	201	101	Άτρακτος
DC930	McDonnell Douglas DC-9-30/JT8D-9	Αεριοστρόβιλος	2	Μεγάλο	Εμπορικό	114 000	102 000	4 680	14 500	1	2JT8D	CNT (lb)	201	101	Άτρακτος
DC93LW	McDonnell Douglas DC-9-30/JT8D-9 w/ ABS Lightweight hushkit	Αεριοστρόβιλος	2	Μεγάλο	Εμπορικό	114 000	102 000	4 680	14 500	3	2JT8DL	CNT (lb)	201	101	Άτρακτος
DC950	McDonnell Douglas DC-9-50/JT8D-17	Αεριοστρόβιλος	2	Μεγάλο	Εμπορικό	121 000	110 000	4 880	16 000	2	2JT8DQ	CNT (lb)	201	101	Άτρακτος
DC95HW	McDonnell Douglas DC-9-50/JT8D17 w/ ABS Heavyweight hushkit	Αεριοστρόβιλος	2	Μεγάλο	Εμπορικό	121 000	110 000	4 880	16 000	3	2JT8DH	CNT (lb)	201	101	Άτρακτος
DC9Q7	McDonnell Douglas DC-9-10/JT8D-7QN	Αεριοστρόβιλος	2	Μεγάλο	Εμπορικό	90 700	81 700	5 030	14 000	2	2JT8DQ	CNT (lb)	201	101	Άτρακτος
DC9Q9	McDonnell Douglas DC-9-30/JT8D-9QN	Αεριοστρόβιλος	2	Μεγάλο	Εμπορικό	114 000	102 000	4 680	14 500	2	2JT8DQ	CNT (lb)	201	101	Άτρακτος
DHC6	De Havilland DASH 6/ PT6A-27	Ελικοστρόβιλος	2	Μικρό	Εμπορικό	12 500	12 300	1 500	2 000	0	PT6A27	CNT (% of Max Static Thrust)	210	109	Έλικας

▼M2

ACFTID	Περιγραφή	Τύπος κινητήρα	Αριθμός κινητήρων	Κατηγοριοποίηση βάρους	Κατηγορία ιδιοκτήτη	MGTOW (lb)	MGLW (lb)	Μέγιστη διαδρομή προσγείωσης (ft)	Μέγιστη στατική ώση σε επίπεδο θάλασσας (lb)	Κεφάλαιο Θόρυβος	NPD_ID	Παράμετροι ισχύος	Ηχοφασματική ανάλυση προσέγγισης αεροσκάφους	Ηχοφασματική ανάλυση αναχώρησης αεροσκάφους	Δείκτης εγκάρσιας εκπομπής θορύβου
DHC6QP	De Havilland DASH 6/ PT6A-27 Raisbeck Quiet PropMod	Ελικοστρόβιλος	2	Μικρό	Εμπορικό	12 500	12 300	1 500	2 000	0	RAISQP	CNT (% of Max Static Thrust)	210	109	Έλικας
DHC7	De Havilland DASH 7/ PT6A-50	Ελικοστρόβιλος	4	Μεγάλο	Εμπορικό	41 000	39 000	2 150	2 850	3	PT6A50	CNT (% of Max Static Thrust)	213	112	Έλικας
DHC8	Bombardier de Havilland DASH 8-100/PW121	Ελικοστρόβιλος	2	Μεγάλο	Εμπορικό	34 500	33 900	3 000	4 750	3	PW120	CNT (% of Max Static Thrust)	213	112	Έλικας
DHC830	Bombardier de Havilland DASH 8-300/PW123	Ελικοστρόβιλος	2	Μεγάλο	Εμπορικό	43 000	42 000	3 500	4 918	3	PW120	CNT (% of Max Static Thrust)	213	112	Έλικας
DO228	Dornier 228-202/TPE 311-5	Ελικοστρόβιλος	2	Μεγάλο	Εμπορικό	13 669	13 448	2 375	2 240	3	TPE331-5	CNT (lb)	216	110	Έλικας
DO328	Dornier 328-100/PW119C	Ελικοστρόβιλος	2	Μεγάλο	Εμπορικό	30 843	29 167	3 825	6 745	3	PW119C	CNT (lb)	214	109	Έλικας
ECLIP-SE500	Eclipse 500/PW610F	Αεριοστρόβιλος	2	Μικρό	Γενική αεροπορία	6 000	5 600	2 389	1 031	3	PW610F	CNT (lb)	201	103	Άτρακτος
EMB120	Embraer 120 ER/Pratt & Whitney PW118	Ελικοστρόβιλος	2	Μεγάλο	Εμπορικό	26 433	25 794	5 571	4 000	3	EPW118	CNT (lb)	213	109	Έλικας
EMB145	Embraer 145 ER/Allison AE3007	Αεριοστρόβιλος	2	Μεγάλο	Εμπορικό	45 420	41 230	4 232	7 500	3	AE3007	CNT (lb)	216	113	Άτρακτος
EMB14L	Embraer 145 LR/Allison AE3007A1	Αεριοστρόβιλος	2	Μεγάλο	Εμπορικό	48 500	42 550	4 232	7 500	3	AE3007	CNT (lb)	216	113	Άτρακτος

▼M2

ACFTID	Περιγραφή	Τύπος κινητήρα	Αριθμός κινητήρων	Κατηγοριοποίηση βάρους	Κατηγορία ιδιοκτήτη	MGTOW (lb)	MGLW (lb)	Μέγιστη διαδρομή προσγείωσης (ft)	Μέγιστη στατική ώση σε επίπεδο θάλασσας (lb)	Κεφάλαιο Θόρυβος	NPD_ID	Παράμετροι ισχύος	Ηχοφασματική ανάλυση προσέγγισης αεροσκάφους	Ηχοφασματική ανάλυση αναχώρησης αεροσκάφους	Δείκτης εγκάρσιας εκπομπής θορύβου
EMB170	Embraer ERJ170-100	Αεριοστρόβιλος	2	Μεγάλο	Εμπορικό	82 012	72 312	4 029	13 800	3	CF348E	CNT (lb)	216	113	Πτέρυγα
EMB175	Embraer ERJ170-200	Αεριοστρόβιλος	2	Μεγάλο	Εμπορικό	85 517	74 957	4 130	13 800	3	CF348E	CNT (lb)	216	113	Πτέρυγα
EMB190	Embraer ERJ190-100	Αεριοστρόβιλος	2	Μεγάλο	Εμπορικό	114 199	97 003	4 081	18 500	3	CF3410E	CNT (lb)	205	105	Πτέρυγα
EMB195	Embraer ERJ190-200	Αεριοστρόβιλος	2	Μεγάλο	Εμπορικό	115 280	100 972	4 183	18 500	3	CF3410E	CNT (lb)	205	105	Πτέρυγα
F10062	Fokker 100/TAY 620-15	Αεριοστρόβιλος	2	Μεγάλο	Εμπορικό	95 000	85 500	4 560	13 900	3	TAY620	CNT (lb)	201	101	Άτρακτος
F10065	Fokker 100/TAY 650-15	Αεριοστρόβιλος	2	Μεγάλο	Εμπορικό	98 000	88 000	4 704	15 100	3	TAY650	CNT (lb)	201	101	Άτρακτος
F28MK2	Fokker F-28-2000/ RB183MK555	Αεριοστρόβιλος	2	Μεγάλο	Εμπορικό	65 000	59 000	3 540	9 850	2	RB183	CNT (lb)	216	104	Άτρακτος
F28MK4	Fokker F-28-4000/ RB183MK555	Αεριοστρόβιλος	2	Μεγάλο	Εμπορικό	73 000	64 000	3 546	9 900	2	RB183P	CNT (lb)	216	104	Άτρακτος
FAL20	Dassault FALCON 20/ CF700-2D-2	Αεριοστρόβιλος	2	Μεγάλο	Γενική αεροπορία	28 700	27 300	2 490	4 500	2	CF700	CNT (lb)	203	113	Άτρακτος
GII	Gulfstream GII/SPEY 511-8	Αεριοστρόβιλος	2	Μεγάλο	Γενική αεροπορία	64 800	58 500	3 200	11 400	2	SPEYHK	CNT (lb)	216	104	Άτρακτος
GIIB	Gulfstream GIIB/GIII — SPEY 511-8	Αεριοστρόβιλος	2	Μεγάλο	Γενική αεροπορία	69 700	58 500	3 250	11 400	2	SPEYHK	CNT (lb)	216	104	Άτρακτος
GIV	Gulfstream GIV-SP/TAY 611-8	Αεριοστρόβιλος	2	Μεγάλο	Γενική αεροπορία	74 600	66 000	3 190	13 850	3	TAYGIV	CNT (lb)	203	113	Άτρακτος
GV	Gulfstream GV/BR 710	Αεριοστρόβιλος	2	Μεγάλο	Γενική αεροπορία	90 500	75 300	2 760	14 750	3	BR710	CNT (lb)	205	105	Άτρακτος

▼M2

ACFTID	Περιγραφή	Τύπος κινητήρα	Αριθμός κινητήρων	Κατηγοριοποίηση βάρους	Κατηγορία ιδιοκτήτη	MGTOW (lb)	MGLW (lb)	Μέγιστη διαδρομή προσγείωσης (ft)	Μέγιστη στατική ώση σε επίπεδο θάλασσας (lb)	Κεφάλαιο Θόρυβος	NPD_ID	Παράμετροι ισχύος	Ηχοφασματική ανάλυση προσέγγισης αεροσκάφους	Ηχοφασματική ανάλυση αναχώρησης αεροσκάφους	Δείκτης εγκάρσιας εκπομπής θορύβου
HS748A	Hawker Siddeley HS-748/ DART MK532-2	Ελικοστρόβιλος	2	Μεγάλο	Εμπορικό	46 500	43 000	3 360	5 150	2	RDA532	CNT (% of Max Static Thrust)	212	110	Έλικας
IA1125	IAI-1125 ASTRA/ TFE731-3A	Αεριοστρόβιλος	2	Μεγάλο	Γενική αεροπορία	23 500	20 700	3 689	3 700	3	TF7313	CNT (lb)	216	113	Άτρακτος
L1011	Lockheed Martin L-1011/ RB211-22B	Αεριοστρόβιλος	3	Βαρύ	Εμπορικό	430 000	358 000	5 693	42 000	3	RB2112	CNT (lb)	203	101	Πτέρυγα
L10115	Lockheed Martin L-1011-500/RB211-224B	Αεριοστρόβιλος	3	Βαρύ	Εμπορικό	510 000	368 000	6 800	50 000	3	RB2112	CNT (lb)	203	101	Πτέρυγα
L188	Lockheed L-188C/ALL 501-D13	Ελικοστρόβιλος	4	Μεγάλο	Εμπορικό	116 000	98 100	4 960	8 000	0	T56A7	CNT (% of Max Static Thrust)	214	112	Έλικας
LEAR25	Learjet 25/CJ610-8	Αεριοστρόβιλος	2	Μεγάλο	Γενική αεροπορία	15 000	13 500	2 620	2 950	2	CJ610	CNT (lb)	202	113	Άτρακτος
LEAR35	Learjet 36/TFE731-2	Αεριοστρόβιλος	2	Μεγάλο	Γενική αεροπορία	18 300	15 300	3 076	3 500	3	TF7312	CNT (lb)	216	113	Άτρακτος
MD11GE	McDonnell Douglas MD-11/CF6-80C2D1F	Αεριοστρόβιλος	3	Βαρύ	Εμπορικό	682 400	433 300	5 131	61 500	3	2CF68D	CNT (lb)	203	103	Πτέρυγα
MD11PW	McDonnell Douglas MD-11/PW 4460	Αεριοστρόβιλος	3	Βαρύ	Εμπορικό	682 400	433 300	4 681	60 000	3	PW4460	CNT (lb)	203	103	Πτέρυγα
MD81	McDonnell Douglas MD-81/JT8D-209	Αεριοστρόβιλος	2	Μεγάλο	Εμπορικό	140 000	128 000	4 860	19 300	3	2JT8D2	CNT (lb)	204	104	Άτρακτος
MD82	McDonnell Douglas MD-82/JT8D-217A	Αεριοστρόβιλος	2	Μεγάλο	Εμπορικό	149 500	130 000	4 920	20 900	3	2JT8D2	CNT (lb)	204	104	Άτρακτος

▼M2

ACFTID	Περιγραφή	Τύπος κινητήρα	Αριθμός κινητήρων	Κατηγοριοποίηση βάρους	Κατηγορία ιδιοκτήτη	MGTOW (lb)	MGLW (lb)	Μέγιστη διαδρομή προσγείωσης (ft)	Μέγιστη στατική ώση σε επίπεδο θάλασσας (lb)	Κεφάλαιο Θόρυβος	NPD_ID	Παράμετροι ισχύος	Ηχοφασματική ανάλυση προσέγγισης αεροσκάφους	Ηχοφασματική ανάλυση αναχώρησης αεροσκάφους	Δείκτης εγκάρσιας εκπομπής θορύβου
MD83	McDonnell Douglas MD-83/JT8D-219	Αεριοστρόβιλος	2	Μεγάλο	Εμπορικό	160 000	139 500	5 200	21 700	3	2JT8D2	CNT (lb)	204	104	Άτρακτος
MD9025	McDonnell Douglas MD-90/V2525-D5	Αεριοστρόβιλος	2	Μεγάλο	Εμπορικό	156 000	142 000	3 000	25 000	3	V2525	CNT (lb)	205	105	Άτρακτος
MD9028	McDonnell Douglas MD-90/V2528-D5	Αεριοστρόβιλος	2	Μεγάλο	Εμπορικό	156 000	142 000	3 000	28 000	3	V2525	CNT (lb)	205	105	Άτρακτος
MU3001	Mitsubishi MU300-10 Diamond II/JT15D-5	Αεριοστρόβιλος	2	Μεγάλο	Γενική αεροπορία	14 100	13 200	2 800	2 500	3	JT15D5	CNT (lb)	203	113	Άτρακτος
PA28	Piper Warrior PA-28-161/O-320-D3G	Εμβολοφόρος	1	Μικρό	Γενική αεροπορία	2 325	2 325	1 695	400	0	O320D3	Other (RPM)	213	113	Έλικας
PA30	Piper Twin Comanche PA-30/IO-320-B1A	Εμβολοφόρος	2	Μικρό	Γενική αεροπορία	3 600	3 600	1 654	777	0	IO320B	CNT (lb)	213	113	Έλικας
PA31	Piper Navajo Chieftain PA-31-350/TIO-5	Εμβολοφόρος	2	Μικρό	Γενική αεροπορία	7 000	7 000	1 850	1 481	0	TIO542	Other (RPM)	213	109	Έλικας
PA42	Piper PA-42/PT6A-41	Ελικοστρόβιλος	2	Μικρό	Γενική αεροπορία	11 200	10 330	3 300	1 800	3	PT6A41	CNT (lb)	213	109	Έλικας
SABR80	NA Sabreliner 80	Αεριοστρόβιλος	2	Μεγάλο	Γενική αεροπορία	33 720	27 290	2 490	3 962	2	CF700	CNT (lb)	203	113	Άτρακτος
SD330	Short SD3-30/PT6A-45AR	Ελικοστρόβιλος	2	Μεγάλο	Εμπορικό	22 900	22 600	3 650	2 670	3	PT6A45	CNT (% of Max Static Thrust)	211	109	Έλικας
SF340	Saab SF340B/CT7-9B	Ελικοστρόβιλος	2	Μεγάλο	Εμπορικό	27 300	26 500	3 470	4 067	3	CT75	CNT (% of Max Static Thrust)	211	110	Έλικας

▼**M2**

Πίνακας Θ-3

Διαδικαστικά βήματα καθιερωμένης προσέγγισης

ACFTID	Profile_ID (Προφίλ προσέγγισης)	Αριθμός βήματος	Είδος βήματος	Flap_ID (Θέση πτερυγίων καμπυλότητας)	Ύψος έναρξης προσέγγισης (ft)	Διακριβωμένη ταχύτητα αέρα στην έναρξη προσέγγισης (kt)	Γωνία καθόδου (deg)	Διαδρομή από το σημείο επαφής μέχρι ακινητοποίησης (ft)	Απόσταση (ft)	Ώση κατά την έναρξη προσέγγισης (Μέγιστη ώση %)
1900D	DEFAULT	1	Κάθοδος	ZERO-A	6 000,0	160,0	3,0			
1900D	DEFAULT	2	Κάθοδος	ZERO-A	3 000,0	160,0	3,0			
1900D	DEFAULT	3	Κάθοδος	ZERO-A	1 500,0	146,0	3,0			
1900D	DEFAULT	4	Κάθοδος	35-A	1 000,0	118,0	3,0			
1900D	DEFAULT	5	Προσγείωση	35-A				57,2		
1900D	DEFAULT	6	Επιβράδυνση			84,0			515,2	40,0
1900D	DEFAULT	7	Επιβράδυνση			10,0			0,0	10,0
707320	DEFAULT	1	Κάθοδος	ZERO	6 000,0	250,0	3,0			
707320	DEFAULT	2	Κάθοδος	14	3 000,0	160,0	3,0			
707320	DEFAULT	3	Κάθοδος	D-25	1 500,0	145,0	3,0			
707320	DEFAULT	4	Κάθοδος	D-40	1 000,0	131,6	3,0			
707320	DEFAULT	5	Προσγείωση	D-40				410,6		
707320	DEFAULT	6	Επιβράδυνση			124,9			3 695,4	40,0
707320	DEFAULT	7	Επιβράδυνση			30,0			0,0	10,0
707QN	DEFAULT	1	Κάθοδος	ZERO	6 000,0	250,0	3,0			
707QN	DEFAULT	2	Κάθοδος	14	3 000,0	160,0	3,0			
707QN	DEFAULT	3	Κάθοδος	D-25	1 500,0	145,0	3,0			
707QN	DEFAULT	4	Κάθοδος	D-40	1 000,0	131,6	3,0			

▼**M2**

ACFTID	Profile_ID (Προφίλ προσέγγισης)	Αριθμός βήματος	Είδος βήματος	Flap_ID (Θέση πτερυγίων καμπυλότητας)	Ύψος έναρξης προσέγγισης (ft)	Διακριβωμένη ταχύτητα αέρα στην έναρξη προσέγγισης (kt)	Γωνία καθόδου (deg)	Διαδρομή από το σημείο επαφής μέχρι ακινητοποίησης (ft)	Απόσταση (ft)	Ώση κατά την έναρξη προσέγγισης (Μέγιστη ώση %)
707QN	DEFAULT	5	Προσγείωση	D-40				410,6		
707QN	DEFAULT	6	Επιβράδυνση			124,9			3 695,4	40,0
707QN	DEFAULT	7	Επιβράδυνση			30,0			0,0	10,0
717200	DEFAULT	1	Κάθοδος	A_0U	6 000,0	250,0	3,0			
717200	DEFAULT	2	Κάθοδος	A_18U	3 000,0	190,0	3,0			
717200	DEFAULT	3	Κάθοδος	A_18D	1 500,0	160,0	3,0			
717200	DEFAULT	4	Κάθοδος	A_40D	1 000,0	140,0	3,0			
717200	DEFAULT	5	Προσγείωση	A_40D				318,6		
717200	DEFAULT	6	Επιβράδυνση			130,0			2 867,4	40,0
717200	DEFAULT	7	Επιβράδυνση			30,0			0,0	8,6
720B	DEFAULT	1	Κάθοδος	ZERO	6 000,0	250,0	3,0			
720B	DEFAULT	2	Κάθοδος	20	3 000,0	160,0	3,0			
720B	DEFAULT	3	Κάθοδος	U-30	1 500,0	149,0	3,0			
720B	DEFAULT	4	Κάθοδος	D-30	1 000,0	139,0	3,0			
720B	DEFAULT	5	Προσγείωση	D-30				419,1		
720B	DEFAULT	6	Επιβράδυνση			131,9			3 771,9	40,0
720B	DEFAULT	7	Επιβράδυνση			30,0			0,0	10,0
727100	DEFAULT	1	Κάθοδος	ZERO	6 000,0	250,0	3,0			
727100	DEFAULT	2	Κάθοδος	5	3 000,0	160,0	3,0			
727100	DEFAULT	3	Κάθοδος	D-25	1 500,0	125,5	3,0			

▼**M2**

ACFTID	Profile_ID (Προφίλ προσέγγισης)	Αριθμός βήματος	Είδος βήματος	Flap_ID (Θέση πτερυγίων καμπυλότητας)	Ύψος έναρξης προσέγγισης (ft)	Διακριβωμένη ταχύτητα αέρα στην έναρξη προσέγγισης (kt)	Γωνία καθόδου (deg)	Διαδρομή από το σημείο επαφής μέχρι ακινητοποίησης (ft)	Απόσταση (ft)	Ώση κατά την έναρξη προσέγγισης (Μέγιστη ώση %)
727100	DEFAULT	4	Κάθοδος	D-30	1 000,0	123,2	3,0			
727100	DEFAULT	5	Προσγείωση	D-30				342,6		
727100	DEFAULT	6	Επιβράδυνση			116,8			3 083,4	40,0
727100	DEFAULT	7	Επιβράδυνση			30,0			0,0	10,0
727D15	DEFAULT	1	Κάθοδος	ZERO	6 000,0	250,0	3,0			
727D15	DEFAULT	2	Κάθοδος	5	3 000,0	160,0	3,0			
727D15	DEFAULT	3	Κάθοδος	D-25	1 500,0	149,6	3,0			
727D15	DEFAULT	4	Κάθοδος	D-30	1 000,0	147,6	3,0			
727D15	DEFAULT	5	Προσγείωση	D-30				347,6		
727D15	DEFAULT	6	Επιβράδυνση			140,0			3 128,4	40,0
727D15	DEFAULT	7	Επιβράδυνση			30,0			0,0	10,0
727D17	DEFAULT	1	Κάθοδος	ZERO	6 000,0	250,0	3,0			
727D17	DEFAULT	2	Κάθοδος	5	3 000,0	160,0	3,0			
727D17	DEFAULT	3	Κάθοδος	D-25	1 500,0	149,6	3,0			
727D17	DEFAULT	4	Κάθοδος	D-30	1 000,0	147,6	3,0			
727D17	DEFAULT	5	Προσγείωση	D-30				394,6		
727D17	DEFAULT	6	Επιβράδυνση			140,0			3 551,4	40,0
727D17	DEFAULT	7	Επιβράδυνση			30,0			0,0	10,0
727EM1	DEFAULT	1	Κάθοδος	ZERO	6 000,0	250,0	3,0			

▼**M2**

ACFTID	Profile_ID (Προφίλ προσέγγισης)	Αριθμός βήματος	Είδος βήματος	Flap_ID (Θέση πτερυγίων καμπυλότητας)	Ύψος έναρξης προσέγγισης (ft)	Διακριβωμένη ταχύτητα αέρα στην έναρξη προσέγγισης (kt)	Γωνία καθόδου (deg)	Διαδρομή από το σημείο επαφής μέχρι ακινητοποίησης (ft)	Απόσταση (ft)	Ώση κατά την έναρξη προσέγγισης (Μέγιστη ώση %)
727EM1	DEFAULT	2	Κάθοδος	5	3 000,0	160,0	3,0			
727EM1	DEFAULT	3	Κάθοδος	D-25	1 500,0	125,5	3,0			
727EM1	DEFAULT	4	Κάθοδος	D-30	1 000,0	123,2	3,0			
727EM1	DEFAULT	5	Προσγείωση	D-30				342,6		
727EM1	DEFAULT	6	Επιβράδυνση			116,8			3 083,4	40,0
727EM1	DEFAULT	7	Επιβράδυνση			30,0			0,0	10,0
727EM2	DEFAULT	1	Κάθοδος	ZERO	6 000,0	250,0	3,0			
727EM2	DEFAULT	2	Κάθοδος	5	3 000,0	160,0	3,0			
727EM2	DEFAULT	3	Κάθοδος	D-25	1 500,0	149,6	3,0			
727EM2	DEFAULT	4	Κάθοδος	D-30	1 000,0	147,6	3,0			
727EM2	DEFAULT	5	Προσγείωση	D-30				347,6		
727EM2	DEFAULT	6	Επιβράδυνση			140,0			3 128,4	40,0
727EM2	DEFAULT	7	Επιβράδυνση			30,0			0,0	10,0
727Q15	DEFAULT	1	Κάθοδος	ZERO	6 000,0	250,0	3,0			
727Q15	DEFAULT	2	Κάθοδος	5	3 000,0	160,0	3,0			
727Q15	DEFAULT	3	Κάθοδος	D-25	1 500,0	149,6	3,0			
727Q15	DEFAULT	4	Κάθοδος	D-30	1 000,0	147,6	3,0			
727Q15	DEFAULT	5	Προσγείωση	D-30				347,6		
727Q15	DEFAULT	6	Επιβράδυνση			140,0			3 128,4	40,0
727Q15	DEFAULT	7	Επιβράδυνση			30,0			0,0	10,0

▼**M2**

ACFTID	Profile_ID (Προφίλ προσέγγισης)	Αριθμός βήματος	Είδος βήματος	Flap_ID (Θέση πτερυγίων καμπυλότητας)	Ύψος έναρξης προσέγγισης (ft)	Διακριβωμένη ταχύτητα αέρα στην έναρξη προσέγγισης (kt)	Γωνία καθόδου (deg)	Διαδρομή από το σημείο επαφής μέχρι ακινητοποίησης (ft)	Απόσταση (ft)	Ώση κατά την έναρξη προσέγγισης (Μέγιστη ώση %)
727Q7	DEFAULT	1	Κάθοδος	ZERO	6 000,0	250,0	3,0			
727Q7	DEFAULT	2	Κάθοδος	5	3 000,0	160,0	3,0			
727Q7	DEFAULT	3	Κάθοδος	D-25	1 500,0	125,5	3,0			
727Q7	DEFAULT	4	Κάθοδος	D-30	1 000,0	123,2	3,0			
727Q7	DEFAULT	5	Προσγείωση	D-30				342,6		
727Q7	DEFAULT	6	Επιβράδυνση			116,8			3 083,4	40,0
727Q7	DEFAULT	7	Επιβράδυνση			30,0			0,0	10,0
727Q9	DEFAULT	1	Κάθοδος	ZERO	6 000,0	250,0	3,0			
727Q9	DEFAULT	2	Κάθοδος	5	3 000,0	160,0	3,0			
727Q9	DEFAULT	3	Κάθοδος	D-25	1 500,0	145,4	3,0			
727Q9	DEFAULT	4	Κάθοδος	D-30	1 000,0	143,4	3,0			
727Q9	DEFAULT	5	Προσγείωση	D-30				394,6		
727Q9	DEFAULT	6	Επιβράδυνση			136,0			3 551,4	40,0
727Q9	DEFAULT	7	Επιβράδυνση			30,0			0,0	10,0
727QF	DEFAULT	1	Κάθοδος	U-ZERO	6 000,0	250,0	3,0			
727QF	DEFAULT	2	Κάθοδος	U-05	3 000,0	160,0	3,0			
727QF	DEFAULT	3	Κάθοδος	D-15	1 500,0	150,0	3,0			
727QF	DEFAULT	4	Κάθοδος	D-30	1 000,0	131,0	3,0			
727QF	DEFAULT	5	Προσγείωση	D-30				363,0		
727QF	DEFAULT	6	Επιβράδυνση			121,0			2 686,0	40,0

▼**M2**

ACFTID	Profile_ID (Προφίλ προσέγγισης)	Αριθμός βήματος	Είδος βήματος	Flap_ID (Θέση πτερυγίων καμπυλότητας)	Ύψος έναρξης προσέγγισης (ft)	Διακριβωμένη ταχύτητα αέρα στην έναρξη προσέγγισης (kt)	Γωνία καθόδου (deg)	Διαδρομή από το σημείο επαφής μέχρι ακινητοποίησης (ft)	Απόσταση (ft)	Ώση κατά την έναρξη προσέγγισης (Μέγιστη ώση %)
727QF	DEFAULT	7	Επιβράδυνση			60,0			0,0	10,0
737	DEFAULT	1	Κάθοδος	ZERO	6 000,0	250,0	3,0			
737	DEFAULT	2	Κάθοδος	5	3 000,0	170,0	3,0			
737	DEFAULT	3	Κάθοδος	D-25	1 500,0	134,5	3,0			
737	DEFAULT	4	Κάθοδος	D-30	1 000,0	131,5	3,0			
737	DEFAULT	5	Προσγείωση	D-30				255,6		
737	DEFAULT	6	Επιβράδυνση			124,8			2 300,4	40,0
737	DEFAULT	7	Επιβράδυνση			30,0			0,0	10,0
737300	DEFAULT	1	Κάθοδος	ZERO	6 000,0	250,0	3,0			
737300	DEFAULT	2	Κάθοδος	5	3 000,0	170,0	3,0			
737300	DEFAULT	3	Κάθοδος	D-15	1 500,0	148,6	3,0			
737300	DEFAULT	4	Κάθοδος	D-30	1 000,0	139,0	3,0			
737300	DEFAULT	5	Προσγείωση	D-30				316,8		
737300	DEFAULT	6	Επιβράδυνση			131,9			2 851,2	40,0
737300	DEFAULT	7	Επιβράδυνση			30,0			0,0	10,0
7373B2	DEFAULT	1	Κάθοδος	ZERO	6 000,0	250,0	3,0			
7373B2	DEFAULT	2	Κάθοδος	5	3 000,0	170,0	3,0			
7373B2	DEFAULT	3	Κάθοδος	D-15	1 500,0	148,6	3,0			
7373B2	DEFAULT	4	Κάθοδος	D-30	1 000,0	139,0	3,0			
7373B2	DEFAULT	5	Προσγείωση	D-30				316,8		

▼**M2**

ACFTID	Profile_ID (Προφίλ προσέγγισης)	Αριθμός βήματος	Είδος βήματος	Flap_ID (Θέση πτερυγίων καμπυλότητας)	Ύψος έναρξης προσέγγισης (ft)	Διακριβωμένη ταχύτητα αέρα στην έναρξη προσέγγισης (kt)	Γωνία καθόδου (deg)	Διαδρομή από το σημείο επαφής μέχρι ακινητοποίησης (ft)	Απόσταση (ft)	Ώση κατά την έναρξη προσέγγισης (Μέγιστη ώση %)
7373B2	DEFAULT	6	Επιβράδυνση			131,9			2 851,2	40,0
7373B2	DEFAULT	7	Επιβράδυνση			30,0			0,0	10,0
737400	DEFAULT	1	Κάθοδος	ZERO	6 000,0	250,0	3,0			
737400	DEFAULT	2	Κάθοδος	5	3 000,0	170,0	3,0			
737400	DEFAULT	3	Κάθοδος	D-15	1 500,0	159,7	3,0			
737400	DEFAULT	4	Κάθοδος	D-30	1 000,0	144,9	3,0			
737400	DEFAULT	5	Προσγείωση	D-30				360,2		
737400	DEFAULT	6	Επιβράδυνση			137,5			3 241,8	40,0
737400	DEFAULT	7	Επιβράδυνση			30,0			0,0	10,0
737500	DEFAULT	1	Κάθοδος	ZERO	6 000,0	250,0	3,0			
737500	DEFAULT	2	Κάθοδος	5	3 000,0	170,0	3,0			
737500	DEFAULT	3	Κάθοδος	D-15	1 500,0	143,4	3,0			
737500	DEFAULT	4	Κάθοδος	D-30	1 000,0	135,3	3,0			
737500	DEFAULT	5	Προσγείωση	D-30				314,2		
737500	DEFAULT	6	Επιβράδυνση			128,4			2 827,8	40,0
737500	DEFAULT	7	Επιβράδυνση			30,0			0,0	10,0
737700	DEFAULT	1	Κάθοδος	T_ZERO	6 000,0	250,0	3,0			
737700	DEFAULT	2	Κάθοδος	T_5	3 000,0	171,0	3,0			
737700	DEFAULT	3	Κάθοδος	A_15	1 500,0	140,0	3,0			
737700	DEFAULT	4	Κάθοδος	A_40	1 000,0	133,0	3,0			
737700	DEFAULT	5	Προσγείωση	A_40				304,7		

▼**M2**

ACFTID	Profile_ID (Προφίλ προσέγγισης)	Αριθμός βήματος	Είδος βήματος	Flap_ID (Θέση πτερυγίων καμπυλότητας)	Ύψος έναρξης προσέγγισης (ft)	Διακριβωμένη ταχύτητα αέρα στην έναρξη προσέγγισης (kt)	Γωνία καθόδου (deg)	Διαδρομή από το σημείο επαφής μέχρι ακινητοποίησης (ft)	Απόσταση (ft)	Ώση κατά την έναρξη προσέγγισης (Μέγιστη ώση %)
737700	DEFAULT	6	Επιβράδυνση			116,0			2 741,9	40,0
737700	DEFAULT	7	Επιβράδυνση			30,0			0,0	10,0
737D17	DEFAULT	1	Κάθοδος	ZERO	6 000,0	250,0	3,0			
737D17	DEFAULT	2	Κάθοδος	5	3 000,0	170,0	3,0			
737D17	DEFAULT	3	Κάθοδος	D-25	1 500,0	140,2	3,0			
737D17	DEFAULT	4	Κάθοδος	D-30	1 000,0	137,7	3,0			
737D17	DEFAULT	5	Προσγείωση	D-30				286,6		
737D17	DEFAULT	6	Επιβράδυνση			130,7			2 579,4	40,0
737D17	DEFAULT	7	Επιβράδυνση			30,0			0,0	10,0
737N17	DEFAULT	1	Κάθοδος	ZERO	6 000,0	250,0	3,0			
737N17	DEFAULT	2	Κάθοδος	5	3 000,0	170,0	3,0			
737N17	DEFAULT	3	Κάθοδος	D-25	1 500,0	140,2	3,0			
737N17	DEFAULT	4	Κάθοδος	D-30	1 000,0	137,7	3,0			
737N17	DEFAULT	5	Προσγείωση	D-30				286,6		
737N17	DEFAULT	6	Επιβράδυνση			130,7			2 579,4	40,0
737N17	DEFAULT	7	Επιβράδυνση			30,0			0,0	10,0
737N9	DEFAULT	1	Κάθοδος	ZERO	6 000,0	250,0	3,0			
737N9	DEFAULT	2	Κάθοδος	5	3 000,0	170,0	3,0			
737N9	DEFAULT	3	Κάθοδος	D-25	1 500,0	134,5	3,0			
737N9	DEFAULT	4	Κάθοδος	D-30	1 000,0	131,5	3,0			
737N9	DEFAULT	5	Προσγείωση	D-30				255,6		

▼**M2**

ACFTID	Profile_ID (Προφίλ προσέγγισης)	Αριθμός βήματος	Είδος βήματος	Flap_ID (Θέση πτερυγίων καμπυλότητας)	Ύψος έναρξης προσέγγισης (ft)	Διακριβωμένη ταχύτητα αέρα στην έναρξη προσέγγισης (kt)	Γωνία καθόδου (deg)	Διαδρομή από το σημείο επαφής μέχρι ακινητοποίησης (ft)	Απόσταση (ft)	Ώση κατά την έναρξη προσέγγισης (Μέγιστη ώση %)
737N9	DEFAULT	6	Επιβράδυνση			124,8			2 300,4	40,0
737N9	DEFAULT	7	Επιβράδυνση			30,0			0,0	10,0
737QN	DEFAULT	1	Κάθοδος	ZERO	6 000,0	250,0	3,0			
737QN	DEFAULT	2	Κάθοδος	5	3 000,0	170,0	3,0			
737QN	DEFAULT	3	Κάθοδος	D-25	1 500,0	134,5	3,0			
737QN	DEFAULT	4	Κάθοδος	D-30	1 000,0	131,5	3,0			
737QN	DEFAULT	5	Προσγείωση	D-30				255,6		
737QN	DEFAULT	6	Επιβράδυνση			124,8			2 300,4	40,0
737QN	DEFAULT	7	Επιβράδυνση			30,0			0,0	10,0
74710Q	DEFAULT	1	Κάθοδος	ZERO	6 000,0	250,0	3,0			
74710Q	DEFAULT	2	Κάθοδος	10	3 000,0	160,0	3,0			
74710Q	DEFAULT	3	Κάθοδος	D-20	1 500,0	155,0	3,0			
74710Q	DEFAULT	4	Κάθοδος	D-30	1 000,0	144,0	3,0			
74710Q	DEFAULT	5	Προσγείωση	D-30				462,6		
74710Q	DEFAULT	6	Επιβράδυνση			136,6			4 163,4	10,0
74710Q	DEFAULT	7	Επιβράδυνση			30,0			0,0	10,0
747200	DEFAULT	1	Κάθοδος	ZERO	6 000,0	250,0	3,0			
747200	DEFAULT	2	Κάθοδος	10	3 000,0	160,0	3,0			
747200	DEFAULT	3	Κάθοδος	D-20	1 500,0	155,0	3,0			
747200	DEFAULT	4	Κάθοδος	D-30	1 000,0	144,0	3,0			
747200	DEFAULT	5	Προσγείωση	D-30				462,6		

▼**M2**

ACFTID	Profile_ID (Προφίλ προσέγγισης)	Αριθμός βήματος	Είδος βήματος	Flap_ID (Θέση πτερυγίων καμπυλότητας)	Ύψος έναρξης προσέγγισης (ft)	Διακριβωμένη ταχύτητα αέρα στην έναρξη προσέγγισης (kt)	Γωνία καθόδου (deg)	Διαδρομή από το σημείο επαφής μέχρι ακινητοποίησης (ft)	Απόσταση (ft)	Ώση κατά την έναρξη προσέγγισης (Μέγιστη ώση %)
747200	DEFAULT	6	Επιβράδυνση			136,6			4 163,4	10,0
747200	DEFAULT	7	Επιβράδυνση			30,0			0,0	10,0
74720A	DEFAULT	1	Κάθοδος	ZERO	6 000,0	250,0	3,0			
74720A	DEFAULT	2	Κάθοδος	10	3 000,0	163,7	3,0			
74720A	DEFAULT	3	Κάθοδος	D-25	1 500,0	150,0	3,0			
74720A	DEFAULT	4	Κάθοδος	D-30	1 000,0	143,7	3,0			
74720A	DEFAULT	5	Προσγείωση	D-30				462,6		
74720A	DEFAULT	6	Επιβράδυνση			136,3			4 163,4	10,0
74720A	DEFAULT	7	Επιβράδυνση			30,0			0,0	10,0
74720B	DEFAULT	1	Κάθοδος	ZERO	6 000,0	250,0	3,0			
74720B	DEFAULT	2	Κάθοδος	10	3 000,0	171,9	3,0			
74720B	DEFAULT	3	Κάθοδος	D-25	1 500,0	158,5	3,0			
74720B	DEFAULT	4	Κάθοδος	D-30	1 000,0	151,9	3,0			
74720B	DEFAULT	5	Προσγείωση	D-30				462,6		
74720B	DEFAULT	6	Επιβράδυνση			144,1			4 163,4	10,0
74720B	DEFAULT	7	Επιβράδυνση			30,0			0,0	10,0
747400	DEFAULT	1	Κάθοδος	5	6 000,0	250,0	3,0			
747400	DEFAULT	2	Κάθοδος	10	3 000,0	175,4	3,0			
747400	DEFAULT	3	Κάθοδος	D-25	1 500,0	161,4	3,0			
747400	DEFAULT	4	Κάθοδος	D-30	1 000,0	155,4	3,0			

▼**M2**

ACFTID	Profile_ID (Προφίλ προσέγγισης)	Αριθμός βήματος	Είδος βήματος	Flap_ID (Θέση πτερυγίων καμπυλότητας)	Ύψος έναρξης προσέγγισης (ft)	Διακριβωμένη ταχύτητα αέρα στην έναρξη προσέγγισης (kt)	Γωνία καθόδου (deg)	Διαδρομή από το σημείο επαφής μέχρι ακινητοποίησης (ft)	Απόσταση (ft)	Ώση κατά την έναρξη προσέγγισης (Μέγιστη ώση %)
747400	DEFAULT	5	Προσγείωση	D-30				533,6		
747400	DEFAULT	6	Επιβράδυνση			147,5			4 802,4	10,0
747400	DEFAULT	7	Επιβράδυνση			30,0			0,0	10,0
7478	DEFAULT	1	Κάθοδος_Βραδεία λειτουργία		6 000,0	278,8	3,0			
7478	DEFAULT	2	Επίπεδο_Βραδεία λειτουργία		3 000,0	279,5			30 000,0	
7478	DEFAULT	3	Επίπεδο_Βραδεία λειτουργία		3 000,0	218,3			10 000,0	
7478	DEFAULT	4	Επίπεδο_Βραδεία λειτουργία		3 000,0	186,1			3 050,0	
7478	DEFAULT	5	Επίπεδο_Βραδεία λειτουργία		3 000,0	174,6			4 500,0	
7478	DEFAULT	6	Level	F_10	3 000,0	162,3			2 069,0	
7478	DEFAULT	7	Κάθοδος	F_30	3 000,0	157,4	3,0			
7478	DEFAULT	8	Προσγείωση	F_30				615,6		
7478	DEFAULT	9	Επιβράδυνση			150,4			5 540,4	10,0
7478	DEFAULT	10	Επιβράδυνση			30,0			0,0	10,0
747SP	DEFAULT	1	Κάθοδος	ZERO	6 000,0	250,0	3,0			
747SP	DEFAULT	2	Κάθοδος	10	3 000,0	160,0	3,0			
747SP	DEFAULT	3	Κάθοδος	D-20	1 500,0	141,5	3,0			
747SP	DEFAULT	4	Κάθοδος	D-30	1 000,0	132,4	3,0			
747SP	DEFAULT	5	Προσγείωση	D-30				436,6		

▼**M2**

ACFTID	Profile_ID (Προφίλ προσέγγισης)	Αριθμός βήματος	Είδος βήματος	Flap_ID (Θέση πτερυγίων καμπυλότητας)	Ύψος έναρξης προσέγγισης (ft)	Διακριβωμένη ταχύτητα αέρα στην έναρξη προσέγγισης (kt)	Γωνία καθόδου (deg)	Διαδρομή από το σημείο επαφής μέχρι ακινητοποίησης (ft)	Απόσταση (ft)	Ώση κατά την έναρξη προσέγγισης (Μέγιστη ώση %)
747SP	DEFAULT	6	Επιβράδυνση			125,6			3 929,4	10,0
747SP	DEFAULT	7	Επιβράδυνση			30,0			0,0	10,0
757PW	DEFAULT	1	Κάθοδος	ZERO	6 000,0	250,0	3,0			
757PW	DEFAULT	2	Κάθοδος	5	3 000,0	160,0	3,0			
757PW	DEFAULT	3	Κάθοδος	D-25	1 500,0	136,5	3,0			
757PW	DEFAULT	4	Κάθοδος	D-30	1 000,0	134,2	3,0			
757PW	DEFAULT	5	Προσγείωση	D-30				335,7		
757PW	DEFAULT	6	Επιβράδυνση			127,3			3 021,3	40,0
757PW	DEFAULT	7	Επιβράδυνση			30,0			0,0	10,0
757RR	DEFAULT	1	Κάθοδος	ZERO	6 000,0	250,0	3,0			
757RR	DEFAULT	2	Κάθοδος	5	3 000,0	160,0	3,0			
757RR	DEFAULT	3	Κάθοδος	D-25	1 500,0	136,7	3,0			
757RR	DEFAULT	4	Κάθοδος	D-30	1 000,0	134,7	3,0			
757RR	DEFAULT	5	Προσγείωση	D-30				322,2		
757RR	DEFAULT	6	Επιβράδυνση			127,8			2 899,8	40,0
757RR	DEFAULT	7	Επιβράδυνση			30,0			0,0	10,0
767300	DEFAULT	1	Κάθοδος	ZERO	6 000,0	250,0	3,0			
767300	DEFAULT	2	Κάθοδος	5	3 000,0	167,0	3,0			
767300	DEFAULT	3	Κάθοδος	D-25	1 500,0	141,0	3,0			
767300	DEFAULT	4	Κάθοδος	D-30	1 000,0	137,1	3,0			
767300	DEFAULT	5	Προσγείωση	D-30				328,5		

▼**M2**

ACFTID	Profile_ID (Προφίλ προσέγγισης)	Αριθμός βήματος	Είδος βήματος	Flap_ID (Θέση πτερυγίων καμπυλότητας)	Ύψος έναρξης προσέγγισης (ft)	Διακριβωμένη ταχύτητα αέρα στην έναρξη προσέγγισης (kt)	Γωνία καθόδου (deg)	Διαδρομή από το σημείο επαφής μέχρι ακινητοποίησης (ft)	Απόσταση (ft)	Ώση κατά την έναρξη προσέγγισης (Μέγιστη ώση %)
767300	DEFAULT	6	Επιβράδυνση			130,1			2 956,5	10,0
767300	DEFAULT	7	Επιβράδυνση			30,0			0,0	10,0
767CF6	DEFAULT	1	Κάθοδος	1	6 000,0	250,0	3,0			
767CF6	DEFAULT	2	Κάθοδος	5	3 000,0	168,5	3,0			
767CF6	DEFAULT	3	Κάθοδος	D-25	1 500,0	143,0	3,0			
767CF6	DEFAULT	4	Κάθοδος	D-30	1 000,0	138,5	3,0			
767CF6	DEFAULT	5	Προσγείωση	D-30				327,6		
767CF6	DEFAULT	6	Επιβράδυνση			131,4			2 948,4	10,0
767CF6	DEFAULT	7	Επιβράδυνση			30,0			0,0	10,0
767JT9	DEFAULT	1	Κάθοδος	ZERO	6 000,0	250,0	3,0			
767JT9	DEFAULT	2	Κάθοδος	5	3 000,0	168,5	3,0			
767JT9	DEFAULT	3	Κάθοδος	D-25	1 500,0	143,0	3,0			
767JT9	DEFAULT	4	Κάθοδος	D-30	1 000,0	138,5	3,0			
767JT9	DEFAULT	5	Προσγείωση	D-30				331,6		
767JT9	DEFAULT	6	Επιβράδυνση			131,4			2 984,4	10,0
767JT9	DEFAULT	7	Επιβράδυνση			30,0			0,0	10,0
7773ER	DEFAULT	1	Κάθοδος_Βραδεία λειτουργία		6 000,0	249,9	3,0			
7773ER	DEFAULT	2	Επίπεδο_Βραδεία λειτουργία		3 000,0	249,9			20 776,0	
7773ER	DEFAULT	3	Επίπεδο_Βραδεία λειτουργία		3 000,0	210,6			10 088,0	
7773ER	DEFAULT	4	Επίπεδο_Βραδεία λειτουργία		3 000,0	185,4			5 926,0	

▼**M2**

ACFTID	Profile_ID (Προφίλ προσέγγισης)	Αριθμός βήματος	Είδος βήματος	Flap_ID (Θέση πτερυγίων καμπυλότητας)	Ύψος έναρξης προσέγγισης (ft)	Διακριβωμένη ταχύτητα αέρα στην έναρξη προσέγγισης (kt)	Γωνία καθόδου (deg)	Διαδρομή από το σημείο επαφής μέχρι ακινητοποίησης (ft)	Απόσταση (ft)	Ώση κατά την έναρξη προσέγγισης (Μέγιστη ώση %)
7773ER	DEFAULT	5	Κάθοδος_Βραδεία λειτουργία		3 000,0	170,4	3,0			
7773ER	DEFAULT	6	Κάθοδος	F_30	2 700,0	147,8	3,0			
7773ER	DEFAULT	7	Προσγείωση	F_30				427,1		
7773ER	DEFAULT	8	Επιβράδυνση			140,8			3 843,5	10,0
7773ER	DEFAULT	9	Επιβράδυνση			30,0			0,0	10,0
7878R	DEFAULT	1	Κάθοδος_Βραδεία λειτουργία		6 000,0	249,0	3,0			
7878R	DEFAULT	2	Επίπεδο_Βραδεία λειτουργία		3 000,0	249,5			20 950,0	
7878R	DEFAULT	3	Επίπεδο_Βραδεία λειτουργία		3 000,0	214,3			10 000,0	
7878R	DEFAULT	4	Επίπεδο_Βραδεία λειτουργία		3 000,0	178,9			5 000,0	
7878R	DEFAULT	5	Κάθοδος_Βραδεία λειτουργία		3 000,0	157,0	3,0			
7878R	DEFAULT	6	Κάθοδος	FLAP30	2 725,0	142,3	3,0			
7878R	DEFAULT	7	Προσγείωση	FLAP30				362,7		
7878R	DEFAULT	8	Επιβράδυνση			135,3			3 264,3	10,0
7878R	DEFAULT	9	Επιβράδυνση			30,0			0,0	10,0
A300-622R	DEFAULT	1	Κάθοδος_Βραδεία λειτουργία		6 000,0	250,0	3,3			
A300-622R	DEFAULT	2	Επίπεδο_Βραδεία λειτουργία		3 000,0	250,0			14 583,3	
A300-622R	DEFAULT	3	Επίπεδο_Βραδεία λειτουργία		3 000,0	210,9			7 398,3	

▼**M2**

ACFTID	Profile_ID (Προφίλ προσέγγισης)	Αριθμός βήματος	Είδος βήματος	Flap_ID (Θέση πτερυγίων καμπυλότητας)	Ύψος έναρξης προσέγγισης (ft)	Διακριβωμένη ταχύτητα αέρα στην έναρξη προσέγγισης (kt)	Γωνία καθόδου (deg)	Διαδρομή από το σημείο επαφής μέχρι ακινητοποίησης (ft)	Απόσταση (ft)	Ώση κατά την έναρξη προσέγγισης (Μέγιστη ώση %)
A300-622R	DEFAULT	4	Κάθοδος_Βραδεία λειτουργία		3 000,0	185,1	3,0			
A300-622R	DEFAULT	5	Κάθοδος_Βραδεία λειτουργία		2 417,0	175,9	3,0			
A300-622R	DEFAULT	6	Κάθοδος_Βραδεία λειτουργία		1 818,0	149,0	3,0			
A300-622R	DEFAULT	7	Κάθοδος	FULL_D	1 615,0	133,5	3,0			
A300-622R	DEFAULT	8	Κάθοδος	FULL_D	50,0	133,5	3,0			
A300-622R	DEFAULT	9	Προσγείωση	FULL_D				305,3		
A300-622R	DEFAULT	10	Επιβράδυνση			130,5			2 747,8	10,0
A300-622R	DEFAULT	11	Επιβράδυνση			30,0			0,0	10,0
A300B4-203	DEFAULT	1	Κάθοδος	ZERO	6 000,0	250,0	3,0			
A300B4-203	DEFAULT	2	Κάθοδος	1	3 000,0	158,5	3,0			
A300B4-203	DEFAULT	3	Κάθοδος	D-15	1 500,0	148,5	3,0			
A300B4-203	DEFAULT	4	Κάθοδος	D-25	1 000,0	140,0	3,0			
A300B4-203	DEFAULT	5	Προσγείωση	D-25				387,6		
A300B4-203	DEFAULT	6	Επιβράδυνση			132,8			3 488,4	40,0
A300B4-203	DEFAULT	7	Επιβράδυνση			30,0			0,0	10,0
A310-304	DEFAULT	1	Κάθοδος_Βραδεία λειτουργία		6 000,0	250,0	3,2			
A310-304	DEFAULT	2	Επίπεδο_Βραδεία λειτουργία		3 000,0	250,0			14 609,6	
A310-304	DEFAULT	3	Επίπεδο_Βραδεία λειτουργία		3 000,0	211,6			8 736,9	

▼**M2**

ACFTID	Profile_ID (Προφίλ προσέγγισης)	Αριθμός βήματος	Είδος βήματος	Flap_ID (Θέση πτερυγίων καμπυλότητας)	Ύψος έναρξης προσέγγισης (ft)	Διακριβωμένη ταχύτητα αέρα στην έναρξη προσέγγισης (kt)	Γωνία καθόδου (deg)	Διαδρομή από το σημείο επαφής μέχρι ακινητοποίησης (ft)	Απόσταση (ft)	Ώση κατά την έναρξη προσέγγισης (Μέγιστη ώση %)
A310-304	DEFAULT	4	Κάθοδος_Βραδεία λειτουργία		3 000,0	180,6	3,0			
A310-304	DEFAULT	5	Κάθοδος_Βραδεία λειτουργία		2 551,0	169,3	3,0			
A310-304	DEFAULT	6	Κάθοδος_Βραδεία λειτουργία		2 147,0	148,0	3,0			
A310-304	DEFAULT	7	Κάθοδος	FULL_D	2 000,0	134,6	3,0			
A310-304	DEFAULT	8	Κάθοδος	FULL_D	50,0	134,6	3,0			
A310-304	DEFAULT	9	Προσγείωση	FULL_D				302,9		
A310-304	DEFAULT	10	Επιβράδυνση			131,6			2 726,6	10,0
A310-304	DEFAULT	11	Επιβράδυνση			30,0			0,0	10,0
A319-131	DEFAULT	1	Κάθοδος_Βραδεία λειτουργία		6 000,0	250,0	3,1			
A319-131	DEFAULT	2	Επίπεδο_Βραδεία λειτουργία		3 000,0	250,0			19 940,9	
A319-131	DEFAULT	3	Επίπεδο_Βραδεία λειτουργία		3 000,0	197,5			4 813,0	
A319-131	DEFAULT	4	Κάθοδος_Βραδεία λειτουργία		3 000,0	181,4	3,0			
A319-131	DEFAULT	5	Κάθοδος_Βραδεία λειτουργία		2 610,0	167,7	3,0			
A319-131	DEFAULT	6	Κάθοδος_Βραδεία λειτουργία		2 114,0	138,4	3,0			
A319-131	DEFAULT	7	Κάθοδος	FULL_D	1 971,0	125,3	3,0			
A319-131	DEFAULT	8	Κάθοδος	FULL_D	50,0	125,3	3,0			
A319-131	DEFAULT	9	Προσγείωση	FULL_D				152,3		

▼**M2**

ACFTID	Profile_ID (Προφίλ προσέγγισης)	Αριθμός βήματος	Είδος βήματος	Flap_ID (Θέση πτερυγίων καμπυλότητας)	Ύψος έναρξης προσέγγισης (ft)	Διακριβωμένη ταχύτητα αέρα στην έναρξη προσέγγισης (kt)	Γωνία καθόδου (deg)	Διαδρομή από το σημείο επαφής μέχρι ακινητοποίησης (ft)	Απόσταση (ft)	Ώση κατά την έναρξη προσέγγισης (Μέγιστη ώση %)
A319-131	DEFAULT	10	Επιβράδυνση			122,3			1 370,6	40,0
A319-131	DEFAULT	11	Επιβράδυνση			30,0			0,0	10,0
A320-211	DEFAULT	1	Κάθοδος_Βραδεία λειτουργία		6 000,0	250,0	3,5			
A320-211	DEFAULT	2	Επίπεδο_Βραδεία λειτουργία		3 000,0	250,0			16 811,0	
A320-211	DEFAULT	3	Επίπεδο_Βραδεία λειτουργία		3 000,0	201,1			5 547,9	
A320-211	DEFAULT	4	Κάθοδος_Βραδεία λειτουργία		3 000,0	182,2	3,0			
A320-211	DEFAULT	5	Κάθοδος_Βραδεία λειτουργία		2 614,0	173,7	3,0			
A320-211	DEFAULT	6	Κάθοδος_Βραδεία λειτουργία		1 942,0	141,0	3,0			
A320-211	DEFAULT	7	Κάθοδος	FULL_D	1 823,0	132,6	3,0			
A320-211	DEFAULT	8	Κάθοδος	FULL_D	50,0	132,6	3,0			
A320-211	DEFAULT	9	Προσγείωση	FULL_D				303,5		
A320-211	DEFAULT	10	Επιβράδυνση			129,6			2 731,6	40,0
A320-211	DEFAULT	11	Επιβράδυνση			30,0			0,0	10,0
A320-232	DEFAULT	1	Κάθοδος_Βραδεία λειτουργία		6 000,0	250,0	2,8			
A320-232	DEFAULT	2	Επίπεδο_Βραδεία λειτουργία		3 000,0	250,0			20 003,3	
A320-232	DEFAULT	3	Επίπεδο_Βραδεία λειτουργία		3 000,0	198,7			4 629,3	
A320-232	DEFAULT	4	Κάθοδος_Βραδεία λειτουργία		3 000,0	183,5	3,0			

▼**M2**

ACFTID	Profile_ID (Προφίλ προσέγγισης)	Αριθμός βήματος	Είδος βήματος	Flap_ID (Θέση πτερυγίων καμπυλότητας)	Ύψος έναρξης προσέγγισης (ft)	Διακριβωμένη ταχύτητα αέρα στην έναρξη προσέγγισης (kt)	Γωνία καθόδου (deg)	Διαδρομή από το σημείο επαφής μέχρι ακινητοποίησης (ft)	Απόσταση (ft)	Ώση κατά την έναρξη προσέγγισης (Μέγιστη ώση %)
A320-232	DEFAULT	5	Κάθοδος_Βραδεία λειτουργία		2 613,0	172,8	3,0			
A320-232	DEFAULT	6	Κάθοδος_Βραδεία λειτουργία		2 033,0	142,2	3,0			
A320-232	DEFAULT	7	Κάθοδος	FULL_D	1 819,0	133,8	3,0			
A320-232	DEFAULT	8	Κάθοδος	FULL_D	50,0	133,8	3,0			
A320-232	DEFAULT	9	Προσγείωση	FULL_D				311,0		
A320-232	DEFAULT	10	Επιβράδυνση			130,8			2 799,4	40,0
A320-232	DEFAULT	11	Επιβράδυνση			30,0			0,0	10,0
A321-232	DEFAULT	1	Κάθοδος_Βραδεία λειτουργία		6 000,0	250,0	3,1			
A321-232	DEFAULT	2	Επίπεδο_Βραδεία λειτουργία		3 000,0	250,0			14 717,8	
A321-232	DEFAULT	3	Επίπεδο_Βραδεία λειτουργία		3 000,0	211,2			6 135,2	
A321-232	DEFAULT	4	Κάθοδος_Βραδεία λειτουργία		3 000,0	191,6	3,0			
A321-232	DEFAULT	5	Κάθοδος_Βραδεία λειτουργία		2 530,0	175,2	3,0			
A321-232	DEFAULT	6	Κάθοδος_Βραδεία λειτουργία		2 133,0	149,8	3,0			
A321-232	DEFAULT	7	Κάθοδος	FULL_D	2 003,0	138,5	3,0			
A321-232	DEFAULT	8	Κάθοδος	FULL_D	50,0	138,5	3,0			
A321-232	DEFAULT	9	Προσγείωση	FULL_D				345,2		
A321-232	DEFAULT	10	Επιβράδυνση			135,5			3 106,8	40,0

▼**M2**

ACFTID	Profile_ID (Προφίλ προσέγγισης)	Αριθμός βήματος	Είδος βήματος	Flap_ID (Θέση πτερυγίων καμπυλότητας)	Ύψος έναρξης προσέγγισης (ft)	Διακριβωμένη ταχύτητα αέρα στην έναρξη προσέγγισης (kt)	Γωνία καθόδου (deg)	Διαδρομή από το σημείο επαφής μέχρι ακινητοποίησης (ft)	Απόσταση (ft)	Ώση κατά την έναρξη προσέγγισης (Μέγιστη ώση %)
A321-232	DEFAULT	11	Επιβράδυνση			30,0			0,0	10,0
A330-301	DEFAULT	1	Κάθοδος_Βραδεία λειτουργία		6 000,0	250,0	3,1			
A330-301	DEFAULT	2	Επίπεδο_Βραδεία λειτουργία		3 000,0	250,0			19 547,2	
A330-301	DEFAULT	3	Επίπεδο_Βραδεία λειτουργία		3 000,0	200,9			10 029,5	
A330-301	DEFAULT	4	Κάθοδος_Βραδεία λειτουργία		3 000,0	166,0	3,0			
A330-301	DEFAULT	5	Κάθοδος_Βραδεία λειτουργία		2 547,0	154,0	3,0			
A330-301	DEFAULT	6	Κάθοδος_Βραδεία λειτουργία		2 292,0	140,5	3,0			
A330-301	DEFAULT	7	Κάθοδος	FULL_D	2 144,0	130,9	3,0			
A330-301	DEFAULT	8	Κάθοδος	FULL_D	50,0	130,9	3,0			
A330-301	DEFAULT	9	Προσγείωση	FULL_D				210,4		
A330-301	DEFAULT	10	Επιβράδυνση			127,9			1 893,8	10,0
A330-301	DEFAULT	11	Επιβράδυνση			30,0			0,0	10,0
A330-343	DEFAULT	1	Κάθοδος_Βραδεία λειτουργία		6 000,0	250,0	2,4			
A330-343	DEFAULT	2	Επίπεδο_Βραδεία λειτουργία		3 000,0	250,0			20 711,9	
A330-343	DEFAULT	3	Επίπεδο_Βραδεία λειτουργία		3 000,0	207,9			11 430,4	
A330-343	DEFAULT	4	Κάθοδος_Βραδεία λειτουργία		3 000,0	174,4	3,0			
A330-343	DEFAULT	5	Κάθοδος_Βραδεία λειτουργία		2 517,0	165,0	3,0			
A330-343	DEFAULT	6	Κάθοδος_Βραδεία λειτουργία		2 431,0	161,7	3,0			

▼**M2**

ACFTID	Profile_ID (Προφίλ προσέγγισης)	Αριθμός βήματος	Είδος βήματος	Flap_ID (Θέση πτερυγίων καμπυλότητας)	Ύψος έναρξης προσέγγισης (ft)	Διακριβωμένη ταχύτητα αέρα στην έναρξη προσέγγισης (kt)	Γωνία καθόδου (deg)	Διαδρομή από το σημείο επαφής μέχρι ακινητοποίησης (ft)	Απόσταση (ft)	Ώση κατά την έναρξη προσέγγισης (Μέγιστη ώση %)
A330-343	DEFAULT	7	Κάθοδος_Βραδεία λειτουργία		2 113,0	146,6	3,0			
A330-343	DEFAULT	8	Κάθοδος	FULL_D	1 938,0	135,5	3,0			
A330-343	DEFAULT	9	Κάθοδος	FULL_D	50,0	135,5	3,0			
A330-343	DEFAULT	10	Προσγείωση	FULL_D				378,0		
A330-343	DEFAULT	11	Επιβράδυνση			132,5			3 402,6	10,0
A330-343	DEFAULT	12	Επιβράδυνση			30,0			0,0	10,0
A340-211	DEFAULT	1	Κάθοδος_Βραδεία λειτουργία		6 000,0	250,0	3,3			
A340-211	DEFAULT	2	Επίπεδο_Βραδεία λειτουργία		3 000,0	250,0			14 038,7	
A340-211	DEFAULT	3	Επίπεδο_Βραδεία λειτουργία		3 000,0	212,7			10 866,1	
A340-211	DEFAULT	4	Κάθοδος_Βραδεία λειτουργία		3 000,0	175,6	3,0			
A340-211	DEFAULT	5	Κάθοδος_Βραδεία λειτουργία		2 471,0	160,3	3,0			
A340-211	DEFAULT	6	Κάθοδος_Βραδεία λειτουργία		2 336,0	153,8	3,0			
A340-211	DEFAULT	7	Κάθοδος_Βραδεία λειτουργία		2 066,0	138,5	3,0			
A340-211	DEFAULT	8	Κάθοδος	FULL_D	1 976,0	132,1	3,0			
A340-211	DEFAULT	9	Κάθοδος	FULL_D	50,0	132,1	3,0			
A340-211	DEFAULT	10	Προσγείωση	FULL_D				381,8		
A340-211	DEFAULT	11	Επιβράδυνση			129,1			3 436,6	10,0

▼**M2**

ACFTID	Profile_ID (Προφίλ προσέγγισης)	Αριθμός βήματος	Είδος βήματος	Flap_ID (Θέση πτερυγίων καμπυλότητας)	Ύψος έναρξης προσέγγισης (ft)	Διακριβωμένη ταχύτητα αέρα στην έναρξη προσέγγισης (kt)	Γωνία καθόδου (deg)	Διαδρομή από το σημείο επαφής μέχρι ακινητοποίησης (ft)	Απόσταση (ft)	Ώση κατά την έναρξη προσέγγισης (Μέγιστη ώση %)
A340-211	DEFAULT	12	Επιβράδυνση			30,0			0,0	10,0
A340-642	DEFAULT	1	Κάθοδος_Βραδεία λειτουργία		6 000,0	250,0	2,8			
A340-642	DEFAULT	2	Επίπεδο_Βραδεία λειτουργία		3 000,0	250,0			15 853,0	
A340-642	DEFAULT	3	Επίπεδο_Βραδεία λειτουργία		3 000,0	212,1			9 839,2	
A340-642	DEFAULT	4	Κάθοδος_Βραδεία λειτουργία		3 000,0	188,5	3,0			
A340-642	DEFAULT	5	Κάθοδος_Βραδεία λειτουργία		2 333,0	178,1	3,0			
A340-642	DEFAULT	6	Κάθοδος_Βραδεία λειτουργία		2 191,0	173,2	3,0			
A340-642	DEFAULT	7	Κάθοδος_Βραδεία λειτουργία		1 805,0	155,5	3,0			
A340-642	DEFAULT	8	Κάθοδος	FULL_D	1 650,0	147,8	3,0			
A340-642	DEFAULT	9	Κάθοδος	FULL_D	50,0	147,8	3,0			
A340-642	DEFAULT	10	Προσγείωση	FULL_D				280,7		
A340-642	DEFAULT	11	Επιβράδυνση			144,8			2 526,5	10,0
A340-642	DEFAULT	12	Επιβράδυνση			30,0			0,0	10,0
A380-841	DEFAULT	1	Κάθοδος_Βραδεία λειτουργία		6 000,0	250,0	3,0			
A380-841	DEFAULT	2	Επίπεδο_Βραδεία λειτουργία		3 000,0	250,0			18 044,6	
A380-841	DEFAULT	3	Level	A_1+F	3 000,0				11 893,0	

▼**M2**

ACFTID	Profile_ID (Προφίλ προσέγγισης)	Αριθμός βήματος	Είδος βήματος	Flap_ID (Θέση πτερυγίων καμπυλότητας)	Ύψος έναρξης προσέγγισης (ft)	Διακριβωμένη ταχύτητα αέρα στην έναρξη προσέγγισης (kt)	Γωνία καθόδου (deg)	Διαδρομή από το σημείο επαφής μέχρι ακινητοποίησης (ft)	Απόσταση (ft)	Ώση κατά την έναρξη προσέγγισης (Μέγιστη ώση %)
A380-841	DEFAULT	4	Επίπεδο_Βραδεία λειτουργία		3 000,0	205,0			9 691,6	
A380-841	DEFAULT	5	Κάθοδος_Βραδεία λειτουργία		3 000,0	172,6	3,0			
A380-841	DEFAULT	6	Κάθοδος_Βραδεία λειτουργία		2 446,0	161,2	3,0			
A380-841	DEFAULT	7	Κάθοδος	A_FULL	1 976,0	136,3	3,0			
A380-841	DEFAULT	8	Κάθοδος	A_FULL	50,0	136,3	3,0			
A380-841	DEFAULT	9	Προσγείωση	A_FULL				636,8		
A380-841	DEFAULT	10	Επιβράδυνση			136,3			5 731,3	10,0
A380-841	DEFAULT	11	Επιβράδυνση			30,0			0,0	10,0
A380-861	DEFAULT	1	Κάθοδος_Βραδεία λειτουργία		6 000,0	250,0	2,7			
A380-861	DEFAULT	2	Επίπεδο_Βραδεία λειτουργία		3 000,0	250,0			20 036,1	
A380-861	DEFAULT	3	Level	A_1+F	3 000,0				11 896,0	
A380-861	DEFAULT	4	Επίπεδο_Βραδεία λειτουργία		3 000,0	205,0			10 213,0	
A380-861	DEFAULT	5	Κάθοδος_Βραδεία λειτουργία		3 000,0	172,6	3,0			
A380-861	DEFAULT	6	Κάθοδος_Βραδεία λειτουργία		2 445,0	161,2	3,0			
A380-861	DEFAULT	7	Κάθοδος	A_FULL	1 976,0	136,3	3,0			
A380-861	DEFAULT	8	Κάθοδος	A_FULL	50,0	136,3	3,0			
A380-861	DEFAULT	9	Προσγείωση	A_FULL				636,8		
A380-861	DEFAULT	10	Επιβράδυνση			136,3			5 731,3	10,0
A380-861	DEFAULT	11	Επιβράδυνση			30,0			0,0	10,0

▼**M2**

ACFTID	Profile_ID (Προφίλ προσέγγισης)	Αριθμός βήματος	Είδος βήματος	Flap_ID (Θέση πτερυγίων καμπυλότητας)	Ύψος έναρξης προσέγγισης (ft)	Διακριβωμένη ταχύτητα αέρα στην έναρξη προσέγγισης (kt)	Γωνία καθόδου (deg)	Διαδρομή από το σημείο επαφής μέχρι ακινητοποίησης (ft)	Απόσταση (ft)	Ώση κατά την έναρξη προσέγγισης (Μέγιστη ώση %)
BAC111	DEFAULT	1	Κάθοδος	ZERO	6 000,0	250,0	3,0			
BAC111	DEFAULT	2	Κάθοδος	INT1	3 000,0	153,3	3,0			
BAC111	DEFAULT	3	Κάθοδος	U-INT	1 500,0	143,3	3,0			
BAC111	DEFAULT	4	Κάθοδος	D-45	1 000,0	133,3	3,0			
BAC111	DEFAULT	5	Προσγείωση	D-45				305,0		
BAC111	DEFAULT	6	Επιβράδυνση			126,5			2 745,0	40,0
BAC111	DEFAULT	7	Επιβράδυνση			30,0			0,0	10,0
BAE146	DEFAULT	1	Κάθοδος	ZERO	6 000,0	250,0	3,0			
BAE146	DEFAULT	2	Κάθοδος	18	3 000,0	180,0	3,0			
BAE146	DEFAULT	3	Κάθοδος	D-24	1 500,0	166,5	3,0			
BAE146	DEFAULT	4	Κάθοδος	D-33	1 000,0	123,0	3,0			
BAE146	DEFAULT	5	Προσγείωση	D-33				243,9		
BAE146	DEFAULT	6	Επιβράδυνση			116,7			2 195,1	40,0
BAE146	DEFAULT	7	Επιβράδυνση			30,0			0,0	10,0
BAE300	DEFAULT	1	Κάθοδος	ZERO	6 000,0	250,0	3,0			
BAE300	DEFAULT	2	Κάθοδος	18	3 000,0	180,0	3,0			
BAE300	DEFAULT	3	Κάθοδος	D-24	1 500,0	167,0	3,0			
BAE300	DEFAULT	4	Κάθοδος	D-33	1 000,0	124,4	3,0			
BAE300	DEFAULT	5	Προσγείωση	D-33				261,0		
BAE300	DEFAULT	6	Επιβράδυνση			118,0			2 349,0	40,0
BAE300	DEFAULT	7	Επιβράδυνση			30,0			0,0	10,0
BEC58P	DEFAULT	1	Κάθοδος	ZERO	6 000,0	130,0	5,0			

▼**M2**

ACFTID	Profile_ID (Προφίλ προσέγγισης)	Αριθμός βήματος	Είδος βήματος	Flap_ID (Θέση πτερυγίων καμπυλότητας)	Ύψος έναρξης προσέγγισης (ft)	Διακριβωμένη ταχύτητα αέρα στην έναρξη προσέγγισης (kt)	Γωνία καθόδου (deg)	Διαδρομή από το σημείο επαφής μέχρι ακινητοποίησης (ft)	Απόσταση (ft)	Ώση κατά την έναρξη προσέγγισης (Μέγιστη ώση %)
BEC58P	DEFAULT	2	Κάθοδος	TO	3 000,0	119,0	5,0			
BEC58P	DEFAULT	3	Κάθοδος	D-15	1 500,0	109,0	5,0			
BEC58P	DEFAULT	4	Κάθοδος	D-30	1 000,0	99,0	5,0			
BEC58P	DEFAULT	5	Προσγείωση	D-30				188,8		
BEC58P	DEFAULT	6	Επιβράδυνση			93,9			1 699,2	40,0
BEC58P	DEFAULT	7	Επιβράδυνση			30,0			0,0	10,0
BEC58P	STD_3DEG	1	Κάθοδος	ZERO	6 000,0	130,0	3,0			
BEC58P	STD_3DEG	2	Κάθοδος	TO	3 000,0	119,0	3,0			
BEC58P	STD_3DEG	3	Κάθοδος	D-15	1 500,0	109,0	3,0			
BEC58P	STD_3DEG	4	Κάθοδος	D-30	1 000,0	99,0	3,0			
BEC58P	STD_3DEG	5	Προσγείωση	D-30				188,8		
BEC58P	STD_3DEG	6	Επιβράδυνση			93,9			1 699,2	40,0
BEC58P	STD_3DEG	7	Επιβράδυνση			30,0			0,0	10,0
BEC58P	STD_5DEG	1	Κάθοδος	ZERO	6 000,0	130,0	5,0			
BEC58P	STD_5DEG	2	Κάθοδος	TO	3 000,0	119,0	5,0			
BEC58P	STD_5DEG	3	Κάθοδος	D-15	1 500,0	109,0	5,0			
BEC58P	STD_5DEG	4	Κάθοδος	D-30	1 000,0	99,0	5,0			
BEC58P	STD_5DEG	5	Προσγείωση	D-30				188,8		
BEC58P	STD_5DEG	6	Επιβράδυνση			93,9			1 699,2	40,0
BEC58P	STD_5DEG	7	Επιβράδυνση			30,0			0,0	10,0
CIT3	DEFAULT	1	Κάθοδος	ZERO	6 000,0	250,0	3,0			
CIT3	DEFAULT	2	Κάθοδος	10	3 000,0	139,5	3,0			

▼**M2**

ACFTID	Profile_ID (Προφίλ προσέγγισης)	Αριθμός βήματος	Είδος βήματος	Flap_ID (Θέση πτερυγίων καμπυλότητας)	Ύψος έναρξης προσέγγισης (ft)	Διακριβωμένη ταχύτητα αέρα στην έναρξη προσέγγισης (kt)	Γωνία καθόδου (deg)	Διαδρομή από το σημείο επαφής μέχρι ακινητοποίησης (ft)	Απόσταση (ft)	Ώση κατά την έναρξη προσέγγισης (Μέγιστη ώση %)
CIT3	DEFAULT	3	Κάθοδος	D-INTR	1 500,0	129,5	3,0			
CIT3	DEFAULT	4	Κάθοδος	D-40	1 000,0	119,5	3,0			
CIT3	DEFAULT	5	Προσγείωση	D-40				153,9		
CIT3	DEFAULT	6	Επιβράδυνση			113,4			1 385,1	40,0
CIT3	DEFAULT	7	Επιβράδυνση			30,0			0,0	10,0
CL600	DEFAULT	1	Κάθοδος	ZERO	6 000,0	250,0	3,0			
CL600	DEFAULT	2	Κάθοδος	10	3 000,0	152,1	3,0			
CL600	DEFAULT	3	Κάθοδος	D-INTR	1 500,0	142,1	3,0			
CL600	DEFAULT	4	Κάθοδος	D-45	1 000,0	132,1	3,0			
CL600	DEFAULT	5	Προσγείωση	D-45				201,6		
CL600	DEFAULT	6	Επιβράδυνση			125,3			1 814,4	40,0
CL600	DEFAULT	7	Επιβράδυνση			30,0			0,0	10,0
CL601	DEFAULT	1	Κάθοδος	ZERO	6 000,0	250,0	3,0			
CL601	DEFAULT	2	Κάθοδος	10	3 000,0	158,5	3,0			
CL601	DEFAULT	3	Κάθοδος	D-INTR	1 500,0	148,5	3,0			
CL601	DEFAULT	4	Κάθοδος	D-45	1 000,0	138,5	3,0			
CL601	DEFAULT	5	Προσγείωση	D-45				224,1		
CL601	DEFAULT	6	Επιβράδυνση			131,4			2 016,9	40,0
CL601	DEFAULT	7	Επιβράδυνση			30,0			0,0	10,0
CNA172	DEFAULT	1	Κάθοδος	ZERO-D	6 000,0	100,0	3,0			
CNA172	DEFAULT	2	Κάθοδος	ZERO-D	4 000,0	100,0	3,0			

▼**M2**

ACFTID	Profile_ID (Προφίλ προσέγγισης)	Αριθμός βήματος	Είδος βήματος	Flap_ID (Θέση πτερυγίων καμπυλότητας)	Ύψος έναρξης προσέγγισης (ft)	Διακριβωμένη ταχύτητα αέρα στην έναρξη προσέγγισης (kt)	Γωνία καθόδου (deg)	Διαδρομή από το σημείο επαφής μέχρι ακινητοποίησης (ft)	Απόσταση (ft)	Ώση κατά την έναρξη προσέγγισης (Μέγιστη ώση %)
CNA172	DEFAULT	3	Κάθοδος	ZERO-D	3 000,0	80,0	3,0			
CNA172	DEFAULT	4	Κάθοδος	10-D	1 000,0	80,0	3,0			
CNA172	DEFAULT	5	Κάθοδος	10-D	600,0	80,0	3,0			
CNA172	DEFAULT	6	Κάθοδος	10-D	500,0	70,0	3,0			
CNA172	DEFAULT	7	Προσγείωση	10-D				30,0		
CNA172	DEFAULT	8	Επιβράδυνση			62,0			530,0	10,0
CNA172	DEFAULT	9	Επιβράδυνση			10,0			0,0	10,0
CNA182	DEFAULT	1	Κάθοδος	ZERO-A	6 000,0	110,0	3,0			
CNA182	DEFAULT	2	Κάθοδος	ZERO-A	4 000,0	90,0	3,0			
CNA182	DEFAULT	3	Κάθοδος	ZERO-A	2 000,0	70,0	3,0			
CNA182	DEFAULT	4	Κάθοδος	F10APP	1 000,0	70,0	3,0			
CNA182	DEFAULT	5	Κάθοδος	F30APP	500,0	65,0	3,0			
CNA182	DEFAULT	6	Προσγείωση	F30APP				30,0		
CNA182	DEFAULT	7	Επιβράδυνση			65,0			560,0	10,0
CNA182	DEFAULT	8	Επιβράδυνση			10,0			0,0	10,0
CNA208	DEFAULT	1	Κάθοδος	ZERO-A	6 000,0	140,0	3,0			
CNA208	DEFAULT	2	Κάθοδος	ZERO-A	4 000,0	124,0	3,0			
CNA208	DEFAULT	3	Κάθοδος	ZERO-A	2 000,0	108,0	3,0			
CNA208	DEFAULT	4	Κάθοδος	F30APP	1 000,0	100,0	3,0			
CNA208	DEFAULT	5	Κάθοδος	F30APP	500,0	80,0	3,0			
CNA208	DEFAULT	6	Προσγείωση	F30APP				100,0		

▼**M2**

ACFTID	Profile_ID (Προφίλ προσέγγισης)	Αριθμός βήματος	Είδος βήματος	Flap_ID (Θέση πτερυγίων καμπυλότητας)	Ύψος έναρξης προσέγγισης (ft)	Διακριβωμένη ταχύτητα αέρα στην έναρξη προσέγγισης (kt)	Γωνία καθόδου (deg)	Διαδρομή από το σημείο επαφής μέχρι ακινητοποίησης (ft)	Απόσταση (ft)	Ώση κατά την έναρξη προσέγγισης (Μέγιστη ώση %)
CNA208	DEFAULT	7	Επιβράδυνση			78,0			815,0	10,0
CNA208	DEFAULT	8	Επιβράδυνση			30,0			0,0	10,0
CNA441	DEFAULT	1	Κάθοδος	ZERO	6 000,0	160,0	3,0			
CNA441	DEFAULT	2	Κάθοδος	TO	3 000,0	113,9	3,0			
CNA441	DEFAULT	3	Κάθοδος	D-INTR	1 500,0	103,9	3,0			
CNA441	DEFAULT	4	Κάθοδος	D-L	1 000,0	93,9	3,0			
CNA441	DEFAULT	5	Προσγείωση	D-L				79,1		
CNA441	DEFAULT	6	Επιβράδυνση			89,1			711,9	40,0
CNA441	DEFAULT	7	Επιβράδυνση			30,0			0,0	10,0
CNA500	DEFAULT	1	Κάθοδος	ZERO	6 000,0	250,0	3,0			
CNA500	DEFAULT	2	Κάθοδος	1	3 000,0	131,3	3,0			
CNA500	DEFAULT	3	Κάθοδος	D-INTR	1 500,0	121,3	3,0			
CNA500	DEFAULT	4	Κάθοδος	D-35	1 000,0	111,3	3,0			
CNA500	DEFAULT	5	Προσγείωση	D-35				179,1		
CNA500	DEFAULT	6	Επιβράδυνση			105,6			1 611,9	40,0
CNA500	DEFAULT	7	Επιβράδυνση			30,0			0,0	10,0
CNA510	DEFAULT	1	Κάθοδος	ZERO_C	6 000,0	250,0	3,0			
CNA510	DEFAULT	2	Κάθοδος	ZERO_C	3 000,0	160,0	3,0			
CNA510	DEFAULT	3	Κάθοδος	A_15	1 500,0	91,1	3,0			
CNA510	DEFAULT	4	Κάθοδος	A_35	1 000,0	85,1	3,0			
CNA510	DEFAULT	5	Προσγείωση	A_35				175,5		
CNA510	DEFAULT	6	Επιβράδυνση			78,1			1 579,5	40,0

▼**M2**

ACFTID	Profile_ID (Προφίλ προσέγγισης)	Αριθμός βήματος	Είδος βήματος	Flap_ID (Θέση πτερυγίων καμπυλότητας)	Ύψος έναρξης προσέγγισης (ft)	Διακριβωμένη ταχύτητα αέρα στην έναρξη προσέγγισης (kt)	Γωνία καθόδου (deg)	Διαδρομή από το σημείο επαφής μέχρι ακινητοποίησης (ft)	Απόσταση (ft)	Ώση κατά την έναρξη προσέγγισης (Μέγιστη ώση %)
CNA510	DEFAULT	7	Επιβράδυνση			30,0			0,0	10,0
CNA525C	DEFAULT	1	Κάθοδος	ZERO_C	6 000,0	250,0	3,0			
CNA525C	DEFAULT	2	Κάθοδος	ZERO_C	3 000,0	130,0	3,0			
CNA525C	DEFAULT	3	Κάθοδος	A_15	1 500,0	119,7	3,0			
CNA525C	DEFAULT	4	Κάθοδος	A_35	1 000,0	111,8	3,0			
CNA525C	DEFAULT	5	Προσγείωση	A_35				200,0		
CNA525C	DEFAULT	6	Επιβράδυνση			115,0			1 500,0	40,0
CNA525C	DEFAULT	7	Επιβράδυνση			30,0			0,0	10,0
CNA55B	DEFAULT	1	Κάθοδος	ZERO_C	6 000,0	250,0	3,0			
CNA55B	DEFAULT	2	Κάθοδος	ZERO_C	3 000,0	160,0	3,0			
CNA55B	DEFAULT	3	Κάθοδος	A_15	1 500,0	111,8	3,0			
CNA55B	DEFAULT	4	Κάθοδος	A_35	1 000,0	105,3	3,0			
CNA55B	DEFAULT	5	Προσγείωση	A_35				175,5		
CNA55B	DEFAULT	6	Επιβράδυνση			100,0			1 580,0	40,0
CNA55B	DEFAULT	7	Επιβράδυνση			30,0			0,0	10,0
CNA560E	DEFAULT	1	Κάθοδος	ZERO	6 000,0	250,0	3,0			
CNA560E	DEFAULT	2	Κάθοδος	15 U	3 000,0	107,5	3,0			
CNA560E	DEFAULT	3	Κάθοδος	35 D	1 500,0	101,8	3,0			
CNA560E	DEFAULT	4	Κάθοδος	35 D	1 000,0	101,8	3,0			
CNA560E	DEFAULT	5	Προσγείωση	35 D				200,0		
CNA560E	DEFAULT	6	Επιβράδυνση			100,0			1 000,0	60,0
CNA560E	DEFAULT	7	Επιβράδυνση			30,0			0,0	10,0

▼**M2**

ACFTID	Profile_ID (Προφίλ προσέγγισης)	Αριθμός βήματος	Είδος βήματος	Flap_ID (Θέση πτερυγίων καμπυλότητας)	Ύψος έναρξης προσέγγισης (ft)	Διακριβωμένη ταχύτητα αέρα στην έναρξη προσέγγισης (kt)	Γωνία καθόδου (deg)	Διαδρομή από το σημείο επαφής μέχρι ακινητοποίησης (ft)	Απόσταση (ft)	Ώση κατά την έναρξη προσέγγισης (Μέγιστη ώση %)
CNA560U	DEFAULT	1	Κάθοδος	ZERO	6 000,0	250,0	3,0			
CNA560U	DEFAULT	2	Κάθοδος	7	3 000,0	120,0	3,0			
CNA560U	DEFAULT	3	Κάθοδος	D 15	1 500,0	110,0	3,0			
CNA560U	DEFAULT	4	Κάθοδος	D 35	1 000,0	101,8	3,0			
CNA560U	DEFAULT	5	Προσγείωση	D 35				175,0		
CNA560U	DEFAULT	6	Επιβράδυνση			93,0			1 385,1	60,0
CNA560U	DEFAULT	7	Επιβράδυνση			30,0			0,0	10,0
CNA560XL	DEFAULT	1	Κάθοδος	ZERO	6 000,0	250,0	3,0			
CNA560XL	DEFAULT	2	Κάθοδος	ZERO	3 000,0	132,0	3,0			
CNA560XL	DEFAULT	3	Κάθοδος	D 15U	1 500,0	122,0	3,0			
CNA560XL	DEFAULT	4	Κάθοδος	D 35D	1 000,0	112,0	3,0			
CNA560XL	DEFAULT	5	Προσγείωση	D 35D				500,0		
CNA560XL	DEFAULT	6	Επιβράδυνση			108,0			2 700,0	60,0
CNA560XL	DEFAULT	7	Επιβράδυνση			30,0			0,0	10,0
CNA680	DEFAULT	1	Κάθοδος	ZERO	6 000,0	250,0	3,0			
CNA680	DEFAULT	2	Κάθοδος	ZERO	3 000,0	160,0	3,0			
CNA680	DEFAULT	3	Κάθοδος	15 GU	1 500,0	112,0	3,0			
CNA680	DEFAULT	4	Κάθοδος	35 GD	1 000,0	105,0	3,0			
CNA680	DEFAULT	5	Προσγείωση	35 GD				200,0		
CNA680	DEFAULT	6	Επιβράδυνση			100,0			1 580,0	60,0
CNA680	DEFAULT	7	Επιβράδυνση			30,0			0,0	10,0

▼**M2**

ACFTID	Profile_ID (Προφίλ προσέγγισης)	Αριθμός βήματος	Είδος βήματος	Flap_ID (Θέση πτερυγίων καμπυλότητας)	Ύψος έναρξης προσέγγισης (ft)	Διακριβωμένη ταχύτητα αέρα στην έναρξη προσέγγισης (kt)	Γωνία καθόδου (deg)	Διαδρομή από το σημείο επαφής μέχρι ακινητοποίησης (ft)	Απόσταση (ft)	Ώση κατά την έναρξη προσέγγισης (Μέγιστη ώση %)
CNA750	DEFAULT	1	Κάθοδος	ZERO	6 000,0	250,0	3,0			
CNA750	DEFAULT	2	Κάθοδος	15_GU	3 000,0	127,4	3,0			
CNA750	DEFAULT	3	Κάθοδος	35_GD	1 500,0	120,9	3,0			
CNA750	DEFAULT	4	Κάθοδος	35_GD	1 000,0	120,9	3,0			
CNA750	DEFAULT	5	Προσγείωση	35_GD				200,0		
CNA750	DEFAULT	6	Επιβράδυνση			115,0			1 500,0	40,0
CNA750	DEFAULT	7	Επιβράδυνση			30,0			0,0	10,0
CNA750	FLAP_15	1	Κάθοδος	ZERO	6 000,0	250,0	3,0			
CNA750	FLAP_15	2	Κάθοδος	15_GU	3 000,0	127,4	3,0			
CNA750	FLAP_15	3	Κάθοδος	35_GD	1 500,0	120,9	3,0			
CNA750	FLAP_15	4	Κάθοδος	35_GD	1 000,0	120,9	3,0			
CNA750	FLAP_15	5	Προσγείωση	35_GD				200,0		
CNA750	FLAP_15	6	Επιβράδυνση			115,0			1 500,0	40,0
CNA750	FLAP_15	7	Επιβράδυνση			30,0			0,0	10,0
CNA750	FLAP_5	1	Κάθοδος	ZERO	6 000,0	250,0	3,0			
CNA750	FLAP_5	2	Κάθοδος	5_GU	3 000,0	135,2	3,0			
CNA750	FLAP_5	3	Κάθοδος	15_GD	1 500,0	127,4	3,0			
CNA750	FLAP_5	4	Κάθοδος	15_GD	1 000,0	127,4	3,0			
CNA750	FLAP_5	5	Προσγείωση	15_GD				200,0		
CNA750	FLAP_5	6	Επιβράδυνση			115,0			1 500,0	40,0
CNA750	FLAP_5	7	Επιβράδυνση			30,0			0,0	10,0
CONCRD	DEFAULT	1	Κάθοδος	CL1	6 000,0	250,0	3,0			

▼**M2**

ACFTID	Profile_ID (Προφίλ προσέγγισης)	Αριθμός βήματος	Είδος βήματος	Flap_ID (Θέση πτερυγίων καμπυλότητας)	Ύψος έναρξης προσέγγισης (ft)	Διακριβωμένη ταχύτητα αέρα στην έναρξη προσέγγισης (kt)	Γωνία καθόδου (deg)	Διαδρομή από το σημείο επαφής μέχρι ακινητοποίησης (ft)	Απόσταση (ft)	Ώση κατά την έναρξη προσέγγισης (Μέγιστη ώση %)
CONCRD	DEFAULT	2	Κάθοδος	ZERO	3 000,0	194,0	3,0			
CONCRD	DEFAULT	3	Κάθοδος	U-L	1 500,0	184,0	3,0			
CONCRD	DEFAULT	4	Κάθοδος	D-L	1 000,0	164,0	3,0			
CONCRD	DEFAULT	5	Προσγείωση	D-L				858,6		
CONCRD	DEFAULT	6	Επιβράδυνση			155,5			7 727,4	40,0
CONCRD	DEFAULT	7	Επιβράδυνση			30,0			0,0	10,0
CRJ9-ER	DEFAULT	1	Κάθοδος	ZERO	6 000,0	250,0	3,0			
CRJ9-ER	DEFAULT	2	Κάθοδος	20	3 500,0	170,0	3,0			
CRJ9-ER	DEFAULT	3	Κάθοδος	U-45	1 500,0	160,0	3,0			
CRJ9-ER	DEFAULT	4	Κάθοδος	D-45	1 000,0	140,0	3,0			
CRJ9-ER	DEFAULT	5	Προσγείωση	D-45				415,8		
CRJ9-ER	DEFAULT	6	Επιβράδυνση			143,0			2 528,0	10,0
CRJ9-ER	DEFAULT	7	Επιβράδυνση			30,0			0,0	10,0
CRJ9-LR	DEFAULT	1	Κάθοδος	ZERO	6 000,0	250,0	3,0			
CRJ9-LR	DEFAULT	2	Κάθοδος	20	3 500,0	170,0	3,0			
CRJ9-LR	DEFAULT	3	Κάθοδος	U-45	1 500,0	160,0	3,0			
CRJ9-LR	DEFAULT	4	Κάθοδος	D-45	1 000,0	141,0	3,0			
CRJ9-LR	DEFAULT	5	Προσγείωση	D-45				424,7		
CRJ9-LR	DEFAULT	6	Επιβράδυνση			144,0			2 577,0	10,0
CRJ9-LR	DEFAULT	7	Επιβράδυνση			30,0			0,0	10,0
CVR580	DEFAULT	1	Κάθοδος	ZERO	6 000,0	200,0	3,0			
CVR580	DEFAULT	2	Κάθοδος	INTR	3 000,0	146,3	3,0			

▼**M2**

ACFTID	Profile_ID (Προφίλ προσέγγισης)	Αριθμός βήματος	Είδος βήματος	Flap_ID (Θέση πτερυγίων καμπυλότητας)	Ύψος έναρξης προσέγγισης (ft)	Διακριβωμένη ταχύτητα αέρα στην έναρξη προσέγγισης (kt)	Γωνία καθόδου (deg)	Διαδρομή από το σημείο επαφής μέχρι ακινητοποίησης (ft)	Απόσταση (ft)	Ώση κατά την έναρξη προσέγγισης (Μέγιστη ώση %)
CVR580	DEFAULT	3	Κάθοδος	D-28	1 500,0	112,4	3,0			
CVR580	DEFAULT	4	Κάθοδος	D-40	1 000,0	106,3	3,0			
CVR580	DEFAULT	5	Προσγείωση	D-40				287,6		
CVR580	DEFAULT	6	Επιβράδυνση			100,9			2 588,4	40,0
CVR580	DEFAULT	7	Επιβράδυνση			30,0			0,0	10,0
DC1010	DEFAULT	1	Κάθοδος	ZERO	6 000,0	250,0	3,0			
DC1010	DEFAULT	2	Κάθοδος	INT	3 000,0	163,7	3,0			
DC1010	DEFAULT	3	Κάθοδος	U-35	1 500,0	153,7	3,0			
DC1010	DEFAULT	4	Κάθοδος	D-35	1 000,0	143,7	3,0			
DC1010	DEFAULT	5	Προσγείωση	D-35				428,4		
DC1010	DEFAULT	6	Επιβράδυνση			136,3			3 855,6	10,0
DC1010	DEFAULT	7	Επιβράδυνση			30,0			0,0	10,0
DC1030	DEFAULT	1	Κάθοδος	ZERO	6 000,0	250,0	3,0			
DC1030	DEFAULT	2	Κάθοδος	INT2	3 000,0	172,6	3,0			
DC1030	DEFAULT	3	Κάθοδος	U-20	1 500,0	162,6	3,0			
DC1030	DEFAULT	4	Κάθοδος	D-35	1 000,0	152,6	3,0			
DC1030	DEFAULT	5	Προσγείωση	D-35				392,2		
DC1030	DEFAULT	6	Επιβράδυνση			144,8			3 529,8	10,0
DC1030	DEFAULT	7	Επιβράδυνση			30,0			0,0	10,0
DC1040	DEFAULT	1	Κάθοδος	ZERO	6 000,0	250,0	3,0			
DC1040	DEFAULT	2	Κάθοδος	5	3 000,0	173,5	3,0			
DC1040	DEFAULT	3	Κάθοδος	U-35	1 500,0	163,5	3,0			

▼**M2**

ACFTID	Profile_ID (Προφίλ προσέγγισης)	Αριθμός βήματος	Είδος βήματος	Flap_ID (Θέση πτερυγίων καμπυλότητας)	Ύψος έναρξης προσέγγισης (ft)	Διακριβωμένη ταχύτητα αέρα στην έναρξη προσέγγισης (kt)	Γωνία καθόδου (deg)	Διαδρομή από το σημείο επαφής μέχρι ακινητοποίησης (ft)	Απόσταση (ft)	Ώση κατά την έναρξη προσέγγισης (Μέγιστη ώση %)
DC1040	DEFAULT	4	Κάθοδος	D-35	1 000,0	153,5	3,0			
DC1040	DEFAULT	5	Προσγείωση	D-35				446,4		
DC1040	DEFAULT	6	Επιβράδυνση			145,6			4 017,6	10,0
DC1040	DEFAULT	7	Επιβράδυνση			30,0			0,0	10,0
DC3	DEFAULT	1	Κάθοδος	ZERO	6 000,0	140,0	3,0			
DC3	DEFAULT	2	Κάθοδος	TO	3 000,0	109,0	3,0			
DC3	DEFAULT	3	Κάθοδος	U-INT	1 500,0	99,0	3,0			
DC3	DEFAULT	4	Κάθοδος	D-45	1 000,0	88,9	3,0			
DC3	DEFAULT	5	Προσγείωση	D-45				104,6		
DC3	DEFAULT	6	Επιβράδυνση			84,3			941,4	34,3
DC3	DEFAULT	7	Επιβράδυνση			30,0			0,0	10,0
DC6	DEFAULT	1	Κάθοδος	ZERO	6 000,0	160,0	3,0			
DC6	DEFAULT	2	Κάθοδος	TO	3 000,0	106,1	3,0			
DC6	DEFAULT	3	Κάθοδος	D-INTR	1 500,0	96,1	3,0			
DC6	DEFAULT	4	Κάθοδος	D-L	1 000,0	86,1	3,0			
DC6	DEFAULT	5	Προσγείωση	D-L				175,5		
DC6	DEFAULT	6	Επιβράδυνση			81,7			1 579,5	40,0
DC6	DEFAULT	7	Επιβράδυνση			30,0			0,0	10,0
DC850	DEFAULT	1	Κάθοδος	ZERO	6 000,0	250,0	3,0			
DC850	DEFAULT	2	Κάθοδος	INT	3 000,0	165,6	3,0			
DC850	DEFAULT	3	Κάθοδος	D-35	1 500,0	152,7	3,0			
DC850	DEFAULT	4	Κάθοδος	D-50	1 000,0	145,6	3,0			
DC850	DEFAULT	5	Προσγείωση	D-50				390,6		

▼**M2**

ACFTID	Profile_ID (Προφίλ προσέγγισης)	Αριθμός βήματος	Είδος βήματος	Flap_ID (Θέση πτερυγίων καμπυλότητας)	Ύψος έναρξης προσέγγισης (ft)	Διακριβωμένη ταχύτητα αέρα στην έναρξη προσέγγισης (kt)	Γωνία καθόδου (deg)	Διαδρομή από το σημείο επαφής μέχρι ακινητοποίησης (ft)	Απόσταση (ft)	Ώση κατά την έναρξη προσέγγισης (Μέγιστη ώση %)
DC850	DEFAULT	6	Επιβράδυνση			138,1			3 515,4	40,0
DC850	DEFAULT	7	Επιβράδυνση			30,0			0,0	10,0
DC860	DEFAULT	1	Κάθοδος	ZERO	6 000,0	250,0	3,0			
DC860	DEFAULT	2	Κάθοδος	INT	3 000,0	161,5	3,0			
DC860	DEFAULT	3	Κάθοδος	D-35	1 500,0	155,7	3,0			
DC860	DEFAULT	4	Κάθοδος	D-50	1 000,0	151,5	3,0			
DC860	DEFAULT	5	Προσγείωση	D-50				382,5		
DC860	DEFAULT	6	Επιβράδυνση			143,7			3 442,5	40,0
DC860	DEFAULT	7	Επιβράδυνση			30,0			0,0	10,0
DC870	DEFAULT	1	Κάθοδος	ZERO	6 000,0	250,0	3,0			
DC870	DEFAULT	2	Κάθοδος	INT	3 000,0	166,7	3,0			
DC870	DEFAULT	3	Κάθοδος	D-35	1 500,0	150,8	3,0			
DC870	DEFAULT	4	Κάθοδος	D-50	1 000,0	146,7	3,0			
DC870	DEFAULT	5	Προσγείωση	D-50				489,6		
DC870	DEFAULT	6	Επιβράδυνση			139,2			4 406,4	40,0
DC870	DEFAULT	7	Επιβράδυνση			30,0			0,0	10,0
DC8QN	DEFAULT	1	Κάθοδος	ZERO	6 000,0	250,0	3,0			
DC8QN	DEFAULT	2	Κάθοδος	INT	3 000,0	161,5	3,0			
DC8QN	DEFAULT	3	Κάθοδος	D-35	1 500,0	155,7	3,0			
DC8QN	DEFAULT	4	Κάθοδος	D-50	1 000,0	151,5	3,0			
DC8QN	DEFAULT	5	Προσγείωση	D-50				382,5		
DC8QN	DEFAULT	6	Επιβράδυνση			143,7			3 442,5	40,0

▼**M2**

ACFTID	Profile_ID (Προφίλ προσέγγισης)	Αριθμός βήματος	Είδος βήματος	Flap_ID (Θέση πτερυγίων καμπυλότητας)	Ύψος έναρξης προσέγγισης (ft)	Διακριβωμένη ταχύτητα αέρα στην έναρξη προσέγγισης (kt)	Γωνία καθόδου (deg)	Διαδρομή από το σημείο επαφής μέχρι ακινητοποίησης (ft)	Απόσταση (ft)	Ώση κατά την έναρξη προσέγγισης (Μέγιστη ώση %)
DC8QN	DEFAULT	7	Επιβράδυνση			30,0			0,0	10,0
DC910	DEFAULT	1	Κάθοδος	ZERO	6 000,0	250,0	3,0			
DC910	DEFAULT	2	Κάθοδος	5	3 000,0	150,2	3,0			
DC910	DEFAULT	3	Κάθοδος	U-15	1 500,0	140,2	3,0			
DC910	DEFAULT	4	Κάθοδος	D-35	1 000,0	130,2	3,0			
DC910	DEFAULT	5	Προσγείωση	D-35				357,3		
DC910	DEFAULT	6	Επιβράδυνση			123,5			3 215,7	40,0
DC910	DEFAULT	7	Επιβράδυνση			30,0			0,0	10,0
DC930	DEFAULT	1	Κάθοδος	ZERO	6 000,0	250,0	3,0			
DC930	DEFAULT	2	Κάθοδος	5	3 000,0	162,5	3,0			
DC930	DEFAULT	3	Κάθοδος	U-15	1 500,0	152,5	3,0			
DC930	DEFAULT	4	Κάθοδος	D-35	1 000,0	142,5	3,0			
DC930	DEFAULT	5	Προσγείωση	D-35				325,8		
DC930	DEFAULT	6	Επιβράδυνση			135,2			2 932,2	40,0
DC930	DEFAULT	7	Επιβράδυνση			30,0			0,0	10,0
DC93LW	DEFAULT	1	Κάθοδος	ZERO	6 000,0	250,0	3,0			
DC93LW	DEFAULT	2	Κάθοδος	5	3 000,0	162,5	3,0			
DC93LW	DEFAULT	3	Κάθοδος	U-15	1 500,0	152,5	3,0			
DC93LW	DEFAULT	4	Κάθοδος	D-35	1 000,0	142,5	3,0			
DC93LW	DEFAULT	5	Προσγείωση	D-35				325,8		
DC93LW	DEFAULT	6	Επιβράδυνση			135,2			2 932,2	40,0
DC93LW	DEFAULT	7	Επιβράδυνση			30,0			0,0	10,0

▼**M2**

ACFTID	Profile_ID (Προφίλ προσέγγισης)	Αριθμός βήματος	Είδος βήματος	Flap_ID (Θέση πτερυγίων καμπυλότητας)	Ύψος έναρξης προσέγγισης (ft)	Διακριβωμένη ταχύτητα αέρα στην έναρξη προσέγγισης (kt)	Γωνία καθόδου (deg)	Διαδρομή από το σημείο επαφής μέχρι ακινητοποίησης (ft)	Απόσταση (ft)	Ώση κατά την έναρξη προσέγγισης (Μέγιστη ώση %)
DC950	DEFAULT	1	Κάθοδος	ZERO	6 000,0	250,0	3,0			
DC950	DEFAULT	2	Κάθοδος	5	3 000,0	167,3	3,0			
DC950	DEFAULT	3	Κάθοδος	U-15	1 500,0	157,3	3,0			
DC950	DEFAULT	4	Κάθοδος	D-35	1 000,0	147,3	3,0			
DC950	DEFAULT	5	Προσγείωση	D-35				343,8		
DC950	DEFAULT	6	Επιβράδυνση			139,7			3 094,2	40,0
DC950	DEFAULT	7	Επιβράδυνση			30,0			0,0	10,0
DC95HW	DEFAULT	1	Κάθοδος	ZERO	6 000,0	250,0	3,0			
DC95HW	DEFAULT	2	Κάθοδος	5	3 000,0	167,3	3,0			
DC95HW	DEFAULT	3	Κάθοδος	U-15	1 500,0	157,3	3,0			
DC95HW	DEFAULT	4	Κάθοδος	D-35	1 000,0	147,3	3,0			
DC95HW	DEFAULT	5	Προσγείωση	D-35				343,8		
DC95HW	DEFAULT	6	Επιβράδυνση			139,7			3 094,2	40,0
DC95HW	DEFAULT	7	Επιβράδυνση			30,0			0,0	10,0
DC9Q7	DEFAULT	1	Κάθοδος	ZERO	6 000,0	250,0	3,0			
DC9Q7	DEFAULT	2	Κάθοδος	5	3 000,0	150,2	3,0			
DC9Q7	DEFAULT	3	Κάθοδος	U-15	1 500,0	140,2	3,0			
DC9Q7	DEFAULT	4	Κάθοδος	D-35	1 000,0	130,2	3,0			
DC9Q7	DEFAULT	5	Προσγείωση	D-35				357,3		
DC9Q7	DEFAULT	6	Επιβράδυνση			123,5			3 215,7	40,0
DC9Q7	DEFAULT	7	Επιβράδυνση			30,0			0,0	10,0
DC9Q9	DEFAULT	1	Κάθοδος	ZERO	6 000,0	250,0	3,0			
DC9Q9	DEFAULT	2	Κάθοδος	5	3 000,0	162,5	3,0			

▼**M2**

ACFTID	Profile_ID (Προφίλ προσέγγισης)	Αριθμός βήματος	Είδος βήματος	Flap_ID (Θέση πτερυγίων καμπυλότητας)	Ύψος έναρξης προσέγγισης (ft)	Διακριβωμένη ταχύτητα αέρα στην έναρξη προσέγγισης (kt)	Γωνία καθόδου (deg)	Διαδρομή από το σημείο επαφής μέχρι ακινητοποίησης (ft)	Απόσταση (ft)	Ώση κατά την έναρξη προσέγγισης (Μέγιστη ώση %)
DC9Q9	DEFAULT	3	Κάθοδος	U-15	1 500,0	152,5	3,0			
DC9Q9	DEFAULT	4	Κάθοδος	D-35	1 000,0	142,5	3,0			
DC9Q9	DEFAULT	5	Προσγείωση	D-35				325,8		
DC9Q9	DEFAULT	6	Επιβράδυνση			135,2			2 932,2	40,0
DC9Q9	DEFAULT	7	Επιβράδυνση			30,0			0,0	10,0
DHC6	DEFAULT	1	Κάθοδος	ZERO	6 000,0	120,0	3,0			
DHC6	DEFAULT	2	Κάθοδος	INTR	3 000,0	80,7	3,0			
DHC6	DEFAULT	3	Κάθοδος	D-INTR	1 500,0	70,7	3,0			
DHC6	DEFAULT	4	Κάθοδος	D-L	1 000,0	60,7	3,0			
DHC6	DEFAULT	5	Προσγείωση	D-L				39,6		
DHC6	DEFAULT	6	Επιβράδυνση			57,6			356,4	40,0
DHC6	DEFAULT	7	Επιβράδυνση			30,0			0,0	10,0
DHC6QP	DEFAULT	1	Κάθοδος	ZERO	6 000,0	120,0	3,0			
DHC6QP	DEFAULT	2	Κάθοδος	INTR	3 000,0	80,7	3,0			
DHC6QP	DEFAULT	3	Κάθοδος	D-INTR	1 500,0	70,7	3,0			
DHC6QP	DEFAULT	4	Κάθοδος	D-L	1 000,0	60,7	3,0			
DHC6QP	DEFAULT	5	Προσγείωση	D-L				39,6		
DHC6QP	DEFAULT	6	Επιβράδυνση			57,6			356,4	40,0
DHC6QP	DEFAULT	7	Επιβράδυνση			30,0			0,0	10,0
DHC7	DEFAULT	1	Κάθοδος	ZERO	6 000,0	160,0	3,0			
DHC7	DEFAULT	2	Κάθοδος	10	3 000,0	116,2	3,0			
DHC7	DEFAULT	3	Κάθοδος	D-INTR	1 500,0	106,2	3,0			
DHC7	DEFAULT	4	Κάθοδος	D-25	1 000,0	96,2	3,0			

▼**M2**

ACFTID	Profile_ID (Προφίλ προσέγγισης)	Αριθμός βήματος	Είδος βήματος	Flap_ID (Θέση πτερυγίων καμπυλότητας)	Ύψος έναρξης προσέγγισης (ft)	Διακριβωμένη ταχύτητα αέρα στην έναρξη προσέγγισης (kt)	Γωνία καθόδου (deg)	Διαδρομή από το σημείο επαφής μέχρι ακινητοποίησης (ft)	Απόσταση (ft)	Ώση κατά την έναρξη προσέγγισης (Μέγιστη ώση %)
DHC7	DEFAULT	5	Προσγείωση	D-25				98,1		
DHC7	DEFAULT	6	Επιβράδυνση			91,3			882,9	40,0
DHC7	DEFAULT	7	Επιβράδυνση			30,0			0,0	10,0
DHC8	DEFAULT	1	Κάθοδος	ZERO	6 000,0	165,0	3,0			
DHC8	DEFAULT	2	Κάθοδος	5	3 000,0	109,0	3,0			
DHC8	DEFAULT	3	Κάθοδος	D-15	1 500,0	96,0	3,0			
DHC8	DEFAULT	4	Κάθοδος	D-35	1 000,0	89,0	3,0			
DHC8	DEFAULT	5	Προσγείωση	D-35				174,6		
DHC8	DEFAULT	6	Επιβράδυνση			84,4			1 571,4	24,6
DHC8	DEFAULT	7	Επιβράδυνση			30,0			0,0	4,1
DHC830	DEFAULT	1	Κάθοδος	ZERO	6 000,0	179,0	3,0			
DHC830	DEFAULT	2	Κάθοδος	10	3 000,0	128,0	3,0			
DHC830	DEFAULT	3	Κάθοδος	D-15	1 500,0	116,9	3,0			
DHC830	DEFAULT	4	Κάθοδος	D-35	1 000,0	108,0	3,0			
DHC830	DEFAULT	5	Προσγείωση	D-35				219,6		
DHC830	DEFAULT	6	Επιβράδυνση			102,5			1 976,4	26,1
DHC830	DEFAULT	7	Επιβράδυνση			30,0			0,0	4,4
DO228	DEFAULT	1	Κάθοδος	ZERO-A	6 000,0	200,0	3,0			
DO228	DEFAULT	2	Κάθοδος	ZERO-A	4 000,0	160,0	3,0			
DO228	DEFAULT	3	Κάθοδος	ZERO-A	2 000,0	120,0	3,0			
DO228	DEFAULT	4	Κάθοδος	F30APP	1 000,0	100,0	3,0			
DO228	DEFAULT	5	Κάθοδος	F30APP	50,0	88,0	3,0			
DO228	DEFAULT	6	Προσγείωση	F30APP				100,0		

▼**M2**

ACFTID	Profile_ID (Προφίλ προσέγγισης)	Αριθμός βήματος	Είδος βήματος	Flap_ID (Θέση πτερυγίων καμπυλότητας)	Ύψος έναρξης προσέγγισης (ft)	Διακριβωμένη ταχύτητα αέρα στην έναρξη προσέγγισης (kt)	Γωνία καθόδου (deg)	Διαδρομή από το σημείο επαφής μέχρι ακινητοποίησης (ft)	Απόσταση (ft)	Ώση κατά την έναρξη προσέγγισης (Μέγιστη ώση %)
DO228	DEFAULT	7	Επιβράδυνση			80,0			1 320,9	10,0
DO228	DEFAULT	8	Επιβράδυνση			30,0			0,0	10,0
DO328	DEFAULT	1	Κάθοδος	ZERO-A	6 000,0	200,0	3,0			
DO328	DEFAULT	2	Κάθοδος	ZERO-A	4 000,0	175,0	3,0			
DO328	DEFAULT	3	Κάθοδος	ZERO-A	2 000,0	150,0	3,0			
DO328	DEFAULT	4	Κάθοδος	F32APP	1 000,0	109,0	3,0			
DO328	DEFAULT	5	Κάθοδος	F32APP	500,0	109,0	3,0			
DO328	DEFAULT	6	Προσγείωση	F32APP				50,0		
DO328	DEFAULT	7	Επιβράδυνση			109,0			2 216,0	10,0
DO328	DEFAULT	8	Επιβράδυνση			30,0			0,0	10,0
ECLIPSE500	DEFAULT	1	Κάθοδος	A_T_DN	6 000,0	170,0	3,0			
ECLIPSE500	DEFAULT	2	Κάθοδος	A_T_DN	5 000,0	160,0	3,0			
ECLIPSE500	DEFAULT	3	Κάθοδος	A_A_DN	3 000,0	100,4	3,0			
ECLIPSE500	DEFAULT	4	Κάθοδος	A_A_DN	2 000,0	100,4	3,0			
ECLIPSE500	DEFAULT	5	Κάθοδος	A_A_DN	1 000,0	100,4	3,0			
ECLIPSE500	DEFAULT	6	Κάθοδος	A_A_DN	100,0	90,4	3,0			
ECLIPSE500	DEFAULT	7	Προσγείωση	A_A_DN				144,0		
ECLIPSE500	DEFAULT	8	Επιβράδυνση			70,0			1 291,0	10,0
ECLIPSE500	DEFAULT	9	Επιβράδυνση			20,0			0,0	10,0

▼**M2**

ACFTID	Profile_ID (Προφίλ προσέγγισης)	Αριθμός βήματος	Είδος βήματος	Flap_ID (Θέση πτερυγίων καμπυλότητας)	Ύψος έναρξης προσέγγισης (ft)	Διακριβωμένη ταχύτητα αέρα στην έναρξη προσέγγισης (kt)	Γωνία καθόδου (deg)	Διαδρομή από το σημείο επαφής μέχρι ακινητοποίησης (ft)	Απόσταση (ft)	Ώση κατά την έναρξη προσέγγισης (Μέγιστη ώση %)
EMB120	DEFAULT	1	Κάθοδος	ZERO	6 000,0	141,5	3,0			
EMB120	DEFAULT	2	Κάθοδος	15	3 000,0	132,3	3,0			
EMB120	DEFAULT	3	Κάθοδος	D-25	1 500,0	127,4	3,0			
EMB120	DEFAULT	4	Κάθοδος	D-45	1 000,0	119,3	3,0			
EMB120	DEFAULT	5	Προσγείωση	D-45				95,0		
EMB120	DEFAULT	6	Επιβράδυνση			116,1			855,0	40,0
EMB120	DEFAULT	7	Επιβράδυνση			30,0			0,0	10,0
EMB145	DEFAULT	1	Κάθοδος	ZERO	6 000,0	250,0	3,0			
EMB145	DEFAULT	2	Κάθοδος	D-22	3 000,0	150,0	3,0			
EMB145	DEFAULT	3	Κάθοδος	D-45	1 500,0	140,0	3,0			
EMB145	DEFAULT	4	Κάθοδος	D-45	1 000,0	134,0	3,0			
EMB145	DEFAULT	5	Προσγείωση	D-45				285,5		
EMB145	DEFAULT	6	Επιβράδυνση			130,0			2 569,5	40,0
EMB145	DEFAULT	7	Επιβράδυνση			30,0			0,0	10,0
EMB14L	DEFAULT	1	Κάθοδος	ZERO	6 000,0	250,0	3,0			
EMB14L	DEFAULT	2	Κάθοδος	D-22	1 500,0	140,0	3,0			
EMB14L	DEFAULT	3	Κάθοδος	D-45	1 000,0	140,0	3,0			
EMB14L	DEFAULT	4	Κάθοδος	D-45	500,0	138,0	3,0			
EMB14L	DEFAULT	5	Προσγείωση	D-45				285,5		
EMB14L	DEFAULT	6	Επιβράδυνση			132,0			2 569,5	40,0
EMB14L	DEFAULT	7	Επιβράδυνση			30,0			0,0	10,0

▼**M2**

ACFTID	Profile_ID (Προφίλ προσέγγισης)	Αριθμός βήματος	Είδος βήματος	Flap_ID (Θέση πτερυγίων καμπυλότητας)	Ύψος έναρξης προσέγγισης (ft)	Διακριβωμένη ταχύτητα αέρα στην έναρξη προσέγγισης (kt)	Γωνία καθόδου (deg)	Διαδρομή από το σημείο επαφής μέχρι ακινητοποίησης (ft)	Απόσταση (ft)	Ώση κατά την έναρξη προσέγγισης (Μέγιστη ώση %)
EMB170	DEFAULT	1	Κάθοδος_Βραδεία λειτουργία		6 000,0	250,0	3,0			
EMB170	DEFAULT	2	Κάθοδος_Βραδεία λειτουργία		3 000,0	180,0	3,0			
EMB170	DEFAULT	3	Κάθοδος_Βραδεία λειτουργία		2 000,0	140,0	3,0			
EMB170	DEFAULT	4	Κάθοδος	FULL	1 500,0	130,0	3,0			
EMB170	DEFAULT	5	Προσγείωση	FULL				267,2		
EMB170	DEFAULT	6	Επιβράδυνση			120,0			2 405,0	40,0
EMB170	DEFAULT	7	Επιβράδυνση			30,0			0,0	10,0
EMB175	DEFAULT	1	Κάθοδος_Βραδεία λειτουργία		6 000,0	250,0	3,0			
EMB175	DEFAULT	2	Κάθοδος_Βραδεία λειτουργία		3 000,0	180,0	3,0			
EMB175	DEFAULT	3	Κάθοδος_Βραδεία λειτουργία		2 000,0	140,0	3,0			
EMB175	DEFAULT	4	Κάθοδος	FULL	1 500,0	130,0	3,0			
EMB175	DEFAULT	5	Προσγείωση	FULL				276,3		
EMB175	DEFAULT	6	Επιβράδυνση			120,0			2 487,0	40,0
EMB175	DEFAULT	7	Επιβράδυνση			30,0			0,0	10,0
EMB190	DEFAULT	1	Κάθοδος_Βραδεία λειτουργία		6 000,0	250,0	3,0			
EMB190	DEFAULT	2	Κάθοδος_Βραδεία λειτουργία		3 000,0	180,0	3,0			
EMB190	DEFAULT	3	Κάθοδος_Βραδεία λειτουργία		2 000,0	140,0	3,0			
EMB190	DEFAULT	4	Κάθοδος	FULL	1 500,0	130,0	3,0			

▼**M2**

ACFTID	Profile_ID (Προφίλ προσέγγισης)	Αριθμός βήματος	Είδος βήματος	Flap_ID (Θέση πτερυγίων καμπυλότητας)	Ύψος έναρξης προσέγγισης (ft)	Διακριβωμένη ταχύτητα αέρα στην έναρξη προσέγγισης (kt)	Γωνία καθόδου (deg)	Διαδρομή από το σημείο επαφής μέχρι ακινητοποίησης (ft)	Απόσταση (ft)	Ώση κατά την έναρξη προσέγγισης (Μέγιστη ώση %)
EMB190	DEFAULT	5	Προσγείωση	FULL				271,9		
EMB190	DEFAULT	6	Επιβράδυνση			120,0			2 447,0	40,0
EMB190	DEFAULT	7	Επιβράδυνση			30,0			0,0	10,0
EMB195	DEFAULT	1	Κάθοδος_Βραδεία λειτουργία		6 000,0	250,0	3,0			
EMB195	DEFAULT	2	Κάθοδος_Βραδεία λειτουργία		3 000,0	180,0	3,0			
EMB195	DEFAULT	3	Κάθοδος_Βραδεία λειτουργία		2 000,0	140,0	3,0			
EMB195	DEFAULT	4	Κάθοδος	FULL	1 500,0	130,0	3,0			
EMB195	DEFAULT	5	Προσγείωση	FULL				281,1		
EMB195	DEFAULT	6	Επιβράδυνση			120,0			2 530,0	40,0
EMB195	DEFAULT	7	Επιβράδυνση			30,0			0,0	10,0
F10062	DEFAULT	1	Κάθοδος	TO	6 000,0	250,0	3,0			
F10062	DEFAULT	2	Κάθοδος	INT2	3 000,0	161,3	3,0			
F10062	DEFAULT	3	Κάθοδος	U-INT	1 500,0	141,3	3,0			
F10062	DEFAULT	4	Κάθοδος	D-42	1 000,0	131,3	3,0			
F10062	DEFAULT	5	Προσγείωση	D-42				315,0		
F10062	DEFAULT	6	Επιβράδυνση			124,5			2 835,0	40,0
F10062	DEFAULT	7	Επιβράδυνση			30,0			0,0	10,0
F10065	DEFAULT	1	Κάθοδος	TO	6 000,0	250,0	3,0			
F10065	DEFAULT	2	Κάθοδος	INT2	3 000,0	163,1	3,0			

▼**M2**

ACFTID	Profile_ID (Προφίλ προσέγγισης)	Αριθμός βήματος	Είδος βήματος	Flap_ID (Θέση πτερυγίων καμπυλότητας)	Ύψος έναρξης προσέγγισης (ft)	Διακριβωμένη ταχύτητα αέρα στην έναρξη προσέγγισης (kt)	Γωνία καθόδου (deg)	Διαδρομή από το σημείο επαφής μέχρι ακινητοποίησης (ft)	Απόσταση (ft)	Ώση κατά την έναρξη προσέγγισης (Μέγιστη ώση %)
F10065	DEFAULT	3	Κάθοδος	U-INT	1 500,0	143,1	3,0			
F10065	DEFAULT	4	Κάθοδος	D-42	1 000,0	133,1	3,0			
F10065	DEFAULT	5	Προσγείωση	D-42				328,0		
F10065	DEFAULT	6	Επιβράδυνση			126,3			2 952,0	40,0
F10065	DEFAULT	7	Επιβράδυνση			30,0			0,0	10,0
F28MK2	DEFAULT	1	Κάθοδος	ZERO	6 000,0	250,0	3,0			
F28MK2	DEFAULT	2	Κάθοδος	INT2	3 000,0	152,9	3,0			
F28MK2	DEFAULT	3	Κάθοδος	U-INTR	1 500,0	132,9	3,0			
F28MK2	DEFAULT	4	Κάθοδος	D-42	1 000,0	122,9	3,0			
F28MK2	DEFAULT	5	Προσγείωση	D-42				223,2		
F28MK2	DEFAULT	6	Επιβράδυνση			116,6			2 008,8	40,0
F28MK2	DEFAULT	7	Επιβράδυνση			30,0			0,0	10,0
F28MK4	DEFAULT	1	Κάθοδος	ZERO	6 000,0	250,0	3,0			
F28MK4	DEFAULT	2	Κάθοδος	INT2	3 000,0	153,6	3,0			
F28MK4	DEFAULT	3	Κάθοδος	U-INTR	1 500,0	133,6	3,0			
F28MK4	DEFAULT	4	Κάθοδος	D-42	1 000,0	123,6	3,0			
F28MK4	DEFAULT	5	Προσγείωση	D-42				223,7		
F28MK4	DEFAULT	6	Επιβράδυνση			117,2			2 013,3	40,0
F28MK4	DEFAULT	7	Επιβράδυνση			30,0			0,0	10,0
FAL20	DEFAULT	1	Κάθοδος	ZERO	6 000,0	250,0	3,0			
FAL20	DEFAULT	2	Κάθοδος	INTR	3 000,0	142,2	3,0			

▼**M2**

ACFTID	Profile_ID (Προφίλ προσέγγισης)	Αριθμός βήματος	Είδος βήματος	Flap_ID (Θέση πτερυγίων καμπυλότητας)	Ύψος έναρξης προσέγγισης (ft)	Διακριβωμένη ταχύτητα αέρα στην έναρξη προσέγγισης (kt)	Γωνία καθόδου (deg)	Διαδρομή από το σημείο επαφής μέχρι ακινητοποίησης (ft)	Απόσταση (ft)	Ώση κατά την έναρξη προσέγγισης (Μέγιστη ώση %)
FAL20	DEFAULT	3	Κάθοδος	D-25	1 500,0	126,1	3,0			
FAL20	DEFAULT	4	Κάθοδος	D-40	1 000,0	124,2	3,0			
FAL20	DEFAULT	5	Προσγείωση	D-40				128,7		
FAL20	DEFAULT	6	Επιβράδυνση			117,9			1 158,3	40,0
FAL20	DEFAULT	7	Επιβράδυνση			30,0			0,0	10,0
GII	DEFAULT	1	Κάθοδος	L-0-U	6 000,0	230,0	3,0			
GII	DEFAULT	2	Κάθοδος	L-10-U	3 000,0	170,0	3,0			
GII	DEFAULT	3	Κάθοδος	L-20-D	1 500,0	153,6	3,0			
GII	DEFAULT	4	Κάθοδος	L-20-D	1 000,0	153,6	3,0			
GII	DEFAULT	5	Κάθοδος	L-39-D	200,0	143,6	3,0			
GII	DEFAULT	6	Προσγείωση	L-39-D				790,0		
GII	DEFAULT	7	Επιβράδυνση			117,0			760,0	40,0
GII	DEFAULT	8	Επιβράδυνση			20,0			0,0	10,0
GIIB	DEFAULT	1	Κάθοδος	L-0-U	6 000,0	230,0	3,0			
GIIB	DEFAULT	2	Κάθοδος	L-10-U	3 000,0	170,0	3,0			
GIIB	DEFAULT	3	Κάθοδος	L-20-D	1 500,0	149,2	3,0			
GIIB	DEFAULT	4	Κάθοδος	L-20-D	1 000,0	149,2	3,0			
GIIB	DEFAULT	5	Κάθοδος	L-39-D	200,0	139,2	3,0			
GIIB	DEFAULT	6	Προσγείωση	L-39-D				790,0		
GIIB	DEFAULT	7	Επιβράδυνση			113,0			760,0	40,0
GIIB	DEFAULT	8	Επιβράδυνση			20,0			0,0	10,0

▼**M2**

ACFTID	Profile_ID (Προφίλ προσέγγισης)	Αριθμός βήματος	Είδος βήματος	Flap_ID (Θέση πτερυγίων καμπυλότητας)	Ύψος έναρξης προσέγγισης (ft)	Διακριβωμένη ταχύτητα αέρα στην έναρξη προσέγγισης (kt)	Γωνία καθόδου (deg)	Διαδρομή από το σημείο επαφής μέχρι ακινητοποίησης (ft)	Απόσταση (ft)	Ώση κατά την έναρξη προσέγγισης (Μέγιστη ώση %)
GIV	DEFAULT	1	Κάθοδος	L-0-U	6 000,0	250,0	3,0			
GIV	DEFAULT	2	Κάθοδος	L-0-U	3 000,0	160,0	3,0			
GIV	DEFAULT	3	Κάθοδος	L-20-D	1 500,0	160,0	3,0			
GIV	DEFAULT	4	Κάθοδος	L-39-D	1 000,0	151,5	3,0			
GIV	DEFAULT	5	Προσγείωση	L-39-D				298,0		
GIV	DEFAULT	6	Επιβράδυνση			80,0			982,0	40,0
GIV	DEFAULT	7	Επιβράδυνση			20,0			0,0	4,0
GV	DEFAULT	1	Κάθοδος	L-0-U	6 000,0	250,0	3,0			
GV	DEFAULT	2	Κάθοδος	L-20-U	3 000,0	160,0	3,0			
GV	DEFAULT	3	Κάθοδος	L-20-D	1 500,0	160,0	3,0			
GV	DEFAULT	4	Κάθοδος	L-39-D	1 000,0	137,8	3,0			
GV	DEFAULT	5	Προσγείωση	L-39-D				300,0		
GV	DEFAULT	6	Επιβράδυνση			107,0			1 157,0	40,0
GV	DEFAULT	7	Επιβράδυνση			20,0			0,0	4,6
HS748A	DEFAULT	1	Κάθοδος	ZERO	6 000,0	160,0	3,0			
HS748A	DEFAULT	2	Κάθοδος	INTR	3 000,0	110,1	3,0			
HS748A	DEFAULT	3	Κάθοδος	D-INTR	1 500,0	100,1	3,0			
HS748A	DEFAULT	4	Κάθοδος	D-30	1 000,0	90,1	3,0			
HS748A	DEFAULT	5	Προσγείωση	D-30				207,0		

▼**M2**

ACFTID	Profile_ID (Προφίλ προσέγγισης)	Αριθμός βήματος	Είδος βήματος	Flap_ID (Θέση πτερυγίων καμπυλότητας)	Ύψος έναρξης προσέγγισης (ft)	Διακριβωμένη ταχύτητα αέρα στην έναρξη προσέγγισης (kt)	Γωνία καθόδου (deg)	Διαδρομή από το σημείο επαφής μέχρι ακινητοποίησης (ft)	Απόσταση (ft)	Ώση κατά την έναρξη προσέγγισης (Μέγιστη ώση %)
HS748A	DEFAULT	6	Επιβράδυνση			85,5			1 863,0	40,0
HS748A	DEFAULT	7	Επιβράδυνση			30,0			0,0	10,0
IA1125	DEFAULT	1	Κάθοδος	ZERO	6 000,0	250,0	3,0			
IA1125	DEFAULT	2	Κάθοδος	INTR	3 000,0	152,1	3,0			
IA1125	DEFAULT	3	Κάθοδος	D-INTR	1 500,0	142,1	3,0			
IA1125	DEFAULT	4	Κάθοδος	D-40	1 000,0	132,1	3,0			
IA1125	DEFAULT	5	Προσγείωση	D-40				236,6		
IA1125	DEFAULT	6	Επιβράδυνση			125,3			2 129,4	40,0
IA1125	DEFAULT	7	Επιβράδυνση			30,0			0,0	10,0
L1011	DEFAULT	1	Κάθοδος	ZERO	6 000,0	250,0	3,0			
L1011	DEFAULT	2	Κάθοδος	10	3 000,0	160,5	3,0			
L1011	DEFAULT	3	Κάθοδος	D-33	1 500,0	162,9	3,0			
L1011	DEFAULT	4	Κάθοδος	D-42	1 000,0	145,5	3,0			
L1011	DEFAULT	5	Προσγείωση	D-42				417,0		
L1011	DEFAULT	6	Επιβράδυνση			138,1			3 753,0	10,0
L1011	DEFAULT	7	Επιβράδυνση			30,0			0,0	10,0
L10115	DEFAULT	1	Κάθοδος	ZERO	6 000,0	250,0	3,0			
L10115	DEFAULT	2	Κάθοδος	10	3 000,0	162,4	3,0			
L10115	DEFAULT	3	Κάθοδος	D-33	1 500,0	151,2	3,0			
L10115	DEFAULT	4	Κάθοδος	D-42	1 000,0	147,4	3,0			
L10115	DEFAULT	5	Προσγείωση	D-42				516,6		

▼**M2**

ACFTID	Profile_ID (Προφίλ προσέγγισης)	Αριθμός βήματος	Είδος βήματος	Flap_ID (Θέση πτερυγίων καμπυλότητας)	Ύψος έναρξης προσέγγισης (ft)	Διακριβωμένη ταχύτητα αέρα στην έναρξη προσέγγισης (kt)	Γωνία καθόδου (deg)	Διαδρομή από το σημείο επαφής μέχρι ακινητοποίησης (ft)	Απόσταση (ft)	Ώση κατά την έναρξη προσέγγισης (Μέγιστη ώση %)
L10115	DEFAULT	6	Επιβράδυνση			139,8			4 649,4	10,0
L10115	DEFAULT	7	Επιβράδυνση			30,0			0,0	10,0
L188	DEFAULT	1	Κάθοδος	ZERO	6 000,0	200,0	3,0			
L188	DEFAULT	2	Κάθοδος	INTR	3 000,0	147,5	3,0			
L188	DEFAULT	3	Κάθοδος	D-78-%	1 500,0	135,6	3,0			
L188	DEFAULT	4	Κάθοδος	D-100	1 000,0	129,8	3,0			
L188	DEFAULT	5	Προσγείωση	D-100				351,0		
L188	DEFAULT	6	Επιβράδυνση			123,1			3 159,0	40,0
L188	DEFAULT	7	Επιβράδυνση			30,0			0,0	10,0
LEAR25	DEFAULT	1	Κάθοδος	ZERO	6 000,0	250,0	3,0			
LEAR25	DEFAULT	2	Κάθοδος	10	3 000,0	161,6	3,0			
LEAR25	DEFAULT	3	Κάθοδος	D-INTR	1 500,0	151,6	3,0			
LEAR25	DEFAULT	4	Κάθοδος	D-40	1 000,0	141,7	3,0			
LEAR25	DEFAULT	5	Προσγείωση	D-40				140,4		
LEAR25	DEFAULT	6	Επιβράδυνση			134,4			1 263,6	40,0
LEAR25	DEFAULT	7	Επιβράδυνση			30,0			0,0	10,0
LEAR35	DEFAULT	1	Κάθοδος	ZERO	6 000,0	250,0	3,0			
LEAR35	DEFAULT	2	Κάθοδος	10	3 000,0	144,5	3,0			
LEAR35	DEFAULT	3	Κάθοδος	D-INTR	1 500,0	134,5	3,0			

▼**M2**

ACFTID	Profile_ID (Προφίλ προσέγγισης)	Αριθμός βήματος	Είδος βήματος	Flap_ID (Θέση πτερυγίων καμπυλότητας)	Ύψος έναρξης προσέγγισης (ft)	Διακριβωμένη ταχύτητα αέρα στην έναρξη προσέγγισης (kt)	Γωνία καθόδου (deg)	Διαδρομή από το σημείο επαφής μέχρι ακινητοποίησης (ft)	Απόσταση (ft)	Ώση κατά την έναρξη προσέγγισης (Μέγιστη ώση %)
LEAR35	DEFAULT	4	Κάθοδος	D-40	1 000,0	127,8	3,0			
LEAR35	DEFAULT	5	Προσγείωση	D-40				181,4		
LEAR35	DEFAULT	6	Επιβράδυνση			121,2			1 632,6	40,0
LEAR35	DEFAULT	7	Επιβράδυνση			30,0			0,0	10,0
MD9025	DEFAULT	1	Κάθοδος	U-0	6 000,0	185,0	3,0			
MD9025	DEFAULT	2	Κάθοδος	D-28	3 000,0	154,0	3,0			
MD9025	DEFAULT	3	Κάθοδος	D-28	1 500,0	150,0	3,0			
MD9025	DEFAULT	4	Κάθοδος	D-40	1 000,0	145,3	3,0			
MD9025	DEFAULT	5	Προσγείωση	D-40				346,0		
MD9025	DEFAULT	6	Επιβράδυνση			130,0			2 100,0	40,0
MD9025	DEFAULT	7	Επιβράδυνση			30,0			0,0	9,6
MD9028	DEFAULT	1	Κάθοδος	U-0	6 000,0	185,0	3,0			
MD9028	DEFAULT	2	Κάθοδος	D-28	3 000,0	154,0	3,0			
MD9028	DEFAULT	3	Κάθοδος	D-28	1 500,0	150,0	3,0			
MD9028	DEFAULT	4	Κάθοδος	D-40	1 000,0	145,3	3,0			
MD9028	DEFAULT	5	Προσγείωση	D-40				346,0		
MD9028	DEFAULT	6	Επιβράδυνση			130,0			2 100,0	40,0
MD9028	DEFAULT	7	Επιβράδυνση			30,0			0,0	8,6

▼**M2**

ACFTID	Profile_ID (Προφίλ προσέγγισης)	Αριθμός βήματος	Είδος βήματος	Flap_ID (Θέση πτερυγίων καμπυλότητας)	Ύψος έναρξης προσέγγισης (ft)	Διακριβωμένη ταχύτητα αέρα στην έναρξη προσέγγισης (kt)	Γωνία καθόδου (deg)	Διαδρομή από το σημείο επαφής μέχρι ακινητοποίησης (ft)	Απόσταση (ft)	Ώση κατά την έναρξη προσέγγισης (Μέγιστη ώση %)
MU3001	DEFAULT	1	Κάθοδος	ZERO	6 000,0	250,0	3,0			
MU3001	DEFAULT	2	Κάθοδος	1	3 000,0	133,8	3,0			
MU3001	DEFAULT	3	Κάθοδος	D-INTR	1 500,0	123,8	3,0			
MU3001	DEFAULT	4	Κάθοδος	D-30	1 000,0	117,1	3,0			
MU3001	DEFAULT	5	Προσγείωση	D-30				156,6		
MU3001	DEFAULT	6	Επιβράδυνση			111,1			1 409,4	40,0
MU3001	DEFAULT	7	Επιβράδυνση			30,0			0,0	10,0
PA30	DEFAULT	1	Κάθοδος	ZERO-A	6 000,0	120,0	3,0			
PA30	DEFAULT	2	Κάθοδος	27-A	3 000,0	109,0	3,0			
PA30	DEFAULT	3	Κάθοδος	27-A	1 500,0	96,0	3,0			
PA30	DEFAULT	4	Κάθοδος	27-A	1 000,0	87,0	3,0			
PA30	DEFAULT	5	Προσγείωση	27-A				53,5		
PA30	DEFAULT	6	Επιβράδυνση			70,0			481,1	10,0
PA30	DEFAULT	7	Επιβράδυνση			10,0			0,0	10,0
PA42	DEFAULT	1	Κάθοδος	ZERO-A	6 000,0	151,0	3,0			
PA42	DEFAULT	2	Κάθοδος	ZERO-A	4 000,0	135,0	3,0			
PA42	DEFAULT	3	Κάθοδος	ZERO-A	2 000,0	119,0	3,0			
PA42	DEFAULT	4	Κάθοδος	30-DN	1 000,0	111,0	3,0			

▼**M2**

ACFTID	Profile_ID (Προφίλ προσέγγισης)	Αριθμός βήματος	Είδος βήματος	Flap_ID (Θέση πτερυγίων καμπυλότητας)	Ύψος έναρξης προσέγγισης (ft)	Διακριβωμένη ταχύτητα αέρα στην έναρξη προσέγγισης (kt)	Γωνία καθόδου (deg)	Διαδρομή από το σημείο επαφής μέχρι ακινητοποίησης (ft)	Απόσταση (ft)	Ώση κατά την έναρξη προσέγγισης (Μέγιστη ώση %)
PA42	DEFAULT	5	Κάθοδος	30-DN	50,0	111,0	3,0			
PA42	DEFAULT	6	Προσγείωση	30-DN				100,0		
PA42	DEFAULT	7	Επιβράδυνση			111,0			2 245,9	10,0
PA42	DEFAULT	8	Επιβράδυνση			10,0			0,0	10,0
SD330	DEFAULT	1	Κάθοδος	ZERO	6 000,0	160,0	3,0			
SD330	DEFAULT	2	Κάθοδος	INTR	3 000,0	120,2	3,0			
SD330	DEFAULT	3	Κάθοδος	D-15	1 500,0	106,5	3,0			
SD330	DEFAULT	4	Κάθοδος	D-35	1 000,0	100,2	3,0			
SD330	DEFAULT	5	Προσγείωση	D-35				233,1		
SD330	DEFAULT	6	Επιβράδυνση			95,1			2 097,9	40,0
SD330	DEFAULT	7	Επιβράδυνση			30,0			0,0	10,0
SF340	DEFAULT	1	Κάθοδος	ZERO	6 000,0	160,0	3,0			
SF340	DEFAULT	2	Κάθοδος	5	3 000,0	136,9	3,0			
SF340	DEFAULT	3	Κάθοδος	D-INTR	1 500,0	126,9	3,0			
SF340	DEFAULT	4	Κάθοδος	D-35	1 000,0	116,9	3,0			
SF340	DEFAULT	5	Προσγείωση	D-35				216,9		
SF340	DEFAULT	6	Επιβράδυνση			110,9			1 952,1	40,0
SF340	DEFAULT	7	Επιβράδυνση			30,0			0,0	10,0

▼**M2**

Πίνακας Θ-4 (μέρος 1)

Διαδικαστικά βήματα καθιερωμένης αναχώρησης

ACFTID	Profile_ID (Προφίλ αναχώρησης)	Μήκος καλυπτόμενης διαδρομής	Αριθμός σταδίου	Είδος σταδίου	Μέγεθος ώσης	Flap_ID (Θέση πτερυγίων καμπυλότητας)	Οροφή ανόδου (ft)	Ρυθμός ανόδου (ft/min)	Διακριβωμένη ταχύτητα αέρα στην οροφή ανόδου (kt)	Ποσοστό επιτάχυνσης (%)
1900D	DEFAULT	1	1	Απογείωση	Μέγιστη ώση απογείωσης	17-D				
1900D	DEFAULT	1	2	Άνοδος	Μέγιστη ώση απογείωσης	17-D	400			
1900D	DEFAULT	1	3	Επιτάχυνση	Μέγιστη ώση απογείωσης	17-D		2 750	128	
1900D	DEFAULT	1	4	Επιτάχυνση	Μέγιστη ώση ανόδου	ZERO-D		2 950	138	
1900D	DEFAULT	1	5	Άνοδος	Μέγιστη ώση ανόδου	ZERO-D	3 000			
1900D	DEFAULT	1	6	Επιτάχυνση	Μέγιστη ώση ανόδου	ZERO-D		1 500	160	
1900D	DEFAULT	1	7	Άνοδος	Μέγιστη ώση ανόδου	ZERO-D	5 500			
1900D	DEFAULT	1	8	Άνοδος	Μέγιστη ώση ανόδου	ZERO-D	7 500			
1900D	DEFAULT	1	9	Άνοδος	Μέγιστη ώση ανόδου	ZERO-D	10 000			
1900D	DEFAULT	2	1	Απογείωση	Μέγιστη ώση απογείωσης	17-D				
1900D	DEFAULT	2	2	Άνοδος	Μέγιστη ώση απογείωσης	17-D	400			
1900D	DEFAULT	2	3	Επιτάχυνση	Μέγιστη ώση απογείωσης	17-D		2 400	128	
1900D	DEFAULT	2	4	Επιτάχυνση	Μέγιστη ώση ανόδου	ZERO-D		2 650	138	
1900D	DEFAULT	2	5	Άνοδος	Μέγιστη ώση ανόδου	ZERO-D	3 000			
1900D	DEFAULT	2	6	Επιτάχυνση	Μέγιστη ώση ανόδου	ZERO-D		1 500	160	
1900D	DEFAULT	2	7	Άνοδος	Μέγιστη ώση ανόδου	ZERO-D	5 500			
1900D	DEFAULT	2	8	Άνοδος	Μέγιστη ώση ανόδου	ZERO-D	7 500			
1900D	DEFAULT	2	9	Άνοδος	Μέγιστη ώση ανόδου	ZERO-D	10 000			
707320	DEFAULT	1	1	Απογείωση	Μέγιστη ώση απογείωσης	14				
707320	DEFAULT	1	2	Άνοδος	Μέγιστη ώση απογείωσης	14	1 000			
707320	DEFAULT	1	3	Επιτάχυνση	Μέγιστη ώση απογείωσης	14		2 047	175	

▼**M2**

ACFTID	Profile_ID (Προφίλ αναχώρησης)	Μήκος καλυπτόμενης διαδρομής	Αριθμός σταδίου	Είδος σταδίου	Μέγεθος ώσης	Flap_ID (Θέση πτερυγίων καμπυλότητας)	Οροφή ανόδου (ft)	Ρυθμός ανόδου (ft/min)	Διακριβωμένη ταχύτητα αέρα στην οροφή ανόδου (kt)	Ποσοστό επιτάχυνσης (%)
707320	DEFAULT	1	4	Επιτάχυνση	Μέγιστη ώση ανόδου	INT		1 000	195	
707320	DEFAULT	1	5	Άνοδος	Μέγιστη ώση ανόδου	ZERO	3 000			
707320	DEFAULT	1	6	Επιτάχυνση	Μέγιστη ώση ανόδου	ZERO		1 000	250	
707320	DEFAULT	1	7	Άνοδος	Μέγιστη ώση ανόδου	ZERO	5 500			
707320	DEFAULT	1	8	Άνοδος	Μέγιστη ώση ανόδου	ZERO	7 500			
707320	DEFAULT	1	9	Άνοδος	Μέγιστη ώση ανόδου	ZERO	10 000			
707320	DEFAULT	2	1	Απογείωση	Μέγιστη ώση απογείωσης	14				
707320	DEFAULT	2	2	Άνοδος	Μέγιστη ώση απογείωσης	14	1 000			
707320	DEFAULT	2	3	Επιτάχυνση	Μέγιστη ώση απογείωσης	14		1 905	179	
707320	DEFAULT	2	4	Επιτάχυνση	Μέγιστη ώση ανόδου	INT		1 000	199	
707320	DEFAULT	2	5	Άνοδος	Μέγιστη ώση ανόδου	ZERO	3 000			
707320	DEFAULT	2	6	Επιτάχυνση	Μέγιστη ώση ανόδου	ZERO		1 000	250	
707320	DEFAULT	2	7	Άνοδος	Μέγιστη ώση ανόδου	ZERO	5 500			
707320	DEFAULT	2	8	Άνοδος	Μέγιστη ώση ανόδου	ZERO	7 500			
707320	DEFAULT	2	9	Άνοδος	Μέγιστη ώση ανόδου	ZERO	10 000			
707320	DEFAULT	3	1	Απογείωση	Μέγιστη ώση απογείωσης	14				
707320	DEFAULT	3	2	Άνοδος	Μέγιστη ώση απογείωσης	14	1 000			
707320	DEFAULT	3	3	Επιτάχυνση	Μέγιστη ώση απογείωσης	14		1 793	183	
707320	DEFAULT	3	4	Επιτάχυνση	Μέγιστη ώση ανόδου	INT		1 000	203	
707320	DEFAULT	3	5	Άνοδος	Μέγιστη ώση ανόδου	ZERO	3 000			
707320	DEFAULT	3	6	Επιτάχυνση	Μέγιστη ώση ανόδου	ZERO		1 000	250	
707320	DEFAULT	3	7	Άνοδος	Μέγιστη ώση ανόδου	ZERO	5 500			

▼**M2**

ACFTID	Profile_ID (Προφίλ αναχώρησης)	Μήκος καλυπτόμενης διαδρομής	Αριθμός σταδίου	Είδος σταδίου	Μέγεθος ώσης	Flap_ID (Θέση πτερυγίων καμπυλότητας)	Οροφή ανόδου (ft)	Ρυθμός ανόδου (ft/min)	Διακριβωμένη ταχύτητα αέρα στην οροφή ανόδου (kt)	Ποσοστό επιτάχυνσης (%)
707320	DEFAULT	3	8	Άνοδος	Μέγιστη ώση ανόδου	ZERO	7 500			
707320	DEFAULT	3	9	Άνοδος	Μέγιστη ώση ανόδου	ZERO	10 000			
707320	DEFAULT	4	1	Απογείωση	Μέγιστη ώση απογείωσης	14				
707320	DEFAULT	4	2	Άνοδος	Μέγιστη ώση απογείωσης	14	1 000			
707320	DEFAULT	4	3	Επιτάχυνση	Μέγιστη ώση απογείωσης	14		1 624	189	
707320	DEFAULT	4	4	Επιτάχυνση	Μέγιστη ώση ανόδου	INT		1 000	209	
707320	DEFAULT	4	5	Άνοδος	Μέγιστη ώση ανόδου	ZERO	3 000			
707320	DEFAULT	4	6	Επιτάχυνση	Μέγιστη ώση ανόδου	ZERO		1 000	250	
707320	DEFAULT	4	7	Άνοδος	Μέγιστη ώση ανόδου	ZERO	5 500			
707320	DEFAULT	4	8	Άνοδος	Μέγιστη ώση ανόδου	ZERO	7 500			
707320	DEFAULT	4	9	Άνοδος	Μέγιστη ώση ανόδου	ZERO	10 000			
707320	DEFAULT	5	1	Απογείωση	Μέγιστη ώση απογείωσης	14				
707320	DEFAULT	5	2	Άνοδος	Μέγιστη ώση απογείωσης	14	1 000			
707320	DEFAULT	5	3	Επιτάχυνση	Μέγιστη ώση απογείωσης	14		1 430	197	
707320	DEFAULT	5	4	Επιτάχυνση	Μέγιστη ώση ανόδου	INT		1 000	217	
707320	DEFAULT	5	5	Άνοδος	Μέγιστη ώση ανόδου	ZERO	3 000			
707320	DEFAULT	5	6	Επιτάχυνση	Μέγιστη ώση ανόδου	ZERO		1 000	250	
707320	DEFAULT	5	7	Άνοδος	Μέγιστη ώση ανόδου	ZERO	5 500			
707320	DEFAULT	5	8	Άνοδος	Μέγιστη ώση ανόδου	ZERO	7 500			
707320	DEFAULT	5	9	Άνοδος	Μέγιστη ώση ανόδου	ZERO	10 000			
707320	DEFAULT	6	1	Απογείωση	Μέγιστη ώση απογείωσης	14				
707320	DEFAULT	6	2	Άνοδος	Μέγιστη ώση απογείωσης	14	1 000			
707320	DEFAULT	6	3	Επιτάχυνση	Μέγιστη ώση απογείωσης	14		1 259	205	

▼**M2**

ACFTID	Profile_ID (Προφίλ αναχώρησης)	Μήκος καλυπτόμενης διαδρομής	Αριθμός σταδίου	Είδος σταδίου	Μέγεθος ώσης	Flap_ID (Θέση πτερυγίων καμπυλότητας)	Οροφή ανόδου (ft)	Ρυθμός ανόδου (ft/min)	Διακριβωμένη ταχύτητα αέρα στην οροφή ανόδου (kt)	Ποσοστό επιτάχυνσης (%)
707320	DEFAULT	6	4	Επιτάχυνση	Μέγιστη ώση ανόδου	INT		800	225	
707320	DEFAULT	6	5	Άνοδος	Μέγιστη ώση ανόδου	ZERO	3 000			
707320	DEFAULT	6	6	Επιτάχυνση	Μέγιστη ώση ανόδου	ZERO		800	250	
707320	DEFAULT	6	7	Άνοδος	Μέγιστη ώση ανόδου	ZERO	5 500			
707320	DEFAULT	6	8	Άνοδος	Μέγιστη ώση ανόδου	ZERO	7 500			
707320	DEFAULT	6	9	Άνοδος	Μέγιστη ώση ανόδου	ZERO	10 000			
707320	DEFAULT	7	1	Απογείωση	Μέγιστη ώση απογείωσης	14				
707320	DEFAULT	7	2	Άνοδος	Μέγιστη ώση απογείωσης	14	1 000			
707320	DEFAULT	7	3	Επιτάχυνση	Μέγιστη ώση απογείωσης	14		1 151	209	
707320	DEFAULT	7	4	Επιτάχυνση	Μέγιστη ώση ανόδου	INT		800	229	
707320	DEFAULT	7	5	Άνοδος	Μέγιστη ώση ανόδου	ZERO	3 000			
707320	DEFAULT	7	6	Επιτάχυνση	Μέγιστη ώση ανόδου	ZERO		800	250	
707320	DEFAULT	7	7	Άνοδος	Μέγιστη ώση ανόδου	ZERO	5 500			
707320	DEFAULT	7	8	Άνοδος	Μέγιστη ώση ανόδου	ZERO	7 500			
707320	DEFAULT	7	9	Άνοδος	Μέγιστη ώση ανόδου	ZERO	10 000			
707QN	DEFAULT	1	1	Απογείωση	Μέγιστη ώση απογείωσης	14				
707QN	DEFAULT	1	2	Άνοδος	Μέγιστη ώση απογείωσης	14	1 000			
707QN	DEFAULT	1	3	Επιτάχυνση	Μέγιστη ώση απογείωσης	14		2 047	175	
707QN	DEFAULT	1	4	Επιτάχυνση	Μέγιστη ώση ανόδου	INT		1 000	195	
707QN	DEFAULT	1	5	Άνοδος	Μέγιστη ώση ανόδου	ZERO	3 000			
707QN	DEFAULT	1	6	Επιτάχυνση	Μέγιστη ώση ανόδου	ZERO		1 000	250	
707QN	DEFAULT	1	7	Άνοδος	Μέγιστη ώση ανόδου	ZERO	5 500			

▼**M2**

ACFTID	Profile_ID (Προφίλ αναχώρησης)	Μήκος καλυπτόμενης διαδρομής	Αριθμός σταδίου	Είδος σταδίου	Μέγεθος ώσης	Flap_ID (Θέση πτερυγίων καμπυλότητας)	Οροφή ανόδου (ft)	Ρυθμός ανόδου (ft/min)	Διακριβωμένη ταχύτητα αέρα στην οροφή ανόδου (kt)	Ποσοστό επιτάχυνσης (%)
707QN	DEFAULT	1	8	Άνοδος	Μέγιστη ώση ανόδου	ZERO	7 500			
707QN	DEFAULT	1	9	Άνοδος	Μέγιστη ώση ανόδου	ZERO	10 000			
707QN	DEFAULT	2	1	Απογείωση	Μέγιστη ώση απογείωσης	14				
707QN	DEFAULT	2	2	Άνοδος	Μέγιστη ώση απογείωσης	14	1 000			
707QN	DEFAULT	2	3	Επιτάχυνση	Μέγιστη ώση απογείωσης	14		1 905	179	
707QN	DEFAULT	2	4	Επιτάχυνση	Μέγιστη ώση ανόδου	INT		1 000	199	
707QN	DEFAULT	2	5	Άνοδος	Μέγιστη ώση ανόδου	ZERO	3 000			
707QN	DEFAULT	2	6	Επιτάχυνση	Μέγιστη ώση ανόδου	ZERO		1 000	250	
707QN	DEFAULT	2	7	Άνοδος	Μέγιστη ώση ανόδου	ZERO	5 500			
707QN	DEFAULT	2	8	Άνοδος	Μέγιστη ώση ανόδου	ZERO	7 500			
707QN	DEFAULT	2	9	Άνοδος	Μέγιστη ώση ανόδου	ZERO	10 000			
707QN	DEFAULT	3	1	Απογείωση	Μέγιστη ώση απογείωσης	14				
707QN	DEFAULT	3	2	Άνοδος	Μέγιστη ώση απογείωσης	14	1 000			
707QN	DEFAULT	3	3	Επιτάχυνση	Μέγιστη ώση απογείωσης	14		1 793	183	
707QN	DEFAULT	3	4	Επιτάχυνση	Μέγιστη ώση ανόδου	INT		1 000	203	
707QN	DEFAULT	3	5	Άνοδος	Μέγιστη ώση ανόδου	ZERO	3 000			
707QN	DEFAULT	3	6	Επιτάχυνση	Μέγιστη ώση ανόδου	ZERO		1 000	250	
707QN	DEFAULT	3	7	Άνοδος	Μέγιστη ώση ανόδου	ZERO	5 500			
707QN	DEFAULT	3	8	Άνοδος	Μέγιστη ώση ανόδου	ZERO	7 500			
707QN	DEFAULT	3	9	Άνοδος	Μέγιστη ώση ανόδου	ZERO	10 000			
707QN	DEFAULT	4	1	Απογείωση	Μέγιστη ώση απογείωσης	14				
707QN	DEFAULT	4	2	Άνοδος	Μέγιστη ώση απογείωσης	14	1 000			

▼**M2**

ACFTID	Profile_ID (Προφίλ αναχώρησης)	Μήκος καλυπτόμενης διαδρομής	Αριθμός σταδίου	Είδος σταδίου	Μέγεθος ώσης	Flap_ID (Θέση πτερυγίων καμπυλότητας)	Οροφή ανόδου (ft)	Ρυθμός ανόδου (ft/min)	Διακριβωμένη ταχύτητα αέρα στην οροφή ανόδου (kt)	Ποσοστό επιτάχυνσης (%)
707QN	DEFAULT	4	3	Επιτάχυνση	Μέγιστη ώση απογείωσης	14		1 624	189	
707QN	DEFAULT	4	4	Επιτάχυνση	Μέγιστη ώση ανόδου	INT		1 000	209	
707QN	DEFAULT	4	5	Άνοδος	Μέγιστη ώση ανόδου	ZERO	3 000			
707QN	DEFAULT	4	6	Επιτάχυνση	Μέγιστη ώση ανόδου	ZERO		1 000	250	
707QN	DEFAULT	4	7	Άνοδος	Μέγιστη ώση ανόδου	ZERO	5 500			
707QN	DEFAULT	4	8	Άνοδος	Μέγιστη ώση ανόδου	ZERO	7 500			
707QN	DEFAULT	4	9	Άνοδος	Μέγιστη ώση ανόδου	ZERO	10 000			
707QN	DEFAULT	5	1	Απογείωση	Μέγιστη ώση απογείωσης	14				
707QN	DEFAULT	5	2	Άνοδος	Μέγιστη ώση απογείωσης	14	1 000			
707QN	DEFAULT	5	3	Επιτάχυνση	Μέγιστη ώση απογείωσης	14		1 430	197	
707QN	DEFAULT	5	4	Επιτάχυνση	Μέγιστη ώση ανόδου	INT		1 000	217	
707QN	DEFAULT	5	5	Άνοδος	Μέγιστη ώση ανόδου	ZERO	3 000			
707QN	DEFAULT	5	6	Επιτάχυνση	Μέγιστη ώση ανόδου	ZERO		1 000	250	
707QN	DEFAULT	5	7	Άνοδος	Μέγιστη ώση ανόδου	ZERO	5 500			
707QN	DEFAULT	5	8	Άνοδος	Μέγιστη ώση ανόδου	ZERO	7 500			
707QN	DEFAULT	5	9	Άνοδος	Μέγιστη ώση ανόδου	ZERO	10 000			
707QN	DEFAULT	6	1	Απογείωση	Μέγιστη ώση απογείωσης	14				
707QN	DEFAULT	6	2	Άνοδος	Μέγιστη ώση απογείωσης	14	1 000			
707QN	DEFAULT	6	3	Επιτάχυνση	Μέγιστη ώση απογείωσης	14		1 259	205	
707QN	DEFAULT	6	4	Επιτάχυνση	Μέγιστη ώση ανόδου	INT		800	225	
707QN	DEFAULT	6	5	Άνοδος	Μέγιστη ώση ανόδου	ZERO	3 000			
707QN	DEFAULT	6	6	Επιτάχυνση	Μέγιστη ώση ανόδου	ZERO		800	250	
707QN	DEFAULT	6	7	Άνοδος	Μέγιστη ώση ανόδου	ZERO	5 500			

▼**M2**

ACFTID	Profile_ID (Προφίλ αναχώρησης)	Μήκος καλυπτόμενης διαδρομής	Αριθμός σταδίου	Είδος σταδίου	Μέγεθος ώσης	Flap_ID (Θέση πτερυγίων καμπυλότητας)	Οροφή ανόδου (ft)	Ρυθμός ανόδου (ft/min)	Διακριβωμένη ταχύτητα αέρα στην οροφή ανόδου (kt)	Ποσοστό επιτάχυνσης (%)
707QN	DEFAULT	6	8	Άνοδος	Μέγιστη ώση ανόδου	ZERO	7 500			
707QN	DEFAULT	6	9	Άνοδος	Μέγιστη ώση ανόδου	ZERO	10 000			
707QN	DEFAULT	7	1	Απογείωση	Μέγιστη ώση απογείωσης	14				
707QN	DEFAULT	7	2	Άνοδος	Μέγιστη ώση απογείωσης	14	1 000			
707QN	DEFAULT	7	3	Επιτάχυνση	Μέγιστη ώση απογείωσης	14		1 151	209	
707QN	DEFAULT	7	4	Επιτάχυνση	Μέγιστη ώση ανόδου	INT		800	229	
707QN	DEFAULT	7	5	Άνοδος	Μέγιστη ώση ανόδου	ZERO	3 000			
707QN	DEFAULT	7	6	Επιτάχυνση	Μέγιστη ώση ανόδου	ZERO		800	250	
707QN	DEFAULT	7	7	Άνοδος	Μέγιστη ώση ανόδου	ZERO	5 500			
707QN	DEFAULT	7	8	Άνοδος	Μέγιστη ώση ανόδου	ZERO	7 500			
707QN	DEFAULT	7	9	Άνοδος	Μέγιστη ώση ανόδου	ZERO	10 000			
717200	DEFAULT	1	1	Απογείωση	Μέγιστη ώση απογείωσης	T_13A				
717200	DEFAULT	1	2	Άνοδος	Μέγιστη ώση απογείωσης	T_13A	1 000			
717200	DEFAULT	1	3	Άνοδος	Μέγιστη ώση ανόδου	T_13A	3 000			
717200	DEFAULT	1	4	Επιτάχυνση	Μέγιστη ώση ανόδου	T_00B		1 296,4	250	
717200	DEFAULT	1	5	Άνοδος	Μέγιστη ώση ανόδου	T_00B	5 000			
717200	DEFAULT	1	6	Άνοδος	Μέγιστη ώση ανόδου	T_00B	7 500			
717200	DEFAULT	1	7	Άνοδος	Μέγιστη ώση ανόδου	T_00B	10 000			
717200	DEFAULT	2	1	Απογείωση	Μέγιστη ώση απογείωσης	T_13A				
717200	DEFAULT	2	2	Άνοδος	Μέγιστη ώση απογείωσης	T_13A	1 000			
717200	DEFAULT	2	3	Άνοδος	Μέγιστη ώση ανόδου	T_13A	3 000			
717200	DEFAULT	2	4	Επιτάχυνση	Μέγιστη ώση ανόδου	T_00B		1 298	250	

▼**M2**

ACFTID	Profile_ID (Προφίλ αναχώρησης)	Μήκος καλυπτόμενης διαδρομής	Αριθμός σταδίου	Είδος σταδίου	Μέγεθος ώσης	Flap_ID (Θέση πτερυγίων καμπυλότητας)	Οροφή ανόδου (ft)	Ρυθμός ανόδου (ft/min)	Διακριβωμένη ταχύτητα αέρα στην οροφή ανόδου (kt)	Ποσοστό επιτάχυνσης (%)
717200	DEFAULT	2	5	Άνοδος	Μέγιστη ώση ανόδου	T_00B	5 000			
717200	DEFAULT	2	6	Άνοδος	Μέγιστη ώση ανόδου	T_00B	7 500			
717200	DEFAULT	2	7	Άνοδος	Μέγιστη ώση ανόδου	T_00B	10 000			
717200	DEFAULT	3	1	Απογείωση	Μέγιστη ώση απογείωσης	T_13A				
717200	DEFAULT	3	2	Άνοδος	Μέγιστη ώση απογείωσης	T_13A	1 000			
717200	DEFAULT	3	3	Άνοδος	Μέγιστη ώση ανόδου	T_13A	3 000			
717200	DEFAULT	3	4	Επιτάχυνση	Μέγιστη ώση ανόδου	T_00B		1 229,1	250	
717200	DEFAULT	3	5	Άνοδος	Μέγιστη ώση ανόδου	T_00B	5 000			
717200	DEFAULT	3	6	Άνοδος	Μέγιστη ώση ανόδου	T_00B	7 500			
717200	DEFAULT	3	7	Άνοδος	Μέγιστη ώση ανόδου	T_00B	10 000			
717200	DEFAULT	4	1	Απογείωση	Μέγιστη ώση απογείωσης	T_13A				
717200	DEFAULT	4	2	Άνοδος	Μέγιστη ώση απογείωσης	T_13A	1 000			
717200	DEFAULT	4	3	Άνοδος	Μέγιστη ώση ανόδου	T_13A	3 000			
717200	DEFAULT	4	4	Επιτάχυνση	Μέγιστη ώση ανόδου	T_00B		1 165,9	250	
717200	DEFAULT	4	5	Άνοδος	Μέγιστη ώση ανόδου	T_00B	5 000			
717200	DEFAULT	4	6	Άνοδος	Μέγιστη ώση ανόδου	T_00B	7 500			
717200	DEFAULT	4	7	Άνοδος	Μέγιστη ώση ανόδου	T_00B	10 000			
717200	DEFAULT	5	1	Απογείωση	Μέγιστη ώση απογείωσης	T_13A				
717200	DEFAULT	5	2	Άνοδος	Μέγιστη ώση απογείωσης	T_13A	1 000			
717200	DEFAULT	5	3	Άνοδος	Μέγιστη ώση ανόδου	T_13A	3 000			
717200	DEFAULT	5	4	Επιτάχυνση	Μέγιστη ώση ανόδου	T_00B		1 142,6	250	
717200	DEFAULT	5	5	Άνοδος	Μέγιστη ώση ανόδου	T_00B	5 000			

▼**M2**

ACFTID	Profile_ID (Προφίλ αναχώρησης)	Μήκος καλυπτόμενης διαδρομής	Αριθμός σταδίου	Είδος σταδίου	Μέγεθος ώσης	Flap_ID (Θέση πτερυγίων καμπυλότητας)	Οροφή ανόδου (ft)	Ρυθμός ανόδου (ft/min)	Διακριβωμένη ταχύτητα αέρα στην οροφή ανόδου (kt)	Ποσοστό επιτάχυνσης (%)
717200	DEFAULT	5	6	Άνοδος	Μέγιστη ώση ανόδου	T_00B	7 500			
717200	DEFAULT	5	7	Άνοδος	Μέγιστη ώση ανόδου	T_00B	10 000			
717200	DEFAULT	6	1	Απογείωση	Μέγιστη ώση απογείωσης	T_13A				
717200	DEFAULT	6	2	Άνοδος	Μέγιστη ώση απογείωσης	T_13A	1 000			
717200	DEFAULT	6	3	Άνοδος	Μέγιστη ώση ανόδου	T_13A	3 000			
717200	DEFAULT	6	4	Επιτάχυνση	Μέγιστη ώση ανόδου	T_00B		1 098,3	250	
717200	DEFAULT	6	5	Άνοδος	Μέγιστη ώση ανόδου	T_00B	5 000			
717200	DEFAULT	6	6	Άνοδος	Μέγιστη ώση ανόδου	T_00B	7 500			
717200	DEFAULT	6	7	Άνοδος	Μέγιστη ώση ανόδου	T_00B	10 000			
717200	ICAO_B	1	1	Απογείωση	Μέγιστη ώση απογείωσης	T_13A				
717200	ICAO_B	1	2	Άνοδος	Μέγιστη ώση απογείωσης	T_13A	1 100			
717200	ICAO_B	1	3	Επιτάχυνση	Μέγιστη ώση απογείωσης	T_13A		2 137,1	186,2	
717200	ICAO_B	1	4	Άνοδος	Μέγιστη ώση ανόδου	T_00B	3 000			
717200	ICAO_B	1	5	Επιτάχυνση	Μέγιστη ώση ανόδου	T_00B		1 000	250	
717200	ICAO_B	1	6	Άνοδος	Μέγιστη ώση ανόδου	T_00B	5 500			
717200	ICAO_B	1	7	Άνοδος	Μέγιστη ώση ανόδου	T_00B	7 500			
717200	ICAO_B	1	8	Άνοδος	Μέγιστη ώση ανόδου	T_00B	10 000			
717200	ICAO_B	2	1	Απογείωση	Μέγιστη ώση απογείωσης	T_13A				
717200	ICAO_B	2	2	Άνοδος	Μέγιστη ώση απογείωσης	T_13A	1 000			
717200	ICAO_B	2	3	Επιτάχυνση	Μέγιστη ώση απογείωσης	T_13A		2 003,2	185	
717200	ICAO_B	2	4	Άνοδος	Μέγιστη ώση ανόδου	T_00B	3 000			
717200	ICAO_B	2	5	Επιτάχυνση	Μέγιστη ώση ανόδου	T_00B		1 000	250	

▼**M2**

ACFTID	Profile_ID (Προφίλ αναχώρησης)	Μήκος καλυπτόμενης διαδρομής	Αριθμός σταδίου	Είδος σταδίου	Μέγεθος ώσης	Flap_ID (Θέση πτερυγίων καμπυλότητας)	Οροφή ανόδου (ft)	Ρυθμός ανόδου (ft/min)	Διακριβωμένη ταχύτητα αέρα στην οροφή ανόδου (kt)	Ποσοστό επιτάχυνσης (%)
717200	ICAO_B	2	6	Άνοδος	Μέγιστη ώση ανόδου	T_00B	5 500			
717200	ICAO_B	2	7	Άνοδος	Μέγιστη ώση ανόδου	T_00B	7 500			
717200	ICAO_B	2	8	Άνοδος	Μέγιστη ώση ανόδου	T_00B	10 000			
717200	ICAO_B	3	1	Απογείωση	Μέγιστη ώση απογείωσης	T_13A				
717200	ICAO_B	3	2	Άνοδος	Μέγιστη ώση απογείωσης	T_13A	1 000			
717200	ICAO_B	3	3	Επιτάχυνση	Μέγιστη ώση απογείωσης	T_13A		1 874,4	183,8	
717200	ICAO_B	3	4	Άνοδος	Μέγιστη ώση ανόδου	T_00B	3 000			
717200	ICAO_B	3	5	Επιτάχυνση	Μέγιστη ώση ανόδου	T_00B		1 000	250	
717200	ICAO_B	3	6	Άνοδος	Μέγιστη ώση ανόδου	T_00B	5 500			
717200	ICAO_B	3	7	Άνοδος	Μέγιστη ώση ανόδου	T_00B	7 500			
717200	ICAO_B	3	8	Άνοδος	Μέγιστη ώση ανόδου	T_00B	10 000			
717200	ICAO_B	4	1	Απογείωση	Μέγιστη ώση απογείωσης	T_13A				
717200	ICAO_B	4	2	Άνοδος	Μέγιστη ώση απογείωσης	T_13A	1 000			
717200	ICAO_B	4	3	Επιτάχυνση	Μέγιστη ώση απογείωσης	T_13A		1 756,2	182,7	
717200	ICAO_B	4	4	Άνοδος	Μέγιστη ώση ανόδου	T_00B	3 000			
717200	ICAO_B	4	5	Επιτάχυνση	Μέγιστη ώση ανόδου	T_00B		1 000	250	
717200	ICAO_B	4	6	Άνοδος	Μέγιστη ώση ανόδου	T_00B	5 500			
717200	ICAO_B	4	7	Άνοδος	Μέγιστη ώση ανόδου	T_00B	7 500			
717200	ICAO_B	4	8	Άνοδος	Μέγιστη ώση ανόδου	T_00B	10 000			
717200	ICAO_B	5	1	Απογείωση	Μέγιστη ώση απογείωσης	T_13A				
717200	ICAO_B	5	2	Άνοδος	Μέγιστη ώση απογείωσης	T_13A	1 000			
717200	ICAO_B	5	3	Επιτάχυνση	Μέγιστη ώση απογείωσης	T_13A		1 705,9	192,7	

▼**M2**

ACFTID	Profile_ID (Προφίλ αναχώρησης)	Μήκος καλυπτόμενης διαδρομής	Αριθμός σταδίου	Είδος σταδίου	Μέγεθος ώσης	Flap_ID (Θέση πτερυγίων καμπυλότητας)	Οροφή ανόδου (ft)	Ρυθμός ανόδου (ft/min)	Διακριβωμένη ταχύτητα αέρα στην οροφή ανόδου (kt)	Ποσοστό επιτάχυνσης (%)
717200	ICAO_B	5	4	Άνοδος	Μέγιστη ώση ανόδου	T_00B	3 000			
717200	ICAO_B	5	5	Επιτάχυνση	Μέγιστη ώση ανόδου	T_00B		1 000	250	
717200	ICAO_B	5	6	Άνοδος	Μέγιστη ώση ανόδου	T_00B	5 500			
717200	ICAO_B	5	7	Άνοδος	Μέγιστη ώση ανόδου	T_00B	7 500			
717200	ICAO_B	5	8	Άνοδος	Μέγιστη ώση ανόδου	T_00B	10 000			
717200	ICAO_B	6	1	Απογείωση	Μέγιστη ώση απογείωσης	T_13A				
717200	ICAO_B	6	2	Άνοδος	Μέγιστη ώση απογείωσης	T_13A	1 000			
717200	ICAO_B	6	3	Επιτάχυνση	Μέγιστη ώση απογείωσης	T_13A		1 540,3	191,2	
717200	ICAO_B	6	4	Άνοδος	Μέγιστη ώση ανόδου	T_00B	3 000			
717200	ICAO_B	6	5	Επιτάχυνση	Μέγιστη ώση ανόδου	T_00B		1 000	250	
717200	ICAO_B	6	6	Άνοδος	Μέγιστη ώση ανόδου	T_00B	5 500			
717200	ICAO_B	6	7	Άνοδος	Μέγιστη ώση ανόδου	T_00B	7 500			
717200	ICAO_B	6	8	Άνοδος	Μέγιστη ώση ανόδου	T_00B	10 000			
720B	DEFAULT	1	1	Απογείωση	Μέγιστη ώση απογείωσης	20				
720B	DEFAULT	1	2	Άνοδος	Μέγιστη ώση απογείωσης	20	1 000			
720B	DEFAULT	1	3	Επιτάχυνση	Μέγιστη ώση απογείωσης	20		2 632	175	
720B	DEFAULT	1	4	Επιτάχυνση	Μέγιστη ώση ανόδου	INT		1 000	195	
720B	DEFAULT	1	5	Άνοδος	Μέγιστη ώση ανόδου	ZERO	3 000			
720B	DEFAULT	1	6	Επιτάχυνση	Μέγιστη ώση ανόδου	ZERO		1 000	250	
720B	DEFAULT	1	7	Άνοδος	Μέγιστη ώση ανόδου	ZERO	5 500			
720B	DEFAULT	1	8	Άνοδος	Μέγιστη ώση ανόδου	ZERO	7 500			
720B	DEFAULT	1	9	Άνοδος	Μέγιστη ώση ανόδου	ZERO	10 000			

▼**M2**

ACFTID	Profile_ID (Προφίλ αναχώρησης)	Μήκος καλυπτόμενης διαδρομής	Αριθμός σταδίου	Είδος σταδίου	Μέγεθος ώσης	Flap_ID (Θέση πτερυγίων καμπυλότητας)	Οροφή ανόδου (ft)	Ρυθμός ανόδου (ft/min)	Διακριβωμένη ταχύτητα αέρα στην οροφή ανόδου (kt)	Ποσοστό επιτάχυνσης (%)
720B	DEFAULT	2	1	Απογείωση	Μέγιστη ώση απογείωσης	20				
720B	DEFAULT	2	2	Άνοδος	Μέγιστη ώση απογείωσης	20	1 000			
720B	DEFAULT	2	3	Επιτάχυνση	Μέγιστη ώση απογείωσης	20		2 470	179	
720B	DEFAULT	2	4	Επιτάχυνση	Μέγιστη ώση ανόδου	INT		1 000	199	
720B	DEFAULT	2	5	Άνοδος	Μέγιστη ώση ανόδου	ZERO	3 000			
720B	DEFAULT	2	6	Επιτάχυνση	Μέγιστη ώση ανόδου	ZERO		1 000	250	
720B	DEFAULT	2	7	Άνοδος	Μέγιστη ώση ανόδου	ZERO	5 500			
720B	DEFAULT	2	8	Άνοδος	Μέγιστη ώση ανόδου	ZERO	7 500			
720B	DEFAULT	2	9	Άνοδος	Μέγιστη ώση ανόδου	ZERO	10 000			
720B	DEFAULT	3	1	Απογείωση	Μέγιστη ώση απογείωσης	20				
720B	DEFAULT	3	2	Άνοδος	Μέγιστη ώση απογείωσης	20	1 000			
720B	DEFAULT	3	3	Επιτάχυνση	Μέγιστη ώση απογείωσης	20		2 323	183	
720B	DEFAULT	3	4	Επιτάχυνση	Μέγιστη ώση ανόδου	INT		1 000	203	
720B	DEFAULT	3	5	Άνοδος	Μέγιστη ώση ανόδου	ZERO	3 000			
720B	DEFAULT	3	6	Επιτάχυνση	Μέγιστη ώση ανόδου	ZERO		1 000	250	
720B	DEFAULT	3	7	Άνοδος	Μέγιστη ώση ανόδου	ZERO	5 500			
720B	DEFAULT	3	8	Άνοδος	Μέγιστη ώση ανόδου	ZERO	7 500			
720B	DEFAULT	3	9	Άνοδος	Μέγιστη ώση ανόδου	ZERO	10 000			
720B	DEFAULT	4	1	Απογείωση	Μέγιστη ώση απογείωσης	20				
720B	DEFAULT	4	2	Άνοδος	Μέγιστη ώση απογείωσης	20	1 000			
720B	DEFAULT	4	3	Επιτάχυνση	Μέγιστη ώση απογείωσης	20		2 125	189	
720B	DEFAULT	4	4	Επιτάχυνση	Μέγιστη ώση ανόδου	INT		1 000	209	

▼**M2**

ACFTID	Profile_ID (Προφίλ αναχώρησης)	Μήκος καλυπτόμενης διαδρομής	Αριθμός σταδίου	Είδος σταδίου	Μέγεθος ώσης	Flap_ID (Θέση πτερυγίων καμπυλότητας)	Οροφή ανόδου (ft)	Ρυθμός ανόδου (ft/min)	Διακριβωμένη ταχύτητα αέρα στην οροφή ανόδου (kt)	Ποσοστό επιτάχυνσης (%)
720B	DEFAULT	4	5	Άνοδος	Μέγιστη ώση ανόδου	ZERO	3 000			
720B	DEFAULT	4	6	Επιτάχυνση	Μέγιστη ώση ανόδου	ZERO		1 000	250	
720B	DEFAULT	4	7	Άνοδος	Μέγιστη ώση ανόδου	ZERO	5 500			
720B	DEFAULT	4	8	Άνοδος	Μέγιστη ώση ανόδου	ZERO	7 500			
720B	DEFAULT	4	9	Άνοδος	Μέγιστη ώση ανόδου	ZERO	10 000			
720B	DEFAULT	5	1	Απογείωση	Μέγιστη ώση απογείωσης	20				
720B	DEFAULT	5	2	Άνοδος	Μέγιστη ώση απογείωσης	20	1 000			
720B	DEFAULT	5	3	Επιτάχυνση	Μέγιστη ώση απογείωσης	20		2 005	193	
720B	DEFAULT	5	4	Επιτάχυνση	Μέγιστη ώση ανόδου	INT		1 000	213	
720B	DEFAULT	5	5	Άνοδος	Μέγιστη ώση ανόδου	ZERO	3 000			
720B	DEFAULT	5	6	Επιτάχυνση	Μέγιστη ώση ανόδου	ZERO		1 000	250	
720B	DEFAULT	5	7	Άνοδος	Μέγιστη ώση ανόδου	ZERO	5 500			
720B	DEFAULT	5	8	Άνοδος	Μέγιστη ώση ανόδου	ZERO	7 500			
720B	DEFAULT	5	9	Άνοδος	Μέγιστη ώση ανόδου	ZERO	10 000			
727100	DEFAULT	1	1	Απογείωση	Μέγιστη ώση απογείωσης	5				
727100	DEFAULT	1	2	Άνοδος	Μέγιστη ώση απογείωσης	5	1 000			
727100	DEFAULT	1	3	Επιτάχυνση	Μέγιστη ώση απογείωσης	5		1 342	160	
727100	DEFAULT	1	4	Επιτάχυνση	Μέγιστη ώση απογείωσης	2		1 342	190	
727100	DEFAULT	1	5	Επιτάχυνση	Μέγιστη ώση ανόδου	ZERO		1 000	200	
727100	DEFAULT	1	6	Άνοδος	Μέγιστη ώση ανόδου	ZERO	3 000			
727100	DEFAULT	1	7	Επιτάχυνση	Μέγιστη ώση ανόδου	ZERO		1 000	250	
727100	DEFAULT	1	8	Άνοδος	Μέγιστη ώση ανόδου	ZERO	5 500			

▼**M2**

ACFTID	Profile_ID (Προφίλ αναχώρησης)	Μήκος καλυπτόμενης διαδρομής	Αριθμός σταδίου	Είδος σταδίου	Μέγεθος ώσης	Flap_ID (Θέση πτερυγίων καμπυλότητας)	Οροφή ανόδου (ft)	Ρυθμός ανόδου (ft/min)	Διακριβωμένη ταχύτητα αέρα στην οροφή ανόδου (kt)	Ποσοστό επιτάχυνσης (%)
727100	DEFAULT	1	9	Άνοδος	Μέγιστη ώση ανόδου	ZERO	7 500			
727100	DEFAULT	1	10	Άνοδος	Μέγιστη ώση ανόδου	ZERO	10 000			
727100	DEFAULT	2	1	Απογείωση	Μέγιστη ώση απογείωσης	5				
727100	DEFAULT	2	2	Άνοδος	Μέγιστη ώση απογείωσης	5	1 000			
727100	DEFAULT	2	3	Επιτάχυνση	Μέγιστη ώση απογείωσης	5		1 265	160	
727100	DEFAULT	2	4	Επιτάχυνση	Μέγιστη ώση απογείωσης	2		1 265	190	
727100	DEFAULT	2	5	Επιτάχυνση	Μέγιστη ώση ανόδου	ZERO		1 000	200	
727100	DEFAULT	2	6	Άνοδος	Μέγιστη ώση ανόδου	ZERO	3 000			
727100	DEFAULT	2	7	Επιτάχυνση	Μέγιστη ώση ανόδου	ZERO		1 000	250	
727100	DEFAULT	2	8	Άνοδος	Μέγιστη ώση ανόδου	ZERO	5 500			
727100	DEFAULT	2	9	Άνοδος	Μέγιστη ώση ανόδου	ZERO	7 500			
727100	DEFAULT	2	10	Άνοδος	Μέγιστη ώση ανόδου	ZERO	10 000			
727100	DEFAULT	3	1	Απογείωση	Μέγιστη ώση απογείωσης	5				
727100	DEFAULT	3	2	Άνοδος	Μέγιστη ώση απογείωσης	5	1 000			
727100	DEFAULT	3	3	Επιτάχυνση	Μέγιστη ώση απογείωσης	5		1 192	165	
727100	DEFAULT	3	4	Επιτάχυνση	Μέγιστη ώση απογείωσης	2		1 192	195	
727100	DEFAULT	3	5	Επιτάχυνση	Μέγιστη ώση ανόδου	ZERO		1 000	205	
727100	DEFAULT	3	6	Άνοδος	Μέγιστη ώση ανόδου	ZERO	3 000			
727100	DEFAULT	3	7	Επιτάχυνση	Μέγιστη ώση ανόδου	ZERO		1 000	250	
727100	DEFAULT	3	8	Άνοδος	Μέγιστη ώση ανόδου	ZERO	5 500			
727100	DEFAULT	3	9	Άνοδος	Μέγιστη ώση ανόδου	ZERO	7 500			
727100	DEFAULT	3	10	Άνοδος	Μέγιστη ώση ανόδου	ZERO	10 000			

▼**M2**

ACFTID	Profile_ID (Προφίλ αναχώρησης)	Μήκος καλυπτόμενης διαδρομής	Αριθμός σταδίου	Είδος σταδίου	Μέγεθος ώσης	Flap_ID (Θέση πτερυγίων καμπυλότητας)	Οροφή ανόδου (ft)	Ρυθμός ανόδου (ft/min)	Διακριβωμένη ταχύτητα αέρα στην οροφή ανόδου (kt)	Ποσοστό επιτάχυνσης (%)
727100	DEFAULT	4	1	Απογείωση	Μέγιστη ώση απογείωσης	5				
727100	DEFAULT	4	2	Άνοδος	Μέγιστη ώση απογείωσης	5	1 000			
727100	DEFAULT	4	3	Επιτάχυνση	Μέγιστη ώση απογείωσης	5		1 115	170	
727100	DEFAULT	4	4	Επιτάχυνση	Μέγιστη ώση απογείωσης	2		1 115	200	
727100	DEFAULT	4	5	Επιτάχυνση	Μέγιστη ώση ανόδου	ZERO		1 000	210	
727100	DEFAULT	4	6	Άνοδος	Μέγιστη ώση ανόδου	ZERO	3 000			
727100	DEFAULT	4	7	Επιτάχυνση	Μέγιστη ώση ανόδου	ZERO		1 000	250	
727100	DEFAULT	4	8	Άνοδος	Μέγιστη ώση ανόδου	ZERO	5 500			
727100	DEFAULT	4	9	Άνοδος	Μέγιστη ώση ανόδου	ZERO	7 500			
727100	DEFAULT	4	10	Άνοδος	Μέγιστη ώση ανόδου	ZERO	10 000			
727D15	DEFAULT	1	1	Απογείωση	Μέγιστη ώση απογείωσης	5				
727D15	DEFAULT	1	2	Άνοδος	Μέγιστη ώση απογείωσης	5	1 000			
727D15	DEFAULT	1	3	Επιτάχυνση	Μέγιστη ώση απογείωσης	5		1 363	170	
727D15	DEFAULT	1	4	Επιτάχυνση	Μέγιστη ώση απογείωσης	2		1 363	200	
727D15	DEFAULT	1	5	Επιτάχυνση	Μέγιστη ώση ανόδου	ZERO		1 000	210	
727D15	DEFAULT	1	6	Άνοδος	Μέγιστη ώση ανόδου	ZERO	3 000			
727D15	DEFAULT	1	7	Επιτάχυνση	Μέγιστη ώση ανόδου	ZERO		1 000	250	
727D15	DEFAULT	1	8	Άνοδος	Μέγιστη ώση ανόδου	ZERO	5 500			
727D15	DEFAULT	1	9	Άνοδος	Μέγιστη ώση ανόδου	ZERO	7 500			
727D15	DEFAULT	1	10	Άνοδος	Μέγιστη ώση ανόδου	ZERO	10 000			
727D15	DEFAULT	2	1	Απογείωση	Μέγιστη ώση απογείωσης	5				

▼**M2**

ACFTID	Profile_ID (Προφίλ αναχώρησης)	Μήκος καλυπτόμενης διαδρομής	Αριθμός σταδίου	Είδος σταδίου	Μέγεθος ώσης	Flap_ID (Θέση πτερυγίων καμπυλότητας)	Οροφή ανόδου (ft)	Ρυθμός ανόδου (ft/min)	Διακριβωμένη ταχύτητα αέρα στην οροφή ανόδου (kt)	Ποσοστό επιτάχυνσης (%)
727D15	DEFAULT	2	2	Άνοδος	Μέγιστη ώση απογείωσης	5	1 000			
727D15	DEFAULT	2	3	Επιτάχυνση	Μέγιστη ώση απογείωσης	5		1 281	170	
727D15	DEFAULT	2	4	Επιτάχυνση	Μέγιστη ώση απογείωσης	2		1 281	200	
727D15	DEFAULT	2	5	Επιτάχυνση	Μέγιστη ώση ανόδου	ZERO		1 000	210	
727D15	DEFAULT	2	6	Άνοδος	Μέγιστη ώση ανόδου	ZERO	3 000			
727D15	DEFAULT	2	7	Επιτάχυνση	Μέγιστη ώση ανόδου	ZERO		1 000	250	
727D15	DEFAULT	2	8	Άνοδος	Μέγιστη ώση ανόδου	ZERO	5 500			
727D15	DEFAULT	2	9	Άνοδος	Μέγιστη ώση ανόδου	ZERO	7 500			
727D15	DEFAULT	2	10	Άνοδος	Μέγιστη ώση ανόδου	ZERO	10 000			
727D15	DEFAULT	3	1	Απογείωση	Μέγιστη ώση απογείωσης	5				
727D15	DEFAULT	3	2	Άνοδος	Μέγιστη ώση απογείωσης	5	1 000			
727D15	DEFAULT	3	3	Επιτάχυνση	Μέγιστη ώση απογείωσης	5		1 177	175	
727D15	DEFAULT	3	4	Επιτάχυνση	Μέγιστη ώση απογείωσης	2		1 177	205	
727D15	DEFAULT	3	5	Επιτάχυνση	Μέγιστη ώση ανόδου	ZERO		1 000	215	
727D15	DEFAULT	3	6	Άνοδος	Μέγιστη ώση ανόδου	ZERO	3 000			
727D15	DEFAULT	3	7	Επιτάχυνση	Μέγιστη ώση ανόδου	ZERO		1 000	250	
727D15	DEFAULT	3	8	Άνοδος	Μέγιστη ώση ανόδου	ZERO	5 500			
727D15	DEFAULT	3	9	Άνοδος	Μέγιστη ώση ανόδου	ZERO	7 500			
727D15	DEFAULT	3	10	Άνοδος	Μέγιστη ώση ανόδου	ZERO	10 000			
727D15	DEFAULT	4	1	Απογείωση	Μέγιστη ώση απογείωσης	5				
727D15	DEFAULT	4	2	Άνοδος	Μέγιστη ώση απογείωσης	5	1 000			

▼**M2**

ACFTID	Profile_ID (Προφίλ αναχώρησης)	Μήκος καλυπτόμενης διαδρομής	Αριθμός σταδίου	Είδος σταδίου	Μέγεθος ώσης	Flap_ID (Θέση πτερυγίων καμπυλότητας)	Οροφή ανόδου (ft)	Ρυθμός ανόδου (ft/min)	Διακριβωμένη ταχύτητα αέρα στην οροφή ανόδου (kt)	Ποσοστό επιτάχυνσης (%)
727D15	DEFAULT	4	3	Επιτάχυνση	Μέγιστη ώση απογείωσης	5		1 057	180	
727D15	DEFAULT	4	4	Επιτάχυνση	Μέγιστη ώση απογείωσης	2		1 057	210	
727D15	DEFAULT	4	5	Επιτάχυνση	Μέγιστη ώση ανόδου	ZERO		1 000	220	
727D15	DEFAULT	4	6	Άνοδος	Μέγιστη ώση ανόδου	ZERO	3 000			
727D15	DEFAULT	4	7	Επιτάχυνση	Μέγιστη ώση ανόδου	ZERO		1 000	250	
727D15	DEFAULT	4	8	Άνοδος	Μέγιστη ώση ανόδου	ZERO	5 500			
727D15	DEFAULT	4	9	Άνοδος	Μέγιστη ώση ανόδου	ZERO	7 500			
727D15	DEFAULT	4	10	Άνοδος	Μέγιστη ώση ανόδου	ZERO	10 000			
727D15	DEFAULT	5	1	Απογείωση	Μέγιστη ώση απογείωσης	5				
727D15	DEFAULT	5	2	Άνοδος	Μέγιστη ώση απογείωσης	5	1 000			
727D15	DEFAULT	5	3	Επιτάχυνση	Μέγιστη ώση απογείωσης	2		941	210	
727D15	DEFAULT	5	4	Επιτάχυνση	Μέγιστη ώση ανόδου	ZERO		1 000	220	
727D15	DEFAULT	5	5	Άνοδος	Μέγιστη ώση ανόδου	ZERO	3 000			
727D15	DEFAULT	5	6	Επιτάχυνση	Μέγιστη ώση ανόδου	ZERO		1 000	250	
727D15	DEFAULT	5	7	Άνοδος	Μέγιστη ώση ανόδου	ZERO	5 500			
727D15	DEFAULT	5	8	Άνοδος	Μέγιστη ώση ανόδου	ZERO	7 500			
727D15	DEFAULT	5	9	Άνοδος	Μέγιστη ώση ανόδου	ZERO	10 000			
727D17	DEFAULT	1	1	Απογείωση	Μέγιστη ώση απογείωσης	5				
727D17	DEFAULT	1	2	Άνοδος	Μέγιστη ώση απογείωσης	5	1 000			
727D17	DEFAULT	1	3	Επιτάχυνση	Μέγιστη ώση απογείωσης	5		1 465	170	
727D17	DEFAULT	1	4	Επιτάχυνση	Μέγιστη ώση απογείωσης	2		1 465	200	

▼**M2**

ACFTID	Profile_ID (Προφίλ αναχώρησης)	Μήκος καλυπτόμενης διαδρομής	Αριθμός σταδίου	Είδος σταδίου	Μέγεθος ώσης	Flap_ID (Θέση πτερυγίων καμπυλότητας)	Οροφή ανόδου (ft)	Ρυθμός ανόδου (ft/min)	Διακριβωμένη ταχύτητα αέρα στην οροφή ανόδου (kt)	Ποσοστό επιτάχυνσης (%)
727D17	DEFAULT	1	5	Επιτάχυνση	Μέγιστη ώση ανόδου	ZERO		1 000	210	
727D17	DEFAULT	1	6	Άνοδος	Μέγιστη ώση ανόδου	ZERO	3 000			
727D17	DEFAULT	1	7	Επιτάχυνση	Μέγιστη ώση ανόδου	ZERO		1 000	250	
727D17	DEFAULT	1	8	Άνοδος	Μέγιστη ώση ανόδου	ZERO	5 500			
727D17	DEFAULT	1	9	Άνοδος	Μέγιστη ώση ανόδου	ZERO	7 500			
727D17	DEFAULT	1	10	Άνοδος	Μέγιστη ώση ανόδου	ZERO	10 000			
727D17	DEFAULT	2	1	Απογείωση	Μέγιστη ώση απογείωσης	5				
727D17	DEFAULT	2	2	Άνοδος	Μέγιστη ώση απογείωσης	5	1 000			
727D17	DEFAULT	2	3	Επιτάχυνση	Μέγιστη ώση απογείωσης	5		1 340	175	
727D17	DEFAULT	2	4	Επιτάχυνση	Μέγιστη ώση απογείωσης	2		1 340	205	
727D17	DEFAULT	2	5	Επιτάχυνση	Μέγιστη ώση ανόδου	ZERO		1 000	215	
727D17	DEFAULT	2	6	Άνοδος	Μέγιστη ώση ανόδου	ZERO	3 000			
727D17	DEFAULT	2	7	Επιτάχυνση	Μέγιστη ώση ανόδου	ZERO		1 000	250	
727D17	DEFAULT	2	8	Άνοδος	Μέγιστη ώση ανόδου	ZERO	5 500			
727D17	DEFAULT	2	9	Άνοδος	Μέγιστη ώση ανόδου	ZERO	7 500			
727D17	DEFAULT	2	10	Άνοδος	Μέγιστη ώση ανόδου	ZERO	10 000			
727D17	DEFAULT	3	1	Απογείωση	Μέγιστη ώση απογείωσης	5				
727D17	DEFAULT	3	2	Άνοδος	Μέγιστη ώση απογείωσης	5	1 000			
727D17	DEFAULT	3	3	Επιτάχυνση	Μέγιστη ώση απογείωσης	5		1 236	180	
727D17	DEFAULT	3	4	Επιτάχυνση	Μέγιστη ώση απογείωσης	2		1 236	210	
727D17	DEFAULT	3	5	Επιτάχυνση	Μέγιστη ώση ανόδου	ZERO		1 000	220	

▼**M2**

ACFTID	Profile_ID (Προφίλ αναχώρησης)	Μήκος καλυπτόμενης διαδρομής	Αριθμός σταδίου	Είδος σταδίου	Μέγεθος ώσης	Flap_ID (Θέση πτερυγίων καμπυλότητας)	Οροφή ανόδου (ft)	Ρυθμός ανόδου (ft/min)	Διακριβωμένη ταχύτητα αέρα στην οροφή ανόδου (kt)	Ποσοστό επιτάχυνσης (%)
727D17	DEFAULT	3	6	Άνοδος	Μέγιστη ώση ανόδου	ZERO	3 000			
727D17	DEFAULT	3	7	Επιτάχυνση	Μέγιστη ώση ανόδου	ZERO		1 000	250	
727D17	DEFAULT	3	8	Άνοδος	Μέγιστη ώση ανόδου	ZERO	5 500			
727D17	DEFAULT	3	9	Άνοδος	Μέγιστη ώση ανόδου	ZERO	7 500			
727D17	DEFAULT	3	10	Άνοδος	Μέγιστη ώση ανόδου	ZERO	10 000			
727D17	DEFAULT	4	1	Απογείωση	Μέγιστη ώση απογείωσης	5				
727D17	DEFAULT	4	2	Άνοδος	Μέγιστη ώση απογείωσης	5	1 000			
727D17	DEFAULT	4	3	Επιτάχυνση	Μέγιστη ώση απογείωσης	5		1 158	180	
727D17	DEFAULT	4	4	Επιτάχυνση	Μέγιστη ώση απογείωσης	2		1 158	210	
727D17	DEFAULT	4	5	Επιτάχυνση	Μέγιστη ώση ανόδου	ZERO		1 000	220	
727D17	DEFAULT	4	6	Άνοδος	Μέγιστη ώση ανόδου	ZERO	3 000			
727D17	DEFAULT	4	7	Επιτάχυνση	Μέγιστη ώση ανόδου	ZERO		1 000	250	
727D17	DEFAULT	4	8	Άνοδος	Μέγιστη ώση ανόδου	ZERO	5 500			
727D17	DEFAULT	4	9	Άνοδος	Μέγιστη ώση ανόδου	ZERO	7 500			
727D17	DEFAULT	4	10	Άνοδος	Μέγιστη ώση ανόδου	ZERO	10 000			
727EM1	DEFAULT	1	1	Απογείωση	Μέγιστη ώση απογείωσης	5				
727EM1	DEFAULT	1	2	Άνοδος	Μέγιστη ώση απογείωσης	5	1 000			
727EM1	DEFAULT	1	3	Επιτάχυνση	Μέγιστη ώση απογείωσης	5		1 342	160	
727EM1	DEFAULT	1	4	Επιτάχυνση	Μέγιστη ώση απογείωσης	2		1 342	190	
727EM1	DEFAULT	1	5	Επιτάχυνση	Μέγιστη ώση ανόδου	ZERO		1 000	200	
727EM1	DEFAULT	1	6	Άνοδος	Μέγιστη ώση ανόδου	ZERO	3 000			

▼**M2**

ACFTID	Profile_ID (Προφίλ αναχώρησης)	Μήκος καλυπτόμενης διαδρομής	Αριθμός σταδίου	Είδος σταδίου	Μέγεθος ώσης	Flap_ID (Θέση πτερυγίων καμπυλότητας)	Οροφή ανόδου (ft)	Ρυθμός ανόδου (ft/min)	Διακριβωμένη ταχύτητα αέρα στην οροφή ανόδου (kt)	Ποσοστό επιτάχυνσης (%)
727EM1	DEFAULT	1	7	Επιτάχυνση	Μέγιστη ώση ανόδου	ZERO		1 000	250	
727EM1	DEFAULT	1	8	Άνοδος	Μέγιστη ώση ανόδου	ZERO	5 500			
727EM1	DEFAULT	1	9	Άνοδος	Μέγιστη ώση ανόδου	ZERO	7 500			
727EM1	DEFAULT	1	10	Άνοδος	Μέγιστη ώση ανόδου	ZERO	10 000			
727EM1	DEFAULT	2	1	Απογείωση	Μέγιστη ώση απογείωσης	5				
727EM1	DEFAULT	2	2	Άνοδος	Μέγιστη ώση απογείωσης	5	1 000			
727EM1	DEFAULT	2	3	Επιτάχυνση	Μέγιστη ώση απογείωσης	5		1 265	160	
727EM1	DEFAULT	2	4	Επιτάχυνση	Μέγιστη ώση απογείωσης	2		1 265	190	
727EM1	DEFAULT	2	5	Επιτάχυνση	Μέγιστη ώση ανόδου	ZERO		1 000	200	
727EM1	DEFAULT	2	6	Άνοδος	Μέγιστη ώση ανόδου	ZERO	3 000			
727EM1	DEFAULT	2	7	Επιτάχυνση	Μέγιστη ώση ανόδου	ZERO		1 000	250	
727EM1	DEFAULT	2	8	Άνοδος	Μέγιστη ώση ανόδου	ZERO	5 500			
727EM1	DEFAULT	2	9	Άνοδος	Μέγιστη ώση ανόδου	ZERO	7 500			
727EM1	DEFAULT	2	10	Άνοδος	Μέγιστη ώση ανόδου	ZERO	10 000			
727EM1	DEFAULT	3	1	Απογείωση	Μέγιστη ώση απογείωσης	5				
727EM1	DEFAULT	3	2	Άνοδος	Μέγιστη ώση απογείωσης	5	1 000			
727EM1	DEFAULT	3	3	Επιτάχυνση	Μέγιστη ώση απογείωσης	5		1 192	165	
727EM1	DEFAULT	3	4	Επιτάχυνση	Μέγιστη ώση απογείωσης	2		1 192	195	
727EM1	DEFAULT	3	5	Επιτάχυνση	Μέγιστη ώση ανόδου	ZERO		1 000	205	
727EM1	DEFAULT	3	6	Άνοδος	Μέγιστη ώση ανόδου	ZERO	3 000			
727EM1	DEFAULT	3	7	Επιτάχυνση	Μέγιστη ώση ανόδου	ZERO		1 000	250	
727EM1	DEFAULT	3	8	Άνοδος	Μέγιστη ώση ανόδου	ZERO	5 500			

▼**M2**

ACFTID	Profile_ID (Προφίλ αναχώρησης)	Μήκος καλυπτόμενης διαδρομής	Αριθμός σταδίου	Είδος σταδίου	Μέγεθος ώσης	Flap_ID (Θέση πτερυγίων καμπυλότητας)	Οροφή ανόδου (ft)	Ρυθμός ανόδου (ft/min)	Διακριβωμένη ταχύτητα αέρα στην οροφή ανόδου (kt)	Ποσοστό επιτάχυνσης (%)
727EM1	DEFAULT	3	9	Άνοδος	Μέγιστη ώση ανόδου	ZERO	7 500			
727EM1	DEFAULT	3	10	Άνοδος	Μέγιστη ώση ανόδου	ZERO	10 000			
727EM1	DEFAULT	4	1	Απογείωση	Μέγιστη ώση απογείωσης	5				
727EM1	DEFAULT	4	2	Άνοδος	Μέγιστη ώση απογείωσης	5	1 000			
727EM1	DEFAULT	4	3	Επιτάχυνση	Μέγιστη ώση απογείωσης	5		1 115	170	
727EM1	DEFAULT	4	4	Επιτάχυνση	Μέγιστη ώση απογείωσης	2		1 115	200	
727EM1	DEFAULT	4	5	Επιτάχυνση	Μέγιστη ώση ανόδου	ZERO		1 000	210	
727EM1	DEFAULT	4	6	Άνοδος	Μέγιστη ώση ανόδου	ZERO	3 000			
727EM1	DEFAULT	4	7	Επιτάχυνση	Μέγιστη ώση ανόδου	ZERO		1 000	250	
727EM1	DEFAULT	4	8	Άνοδος	Μέγιστη ώση ανόδου	ZERO	5 500			
727EM1	DEFAULT	4	9	Άνοδος	Μέγιστη ώση ανόδου	ZERO	7 500			
727EM1	DEFAULT	4	10	Άνοδος	Μέγιστη ώση ανόδου	ZERO	10 000			
727EM2	DEFAULT	1	1	Απογείωση	Μέγιστη ώση απογείωσης	5				
727EM2	DEFAULT	1	2	Άνοδος	Μέγιστη ώση απογείωσης	5	1 000			
727EM2	DEFAULT	1	3	Επιτάχυνση	Μέγιστη ώση απογείωσης	5		1 363	170	
727EM2	DEFAULT	1	4	Επιτάχυνση	Μέγιστη ώση απογείωσης	2		1 363	200	
727EM2	DEFAULT	1	5	Επιτάχυνση	Μέγιστη ώση ανόδου	ZERO		1 000	210	
727EM2	DEFAULT	1	6	Άνοδος	Μέγιστη ώση ανόδου	ZERO	3 000			
727EM2	DEFAULT	1	7	Επιτάχυνση	Μέγιστη ώση ανόδου	ZERO		1 000	250	
727EM2	DEFAULT	1	8	Άνοδος	Μέγιστη ώση ανόδου	ZERO	5 500			
727EM2	DEFAULT	1	9	Άνοδος	Μέγιστη ώση ανόδου	ZERO	7 500			
727EM2	DEFAULT	1	10	Άνοδος	Μέγιστη ώση ανόδου	ZERO	10 000			

▼**M2**

ACFTID	Profile_ID (Προφίλ αναχώρησης)	Μήκος καλυπτόμενης διαδρομής	Αριθμός σταδίου	Είδος σταδίου	Μέγεθος ώσης	Flap_ID (Θέση πτερυγίων καμπυλότητας)	Οροφή ανόδου (ft)	Ρυθμός ανόδου (ft/min)	Διακριβωμένη ταχύτητα αέρα στην οροφή ανόδου (kt)	Ποσοστό επιτάχυνσης (%)
727EM2	DEFAULT	2	1	Απογείωση	Μέγιστη ώση απογείωσης	5				
727EM2	DEFAULT	2	2	Άνοδος	Μέγιστη ώση απογείωσης	5	1 000			
727EM2	DEFAULT	2	3	Επιτάχυνση	Μέγιστη ώση απογείωσης	5		1 281	170	
727EM2	DEFAULT	2	4	Επιτάχυνση	Μέγιστη ώση απογείωσης	2		1 281	200	
727EM2	DEFAULT	2	5	Επιτάχυνση	Μέγιστη ώση ανόδου	ZERO		1 000	210	
727EM2	DEFAULT	2	6	Άνοδος	Μέγιστη ώση ανόδου	ZERO	3 000			
727EM2	DEFAULT	2	7	Επιτάχυνση	Μέγιστη ώση ανόδου	ZERO		1 000	250	
727EM2	DEFAULT	2	8	Άνοδος	Μέγιστη ώση ανόδου	ZERO	5 500			
727EM2	DEFAULT	2	9	Άνοδος	Μέγιστη ώση ανόδου	ZERO	7 500			
727EM2	DEFAULT	2	10	Άνοδος	Μέγιστη ώση ανόδου	ZERO	10 000			
727EM2	DEFAULT	3	1	Απογείωση	Μέγιστη ώση απογείωσης	5				
727EM2	DEFAULT	3	2	Άνοδος	Μέγιστη ώση απογείωσης	5	1 000			
727EM2	DEFAULT	3	3	Επιτάχυνση	Μέγιστη ώση απογείωσης	5		1 177	175	
727EM2	DEFAULT	3	4	Επιτάχυνση	Μέγιστη ώση απογείωσης	2		1 177	205	
727EM2	DEFAULT	3	5	Επιτάχυνση	Μέγιστη ώση ανόδου	ZERO		1 000	215	
727EM2	DEFAULT	3	6	Άνοδος	Μέγιστη ώση ανόδου	ZERO	3 000			
727EM2	DEFAULT	3	7	Επιτάχυνση	Μέγιστη ώση ανόδου	ZERO		1 000	250	
727EM2	DEFAULT	3	8	Άνοδος	Μέγιστη ώση ανόδου	ZERO	5 500			
727EM2	DEFAULT	3	9	Άνοδος	Μέγιστη ώση ανόδου	ZERO	7 500			
727EM2	DEFAULT	3	10	Άνοδος	Μέγιστη ώση ανόδου	ZERO	10 000			
727EM2	DEFAULT	4	1	Απογείωση	Μέγιστη ώση απογείωσης	5				
727EM2	DEFAULT	4	2	Άνοδος	Μέγιστη ώση απογείωσης	5	1 000			
727EM2	DEFAULT	4	3	Επιτάχυνση	Μέγιστη ώση απογείωσης	5		1 057	180	

▼**M2**

ACFTID	Profile_ID (Προφίλ αναχώρησης)	Μήκος καλυπτόμενης διαδρομής	Αριθμός σταδίου	Είδος σταδίου	Μέγεθος ώσης	Flap_ID (Θέση πτερυγίων καμπυλότητας)	Οροφή ανόδου (ft)	Ρυθμός ανόδου (ft/min)	Διακριβωμένη ταχύτητα αέρα στην οροφή ανόδου (kt)	Ποσοστό επιτάχυνσης (%)
727EM2	DEFAULT	4	4	Επιτάχυνση	Μέγιστη ώση απογείωσης	2		1 057	210	
727EM2	DEFAULT	4	5	Επιτάχυνση	Μέγιστη ώση ανόδου	ZERO		1 000	220	
727EM2	DEFAULT	4	6	Άνοδος	Μέγιστη ώση ανόδου	ZERO	3 000			
727EM2	DEFAULT	4	7	Επιτάχυνση	Μέγιστη ώση ανόδου	ZERO		1 000	250	
727EM2	DEFAULT	4	8	Άνοδος	Μέγιστη ώση ανόδου	ZERO	5 500			
727EM2	DEFAULT	4	9	Άνοδος	Μέγιστη ώση ανόδου	ZERO	7 500			
727EM2	DEFAULT	4	10	Άνοδος	Μέγιστη ώση ανόδου	ZERO	10 000			
727EM2	DEFAULT	5	1	Απογείωση	Μέγιστη ώση απογείωσης	5				
727EM2	DEFAULT	5	2	Άνοδος	Μέγιστη ώση απογείωσης	5	1 000			
727EM2	DEFAULT	5	3	Επιτάχυνση	Μέγιστη ώση απογείωσης	2		941	210	
727EM2	DEFAULT	5	4	Επιτάχυνση	Μέγιστη ώση ανόδου	ZERO		1 000	220	
727EM2	DEFAULT	5	5	Άνοδος	Μέγιστη ώση ανόδου	ZERO	3 000			
727EM2	DEFAULT	5	6	Επιτάχυνση	Μέγιστη ώση ανόδου	ZERO		1 000	250	
727EM2	DEFAULT	5	7	Άνοδος	Μέγιστη ώση ανόδου	ZERO	5 500			
727EM2	DEFAULT	5	8	Άνοδος	Μέγιστη ώση ανόδου	ZERO	7 500			
727EM2	DEFAULT	5	9	Άνοδος	Μέγιστη ώση ανόδου	ZERO	10 000			
727Q15	DEFAULT	1	1	Απογείωση	Μέγιστη ώση απογείωσης	5				
727Q15	DEFAULT	1	2	Άνοδος	Μέγιστη ώση απογείωσης	5	1 000			
727Q15	DEFAULT	1	3	Επιτάχυνση	Μέγιστη ώση απογείωσης	5		1 363	170	
727Q15	DEFAULT	1	4	Επιτάχυνση	Μέγιστη ώση απογείωσης	2		1 363	200	
727Q15	DEFAULT	1	5	Επιτάχυνση	Μέγιστη ώση ανόδου	ZERO		1 000	210	
727Q15	DEFAULT	1	6	Άνοδος	Μέγιστη ώση ανόδου	ZERO	3 000			

▼**M2**

ACFTID	Profile_ID (Προφίλ αναχώρησης)	Μήκος καλυπτόμενης διαδρομής	Αριθμός σταδίου	Είδος σταδίου	Μέγεθος ώσης	Flap_ID (Θέση πτερυγίων καμπυλότητας)	Οροφή ανόδου (ft)	Ρυθμός ανόδου (ft/min)	Διακριβωμένη ταχύτητα αέρα στην οροφή ανόδου (kt)	Ποσοστό επιτάχυνσης (%)
727Q15	DEFAULT	1	7	Επιτάχυνση	Μέγιστη ώση ανόδου	ZERO		1 000	250	
727Q15	DEFAULT	1	8	Άνοδος	Μέγιστη ώση ανόδου	ZERO	5 500			
727Q15	DEFAULT	1	9	Άνοδος	Μέγιστη ώση ανόδου	ZERO	7 500			
727Q15	DEFAULT	1	10	Άνοδος	Μέγιστη ώση ανόδου	ZERO	10 000			
727Q15	DEFAULT	2	1	Απογείωση	Μέγιστη ώση απογείωσης	5				
727Q15	DEFAULT	2	2	Άνοδος	Μέγιστη ώση απογείωσης	5	1 000			
727Q15	DEFAULT	2	3	Επιτάχυνση	Μέγιστη ώση απογείωσης	5		1 281	170	
727Q15	DEFAULT	2	4	Επιτάχυνση	Μέγιστη ώση απογείωσης	2		1 281	200	
727Q15	DEFAULT	2	5	Επιτάχυνση	Μέγιστη ώση ανόδου	ZERO		1 000	210	
727Q15	DEFAULT	2	6	Άνοδος	Μέγιστη ώση ανόδου	ZERO	3 000			
727Q15	DEFAULT	2	7	Επιτάχυνση	Μέγιστη ώση ανόδου	ZERO		1 000	250	
727Q15	DEFAULT	2	8	Άνοδος	Μέγιστη ώση ανόδου	ZERO	5 500			
727Q15	DEFAULT	2	9	Άνοδος	Μέγιστη ώση ανόδου	ZERO	7 500			
727Q15	DEFAULT	2	10	Άνοδος	Μέγιστη ώση ανόδου	ZERO	10 000			
727Q15	DEFAULT	3	1	Απογείωση	Μέγιστη ώση απογείωσης	5				
727Q15	DEFAULT	3	2	Άνοδος	Μέγιστη ώση απογείωσης	5	1 000			
727Q15	DEFAULT	3	3	Επιτάχυνση	Μέγιστη ώση απογείωσης	5		1 177	175	
727Q15	DEFAULT	3	4	Επιτάχυνση	Μέγιστη ώση απογείωσης	2		1 177	205	
727Q15	DEFAULT	3	5	Επιτάχυνση	Μέγιστη ώση ανόδου	ZERO		1 000	215	
727Q15	DEFAULT	3	6	Άνοδος	Μέγιστη ώση ανόδου	ZERO	3 000			
727Q15	DEFAULT	3	7	Επιτάχυνση	Μέγιστη ώση ανόδου	ZERO		1 000	250	
727Q15	DEFAULT	3	8	Άνοδος	Μέγιστη ώση ανόδου	ZERO	5 500			
727Q15	DEFAULT	3	9	Άνοδος	Μέγιστη ώση ανόδου	ZERO	7 500			

▼**M2**

ACFTID	Profile_ID (Προφίλ αναχώρησης)	Μήκος καλυπτόμενης διαδρομής	Αριθμός σταδίου	Είδος σταδίου	Μέγεθος ώσης	Flap_ID (Θέση πτερυγίων καμπυλότητας)	Οροφή ανόδου (ft)	Ρυθμός ανόδου (ft/min)	Διακριβωμένη ταχύτητα αέρα στην οροφή ανόδου (kt)	Ποσοστό επιτάχυνσης (%)
727Q15	DEFAULT	3	10	Άνοδος	Μέγιστη ώση ανόδου	ZERO	10 000			
727Q15	DEFAULT	4	1	Απογείωση	Μέγιστη ώση απογείωσης	5				
727Q15	DEFAULT	4	2	Άνοδος	Μέγιστη ώση απογείωσης	5	1 000			
727Q15	DEFAULT	4	3	Επιτάχυνση	Μέγιστη ώση απογείωσης	5		1 057	180	
727Q15	DEFAULT	4	4	Επιτάχυνση	Μέγιστη ώση απογείωσης	2		1 057	210	
727Q15	DEFAULT	4	5	Επιτάχυνση	Μέγιστη ώση ανόδου	ZERO		1 000	220	
727Q15	DEFAULT	4	6	Άνοδος	Μέγιστη ώση ανόδου	ZERO	3 000			
727Q15	DEFAULT	4	7	Επιτάχυνση	Μέγιστη ώση ανόδου	ZERO		1 000	250	
727Q15	DEFAULT	4	8	Άνοδος	Μέγιστη ώση ανόδου	ZERO	5 500			
727Q15	DEFAULT	4	9	Άνοδος	Μέγιστη ώση ανόδου	ZERO	7 500			
727Q15	DEFAULT	4	10	Άνοδος	Μέγιστη ώση ανόδου	ZERO	10 000			
727Q15	DEFAULT	5	1	Απογείωση	Μέγιστη ώση απογείωσης	5				
727Q15	DEFAULT	5	2	Άνοδος	Μέγιστη ώση απογείωσης	5	1 000			
727Q15	DEFAULT	5	3	Επιτάχυνση	Μέγιστη ώση απογείωσης	2		941	210	
727Q15	DEFAULT	5	4	Επιτάχυνση	Μέγιστη ώση ανόδου	ZERO		1 000	220	
727Q15	DEFAULT	5	5	Άνοδος	Μέγιστη ώση ανόδου	ZERO	3 000			
727Q15	DEFAULT	5	6	Επιτάχυνση	Μέγιστη ώση ανόδου	ZERO		1 000	250	
727Q15	DEFAULT	5	7	Άνοδος	Μέγιστη ώση ανόδου	ZERO	5 500			
727Q15	DEFAULT	5	8	Άνοδος	Μέγιστη ώση ανόδου	ZERO	7 500			
727Q15	DEFAULT	5	9	Άνοδος	Μέγιστη ώση ανόδου	ZERO	10 000			
727Q7	DEFAULT	1	1	Απογείωση	Μέγιστη ώση απογείωσης	5				
727Q7	DEFAULT	1	2	Άνοδος	Μέγιστη ώση απογείωσης	5	1 000			
727Q7	DEFAULT	1	3	Επιτάχυνση	Μέγιστη ώση απογείωσης	5		1 342	160	

▼**M2**

ACFTID	Profile_ID (Προφίλ αναχώρησης)	Μήκος καλυπτόμενης διαδρομής	Αριθμός σταδίου	Είδος σταδίου	Μέγεθος ώσης	Flap_ID (Θέση πτερυγίων καμπυλότητας)	Οροφή ανόδου (ft)	Ρυθμός ανόδου (ft/min)	Διακριβωμένη ταχύτητα αέρα στην οροφή ανόδου (kt)	Ποσοστό επιτάχυνσης (%)
727Q7	DEFAULT	1	4	Επιτάχυνση	Μέγιστη ώση απογείωσης	2		1 342	190	
727Q7	DEFAULT	1	5	Επιτάχυνση	Μέγιστη ώση ανόδου	ZERO		1 000	200	
727Q7	DEFAULT	1	6	Άνοδος	Μέγιστη ώση ανόδου	ZERO	3 000			
727Q7	DEFAULT	1	7	Επιτάχυνση	Μέγιστη ώση ανόδου	ZERO		1 000	250	
727Q7	DEFAULT	1	8	Άνοδος	Μέγιστη ώση ανόδου	ZERO	5 500			
727Q7	DEFAULT	1	9	Άνοδος	Μέγιστη ώση ανόδου	ZERO	7 500			
727Q7	DEFAULT	1	10	Άνοδος	Μέγιστη ώση ανόδου	ZERO	10 000			
727Q7	DEFAULT	2	1	Απογείωση	Μέγιστη ώση απογείωσης	5				
727Q7	DEFAULT	2	2	Άνοδος	Μέγιστη ώση απογείωσης	5	1 000			
727Q7	DEFAULT	2	3	Επιτάχυνση	Μέγιστη ώση απογείωσης	5		1 265	160	
727Q7	DEFAULT	2	4	Επιτάχυνση	Μέγιστη ώση απογείωσης	2		1 265	190	
727Q7	DEFAULT	2	5	Επιτάχυνση	Μέγιστη ώση ανόδου	ZERO		1 000	200	
727Q7	DEFAULT	2	6	Άνοδος	Μέγιστη ώση ανόδου	ZERO	3 000			
727Q7	DEFAULT	2	7	Επιτάχυνση	Μέγιστη ώση ανόδου	ZERO		1 000	250	
727Q7	DEFAULT	2	8	Άνοδος	Μέγιστη ώση ανόδου	ZERO	5 500			
727Q7	DEFAULT	2	9	Άνοδος	Μέγιστη ώση ανόδου	ZERO	7 500			
727Q7	DEFAULT	2	10	Άνοδος	Μέγιστη ώση ανόδου	ZERO	10 000			
727Q7	DEFAULT	3	1	Απογείωση	Μέγιστη ώση απογείωσης	5				
727Q7	DEFAULT	3	2	Άνοδος	Μέγιστη ώση απογείωσης	5	1 000			
727Q7	DEFAULT	3	3	Επιτάχυνση	Μέγιστη ώση απογείωσης	5		1 192	165	
727Q7	DEFAULT	3	4	Επιτάχυνση	Μέγιστη ώση απογείωσης	2		1 192	195	
727Q7	DEFAULT	3	5	Επιτάχυνση	Μέγιστη ώση ανόδου	ZERO		1 000	205	

▼**M2**

ACFTID	Profile_ID (Προφίλ αναχώρησης)	Μήκος καλυπτόμενης διαδρομής	Αριθμός σταδίου	Είδος σταδίου	Μέγεθος ώσης	Flap_ID (Θέση πτερυγίων καμπυλότητας)	Οροφή ανόδου (ft)	Ρυθμός ανόδου (ft/min)	Διακριβωμένη ταχύτητα αέρα στην οροφή ανόδου (kt)	Ποσοστό επιτάχυνσης (%)
727Q7	DEFAULT	3	6	Άνοδος	Μέγιστη ώση ανόδου	ZERO	3 000			
727Q7	DEFAULT	3	7	Επιτάχυνση	Μέγιστη ώση ανόδου	ZERO		1 000	250	
727Q7	DEFAULT	3	8	Άνοδος	Μέγιστη ώση ανόδου	ZERO	5 500			
727Q7	DEFAULT	3	9	Άνοδος	Μέγιστη ώση ανόδου	ZERO	7 500			
727Q7	DEFAULT	3	10	Άνοδος	Μέγιστη ώση ανόδου	ZERO	10 000			
727Q7	DEFAULT	4	1	Απογείωση	Μέγιστη ώση απογείωσης	5				
727Q7	DEFAULT	4	2	Άνοδος	Μέγιστη ώση απογείωσης	5	1 000			
727Q7	DEFAULT	4	3	Επιτάχυνση	Μέγιστη ώση απογείωσης	5		1 115	170	
727Q7	DEFAULT	4	4	Επιτάχυνση	Μέγιστη ώση απογείωσης	2		1 115	200	
727Q7	DEFAULT	4	5	Επιτάχυνση	Μέγιστη ώση ανόδου	ZERO		1 000	210	
727Q7	DEFAULT	4	6	Άνοδος	Μέγιστη ώση ανόδου	ZERO	3 000			
727Q7	DEFAULT	4	7	Επιτάχυνση	Μέγιστη ώση ανόδου	ZERO		1 000	250	
727Q7	DEFAULT	4	8	Άνοδος	Μέγιστη ώση ανόδου	ZERO	5 500			
727Q7	DEFAULT	4	9	Άνοδος	Μέγιστη ώση ανόδου	ZERO	7 500			
727Q7	DEFAULT	4	10	Άνοδος	Μέγιστη ώση ανόδου	ZERO	10 000			
727Q9	DEFAULT	1	1	Απογείωση	Μέγιστη ώση απογείωσης	5				
727Q9	DEFAULT	1	2	Άνοδος	Μέγιστη ώση απογείωσης	5	1 000			
727Q9	DEFAULT	1	3	Επιτάχυνση	Μέγιστη ώση απογείωσης	5		1 539	170	
727Q9	DEFAULT	1	4	Επιτάχυνση	Μέγιστη ώση απογείωσης	2		1 539	200	
727Q9	DEFAULT	1	5	Επιτάχυνση	Μέγιστη ώση ανόδου	ZERO		1 000	210	
727Q9	DEFAULT	1	6	Άνοδος	Μέγιστη ώση ανόδου	ZERO	3 000			
727Q9	DEFAULT	1	7	Επιτάχυνση	Μέγιστη ώση ανόδου	ZERO		1 000	250	

▼**M2**

ACFTID	Profile_ID (Προφίλ αναχώρησης)	Μήκος καλυπτόμενης διαδρομής	Αριθμός σταδίου	Είδος σταδίου	Μέγεθος ώσης	Flap_ID (Θέση πτερυγίων καμπυλότητας)	Οροφή ανόδου (ft)	Ρυθμός ανόδου (ft/min)	Διακριβωμένη ταχύτητα αέρα στην οροφή ανόδου (kt)	Ποσοστό επιτάχυνσης (%)
727Q9	DEFAULT	1	8	Άνοδος	Μέγιστη ώση ανόδου	ZERO	5 500			
727Q9	DEFAULT	1	9	Άνοδος	Μέγιστη ώση ανόδου	ZERO	7 500			
727Q9	DEFAULT	1	10	Άνοδος	Μέγιστη ώση ανόδου	ZERO	10 000			
727Q9	DEFAULT	2	1	Απογείωση	Μέγιστη ώση απογείωσης	5				
727Q9	DEFAULT	2	2	Άνοδος	Μέγιστη ώση απογείωσης	5	1 000			
727Q9	DEFAULT	2	3	Επιτάχυνση	Μέγιστη ώση απογείωσης	5		1 390	170	
727Q9	DEFAULT	2	4	Επιτάχυνση	Μέγιστη ώση απογείωσης	2		1 390	200	
727Q9	DEFAULT	2	5	Επιτάχυνση	Μέγιστη ώση ανόδου	ZERO		1 000	210	
727Q9	DEFAULT	2	6	Άνοδος	Μέγιστη ώση ανόδου	ZERO	3 000			
727Q9	DEFAULT	2	7	Επιτάχυνση	Μέγιστη ώση ανόδου	ZERO		1 000	250	
727Q9	DEFAULT	2	8	Άνοδος	Μέγιστη ώση ανόδου	ZERO	5 500			
727Q9	DEFAULT	2	9	Άνοδος	Μέγιστη ώση ανόδου	ZERO	7 500			
727Q9	DEFAULT	2	10	Άνοδος	Μέγιστη ώση ανόδου	ZERO	10 000			
727Q9	DEFAULT	3	1	Απογείωση	Μέγιστη ώση απογείωσης	5				
727Q9	DEFAULT	3	2	Άνοδος	Μέγιστη ώση απογείωσης	5	1 000			
727Q9	DEFAULT	3	3	Επιτάχυνση	Μέγιστη ώση απογείωσης	5		1 255	180	
727Q9	DEFAULT	3	4	Επιτάχυνση	Μέγιστη ώση απογείωσης	2		1 255	210	
727Q9	DEFAULT	3	5	Επιτάχυνση	Μέγιστη ώση ανόδου	ZERO		1 000	220	
727Q9	DEFAULT	3	6	Άνοδος	Μέγιστη ώση ανόδου	ZERO	3 000			
727Q9	DEFAULT	3	7	Επιτάχυνση	Μέγιστη ώση ανόδου	ZERO		1 000	250	
727Q9	DEFAULT	3	8	Άνοδος	Μέγιστη ώση ανόδου	ZERO	5 500			
727Q9	DEFAULT	3	9	Άνοδος	Μέγιστη ώση ανόδου	ZERO	7 500			

▼**M2**

ACFTID	Profile_ID (Προφίλ αναχώρησης)	Μήκος καλυπτόμενης διαδρομής	Αριθμός σταδίου	Είδος σταδίου	Μέγεθος ώσης	Flap_ID (Θέση πτερυγίων καμπυλότητας)	Οροφή ανόδου (ft)	Ρυθμός ανόδου (ft/min)	Διακριβωμένη ταχύτητα αέρα στην οροφή ανόδου (kt)	Ποσοστό επιτάχυνσης (%)
727Q9	DEFAULT	3	10	Άνοδος	Μέγιστη ώση ανόδου	ZERO	10 000			
727Q9	DEFAULT	4	1	Απογείωση	Μέγιστη ώση απογείωσης	5				
727Q9	DEFAULT	4	2	Άνοδος	Μέγιστη ώση απογείωσης	5	1 000			
727Q9	DEFAULT	4	3	Επιτάχυνση	Μέγιστη ώση απογείωσης	2		855	210	
727Q9	DEFAULT	4	4	Επιτάχυνση	Μέγιστη ώση ανόδου	ZERO		1 000	220	
727Q9	DEFAULT	4	5	Άνοδος	Μέγιστη ώση ανόδου	ZERO	3 000			
727Q9	DEFAULT	4	6	Επιτάχυνση	Μέγιστη ώση ανόδου	ZERO		1 000	250	
727Q9	DEFAULT	4	7	Άνοδος	Μέγιστη ώση ανόδου	ZERO	5 500			
727Q9	DEFAULT	4	8	Άνοδος	Μέγιστη ώση ανόδου	ZERO	7 500			
727Q9	DEFAULT	4	9	Άνοδος	Μέγιστη ώση ανόδου	ZERO	10 000			
727QF	DEFAULT	1	1	Απογείωση	Μέγιστη ώση απογείωσης	5				
727QF	DEFAULT	1	2	Άνοδος	Μέγιστη ώση απογείωσης	5	1 000			
727QF	DEFAULT	1	3	Επιτάχυνση	Μέγιστη ώση απογείωσης	5		1 000	175	
727QF	DEFAULT	1	4	Επιτάχυνση	Μέγιστη ώση απογείωσης	2		1 000	190	
727QF	DEFAULT	1	5	Επιτάχυνση	Μέγιστη ώση απογείωσης	ZERO		1 000	200	
727QF	DEFAULT	1	6	Άνοδος	Μέγιστη συνεχής	ZERO	3 000			
727QF	DEFAULT	1	7	Επιτάχυνση	Μέγιστη συνεχής	ZERO		1 000	250	
727QF	DEFAULT	1	8	Άνοδος	Μέγιστη ώση ανόδου	ZERO	5 500			
727QF	DEFAULT	1	9	Άνοδος	Μέγιστη ώση ανόδου	ZERO	7 500			
727QF	DEFAULT	1	10	Άνοδος	Μέγιστη ώση ανόδου	ZERO	10 000			
727QF	DEFAULT	2	1	Απογείωση	Μέγιστη ώση απογείωσης	5				

▼**M2**

ACFTID	Profile_ID (Προφίλ αναχώρησης)	Μήκος καλυπτόμενης διαδρομής	Αριθμός σταδίου	Είδος σταδίου	Μέγεθος ώσης	Flap_ID (Θέση πτερυγίων καμπυλότητας)	Οροφή ανόδου (ft)	Ρυθμός ανόδου (ft/min)	Διακριβωμένη ταχύτητα αέρα στην οροφή ανόδου (kt)	Ποσοστό επιτάχυνσης (%)
727QF	DEFAULT	2	2	Άνοδος	Μέγιστη ώση απογείωσης	5	1 000			
727QF	DEFAULT	2	3	Επιτάχυνση	Μέγιστη ώση απογείωσης	5		1 000	180	
727QF	DEFAULT	2	4	Επιτάχυνση	Μέγιστη ώση απογείωσης	2		1 000	190	
727QF	DEFAULT	2	5	Επιτάχυνση	Μέγιστη ώση απογείωσης	ZERO		1 000	200	
727QF	DEFAULT	2	6	Άνοδος	Μέγιστη συνεχής	ZERO	3 000			
727QF	DEFAULT	2	7	Επιτάχυνση	Μέγιστη συνεχής	ZERO		1 000	250	
727QF	DEFAULT	2	8	Άνοδος	Μέγιστη ώση ανόδου	ZERO	5 500			
727QF	DEFAULT	2	9	Άνοδος	Μέγιστη ώση ανόδου	ZERO	7 500			
727QF	DEFAULT	2	10	Άνοδος	Μέγιστη ώση ανόδου	ZERO	10 000			
727QF	DEFAULT	3	1	Απογείωση	Μέγιστη ώση απογείωσης	5				
727QF	DEFAULT	3	2	Άνοδος	Μέγιστη ώση απογείωσης	5	1 000			
727QF	DEFAULT	3	3	Επιτάχυνση	Μέγιστη ώση απογείωσης	5		1 000	184	
727QF	DEFAULT	3	4	Επιτάχυνση	Μέγιστη ώση απογείωσης	2		1 000	190	
727QF	DEFAULT	3	5	Επιτάχυνση	Μέγιστη ώση απογείωσης	ZERO		1 000	200	
727QF	DEFAULT	3	6	Άνοδος	Μέγιστη συνεχής	ZERO	3 000			
727QF	DEFAULT	3	7	Επιτάχυνση	Μέγιστη συνεχής	ZERO		1 000	250	
727QF	DEFAULT	3	8	Άνοδος	Μέγιστη ώση ανόδου	ZERO	5 500			
727QF	DEFAULT	3	9	Άνοδος	Μέγιστη ώση ανόδου	ZERO	7 500			
727QF	DEFAULT	3	10	Άνοδος	Μέγιστη ώση ανόδου	ZERO	10 000			
727QF	DEFAULT	4	1	Απογείωση	Μέγιστη ώση απογείωσης	5				

▼**M2**

ACFTID	Profile_ID (Προφίλ αναχώρησης)	Μήκος καλυπτόμενης διαδρομής	Αριθμός σταδίου	Είδος σταδίου	Μέγεθος ώσης	Flap_ID (Θέση πτερυγίων καμπυλότητας)	Οροφή ανόδου (ft)	Ρυθμός ανόδου (ft/min)	Διακριβωμένη ταχύτητα αέρα στην οροφή ανόδου (kt)	Ποσοστό επιτάχυνσης (%)
727QF	DEFAULT	4	2	Άνοδος	Μέγιστη ώση απογείωσης	5	1 000			
727QF	DEFAULT	4	3	Επιτάχυνση	Μέγιστη ώση απογείωσης	5		1 000	189	
727QF	DEFAULT	4	4	Επιτάχυνση	Μέγιστη ώση απογείωσης	2		1 000	190	
727QF	DEFAULT	4	5	Επιτάχυνση	Μέγιστη ώση απογείωσης	ZERO		1 000	200	
727QF	DEFAULT	4	6	Άνοδος	Μέγιστη συνεχής	ZERO	3 000			
727QF	DEFAULT	4	7	Επιτάχυνση	Μέγιστη συνεχής	ZERO		1 000	250	
727QF	DEFAULT	4	8	Άνοδος	Μέγιστη ώση ανόδου	ZERO	5 500			
727QF	DEFAULT	4	9	Άνοδος	Μέγιστη ώση ανόδου	ZERO	7 500			
727QF	DEFAULT	4	10	Άνοδος	Μέγιστη ώση ανόδου	ZERO	10 000			
737	DEFAULT	1	1	Απογείωση	Μέγιστη ώση απογείωσης	5				
737	DEFAULT	1	2	Άνοδος	Μέγιστη ώση απογείωσης	5	1 000			
737	DEFAULT	1	3	Επιτάχυνση	Μέγιστη ώση απογείωσης	5		2 090	146	
737	DEFAULT	1	4	Επιτάχυνση	Μέγιστη ώση απογείωσης	INT		1 568	171	
737	DEFAULT	1	5	Επιτάχυνση	Μέγιστη ώση ανόδου	ZERO		1 000	210	
737	DEFAULT	1	6	Άνοδος	Μέγιστη ώση ανόδου	ZERO	3 000			
737	DEFAULT	1	7	Επιτάχυνση	Μέγιστη ώση ανόδου	ZERO		1 000	250	
737	DEFAULT	1	8	Άνοδος	Μέγιστη ώση ανόδου	ZERO	5 500			
737	DEFAULT	1	9	Άνοδος	Μέγιστη ώση ανόδου	ZERO	7 500			
737	DEFAULT	1	10	Άνοδος	Μέγιστη ώση ανόδου	ZERO	10 000			
737	DEFAULT	2	1	Απογείωση	Μέγιστη ώση απογείωσης	5				
737	DEFAULT	2	2	Άνοδος	Μέγιστη ώση απογείωσης	5	1 000			
737	DEFAULT	2	3	Επιτάχυνση	Μέγιστη ώση απογείωσης	5		2 014	149	

▼**M2**

ACFTID	Profile_ID (Προφίλ αναχώρησης)	Μήκος καλυπτόμενης διαδρομής	Αριθμός σταδίου	Είδος σταδίου	Μέγεθος ώσης	Flap_ID (Θέση πτερυγίων καμπυλότητας)	Οροφή ανόδου (ft)	Ρυθμός ανόδου (ft/min)	Διακριβωμένη ταχύτητα αέρα στην οροφή ανόδου (kt)	Ποσοστό επιτάχυνσης (%)
737	DEFAULT	2	4	Επιτάχυνση	Μέγιστη ώση απογείωσης	INT		1 511	174	
737	DEFAULT	2	5	Επιτάχυνση	Μέγιστη ώση ανόδου	ZERO		1 000	210	
737	DEFAULT	2	6	Άνοδος	Μέγιστη ώση ανόδου	ZERO	3 000			
737	DEFAULT	2	7	Επιτάχυνση	Μέγιστη ώση ανόδου	ZERO		1 000	250	
737	DEFAULT	2	8	Άνοδος	Μέγιστη ώση ανόδου	ZERO	5 500			
737	DEFAULT	2	9	Άνοδος	Μέγιστη ώση ανόδου	ZERO	7 500			
737	DEFAULT	2	10	Άνοδος	Μέγιστη ώση ανόδου	ZERO	10 000			
737	DEFAULT	3	1	Απογείωση	Μέγιστη ώση απογείωσης	5				
737	DEFAULT	3	2	Άνοδος	Μέγιστη ώση απογείωσης	5	1 000			
737	DEFAULT	3	3	Επιτάχυνση	Μέγιστη ώση απογείωσης	5		1 851	154	
737	DEFAULT	3	4	Επιτάχυνση	Μέγιστη ώση απογείωσης	INT		1 388	179	
737	DEFAULT	3	5	Επιτάχυνση	Μέγιστη ώση ανόδου	ZERO		1 000	210	
737	DEFAULT	3	6	Άνοδος	Μέγιστη ώση ανόδου	ZERO	3 000			
737	DEFAULT	3	7	Επιτάχυνση	Μέγιστη ώση ανόδου	ZERO		1 000	250	
737	DEFAULT	3	8	Άνοδος	Μέγιστη ώση ανόδου	ZERO	5 500			
737	DEFAULT	3	9	Άνοδος	Μέγιστη ώση ανόδου	ZERO	7 500			
737	DEFAULT	3	10	Άνοδος	Μέγιστη ώση ανόδου	ZERO	10 000			
737	DEFAULT	4	1	Απογείωση	Μέγιστη ώση απογείωσης	5				
737	DEFAULT	4	2	Άνοδος	Μέγιστη ώση απογείωσης	5	1 000			
737	DEFAULT	4	3	Επιτάχυνση	Μέγιστη ώση απογείωσης	5		1 685	160	
737	DEFAULT	4	4	Επιτάχυνση	Μέγιστη ώση απογείωσης	INT		1 264	185	
737	DEFAULT	4	5	Επιτάχυνση	Μέγιστη ώση ανόδου	ZERO		1 000	210	
737	DEFAULT	4	6	Άνοδος	Μέγιστη ώση ανόδου	ZERO	3 000			
737	DEFAULT	4	7	Επιτάχυνση	Μέγιστη ώση ανόδου	ZERO		1 000	250	

▼**M2**

ACFTID	Profile_ID (Προφίλ αναχώρησης)	Μήκος καλυπτόμενης διαδρομής	Αριθμός σταδίου	Είδος σταδίου	Μέγεθος ώσης	Flap_ID (Θέση πτερυγίων καμπυλότητας)	Οροφή ανόδου (ft)	Ρυθμός ανόδου (ft/min)	Διακριβωμένη ταχύτητα αέρα στην οροφή ανόδου (kt)	Ποσοστό επιτάχυνσης (%)
737	DEFAULT	4	8	Άνοδος	Μέγιστη ώση ανόδου	ZERO	5 500			
737	DEFAULT	4	9	Άνοδος	Μέγιστη ώση ανόδου	ZERO	7 500			
737	DEFAULT	4	10	Άνοδος	Μέγιστη ώση ανόδου	ZERO	10 000			
737300	DEFAULT	1	1	Απογείωση	Μέγιστη ώση απογείωσης	5				
737300	DEFAULT	1	2	Άνοδος	Μέγιστη ώση απογείωσης	5	1 000			
737300	DEFAULT	1	3	Επιτάχυνση	Μέγιστη ώση ανόδου	5		1 483,4	187,9	
737300	DEFAULT	1	4	Επιτάχυνση	Μέγιστη ώση ανόδου	1		1 684,6	205,5	
737300	DEFAULT	1	5	Επιτάχυνση	Μέγιστη ώση ανόδου	ZERO		1 815,6	220,5	
737300	DEFAULT	1	6	Άνοδος	Μέγιστη ώση ανόδου	ZERO	3 000			
737300	DEFAULT	1	7	Επιτάχυνση	Μέγιστη ώση ανόδου	ZERO		1 892,6	250	
737300	DEFAULT	1	8	Άνοδος	Μέγιστη ώση ανόδου	ZERO	5 500			
737300	DEFAULT	1	9	Άνοδος	Μέγιστη ώση ανόδου	ZERO	7 500			
737300	DEFAULT	1	10	Άνοδος	Μέγιστη ώση ανόδου	ZERO	10 000			
737300	DEFAULT	2	1	Απογείωση	Μέγιστη ώση απογείωσης	5				
737300	DEFAULT	2	2	Άνοδος	Μέγιστη ώση απογείωσης	5	1 000			
737300	DEFAULT	2	3	Επιτάχυνση	Μέγιστη ώση ανόδου	5		1 398,8	189,2	
737300	DEFAULT	2	4	Επιτάχυνση	Μέγιστη ώση ανόδου	1		1 579,3	204,5	
737300	DEFAULT	2	5	Επιτάχυνση	Μέγιστη ώση ανόδου	ZERO		1 700,5	220,5	
737300	DEFAULT	2	6	Άνοδος	Μέγιστη ώση ανόδου	ZERO	3 000			
737300	DEFAULT	2	7	Επιτάχυνση	Μέγιστη ώση ανόδου	ZERO		1 774,1	250	
737300	DEFAULT	2	8	Άνοδος	Μέγιστη ώση ανόδου	ZERO	5 500			
737300	DEFAULT	2	9	Άνοδος	Μέγιστη ώση ανόδου	ZERO	7 500			

▼**M2**

ACFTID	Profile_ID (Προφίλ αναχώρησης)	Μήκος καλυπτόμενης διαδρομής	Αριθμός σταδίου	Είδος σταδίου	Μέγεθος ώσης	Flap_ID (Θέση πτερυγίων καμπυλότητας)	Οροφή ανόδου (ft)	Ρυθμός ανόδου (ft/min)	Διακριβωμένη ταχύτητα αέρα στην οροφή ανόδου (kt)	Ποσοστό επιτάχυνσης (%)
737300	DEFAULT	2	10	Άνοδος	Μέγιστη ώση ανόδου	ZERO	10 000			
737300	DEFAULT	3	1	Απογείωση	Μέγιστη ώση απογείωσης	5				
737300	DEFAULT	3	2	Άνοδος	Μέγιστη ώση απογείωσης	5	1 000			
737300	DEFAULT	3	3	Επιτάχυνση	Μέγιστη ώση ανόδου	5		1 311,5	190,8	
737300	DEFAULT	3	4	Επιτάχυνση	Μέγιστη ώση ανόδου	1		1 487,2	213,2	
737300	DEFAULT	3	5	Επιτάχυνση	Μέγιστη ώση ανόδου	ZERO		1 609,4	220,5	
737300	DEFAULT	3	6	Άνοδος	Μέγιστη ώση ανόδου	ZERO	3 000			
737300	DEFAULT	3	7	Επιτάχυνση	Μέγιστη ώση ανόδου	ZERO		1 657,6	250	
737300	DEFAULT	3	8	Άνοδος	Μέγιστη ώση ανόδου	ZERO	5 500			
737300	DEFAULT	3	9	Άνοδος	Μέγιστη ώση ανόδου	ZERO	7 500			
737300	DEFAULT	3	10	Άνοδος	Μέγιστη ώση ανόδου	ZERO	10 000			
737300	DEFAULT	4	1	Απογείωση	Μέγιστη ώση απογείωσης	5				
737300	DEFAULT	4	2	Άνοδος	Μέγιστη ώση απογείωσης	5	1 000			
737300	DEFAULT	4	3	Επιτάχυνση	Μέγιστη ώση ανόδου	5		1 154,7	194,6	
737300	DEFAULT	4	4	Επιτάχυνση	Μέγιστη ώση ανόδου	1		1 295,8	211,5	
737300	DEFAULT	4	5	Επιτάχυνση	Μέγιστη ώση ανόδου	ZERO		1 391,6	220,5	
737300	DEFAULT	4	6	Άνοδος	Μέγιστη ώση ανόδου	ZERO	3 000			
737300	DEFAULT	4	7	Επιτάχυνση	Μέγιστη ώση ανόδου	ZERO		1 444,8	250	
737300	DEFAULT	4	8	Άνοδος	Μέγιστη ώση ανόδου	ZERO	5 500			
737300	DEFAULT	4	9	Άνοδος	Μέγιστη ώση ανόδου	ZERO	7 500			
737300	DEFAULT	4	10	Άνοδος	Μέγιστη ώση ανόδου	ZERO	10 000			
737300	ICAO_A	1	1	Απογείωση	Μέγιστη ώση απογείωσης	5				
737300	ICAO_A	1	2	Άνοδος	Μέγιστη ώση απογείωσης	5	1 500			

▼**M2**

ACFTID	Profile_ID (Προφίλ αναχώρησης)	Μήκος καλυπτόμενης διαδρομής	Αριθμός σταδίου	Είδος σταδίου	Μέγεθος ώσης	Flap_ID (Θέση πτερυγίων καμπυλότητας)	Οροφή ανόδου (ft)	Ρυθμός ανόδου (ft/min)	Διακριβωμένη ταχύτητα αέρα στην οροφή ανόδου (kt)	Ποσοστό επιτάχυνσης (%)
737300	ICAO_A	1	3	Άνοδος	Μέγιστη ώση ανόδου	5	3 000			
737300	ICAO_A	1	4	Επιτάχυνση	Μέγιστη ώση ανόδου	5		1 413,5	184,9	
737300	ICAO_A	1	5	Επιτάχυνση	Μέγιστη ώση ανόδου	1		1 601,4	203,9	
737300	ICAO_A	1	6	Επιτάχυνση	Μέγιστη ώση ανόδου	ZERO		1 821,6	250	
737300	ICAO_A	1	7	Άνοδος	Μέγιστη ώση ανόδου	ZERO	5 500			
737300	ICAO_A	1	8	Άνοδος	Μέγιστη ώση ανόδου	ZERO	7 500			
737300	ICAO_A	1	9	Άνοδος	Μέγιστη ώση ανόδου	ZERO	10 000			
737300	ICAO_A	2	1	Απογείωση	Μέγιστη ώση απογείωσης	5				
737300	ICAO_A	2	2	Άνοδος	Μέγιστη ώση απογείωσης	5	1 500			
737300	ICAO_A	2	3	Άνοδος	Μέγιστη ώση ανόδου	5	3 000			
737300	ICAO_A	2	4	Επιτάχυνση	Μέγιστη ώση ανόδου	5		1 332,5	186,4	
737300	ICAO_A	2	5	Επιτάχυνση	Μέγιστη ώση ανόδου	1		1 497,1	203	
737300	ICAO_A	2	6	Επιτάχυνση	Μέγιστη ώση ανόδου	ZERO		1 705,6	250	
737300	ICAO_A	2	7	Άνοδος	Μέγιστη ώση ανόδου	ZERO	5 500			
737300	ICAO_A	2	8	Άνοδος	Μέγιστη ώση ανόδου	ZERO	7 500			
737300	ICAO_A	2	9	Άνοδος	Μέγιστη ώση ανόδου	ZERO	10 000			
737300	ICAO_A	3	1	Απογείωση	Μέγιστη ώση απογείωσης	5				
737300	ICAO_A	3	2	Άνοδος	Μέγιστη ώση απογείωσης	5	1 500			
737300	ICAO_A	3	3	Άνοδος	Μέγιστη ώση ανόδου	5	3 000			
737300	ICAO_A	3	4	Επιτάχυνση	Μέγιστη ώση ανόδου	5		1 247,9	188,2	
737300	ICAO_A	3	5	Επιτάχυνση	Μέγιστη ώση ανόδου	1		1 415,3	211,7	
737300	ICAO_A	3	6	Επιτάχυνση	Μέγιστη ώση ανόδου	ZERO		1 609,9	250	
737300	ICAO_A	3	7	Άνοδος	Μέγιστη ώση ανόδου	ZERO	5 500			
737300	ICAO_A	3	8	Άνοδος	Μέγιστη ώση ανόδου	ZERO	7 500			

▼**M2**

ACFTID	Profile_ID (Προφίλ αναχώρησης)	Μήκος καλυπτόμενης διαδρομής	Αριθμός σταδίου	Είδος σταδίου	Μέγεθος ώσης	Flap_ID (Θέση πτερυγίων καμπυλότητας)	Οροφή ανόδου (ft)	Ρυθμός ανόδου (ft/min)	Διακριβωμένη ταχύτητα αέρα στην οροφή ανόδου (kt)	Ποσοστό επιτάχυνσης (%)
737300	ICAO_A	3	9	Άνοδος	Μέγιστη ώση ανόδου	ZERO	10 000			
737300	ICAO_A	4	1	Απογείωση	Μέγιστη ώση απογείωσης	5				
737300	ICAO_A	4	2	Άνοδος	Μέγιστη ώση απογείωσης	5	1 500			
737300	ICAO_A	4	3	Άνοδος	Μέγιστη ώση ανόδου	5	3 000			
737300	ICAO_A	4	4	Επιτάχυνση	Μέγιστη ώση ανόδου	5		1 093,3	192,2	
737300	ICAO_A	4	5	Επιτάχυνση	Μέγιστη ώση ανόδου	1		1 223,7	210,2	
737300	ICAO_A	4	6	Επιτάχυνση	Μέγιστη ώση ανόδου	ZERO		1 399,1	250	
737300	ICAO_A	4	7	Άνοδος	Μέγιστη ώση ανόδου	ZERO	5 500			
737300	ICAO_A	4	8	Άνοδος	Μέγιστη ώση ανόδου	ZERO	7 500			
737300	ICAO_A	4	9	Άνοδος	Μέγιστη ώση ανόδου	ZERO	10 000			
737300	ICAO_B	1	1	Απογείωση	Μέγιστη ώση απογείωσης	5				
737300	ICAO_B	1	2	Άνοδος	Μέγιστη ώση απογείωσης	5	1 000			
737300	ICAO_B	1	3	Επιτάχυνση	Μέγιστη ώση απογείωσης	5		1 560,7	189,3	
737300	ICAO_B	1	4	Επιτάχυνση	Μέγιστη ώση απογείωσης	1		1 765,5	206,2	
737300	ICAO_B	1	5	Επιτάχυνση	Μέγιστη ώση απογείωσης	ZERO		1 897	220,5	
737300	ICAO_B	1	6	Άνοδος	Μέγιστη ώση ανόδου	ZERO	3 000			
737300	ICAO_B	1	7	Επιτάχυνση	Μέγιστη ώση ανόδου	ZERO		1 892,6	250	
737300	ICAO_B	1	8	Άνοδος	Μέγιστη ώση ανόδου	ZERO	5 500			
737300	ICAO_B	1	9	Άνοδος	Μέγιστη ώση ανόδου	ZERO	7 500			
737300	ICAO_B	1	10	Άνοδος	Μέγιστη ώση ανόδου	ZERO	10 000			
737300	ICAO_B	2	1	Απογείωση	Μέγιστη ώση απογείωσης	5				
737300	ICAO_B	2	2	Άνοδος	Μέγιστη ώση απογείωσης	5	1 000			

▼**M2**

ACFTID	Profile_ID (Προφίλ αναχώρησης)	Μήκος καλυπτόμενης διαδρομής	Αριθμός σταδίου	Είδος σταδίου	Μέγεθος ώσης	Flap_ID (Θέση πτερυγίων καμπυλότητας)	Οροφή ανόδου (ft)	Ρυθμός ανόδου (ft/min)	Διακριβωμένη ταχύτητα αέρα στην οροφή ανόδου (kt)	Ποσοστό επιτάχυνσης (%)
737300	ICAO_B	2	3	Επιτάχυνση	Μέγιστη ώση απογείωσης	5		1 468,7	190,5	
737300	ICAO_B	2	4	Επιτάχυνση	Μέγιστη ώση απογείωσης	1		1 652,2	205,8	
737300	ICAO_B	2	5	Επιτάχυνση	Μέγιστη ώση απογείωσης	ZERO		1 773,2	220,5	
737300	ICAO_B	2	6	Άνοδος	Μέγιστη ώση ανόδου	ZERO	3 000			
737300	ICAO_B	2	7	Επιτάχυνση	Μέγιστη ώση ανόδου	ZERO		1 773,3	250	
737300	ICAO_B	2	8	Άνοδος	Μέγιστη ώση ανόδου	ZERO	5 500			
737300	ICAO_B	2	9	Άνοδος	Μέγιστη ώση ανόδου	ZERO	7 500			
737300	ICAO_B	2	10	Άνοδος	Μέγιστη ώση ανόδου	ZERO	10 000			
737300	ICAO_B	3	1	Απογείωση	Μέγιστη ώση απογείωσης	5				
737300	ICAO_B	3	2	Άνοδος	Μέγιστη ώση απογείωσης	5	1 000			
737300	ICAO_B	3	3	Επιτάχυνση	Μέγιστη ώση απογείωσης	5		1 380,4	192,1	
737300	ICAO_B	3	4	Επιτάχυνση	Μέγιστη ώση απογείωσης	1		1 557,4	213,8	
737300	ICAO_B	3	5	Επιτάχυνση	Μέγιστη ώση απογείωσης	ZERO		1 688,1	220,5	
737300	ICAO_B	3	6	Άνοδος	Μέγιστη ώση ανόδου	ZERO	3 000			
737300	ICAO_B	3	7	Επιτάχυνση	Μέγιστη ώση ανόδου	ZERO		1 657,6	250	
737300	ICAO_B	3	8	Άνοδος	Μέγιστη ώση ανόδου	ZERO	5 500			
737300	ICAO_B	3	9	Άνοδος	Μέγιστη ώση ανόδου	ZERO	7 500			
737300	ICAO_B	3	10	Άνοδος	Μέγιστη ώση ανόδου	ZERO	10 000			
737300	ICAO_B	4	1	Απογείωση	Μέγιστη ώση απογείωσης	5				
737300	ICAO_B	4	2	Άνοδος	Μέγιστη ώση απογείωσης	5	1 000			
737300	ICAO_B	4	3	Επιτάχυνση	Μέγιστη ώση απογείωσης	5		1 217,8	195,7	
737300	ICAO_B	4	4	Επιτάχυνση	Μέγιστη ώση απογείωσης	1		1 361,4	212	

▼**M2**

ACFTID	Profile_ID (Προφίλ αναχώρησης)	Μήκος καλυπτόμενης διαδρομής	Αριθμός σταδίου	Είδος σταδίου	Μέγεθος ώσης	Flap_ID (Θέση πτερυγίων καμπυλότητας)	Οροφή ανόδου (ft)	Ρυθμός ανόδου (ft/min)	Διακριβωμένη ταχύτητα αέρα στην οροφή ανόδου (kt)	Ποσοστό επιτάχυνσης (%)
737300	ICAO_B	4	5	Επιτάχυνση	Μέγιστη ώση απογείωσης	ZERO		1 457,6	220,5	
737300	ICAO_B	4	6	Άνοδος	Μέγιστη ώση ανόδου	ZERO	3 000			
737300	ICAO_B	4	7	Επιτάχυνση	Μέγιστη ώση ανόδου	ZERO		1 444,8	250	
737300	ICAO_B	4	8	Άνοδος	Μέγιστη ώση ανόδου	ZERO	5 500			
737300	ICAO_B	4	9	Άνοδος	Μέγιστη ώση ανόδου	ZERO	7 500			
737300	ICAO_B	4	10	Άνοδος	Μέγιστη ώση ανόδου	ZERO	10 000			
7373B2	DEFAULT	1	1	Απογείωση	Μέγιστη ώση απογείωσης	5				
7373B2	DEFAULT	1	2	Άνοδος	Μέγιστη ώση απογείωσης	5	1 000			
7373B2	DEFAULT	1	3	Επιτάχυνση	Μέγιστη ώση ανόδου	T_05		1 671,2	191,9	
7373B2	DEFAULT	1	4	Επιτάχυνση	Μέγιστη ώση ανόδου	T_01		1 900	209,1	
7373B2	DEFAULT	1	5	Άνοδος	Μέγιστη ώση ανόδου	ZERO	3 000			
7373B2	DEFAULT	1	6	Επιτάχυνση	Μέγιστη ώση ανόδου	ZERO		2 058,2	250	
7373B2	DEFAULT	1	7	Άνοδος	Μέγιστη ώση ανόδου	ZERO	5 500			
7373B2	DEFAULT	1	8	Άνοδος	Μέγιστη ώση ανόδου	ZERO	7 500			
7373B2	DEFAULT	1	9	Άνοδος	Μέγιστη ώση ανόδου	ZERO	10 000			
7373B2	DEFAULT	2	1	Απογείωση	Μέγιστη ώση απογείωσης	5				
7373B2	DEFAULT	2	2	Άνοδος	Μέγιστη ώση απογείωσης	5	1 000			
7373B2	DEFAULT	2	3	Επιτάχυνση	Μέγιστη ώση ανόδου	T_05		1 575,5	192,6	
7373B2	DEFAULT	2	4	Επιτάχυνση	Μέγιστη ώση ανόδου	T_01		1 786	208,8	
7373B2	DEFAULT	2	5	Άνοδος	Μέγιστη ώση ανόδου	ZERO	3 000			
7373B2	DEFAULT	2	6	Επιτάχυνση	Μέγιστη ώση ανόδου	ZERO		1 934,6	250	
7373B2	DEFAULT	2	7	Άνοδος	Μέγιστη ώση ανόδου	ZERO	5 500			

▼**M2**

ACFTID	Profile_ID (Προφίλ αναχώρησης)	Μήκος καλυπτόμενης διαδρομής	Αριθμός σταδίου	Είδος σταδίου	Μέγεθος ώσης	Flap_ID (Θέση πτερυγίων καμπυλότητας)	Οροφή ανόδου (ft)	Ρυθμός ανόδου (ft/min)	Διακριβωμένη ταχύτητα αέρα στην οροφή ανόδου (kt)	Ποσοστό επιτάχυνσης (%)
7373B2	DEFAULT	2	8	Άνοδος	Μέγιστη ώση ανόδου	ZERO	7 500			
7373B2	DEFAULT	2	9	Άνοδος	Μέγιστη ώση ανόδου	ZERO	10 000			
7373B2	DEFAULT	3	1	Απογείωση	Μέγιστη ώση απογείωσης	5				
7373B2	DEFAULT	3	2	Άνοδος	Μέγιστη ώση απογείωσης	5	1 000			
7373B2	DEFAULT	3	3	Επιτάχυνση	Μέγιστη ώση ανόδου	T_05		1 483,2	194	
7373B2	DEFAULT	3	4	Επιτάχυνση	Μέγιστη ώση ανόδου	T_01		1 675,9	215,3	
7373B2	DEFAULT	3	5	Άνοδος	Μέγιστη ώση ανόδου	ZERO	3 000			
7373B2	DEFAULT	3	6	Επιτάχυνση	Μέγιστη ώση ανόδου	ZERO		1 828,7	250	
7373B2	DEFAULT	3	7	Άνοδος	Μέγιστη ώση ανόδου	ZERO	5 500			
7373B2	DEFAULT	3	8	Άνοδος	Μέγιστη ώση ανόδου	ZERO	7 500			
7373B2	DEFAULT	3	9	Άνοδος	Μέγιστη ώση ανόδου	ZERO	10 000			
7373B2	DEFAULT	4	1	Απογείωση	Μέγιστη ώση απογείωσης	5				
7373B2	DEFAULT	4	2	Άνοδος	Μέγιστη ώση απογείωσης	5	1 000			
7373B2	DEFAULT	4	3	Επιτάχυνση	Μέγιστη ώση ανόδου	T_05		1 314,1	197,8	
7373B2	DEFAULT	4	4	Επιτάχυνση	Μέγιστη ώση ανόδου	T_01		1 478,4	213,5	
7373B2	DEFAULT	4	5	Άνοδος	Μέγιστη ώση ανόδου	ZERO	3 000			
7373B2	DEFAULT	4	6	Επιτάχυνση	Μέγιστη ώση ανόδου	ZERO		1 597,8	250	
7373B2	DEFAULT	4	7	Άνοδος	Μέγιστη ώση ανόδου	ZERO	5 500			
7373B2	DEFAULT	4	8	Άνοδος	Μέγιστη ώση ανόδου	ZERO	7 500			
7373B2	DEFAULT	4	9	Άνοδος	Μέγιστη ώση ανόδου	ZERO	10 000			
7373B2	DEFAULT	M	1	Απογείωση	Μέγιστη ώση απογείωσης	5				

▼**M2**

ACFTID	Profile_ID (Προφίλ αναχώρησης)	Μήκος καλυπτόμενης διαδρομής	Αριθμός σταδίου	Είδος σταδίου	Μέγεθος ώσης	Flap_ID (Θέση πτερυγίων καμπυλότητας)	Οροφή ανόδου (ft)	Ρυθμός ανόδου (ft/min)	Διακριβωμένη ταχύτητα αέρα στην οροφή ανόδου (kt)	Ποσοστό επιτάχυνσης (%)
7373B2	DEFAULT	M	2	Άνοδος	Μέγιστη ώση απογείωσης	5	1 000			
7373B2	DEFAULT	M	3	Επιτάχυνση	Μέγιστη ώση ανόδου	T_05		1 214,7	200,6	
7373B2	DEFAULT	M	4	Επιτάχυνση	Μέγιστη ώση ανόδου	T_01		1 372,5	222,3	
7373B2	DEFAULT	M	5	Άνοδος	Μέγιστη ώση ανόδου	ZERO	3 000			
7373B2	DEFAULT	M	6	Επιτάχυνση	Μέγιστη ώση ανόδου	ZERO		1 493,4	250	
7373B2	DEFAULT	M	7	Άνοδος	Μέγιστη ώση ανόδου	ZERO	5 500			
7373B2	DEFAULT	M	8	Άνοδος	Μέγιστη ώση ανόδου	ZERO	7 500			
7373B2	DEFAULT	M	9	Άνοδος	Μέγιστη ώση ανόδου	ZERO	10 000			
7373B2	ICAO_A	1	1	Απογείωση	Μέγιστη ώση απογείωσης	5				
7373B2	ICAO_A	1	2	Άνοδος	Μέγιστη ώση απογείωσης	5	1 500			
7373B2	ICAO_A	1	3	Άνοδος	Μέγιστη ώση ανόδου	5	3 000			
7373B2	ICAO_A	1	4	Επιτάχυνση	Μέγιστη ώση ανόδου	T_05		1 607,4	188,9	
7373B2	ICAO_A	1	5	Επιτάχυνση	Μέγιστη ώση ανόδου	T_01		1 827,6	206	
7373B2	ICAO_A	1	6	Επιτάχυνση	Μέγιστη ώση ανόδου	ZERO		2 030,2	250	
7373B2	ICAO_A	1	7	Άνοδος	Μέγιστη ώση ανόδου	ZERO	5 500			
7373B2	ICAO_A	1	8	Άνοδος	Μέγιστη ώση ανόδου	ZERO	7 500			
7373B2	ICAO_A	1	9	Άνοδος	Μέγιστη ώση ανόδου	ZERO	10 000			
7373B2	ICAO_A	2	1	Απογείωση	Μέγιστη ώση απογείωσης	5				
7373B2	ICAO_A	2	2	Άνοδος	Μέγιστη ώση απογείωσης	5	1 500			
7373B2	ICAO_A	2	3	Άνοδος	Μέγιστη ώση ανόδου	5	3 000			
7373B2	ICAO_A	2	4	Επιτάχυνση	Μέγιστη ώση ανόδου	T_05		1 507,4	188,9	
7373B2	ICAO_A	2	5	Επιτάχυνση	Μέγιστη ώση ανόδου	T_01		1 703,4	206	
7373B2	ICAO_A	2	6	Επιτάχυνση	Μέγιστη ώση ανόδου	ZERO		1 909,1	250	
7373B2	ICAO_A	2	7	Άνοδος	Μέγιστη ώση ανόδου	ZERO	5 500			

▼**M2**

ACFTID	Profile_ID (Προφίλ αναχώρησης)	Μήκος καλυπτόμενης διαδρομής	Αριθμός σταδίου	Είδος σταδίου	Μέγεθος ώσης	Flap_ID (Θέση πτερυγίων καμπυλότητας)	Οροφή ανόδου (ft)	Ρυθμός ανόδου (ft/min)	Διακριβωμένη ταχύτητα αέρα στην οροφή ανόδου (kt)	Ποσοστό επιτάχυνσης (%)
7373B2	ICAO_A	2	8	Άνοδος	Μέγιστη ώση ανόδου	ZERO	7 500			
7373B2	ICAO_A	2	9	Άνοδος	Μέγιστη ώση ανόδου	ZERO	10 000			
7373B2	ICAO_A	3	1	Απογείωση	Μέγιστη ώση απογείωσης	5				
7373B2	ICAO_A	3	2	Άνοδος	Μέγιστη ώση απογείωσης	5	1 500			
7373B2	ICAO_A	3	3	Άνοδος	Μέγιστη ώση ανόδου	5	3 000			
7373B2	ICAO_A	3	4	Επιτάχυνση	Μέγιστη ώση ανόδου	T_05		1 417,2	191,3	
7373B2	ICAO_A	3	5	Επιτάχυνση	Μέγιστη ώση ανόδου	T_01		1 604,3	213,7	
7373B2	ICAO_A	3	6	Επιτάχυνση	Μέγιστη ώση ανόδου	ZERO		1 807,6	250	
7373B2	ICAO_A	3	7	Άνοδος	Μέγιστη ώση ανόδου	ZERO	5 500			
7373B2	ICAO_A	3	8	Άνοδος	Μέγιστη ώση ανόδου	ZERO	7 500			
7373B2	ICAO_A	3	9	Άνοδος	Μέγιστη ώση ανόδου	ZERO	10 000			
7373B2	ICAO_A	4	1	Απογείωση	Μέγιστη ώση απογείωσης	5				
7373B2	ICAO_A	4	2	Άνοδος	Μέγιστη ώση απογείωσης	5	1 500			
7373B2	ICAO_A	4	3	Άνοδος	Μέγιστη ώση ανόδου	5	3 000			
7373B2	ICAO_A	4	4	Επιτάχυνση	Μέγιστη ώση ανόδου	T_05		1 255,2	195,4	
7373B2	ICAO_A	4	5	Επιτάχυνση	Μέγιστη ώση ανόδου	T_01		1 411,8	212,1	
7373B2	ICAO_A	4	6	Επιτάχυνση	Μέγιστη ώση ανόδου	ZERO		1 576,8	250	
7373B2	ICAO_A	4	7	Άνοδος	Μέγιστη ώση ανόδου	ZERO	5 500			
7373B2	ICAO_A	4	8	Άνοδος	Μέγιστη ώση ανόδου	ZERO	7 500			
7373B2	ICAO_A	4	9	Άνοδος	Μέγιστη ώση ανόδου	ZERO	10 000			
7373B2	ICAO_A	M	1	Απογείωση	Μέγιστη ώση απογείωσης	5				
7373B2	ICAO_A	M	2	Άνοδος	Μέγιστη ώση απογείωσης	5	1 500			
7373B2	ICAO_A	M	3	Άνοδος	Μέγιστη ώση ανόδου	5	3 000			
7373B2	ICAO_A	M	4	Επιτάχυνση	Μέγιστη ώση ανόδου	T_05		1 163,2	198,2	

▼**M2**

ACFTID	Profile_ID (Προφίλ αναχώρησης)	Μήκος καλυπτόμενης διαδρομής	Αριθμός σταδίου	Είδος σταδίου	Μέγεθος ώσης	Flap_ID (Θέση πτερυγίων καμπυλότητας)	Οροφή ανόδου (ft)	Ρυθμός ανόδου (ft/min)	Διακριβωμένη ταχύτητα αέρα στην οροφή ανόδου (kt)	Ποσοστό επιτάχυνσης (%)
7373B2	ICAO_A	M	5	Επιτάχυνση	Μέγιστη ώση ανόδου	T_01		1 309,7	220,9	
7373B2	ICAO_A	M	6	Επιτάχυνση	Μέγιστη ώση ανόδου	ZERO		1 469,1	250	
7373B2	ICAO_A	M	7	Άνοδος	Μέγιστη ώση ανόδου	ZERO	5 500			
7373B2	ICAO_A	M	8	Άνοδος	Μέγιστη ώση ανόδου	ZERO	7 500			
7373B2	ICAO_A	M	9	Άνοδος	Μέγιστη ώση ανόδου	ZERO	10 000			
7373B2	ICAO_B	1	1	Απογείωση	Μέγιστη ώση απογείωσης	5				
7373B2	ICAO_B	1	2	Άνοδος	Μέγιστη ώση απογείωσης	5	1 000			
7373B2	ICAO_B	1	3	Επιτάχυνση	Μέγιστη ώση απογείωσης	T_05		1 881	195,6	
7373B2	ICAO_B	1	4	Επιτάχυνση	Μέγιστη ώση απογείωσης	T_01		2 138,5	214,5	
7373B2	ICAO_B	1	5	Άνοδος	Μέγιστη ώση ανόδου	ZERO	3 000			
7373B2	ICAO_B	1	6	Επιτάχυνση	Μέγιστη ώση ανόδου	ZERO		2 075,4	250	
7373B2	ICAO_B	1	7	Άνοδος	Μέγιστη ώση ανόδου	ZERO	5 500			
7373B2	ICAO_B	1	8	Άνοδος	Μέγιστη ώση ανόδου	ZERO	7 500			
7373B2	ICAO_B	1	9	Άνοδος	Μέγιστη ώση ανόδου	ZERO	10 000			
7373B2	ICAO_B	2	1	Απογείωση	Μέγιστη ώση απογείωσης	5				
7373B2	ICAO_B	2	2	Άνοδος	Μέγιστη ώση απογείωσης	5	1 000			
7373B2	ICAO_B	2	3	Επιτάχυνση	Μέγιστη ώση απογείωσης	T_05		1 774,2	196,2	
7373B2	ICAO_B	2	4	Επιτάχυνση	Μέγιστη ώση απογείωσης	T_01		2 009,3	214	
7373B2	ICAO_B	2	5	Άνοδος	Μέγιστη ώση ανόδου	ZERO	3 000			
7373B2	ICAO_B	2	6	Επιτάχυνση	Μέγιστη ώση ανόδου	ZERO		1 950,7	250	
7373B2	ICAO_B	2	7	Άνοδος	Μέγιστη ώση ανόδου	ZERO	5 500			
7373B2	ICAO_B	2	8	Άνοδος	Μέγιστη ώση ανόδου	ZERO	7 500			
7373B2	ICAO_B	2	9	Άνοδος	Μέγιστη ώση ανόδου	ZERO	10 000			
7373B2	ICAO_B	3	1	Απογείωση	Μέγιστη ώση απογείωσης	5				

▼**M2**

ACFTID	Profile_ID (Προφίλ αναχώρησης)	Μήκος καλυπτόμενης διαδρομής	Αριθμός σταδίου	Είδος σταδίου	Μέγεθος ώσης	Flap_ID (Θέση πτερυγίων καμπυλότητας)	Οροφή ανόδου (ft)	Ρυθμός ανόδου (ft/min)	Διακριβωμένη ταχύτητα αέρα στην οροφή ανόδου (kt)	Ποσοστό επιτάχυνσης (%)
7373B2	ICAO_B	3	2	Άνοδος	Μέγιστη ώση απογείωσης	5	1 000			
7373B2	ICAO_B	3	3	Επιτάχυνση	Μέγιστη ώση απογείωσης	T_05		1 674,8	197,4	
7373B2	ICAO_B	3	4	Επιτάχυνση	Μέγιστη ώση απογείωσης	T_01		1 895,7	217	
7373B2	ICAO_B	3	5	Άνοδος	Μέγιστη ώση ανόδου	ZERO	3 000			
7373B2	ICAO_B	3	6	Επιτάχυνση	Μέγιστη ώση ανόδου	ZERO		1 835,6	250	
7373B2	ICAO_B	3	7	Άνοδος	Μέγιστη ώση ανόδου	ZERO	5 500			
7373B2	ICAO_B	3	8	Άνοδος	Μέγιστη ώση ανόδου	ZERO	7 500			
7373B2	ICAO_B	3	9	Άνοδος	Μέγιστη ώση ανόδου	ZERO	10 000			
7373B2	ICAO_B	4	1	Απογείωση	Μέγιστη ώση απογείωσης	5				
7373B2	ICAO_B	4	2	Άνοδος	Μέγιστη ώση απογείωσης	5	1 000			
7373B2	ICAO_B	4	3	Επιτάχυνση	Μέγιστη ώση απογείωσης	T_05		1 494,5	200,9	
7373B2	ICAO_B	4	4	Επιτάχυνση	Μέγιστη ώση απογείωσης	T_01		1 672,5	215,5	
7373B2	ICAO_B	4	5	Άνοδος	Μέγιστη ώση ανόδου	ZERO	3 000			
7373B2	ICAO_B	4	6	Επιτάχυνση	Μέγιστη ώση ανόδου	ZERO		1 606,9	250	
7373B2	ICAO_B	4	7	Άνοδος	Μέγιστη ώση ανόδου	ZERO	5 500			
7373B2	ICAO_B	4	8	Άνοδος	Μέγιστη ώση ανόδου	ZERO	7 500			
7373B2	ICAO_B	4	9	Άνοδος	Μέγιστη ώση ανόδου	ZERO	10 000			
7373B2	ICAO_B	M	1	Απογείωση	Μέγιστη ώση απογείωσης	5				
7373B2	ICAO_B	M	2	Άνοδος	Μέγιστη ώση απογείωσης	5	1 000			
7373B2	ICAO_B	M	3	Επιτάχυνση	Μέγιστη ώση απογείωσης	T_05		1 387,7	203,4	
7373B2	ICAO_B	M	4	Επιτάχυνση	Μέγιστη ώση απογείωσης	T_01		1 557,1	223,7	
7373B2	ICAO_B	M	5	Άνοδος	Μέγιστη ώση ανόδου	ZERO	3 000			
7373B2	ICAO_B	M	6	Επιτάχυνση	Μέγιστη ώση ανόδου	ZERO		1 493,2	250	

▼**M2**

ACFTID	Profile_ID (Προφίλ αναχώρησης)	Μήκος καλυπτόμενης διαδρομής	Αριθμός σταδίου	Είδος σταδίου	Μέγεθος ώσης	Flap_ID (Θέση πτερυγίων καμπυλότητας)	Οροφή ανόδου (ft)	Ρυθμός ανόδου (ft/min)	Διακριβωμένη ταχύτητα αέρα στην οροφή ανόδου (kt)	Ποσοστό επιτάχυνσης (%)
7373B2	ICAO_B	M	7	Άνοδος	Μέγιστη ώση ανόδου	ZERO	5 500			
7373B2	ICAO_B	M	8	Άνοδος	Μέγιστη ώση ανόδου	ZERO	7 500			
7373B2	ICAO_B	M	9	Άνοδος	Μέγιστη ώση ανόδου	ZERO	10 000			
737400	DEFAULT	1	1	Απογείωση	Μέγιστη ώση απογείωσης	5				
737400	DEFAULT	1	2	Άνοδος	Μέγιστη ώση απογείωσης	5	1 000			
737400	DEFAULT	1	3	Επιτάχυνση	Μέγιστη ώση ανόδου	5		1 715,3	198,8	
737400	DEFAULT	1	4	Επιτάχυνση	Μέγιστη ώση ανόδου	1		1 894,7	210,5	
737400	DEFAULT	1	5	Άνοδος	Μέγιστη ώση ανόδου	ZERO	3 000			
737400	DEFAULT	1	6	Επιτάχυνση	Μέγιστη ώση ανόδου	ZERO		2 067,4	250	
737400	DEFAULT	1	7	Άνοδος	Μέγιστη ώση ανόδου	ZERO	5 500			
737400	DEFAULT	1	8	Άνοδος	Μέγιστη ώση ανόδου	ZERO	7 500			
737400	DEFAULT	1	9	Άνοδος	Μέγιστη ώση ανόδου	ZERO	10 000			
737400	DEFAULT	2	1	Απογείωση	Μέγιστη ώση απογείωσης	5				
737400	DEFAULT	2	2	Άνοδος	Μέγιστη ώση απογείωσης	5	1 000			
737400	DEFAULT	2	3	Επιτάχυνση	Μέγιστη ώση ανόδου	5		1 616	199,8	
737400	DEFAULT	2	4	Επιτάχυνση	Μέγιστη ώση ανόδου	1		1 786,6	210,5	
737400	DEFAULT	2	5	Άνοδος	Μέγιστη ώση ανόδου	ZERO	3 000			
737400	DEFAULT	2	6	Επιτάχυνση	Μέγιστη ώση ανόδου	ZERO		1 939,1	250	
737400	DEFAULT	2	7	Άνοδος	Μέγιστη ώση ανόδου	ZERO	5 500			
737400	DEFAULT	2	8	Άνοδος	Μέγιστη ώση ανόδου	ZERO	7 500			
737400	DEFAULT	2	9	Άνοδος	Μέγιστη ώση ανόδου	ZERO	10 000			
737400	DEFAULT	3	1	Απογείωση	Μέγιστη ώση απογείωσης	5				
737400	DEFAULT	3	2	Άνοδος	Μέγιστη ώση απογείωσης	5	1 000			

▼**M2**

ACFTID	Profile_ID (Προφίλ αναχώρησης)	Μήκος καλυπτόμενης διαδρομής	Αριθμός σταδίου	Είδος σταδίου	Μέγεθος ώσης	Flap_ID (Θέση πτερυγίων καμπυλότητας)	Οροφή ανόδου (ft)	Ρυθμός ανόδου (ft/min)	Διακριβωμένη ταχύτητα αέρα στην οροφή ανόδου (kt)	Ποσοστό επιτάχυνσης (%)
737400	DEFAULT	3	3	Επιτάχυνση	Μέγιστη ώση ανόδου	5		1 516,6	201	
737400	DEFAULT	3	4	Επιτάχυνση	Μέγιστη ώση ανόδου	1		1 660,9	210,5	
737400	DEFAULT	3	5	Άνοδος	Μέγιστη ώση ανόδου	ZERO	3 000			
737400	DEFAULT	3	6	Επιτάχυνση	Μέγιστη ώση ανόδου	ZERO		1 807,5	250	
737400	DEFAULT	3	7	Άνοδος	Μέγιστη ώση ανόδου	ZERO	5 500			
737400	DEFAULT	3	8	Άνοδος	Μέγιστη ώση ανόδου	ZERO	7 500			
737400	DEFAULT	3	9	Άνοδος	Μέγιστη ώση ανόδου	ZERO	10 000			
737400	DEFAULT	4	1	Απογείωση	Μέγιστη ώση απογείωσης	5				
737400	DEFAULT	4	2	Άνοδος	Μέγιστη ώση απογείωσης	5	1 000			
737400	DEFAULT	4	3	Επιτάχυνση	Μέγιστη ώση ανόδου	5		1 370,2	203,9	
737400	DEFAULT	4	4	Επιτάχυνση	Μέγιστη ώση ανόδου	1		1 504,1	210,5	
737400	DEFAULT	4	5	Άνοδος	Μέγιστη ώση ανόδου	ZERO	3 000			
737400	DEFAULT	4	6	Επιτάχυνση	Μέγιστη ώση ανόδου	ZERO		1 609,1	250	
737400	DEFAULT	4	7	Άνοδος	Μέγιστη ώση ανόδου	ZERO	5 500			
737400	DEFAULT	4	8	Άνοδος	Μέγιστη ώση ανόδου	ZERO	7 500			
737400	DEFAULT	4	9	Άνοδος	Μέγιστη ώση ανόδου	ZERO	10 000			
737400	DEFAULT	M	1	Απογείωση	Μέγιστη ώση απογείωσης	5				
737400	DEFAULT	M	2	Άνοδος	Μέγιστη ώση απογείωσης	5	1 000			
737400	DEFAULT	M	3	Επιτάχυνση	Μέγιστη ώση ανόδου	5		1 225,8	207,5	
737400	DEFAULT	M	4	Επιτάχυνση	Μέγιστη ώση ανόδου	1		1 312,5	210,5	
737400	DEFAULT	M	5	Άνοδος	Μέγιστη ώση ανόδου	ZERO	3 000			
737400	DEFAULT	M	6	Επιτάχυνση	Μέγιστη ώση ανόδου	ZERO		1 414,3	250	
737400	DEFAULT	M	7	Άνοδος	Μέγιστη ώση ανόδου	ZERO	5 500			
737400	DEFAULT	M	8	Άνοδος	Μέγιστη ώση ανόδου	ZERO	7 500			

▼**M2**

ACFTID	Profile_ID (Προφίλ αναχώρησης)	Μήκος καλυπτόμενης διαδρομής	Αριθμός σταδίου	Είδος σταδίου	Μέγεθος ώσης	Flap_ID (Θέση πτερυγίων καμπυλότητας)	Οροφή ανόδου (ft)	Ρυθμός ανόδου (ft/min)	Διακριβωμένη ταχύτητα αέρα στην οροφή ανόδου (kt)	Ποσοστό επιτάχυνσης (%)
737400	DEFAULT	M	9	Άνοδος	Μέγιστη ώση ανόδου	ZERO	10 000			
737400	ICAO_A	1	1	Απογείωση	Μέγιστη ώση απογείωσης	5				
737400	ICAO_A	1	2	Άνοδος	Μέγιστη ώση απογείωσης	5	1 500			
737400	ICAO_A	1	3	Άνοδος	Μέγιστη ώση ανόδου	5	3 000			
737400	ICAO_A	1	4	Επιτάχυνση	Μέγιστη ώση ανόδου	5		1 641,7	195,7	
737400	ICAO_A	1	5	Επιτάχυνση	Μέγιστη ώση ανόδου	1		1 830	210,1	
737400	ICAO_A	1	6	Επιτάχυνση	Μέγιστη ώση ανόδου	ZERO		2 058,4	250	
737400	ICAO_A	1	7	Άνοδος	Μέγιστη ώση ανόδου	ZERO	5 500			
737400	ICAO_A	1	8	Άνοδος	Μέγιστη ώση ανόδου	ZERO	7 500			
737400	ICAO_A	1	9	Άνοδος	Μέγιστη ώση ανόδου	ZERO	10 000			
737400	ICAO_A	2	1	Απογείωση	Μέγιστη ώση απογείωσης	5				
737400	ICAO_A	2	2	Άνοδος	Μέγιστη ώση απογείωσης	5	1 500			
737400	ICAO_A	2	3	Άνοδος	Μέγιστη ώση ανόδου	5	3 000			
737400	ICAO_A	2	4	Επιτάχυνση	Μέγιστη ώση ανόδου	5		1 546	196,8	
737400	ICAO_A	2	5	Επιτάχυνση	Μέγιστη ώση ανόδου	1		1 702,5	210,1	
737400	ICAO_A	2	6	Επιτάχυνση	Μέγιστη ώση ανόδου	ZERO		1 919,2	250	
737400	ICAO_A	2	7	Άνοδος	Μέγιστη ώση ανόδου	ZERO	5 500			
737400	ICAO_A	2	8	Άνοδος	Μέγιστη ώση ανόδου	ZERO	7 500			
737400	ICAO_A	2	9	Άνοδος	Μέγιστη ώση ανόδου	ZERO	10 000			
737400	ICAO_A	3	1	Απογείωση	Μέγιστη ώση απογείωσης	5				
737400	ICAO_A	3	2	Άνοδος	Μέγιστη ώση απογείωσης	5	1 500			
737400	ICAO_A	3	3	Άνοδος	Μέγιστη ώση ανόδου	5	3 000			
737400	ICAO_A	3	4	Επιτάχυνση	Μέγιστη ώση ανόδου	5		1 446,6	198,2	
737400	ICAO_A	3	5	Επιτάχυνση	Μέγιστη ώση ανόδου	1		1 592,3	210,3	
737400	ICAO_A	3	6	Επιτάχυνση	Μέγιστη ώση ανόδου	ZERO		1 789,6	250	

▼**M2**

ACFTID	Profile_ID (Προφίλ αναχώρησης)	Μήκος καλυπτόμενης διαδρομής	Αριθμός σταδίου	Είδος σταδίου	Μέγεθος ώσης	Flap_ID (Θέση πτερυγίων καμπυλότητας)	Οροφή ανόδου (ft)	Ρυθμός ανόδου (ft/min)	Διακριβωμένη ταχύτητα αέρα στην οροφή ανόδου (kt)	Ποσοστό επιτάχυνσης (%)
737400	ICAO_A	3	7	Άνοδος	Μέγιστη ώση ανόδου	ZERO	5 500			
737400	ICAO_A	3	8	Άνοδος	Μέγιστη ώση ανόδου	ZERO	7 500			
737400	ICAO_A	3	9	Άνοδος	Μέγιστη ώση ανόδου	ZERO	10 000			
737400	ICAO_A	4	1	Απογείωση	Μέγιστη ώση απογείωσης	5				
737400	ICAO_A	4	2	Άνοδος	Μέγιστη ώση απογείωσης	5	1 500			
737400	ICAO_A	4	3	Άνοδος	Μέγιστη ώση ανόδου	5	3 000			
737400	ICAO_A	4	4	Επιτάχυνση	Μέγιστη ώση ανόδου	5		1 303,9	201,3	
737400	ICAO_A	4	5	Επιτάχυνση	Μέγιστη ώση ανόδου	1		1 426,1	210,3	
737400	ICAO_A	4	6	Επιτάχυνση	Μέγιστη ώση ανόδου	ZERO		1 598,5	250	
737400	ICAO_A	4	7	Άνοδος	Μέγιστη ώση ανόδου	ZERO	5 500			
737400	ICAO_A	4	8	Άνοδος	Μέγιστη ώση ανόδου	ZERO	7 500			
737400	ICAO_A	4	9	Άνοδος	Μέγιστη ώση ανόδου	ZERO	10 000			
737400	ICAO_A	M	1	Απογείωση	Μέγιστη ώση απογείωσης	5				
737400	ICAO_A	M	2	Άνοδος	Μέγιστη ώση απογείωσης	5	1 500			
737400	ICAO_A	M	3	Άνοδος	Μέγιστη ώση ανόδου	5	3 000			
737400	ICAO_A	M	4	Επιτάχυνση	Μέγιστη ώση ανόδου	5		1 159,5	205,1	
737400	ICAO_A	M	5	Επιτάχυνση	Μέγιστη ώση ανόδου	1		1 249,3	210,3	
737400	ICAO_A	M	6	Επιτάχυνση	Μέγιστη ώση ανόδου	ZERO		1 392,2	250	
737400	ICAO_A	M	7	Άνοδος	Μέγιστη ώση ανόδου	ZERO	5 500			
737400	ICAO_A	M	8	Άνοδος	Μέγιστη ώση ανόδου	ZERO	7 500			
737400	ICAO_A	M	9	Άνοδος	Μέγιστη ώση ανόδου	ZERO	10 000			
737400	ICAO_B	1	1	Απογείωση	Μέγιστη ώση απογείωσης	5				
737400	ICAO_B	1	2	Άνοδος	Μέγιστη ώση απογείωσης	5	1 000			
737400	ICAO_B	1	3	Επιτάχυνση	Μέγιστη ώση απογείωσης	5		1 869,9	201,5	

▼**M2**

ACFTID	Profile_ID (Προφίλ αναχώρησης)	Μήκος καλυπτόμενης διαδρομής	Αριθμός σταδίου	Είδος σταδίου	Μέγεθος ώσης	Flap_ID (Θέση πτερυγίων καμπυλότητας)	Οροφή ανόδου (ft)	Ρυθμός ανόδου (ft/min)	Διακριβωμένη ταχύτητα αέρα στην οροφή ανόδου (kt)	Ποσοστό επιτάχυνσης (%)
737400	ICAO_B	1	4	Επιτάχυνση	Μέγιστη ώση απογείωσης	1		2 073,3	210,5	
737400	ICAO_B	1	5	Άνοδος	Μέγιστη ώση ανόδου	ZERO	3 000			
737400	ICAO_B	1	6	Επιτάχυνση	Μέγιστη ώση ανόδου	ZERO		2 067,4	250	
737400	ICAO_B	1	7	Άνοδος	Μέγιστη ώση ανόδου	ZERO	5 500			
737400	ICAO_B	1	8	Άνοδος	Μέγιστη ώση ανόδου	ZERO	7 500			
737400	ICAO_B	1	9	Άνοδος	Μέγιστη ώση ανόδου	ZERO	10 000			
737400	ICAO_B	2	1	Απογείωση	Μέγιστη ώση απογείωσης	5				
737400	ICAO_B	2	2	Άνοδος	Μέγιστη ώση απογείωσης	5	1 000			
737400	ICAO_B	2	3	Επιτάχυνση	Μέγιστη ώση απογείωσης	5		1 766,9	202,3	
737400	ICAO_B	2	4	Επιτάχυνση	Μέγιστη ώση απογείωσης	1		1 945,9	210,5	
737400	ICAO_B	2	5	Άνοδος	Μέγιστη ώση ανόδου	ZERO	3 000			
737400	ICAO_B	2	6	Επιτάχυνση	Μέγιστη ώση ανόδου	ZERO		1 939,1	250	
737400	ICAO_B	2	7	Άνοδος	Μέγιστη ώση ανόδου	ZERO	5 500			
737400	ICAO_B	2	8	Άνοδος	Μέγιστη ώση ανόδου	ZERO	7 500			
737400	ICAO_B	2	9	Άνοδος	Μέγιστη ώση ανόδου	ZERO	10 000			
737400	ICAO_B	3	1	Απογείωση	Μέγιστη ώση απογείωσης	5				
737400	ICAO_B	3	2	Άνοδος	Μέγιστη ώση απογείωσης	5	1 000			
737400	ICAO_B	3	3	Επιτάχυνση	Μέγιστη ώση απογείωσης	5		1 660,1	203,4	
737400	ICAO_B	3	4	Επιτάχυνση	Μέγιστη ώση απογείωσης	1		1 822,5	210,5	
737400	ICAO_B	3	5	Άνοδος	Μέγιστη ώση ανόδου	ZERO	3 000			
737400	ICAO_B	3	6	Επιτάχυνση	Μέγιστη ώση ανόδου	ZERO		1 807,5	250	
737400	ICAO_B	3	7	Άνοδος	Μέγιστη ώση ανόδου	ZERO	5 500			
737400	ICAO_B	3	8	Άνοδος	Μέγιστη ώση ανόδου	ZERO	7 500			

▼**M2**

ACFTID	Profile_ID (Προφίλ αναχώρησης)	Μήκος καλυπτόμενης διαδρομής	Αριθμός σταδίου	Είδος σταδίου	Μέγεθος ώσης	Flap_ID (Θέση πτερυγίων καμπυλότητας)	Οροφή ανόδου (ft)	Ρυθμός ανόδου (ft/min)	Διακριβωμένη ταχύτητα αέρα στην οροφή ανόδου (kt)	Ποσοστό επιτάχυνσης (%)
737400	ICAO_B	3	9	Άνοδος	Μέγιστη ώση ανόδου	ZERO	10 000			
737400	ICAO_B	4	1	Απογείωση	Μέγιστη ώση απογείωσης	5				
737400	ICAO_B	4	2	Άνοδος	Μέγιστη ώση απογείωσης	5	1 000			
737400	ICAO_B	4	3	Επιτάχυνση	Μέγιστη ώση απογείωσης	5		1 502,8	206,1	
737400	ICAO_B	4	4	Επιτάχυνση	Μέγιστη ώση απογείωσης	1		1 644,7	210,5	
737400	ICAO_B	4	5	Άνοδος	Μέγιστη ώση ανόδου	ZERO	3 000			
737400	ICAO_B	4	6	Επιτάχυνση	Μέγιστη ώση ανόδου	ZERO		1 610,5	250	
737400	ICAO_B	4	7	Άνοδος	Μέγιστη ώση ανόδου	ZERO	5 500			
737400	ICAO_B	4	8	Άνοδος	Μέγιστη ώση ανόδου	ZERO	7 500			
737400	ICAO_B	4	9	Άνοδος	Μέγιστη ώση ανόδου	ZERO	10 000			
737400	ICAO_B	M	1	Απογείωση	Μέγιστη ώση απογείωσης	5				
737400	ICAO_B	M	2	Άνοδος	Μέγιστη ώση απογείωσης	5	1 000			
737400	ICAO_B	M	3	Επιτάχυνση	Μέγιστη ώση απογείωσης	5		1 350,9	209,5	
737400	ICAO_B	M	4	Επιτάχυνση	Μέγιστη ώση απογείωσης	1		1 428,6	210,5	
737400	ICAO_B	M	5	Άνοδος	Μέγιστη ώση ανόδου	ZERO	3 000			
737400	ICAO_B	M	6	Επιτάχυνση	Μέγιστη ώση ανόδου	ZERO		1 414,7	250	
737400	ICAO_B	M	7	Άνοδος	Μέγιστη ώση ανόδου	ZERO	5 500			
737400	ICAO_B	M	8	Άνοδος	Μέγιστη ώση ανόδου	ZERO	7 500			
737400	ICAO_B	M	9	Άνοδος	Μέγιστη ώση ανόδου	ZERO	10 000			
737500	DEFAULT	1	1	Απογείωση	Μέγιστη ώση απογείωσης	5				
737500	DEFAULT	1	2	Άνοδος	Μέγιστη ώση απογείωσης	5	1 000			
737500	DEFAULT	1	3	Επιτάχυνση	Μέγιστη ώση ανόδου	5		1 579,1	187	
737500	DEFAULT	1	4	Επιτάχυνση	Μέγιστη ώση ανόδου	1		1 800	206,6	

▼**M2**

ACFTID	Profile_ID (Προφίλ αναχώρησης)	Μήκος καλυπτόμενης διαδρομής	Αριθμός σταδίου	Είδος σταδίου	Μέγεθος ώσης	Flap_ID (Θέση πτερυγίων καμπυλότητας)	Οροφή ανόδου (ft)	Ρυθμός ανόδου (ft/min)	Διακριβωμένη ταχύτητα αέρα στην οροφή ανόδου (kt)	Ποσοστό επιτάχυνσης (%)
737500	DEFAULT	1	5	Άνοδος	Μέγιστη ώση ανόδου	ZERO	3 000			
737500	DEFAULT	1	6	Επιτάχυνση	Μέγιστη ώση ανόδου	ZERO		1 961,7	250	
737500	DEFAULT	1	7	Άνοδος	Μέγιστη ώση ανόδου	ZERO	5 500			
737500	DEFAULT	1	8	Άνοδος	Μέγιστη ώση ανόδου	ZERO	7 500			
737500	DEFAULT	1	9	Άνοδος	Μέγιστη ώση ανόδου	ZERO	10 000			
737500	DEFAULT	2	1	Απογείωση	Μέγιστη ώση απογείωσης	5				
737500	DEFAULT	2	2	Άνοδος	Μέγιστη ώση απογείωσης	5	1 000			
737500	DEFAULT	2	3	Επιτάχυνση	Μέγιστη ώση ανόδου	5		1 490,8	188	
737500	DEFAULT	2	4	Επιτάχυνση	Μέγιστη ώση ανόδου	1		1 681,3	205,6	
737500	DEFAULT	2	5	Άνοδος	Μέγιστη ώση ανόδου	ZERO	3 000			
737500	DEFAULT	2	6	Επιτάχυνση	Μέγιστη ώση ανόδου	ZERO		1 834,4	250	
737500	DEFAULT	2	7	Άνοδος	Μέγιστη ώση ανόδου	ZERO	5 500			
737500	DEFAULT	2	8	Άνοδος	Μέγιστη ώση ανόδου	ZERO	7 500			
737500	DEFAULT	2	9	Άνοδος	Μέγιστη ώση ανόδου	ZERO	10 000			
737500	DEFAULT	3	1	Απογείωση	Μέγιστη ώση απογείωσης	5				
737500	DEFAULT	3	2	Άνοδος	Μέγιστη ώση απογείωσης	5	1 000			
737500	DEFAULT	3	3	Επιτάχυνση	Μέγιστη ώση ανόδου	5		1 398,8	189,4	
737500	DEFAULT	3	4	Επιτάχυνση	Μέγιστη ώση ανόδου	1		1 572,4	204,5	
737500	DEFAULT	3	5	Άνοδος	Μέγιστη ώση ανόδου	ZERO	3 000			
737500	DEFAULT	3	6	Επιτάχυνση	Μέγιστη ώση ανόδου	ZERO		1 713,4	250	
737500	DEFAULT	3	7	Άνοδος	Μέγιστη ώση ανόδου	ZERO	5 500			
737500	DEFAULT	3	8	Άνοδος	Μέγιστη ώση ανόδου	ZERO	7 500			
737500	DEFAULT	3	9	Άνοδος	Μέγιστη ώση ανόδου	ZERO	10 000			

▼**M2**

ACFTID	Profile_ID (Προφίλ αναχώρησης)	Μήκος καλυπτόμενης διαδρομής	Αριθμός σταδίου	Είδος σταδίου	Μέγεθος ώσης	Flap_ID (Θέση πτερυγίων καμπυλότητας)	Οροφή ανόδου (ft)	Ρυθμός ανόδου (ft/min)	Διακριβωμένη ταχύτητα αέρα στην οροφή ανόδου (kt)	Ποσοστό επιτάχυνσης (%)
737500	DEFAULT	4	1	Απογείωση	Μέγιστη ώση απογείωσης	5				
737500	DEFAULT	4	2	Άνοδος	Μέγιστη ώση απογείωσης	5	1 000			
737500	DEFAULT	4	3	Επιτάχυνση	Μέγιστη ώση ανόδου	5		1 229,4	192,1	
737500	DEFAULT	4	4	Επιτάχυνση	Μέγιστη ώση ανόδου	1		1 388,1	212,4	
737500	DEFAULT	4	5	Άνοδος	Μέγιστη ώση ανόδου	ZERO	3 000			
737500	DEFAULT	4	6	Επιτάχυνση	Μέγιστη ώση ανόδου	ZERO		1 521,8	250	
737500	DEFAULT	4	7	Άνοδος	Μέγιστη ώση ανόδου	ZERO	5 500			
737500	DEFAULT	4	8	Άνοδος	Μέγιστη ώση ανόδου	ZERO	7 500			
737500	DEFAULT	4	9	Άνοδος	Μέγιστη ώση ανόδου	ZERO	10 000			
737500	DEFAULT	5	1	Απογείωση	Μέγιστη ώση απογείωσης	5				
737500	DEFAULT	5	2	Άνοδος	Μέγιστη ώση απογείωσης	5	1 000			
737500	DEFAULT	5	3	Επιτάχυνση	Μέγιστη ώση ανόδου	5		1 211,1	192,4	
737500	DEFAULT	5	4	Επιτάχυνση	Μέγιστη ώση ανόδου	1		1 370,8	212	
737500	DEFAULT	5	5	Άνοδος	Μέγιστη ώση ανόδου	ZERO	3 000			
737500	DEFAULT	5	6	Επιτάχυνση	Μέγιστη ώση ανόδου	ZERO		1 503,1	250	
737500	DEFAULT	5	7	Άνοδος	Μέγιστη ώση ανόδου	ZERO	5 500			
737500	DEFAULT	5	8	Άνοδος	Μέγιστη ώση ανόδου	ZERO	7 500			
737500	DEFAULT	5	9	Άνοδος	Μέγιστη ώση ανόδου	ZERO	10 000			
737500	DEFAULT	M	1	Απογείωση	Μέγιστη ώση απογείωσης	5				
737500	DEFAULT	M	2	Άνοδος	Μέγιστη ώση απογείωσης	5	1 000			
737500	DEFAULT	M	3	Επιτάχυνση	Μέγιστη ώση ανόδου	5		1 192,6	192,8	
737500	DEFAULT	M	4	Επιτάχυνση	Μέγιστη ώση ανόδου	1		1 343,1	211,9	
737500	DEFAULT	M	5	Άνοδος	Μέγιστη ώση ανόδου	ZERO	3 000			
737500	DEFAULT	M	6	Επιτάχυνση	Μέγιστη ώση ανόδου	ZERO		1 470,2	250	

▼**M2**

ACFTID	Profile_ID (Προφίλ αναχώρησης)	Μήκος καλυπτόμενης διαδρομής	Αριθμός σταδίου	Είδος σταδίου	Μέγεθος ώσης	Flap_ID (Θέση πτερυγίων καμπυλότητας)	Οροφή ανόδου (ft)	Ρυθμός ανόδου (ft/min)	Διακριβωμένη ταχύτητα αέρα στην οροφή ανόδου (kt)	Ποσοστό επιτάχυνσης (%)
737500	DEFAULT	M	7	Άνοδος	Μέγιστη ώση ανόδου	ZERO	5 500			
737500	DEFAULT	M	8	Άνοδος	Μέγιστη ώση ανόδου	ZERO	7 500			
737500	DEFAULT	M	9	Άνοδος	Μέγιστη ώση ανόδου	ZERO	10 000			
737500	ICAO_A	1	1	Απογείωση	Μέγιστη ώση απογείωσης	5				
737500	ICAO_A	1	2	Άνοδος	Μέγιστη ώση απογείωσης	5	1 500			
737500	ICAO_A	1	3	Άνοδος	Μέγιστη ώση ανόδου	5	3 000			
737500	ICAO_A	1	4	Επιτάχυνση	Μέγιστη ώση ανόδου	5		1 509,2	184	
737500	ICAO_A	1	5	Επιτάχυνση	Μέγιστη ώση ανόδου	1		1 725,7	204,8	
737500	ICAO_A	1	6	Επιτάχυνση	Μέγιστη ώση ανόδου	ZERO		1 934,3	250	
737500	ICAO_A	1	7	Άνοδος	Μέγιστη ώση ανόδου	ZERO	5 500			
737500	ICAO_A	1	8	Άνοδος	Μέγιστη ώση ανόδου	ZERO	7 500			
737500	ICAO_A	1	9	Άνοδος	Μέγιστη ώση ανόδου	ZERO	10 000			
737500	ICAO_A	2	1	Απογείωση	Μέγιστη ώση απογείωσης	5				
737500	ICAO_A	2	2	Άνοδος	Μέγιστη ώση απογείωσης	5	1 500			
737500	ICAO_A	2	3	Άνοδος	Μέγιστη ώση ανόδου	5	3 000			
737500	ICAO_A	2	4	Επιτάχυνση	Μέγιστη ώση ανόδου	5		1 420,9	185,1	
737500	ICAO_A	2	5	Επιτάχυνση	Μέγιστη ώση ανόδου	1		1 612,5	203,9	
737500	ICAO_A	2	6	Επιτάχυνση	Μέγιστη ώση ανόδου	ZERO		1 810,3	250	
737500	ICAO_A	2	7	Άνοδος	Μέγιστη ώση ανόδου	ZERO	5 500			
737500	ICAO_A	2	8	Άνοδος	Μέγιστη ώση ανόδου	ZERO	7 500			
737500	ICAO_A	2	9	Άνοδος	Μέγιστη ώση ανόδου	ZERO	10 000			
737500	ICAO_A	3	1	Απογείωση	Μέγιστη ώση απογείωσης	5				
737500	ICAO_A	3	2	Άνοδος	Μέγιστη ώση απογείωσης	5	1 500			
737500	ICAO_A	3	3	Άνοδος	Μέγιστη ώση ανόδου	5	3 000			

▼**M2**

ACFTID	Profile_ID (Προφίλ αναχώρησης)	Μήκος καλυπτόμενης διαδρομής	Αριθμός σταδίου	Είδος σταδίου	Μέγεθος ώσης	Flap_ID (Θέση πτερυγίων καμπυλότητας)	Οροφή ανόδου (ft)	Ρυθμός ανόδου (ft/min)	Διακριβωμένη ταχύτητα αέρα στην οροφή ανόδου (kt)	Ποσοστό επιτάχυνσης (%)
737500	ICAO_A	3	4	Επιτάχυνση	Μέγιστη ώση ανόδου	5		1 332,5	186,6	
737500	ICAO_A	3	5	Επιτάχυνση	Μέγιστη ώση ανόδου	1		1 494,3	203	
737500	ICAO_A	3	6	Επιτάχυνση	Μέγιστη ώση ανόδου	ZERO		1 691,3	250	
737500	ICAO_A	3	7	Άνοδος	Μέγιστη ώση ανόδου	ZERO	5 500			
737500	ICAO_A	3	8	Άνοδος	Μέγιστη ώση ανόδου	ZERO	7 500			
737500	ICAO_A	3	9	Άνοδος	Μέγιστη ώση ανόδου	ZERO	10 000			
737500	ICAO_A	4	1	Απογείωση	Μέγιστη ώση απογείωσης	5				
737500	ICAO_A	4	2	Άνοδος	Μέγιστη ώση απογείωσης	5	1 500			
737500	ICAO_A	4	3	Άνοδος	Μέγιστη ώση ανόδου	5	3 000			
737500	ICAO_A	4	4	Επιτάχυνση	Μέγιστη ώση ανόδου	5		1 166,9	189,6	
737500	ICAO_A	4	5	Επιτάχυνση	Μέγιστη ώση ανόδου	1		1 317	211	
737500	ICAO_A	4	6	Επιτάχυνση	Μέγιστη ώση ανόδου	ZERO		1 496,1	250	
737500	ICAO_A	4	7	Άνοδος	Μέγιστη ώση ανόδου	ZERO	5 500			
737500	ICAO_A	4	8	Άνοδος	Μέγιστη ώση ανόδου	ZERO	7 500			
737500	ICAO_A	4	9	Άνοδος	Μέγιστη ώση ανόδου	ZERO	10 000			
737500	ICAO_A	5	1	Απογείωση	Μέγιστη ώση απογείωσης	5				
737500	ICAO_A	5	2	Άνοδος	Μέγιστη ώση απογείωσης	5	1 500			
737500	ICAO_A	5	3	Άνοδος	Μέγιστη ώση ανόδου	5	3 000			
737500	ICAO_A	5	4	Επιτάχυνση	Μέγιστη ώση ανόδου	5		1 152,1	189,9	
737500	ICAO_A	5	5	Επιτάχυνση	Μέγιστη ώση ανόδου	1		1 300	210,8	
737500	ICAO_A	5	6	Επιτάχυνση	Μέγιστη ώση ανόδου	ZERO		1 477,5	250	
737500	ICAO_A	5	7	Άνοδος	Μέγιστη ώση ανόδου	ZERO	5 500			
737500	ICAO_A	5	8	Άνοδος	Μέγιστη ώση ανόδου	ZERO	7 500			
737500	ICAO_A	5	9	Άνοδος	Μέγιστη ώση ανόδου	ZERO	10 000			

▼**M2**

ACFTID	Profile_ID (Προφίλ αναχώρησης)	Μήκος καλυπτόμενης διαδρομής	Αριθμός σταδίου	Είδος σταδίου	Μέγεθος ώσης	Flap_ID (Θέση πτερυγίων καμπυλότητας)	Οροφή ανόδου (ft)	Ρυθμός ανόδου (ft/min)	Διακριβωμένη ταχύτητα αέρα στην οροφή ανόδου (kt)	Ποσοστό επιτάχυνσης (%)
737500	ICAO_A	M	1	Απογείωση	Μέγιστη ώση απογείωσης	5				
737500	ICAO_A	M	2	Άνοδος	Μέγιστη ώση απογείωσης	5	1 500			
737500	ICAO_A	M	3	Άνοδος	Μέγιστη ώση ανόδου	5	3 000			
737500	ICAO_A	M	4	Επιτάχυνση	Μέγιστη ώση ανόδου	5		1 130,1	190,4	
737500	ICAO_A	M	5	Επιτάχυνση	Μέγιστη ώση ανόδου	1		1 267,1	210,6	
737500	ICAO_A	M	6	Επιτάχυνση	Μέγιστη ώση ανόδου	ZERO		1 451,9	250	
737500	ICAO_A	M	7	Άνοδος	Μέγιστη ώση ανόδου	ZERO	5 500			
737500	ICAO_A	M	8	Άνοδος	Μέγιστη ώση ανόδου	ZERO	7 500			
737500	ICAO_A	M	9	Άνοδος	Μέγιστη ώση ανόδου	ZERO	10 000			
737500	ICAO_B	1	1	Απογείωση	Μέγιστη ώση απογείωσης	5				
737500	ICAO_B	1	2	Άνοδος	Μέγιστη ώση απογείωσης	5	1 000			
737500	ICAO_B	1	3	Επιτάχυνση	Μέγιστη ώση απογείωσης	5		1 715,3	189,5	
737500	ICAO_B	1	4	Επιτάχυνση	Μέγιστη ώση απογείωσης	1		1 944,8	207,8	
737500	ICAO_B	1	5	Άνοδος	Μέγιστη ώση ανόδου	ZERO	3 000			
737500	ICAO_B	1	6	Επιτάχυνση	Μέγιστη ώση ανόδου	ZERO		1 966,3	250	
737500	ICAO_B	1	7	Άνοδος	Μέγιστη ώση ανόδου	ZERO	5 500			
737500	ICAO_B	1	8	Άνοδος	Μέγιστη ώση ανόδου	ZERO	7 500			
737500	ICAO_B	1	9	Άνοδος	Μέγιστη ώση ανόδου	ZERO	10 000			
737500	ICAO_B	2	1	Απογείωση	Μέγιστη ώση απογείωσης	5				
737500	ICAO_B	2	2	Άνοδος	Μέγιστη ώση απογείωσης	5	1 000			
737500	ICAO_B	2	3	Επιτάχυνση	Μέγιστη ώση απογείωσης	5		1 619,6	190,3	
737500	ICAO_B	2	4	Επιτάχυνση	Μέγιστη ώση απογείωσης	1		1 835,3	207,1	
737500	ICAO_B	2	5	Άνοδος	Μέγιστη ώση ανόδου	ZERO	3 000			

▼**M2**

ACFTID	Profile_ID (Προφίλ αναχώρησης)	Μήκος καλυπτόμενης διαδρομής	Αριθμός σταδίου	Είδος σταδίου	Μέγεθος ώσης	Flap_ID (Θέση πτερυγίων καμπυλότητας)	Οροφή ανόδου (ft)	Ρυθμός ανόδου (ft/min)	Διακριβωμένη ταχύτητα αέρα στην οροφή ανόδου (kt)	Ποσοστό επιτάχυνσης (%)
737500	ICAO_B	2	6	Επιτάχυνση	Μέγιστη ώση ανόδου	ZERO		1 844,6	250	
737500	ICAO_B	2	7	Άνοδος	Μέγιστη ώση ανόδου	ZERO	5 500			
737500	ICAO_B	2	8	Άνοδος	Μέγιστη ώση ανόδου	ZERO	7 500			
737500	ICAO_B	2	9	Άνοδος	Μέγιστη ώση ανόδου	ZERO	10 000			
737500	ICAO_B	3	1	Απογείωση	Μέγιστη ώση απογείωσης	5				
737500	ICAO_B	3	2	Άνοδος	Μέγιστη ώση απογείωσης	5	1 000			
737500	ICAO_B	3	3	Επιτάχυνση	Μέγιστη ώση απογείωσης	5		1 520,2	191,6	
737500	ICAO_B	3	4	Επιτάχυνση	Μέγιστη ώση απογείωσης	1		1 717,5	207,1	
737500	ICAO_B	3	5	Άνοδος	Μέγιστη ώση ανόδου	ZERO	3 000			
737500	ICAO_B	3	6	Επιτάχυνση	Μέγιστη ώση ανόδου	ZERO		1 722,6	250	
737500	ICAO_B	3	7	Άνοδος	Μέγιστη ώση ανόδου	ZERO	5 500			
737500	ICAO_B	3	8	Άνοδος	Μέγιστη ώση ανόδου	ZERO	7 500			
737500	ICAO_B	3	9	Άνοδος	Μέγιστη ώση ανόδου	ZERO	10 000			
737500	ICAO_B	4	1	Απογείωση	Μέγιστη ώση απογείωσης	5				
737500	ICAO_B	4	2	Άνοδος	Μέγιστη ώση απογείωσης	5	1 000			
737500	ICAO_B	4	3	Επιτάχυνση	Μέγιστη ώση απογείωσης	5		1 339,9	194,1	
737500	ICAO_B	4	4	Επιτάχυνση	Μέγιστη ώση απογείωσης	1		1 512,8	213,4	
737500	ICAO_B	4	5	Άνοδος	Μέγιστη ώση ανόδου	ZERO	3 000			
737500	ICAO_B	4	6	Επιτάχυνση	Μέγιστη ώση ανόδου	ZERO		1 526,7	250	
737500	ICAO_B	4	7	Άνοδος	Μέγιστη ώση ανόδου	ZERO	5 500			
737500	ICAO_B	4	8	Άνοδος	Μέγιστη ώση ανόδου	ZERO	7 500			
737500	ICAO_B	4	9	Άνοδος	Μέγιστη ώση ανόδου	ZERO	10 000			
737500	ICAO_B	5	1	Απογείωση	Μέγιστη ώση απογείωσης	5				
737500	ICAO_B	5	2	Άνοδος	Μέγιστη ώση απογείωσης	5	1 000			

▼**M2**

ACFTID	Profile_ID (Προφίλ αναχώρησης)	Μήκος καλυπτόμενης διαδρομής	Αριθμός σταδίου	Είδος σταδίου	Μέγεθος ώσης	Flap_ID (Θέση πτερυγίων καμπυλότητας)	Οροφή ανόδου (ft)	Ρυθμός ανόδου (ft/min)	Διακριβωμένη ταχύτητα αέρα στην οροφή ανόδου (kt)	Ποσοστό επιτάχυνσης (%)
737500	ICAO_B	5	3	Επιτάχυνση	Μέγιστη ώση απογείωσης	5		1 322,2	194,4	
737500	ICAO_B	5	4	Επιτάχυνση	Μέγιστη ώση απογείωσης	1		1 500	213,2	
737500	ICAO_B	5	5	Άνοδος	Μέγιστη ώση ανόδου	ZERO	3 000			
737500	ICAO_B	5	6	Επιτάχυνση	Μέγιστη ώση ανόδου	ZERO		1 503,1	250	
737500	ICAO_B	5	7	Άνοδος	Μέγιστη ώση ανόδου	ZERO	5 500			
737500	ICAO_B	5	8	Άνοδος	Μέγιστη ώση ανόδου	ZERO	7 500			
737500	ICAO_B	5	9	Άνοδος	Μέγιστη ώση ανόδου	ZERO	10 000			
737500	ICAO_B	M	1	Απογείωση	Μέγιστη ώση απογείωσης	5				
737500	ICAO_B	M	2	Άνοδος	Μέγιστη ώση απογείωσης	5	1 000			
737500	ICAO_B	M	3	Επιτάχυνση	Μέγιστη ώση απογείωσης	5		1 303,1	194,8	
737500	ICAO_B	M	4	Επιτάχυνση	Μέγιστη ώση απογείωσης	1		1 463,2	213	
737500	ICAO_B	M	5	Άνοδος	Μέγιστη ώση ανόδου	ZERO	3 000			
737500	ICAO_B	M	6	Επιτάχυνση	Μέγιστη ώση ανόδου	ZERO		1 475,5	250	
737500	ICAO_B	M	7	Άνοδος	Μέγιστη ώση ανόδου	ZERO	5 500			
737500	ICAO_B	M	8	Άνοδος	Μέγιστη ώση ανόδου	ZERO	7 500			
737500	ICAO_B	M	9	Άνοδος	Μέγιστη ώση ανόδου	ZERO	10 000			
737700	DEFAULT	1	1	Απογείωση	Μέγιστη ώση απογείωσης	T_5				
737700	DEFAULT	1	2	Άνοδος	Μέγιστη ώση απογείωσης	T_5	1 000			
737700	DEFAULT	1	3	Επιτάχυνση	Μέγιστη ώση ανόδου	T_ZERO		1 782,4	195,1	
737700	DEFAULT	1	4	Άνοδος	Μέγιστη ώση ανόδου	T_ZERO	3 000			
737700	DEFAULT	1	5	Επιτάχυνση	Μέγιστη ώση ανόδου	T_ZERO		2 159,3	250	
737700	DEFAULT	1	6	Άνοδος	Μέγιστη ώση ανόδου	T_ZERO	5 500			
737700	DEFAULT	1	7	Άνοδος	Μέγιστη ώση ανόδου	T_00H	7 500			

▼**M2**

ACFTID	Profile_ID (Προφίλ αναχώρησης)	Μήκος καλυπτόμενης διαδρομής	Αριθμός σταδίου	Είδος σταδίου	Μέγεθος ώσης	Flap_ID (Θέση πτερυγίων καμπυλότητας)	Οροφή ανόδου (ft)	Ρυθμός ανόδου (ft/min)	Διακριβωμένη ταχύτητα αέρα στην οροφή ανόδου (kt)	Ποσοστό επιτάχυνσης (%)
737700	DEFAULT	1	8	Άνοδος	Μέγιστη ώση ανόδου	T_00H	10 000			
737700	DEFAULT	2	1	Απογείωση	Μέγιστη ώση απογείωσης	T_5				
737700	DEFAULT	2	2	Άνοδος	Μέγιστη ώση απογείωσης	T_5	1 000			
737700	DEFAULT	2	3	Επιτάχυνση	Μέγιστη ώση ανόδου	T_ZERO		1 710,1	197,7	
737700	DEFAULT	2	4	Άνοδος	Μέγιστη ώση ανόδου	T_ZERO	3 000			
737700	DEFAULT	2	5	Επιτάχυνση	Μέγιστη ώση ανόδου	T_ZERO		2 056,7	250	
737700	DEFAULT	2	6	Άνοδος	Μέγιστη ώση ανόδου	T_ZERO	5 500			
737700	DEFAULT	2	7	Άνοδος	Μέγιστη ώση ανόδου	T_00H	7 500			
737700	DEFAULT	2	8	Άνοδος	Μέγιστη ώση ανόδου	T_00H	10 000			
737700	DEFAULT	3	1	Απογείωση	Μέγιστη ώση απογείωσης	T_5				
737700	DEFAULT	3	2	Άνοδος	Μέγιστη ώση απογείωσης	T_5	1 000			
737700	DEFAULT	3	3	Επιτάχυνση	Μέγιστη ώση ανόδου	T_ZERO		1 635,7	200,3	
737700	DEFAULT	3	4	Άνοδος	Μέγιστη ώση ανόδου	T_ZERO	3 000			
737700	DEFAULT	3	5	Επιτάχυνση	Μέγιστη ώση ανόδου	T_ZERO		1 957	250	
737700	DEFAULT	3	6	Άνοδος	Μέγιστη ώση ανόδου	T_ZERO	5 500			
737700	DEFAULT	3	7	Άνοδος	Μέγιστη ώση ανόδου	T_ZERO	7 500			
737700	DEFAULT	3	8	Άνοδος	Μέγιστη ώση ανόδου	T_00H	10 000			
737700	DEFAULT	4	1	Απογείωση	Μέγιστη ώση απογείωσης	T_5				
737700	DEFAULT	4	2	Άνοδος	Μέγιστη ώση απογείωσης	T_5	1 000			
737700	DEFAULT	4	3	Επιτάχυνση	Μέγιστη ώση ανόδου	T_ZERO		1 498,3	205,8	
737700	DEFAULT	4	4	Άνοδος	Μέγιστη ώση ανόδου	T_ZERO	3 000			
737700	DEFAULT	4	5	Επιτάχυνση	Μέγιστη ώση ανόδου	T_ZERO		1 774,4	250	
737700	DEFAULT	4	6	Άνοδος	Μέγιστη ώση ανόδου	T_ZERO	5 500			
737700	DEFAULT	4	7	Άνοδος	Μέγιστη ώση ανόδου	T_ZERO	7 500			

▼**M2**

ACFTID	Profile_ID (Προφίλ αναχώρησης)	Μήκος καλυπτόμενης διαδρομής	Αριθμός σταδίου	Είδος σταδίου	Μέγεθος ώσης	Flap_ID (Θέση πτερυγίων καμπυλότητας)	Οροφή ανόδου (ft)	Ρυθμός ανόδου (ft/min)	Διακριβωμένη ταχύτητα αέρα στην οροφή ανόδου (kt)	Ποσοστό επιτάχυνσης (%)
737700	DEFAULT	4	8	Άνοδος	Μέγιστη ώση ανόδου	T_ZERO	10 000			
737700	DEFAULT	5	1	Απογείωση	Μέγιστη ώση απογείωσης	T_5				
737700	DEFAULT	5	2	Άνοδος	Μέγιστη ώση απογείωσης	T_5	1 000			
737700	DEFAULT	5	3	Επιτάχυνση	Μέγιστη ώση ανόδου	T_ZERO		1 348,5	211,6	
737700	DEFAULT	5	4	Άνοδος	Μέγιστη ώση ανόδου	T_ZERO	3 000			
737700	DEFAULT	5	5	Επιτάχυνση	Μέγιστη ώση ανόδου	T_ZERO		1 581,2	250	
737700	DEFAULT	5	6	Άνοδος	Μέγιστη ώση ανόδου	T_ZERO	5 500			
737700	DEFAULT	5	7	Άνοδος	Μέγιστη ώση ανόδου	T_ZERO	7 500			
737700	DEFAULT	5	8	Άνοδος	Μέγιστη ώση ανόδου	T_ZERO	10 000			
737700	DEFAULT	6	1	Απογείωση	Μέγιστη ώση απογείωσης	T_5				
737700	DEFAULT	6	2	Άνοδος	Μέγιστη ώση απογείωσης	T_5	1 000			
737700	DEFAULT	6	3	Επιτάχυνση	Μέγιστη ώση ανόδου	T_ZERO		1 347,1	211,6	
737700	DEFAULT	6	4	Άνοδος	Μέγιστη ώση ανόδου	T_ZERO	3 000			
737700	DEFAULT	6	5	Επιτάχυνση	Μέγιστη ώση ανόδου	T_ZERO		1 579,1	250	
737700	DEFAULT	6	6	Άνοδος	Μέγιστη ώση ανόδου	T_ZERO	5 500			
737700	DEFAULT	6	7	Άνοδος	Μέγιστη ώση ανόδου	T_ZERO	7 500			
737700	DEFAULT	6	8	Άνοδος	Μέγιστη ώση ανόδου	T_ZERO	10 000			
737700	ICAO_A	1	1	Απογείωση	Μέγιστη ώση απογείωσης	T_5				
737700	ICAO_A	1	2	Άνοδος	Μέγιστη ώση απογείωσης	T_5	1 500			
737700	ICAO_A	1	3	Άνοδος	Μέγιστη ώση ανόδου	T_5	3 000			
737700	ICAO_A	1	4	Επιτάχυνση	Μέγιστη ώση ανόδου	T_ZERO		1 747,6	194,9	
737700	ICAO_A	1	5	Επιτάχυνση	Μέγιστη ώση ανόδου	T_ZERO		2 128,3	250	
737700	ICAO_A	1	6	Άνοδος	Μέγιστη ώση ανόδου	T_ZERO	5 500			
737700	ICAO_A	1	7	Άνοδος	Μέγιστη ώση ανόδου	T_00H	7 500			

▼**M2**

ACFTID	Profile_ID (Προφίλ αναχώρησης)	Μήκος καλυπτόμενης διαδρομής	Αριθμός σταδίου	Είδος σταδίου	Μέγεθος ώσης	Flap_ID (Θέση πτερυγίων καμπυλότητας)	Οροφή ανόδου (ft)	Ρυθμός ανόδου (ft/min)	Διακριβωμένη ταχύτητα αέρα στην οροφή ανόδου (kt)	Ποσοστό επιτάχυνσης (%)
737700	ICAO_A	1	8	Άνοδος	Μέγιστη ώση ανόδου	T_00H	10 000			
737700	ICAO_A	2	1	Απογείωση	Μέγιστη ώση απογείωσης	T_5				
737700	ICAO_A	2	2	Άνοδος	Μέγιστη ώση απογείωσης	T_5	1 500			
737700	ICAO_A	2	3	Άνοδος	Μέγιστη ώση ανόδου	T_5	3 000			
737700	ICAO_A	2	4	Επιτάχυνση	Μέγιστη ώση ανόδου	T_ZERO		1 673,6	197,4	
737700	ICAO_A	2	5	Επιτάχυνση	Μέγιστη ώση ανόδου	T_ZERO		2 028,3	250	
737700	ICAO_A	2	6	Άνοδος	Μέγιστη ώση ανόδου	T_ZERO	5 500			
737700	ICAO_A	2	7	Άνοδος	Μέγιστη ώση ανόδου	T_ZERO	7 500			
737700	ICAO_A	2	8	Άνοδος	Μέγιστη ώση ανόδου	T_00H	10 000			
737700	ICAO_A	3	1	Απογείωση	Μέγιστη ώση απογείωσης	T_5				
737700	ICAO_A	3	2	Άνοδος	Μέγιστη ώση απογείωσης	T_5	1 500			
737700	ICAO_A	3	3	Άνοδος	Μέγιστη ώση ανόδου	T_5	3 000			
737700	ICAO_A	3	4	Επιτάχυνση	Μέγιστη ώση ανόδου	T_ZERO		1 600,5	200,2	
737700	ICAO_A	3	5	Επιτάχυνση	Μέγιστη ώση ανόδου	T_ZERO		1 931,7	250	
737700	ICAO_A	3	6	Άνοδος	Μέγιστη ώση ανόδου	T_ZERO	5 500			
737700	ICAO_A	3	7	Άνοδος	Μέγιστη ώση ανόδου	T_ZERO	7 500			
737700	ICAO_A	3	8	Άνοδος	Μέγιστη ώση ανόδου	T_00H	10 000			
737700	ICAO_A	4	1	Απογείωση	Μέγιστη ώση απογείωσης	T_5				
737700	ICAO_A	4	2	Άνοδος	Μέγιστη ώση απογείωσης	T_5	1 500			
737700	ICAO_A	4	3	Άνοδος	Μέγιστη ώση ανόδου	T_5	3 000			
737700	ICAO_A	4	4	Επιτάχυνση	Μέγιστη ώση ανόδου	T_ZERO		1 462,2	205,6	
737700	ICAO_A	4	5	Επιτάχυνση	Μέγιστη ώση ανόδου	T_ZERO		1 753,8	250	
737700	ICAO_A	4	6	Άνοδος	Μέγιστη ώση ανόδου	T_ZERO	5 500			
737700	ICAO_A	4	7	Άνοδος	Μέγιστη ώση ανόδου	T_ZERO	7 500			

▼**M2**

ACFTID	Profile_ID (Προφίλ αναχώρησης)	Μήκος καλυπτόμενης διαδρομής	Αριθμός σταδίου	Είδος σταδίου	Μέγεθος ώσης	Flap_ID (Θέση πτερυγίων καμπυλότητας)	Οροφή ανόδου (ft)	Ρυθμός ανόδου (ft/min)	Διακριβωμένη ταχύτητα αέρα στην οροφή ανόδου (kt)	Ποσοστό επιτάχυνσης (%)
737700	ICAO_A	4	8	Άνοδος	Μέγιστη ώση ανόδου	T_00H	10 000			
737700	ICAO_A	5	1	Απογείωση	Μέγιστη ώση απογείωσης	T_5				
737700	ICAO_A	5	2	Άνοδος	Μέγιστη ώση απογείωσης	T_5	1 500			
737700	ICAO_A	5	3	Άνοδος	Μέγιστη ώση ανόδου	T_5	3 000			
737700	ICAO_A	5	4	Επιτάχυνση	Μέγιστη ώση ανόδου	T_ZERO		1 430	250	
737700	ICAO_A	5	5	Άνοδος	Μέγιστη ώση ανόδου	T_ZERO	5 500			
737700	ICAO_A	5	6	Άνοδος	Μέγιστη ώση ανόδου	T_ZERO	7 500			
737700	ICAO_A	5	7	Άνοδος	Μέγιστη ώση ανόδου	T_ZERO	10 000			
737700	ICAO_A	6	1	Απογείωση	Μέγιστη ώση απογείωσης	T_5				
737700	ICAO_A	6	2	Άνοδος	Μέγιστη ώση απογείωσης	T_5	1 500			
737700	ICAO_A	6	3	Άνοδος	Μέγιστη ώση ανόδου	T_5	3 000			
737700	ICAO_A	6	4	Επιτάχυνση	Μέγιστη ώση ανόδου	T_ZERO		1 430,1	250	
737700	ICAO_A	6	5	Άνοδος	Μέγιστη ώση ανόδου	T_ZERO	5 500			
737700	ICAO_A	6	6	Άνοδος	Μέγιστη ώση ανόδου	T_ZERO	7 500			
737700	ICAO_A	6	7	Άνοδος	Μέγιστη ώση ανόδου	T_ZERO	10 000			
737700	ICAO_B	1	1	Απογείωση	Μέγιστη ώση απογείωσης	T_5				
737700	ICAO_B	1	2	Άνοδος	Μέγιστη ώση απογείωσης	T_5	1 000			
737700	ICAO_B	1	3	Επιτάχυνση	Μέγιστη ώση απογείωσης	T_01		1 888,7	195,1	
737700	ICAO_B	1	4	Άνοδος	Μέγιστη ώση ανόδου	T_ZERO	3 000			
737700	ICAO_B	1	5	Επιτάχυνση	Μέγιστη ώση ανόδου	T_ZERO		2 159,3	250	
737700	ICAO_B	1	6	Άνοδος	Μέγιστη ώση ανόδου	T_00H	5 500			
737700	ICAO_B	1	7	Άνοδος	Μέγιστη ώση ανόδου	T_00H	7 500			
737700	ICAO_B	1	8	Άνοδος	Μέγιστη ώση ανόδου	T_ZERO	10 000			

▼**M2**

ACFTID	Profile_ID (Προφίλ αναχώρησης)	Μήκος καλυπτόμενης διαδρομής	Αριθμός σταδίου	Είδος σταδίου	Μέγεθος ώσης	Flap_ID (Θέση πτερυγίων καμπυλότητας)	Οροφή ανόδου (ft)	Ρυθμός ανόδου (ft/min)	Διακριβωμένη ταχύτητα αέρα στην οροφή ανόδου (kt)	Ποσοστό επιτάχυνσης (%)
737700	ICAO_B	2	1	Απογείωση	Μέγιστη ώση απογείωσης	T_5				
737700	ICAO_B	2	2	Άνοδος	Μέγιστη ώση απογείωσης	T_5	1 000			
737700	ICAO_B	2	3	Επιτάχυνση	Μέγιστη ώση απογείωσης	T_01		1 814,3	197,7	
737700	ICAO_B	2	4	Άνοδος	Μέγιστη ώση ανόδου	T_ZERO	3 000			
737700	ICAO_B	2	5	Επιτάχυνση	Μέγιστη ώση ανόδου	T_ZERO		2 058,1	250	
737700	ICAO_B	2	6	Άνοδος	Μέγιστη ώση ανόδου	T_ZERO	5 500			
737700	ICAO_B	2	7	Άνοδος	Μέγιστη ώση ανόδου	T_ZERO	7 500			
737700	ICAO_B	2	8	Άνοδος	Μέγιστη ώση ανόδου	T_00H	10 000			
737700	ICAO_B	3	1	Απογείωση	Μέγιστη ώση απογείωσης	T_5				
737700	ICAO_B	3	2	Άνοδος	Μέγιστη ώση απογείωσης	T_5	1 000			
737700	ICAO_B	3	3	Επιτάχυνση	Μέγιστη ώση απογείωσης	T_5		1 619	175,6	
737700	ICAO_B	3	4	Επιτάχυνση	Μέγιστη ώση απογείωσης	T_01		1 840,6	200,4	
737700	ICAO_B	3	5	Άνοδος	Μέγιστη ώση ανόδου	T_ZERO	3 000			
737700	ICAO_B	3	6	Επιτάχυνση	Μέγιστη ώση ανόδου	T_ZERO		1 958,4	250	
737700	ICAO_B	3	7	Άνοδος	Μέγιστη ώση ανόδου	T_ZERO	5 500			
737700	ICAO_B	3	8	Άνοδος	Μέγιστη ώση ανόδου	T_ZERO	7 500			
737700	ICAO_B	3	9	Άνοδος	Μέγιστη ώση ανόδου	T_ZERO	10 000			
737700	ICAO_B	4	1	Απογείωση	Μέγιστη ώση απογείωσης	T_5				
737700	ICAO_B	4	2	Άνοδος	Μέγιστη ώση απογείωσης	T_5	1 000			
737700	ICAO_B	4	3	Επιτάχυνση	Μέγιστη ώση απογείωσης	T_01		1 594,1	205,8	
737700	ICAO_B	4	4	Άνοδος	Μέγιστη ώση ανόδου	T_ZERO	3 000			
737700	ICAO_B	4	5	Επιτάχυνση	Μέγιστη ώση ανόδου	T_ZERO		1 774,4	250	
737700	ICAO_B	4	6	Άνοδος	Μέγιστη ώση ανόδου	T_ZERO	5 500			

▼**M2**

ACFTID	Profile_ID (Προφίλ αναχώρησης)	Μήκος καλυπτόμενης διαδρομής	Αριθμός σταδίου	Είδος σταδίου	Μέγεθος ώσης	Flap_ID (Θέση πτερυγίων καμπυλότητας)	Οροφή ανόδου (ft)	Ρυθμός ανόδου (ft/min)	Διακριβωμένη ταχύτητα αέρα στην οροφή ανόδου (kt)	Ποσοστό επιτάχυνσης (%)
737700	ICAO_B	4	7	Άνοδος	Μέγιστη ώση ανόδου	T_ZERO	7 500			
737700	ICAO_B	4	8	Άνοδος	Μέγιστη ώση ανόδου	T_ZERO	10 000			
737700	ICAO_B	5	1	Απογείωση	Μέγιστη ώση απογείωσης	T_5				
737700	ICAO_B	5	2	Άνοδος	Μέγιστη ώση απογείωσης	T_5	1 000			
737700	ICAO_B	5	3	Επιτάχυνση	Μέγιστη ώση απογείωσης	T_01		1 438,9	211,5	
737700	ICAO_B	5	4	Άνοδος	Μέγιστη ώση ανόδου	T_ZERO	3 000			
737700	ICAO_B	5	5	Επιτάχυνση	Μέγιστη ώση ανόδου	T_ZERO		1 579,6	250	
737700	ICAO_B	5	6	Άνοδος	Μέγιστη ώση ανόδου	T_ZERO	5 500			
737700	ICAO_B	5	7	Άνοδος	Μέγιστη ώση ανόδου	T_ZERO	7 500			
737700	ICAO_B	5	8	Άνοδος	Μέγιστη ώση ανόδου	T_ZERO	10 000			
737700	ICAO_B	6	1	Απογείωση	Μέγιστη ώση απογείωσης	T_5				
737700	ICAO_B	6	2	Άνοδος	Μέγιστη ώση απογείωσης	T_5	1 000			
737700	ICAO_B	6	3	Επιτάχυνση	Μέγιστη ώση απογείωσης	T_01		1 437,2	211,5	
737700	ICAO_B	6	4	Άνοδος	Μέγιστη ώση ανόδου	T_ZERO	3 000			
737700	ICAO_B	6	5	Επιτάχυνση	Μέγιστη ώση ανόδου	T_ZERO		1 579,1	250	
737700	ICAO_B	6	6	Άνοδος	Μέγιστη ώση ανόδου	T_ZERO	5 500			
737700	ICAO_B	6	7	Άνοδος	Μέγιστη ώση ανόδου	T_ZERO	7 500			
737700	ICAO_B	6	8	Άνοδος	Μέγιστη ώση ανόδου	T_ZERO	10 000			
737800	DEFAULT	1	1	Απογείωση	Μέγιστη ώση απογείωσης	T_05				
737800	DEFAULT	1	2	Άνοδος	Μέγιστη ώση απογείωσης	T_05	1 000			
737800	DEFAULT	1	3	Επιτάχυνση	Μέγιστη ώση απογείωσης	T_05		1 885,7	181,7	
737800	DEFAULT	1	4	Επιτάχυνση	Μέγιστη ώση απογείωσης	T_01		2 112	204,8	
737800	DEFAULT	1	5	Άνοδος	Μέγιστη ώση απογείωσης	T_00	2 040			

▼**M2**

ACFTID	Profile_ID (Προφίλ αναχώρησης)	Μήκος καλυπτόμενης διαδρομής	Αριθμός σταδίου	Είδος σταδίου	Μέγεθος ώσης	Flap_ID (Θέση πτερυγίων καμπυλότητας)	Οροφή ανόδου (ft)	Ρυθμός ανόδου (ft/min)	Διακριβωμένη ταχύτητα αέρα στην οροφή ανόδου (kt)	Ποσοστό επιτάχυνσης (%)
737800	DEFAULT	1	6	Άνοδος	Μέγιστη ώση ανόδου	T_00	3 000			
737800	DEFAULT	1	7	Επιτάχυνση	Μέγιστη ώση ανόδου	T_00		1 891,3	250	
737800	DEFAULT	1	8	Άνοδος	Μέγιστη ώση ανόδου	T_00	5 500			
737800	DEFAULT	1	9	Άνοδος	Μέγιστη ώση ανόδου	T_00	7 500			
737800	DEFAULT	1	10	Άνοδος	Μέγιστη ώση ανόδου	T_00	10 000			
737800	DEFAULT	2	1	Απογείωση	Μέγιστη ώση απογείωσης	T_05				
737800	DEFAULT	2	2	Άνοδος	Μέγιστη ώση απογείωσης	T_05	1 000			
737800	DEFAULT	2	3	Επιτάχυνση	Μέγιστη ώση απογείωσης	T_05		1 786,4	183,9	
737800	DEFAULT	2	4	Επιτάχυνση	Μέγιστη ώση απογείωσης	T_01		2 016,2	208	
737800	DEFAULT	2	5	Άνοδος	Μέγιστη ώση απογείωσης	T_00	2 000			
737800	DEFAULT	2	6	Άνοδος	Μέγιστη ώση ανόδου	T_00	3 000			
737800	DEFAULT	2	7	Επιτάχυνση	Μέγιστη ώση ανόδου	T_00		1 793,4	250	
737800	DEFAULT	2	8	Άνοδος	Μέγιστη ώση ανόδου	T_00	5 500			
737800	DEFAULT	2	9	Άνοδος	Μέγιστη ώση ανόδου	T_00	7 500			
737800	DEFAULT	2	10	Άνοδος	Μέγιστη ώση ανόδου	T_00	10 000			
737800	DEFAULT	3	1	Απογείωση	Μέγιστη ώση απογείωσης	T_05				
737800	DEFAULT	3	2	Άνοδος	Μέγιστη ώση απογείωσης	T_05	1 000			
737800	DEFAULT	3	3	Επιτάχυνση	Μέγιστη ώση απογείωσης	T_05		1 707,7	186,2	
737800	DEFAULT	3	4	Επιτάχυνση	Μέγιστη ώση απογείωσης	T_05		1 922	211,2	
737800	DEFAULT	3	5	Άνοδος	Μέγιστη ώση απογείωσης	T_00	1 960			
737800	DEFAULT	3	6	Άνοδος	Μέγιστη ώση ανόδου	T_00	3 000			
737800	DEFAULT	3	7	Επιτάχυνση	Μέγιστη ώση ανόδου	T_00		1 705,3	250	
737800	DEFAULT	3	8	Άνοδος	Μέγιστη ώση ανόδου	T_00	5 500			

▼**M2**

ACFTID	Profile_ID (Προφίλ αναχώρησης)	Μήκος καλυπτόμενης διαδρομής	Αριθμός σταδίου	Είδος σταδίου	Μέγεθος ώσης	Flap_ID (Θέση πτερυγίων καμπυλότητας)	Οροφή ανόδου (ft)	Ρυθμός ανόδου (ft/min)	Διακριβωμένη ταχύτητα αέρα στην οροφή ανόδου (kt)	Ποσοστό επιτάχυνσης (%)
737800	DEFAULT	3	9	Άνοδος	Μέγιστη ώση ανόδου	T_00	7 500			
737800	DEFAULT	3	10	Άνοδος	Μέγιστη ώση ανόδου	T_00	10 000			
737800	DEFAULT	4	1	Απογείωση	Μέγιστη ώση απογείωσης	T_05				
737800	DEFAULT	4	2	Άνοδος	Μέγιστη ώση απογείωσης	T_05	1 000			
737800	DEFAULT	4	3	Επιτάχυνση	Μέγιστη ώση απογείωσης	T_05		1 576,6	189,6	
737800	DEFAULT	4	4	Επιτάχυνση	Μέγιστη ώση απογείωσης	T_01		1 766,9	216,2	
737800	DEFAULT	4	5	Άνοδος	Μέγιστη ώση απογείωσης	T_00	1 880			
737800	DEFAULT	4	6	Άνοδος	Μέγιστη ώση ανόδου	T_00	3 000			
737800	DEFAULT	4	7	Επιτάχυνση	Μέγιστη ώση ανόδου	T_00		1 546,5	250	
737800	DEFAULT	4	8	Άνοδος	Μέγιστη ώση ανόδου	T_00	5 500			
737800	DEFAULT	4	9	Άνοδος	Μέγιστη ώση ανόδου	T_00	7 500			
737800	DEFAULT	4	10	Άνοδος	Μέγιστη ώση ανόδου	T_00	10 000			
737800	DEFAULT	5	1	Απογείωση	Μέγιστη ώση απογείωσης	T_05				
737800	DEFAULT	5	2	Άνοδος	Μέγιστη ώση απογείωσης	T_05	1 000			
737800	DEFAULT	5	3	Επιτάχυνση	Μέγιστη ώση απογείωσης	T_05		1 444,9	192,9	
737800	DEFAULT	5	4	Επιτάχυνση	Μέγιστη ώση απογείωσης	T_01		1 628,6	220,7	
737800	DEFAULT	5	5	Άνοδος	Μέγιστη ώση απογείωσης	T_00	1 811			
737800	DEFAULT	5	6	Άνοδος	Μέγιστη ώση ανόδου	T_00	3 000			
737800	DEFAULT	5	7	Επιτάχυνση	Μέγιστη ώση ανόδου	T_00		1 412,2	250	
737800	DEFAULT	5	8	Άνοδος	Μέγιστη ώση ανόδου	T_00	5 500			
737800	DEFAULT	5	9	Άνοδος	Μέγιστη ώση ανόδου	T_00	7 500			
737800	DEFAULT	5	10	Άνοδος	Μέγιστη ώση ανόδου	T_00	10 000			
737800	DEFAULT	6	1	Απογείωση	Μέγιστη ώση απογείωσης	T_05				

▼**M2**

ACFTID	Profile_ID (Προφίλ αναχώρησης)	Μήκος καλυπτόμενης διαδρομής	Αριθμός σταδίου	Είδος σταδίου	Μέγεθος ώσης	Flap_ID (Θέση πτερυγίων καμπυλότητας)	Οροφή ανόδου (ft)	Ρυθμός ανόδου (ft/min)	Διακριβωμένη ταχύτητα αέρα στην οροφή ανόδου (kt)	Ποσοστό επιτάχυνσης (%)
737800	DEFAULT	6	2	Άνοδος	Μέγιστη ώση απογείωσης	T_05	1 000			
737800	DEFAULT	6	3	Επιτάχυνση	Μέγιστη ώση απογείωσης	T_05		1 400	194,4	
737800	DEFAULT	6	4	Επιτάχυνση	Μέγιστη ώση απογείωσης	T_01		1 575,4	222,7	
737800	DEFAULT	6	5	Άνοδος	Μέγιστη ώση απογείωσης	T_00	1 785			
737800	DEFAULT	6	6	Άνοδος	Μέγιστη ώση ανόδου	T_00	3 000			
737800	DEFAULT	6	7	Επιτάχυνση	Μέγιστη ώση ανόδου	T_00		1 357,5	250	
737800	DEFAULT	6	8	Άνοδος	Μέγιστη ώση ανόδου	T_00	5 500			
737800	DEFAULT	6	9	Άνοδος	Μέγιστη ώση ανόδου	T_00	7 500			
737800	DEFAULT	6	10	Άνοδος	Μέγιστη ώση ανόδου	T_00	10 000			
737800	ICAO_A	1	1	Απογείωση	Μέγιστη ώση απογείωσης	T_05				
737800	ICAO_A	1	2	Άνοδος	Μέγιστη ώση απογείωσης	T_05	1 500			
737800	ICAO_A	1	3	Άνοδος	Μέγιστη ώση ανόδου	T_05	3 000			
737800	ICAO_A	1	4	Επιτάχυνση	Μέγιστη ώση ανόδου	T_05		1 449,4	177,2	
737800	ICAO_A	1	5	Επιτάχυνση	Μέγιστη ώση ανόδου	T_01		1 663,3	204,6	
737800	ICAO_A	1	6	Άνοδος	Μέγιστη ώση ανόδου	T_00	3 807			
737800	ICAO_A	1	7	Επιτάχυνση	Μέγιστη ώση ανόδου	T_00		1 896,8	250	
737800	ICAO_A	1	8	Άνοδος	Μέγιστη ώση ανόδου	T_00	5 500			
737800	ICAO_A	1	9	Άνοδος	Μέγιστη ώση ανόδου	T_00	7 500			
737800	ICAO_A	1	10	Άνοδος	Μέγιστη ώση ανόδου	T_00	10 000			
737800	ICAO_A	2	1	Απογείωση	Μέγιστη ώση απογείωσης	T_05				
737800	ICAO_A	2	2	Άνοδος	Μέγιστη ώση απογείωσης	T_05	1 500			
737800	ICAO_A	2	3	Άνοδος	Μέγιστη ώση ανόδου	T_05	3 000			
737800	ICAO_A	2	4	Επιτάχυνση	Μέγιστη ώση ανόδου	T_05		1 372,3	179,6	
737800	ICAO_A	2	5	Επιτάχυνση	Μέγιστη ώση ανόδου	T_01		1 579,3	207,8	

▼**M2**

ACFTID	Profile_ID (Προφίλ αναχώρησης)	Μήκος καλυπτόμενης διαδρομής	Αριθμός σταδίου	Είδος σταδίου	Μέγεθος ώσης	Flap_ID (Θέση πτερυγίων καμπυλότητας)	Οροφή ανόδου (ft)	Ρυθμός ανόδου (ft/min)	Διακριβωμένη ταχύτητα αέρα στην οροφή ανόδου (kt)	Ποσοστό επιτάχυνσης (%)
737800	ICAO_A	2	6	Άνοδος	Μέγιστη ώση ανόδου	T_00	3 772			
737800	ICAO_A	2	7	Επιτάχυνση	Μέγιστη ώση ανόδου	T_00		1 804,3	250	
737800	ICAO_A	2	8	Άνοδος	Μέγιστη ώση ανόδου	T_00	5 500			
737800	ICAO_A	2	9	Άνοδος	Μέγιστη ώση ανόδου	T_00	7 500			
737800	ICAO_A	2	10	Άνοδος	Μέγιστη ώση ανόδου	T_00	10 000			
737800	ICAO_A	3	1	Απογείωση	Μέγιστη ώση απογείωσης	T_05				
737800	ICAO_A	3	2	Άνοδος	Μέγιστη ώση απογείωσης	T_05	1 500			
737800	ICAO_A	3	3	Άνοδος	Μέγιστη ώση ανόδου	T_05	3 000			
737800	ICAO_A	3	4	Επιτάχυνση	Μέγιστη ώση ανόδου	T_05		1 297	182,1	
737800	ICAO_A	3	5	Επιτάχυνση	Μέγιστη ώση ανόδου	T_01		1 496,9	211	
737800	ICAO_A	3	6	Άνοδος	Μέγιστη ώση ανόδου	T_00	3 737			
737800	ICAO_A	3	7	Επιτάχυνση	Μέγιστη ώση ανόδου	T_00		1 701,8	250	
737800	ICAO_A	3	8	Άνοδος	Μέγιστη ώση ανόδου	T_00	5 500			
737800	ICAO_A	3	9	Άνοδος	Μέγιστη ώση ανόδου	T_00	7 500			
737800	ICAO_A	3	10	Άνοδος	Μέγιστη ώση ανόδου	T_00	10 000			
737800	ICAO_A	4	1	Απογείωση	Μέγιστη ώση απογείωσης	T_05				
737800	ICAO_A	4	2	Άνοδος	Μέγιστη ώση απογείωσης	T_05	1 500			
737800	ICAO_A	4	3	Άνοδος	Μέγιστη ώση ανόδου	T_05	3 000			
737800	ICAO_A	4	4	Επιτάχυνση	Μέγιστη ώση ανόδου	T_05		1 194,2	185,8	
737800	ICAO_A	4	5	Επιτάχυνση	Μέγιστη ώση ανόδου	T_01		1 352,1	214,8	
737800	ICAO_A	4	6	Επιτάχυνση	Μέγιστη ώση ανόδου	T_00		1 548,2	250	
737800	ICAO_A	4	7	Άνοδος	Μέγιστη ώση ανόδου	T_00	5 500			
737800	ICAO_A	4	8	Άνοδος	Μέγιστη ώση ανόδου	T_00	7 500			
737800	ICAO_A	4	9	Άνοδος	Μέγιστη ώση ανόδου	T_00	10 000			
737800	ICAO_A	5	1	Απογείωση	Μέγιστη ώση απογείωσης	T_05				

▼**M2**

ACFTID	Profile_ID (Προφίλ αναχώρησης)	Μήκος καλυπτόμενης διαδρομής	Αριθμός σταδίου	Είδος σταδίου	Μέγεθος ώσης	Flap_ID (Θέση πτερυγίων καμπυλότητας)	Οροφή ανόδου (ft)	Ρυθμός ανόδου (ft/min)	Διακριβωμένη ταχύτητα αέρα στην οροφή ανόδου (kt)	Ποσοστό επιτάχυνσης (%)
737800	ICAO_A	5	2	Άνοδος	Μέγιστη ώση απογείωσης	T_05	1 500			
737800	ICAO_A	5	3	Άνοδος	Μέγιστη ώση ανόδου	T_05	3 000			
737800	ICAO_A	5	4	Επιτάχυνση	Μέγιστη ώση ανόδου	T_05		1 078,9	189,4	
737800	ICAO_A	5	5	Επιτάχυνση	Μέγιστη ώση ανόδου	T_01		1 233,3	217,4	
737800	ICAO_A	5	6	Επιτάχυνση	Μέγιστη ώση ανόδου	T_00		1 403,6	250	
737800	ICAO_A	5	7	Άνοδος	Μέγιστη ώση ανόδου	T_00	5 500			
737800	ICAO_A	5	8	Άνοδος	Μέγιστη ώση ανόδου	T_00	7 500			
737800	ICAO_A	5	9	Άνοδος	Μέγιστη ώση ανόδου	T_00	10 000			
737800	ICAO_A	6	1	Απογείωση	Μέγιστη ώση απογείωσης	T_05				
737800	ICAO_A	6	2	Άνοδος	Μέγιστη ώση απογείωσης	T_05	1 500			
737800	ICAO_A	6	3	Άνοδος	Μέγιστη ώση ανόδου	T_05	3 000			
737800	ICAO_A	6	4	Επιτάχυνση	Μέγιστη ώση ανόδου	T_05		1 037,8	190,9	
737800	ICAO_A	6	5	Επιτάχυνση	Μέγιστη ώση ανόδου	T_01		1 182,7	218,6	
737800	ICAO_A	6	6	Επιτάχυνση	Μέγιστη ώση ανόδου	T_00		1 349,5	250	
737800	ICAO_A	6	7	Άνοδος	Μέγιστη ώση ανόδου	T_00	5 500			
737800	ICAO_A	6	8	Άνοδος	Μέγιστη ώση ανόδου	T_00	7 500			
737800	ICAO_A	6	9	Άνοδος	Μέγιστη ώση ανόδου	T_00	10 000			
737800	ICAO_B	1	1	Απογείωση	Μέγιστη ώση απογείωσης	T_05				
737800	ICAO_B	1	2	Άνοδος	Μέγιστη ώση απογείωσης	T_05	1 000			
737800	ICAO_B	1	3	Επιτάχυνση	Μέγιστη ώση απογείωσης	T_05		1 885,7	181,7	
737800	ICAO_B	1	4	Επιτάχυνση	Μέγιστη ώση απογείωσης	T_01		2 112	204,8	
737800	ICAO_B	1	5	Άνοδος	Μέγιστη ώση απογείωσης	T_00	2 040			
737800	ICAO_B	1	6	Άνοδος	Μέγιστη ώση ανόδου	T_00	3 000			
737800	ICAO_B	1	7	Επιτάχυνση	Μέγιστη ώση ανόδου	T_00		1 891,3	250	

▼**M2**

ACFTID	Profile_ID (Προφίλ αναχώρησης)	Μήκος καλυπτόμενης διαδρομής	Αριθμός σταδίου	Είδος σταδίου	Μέγεθος ώσης	Flap_ID (Θέση πτερυγίων καμπυλότητας)	Οροφή ανόδου (ft)	Ρυθμός ανόδου (ft/min)	Διακριβωμένη ταχύτητα αέρα στην οροφή ανόδου (kt)	Ποσοστό επιτάχυνσης (%)
737800	ICAO_B	1	8	Άνοδος	Μέγιστη ώση ανόδου	T_00	5 500			
737800	ICAO_B	1	9	Άνοδος	Μέγιστη ώση ανόδου	T_00	7 500			
737800	ICAO_B	1	10	Άνοδος	Μέγιστη ώση ανόδου	T_00	10 000			
737800	ICAO_B	2	1	Απογείωση	Μέγιστη ώση απογείωσης	T_05				
737800	ICAO_B	2	2	Άνοδος	Μέγιστη ώση απογείωσης	T_05	1 000			
737800	ICAO_B	2	3	Επιτάχυνση	Μέγιστη ώση απογείωσης	T_05		1 786,4	183,9	
737800	ICAO_B	2	4	Επιτάχυνση	Μέγιστη ώση απογείωσης	T_01		2 016,2	208	
737800	ICAO_B	2	5	Άνοδος	Μέγιστη ώση απογείωσης	T_00	2 000			
737800	ICAO_B	2	6	Άνοδος	Μέγιστη ώση ανόδου	T_00	3 000			
737800	ICAO_B	2	7	Επιτάχυνση	Μέγιστη ώση ανόδου	T_00		1 793,4	250	
737800	ICAO_B	2	8	Άνοδος	Μέγιστη ώση ανόδου	T_00	5 500			
737800	ICAO_B	2	9	Άνοδος	Μέγιστη ώση ανόδου	T_00	7 500			
737800	ICAO_B	2	10	Άνοδος	Μέγιστη ώση ανόδου	T_00	10 000			
737800	ICAO_B	3	1	Απογείωση	Μέγιστη ώση απογείωσης	T_05				
737800	ICAO_B	3	2	Άνοδος	Μέγιστη ώση απογείωσης	T_05	1 000			
737800	ICAO_B	3	3	Επιτάχυνση	Μέγιστη ώση απογείωσης	T_05		1 707,7	186,2	
737800	ICAO_B	3	4	Επιτάχυνση	Μέγιστη ώση απογείωσης	T_05		1 922	211,2	
737800	ICAO_B	3	5	Άνοδος	Μέγιστη ώση απογείωσης	T_00	1 960			
737800	ICAO_B	3	6	Άνοδος	Μέγιστη ώση ανόδου	T_00	3 000			
737800	ICAO_B	3	7	Επιτάχυνση	Μέγιστη ώση ανόδου	T_00		1 705,3	250	
737800	ICAO_B	3	8	Άνοδος	Μέγιστη ώση ανόδου	T_00	5 500			
737800	ICAO_B	3	9	Άνοδος	Μέγιστη ώση ανόδου	T_00	7 500			
737800	ICAO_B	3	10	Άνοδος	Μέγιστη ώση ανόδου	T_00	10 000			

▼**M2**

ACFTID	Profile_ID (Προφίλ αναχώρησης)	Μήκος καλυπτόμενης διαδρομής	Αριθμός σταδίου	Είδος σταδίου	Μέγεθος ώσης	Flap_ID (Θέση πτερυγίων καμπυλότητας)	Οροφή ανόδου (ft)	Ρυθμός ανόδου (ft/min)	Διακριβωμένη ταχύτητα αέρα στην οροφή ανόδου (kt)	Ποσοστό επιτάχυνσης (%)
737800	ICAO_B	4	1	Απογείωση	Μέγιστη ώση απογείωσης	T_05				
737800	ICAO_B	4	2	Άνοδος	Μέγιστη ώση απογείωσης	T_05	1 000			
737800	ICAO_B	4	3	Επιτάχυνση	Μέγιστη ώση απογείωσης	T_05		1 576,6	189,6	
737800	ICAO_B	4	4	Επιτάχυνση	Μέγιστη ώση απογείωσης	T_01		1 766,9	216,2	
737800	ICAO_B	4	5	Άνοδος	Μέγιστη ώση απογείωσης	T_00	1 880			
737800	ICAO_B	4	6	Άνοδος	Μέγιστη ώση ανόδου	T_00	3 000			
737800	ICAO_B	4	7	Επιτάχυνση	Μέγιστη ώση ανόδου	T_00		1 546,5	250	
737800	ICAO_B	4	8	Άνοδος	Μέγιστη ώση ανόδου	T_00	5 500			
737800	ICAO_B	4	9	Άνοδος	Μέγιστη ώση ανόδου	T_00	7 500			
737800	ICAO_B	4	10	Άνοδος	Μέγιστη ώση ανόδου	T_00	10 000			
737800	ICAO_B	5	1	Απογείωση	Μέγιστη ώση απογείωσης	T_05				
737800	ICAO_B	5	2	Άνοδος	Μέγιστη ώση απογείωσης	T_05	1 000			
737800	ICAO_B	5	3	Επιτάχυνση	Μέγιστη ώση απογείωσης	T_05		1 444,9	192,9	
737800	ICAO_B	5	4	Επιτάχυνση	Μέγιστη ώση απογείωσης	T_01		1 628,6	220,7	
737800	ICAO_B	5	5	Άνοδος	Μέγιστη ώση απογείωσης	T_00	1 811			
737800	ICAO_B	5	6	Άνοδος	Μέγιστη ώση ανόδου	T_00	3 000			
737800	ICAO_B	5	7	Επιτάχυνση	Μέγιστη ώση ανόδου	T_00		1 412,2	250	
737800	ICAO_B	5	8	Άνοδος	Μέγιστη ώση ανόδου	T_00	5 500			
737800	ICAO_B	5	9	Άνοδος	Μέγιστη ώση ανόδου	T_00	7 500			
737800	ICAO_B	5	10	Άνοδος	Μέγιστη ώση ανόδου	T_00	10 000			
737800	ICAO_B	6	1	Απογείωση	Μέγιστη ώση απογείωσης	T_05				
737800	ICAO_B	6	2	Άνοδος	Μέγιστη ώση απογείωσης	T_05	1 000			

▼**M2**

ACFTID	Profile_ID (Προφίλ αναχώρησης)	Μήκος καλυπτόμενης διαδρομής	Αριθμός σταδίου	Είδος σταδίου	Μέγεθος ώσης	Flap_ID (Θέση πτερυγίων καμπυλότητας)	Οροφή ανόδου (ft)	Ρυθμός ανόδου (ft/min)	Διακριβωμένη ταχύτητα αέρα στην οροφή ανόδου (kt)	Ποσοστό επιτάχυνσης (%)
737800	ICAO_B	6	3	Επιτάχυνση	Μέγιστη ώση απογείωσης	T_05		1 400	194,4	
737800	ICAO_B	6	4	Επιτάχυνση	Μέγιστη ώση απογείωσης	T_01		1 575,4	222,7	
737800	ICAO_B	6	5	Άνοδος	Μέγιστη ώση απογείωσης	T_00	1 785			
737800	ICAO_B	6	6	Άνοδος	Μέγιστη ώση ανόδου	T_00	3 000			
737800	ICAO_B	6	7	Επιτάχυνση	Μέγιστη ώση ανόδου	T_00		1 357,5	250	
737800	ICAO_B	6	8	Άνοδος	Μέγιστη ώση ανόδου	T_00	5 500			
737800	ICAO_B	6	9	Άνοδος	Μέγιστη ώση ανόδου	T_00	7 500			
737800	ICAO_B	6	10	Άνοδος	Μέγιστη ώση ανόδου	T_00	10 000			
737D17	DEFAULT	1	1	Απογείωση	Μέγιστη ώση απογείωσης	5				
737D17	DEFAULT	1	2	Άνοδος	Μέγιστη ώση απογείωσης	5	1 000			
737D17	DEFAULT	1	3	Επιτάχυνση	Μέγιστη ώση απογείωσης	5		2 279	152	
737D17	DEFAULT	1	4	Επιτάχυνση	Μέγιστη ώση απογείωσης	INT		1 709	177	
737D17	DEFAULT	1	5	Επιτάχυνση	Μέγιστη ώση ανόδου	ZERO		1 000	210	
737D17	DEFAULT	1	6	Άνοδος	Μέγιστη ώση ανόδου	ZERO	3 000			
737D17	DEFAULT	1	7	Επιτάχυνση	Μέγιστη ώση ανόδου	ZERO		1 000	250	
737D17	DEFAULT	1	8	Άνοδος	Μέγιστη ώση ανόδου	ZERO	5 500			
737D17	DEFAULT	1	9	Άνοδος	Μέγιστη ώση ανόδου	ZERO	7 500			
737D17	DEFAULT	1	10	Άνοδος	Μέγιστη ώση ανόδου	ZERO	10 000			
737D17	DEFAULT	2	1	Απογείωση	Μέγιστη ώση απογείωσης	5				
737D17	DEFAULT	2	2	Άνοδος	Μέγιστη ώση απογείωσης	5	1 000			
737D17	DEFAULT	2	3	Επιτάχυνση	Μέγιστη ώση απογείωσης	5		2 155	156	
737D17	DEFAULT	2	4	Επιτάχυνση	Μέγιστη ώση απογείωσης	INT		1 616	181	
737D17	DEFAULT	2	5	Επιτάχυνση	Μέγιστη ώση ανόδου	ZERO		1 000	210	

▼**M2**

ACFTID	Profile_ID (Προφίλ αναχώρησης)	Μήκος καλυπτόμενης διαδρομής	Αριθμός σταδίου	Είδος σταδίου	Μέγεθος ώσης	Flap_ID (Θέση πτερυγίων καμπυλότητας)	Οροφή ανόδου (ft)	Ρυθμός ανόδου (ft/min)	Διακριβωμένη ταχύτητα αέρα στην οροφή ανόδου (kt)	Ποσοστό επιτάχυνσης (%)
737D17	DEFAULT	2	6	Άνοδος	Μέγιστη ώση ανόδου	ZERO	3 000			
737D17	DEFAULT	2	7	Επιτάχυνση	Μέγιστη ώση ανόδου	ZERO		1 000	250	
737D17	DEFAULT	2	8	Άνοδος	Μέγιστη ώση ανόδου	ZERO	5 500			
737D17	DEFAULT	2	9	Άνοδος	Μέγιστη ώση ανόδου	ZERO	7 500			
737D17	DEFAULT	2	10	Άνοδος	Μέγιστη ώση ανόδου	ZERO	10 000			
737D17	DEFAULT	3	1	Απογείωση	Μέγιστη ώση απογείωσης	5				
737D17	DEFAULT	3	2	Άνοδος	Μέγιστη ώση απογείωσης	5	1 000			
737D17	DEFAULT	3	3	Επιτάχυνση	Μέγιστη ώση απογείωσης	5		2 041	160	
737D17	DEFAULT	3	4	Επιτάχυνση	Μέγιστη ώση απογείωσης	INT		1 531	185	
737D17	DEFAULT	3	5	Επιτάχυνση	Μέγιστη ώση ανόδου	ZERO		1 000	210	
737D17	DEFAULT	3	6	Άνοδος	Μέγιστη ώση ανόδου	ZERO	3 000			
737D17	DEFAULT	3	7	Επιτάχυνση	Μέγιστη ώση ανόδου	ZERO		1 000	250	
737D17	DEFAULT	3	8	Άνοδος	Μέγιστη ώση ανόδου	ZERO	5 500			
737D17	DEFAULT	3	9	Άνοδος	Μέγιστη ώση ανόδου	ZERO	7 500			
737D17	DEFAULT	3	10	Άνοδος	Μέγιστη ώση ανόδου	ZERO	10 000			
737D17	DEFAULT	4	1	Απογείωση	Μέγιστη ώση απογείωσης	5				
737D17	DEFAULT	4	2	Άνοδος	Μέγιστη ώση απογείωσης	5	1 000			
737D17	DEFAULT	4	3	Επιτάχυνση	Μέγιστη ώση απογείωσης	5		1 935	163	
737D17	DEFAULT	4	4	Επιτάχυνση	Μέγιστη ώση απογείωσης	INT		1 452	188	
737D17	DEFAULT	4	5	Επιτάχυνση	Μέγιστη ώση ανόδου	ZERO		1 000	210	
737D17	DEFAULT	4	6	Άνοδος	Μέγιστη ώση ανόδου	ZERO	3 000			
737D17	DEFAULT	4	7	Επιτάχυνση	Μέγιστη ώση ανόδου	ZERO		1 000	250	
737D17	DEFAULT	4	8	Άνοδος	Μέγιστη ώση ανόδου	ZERO	5 500			
737D17	DEFAULT	4	9	Άνοδος	Μέγιστη ώση ανόδου	ZERO	7 500			

▼**M2**

ACFTID	Profile_ID (Προφίλ αναχώρησης)	Μήκος καλυπτόμενης διαδρομής	Αριθμός σταδίου	Είδος σταδίου	Μέγεθος ώσης	Flap_ID (Θέση πτερυγίων καμπυλότητας)	Οροφή ανόδου (ft)	Ρυθμός ανόδου (ft/min)	Διακριβωμένη ταχύτητα αέρα στην οροφή ανόδου (kt)	Ποσοστό επιτάχυνσης (%)
737D17	DEFAULT	4	10	Άνοδος	Μέγιστη ώση ανόδου	ZERO	10 000			
737N17	DEFAULT	1	1	Απογείωση	Μέγιστη ώση απογείωσης	5				
737N17	DEFAULT	1	2	Άνοδος	Μέγιστη ώση απογείωσης	5	1 000			
737N17	DEFAULT	1	3	Επιτάχυνση	Μέγιστη ώση απογείωσης	5		2 279	152	
737N17	DEFAULT	1	4	Επιτάχυνση	Μέγιστη ώση απογείωσης	INT		1 709	177	
737N17	DEFAULT	1	5	Επιτάχυνση	Μέγιστη ώση ανόδου	ZERO		1 000	210	
737N17	DEFAULT	1	6	Άνοδος	Μέγιστη ώση ανόδου	ZERO	3 000			
737N17	DEFAULT	1	7	Επιτάχυνση	Μέγιστη ώση ανόδου	ZERO		1 000	250	
737N17	DEFAULT	1	8	Άνοδος	Μέγιστη ώση ανόδου	ZERO	5 500			
737N17	DEFAULT	1	9	Άνοδος	Μέγιστη ώση ανόδου	ZERO	7 500			
737N17	DEFAULT	1	10	Άνοδος	Μέγιστη ώση ανόδου	ZERO	10 000			
737N17	DEFAULT	2	1	Απογείωση	Μέγιστη ώση απογείωσης	5				
737N17	DEFAULT	2	2	Άνοδος	Μέγιστη ώση απογείωσης	5	1 000			
737N17	DEFAULT	2	3	Επιτάχυνση	Μέγιστη ώση απογείωσης	5		2 155	156	
737N17	DEFAULT	2	4	Επιτάχυνση	Μέγιστη ώση απογείωσης	INT		1 616	181	
737N17	DEFAULT	2	5	Επιτάχυνση	Μέγιστη ώση ανόδου	ZERO		1 000	210	
737N17	DEFAULT	2	6	Άνοδος	Μέγιστη ώση ανόδου	ZERO	3 000			
737N17	DEFAULT	2	7	Επιτάχυνση	Μέγιστη ώση ανόδου	ZERO		1 000	250	
737N17	DEFAULT	2	8	Άνοδος	Μέγιστη ώση ανόδου	ZERO	5 500			
737N17	DEFAULT	2	9	Άνοδος	Μέγιστη ώση ανόδου	ZERO	7 500			
737N17	DEFAULT	2	10	Άνοδος	Μέγιστη ώση ανόδου	ZERO	10 000			
737N17	DEFAULT	3	1	Απογείωση	Μέγιστη ώση απογείωσης	5				
737N17	DEFAULT	3	2	Άνοδος	Μέγιστη ώση απογείωσης	5	1 000			

▼**M2**

ACFTID	Profile_ID (Προφίλ αναχώρησης)	Μήκος καλυπτόμενης διαδρομής	Αριθμός σταδίου	Είδος σταδίου	Μέγεθος ώσης	Flap_ID (Θέση πτερυγίων καμπυλότητας)	Οροφή ανόδου (ft)	Ρυθμός ανόδου (ft/min)	Διακριβωμένη ταχύτητα αέρα στην οροφή ανόδου (kt)	Ποσοστό επιτάχυνσης (%)
737N17	DEFAULT	3	3	Επιτάχυνση	Μέγιστη ώση απογείωσης	5		2 041	160	
737N17	DEFAULT	3	4	Επιτάχυνση	Μέγιστη ώση απογείωσης	INT		1 531	185	
737N17	DEFAULT	3	5	Επιτάχυνση	Μέγιστη ώση ανόδου	ZERO		1 000	210	
737N17	DEFAULT	3	6	Άνοδος	Μέγιστη ώση ανόδου	ZERO	3 000			
737N17	DEFAULT	3	7	Επιτάχυνση	Μέγιστη ώση ανόδου	ZERO		1 000	250	
737N17	DEFAULT	3	8	Άνοδος	Μέγιστη ώση ανόδου	ZERO	5 500			
737N17	DEFAULT	3	9	Άνοδος	Μέγιστη ώση ανόδου	ZERO	7 500			
737N17	DEFAULT	3	10	Άνοδος	Μέγιστη ώση ανόδου	ZERO	10 000			
737N17	DEFAULT	4	1	Απογείωση	Μέγιστη ώση απογείωσης	5				
737N17	DEFAULT	4	2	Άνοδος	Μέγιστη ώση απογείωσης	5	1 000			
737N17	DEFAULT	4	3	Επιτάχυνση	Μέγιστη ώση απογείωσης	5		1 935	163	
737N17	DEFAULT	4	4	Επιτάχυνση	Μέγιστη ώση απογείωσης	INT		1 452	188	
737N17	DEFAULT	4	5	Επιτάχυνση	Μέγιστη ώση ανόδου	ZERO		1 000	210	
737N17	DEFAULT	4	6	Άνοδος	Μέγιστη ώση ανόδου	ZERO	3 000			
737N17	DEFAULT	4	7	Επιτάχυνση	Μέγιστη ώση ανόδου	ZERO		1 000	250	
737N17	DEFAULT	4	8	Άνοδος	Μέγιστη ώση ανόδου	ZERO	5 500			
737N17	DEFAULT	4	9	Άνοδος	Μέγιστη ώση ανόδου	ZERO	7 500			
737N17	DEFAULT	4	10	Άνοδος	Μέγιστη ώση ανόδου	ZERO	10 000			
737N9	DEFAULT	1	1	Απογείωση	Μέγιστη ώση απογείωσης	5				
737N9	DEFAULT	1	2	Άνοδος	Μέγιστη ώση απογείωσης	5	1 000			
737N9	DEFAULT	1	3	Επιτάχυνση	Μέγιστη ώση απογείωσης	5		2 090	146	
737N9	DEFAULT	1	4	Επιτάχυνση	Μέγιστη ώση απογείωσης	INT		1 568	171	
737N9	DEFAULT	1	5	Επιτάχυνση	Μέγιστη ώση ανόδου	ZERO		1 000	210	

▼**M2**

ACFTID	Profile_ID (Προφίλ αναχώρησης)	Μήκος καλυπτόμενης διαδρομής	Αριθμός σταδίου	Είδος σταδίου	Μέγεθος ώσης	Flap_ID (Θέση πτερυγίων καμπυλότητας)	Οροφή ανόδου (ft)	Ρυθμός ανόδου (ft/min)	Διακριβωμένη ταχύτητα αέρα στην οροφή ανόδου (kt)	Ποσοστό επιτάχυνσης (%)
737N9	DEFAULT	1	6	Άνοδος	Μέγιστη ώση ανόδου	ZERO	3 000			
737N9	DEFAULT	1	7	Επιτάχυνση	Μέγιστη ώση ανόδου	ZERO		1 000	250	
737N9	DEFAULT	1	8	Άνοδος	Μέγιστη ώση ανόδου	ZERO	5 500			
737N9	DEFAULT	1	9	Άνοδος	Μέγιστη ώση ανόδου	ZERO	7 500			
737N9	DEFAULT	1	10	Άνοδος	Μέγιστη ώση ανόδου	ZERO	10 000			
737N9	DEFAULT	2	1	Απογείωση	Μέγιστη ώση απογείωσης	5				
737N9	DEFAULT	2	2	Άνοδος	Μέγιστη ώση απογείωσης	5	1 000			
737N9	DEFAULT	2	3	Επιτάχυνση	Μέγιστη ώση απογείωσης	5		2 014	149	
737N9	DEFAULT	2	4	Επιτάχυνση	Μέγιστη ώση απογείωσης	INT		1 511	174	
737N9	DEFAULT	2	5	Επιτάχυνση	Μέγιστη ώση ανόδου	ZERO		1 000	210	
737N9	DEFAULT	2	6	Άνοδος	Μέγιστη ώση ανόδου	ZERO	3 000			
737N9	DEFAULT	2	7	Επιτάχυνση	Μέγιστη ώση ανόδου	ZERO		1 000	250	
737N9	DEFAULT	2	8	Άνοδος	Μέγιστη ώση ανόδου	ZERO	5 500			
737N9	DEFAULT	2	9	Άνοδος	Μέγιστη ώση ανόδου	ZERO	7 500			
737N9	DEFAULT	2	10	Άνοδος	Μέγιστη ώση ανόδου	ZERO	10 000			
737N9	DEFAULT	3	1	Απογείωση	Μέγιστη ώση απογείωσης	5				
737N9	DEFAULT	3	2	Άνοδος	Μέγιστη ώση απογείωσης	5	1 000			
737N9	DEFAULT	3	3	Επιτάχυνση	Μέγιστη ώση απογείωσης	5		1 851	154	
737N9	DEFAULT	3	4	Επιτάχυνση	Μέγιστη ώση απογείωσης	INT		1 388	179	
737N9	DEFAULT	3	5	Επιτάχυνση	Μέγιστη ώση ανόδου	ZERO		1 000	210	
737N9	DEFAULT	3	6	Άνοδος	Μέγιστη ώση ανόδου	ZERO	3 000			
737N9	DEFAULT	3	7	Επιτάχυνση	Μέγιστη ώση ανόδου	ZERO		1 000	250	
737N9	DEFAULT	3	8	Άνοδος	Μέγιστη ώση ανόδου	ZERO	5 500			
737N9	DEFAULT	3	9	Άνοδος	Μέγιστη ώση ανόδου	ZERO	7 500			

▼**M2**

ACFTID	Profile_ID (Προφίλ αναχώρησης)	Μήκος καλυπτόμενης διαδρομής	Αριθμός σταδίου	Είδος σταδίου	Μέγεθος ώσης	Flap_ID (Θέση πτερυγίων καμπυλότητας)	Οροφή ανόδου (ft)	Ρυθμός ανόδου (ft/min)	Διακριβωμένη ταχύτητα αέρα στην οροφή ανόδου (kt)	Ποσοστό επιτάχυνσης (%)
737N9	DEFAULT	3	10	Άνοδος	Μέγιστη ώση ανόδου	ZERO	10 000			
737N9	DEFAULT	4	1	Απογείωση	Μέγιστη ώση απογείωσης	5				
737N9	DEFAULT	4	2	Άνοδος	Μέγιστη ώση απογείωσης	5	1 000			
737N9	DEFAULT	4	3	Επιτάχυνση	Μέγιστη ώση απογείωσης	5		1 685	160	
737N9	DEFAULT	4	4	Επιτάχυνση	Μέγιστη ώση απογείωσης	INT		1 264	185	
737N9	DEFAULT	4	5	Επιτάχυνση	Μέγιστη ώση ανόδου	ZERO		1 000	210	
737N9	DEFAULT	4	6	Άνοδος	Μέγιστη ώση ανόδου	ZERO	3 000			
737N9	DEFAULT	4	7	Επιτάχυνση	Μέγιστη ώση ανόδου	ZERO		1 000	250	
737N9	DEFAULT	4	8	Άνοδος	Μέγιστη ώση ανόδου	ZERO	5 500			
737N9	DEFAULT	4	9	Άνοδος	Μέγιστη ώση ανόδου	ZERO	7 500			
737N9	DEFAULT	4	10	Άνοδος	Μέγιστη ώση ανόδου	ZERO	10 000			
737QN	DEFAULT	1	1	Απογείωση	Μέγιστη ώση απογείωσης	5				
737QN	DEFAULT	1	2	Άνοδος	Μέγιστη ώση απογείωσης	5	1 000			
737QN	DEFAULT	1	3	Επιτάχυνση	Μέγιστη ώση απογείωσης	5		2 090	146	
737QN	DEFAULT	1	4	Επιτάχυνση	Μέγιστη ώση απογείωσης	INT		1 568	171	
737QN	DEFAULT	1	5	Επιτάχυνση	Μέγιστη ώση ανόδου	ZERO		1 000	210	
737QN	DEFAULT	1	6	Άνοδος	Μέγιστη ώση ανόδου	ZERO	3 000			
737QN	DEFAULT	1	7	Επιτάχυνση	Μέγιστη ώση ανόδου	ZERO		1 000	250	
737QN	DEFAULT	1	8	Άνοδος	Μέγιστη ώση ανόδου	ZERO	5 500			
737QN	DEFAULT	1	9	Άνοδος	Μέγιστη ώση ανόδου	ZERO	7 500			
737QN	DEFAULT	1	10	Άνοδος	Μέγιστη ώση ανόδου	ZERO	10 000			
737QN	DEFAULT	2	1	Απογείωση	Μέγιστη ώση απογείωσης	5				
737QN	DEFAULT	2	2	Άνοδος	Μέγιστη ώση απογείωσης	5	1 000			

▼**M2**

ACFTID	Profile_ID (Προφίλ αναχώρησης)	Μήκος καλυπτόμενης διαδρομής	Αριθμός σταδίου	Είδος σταδίου	Μέγεθος ώσης	Flap_ID (Θέση πτερυγίων καμπυλότητας)	Οροφή ανόδου (ft)	Ρυθμός ανόδου (ft/min)	Διακριβωμένη ταχύτητα αέρα στην οροφή ανόδου (kt)	Ποσοστό επιτάχυνσης (%)
737QN	DEFAULT	2	3	Επιτάχυνση	Μέγιστη ώση απογείωσης	5		2 014	149	
737QN	DEFAULT	2	4	Επιτάχυνση	Μέγιστη ώση απογείωσης	INT		1 511	174	
737QN	DEFAULT	2	5	Επιτάχυνση	Μέγιστη ώση ανόδου	ZERO		1 000	210	
737QN	DEFAULT	2	6	Άνοδος	Μέγιστη ώση ανόδου	ZERO	3 000			
737QN	DEFAULT	2	7	Επιτάχυνση	Μέγιστη ώση ανόδου	ZERO		1 000	250	
737QN	DEFAULT	2	8	Άνοδος	Μέγιστη ώση ανόδου	ZERO	5 500			
737QN	DEFAULT	2	9	Άνοδος	Μέγιστη ώση ανόδου	ZERO	7 500			
737QN	DEFAULT	2	10	Άνοδος	Μέγιστη ώση ανόδου	ZERO	10 000			
737QN	DEFAULT	3	1	Απογείωση	Μέγιστη ώση απογείωσης	5				
737QN	DEFAULT	3	2	Άνοδος	Μέγιστη ώση απογείωσης	5	1 000			
737QN	DEFAULT	3	3	Επιτάχυνση	Μέγιστη ώση απογείωσης	5		1 851	154	
737QN	DEFAULT	3	4	Επιτάχυνση	Μέγιστη ώση απογείωσης	INT		1 388	179	
737QN	DEFAULT	3	5	Επιτάχυνση	Μέγιστη ώση ανόδου	ZERO		1 000	210	
737QN	DEFAULT	3	6	Άνοδος	Μέγιστη ώση ανόδου	ZERO	3 000			
737QN	DEFAULT	3	7	Επιτάχυνση	Μέγιστη ώση ανόδου	ZERO		1 000	250	
737QN	DEFAULT	3	8	Άνοδος	Μέγιστη ώση ανόδου	ZERO	5 500			
737QN	DEFAULT	3	9	Άνοδος	Μέγιστη ώση ανόδου	ZERO	7 500			
737QN	DEFAULT	3	10	Άνοδος	Μέγιστη ώση ανόδου	ZERO	10 000			
737QN	DEFAULT	4	1	Απογείωση	Μέγιστη ώση απογείωσης	5				
737QN	DEFAULT	4	2	Άνοδος	Μέγιστη ώση απογείωσης	5	1 000			
737QN	DEFAULT	4	3	Επιτάχυνση	Μέγιστη ώση απογείωσης	5		1 685	160	
737QN	DEFAULT	4	4	Επιτάχυνση	Μέγιστη ώση απογείωσης	INT		1 264	185	
737QN	DEFAULT	4	5	Επιτάχυνση	Μέγιστη ώση ανόδου	ZERO		1 000	210	

▼**M2**

ACFTID	Profile_ID (Προφίλ αναχώρησης)	Μήκος καλυπτόμενης διαδρομής	Αριθμός σταδίου	Είδος σταδίου	Μέγεθος ώσης	Flap_ID (Θέση πτερυγίων καμπυλότητας)	Οροφή ανόδου (ft)	Ρυθμός ανόδου (ft/min)	Διακριβωμένη ταχύτητα αέρα στην οροφή ανόδου (kt)	Ποσοστό επιτάχυνσης (%)
737QN	DEFAULT	4	6	Άνοδος	Μέγιστη ώση ανόδου	ZERO	3 000			
737QN	DEFAULT	4	7	Επιτάχυνση	Μέγιστη ώση ανόδου	ZERO		1 000	250	
737QN	DEFAULT	4	8	Άνοδος	Μέγιστη ώση ανόδου	ZERO	5 500			
737QN	DEFAULT	4	9	Άνοδος	Μέγιστη ώση ανόδου	ZERO	7 500			
737QN	DEFAULT	4	10	Άνοδος	Μέγιστη ώση ανόδου	ZERO	10 000			
74710Q	DEFAULT	1	1	Απογείωση	Μέγιστη ώση απογείωσης	10				
74710Q	DEFAULT	1	2	Άνοδος	Μέγιστη ώση απογείωσης	10	1 000			
74710Q	DEFAULT	1	3	Επιτάχυνση	Μέγιστη ώση απογείωσης	10		2 071	176	
74710Q	DEFAULT	1	4	Επιτάχυνση	Μέγιστη ώση ανόδου	5		1 000	216	
74710Q	DEFAULT	1	5	Άνοδος	Μέγιστη ώση ανόδου	ZERO	3 000			
74710Q	DEFAULT	1	6	Επιτάχυνση	Μέγιστη ώση ανόδου	ZERO		1 000	250	
74710Q	DEFAULT	1	7	Άνοδος	Μέγιστη ώση ανόδου	ZERO	5 500			
74710Q	DEFAULT	1	8	Άνοδος	Μέγιστη ώση ανόδου	ZERO	7 500			
74710Q	DEFAULT	1	9	Άνοδος	Μέγιστη ώση ανόδου	ZERO	10 000			
74710Q	DEFAULT	2	1	Απογείωση	Μέγιστη ώση απογείωσης	10				
74710Q	DEFAULT	2	2	Άνοδος	Μέγιστη ώση απογείωσης	10	1 000			
74710Q	DEFAULT	2	3	Επιτάχυνση	Μέγιστη ώση απογείωσης	10		1 972	179	
74710Q	DEFAULT	2	4	Επιτάχυνση	Μέγιστη ώση ανόδου	5		1 000	219	
74710Q	DEFAULT	2	5	Άνοδος	Μέγιστη ώση ανόδου	ZERO	3 000			
74710Q	DEFAULT	2	6	Επιτάχυνση	Μέγιστη ώση ανόδου	ZERO		1 000	250	
74710Q	DEFAULT	2	7	Άνοδος	Μέγιστη ώση ανόδου	ZERO	5 500			
74710Q	DEFAULT	2	8	Άνοδος	Μέγιστη ώση ανόδου	ZERO	7 500			
74710Q	DEFAULT	2	9	Άνοδος	Μέγιστη ώση ανόδου	ZERO	10 000			
74710Q	DEFAULT	3	1	Απογείωση	Μέγιστη ώση απογείωσης	10				

▼**M2**

ACFTID	Profile_ID (Προφίλ αναχώρησης)	Μήκος καλυπτόμενης διαδρομής	Αριθμός σταδίου	Είδος σταδίου	Μέγεθος ώσης	Flap_ID (Θέση πτερυγίων καμπυλότητας)	Οροφή ανόδου (ft)	Ρυθμός ανόδου (ft/min)	Διακριβωμένη ταχύτητα αέρα στην οροφή ανόδου (kt)	Ποσοστό επιτάχυνσης (%)
74710Q	DEFAULT	3	2	Άνοδος	Μέγιστη ώση απογείωσης	10	1 000			
74710Q	DEFAULT	3	3	Επιτάχυνση	Μέγιστη ώση απογείωσης	10		1 856	183	
74710Q	DEFAULT	3	4	Επιτάχυνση	Μέγιστη ώση ανόδου	5		1 000	223	
74710Q	DEFAULT	3	5	Άνοδος	Μέγιστη ώση ανόδου	ZERO	3 000			
74710Q	DEFAULT	3	6	Επιτάχυνση	Μέγιστη ώση ανόδου	ZERO		1 000	250	
74710Q	DEFAULT	3	7	Άνοδος	Μέγιστη ώση ανόδου	ZERO	5 500			
74710Q	DEFAULT	3	8	Άνοδος	Μέγιστη ώση ανόδου	ZERO	7 500			
74710Q	DEFAULT	3	9	Άνοδος	Μέγιστη ώση ανόδου	ZERO	10 000			
74710Q	DEFAULT	4	1	Απογείωση	Μέγιστη ώση απογείωσης	10				
74710Q	DEFAULT	4	2	Άνοδος	Μέγιστη ώση απογείωσης	10	1 000			
74710Q	DEFAULT	4	3	Επιτάχυνση	Μέγιστη ώση απογείωσης	10		1 727	187	
74710Q	DEFAULT	4	4	Επιτάχυνση	Μέγιστη ώση ανόδου	5		1 000	227	
74710Q	DEFAULT	4	5	Άνοδος	Μέγιστη ώση ανόδου	ZERO	3 000			
74710Q	DEFAULT	4	6	Επιτάχυνση	Μέγιστη ώση ανόδου	ZERO		1 000	250	
74710Q	DEFAULT	4	7	Άνοδος	Μέγιστη ώση ανόδου	ZERO	5 500			
74710Q	DEFAULT	4	8	Άνοδος	Μέγιστη ώση ανόδου	ZERO	7 500			
74710Q	DEFAULT	4	9	Άνοδος	Μέγιστη ώση ανόδου	ZERO	10 000			
74710Q	DEFAULT	5	1	Απογείωση	Μέγιστη ώση απογείωσης	10				
74710Q	DEFAULT	5	2	Άνοδος	Μέγιστη ώση απογείωσης	10	1 000			
74710Q	DEFAULT	5	3	Επιτάχυνση	Μέγιστη ώση απογείωσης	10		1 445	198	
74710Q	DEFAULT	5	4	Επιτάχυνση	Μέγιστη ώση ανόδου	5		750	238	
74710Q	DEFAULT	5	5	Άνοδος	Μέγιστη ώση ανόδου	ZERO	3 000			

▼**M2**

ACFTID	Profile_ID (Προφίλ αναχώρησης)	Μήκος καλυπτόμενης διαδρομής	Αριθμός σταδίου	Είδος σταδίου	Μέγεθος ώσης	Flap_ID (Θέση πτερυγίων καμπυλότητας)	Οροφή ανόδου (ft)	Ρυθμός ανόδου (ft/min)	Διακριβωμένη ταχύτητα αέρα στην οροφή ανόδου (kt)	Ποσοστό επιτάχυνσης (%)
74710Q	DEFAULT	5	6	Επιτάχυνση	Μέγιστη ώση ανόδου	ZERO		750	258	
74710Q	DEFAULT	5	7	Άνοδος	Μέγιστη ώση ανόδου	ZERO	5 500			
74710Q	DEFAULT	5	8	Άνοδος	Μέγιστη ώση ανόδου	ZERO	7 500			
74710Q	DEFAULT	5	9	Άνοδος	Μέγιστη ώση ανόδου	ZERO	10 000			
74710Q	DEFAULT	6	1	Απογείωση	Μέγιστη ώση απογείωσης	10				
74710Q	DEFAULT	6	2	Άνοδος	Μέγιστη ώση απογείωσης	10	1 000			
74710Q	DEFAULT	6	3	Επιτάχυνση	Μέγιστη ώση απογείωσης	10		1 411	199	
74710Q	DEFAULT	6	4	Επιτάχυνση	Μέγιστη ώση ανόδου	5		750	239	
74710Q	DEFAULT	6	5	Άνοδος	Μέγιστη ώση ανόδου	ZERO	3 000			
74710Q	DEFAULT	6	6	Επιτάχυνση	Μέγιστη ώση ανόδου	ZERO		750	259	
74710Q	DEFAULT	6	7	Άνοδος	Μέγιστη ώση ανόδου	ZERO	5 500			
74710Q	DEFAULT	6	8	Άνοδος	Μέγιστη ώση ανόδου	ZERO	7 500			
74710Q	DEFAULT	6	9	Άνοδος	Μέγιστη ώση ανόδου	ZERO	10 000			
747200	DEFAULT	1	1	Απογείωση	Μέγιστη ώση απογείωσης	10				
747200	DEFAULT	1	2	Άνοδος	Μέγιστη ώση απογείωσης	10	1 000			
747200	DEFAULT	1	3	Επιτάχυνση	Μέγιστη ώση απογείωσης	10		1 842	183	
747200	DEFAULT	1	4	Επιτάχυνση	Μέγιστη ώση ανόδου	5		1 000	223	
747200	DEFAULT	1	5	Άνοδος	Μέγιστη ώση ανόδου	ZERO	3 000			
747200	DEFAULT	1	6	Επιτάχυνση	Μέγιστη ώση ανόδου	ZERO		1 000	250	
747200	DEFAULT	1	7	Άνοδος	Μέγιστη ώση ανόδου	ZERO	5 500			
747200	DEFAULT	1	8	Άνοδος	Μέγιστη ώση ανόδου	ZERO	7 500			
747200	DEFAULT	1	9	Άνοδος	Μέγιστη ώση ανόδου	ZERO	10 000			
747200	DEFAULT	2	1	Απογείωση	Μέγιστη ώση απογείωσης	10				

▼**M2**

ACFTID	Profile_ID (Προφίλ αναχώρησης)	Μήκος καλυπτόμενης διαδρομής	Αριθμός σταδίου	Είδος σταδίου	Μέγεθος ώσης	Flap_ID (Θέση πτερυγίων καμπυλότητας)	Οροφή ανόδου (ft)	Ρυθμός ανόδου (ft/min)	Διακριβωμένη ταχύτητα αέρα στην οροφή ανόδου (kt)	Ποσοστό επιτάχυνσης (%)
747200	DEFAULT	2	2	Άνοδος	Μέγιστη ώση απογείωσης	10	1 000			
747200	DEFAULT	2	3	Επιτάχυνση	Μέγιστη ώση απογείωσης	10		1 757	186	
747200	DEFAULT	2	4	Επιτάχυνση	Μέγιστη ώση ανόδου	5		1 000	226	
747200	DEFAULT	2	5	Άνοδος	Μέγιστη ώση ανόδου	ZERO	3 000			
747200	DEFAULT	2	6	Επιτάχυνση	Μέγιστη ώση ανόδου	ZERO		1 000	250	
747200	DEFAULT	2	7	Άνοδος	Μέγιστη ώση ανόδου	ZERO	5 500			
747200	DEFAULT	2	8	Άνοδος	Μέγιστη ώση ανόδου	ZERO	7 500			
747200	DEFAULT	2	9	Άνοδος	Μέγιστη ώση ανόδου	ZERO	10 000			
747200	DEFAULT	3	1	Απογείωση	Μέγιστη ώση απογείωσης	10				
747200	DEFAULT	3	2	Άνοδος	Μέγιστη ώση απογείωσης	10	1 000			
747200	DEFAULT	3	3	Επιτάχυνση	Μέγιστη ώση απογείωσης	10		1 676	189	
747200	DEFAULT	3	4	Επιτάχυνση	Μέγιστη ώση ανόδου	5		1 000	229	
747200	DEFAULT	3	5	Άνοδος	Μέγιστη ώση ανόδου	ZERO	3 000			
747200	DEFAULT	3	6	Επιτάχυνση	Μέγιστη ώση ανόδου	ZERO		1 000	250	
747200	DEFAULT	3	7	Άνοδος	Μέγιστη ώση ανόδου	ZERO	5 500			
747200	DEFAULT	3	8	Άνοδος	Μέγιστη ώση ανόδου	ZERO	7 500			
747200	DEFAULT	3	9	Άνοδος	Μέγιστη ώση ανόδου	ZERO	10 000			
747200	DEFAULT	4	1	Απογείωση	Μέγιστη ώση απογείωσης	10				
747200	DEFAULT	4	2	Άνοδος	Μέγιστη ώση απογείωσης	10	1 000			
747200	DEFAULT	4	3	Επιτάχυνση	Μέγιστη ώση απογείωσης	10		1 508	195	
747200	DEFAULT	4	4	Επιτάχυνση	Μέγιστη ώση ανόδου	5		750	235	
747200	DEFAULT	4	5	Άνοδος	Μέγιστη ώση ανόδου	ZERO	3 000			
747200	DEFAULT	4	6	Επιτάχυνση	Μέγιστη ώση ανόδου	ZERO		750	255	

▼**M2**

ACFTID	Profile_ID (Προφίλ αναχώρησης)	Μήκος καλυπτόμενης διαδρομής	Αριθμός σταδίου	Είδος σταδίου	Μέγεθος ώσης	Flap_ID (Θέση πτερυγίων καμπυλότητας)	Οροφή ανόδου (ft)	Ρυθμός ανόδου (ft/min)	Διακριβωμένη ταχύτητα αέρα στην οροφή ανόδου (kt)	Ποσοστό επιτάχυνσης (%)
747200	DEFAULT	4	7	Άνοδος	Μέγιστη ώση ανόδου	ZERO	5 500			
747200	DEFAULT	4	8	Άνοδος	Μέγιστη ώση ανόδου	ZERO	7 500			
747200	DEFAULT	4	9	Άνοδος	Μέγιστη ώση ανόδου	ZERO	10 000			
747200	DEFAULT	5	1	Απογείωση	Μέγιστη ώση απογείωσης	10				
747200	DEFAULT	5	2	Άνοδος	Μέγιστη ώση απογείωσης	10	1 000			
747200	DEFAULT	5	3	Επιτάχυνση	Μέγιστη ώση απογείωσης	10		1 325	203	
747200	DEFAULT	5	4	Επιτάχυνση	Μέγιστη ώση ανόδου	5		750	243	
747200	DEFAULT	5	5	Άνοδος	Μέγιστη ώση ανόδου	ZERO	3 000			
747200	DEFAULT	5	6	Επιτάχυνση	Μέγιστη ώση ανόδου	ZERO		750	263	
747200	DEFAULT	5	7	Άνοδος	Μέγιστη ώση ανόδου	ZERO	5 500			
747200	DEFAULT	5	8	Άνοδος	Μέγιστη ώση ανόδου	ZERO	7 500			
747200	DEFAULT	5	9	Άνοδος	Μέγιστη ώση ανόδου	ZERO	10 000			
747200	DEFAULT	6	1	Απογείωση	Μέγιστη ώση απογείωσης	10				
747200	DEFAULT	6	2	Άνοδος	Μέγιστη ώση απογείωσης	10	1 000			
747200	DEFAULT	6	3	Επιτάχυνση	Μέγιστη ώση απογείωσης	10		1 146	210	
747200	DEFAULT	6	4	Επιτάχυνση	Μέγιστη ώση ανόδου	5		500	250	
747200	DEFAULT	6	5	Άνοδος	Μέγιστη ώση ανόδου	ZERO	3 000			
747200	DEFAULT	6	6	Επιτάχυνση	Μέγιστη ώση ανόδου	ZERO		500	270	
747200	DEFAULT	6	7	Άνοδος	Μέγιστη ώση ανόδου	ZERO	5 500			
747200	DEFAULT	6	8	Άνοδος	Μέγιστη ώση ανόδου	ZERO	7 500			
747200	DEFAULT	6	9	Άνοδος	Μέγιστη ώση ανόδου	ZERO	10 000			
747200	DEFAULT	7	1	Απογείωση	Μέγιστη ώση απογείωσης	10				
747200	DEFAULT	7	2	Άνοδος	Μέγιστη ώση απογείωσης	10	1 000			

▼**M2**

ACFTID	Profile_ID (Προφίλ αναχώρησης)	Μήκος καλυπτόμενης διαδρομής	Αριθμός σταδίου	Είδος σταδίου	Μέγεθος ώσης	Flap_ID (Θέση πτερυγίων καμπυλότητας)	Οροφή ανόδου (ft)	Ρυθμός ανόδου (ft/min)	Διακριβωμένη ταχύτητα αέρα στην οροφή ανόδου (kt)	Ποσοστό επιτάχυνσης (%)
747200	DEFAULT	7	3	Επιτάχυνση	Μέγιστη ώση απογείωσης	10		1 012	216	
747200	DEFAULT	7	4	Επιτάχυνση	Μέγιστη ώση ανόδου	5		500	256	
747200	DEFAULT	7	5	Επιτάχυνση	Μέγιστη ώση ανόδου	ZERO		500	276	
747200	DEFAULT	7	6	Άνοδος	Μέγιστη ώση ανόδου	ZERO	5 500			
747200	DEFAULT	7	7	Άνοδος	Μέγιστη ώση ανόδου	ZERO	7 500			
747200	DEFAULT	7	8	Άνοδος	Μέγιστη ώση ανόδου	ZERO	10 000			
74720A	DEFAULT	1	1	Απογείωση	Μέγιστη ώση απογείωσης	10				
74720A	DEFAULT	1	2	Άνοδος	Μέγιστη ώση απογείωσης	10	1 000			
74720A	DEFAULT	1	3	Επιτάχυνση	Μέγιστη ώση απογείωσης	10		2 068	176	
74720A	DEFAULT	1	4	Επιτάχυνση	Μέγιστη ώση ανόδου	5		1 000	239	
74720A	DEFAULT	1	5	Άνοδος	Μέγιστη ώση ανόδου	ZERO	3 000			
74720A	DEFAULT	1	6	Επιτάχυνση	Μέγιστη ώση ανόδου	ZERO		1 000	259	
74720A	DEFAULT	1	7	Άνοδος	Μέγιστη ώση ανόδου	ZERO	5 500			
74720A	DEFAULT	1	8	Άνοδος	Μέγιστη ώση ανόδου	ZERO	7 500			
74720A	DEFAULT	1	9	Άνοδος	Μέγιστη ώση ανόδου	ZERO	10 000			
74720A	DEFAULT	2	1	Απογείωση	Μέγιστη ώση απογείωσης	10				
74720A	DEFAULT	2	2	Άνοδος	Μέγιστη ώση απογείωσης	10	1 000			
74720A	DEFAULT	2	3	Επιτάχυνση	Μέγιστη ώση απογείωσης	10		1 950	179	
74720A	DEFAULT	2	4	Επιτάχυνση	Μέγιστη ώση ανόδου	5		1 000	242	
74720A	DEFAULT	2	5	Άνοδος	Μέγιστη ώση ανόδου	ZERO	3 000			
74720A	DEFAULT	2	6	Επιτάχυνση	Μέγιστη ώση ανόδου	ZERO		1 000	262	
74720A	DEFAULT	2	7	Άνοδος	Μέγιστη ώση ανόδου	ZERO	5 500			
74720A	DEFAULT	2	8	Άνοδος	Μέγιστη ώση ανόδου	ZERO	7 500			

▼**M2**

ACFTID	Profile_ID (Προφίλ αναχώρησης)	Μήκος καλυπτόμενης διαδρομής	Αριθμός σταδίου	Είδος σταδίου	Μέγεθος ώσης	Flap_ID (Θέση πτερυγίων καμπυλότητας)	Οροφή ανόδου (ft)	Ρυθμός ανόδου (ft/min)	Διακριβωμένη ταχύτητα αέρα στην οροφή ανόδου (kt)	Ποσοστό επιτάχυνσης (%)
74720A	DEFAULT	2	9	Άνοδος	Μέγιστη ώση ανόδου	ZERO	10 000			
74720A	DEFAULT	3	1	Απογείωση	Μέγιστη ώση απογείωσης	10				
74720A	DEFAULT	3	2	Άνοδος	Μέγιστη ώση απογείωσης	10	1 000			
74720A	DEFAULT	3	3	Επιτάχυνση	Μέγιστη ώση απογείωσης	10		1 862	182	
74720A	DEFAULT	3	4	Επιτάχυνση	Μέγιστη ώση ανόδου	5		1 000	244	
74720A	DEFAULT	3	5	Άνοδος	Μέγιστη ώση ανόδου	ZERO	3 000			
74720A	DEFAULT	3	6	Επιτάχυνση	Μέγιστη ώση ανόδου	ZERO		1 000	264	
74720A	DEFAULT	3	7	Άνοδος	Μέγιστη ώση ανόδου	ZERO	5 500			
74720A	DEFAULT	3	8	Άνοδος	Μέγιστη ώση ανόδου	ZERO	7 500			
74720A	DEFAULT	3	9	Άνοδος	Μέγιστη ώση ανόδου	ZERO	10 000			
74720A	DEFAULT	4	1	Απογείωση	Μέγιστη ώση απογείωσης	10				
74720A	DEFAULT	4	2	Άνοδος	Μέγιστη ώση απογείωσης	10	1 000			
74720A	DEFAULT	4	3	Επιτάχυνση	Μέγιστη ώση απογείωσης	10		1 700	188	
74720A	DEFAULT	4	4	Επιτάχυνση	Μέγιστη ώση ανόδου	5		750	248	
74720A	DEFAULT	4	5	Άνοδος	Μέγιστη ώση ανόδου	ZERO	3 000			
74720A	DEFAULT	4	6	Επιτάχυνση	Μέγιστη ώση ανόδου	ZERO		750	268	
74720A	DEFAULT	4	7	Άνοδος	Μέγιστη ώση ανόδου	ZERO	5 500			
74720A	DEFAULT	4	8	Άνοδος	Μέγιστη ώση ανόδου	ZERO	7 500			
74720A	DEFAULT	4	9	Άνοδος	Μέγιστη ώση ανόδου	ZERO	10 000			
74720A	DEFAULT	5	1	Απογείωση	Μέγιστη ώση απογείωσης	10				
74720A	DEFAULT	5	2	Άνοδος	Μέγιστη ώση απογείωσης	10	1 000			
74720A	DEFAULT	5	3	Επιτάχυνση	Μέγιστη ώση απογείωσης	10		1 520	195	
74720A	DEFAULT	5	4	Επιτάχυνση	Μέγιστη ώση ανόδου	5		750	254	

▼**M2**

ACFTID	Profile_ID (Προφίλ αναχώρησης)	Μήκος καλυπτόμενης διαδρομής	Αριθμός σταδίου	Είδος σταδίου	Μέγεθος ώσης	Flap_ID (Θέση πτερυγίων καμπυλότητας)	Οροφή ανόδου (ft)	Ρυθμός ανόδου (ft/min)	Διακριβωμένη ταχύτητα αέρα στην οροφή ανόδου (kt)	Ποσοστό επιτάχυνσης (%)
74720A	DEFAULT	5	5	Άνοδος	Μέγιστη ώση ανόδου	ZERO	3 000			
74720A	DEFAULT	5	6	Επιτάχυνση	Μέγιστη ώση ανόδου	ZERO		750	274	
74720A	DEFAULT	5	7	Άνοδος	Μέγιστη ώση ανόδου	ZERO	5 500			
74720A	DEFAULT	5	8	Άνοδος	Μέγιστη ώση ανόδου	ZERO	7 500			
74720A	DEFAULT	5	9	Άνοδος	Μέγιστη ώση ανόδου	ZERO	10 000			
74720A	DEFAULT	6	1	Απογείωση	Μέγιστη ώση απογείωσης	10				
74720A	DEFAULT	6	2	Άνοδος	Μέγιστη ώση απογείωσης	10	1 000			
74720A	DEFAULT	6	3	Επιτάχυνση	Μέγιστη ώση απογείωσης	10		1 313	204	
74720A	DEFAULT	6	4	Επιτάχυνση	Μέγιστη ώση ανόδου	5		750	264	
74720A	DEFAULT	6	5	Επιτάχυνση	Μέγιστη ώση ανόδου	ZERO		750	284	
74720A	DEFAULT	6	6	Άνοδος	Μέγιστη ώση ανόδου	ZERO	5 500			
74720A	DEFAULT	6	7	Άνοδος	Μέγιστη ώση ανόδου	ZERO	7 500			
74720A	DEFAULT	6	8	Άνοδος	Μέγιστη ώση ανόδου	ZERO	10 000			
74720A	DEFAULT	7	1	Απογείωση	Μέγιστη ώση απογείωσης	10				
74720A	DEFAULT	7	2	Άνοδος	Μέγιστη ώση απογείωσης	10	1 000			
74720A	DEFAULT	7	3	Επιτάχυνση	Μέγιστη ώση απογείωσης	10		1 172	210	
74720A	DEFAULT	7	4	Επιτάχυνση	Μέγιστη ώση ανόδου	5		750	272	
74720A	DEFAULT	7	5	Επιτάχυνση	Μέγιστη ώση ανόδου	ZERO		750	292	
74720A	DEFAULT	7	6	Άνοδος	Μέγιστη ώση ανόδου	ZERO	5 500			
74720A	DEFAULT	7	7	Άνοδος	Μέγιστη ώση ανόδου	ZERO	7 500			
74720A	DEFAULT	7	8	Άνοδος	Μέγιστη ώση ανόδου	ZERO	10 000			
74720B	DEFAULT	1	1	Απογείωση	Μέγιστη ώση απογείωσης	10				
74720B	DEFAULT	1	2	Άνοδος	Μέγιστη ώση απογείωσης	10	1 000			

▼**M2**

ACFTID	Profile_ID (Προφίλ αναχώρησης)	Μήκος καλυπτόμενης διαδρομής	Αριθμός σταδίου	Είδος σταδίου	Μέγεθος ώσης	Flap_ID (Θέση πτερυγίων καμπυλότητας)	Οροφή ανόδου (ft)	Ρυθμός ανόδου (ft/min)	Διακριβωμένη ταχύτητα αέρα στην οροφή ανόδου (kt)	Ποσοστό επιτάχυνσης (%)
74720B	DEFAULT	1	3	Επιτάχυνση	Μέγιστη ώση απογείωσης	10		2 497	184	
74720B	DEFAULT	1	4	Επιτάχυνση	Μέγιστη ώση ανόδου	5		1 000	244	
74720B	DEFAULT	1	5	Άνοδος	Μέγιστη ώση ανόδου	ZERO	3 000			
74720B	DEFAULT	1	6	Επιτάχυνση	Μέγιστη ώση ανόδου	ZERO		1 000	264	
74720B	DEFAULT	1	7	Άνοδος	Μέγιστη ώση ανόδου	ZERO	5 500			
74720B	DEFAULT	1	8	Άνοδος	Μέγιστη ώση ανόδου	ZERO	7 500			
74720B	DEFAULT	1	9	Άνοδος	Μέγιστη ώση ανόδου	ZERO	10 000			
74720B	DEFAULT	2	1	Απογείωση	Μέγιστη ώση απογείωσης	10				
74720B	DEFAULT	2	2	Άνοδος	Μέγιστη ώση απογείωσης	10	1 000			
74720B	DEFAULT	2	3	Επιτάχυνση	Μέγιστη ώση απογείωσης	10		2 397	187	
74720B	DEFAULT	2	4	Επιτάχυνση	Μέγιστη ώση ανόδου	5		1 000	246	
74720B	DEFAULT	2	5	Άνοδος	Μέγιστη ώση ανόδου	ZERO	3 000			
74720B	DEFAULT	2	6	Επιτάχυνση	Μέγιστη ώση ανόδου	ZERO		1 000	266	
74720B	DEFAULT	2	7	Άνοδος	Μέγιστη ώση ανόδου	ZERO	5 500			
74720B	DEFAULT	2	8	Άνοδος	Μέγιστη ώση ανόδου	ZERO	7 500			
74720B	DEFAULT	2	9	Άνοδος	Μέγιστη ώση ανόδου	ZERO	10 000			
74720B	DEFAULT	3	1	Απογείωση	Μέγιστη ώση απογείωσης	10				
74720B	DEFAULT	3	2	Άνοδος	Μέγιστη ώση απογείωσης	10	1 000			
74720B	DEFAULT	3	3	Επιτάχυνση	Μέγιστη ώση απογείωσης	10		2 303	190	
74720B	DEFAULT	3	4	Επιτάχυνση	Μέγιστη ώση ανόδου	5		750	249	
74720B	DEFAULT	3	5	Άνοδος	Μέγιστη ώση ανόδου	ZERO	3 000			
74720B	DEFAULT	3	6	Επιτάχυνση	Μέγιστη ώση ανόδου	ZERO		750	269	
74720B	DEFAULT	3	7	Άνοδος	Μέγιστη ώση ανόδου	ZERO	5 500			

▼**M2**

ACFTID	Profile_ID (Προφίλ αναχώρησης)	Μήκος καλυπτόμενης διαδρομής	Αριθμός σταδίου	Είδος σταδίου	Μέγεθος ώσης	Flap_ID (Θέση πτερυγίων καμπυλότητας)	Οροφή ανόδου (ft)	Ρυθμός ανόδου (ft/min)	Διακριβωμένη ταχύτητα αέρα στην οροφή ανόδου (kt)	Ποσοστό επιτάχυνσης (%)
74720B	DEFAULT	3	8	Άνοδος	Μέγιστη ώση ανόδου	ZERO	7 500			
74720B	DEFAULT	3	9	Άνοδος	Μέγιστη ώση ανόδου	ZERO	10 000			
74720B	DEFAULT	4	1	Απογείωση	Μέγιστη ώση απογείωσης	10				
74720B	DEFAULT	4	2	Άνοδος	Μέγιστη ώση απογείωσης	10	1 000			
74720B	DEFAULT	4	3	Επιτάχυνση	Μέγιστη ώση απογείωσης	10		2 109	196	
74720B	DEFAULT	4	4	Επιτάχυνση	Μέγιστη ώση ανόδου	5		750	254	
74720B	DEFAULT	4	5	Άνοδος	Μέγιστη ώση ανόδου	ZERO	3 000			
74720B	DEFAULT	4	6	Επιτάχυνση	Μέγιστη ώση ανόδου	ZERO		750	274	
74720B	DEFAULT	4	7	Άνοδος	Μέγιστη ώση ανόδου	ZERO	5 500			
74720B	DEFAULT	4	8	Άνοδος	Μέγιστη ώση ανόδου	ZERO	7 500			
74720B	DEFAULT	4	9	Άνοδος	Μέγιστη ώση ανόδου	ZERO	10 000			
74720B	DEFAULT	5	1	Απογείωση	Μέγιστη ώση απογείωσης	10				
74720B	DEFAULT	5	2	Άνοδος	Μέγιστη ώση απογείωσης	10	1 000			
74720B	DEFAULT	5	3	Επιτάχυνση	Μέγιστη ώση απογείωσης	10		1 900	204	
74720B	DEFAULT	5	4	Επιτάχυνση	Μέγιστη ώση ανόδου	5		750	263	
74720B	DEFAULT	5	5	Άνοδος	Μέγιστη ώση ανόδου	ZERO	3 000			
74720B	DEFAULT	5	6	Επιτάχυνση	Μέγιστη ώση ανόδου	ZERO		750	283	
74720B	DEFAULT	5	7	Άνοδος	Μέγιστη ώση ανόδου	ZERO	5 500			
74720B	DEFAULT	5	8	Άνοδος	Μέγιστη ώση ανόδου	ZERO	7 500			
74720B	DEFAULT	5	9	Άνοδος	Μέγιστη ώση ανόδου	ZERO	10 000			
74720B	DEFAULT	6	1	Απογείωση	Μέγιστη ώση απογείωσης	10				
74720B	DEFAULT	6	2	Άνοδος	Μέγιστη ώση απογείωσης	10	1 000			

▼**M2**

ACFTID	Profile_ID (Προφίλ αναχώρησης)	Μήκος καλυπτόμενης διαδρομής	Αριθμός σταδίου	Είδος σταδίου	Μέγεθος ώσης	Flap_ID (Θέση πτερυγίων καμπυλότητας)	Οροφή ανόδου (ft)	Ρυθμός ανόδου (ft/min)	Διακριβωμένη ταχύτητα αέρα στην οροφή ανόδου (kt)	Ποσοστό επιτάχυνσης (%)
74720B	DEFAULT	6	3	Επιτάχυνση	Μέγιστη ώση απογείωσης	10		1 699	211	
74720B	DEFAULT	6	4	Επιτάχυνση	Μέγιστη ώση ανόδου	5		750	272	
74720B	DEFAULT	6	5	Άνοδος	Μέγιστη ώση ανόδου	ZERO	3 000			
74720B	DEFAULT	6	6	Επιτάχυνση	Μέγιστη ώση ανόδου	ZERO		750	292	
74720B	DEFAULT	6	7	Άνοδος	Μέγιστη ώση ανόδου	ZERO	5 500			
74720B	DEFAULT	6	8	Άνοδος	Μέγιστη ώση ανόδου	ZERO	7 500			
74720B	DEFAULT	6	9	Άνοδος	Μέγιστη ώση ανόδου	ZERO	10 000			
74720B	DEFAULT	7	1	Απογείωση	Μέγιστη ώση απογείωσης	10				
74720B	DEFAULT	7	2	Άνοδος	Μέγιστη ώση απογείωσης	10	1 000			
74720B	DEFAULT	7	3	Επιτάχυνση	Μέγιστη ώση απογείωσης	10		1 547	218	
74720B	DEFAULT	7	4	Επιτάχυνση	Μέγιστη ώση ανόδου	5		750	279	
74720B	DEFAULT	7	5	Επιτάχυνση	Μέγιστη ώση ανόδου	ZERO		750	299	
74720B	DEFAULT	7	6	Άνοδος	Μέγιστη ώση ανόδου	ZERO	5 500			
74720B	DEFAULT	7	7	Άνοδος	Μέγιστη ώση ανόδου	ZERO	7 500			
74720B	DEFAULT	7	8	Άνοδος	Μέγιστη ώση ανόδου	ZERO	10 000			
747400	DEFAULT	1	1	Απογείωση	Μέγιστη ώση απογείωσης	10				
747400	DEFAULT	1	2	Άνοδος	Μέγιστη ώση απογείωσης	T_10	1 000			
747400	DEFAULT	1	3	Επιτάχυνση	Μέγιστη ώση ανόδου	10		1 533,3	190,8	
747400	DEFAULT	1	4	Επιτάχυνση	Μέγιστη ώση ανόδου	T_05		1 798,9	242	
747400	DEFAULT	1	5	Άνοδος	Μέγιστη ώση ανόδου	5	3 869			
747400	DEFAULT	1	6	Επιτάχυνση	Μέγιστη ώση ανόδου	ZERO		2 198,9	269	
747400	DEFAULT	1	7	Άνοδος	Μέγιστη ώση ανόδου	T_00H	5 500			
747400	DEFAULT	1	8	Άνοδος	Μέγιστη ώση ανόδου	T_00H	7 500			
747400	DEFAULT	1	9	Άνοδος	Μέγιστη ώση ανόδου	T_00H	10 000			
747400	DEFAULT	2	1	Απογείωση	Μέγιστη ώση απογείωσης	10				

▼**M2**

ACFTID	Profile_ID (Προφίλ αναχώρησης)	Μήκος καλυπτόμενης διαδρομής	Αριθμός σταδίου	Είδος σταδίου	Μέγεθος ώσης	Flap_ID (Θέση πτερυγίων καμπυλότητας)	Οροφή ανόδου (ft)	Ρυθμός ανόδου (ft/min)	Διακριβωμένη ταχύτητα αέρα στην οροφή ανόδου (kt)	Ποσοστό επιτάχυνσης (%)
747400	DEFAULT	2	2	Άνοδος	Μέγιστη ώση απογείωσης	T_10	1 000			
747400	DEFAULT	2	3	Επιτάχυνση	Μέγιστη ώση ανόδου	10		1 507,6	192,9	
747400	DEFAULT	2	4	Επιτάχυνση	Μέγιστη ώση ανόδου	T_05		1 718,8	244,6	
747400	DEFAULT	2	5	Άνοδος	Μέγιστη ώση ανόδου	T_01	3 756			
747400	DEFAULT	2	6	Επιτάχυνση	Μέγιστη ώση ανόδου	T_00H		2 111,9	269	
747400	DEFAULT	2	7	Άνοδος	Μέγιστη ώση ανόδου	T_00H	5 500			
747400	DEFAULT	2	8	Άνοδος	Μέγιστη ώση ανόδου	T_00H	7 500			
747400	DEFAULT	2	9	Άνοδος	Μέγιστη ώση ανόδου	T_00H	10 000			
747400	DEFAULT	3	1	Απογείωση	Μέγιστη ώση απογείωσης	10				
747400	DEFAULT	3	2	Άνοδος	Μέγιστη ώση απογείωσης	T_10	1 000			
747400	DEFAULT	3	3	Επιτάχυνση	Μέγιστη ώση ανόδου	10		1 412,1	195,1	
747400	DEFAULT	3	4	Επιτάχυνση	Μέγιστη ώση ανόδου	T_05		1 660,4	247,2	
747400	DEFAULT	3	5	Άνοδος	Μέγιστη ώση ανόδου	T_01	3 637			
747400	DEFAULT	3	6	Επιτάχυνση	Μέγιστη ώση ανόδου	ZERO		2 033,6	269	
747400	DEFAULT	3	7	Άνοδος	Μέγιστη ώση ανόδου	T_00H	5 500			
747400	DEFAULT	3	8	Άνοδος	Μέγιστη ώση ανόδου	T_00H	7 500			
747400	DEFAULT	3	9	Άνοδος	Μέγιστη ώση ανόδου	T_00H	10 000			
747400	DEFAULT	4	1	Απογείωση	Μέγιστη ώση απογείωσης	10				
747400	DEFAULT	4	2	Άνοδος	Μέγιστη ώση απογείωσης	T_10	1 000			
747400	DEFAULT	4	3	Επιτάχυνση	Μέγιστη ώση ανόδου	10		1 310,5	199,4	
747400	DEFAULT	4	4	Επιτάχυνση	Μέγιστη ώση ανόδου	T_05		1 531,8	252,3	
747400	DEFAULT	4	5	Άνοδος	Μέγιστη ώση ανόδου	T_01	3 435			
747400	DEFAULT	4	6	Επιτάχυνση	Μέγιστη ώση ανόδου	ZERO		1 882,8	269	
747400	DEFAULT	4	7	Άνοδος	Μέγιστη ώση ανόδου	T_00H	5 500			

▼**M2**

ACFTID	Profile_ID (Προφίλ αναχώρησης)	Μήκος καλυπτόμενης διαδρομής	Αριθμός σταδίου	Είδος σταδίου	Μέγεθος ώσης	Flap_ID (Θέση πτερυγίων καμπυλότητας)	Οροφή ανόδου (ft)	Ρυθμός ανόδου (ft/min)	Διακριβωμένη ταχύτητα αέρα στην οροφή ανόδου (kt)	Ποσοστό επιτάχυνσης (%)
747400	DEFAULT	4	8	Άνοδος	Μέγιστη ώση ανόδου	T_00H	7 500			
747400	DEFAULT	4	9	Άνοδος	Μέγιστη ώση ανόδου	T_00H	10 000			
747400	DEFAULT	5	1	Απογείωση	Μέγιστη ώση απογείωσης	10				
747400	DEFAULT	5	2	Άνοδος	Μέγιστη ώση απογείωσης	T_10	1 000			
747400	DEFAULT	5	3	Επιτάχυνση	Μέγιστη ώση ανόδου	10		1 182,2	204,8	
747400	DEFAULT	5	4	Επιτάχυνση	Μέγιστη ώση ανόδου	T_05		1 402,6	258,4	
747400	DEFAULT	5	5	Άνοδος	Μέγιστη ώση ανόδου	T_01	3 199			
747400	DEFAULT	5	6	Επιτάχυνση	Μέγιστη ώση ανόδου	ZERO		1 724,1	269	
747400	DEFAULT	5	7	Άνοδος	Μέγιστη ώση ανόδου	T_00H	5 500			
747400	DEFAULT	5	8	Άνοδος	Μέγιστη ώση ανόδου	T_00H	7 500			
747400	DEFAULT	5	9	Άνοδος	Μέγιστη ώση ανόδου	ZERO	10 000			
747400	DEFAULT	6	1	Απογείωση	Μέγιστη ώση απογείωσης	10				
747400	DEFAULT	6	2	Άνοδος	Μέγιστη ώση απογείωσης	T_10	1 000			
747400	DEFAULT	6	3	Επιτάχυνση	Μέγιστη ώση ανόδου	5		1 088,1	210,4	
747400	DEFAULT	6	4	Επιτάχυνση	Μέγιστη ώση ανόδου	5		1 372	259,5	
747400	DEFAULT	6	5	Επιτάχυνση	Μέγιστη ώση ανόδου	T_01		1 432,4	264,7	
747400	DEFAULT	6	6	Άνοδος	Μέγιστη ώση ανόδου	T_01	3 004			
747400	DEFAULT	6	7	Επιτάχυνση	Μέγιστη ώση ανόδου	ZERO		1 560	269	
747400	DEFAULT	6	8	Άνοδος	Μέγιστη ώση ανόδου	T_00H	5 500			
747400	DEFAULT	6	9	Άνοδος	Μέγιστη ώση ανόδου	T_00H	7 500			
747400	DEFAULT	6	10	Άνοδος	Μέγιστη ώση ανόδου	T_00H	10 000			
747400	DEFAULT	7	1	Απογείωση	Μέγιστη ώση απογείωσης	10				
747400	DEFAULT	7	2	Άνοδος	Μέγιστη ώση απογείωσης	T_10H	1 000			

▼**M2**

ACFTID	Profile_ID (Προφίλ αναχώρησης)	Μήκος καλυπτόμενης διαδρομής	Αριθμός σταδίου	Είδος σταδίου	Μέγεθος ώσης	Flap_ID (Θέση πτερυγίων καμπυλότητας)	Οροφή ανόδου (ft)	Ρυθμός ανόδου (ft/min)	Διακριβωμένη ταχύτητα αέρα στην οροφή ανόδου (kt)	Ποσοστό επιτάχυνσης (%)
747400	DEFAULT	7	3	Επιτάχυνση	Μέγιστη ώση ανόδου	10		963,6	216,4	
747400	DEFAULT	7	4	Επιτάχυνση	Μέγιστη ώση ανόδου	5		1 114,2	259,6	
747400	DEFAULT	7	5	Άνοδος	Μέγιστη ώση ανόδου	T_01	2 544			
747400	DEFAULT	7	6	Επιτάχυνση	Μέγιστη ώση ανόδου	T_05		1 329,4	270	
747400	DEFAULT	7	7	Άνοδος	Μέγιστη ώση ανόδου	T_00H	5 500			
747400	DEFAULT	7	8	Άνοδος	Μέγιστη ώση ανόδου	T_00H	7 500			
747400	DEFAULT	7	9	Άνοδος	Μέγιστη ώση ανόδου	T_00H	10 000			
747400	DEFAULT	8	1	Απογείωση	Μέγιστη ώση απογείωσης	10				
747400	DEFAULT	8	2	Άνοδος	Μέγιστη ώση απογείωσης	T_10H	1 000			
747400	DEFAULT	8	3	Επιτάχυνση	Μέγιστη ώση ανόδου	10		855,6	222,8	
747400	DEFAULT	8	4	Επιτάχυνση	Μέγιστη ώση ανόδου	5		968,9	259,6	
747400	DEFAULT	8	5	Άνοδος	Μέγιστη ώση ανόδου	T_01	2 561			
747400	DEFAULT	8	6	Επιτάχυνση	Μέγιστη ώση ανόδου	T_01		1 173,1	270	
747400	DEFAULT	8	7	Επιτάχυνση	Μέγιστη ώση ανόδου	T_00H		1 260	278	
747400	DEFAULT	8	8	Άνοδος	Μέγιστη ώση ανόδου	T_00H	5 500			
747400	DEFAULT	8	9	Άνοδος	Μέγιστη ώση ανόδου	T_00H	7 500			
747400	DEFAULT	8	10	Άνοδος	Μέγιστη ώση ανόδου	T_00H	10 000			
747400	DEFAULT	9	1	Απογείωση	Μέγιστη ώση απογείωσης	10				
747400	DEFAULT	9	2	Άνοδος	Μέγιστη ώση απογείωσης	T_10H	1 000			
747400	DEFAULT	9	3	Επιτάχυνση	Μέγιστη ώση ανόδου	10		783,8	226,8	
747400	DEFAULT	9	4	Επιτάχυνση	Μέγιστη ώση ανόδου	5		884,5	259,6	
747400	DEFAULT	9	5	Άνοδος	Μέγιστη ώση ανόδου	T_01	2 600			
747400	DEFAULT	9	6	Επιτάχυνση	Μέγιστη ώση ανόδου	T_01		1 078,7	271,8	
747400	DEFAULT	9	7	Επιτάχυνση	Μέγιστη ώση ανόδου	T_00H		1 182,6	282,7	

▼**M2**

ACFTID	Profile_ID (Προφίλ αναχώρησης)	Μήκος καλυπτόμενης διαδρομής	Αριθμός σταδίου	Είδος σταδίου	Μέγεθος ώσης	Flap_ID (Θέση πτερυγίων καμπυλότητας)	Οροφή ανόδου (ft)	Ρυθμός ανόδου (ft/min)	Διακριβωμένη ταχύτητα αέρα στην οροφή ανόδου (kt)	Ποσοστό επιτάχυνσης (%)
747400	DEFAULT	9	8	Άνοδος	Μέγιστη ώση ανόδου	T_00H	5 500			
747400	DEFAULT	9	9	Άνοδος	Μέγιστη ώση ανόδου	T_00H	7 500			
747400	DEFAULT	9	10	Άνοδος	Μέγιστη ώση ανόδου	T_00H	10 000			
747400	ICAO_A	1	1	Απογείωση	Μέγιστη ώση απογείωσης	10				
747400	ICAO_A	1	2	Άνοδος	Μέγιστη ώση απογείωσης	T_10	1 500			
747400	ICAO_A	1	3	Άνοδος	Μέγιστη ώση ανόδου	10	3 000			
747400	ICAO_A	1	4	Επιτάχυνση	Μέγιστη ώση ανόδου	10		1 472,8	190	
747400	ICAO_A	1	5	Επιτάχυνση	Μέγιστη ώση ανόδου	5		1 753,3	241,7	
747400	ICAO_A	1	6	Άνοδος	Μέγιστη ώση ανόδου	T_01	5 796			
747400	ICAO_A	1	7	Επιτάχυνση	Μέγιστη ώση ανόδου	ZERO		2 158,4	268,4	
747400	ICAO_A	1	8	Άνοδος	Μέγιστη ώση ανόδου	ZERO	7 500			
747400	ICAO_A	1	9	Άνοδος	Μέγιστη ώση ανόδου	ZERO	10 000			
747400	ICAO_A	2	1	Απογείωση	Μέγιστη ώση απογείωσης	10				
747400	ICAO_A	2	2	Άνοδος	Μέγιστη ώση απογείωσης	T_10	1 500			
747400	ICAO_A	2	3	Άνοδος	Μέγιστη ώση ανόδου	10	3 000			
747400	ICAO_A	2	4	Επιτάχυνση	Μέγιστη ώση ανόδου	10		1 412,8	192,2	
747400	ICAO_A	2	5	Επιτάχυνση	Μέγιστη ώση ανόδου	5		1 689,5	244,3	
747400	ICAO_A	2	6	Άνοδος	Μέγιστη ώση ανόδου	T_01	5 685			
747400	ICAO_A	2	7	Επιτάχυνση	Μέγιστη ώση ανόδου	ZERO		2 078,8	268,4	
747400	ICAO_A	2	8	Άνοδος	Μέγιστη ώση ανόδου	ZERO	7 500			
747400	ICAO_A	2	9	Άνοδος	Μέγιστη ώση ανόδου	ZERO	10 000			
747400	ICAO_A	3	1	Απογείωση	Μέγιστη ώση απογείωσης	10				
747400	ICAO_A	3	2	Άνοδος	Μέγιστη ώση απογείωσης	T_10	1 500			

▼**M2**

ACFTID	Profile_ID (Προφίλ αναχώρησης)	Μήκος καλυπτόμενης διαδρομής	Αριθμός σταδίου	Είδος σταδίου	Μέγεθος ώσης	Flap_ID (Θέση πτερυγίων καμπυλότητας)	Οροφή ανόδου (ft)	Ρυθμός ανόδου (ft/min)	Διακριβωμένη ταχύτητα αέρα στην οροφή ανόδου (kt)	Ποσοστό επιτάχυνσης (%)
747400	ICAO_A	3	3	Άνοδος	Μέγιστη ώση ανόδου	10	3 000			
747400	ICAO_A	3	4	Επιτάχυνση	Μέγιστη ώση ανόδου	10		1 353,5	194,4	
747400	ICAO_A	3	5	Επιτάχυνση	Μέγιστη ώση ανόδου	5		1 618,4	246,8	
747400	ICAO_A	3	6	Άνοδος	Μέγιστη ώση ανόδου	T_01	5 579			
747400	ICAO_A	3	7	Επιτάχυνση	Μέγιστη ώση ανόδου	ZERO		1 995	268,4	
747400	ICAO_A	3	8	Άνοδος	Μέγιστη ώση ανόδου	ZERO	7 500			
747400	ICAO_A	3	9	Άνοδος	Μέγιστη ώση ανόδου	ZERO	10 000			
747400	ICAO_A	4	1	Απογείωση	Μέγιστη ώση απογείωσης	10				
747400	ICAO_A	4	2	Άνοδος	Μέγιστη ώση απογείωσης	T_10	1 500			
747400	ICAO_A	4	3	Άνοδος	Μέγιστη ώση ανόδου	10	3 000			
747400	ICAO_A	4	4	Επιτάχυνση	Μέγιστη ώση ανόδου	10		1 249,3	198,7	
747400	ICAO_A	4	5	Επιτάχυνση	Μέγιστη ώση ανόδου	5		1 500,4	251,9	
747400	ICAO_A	4	6	Άνοδος	Μέγιστη ώση ανόδου	T_01	5 372			
747400	ICAO_A	4	7	Επιτάχυνση	Μέγιστη ώση ανόδου	ZERO		1 847,9	268,4	
747400	ICAO_A	4	8	Άνοδος	Μέγιστη ώση ανόδου	ZERO	7 500			
747400	ICAO_A	4	9	Άνοδος	Μέγιστη ώση ανόδου	ZERO	10 000			
747400	ICAO_A	5	1	Απογείωση	Μέγιστη ώση απογείωσης	10				
747400	ICAO_A	5	2	Άνοδος	Μέγιστη ώση απογείωσης	T_10	1 500			
747400	ICAO_A	5	3	Άνοδος	Μέγιστη ώση ανόδου	10	3 000			
747400	ICAO_A	5	4	Επιτάχυνση	Μέγιστη ώση ανόδου	10		1 131,2	204,1	
747400	ICAO_A	5	5	Επιτάχυνση	Μέγιστη ώση ανόδου	5		1 367,5	257,8	
747400	ICAO_A	5	6	Άνοδος	Μέγιστη ώση ανόδου	T_01	5 145			
747400	ICAO_A	5	7	Επιτάχυνση	Μέγιστη ώση ανόδου	ZERO		1 686,7	268,4	

▼**M2**

ACFTID	Profile_ID (Προφίλ αναχώρησης)	Μήκος καλυπτόμενης διαδρομής	Αριθμός σταδίου	Είδος σταδίου	Μέγεθος ώσης	Flap_ID (Θέση πτερυγίων καμπυλότητας)	Οροφή ανόδου (ft)	Ρυθμός ανόδου (ft/min)	Διακριβωμένη ταχύτητα αέρα στην οροφή ανόδου (kt)	Ποσοστό επιτάχυνσης (%)
747400	ICAO_A	5	8	Άνοδος	Μέγιστη ώση ανόδου	ZERO	7 500			
747400	ICAO_A	5	9	Άνοδος	Μέγιστη ώση ανόδου	ZERO	10 000			
747400	ICAO_A	6	1	Απογείωση	Μέγιστη ώση απογείωσης	10				
747400	ICAO_A	6	2	Άνοδος	Μέγιστη ώση απογείωσης	T_10H	1 500			
747400	ICAO_A	6	3	Άνοδος	Μέγιστη ώση ανόδου	10	3 000			
747400	ICAO_A	6	4	Επιτάχυνση	Μέγιστη ώση ανόδου	10		1 017,7	209,8	
747400	ICAO_A	6	5	Επιτάχυνση	Μέγιστη ώση ανόδου	5		1 223,8	259,1	
747400	ICAO_A	6	6	Άνοδος	Μέγιστη ώση ανόδου	T_01	4 508			
747400	ICAO_A	6	7	Επιτάχυνση	Μέγιστη ώση ανόδου	T_01		1 416	264,3	
747400	ICAO_A	6	8	Άνοδος	Μέγιστη ώση ανόδου	ZERO	4 921			
747400	ICAO_A	6	9	Επιτάχυνση	Μέγιστη ώση ανόδου	ZERO		1 531	269	
747400	ICAO_A	6	10	Άνοδος	Μέγιστη ώση ανόδου	ZERO	5 500			
747400	ICAO_A	6	11	Άνοδος	Μέγιστη ώση ανόδου	ZERO	7 500			
747400	ICAO_A	6	12	Άνοδος	Μέγιστη ώση ανόδου	ZERO	10 000			
747400	ICAO_A	7	1	Απογείωση	Μέγιστη ώση απογείωσης	10				
747400	ICAO_A	7	2	Άνοδος	Μέγιστη ώση απογείωσης	T_10H	1 500			
747400	ICAO_A	7	3	Άνοδος	Μέγιστη ώση ανόδου	10	3 000			
747400	ICAO_A	7	4	Επιτάχυνση	Μέγιστη ώση ανόδου	10		908,3	215,8	
747400	ICAO_A	7	5	Επιτάχυνση	Μέγιστη ώση ανόδου	5		1 082,4	259,1	
747400	ICAO_A	7	6	Άνοδος	Μέγιστη ώση ανόδου	T_01	4 509			
747400	ICAO_A	7	7	Επιτάχυνση	Μέγιστη ώση ανόδου	T_01		1 308,4	269,1	
747400	ICAO_A	7	8	Επιτάχυνση	Μέγιστη ώση ανόδου	ZERO		1 365,5	271	
747400	ICAO_A	7	9	Άνοδος	Μέγιστη ώση ανόδου	ZERO	5 500			
747400	ICAO_A	7	10	Άνοδος	Μέγιστη ώση ανόδου	ZERO	7 500			

▼**M2**

ACFTID	Profile_ID (Προφίλ αναχώρησης)	Μήκος καλυπτόμενης διαδρομής	Αριθμός σταδίου	Είδος σταδίου	Μέγεθος ώσης	Flap_ID (Θέση πτερυγίων καμπυλότητας)	Οροφή ανόδου (ft)	Ρυθμός ανόδου (ft/min)	Διακριβωμένη ταχύτητα αέρα στην οροφή ανόδου (kt)	Ποσοστό επιτάχυνσης (%)
747400	ICAO_A	7	11	Άνοδος	Μέγιστη ώση ανόδου	T_00H	10 000			
747400	ICAO_A	8	1	Απογείωση	Μέγιστη ώση απογείωσης	10				
747400	ICAO_A	8	2	Άνοδος	Μέγιστη ώση απογείωσης	T_10H	1 500			
747400	ICAO_A	8	3	Άνοδος	Μέγιστη ώση ανόδου	10	3 000			
747400	ICAO_A	8	4	Επιτάχυνση	Μέγιστη ώση ανόδου	10		801,1	222,2	
747400	ICAO_A	8	5	Επιτάχυνση	Μέγιστη ώση ανόδου	5		942,7	259,1	
747400	ICAO_A	8	6	Άνοδος	Μέγιστη ώση ανόδου	T_01	4 540			
747400	ICAO_A	8	7	Επιτάχυνση	Μέγιστη ώση ανόδου	T_01		1 146,3	267,9	
747400	ICAO_A	8	8	Επιτάχυνση	Μέγιστη ώση ανόδου	ZERO		1 230	277,7	
747400	ICAO_A	8	9	Άνοδος	Μέγιστη ώση ανόδου	ZERO	5 500			
747400	ICAO_A	8	10	Άνοδος	Μέγιστη ώση ανόδου	T_00H	7 500			
747400	ICAO_A	8	11	Άνοδος	Μέγιστη ώση ανόδου	T_00H	10 000			
747400	ICAO_A	9	1	Απογείωση	Μέγιστη ώση απογείωσης	10				
747400	ICAO_A	9	2	Άνοδος	Μέγιστη ώση απογείωσης	T_10H	1 500			
747400	ICAO_A	9	3	Άνοδος	Μέγιστη ώση ανόδου	10	3 000			
747400	ICAO_A	9	4	Επιτάχυνση	Μέγιστη ώση ανόδου	10		734,4	226,3	
747400	ICAO_A	9	5	Επιτάχυνση	Μέγιστη ώση ανόδου	5		858,9	259,1	
747400	ICAO_A	9	6	Άνοδος	Μέγιστη ώση ανόδου	T_01	4 590			
747400	ICAO_A	9	7	Επιτάχυνση	Μέγιστη ώση ανόδου	T_01		1 051,2	270,6	
747400	ICAO_A	9	8	Επιτάχυνση	Μέγιστη ώση ανόδου	T_00H		1 143	282,2	
747400	ICAO_A	9	9	Άνοδος	Μέγιστη ώση ανόδου	T_00H	5 500			
747400	ICAO_A	9	10	Άνοδος	Μέγιστη ώση ανόδου	T_00H	7 500			
747400	ICAO_A	9	11	Άνοδος	Μέγιστη ώση ανόδου	T_00H	10 000			
747400	ICAO_B	1	1	Απογείωση	Μέγιστη ώση απογείωσης	10				

▼**M2**

ACFTID	Profile_ID (Προφίλ αναχώρησης)	Μήκος καλυπτόμενης διαδρομής	Αριθμός σταδίου	Είδος σταδίου	Μέγεθος ώσης	Flap_ID (Θέση πτερυγίων καμπυλότητας)	Οροφή ανόδου (ft)	Ρυθμός ανόδου (ft/min)	Διακριβωμένη ταχύτητα αέρα στην οροφή ανόδου (kt)	Ποσοστό επιτάχυνσης (%)
747400	ICAO_B	1	2	Άνοδος	Μέγιστη ώση απογείωσης	T_10	1 000			
747400	ICAO_B	1	3	Επιτάχυνση	Μέγιστη ώση απογείωσης	10		1 890,2	182,3	
747400	ICAO_B	1	4	Άνοδος	Μέγιστη ώση απογείωσης	10	1 646			
747400	ICAO_B	1	5	Επιτάχυνση	Μέγιστη ώση ανόδου	T_05		1 788,2	242	
747400	ICAO_B	1	6	Άνοδος	Μέγιστη ώση ανόδου	T_05	4 194			
747400	ICAO_B	1	7	Επιτάχυνση	Μέγιστη ώση ανόδου	ZERO		2 170,6	259	
747400	ICAO_B	1	8	Άνοδος	Μέγιστη ώση ανόδου	ZERO	5 500			
747400	ICAO_B	1	9	Άνοδος	Μέγιστη ώση ανόδου	ZERO	7 500			
747400	ICAO_B	1	10	Άνοδος	Μέγιστη ώση ανόδου	ZERO	10 000			
747400	ICAO_B	2	1	Απογείωση	Μέγιστη ώση απογείωσης	10				
747400	ICAO_B	2	2	Άνοδος	Μέγιστη ώση απογείωσης	T_10	1 000			
747400	ICAO_B	2	3	Επιτάχυνση	Μέγιστη ώση απογείωσης	10		1 836,7	184,9	
747400	ICAO_B	2	4	Άνοδος	Μέγιστη ώση απογείωσης	10	1 640			
747400	ICAO_B	2	5	Επιτάχυνση	Μέγιστη ώση ανόδου	T_05		1 727,1	244,6	
747400	ICAO_B	2	6	Άνοδος	Μέγιστη ώση ανόδου	T_05	4 067			
747400	ICAO_B	2	7	Επιτάχυνση	Μέγιστη ώση ανόδου	ZERO		2 088,1	259,2	
747400	ICAO_B	2	8	Άνοδος	Μέγιστη ώση ανόδου	ZERO	5 500			
747400	ICAO_B	2	9	Άνοδος	Μέγιστη ώση ανόδου	ZERO	7 500			
747400	ICAO_B	2	10	Άνοδος	Μέγιστη ώση ανόδου	ZERO	10 000			
747400	ICAO_B	3	1	Απογείωση	Μέγιστη ώση απογείωσης	10				
747400	ICAO_B	3	2	Άνοδος	Μέγιστη ώση απογείωσης	T_10	1 000			
747400	ICAO_B	3	3	Επιτάχυνση	Μέγιστη ώση απογείωσης	10		1 777,6	187,5	

▼**M2**

ACFTID	Profile_ID (Προφίλ αναχώρησης)	Μήκος καλυπτόμενης διαδρομής	Αριθμός σταδίου	Είδος σταδίου	Μέγεθος ώσης	Flap_ID (Θέση πτερυγίων καμπυλότητας)	Οροφή ανόδου (ft)	Ρυθμός ανόδου (ft/min)	Διακριβωμένη ταχύτητα αέρα στην οροφή ανόδου (kt)	Ποσοστό επιτάχυνσης (%)
747400	ICAO_B	3	4	Άνοδος	Μέγιστη ώση απογείωσης	10	1 637			
747400	ICAO_B	3	5	Επιτάχυνση	Μέγιστη ώση ανόδου	T_05		1 653,3	247,2	
747400	ICAO_B	3	6	Άνοδος	Μέγιστη ώση ανόδου	T_05C	3 942			
747400	ICAO_B	3	7	Επιτάχυνση	Μέγιστη ώση ανόδου	ZERO		2 009,7	259,2	
747400	ICAO_B	3	8	Άνοδος	Μέγιστη ώση ανόδου	ZERO	5 500			
747400	ICAO_B	3	9	Άνοδος	Μέγιστη ώση ανόδου	ZERO	7 500			
747400	ICAO_B	3	10	Άνοδος	Μέγιστη ώση ανόδου	ZERO	10 000			
747400	ICAO_B	4	1	Απογείωση	Μέγιστη ώση απογείωσης	10				
747400	ICAO_B	4	2	Άνοδος	Μέγιστη ώση απογείωσης	T_10	1 000			
747400	ICAO_B	4	3	Επιτάχυνση	Μέγιστη ώση απογείωσης	10		1 653,5	192,6	
747400	ICAO_B	4	4	Άνοδος	Μέγιστη ώση απογείωσης	10	1 633			
747400	ICAO_B	4	5	Επιτάχυνση	Μέγιστη ώση ανόδου	T_05		1 535,2	252,2	
747400	ICAO_B	4	6	Άνοδος	Μέγιστη ώση ανόδου	T_05C	3 718			
747400	ICAO_B	4	7	Επιτάχυνση	Μέγιστη ώση ανόδου	ZERO		1 858,5	259,2	
747400	ICAO_B	4	8	Άνοδος	Μέγιστη ώση ανόδου	ZERO	5 500			
747400	ICAO_B	4	9	Άνοδος	Μέγιστη ώση ανόδου	ZERO	7 500			
747400	ICAO_B	4	10	Άνοδος	Μέγιστη ώση ανόδου	ZERO	10 000			
747400	ICAO_B	5	1	Απογείωση	Μέγιστη ώση απογείωσης	10				
747400	ICAO_B	5	2	Άνοδος	Μέγιστη ώση απογείωσης	T_10	1 000			
747400	ICAO_B	5	3	Επιτάχυνση	Μέγιστη ώση απογείωσης	10		1 518,3	198,7	
747400	ICAO_B	5	4	Άνοδος	Μέγιστη ώση απογείωσης	10	1 619			
747400	ICAO_B	5	5	Επιτάχυνση	Μέγιστη ώση ανόδου	T_05		1 397,6	258,3	

▼**M2**

ACFTID	Profile_ID (Προφίλ αναχώρησης)	Μήκος καλυπτόμενης διαδρομής	Αριθμός σταδίου	Είδος σταδίου	Μέγεθος ώσης	Flap_ID (Θέση πτερυγίων καμπυλότητας)	Οροφή ανόδου (ft)	Ρυθμός ανόδου (ft/min)	Διακριβωμένη ταχύτητα αέρα στην οροφή ανόδου (kt)	Ποσοστό επιτάχυνσης (%)
747400	ICAO_B	5	6	Άνοδος	Μέγιστη ώση ανόδου	T_05C	3 459			
747400	ICAO_B	5	7	Επιτάχυνση	Μέγιστη ώση ανόδου	ZERO		1 685,4	259,4	
747400	ICAO_B	5	8	Άνοδος	Μέγιστη ώση ανόδου	ZERO	5 500			
747400	ICAO_B	5	9	Άνοδος	Μέγιστη ώση ανόδου	ZERO	7 500			
747400	ICAO_B	5	10	Άνοδος	Μέγιστη ώση ανόδου	ZERO	10 000			
747400	ICAO_B	6	1	Απογείωση	Μέγιστη ώση απογείωσης	10				
747400	ICAO_B	6	2	Άνοδος	Μέγιστη ώση απογείωσης	T_10	1 000			
747400	ICAO_B	6	3	Επιτάχυνση	Μέγιστη ώση απογείωσης	10		1 394,6	205,1	
747400	ICAO_B	6	4	Άνοδος	Μέγιστη ώση απογείωσης	T_05C	1 606			
747400	ICAO_B	6	5	Επιτάχυνση	Μέγιστη ώση ανόδου	T_05		1 346,5	264,7	
747400	ICAO_B	6	6	Άνοδος	Μέγιστη ώση ανόδου	T_05C	3 217			
747400	ICAO_B	6	7	Επιτάχυνση	Μέγιστη ώση ανόδου	ZERO		1 560	269,2	
747400	ICAO_B	6	8	Άνοδος	Μέγιστη ώση ανόδου	ZERO	5 500			
747400	ICAO_B	6	9	Άνοδος	Μέγιστη ώση ανόδου	ZERO	7 500			
747400	ICAO_B	6	10	Άνοδος	Μέγιστη ώση ανόδου	ZERO	10 000			
747400	ICAO_B	7	1	Απογείωση	Μέγιστη ώση απογείωσης	10				
747400	ICAO_B	7	2	Άνοδος	Μέγιστη ώση απογείωσης	T_10H	1 000			
747400	ICAO_B	7	3	Επιτάχυνση	Μέγιστη ώση απογείωσης	10		1 271	211,9	
747400	ICAO_B	7	4	Άνοδος	Μέγιστη ώση απογείωσης	T_05	1 597			
747400	ICAO_B	7	5	Επιτάχυνση	Μέγιστη ώση ανόδου	T_05		1 112,4	259,4	
747400	ICAO_B	7	6	Άνοδος	Μέγιστη ώση ανόδου	T_05C	2 759			
747400	ICAO_B	7	7	Επιτάχυνση	Μέγιστη ώση ανόδου	T_01		1 323,5	271,4	
747400	ICAO_B	7	8	Άνοδος	Μέγιστη ώση ανόδου	ZERO	5 500			

▼**M2**

ACFTID	Profile_ID (Προφίλ αναχώρησης)	Μήκος καλυπτόμενης διαδρομής	Αριθμός σταδίου	Είδος σταδίου	Μέγεθος ώσης	Flap_ID (Θέση πτερυγίων καμπυλότητας)	Οροφή ανόδου (ft)	Ρυθμός ανόδου (ft/min)	Διακριβωμένη ταχύτητα αέρα στην οροφή ανόδου (kt)	Ποσοστό επιτάχυνσης (%)
747400	ICAO_B	7	9	Άνοδος	Μέγιστη ώση ανόδου	T_00H	7 500			
747400	ICAO_B	7	10	Άνοδος	Μέγιστη ώση ανόδου	T_00H	10 000			
747400	ICAO_B	8	1	Απογείωση	Μέγιστη ώση απογείωσης	10				
747400	ICAO_B	8	2	Άνοδος	Μέγιστη ώση απογείωσης	T_10H	1 000			
747400	ICAO_B	8	3	Επιτάχυνση	Μέγιστη ώση απογείωσης	10		1 147	218,9	
747400	ICAO_B	8	4	Άνοδος	Μέγιστη ώση απογείωσης	T_05	1 592			
747400	ICAO_B	8	5	Επιτάχυνση	Μέγιστη ώση ανόδου	T_05		975,2	259,6	
747400	ICAO_B	8	6	Άνοδος	Μέγιστη ώση ανόδου	T_05C	2 755			
747400	ICAO_B	8	7	Επιτάχυνση	Μέγιστη ώση ανόδου	T_01		1 209,5	278,4	
747400	ICAO_B	8	8	Άνοδος	Μέγιστη ώση ανόδου	T_00H	5 500			
747400	ICAO_B	8	9	Άνοδος	Μέγιστη ώση ανόδου	T_00H	7 500			
747400	ICAO_B	8	10	Άνοδος	Μέγιστη ώση ανόδου	T_00H	10 000			
747400	ICAO_B	9	1	Απογείωση	Μέγιστη ώση απογείωσης	10				
747400	ICAO_B	9	2	Άνοδος	Μέγιστη ώση απογείωσης	T_10H	1 000			
747400	ICAO_B	9	3	Επιτάχυνση	Μέγιστη ώση απογείωσης	10		1 070,9	223,3	
747400	ICAO_B	9	4	Άνοδος	Μέγιστη ώση απογείωσης	10	1 611			
747400	ICAO_B	9	5	Επιτάχυνση	Μέγιστη ώση ανόδου	T_05		893,7	259,5	
747400	ICAO_B	9	6	Άνοδος	Μέγιστη ώση ανόδου	T_01	2 782			
747400	ICAO_B	9	7	Επιτάχυνση	Μέγιστη ώση ανόδου	T_01		1 119,3	282,7	
747400	ICAO_B	9	8	Άνοδος	Μέγιστη ώση ανόδου	T_00H	5 500			
747400	ICAO_B	9	9	Άνοδος	Μέγιστη ώση ανόδου	T_00H	7 500			
747400	ICAO_B	9	10	Άνοδος	Μέγιστη ώση ανόδου	T_00H	10 000			

▼**M2**

ACFTID	Profile_ID (Προφίλ αναχώρησης)	Μήκος καλυπτόμενης διαδρομής	Αριθμός σταδίου	Είδος σταδίου	Μέγεθος ώσης	Flap_ID (Θέση πτερυγίων καμπυλότητας)	Οροφή ανόδου (ft)	Ρυθμός ανόδου (ft/min)	Διακριβωμένη ταχύτητα αέρα στην οροφή ανόδου (kt)	Ποσοστό επιτάχυνσης (%)
7478	DEFAULT	1	1	Απογείωση	Μέγιστη ώση απογείωσης	F_10				
7478	DEFAULT	1	2	Άνοδος	Μέγιστη ώση απογείωσης	F_10	1 000			
7478	DEFAULT	1	3	Επιτάχυνση_Ποσοστό	Μέγιστη ώση ανόδου	F_10			215	55
7478	DEFAULT	1	4	Επιτάχυνση_Ποσοστό	Μέγιστη ώση ανόδου	F_5			250	55
7478	DEFAULT	1	5	Επιτάχυνση_Ποσοστό	Μέγιστη ώση ανόδου	F_1			260	55
7478	DEFAULT	1	6	Άνοδος	Μέγιστη ώση ανόδου	F_0	3 000			
7478	DEFAULT	1	7	Επιτάχυνση_Ποσοστό	Μέγιστη ώση ανόδου	F_0			295	50
7478	DEFAULT	1	8	Άνοδος	Μέγιστη ώση ανόδου	F_0	10 000			
7478	DEFAULT	2	1	Απογείωση	Μέγιστη ώση απογείωσης	F_10				
7478	DEFAULT	2	2	Άνοδος	Μέγιστη ώση απογείωσης	F_10	1 000			
7478	DEFAULT	2	3	Επιτάχυνση_Ποσοστό	Μέγιστη ώση ανόδου	F_10			215	55
7478	DEFAULT	2	4	Επιτάχυνση_Ποσοστό	Μέγιστη ώση ανόδου	F_5			250	55
7478	DEFAULT	2	5	Επιτάχυνση_Ποσοστό	Μέγιστη ώση ανόδου	F_1			260	55
7478	DEFAULT	2	6	Άνοδος	Μέγιστη ώση ανόδου	F_0	3 000			
7478	DEFAULT	2	7	Επιτάχυνση_Ποσοστό	Μέγιστη ώση ανόδου	F_0			295	50

▼**M2**

ACFTID	Profile_ID (Προφίλ αναχώρησης)	Μήκος καλυπτόμενης διαδρομής	Αριθμός σταδίου	Είδος σταδίου	Μέγεθος ώσης	Flap_ID (Θέση πτερυγίων καμπυλότητας)	Οροφή ανόδου (ft)	Ρυθμός ανόδου (ft/min)	Διακριβωμένη ταχύτητα αέρα στην οροφή ανόδου (kt)	Ποσοστό επιτάχυνσης (%)
7478	DEFAULT	2	8	Άνοδος	Μέγιστη ώση ανόδου	F_0	10 000			
7478	DEFAULT	3	1	Απογείωση	Μέγιστη ώση απογείωσης	F_10				
7478	DEFAULT	3	2	Άνοδος	Μέγιστη ώση απογείωσης	F_10	1 000			
7478	DEFAULT	3	3	Επιτάχυνση_Ποσοστό	Μέγιστη ώση ανόδου	F_10			215	55
7478	DEFAULT	3	4	Επιτάχυνση_Ποσοστό	Μέγιστη ώση ανόδου	F_5			250	55
7478	DEFAULT	3	5	Επιτάχυνση_Ποσοστό	Μέγιστη ώση ανόδου	F_1			260	55
7478	DEFAULT	3	6	Άνοδος	Μέγιστη ώση ανόδου	F_0	3 000			
7478	DEFAULT	3	7	Επιτάχυνση_Ποσοστό	Μέγιστη ώση ανόδου	F_0			295	50
7478	DEFAULT	3	8	Άνοδος	Μέγιστη ώση ανόδου	F_0	10 000			
7478	DEFAULT	4	1	Απογείωση	Μέγιστη ώση απογείωσης	F_10				
7478	DEFAULT	4	2	Άνοδος	Μέγιστη ώση απογείωσης	F_10	1 000			
7478	DEFAULT	4	3	Επιτάχυνση_Ποσοστό	Μέγιστη ώση ανόδου	F_10			220	55
7478	DEFAULT	4	4	Επιτάχυνση_Ποσοστό	Μέγιστη ώση ανόδου	F_5			250	55
7478	DEFAULT	4	5	Επιτάχυνση_Ποσοστό	Μέγιστη ώση ανόδου	F_1			268	55
7478	DEFAULT	4	6	Άνοδος	Μέγιστη ώση ανόδου	F_0	3 000			
7478	DEFAULT	4	7	Επιτάχυνση_Ποσοστό	Μέγιστη ώση ανόδου	F_0			295	50

▼**M2**

ACFTID	Profile_ID (Προφίλ αναχώρησης)	Μήκος καλυπτόμενης διαδρομής	Αριθμός σταδίου	Είδος σταδίου	Μέγεθος ώσης	Flap_ID (Θέση πτερυγίων καμπυλότητας)	Οροφή ανόδου (ft)	Ρυθμός ανόδου (ft/min)	Διακριβωμένη ταχύτητα αέρα στην οροφή ανόδου (kt)	Ποσοστό επιτάχυνσης (%)
7478	DEFAULT	4	8	Άνοδος	Μέγιστη ώση ανόδου	F_0	10 000			
7478	DEFAULT	5	1	Απογείωση	Μέγιστη ώση απογείωσης	F_10				
7478	DEFAULT	5	2	Άνοδος	Μέγιστη ώση απογείωσης	F_10	1 000			
7478	DEFAULT	5	3	Επιτάχυνση_Ποσοστό	Μέγιστη ώση ανόδου	F_10			220	55
7478	DEFAULT	5	4	Επιτάχυνση_Ποσοστό	Μέγιστη ώση ανόδου	F_5			250	55
7478	DEFAULT	5	5	Επιτάχυνση_Ποσοστό	Μέγιστη ώση ανόδου	F_1			270	55
7478	DEFAULT	5	6	Άνοδος	Μέγιστη ώση ανόδου	F_0	3 000			
7478	DEFAULT	5	7	Επιτάχυνση_Ποσοστό	Μέγιστη ώση ανόδου	F_0			295	50
7478	DEFAULT	5	8	Άνοδος	Μέγιστη ώση ανόδου	F_0	10 000			
7478	DEFAULT	6	1	Απογείωση	Μέγιστη ώση απογείωσης	F_10				
7478	DEFAULT	6	2	Άνοδος	Μέγιστη ώση απογείωσης	F_10	1 000			
7478	DEFAULT	6	3	Επιτάχυνση_Ποσοστό	Μέγιστη ώση ανόδου	F_10			227	55
7478	DEFAULT	6	4	Επιτάχυνση_Ποσοστό	Μέγιστη ώση ανόδου	F_5			258	55
7478	DEFAULT	6	5	Επιτάχυνση_Ποσοστό	Μέγιστη ώση ανόδου	F_1			270	55
7478	DEFAULT	6	6	Άνοδος	Μέγιστη ώση ανόδου	F_0	3 000			

▼**M2**

ACFTID	Profile_ID (Προφίλ αναχώρησης)	Μήκος καλυπτόμενης διαδρομής	Αριθμός σταδίου	Είδος σταδίου	Μέγεθος ώσης	Flap_ID (Θέση πτερυγίων καμπυλότητας)	Οροφή ανόδου (ft)	Ρυθμός ανόδου (ft/min)	Διακριβωμένη ταχύτητα αέρα στην οροφή ανόδου (kt)	Ποσοστό επιτάχυνσης (%)
7478	DEFAULT	6	7	Επιτάχυνση_Ποσοστό	Μέγιστη ώση ανόδου	F_0			295	50
7478	DEFAULT	6	8	Άνοδος	Μέγιστη ώση ανόδου	F_0	10 000			
7478	DEFAULT	7	1	Απογείωση	Μέγιστη ώση απογείωσης	F_10				
7478	DEFAULT	7	2	Άνοδος	Μέγιστη ώση απογείωσης	F_10	1 000			
7478	DEFAULT	7	3	Επιτάχυνση_Ποσοστό	Μέγιστη ώση ανόδου	F_10			230	55
7478	DEFAULT	7	4	Επιτάχυνση_Ποσοστό	Μέγιστη ώση ανόδου	F_5			260	55
7478	DEFAULT	7	5	Επιτάχυνση_Ποσοστό	Μέγιστη ώση ανόδου	F_1			275	55
7478	DEFAULT	7	6	Άνοδος	Μέγιστη ώση ανόδου	F_0	3 000			
7478	DEFAULT	7	7	Επιτάχυνση_Ποσοστό	Μέγιστη ώση ανόδου	F_0			295	50
7478	DEFAULT	7	8	Άνοδος	Μέγιστη ώση ανόδου	F_0	10 000			
7478	DEFAULT	8	1	Απογείωση	Μέγιστη ώση απογείωσης	F_10				
7478	DEFAULT	8	2	Άνοδος	Μέγιστη ώση απογείωσης	F_10	1 000			
7478	DEFAULT	8	3	Επιτάχυνση_Ποσοστό	Μέγιστη ώση ανόδου	F_10			235	55
7478	DEFAULT	8	4	Επιτάχυνση_Ποσοστό	Μέγιστη ώση ανόδου	F_5			265	55
7478	DEFAULT	8	5	Επιτάχυνση_Ποσοστό	Μέγιστη ώση ανόδου	F_1			280	55

▼**M2**

ACFTID	Profile_ID (Προφίλ αναχώρησης)	Μήκος καλυπτόμενης διαδρομής	Αριθμός σταδίου	Είδος σταδίου	Μέγεθος ώσης	Flap_ID (Θέση πτερυγίων καμπυλότητας)	Οροφή ανόδου (ft)	Ρυθμός ανόδου (ft/min)	Διακριβωμένη ταχύτητα αέρα στην οροφή ανόδου (kt)	Ποσοστό επιτάχυνσης (%)
7478	DEFAULT	8	6	Άνοδος	Μέγιστη ώση ανόδου	F_0	3 000			
7478	DEFAULT	8	7	Επιτάχυνση_Ποσοστό	Μέγιστη ώση ανόδου	F_0			295	50
7478	DEFAULT	8	8	Άνοδος	Μέγιστη ώση ανόδου	F_0	10 000			
7478	DEFAULT	9	1	Απογείωση	Μέγιστη ώση απογείωσης	F_10				
7478	DEFAULT	9	2	Άνοδος	Μέγιστη ώση απογείωσης	F_10	1 000			
7478	DEFAULT	9	3	Επιτάχυνση_Ποσοστό	Μέγιστη ώση ανόδου	F_10			235	55
7478	DEFAULT	9	4	Επιτάχυνση_Ποσοστό	Μέγιστη ώση ανόδου	F_5			265	55
7478	DEFAULT	9	5	Επιτάχυνση_Ποσοστό	Μέγιστη ώση ανόδου	F_1			280	55
7478	DEFAULT	9	6	Άνοδος	Μέγιστη ώση ανόδου	F_0	3 000			
7478	DEFAULT	9	7	Επιτάχυνση_Ποσοστό	Μέγιστη ώση ανόδου	F_0			295	50
7478	DEFAULT	9	8	Άνοδος	Μέγιστη ώση ανόδου	F_0	10 000			
7478	ICAO_A	1	1	Απογείωση	Μέγιστη ώση απογείωσης	F_10				
7478	ICAO_A	1	2	Άνοδος	Μέγιστη ώση απογείωσης	F_10	1 500			
7478	ICAO_A	1	3	Άνοδος	Μέγιστη ώση ανόδου	F_10	3 000			
7478	ICAO_A	1	4	Επιτάχυνση_Ποσοστό	Μέγιστη ώση ανόδου	F_10			220	55
7478	ICAO_A	1	5	Επιτάχυνση_Ποσοστό	Μέγιστη ώση ανόδου	F_5			250	55

▼**M2**

ACFTID	Profile_ID (Προφίλ αναχώρησης)	Μήκος καλυπτόμενης διαδρομής	Αριθμός σταδίου	Είδος σταδίου	Μέγεθος ώσης	Flap_ID (Θέση πτερυγίων καμπυλότητας)	Οροφή ανόδου (ft)	Ρυθμός ανόδου (ft/min)	Διακριβωμένη ταχύτητα αέρα στην οροφή ανόδου (kt)	Ποσοστό επιτάχυνσης (%)
7478	ICAO_A	1	6	Άνοδος	Μέγιστη ώση ανόδου	F_1	4 700			
7478	ICAO_A	1	7	Επιτάχυνση_Ποσοστό	Μέγιστη ώση ανόδου	F_0			276	50
7478	ICAO_A	1	8	Άνοδος	Μέγιστη ώση ανόδου	F_0	10 000			
7478	ICAO_A	2	1	Απογείωση	Μέγιστη ώση απογείωσης	F_10				
7478	ICAO_A	2	2	Άνοδος	Μέγιστη ώση απογείωσης	F_10	1 500			
7478	ICAO_A	2	3	Άνοδος	Μέγιστη ώση ανόδου	F_10	3 000			
7478	ICAO_A	2	4	Επιτάχυνση_Ποσοστό	Μέγιστη ώση ανόδου	F_10			220	55
7478	ICAO_A	2	5	Επιτάχυνση_Ποσοστό	Μέγιστη ώση ανόδου	F_1			254	55
7478	ICAO_A	2	6	Άνοδος	Μέγιστη ώση ανόδου	F_1	4 800			
7478	ICAO_A	2	7	Επιτάχυνση_Ποσοστό	Μέγιστη ώση ανόδου	F_0			275	50
7478	ICAO_A	2	8	Άνοδος	Μέγιστη ώση ανόδου	F_0	10 000			
7478	ICAO_A	3	1	Απογείωση	Μέγιστη ώση απογείωσης	F_10				
7478	ICAO_A	3	2	Άνοδος	Μέγιστη ώση απογείωσης	F_10	1 500			
7478	ICAO_A	3	3	Άνοδος	Μέγιστη ώση ανόδου	F_10	3 000			
7478	ICAO_A	3	4	Επιτάχυνση_Ποσοστό	Μέγιστη ώση ανόδου	F_5			220	55
7478	ICAO_A	3	5	Επιτάχυνση_Ποσοστό	Μέγιστη ώση ανόδου	F_1			255	55

▼**M2**

ACFTID	Profile_ID (Προφίλ αναχώρησης)	Μήκος καλυπτόμενης διαδρομής	Αριθμός σταδίου	Είδος σταδίου	Μέγεθος ώσης	Flap_ID (Θέση πτερυγίων καμπυλότητας)	Οροφή ανόδου (ft)	Ρυθμός ανόδου (ft/min)	Διακριβωμένη ταχύτητα αέρα στην οροφή ανόδου (kt)	Ποσοστό επιτάχυνσης (%)
7478	ICAO_A	3	6	Άνοδος	Μέγιστη ώση ανόδου	F_1	4 500			
7478	ICAO_A	3	7	Επιτάχυνση_Ποσοστό	Μέγιστη ώση ανόδου	F_0			275	50
7478	ICAO_A	3	8	Άνοδος	Μέγιστη ώση ανόδου	F_0	10 000			
7478	ICAO_A	4	1	Απογείωση	Μέγιστη ώση απογείωσης	F_10				
7478	ICAO_A	4	2	Άνοδος	Μέγιστη ώση απογείωσης	F_10	1 500			
7478	ICAO_A	4	3	Άνοδος	Μέγιστη ώση ανόδου	F_10	3 000			
7478	ICAO_A	4	4	Επιτάχυνση_Ποσοστό	Μέγιστη ώση ανόδου	F_10			220	55
7478	ICAO_A	4	5	Επιτάχυνση_Ποσοστό	Μέγιστη ώση ανόδου	F_5			255	55
7478	ICAO_A	4	6	Επιτάχυνση_Ποσοστό	Μέγιστη ώση ανόδου	F_1			275	55
7478	ICAO_A	4	7	Άνοδος	Μέγιστη ώση ανόδου	F_0	10 000			
7478	ICAO_A	5	1	Απογείωση	Μέγιστη ώση απογείωσης	F_10				
7478	ICAO_A	5	2	Άνοδος	Μέγιστη ώση απογείωσης	F_10	1 500			
7478	ICAO_A	5	3	Άνοδος	Μέγιστη ώση ανόδου	F_10	3 000			
7478	ICAO_A	5	4	Επιτάχυνση_Ποσοστό	Μέγιστη ώση ανόδου	F_5			220	55
7478	ICAO_A	5	5	Επιτάχυνση_Ποσοστό	Μέγιστη ώση ανόδου	F_1			255	55
7478	ICAO_A	5	6	Επιτάχυνση_Ποσοστό	Μέγιστη ώση ανόδου	F_0			275	50

▼**M2**

ACFTID	Profile_ID (Προφίλ αναχώρησης)	Μήκος καλυπτόμενης διαδρομής	Αριθμός σταδίου	Είδος σταδίου	Μέγεθος ώσης	Flap_ID (Θέση πτερυγίων καμπυλότητας)	Οροφή ανόδου (ft)	Ρυθμός ανόδου (ft/min)	Διακριβωμένη ταχύτητα αέρα στην οροφή ανόδου (kt)	Ποσοστό επιτάχυνσης (%)
7478	ICAO_A	5	7	Άνοδος	Μέγιστη ώση ανόδου	F_0	10 000			
7478	ICAO_A	6	1	Απογείωση	Μέγιστη ώση απογείωσης	F_10				
7478	ICAO_A	6	2	Άνοδος	Μέγιστη ώση απογείωσης	F_10	1 500			
7478	ICAO_A	6	3	Άνοδος	Μέγιστη ώση ανόδου	F_10	3 000			
7478	ICAO_A	6	4	Επιτάχυνση_Ποσοστό	Μέγιστη ώση ανόδου	F_5			225	55
7478	ICAO_A	6	5	Επιτάχυνση_Ποσοστό	Μέγιστη ώση ανόδου	F_1			255	55
7478	ICAO_A	6	6	Επιτάχυνση_Ποσοστό	Μέγιστη ώση ανόδου	F_0			278	50
7478	ICAO_A	6	7	Άνοδος	Μέγιστη ώση ανόδου	F_0	10 000			
7478	ICAO_A	7	1	Απογείωση	Μέγιστη ώση απογείωσης	F_10				
7478	ICAO_A	7	2	Άνοδος	Μέγιστη ώση απογείωσης	F_10	1 500			
7478	ICAO_A	7	3	Άνοδος	Μέγιστη ώση ανόδου	F_10	3 000			
7478	ICAO_A	7	4	Επιτάχυνση_Ποσοστό	Μέγιστη ώση ανόδου	F_5			225	55
7478	ICAO_A	7	5	Επιτάχυνση_Ποσοστό	Μέγιστη ώση ανόδου	F_1			255	55
7478	ICAO_A	7	6	Επιτάχυνση_Ποσοστό	Μέγιστη ώση ανόδου	F_0			278	50
7478	ICAO_A	7	7	Άνοδος	Μέγιστη ώση ανόδου	F_0	10 000			
7478	ICAO_A	8	1	Απογείωση	Μέγιστη ώση απογείωσης	F_10				
7478	ICAO_A	8	2	Άνοδος	Μέγιστη ώση απογείωσης	F_10	1 500			

▼**M2**

ACFTID	Profile_ID (Προφίλ αναχώρησης)	Μήκος καλυπτόμενης διαδρομής	Αριθμός σταδίου	Είδος σταδίου	Μέγεθος ώσης	Flap_ID (Θέση πτερυγίων καμπυλότητας)	Οροφή ανόδου (ft)	Ρυθμός ανόδου (ft/min)	Διακριβωμένη ταχύτητα αέρα στην οροφή ανόδου (kt)	Ποσοστό επιτάχυνσης (%)
7478	ICAO_A	8	3	Άνοδος	Μέγιστη ώση ανόδου	F_10	3 000			
7478	ICAO_A	8	4	Επιτάχυνση_Ποσοστό	Μέγιστη ώση ανόδου	F_5			230	55
7478	ICAO_A	8	5	Επιτάχυνση_Ποσοστό	Μέγιστη ώση ανόδου	F_1			265	55
7478	ICAO_A	8	6	Επιτάχυνση_Ποσοστό	Μέγιστη ώση ανόδου	F_0			280	50
7478	ICAO_A	8	7	Άνοδος	Μέγιστη ώση ανόδου	F_0	10 000			
7478	ICAO_A	9	1	Απογείωση	Μέγιστη ώση απογείωσης	F_10				
7478	ICAO_A	9	2	Άνοδος	Μέγιστη ώση απογείωσης	F_10	1 500			
7478	ICAO_A	9	3	Άνοδος	Μέγιστη ώση ανόδου	F_10	3 000			
7478	ICAO_A	9	4	Επιτάχυνση_Ποσοστό	Μέγιστη ώση ανόδου	F_5			230	55
7478	ICAO_A	9	5	Επιτάχυνση_Ποσοστό	Μέγιστη ώση ανόδου	F_1			265	55
7478	ICAO_A	9	6	Επιτάχυνση_Ποσοστό	Μέγιστη ώση ανόδου	F_0			280	50
7478	ICAO_A	9	7	Άνοδος	Μέγιστη ώση ανόδου	F_0	10 000			
7478	ICAO_B	1	1	Απογείωση	Μέγιστη ώση απογείωσης	F_10				
7478	ICAO_B	1	2	Άνοδος	Μέγιστη ώση απογείωσης	F_10	1 000			
7478	ICAO_B	1	3	Επιτάχυνση_Ποσοστό	Μέγιστη ώση απογείωσης	F_10			210	55
7478	ICAO_B	1	4	Επιτάχυνση_Ποσοστό	Μέγιστη ώση απογείωσης	F_5			250	55

▼**M2**

ACFTID	Profile_ID (Προφίλ αναχώρησης)	Μήκος καλυπτόμενης διαδρομής	Αριθμός σταδίου	Είδος σταδίου	Μέγεθος ώσης	Flap_ID (Θέση πτερυγίων καμπυλότητας)	Οροφή ανόδου (ft)	Ρυθμός ανόδου (ft/min)	Διακριβωμένη ταχύτητα αέρα στην οροφή ανόδου (kt)	Ποσοστό επιτάχυνσης (%)
7478	ICAO_B	1	5	Άνοδος	Μέγιστη ώση απογείωσης	F_1	3 480			
7478	ICAO_B	1	6	Επιτάχυνση_Ποσοστό	Μέγιστη ώση ανόδου	F_0			280	50
7478	ICAO_B	1	7	Άνοδος	Μέγιστη ώση ανόδου	F_0	10 000			
7478	ICAO_B	2	1	Απογείωση	Μέγιστη ώση απογείωσης	F_10				
7478	ICAO_B	2	2	Άνοδος	Μέγιστη ώση απογείωσης	F_10	1 000			
7478	ICAO_B	2	3	Επιτάχυνση_Ποσοστό	Μέγιστη ώση απογείωσης	F_10			223	55
7478	ICAO_B	2	4	Επιτάχυνση_Ποσοστό	Μέγιστη ώση απογείωσης	F_5			250	55
7478	ICAO_B	2	5	Άνοδος	Μέγιστη ώση απογείωσης	F_1	3 350			
7478	ICAO_B	2	6	Επιτάχυνση_Ποσοστό	Μέγιστη ώση ανόδου	F_0			280	50
7478	ICAO_B	2	7	Άνοδος	Μέγιστη ώση ανόδου	F_0	10 000			
7478	ICAO_B	3	1	Απογείωση	Μέγιστη ώση απογείωσης	F_10				
7478	ICAO_B	3	2	Άνοδος	Μέγιστη ώση απογείωσης	F_10	1 000			
7478	ICAO_B	3	3	Επιτάχυνση_Ποσοστό	Μέγιστη ώση απογείωσης	F_10			223	55
7478	ICAO_B	3	4	Επιτάχυνση_Ποσοστό	Μέγιστη ώση απογείωσης	F_5			263	55
7478	ICAO_B	3	5	Άνοδος	Μέγιστη ώση απογείωσης	F_1	3 350			
7478	ICAO_B	3	6	Επιτάχυνση_Ποσοστό	Μέγιστη ώση ανόδου	F_0			300	50

▼**M2**

ACFTID	Profile_ID (Προφίλ αναχώρησης)	Μήκος καλυπτόμενης διαδρομής	Αριθμός σταδίου	Είδος σταδίου	Μέγεθος ώσης	Flap_ID (Θέση πτερυγίων καμπυλότητας)	Οροφή ανόδου (ft)	Ρυθμός ανόδου (ft/min)	Διακριβωμένη ταχύτητα αέρα στην οροφή ανόδου (kt)	Ποσοστό επιτάχυνσης (%)
7478	ICAO_B	3	7	Άνοδος	Μέγιστη ώση ανόδου	F_0	10 000			
7478	ICAO_B	4	1	Απογείωση	Μέγιστη ώση απογείωσης	F_10				
7478	ICAO_B	4	2	Άνοδος	Μέγιστη ώση απογείωσης	F_10	1 000			
7478	ICAO_B	4	3	Επιτάχυνση_Ποσοστό	Μέγιστη ώση απογείωσης	F_10			210	55
7478	ICAO_B	4	4	Επιτάχυνση_Ποσοστό	Μέγιστη ώση απογείωσης	F_5			260	55
7478	ICAO_B	4	5	Άνοδος	Μέγιστη ώση απογείωσης	F_1	3 480			
7478	ICAO_B	4	6	Επιτάχυνση_Ποσοστό	Μέγιστη ώση ανόδου	F_0			270	50
7478	ICAO_B	4	7	Άνοδος	Μέγιστη ώση ανόδου	F_0	10 000			
7478	ICAO_B	5	1	Απογείωση	Μέγιστη ώση απογείωσης	F_10				
7478	ICAO_B	5	2	Άνοδος	Μέγιστη ώση απογείωσης	F_10	1 000			
7478	ICAO_B	5	3	Επιτάχυνση_Ποσοστό	Μέγιστη ώση απογείωσης	F_10			228	55
7478	ICAO_B	5	4	Επιτάχυνση_Ποσοστό	Μέγιστη ώση απογείωσης	F_5			262	55
7478	ICAO_B	5	5	Άνοδος	Μέγιστη ώση απογείωσης	F_1	2 760			
7478	ICAO_B	5	6	Επιτάχυνση_Ποσοστό	Μέγιστη ώση ανόδου	F_0			270	50
7478	ICAO_B	5	7	Άνοδος	Μέγιστη ώση ανόδου	F_0	10 000			
7478	ICAO_B	6	1	Απογείωση	Μέγιστη ώση απογείωσης	F_10				

▼**M2**

ACFTID	Profile_ID (Προφίλ αναχώρησης)	Μήκος καλυπτόμενης διαδρομής	Αριθμός σταδίου	Είδος σταδίου	Μέγεθος ώσης	Flap_ID (Θέση πτερυγίων καμπυλότητας)	Οροφή ανόδου (ft)	Ρυθμός ανόδου (ft/min)	Διακριβωμένη ταχύτητα αέρα στην οροφή ανόδου (kt)	Ποσοστό επιτάχυνσης (%)
7478	ICAO_B	6	2	Άνοδος	Μέγιστη ώση απογείωσης	F_10	1 000			
7478	ICAO_B	6	3	Επιτάχυνση_Ποσοστό	Μέγιστη ώση απογείωσης	F_10			231	55
7478	ICAO_B	6	4	Επιτάχυνση_Ποσοστό	Μέγιστη ώση απογείωσης	F_5			264	55
7478	ICAO_B	6	5	Άνοδος	Μέγιστη ώση απογείωσης	F_1	2 610			
7478	ICAO_B	6	6	Επιτάχυνση_Ποσοστό	Μέγιστη ώση ανόδου	F_0			300	50
7478	ICAO_B	6	7	Άνοδος	Μέγιστη ώση ανόδου	F_0	10 000			
7478	ICAO_B	7	1	Απογείωση	Μέγιστη ώση απογείωσης	F_10				
7478	ICAO_B	7	2	Άνοδος	Μέγιστη ώση απογείωσης	F_10	1 000			
7478	ICAO_B	7	3	Επιτάχυνση_Ποσοστό	Μέγιστη ώση απογείωσης	F_10			231	55
7478	ICAO_B	7	4	Επιτάχυνση_Ποσοστό	Μέγιστη ώση απογείωσης	F_5			270	55
7478	ICAO_B	7	5	Άνοδος	Μέγιστη ώση απογείωσης	F_1	2 610			
7478	ICAO_B	7	6	Επιτάχυνση_Ποσοστό	Μέγιστη ώση ανόδου	F_0			300	50
7478	ICAO_B	7	7	Άνοδος	Μέγιστη ώση ανόδου	F_0	10 000			
7478	ICAO_B	8	1	Απογείωση	Μέγιστη ώση απογείωσης	F_10				
7478	ICAO_B	8	2	Άνοδος	Μέγιστη ώση απογείωσης	F_10	1 000			
7478	ICAO_B	8	3	Επιτάχυνση_Ποσοστό	Μέγιστη ώση απογείωσης	F_10			235	55

▼**M2**

ACFTID	Profile_ID (Προφίλ αναχώρησης)	Μήκος καλυπτόμενης διαδρομής	Αριθμός σταδίου	Είδος σταδίου	Μέγεθος ώσης	Flap_ID (Θέση πτερυγίων καμπυλότητας)	Οροφή ανόδου (ft)	Ρυθμός ανόδου (ft/min)	Διακριβωμένη ταχύτητα αέρα στην οροφή ανόδου (kt)	Ποσοστό επιτάχυνσης (%)
7478	ICAO_B	8	4	Επιτάχυνση_Ποσοστό	Μέγιστη ώση απογείωσης	F_5			265	55
7478	ICAO_B	8	5	Επιτάχυνση_Ποσοστό	Μέγιστη ώση απογείωσης	F_1			275	55
7478	ICAO_B	8	6	Άνοδος	Μέγιστη ώση ανόδου	F_0	10 000			
7478	ICAO_B	9	1	Απογείωση	Μέγιστη ώση απογείωσης	F_10				
7478	ICAO_B	9	2	Άνοδος	Μέγιστη ώση απογείωσης	F_10	1 000			
7478	ICAO_B	9	3	Επιτάχυνση_Ποσοστό	Μέγιστη ώση απογείωσης	F_10			240	55
7478	ICAO_B	9	4	Επιτάχυνση_Ποσοστό	Μέγιστη ώση απογείωσης	F_5			270	55
7478	ICAO_B	9	5	Επιτάχυνση_Ποσοστό	Μέγιστη ώση απογείωσης	F_1			280	55
7478	ICAO_B	9	6	Άνοδος	Μέγιστη ώση ανόδου	F_0	10 000			
747SP	DEFAULT	1	1	Απογείωση	Μέγιστη ώση απογείωσης	10				
747SP	DEFAULT	1	2	Άνοδος	Μέγιστη ώση απογείωσης	10	1 000			
747SP	DEFAULT	1	3	Επιτάχυνση	Μέγιστη ώση απογείωσης	10		2 469	163	
747SP	DEFAULT	1	4	Επιτάχυνση	Μέγιστη ώση ανόδου	5		1 000	203	
747SP	DEFAULT	1	5	Άνοδος	Μέγιστη ώση ανόδου	ZERO	3 000			
747SP	DEFAULT	1	6	Επιτάχυνση	Μέγιστη ώση ανόδου	ZERO		1 000	250	
747SP	DEFAULT	1	7	Άνοδος	Μέγιστη ώση ανόδου	ZERO	5 500			

▼**M2**

ACFTID	Profile_ID (Προφίλ αναχώρησης)	Μήκος καλυπτόμενης διαδρομής	Αριθμός σταδίου	Είδος σταδίου	Μέγεθος ώσης	Flap_ID (Θέση πτερυγίων καμπυλότητας)	Οροφή ανόδου (ft)	Ρυθμός ανόδου (ft/min)	Διακριβωμένη ταχύτητα αέρα στην οροφή ανόδου (kt)	Ποσοστό επιτάχυνσης (%)
747SP	DEFAULT	1	8	Άνοδος	Μέγιστη ώση ανόδου	ZERO	7 500			
747SP	DEFAULT	1	9	Άνοδος	Μέγιστη ώση ανόδου	ZERO	10 000			
747SP	DEFAULT	2	1	Απογείωση	Μέγιστη ώση απογείωσης	10				
747SP	DEFAULT	2	2	Άνοδος	Μέγιστη ώση απογείωσης	10	1 000			
747SP	DEFAULT	2	3	Επιτάχυνση	Μέγιστη ώση απογείωσης	10		2 326	167	
747SP	DEFAULT	2	4	Επιτάχυνση	Μέγιστη ώση ανόδου	5		1 000	207	
747SP	DEFAULT	2	5	Άνοδος	Μέγιστη ώση ανόδου	ZERO	3 000			
747SP	DEFAULT	2	6	Επιτάχυνση	Μέγιστη ώση ανόδου	ZERO		1 000	250	
747SP	DEFAULT	2	7	Άνοδος	Μέγιστη ώση ανόδου	ZERO	5 500			
747SP	DEFAULT	2	8	Άνοδος	Μέγιστη ώση ανόδου	ZERO	7 500			
747SP	DEFAULT	2	9	Άνοδος	Μέγιστη ώση ανόδου	ZERO	10 000			
747SP	DEFAULT	3	1	Απογείωση	Μέγιστη ώση απογείωσης	10				
747SP	DEFAULT	3	2	Άνοδος	Μέγιστη ώση απογείωσης	10	1 000			
747SP	DEFAULT	3	3	Επιτάχυνση	Μέγιστη ώση απογείωσης	10		2 201	170	
747SP	DEFAULT	3	4	Επιτάχυνση	Μέγιστη ώση ανόδου	5		1 000	210	
747SP	DEFAULT	3	5	Άνοδος	Μέγιστη ώση ανόδου	ZERO	3 000			
747SP	DEFAULT	3	6	Επιτάχυνση	Μέγιστη ώση ανόδου	ZERO		1 000	250	
747SP	DEFAULT	3	7	Άνοδος	Μέγιστη ώση ανόδου	ZERO	5 500			
747SP	DEFAULT	3	8	Άνοδος	Μέγιστη ώση ανόδου	ZERO	7 500			
747SP	DEFAULT	3	9	Άνοδος	Μέγιστη ώση ανόδου	ZERO	10 000			
747SP	DEFAULT	4	1	Απογείωση	Μέγιστη ώση απογείωσης	10				
747SP	DEFAULT	4	2	Άνοδος	Μέγιστη ώση απογείωσης	10	1 000			

▼**M2**

ACFTID	Profile_ID (Προφίλ αναχώρησης)	Μήκος καλυπτόμενης διαδρομής	Αριθμός σταδίου	Είδος σταδίου	Μέγεθος ώσης	Flap_ID (Θέση πτερυγίων καμπυλότητας)	Οροφή ανόδου (ft)	Ρυθμός ανόδου (ft/min)	Διακριβωμένη ταχύτητα αέρα στην οροφή ανόδου (kt)	Ποσοστό επιτάχυνσης (%)
747SP	DEFAULT	4	3	Επιτάχυνση	Μέγιστη ώση απογείωσης	10		2 027	175	
747SP	DEFAULT	4	4	Επιτάχυνση	Μέγιστη ώση ανόδου	5		1 000	215	
747SP	DEFAULT	4	5	Άνοδος	Μέγιστη ώση ανόδου	ZERO	3 000			
747SP	DEFAULT	4	6	Επιτάχυνση	Μέγιστη ώση ανόδου	ZERO		1 000	250	
747SP	DEFAULT	4	7	Άνοδος	Μέγιστη ώση ανόδου	ZERO	5 500			
747SP	DEFAULT	4	8	Άνοδος	Μέγιστη ώση ανόδου	ZERO	7 500			
747SP	DEFAULT	4	9	Άνοδος	Μέγιστη ώση ανόδου	ZERO	10 000			
747SP	DEFAULT	5	1	Απογείωση	Μέγιστη ώση απογείωσης	10				
747SP	DEFAULT	5	2	Άνοδος	Μέγιστη ώση απογείωσης	10	1 000			
747SP	DEFAULT	5	3	Επιτάχυνση	Μέγιστη ώση απογείωσης	10		1 821	182	
747SP	DEFAULT	5	4	Επιτάχυνση	Μέγιστη ώση ανόδου	5		1 000	222	
747SP	DEFAULT	5	5	Άνοδος	Μέγιστη ώση ανόδου	ZERO	3 000			
747SP	DEFAULT	5	6	Επιτάχυνση	Μέγιστη ώση ανόδου	ZERO		1 000	250	
747SP	DEFAULT	5	7	Άνοδος	Μέγιστη ώση ανόδου	ZERO	5 500			
747SP	DEFAULT	5	8	Άνοδος	Μέγιστη ώση ανόδου	ZERO	7 500			
747SP	DEFAULT	5	9	Άνοδος	Μέγιστη ώση ανόδου	ZERO	10 000			
747SP	DEFAULT	6	1	Απογείωση	Μέγιστη ώση απογείωσης	10				
747SP	DEFAULT	6	2	Άνοδος	Μέγιστη ώση απογείωσης	10	1 000			
747SP	DEFAULT	6	3	Επιτάχυνση	Μέγιστη ώση απογείωσης	10		1 643	188	
747SP	DEFAULT	6	4	Επιτάχυνση	Μέγιστη ώση ανόδου	5		1 000	228	
747SP	DEFAULT	6	5	Άνοδος	Μέγιστη ώση ανόδου	ZERO	3 000			
747SP	DEFAULT	6	6	Επιτάχυνση	Μέγιστη ώση ανόδου	ZERO		1 000	250	

▼**M2**

ACFTID	Profile_ID (Προφίλ αναχώρησης)	Μήκος καλυπτόμενης διαδρομής	Αριθμός σταδίου	Είδος σταδίου	Μέγεθος ώσης	Flap_ID (Θέση πτερυγίων καμπυλότητας)	Οροφή ανόδου (ft)	Ρυθμός ανόδου (ft/min)	Διακριβωμένη ταχύτητα αέρα στην οροφή ανόδου (kt)	Ποσοστό επιτάχυνσης (%)
747SP	DEFAULT	6	7	Άνοδος	Μέγιστη ώση ανόδου	ZERO	5 500			
747SP	DEFAULT	6	8	Άνοδος	Μέγιστη ώση ανόδου	ZERO	7 500			
747SP	DEFAULT	6	9	Άνοδος	Μέγιστη ώση ανόδου	ZERO	10 000			

▼**M2**

Πίνακας Θ-4 (μέρος 2)

Διαδικαστικά στάδια καθιερωμένης αναχώρησης

ACFTID	Profile_ID (Προφίλ αναχώρησης)	Μήκος καλυπτόμενης διαδρομής	Αριθμός σταδίου	Είδος σταδίου	Μέγεθος ώσης	Flap_ID (Θέση πτερυγίων καμπυλότητας)	Οροφή ανόδου (ft)	Ρυθμός ανόδου (ft/min)	Διακριβωμένη ταχύτητα αέρα στην οροφή ανόδου (kt)	Ποσοστό επιτάχυνσης (%)
747SP	DEFAULT	7	1	Απογείωση	Μέγιστη ώση απογείωσης	10				
747SP	DEFAULT	7	2	Άνοδος	Μέγιστη ώση απογείωσης	10	1 000			
747SP	DEFAULT	7	3	Επιτάχυνση	Μέγιστη ώση απογείωσης	10		1 403	196	
747SP	DEFAULT	7	4	Επιτάχυνση	Μέγιστη ώση ανόδου	5		1 000	236	
747SP	DEFAULT	7	5	Επιτάχυνση	Μέγιστη ώση ανόδου	ZERO		1 000	250	
747SP	DEFAULT	7	6	Άνοδος	Μέγιστη ώση ανόδου	ZERO	5 500			
747SP	DEFAULT	7	7	Άνοδος	Μέγιστη ώση ανόδου	ZERO	7 500			
747SP	DEFAULT	7	8	Άνοδος	Μέγιστη ώση ανόδου	ZERO	10 000			
757300	DEFAULT	1	1	Απογείωση	Μέγιστη ώση απογείωσης	T_05				
757300	DEFAULT	1	2	Άνοδος	Μέγιστη ώση απογείωσης	T_05	1 097			
757300	DEFAULT	1	3	Επιτάχυνση	Μέγιστη ώση απογείωσης	T_05		2 252,1	211,8	
757300	DEFAULT	1	4	Επιτάχυνση	Μέγιστη ώση απογείωσης	T_01		2 480	215,4	
757300	DEFAULT	1	5	Άνοδος	Μέγιστη ώση απογείωσης	T_00	2 569			

▼**M2**

ACFTID	Profile_ID (Προφίλ αναχώρησης)	Μήκος καλυπτόμενης διαδρομής	Αριθμός σταδίου	Είδος σταδίου	Μέγεθος ώσης	Flap_ID (Θέση πτερυγίων καμπυλότητας)	Οροφή ανόδου (ft)	Ρυθμός ανόδου (ft/min)	Διακριβωμένη ταχύτητα αέρα στην οροφή ανόδου (kt)	Ποσοστό επιτάχυνσης (%)
757300	DEFAULT	1	6	Άνοδος	Μέγιστη ώση ανόδου	T_00	3 000			
757300	DEFAULT	1	7	Επιτάχυνση	Μέγιστη ώση ανόδου	T_00		1 701,7	250	
757300	DEFAULT	1	8	Άνοδος	Μέγιστη ώση ανόδου	T_00	5 500			
757300	DEFAULT	1	9	Άνοδος	Μέγιστη ώση ανόδου	T_00	7 500			
757300	DEFAULT	1	10	Άνοδος	Μέγιστη ώση ανόδου	T_00	10 000			
757300	DEFAULT	2	1	Απογείωση	Μέγιστη ώση απογείωσης	T_05				
757300	DEFAULT	2	2	Άνοδος	Μέγιστη ώση απογείωσης	T_05	1 041			
757300	DEFAULT	2	3	Επιτάχυνση	Μέγιστη ώση απογείωσης	T_05		2 154,9	213	
757300	DEFAULT	2	4	Επιτάχυνση	Μέγιστη ώση απογείωσης	T_01		2 352	218,6	
757300	DEFAULT	2	5	Άνοδος	Μέγιστη ώση απογείωσης	T_00	2 412			
757300	DEFAULT	2	6	Άνοδος	Μέγιστη ώση ανόδου	T_00	3 000			
757300	DEFAULT	2	7	Επιτάχυνση	Μέγιστη ώση ανόδου	T_00		1 607,8	250	

▼**M2**

ACFTID	Profile_ID (Προφίλ αναχώρησης)	Μήκος καλυπτόμενης διαδρομής	Αριθμός σταδίου	Είδος σταδίου	Μέγεθος ώσης	Flap_ID (Θέση πτερυγίων καμπυλότητας)	Οροφή ανόδου (ft)	Ρυθμός ανόδου (ft/min)	Διακριβωμένη ταχύτητα αέρα στην οροφή ανόδου (kt)	Ποσοστό επιτάχυνσης (%)
757300	DEFAULT	2	8	Άνοδος	Μέγιστη ώση ανόδου	T_00	5 500			
757300	DEFAULT	2	9	Άνοδος	Μέγιστη ώση ανόδου	T_00	7 500			
757300	DEFAULT	2	10	Άνοδος	Μέγιστη ώση ανόδου	T_00	10 000			
757300	DEFAULT	3	1	Απογείωση	Μέγιστη ώση απογείωσης	T_05				
757300	DEFAULT	3	2	Άνοδος	Μέγιστη ώση απογείωσης	T_05	1 000			
757300	DEFAULT	3	3	Επιτάχυνση	Μέγιστη ώση απογείωσης	T_05		2 062	214,5	
757300	DEFAULT	3	4	Επιτάχυνση	Μέγιστη ώση απογείωσης	T_01		2 223,5	221,8	
757300	DEFAULT	3	5	Άνοδος	Μέγιστη ώση απογείωσης	T_00	2 275			
757300	DEFAULT	3	6	Άνοδος	Μέγιστη ώση ανόδου	T_00	3 000			
757300	DEFAULT	3	7	Επιτάχυνση	Μέγιστη ώση ανόδου	T_00		1 521,8	250	
757300	DEFAULT	3	8	Άνοδος	Μέγιστη ώση ανόδου	T_00	5 500			
757300	DEFAULT	3	9	Άνοδος	Μέγιστη ώση ανόδου	T_00	7 500			

▼**M2**

ACFTID	Profile_ID (Προφίλ αναχώρησης)	Μήκος καλυπτόμενης διαδρομής	Αριθμός σταδίου	Είδος σταδίου	Μέγεθος ώσης	Flap_ID (Θέση πτερυγίων καμπυλότητας)	Οροφή ανόδου (ft)	Ρυθμός ανόδου (ft/min)	Διακριβωμένη ταχύτητα αέρα στην οροφή ανόδου (kt)	Ποσοστό επιτάχυνσης (%)
757300	DEFAULT	3	10	Άνοδος	Μέγιστη ώση ανόδου	T_00	10 000			
757300	DEFAULT	4	1	Απογείωση	Μέγιστη ώση απογείωσης	T_05				
757300	DEFAULT	4	2	Άνοδος	Μέγιστη ώση απογείωσης	T_05	1 000			
757300	DEFAULT	4	3	Επιτάχυνση	Μέγιστη ώση απογείωσης	T_05		1 901,4	217,4	
757300	DEFAULT	4	4	Επιτάχυνση	Μέγιστη ώση απογείωσης	T_01		2 061,8	228	
757300	DEFAULT	4	5	Άνοδος	Μέγιστη ώση απογείωσης	T_00	2 099			
757300	DEFAULT	4	6	Άνοδος	Μέγιστη ώση ανόδου	T_00	3 000			
757300	DEFAULT	4	7	Επιτάχυνση	Μέγιστη ώση ανόδου	T_00		1 374,1	250	
757300	DEFAULT	4	8	Άνοδος	Μέγιστη ώση ανόδου	T_00	5 500			
757300	DEFAULT	4	9	Άνοδος	Μέγιστη ώση ανόδου	T_00	7 500			
757300	DEFAULT	4	10	Άνοδος	Μέγιστη ώση ανόδου	T_00	10 000			
757300	DEFAULT	5	1	Απογείωση	Μέγιστη ώση απογείωσης	T_05				

▼**M2**

ACFTID	Profile_ID (Προφίλ αναχώρησης)	Μήκος καλυπτόμενης διαδρομής	Αριθμός σταδίου	Είδος σταδίου	Μέγεθος ώσης	Flap_ID (Θέση πτερυγίων καμπυλότητας)	Οροφή ανόδου (ft)	Ρυθμός ανόδου (ft/min)	Διακριβωμένη ταχύτητα αέρα στην οροφή ανόδου (kt)	Ποσοστό επιτάχυνσης (%)
757300	DEFAULT	5	2	Άνοδος	Μέγιστη ώση απογείωσης	T_05	1 000			
757300	DEFAULT	5	3	Επιτάχυνση	Μέγιστη ώση απογείωσης	T_05		1 729,2	221,7	
757300	DEFAULT	5	4	Επιτάχυνση	Μέγιστη ώση απογείωσης	T_01		1 881,8	236,7	
757300	DEFAULT	5	5	Άνοδος	Μέγιστη ώση απογείωσης	T_00	1 891			
757300	DEFAULT	5	6	Άνοδος	Μέγιστη ώση ανόδου	T_00	3 000			
757300	DEFAULT	5	7	Επιτάχυνση	Μέγιστη ώση ανόδου	T_00		1 227,3	250	
757300	DEFAULT	5	8	Άνοδος	Μέγιστη ώση ανόδου	T_00	5 500			
757300	DEFAULT	5	9	Άνοδος	Μέγιστη ώση ανόδου	T_00	7 500			
757300	DEFAULT	5	10	Άνοδος	Μέγιστη ώση ανόδου	T_00	10 000			
757300	DEFAULT	6	1	Απογείωση	Μέγιστη ώση απογείωσης	T_05				
757300	DEFAULT	6	2	Άνοδος	Μέγιστη ώση απογείωσης	T_05	1 000			
757300	DEFAULT	6	3	Επιτάχυνση	Μέγιστη ώση απογείωσης	T_05		1 655	224	

▼**M2**

ACFTID	Profile_ID (Προφίλ αναχώρησης)	Μήκος καλυπτόμενης διαδρομής	Αριθμός σταδίου	Είδος σταδίου	Μέγεθος ώσης	Flap_ID (Θέση πτερυγίων καμπυλότητας)	Οροφή ανόδου (ft)	Ρυθμός ανόδου (ft/min)	Διακριβωμένη ταχύτητα αέρα στην οροφή ανόδου (kt)	Ποσοστό επιτάχυνσης (%)
757300	DEFAULT	6	4	Επιτάχυνση	Μέγιστη ώση απογείωσης	T_01		1 836,4	240,1	
757300	DEFAULT	6	5	Άνοδος	Μέγιστη ώση απογείωσης	T_00	1 829			
757300	DEFAULT	6	6	Άνοδος	Μέγιστη ώση ανόδου	T_00	3 000			
757300	DEFAULT	6	7	Επιτάχυνση	Μέγιστη ώση ανόδου	T_00		1 159,2	250	
757300	DEFAULT	6	8	Άνοδος	Μέγιστη ώση ανόδου	T_00	5 500			
757300	DEFAULT	6	9	Άνοδος	Μέγιστη ώση ανόδου	T_00	7 500			
757300	DEFAULT	6	10	Άνοδος	Μέγιστη ώση ανόδου	T_00	10 000			
757300	ICAO_A	1	1	Απογείωση	Μέγιστη ώση απογείωσης	T_05				
757300	ICAO_A	1	2	Άνοδος	Μέγιστη ώση απογείωσης	T_05	1 500			
757300	ICAO_A	1	3	Άνοδος	Μέγιστη ώση ανόδου	T_05	3 000			
757300	ICAO_A	1	4	Επιτάχυνση	Μέγιστη ώση ανόδου	T_05		1 388,6	198	
757300	ICAO_A	1	5	Επιτάχυνση	Μέγιστη ώση ανόδου	T_01		1 528,2	215	

▼**M2**

ACFTID	Profile_ID (Προφίλ αναχώρησης)	Μήκος καλυπτόμενης διαδρομής	Αριθμός σταδίου	Είδος σταδίου	Μέγεθος ώσης	Flap_ID (Θέση πτερυγίων καμπυλότητας)	Οροφή ανόδου (ft)	Ρυθμός ανόδου (ft/min)	Διακριβωμένη ταχύτητα αέρα στην οροφή ανόδου (kt)	Ποσοστό επιτάχυνσης (%)
757300	ICAO_A	1	6	Επιτάχυνση	Μέγιστη ώση ανόδου	T_00		1 693,5	250	
757300	ICAO_A	1	7	Άνοδος	Μέγιστη ώση ανόδου	T_00	5 500			
757300	ICAO_A	1	8	Άνοδος	Μέγιστη ώση ανόδου	T_00	7 500			
757300	ICAO_A	1	9	Άνοδος	Μέγιστη ώση ανόδου	T_00	10 000			
757300	ICAO_A	2	1	Απογείωση	Μέγιστη ώση απογείωσης	T_05				
757300	ICAO_A	2	2	Άνοδος	Μέγιστη ώση απογείωσης	T_05	1 500			
757300	ICAO_A	2	3	Άνοδος	Μέγιστη ώση ανόδου	T_05	3 000			
757300	ICAO_A	2	4	Επιτάχυνση	Μέγιστη ώση ανόδου	T_05		1 304,9	199,6	
757300	ICAO_A	2	5	Επιτάχυνση	Μέγιστη ώση ανόδου	T_01		1 441	215,6	
757300	ICAO_A	2	6	Επιτάχυνση	Μέγιστη ώση ανόδου	T_00		1 597,7	250	
757300	ICAO_A	2	7	Άνοδος	Μέγιστη ώση ανόδου	T_00	5 500			
757300	ICAO_A	2	8	Άνοδος	Μέγιστη ώση ανόδου	T_00	7 500			

▼**M2**

ACFTID	Profile_ID (Προφίλ αναχώρησης)	Μήκος καλυπτόμενης διαδρομής	Αριθμός σταδίου	Είδος σταδίου	Μέγεθος ώσης	Flap_ID (Θέση πτερυγίων καμπυλότητας)	Οροφή ανόδου (ft)	Ρυθμός ανόδου (ft/min)	Διακριβωμένη ταχύτητα αέρα στην οροφή ανόδου (kt)	Ποσοστό επιτάχυνσης (%)
757300	ICAO_A	2	9	Άνοδος	Μέγιστη ώση ανόδου	T_00	10 000			
757300	ICAO_A	3	1	Απογείωση	Μέγιστη ώση απογείωσης	T_05				
757300	ICAO_A	3	2	Άνοδος	Μέγιστη ώση απογείωσης	T_05	1 500			
757300	ICAO_A	3	3	Άνοδος	Μέγιστη ώση ανόδου	T_05	3 000			
757300	ICAO_A	3	4	Επιτάχυνση	Μέγιστη ώση ανόδου	T_05		1 242,3	201,6	
757300	ICAO_A	3	5	Επιτάχυνση	Μέγιστη ώση ανόδου	T_01		1 357,6	216,7	
757300	ICAO_A	3	6	Επιτάχυνση	Μέγιστη ώση ανόδου	T_00		1 500	250	
757300	ICAO_A	3	7	Άνοδος	Μέγιστη ώση ανόδου	T_00	5 500			
757300	ICAO_A	3	8	Άνοδος	Μέγιστη ώση ανόδου	T_00	7 500			
757300	ICAO_A	3	9	Άνοδος	Μέγιστη ώση ανόδου	T_00	10 000			
757300	ICAO_A	4	1	Απογείωση	Μέγιστη ώση απογείωσης	T_05				
757300	ICAO_A	4	2	Άνοδος	Μέγιστη ώση απογείωσης	T_05	1 500			

▼**M2**

ACFTID	Profile_ID (Προφίλ αναχώρησης)	Μήκος καλυπτόμενης διαδρομής	Αριθμός σταδίου	Είδος σταδίου	Μέγεθος ώσης	Flap_ID (Θέση πτερυγίων καμπυλότητας)	Οροφή ανόδου (ft)	Ρυθμός ανόδου (ft/min)	Διακριβωμένη ταχύτητα αέρα στην οροφή ανόδου (kt)	Ποσοστό επιτάχυνσης (%)
757300	ICAO_A	4	3	Άνοδος	Μέγιστη ώση ανόδου	T_05	3 000			
757300	ICAO_A	4	4	Επιτάχυνση	Μέγιστη ώση ανόδου	T_05		1 127,1	205,3	
757300	ICAO_A	4	5	Επιτάχυνση	Μέγιστη ώση ανόδου	T_01		1 221,4	221,1	
757300	ICAO_A	4	6	Επιτάχυνση	Μέγιστη ώση ανόδου	T_00		1 359,4	250	
757300	ICAO_A	4	7	Άνοδος	Μέγιστη ώση ανόδου	T_00	5 500			
757300	ICAO_A	4	8	Άνοδος	Μέγιστη ώση ανόδου	T_00	7 500			
757300	ICAO_A	4	9	Άνοδος	Μέγιστη ώση ανόδου	T_00	10 000			
757300	ICAO_A	5	1	Απογείωση	Μέγιστη ώση απογείωσης	T_05				
757300	ICAO_A	5	2	Άνοδος	Μέγιστη ώση απογείωσης	T_05	1 500			
757300	ICAO_A	5	3	Άνοδος	Μέγιστη ώση ανόδου	T_05	3 000			
757300	ICAO_A	5	4	Επιτάχυνση	Μέγιστη ώση ανόδου	T_05		997,2	210,6	
757300	ICAO_A	5	5	Επιτάχυνση	Μέγιστη ώση ανόδου	T_01		1 076	227,9	
757300	ICAO_A	5	6	Επιτάχυνση	Μέγιστη ώση ανόδου	T_00		1 192	250	
757300	ICAO_A	5	7	Άνοδος	Μέγιστη ώση ανόδου	T_00	5 500			

▼**M2**

ACFTID	Profile_ID (Προφίλ αναχώρησης)	Μήκος καλυπτόμενης διαδρομής	Αριθμός σταδίου	Είδος σταδίου	Μέγεθος ώσης	Flap_ID (Θέση πτερυγίων καμπυλότητας)	Οροφή ανόδου (ft)	Ρυθμός ανόδου (ft/min)	Διακριβωμένη ταχύτητα αέρα στην οροφή ανόδου (kt)	Ποσοστό επιτάχυνσης (%)
757300	ICAO_A	5	8	Άνοδος	Μέγιστη ώση ανόδου	T_00	7 500			
757300	ICAO_A	5	9	Άνοδος	Μέγιστη ώση ανόδου	T_00	10 000			
757300	ICAO_A	6	1	Απογείωση	Μέγιστη ώση απογείωσης	T_05				
757300	ICAO_A	6	2	Άνοδος	Μέγιστη ώση απογείωσης	T_05	1 500			
757300	ICAO_A	6	3	Άνοδος	Μέγιστη ώση ανόδου	T_05	3 000			
757300	ICAO_A	6	4	Επιτάχυνση	Μέγιστη ώση ανόδου	T_05		945,1	213,2	
757300	ICAO_A	6	5	Επιτάχυνση	Μέγιστη ώση ανόδου	T_01		1 031,2	230,6	
757300	ICAO_A	6	6	Επιτάχυνση	Μέγιστη ώση ανόδου	T_00		1 127,9	250	
757300	ICAO_A	6	7	Άνοδος	Μέγιστη ώση ανόδου	T_00	5 500			
757300	ICAO_A	6	8	Άνοδος	Μέγιστη ώση ανόδου	T_00	7 500			
757300	ICAO_A	6	9	Άνοδος	Μέγιστη ώση ανόδου	T_00	10 000			
757300	ICAO_B	1	1	Απογείωση	Μέγιστη ώση απογείωσης	T_05				
757300	ICAO_B	1	2	Άνοδος	Μέγιστη ώση απογείωσης	T_05	1 097			
757300	ICAO_B	1	3	Επιτάχυνση	Μέγιστη ώση απογείωσης	T_05		2 252,1	211,8	

▼**M2**

ACFTID	Profile_ID (Προφίλ αναχώρησης)	Μήκος καλυπτόμενης διαδρομής	Αριθμός σταδίου	Είδος σταδίου	Μέγεθος ώσης	Flap_ID (Θέση πτερυγίων καμπυλότητας)	Οροφή ανόδου (ft)	Ρυθμός ανόδου (ft/min)	Διακριβωμένη ταχύτητα αέρα στην οροφή ανόδου (kt)	Ποσοστό επιτάχυνσης (%)
757300	ICAO_B	1	4	Επιτάχυνση	Μέγιστη ώση απογείωσης	T_01		2 480	215,4	
757300	ICAO_B	1	5	Άνοδος	Μέγιστη ώση απογείωσης	T_00	2 569			
757300	ICAO_B	1	6	Άνοδος	Μέγιστη ώση ανόδου	T_00	3 000			
757300	ICAO_B	1	7	Επιτάχυνση	Μέγιστη ώση ανόδου	T_00		1 701,7	250	
757300	ICAO_B	1	8	Άνοδος	Μέγιστη ώση ανόδου	T_00	5 500			
757300	ICAO_B	1	9	Άνοδος	Μέγιστη ώση ανόδου	T_00	7 500			
757300	ICAO_B	1	10	Άνοδος	Μέγιστη ώση ανόδου	T_00	10 000			
757300	ICAO_B	2	1	Απογείωση	Μέγιστη ώση απογείωσης	T_05				
757300	ICAO_B	2	2	Άνοδος	Μέγιστη ώση απογείωσης	T_05	1 041			
757300	ICAO_B	2	3	Επιτάχυνση	Μέγιστη ώση απογείωσης	T_05		2 154,9	213	
757300	ICAO_B	2	4	Επιτάχυνση	Μέγιστη ώση απογείωσης	T_01		2 352	218,6	
757300	ICAO_B	2	5	Άνοδος	Μέγιστη ώση απογείωσης	T_00	2 412			
757300	ICAO_B	2	6	Άνοδος	Μέγιστη ώση ανόδου	T_00	3 000			
757300	ICAO_B	2	7	Επιτάχυνση	Μέγιστη ώση ανόδου	T_00		1 607,8	250	

▼**M2**

ACFTID	Profile_ID (Προφίλ αναχώρησης)	Μήκος καλυπτόμενης διαδρομής	Αριθμός σταδίου	Είδος σταδίου	Μέγεθος ώσης	Flap_ID (Θέση πτερυγίων καμπυλότητας)	Οροφή ανόδου (ft)	Ρυθμός ανόδου (ft/min)	Διακριβωμένη ταχύτητα αέρα στην οροφή ανόδου (kt)	Ποσοστό επιτάχυνσης (%)
757300	ICAO_B	2	8	Άνοδος	Μέγιστη ώση ανόδου	T_00	5 500			
757300	ICAO_B	2	9	Άνοδος	Μέγιστη ώση ανόδου	T_00	7 500			
757300	ICAO_B	2	10	Άνοδος	Μέγιστη ώση ανόδου	T_00	10 000			
757300	ICAO_B	3	1	Απογείωση	Μέγιστη ώση απογείωσης	T_05				
757300	ICAO_B	3	2	Άνοδος	Μέγιστη ώση απογείωσης	T_05	1 000			
757300	ICAO_B	3	3	Επιτάχυνση	Μέγιστη ώση απογείωσης	T_05		2 062	214,5	
757300	ICAO_B	3	4	Επιτάχυνση	Μέγιστη ώση απογείωσης	T_01		2 223,5	221,8	
757300	ICAO_B	3	5	Άνοδος	Μέγιστη ώση απογείωσης	T_00	2 275			
757300	ICAO_B	3	6	Άνοδος	Μέγιστη ώση ανόδου	T_00	3 000			
757300	ICAO_B	3	7	Επιτάχυνση	Μέγιστη ώση ανόδου	T_00		1 521,8	250	
757300	ICAO_B	3	8	Άνοδος	Μέγιστη ώση ανόδου	T_00	5 500			
757300	ICAO_B	3	9	Άνοδος	Μέγιστη ώση ανόδου	T_00	7 500			
757300	ICAO_B	3	10	Άνοδος	Μέγιστη ώση ανόδου	T_00	10 000			
757300	ICAO_B	4	1	Απογείωση	Μέγιστη ώση απογείωσης	T_05				

▼**M2**

ACFTID	Profile_ID (Προφίλ αναχώρησης)	Μήκος καλυπτόμενης διαδρομής	Αριθμός σταδίου	Είδος σταδίου	Μέγεθος ώσης	Flap_ID (Θέση πτερυγίων καμπυλότητας)	Οροφή ανόδου (ft)	Ρυθμός ανόδου (ft/min)	Διακριβωμένη ταχύτητα αέρα στην οροφή ανόδου (kt)	Ποσοστό επιτάχυνσης (%)
757300	ICAO_B	4	2	Άνοδος	Μέγιστη ώση απογείωσης	T_05	1 000			
757300	ICAO_B	4	3	Επιτάχυνση	Μέγιστη ώση απογείωσης	T_05		1 901,4	217,4	
757300	ICAO_B	4	4	Επιτάχυνση	Μέγιστη ώση απογείωσης	T_01		2 061,8	228	
757300	ICAO_B	4	5	Άνοδος	Μέγιστη ώση απογείωσης	T_00	2 099			
757300	ICAO_B	4	6	Άνοδος	Μέγιστη ώση ανόδου	T_00	3 000			
757300	ICAO_B	4	7	Επιτάχυνση	Μέγιστη ώση ανόδου	T_00		1 374,1	250	
757300	ICAO_B	4	8	Άνοδος	Μέγιστη ώση ανόδου	T_00	5 500			
757300	ICAO_B	4	9	Άνοδος	Μέγιστη ώση ανόδου	T_00	7 500			
757300	ICAO_B	4	10	Άνοδος	Μέγιστη ώση ανόδου	T_00	10 000			
757300	ICAO_B	5	1	Απογείωση	Μέγιστη ώση απογείωσης	T_05				
757300	ICAO_B	5	2	Άνοδος	Μέγιστη ώση απογείωσης	T_05	1 000			
757300	ICAO_B	5	3	Επιτάχυνση	Μέγιστη ώση απογείωσης	T_05		1 729,2	221,7	
757300	ICAO_B	5	4	Επιτάχυνση	Μέγιστη ώση απογείωσης	T_01		1 881,8	236,7	
757300	ICAO_B	5	5	Άνοδος	Μέγιστη ώση απογείωσης	T_00	1 891			
757300	ICAO_B	5	6	Άνοδος	Μέγιστη ώση ανόδου	T_00	3 000			

▼**M2**

ACFTID	Profile_ID (Προφίλ αναχώρησης)	Μήκος καλυπτόμενης διαδρομής	Αριθμός σταδίου	Είδος σταδίου	Μέγεθος ώσης	Flap_ID (Θέση πτερυγίων καμπυλότητας)	Οροφή ανόδου (ft)	Ρυθμός ανόδου (ft/min)	Διακριβωμένη ταχύτητα αέρα στην οροφή ανόδου (kt)	Ποσοστό επιτάχυνσης (%)
757300	ICAO_B	5	7	Επιτάχυνση	Μέγιστη ώση ανόδου	T_00		1 227,3	250	
757300	ICAO_B	5	8	Άνοδος	Μέγιστη ώση ανόδου	T_00	5 500			
757300	ICAO_B	5	9	Άνοδος	Μέγιστη ώση ανόδου	T_00	7 500			
757300	ICAO_B	5	10	Άνοδος	Μέγιστη ώση ανόδου	T_00	10 000			
757300	ICAO_B	6	1	Απογείωση	Μέγιστη ώση απογείωσης	T_05				
757300	ICAO_B	6	2	Άνοδος	Μέγιστη ώση απογείωσης	T_05	1 000			
757300	ICAO_B	6	3	Επιτάχυνση	Μέγιστη ώση απογείωσης	T_05		1 655	224	
757300	ICAO_B	6	4	Επιτάχυνση	Μέγιστη ώση απογείωσης	T_01		1 836,4	240,1	
757300	ICAO_B	6	5	Άνοδος	Μέγιστη ώση απογείωσης	T_00	1 829			
757300	ICAO_B	6	6	Άνοδος	Μέγιστη ώση ανόδου	T_00	3 000			
757300	ICAO_B	6	7	Επιτάχυνση	Μέγιστη ώση ανόδου	T_00		1 159,2	250	
757300	ICAO_B	6	8	Άνοδος	Μέγιστη ώση ανόδου	T_00	5 500			
757300	ICAO_B	6	9	Άνοδος	Μέγιστη ώση ανόδου	T_00	7 500			
757300	ICAO_B	6	10	Άνοδος	Μέγιστη ώση ανόδου	T_00	10 000			
757PW	DEFAULT	1	1	Απογείωση	Μέγιστη ώση απογείωσης	5				

▼**M2**

ACFTID	Profile_ID (Προφίλ αναχώρησης)	Μήκος καλυπτόμενης διαδρομής	Αριθμός σταδίου	Είδος σταδίου	Μέγεθος ώσης	Flap_ID (Θέση πτερυγίων καμπυλότητας)	Οροφή ανόδου (ft)	Ρυθμός ανόδου (ft/min)	Διακριβωμένη ταχύτητα αέρα στην οροφή ανόδου (kt)	Ποσοστό επιτάχυνσης (%)
757PW	DEFAULT	1	2	Άνοδος	Μέγιστη ώση απογείωσης	5	1 000			
757PW	DEFAULT	1	3	Επιτάχυνση	Μέγιστη ώση ανόδου	T_05		1 471	190,1	
757PW	DEFAULT	1	4	Επιτάχυνση	Μέγιστη ώση ανόδου	T_01		1 636,4	206	
757PW	DEFAULT	1	5	Άνοδος	Μέγιστη ώση ανόδου	T_00	3 000			
757PW	DEFAULT	1	6	Επιτάχυνση	Μέγιστη ώση ανόδου	T_00		1 822,2	250	
757PW	DEFAULT	1	7	Άνοδος	Μέγιστη ώση ανόδου	ZERO	5 500			
757PW	DEFAULT	1	8	Άνοδος	Μέγιστη ώση ανόδου	ZERO	7 500			
757PW	DEFAULT	1	9	Άνοδος	Μέγιστη ώση ανόδου	ZERO	10 000			
757PW	DEFAULT	2	1	Απογείωση	Μέγιστη ώση απογείωσης	5				
757PW	DEFAULT	2	2	Άνοδος	Μέγιστη ώση απογείωσης	5	1 000			
757PW	DEFAULT	2	3	Επιτάχυνση	Μέγιστη ώση ανόδου	T_05		1 403,6	191,4	
757PW	DEFAULT	2	4	Επιτάχυνση	Μέγιστη ώση ανόδου	T_01		1 568,2	208,7	
757PW	DEFAULT	2	5	Άνοδος	Μέγιστη ώση ανόδου	T_00	3 000			
757PW	DEFAULT	2	6	Επιτάχυνση	Μέγιστη ώση ανόδου	T_00		1 742,7	250	

▼**M2**

ACFTID	Profile_ID (Προφίλ αναχώρησης)	Μήκος καλυπτόμενης διαδρομής	Αριθμός σταδίου	Είδος σταδίου	Μέγεθος ώσης	Flap_ID (Θέση πτερυγίων καμπυλότητας)	Οροφή ανόδου (ft)	Ρυθμός ανόδου (ft/min)	Διακριβωμένη ταχύτητα αέρα στην οροφή ανόδου (kt)	Ποσοστό επιτάχυνσης (%)
757PW	DEFAULT	2	7	Άνοδος	Μέγιστη ώση ανόδου	ZERO	5 500			
757PW	DEFAULT	2	8	Άνοδος	Μέγιστη ώση ανόδου	ZERO	7 500			
757PW	DEFAULT	2	9	Άνοδος	Μέγιστη ώση ανόδου	ZERO	10 000			
757PW	DEFAULT	3	1	Απογείωση	Μέγιστη ώση απογείωσης	5				
757PW	DEFAULT	3	2	Άνοδος	Μέγιστη ώση απογείωσης	5	1 000			
757PW	DEFAULT	3	3	Επιτάχυνση	Μέγιστη ώση ανόδου	T_05		1 339,2	193	
757PW	DEFAULT	3	4	Επιτάχυνση	Μέγιστη ώση ανόδου	T_01		1 495,9	211,1	
757PW	DEFAULT	3	5	Επιτάχυνση	Μέγιστη ώση ανόδου	T_00		1 666,7	211,6	
757PW	DEFAULT	3	6	Άνοδος	Μέγιστη ώση ανόδου	T_00	3 000			
757PW	DEFAULT	3	7	Επιτάχυνση	Μέγιστη ώση ανόδου	T_00		1 661	250	
757PW	DEFAULT	3	8	Άνοδος	Μέγιστη ώση ανόδου	ZERO	5 500			
757PW	DEFAULT	3	9	Άνοδος	Μέγιστη ώση ανόδου	ZERO	7 500			
757PW	DEFAULT	3	10	Άνοδος	Μέγιστη ώση ανόδου	ZERO	10 000			
757PW	DEFAULT	4	1	Απογείωση	Μέγιστη ώση απογείωσης	5				

▼**M2**

ACFTID	Profile_ID (Προφίλ αναχώρησης)	Μήκος καλυπτόμενης διαδρομής	Αριθμός σταδίου	Είδος σταδίου	Μέγεθος ώσης	Flap_ID (Θέση πτερυγίων καμπυλότητας)	Οροφή ανόδου (ft)	Ρυθμός ανόδου (ft/min)	Διακριβωμένη ταχύτητα αέρα στην οροφή ανόδου (kt)	Ποσοστό επιτάχυνσης (%)
757PW	DEFAULT	4	2	Άνοδος	Μέγιστη ώση απογείωσης	5	1 000			
757PW	DEFAULT	4	3	Επιτάχυνση	Μέγιστη ώση ανόδου	T_05		1 213,5	196,4	
757PW	DEFAULT	4	4	Επιτάχυνση	Μέγιστη ώση ανόδου	T_01		1 353,6	213,7	
757PW	DEFAULT	4	5	Επιτάχυνση	Μέγιστη ώση ανόδου	T_00		1 460,3	217,4	
757PW	DEFAULT	4	6	Άνοδος	Μέγιστη ώση ανόδου	T_00	3 000			
757PW	DEFAULT	4	7	Επιτάχυνση	Μέγιστη ώση ανόδου	T_00		1 510,6	250	
757PW	DEFAULT	4	8	Άνοδος	Μέγιστη ώση ανόδου	ZERO	5 500			
757PW	DEFAULT	4	9	Άνοδος	Μέγιστη ώση ανόδου	ZERO	7 500			
757PW	DEFAULT	4	10	Άνοδος	Μέγιστη ώση ανόδου	ZERO	10 000			
757PW	DEFAULT	5	1	Απογείωση	Μέγιστη ώση απογείωσης	5				
757PW	DEFAULT	5	2	Άνοδος	Μέγιστη ώση απογείωσης	5	1 000			
757PW	DEFAULT	5	3	Επιτάχυνση	Μέγιστη ώση ανόδου	T_05		1 082,9	200,8	
757PW	DEFAULT	5	4	Επιτάχυνση	Μέγιστη ώση ανόδου	T_01		1 212	218,5	
757PW	DEFAULT	5	5	Επιτάχυνση	Μέγιστη ώση ανόδου	T_00		1 291,1	224,3	

▼**M2**

ACFTID	Profile_ID (Προφίλ αναχώρησης)	Μήκος καλυπτόμενης διαδρομής	Αριθμός σταδίου	Είδος σταδίου	Μέγεθος ώσης	Flap_ID (Θέση πτερυγίων καμπυλότητας)	Οροφή ανόδου (ft)	Ρυθμός ανόδου (ft/min)	Διακριβωμένη ταχύτητα αέρα στην οροφή ανόδου (kt)	Ποσοστό επιτάχυνσης (%)
757PW	DEFAULT	5	6	Άνοδος	Μέγιστη ώση ανόδου	T_00	3 000			
757PW	DEFAULT	5	7	Επιτάχυνση	Μέγιστη ώση ανόδου	T_00		1 352,4	250	
757PW	DEFAULT	5	8	Άνοδος	Μέγιστη ώση ανόδου	ZERO	5 500			
757PW	DEFAULT	5	9	Άνοδος	Μέγιστη ώση ανόδου	ZERO	7 500			
757PW	DEFAULT	5	10	Άνοδος	Μέγιστη ώση ανόδου	ZERO	10 000			
757PW	DEFAULT	6	1	Απογείωση	Μέγιστη ώση απογείωσης	5				
757PW	DEFAULT	6	2	Άνοδος	Μέγιστη ώση απογείωσης	5	1 000			
757PW	DEFAULT	6	3	Επιτάχυνση	Μέγιστη ώση ανόδου	T_05		1 005,7	203,9	
757PW	DEFAULT	6	4	Επιτάχυνση	Μέγιστη ώση ανόδου	T_01		1 124,3	221,9	
757PW	DEFAULT	6	5	Επιτάχυνση	Μέγιστη ώση ανόδου	T_00		1 220	228,7	
757PW	DEFAULT	6	6	Άνοδος	Μέγιστη ώση ανόδου	T_00	3 000			
757PW	DEFAULT	6	7	Επιτάχυνση	Μέγιστη ώση ανόδου	T_00		1 259,5	250	
757PW	DEFAULT	6	8	Άνοδος	Μέγιστη ώση ανόδου	ZERO	5 500			
757PW	DEFAULT	6	9	Άνοδος	Μέγιστη ώση ανόδου	ZERO	7 500			

▼**M2**

ACFTID	Profile_ID (Προφίλ αναχώρησης)	Μήκος καλυπτόμενης διαδρομής	Αριθμός σταδίου	Είδος σταδίου	Μέγεθος ώσης	Flap_ID (Θέση πτερυγίων καμπυλότητας)	Οροφή ανόδου (ft)	Ρυθμός ανόδου (ft/min)	Διακριβωμένη ταχύτητα αέρα στην οροφή ανόδου (kt)	Ποσοστό επιτάχυνσης (%)
757PW	DEFAULT	6	10	Άνοδος	Μέγιστη ώση ανόδου	ZERO	10 000			
757PW	DEFAULT	7	1	Απογείωση	Μέγιστη ώση απογείωσης	5				
757PW	DEFAULT	7	2	Άνοδος	Μέγιστη ώση απογείωσης	5	1 000			
757PW	DEFAULT	7	3	Επιτάχυνση	Μέγιστη ώση ανόδου	T_05		938,1	207	
757PW	DEFAULT	7	4	Επιτάχυνση	Μέγιστη ώση ανόδου	T_01		1 052,4	225,2	
757PW	DEFAULT	7	5	Επιτάχυνση	Μέγιστη ώση ανόδου	T_00		1 134,5	233,3	
757PW	DEFAULT	7	6	Άνοδος	Μέγιστη ώση ανόδου	T_00	3 000			
757PW	DEFAULT	7	7	Επιτάχυνση	Μέγιστη ώση ανόδου	T_00		1 172,9	250	
757PW	DEFAULT	7	8	Άνοδος	Μέγιστη ώση ανόδου	ZERO	5 500			
757PW	DEFAULT	7	9	Άνοδος	Μέγιστη ώση ανόδου	ZERO	7 500			
757PW	DEFAULT	7	10	Άνοδος	Μέγιστη ώση ανόδου	ZERO	10 000			
757PW	ICAO_A	1	1	Απογείωση	Μέγιστη ώση απογείωσης	5				
757PW	ICAO_A	1	2	Άνοδος	Μέγιστη ώση απογείωσης	5	1 500			
757PW	ICAO_A	1	3	Άνοδος	Μέγιστη ώση ανόδου	T_05	3 000			

▼**M2**

ACFTID	Profile_ID (Προφίλ αναχώρησης)	Μήκος καλυπτόμενης διαδρομής	Αριθμός σταδίου	Είδος σταδίου	Μέγεθος ώσης	Flap_ID (Θέση πτερυγίων καμπυλότητας)	Οροφή ανόδου (ft)	Ρυθμός ανόδου (ft/min)	Διακριβωμένη ταχύτητα αέρα στην οροφή ανόδου (kt)	Ποσοστό επιτάχυνσης (%)
757PW	ICAO_A	1	4	Επιτάχυνση	Μέγιστη ώση ανόδου	T_05		1 399,5	188	
757PW	ICAO_A	1	5	Επιτάχυνση	Μέγιστη ώση ανόδου	T_01		1 605,4	205,8	
757PW	ICAO_A	1	6	Επιτάχυνση	Μέγιστη ώση ανόδου	ZERO		1 804,8	250	
757PW	ICAO_A	1	7	Άνοδος	Μέγιστη ώση ανόδου	ZERO	5 500			
757PW	ICAO_A	1	8	Άνοδος	Μέγιστη ώση ανόδου	ZERO	7 500			
757PW	ICAO_A	1	9	Άνοδος	Μέγιστη ώση ανόδου	ZERO	10 000			
757PW	ICAO_A	2	1	Απογείωση	Μέγιστη ώση απογείωσης	5				
757PW	ICAO_A	2	2	Άνοδος	Μέγιστη ώση απογείωσης	5	1 500			
757PW	ICAO_A	2	3	Άνοδος	Μέγιστη ώση ανόδου	T_05	3 000			
757PW	ICAO_A	2	4	Επιτάχυνση	Μέγιστη ώση ανόδου	T_05		1 337,7	189,5	
757PW	ICAO_A	2	5	Επιτάχυνση	Μέγιστη ώση ανόδου	T_01		1 522,3	207,2	
757PW	ICAO_A	2	6	Επιτάχυνση	Μέγιστη ώση ανόδου	ZERO		1 725,5	250	
757PW	ICAO_A	2	7	Άνοδος	Μέγιστη ώση ανόδου	ZERO	5 500			
757PW	ICAO_A	2	8	Άνοδος	Μέγιστη ώση ανόδου	ZERO	7 500			

▼**M2**

ACFTID	Profile_ID (Προφίλ αναχώρησης)	Μήκος καλυπτόμενης διαδρομής	Αριθμός σταδίου	Είδος σταδίου	Μέγεθος ώσης	Flap_ID (Θέση πτερυγίων καμπυλότητας)	Οροφή ανόδου (ft)	Ρυθμός ανόδου (ft/min)	Διακριβωμένη ταχύτητα αέρα στην οροφή ανόδου (kt)	Ποσοστό επιτάχυνσης (%)
757PW	ICAO_A	2	9	Άνοδος	Μέγιστη ώση ανόδου	ZERO	10 000			
757PW	ICAO_A	3	1	Απογείωση	Μέγιστη ώση απογείωσης	5				
757PW	ICAO_A	3	2	Άνοδος	Μέγιστη ώση απογείωσης	5	1 500			
757PW	ICAO_A	3	3	Άνοδος	Μέγιστη ώση ανόδου	5	3 000			
757PW	ICAO_A	3	4	Επιτάχυνση	Μέγιστη ώση ανόδου	T_05		1 271,9	191,1	
757PW	ICAO_A	3	5	Επιτάχυνση	Μέγιστη ώση ανόδου	T_01		1 451,8	208,2	
757PW	ICAO_A	3	6	Επιτάχυνση	Μέγιστη ώση ανόδου	ZERO		1 638	250	
757PW	ICAO_A	3	7	Άνοδος	Μέγιστη ώση ανόδου	ZERO	5 500			
757PW	ICAO_A	3	8	Άνοδος	Μέγιστη ώση ανόδου	ZERO	7 500			
757PW	ICAO_A	3	9	Άνοδος	Μέγιστη ώση ανόδου	ZERO	10 000			
757PW	ICAO_A	4	1	Απογείωση	Μέγιστη ώση απογείωσης	5				
757PW	ICAO_A	4	2	Άνοδος	Μέγιστη ώση απογείωσης	5	1 500			
757PW	ICAO_A	4	3	Άνοδος	Μέγιστη ώση ανόδου	5	3 000			
757PW	ICAO_A	4	4	Επιτάχυνση	Μέγιστη ώση ανόδου	T_05		1 153,8	194,7	

▼**M2**

ACFTID	Profile_ID (Προφίλ αναχώρησης)	Μήκος καλυπτόμενης διαδρομής	Αριθμός σταδίου	Είδος σταδίου	Μέγεθος ώσης	Flap_ID (Θέση πτερυγίων καμπυλότητας)	Οροφή ανόδου (ft)	Ρυθμός ανόδου (ft/min)	Διακριβωμένη ταχύτητα αέρα στην οροφή ανόδου (kt)	Ποσοστό επιτάχυνσης (%)
757PW	ICAO_A	4	5	Επιτάχυνση	Μέγιστη ώση ανόδου	T_01		1 312,6	212,2	
757PW	ICAO_A	4	6	Επιτάχυνση	Μέγιστη ώση ανόδου	ZERO		1 486	250	
757PW	ICAO_A	4	7	Άνοδος	Μέγιστη ώση ανόδου	ZERO	5 500			
757PW	ICAO_A	4	8	Άνοδος	Μέγιστη ώση ανόδου	ZERO	7 500			
757PW	ICAO_A	4	9	Άνοδος	Μέγιστη ώση ανόδου	ZERO	10 000			
757PW	ICAO_A	5	1	Απογείωση	Μέγιστη ώση απογείωσης	5				
757PW	ICAO_A	5	2	Άνοδος	Μέγιστη ώση απογείωσης	5	1 500			
757PW	ICAO_A	5	3	Άνοδος	Μέγιστη ώση ανόδου	5	3 000			
757PW	ICAO_A	5	4	Επιτάχυνση	Μέγιστη ώση ανόδου	T_05		1 028,8	199,2	
757PW	ICAO_A	5	5	Επιτάχυνση	Μέγιστη ώση ανόδου	T_01		1 171,1	217,2	
757PW	ICAO_A	5	6	Επιτάχυνση	Μέγιστη ώση ανόδου	ZERO		1 325,6	250	
757PW	ICAO_A	5	7	Άνοδος	Μέγιστη ώση ανόδου	ZERO	5 500			
757PW	ICAO_A	5	8	Άνοδος	Μέγιστη ώση ανόδου	ZERO	7 500			
757PW	ICAO_A	5	9	Άνοδος	Μέγιστη ώση ανόδου	ZERO	10 000			

▼**M2**

ACFTID	Profile_ID (Προφίλ αναχώρησης)	Μήκος καλυπτόμενης διαδρομής	Αριθμός σταδίου	Είδος σταδίου	Μέγεθος ώσης	Flap_ID (Θέση πτερυγίων καμπυλότητας)	Οροφή ανόδου (ft)	Ρυθμός ανόδου (ft/min)	Διακριβωμένη ταχύτητα αέρα στην οροφή ανόδου (kt)	Ποσοστό επιτάχυνσης (%)
757PW	ICAO_A	6	1	Απογείωση	Μέγιστη ώση απογείωσης	5				
757PW	ICAO_A	6	2	Άνοδος	Μέγιστη ώση απογείωσης	5	1 500			
757PW	ICAO_A	6	3	Άνοδος	Μέγιστη ώση ανόδου	5	3 000			
757PW	ICAO_A	6	4	Επιτάχυνση	Μέγιστη ώση ανόδου	T_05		953,4	202,5	
757PW	ICAO_A	6	5	Επιτάχυνση	Μέγιστη ώση ανόδου	T_01		1 087,8	220,6	
757PW	ICAO_A	6	6	Επιτάχυνση	Μέγιστη ώση ανόδου	ZERO		1 225,5	250	
757PW	ICAO_A	6	7	Άνοδος	Μέγιστη ώση ανόδου	ZERO	5 500			
757PW	ICAO_A	6	8	Άνοδος	Μέγιστη ώση ανόδου	ZERO	7 500			
757PW	ICAO_A	6	9	Άνοδος	Μέγιστη ώση ανόδου	ZERO	10 000			
757PW	ICAO_A	7	1	Απογείωση	Μέγιστη ώση απογείωσης	5				
757PW	ICAO_A	7	2	Άνοδος	Μέγιστη ώση απογείωσης	5	1 500			
757PW	ICAO_A	7	3	Άνοδος	Μέγιστη ώση ανόδου	5	3 000			
757PW	ICAO_A	7	4	Επιτάχυνση	Μέγιστη ώση ανόδου	T_05		886,5	205,7	
757PW	ICAO_A	7	5	Επιτάχυνση	Μέγιστη ώση ανόδου	T_01		1 012,8	224	
757PW	ICAO_A	7	6	Επιτάχυνση	Μέγιστη ώση ανόδου	ZERO		1 140,1	250	

▼**M2**

ACFTID	Profile_ID (Προφίλ αναχώρησης)	Μήκος καλυπτόμενης διαδρομής	Αριθμός σταδίου	Είδος σταδίου	Μέγεθος ώσης	Flap_ID (Θέση πτερυγίων καμπυλότητας)	Οροφή ανόδου (ft)	Ρυθμός ανόδου (ft/min)	Διακριβωμένη ταχύτητα αέρα στην οροφή ανόδου (kt)	Ποσοστό επιτάχυνσης (%)
757PW	ICAO_A	7	7	Άνοδος	Μέγιστη ώση ανόδου	ZERO	5 500			
757PW	ICAO_A	7	8	Άνοδος	Μέγιστη ώση ανόδου	ZERO	7 500			
757PW	ICAO_A	7	9	Άνοδος	Μέγιστη ώση ανόδου	ZERO	10 000			
757PW	ICAO_B	1	1	Απογείωση	Μέγιστη ώση απογείωσης	5				
757PW	ICAO_B	1	2	Άνοδος	Μέγιστη ώση απογείωσης	5	1 000			
757PW	ICAO_B	1	3	Επιτάχυνση	Μέγιστη ώση απογείωσης	5		1 970,1	206	
757PW	ICAO_B	1	4	Άνοδος	Μέγιστη ώση ανόδου	ZERO	3 000			
757PW	ICAO_B	1	5	Επιτάχυνση	Μέγιστη ώση ανόδου	ZERO		1 821,5	250	
757PW	ICAO_B	1	6	Άνοδος	Μέγιστη ώση ανόδου	ZERO	5 500			
757PW	ICAO_B	1	7	Άνοδος	Μέγιστη ώση ανόδου	ZERO	7 500			
757PW	ICAO_B	1	8	Άνοδος	Μέγιστη ώση ανόδου	ZERO	10 000			
757PW	ICAO_B	2	1	Απογείωση	Μέγιστη ώση απογείωσης	5				
757PW	ICAO_B	2	2	Άνοδος	Μέγιστη ώση απογείωσης	5	1 000			
757PW	ICAO_B	2	3	Επιτάχυνση	Μέγιστη ώση απογείωσης	5		1 899,2	208,7	

▼**M2**

ACFTID	Profile_ID (Προφίλ αναχώρησης)	Μήκος καλυπτόμενης διαδρομής	Αριθμός σταδίου	Είδος σταδίου	Μέγεθος ώσης	Flap_ID (Θέση πτερυγίων καμπυλότητας)	Οροφή ανόδου (ft)	Ρυθμός ανόδου (ft/min)	Διακριβωμένη ταχύτητα αέρα στην οροφή ανόδου (kt)	Ποσοστό επιτάχυνσης (%)
757PW	ICAO_B	2	4	Άνοδος	Μέγιστη ώση ανόδου	ZERO	3 000			
757PW	ICAO_B	2	5	Επιτάχυνση	Μέγιστη ώση ανόδου	ZERO		1 743,3	250	
757PW	ICAO_B	2	6	Άνοδος	Μέγιστη ώση ανόδου	ZERO	5 500			
757PW	ICAO_B	2	7	Άνοδος	Μέγιστη ώση ανόδου	ZERO	7 500			
757PW	ICAO_B	2	8	Άνοδος	Μέγιστη ώση ανόδου	ZERO	10 000			
757PW	ICAO_B	3	1	Απογείωση	Μέγιστη ώση απογείωσης	5				
757PW	ICAO_B	3	2	Άνοδος	Μέγιστη ώση απογείωσης	5	1 000			
757PW	ICAO_B	3	3	Επιτάχυνση	Μέγιστη ώση απογείωσης	5		1 825,8	211,6	
757PW	ICAO_B	3	4	Άνοδος	Μέγιστη ώση ανόδου	ZERO	3 000			
757PW	ICAO_B	3	5	Επιτάχυνση	Μέγιστη ώση ανόδου	ZERO		1 659,4	250	
757PW	ICAO_B	3	6	Άνοδος	Μέγιστη ώση ανόδου	ZERO	5 500			
757PW	ICAO_B	3	7	Άνοδος	Μέγιστη ώση ανόδου	ZERO	7 500			
757PW	ICAO_B	3	8	Άνοδος	Μέγιστη ώση ανόδου	ZERO	10 000			
757PW	ICAO_B	4	1	Απογείωση	Μέγιστη ώση απογείωσης	5				

▼**M2**

ACFTID	Profile_ID (Προφίλ αναχώρησης)	Μήκος καλυπτόμενης διαδρομής	Αριθμός σταδίου	Είδος σταδίου	Μέγεθος ώσης	Flap_ID (Θέση πτερυγίων καμπυλότητας)	Οροφή ανόδου (ft)	Ρυθμός ανόδου (ft/min)	Διακριβωμένη ταχύτητα αέρα στην οροφή ανόδου (kt)	Ποσοστό επιτάχυνσης (%)
757PW	ICAO_B	4	2	Άνοδος	Μέγιστη ώση απογείωσης	5	1 000			
757PW	ICAO_B	4	3	Επιτάχυνση	Μέγιστη ώση απογείωσης	5		1 690,7	217,4	
757PW	ICAO_B	4	4	Άνοδος	Μέγιστη ώση ανόδου	ZERO	3 000			
757PW	ICAO_B	4	5	Επιτάχυνση	Μέγιστη ώση ανόδου	ZERO		1 512,3	250	
757PW	ICAO_B	4	6	Άνοδος	Μέγιστη ώση ανόδου	ZERO	5 500			
757PW	ICAO_B	4	7	Άνοδος	Μέγιστη ώση ανόδου	ZERO	7 500			
757PW	ICAO_B	4	8	Άνοδος	Μέγιστη ώση ανόδου	ZERO	10 000			
757PW	ICAO_B	5	1	Απογείωση	Μέγιστη ώση απογείωσης	5				
757PW	ICAO_B	5	2	Άνοδος	Μέγιστη ώση απογείωσης	5	1 000			
757PW	ICAO_B	5	3	Επιτάχυνση	Μέγιστη ώση απογείωσης	5		1 543,6	224,1	
757PW	ICAO_B	5	4	Άνοδος	Μέγιστη ώση ανόδου	ZERO	3 000			
757PW	ICAO_B	5	5	Επιτάχυνση	Μέγιστη ώση ανόδου	ZERO		1 351,8	250	
757PW	ICAO_B	5	6	Άνοδος	Μέγιστη ώση ανόδου	ZERO	5 500			
757PW	ICAO_B	5	7	Άνοδος	Μέγιστη ώση ανόδου	ZERO	7 500			

▼**M2**

ACFTID	Profile_ID (Προφίλ αναχώρησης)	Μήκος καλυπτόμενης διαδρομής	Αριθμός σταδίου	Είδος σταδίου	Μέγεθος ώσης	Flap_ID (Θέση πτερυγίων καμπυλότητας)	Οροφή ανόδου (ft)	Ρυθμός ανόδου (ft/min)	Διακριβωμένη ταχύτητα αέρα στην οροφή ανόδου (kt)	Ποσοστό επιτάχυνσης (%)
757PW	ICAO_B	5	8	Άνοδος	Μέγιστη ώση ανόδου	ZERO	10 000			
757PW	ICAO_B	6	1	Απογείωση	Μέγιστη ώση απογείωσης	5				
757PW	ICAO_B	6	2	Άνοδος	Μέγιστη ώση απογείωσης	5	1 000			
757PW	ICAO_B	6	3	Επιτάχυνση	Μέγιστη ώση απογείωσης	5		1 458,3	228,7	
757PW	ICAO_B	6	4	Άνοδος	Μέγιστη ώση ανόδου	ZERO	3 000			
757PW	ICAO_B	6	5	Επιτάχυνση	Μέγιστη ώση ανόδου	ZERO		1 257,5	250	
757PW	ICAO_B	6	6	Άνοδος	Μέγιστη ώση ανόδου	ZERO	5 500			
757PW	ICAO_B	6	7	Άνοδος	Μέγιστη ώση ανόδου	ZERO	7 500			
757PW	ICAO_B	6	8	Άνοδος	Μέγιστη ώση ανόδου	ZERO	10 000			
757PW	ICAO_B	7	1	Απογείωση	Μέγιστη ώση απογείωσης	5				
757PW	ICAO_B	7	2	Άνοδος	Μέγιστη ώση απογείωσης	5	1 000			
757PW	ICAO_B	7	3	Επιτάχυνση	Μέγιστη ώση απογείωσης	5		1 380,6	233,3	
757PW	ICAO_B	7	4	Άνοδος	Μέγιστη ώση ανόδου	ZERO	3 000			
757PW	ICAO_B	7	5	Επιτάχυνση	Μέγιστη ώση ανόδου	ZERO		1 173,6	250	

▼**M2**

ACFTID	Profile_ID (Προφίλ αναχώρησης)	Μήκος καλυπτόμενης διαδρομής	Αριθμός σταδίου	Είδος σταδίου	Μέγεθος ώσης	Flap_ID (Θέση πτερυγίων καμπυλότητας)	Οροφή ανόδου (ft)	Ρυθμός ανόδου (ft/min)	Διακριβωμένη ταχύτητα αέρα στην οροφή ανόδου (kt)	Ποσοστό επιτάχυνσης (%)
757PW	ICAO_B	7	6	Άνοδος	Μέγιστη ώση ανόδου	ZERO	5 500			
757PW	ICAO_B	7	7	Άνοδος	Μέγιστη ώση ανόδου	ZERO	7 500			
757PW	ICAO_B	7	8	Άνοδος	Μέγιστη ώση ανόδου	ZERO	10 000			
757RR	DEFAULT	1	1	Απογείωση	Μέγιστη ώση απογείωσης	5				
757RR	DEFAULT	1	2	Άνοδος	Μέγιστη ώση απογείωσης	5	1 000			
757RR	DEFAULT	1	3	Επιτάχυνση	Μέγιστη ώση ανόδου	T_05		1 613,9	192,4	
757RR	DEFAULT	1	4	Επιτάχυνση	Μέγιστη ώση ανόδου	T_01		1 779,7	206,3	
757RR	DEFAULT	1	5	Άνοδος	Μέγιστη ώση ανόδου	ZERO	3 000			
757RR	DEFAULT	1	6	Επιτάχυνση	Μέγιστη ώση ανόδου	ZERO		1 966,1	250	
757RR	DEFAULT	1	7	Άνοδος	Μέγιστη ώση ανόδου	ZERO	5 500			
757RR	DEFAULT	1	8	Άνοδος	Μέγιστη ώση ανόδου	ZERO	7 500			
757RR	DEFAULT	1	9	Άνοδος	Μέγιστη ώση ανόδου	ZERO	10 000			
757RR	DEFAULT	2	1	Απογείωση	Μέγιστη ώση απογείωσης	5				

▼**M2**

ACFTID	Profile_ID (Προφίλ αναχώρησης)	Μήκος καλυπτόμενης διαδρομής	Αριθμός σταδίου	Είδος σταδίου	Μέγεθος ώσης	Flap_ID (Θέση πτερυγίων καμπυλότητας)	Οροφή ανόδου (ft)	Ρυθμός ανόδου (ft/min)	Διακριβωμένη ταχύτητα αέρα στην οροφή ανόδου (kt)	Ποσοστό επιτάχυνσης (%)
757RR	DEFAULT	2	2	Άνοδος	Μέγιστη ώση απογείωσης	5	1 000			
757RR	DEFAULT	2	3	Επιτάχυνση	Μέγιστη ώση ανόδου	T_05		1 544,6	193,9	
757RR	DEFAULT	2	4	Επιτάχυνση	Μέγιστη ώση ανόδου	T_01		1 703,3	209,2	
757RR	DEFAULT	2	5	Άνοδος	Μέγιστη ώση ανόδου	ZERO	3 000			
757RR	DEFAULT	2	6	Επιτάχυνση	Μέγιστη ώση ανόδου	ZERO		1 879,3	250	
757RR	DEFAULT	2	7	Άνοδος	Μέγιστη ώση ανόδου	ZERO	5 500			
757RR	DEFAULT	2	8	Άνοδος	Μέγιστη ώση ανόδου	ZERO	7 500			
757RR	DEFAULT	2	9	Άνοδος	Μέγιστη ώση ανόδου	ZERO	10 000			
757RR	DEFAULT	3	1	Απογείωση	Μέγιστη ώση απογείωσης	5				
757RR	DEFAULT	3	2	Άνοδος	Μέγιστη ώση απογείωσης	5	1 000			
757RR	DEFAULT	3	3	Επιτάχυνση	Μέγιστη ώση ανόδου	T_05		1 474,6	195,5	
757RR	DEFAULT	3	4	Επιτάχυνση	Μέγιστη ώση ανόδου	T_01		1 627,6	212,2	
757RR	DEFAULT	3	5	Άνοδος	Μέγιστη ώση ανόδου	ZERO	3 000			

▼**M2**

ACFTID	Profile_ID (Προφίλ αναχώρησης)	Μήκος καλυπτόμενης διαδρομής	Αριθμός σταδίου	Είδος σταδίου	Μέγεθος ώσης	Flap_ID (Θέση πτερυγίων καμπυλότητας)	Οροφή ανόδου (ft)	Ρυθμός ανόδου (ft/min)	Διακριβωμένη ταχύτητα αέρα στην οροφή ανόδου (kt)	Ποσοστό επιτάχυνσης (%)
757RR	DEFAULT	3	6	Επιτάχυνση	Μέγιστη ώση ανόδου	ZERO		1 787,2	250	
757RR	DEFAULT	3	7	Άνοδος	Μέγιστη ώση ανόδου	ZERO	5 500			
757RR	DEFAULT	3	8	Άνοδος	Μέγιστη ώση ανόδου	ZERO	7 500			
757RR	DEFAULT	3	9	Άνοδος	Μέγιστη ώση ανόδου	ZERO	10 000			
757RR	DEFAULT	4	1	Απογείωση	Μέγιστη ώση απογείωσης	5				
757RR	DEFAULT	4	2	Άνοδος	Μέγιστη ώση απογείωσης	5	1 000			
757RR	DEFAULT	4	3	Επιτάχυνση	Μέγιστη ώση ανόδου	T_05		1 338	199	
757RR	DEFAULT	4	4	Επιτάχυνση	Μέγιστη ώση ανόδου	T_01		1 484,6	216,4	
757RR	DEFAULT	4	5	Επιτάχυνση	Μέγιστη ώση ανόδου	ZERO		1 560	218,3	
757RR	DEFAULT	4	6	Άνοδος	Μέγιστη ώση ανόδου	ZERO	3 000			
757RR	DEFAULT	4	7	Επιτάχυνση	Μέγιστη ώση ανόδου	ZERO		1 623,1	250	
757RR	DEFAULT	4	8	Άνοδος	Μέγιστη ώση ανόδου	T_00	5 500			
757RR	DEFAULT	4	9	Άνοδος	Μέγιστη ώση ανόδου	T_00	7 500			

▼**M2**

ACFTID	Profile_ID (Προφίλ αναχώρησης)	Μήκος καλυπτόμενης διαδρομής	Αριθμός σταδίου	Είδος σταδίου	Μέγεθος ώσης	Flap_ID (Θέση πτερυγίων καμπυλότητας)	Οροφή ανόδου (ft)	Ρυθμός ανόδου (ft/min)	Διακριβωμένη ταχύτητα αέρα στην οροφή ανόδου (kt)	Ποσοστό επιτάχυνσης (%)
757RR	DEFAULT	4	10	Άνοδος	Μέγιστη ώση ανόδου	T_00	10 000			
757RR	DEFAULT	5	1	Απογείωση	Μέγιστη ώση απογείωσης	5				
757RR	DEFAULT	5	2	Άνοδος	Μέγιστη ώση απογείωσης	5	1 000			
757RR	DEFAULT	5	3	Επιτάχυνση	Μέγιστη ώση ανόδου	T_05		1 196,6	203,7	
757RR	DEFAULT	5	4	Επιτάχυνση	Μέγιστη ώση ανόδου	T_01		1 325,3	221,1	
757RR	DEFAULT	5	5	Επιτάχυνση	Μέγιστη ώση ανόδου	T_00		1 400	225,7	
757RR	DEFAULT	5	6	Άνοδος	Μέγιστη ώση ανόδου	ZERO	3 000			
757RR	DEFAULT	5	7	Επιτάχυνση	Μέγιστη ώση ανόδου	ZERO		1 447,1	250	
757RR	DEFAULT	5	8	Άνοδος	Μέγιστη ώση ανόδου	T_00	5 500			
757RR	DEFAULT	5	9	Άνοδος	Μέγιστη ώση ανόδου	T_00	7 500			
757RR	DEFAULT	5	10	Άνοδος	Μέγιστη ώση ανόδου	ZERO	10 000			
757RR	DEFAULT	6	1	Απογείωση	Μέγιστη ώση απογείωσης	5				
757RR	DEFAULT	6	2	Άνοδος	Μέγιστη ώση απογείωσης	5	1 000			

▼**M2**

ACFTID	Profile_ID (Προφίλ αναχώρησης)	Μήκος καλυπτόμενης διαδρομής	Αριθμός σταδίου	Είδος σταδίου	Μέγεθος ώσης	Flap_ID (Θέση πτερυγίων καμπυλότητας)	Οροφή ανόδου (ft)	Ρυθμός ανόδου (ft/min)	Διακριβωμένη ταχύτητα αέρα στην οροφή ανόδου (kt)	Ποσοστό επιτάχυνσης (%)
757RR	DEFAULT	6	3	Επιτάχυνση	Μέγιστη ώση ανόδου	T_05		1 142,2	205,8	
757RR	DEFAULT	6	4	Επιτάχυνση	Μέγιστη ώση ανόδου	T_01		1 258	223,4	
757RR	DEFAULT	6	5	Επιτάχυνση	Μέγιστη ώση ανόδου	T_00		1 329,6	228,9	
757RR	DEFAULT	6	6	Άνοδος	Μέγιστη ώση ανόδου	ZERO	3 000			
757RR	DEFAULT	6	7	Επιτάχυνση	Μέγιστη ώση ανόδου	ZERO		1 377,4	250	
757RR	DEFAULT	6	8	Άνοδος	Μέγιστη ώση ανόδου	T_00	5 500			
757RR	DEFAULT	6	9	Άνοδος	Μέγιστη ώση ανόδου	T_00	7 500			
757RR	DEFAULT	6	10	Άνοδος	Μέγιστη ώση ανόδου	ZERO	10 000			
757RR	DEFAULT	7	1	Απογείωση	Μέγιστη ώση απογείωσης	5				
757RR	DEFAULT	7	2	Άνοδος	Μέγιστη ώση απογείωσης	5	1 000			
757RR	DEFAULT	7	3	Επιτάχυνση	Μέγιστη ώση ανόδου	T_05		1 071,3	208,8	
757RR	DEFAULT	7	4	Επιτάχυνση	Μέγιστη ώση ανόδου	T_01		1 181,5	226,7	
757RR	DEFAULT	7	5	Επιτάχυνση	Μέγιστη ώση ανόδου	T_00		1 265,9	233,3	

▼**M2**

ACFTID	Profile_ID (Προφίλ αναχώρησης)	Μήκος καλυπτόμενης διαδρομής	Αριθμός σταδίου	Είδος σταδίου	Μέγεθος ώσης	Flap_ID (Θέση πτερυγίων καμπυλότητας)	Οροφή ανόδου (ft)	Ρυθμός ανόδου (ft/min)	Διακριβωμένη ταχύτητα αέρα στην οροφή ανόδου (kt)	Ποσοστό επιτάχυνσης (%)
757RR	DEFAULT	7	6	Άνοδος	Μέγιστη ώση ανόδου	ZERO	3 000			
757RR	DEFAULT	7	7	Επιτάχυνση	Μέγιστη ώση ανόδου	ZERO		1 287,6	250	
757RR	DEFAULT	7	8	Άνοδος	Μέγιστη ώση ανόδου	T_00	5 500			
757RR	DEFAULT	7	9	Άνοδος	Μέγιστη ώση ανόδου	ZERO	7 500			
757RR	DEFAULT	7	10	Άνοδος	Μέγιστη ώση ανόδου	ZERO	10 000			
757RR	ICAO_A	1	1	Απογείωση	Μέγιστη ώση απογείωσης	5				
757RR	ICAO_A	1	2	Άνοδος	Μέγιστη ώση απογείωσης	5	1 500			
757RR	ICAO_A	1	3	Άνοδος	Μέγιστη ώση ανόδου	5	3 000			
757RR	ICAO_A	1	4	Επιτάχυνση	Μέγιστη ώση ανόδου	T_05		1 543,3	190,3	
757RR	ICAO_A	1	5	Επιτάχυνση	Μέγιστη ώση ανόδου	T_01		1 735,6	206,1	
757RR	ICAO_A	1	6	Επιτάχυνση	Μέγιστη ώση ανόδου	T_00		1 959,8	250	
757RR	ICAO_A	1	7	Άνοδος	Μέγιστη ώση ανόδου	ZERO	5 500			
757RR	ICAO_A	1	8	Άνοδος	Μέγιστη ώση ανόδου	ZERO	7 500			

▼**M2**

ACFTID	Profile_ID (Προφίλ αναχώρησης)	Μήκος καλυπτόμενης διαδρομής	Αριθμός σταδίου	Είδος σταδίου	Μέγεθος ώσης	Flap_ID (Θέση πτερυγίων καμπυλότητας)	Οροφή ανόδου (ft)	Ρυθμός ανόδου (ft/min)	Διακριβωμένη ταχύτητα αέρα στην οροφή ανόδου (kt)	Ποσοστό επιτάχυνσης (%)
757RR	ICAO_A	1	9	Άνοδος	Μέγιστη ώση ανόδου	ZERO	10 000			
757RR	ICAO_A	2	1	Απογείωση	Μέγιστη ώση απογείωσης	5				
757RR	ICAO_A	2	2	Άνοδος	Μέγιστη ώση απογείωσης	5	1 500			
757RR	ICAO_A	2	3	Άνοδος	Μέγιστη ώση ανόδου	5	3 000			
757RR	ICAO_A	2	4	Επιτάχυνση	Μέγιστη ώση ανόδου	T_05		1 472,7	191,9	
757RR	ICAO_A	2	5	Επιτάχυνση	Μέγιστη ώση ανόδου	T_01		1 660,2	208,9	
757RR	ICAO_A	2	6	Επιτάχυνση	Μέγιστη ώση ανόδου	T_00		1 876	250	
757RR	ICAO_A	2	7	Άνοδος	Μέγιστη ώση ανόδου	ZERO	5 500			
757RR	ICAO_A	2	8	Άνοδος	Μέγιστη ώση ανόδου	ZERO	7 500			
757RR	ICAO_A	2	9	Άνοδος	Μέγιστη ώση ανόδου	ZERO	10 000			
757RR	ICAO_A	3	1	Απογείωση	Μέγιστη ώση απογείωσης	5				
757RR	ICAO_A	3	2	Άνοδος	Μέγιστη ώση απογείωσης	5	1 500			
757RR	ICAO_A	3	3	Άνοδος	Μέγιστη ώση ανόδου	5	3 000			

▼**M2**

ACFTID	Profile_ID (Προφίλ αναχώρησης)	Μήκος καλυπτόμενης διαδρομής	Αριθμός σταδίου	Είδος σταδίου	Μέγεθος ώσης	Flap_ID (Θέση πτερυγίων καμπυλότητας)	Οροφή ανόδου (ft)	Ρυθμός ανόδου (ft/min)	Διακριβωμένη ταχύτητα αέρα στην οροφή ανόδου (kt)	Ποσοστό επιτάχυνσης (%)
757RR	ICAO_A	3	4	Επιτάχυνση	Μέγιστη ώση ανόδου	T_05		1 401	193,6	
757RR	ICAO_A	3	5	Επιτάχυνση	Μέγιστη ώση ανόδου	T_01		1 590,6	211,5	
757RR	ICAO_A	3	6	Επιτάχυνση	Μέγιστη ώση ανόδου	T_00		1 769,2	250	
757RR	ICAO_A	3	7	Άνοδος	Μέγιστη ώση ανόδου	ZERO	5 500			
757RR	ICAO_A	3	8	Άνοδος	Μέγιστη ώση ανόδου	ZERO	7 500			
757RR	ICAO_A	3	9	Άνοδος	Μέγιστη ώση ανόδου	ZERO	10 000			
757RR	ICAO_A	4	1	Απογείωση	Μέγιστη ώση απογείωσης	5				
757RR	ICAO_A	4	2	Άνοδος	Μέγιστη ώση απογείωσης	5	1 500			
757RR	ICAO_A	4	3	Άνοδος	Μέγιστη ώση ανόδου	5	3 000			
757RR	ICAO_A	4	4	Επιτάχυνση	Μέγιστη ώση ανόδου	T_05		1 271,5	197,3	
757RR	ICAO_A	4	5	Επιτάχυνση	Μέγιστη ώση ανόδου	T_01		1 436	214,5	
757RR	ICAO_A	4	6	Επιτάχυνση	Μέγιστη ώση ανόδου	T_00		1 593,3	250	
757RR	ICAO_A	4	7	Άνοδος	Μέγιστη ώση ανόδου	ZERO	5 500			

▼**M2**

ACFTID	Profile_ID (Προφίλ αναχώρησης)	Μήκος καλυπτόμενης διαδρομής	Αριθμός σταδίου	Είδος σταδίου	Μέγεθος ώσης	Flap_ID (Θέση πτερυγίων καμπυλότητας)	Οροφή ανόδου (ft)	Ρυθμός ανόδου (ft/min)	Διακριβωμένη ταχύτητα αέρα στην οροφή ανόδου (kt)	Ποσοστό επιτάχυνσης (%)
757RR	ICAO_A	4	8	Άνοδος	Μέγιστη ώση ανόδου	ZERO	7 500			
757RR	ICAO_A	4	9	Άνοδος	Μέγιστη ώση ανόδου	T_00	10 000			
757RR	ICAO_A	5	1	Απογείωση	Μέγιστη ώση απογείωσης	5				
757RR	ICAO_A	5	2	Άνοδος	Μέγιστη ώση απογείωσης	5	1 500			
757RR	ICAO_A	5	3	Άνοδος	Μέγιστη ώση ανόδου	5	3 000			
757RR	ICAO_A	5	4	Επιτάχυνση	Μέγιστη ώση ανόδου	T_05		1 134,7	202,1	
757RR	ICAO_A	5	5	Επιτάχυνση	Μέγιστη ώση ανόδου	T_01		1 278,3	219,8	
757RR	ICAO_A	5	6	Επιτάχυνση	Μέγιστη ώση ανόδου	T_00		1 416,8	250	
757RR	ICAO_A	5	7	Άνοδος	Μέγιστη ώση ανόδου	ZERO	5 500			
757RR	ICAO_A	5	8	Άνοδος	Μέγιστη ώση ανόδου	ZERO	7 500			
757RR	ICAO_A	5	9	Άνοδος	Μέγιστη ώση ανόδου	ZERO	10 000			
757RR	ICAO_A	6	1	Απογείωση	Μέγιστη ώση απογείωσης	5				
757RR	ICAO_A	6	2	Άνοδος	Μέγιστη ώση απογείωσης	5	1 500			

▼**M2**

ACFTID	Profile_ID (Προφίλ αναχώρησης)	Μήκος καλυπτόμενης διαδρομής	Αριθμός σταδίου	Είδος σταδίου	Μέγεθος ώσης	Flap_ID (Θέση πτερυγίων καμπυλότητας)	Οροφή ανόδου (ft)	Ρυθμός ανόδου (ft/min)	Διακριβωμένη ταχύτητα αέρα στην οροφή ανόδου (kt)	Ποσοστό επιτάχυνσης (%)
757RR	ICAO_A	6	3	Άνοδος	Μέγιστη ώση ανόδου	5	3 000			
757RR	ICAO_A	6	4	Επιτάχυνση	Μέγιστη ώση ανόδου	T_05		1 083,2	204,3	
757RR	ICAO_A	6	5	Επιτάχυνση	Μέγιστη ώση ανόδου	T_01		1 218,6	222,1	
757RR	ICAO_A	6	6	Επιτάχυνση	Μέγιστη ώση ανόδου	T_00		1 348,5	250	
757RR	ICAO_A	6	7	Άνοδος	Μέγιστη ώση ανόδου	ZERO	5 500			
757RR	ICAO_A	6	8	Άνοδος	Μέγιστη ώση ανόδου	ZERO	7 500			
757RR	ICAO_A	6	9	Άνοδος	Μέγιστη ώση ανόδου	ZERO	10 000			
757RR	ICAO_A	7	1	Απογείωση	Μέγιστη ώση απογείωσης	5				
757RR	ICAO_A	7	2	Άνοδος	Μέγιστη ώση απογείωσης	5	1 500			
757RR	ICAO_A	7	3	Άνοδος	Μέγιστη ώση ανόδου	5	3 000			
757RR	ICAO_A	7	4	Επιτάχυνση	Μέγιστη ώση ανόδου	T_05		1 013,1	207,4	
757RR	ICAO_A	7	5	Επιτάχυνση	Μέγιστη ώση ανόδου	T_01		1 137,3	225,4	
757RR	ICAO_A	7	6	Επιτάχυνση	Μέγιστη ώση ανόδου	ZERO		1 256,7	250	

▼**M2**

ACFTID	Profile_ID (Προφίλ αναχώρησης)	Μήκος καλυπτόμενης διαδρομής	Αριθμός σταδίου	Είδος σταδίου	Μέγεθος ώσης	Flap_ID (Θέση πτερυγίων καμπυλότητας)	Οροφή ανόδου (ft)	Ρυθμός ανόδου (ft/min)	Διακριβωμένη ταχύτητα αέρα στην οροφή ανόδου (kt)	Ποσοστό επιτάχυνσης (%)
757RR	ICAO_A	7	7	Άνοδος	Μέγιστη ώση ανόδου	ZERO	5 500			
757RR	ICAO_A	7	8	Άνοδος	Μέγιστη ώση ανόδου	ZERO	7 500			
757RR	ICAO_A	7	9	Άνοδος	Μέγιστη ώση ανόδου	ZERO	10 000			
757RR	ICAO_B	1	1	Απογείωση	Μέγιστη ώση απογείωσης	5				
757RR	ICAO_B	1	2	Άνοδος	Μέγιστη ώση απογείωσης	5	1 000			
757RR	ICAO_B	1	3	Επιτάχυνση	Μέγιστη ώση απογείωσης	T_05		2 227,2	201,9	
757RR	ICAO_B	1	4	Επιτάχυνση	Μέγιστη ώση απογείωσης	T_01		2 474,2	206,3	
757RR	ICAO_B	1	5	Άνοδος	Μέγιστη ώση ανόδου	ZERO	3 000			
757RR	ICAO_B	1	6	Επιτάχυνση	Μέγιστη ώση ανόδου	ZERO		1 965,3	250	
757RR	ICAO_B	1	7	Άνοδος	Μέγιστη ώση ανόδου	ZERO	5 500			
757RR	ICAO_B	1	8	Άνοδος	Μέγιστη ώση ανόδου	ZERO	7 500			
757RR	ICAO_B	1	9	Άνοδος	Μέγιστη ώση ανόδου	ZERO	10 000			
757RR	ICAO_B	2	1	Απογείωση	Μέγιστη ώση απογείωσης	5				
757RR	ICAO_B	2	2	Άνοδος	Μέγιστη ώση απογείωσης	5	1 000			

▼**M2**

ACFTID	Profile_ID (Προφίλ αναχώρησης)	Μήκος καλυπτόμενης διαδρομής	Αριθμός σταδίου	Είδος σταδίου	Μέγεθος ώσης	Flap_ID (Θέση πτερυγίων καμπυλότητας)	Οροφή ανόδου (ft)	Ρυθμός ανόδου (ft/min)	Διακριβωμένη ταχύτητα αέρα στην οροφή ανόδου (kt)	Ποσοστό επιτάχυνσης (%)
757RR	ICAO_B	2	3	Επιτάχυνση	Μέγιστη ώση απογείωσης	T_05		2 139,9	203	
757RR	ICAO_B	2	4	Επιτάχυνση	Μέγιστη ώση απογείωσης	T_01		2 400	209,2	
757RR	ICAO_B	2	5	Άνοδος	Μέγιστη ώση ανόδου	ZERO	3 000			
757RR	ICAO_B	2	6	Επιτάχυνση	Μέγιστη ώση ανόδου	T_00		1 876,9	250	
757RR	ICAO_B	2	7	Άνοδος	Μέγιστη ώση ανόδου	T_00	5 500			
757RR	ICAO_B	2	8	Άνοδος	Μέγιστη ώση ανόδου	ZERO	7 500			
757RR	ICAO_B	2	9	Άνοδος	Μέγιστη ώση ανόδου	ZERO	10 000			
757RR	ICAO_B	3	1	Απογείωση	Μέγιστη ώση απογείωσης	5				
757RR	ICAO_B	3	2	Άνοδος	Μέγιστη ώση απογείωσης	5	1 000			
757RR	ICAO_B	3	3	Επιτάχυνση	Μέγιστη ώση απογείωσης	T_05		2 051,2	204,3	
757RR	ICAO_B	3	4	Επιτάχυνση	Μέγιστη ώση απογείωσης	T_01		2 300	212,1	
757RR	ICAO_B	3	5	Άνοδος	Μέγιστη ώση ανόδου	ZERO	3 000			
757RR	ICAO_B	3	6	Επιτάχυνση	Μέγιστη ώση ανόδου	T_00		1 788	250	
757RR	ICAO_B	3	7	Άνοδος	Μέγιστη ώση ανόδου	T_00	5 500			

▼**M2**

ACFTID	Profile_ID (Προφίλ αναχώρησης)	Μήκος καλυπτόμενης διαδρομής	Αριθμός σταδίου	Είδος σταδίου	Μέγεθος ώσης	Flap_ID (Θέση πτερυγίων καμπυλότητας)	Οροφή ανόδου (ft)	Ρυθμός ανόδου (ft/min)	Διακριβωμένη ταχύτητα αέρα στην οροφή ανόδου (kt)	Ποσοστό επιτάχυνσης (%)
757RR	ICAO_B	3	8	Άνοδος	Μέγιστη ώση ανόδου	T_00	7 500			
757RR	ICAO_B	3	9	Άνοδος	Μέγιστη ώση ανόδου	ZERO	10 000			
757RR	ICAO_B	4	1	Απογείωση	Μέγιστη ώση απογείωσης	5				
757RR	ICAO_B	4	2	Άνοδος	Μέγιστη ώση απογείωσης	5	1 000			
757RR	ICAO_B	4	3	Επιτάχυνση	Μέγιστη ώση απογείωσης	T_05		1 884,9	207,3	
757RR	ICAO_B	4	4	Επιτάχυνση	Μέγιστη ώση απογείωσης	T_01		2 135,6	218,4	
757RR	ICAO_B	4	5	Άνοδος	Μέγιστη ώση ανόδου	T_00	3 000			
757RR	ICAO_B	4	6	Επιτάχυνση	Μέγιστη ώση ανόδου	T_00		1 621,6	250	
757RR	ICAO_B	4	7	Άνοδος	Μέγιστη ώση ανόδου	T_00	5 500			
757RR	ICAO_B	4	8	Άνοδος	Μέγιστη ώση ανόδου	T_00	7 500			
757RR	ICAO_B	4	9	Άνοδος	Μέγιστη ώση ανόδου	T_00	10 000			
757RR	ICAO_B	5	1	Απογείωση	Μέγιστη ώση απογείωσης	5				
757RR	ICAO_B	5	2	Άνοδος	Μέγιστη ώση απογείωσης	5	1 000			
757RR	ICAO_B	5	3	Επιτάχυνση	Μέγιστη ώση απογείωσης	T_05		1 713,8	211,3	

▼**M2**

ACFTID	Profile_ID (Προφίλ αναχώρησης)	Μήκος καλυπτόμενης διαδρομής	Αριθμός σταδίου	Είδος σταδίου	Μέγεθος ώσης	Flap_ID (Θέση πτερυγίων καμπυλότητας)	Οροφή ανόδου (ft)	Ρυθμός ανόδου (ft/min)	Διακριβωμένη ταχύτητα αέρα στην οροφή ανόδου (kt)	Ποσοστό επιτάχυνσης (%)
757RR	ICAO_B	5	4	Επιτάχυνση	Μέγιστη ώση απογείωσης	T_01		1 935,5	225,8	
757RR	ICAO_B	5	5	Άνοδος	Μέγιστη ώση ανόδου	ZERO	3 000			
757RR	ICAO_B	5	6	Επιτάχυνση	Μέγιστη ώση ανόδου	T_00		1 447,1	250	
757RR	ICAO_B	5	7	Άνοδος	Μέγιστη ώση ανόδου	T_00	5 500			
757RR	ICAO_B	5	8	Άνοδος	Μέγιστη ώση ανόδου	T_00	7 500			
757RR	ICAO_B	5	9	Άνοδος	Μέγιστη ώση ανόδου	T_00	10 000			
757RR	ICAO_B	6	1	Απογείωση	Μέγιστη ώση απογείωσης	5				
757RR	ICAO_B	6	2	Άνοδος	Μέγιστη ώση απογείωσης	5	1 000			
757RR	ICAO_B	6	3	Επιτάχυνση	Μέγιστη ώση απογείωσης	T_05		1 646,9	213,1	
757RR	ICAO_B	6	4	Επιτάχυνση	Μέγιστη ώση απογείωσης	T_01		1 872,3	228,9	
757RR	ICAO_B	6	5	Άνοδος	Μέγιστη ώση ανόδου	ZERO	3 000			
757RR	ICAO_B	6	6	Επιτάχυνση	Μέγιστη ώση ανόδου	T_00		1 379,1	250	
757RR	ICAO_B	6	7	Άνοδος	Μέγιστη ώση ανόδου	T_00	5 500			
757RR	ICAO_B	6	8	Άνοδος	Μέγιστη ώση ανόδου	T_00	7 500			

▼**M2**

ACFTID	Profile_ID (Προφίλ αναχώρησης)	Μήκος καλυπτόμενης διαδρομής	Αριθμός σταδίου	Είδος σταδίου	Μέγεθος ώσης	Flap_ID (Θέση πτερυγίων καμπυλότητας)	Οροφή ανόδου (ft)	Ρυθμός ανόδου (ft/min)	Διακριβωμένη ταχύτητα αέρα στην οροφή ανόδου (kt)	Ποσοστό επιτάχυνσης (%)
757RR	ICAO_B	6	9	Άνοδος	Μέγιστη ώση ανόδου	T_00	10 000			
757RR	ICAO_B	7	1	Απογείωση	Μέγιστη ώση απογείωσης	5				
757RR	ICAO_B	7	2	Άνοδος	Μέγιστη ώση απογείωσης	5	1 000			
757RR	ICAO_B	7	3	Επιτάχυνση	Μέγιστη ώση απογείωσης	T_05		1 562,1	215,8	
757RR	ICAO_B	7	4	Επιτάχυνση	Μέγιστη ώση απογείωσης	T_01		1 781,3	233,3	
757RR	ICAO_B	7	5	Άνοδος	Μέγιστη ώση ανόδου	ZERO	3 000			
757RR	ICAO_B	7	6	Επιτάχυνση	Μέγιστη ώση ανόδου	T_00		1 287,6	250	
757RR	ICAO_B	7	7	Άνοδος	Μέγιστη ώση ανόδου	T_00	5 500			
757RR	ICAO_B	7	8	Άνοδος	Μέγιστη ώση ανόδου	T_00	7 500			
757RR	ICAO_B	7	9	Άνοδος	Μέγιστη ώση ανόδου	T_00	10 000			
767300	DEFAULT	1	1	Απογείωση	Μέγιστη ώση απογείωσης	15				
767300	DEFAULT	1	2	Άνοδος	Μέγιστη ώση απογείωσης	15	1 000			
767300	DEFAULT	1	3	Επιτάχυνση	Μέγιστη ώση απογείωσης	15		2 198	152	
767300	DEFAULT	1	4	Επιτάχυνση	Μέγιστη ώση απογείωσης	5		2 198	172	

▼**M2**

ACFTID	Profile_ID (Προφίλ αναχώρησης)	Μήκος καλυπτόμενης διαδρομής	Αριθμός σταδίου	Είδος σταδίου	Μέγεθος ώσης	Flap_ID (Θέση πτερυγίων καμπυλότητας)	Οροφή ανόδου (ft)	Ρυθμός ανόδου (ft/min)	Διακριβωμένη ταχύτητα αέρα στην οροφή ανόδου (kt)	Ποσοστό επιτάχυνσης (%)
767300	DEFAULT	1	5	Επιτάχυνση	Μέγιστη ώση ανόδου	INT		1 000	215	
767300	DEFAULT	1	6	Επιτάχυνση	Μέγιστη ώση ανόδου	ZERO		1 000	235	
767300	DEFAULT	1	7	Άνοδος	Μέγιστη ώση ανόδου	ZERO	3 000			
767300	DEFAULT	1	8	Επιτάχυνση	Μέγιστη ώση ανόδου	ZERO		1 000	250	
767300	DEFAULT	1	9	Άνοδος	Μέγιστη ώση ανόδου	ZERO	5 500			
767300	DEFAULT	1	10	Άνοδος	Μέγιστη ώση ανόδου	ZERO	7 500			
767300	DEFAULT	1	11	Άνοδος	Μέγιστη ώση ανόδου	ZERO	10 000			
767300	DEFAULT	2	1	Απογείωση	Μέγιστη ώση απογείωσης	15				
767300	DEFAULT	2	2	Άνοδος	Μέγιστη ώση απογείωσης	15	1 000			
767300	DEFAULT	2	3	Επιτάχυνση	Μέγιστη ώση απογείωσης	15		2 112	155	
767300	DEFAULT	2	4	Επιτάχυνση	Μέγιστη ώση απογείωσης	5		2 112	175	
767300	DEFAULT	2	5	Επιτάχυνση	Μέγιστη ώση ανόδου	INT		1 000	218	
767300	DEFAULT	2	6	Επιτάχυνση	Μέγιστη ώση ανόδου	ZERO		1 000	238	

▼**M2**

ACFTID	Profile_ID (Προφίλ αναχώρησης)	Μήκος καλυπτόμενης διαδρομής	Αριθμός σταδίου	Είδος σταδίου	Μέγεθος ώσης	Flap_ID (Θέση πτερυγίων καμπυλότητας)	Οροφή ανόδου (ft)	Ρυθμός ανόδου (ft/min)	Διακριβωμένη ταχύτητα αέρα στην οροφή ανόδου (kt)	Ποσοστό επιτάχυνσης (%)
767300	DEFAULT	2	7	Άνοδος	Μέγιστη ώση ανόδου	ZERO	3 000			
767300	DEFAULT	2	8	Επιτάχυνση	Μέγιστη ώση ανόδου	ZERO		1 000	250	
767300	DEFAULT	2	9	Άνοδος	Μέγιστη ώση ανόδου	ZERO	5 500			
767300	DEFAULT	2	10	Άνοδος	Μέγιστη ώση ανόδου	ZERO	7 500			
767300	DEFAULT	2	11	Άνοδος	Μέγιστη ώση ανόδου	ZERO	10 000			
767300	DEFAULT	3	1	Απογείωση	Μέγιστη ώση απογείωσης	15				
767300	DEFAULT	3	2	Άνοδος	Μέγιστη ώση απογείωσης	15	1 000			
767300	DEFAULT	3	3	Επιτάχυνση	Μέγιστη ώση απογείωσης	15		2 029	158	
767300	DEFAULT	3	4	Επιτάχυνση	Μέγιστη ώση απογείωσης	5		2 029	178	
767300	DEFAULT	3	5	Επιτάχυνση	Μέγιστη ώση ανόδου	INT		1 000	221	
767300	DEFAULT	3	6	Επιτάχυνση	Μέγιστη ώση ανόδου	ZERO		1 000	241	
767300	DEFAULT	3	7	Άνοδος	Μέγιστη ώση ανόδου	ZERO	3 000			
767300	DEFAULT	3	8	Επιτάχυνση	Μέγιστη ώση ανόδου	ZERO		1 000	250	

▼**M2**

ACFTID	Profile_ID (Προφίλ αναχώρησης)	Μήκος καλυπτόμενης διαδρομής	Αριθμός σταδίου	Είδος σταδίου	Μέγεθος ώσης	Flap_ID (Θέση πτερυγίων καμπυλότητας)	Οροφή ανόδου (ft)	Ρυθμός ανόδου (ft/min)	Διακριβωμένη ταχύτητα αέρα στην οροφή ανόδου (kt)	Ποσοστό επιτάχυνσης (%)
767300	DEFAULT	3	9	Άνοδος	Μέγιστη ώση ανόδου	ZERO	5 500			
767300	DEFAULT	3	10	Άνοδος	Μέγιστη ώση ανόδου	ZERO	7 500			
767300	DEFAULT	3	11	Άνοδος	Μέγιστη ώση ανόδου	ZERO	10 000			
767300	DEFAULT	4	1	Απογείωση	Μέγιστη ώση απογείωσης	15				
767300	DEFAULT	4	2	Άνοδος	Μέγιστη ώση απογείωσης	15	1 000			
767300	DEFAULT	4	3	Επιτάχυνση	Μέγιστη ώση απογείωσης	15		1 895	163	
767300	DEFAULT	4	4	Επιτάχυνση	Μέγιστη ώση απογείωσης	5		1 895	183	
767300	DEFAULT	4	5	Επιτάχυνση	Μέγιστη ώση ανόδου	INT		1 000	225	
767300	DEFAULT	4	6	Επιτάχυνση	Μέγιστη ώση ανόδου	ZERO		1 000	245	
767300	DEFAULT	4	7	Άνοδος	Μέγιστη ώση ανόδου	ZERO	3 000			
767300	DEFAULT	4	8	Επιτάχυνση	Μέγιστη ώση ανόδου	ZERO		1 000	250	
767300	DEFAULT	4	9	Άνοδος	Μέγιστη ώση ανόδου	ZERO	5 500			
767300	DEFAULT	4	10	Άνοδος	Μέγιστη ώση ανόδου	ZERO	7 500			

▼**M2**

ACFTID	Profile_ID (Προφίλ αναχώρησης)	Μήκος καλυπτόμενης διαδρομής	Αριθμός σταδίου	Είδος σταδίου	Μέγεθος ώσης	Flap_ID (Θέση πτερυγίων καμπυλότητας)	Οροφή ανόδου (ft)	Ρυθμός ανόδου (ft/min)	Διακριβωμένη ταχύτητα αέρα στην οροφή ανόδου (kt)	Ποσοστό επιτάχυνσης (%)
767300	DEFAULT	4	11	Άνοδος	Μέγιστη ώση ανόδου	ZERO	10 000			
767300	DEFAULT	5	1	Απογείωση	Μέγιστη ώση απογείωσης	15				
767300	DEFAULT	5	2	Άνοδος	Μέγιστη ώση απογείωσης	15	1 000			
767300	DEFAULT	5	3	Επιτάχυνση	Μέγιστη ώση απογείωσης	15		1 744	169	
767300	DEFAULT	5	4	Επιτάχυνση	Μέγιστη ώση απογείωσης	5		1 744	189	
767300	DEFAULT	5	5	Επιτάχυνση	Μέγιστη ώση ανόδου	INT		1 000	231	
767300	DEFAULT	5	6	Επιτάχυνση	Μέγιστη ώση ανόδου	ZERO		1 000	251	
767300	DEFAULT	5	7	Άνοδος	Μέγιστη ώση ανόδου	ZERO	3 000			
767300	DEFAULT	5	8	Άνοδος	Μέγιστη ώση ανόδου	ZERO	5 500			
767300	DEFAULT	5	9	Άνοδος	Μέγιστη ώση ανόδου	ZERO	7 500			
767300	DEFAULT	5	10	Άνοδος	Μέγιστη ώση ανόδου	ZERO	10 000			
767300	DEFAULT	6	1	Απογείωση	Μέγιστη ώση απογείωσης	15				
767300	DEFAULT	6	2	Άνοδος	Μέγιστη ώση απογείωσης	15	1 000			

▼**M2**

ACFTID	Profile_ID (Προφίλ αναχώρησης)	Μήκος καλυπτόμενης διαδρομής	Αριθμός σταδίου	Είδος σταδίου	Μέγεθος ώσης	Flap_ID (Θέση πτερυγίων καμπυλότητας)	Οροφή ανόδου (ft)	Ρυθμός ανόδου (ft/min)	Διακριβωμένη ταχύτητα αέρα στην οροφή ανόδου (kt)	Ποσοστό επιτάχυνσης (%)
767300	DEFAULT	6	3	Επιτάχυνση	Μέγιστη ώση απογείωσης	15		1 602	175	
767300	DEFAULT	6	4	Επιτάχυνση	Μέγιστη ώση απογείωσης	5		1 602	195	
767300	DEFAULT	6	5	Επιτάχυνση	Μέγιστη ώση ανόδου	INT		1 000	237	
767300	DEFAULT	6	6	Επιτάχυνση	Μέγιστη ώση ανόδου	ZERO		1 000	257	
767300	DEFAULT	6	7	Άνοδος	Μέγιστη ώση ανόδου	ZERO	3 000			
767300	DEFAULT	6	8	Άνοδος	Μέγιστη ώση ανόδου	ZERO	5 500			
767300	DEFAULT	6	9	Άνοδος	Μέγιστη ώση ανόδου	ZERO	7 500			
767300	DEFAULT	6	10	Άνοδος	Μέγιστη ώση ανόδου	ZERO	10 000			
767300	DEFAULT	7	1	Απογείωση	Μέγιστη ώση απογείωσης	15				
767300	DEFAULT	7	2	Άνοδος	Μέγιστη ώση απογείωσης	15	1 000			
767300	DEFAULT	7	3	Επιτάχυνση	Μέγιστη ώση απογείωσης	15		1 542	178	
767300	DEFAULT	7	4	Επιτάχυνση	Μέγιστη ώση απογείωσης	5		1 542	198	
767300	DEFAULT	7	5	Επιτάχυνση	Μέγιστη ώση ανόδου	INT		1 000	240	

▼**M2**

ACFTID	Profile_ID (Προφίλ αναχώρησης)	Μήκος καλυπτόμενης διαδρομής	Αριθμός σταδίου	Είδος σταδίου	Μέγεθος ώσης	Flap_ID (Θέση πτερυγίων καμπυλότητας)	Οροφή ανόδου (ft)	Ρυθμός ανόδου (ft/min)	Διακριβωμένη ταχύτητα αέρα στην οροφή ανόδου (kt)	Ποσοστό επιτάχυνσης (%)
767300	DEFAULT	7	6	Επιτάχυνση	Μέγιστη ώση ανόδου	ZERO		1 000	260	
767300	DEFAULT	7	7	Άνοδος	Μέγιστη ώση ανόδου	ZERO	3 000			
767300	DEFAULT	7	8	Άνοδος	Μέγιστη ώση ανόδου	ZERO	5 500			
767300	DEFAULT	7	9	Άνοδος	Μέγιστη ώση ανόδου	ZERO	7 500			
767300	DEFAULT	7	10	Άνοδος	Μέγιστη ώση ανόδου	ZERO	10 000			
767400	DEFAULT	1	1	Απογείωση	Μέγιστη ώση απογείωσης	T_20_U				
767400	DEFAULT	1	2	Άνοδος	Μέγιστη ώση απογείωσης	T_20_U	1 000			
767400	DEFAULT	1	3	Επιτάχυνση	Μέγιστη ώση ανόδου	T_05_U		1 695,3	215,4	
767400	DEFAULT	1	4	Άνοδος	Μέγιστη ώση ανόδου	T_00_U	3 000			
767400	DEFAULT	1	5	Επιτάχυνση	Μέγιστη ώση ανόδου	T_00_U		2 123,3	250	
767400	DEFAULT	1	6	Άνοδος	Μέγιστη ώση ανόδου	T_00_U	5 500			
767400	DEFAULT	1	7	Άνοδος	Μέγιστη ώση ανόδου	T_00_U	7 500			
767400	DEFAULT	1	8	Άνοδος	Μέγιστη ώση ανόδου	T_00_U	10 000			

▼**M2**

ACFTID	Profile_ID (Προφίλ αναχώρησης)	Μήκος καλυπτόμενης διαδρομής	Αριθμός σταδίου	Είδος σταδίου	Μέγεθος ώσης	Flap_ID (Θέση πτερυγίων καμπυλότητας)	Οροφή ανόδου (ft)	Ρυθμός ανόδου (ft/min)	Διακριβωμένη ταχύτητα αέρα στην οροφή ανόδου (kt)	Ποσοστό επιτάχυνσης (%)
767400	DEFAULT	2	1	Απογείωση	Μέγιστη ώση απογείωσης	T_20_U				
767400	DEFAULT	2	2	Άνοδος	Μέγιστη ώση απογείωσης	T_20_U	1 000			
767400	DEFAULT	2	3	Επιτάχυνση	Μέγιστη ώση ανόδου	T_05_U		1 648,7	217,9	
767400	DEFAULT	2	4	Άνοδος	Μέγιστη ώση ανόδου	T_00_U	3 000			
767400	DEFAULT	2	5	Επιτάχυνση	Μέγιστη ώση ανόδου	T_00_U		2 040,6	250	
767400	DEFAULT	2	6	Άνοδος	Μέγιστη ώση ανόδου	T_00_U	5 500			
767400	DEFAULT	2	7	Άνοδος	Μέγιστη ώση ανόδου	T_00_U	7 500			
767400	DEFAULT	2	8	Άνοδος	Μέγιστη ώση ανόδου	T_00_U	10 000			
767400	DEFAULT	3	1	Απογείωση	Μέγιστη ώση απογείωσης	T_20_U				
767400	DEFAULT	3	2	Άνοδος	Μέγιστη ώση απογείωσης	T_20_U	1 000			
767400	DEFAULT	3	3	Επιτάχυνση	Μέγιστη ώση ανόδου	T_05_U		1 584,9	220,5	
767400	DEFAULT	3	4	Άνοδος	Μέγιστη ώση ανόδου	T_00_U	3 000			

▼**M2**

ACFTID	Profile_ID (Προφίλ αναχώρησης)	Μήκος καλυπτόμενης διαδρομής	Αριθμός σταδίου	Είδος σταδίου	Μέγεθος ώσης	Flap_ID (Θέση πτερυγίων καμπυλότητας)	Οροφή ανόδου (ft)	Ρυθμός ανόδου (ft/min)	Διακριβωμένη ταχύτητα αέρα στην οροφή ανόδου (kt)	Ποσοστό επιτάχυνσης (%)
767400	DEFAULT	3	5	Επιτάχυνση	Μέγιστη ώση ανόδου	T_00_U		1 953,3	250	
767400	DEFAULT	3	6	Άνοδος	Μέγιστη ώση ανόδου	T_00_U	5 500			
767400	DEFAULT	3	7	Άνοδος	Μέγιστη ώση ανόδου	T_00_U	7 500			
767400	DEFAULT	3	8	Άνοδος	Μέγιστη ώση ανόδου	T_00_U	10 000			
767400	DEFAULT	4	1	Απογείωση	Μέγιστη ώση απογείωσης	T_20_U				
767400	DEFAULT	4	2	Άνοδος	Μέγιστη ώση απογείωσης	T_20_U	1 000			
767400	DEFAULT	4	3	Επιτάχυνση	Μέγιστη ώση ανόδου	T_05_U		1 482,5	225,1	
767400	DEFAULT	4	4	Άνοδος	Μέγιστη ώση ανόδου	T_00_U	3 000			
767400	DEFAULT	4	5	Επιτάχυνση	Μέγιστη ώση ανόδου	T_00_U		1 821,8	250	
767400	DEFAULT	4	6	Άνοδος	Μέγιστη ώση ανόδου	T_00_U	5 500			
767400	DEFAULT	4	7	Άνοδος	Μέγιστη ώση ανόδου	T_00_U	7 500			
767400	DEFAULT	4	8	Άνοδος	Μέγιστη ώση ανόδου	T_00_U	10 000			

▼**M2**

ACFTID	Profile_ID (Προφίλ αναχώρησης)	Μήκος καλυπτόμενης διαδρομής	Αριθμός σταδίου	Είδος σταδίου	Μέγεθος ώσης	Flap_ID (Θέση πτερυγίων καμπυλότητας)	Οροφή ανόδου (ft)	Ρυθμός ανόδου (ft/min)	Διακριβωμένη ταχύτητα αέρα στην οροφή ανόδου (kt)	Ποσοστό επιτάχυνσης (%)
767400	DEFAULT	5	1	Απογείωση	Μέγιστη ώση απογείωσης	T_20_U				
767400	DEFAULT	5	2	Άνοδος	Μέγιστη ώση απογείωσης	T_20_U	1 000			
767400	DEFAULT	5	3	Επιτάχυνση	Μέγιστη ώση ανόδου	T_05_U		1 360,1	230,5	
767400	DEFAULT	5	4	Άνοδος	Μέγιστη ώση ανόδου	T_00_U	3 000			
767400	DEFAULT	5	5	Επιτάχυνση	Μέγιστη ώση ανόδου	T_00_U		1 661,5	250	
767400	DEFAULT	5	6	Άνοδος	Μέγιστη ώση ανόδου	T_00_U	5 500			
767400	DEFAULT	5	7	Άνοδος	Μέγιστη ώση ανόδου	T_00_U	7 500			
767400	DEFAULT	5	8	Άνοδος	Μέγιστη ώση ανόδου	T_00_U	10 000			
767400	DEFAULT	6	1	Απογείωση	Μέγιστη ώση απογείωσης	T_20_U				
767400	DEFAULT	6	2	Άνοδος	Μέγιστη ώση απογείωσης	T_20_U	1 000			
767400	DEFAULT	6	3	Επιτάχυνση	Μέγιστη ώση ανόδου	T_05_U		1 246,4	236	
767400	DEFAULT	6	4	Άνοδος	Μέγιστη ώση ανόδου	T_00_U	3 000			
767400	DEFAULT	6	5	Επιτάχυνση	Μέγιστη ώση ανόδου	T_00_U		1 508	250	

▼**M2**

ACFTID	Profile_ID (Προφίλ αναχώρησης)	Μήκος καλυπτόμενης διαδρομής	Αριθμός σταδίου	Είδος σταδίου	Μέγεθος ώσης	Flap_ID (Θέση πτερυγίων καμπυλότητας)	Οροφή ανόδου (ft)	Ρυθμός ανόδου (ft/min)	Διακριβωμένη ταχύτητα αέρα στην οροφή ανόδου (kt)	Ποσοστό επιτάχυνσης (%)
767400	DEFAULT	6	6	Άνοδος	Μέγιστη ώση ανόδου	T_00_U	5 500			
767400	DEFAULT	6	7	Άνοδος	Μέγιστη ώση ανόδου	T_00_U	7 500			
767400	DEFAULT	6	8	Άνοδος	Μέγιστη ώση ανόδου	T_00_U	10 000			
767400	DEFAULT	7	1	Απογείωση	Μέγιστη ώση απογείωσης	T_20_U				
767400	DEFAULT	7	2	Άνοδος	Μέγιστη ώση απογείωσης	T_20_U	1 000			
767400	DEFAULT	7	3	Επιτάχυνση	Μέγιστη ώση ανόδου	T_05_U		1 091,3	244,3	
767400	DEFAULT	7	4	Άνοδος	Μέγιστη ώση ανόδου	T_00_U	3 000			
767400	DEFAULT	7	5	Επιτάχυνση	Μέγιστη ώση ανόδου	T_00_U		1 303,8	250	
767400	DEFAULT	7	6	Άνοδος	Μέγιστη ώση ανόδου	T_00_U	5 500			
767400	DEFAULT	7	7	Άνοδος	Μέγιστη ώση ανόδου	T_00_U	7 500			
767400	DEFAULT	7	8	Άνοδος	Μέγιστη ώση ανόδου	T_00_U	10 000			
767400	ICAO_A	1	1	Απογείωση	Μέγιστη ώση απογείωσης	T_20_U				
767400	ICAO_A	1	2	Άνοδος	Μέγιστη ώση απογείωσης	T_20_U	1 500			

▼**M2**

ACFTID	Profile_ID (Προφίλ αναχώρησης)	Μήκος καλυπτόμενης διαδρομής	Αριθμός σταδίου	Είδος σταδίου	Μέγεθος ώσης	Flap_ID (Θέση πτερυγίων καμπυλότητας)	Οροφή ανόδου (ft)	Ρυθμός ανόδου (ft/min)	Διακριβωμένη ταχύτητα αέρα στην οροφή ανόδου (kt)	Ποσοστό επιτάχυνσης (%)
767400	ICAO_A	1	3	Άνοδος	Μέγιστη ώση ανόδου	T_20_U	3 000			
767400	ICAO_A	1	4	Επιτάχυνση	Μέγιστη ώση ανόδου	T_05A		1 659,9	215,1	
767400	ICAO_A	1	5	Άνοδος	Μέγιστη ώση ανόδου	T_00_U	4 616			
767400	ICAO_A	1	6	Επιτάχυνση	Μέγιστη ώση ανόδου	T_00_U		2 098,5	250	
767400	ICAO_A	1	7	Άνοδος	Μέγιστη ώση ανόδου	T_00_U	5 500			
767400	ICAO_A	1	8	Άνοδος	Μέγιστη ώση ανόδου	T_00_U	7 500			
767400	ICAO_A	1	9	Άνοδος	Μέγιστη ώση ανόδου	T_00_U	10 000			
767400	ICAO_A	2	1	Απογείωση	Μέγιστη ώση απογείωσης	T_20_U				
767400	ICAO_A	2	2	Άνοδος	Μέγιστη ώση απογείωσης	T_20_U	1 500			
767400	ICAO_A	2	3	Άνοδος	Μέγιστη ώση ανόδου	T_20_U	3 000			
767400	ICAO_A	2	4	Επιτάχυνση	Μέγιστη ώση ανόδου	T_05A		1 600	217,6	
767400	ICAO_A	2	5	Άνοδος	Μέγιστη ώση ανόδου	T_00_U	4 536			
767400	ICAO_A	2	6	Επιτάχυνση	Μέγιστη ώση ανόδου	T_00_U		2 008	250	

▼**M2**

ACFTID	Profile_ID (Προφίλ αναχώρησης)	Μήκος καλυπτόμενης διαδρομής	Αριθμός σταδίου	Είδος σταδίου	Μέγεθος ώσης	Flap_ID (Θέση πτερυγίων καμπυλότητας)	Οροφή ανόδου (ft)	Ρυθμός ανόδου (ft/min)	Διακριβωμένη ταχύτητα αέρα στην οροφή ανόδου (kt)	Ποσοστό επιτάχυνσης (%)
767400	ICAO_A	2	7	Άνοδος	Μέγιστη ώση ανόδου	T_00_U	5 500			
767400	ICAO_A	2	8	Άνοδος	Μέγιστη ώση ανόδου	T_00_U	7 500			
767400	ICAO_A	2	9	Άνοδος	Μέγιστη ώση ανόδου	T_00_U	10 000			
767400	ICAO_A	3	1	Απογείωση	Μέγιστη ώση απογείωσης	T_20_U				
767400	ICAO_A	3	2	Άνοδος	Μέγιστη ώση απογείωσης	T_20_U	1 500			
767400	ICAO_A	3	3	Άνοδος	Μέγιστη ώση ανόδου	T_20_U	3 000			
767400	ICAO_A	3	4	Επιτάχυνση	Μέγιστη ώση ανόδου	T_05B		1 536,2	220,4	
767400	ICAO_A	3	5	Άνοδος	Μέγιστη ώση ανόδου	T_00_U	4 454			
767400	ICAO_A	3	6	Επιτάχυνση	Μέγιστη ώση ανόδου	T_00_U		1 935,8	250	
767400	ICAO_A	3	7	Άνοδος	Μέγιστη ώση ανόδου	T_00_U	5 500			
767400	ICAO_A	3	8	Άνοδος	Μέγιστη ώση ανόδου	T_00_U	7 500			
767400	ICAO_A	3	9	Άνοδος	Μέγιστη ώση ανόδου	T_00_U	10 000			
767400	ICAO_A	4	1	Απογείωση	Μέγιστη ώση απογείωσης	T_20_U				

▼**M2**

ACFTID	Profile_ID (Προφίλ αναχώρησης)	Μήκος καλυπτόμενης διαδρομής	Αριθμός σταδίου	Είδος σταδίου	Μέγεθος ώσης	Flap_ID (Θέση πτερυγίων καμπυλότητας)	Οροφή ανόδου (ft)	Ρυθμός ανόδου (ft/min)	Διακριβωμένη ταχύτητα αέρα στην οροφή ανόδου (kt)	Ποσοστό επιτάχυνσης (%)
767400	ICAO_A	4	2	Άνοδος	Μέγιστη ώση απογείωσης	T_20_U	1 500			
767400	ICAO_A	4	3	Άνοδος	Μέγιστη ώση ανόδου	T_20_U	3 000			
767400	ICAO_A	4	4	Επιτάχυνση	Μέγιστη ώση ανόδου	T_05B		1 434,4	224,8	
767400	ICAO_A	4	5	Άνοδος	Μέγιστη ώση ανόδου	T_00_U	4 323			
767400	ICAO_A	4	6	Επιτάχυνση	Μέγιστη ώση ανόδου	T_00_U		1 796,6	250	
767400	ICAO_A	4	7	Άνοδος	Μέγιστη ώση ανόδου	T_00_U	5 500			
767400	ICAO_A	4	8	Άνοδος	Μέγιστη ώση ανόδου	T_00_U	7 500			
767400	ICAO_A	4	9	Άνοδος	Μέγιστη ώση ανόδου	T_00_U	10 000			
767400	ICAO_A	5	1	Απογείωση	Μέγιστη ώση απογείωσης	T_20_U				
767400	ICAO_A	5	2	Άνοδος	Μέγιστη ώση απογείωσης	T_20_U	1 500			
767400	ICAO_A	5	3	Άνοδος	Μέγιστη ώση ανόδου	T_20_U	3 000			
767400	ICAO_A	5	4	Επιτάχυνση	Μέγιστη ώση ανόδου	T_05B		1 318,8	230,2	
767400	ICAO_A	5	5	Άνοδος	Μέγιστη ώση ανόδου	T_00_U	4 173			

▼**M2**

ACFTID	Profile_ID (Προφίλ αναχώρησης)	Μήκος καλυπτόμενης διαδρομής	Αριθμός σταδίου	Είδος σταδίου	Μέγεθος ώσης	Flap_ID (Θέση πτερυγίων καμπυλότητας)	Οροφή ανόδου (ft)	Ρυθμός ανόδου (ft/min)	Διακριβωμένη ταχύτητα αέρα στην οροφή ανόδου (kt)	Ποσοστό επιτάχυνσης (%)
767400	ICAO_A	5	6	Επιτάχυνση	Μέγιστη ώση ανόδου	T_00_U		1 640	250	
767400	ICAO_A	5	7	Άνοδος	Μέγιστη ώση ανόδου	T_00_U	5 500			
767400	ICAO_A	5	8	Άνοδος	Μέγιστη ώση ανόδου	T_00_U	7 500			
767400	ICAO_A	5	9	Άνοδος	Μέγιστη ώση ανόδου	T_00_U	10 000			
767400	ICAO_A	6	1	Απογείωση	Μέγιστη ώση απογείωσης	T_20_U				
767400	ICAO_A	6	2	Άνοδος	Μέγιστη ώση απογείωσης	T_20_U	1 500			
767400	ICAO_A	6	3	Άνοδος	Μέγιστη ώση ανόδου	T_20_U	3 000			
767400	ICAO_A	6	4	Επιτάχυνση	Μέγιστη ώση ανόδου	T_05B		1 258,5	250	
767400	ICAO_A	6	5	Άνοδος	Μέγιστη ώση ανόδου	T_00_U	5 500			
767400	ICAO_A	6	6	Άνοδος	Μέγιστη ώση ανόδου	T_00_U	7 500			
767400	ICAO_A	6	7	Άνοδος	Μέγιστη ώση ανόδου	T_00_U	10 000			
767400	ICAO_A	7	1	Απογείωση	Μέγιστη ώση απογείωσης	T_20_U				
767400	ICAO_A	7	2	Άνοδος	Μέγιστη ώση απογείωσης	T_20_U	1 500			

▼**M2**

ACFTID	Profile_ID (Προφίλ αναχώρησης)	Μήκος καλυπτόμενης διαδρομής	Αριθμός σταδίου	Είδος σταδίου	Μέγεθος ώσης	Flap_ID (Θέση πτερυγίων καμπυλότητας)	Οροφή ανόδου (ft)	Ρυθμός ανόδου (ft/min)	Διακριβωμένη ταχύτητα αέρα στην οροφή ανόδου (kt)	Ποσοστό επιτάχυνσης (%)
767400	ICAO_A	7	3	Άνοδος	Μέγιστη ώση ανόδου	T_20_U	3 000			
767400	ICAO_A	7	4	Επιτάχυνση	Μέγιστη ώση ανόδου	T_05B		1 073	250	
767400	ICAO_A	7	5	Άνοδος	Μέγιστη ώση ανόδου	T_00_U	5 500			
767400	ICAO_A	7	6	Άνοδος	Μέγιστη ώση ανόδου	T_00_U	7 500			
767400	ICAO_A	7	7	Άνοδος	Μέγιστη ώση ανόδου	T_00_U	10 000			
767400	ICAO_B	1	1	Απογείωση	Μέγιστη ώση απογείωσης	T_20_U				
767400	ICAO_B	1	2	Άνοδος	Μέγιστη ώση απογείωσης	T_20_U	1 000			
767400	ICAO_B	1	3	Επιτάχυνση	Μέγιστη ώση απογείωσης	T_05_U		2 330,5	215,3	
767400	ICAO_B	1	4	Άνοδος	Μέγιστη ώση απογείωσης	T_00_U	3 491			
767400	ICAO_B	1	5	Επιτάχυνση	Μέγιστη ώση ανόδου	T_00_U		2 147	250	
767400	ICAO_B	1	6	Άνοδος	Μέγιστη ώση ανόδου	T_00_U	5 000			
767400	ICAO_B	1	7	Άνοδος	Μέγιστη ώση ανόδου	T_00_U	7 500			
767400	ICAO_B	1	8	Άνοδος	Μέγιστη ώση ανόδου	T_00_U	10 000			

▼**M2**

ACFTID	Profile_ID (Προφίλ αναχώρησης)	Μήκος καλυπτόμενης διαδρομής	Αριθμός σταδίου	Είδος σταδίου	Μέγεθος ώσης	Flap_ID (Θέση πτερυγίων καμπυλότητας)	Οροφή ανόδου (ft)	Ρυθμός ανόδου (ft/min)	Διακριβωμένη ταχύτητα αέρα στην οροφή ανόδου (kt)	Ποσοστό επιτάχυνσης (%)
767400	ICAO_B	2	1	Απογείωση	Μέγιστη ώση απογείωσης	T_20_U				
767400	ICAO_B	2	2	Άνοδος	Μέγιστη ώση απογείωσης	T_20_U	1 000			
767400	ICAO_B	2	3	Επιτάχυνση	Μέγιστη ώση απογείωσης	T_05_U		2 267,2	217,9	
767400	ICAO_B	2	4	Άνοδος	Μέγιστη ώση απογείωσης	T_00_U	3 393			
767400	ICAO_B	2	5	Επιτάχυνση	Μέγιστη ώση ανόδου	T_00_U		2 080,9	250	
767400	ICAO_B	2	6	Άνοδος	Μέγιστη ώση ανόδου	T_00_U	5 000			
767400	ICAO_B	2	7	Άνοδος	Μέγιστη ώση ανόδου	T_00_U	7 500			
767400	ICAO_B	2	8	Άνοδος	Μέγιστη ώση ανόδου	T_00_U	10 000			
767400	ICAO_B	3	1	Απογείωση	Μέγιστη ώση απογείωσης	T_20_U				
767400	ICAO_B	3	2	Άνοδος	Μέγιστη ώση απογείωσης	T_20_U	1 000			
767400	ICAO_B	3	3	Επιτάχυνση	Μέγιστη ώση απογείωσης	T_05_U		2 183,7	220,6	
767400	ICAO_B	3	4	Άνοδος	Μέγιστη ώση απογείωσης	T_00_U	3 292			
767400	ICAO_B	3	5	Επιτάχυνση	Μέγιστη ώση ανόδου	T_00_U		1 975,7	250	

▼**M2**

ACFTID	Profile_ID (Προφίλ αναχώρησης)	Μήκος καλυπτόμενης διαδρομής	Αριθμός σταδίου	Είδος σταδίου	Μέγεθος ώσης	Flap_ID (Θέση πτερυγίων καμπυλότητας)	Οροφή ανόδου (ft)	Ρυθμός ανόδου (ft/min)	Διακριβωμένη ταχύτητα αέρα στην οροφή ανόδου (kt)	Ποσοστό επιτάχυνσης (%)
767400	ICAO_B	3	6	Άνοδος	Μέγιστη ώση ανόδου	T_00_U	5 000			
767400	ICAO_B	3	7	Άνοδος	Μέγιστη ώση ανόδου	T_00_U	7 500			
767400	ICAO_B	3	8	Άνοδος	Μέγιστη ώση ανόδου	T_00_U	10 000			
767400	ICAO_B	4	1	Απογείωση	Μέγιστη ώση απογείωσης	T_20_U				
767400	ICAO_B	4	2	Άνοδος	Μέγιστη ώση απογείωσης	T_20_U	1 000			
767400	ICAO_B	4	3	Επιτάχυνση	Μέγιστη ώση απογείωσης	T_05_U		2 054,4	225	
767400	ICAO_B	4	4	Άνοδος	Μέγιστη ώση απογείωσης	T_00_U	3 128			
767400	ICAO_B	4	5	Επιτάχυνση	Μέγιστη ώση ανόδου	T_00_U		1 850,9	250	
767400	ICAO_B	4	6	Άνοδος	Μέγιστη ώση ανόδου	T_00_U	5 000			
767400	ICAO_B	4	7	Άνοδος	Μέγιστη ώση ανόδου	T_00_U	7 500			
767400	ICAO_B	4	8	Άνοδος	Μέγιστη ώση ανόδου	T_00_U	10 000			
767400	ICAO_B	5	1	Απογείωση	Μέγιστη ώση απογείωσης	T_20_U				
767400	ICAO_B	5	2	Άνοδος	Μέγιστη ώση απογείωσης	T_20_U	1 000			
767400	ICAO_B	5	3	Επιτάχυνση	Μέγιστη ώση απογείωσης	T_05_U		1 908,2	230,4	

▼**M2**

ACFTID	Profile_ID (Προφίλ αναχώρησης)	Μήκος καλυπτόμενης διαδρομής	Αριθμός σταδίου	Είδος σταδίου	Μέγεθος ώσης	Flap_ID (Θέση πτερυγίων καμπυλότητας)	Οροφή ανόδου (ft)	Ρυθμός ανόδου (ft/min)	Διακριβωμένη ταχύτητα αέρα στην οροφή ανόδου (kt)	Ποσοστό επιτάχυνσης (%)
767400	ICAO_B	5	4	Άνοδος	Μέγιστη ώση απογείωσης	T_00_U	2 944			
767400	ICAO_B	5	5	Άνοδος	Μέγιστη ώση ανόδου	T_00_U	3 000			
767400	ICAO_B	5	6	Επιτάχυνση	Μέγιστη ώση ανόδου	T_00_U		1 653,1	250	
767400	ICAO_B	5	7	Άνοδος	Μέγιστη ώση ανόδου	T_00_U	5 000			
767400	ICAO_B	5	8	Άνοδος	Μέγιστη ώση ανόδου	T_00_U	7 500			
767400	ICAO_B	5	9	Άνοδος	Μέγιστη ώση ανόδου	T_00_U	10 000			
767400	ICAO_B	6	1	Απογείωση	Μέγιστη ώση απογείωσης	T_20_U				
767400	ICAO_B	6	2	Άνοδος	Μέγιστη ώση απογείωσης	T_20_U	1 000			
767400	ICAO_B	6	3	Επιτάχυνση	Μέγιστη ώση απογείωσης	T_05_U		1 771,1	236	
767400	ICAO_B	6	4	Άνοδος	Μέγιστη ώση απογείωσης	T_00_U	2 766			
767400	ICAO_B	6	5	Άνοδος	Μέγιστη ώση ανόδου	T_00_U	3 000			
767400	ICAO_B	6	6	Επιτάχυνση	Μέγιστη ώση ανόδου	T_00_U		1 521,4	250	
767400	ICAO_B	6	7	Άνοδος	Μέγιστη ώση ανόδου	T_00_U	5 000			

▼**M2**

ACFTID	Profile_ID (Προφίλ αναχώρησης)	Μήκος καλυπτόμενης διαδρομής	Αριθμός σταδίου	Είδος σταδίου	Μέγεθος ώσης	Flap_ID (Θέση πτερυγίων καμπυλότητας)	Οροφή ανόδου (ft)	Ρυθμός ανόδου (ft/min)	Διακριβωμένη ταχύτητα αέρα στην οροφή ανόδου (kt)	Ποσοστό επιτάχυνσης (%)
767400	ICAO_B	6	8	Άνοδος	Μέγιστη ώση ανόδου	T_00_U	7 500			
767400	ICAO_B	6	9	Άνοδος	Μέγιστη ώση ανόδου	T_00_U	10 000			
767400	ICAO_B	7	1	Απογείωση	Μέγιστη ώση απογείωσης	T_20_U				
767400	ICAO_B	7	2	Άνοδος	Μέγιστη ώση απογείωσης	T_20_U	1 000			
767400	ICAO_B	7	3	Επιτάχυνση	Μέγιστη ώση απογείωσης	T_05_U		1 560,3	239,8	
767400	ICAO_B	7	4	Άνοδος	Μέγιστη ώση απογείωσης	T_00_U	2 111			
767400	ICAO_B	7	5	Επιτάχυνση	Μέγιστη ώση απογείωσης	T_00_U		1 840	244,3	
767400	ICAO_B	7	6	Άνοδος	Μέγιστη ώση απογείωσης	T_00_U	2 523			
767400	ICAO_B	7	7	Άνοδος	Μέγιστη ώση ανόδου	T_00_U	3 000			
767400	ICAO_B	7	8	Επιτάχυνση	Μέγιστη ώση ανόδου	T_00_U		1 303,8	250	
767400	ICAO_B	7	9	Άνοδος	Μέγιστη ώση ανόδου	T_00_U	5 000			
767400	ICAO_B	7	10	Άνοδος	Μέγιστη ώση ανόδου	T_00_U	7 500			
767400	ICAO_B	7	11	Άνοδος	Μέγιστη ώση ανόδου	T_00_U	10 000			

▼**M2**

ACFTID	Profile_ID (Προφίλ αναχώρησης)	Μήκος καλυπτόμενης διαδρομής	Αριθμός σταδίου	Είδος σταδίου	Μέγεθος ώσης	Flap_ID (Θέση πτερυγίων καμπυλότητας)	Οροφή ανόδου (ft)	Ρυθμός ανόδου (ft/min)	Διακριβωμένη ταχύτητα αέρα στην οροφή ανόδου (kt)	Ποσοστό επιτάχυνσης (%)
767CF6	DEFAULT	1	1	Απογείωση	Μέγιστη ώση απογείωσης	15				
767CF6	DEFAULT	1	2	Άνοδος	Μέγιστη ώση απογείωσης	15	1 000			
767CF6	DEFAULT	1	3	Επιτάχυνση	Μέγιστη ώση απογείωσης	15		1 913	144	
767CF6	DEFAULT	1	4	Επιτάχυνση	Μέγιστη ώση απογείωσης	5		1 913	164	
767CF6	DEFAULT	1	5	Επιτάχυνση	Μέγιστη ώση ανόδου	1		1 000	204	
767CF6	DEFAULT	1	6	Επιτάχυνση	Μέγιστη ώση ανόδου	ZERO		1 000	224	
767CF6	DEFAULT	1	7	Άνοδος	Μέγιστη ώση ανόδου	ZERO	3 000			
767CF6	DEFAULT	1	8	Επιτάχυνση	Μέγιστη ώση ανόδου	ZERO		1 000	250	
767CF6	DEFAULT	1	9	Άνοδος	Μέγιστη ώση ανόδου	ZERO	5 500			
767CF6	DEFAULT	1	10	Άνοδος	Μέγιστη ώση ανόδου	ZERO	7 500			
767CF6	DEFAULT	1	11	Άνοδος	Μέγιστη ώση ανόδου	ZERO	10 000			
767CF6	DEFAULT	2	1	Απογείωση	Μέγιστη ώση απογείωσης	15				
767CF6	DEFAULT	2	2	Άνοδος	Μέγιστη ώση απογείωσης	15	1 000			
767CF6	DEFAULT	2	3	Επιτάχυνση	Μέγιστη ώση απογείωσης	15		1 840	147	

▼**M2**

ACFTID	Profile_ID (Προφίλ αναχώρησης)	Μήκος καλυπτόμενης διαδρομής	Αριθμός σταδίου	Είδος σταδίου	Μέγεθος ώσης	Flap_ID (Θέση πτερυγίων καμπυλότητας)	Οροφή ανόδου (ft)	Ρυθμός ανόδου (ft/min)	Διακριβωμένη ταχύτητα αέρα στην οροφή ανόδου (kt)	Ποσοστό επιτάχυνσης (%)
767CF6	DEFAULT	2	4	Επιτάχυνση	Μέγιστη ώση απογείωσης	5		1 840	167	
767CF6	DEFAULT	2	5	Επιτάχυνση	Μέγιστη ώση ανόδου	1		1 000	206	
767CF6	DEFAULT	2	6	Επιτάχυνση	Μέγιστη ώση ανόδου	ZERO		1 000	226	
767CF6	DEFAULT	2	7	Άνοδος	Μέγιστη ώση ανόδου	ZERO	3 000			
767CF6	DEFAULT	2	8	Επιτάχυνση	Μέγιστη ώση ανόδου	ZERO		1 000	250	
767CF6	DEFAULT	2	9	Άνοδος	Μέγιστη ώση ανόδου	ZERO	5 500			
767CF6	DEFAULT	2	10	Άνοδος	Μέγιστη ώση ανόδου	ZERO	7 500			
767CF6	DEFAULT	2	11	Άνοδος	Μέγιστη ώση ανόδου	ZERO	10 000			
767CF6	DEFAULT	3	1	Απογείωση	Μέγιστη ώση απογείωσης	15				
767CF6	DEFAULT	3	2	Άνοδος	Μέγιστη ώση απογείωσης	15	1 000			
767CF6	DEFAULT	3	3	Επιτάχυνση	Μέγιστη ώση απογείωσης	15		1 769	150	
767CF6	DEFAULT	3	4	Επιτάχυνση	Μέγιστη ώση απογείωσης	5		1 769	170	
767CF6	DEFAULT	3	5	Επιτάχυνση	Μέγιστη ώση ανόδου	1		1 000	209	

▼**M2**

ACFTID	Profile_ID (Προφίλ αναχώρησης)	Μήκος καλυπτόμενης διαδρομής	Αριθμός σταδίου	Είδος σταδίου	Μέγεθος ώσης	Flap_ID (Θέση πτερυγίων καμπυλότητας)	Οροφή ανόδου (ft)	Ρυθμός ανόδου (ft/min)	Διακριβωμένη ταχύτητα αέρα στην οροφή ανόδου (kt)	Ποσοστό επιτάχυνσης (%)
767CF6	DEFAULT	3	6	Επιτάχυνση	Μέγιστη ώση ανόδου	ZERO		1 000	229	
767CF6	DEFAULT	3	7	Άνοδος	Μέγιστη ώση ανόδου	ZERO	3 000			
767CF6	DEFAULT	3	8	Επιτάχυνση	Μέγιστη ώση ανόδου	ZERO		1 000	250	
767CF6	DEFAULT	3	9	Άνοδος	Μέγιστη ώση ανόδου	ZERO	5 500			
767CF6	DEFAULT	3	10	Άνοδος	Μέγιστη ώση ανόδου	ZERO	7 500			
767CF6	DEFAULT	3	11	Άνοδος	Μέγιστη ώση ανόδου	ZERO	10 000			
767CF6	DEFAULT	4	1	Απογείωση	Μέγιστη ώση απογείωσης	15				
767CF6	DEFAULT	4	2	Άνοδος	Μέγιστη ώση απογείωσης	15	1 000			
767CF6	DEFAULT	4	3	Επιτάχυνση	Μέγιστη ώση απογείωσης	15		1 656	155	
767CF6	DEFAULT	4	4	Επιτάχυνση	Μέγιστη ώση απογείωσης	5		1 656	175	
767CF6	DEFAULT	4	5	Επιτάχυνση	Μέγιστη ώση ανόδου	1		1 000	214	
767CF6	DEFAULT	4	6	Επιτάχυνση	Μέγιστη ώση ανόδου	ZERO		1 000	234	
767CF6	DEFAULT	4	7	Άνοδος	Μέγιστη ώση ανόδου	ZERO	3 000			

▼**M2**

ACFTID	Profile_ID (Προφίλ αναχώρησης)	Μήκος καλυπτόμενης διαδρομής	Αριθμός σταδίου	Είδος σταδίου	Μέγεθος ώσης	Flap_ID (Θέση πτερυγίων καμπυλότητας)	Οροφή ανόδου (ft)	Ρυθμός ανόδου (ft/min)	Διακριβωμένη ταχύτητα αέρα στην οροφή ανόδου (kt)	Ποσοστό επιτάχυνσης (%)
767CF6	DEFAULT	4	8	Επιτάχυνση	Μέγιστη ώση ανόδου	ZERO		1 000	250	
767CF6	DEFAULT	4	9	Άνοδος	Μέγιστη ώση ανόδου	ZERO	5 500			
767CF6	DEFAULT	4	10	Άνοδος	Μέγιστη ώση ανόδου	ZERO	7 500			
767CF6	DEFAULT	4	11	Άνοδος	Μέγιστη ώση ανόδου	ZERO	10 000			
767CF6	DEFAULT	5	1	Απογείωση	Μέγιστη ώση απογείωσης	15				
767CF6	DEFAULT	5	2	Άνοδος	Μέγιστη ώση απογείωσης	15	1 000			
767CF6	DEFAULT	5	3	Επιτάχυνση	Μέγιστη ώση απογείωσης	15		1 529	160	
767CF6	DEFAULT	5	4	Επιτάχυνση	Μέγιστη ώση απογείωσης	5		1 529	180	
767CF6	DEFAULT	5	5	Επιτάχυνση	Μέγιστη ώση ανόδου	1		1 000	219	
767CF6	DEFAULT	5	6	Επιτάχυνση	Μέγιστη ώση ανόδου	ZERO		1 000	239	
767CF6	DEFAULT	5	7	Άνοδος	Μέγιστη ώση ανόδου	ZERO	3 000			
767CF6	DEFAULT	5	8	Επιτάχυνση	Μέγιστη ώση ανόδου	ZERO		1 000	250	
767CF6	DEFAULT	5	9	Άνοδος	Μέγιστη ώση ανόδου	ZERO	5 500			

▼**M2**

ACFTID	Profile_ID (Προφίλ αναχώρησης)	Μήκος καλυπτόμενης διαδρομής	Αριθμός σταδίου	Είδος σταδίου	Μέγεθος ώσης	Flap_ID (Θέση πτερυγίων καμπυλότητας)	Οροφή ανόδου (ft)	Ρυθμός ανόδου (ft/min)	Διακριβωμένη ταχύτητα αέρα στην οροφή ανόδου (kt)	Ποσοστό επιτάχυνσης (%)
767CF6	DEFAULT	5	10	Άνοδος	Μέγιστη ώση ανόδου	ZERO	7 500			
767CF6	DEFAULT	5	11	Άνοδος	Μέγιστη ώση ανόδου	ZERO	10 000			
767CF6	DEFAULT	6	1	Απογείωση	Μέγιστη ώση απογείωσης	15				
767CF6	DEFAULT	6	2	Άνοδος	Μέγιστη ώση απογείωσης	15	1 000			
767CF6	DEFAULT	6	3	Επιτάχυνση	Μέγιστη ώση απογείωσης	15		1 407	166	
767CF6	DEFAULT	6	4	Επιτάχυνση	Μέγιστη ώση απογείωσης	5		1 407	186	
767CF6	DEFAULT	6	5	Επιτάχυνση	Μέγιστη ώση ανόδου	1		1 000	225	
767CF6	DEFAULT	6	6	Επιτάχυνση	Μέγιστη ώση ανόδου	ZERO		1 000	245	
767CF6	DEFAULT	6	7	Άνοδος	Μέγιστη ώση ανόδου	ZERO	3 000			
767CF6	DEFAULT	6	8	Επιτάχυνση	Μέγιστη ώση ανόδου	ZERO		1 000	250	
767CF6	DEFAULT	6	9	Άνοδος	Μέγιστη ώση ανόδου	ZERO	5 500			
767CF6	DEFAULT	6	10	Άνοδος	Μέγιστη ώση ανόδου	ZERO	7 500			
767CF6	DEFAULT	6	11	Άνοδος	Μέγιστη ώση ανόδου	ZERO	10 000			
767CF6	DEFAULT	7	1	Απογείωση	Μέγιστη ώση απογείωσης	15				

▼**M2**

ACFTID	Profile_ID (Προφίλ αναχώρησης)	Μήκος καλυπτόμενης διαδρομής	Αριθμός σταδίου	Είδος σταδίου	Μέγεθος ώσης	Flap_ID (Θέση πτερυγίων καμπυλότητας)	Οροφή ανόδου (ft)	Ρυθμός ανόδου (ft/min)	Διακριβωμένη ταχύτητα αέρα στην οροφή ανόδου (kt)	Ποσοστό επιτάχυνσης (%)
767CF6	DEFAULT	7	2	Άνοδος	Μέγιστη ώση απογείωσης	15	1 000			
767CF6	DEFAULT	7	3	Επιτάχυνση	Μέγιστη ώση απογείωσης	15		1 345	169	
767CF6	DEFAULT	7	4	Επιτάχυνση	Μέγιστη ώση απογείωσης	5		1 345	189	
767CF6	DEFAULT	7	5	Επιτάχυνση	Μέγιστη ώση ανόδου	1		1 000	228	
767CF6	DEFAULT	7	6	Επιτάχυνση	Μέγιστη ώση ανόδου	ZERO		1 000	248	
767CF6	DEFAULT	7	7	Άνοδος	Μέγιστη ώση ανόδου	ZERO	3 000			
767CF6	DEFAULT	7	8	Επιτάχυνση	Μέγιστη ώση ανόδου	ZERO		1 000	250	
767CF6	DEFAULT	7	9	Άνοδος	Μέγιστη ώση ανόδου	ZERO	5 500			
767CF6	DEFAULT	7	10	Άνοδος	Μέγιστη ώση ανόδου	ZERO	7 500			
767CF6	DEFAULT	7	11	Άνοδος	Μέγιστη ώση ανόδου	ZERO	10 000			
767JT9	DEFAULT	1	1	Απογείωση	Μέγιστη ώση απογείωσης	15				
767JT9	DEFAULT	1	2	Άνοδος	Μέγιστη ώση απογείωσης	15	1 000			
767JT9	DEFAULT	1	3	Επιτάχυνση	Μέγιστη ώση απογείωσης	15		1 879	145	

▼**M2**

ACFTID	Profile_ID (Προφίλ αναχώρησης)	Μήκος καλυπτόμενης διαδρομής	Αριθμός σταδίου	Είδος σταδίου	Μέγεθος ώσης	Flap_ID (Θέση πτερυγίων καμπυλότητας)	Οροφή ανόδου (ft)	Ρυθμός ανόδου (ft/min)	Διακριβωμένη ταχύτητα αέρα στην οροφή ανόδου (kt)	Ποσοστό επιτάχυνσης (%)
767JT9	DEFAULT	1	4	Επιτάχυνση	Μέγιστη ώση απογείωσης	5		1 879	165	
767JT9	DEFAULT	1	5	Επιτάχυνση	Μέγιστη ώση ανόδου	1		1 000	204	
767JT9	DEFAULT	1	6	Επιτάχυνση	Μέγιστη ώση ανόδου	ZERO		1 000	224	
767JT9	DEFAULT	1	7	Άνοδος	Μέγιστη ώση ανόδου	ZERO	3 000			
767JT9	DEFAULT	1	8	Επιτάχυνση	Μέγιστη ώση ανόδου	ZERO		1 000	250	
767JT9	DEFAULT	1	9	Άνοδος	Μέγιστη ώση ανόδου	ZERO	5 500			
767JT9	DEFAULT	1	10	Άνοδος	Μέγιστη ώση ανόδου	ZERO	7 500			
767JT9	DEFAULT	1	11	Άνοδος	Μέγιστη ώση ανόδου	ZERO	10 000			
767JT9	DEFAULT	2	1	Απογείωση	Μέγιστη ώση απογείωσης	15				
767JT9	DEFAULT	2	2	Άνοδος	Μέγιστη ώση απογείωσης	15	1 000			
767JT9	DEFAULT	2	3	Επιτάχυνση	Μέγιστη ώση απογείωσης	15		1 807	148	
767JT9	DEFAULT	2	4	Επιτάχυνση	Μέγιστη ώση απογείωσης	5		1 807	168	
767JT9	DEFAULT	2	5	Επιτάχυνση	Μέγιστη ώση ανόδου	1		1 000	207	

▼**M2**

ACFTID	Profile_ID (Προφίλ αναχώρησης)	Μήκος καλυπτόμενης διαδρομής	Αριθμός σταδίου	Είδος σταδίου	Μέγεθος ώσης	Flap_ID (Θέση πτερυγίων καμπυλότητας)	Οροφή ανόδου (ft)	Ρυθμός ανόδου (ft/min)	Διακριβωμένη ταχύτητα αέρα στην οροφή ανόδου (kt)	Ποσοστό επιτάχυνσης (%)
767JT9	DEFAULT	2	6	Επιτάχυνση	Μέγιστη ώση ανόδου	ZERO		1 000	227	
767JT9	DEFAULT	2	7	Άνοδος	Μέγιστη ώση ανόδου	ZERO	3 000			
767JT9	DEFAULT	2	8	Επιτάχυνση	Μέγιστη ώση ανόδου	ZERO		1 000	250	
767JT9	DEFAULT	2	9	Άνοδος	Μέγιστη ώση ανόδου	ZERO	5 500			
767JT9	DEFAULT	2	10	Άνοδος	Μέγιστη ώση ανόδου	ZERO	7 500			
767JT9	DEFAULT	2	11	Άνοδος	Μέγιστη ώση ανόδου	ZERO	10 000			
767JT9	DEFAULT	3	1	Απογείωση	Μέγιστη ώση απογείωσης	15				
767JT9	DEFAULT	3	2	Άνοδος	Μέγιστη ώση απογείωσης	15	1 000			
767JT9	DEFAULT	3	3	Επιτάχυνση	Μέγιστη ώση απογείωσης	15		1 738	150	
767JT9	DEFAULT	3	4	Επιτάχυνση	Μέγιστη ώση απογείωσης	5		1 738	170	
767JT9	DEFAULT	3	5	Επιτάχυνση	Μέγιστη ώση ανόδου	1		1 000	210	
767JT9	DEFAULT	3	6	Επιτάχυνση	Μέγιστη ώση ανόδου	ZERO		1 000	230	
767JT9	DEFAULT	3	7	Άνοδος	Μέγιστη ώση ανόδου	ZERO	3 000			

▼**M2**

ACFTID	Profile_ID (Προφίλ αναχώρησης)	Μήκος καλυπτόμενης διαδρομής	Αριθμός σταδίου	Είδος σταδίου	Μέγεθος ώσης	Flap_ID (Θέση πτερυγίων καμπυλότητας)	Οροφή ανόδου (ft)	Ρυθμός ανόδου (ft/min)	Διακριβωμένη ταχύτητα αέρα στην οροφή ανόδου (kt)	Ποσοστό επιτάχυνσης (%)
767JT9	DEFAULT	3	8	Επιτάχυνση	Μέγιστη ώση ανόδου	ZERO		1 000	250	
767JT9	DEFAULT	3	9	Άνοδος	Μέγιστη ώση ανόδου	ZERO	5 500			
767JT9	DEFAULT	3	10	Άνοδος	Μέγιστη ώση ανόδου	ZERO	7 500			
767JT9	DEFAULT	3	11	Άνοδος	Μέγιστη ώση ανόδου	ZERO	10 000			
767JT9	DEFAULT	4	1	Απογείωση	Μέγιστη ώση απογείωσης	15				
767JT9	DEFAULT	4	2	Άνοδος	Μέγιστη ώση απογείωσης	15	1 000			
767JT9	DEFAULT	4	3	Επιτάχυνση	Μέγιστη ώση απογείωσης	15		1 626	155	
767JT9	DEFAULT	4	4	Επιτάχυνση	Μέγιστη ώση απογείωσης	5		1 626	175	
767JT9	DEFAULT	4	5	Επιτάχυνση	Μέγιστη ώση ανόδου	1		1 000	214	
767JT9	DEFAULT	4	6	Επιτάχυνση	Μέγιστη ώση ανόδου	ZERO		1 000	234	
767JT9	DEFAULT	4	7	Άνοδος	Μέγιστη ώση ανόδου	ZERO	3 000			
767JT9	DEFAULT	4	8	Επιτάχυνση	Μέγιστη ώση ανόδου	ZERO		1 000	250	
767JT9	DEFAULT	4	9	Άνοδος	Μέγιστη ώση ανόδου	ZERO	5 500			

▼**M2**

ACFTID	Profile_ID (Προφίλ αναχώρησης)	Μήκος καλυπτόμενης διαδρομής	Αριθμός σταδίου	Είδος σταδίου	Μέγεθος ώσης	Flap_ID (Θέση πτερυγίων καμπυλότητας)	Οροφή ανόδου (ft)	Ρυθμός ανόδου (ft/min)	Διακριβωμένη ταχύτητα αέρα στην οροφή ανόδου (kt)	Ποσοστό επιτάχυνσης (%)
767JT9	DEFAULT	4	10	Άνοδος	Μέγιστη ώση ανόδου	ZERO	7 500			
767JT9	DEFAULT	4	11	Άνοδος	Μέγιστη ώση ανόδου	ZERO	10 000			
767JT9	DEFAULT	5	1	Απογείωση	Μέγιστη ώση απογείωσης	15				
767JT9	DEFAULT	5	2	Άνοδος	Μέγιστη ώση απογείωσης	15	1 000			
767JT9	DEFAULT	5	3	Επιτάχυνση	Μέγιστη ώση απογείωσης	15		1 499	161	
767JT9	DEFAULT	5	4	Επιτάχυνση	Μέγιστη ώση απογείωσης	5		1 499	181	
767JT9	DEFAULT	5	5	Επιτάχυνση	Μέγιστη ώση ανόδου	1		1 000	220	
767JT9	DEFAULT	5	6	Επιτάχυνση	Μέγιστη ώση ανόδου	ZERO		1 000	240	
767JT9	DEFAULT	5	7	Άνοδος	Μέγιστη ώση ανόδου	ZERO	3 000			
767JT9	DEFAULT	5	8	Επιτάχυνση	Μέγιστη ώση ανόδου	ZERO		1 000	250	
767JT9	DEFAULT	5	9	Άνοδος	Μέγιστη ώση ανόδου	ZERO	5 500			
767JT9	DEFAULT	5	10	Άνοδος	Μέγιστη ώση ανόδου	ZERO	7 500			
767JT9	DEFAULT	5	11	Άνοδος	Μέγιστη ώση ανόδου	ZERO	10 000			
767JT9	DEFAULT	6	1	Απογείωση	Μέγιστη ώση απογείωσης	15				

▼**M2**

ACFTID	Profile_ID (Προφίλ αναχώρησης)	Μήκος καλυπτόμενης διαδρομής	Αριθμός σταδίου	Είδος σταδίου	Μέγεθος ώσης	Flap_ID (Θέση πτερυγίων καμπυλότητας)	Οροφή ανόδου (ft)	Ρυθμός ανόδου (ft/min)	Διακριβωμένη ταχύτητα αέρα στην οροφή ανόδου (kt)	Ποσοστό επιτάχυνσης (%)
767JT9	DEFAULT	6	2	Άνοδος	Μέγιστη ώση απογείωσης	15	1 000			
767JT9	DEFAULT	6	3	Επιτάχυνση	Μέγιστη ώση απογείωσης	15		1 379	167	
767JT9	DEFAULT	6	4	Επιτάχυνση	Μέγιστη ώση απογείωσης	5		1 379	187	
767JT9	DEFAULT	6	5	Επιτάχυνση	Μέγιστη ώση ανόδου	1		1 000	226	
767JT9	DEFAULT	6	6	Επιτάχυνση	Μέγιστη ώση ανόδου	ZERO		1 000	246	
767JT9	DEFAULT	6	7	Άνοδος	Μέγιστη ώση ανόδου	ZERO	3 000			
767JT9	DEFAULT	6	8	Επιτάχυνση	Μέγιστη ώση ανόδου	ZERO		1 000	250	
767JT9	DEFAULT	6	9	Άνοδος	Μέγιστη ώση ανόδου	ZERO	5 500			
767JT9	DEFAULT	6	10	Άνοδος	Μέγιστη ώση ανόδου	ZERO	7 500			
767JT9	DEFAULT	6	11	Άνοδος	Μέγιστη ώση ανόδου	ZERO	10 000			
767JT9	DEFAULT	7	1	Απογείωση	Μέγιστη ώση απογείωσης	15				
767JT9	DEFAULT	7	2	Άνοδος	Μέγιστη ώση απογείωσης	15	1 000			
767JT9	DEFAULT	7	3	Επιτάχυνση	Μέγιστη ώση απογείωσης	15		1 328	170	
767JT9	DEFAULT	7	4	Επιτάχυνση	Μέγιστη ώση απογείωσης	5		1 328	190	

▼**M2**

ACFTID	Profile_ID (Προφίλ αναχώρησης)	Μήκος καλυπτόμενης διαδρομής	Αριθμός σταδίου	Είδος σταδίου	Μέγεθος ώσης	Flap_ID (Θέση πτερυγίων καμπυλότητας)	Οροφή ανόδου (ft)	Ρυθμός ανόδου (ft/min)	Διακριβωμένη ταχύτητα αέρα στην οροφή ανόδου (kt)	Ποσοστό επιτάχυνσης (%)
767JT9	DEFAULT	7	5	Επιτάχυνση	Μέγιστη ώση ανόδου	1		1 000	228	
767JT9	DEFAULT	7	6	Επιτάχυνση	Μέγιστη ώση ανόδου	ZERO		1 000	248	
767JT9	DEFAULT	7	7	Άνοδος	Μέγιστη ώση ανόδου	ZERO	3 000			
767JT9	DEFAULT	7	8	Επιτάχυνση	Μέγιστη ώση ανόδου	ZERO		1 000	250	
767JT9	DEFAULT	7	9	Άνοδος	Μέγιστη ώση ανόδου	ZERO	5 500			
767JT9	DEFAULT	7	10	Άνοδος	Μέγιστη ώση ανόδου	ZERO	7 500			
767JT9	DEFAULT	7	11	Άνοδος	Μέγιστη ώση ανόδου	ZERO	10 000			
777200	DEFAULT	1	1	Απογείωση	Μέγιστη ώση απογείωσης	T_05				
777200	DEFAULT	1	2	Άνοδος	Μέγιστη ώση απογείωσης	T_05C	1 089			
777200	DEFAULT	1	3	Επιτάχυνση	Μέγιστη ώση ανόδου	T_01		1 583,4	205,9	
777200	DEFAULT	1	4	Επιτάχυνση	Μέγιστη ώση ανόδου	T_00		1 744,7	213,7	
777200	DEFAULT	1	5	Άνοδος	Μέγιστη ώση ανόδου	T_00	3 000			
777200	DEFAULT	1	6	Επιτάχυνση	Μέγιστη ώση ανόδου	T_00		1 856,6	250	

▼**M2**

ACFTID	Profile_ID (Προφίλ αναχώρησης)	Μήκος καλυπτόμενης διαδρομής	Αριθμός σταδίου	Είδος σταδίου	Μέγεθος ώσης	Flap_ID (Θέση πτερυγίων καμπυλότητας)	Οροφή ανόδου (ft)	Ρυθμός ανόδου (ft/min)	Διακριβωμένη ταχύτητα αέρα στην οροφή ανόδου (kt)	Ποσοστό επιτάχυνσης (%)
777200	DEFAULT	1	7	Άνοδος	Μέγιστη ώση ανόδου	T_00	5 500			
777200	DEFAULT	1	8	Άνοδος	Μέγιστη ώση ανόδου	T_00	7 500			
777200	DEFAULT	1	9	Άνοδος	Μέγιστη ώση ανόδου	T_00	10 000			
777200	DEFAULT	2	1	Απογείωση	Μέγιστη ώση απογείωσης	T_05				
777200	DEFAULT	2	2	Άνοδος	Μέγιστη ώση απογείωσης	T_05C	1 057			
777200	DEFAULT	2	3	Επιτάχυνση	Μέγιστη ώση ανόδου	T_01		1 526,8	206,6	
777200	DEFAULT	2	4	Επιτάχυνση	Μέγιστη ώση ανόδου	T_00		1 681	215,6	
777200	DEFAULT	2	5	Άνοδος	Μέγιστη ώση ανόδου	T_00	3 000			
777200	DEFAULT	2	6	Επιτάχυνση	Μέγιστη ώση ανόδου	T_00		1 791,2	250	
777200	DEFAULT	2	7	Άνοδος	Μέγιστη ώση ανόδου	T_00	5 500			
777200	DEFAULT	2	8	Άνοδος	Μέγιστη ώση ανόδου	T_00	7 500			
777200	DEFAULT	2	9	Άνοδος	Μέγιστη ώση ανόδου	T_00	10 000			
777200	DEFAULT	3	1	Απογείωση	Μέγιστη ώση απογείωσης	T_05				

▼**M2**

ACFTID	Profile_ID (Προφίλ αναχώρησης)	Μήκος καλυπτόμενης διαδρομής	Αριθμός σταδίου	Είδος σταδίου	Μέγεθος ώσης	Flap_ID (Θέση πτερυγίων καμπυλότητας)	Οροφή ανόδου (ft)	Ρυθμός ανόδου (ft/min)	Διακριβωμένη ταχύτητα αέρα στην οροφή ανόδου (kt)	Ποσοστό επιτάχυνσης (%)
777200	DEFAULT	3	2	Άνοδος	Μέγιστη ώση απογείωσης	T_05C	1 022			
777200	DEFAULT	3	3	Επιτάχυνση	Μέγιστη ώση ανόδου	T_01		1 468,5	207,3	
777200	DEFAULT	3	4	Επιτάχυνση	Μέγιστη ώση ανόδου	T_00		1 618,3	217,7	
777200	DEFAULT	3	5	Άνοδος	Μέγιστη ώση ανόδου	T_00	3 000			
777200	DEFAULT	3	6	Επιτάχυνση	Μέγιστη ώση ανόδου	T_00		1 725,7	250	
777200	DEFAULT	3	7	Άνοδος	Μέγιστη ώση ανόδου	T_00	5 500			
777200	DEFAULT	3	8	Άνοδος	Μέγιστη ώση ανόδου	T_00	7 500			
777200	DEFAULT	3	9	Άνοδος	Μέγιστη ώση ανόδου	T_00	10 000			
777200	DEFAULT	4	1	Απογείωση	Μέγιστη ώση απογείωσης	T_05				
777200	DEFAULT	4	2	Άνοδος	Μέγιστη ώση απογείωσης	T_05C	1 000			
777200	DEFAULT	4	3	Επιτάχυνση	Μέγιστη ώση ανόδου	T_01		1 363,3	208,9	
777200	DEFAULT	4	4	Επιτάχυνση	Μέγιστη ώση ανόδου	T_00		1 510,5	221,7	
777200	DEFAULT	4	5	Άνοδος	Μέγιστη ώση ανόδου	T_00	3 000			

▼**M2**

ACFTID	Profile_ID (Προφίλ αναχώρησης)	Μήκος καλυπτόμενης διαδρομής	Αριθμός σταδίου	Είδος σταδίου	Μέγεθος ώσης	Flap_ID (Θέση πτερυγίων καμπυλότητας)	Οροφή ανόδου (ft)	Ρυθμός ανόδου (ft/min)	Διακριβωμένη ταχύτητα αέρα στην οροφή ανόδου (kt)	Ποσοστό επιτάχυνσης (%)
777200	DEFAULT	4	6	Επιτάχυνση	Μέγιστη ώση ανόδου	T_00		1 601,3	250	
777200	DEFAULT	4	7	Άνοδος	Μέγιστη ώση ανόδου	T_00	5 500			
777200	DEFAULT	4	8	Άνοδος	Μέγιστη ώση ανόδου	T_00	7 500			
777200	DEFAULT	4	9	Άνοδος	Μέγιστη ώση ανόδου	T_00	10 000			
777200	DEFAULT	5	1	Απογείωση	Μέγιστη ώση απογείωσης	T_05				
777200	DEFAULT	5	2	Άνοδος	Μέγιστη ώση απογείωσης	T_05C	1 000			
777200	DEFAULT	5	3	Επιτάχυνση	Μέγιστη ώση ανόδου	T_01		1 247,5	211	
777200	DEFAULT	5	4	Επιτάχυνση	Μέγιστη ώση ανόδου	T_00		1 389,1	225,5	
777200	DEFAULT	5	5	Άνοδος	Μέγιστη ώση ανόδου	T_00	3 000			
777200	DEFAULT	5	6	Επιτάχυνση	Μέγιστη ώση ανόδου	T_00		1 467,1	250	
777200	DEFAULT	5	7	Άνοδος	Μέγιστη ώση ανόδου	T_00	5 500			
777200	DEFAULT	5	8	Άνοδος	Μέγιστη ώση ανόδου	T_00	7 500			
777200	DEFAULT	5	9	Άνοδος	Μέγιστη ώση ανόδου	T_00	10 000			

▼**M2**

ACFTID	Profile_ID (Προφίλ αναχώρησης)	Μήκος καλυπτόμενης διαδρομής	Αριθμός σταδίου	Είδος σταδίου	Μέγεθος ώσης	Flap_ID (Θέση πτερυγίων καμπυλότητας)	Οροφή ανόδου (ft)	Ρυθμός ανόδου (ft/min)	Διακριβωμένη ταχύτητα αέρα στην οροφή ανόδου (kt)	Ποσοστό επιτάχυνσης (%)
777200	DEFAULT	6	1	Απογείωση	Μέγιστη ώση απογείωσης	T_05				
777200	DEFAULT	6	2	Άνοδος	Μέγιστη ώση απογείωσης	T_05C	1 000			
777200	DEFAULT	6	3	Επιτάχυνση	Μέγιστη ώση ανόδου	T_01		1 136,7	213,4	
777200	DEFAULT	6	4	Επιτάχυνση	Μέγιστη ώση ανόδου	T_00		1 275	231,5	
777200	DEFAULT	6	5	Άνοδος	Μέγιστη ώση ανόδου	T_00	3 000			
777200	DEFAULT	6	6	Επιτάχυνση	Μέγιστη ώση ανόδου	T_00		1 337,6	250	
777200	DEFAULT	6	7	Άνοδος	Μέγιστη ώση ανόδου	T_00	5 500			
777200	DEFAULT	6	8	Άνοδος	Μέγιστη ώση ανόδου	T_00	7 500			
777200	DEFAULT	6	9	Άνοδος	Μέγιστη ώση ανόδου	T_00	10 000			
777200	DEFAULT	7	1	Απογείωση	Μέγιστη ώση απογείωσης	T_05				
777200	DEFAULT	7	2	Άνοδος	Μέγιστη ώση απογείωσης	T_05C	1 000			
777200	DEFAULT	7	3	Επιτάχυνση	Μέγιστη ώση ανόδου	T_01		1 032,4	216,2	
777200	DEFAULT	7	4	Επιτάχυνση	Μέγιστη ώση ανόδου	T_00		1 147	228,5	

▼**M2**

ACFTID	Profile_ID (Προφίλ αναχώρησης)	Μήκος καλυπτόμενης διαδρομής	Αριθμός σταδίου	Είδος σταδίου	Μέγεθος ώσης	Flap_ID (Θέση πτερυγίων καμπυλότητας)	Οροφή ανόδου (ft)	Ρυθμός ανόδου (ft/min)	Διακριβωμένη ταχύτητα αέρα στην οροφή ανόδου (kt)	Ποσοστό επιτάχυνσης (%)
777200	DEFAULT	7	5	Επιτάχυνση	Μέγιστη ώση ανόδου	T_00		1 189,4	236,6	
777200	DEFAULT	7	6	Άνοδος	Μέγιστη ώση ανόδου	T_00	3 000			
777200	DEFAULT	7	7	Επιτάχυνση	Μέγιστη ώση ανόδου	T_00		1 215,6	250	
777200	DEFAULT	7	8	Άνοδος	Μέγιστη ώση ανόδου	T_00	5 500			
777200	DEFAULT	7	9	Άνοδος	Μέγιστη ώση ανόδου	T_00	7 500			
777200	DEFAULT	7	10	Άνοδος	Μέγιστη ώση ανόδου	T_00	10 000			
777200	DEFAULT	8	1	Απογείωση	Μέγιστη ώση απογείωσης	T_05				
777200	DEFAULT	8	2	Άνοδος	Μέγιστη ώση απογείωσης	T_05C	1 000			
777200	DEFAULT	8	3	Επιτάχυνση	Μέγιστη ώση ανόδου	T_01		931,9	219,4	
777200	DEFAULT	8	4	Επιτάχυνση	Μέγιστη ώση ανόδου	T_00H		1 033,1	232,5	
777200	DEFAULT	8	5	Επιτάχυνση	Μέγιστη ώση ανόδου	T_00H		1 088,7	242	
777200	DEFAULT	8	6	Άνοδος	Μέγιστη ώση ανόδου	T_00H	3 000			
777200	DEFAULT	8	7	Επιτάχυνση	Μέγιστη ώση ανόδου	T_00H		1 101,5	250	

▼**M2**

ACFTID	Profile_ID (Προφίλ αναχώρησης)	Μήκος καλυπτόμενης διαδρομής	Αριθμός σταδίου	Είδος σταδίου	Μέγεθος ώσης	Flap_ID (Θέση πτερυγίων καμπυλότητας)	Οροφή ανόδου (ft)	Ρυθμός ανόδου (ft/min)	Διακριβωμένη ταχύτητα αέρα στην οροφή ανόδου (kt)	Ποσοστό επιτάχυνσης (%)
777200	DEFAULT	8	8	Άνοδος	Μέγιστη ώση ανόδου	T_00H	5 500			
777200	DEFAULT	8	9	Άνοδος	Μέγιστη ώση ανόδου	T_00H	7 500			
777200	DEFAULT	8	10	Άνοδος	Μέγιστη ώση ανόδου	T_00H	10 000			
777200	DEFAULT	9	1	Απογείωση	Μέγιστη ώση απογείωσης	T_05				
777200	DEFAULT	9	2	Άνοδος	Μέγιστη ώση απογείωσης	T_05C	1 000			
777200	DEFAULT	9	3	Επιτάχυνση	Μέγιστη ώση ανόδου	T_01		874,9	221,7	
777200	DEFAULT	9	4	Επιτάχυνση	Μέγιστη ώση ανόδου	T_00H		969,4	235,4	
777200	DEFAULT	9	5	Επιτάχυνση	Μέγιστη ώση ανόδου	T_00H		1 020,2	245,6	
777200	DEFAULT	9	6	Άνοδος	Μέγιστη ώση ανόδου	T_00H	3 000			
777200	DEFAULT	9	7	Επιτάχυνση	Μέγιστη ώση ανόδου	T_00H		1 031,1	250	
777200	DEFAULT	9	8	Άνοδος	Μέγιστη ώση ανόδου	T_00H	5 500			
777200	DEFAULT	9	9	Άνοδος	Μέγιστη ώση ανόδου	T_00H	7 500			
777200	DEFAULT	9	10	Άνοδος	Μέγιστη ώση ανόδου	T_00H	10 000			

▼**M2**

ACFTID	Profile_ID (Προφίλ αναχώρησης)	Μήκος καλυπτόμενης διαδρομής	Αριθμός σταδίου	Είδος σταδίου	Μέγεθος ώσης	Flap_ID (Θέση πτερυγίων καμπυλότητας)	Οροφή ανόδου (ft)	Ρυθμός ανόδου (ft/min)	Διακριβωμένη ταχύτητα αέρα στην οροφή ανόδου (kt)	Ποσοστό επιτάχυνσης (%)
777200	ICAO_A	1	1	Απογείωση	Μέγιστη ώση απογείωσης	T_05				
777200	ICAO_A	1	2	Άνοδος	Μέγιστη ώση απογείωσης	T_05C	1 500			
777200	ICAO_A	1	3	Άνοδος	Μέγιστη ώση ανόδου	T_01	3 000			
777200	ICAO_A	1	4	Επιτάχυνση	Μέγιστη ώση ανόδου	T_05A		1 504	203,3	
777200	ICAO_A	1	5	Επιτάχυνση	Μέγιστη ώση ανόδου	T_01		1 700	213,4	
777200	ICAO_A	1	6	Επιτάχυνση	Μέγιστη ώση ανόδου	T_00		1 856,1	250	
777200	ICAO_A	1	7	Άνοδος	Μέγιστη ώση ανόδου	T_00	5 500			
777200	ICAO_A	1	8	Άνοδος	Μέγιστη ώση ανόδου	T_00	7 500			
777200	ICAO_A	1	9	Άνοδος	Μέγιστη ώση ανόδου	T_00	10 000			
777200	ICAO_A	2	1	Απογείωση	Μέγιστη ώση απογείωσης	T_05				
777200	ICAO_A	2	2	Άνοδος	Μέγιστη ώση απογείωσης	T_05C	1 500			
777200	ICAO_A	2	3	Άνοδος	Μέγιστη ώση ανόδου	T_01	3 000			
777200	ICAO_A	2	4	Επιτάχυνση	Μέγιστη ώση ανόδου	T_05A		1 451,9	204	
777200	ICAO_A	2	5	Επιτάχυνση	Μέγιστη ώση ανόδου	T_01		1 633,4	215,4	

▼**M2**

ACFTID	Profile_ID (Προφίλ αναχώρησης)	Μήκος καλυπτόμενης διαδρομής	Αριθμός σταδίου	Είδος σταδίου	Μέγεθος ώσης	Flap_ID (Θέση πτερυγίων καμπυλότητας)	Οροφή ανόδου (ft)	Ρυθμός ανόδου (ft/min)	Διακριβωμένη ταχύτητα αέρα στην οροφή ανόδου (kt)	Ποσοστό επιτάχυνσης (%)
777200	ICAO_A	2	6	Επιτάχυνση	Μέγιστη ώση ανόδου	T_00		1 789,9	250	
777200	ICAO_A	2	7	Άνοδος	Μέγιστη ώση ανόδου	T_00	5 500			
777200	ICAO_A	2	8	Άνοδος	Μέγιστη ώση ανόδου	T_00	7 500			
777200	ICAO_A	2	9	Άνοδος	Μέγιστη ώση ανόδου	T_00	10 000			
777200	ICAO_A	3	1	Απογείωση	Μέγιστη ώση απογείωσης	T_05				
777200	ICAO_A	3	2	Άνοδος	Μέγιστη ώση απογείωσης	T_05C	1 500			
777200	ICAO_A	3	3	Άνοδος	Μέγιστη ώση ανόδου	T_01	3 000			
777200	ICAO_A	3	4	Επιτάχυνση	Μέγιστη ώση ανόδου	T_05A		1 395,1	204,9	
777200	ICAO_A	3	5	Επιτάχυνση	Μέγιστη ώση ανόδου	T_01		1 575	217,3	
777200	ICAO_A	3	6	Επιτάχυνση	Μέγιστη ώση ανόδου	T_00		1 719,4	250	
777200	ICAO_A	3	7	Άνοδος	Μέγιστη ώση ανόδου	T_00	5 500			
777200	ICAO_A	3	8	Άνοδος	Μέγιστη ώση ανόδου	T_00	7 500			
777200	ICAO_A	3	9	Άνοδος	Μέγιστη ώση ανόδου	T_00	10 000			

▼**M2**

ACFTID	Profile_ID (Προφίλ αναχώρησης)	Μήκος καλυπτόμενης διαδρομής	Αριθμός σταδίου	Είδος σταδίου	Μέγεθος ώσης	Flap_ID (Θέση πτερυγίων καμπυλότητας)	Οροφή ανόδου (ft)	Ρυθμός ανόδου (ft/min)	Διακριβωμένη ταχύτητα αέρα στην οροφή ανόδου (kt)	Ποσοστό επιτάχυνσης (%)
777200	ICAO_A	4	1	Απογείωση	Μέγιστη ώση απογείωσης	T_05				
777200	ICAO_A	4	2	Άνοδος	Μέγιστη ώση απογείωσης	T_05C	1 500			
777200	ICAO_A	4	3	Άνοδος	Μέγιστη ώση ανόδου	T_01	3 000			
777200	ICAO_A	4	4	Επιτάχυνση	Μέγιστη ώση ανόδου	T_05A		1 295,2	206,6	
777200	ICAO_A	4	5	Επιτάχυνση	Μέγιστη ώση ανόδου	T_01		1 477,7	221,3	
777200	ICAO_A	4	6	Επιτάχυνση	Μέγιστη ώση ανόδου	T_00		1 592,4	250	
777200	ICAO_A	4	7	Άνοδος	Μέγιστη ώση ανόδου	T_00	5 500			
777200	ICAO_A	4	8	Άνοδος	Μέγιστη ώση ανόδου	T_00	7 500			
777200	ICAO_A	4	9	Άνοδος	Μέγιστη ώση ανόδου	T_00	10 000			
777200	ICAO_A	5	1	Απογείωση	Μέγιστη ώση απογείωσης	T_05				
777200	ICAO_A	5	2	Άνοδος	Μέγιστη ώση απογείωσης	T_05C	1 500			
777200	ICAO_A	5	3	Άνοδος	Μέγιστη ώση ανόδου	T_01	3 000			
777200	ICAO_A	5	4	Επιτάχυνση	Μέγιστη ώση ανόδου	T_05A		1 182,6	208,8	

▼**M2**

ACFTID	Profile_ID (Προφίλ αναχώρησης)	Μήκος καλυπτόμενης διαδρομής	Αριθμός σταδίου	Είδος σταδίου	Μέγεθος ώσης	Flap_ID (Θέση πτερυγίων καμπυλότητας)	Οροφή ανόδου (ft)	Ρυθμός ανόδου (ft/min)	Διακριβωμένη ταχύτητα αέρα στην οροφή ανόδου (kt)	Ποσοστό επιτάχυνσης (%)
777200	ICAO_A	5	5	Επιτάχυνση	Μέγιστη ώση ανόδου	T_01		1 346,3	222,1	
777200	ICAO_A	5	6	Επιτάχυνση	Μέγιστη ώση ανόδου	T_00		1 451,1	250	
777200	ICAO_A	5	7	Άνοδος	Μέγιστη ώση ανόδου	T_00	5 500			
777200	ICAO_A	5	8	Άνοδος	Μέγιστη ώση ανόδου	T_00	7 500			
777200	ICAO_A	5	9	Άνοδος	Μέγιστη ώση ανόδου	T_00	10 000			
777200	ICAO_A	6	1	Απογείωση	Μέγιστη ώση απογείωσης	T_05				
777200	ICAO_A	6	2	Άνοδος	Μέγιστη ώση απογείωσης	T_05C	1 500			
777200	ICAO_A	6	3	Άνοδος	Μέγιστη ώση ανόδου	T_01	3 000			
777200	ICAO_A	6	4	Επιτάχυνση	Μέγιστη ώση ανόδου	T_05		1 075,6	211,4	
777200	ICAO_A	6	5	Επιτάχυνση	Μέγιστη ώση ανόδου	T_01		1 217,4	223,4	
777200	ICAO_A	6	6	Επιτάχυνση	Μέγιστη ώση ανόδου	T_00		1 316,4	250	
777200	ICAO_A	6	7	Άνοδος	Μέγιστη ώση ανόδου	T_00	5 500			
777200	ICAO_A	6	8	Άνοδος	Μέγιστη ώση ανόδου	T_00	7 500			

▼**M2**

ACFTID	Profile_ID (Προφίλ αναχώρησης)	Μήκος καλυπτόμενης διαδρομής	Αριθμός σταδίου	Είδος σταδίου	Μέγεθος ώσης	Flap_ID (Θέση πτερυγίων καμπυλότητας)	Οροφή ανόδου (ft)	Ρυθμός ανόδου (ft/min)	Διακριβωμένη ταχύτητα αέρα στην οροφή ανόδου (kt)	Ποσοστό επιτάχυνσης (%)
777200	ICAO_A	6	9	Άνοδος	Μέγιστη ώση ανόδου	T_00	10 000			
777200	ICAO_A	7	1	Απογείωση	Μέγιστη ώση απογείωσης	T_05				
777200	ICAO_A	7	2	Άνοδος	Μέγιστη ώση απογείωσης	T_05C	1 500			
777200	ICAO_A	7	3	Άνοδος	Μέγιστη ώση ανόδου	T_01	3 000			
777200	ICAO_A	7	4	Επιτάχυνση	Μέγιστη ώση ανόδου	T_05		973,3	214,3	
777200	ICAO_A	7	5	Επιτάχυνση	Μέγιστη ώση ανόδου	T_01		1 104,3	227,2	
777200	ICAO_A	7	6	Επιτάχυνση	Μέγιστη ώση ανόδου	T_00		1 188,2	250	
777200	ICAO_A	7	7	Άνοδος	Μέγιστη ώση ανόδου	T_00	5 500			
777200	ICAO_A	7	8	Άνοδος	Μέγιστη ώση ανόδου	T_00	7 500			
777200	ICAO_A	7	9	Άνοδος	Μέγιστη ώση ανόδου	T_00	10 000			
777200	ICAO_A	8	1	Απογείωση	Μέγιστη ώση απογείωσης	T_05				
777200	ICAO_A	8	2	Άνοδος	Μέγιστη ώση απογείωσης	T_05CH	1 500			
777200	ICAO_A	8	3	Άνοδος	Μέγιστη ώση ανόδου	T_01	3 000			

▼**M2**

ACFTID	Profile_ID (Προφίλ αναχώρησης)	Μήκος καλυπτόμενης διαδρομής	Αριθμός σταδίου	Είδος σταδίου	Μέγεθος ώσης	Flap_ID (Θέση πτερυγίων καμπυλότητας)	Οροφή ανόδου (ft)	Ρυθμός ανόδου (ft/min)	Διακριβωμένη ταχύτητα αέρα στην οροφή ανόδου (kt)	Ποσοστό επιτάχυνσης (%)
777200	ICAO_A	8	4	Επιτάχυνση	Μέγιστη ώση ανόδου	T_05		877,9	217,6	
777200	ICAO_A	8	5	Επιτάχυνση	Μέγιστη ώση ανόδου	T_01		997,4	231,4	
777200	ICAO_A	8	6	Επιτάχυνση	Μέγιστη ώση ανόδου	T_00H		1 071,6	250	
777200	ICAO_A	8	7	Άνοδος	Μέγιστη ώση ανόδου	T_00H	5 500			
777200	ICAO_A	8	8	Άνοδος	Μέγιστη ώση ανόδου	T_00H	7 500			
777200	ICAO_A	8	9	Άνοδος	Μέγιστη ώση ανόδου	T_00H	10 000			
777200	ICAO_A	9	1	Απογείωση	Μέγιστη ώση απογείωσης	T_05				
777200	ICAO_A	9	2	Άνοδος	Μέγιστη ώση απογείωσης	T_05CH	1 500			
777200	ICAO_A	9	3	Άνοδος	Μέγιστη ώση ανόδου	T_05	3 000			
777200	ICAO_A	9	4	Επιτάχυνση	Μέγιστη ώση ανόδου	T_05		820,9	220	
777200	ICAO_A	9	5	Επιτάχυνση	Μέγιστη ώση ανόδου	T_01		930,3	234,3	
777200	ICAO_A	9	6	Επιτάχυνση	Μέγιστη ώση ανόδου	T_00H		1 000	250	
777200	ICAO_A	9	7	Άνοδος	Μέγιστη ώση ανόδου	T_00H	5 500			

▼**M2**

ACFTID	Profile_ID (Προφίλ αναχώρησης)	Μήκος καλυπτόμενης διαδρομής	Αριθμός σταδίου	Είδος σταδίου	Μέγεθος ώσης	Flap_ID (Θέση πτερυγίων καμπυλότητας)	Οροφή ανόδου (ft)	Ρυθμός ανόδου (ft/min)	Διακριβωμένη ταχύτητα αέρα στην οροφή ανόδου (kt)	Ποσοστό επιτάχυνσης (%)
777200	ICAO_A	9	8	Άνοδος	Μέγιστη ώση ανόδου	T_00	7 500			
777200	ICAO_A	9	9	Άνοδος	Μέγιστη ώση ανόδου	T_00	10 000			
777200	ICAO_B	1	1	Απογείωση	Μέγιστη ώση απογείωσης	T_05				
777200	ICAO_B	1	2	Άνοδος	Μέγιστη ώση απογείωσης	T_05C	1 089			
777200	ICAO_B	1	3	Επιτάχυνση	Μέγιστη ώση απογείωσης	T_05A		2 183,5	193,8	
777200	ICAO_B	1	4	Επιτάχυνση	Μέγιστη ώση απογείωσης	T_01		1 783,1	213,6	
777200	ICAO_B	1	5	Άνοδος	Μέγιστη ώση ανόδου	T_00	3 000			
777200	ICAO_B	1	6	Επιτάχυνση	Μέγιστη ώση ανόδου	T_00		1 857,4	250	
777200	ICAO_B	1	7	Άνοδος	Μέγιστη ώση ανόδου	T_00	5 500			
777200	ICAO_B	1	8	Άνοδος	Μέγιστη ώση ανόδου	T_00	7 500			
777200	ICAO_B	1	9	Άνοδος	Μέγιστη ώση ανόδου	T_00	10 000			
777200	ICAO_B	2	1	Απογείωση	Μέγιστη ώση απογείωσης	T_05				
777200	ICAO_B	2	2	Άνοδος	Μέγιστη ώση απογείωσης	T_05C	1 057			

▼**M2**

ACFTID	Profile_ID (Προφίλ αναχώρησης)	Μήκος καλυπτόμενης διαδρομής	Αριθμός σταδίου	Είδος σταδίου	Μέγεθος ώσης	Flap_ID (Θέση πτερυγίων καμπυλότητας)	Οροφή ανόδου (ft)	Ρυθμός ανόδου (ft/min)	Διακριβωμένη ταχύτητα αέρα στην οροφή ανόδου (kt)	Ποσοστό επιτάχυνσης (%)
777200	ICAO_B	2	3	Επιτάχυνση	Μέγιστη ώση απογείωσης	T_05A		2 121,3	195,8	
777200	ICAO_B	2	4	Επιτάχυνση	Μέγιστη ώση απογείωσης	T_01		1 722,3	215,5	
777200	ICAO_B	2	5	Άνοδος	Μέγιστη ώση ανόδου	T_00	3 000			
777200	ICAO_B	2	6	Επιτάχυνση	Μέγιστη ώση ανόδου	T_00		1 789,8	250	
777200	ICAO_B	2	7	Άνοδος	Μέγιστη ώση ανόδου	T_00	5 500			
777200	ICAO_B	2	8	Άνοδος	Μέγιστη ώση ανόδου	T_00	7 500			
777200	ICAO_B	2	9	Άνοδος	Μέγιστη ώση ανόδου	T_00	10 000			
777200	ICAO_B	3	1	Απογείωση	Μέγιστη ώση απογείωσης	T_05				
777200	ICAO_B	3	2	Άνοδος	Μέγιστη ώση απογείωσης	T_05C	1 022			
777200	ICAO_B	3	3	Επιτάχυνση	Μέγιστη ώση απογείωσης	T_05A		2 059,4	197,9	
777200	ICAO_B	3	4	Επιτάχυνση	Μέγιστη ώση απογείωσης	T_01		1 664,2	217,6	
777200	ICAO_B	3	5	Άνοδος	Μέγιστη ώση ανόδου	T_00	3 000			
777200	ICAO_B	3	6	Επιτάχυνση	Μέγιστη ώση ανόδου	T_00		1 723	250	

▼**M2**

ACFTID	Profile_ID (Προφίλ αναχώρησης)	Μήκος καλυπτόμενης διαδρομής	Αριθμός σταδίου	Είδος σταδίου	Μέγεθος ώσης	Flap_ID (Θέση πτερυγίων καμπυλότητας)	Οροφή ανόδου (ft)	Ρυθμός ανόδου (ft/min)	Διακριβωμένη ταχύτητα αέρα στην οροφή ανόδου (kt)	Ποσοστό επιτάχυνσης (%)
777200	ICAO_B	3	7	Άνοδος	Μέγιστη ώση ανόδου	T_00	5 500			
777200	ICAO_B	3	8	Άνοδος	Μέγιστη ώση ανόδου	T_00	7 500			
777200	ICAO_B	3	9	Άνοδος	Μέγιστη ώση ανόδου	T_00	10 000			
777200	ICAO_B	4	1	Απογείωση	Μέγιστη ώση απογείωσης	T_05				
777200	ICAO_B	4	2	Άνοδος	Μέγιστη ώση απογείωσης	T_05C	1 000			
777200	ICAO_B	4	3	Επιτάχυνση	Μέγιστη ώση απογείωσης	T_05A		1 940,1	201,8	
777200	ICAO_B	4	4	Επιτάχυνση	Μέγιστη ώση απογείωσης	T_01		1 555,7	221,6	
777200	ICAO_B	4	5	Άνοδος	Μέγιστη ώση ανόδου	T_00	3 000			
777200	ICAO_B	4	6	Επιτάχυνση	Μέγιστη ώση ανόδου	T_00		1 602,1	250	
777200	ICAO_B	4	7	Άνοδος	Μέγιστη ώση ανόδου	T_00	5 500			
777200	ICAO_B	4	8	Άνοδος	Μέγιστη ώση ανόδου	T_00	7 500			
777200	ICAO_B	4	9	Άνοδος	Μέγιστη ώση ανόδου	T_00	10 000			

▼**M2**

ACFTID	Profile_ID (Προφίλ αναχώρησης)	Μήκος καλυπτόμενης διαδρομής	Αριθμός σταδίου	Είδος σταδίου	Μέγεθος ώσης	Flap_ID (Θέση πτερυγίων καμπυλότητας)	Οροφή ανόδου (ft)	Ρυθμός ανόδου (ft/min)	Διακριβωμένη ταχύτητα αέρα στην οροφή ανόδου (kt)	Ποσοστό επιτάχυνσης (%)
777200	ICAO_B	5	1	Απογείωση	Μέγιστη ώση απογείωσης	T_05				
777200	ICAO_B	5	2	Άνοδος	Μέγιστη ώση απογείωσης	T_05C	1 000			
777200	ICAO_B	5	3	Επιτάχυνση	Μέγιστη ώση απογείωσης	T_05A		1 809,2	206,7	
777200	ICAO_B	5	4	Επιτάχυνση	Μέγιστη ώση απογείωσης	T_01		1 431,6	226,5	
777200	ICAO_B	5	5	Άνοδος	Μέγιστη ώση ανόδου	T_00	3 000			
777200	ICAO_B	5	6	Επιτάχυνση	Μέγιστη ώση ανόδου	T_00		1 466,4	250	
777200	ICAO_B	5	7	Άνοδος	Μέγιστη ώση ανόδου	T_00	5 500			
777200	ICAO_B	5	8	Άνοδος	Μέγιστη ώση ανόδου	T_00	7 500			
777200	ICAO_B	5	9	Άνοδος	Μέγιστη ώση ανόδου	T_00	10 000			
777200	ICAO_B	6	1	Απογείωση	Μέγιστη ώση απογείωσης	T_05				
777200	ICAO_B	6	2	Άνοδος	Μέγιστη ώση απογείωσης	T_05C	1 000			
777200	ICAO_B	6	3	Επιτάχυνση	Μέγιστη ώση απογείωσης	T_05A		1 683,9	211,6	
777200	ICAO_B	6	4	Επιτάχυνση	Μέγιστη ώση απογείωσης	T_01		1 315,7	231,4	

▼**M2**

ACFTID	Profile_ID (Προφίλ αναχώρησης)	Μήκος καλυπτόμενης διαδρομής	Αριθμός σταδίου	Είδος σταδίου	Μέγεθος ώσης	Flap_ID (Θέση πτερυγίων καμπυλότητας)	Οροφή ανόδου (ft)	Ρυθμός ανόδου (ft/min)	Διακριβωμένη ταχύτητα αέρα στην οροφή ανόδου (kt)	Ποσοστό επιτάχυνσης (%)
777200	ICAO_B	6	5	Άνοδος	Μέγιστη ώση ανόδου	T_00	3 000			
777200	ICAO_B	6	6	Επιτάχυνση	Μέγιστη ώση ανόδου	T_00		1 337,6	250	
777200	ICAO_B	6	7	Άνοδος	Μέγιστη ώση ανόδου	T_00	5 500			
777200	ICAO_B	6	8	Άνοδος	Μέγιστη ώση ανόδου	T_00	7 500			
777200	ICAO_B	6	9	Άνοδος	Μέγιστη ώση ανόδου	T_00	10 000			
777200	ICAO_B	7	1	Απογείωση	Μέγιστη ώση απογείωσης	T_05				
777200	ICAO_B	7	2	Άνοδος	Μέγιστη ώση απογείωσης	T_05C	1 000			
777200	ICAO_B	7	3	Επιτάχυνση	Μέγιστη ώση απογείωσης	T_05A		1 562,2	216,6	
777200	ICAO_B	7	4	Επιτάχυνση	Μέγιστη ώση απογείωσης	T_01		1 197,4	236,5	
777200	ICAO_B	7	5	Άνοδος	Μέγιστη ώση ανόδου	T_00	3 000			
777200	ICAO_B	7	6	Επιτάχυνση	Μέγιστη ώση ανόδου	T_00		1 214,8	250	
777200	ICAO_B	7	7	Άνοδος	Μέγιστη ώση ανόδου	T_00	5 500			
777200	ICAO_B	7	8	Άνοδος	Μέγιστη ώση ανόδου	T_00	7 500			

▼**M2**

ACFTID	Profile_ID (Προφίλ αναχώρησης)	Μήκος καλυπτόμενης διαδρομής	Αριθμός σταδίου	Είδος σταδίου	Μέγεθος ώσης	Flap_ID (Θέση πτερυγίων καμπυλότητας)	Οροφή ανόδου (ft)	Ρυθμός ανόδου (ft/min)	Διακριβωμένη ταχύτητα αέρα στην οροφή ανόδου (kt)	Ποσοστό επιτάχυνσης (%)
777200	ICAO_B	7	9	Άνοδος	Μέγιστη ώση ανόδου	T_00	10 000			
777200	ICAO_B	8	1	Απογείωση	Μέγιστη ώση απογείωσης	T_05				
777200	ICAO_B	8	2	Άνοδος	Μέγιστη ώση απογείωσης	T_05C	1 000			
777200	ICAO_B	8	3	Επιτάχυνση	Μέγιστη ώση απογείωσης	T_05A		1 450,3	222,2	
777200	ICAO_B	8	4	Επιτάχυνση	Μέγιστη ώση απογείωσης	T_01		1 090,6	241,9	
777200	ICAO_B	8	5	Άνοδος	Μέγιστη ώση ανόδου	T_00	3 000			
777200	ICAO_B	8	6	Επιτάχυνση	Μέγιστη ώση ανόδου	T_00		1 101,5	250	
777200	ICAO_B	8	7	Άνοδος	Μέγιστη ώση ανόδου	T_00	5 500			
777200	ICAO_B	8	8	Άνοδος	Μέγιστη ώση ανόδου	T_00	7 500			
777200	ICAO_B	8	9	Άνοδος	Μέγιστη ώση ανόδου	T_00	10 000			
777200	ICAO_B	9	1	Απογείωση	Μέγιστη ώση απογείωσης	T_05				
777200	ICAO_B	9	2	Άνοδος	Μέγιστη ώση απογείωσης	T_05C	1 000			

▼**M2**

ACFTID	Profile_ID (Προφίλ αναχώρησης)	Μήκος καλυπτόμενης διαδρομής	Αριθμός σταδίου	Είδος σταδίου	Μέγεθος ώσης	Flap_ID (Θέση πτερυγίων καμπυλότητας)	Οροφή ανόδου (ft)	Ρυθμός ανόδου (ft/min)	Διακριβωμένη ταχύτητα αέρα στην οροφή ανόδου (kt)	Ποσοστό επιτάχυνσης (%)
777200	ICAO_B	9	3	Επιτάχυνση	Μέγιστη ώση απογείωσης	T_05A		1 381,9	225,8	
777200	ICAO_B	9	4	Επιτάχυνση	Μέγιστη ώση απογείωσης	T_01		1 025,7	245,6	
777200	ICAO_B	9	5	Άνοδος	Μέγιστη ώση ανόδου	T_00	3 000			
777200	ICAO_B	9	6	Επιτάχυνση	Μέγιστη ώση ανόδου	T_00		1 031,1	250	
777200	ICAO_B	9	7	Άνοδος	Μέγιστη ώση ανόδου	T_00	5 500			
777200	ICAO_B	9	8	Άνοδος	Μέγιστη ώση ανόδου	T_00	7 500			
777200	ICAO_B	9	9	Άνοδος	Μέγιστη ώση ανόδου	T_00	10 000			
777300	DEFAULT	1	1	Απογείωση	Μέγιστη ώση απογείωσης	T_20_U				
777300	DEFAULT	1	2	Άνοδος	Μέγιστη ώση απογείωσης	T_20_U	1 068			
777300	DEFAULT	1	3	Επιτάχυνση	Μέγιστη ώση ανόδου	T_05_U		1 471,6	215,4	
777300	DEFAULT	1	4	Άνοδος	Μέγιστη ώση ανόδου	T_00_U	3 000			
777300	DEFAULT	1	5	Επιτάχυνση	Μέγιστη ώση ανόδου	T_00_U		1 779,1	250	

▼**M2**

ACFTID	Profile_ID (Προφίλ αναχώρησης)	Μήκος καλυπτόμενης διαδρομής	Αριθμός σταδίου	Είδος σταδίου	Μέγεθος ώσης	Flap_ID (Θέση πτερυγίων καμπυλότητας)	Οροφή ανόδου (ft)	Ρυθμός ανόδου (ft/min)	Διακριβωμένη ταχύτητα αέρα στην οροφή ανόδου (kt)	Ποσοστό επιτάχυνσης (%)
777300	DEFAULT	1	6	Άνοδος	Μέγιστη ώση ανόδου	T_00_U	5 000			
777300	DEFAULT	1	7	Άνοδος	Μέγιστη ώση ανόδου	T_00_U	7 500			
777300	DEFAULT	1	8	Άνοδος	Μέγιστη ώση ανόδου	T_00_U	10 000			
777300	DEFAULT	2	1	Απογείωση	Μέγιστη ώση απογείωσης	T_20_U				
777300	DEFAULT	2	2	Άνοδος	Μέγιστη ώση απογείωσης	T_20_U	1 064			
777300	DEFAULT	2	3	Επιτάχυνση	Μέγιστη ώση ανόδου	T_05_U		1 418	217,8	
777300	DEFAULT	2	4	Άνοδος	Μέγιστη ώση ανόδου	T_00_U	3 000			
777300	DEFAULT	2	5	Επιτάχυνση	Μέγιστη ώση ανόδου	T_00_U		1 713,9	250	
777300	DEFAULT	2	6	Άνοδος	Μέγιστη ώση ανόδου	T_00_U	5 000			
777300	DEFAULT	2	7	Άνοδος	Μέγιστη ώση ανόδου	T_00_U	7 500			
777300	DEFAULT	2	8	Άνοδος	Μέγιστη ώση ανόδου	T_00_U	10 000			

▼**M2**

ACFTID	Profile_ID (Προφίλ αναχώρησης)	Μήκος καλυπτόμενης διαδρομής	Αριθμός σταδίου	Είδος σταδίου	Μέγεθος ώσης	Flap_ID (Θέση πτερυγίων καμπυλότητας)	Οροφή ανόδου (ft)	Ρυθμός ανόδου (ft/min)	Διακριβωμένη ταχύτητα αέρα στην οροφή ανόδου (kt)	Ποσοστό επιτάχυνσης (%)
777300	DEFAULT	3	1	Απογείωση	Μέγιστη ώση απογείωσης	T_20_U				
777300	DEFAULT	3	2	Άνοδος	Μέγιστη ώση απογείωσης	T_20_U	1 062			
777300	DEFAULT	3	3	Επιτάχυνση	Μέγιστη ώση ανόδου	T_05_U		1 368	220,3	
777300	DEFAULT	3	4	Άνοδος	Μέγιστη ώση ανόδου	T_00_U	3 000			
777300	DEFAULT	3	5	Επιτάχυνση	Μέγιστη ώση ανόδου	T_00_U		1 638,9	250	
777300	DEFAULT	3	6	Άνοδος	Μέγιστη ώση ανόδου	T_00_U	5 000			
777300	DEFAULT	3	7	Άνοδος	Μέγιστη ώση ανόδου	T_00_U	7 500			
777300	DEFAULT	3	8	Άνοδος	Μέγιστη ώση ανόδου	T_00_U	10 000			
777300	DEFAULT	4	1	Απογείωση	Μέγιστη ώση απογείωσης	T_20_U				
777300	DEFAULT	4	2	Άνοδος	Μέγιστη ώση απογείωσης	T_20_U	1 058			
777300	DEFAULT	4	3	Επιτάχυνση	Μέγιστη ώση ανόδου	T_05_U		1 279	224,3	
777300	DEFAULT	4	4	Άνοδος	Μέγιστη ώση ανόδου	T_00_U	3 000			

▼**M2**

ACFTID	Profile_ID (Προφίλ αναχώρησης)	Μήκος καλυπτόμενης διαδρομής	Αριθμός σταδίου	Είδος σταδίου	Μέγεθος ώσης	Flap_ID (Θέση πτερυγίων καμπυλότητας)	Οροφή ανόδου (ft)	Ρυθμός ανόδου (ft/min)	Διακριβωμένη ταχύτητα αέρα στην οροφή ανόδου (kt)	Ποσοστό επιτάχυνσης (%)
777300	DEFAULT	4	5	Επιτάχυνση	Μέγιστη ώση ανόδου	T_00_U		1 519,4	250	
777300	DEFAULT	4	6	Άνοδος	Μέγιστη ώση ανόδου	T_00_U	5 000			
777300	DEFAULT	4	7	Άνοδος	Μέγιστη ώση ανόδου	T_00_U	7 500			
777300	DEFAULT	4	8	Άνοδος	Μέγιστη ώση ανόδου	T_00_U	10 000			
777300	DEFAULT	5	1	Απογείωση	Μέγιστη ώση απογείωσης	T_20_U				
777300	DEFAULT	5	2	Άνοδος	Μέγιστη ώση απογείωσης	T_20_U	1 053			
777300	DEFAULT	5	3	Επιτάχυνση	Μέγιστη ώση ανόδου	T_05_U		1 179,2	229,4	
777300	DEFAULT	5	4	Άνοδος	Μέγιστη ώση ανόδου	T_00_U	3 000			
777300	DEFAULT	5	5	Επιτάχυνση	Μέγιστη ώση ανόδου	T_00_U		1 392,1	250	
777300	DEFAULT	5	6	Άνοδος	Μέγιστη ώση ανόδου	T_00_U	5 000			
777300	DEFAULT	5	7	Άνοδος	Μέγιστη ώση ανόδου	T_00_U	7 500			

▼**M2**

ACFTID	Profile_ID (Προφίλ αναχώρησης)	Μήκος καλυπτόμενης διαδρομής	Αριθμός σταδίου	Είδος σταδίου	Μέγεθος ώσης	Flap_ID (Θέση πτερυγίων καμπυλότητας)	Οροφή ανόδου (ft)	Ρυθμός ανόδου (ft/min)	Διακριβωμένη ταχύτητα αέρα στην οροφή ανόδου (kt)	Ποσοστό επιτάχυνσης (%)
777300	DEFAULT	5	8	Άνοδος	Μέγιστη ώση ανόδου	T_00_U	10 000			
777300	DEFAULT	6	1	Απογείωση	Μέγιστη ώση απογείωσης	T_20_U				
777300	DEFAULT	6	2	Άνοδος	Μέγιστη ώση απογείωσης	T_20_U	1 049			
777300	DEFAULT	6	3	Επιτάχυνση	Μέγιστη ώση ανόδου	T_05_U		1 082,8	234,4	
777300	DEFAULT	6	4	Άνοδος	Μέγιστη ώση ανόδου	T_00_U	3 000			
777300	DEFAULT	6	5	Επιτάχυνση	Μέγιστη ώση ανόδου	T_00_U		1 260	250	
777300	DEFAULT	6	6	Άνοδος	Μέγιστη ώση ανόδου	T_00_U	5 000			
777300	DEFAULT	6	7	Άνοδος	Μέγιστη ώση ανόδου	T_00_U	7 500			
777300	DEFAULT	6	8	Άνοδος	Μέγιστη ώση ανόδου	T_00_U	10 000			
777300	DEFAULT	7	1	Απογείωση	Μέγιστη ώση απογείωσης	T_20_U				
777300	DEFAULT	7	2	Άνοδος	Μέγιστη ώση απογείωσης	T_20_U	1 042			
777300	DEFAULT	7	3	Επιτάχυνση	Μέγιστη ώση ανόδου	T_05_U		911,6	243,4	
777300	DEFAULT	7	4	Άνοδος	Μέγιστη ώση ανόδου	T_00_U	3 000			

▼**M2**

ACFTID	Profile_ID (Προφίλ αναχώρησης)	Μήκος καλυπτόμενης διαδρομής	Αριθμός σταδίου	Είδος σταδίου	Μέγεθος ώσης	Flap_ID (Θέση πτερυγίων καμπυλότητας)	Οροφή ανόδου (ft)	Ρυθμός ανόδου (ft/min)	Διακριβωμένη ταχύτητα αέρα στην οροφή ανόδου (kt)	Ποσοστό επιτάχυνσης (%)
777300	DEFAULT	7	5	Επιτάχυνση	Μέγιστη ώση ανόδου	T_00_U		1 060,3	250	
777300	DEFAULT	7	6	Άνοδος	Μέγιστη ώση ανόδου	T_00_U	5 000			
777300	DEFAULT	7	7	Άνοδος	Μέγιστη ώση ανόδου	T_00_U	7 500			
777300	DEFAULT	7	8	Άνοδος	Μέγιστη ώση ανόδου	T_00_U	10 000			
777300	ICAO_A	1	1	Απογείωση	Μέγιστη ώση απογείωσης	T_20_U				
777300	ICAO_A	1	2	Άνοδος	Μέγιστη ώση απογείωσης	T_20_U	1 565			
777300	ICAO_A	1	3	Άνοδος	Μέγιστη ώση ανόδου	T_20_U	3 000			
777300	ICAO_A	1	4	Επιτάχυνση	Μέγιστη ώση ανόδου	T_05_U		1 420,7	215,2	
777300	ICAO_A	1	5	Άνοδος	Μέγιστη ώση ανόδου	T_00_U	4 117			
777300	ICAO_A	1	6	Επιτάχυνση	Μέγιστη ώση ανόδου	T_00_U		1 762,5	250	
777300	ICAO_A	1	7	Άνοδος	Μέγιστη ώση ανόδου	T_00_U	5 000			
777300	ICAO_A	1	8	Άνοδος	Μέγιστη ώση ανόδου	T_00_U	7 500			
777300	ICAO_A	1	9	Άνοδος	Μέγιστη ώση ανόδου	T_00_U	10 000			

▼**M2**

ACFTID	Profile_ID (Προφίλ αναχώρησης)	Μήκος καλυπτόμενης διαδρομής	Αριθμός σταδίου	Είδος σταδίου	Μέγεθος ώσης	Flap_ID (Θέση πτερυγίων καμπυλότητας)	Οροφή ανόδου (ft)	Ρυθμός ανόδου (ft/min)	Διακριβωμένη ταχύτητα αέρα στην οροφή ανόδου (kt)	Ποσοστό επιτάχυνσης (%)
777300	ICAO_A	2	1	Απογείωση	Μέγιστη ώση απογείωσης	T_20_U				
777300	ICAO_A	2	2	Άνοδος	Μέγιστη ώση απογείωσης	T_20_U	1 563			
777300	ICAO_A	2	3	Άνοδος	Μέγιστη ώση ανόδου	T_20_U	3 000			
777300	ICAO_A	2	4	Επιτάχυνση	Μέγιστη ώση ανόδου	T_05_U		1 372,5	217,6	
777300	ICAO_A	2	5	Άνοδος	Μέγιστη ώση ανόδου	T_00_U	4 014			
777300	ICAO_A	2	6	Επιτάχυνση	Μέγιστη ώση ανόδου	T_00_U		1 691,8	250	
777300	ICAO_A	2	7	Άνοδος	Μέγιστη ώση ανόδου	T_00_U	5 000			
777300	ICAO_A	2	8	Άνοδος	Μέγιστη ώση ανόδου	T_00_U	7 500			
777300	ICAO_A	2	9	Άνοδος	Μέγιστη ώση ανόδου	T_00_U	10 000			
777300	ICAO_A	3	1	Απογείωση	Μέγιστη ώση απογείωσης	T_20_U				
777300	ICAO_A	3	2	Άνοδος	Μέγιστη ώση απογείωσης	T_20_U	1 561			
777300	ICAO_A	3	3	Άνοδος	Μέγιστη ώση ανόδου	T_20_U	3 000			
777300	ICAO_A	3	4	Επιτάχυνση	Μέγιστη ώση ανόδου	T_05_U		1 320,6	220	

▼**M2**

ACFTID	Profile_ID (Προφίλ αναχώρησης)	Μήκος καλυπτόμενης διαδρομής	Αριθμός σταδίου	Είδος σταδίου	Μέγεθος ώσης	Flap_ID (Θέση πτερυγίων καμπυλότητας)	Οροφή ανόδου (ft)	Ρυθμός ανόδου (ft/min)	Διακριβωμένη ταχύτητα αέρα στην οροφή ανόδου (kt)	Ποσοστό επιτάχυνσης (%)
777300	ICAO_A	3	5	Άνοδος	Μέγιστη ώση ανόδου	T_00_U	4 041			
777300	ICAO_A	3	6	Επιτάχυνση	Μέγιστη ώση ανόδου	T_00_U		1 616	250	
777300	ICAO_A	3	7	Άνοδος	Μέγιστη ώση ανόδου	T_00_U	5 000			
777300	ICAO_A	3	8	Άνοδος	Μέγιστη ώση ανόδου	T_00_U	7 500			
777300	ICAO_A	3	9	Άνοδος	Μέγιστη ώση ανόδου	T_00_U	10 000			
777300	ICAO_A	4	1	Απογείωση	Μέγιστη ώση απογείωσης	T_20_U				
777300	ICAO_A	4	2	Άνοδος	Μέγιστη ώση απογείωσης	T_20_U	1 557			
777300	ICAO_A	4	3	Άνοδος	Μέγιστη ώση ανόδου	T_20_U	3 000			
777300	ICAO_A	4	4	Επιτάχυνση	Μέγιστη ώση ανόδου	T_00_U		1 320,5	250	
777300	ICAO_A	4	5	Άνοδος	Μέγιστη ώση ανόδου	T_00_U	5 000			
777300	ICAO_A	4	6	Άνοδος	Μέγιστη ώση ανόδου	T_00_U	7 500			
777300	ICAO_A	4	7	Άνοδος	Μέγιστη ώση ανόδου	T_00_U	10 000			

▼**M2**

ACFTID	Profile_ID (Προφίλ αναχώρησης)	Μήκος καλυπτόμενης διαδρομής	Αριθμός σταδίου	Είδος σταδίου	Μέγεθος ώσης	Flap_ID (Θέση πτερυγίων καμπυλότητας)	Οροφή ανόδου (ft)	Ρυθμός ανόδου (ft/min)	Διακριβωμένη ταχύτητα αέρα στην οροφή ανόδου (kt)	Ποσοστό επιτάχυνσης (%)
777300	ICAO_A	5	1	Απογείωση	Μέγιστη ώση απογείωσης	T_05_U				
777300	ICAO_A	5	2	Άνοδος	Μέγιστη ώση απογείωσης	T_20_U	1 553			
777300	ICAO_A	5	3	Άνοδος	Μέγιστη ώση ανόδου	T_20_U	3 000			
777300	ICAO_A	5	4	Επιτάχυνση	Μέγιστη ώση ανόδου	T_00_U		1 199,1	250	
777300	ICAO_A	5	5	Άνοδος	Μέγιστη ώση ανόδου	T_00_U	5 000			
777300	ICAO_A	5	6	Άνοδος	Μέγιστη ώση ανόδου	T_00_U	7 500			
777300	ICAO_A	5	7	Άνοδος	Μέγιστη ώση ανόδου	T_00_U	10 000			
777300	ICAO_A	6	1	Απογείωση	Μέγιστη ώση απογείωσης	T_20_U				
777300	ICAO_A	6	2	Άνοδος	Μέγιστη ώση απογείωσης	T_20_U	1 553			
777300	ICAO_A	6	3	Άνοδος	Μέγιστη ώση ανόδου	T_20_U	3 000			
777300	ICAO_A	6	4	Επιτάχυνση	Μέγιστη ώση ανόδου	T_00_U		1 083,7	250	
777300	ICAO_A	6	5	Άνοδος	Μέγιστη ώση ανόδου	T_00_U	5 000			

▼**M2**

ACFTID	Profile_ID (Προφίλ αναχώρησης)	Μήκος καλυπτόμενης διαδρομής	Αριθμός σταδίου	Είδος σταδίου	Μέγεθος ώσης	Flap_ID (Θέση πτερυγίων καμπυλότητας)	Οροφή ανόδου (ft)	Ρυθμός ανόδου (ft/min)	Διακριβωμένη ταχύτητα αέρα στην οροφή ανόδου (kt)	Ποσοστό επιτάχυνσης (%)
777300	ICAO_A	6	6	Άνοδος	Μέγιστη ώση ανόδου	T_00_U	7 500			
777300	ICAO_A	6	7	Άνοδος	Μέγιστη ώση ανόδου	T_00_U	10 000			
777300	ICAO_A	7	1	Απογείωση	Μέγιστη ώση απογείωσης	T_20_U				
777300	ICAO_A	7	2	Άνοδος	Μέγιστη ώση απογείωσης	T_20_U	1 553			
777300	ICAO_A	7	3	Άνοδος	Μέγιστη ώση ανόδου	T_20_U	3 000			
777300	ICAO_A	7	4	Επιτάχυνση	Μέγιστη ώση ανόδου	T_00_U		889	250	
777300	ICAO_A	7	5	Άνοδος	Μέγιστη ώση ανόδου	T_00_U	5 000			
777300	ICAO_A	7	6	Άνοδος	Μέγιστη ώση ανόδου	T_00_U	7 500			
777300	ICAO_A	7	7	Άνοδος	Μέγιστη ώση ανόδου	T_00_U	10 000			
777300	ICAO_B	1	1	Απογείωση	Μέγιστη ώση απογείωσης	T_20_U				
777300	ICAO_B	1	2	Άνοδος	Μέγιστη ώση απογείωσης	T_20_U	1 000			
777300	ICAO_B	1	3	Επιτάχυνση	Μέγιστη ώση απογείωσης	T_05_U		2 149,6	215,4	

▼**M2**

ACFTID	Profile_ID (Προφίλ αναχώρησης)	Μήκος καλυπτόμενης διαδρομής	Αριθμός σταδίου	Είδος σταδίου	Μέγεθος ώσης	Flap_ID (Θέση πτερυγίων καμπυλότητας)	Οροφή ανόδου (ft)	Ρυθμός ανόδου (ft/min)	Διακριβωμένη ταχύτητα αέρα στην οροφή ανόδου (kt)	Ποσοστό επιτάχυνσης (%)
777300	ICAO_B	1	4	Άνοδος	Μέγιστη ώση απογείωσης	T_00_U	3 416			
777300	ICAO_B	1	5	Επιτάχυνση	Μέγιστη ώση ανόδου	T_00_U		1 800	250	
777300	ICAO_B	1	6	Άνοδος	Μέγιστη ώση ανόδου	T_00_U	5 000			
777300	ICAO_B	1	7	Άνοδος	Μέγιστη ώση ανόδου	T_00_U	7 500			
777300	ICAO_B	1	8	Άνοδος	Μέγιστη ώση ανόδου	T_00_U	10 000			
777300	ICAO_B	2	1	Απογείωση	Μέγιστη ώση απογείωσης	T_20_U				
777300	ICAO_B	2	2	Άνοδος	Μέγιστη ώση απογείωσης	T_20_U	1 000			
777300	ICAO_B	2	3	Επιτάχυνση	Μέγιστη ώση απογείωσης	T_05_U		2 086,3	217,9	
777300	ICAO_B	2	4	Άνοδος	Μέγιστη ώση απογείωσης	T_00_U	3 205			
777300	ICAO_B	2	5	Επιτάχυνση	Μέγιστη ώση ανόδου	T_00_U		1 772,6	250	
777300	ICAO_B	2	6	Άνοδος	Μέγιστη ώση ανόδου	T_00_U	5 000			
777300	ICAO_B	2	7	Άνοδος	Μέγιστη ώση ανόδου	T_00_U	7 500			

▼**M2**

ACFTID	Profile_ID (Προφίλ αναχώρησης)	Μήκος καλυπτόμενης διαδρομής	Αριθμός σταδίου	Είδος σταδίου	Μέγεθος ώσης	Flap_ID (Θέση πτερυγίων καμπυλότητας)	Οροφή ανόδου (ft)	Ρυθμός ανόδου (ft/min)	Διακριβωμένη ταχύτητα αέρα στην οροφή ανόδου (kt)	Ποσοστό επιτάχυνσης (%)
777300	ICAO_B	2	8	Άνοδος	Μέγιστη ώση ανόδου	T_00_U	10 000			
777300	ICAO_B	3	1	Απογείωση	Μέγιστη ώση απογείωσης	T_20_U				
777300	ICAO_B	3	2	Άνοδος	Μέγιστη ώση απογείωσης	T_20_U	1 000			
777300	ICAO_B	3	3	Επιτάχυνση	Μέγιστη ώση απογείωσης	T_05_U		2 020,6	220,3	
777300	ICAO_B	3	4	Άνοδος	Μέγιστη ώση απογείωσης	T_00_U	3 076			
777300	ICAO_B	3	5	Επιτάχυνση	Μέγιστη ώση ανόδου	T_00_U		1 708,6	250	
777300	ICAO_B	3	6	Άνοδος	Μέγιστη ώση ανόδου	T_00_U	5 000			
777300	ICAO_B	3	7	Άνοδος	Μέγιστη ώση ανόδου	T_00_U	7 500			
777300	ICAO_B	3	8	Άνοδος	Μέγιστη ώση ανόδου	T_00_U	10 000			
777300	ICAO_B	4	1	Απογείωση	Μέγιστη ώση απογείωσης	T_20_U				
777300	ICAO_B	4	2	Άνοδος	Μέγιστη ώση απογείωσης	T_20_U	1 000			
777300	ICAO_B	4	3	Επιτάχυνση	Μέγιστη ώση απογείωσης	T_05_U		1 895,3	226,3	
777300	ICAO_B	4	4	Άνοδος	Μέγιστη ώση απογείωσης	T_00_U	2 894			

▼**M2**

ACFTID	Profile_ID (Προφίλ αναχώρησης)	Μήκος καλυπτόμενης διαδρομής	Αριθμός σταδίου	Είδος σταδίου	Μέγεθος ώσης	Flap_ID (Θέση πτερυγίων καμπυλότητας)	Οροφή ανόδου (ft)	Ρυθμός ανόδου (ft/min)	Διακριβωμένη ταχύτητα αέρα στην οροφή ανόδου (kt)	Ποσοστό επιτάχυνσης (%)
777300	ICAO_B	4	5	Άνοδος	Μέγιστη ώση ανόδου	T_00_U	3 000			
777300	ICAO_B	4	6	Επιτάχυνση	Μέγιστη ώση ανόδου	T_00_U		1 525,8	250	
777300	ICAO_B	4	7	Άνοδος	Μέγιστη ώση ανόδου	T_00_U	5 000			
777300	ICAO_B	4	8	Άνοδος	Μέγιστη ώση ανόδου	T_00_U	7 500			
777300	ICAO_B	4	9	Άνοδος	Μέγιστη ώση ανόδου	T_00_U	10 000			
777300	ICAO_B	5	1	Απογείωση	Μέγιστη ώση απογείωσης	T_20_U				
777300	ICAO_B	5	2	Άνοδος	Μέγιστη ώση απογείωσης	T_20_U	1 000			
777300	ICAO_B	5	3	Επιτάχυνση	Μέγιστη ώση απογείωσης	T_05_U		1 768,6	229,4	
777300	ICAO_B	5	4	Άνοδος	Μέγιστη ώση απογείωσης	T_00_U	2 679			
777300	ICAO_B	5	5	Άνοδος	Μέγιστη ώση ανόδου	T_00_U	3 000			
777300	ICAO_B	5	6	Επιτάχυνση	Μέγιστη ώση ανόδου	T_00_U		1 387,7	250	
777300	ICAO_B	5	7	Άνοδος	Μέγιστη ώση ανόδου	T_00_U	5 000			
777300	ICAO_B	5	8	Άνοδος	Μέγιστη ώση ανόδου	T_00_U	7 500			

▼**M2**

ACFTID	Profile_ID (Προφίλ αναχώρησης)	Μήκος καλυπτόμενης διαδρομής	Αριθμός σταδίου	Είδος σταδίου	Μέγεθος ώσης	Flap_ID (Θέση πτερυγίων καμπυλότητας)	Οροφή ανόδου (ft)	Ρυθμός ανόδου (ft/min)	Διακριβωμένη ταχύτητα αέρα στην οροφή ανόδου (kt)	Ποσοστό επιτάχυνσης (%)
777300	ICAO_B	5	9	Άνοδος	Μέγιστη ώση ανόδου	T_00_U	10 000			
777300	ICAO_B	6	1	Απογείωση	Μέγιστη ώση απογείωσης	T_20_U				
777300	ICAO_B	6	2	Άνοδος	Μέγιστη ώση απογείωσης	T_20_U	1 000			
777300	ICAO_B	6	3	Επιτάχυνση	Μέγιστη ώση απογείωσης	T_05_U		1 639,4	235,5	
777300	ICAO_B	6	4	Άνοδος	Μέγιστη ώση απογείωσης	T_00_U	2 402			
777300	ICAO_B	6	5	Άνοδος	Μέγιστη ώση ανόδου	T_00_U	3 000			
777300	ICAO_B	6	6	Επιτάχυνση	Μέγιστη ώση ανόδου	T_00_U		1 271,6	250	
777300	ICAO_B	6	7	Άνοδος	Μέγιστη ώση ανόδου	T_00_U	5 000			
777300	ICAO_B	6	8	Άνοδος	Μέγιστη ώση ανόδου	T_00_U	7 500			
777300	ICAO_B	6	9	Άνοδος	Μέγιστη ώση ανόδου	T_00_U	10 000			
777300	ICAO_B	7	1	Απογείωση	Μέγιστη ώση απογείωσης	T_20_U				
777300	ICAO_B	7	2	Άνοδος	Μέγιστη ώση απογείωσης	T_20_U	1 000			
777300	ICAO_B	7	3	Επιτάχυνση	Μέγιστη ώση απογείωσης	T_05_U		1 491	244,4	

▼**M2**

ACFTID	Profile_ID (Προφίλ αναχώρησης)	Μήκος καλυπτόμενης διαδρομής	Αριθμός σταδίου	Είδος σταδίου	Μέγεθος ώσης	Flap_ID (Θέση πτερυγίων καμπυλότητας)	Οροφή ανόδου (ft)	Ρυθμός ανόδου (ft/min)	Διακριβωμένη ταχύτητα αέρα στην οροφή ανόδου (kt)	Ποσοστό επιτάχυνσης (%)
777300	ICAO_B	7	4	Άνοδος	Μέγιστη ώση απογείωσης	T_00_U	2 216			
777300	ICAO_B	7	5	Άνοδος	Μέγιστη ώση ανόδου	T_00_U	3 000			
777300	ICAO_B	7	6	Επιτάχυνση	Μέγιστη ώση ανόδου	T_00_U		1 271,6	250	
777300	ICAO_B	7	7	Άνοδος	Μέγιστη ώση ανόδου	T_00_U	5 000			
777300	ICAO_B	7	8	Άνοδος	Μέγιστη ώση ανόδου	T_00_U	7 500			
777300	ICAO_B	7	9	Άνοδος	Μέγιστη ώση ανόδου	T_00_U	10 000			
7773ER	DEFAULT	1	1	Απογείωση	Μέγιστη ώση απογείωσης	FLAP_5				
7773ER	DEFAULT	1	2	Άνοδος	Μέγιστη ώση απογείωσης	FLAP_5	1 434			
7773ER	DEFAULT	1	3	Επιτάχυνση επί τοις εκατό	Μέγιστη ώση ανόδου	FLAP_5			200	55
7773ER	DEFAULT	1	4	Επιτάχυνση επί τοις εκατό	Μέγιστη ώση ανόδου	FLAP_1			223	50
7773ER	DEFAULT	1	5	Άνοδος	Μέγιστη ώση ανόδου	FLAP_0	3 000			
7773ER	DEFAULT	1	6	Επιτάχυνση επί τοις εκατό	Μέγιστη ώση ανόδου	FLAP_0			250	50

▼**M2**

ACFTID	Profile_ID (Προφίλ αναχώρησης)	Μήκος καλυπτόμενης διαδρομής	Αριθμός σταδίου	Είδος σταδίου	Μέγεθος ώσης	Flap_ID (Θέση πτερυγίων καμπυλότητας)	Οροφή ανόδου (ft)	Ρυθμός ανόδου (ft/min)	Διακριβωμένη ταχύτητα αέρα στην οροφή ανόδου (kt)	Ποσοστό επιτάχυνσης (%)
7773ER	DEFAULT	1	7	Άνοδος	Μέγιστη ώση ανόδου	FLAP_0	10 000			
7773ER	DEFAULT	2	1	Απογείωση	Μέγιστη ώση απογείωσης	FLAP_5				
7773ER	DEFAULT	2	2	Άνοδος	Μέγιστη ώση απογείωσης	FLAP_5	1 434			
7773ER	DEFAULT	2	3	Επιτάχυνση επί τοις εκατό	Μέγιστη ώση ανόδου	FLAP_5			200	55
7773ER	DEFAULT	2	4	Επιτάχυνση επί τοις εκατό	Μέγιστη ώση ανόδου	FLAP_1			225	50
7773ER	DEFAULT	2	5	Άνοδος	Μέγιστη ώση ανόδου	FLAP_0	3 000			
7773ER	DEFAULT	2	6	Επιτάχυνση επί τοις εκατό	Μέγιστη ώση ανόδου	FLAP_0			250	50
7773ER	DEFAULT	2	7	Άνοδος	Μέγιστη ώση ανόδου	FLAP_0	10 000			
7773ER	DEFAULT	3	1	Απογείωση	Μέγιστη ώση απογείωσης	FLAP_5				
7773ER	DEFAULT	3	2	Άνοδος	Μέγιστη ώση απογείωσης	FLAP_5	1 355			
7773ER	DEFAULT	3	3	Επιτάχυνση επί τοις εκατό	Μέγιστη ώση ανόδου	FLAP_5			204	55
7773ER	DEFAULT	3	4	Επιτάχυνση επί τοις εκατό	Μέγιστη ώση ανόδου	FLAP_1			228	50

▼**M2**

ACFTID	Profile_ID (Προφίλ αναχώρησης)	Μήκος καλυπτόμενης διαδρομής	Αριθμός σταδίου	Είδος σταδίου	Μέγεθος ώσης	Flap_ID (Θέση πτερυγίων καμπυλότητας)	Οροφή ανόδου (ft)	Ρυθμός ανόδου (ft/min)	Διακριβωμένη ταχύτητα αέρα στην οροφή ανόδου (kt)	Ποσοστό επιτάχυνσης (%)
7773ER	DEFAULT	3	5	Άνοδος	Μέγιστη ώση ανόδου	FLAP_0	3 000			
7773ER	DEFAULT	3	6	Επιτάχυνση επί τοις εκατό	Μέγιστη ώση ανόδου	FLAP_0			250	50
7773ER	DEFAULT	3	7	Άνοδος	Μέγιστη ώση ανόδου	FLAP_0	10 000			
7773ER	DEFAULT	4	1	Απογείωση	Μέγιστη ώση απογείωσης	FLAP_5				
7773ER	DEFAULT	4	2	Άνοδος	Μέγιστη ώση απογείωσης	FLAP_5	1 289			
7773ER	DEFAULT	4	3	Επιτάχυνση επί τοις εκατό	Μέγιστη ώση ανόδου	FLAP_5			205	55
7773ER	DEFAULT	4	4	Επιτάχυνση επί τοις εκατό	Μέγιστη ώση ανόδου	FLAP_1			230	50
7773ER	DEFAULT	4	5	Άνοδος	Μέγιστη ώση ανόδου	FLAP_0	3 000			
7773ER	DEFAULT	4	6	Επιτάχυνση επί τοις εκατό	Μέγιστη ώση ανόδου	FLAP_0			250	50
7773ER	DEFAULT	4	7	Άνοδος	Μέγιστη ώση ανόδου	FLAP_0	10 000			
7773ER	DEFAULT	5	1	Απογείωση	Μέγιστη ώση απογείωσης	FLAP_5				
7773ER	DEFAULT	5	2	Άνοδος	Μέγιστη ώση απογείωσης	FLAP_5	1 214			

▼**M2**

ACFTID	Profile_ID (Προφίλ αναχώρησης)	Μήκος καλυπτόμενης διαδρομής	Αριθμός σταδίου	Είδος σταδίου	Μέγεθος ώσης	Flap_ID (Θέση πτερυγίων καμπυλότητας)	Οροφή ανόδου (ft)	Ρυθμός ανόδου (ft/min)	Διακριβωμένη ταχύτητα αέρα στην οροφή ανόδου (kt)	Ποσοστό επιτάχυνσης (%)
7773ER	DEFAULT	5	3	Επιτάχυνση επί τοις εκατό	Μέγιστη ώση ανόδου	FLAP_5			210	55
7773ER	DEFAULT	5	4	Επιτάχυνση επί τοις εκατό	Μέγιστη ώση ανόδου	FLAP_1			235	50
7773ER	DEFAULT	5	5	Άνοδος	Μέγιστη ώση ανόδου	FLAP_0	3 000			
7773ER	DEFAULT	5	6	Επιτάχυνση επί τοις εκατό	Μέγιστη ώση ανόδου	FLAP_0			250	50
7773ER	DEFAULT	5	7	Άνοδος	Μέγιστη ώση ανόδου	FLAP_0	10 000			
7773ER	DEFAULT	6	1	Απογείωση	Μέγιστη ώση απογείωσης	FLAP_5				
7773ER	DEFAULT	6	2	Άνοδος	Μέγιστη ώση απογείωσης	FLAP_5	1 142			
7773ER	DEFAULT	6	3	Επιτάχυνση επί τοις εκατό	Μέγιστη ώση ανόδου	FLAP_5			215	55
7773ER	DEFAULT	6	4	Επιτάχυνση επί τοις εκατό	Μέγιστη ώση ανόδου	FLAP_1			240	50
7773ER	DEFAULT	6	5	Άνοδος	Μέγιστη ώση ανόδου	FLAP_0	3 000			
7773ER	DEFAULT	6	6	Επιτάχυνση επί τοις εκατό	Μέγιστη ώση ανόδου	FLAP_0			250	50
7773ER	DEFAULT	6	7	Άνοδος	Μέγιστη ώση ανόδου	FLAP_0	10 000			

▼**M2**

ACFTID	Profile_ID (Προφίλ αναχώρησης)	Μήκος καλυπτόμενης διαδρομής	Αριθμός σταδίου	Είδος σταδίου	Μέγεθος ώσης	Flap_ID (Θέση πτερυγίων καμπυλότητας)	Οροφή ανόδου (ft)	Ρυθμός ανόδου (ft/min)	Διακριβωμένη ταχύτητα αέρα στην οροφή ανόδου (kt)	Ποσοστό επιτάχυνσης (%)
7773ER	DEFAULT	7	1	Απογείωση	Μέγιστη ώση απογείωσης	FLAP_5				
7773ER	DEFAULT	7	2	Άνοδος	Μέγιστη ώση απογείωσης	FLAP_5	1 067			
7773ER	DEFAULT	7	3	Επιτάχυνση επί τοις εκατό	Μέγιστη ώση ανόδου	FLAP_5			222	55
7773ER	DEFAULT	7	4	Επιτάχυνση επί τοις εκατό	Μέγιστη ώση ανόδου	FLAP_1			248	50
7773ER	DEFAULT	7	5	Άνοδος	Μέγιστη ώση ανόδου	FLAP_0	3 000			
7773ER	DEFAULT	7	6	Επιτάχυνση επί τοις εκατό	Μέγιστη ώση ανόδου	FLAP_0			250	50
7773ER	DEFAULT	7	7	Άνοδος	Μέγιστη ώση ανόδου	FLAP_0	10 000			
7773ER	DEFAULT	8	1	Απογείωση	Μέγιστη ώση απογείωσης	FLAP_5				
7773ER	DEFAULT	8	2	Άνοδος	Μέγιστη ώση απογείωσης	FLAP_5	1 000			
7773ER	DEFAULT	8	3	Επιτάχυνση επί τοις εκατό	Μέγιστη ώση ανόδου	FLAP_5			222	55
7773ER	DEFAULT	8	4	Επιτάχυνση επί τοις εκατό	Μέγιστη ώση ανόδου	FLAP_1			255	50
7773ER	DEFAULT	8	5	Άνοδος	Μέγιστη ώση ανόδου	FLAP_0	3 000			
7773ER	DEFAULT	8	6	Επιτάχυνση επί τοις εκατό	Μέγιστη ώση ανόδου	FLAP_0			256	50

▼**M2**

ACFTID	Profile_ID (Προφίλ αναχώρησης)	Μήκος καλυπτόμενης διαδρομής	Αριθμός σταδίου	Είδος σταδίου	Μέγεθος ώσης	Flap_ID (Θέση πτερυγίων καμπυλότητας)	Οροφή ανόδου (ft)	Ρυθμός ανόδου (ft/min)	Διακριβωμένη ταχύτητα αέρα στην οροφή ανόδου (kt)	Ποσοστό επιτάχυνσης (%)
7773ER	DEFAULT	8	7	Άνοδος	Μέγιστη ώση ανόδου	FLAP_0	10 000			
7773ER	DEFAULT	9	1	Απογείωση	Μέγιστη ώση απογείωσης	FLAP_5				
7773ER	DEFAULT	9	2	Άνοδος	Μέγιστη ώση απογείωσης	FLAP_5	1 000			
7773ER	DEFAULT	9	3	Επιτάχυνση επί τοις εκατό	Μέγιστη ώση ανόδου	FLAP_5			226	55
7773ER	DEFAULT	9	4	Επιτάχυνση επί τοις εκατό	Μέγιστη ώση ανόδου	FLAP_1			261	50
7773ER	DEFAULT	9	5	Άνοδος	Μέγιστη ώση ανόδου	FLAP_0	3 000			
7773ER	DEFAULT	9	6	Επιτάχυνση επί τοις εκατό	Μέγιστη ώση ανόδου	FLAP_0			261,1	50
7773ER	DEFAULT	9	7	Άνοδος	Μέγιστη ώση ανόδου	FLAP_0	10 000			
7773ER	ICAO_A	1	1	Απογείωση	Μέγιστη ώση απογείωσης	FLAP_5				
7773ER	ICAO_A	1	2	Άνοδος	Μέγιστη ώση απογείωσης	FLAP_5	1 500			
7773ER	ICAO_A	1	3	Άνοδος	Μέγιστη ώση ανόδου	FLAP_5	3 000			
7773ER	ICAO_A	1	4	Επιτάχυνση επί τοις εκατό	Μέγιστη ώση ανόδου	FLAP_5			210	55
7773ER	ICAO_A	1	5	Επιτάχυνση επί τοις εκατό	Μέγιστη ώση ανόδου	FLAP_1			220	55

▼**M2**

ACFTID	Profile_ID (Προφίλ αναχώρησης)	Μήκος καλυπτόμενης διαδρομής	Αριθμός σταδίου	Είδος σταδίου	Μέγεθος ώσης	Flap_ID (Θέση πτερυγίων καμπυλότητας)	Οροφή ανόδου (ft)	Ρυθμός ανόδου (ft/min)	Διακριβωμένη ταχύτητα αέρα στην οροφή ανόδου (kt)	Ποσοστό επιτάχυνσης (%)
7773ER	ICAO_A	1	6	Άνοδος	Μέγιστη ώση ανόδου	FLAP_1	4 400			
7773ER	ICAO_A	1	7	Επιτάχυνση επί τοις εκατό	Μέγιστη ώση ανόδου	FLAP_0			250	50
7773ER	ICAO_A	1	8	Άνοδος	Μέγιστη ώση ανόδου	FLAP_0	10 000			
7773ER	ICAO_A	2	1	Απογείωση	Μέγιστη ώση απογείωσης	FLAP_5				
7773ER	ICAO_A	2	2	Άνοδος	Μέγιστη ώση απογείωσης	FLAP_5	1 500			
7773ER	ICAO_A	2	3	Άνοδος	Μέγιστη ώση ανόδου	FLAP_5	3 000			
7773ER	ICAO_A	2	4	Επιτάχυνση επί τοις εκατό	Μέγιστη ώση ανόδου	FLAP_5			220	55
7773ER	ICAO_A	2	5	Επιτάχυνση επί τοις εκατό	Μέγιστη ώση ανόδου	FLAP_1			230	55
7773ER	ICAO_A	2	6	Άνοδος	Μέγιστη ώση ανόδου	FLAP_1	4 300			
7773ER	ICAO_A	2	7	Επιτάχυνση επί τοις εκατό	Μέγιστη ώση ανόδου	FLAP_0			250	50
7773ER	ICAO_A	2	8	Άνοδος	Μέγιστη ώση ανόδου	FLAP_0	10 000			
7773ER	ICAO_A	3	1	Απογείωση	Μέγιστη ώση απογείωσης	FLAP_5				
7773ER	ICAO_A	3	2	Άνοδος	Μέγιστη ώση απογείωσης	FLAP_5	1 500			

▼**M2**

ACFTID	Profile_ID (Προφίλ αναχώρησης)	Μήκος καλυπτόμενης διαδρομής	Αριθμός σταδίου	Είδος σταδίου	Μέγεθος ώσης	Flap_ID (Θέση πτερυγίων καμπυλότητας)	Οροφή ανόδου (ft)	Ρυθμός ανόδου (ft/min)	Διακριβωμένη ταχύτητα αέρα στην οροφή ανόδου (kt)	Ποσοστό επιτάχυνσης (%)
7773ER	ICAO_A	3	3	Άνοδος	Μέγιστη ώση ανόδου	FLAP_5	3 000			
7773ER	ICAO_A	3	4	Επιτάχυνση επί τοις εκατό	Μέγιστη ώση ανόδου	FLAP_5			220	55
7773ER	ICAO_A	3	5	Επιτάχυνση επί τοις εκατό	Μέγιστη ώση ανόδου	FLAP_1			230	55
7773ER	ICAO_A	3	6	Άνοδος	Μέγιστη ώση ανόδου	FLAP_1	4 200			
7773ER	ICAO_A	3	7	Επιτάχυνση επί τοις εκατό	Μέγιστη ώση ανόδου	FLAP_0			250	50
7773ER	ICAO_A	3	8	Άνοδος	Μέγιστη ώση ανόδου	FLAP_0	10 000			
7773ER	ICAO_A	4	1	Απογείωση	Μέγιστη ώση απογείωσης	FLAP_5				
7773ER	ICAO_A	4	2	Άνοδος	Μέγιστη ώση απογείωσης	FLAP_5	1 500			
7773ER	ICAO_A	4	3	Άνοδος	Μέγιστη ώση ανόδου	FLAP_5	3 000			
7773ER	ICAO_A	4	4	Επιτάχυνση επί τοις εκατό	Μέγιστη ώση ανόδου	FLAP_5			220	55
7773ER	ICAO_A	4	5	Επιτάχυνση επί τοις εκατό	Μέγιστη ώση ανόδου	FLAP_1			230	55
7773ER	ICAO_A	4	6	Άνοδος	Μέγιστη ώση ανόδου	FLAP_1	4 100			
7773ER	ICAO_A	4	7	Επιτάχυνση επί τοις εκατό	Μέγιστη ώση ανόδου	FLAP_0			250	50

▼**M2**

ACFTID	Profile_ID (Προφίλ αναχώρησης)	Μήκος καλυπτόμενης διαδρομής	Αριθμός σταδίου	Είδος σταδίου	Μέγεθος ώσης	Flap_ID (Θέση πτερυγίων καμπυλότητας)	Οροφή ανόδου (ft)	Ρυθμός ανόδου (ft/min)	Διακριβωμένη ταχύτητα αέρα στην οροφή ανόδου (kt)	Ποσοστό επιτάχυνσης (%)
7773ER	ICAO_A	4	8	Άνοδος	Μέγιστη ώση ανόδου	FLAP_0	10 000			
7773ER	ICAO_A	5	1	Απογείωση	Μέγιστη ώση απογείωσης	FLAP_5				
7773ER	ICAO_A	5	2	Άνοδος	Μέγιστη ώση απογείωσης	FLAP_5	1 500			
7773ER	ICAO_A	5	3	Άνοδος	Μέγιστη ώση ανόδου	FLAP_5	3 000			
7773ER	ICAO_A	5	4	Επιτάχυνση επί τοις εκατό	Μέγιστη ώση ανόδου	FLAP_5			220	55
7773ER	ICAO_A	5	5	Επιτάχυνση επί τοις εκατό	Μέγιστη ώση ανόδου	FLAP_1			230	55
7773ER	ICAO_A	5	6	Επιτάχυνση επί τοις εκατό	Μέγιστη ώση ανόδου	FLAP_0			250	50
7773ER	ICAO_A	5	7	Άνοδος	Μέγιστη ώση ανόδου	FLAP_0	10 000			
7773ER	ICAO_A	6	1	Απογείωση	Μέγιστη ώση απογείωσης	FLAP_5				
7773ER	ICAO_A	6	2	Άνοδος	Μέγιστη ώση απογείωσης	FLAP_5	1 500			
7773ER	ICAO_A	6	3	Άνοδος	Μέγιστη ώση ανόδου	FLAP_5	3 000			
7773ER	ICAO_A	6	4	Επιτάχυνση επί τοις εκατό	Μέγιστη ώση ανόδου	FLAP_5			220	55
7773ER	ICAO_A	6	5	Επιτάχυνση επί τοις εκατό	Μέγιστη ώση ανόδου	FLAP_1			230	55

▼**M2**

ACFTID	Profile_ID (Προφίλ αναχώρησης)	Μήκος καλυπτόμενης διαδρομής	Αριθμός σταδίου	Είδος σταδίου	Μέγεθος ώσης	Flap_ID (Θέση πτερυγίων καμπυλότητας)	Οροφή ανόδου (ft)	Ρυθμός ανόδου (ft/min)	Διακριβωμένη ταχύτητα αέρα στην οροφή ανόδου (kt)	Ποσοστό επιτάχυνσης (%)
7773ER	ICAO_A	6	6	Επιτάχυνση επί τοις εκατό	Μέγιστη ώση ανόδου	FLAP_0			250	50
7773ER	ICAO_A	6	7	Άνοδος	Μέγιστη ώση ανόδου	FLAP_0	10 000			
7773ER	ICAO_A	7	1	Απογείωση	Μέγιστη ώση απογείωσης	FLAP_5				
7773ER	ICAO_A	7	2	Άνοδος	Μέγιστη ώση απογείωσης	FLAP_5	1 500			
7773ER	ICAO_A	7	3	Άνοδος	Μέγιστη ώση ανόδου	FLAP_5	3 000			
7773ER	ICAO_A	7	4	Επιτάχυνση επί τοις εκατό	Μέγιστη ώση ανόδου	FLAP_5			220	55
7773ER	ICAO_A	7	5	Επιτάχυνση επί τοις εκατό	Μέγιστη ώση ανόδου	FLAP_1			230	55
7773ER	ICAO_A	7	6	Επιτάχυνση επί τοις εκατό	Μέγιστη ώση ανόδου	FLAP_0			250	50
7773ER	ICAO_A	7	7	Άνοδος	Μέγιστη ώση ανόδου	FLAP_0	10 000			
7773ER	ICAO_A	8	1	Απογείωση	Μέγιστη ώση απογείωσης	FLAP_5				
7773ER	ICAO_A	8	2	Άνοδος	Μέγιστη ώση απογείωσης	FLAP_5	1 500			
7773ER	ICAO_A	8	3	Άνοδος	Μέγιστη ώση ανόδου	FLAP_5	3 000			
7773ER	ICAO_A	8	4	Επιτάχυνση επί τοις εκατό	Μέγιστη ώση ανόδου	FLAP_5			220	55

▼**M2**

ACFTID	Profile_ID (Προφίλ αναχώρησης)	Μήκος καλυπτόμενης διαδρομής	Αριθμός σταδίου	Είδος σταδίου	Μέγεθος ώσης	Flap_ID (Θέση πτερυγίων καμπυλότητας)	Οροφή ανόδου (ft)	Ρυθμός ανόδου (ft/min)	Διακριβωμένη ταχύτητα αέρα στην οροφή ανόδου (kt)	Ποσοστό επιτάχυνσης (%)
7773ER	ICAO_A	8	5	Επιτάχυνση επί τοις εκατό	Μέγιστη ώση ανόδου	FLAP_1			230	55
7773ER	ICAO_A	8	6	Επιτάχυνση επί τοις εκατό	Μέγιστη ώση ανόδου	FLAP_0			255	50
7773ER	ICAO_A	8	7	Άνοδος	Μέγιστη ώση ανόδου	FLAP_0	10 000			
7773ER	ICAO_A	9	1	Απογείωση	Μέγιστη ώση απογείωσης	FLAP_5				
7773ER	ICAO_A	9	2	Άνοδος	Μέγιστη ώση απογείωσης	FLAP_5	1 500			
7773ER	ICAO_A	9	3	Άνοδος	Μέγιστη ώση ανόδου	FLAP_5	3 000			
7773ER	ICAO_A	9	4	Επιτάχυνση επί τοις εκατό	Μέγιστη ώση ανόδου	FLAP_5			230	55
7773ER	ICAO_A	9	5	Επιτάχυνση επί τοις εκατό	Μέγιστη ώση ανόδου	FLAP_1			240	55
7773ER	ICAO_A	9	6	Επιτάχυνση επί τοις εκατό	Μέγιστη ώση ανόδου	FLAP_0			260	50
7773ER	ICAO_A	9	7	Άνοδος	Μέγιστη ώση ανόδου	FLAP_0	10 000			
7773ER	ICAO_B	1	1	Απογείωση	Μέγιστη ώση απογείωσης	FLAP_5				
7773ER	ICAO_B	1	2	Άνοδος	Μέγιστη ώση απογείωσης	FLAP_5	1 434			
7773ER	ICAO_B	1	3	Επιτάχυνση επί τοις εκατό	Μέγιστη ώση απογείωσης	FLAP_5			223	55

▼**M2**

ACFTID	Profile_ID (Προφίλ αναχώρησης)	Μήκος καλυπτόμενης διαδρομής	Αριθμός σταδίου	Είδος σταδίου	Μέγεθος ώσης	Flap_ID (Θέση πτερυγίων καμπυλότητας)	Οροφή ανόδου (ft)	Ρυθμός ανόδου (ft/min)	Διακριβωμένη ταχύτητα αέρα στην οροφή ανόδου (kt)	Ποσοστό επιτάχυνσης (%)
7773ER	ICAO_B	1	4	Άνοδος	Μέγιστη ώση απογείωσης	FLAP_1	3 564			
7773ER	ICAO_B	1	5	Επιτάχυνση επί τοις εκατό	Μέγιστη ώση ανόδου	FLAP_0			240	50
7773ER	ICAO_B	1	6	Επιτάχυνση επί τοις εκατό	Μέγιστη ώση ανόδου	FLAP_0			250	50
7773ER	ICAO_B	1	7	Άνοδος	Μέγιστη ώση ανόδου	FLAP_0	10 000			
7773ER	ICAO_B	2	1	Απογείωση	Μέγιστη ώση απογείωσης	FLAP_5				
7773ER	ICAO_B	2	2	Άνοδος	Μέγιστη ώση απογείωσης	FLAP_5	1 396			
7773ER	ICAO_B	2	3	Επιτάχυνση επί τοις εκατό	Μέγιστη ώση απογείωσης	FLAP_5			225	55
7773ER	ICAO_B	2	4	Άνοδος	Μέγιστη ώση απογείωσης	FLAP_1	3 442			
7773ER	ICAO_B	2	5	Επιτάχυνση επί τοις εκατό	Μέγιστη ώση ανόδου	FLAP_0			240	50
7773ER	ICAO_B	2	6	Επιτάχυνση επί τοις εκατό	Μέγιστη ώση ανόδου	FLAP_0			250	50
7773ER	ICAO_B	2	7	Άνοδος	Μέγιστη ώση ανόδου	FLAP_0	10 000			
7773ER	ICAO_B	3	1	Απογείωση	Μέγιστη ώση απογείωσης	FLAP_5				
7773ER	ICAO_B	3	2	Άνοδος	Μέγιστη ώση απογείωσης	FLAP_5	1 355			

▼**M2**

ACFTID	Profile_ID (Προφίλ αναχώρησης)	Μήκος καλυπτόμενης διαδρομής	Αριθμός σταδίου	Είδος σταδίου	Μέγεθος ώσης	Flap_ID (Θέση πτερυγίων καμπυλότητας)	Οροφή ανόδου (ft)	Ρυθμός ανόδου (ft/min)	Διακριβωμένη ταχύτητα αέρα στην οροφή ανόδου (kt)	Ποσοστό επιτάχυνσης (%)
7773ER	ICAO_B	3	3	Επιτάχυνση επί τοις εκατό	Μέγιστη ώση απογείωσης	FLAP_5			228	55
7773ER	ICAO_B	3	4	Άνοδος	Μέγιστη ώση απογείωσης	FLAP_1	3 314			
7773ER	ICAO_B	3	5	Επιτάχυνση επί τοις εκατό	Μέγιστη ώση ανόδου	FLAP_0			240	50
7773ER	ICAO_B	3	6	Επιτάχυνση επί τοις εκατό	Μέγιστη ώση ανόδου	FLAP_0			250	50
7773ER	ICAO_B	3	7	Άνοδος	Μέγιστη ώση ανόδου	FLAP_0	10 000			
7773ER	ICAO_B	4	1	Απογείωση	Μέγιστη ώση απογείωσης	FLAP_5				
7773ER	ICAO_B	4	2	Άνοδος	Μέγιστη ώση απογείωσης	FLAP_5	1 289			
7773ER	ICAO_B	4	3	Επιτάχυνση επί τοις εκατό	Μέγιστη ώση απογείωσης	FLAP_5			231	55
7773ER	ICAO_B	4	4	Άνοδος	Μέγιστη ώση απογείωσης	FLAP_1	3 104			
7773ER	ICAO_B	4	5	Επιτάχυνση επί τοις εκατό	Μέγιστη ώση ανόδου	FLAP_0			240	50
7773ER	ICAO_B	4	6	Επιτάχυνση επί τοις εκατό	Μέγιστη ώση ανόδου	FLAP_0			250	50
7773ER	ICAO_B	4	7	Άνοδος	Μέγιστη ώση ανόδου	FLAP_0	10 000			
7773ER	ICAO_B	5	1	Απογείωση	Μέγιστη ώση απογείωσης	FLAP_5				
7773ER	ICAO_B	5	2	Άνοδος	Μέγιστη ώση απογείωσης	FLAP_5	1 214			

▼**M2**

ACFTID	Profile_ID (Προφίλ αναχώρησης)	Μήκος καλυπτόμενης διαδρομής	Αριθμός σταδίου	Είδος σταδίου	Μέγεθος ώσης	Flap_ID (Θέση πτερυγίων καμπυλότητας)	Οροφή ανόδου (ft)	Ρυθμός ανόδου (ft/min)	Διακριβωμένη ταχύτητα αέρα στην οροφή ανόδου (kt)	Ποσοστό επιτάχυνσης (%)
7773ER	ICAO_B	5	3	Επιτάχυνση επί τοις εκατό	Μέγιστη ώση απογείωσης	FLAP_5			236	55
7773ER	ICAO_B	5	4	Άνοδος	Μέγιστη ώση απογείωσης	FLAP_1	3 000			
7773ER	ICAO_B	5	5	Επιτάχυνση επί τοις εκατό	Μέγιστη ώση ανόδου	FLAP_0			245	50
7773ER	ICAO_B	5	6	Επιτάχυνση επί τοις εκατό	Μέγιστη ώση ανόδου	FLAP_0			250	50
7773ER	ICAO_B	5	7	Άνοδος	Μέγιστη ώση ανόδου	FLAP_0	10 000			
7773ER	ICAO_B	6	1	Απογείωση	Μέγιστη ώση απογείωσης	FLAP_5				
7773ER	ICAO_B	6	2	Άνοδος	Μέγιστη ώση απογείωσης	FLAP_5	1 138			
7773ER	ICAO_B	6	3	Επιτάχυνση επί τοις εκατό	Μέγιστη ώση απογείωσης	FLAP_5			241	55
7773ER	ICAO_B	6	4	Άνοδος	Μέγιστη ώση απογείωσης	FLAP_1	3 000			
7773ER	ICAO_B	6	5	Επιτάχυνση επί τοις εκατό	Μέγιστη ώση ανόδου	FLAP_0			250	50
7773ER	ICAO_B	6	6	Άνοδος	Μέγιστη ώση ανόδου	FLAP_0	10 000			
7773ER	ICAO_B	7	1	Απογείωση	Μέγιστη ώση απογείωσης	FLAP_5				
7773ER	ICAO_B	7	2	Άνοδος	Μέγιστη ώση απογείωσης	FLAP_5	1 067			
7773ER	ICAO_B	7	3	Επιτάχυνση επί τοις εκατό	Μέγιστη ώση απογείωσης	FLAP_5			249	55

▼**M2**

ACFTID	Profile_ID (Προφίλ αναχώρησης)	Μήκος καλυπτόμενης διαδρομής	Αριθμός σταδίου	Είδος σταδίου	Μέγεθος ώσης	Flap_ID (Θέση πτερυγίων καμπυλότητας)	Οροφή ανόδου (ft)	Ρυθμός ανόδου (ft/min)	Διακριβωμένη ταχύτητα αέρα στην οροφή ανόδου (kt)	Ποσοστό επιτάχυνσης (%)
7773ER	ICAO_B	7	4	Άνοδος	Μέγιστη ώση απογείωσης	FLAP_1	2 451			
7773ER	ICAO_B	7	5	Επιτάχυνση επί τοις εκατό	Μέγιστη ώση ανόδου	FLAP_1			250	55
7773ER	ICAO_B	7	6	Άνοδος	Μέγιστη ώση ανόδου	FLAP_0	3 000			
7773ER	ICAO_B	7	7	Άνοδος	Μέγιστη ώση ανόδου	FLAP_0	10 000			
7773ER	ICAO_B	8	1	Απογείωση	Μέγιστη ώση απογείωσης	FLAP_5				
7773ER	ICAO_B	8	2	Άνοδος	Μέγιστη ώση απογείωσης	FLAP_5	1 000			
7773ER	ICAO_B	8	3	Επιτάχυνση επί τοις εκατό	Μέγιστη ώση απογείωσης	FLAP_5			257	55
7773ER	ICAO_B	8	4	Άνοδος	Μέγιστη ώση απογείωσης	FLAP_1	2 280			
7773ER	ICAO_B	8	5	Επιτάχυνση επί τοις εκατό	Μέγιστη ώση ανόδου	FLAP_1			257	55
7773ER	ICAO_B	8	6	Άνοδος	Μέγιστη ώση ανόδου	FLAP_0	3 000			
7773ER	ICAO_B	8	7	Άνοδος	Μέγιστη ώση ανόδου	FLAP_0	10 000			
7773ER	ICAO_B	9	1	Απογείωση	Μέγιστη ώση απογείωσης	FLAP_5				
7773ER	ICAO_B	9	2	Άνοδος	Μέγιστη ώση απογείωσης	FLAP_5	1 000			

▼**M2**

ACFTID	Profile_ID (Προφίλ αναχώρησης)	Μήκος καλυπτόμενης διαδρομής	Αριθμός σταδίου	Είδος σταδίου	Μέγεθος ώσης	Flap_ID (Θέση πτερυγίων καμπυλότητας)	Οροφή ανόδου (ft)	Ρυθμός ανόδου (ft/min)	Διακριβωμένη ταχύτητα αέρα στην οροφή ανόδου (kt)	Ποσοστό επιτάχυνσης (%)
7773ER	ICAO_B	9	3	Επιτάχυνση επί τοις εκατό	Μέγιστη ώση απογείωσης	FLAP_5			261	55
7773ER	ICAO_B	9	4	Άνοδος	Μέγιστη ώση απογείωσης	FLAP_1	2 180			
7773ER	ICAO_B	9	5	Επιτάχυνση επί τοις εκατό	Μέγιστη ώση ανόδου	FLAP_1			262	55
7773ER	ICAO_B	9	6	Άνοδος	Μέγιστη ώση ανόδου	FLAP_0	3 000			
7773ER	ICAO_B	9	7	Άνοδος	Μέγιστη ώση ανόδου	FLAP_0	10 000			
7878R	DEFAULT	1	1	Απογείωση	Μέγιστη ώση απογείωσης	FLAP_5				
7878R	DEFAULT	1	2	Άνοδος	Μέγιστη ώση απογείωσης	FLAP_5	1 000			
7878R	DEFAULT	1	3	Επιτάχυνση επί τοις εκατό	Μέγιστη ώση ανόδου	FLAP_5			214	55
7878R	DEFAULT	1	4	Επιτάχυνση επί τοις εκατό	Μέγιστη ώση ανόδου	FLAP_1			225	55
7878R	DEFAULT	1	5	Άνοδος	Μέγιστη ώση ανόδου	FLAP_0	3 000			
7878R	DEFAULT	1	6	Επιτάχυνση επί τοις εκατό	Μέγιστη ώση ανόδου	FLAP_0			250	50
7878R	DEFAULT	1	7	Άνοδος	Μέγιστη ώση ανόδου	FLAP_0	10 000			
7878R	DEFAULT	2	1	Απογείωση	Μέγιστη ώση απογείωσης	FLAP_5				
7878R	DEFAULT	2	2	Άνοδος	Μέγιστη ώση απογείωσης	FLAP_5	1 000			

▼**M2**

ACFTID	Profile_ID (Προφίλ αναχώρησης)	Μήκος καλυπτόμενης διαδρομής	Αριθμός σταδίου	Είδος σταδίου	Μέγεθος ώσης	Flap_ID (Θέση πτερυγίων καμπυλότητας)	Οροφή ανόδου (ft)	Ρυθμός ανόδου (ft/min)	Διακριβωμένη ταχύτητα αέρα στην οροφή ανόδου (kt)	Ποσοστό επιτάχυνσης (%)
7878R	DEFAULT	2	3	Επιτάχυνση επί τοις εκατό	Μέγιστη ώση ανόδου	FLAP_5			214	55
7878R	DEFAULT	2	4	Επιτάχυνση επί τοις εκατό	Μέγιστη ώση ανόδου	FLAP_1			222	55
7878R	DEFAULT	2	5	Άνοδος	Μέγιστη ώση ανόδου	FLAP_0	3 000			
7878R	DEFAULT	2	6	Επιτάχυνση επί τοις εκατό	Μέγιστη ώση ανόδου	FLAP_0			250	50
7878R	DEFAULT	2	7	Άνοδος	Μέγιστη ώση ανόδου	FLAP_0	10 000			
7878R	DEFAULT	3	1	Απογείωση	Μέγιστη ώση απογείωσης	FLAP_5				
7878R	DEFAULT	3	2	Άνοδος	Μέγιστη ώση απογείωσης	FLAP_5	1 000			
7878R	DEFAULT	3	3	Επιτάχυνση επί τοις εκατό	Μέγιστη ώση ανόδου	FLAP_5			215	55
7878R	DEFAULT	3	4	Επιτάχυνση επί τοις εκατό	Μέγιστη ώση ανόδου	FLAP_1			230	55
7878R	DEFAULT	3	5	Άνοδος	Μέγιστη ώση ανόδου	FLAP_0	3 000			
7878R	DEFAULT	3	6	Επιτάχυνση επί τοις εκατό	Μέγιστη ώση ανόδου	FLAP_0			250	50
7878R	DEFAULT	3	7	Άνοδος	Μέγιστη ώση ανόδου	FLAP_0	10 000			
7878R	DEFAULT	4	1	Απογείωση	Μέγιστη ώση απογείωσης	FLAP_5				

▼**M2**

ACFTID	Profile_ID (Προφίλ αναχώρησης)	Μήκος καλυπτόμενης διαδρομής	Αριθμός σταδίου	Είδος σταδίου	Μέγεθος ώσης	Flap_ID (Θέση πτερυγίων καμπυλότητας)	Οροφή ανόδου (ft)	Ρυθμός ανόδου (ft/min)	Διακριβωμένη ταχύτητα αέρα στην οροφή ανόδου (kt)	Ποσοστό επιτάχυνσης (%)
7878R	DEFAULT	4	2	Άνοδος	Μέγιστη ώση απογείωσης	FLAP_5	1 000			
7878R	DEFAULT	4	3	Επιτάχυνση επί τοις εκατό	Μέγιστη ώση ανόδου	FLAP_5			215	55
7878R	DEFAULT	4	4	Επιτάχυνση επί τοις εκατό	Μέγιστη ώση ανόδου	FLAP_1			228	55
7878R	DEFAULT	4	5	Άνοδος	Μέγιστη ώση ανόδου	FLAP_0	3 000			
7878R	DEFAULT	4	6	Επιτάχυνση επί τοις εκατό	Μέγιστη ώση ανόδου	FLAP_0			250	50
7878R	DEFAULT	4	7	Άνοδος	Μέγιστη ώση ανόδου	FLAP_0	10 000			
7878R	DEFAULT	5	1	Απογείωση	Μέγιστη ώση απογείωσης	FLAP_5				
7878R	DEFAULT	5	2	Άνοδος	Μέγιστη ώση απογείωσης	FLAP_5	1 000			
7878R	DEFAULT	5	3	Επιτάχυνση επί τοις εκατό	Μέγιστη ώση ανόδου	FLAP_5			218	55
7878R	DEFAULT	5	4	Επιτάχυνση επί τοις εκατό	Μέγιστη ώση ανόδου	FLAP_1			235	55
7878R	DEFAULT	5	5	Άνοδος	Μέγιστη ώση ανόδου	FLAP_0	3 000			
7878R	DEFAULT	5	6	Επιτάχυνση επί τοις εκατό	Μέγιστη ώση ανόδου	FLAP_0			250	50
7878R	DEFAULT	5	7	Άνοδος	Μέγιστη ώση ανόδου	FLAP_0	10 000			

▼**M2**

ACFTID	Profile_ID (Προφίλ αναχώρησης)	Μήκος καλυπτόμενης διαδρομής	Αριθμός σταδίου	Είδος σταδίου	Μέγεθος ώσης	Flap_ID (Θέση πτερυγίων καμπυλότητας)	Οροφή ανόδου (ft)	Ρυθμός ανόδου (ft/min)	Διακριβωμένη ταχύτητα αέρα στην οροφή ανόδου (kt)	Ποσοστό επιτάχυνσης (%)
7878R	DEFAULT	6	1	Απογείωση	Μέγιστη ώση απογείωσης	FLAP_5				
7878R	DEFAULT	6	2	Άνοδος	Μέγιστη ώση απογείωσης	FLAP_5	1 000			
7878R	DEFAULT	6	3	Επιτάχυνση επί τοις εκατό	Μέγιστη ώση ανόδου	FLAP_5			220	55
7878R	DEFAULT	6	4	Επιτάχυνση επί τοις εκατό	Μέγιστη ώση ανόδου	FLAP_1			238	55
7878R	DEFAULT	6	5	Άνοδος	Μέγιστη ώση ανόδου	FLAP_0	3 000			
7878R	DEFAULT	6	6	Επιτάχυνση επί τοις εκατό	Μέγιστη ώση ανόδου	FLAP_0			250	50
7878R	DEFAULT	6	7	Άνοδος	Μέγιστη ώση ανόδου	FLAP_0	10 000			
7878R	DEFAULT	7	1	Απογείωση	Μέγιστη ώση απογείωσης	FLAP_5				
7878R	DEFAULT	7	2	Άνοδος	Μέγιστη ώση απογείωσης	FLAP_5	1 000			
7878R	DEFAULT	7	3	Επιτάχυνση επί τοις εκατό	Μέγιστη ώση ανόδου	FLAP_5			224	55
7878R	DEFAULT	7	4	Επιτάχυνση επί τοις εκατό	Μέγιστη ώση ανόδου	FLAP_1			243	55
7878R	DEFAULT	7	5	Άνοδος	Μέγιστη ώση ανόδου	FLAP_0	3 000			
7878R	DEFAULT	7	6	Επιτάχυνση επί τοις εκατό	Μέγιστη ώση ανόδου	FLAP_0			250	50

▼**M2**

ACFTID	Profile_ID (Προφίλ αναχώρησης)	Μήκος καλυπτόμενης διαδρομής	Αριθμός σταδίου	Είδος σταδίου	Μέγεθος ώσης	Flap_ID (Θέση πτερυγίων καμπυλότητας)	Οροφή ανόδου (ft)	Ρυθμός ανόδου (ft/min)	Διακριβωμένη ταχύτητα αέρα στην οροφή ανόδου (kt)	Ποσοστό επιτάχυνσης (%)
7878R	DEFAULT	7	7	Άνοδος	Μέγιστη ώση ανόδου	FLAP_0	10 000			
7878R	DEFAULT	8	1	Απογείωση	Μέγιστη ώση απογείωσης	FLAP_5				
7878R	DEFAULT	8	2	Άνοδος	Μέγιστη ώση απογείωσης	FLAP_5	1 000			
7878R	DEFAULT	8	3	Επιτάχυνση επί τοις εκατό	Μέγιστη ώση ανόδου	FLAP_5			226	55
7878R	DEFAULT	8	4	Επιτάχυνση επί τοις εκατό	Μέγιστη ώση ανόδου	FLAP_1			246	55
7878R	DEFAULT	8	5	Άνοδος	Μέγιστη ώση ανόδου	FLAP_0	3 000			
7878R	DEFAULT	8	6	Επιτάχυνση επί τοις εκατό	Μέγιστη ώση ανόδου	FLAP_0			250	50
7878R	DEFAULT	8	7	Άνοδος	Μέγιστη ώση ανόδου	FLAP_0	10 000			
7878R	DEFAULT	9	1	Απογείωση	Μέγιστη ώση απογείωσης	FLAP_5				
7878R	DEFAULT	9	2	Άνοδος	Μέγιστη ώση απογείωσης	FLAP_5	1 000			
7878R	DEFAULT	9	3	Επιτάχυνση επί τοις εκατό	Μέγιστη ώση ανόδου	FLAP_5			230	55
7878R	DEFAULT	9	4	Επιτάχυνση επί τοις εκατό	Μέγιστη ώση ανόδου	FLAP_1			245	55
7878R	DEFAULT	9	5	Άνοδος	Μέγιστη ώση ανόδου	FLAP_0	3 000			

▼**M2**

ACFTID	Profile_ID (Προφίλ αναχώρησης)	Μήκος καλυπτόμενης διαδρομής	Αριθμός σταδίου	Είδος σταδίου	Μέγεθος ώσης	Flap_ID (Θέση πτερυγίων καμπυλότητας)	Οροφή ανόδου (ft)	Ρυθμός ανόδου (ft/min)	Διακριβωμένη ταχύτητα αέρα στην οροφή ανόδου (kt)	Ποσοστό επιτάχυνσης (%)
7878R	DEFAULT	9	6	Επιτάχυνση επί τοις εκατό	Μέγιστη ώση ανόδου	FLAP_0			250	50
7878R	DEFAULT	9	7	Άνοδος	Μέγιστη ώση ανόδου	FLAP_0	10 000			
7878R	ICAO_A	1	1	Απογείωση	Μέγιστη ώση απογείωσης	FLAP_5				
7878R	ICAO_A	1	2	Άνοδος	Μέγιστη ώση απογείωσης	FLAP_5	1 500			
7878R	ICAO_A	1	3	Άνοδος	Μέγιστη ώση ανόδου	FLAP_5	3 000			
7878R	ICAO_A	1	4	Επιτάχυνση επί τοις εκατό	Μέγιστη ώση ανόδου	FLAP_5			220	55
7878R	ICAO_A	1	5	Άνοδος	Μέγιστη ώση ανόδου	FLAP_1	4 500			
7878R	ICAO_A	1	6	Επιτάχυνση επί τοις εκατό	Μέγιστη ώση ανόδου	FLAP_0			250	50
7878R	ICAO_A	1	7	Άνοδος	Μέγιστη ώση ανόδου	FLAP_0	10 000			
7878R	ICAO_A	2	1	Απογείωση	Μέγιστη ώση απογείωσης	FLAP_5				
7878R	ICAO_A	2	2	Άνοδος	Μέγιστη ώση απογείωσης	FLAP_5	1 500			
7878R	ICAO_A	2	3	Άνοδος	Μέγιστη ώση ανόδου	FLAP_5	3 000			
7878R	ICAO_A	2	4	Επιτάχυνση επί τοις εκατό	Μέγιστη ώση ανόδου	FLAP_5			220	55

▼**M2**

ACFTID	Profile_ID (Προφίλ αναχώρησης)	Μήκος καλυπτόμενης διαδρομής	Αριθμός σταδίου	Είδος σταδίου	Μέγεθος ώσης	Flap_ID (Θέση πτερυγίων καμπυλότητας)	Οροφή ανόδου (ft)	Ρυθμός ανόδου (ft/min)	Διακριβωμένη ταχύτητα αέρα στην οροφή ανόδου (kt)	Ποσοστό επιτάχυνσης (%)
7878R	ICAO_A	2	5	Άνοδος	Μέγιστη ώση ανόδου	FLAP_1	4 400			
7878R	ICAO_A	2	6	Επιτάχυνση επί τοις εκατό	Μέγιστη ώση ανόδου	FLAP_0			250	50
7878R	ICAO_A	2	7	Άνοδος	Μέγιστη ώση ανόδου	FLAP_0	10 000			
7878R	ICAO_A	3	1	Απογείωση	Μέγιστη ώση απογείωσης	FLAP_5				
7878R	ICAO_A	3	2	Άνοδος	Μέγιστη ώση απογείωσης	FLAP_5	1 500			
7878R	ICAO_A	3	3	Άνοδος	Μέγιστη ώση ανόδου	FLAP_5	3 000			
7878R	ICAO_A	3	4	Επιτάχυνση επί τοις εκατό	Μέγιστη ώση ανόδου	FLAP_5			220	55
7878R	ICAO_A	3	5	Άνοδος	Μέγιστη ώση ανόδου	FLAP_1	4 400			
7878R	ICAO_A	3	6	Επιτάχυνση επί τοις εκατό	Μέγιστη ώση ανόδου	FLAP_0			250	50
7878R	ICAO_A	3	7	Άνοδος	Μέγιστη ώση ανόδου	FLAP_0	10 000			
7878R	ICAO_A	4	1	Απογείωση	Μέγιστη ώση απογείωσης	FLAP_5				
7878R	ICAO_A	4	2	Άνοδος	Μέγιστη ώση απογείωσης	FLAP_5	1 500			
7878R	ICAO_A	4	3	Άνοδος	Μέγιστη ώση ανόδου	FLAP_5	3 000			

▼**M2**

ACFTID	Profile_ID (Προφίλ αναχώρησης)	Μήκος καλυπτόμενης διαδρομής	Αριθμός σταδίου	Είδος σταδίου	Μέγεθος ώσης	Flap_ID (Θέση πτερυγίων καμπυλότητας)	Οροφή ανόδου (ft)	Ρυθμός ανόδου (ft/min)	Διακριβωμένη ταχύτητα αέρα στην οροφή ανόδου (kt)	Ποσοστό επιτάχυνσης (%)
7878R	ICAO_A	4	4	Επιτάχυνση επί τοις εκατό	Μέγιστη ώση ανόδου	FLAP_5			220	55
7878R	ICAO_A	4	5	Άνοδος	Μέγιστη ώση ανόδου	FLAP_1	4 300			
7878R	ICAO_A	4	6	Επιτάχυνση επί τοις εκατό	Μέγιστη ώση ανόδου	FLAP_0			250	50
7878R	ICAO_A	4	7	Άνοδος	Μέγιστη ώση ανόδου	FLAP_0	10 000			
7878R	ICAO_A	5	1	Απογείωση	Μέγιστη ώση απογείωσης	FLAP_5				
7878R	ICAO_A	5	2	Άνοδος	Μέγιστη ώση απογείωσης	FLAP_5	1 500			
7878R	ICAO_A	5	3	Άνοδος	Μέγιστη ώση ανόδου	FLAP_5	3 000			
7878R	ICAO_A	5	4	Επιτάχυνση επί τοις εκατό	Μέγιστη ώση ανόδου	FLAP_5			224	55
7878R	ICAO_A	5	5	Άνοδος	Μέγιστη ώση ανόδου	FLAP_1	4 200			
7878R	ICAO_A	5	6	Επιτάχυνση επί τοις εκατό	Μέγιστη ώση ανόδου	FLAP_0			250	50
7878R	ICAO_A	5	7	Άνοδος	Μέγιστη ώση ανόδου	FLAP_0	10 000			
7878R	ICAO_A	6	1	Απογείωση	Μέγιστη ώση απογείωσης	FLAP_5				
7878R	ICAO_A	6	2	Άνοδος	Μέγιστη ώση απογείωσης	FLAP_5	1 500			

▼**M2**

ACFTID	Profile_ID (Προφίλ αναχώρησης)	Μήκος καλυπτόμενης διαδρομής	Αριθμός σταδίου	Είδος σταδίου	Μέγεθος ώσης	Flap_ID (Θέση πτερυγίων καμπυλότητας)	Οροφή ανόδου (ft)	Ρυθμός ανόδου (ft/min)	Διακριβωμένη ταχύτητα αέρα στην οροφή ανόδου (kt)	Ποσοστό επιτάχυνσης (%)
7878R	ICAO_A	6	3	Άνοδος	Μέγιστη ώση ανόδου	FLAP_5	3 000			
7878R	ICAO_A	6	4	Επιτάχυνση επί τοις εκατό	Μέγιστη ώση ανόδου	FLAP_5			226	55
7878R	ICAO_A	6	5	Άνοδος	Μέγιστη ώση ανόδου	FLAP_1	4 100			
7878R	ICAO_A	6	6	Επιτάχυνση επί τοις εκατό	Μέγιστη ώση ανόδου	FLAP_0			250	50
7878R	ICAO_A	6	7	Άνοδος	Μέγιστη ώση ανόδου	FLAP_0	10 000			
7878R	ICAO_A	7	1	Απογείωση	Μέγιστη ώση απογείωσης	FLAP_5				
7878R	ICAO_A	7	2	Άνοδος	Μέγιστη ώση απογείωσης	FLAP_5	1 500			
7878R	ICAO_A	7	3	Άνοδος	Μέγιστη ώση ανόδου	FLAP_5	3 000			
7878R	ICAO_A	7	4	Επιτάχυνση επί τοις εκατό	Μέγιστη ώση ανόδου	FLAP_5			232	55
7878R	ICAO_A	7	5	Άνοδος	Μέγιστη ώση ανόδου	FLAP_1	4 000			
7878R	ICAO_A	7	6	Επιτάχυνση επί τοις εκατό	Μέγιστη ώση ανόδου	FLAP_0			250	50
7878R	ICAO_A	7	7	Άνοδος	Μέγιστη ώση ανόδου	FLAP_0	10 000			
7878R	ICAO_A	8	1	Απογείωση	Μέγιστη ώση απογείωσης	FLAP_5				

▼**M2**

ACFTID	Profile_ID (Προφίλ αναχώρησης)	Μήκος καλυπτόμενης διαδρομής	Αριθμός σταδίου	Είδος σταδίου	Μέγεθος ώσης	Flap_ID (Θέση πτερυγίων καμπυλότητας)	Οροφή ανόδου (ft)	Ρυθμός ανόδου (ft/min)	Διακριβωμένη ταχύτητα αέρα στην οροφή ανόδου (kt)	Ποσοστό επιτάχυνσης (%)
7878R	ICAO_A	8	2	Άνοδος	Μέγιστη ώση απογείωσης	FLAP_5	1 500			
7878R	ICAO_A	8	3	Άνοδος	Μέγιστη ώση ανόδου	FLAP_5	3 000			
7878R	ICAO_A	8	4	Επιτάχυνση επί τοις εκατό	Μέγιστη ώση ανόδου	FLAP_5			232	55
7878R	ICAO_A	8	5	Άνοδος	Μέγιστη ώση ανόδου	FLAP_1	4 000			
7878R	ICAO_A	8	6	Επιτάχυνση επί τοις εκατό	Μέγιστη ώση ανόδου	FLAP_0			250	50
7878R	ICAO_A	8	7	Άνοδος	Μέγιστη ώση ανόδου	FLAP_0	10 000			
7878R	ICAO_A	9	1	Απογείωση	Μέγιστη ώση απογείωσης	FLAP_5				
7878R	ICAO_A	9	2	Άνοδος	Μέγιστη ώση απογείωσης	FLAP_5	1 500			
7878R	ICAO_A	9	3	Άνοδος	Μέγιστη ώση ανόδου	FLAP_5	3 000			
7878R	ICAO_A	9	4	Επιτάχυνση επί τοις εκατό	Μέγιστη ώση ανόδου	FLAP_5			235	55
7878R	ICAO_A	9	5	Άνοδος	Μέγιστη ώση ανόδου	FLAP_1	4 000			
7878R	ICAO_A	9	6	Επιτάχυνση επί τοις εκατό	Μέγιστη ώση ανόδου	FLAP_0			250	50
7878R	ICAO_A	9	7	Άνοδος	Μέγιστη ώση ανόδου	FLAP_0	10 000			

▼**M2**

ACFTID	Profile_ID (Προφίλ αναχώρησης)	Μήκος καλυπτόμενης διαδρομής	Αριθμός σταδίου	Είδος σταδίου	Μέγεθος ώσης	Flap_ID (Θέση πτερυγίων καμπυλότητας)	Οροφή ανόδου (ft)	Ρυθμός ανόδου (ft/min)	Διακριβωμένη ταχύτητα αέρα στην οροφή ανόδου (kt)	Ποσοστό επιτάχυνσης (%)
7878R	ICAO_B	1	1	Απογείωση	Μέγιστη ώση απογείωσης	FLAP_5				
7878R	ICAO_B	1	2	Άνοδος	Μέγιστη ώση απογείωσης	FLAP_5	1 000			
7878R	ICAO_B	1	3	Επιτάχυνση επί τοις εκατό	Μέγιστη ώση απογείωσης	FLAP_5			220	55
7878R	ICAO_B	1	4	Άνοδος	Μέγιστη ώση απογείωσης	FLAP_1	2 700			
7878R	ICAO_B	1	5	Άνοδος	Μέγιστη ώση ανόδου	FLAP_0	3 000			
7878R	ICAO_B	1	6	Επιτάχυνση επί τοις εκατό	Μέγιστη ώση ανόδου	FLAP_0			250	50
7878R	ICAO_B	1	7	Άνοδος	Μέγιστη ώση ανόδου	FLAP_0	10 000			
7878R	ICAO_B	2	1	Απογείωση	Μέγιστη ώση απογείωσης	FLAP_5				
7878R	ICAO_B	2	2	Άνοδος	Μέγιστη ώση απογείωσης	FLAP_5	1 000			
7878R	ICAO_B	2	3	Επιτάχυνση επί τοις εκατό	Μέγιστη ώση απογείωσης	FLAP_5			220	55
7878R	ICAO_B	2	4	Άνοδος	Μέγιστη ώση απογείωσης	FLAP_1	2 700			
7878R	ICAO_B	2	5	Άνοδος	Μέγιστη ώση ανόδου	FLAP_0	3 000			
7878R	ICAO_B	2	6	Επιτάχυνση επί τοις εκατό	Μέγιστη ώση ανόδου	FLAP_0			250	50
7878R	ICAO_B	2	7	Άνοδος	Μέγιστη ώση ανόδου	FLAP_0	10 000			

▼**M2**

ACFTID	Profile_ID (Προφίλ αναχώρησης)	Μήκος καλυπτόμενης διαδρομής	Αριθμός σταδίου	Είδος σταδίου	Μέγεθος ώσης	Flap_ID (Θέση πτερυγίων καμπυλότητας)	Οροφή ανόδου (ft)	Ρυθμός ανόδου (ft/min)	Διακριβωμένη ταχύτητα αέρα στην οροφή ανόδου (kt)	Ποσοστό επιτάχυνσης (%)
7878R	ICAO_B	3	1	Απογείωση	Μέγιστη ώση απογείωσης	FLAP_5				
7878R	ICAO_B	3	2	Άνοδος	Μέγιστη ώση απογείωσης	FLAP_5	1 000			
7878R	ICAO_B	3	3	Επιτάχυνση επί τοις εκατό	Μέγιστη ώση απογείωσης	FLAP_5			220	55
7878R	ICAO_B	3	4	Άνοδος	Μέγιστη ώση απογείωσης	FLAP_1	2 700			
7878R	ICAO_B	3	5	Άνοδος	Μέγιστη ώση ανόδου	FLAP_0	3 000			
7878R	ICAO_B	3	6	Επιτάχυνση επί τοις εκατό	Μέγιστη ώση ανόδου	FLAP_0			250	50
7878R	ICAO_B	3	7	Άνοδος	Μέγιστη ώση ανόδου	FLAP_0	10 000			
7878R	ICAO_B	4	1	Απογείωση	Μέγιστη ώση απογείωσης	FLAP_5				
7878R	ICAO_B	4	2	Άνοδος	Μέγιστη ώση απογείωσης	FLAP_5	1 000			
7878R	ICAO_B	4	3	Επιτάχυνση επί τοις εκατό	Μέγιστη ώση απογείωσης	FLAP_5			225	55
7878R	ICAO_B	4	4	Άνοδος	Μέγιστη ώση απογείωσης	FLAP_1	2 600			
7878R	ICAO_B	4	5	Άνοδος	Μέγιστη ώση ανόδου	FLAP_0	3 000			
7878R	ICAO_B	4	6	Επιτάχυνση επί τοις εκατό	Μέγιστη ώση ανόδου	FLAP_0			250	50
7878R	ICAO_B	4	7	Άνοδος	Μέγιστη ώση ανόδου	FLAP_0	10 000			

▼**M2**

ACFTID	Profile_ID (Προφίλ αναχώρησης)	Μήκος καλυπτόμενης διαδρομής	Αριθμός σταδίου	Είδος σταδίου	Μέγεθος ώσης	Flap_ID (Θέση πτερυγίων καμπυλότητας)	Οροφή ανόδου (ft)	Ρυθμός ανόδου (ft/min)	Διακριβωμένη ταχύτητα αέρα στην οροφή ανόδου (kt)	Ποσοστό επιτάχυνσης (%)
7878R	ICAO_B	5	1	Απογείωση	Μέγιστη ώση απογείωσης	FLAP_5				
7878R	ICAO_B	5	2	Άνοδος	Μέγιστη ώση απογείωσης	FLAP_5	1 000			
7878R	ICAO_B	5	3	Επιτάχυνση επί τοις εκατό	Μέγιστη ώση απογείωσης	FLAP_5			230	55
7878R	ICAO_B	5	4	Άνοδος	Μέγιστη ώση απογείωσης	FLAP_1	2 500			
7878R	ICAO_B	5	5	Άνοδος	Μέγιστη ώση ανόδου	FLAP_0	3 000			
7878R	ICAO_B	5	6	Επιτάχυνση επί τοις εκατό	Μέγιστη ώση ανόδου	FLAP_0			250	50
7878R	ICAO_B	5	7	Άνοδος	Μέγιστη ώση ανόδου	FLAP_0	10 000			
7878R	ICAO_B	6	1	Απογείωση	Μέγιστη ώση απογείωσης	FLAP_5				
7878R	ICAO_B	6	2	Άνοδος	Μέγιστη ώση απογείωσης	FLAP_5	1 000			
7878R	ICAO_B	6	3	Επιτάχυνση επί τοις εκατό	Μέγιστη ώση απογείωσης	FLAP_5			230	55
7878R	ICAO_B	6	4	Άνοδος	Μέγιστη ώση απογείωσης	FLAP_1	2 400			
7878R	ICAO_B	6	5	Άνοδος	Μέγιστη ώση ανόδου	FLAP_0	3 000			
7878R	ICAO_B	6	6	Επιτάχυνση επί τοις εκατό	Μέγιστη ώση ανόδου	FLAP_0			250	50
7878R	ICAO_B	6	7	Άνοδος	Μέγιστη ώση ανόδου	FLAP_0	10 000			

▼**M2**

ACFTID	Profile_ID (Προφίλ αναχώρησης)	Μήκος καλυπτόμενης διαδρομής	Αριθμός σταδίου	Είδος σταδίου	Μέγεθος ώσης	Flap_ID (Θέση πτερυγίων καμπυλότητας)	Οροφή ανόδου (ft)	Ρυθμός ανόδου (ft/min)	Διακριβωμένη ταχύτητα αέρα στην οροφή ανόδου (kt)	Ποσοστό επιτάχυνσης (%)
7878R	ICAO_B	7	1	Απογείωση	Μέγιστη ώση απογείωσης	FLAP_5				
7878R	ICAO_B	7	2	Άνοδος	Μέγιστη ώση απογείωσης	FLAP_5	1 000			
7878R	ICAO_B	7	3	Επιτάχυνση επί τοις εκατό	Μέγιστη ώση απογείωσης	FLAP_5			235	55
7878R	ICAO_B	7	4	Άνοδος	Μέγιστη ώση απογείωσης	FLAP_1	2 200			
7878R	ICAO_B	7	5	Άνοδος	Μέγιστη ώση ανόδου	FLAP_0	3 000			
7878R	ICAO_B	7	6	Επιτάχυνση επί τοις εκατό	Μέγιστη ώση ανόδου	FLAP_0			250	50
7878R	ICAO_B	7	7	Άνοδος	Μέγιστη ώση ανόδου	FLAP_0	10 000			
7878R	ICAO_B	8	1	Απογείωση	Μέγιστη ώση απογείωσης	FLAP_5				
7878R	ICAO_B	8	2	Άνοδος	Μέγιστη ώση απογείωσης	FLAP_5	1 000			
7878R	ICAO_B	8	3	Επιτάχυνση επί τοις εκατό	Μέγιστη ώση απογείωσης	FLAP_5			240	55
7878R	ICAO_B	8	4	Άνοδος	Μέγιστη ώση απογείωσης	FLAP_1	2 100			
7878R	ICAO_B	8	5	Άνοδος	Μέγιστη ώση ανόδου	FLAP_0	3 000			
7878R	ICAO_B	8	6	Επιτάχυνση επί τοις εκατό	Μέγιστη ώση ανόδου	FLAP_0			250	50
7878R	ICAO_B	8	7	Άνοδος	Μέγιστη ώση ανόδου	FLAP_0	10 000			

▼**M2**

ACFTID	Profile_ID (Προφίλ αναχώρησης)	Μήκος καλυπτόμενης διαδρομής	Αριθμός σταδίου	Είδος σταδίου	Μέγεθος ώσης	Flap_ID (Θέση πτερυγίων καμπυλότητας)	Οροφή ανόδου (ft)	Ρυθμός ανόδου (ft/min)	Διακριβωμένη ταχύτητα αέρα στην οροφή ανόδου (kt)	Ποσοστό επιτάχυνσης (%)
7878R	ICAO_B	9	1	Απογείωση	Μέγιστη ώση απογείωσης	FLAP_5				
7878R	ICAO_B	9	2	Άνοδος	Μέγιστη ώση απογείωσης	FLAP_5	1 000			
7878R	ICAO_B	9	3	Επιτάχυνση επί τοις εκατό	Μέγιστη ώση απογείωσης	FLAP_5			245	55
7878R	ICAO_B	9	4	Άνοδος	Μέγιστη ώση απογείωσης	FLAP_1	2 100			
7878R	ICAO_B	9	5	Άνοδος	Μέγιστη ώση ανόδου	FLAP_0	3 000			
7878R	ICAO_B	9	6	Επιτάχυνση επί τοις εκατό	Μέγιστη ώση ανόδου	FLAP_0			250	50
7878R	ICAO_B	9	7	Άνοδος	Μέγιστη ώση ανόδου	FLAP_0	10 000			
A300-622R	DEFAULT	1	1	Απογείωση	Μέγιστη ώση απογείωσης	1500				
A300-622R	DEFAULT	1	2	Άνοδος	Μέγιστη ώση απογείωσης	1500	1 000			
A300-622R	DEFAULT	1	3	Επιτάχυνση	Μέγιστη ώση απογείωσης	1500		1 419,5	185,3	
A300-622R	DEFAULT	1	4	Άνοδος	Μέγιστη ώση ανόδου	0	3 000			
A300-622R	DEFAULT	1	5	Επιτάχυνση	Μέγιστη ώση ανόδου	0		1 275	250	
A300-622R	DEFAULT	1	6	Άνοδος	Μέγιστη ώση ανόδου	0	5 500			
A300-622R	DEFAULT	1	7	Άνοδος	Μέγιστη ώση ανόδου	0	7 500			

▼**M2**

ACFTID	Profile_ID (Προφίλ αναχώρησης)	Μήκος καλυπτόμενης διαδρομής	Αριθμός σταδίου	Είδος σταδίου	Μέγεθος ώσης	Flap_ID (Θέση πτερυγίων καμπυλότητας)	Οροφή ανόδου (ft)	Ρυθμός ανόδου (ft/min)	Διακριβωμένη ταχύτητα αέρα στην οροφή ανόδου (kt)	Ποσοστό επιτάχυνσης (%)
A300-622R	DEFAULT	1	8	Άνοδος	Μέγιστη ώση ανόδου	0	10 000			
A300-622R	DEFAULT	2	1	Απογείωση	Μέγιστη ώση απογείωσης	1500				
A300-622R	DEFAULT	2	2	Άνοδος	Μέγιστη ώση απογείωσης	1500	1 000			
A300-622R	DEFAULT	2	3	Επιτάχυνση	Μέγιστη ώση απογείωσης	1500		1 361,3	189,3	
A300-622R	DEFAULT	2	4	Άνοδος	Μέγιστη ώση ανόδου	0	3 000			
A300-622R	DEFAULT	2	5	Επιτάχυνση	Μέγιστη ώση ανόδου	0		1 216,8	250	
A300-622R	DEFAULT	2	6	Άνοδος	Μέγιστη ώση ανόδου	0	5 500			
A300-622R	DEFAULT	2	7	Άνοδος	Μέγιστη ώση ανόδου	0	7 500			
A300-622R	DEFAULT	2	8	Άνοδος	Μέγιστη ώση ανόδου	0	10 000			
A300-622R	DEFAULT	3	1	Απογείωση	Μέγιστη ώση απογείωσης	1500				
A300-622R	DEFAULT	3	2	Άνοδος	Μέγιστη ώση απογείωσης	1500	1 000			
A300-622R	DEFAULT	3	3	Επιτάχυνση	Μέγιστη ώση απογείωσης	1500		1 303,7	193,2	
A300-622R	DEFAULT	3	4	Άνοδος	Μέγιστη ώση ανόδου	0	3 000			
A300-622R	DEFAULT	3	5	Επιτάχυνση	Μέγιστη ώση ανόδου	0		1 159,4	250	

▼**M2**

ACFTID	Profile_ID (Προφίλ αναχώρησης)	Μήκος καλυπτόμενης διαδρομής	Αριθμός σταδίου	Είδος σταδίου	Μέγεθος ώσης	Flap_ID (Θέση πτερυγίων καμπυλότητας)	Οροφή ανόδου (ft)	Ρυθμός ανόδου (ft/min)	Διακριβωμένη ταχύτητα αέρα στην οροφή ανόδου (kt)	Ποσοστό επιτάχυνσης (%)
A300-622R	DEFAULT	3	6	Άνοδος	Μέγιστη ώση ανόδου	0	5 500			
A300-622R	DEFAULT	3	7	Άνοδος	Μέγιστη ώση ανόδου	0	7 500			
A300-622R	DEFAULT	3	8	Άνοδος	Μέγιστη ώση ανόδου	0	10 000			
A300-622R	DEFAULT	4	1	Απογείωση	Μέγιστη ώση απογείωσης	1500				
A300-622R	DEFAULT	4	2	Άνοδος	Μέγιστη ώση απογείωσης	1500	1 000			
A300-622R	DEFAULT	4	3	Επιτάχυνση	Μέγιστη ώση απογείωσης	1500		1 210,4	200,1	
A300-622R	DEFAULT	4	4	Άνοδος	Μέγιστη ώση ανόδου	0	3 000			
A300-622R	DEFAULT	4	5	Επιτάχυνση	Μέγιστη ώση ανόδου	0		1 065,5	250	
A300-622R	DEFAULT	4	6	Άνοδος	Μέγιστη ώση ανόδου	0	5 500			
A300-622R	DEFAULT	4	7	Άνοδος	Μέγιστη ώση ανόδου	0	7 500			
A300-622R	DEFAULT	4	8	Άνοδος	Μέγιστη ώση ανόδου	0	10 000			
A300-622R	DEFAULT	5	1	Απογείωση	Μέγιστη ώση απογείωσης	1500				
A300-622R	DEFAULT	5	2	Άνοδος	Μέγιστη ώση απογείωσης	1500	1 000			

▼**M2**

ACFTID	Profile_ID (Προφίλ αναχώρησης)	Μήκος καλυπτόμενης διαδρομής	Αριθμός σταδίου	Είδος σταδίου	Μέγεθος ώσης	Flap_ID (Θέση πτερυγίων καμπυλότητας)	Οροφή ανόδου (ft)	Ρυθμός ανόδου (ft/min)	Διακριβωμένη ταχύτητα αέρα στην οροφή ανόδου (kt)	Ποσοστό επιτάχυνσης (%)
A300-622R	DEFAULT	5	3	Επιτάχυνση	Μέγιστη ώση απογείωσης	1500		1 099,6	209,1	
A300-622R	DEFAULT	5	4	Άνοδος	Μέγιστη ώση ανόδου	0	3 000			
A300-622R	DEFAULT	5	5	Επιτάχυνση	Μέγιστη ώση ανόδου	0		953,9	250	
A300-622R	DEFAULT	5	6	Άνοδος	Μέγιστη ώση ανόδου	0	5 500			
A300-622R	DEFAULT	5	7	Άνοδος	Μέγιστη ώση ανόδου	0	7 500			
A300-622R	DEFAULT	5	8	Άνοδος	Μέγιστη ώση ανόδου	0	10 000			
A300-622R	DEFAULT	6	1	Απογείωση	Μέγιστη ώση απογείωσης	1500				
A300-622R	DEFAULT	6	2	Άνοδος	Μέγιστη ώση απογείωσης	1500	1 000			
A300-622R	DEFAULT	6	3	Επιτάχυνση	Μέγιστη ώση απογείωσης	1500		1 015,3	216,4	
A300-622R	DEFAULT	6	4	Άνοδος	Μέγιστη ώση ανόδου	0	3 000			
A300-622R	DEFAULT	6	5	Επιτάχυνση	Μέγιστη ώση ανόδου	0		870,9	250	
A300-622R	DEFAULT	6	6	Άνοδος	Μέγιστη ώση ανόδου	0	5 500			
A300-622R	DEFAULT	6	7	Άνοδος	Μέγιστη ώση ανόδου	0	7 500			

▼**M2**

ACFTID	Profile_ID (Προφίλ αναχώρησης)	Μήκος καλυπτόμενης διαδρομής	Αριθμός σταδίου	Είδος σταδίου	Μέγεθος ώσης	Flap_ID (Θέση πτερυγίων καμπυλότητας)	Οροφή ανόδου (ft)	Ρυθμός ανόδου (ft/min)	Διακριβωμένη ταχύτητα αέρα στην οροφή ανόδου (kt)	Ποσοστό επιτάχυνσης (%)
A300-622R	DEFAULT	6	8	Άνοδος	Μέγιστη ώση ανόδου	0	10 000			
A300-622R	ICAO_A	1	1	Απογείωση	Μέγιστη ώση απογείωσης	1500				
A300-622R	ICAO_A	1	2	Άνοδος	Μέγιστη ώση απογείωσης	1500	1 500			
A300-622R	ICAO_A	1	3	Άνοδος	Μέγιστη ώση ανόδου	1500	3 000			
A300-622R	ICAO_A	1	4	Επιτάχυνση	Μέγιστη ώση ανόδου	1500		979,6	185,2	
A300-622R	ICAO_A	1	5	Επιτάχυνση	Μέγιστη ώση ανόδου	0		1 107,6	204,5	
A300-622R	ICAO_A	1	6	Επιτάχυνση	Μέγιστη ώση ανόδου	0		1 303,7	250	
A300-622R	ICAO_A	1	7	Άνοδος	Μέγιστη ώση ανόδου	0	5 500			
A300-622R	ICAO_A	1	8	Άνοδος	Μέγιστη ώση ανόδου	0	7 500			
A300-622R	ICAO_A	1	9	Άνοδος	Μέγιστη ώση ανόδου	0	10 000			
A300-622R	ICAO_A	2	1	Απογείωση	Μέγιστη ώση απογείωσης	1500				
A300-622R	ICAO_A	2	2	Άνοδος	Μέγιστη ώση απογείωσης	1500	1 500			
A300-622R	ICAO_A	2	3	Άνοδος	Μέγιστη ώση ανόδου	1500	3 000			

▼**M2**

ACFTID	Profile_ID (Προφίλ αναχώρησης)	Μήκος καλυπτόμενης διαδρομής	Αριθμός σταδίου	Είδος σταδίου	Μέγεθος ώσης	Flap_ID (Θέση πτερυγίων καμπυλότητας)	Οροφή ανόδου (ft)	Ρυθμός ανόδου (ft/min)	Διακριβωμένη ταχύτητα αέρα στην οροφή ανόδου (kt)	Ποσοστό επιτάχυνσης (%)
A300-622R	ICAO_A	2	4	Επιτάχυνση	Μέγιστη ώση ανόδου	1500		935	189,1	
A300-622R	ICAO_A	2	5	Επιτάχυνση	Μέγιστη ώση ανόδου	0		1 059,7	207,3	
A300-622R	ICAO_A	2	6	Επιτάχυνση	Μέγιστη ώση ανόδου	0		1 241,6	250	
A300-622R	ICAO_A	2	7	Άνοδος	Μέγιστη ώση ανόδου	0	5 500			
A300-622R	ICAO_A	2	8	Άνοδος	Μέγιστη ώση ανόδου	0	7 500			
A300-622R	ICAO_A	2	9	Άνοδος	Μέγιστη ώση ανόδου	0	10 000			
A300-622R	ICAO_A	3	1	Απογείωση	Μέγιστη ώση απογείωσης	1500				
A300-622R	ICAO_A	3	2	Άνοδος	Μέγιστη ώση απογείωσης	1500	1 500			
A300-622R	ICAO_A	3	3	Άνοδος	Μέγιστη ώση ανόδου	1500	3 000			
A300-622R	ICAO_A	3	4	Επιτάχυνση	Μέγιστη ώση ανόδου	1500		890,5	193,1	
A300-622R	ICAO_A	3	5	Επιτάχυνση	Μέγιστη ώση ανόδου	0		1 012,1	210,1	
A300-622R	ICAO_A	3	6	Επιτάχυνση	Μέγιστη ώση ανόδου	0		1 180,8	250	
A300-622R	ICAO_A	3	7	Άνοδος	Μέγιστη ώση ανόδου	0	5 500			

▼**M2**

ACFTID	Profile_ID (Προφίλ αναχώρησης)	Μήκος καλυπτόμενης διαδρομής	Αριθμός σταδίου	Είδος σταδίου	Μέγεθος ώσης	Flap_ID (Θέση πτερυγίων καμπυλότητας)	Οροφή ανόδου (ft)	Ρυθμός ανόδου (ft/min)	Διακριβωμένη ταχύτητα αέρα στην οροφή ανόδου (kt)	Ποσοστό επιτάχυνσης (%)
A300-622R	ICAO_A	3	8	Άνοδος	Μέγιστη ώση ανόδου	0	7 500			
A300-622R	ICAO_A	3	9	Άνοδος	Μέγιστη ώση ανόδου	0	10 000			
A300-622R	ICAO_A	4	1	Απογείωση	Μέγιστη ώση απογείωσης	1500				
A300-622R	ICAO_A	4	2	Άνοδος	Μέγιστη ώση απογείωσης	1500	1 500			
A300-622R	ICAO_A	4	3	Άνοδος	Μέγιστη ώση ανόδου	1500	3 000			
A300-622R	ICAO_A	4	4	Επιτάχυνση	Μέγιστη ώση ανόδου	1500		817,4	200	
A300-622R	ICAO_A	4	5	Επιτάχυνση	Μέγιστη ώση ανόδου	0		933,4	215,2	
A300-622R	ICAO_A	4	6	Επιτάχυνση	Μέγιστη ώση ανόδου	0		1 081,4	250	
A300-622R	ICAO_A	4	7	Άνοδος	Μέγιστη ώση ανόδου	0	5 500			
A300-622R	ICAO_A	4	8	Άνοδος	Μέγιστη ώση ανόδου	0	7 500			
A300-622R	ICAO_A	4	9	Άνοδος	Μέγιστη ώση ανόδου	0	10 000			
A300-622R	ICAO_A	5	1	Απογείωση	Μέγιστη ώση απογείωσης	1500				
A300-622R	ICAO_A	5	2	Άνοδος	Μέγιστη ώση απογείωσης	1500	1 500			

▼**M2**

ACFTID	Profile_ID (Προφίλ αναχώρησης)	Μήκος καλυπτόμενης διαδρομής	Αριθμός σταδίου	Είδος σταδίου	Μέγεθος ώσης	Flap_ID (Θέση πτερυγίων καμπυλότητας)	Οροφή ανόδου (ft)	Ρυθμός ανόδου (ft/min)	Διακριβωμένη ταχύτητα αέρα στην οροφή ανόδου (kt)	Ποσοστό επιτάχυνσης (%)
A300-622R	ICAO_A	5	3	Άνοδος	Μέγιστη ώση ανόδου	1500	3 000			
A300-622R	ICAO_A	5	4	Επιτάχυνση	Μέγιστη ώση ανόδου	1500		729	208,9	
A300-622R	ICAO_A	5	5	Επιτάχυνση	Μέγιστη ώση ανόδου	0		839,1	222,1	
A300-622R	ICAO_A	5	6	Επιτάχυνση	Μέγιστη ώση ανόδου	0		963,8	250	
A300-622R	ICAO_A	5	7	Άνοδος	Μέγιστη ώση ανόδου	0	5 500			
A300-622R	ICAO_A	5	8	Άνοδος	Μέγιστη ώση ανόδου	0	7 500			
A300-622R	ICAO_A	5	9	Άνοδος	Μέγιστη ώση ανόδου	0	10 000			
A300-622R	ICAO_A	6	1	Απογείωση	Μέγιστη ώση απογείωσης	1500				
A300-622R	ICAO_A	6	2	Άνοδος	Μέγιστη ώση απογείωσης	1500	1 500			
A300-622R	ICAO_A	6	3	Άνοδος	Μέγιστη ώση ανόδου	1500	3 000			
A300-622R	ICAO_A	6	4	Επιτάχυνση	Μέγιστη ώση ανόδου	1500		660,6	216,3	
A300-622R	ICAO_A	6	5	Επιτάχυνση	Μέγιστη ώση ανόδου	0		765,7	227,9	
A300-622R	ICAO_A	6	6	Επιτάχυνση	Μέγιστη ώση ανόδου	0		876,5	250	

▼**M2**

ACFTID	Profile_ID (Προφίλ αναχώρησης)	Μήκος καλυπτόμενης διαδρομής	Αριθμός σταδίου	Είδος σταδίου	Μέγεθος ώσης	Flap_ID (Θέση πτερυγίων καμπυλότητας)	Οροφή ανόδου (ft)	Ρυθμός ανόδου (ft/min)	Διακριβωμένη ταχύτητα αέρα στην οροφή ανόδου (kt)	Ποσοστό επιτάχυνσης (%)
A300-622R	ICAO_A	6	7	Άνοδος	Μέγιστη ώση ανόδου	0	5 500			
A300-622R	ICAO_A	6	8	Άνοδος	Μέγιστη ώση ανόδου	0	7 500			
A300-622R	ICAO_A	6	9	Άνοδος	Μέγιστη ώση ανόδου	0	10 000			
A300-622R	ICAO_B	1	1	Απογείωση	Μέγιστη ώση απογείωσης	1500				
A300-622R	ICAO_B	1	2	Άνοδος	Μέγιστη ώση απογείωσης	1500	1 000			
A300-622R	ICAO_B	1	3	Επιτάχυνση	Μέγιστη ώση απογείωσης	1500		1 419,5	185,3	
A300-622R	ICAO_B	1	4	Άνοδος	Μέγιστη ώση ανόδου	0	3 000			
A300-622R	ICAO_B	1	5	Επιτάχυνση	Μέγιστη ώση ανόδου	0		1 275	250	
A300-622R	ICAO_B	1	6	Άνοδος	Μέγιστη ώση ανόδου	0	5 500			
A300-622R	ICAO_B	1	7	Άνοδος	Μέγιστη ώση ανόδου	0	7 500			
A300-622R	ICAO_B	1	8	Άνοδος	Μέγιστη ώση ανόδου	0	10 000			
A300-622R	ICAO_B	2	1	Απογείωση	Μέγιστη ώση απογείωσης	1500				

▼**M2**

ACFTID	Profile_ID (Προφίλ αναχώρησης)	Μήκος καλυπτόμενης διαδρομής	Αριθμός σταδίου	Είδος σταδίου	Μέγεθος ώσης	Flap_ID (Θέση πτερυγίων καμπυλότητας)	Οροφή ανόδου (ft)	Ρυθμός ανόδου (ft/min)	Διακριβωμένη ταχύτητα αέρα στην οροφή ανόδου (kt)	Ποσοστό επιτάχυνσης (%)
A300-622R	ICAO_B	2	2	Άνοδος	Μέγιστη ώση απογείωσης	1500	1 000			
A300-622R	ICAO_B	2	3	Επιτάχυνση	Μέγιστη ώση απογείωσης	1500		1 361,3	189,3	
A300-622R	ICAO_B	2	4	Άνοδος	Μέγιστη ώση ανόδου	0	3 000			
A300-622R	ICAO_B	2	5	Επιτάχυνση	Μέγιστη ώση ανόδου	0		1 216,8	250	
A300-622R	ICAO_B	2	6	Άνοδος	Μέγιστη ώση ανόδου	0	5 500			
A300-622R	ICAO_B	2	7	Άνοδος	Μέγιστη ώση ανόδου	0	7 500			
A300-622R	ICAO_B	2	8	Άνοδος	Μέγιστη ώση ανόδου	0	10 000			
A300-622R	ICAO_B	3	1	Απογείωση	Μέγιστη ώση απογείωσης	1500				
A300-622R	ICAO_B	3	2	Άνοδος	Μέγιστη ώση απογείωσης	1500	1 000			
A300-622R	ICAO_B	3	3	Επιτάχυνση	Μέγιστη ώση απογείωσης	1500		1 303,7	193,2	
A300-622R	ICAO_B	3	4	Άνοδος	Μέγιστη ώση ανόδου	0	3 000			
A300-622R	ICAO_B	3	5	Επιτάχυνση	Μέγιστη ώση ανόδου	0		1 159,4	250	
A300-622R	ICAO_B	3	6	Άνοδος	Μέγιστη ώση ανόδου	0	5 500			

▼**M2**

ACFTID	Profile_ID (Προφίλ αναχώρησης)	Μήκος καλυπτόμενης διαδρομής	Αριθμός σταδίου	Είδος σταδίου	Μέγεθος ώσης	Flap_ID (Θέση πτερυγίων καμπυλότητας)	Οροφή ανόδου (ft)	Ρυθμός ανόδου (ft/min)	Διακριβωμένη ταχύτητα αέρα στην οροφή ανόδου (kt)	Ποσοστό επιτάχυνσης (%)
A300-622R	ICAO_B	3	7	Άνοδος	Μέγιστη ώση ανόδου	0	7 500			
A300-622R	ICAO_B	3	8	Άνοδος	Μέγιστη ώση ανόδου	0	10 000			
A300-622R	ICAO_B	4	1	Απογείωση	Μέγιστη ώση απογείωσης	1500				
A300-622R	ICAO_B	4	2	Άνοδος	Μέγιστη ώση απογείωσης	1500	1 000			
A300-622R	ICAO_B	4	3	Επιτάχυνση	Μέγιστη ώση απογείωσης	1500		1 210,4	200,1	
A300-622R	ICAO_B	4	4	Άνοδος	Μέγιστη ώση ανόδου	0	3 000			
A300-622R	ICAO_B	4	5	Επιτάχυνση	Μέγιστη ώση ανόδου	0		1 065,5	250	
A300-622R	ICAO_B	4	6	Άνοδος	Μέγιστη ώση ανόδου	0	5 500			
A300-622R	ICAO_B	4	7	Άνοδος	Μέγιστη ώση ανόδου	0	7 500			
A300-622R	ICAO_B	4	8	Άνοδος	Μέγιστη ώση ανόδου	0	10 000			
A300-622R	ICAO_B	5	1	Απογείωση	Μέγιστη ώση απογείωσης	1500				
A300-622R	ICAO_B	5	2	Άνοδος	Μέγιστη ώση απογείωσης	1500	1 000			
A300-622R	ICAO_B	5	3	Επιτάχυνση	Μέγιστη ώση απογείωσης	1500		1 099,6	209,1	
A300-622R	ICAO_B	5	4	Άνοδος	Μέγιστη ώση ανόδου	0	3 000			

▼**M2**

ACFTID	Profile_ID (Προφίλ αναχώρησης)	Μήκος καλυπτόμενης διαδρομής	Αριθμός σταδίου	Είδος σταδίου	Μέγεθος ώσης	Flap_ID (Θέση πτερυγίων καμπυλότητας)	Οροφή ανόδου (ft)	Ρυθμός ανόδου (ft/min)	Διακριβωμένη ταχύτητα αέρα στην οροφή ανόδου (kt)	Ποσοστό επιτάχυνσης (%)
A300-622R	ICAO_B	5	5	Επιτάχυνση	Μέγιστη ώση ανόδου	0		953,9	250	
A300-622R	ICAO_B	5	6	Άνοδος	Μέγιστη ώση ανόδου	0	5 500			
A300-622R	ICAO_B	5	7	Άνοδος	Μέγιστη ώση ανόδου	0	7 500			
A300-622R	ICAO_B	5	8	Άνοδος	Μέγιστη ώση ανόδου	0	10 000			
A300-622R	ICAO_B	6	1	Απογείωση	Μέγιστη ώση απογείωσης	1500				
A300-622R	ICAO_B	6	2	Άνοδος	Μέγιστη ώση απογείωσης	1500	1 000			
A300-622R	ICAO_B	6	3	Επιτάχυνση	Μέγιστη ώση απογείωσης	1500		1 015,3	216,4	
A300-622R	ICAO_B	6	4	Άνοδος	Μέγιστη ώση ανόδου	0	3 000			
A300-622R	ICAO_B	6	5	Επιτάχυνση	Μέγιστη ώση ανόδου	0		870,9	250	
A300-622R	ICAO_B	6	6	Άνοδος	Μέγιστη ώση ανόδου	0	5 500			
A300-622R	ICAO_B	6	7	Άνοδος	Μέγιστη ώση ανόδου	0	7 500			
A300-622R	ICAO_B	6	8	Άνοδος	Μέγιστη ώση ανόδου	0	10 000			
A300B4-203	DEFAULT	1	1	Απογείωση	Μέγιστη ώση απογείωσης	8				
A300B4-203	DEFAULT	1	2	Άνοδος	Μέγιστη ώση απογείωσης	8	1 000			

▼**M2**

ACFTID	Profile_ID (Προφίλ αναχώρησης)	Μήκος καλυπτόμενης διαδρομής	Αριθμός σταδίου	Είδος σταδίου	Μέγεθος ώσης	Flap_ID (Θέση πτερυγίων καμπυλότητας)	Οροφή ανόδου (ft)	Ρυθμός ανόδου (ft/min)	Διακριβωμένη ταχύτητα αέρα στην οροφή ανόδου (kt)	Ποσοστό επιτάχυνσης (%)
A300B4-203	DEFAULT	1	3	Επιτάχυνση	Μέγιστη ώση απογείωσης	8		2 440	169	
A300B4-203	DEFAULT	1	4	Επιτάχυνση	Μέγιστη ώση απογείωσης	1		1 830	189	
A300B4-203	DEFAULT	1	5	Επιτάχυνση	Μέγιστη ώση ανόδου	ZERO		1 000	209	
A300B4-203	DEFAULT	1	6	Άνοδος	Μέγιστη ώση ανόδου	ZERO	3 000			
A300B4-203	DEFAULT	1	7	Επιτάχυνση	Μέγιστη ώση ανόδου	ZERO		1 000	250	
A300B4-203	DEFAULT	1	8	Άνοδος	Μέγιστη ώση ανόδου	ZERO	5 500			
A300B4-203	DEFAULT	1	9	Άνοδος	Μέγιστη ώση ανόδου	ZERO	7 500			
A300B4-203	DEFAULT	1	10	Άνοδος	Μέγιστη ώση ανόδου	ZERO	10 000			
A300B4-203	DEFAULT	2	1	Απογείωση	Μέγιστη ώση απογείωσης	8				
A300B4-203	DEFAULT	2	2	Άνοδος	Μέγιστη ώση απογείωσης	8	1 000			
A300B4-203	DEFAULT	2	3	Επιτάχυνση	Μέγιστη ώση απογείωσης	8		2 268	174	
A300B4-203	DEFAULT	2	4	Επιτάχυνση	Μέγιστη ώση απογείωσης	1		1 701	194	
A300B4-203	DEFAULT	2	5	Επιτάχυνση	Μέγιστη ώση ανόδου	ZERO		1 000	214	

▼**M2**

ACFTID	Profile_ID (Προφίλ αναχώρησης)	Μήκος καλυπτόμενης διαδρομής	Αριθμός σταδίου	Είδος σταδίου	Μέγεθος ώσης	Flap_ID (Θέση πτερυγίων καμπυλότητας)	Οροφή ανόδου (ft)	Ρυθμός ανόδου (ft/min)	Διακριβωμένη ταχύτητα αέρα στην οροφή ανόδου (kt)	Ποσοστό επιτάχυνσης (%)
A300B4-203	DEFAULT	2	6	Άνοδος	Μέγιστη ώση ανόδου	ZERO	3 000			
A300B4-203	DEFAULT	2	7	Επιτάχυνση	Μέγιστη ώση ανόδου	ZERO		1 000	250	
A300B4-203	DEFAULT	2	8	Άνοδος	Μέγιστη ώση ανόδου	ZERO	5 500			
A300B4-203	DEFAULT	2	9	Άνοδος	Μέγιστη ώση ανόδου	ZERO	7 500			
A300B4-203	DEFAULT	2	10	Άνοδος	Μέγιστη ώση ανόδου	ZERO	10 000			
A300B4-203	DEFAULT	3	1	Απογείωση	Μέγιστη ώση απογείωσης	8				
A300B4-203	DEFAULT	3	2	Άνοδος	Μέγιστη ώση απογείωσης	8	1 000			
A300B4-203	DEFAULT	3	3	Επιτάχυνση	Μέγιστη ώση απογείωσης	8		2 137	178	
A300B4-203	DEFAULT	3	4	Επιτάχυνση	Μέγιστη ώση απογείωσης	1		1 603	198	
A300B4-203	DEFAULT	3	5	Επιτάχυνση	Μέγιστη ώση ανόδου	ZERO		1 000	218	
A300B4-203	DEFAULT	3	6	Άνοδος	Μέγιστη ώση ανόδου	ZERO	3 000			
A300B4-203	DEFAULT	3	7	Επιτάχυνση	Μέγιστη ώση ανόδου	ZERO		1 000	250	
A300B4-203	DEFAULT	3	8	Άνοδος	Μέγιστη ώση ανόδου	ZERO	5 500			

▼**M2**

ACFTID	Profile_ID (Προφίλ αναχώρησης)	Μήκος καλυπτόμενης διαδρομής	Αριθμός σταδίου	Είδος σταδίου	Μέγεθος ώσης	Flap_ID (Θέση πτερυγίων καμπυλότητας)	Οροφή ανόδου (ft)	Ρυθμός ανόδου (ft/min)	Διακριβωμένη ταχύτητα αέρα στην οροφή ανόδου (kt)	Ποσοστό επιτάχυνσης (%)
A300B4-203	DEFAULT	3	9	Άνοδος	Μέγιστη ώση ανόδου	ZERO	7 500			
A300B4-203	DEFAULT	3	10	Άνοδος	Μέγιστη ώση ανόδου	ZERO	10 000			
A300B4-203	DEFAULT	4	1	Απογείωση	Μέγιστη ώση απογείωσης	8				
A300B4-203	DEFAULT	4	2	Άνοδος	Μέγιστη ώση απογείωσης	8	1 000			
A300B4-203	DEFAULT	4	3	Επιτάχυνση	Μέγιστη ώση απογείωσης	8		1 912	186	
A300B4-203	DEFAULT	4	4	Επιτάχυνση	Μέγιστη ώση απογείωσης	1		1 434	206	
A300B4-203	DEFAULT	4	5	Επιτάχυνση	Μέγιστη ώση ανόδου	ZERO		1 000	226	
A300B4-203	DEFAULT	4	6	Άνοδος	Μέγιστη ώση ανόδου	ZERO	3 000			
A300B4-203	DEFAULT	4	7	Επιτάχυνση	Μέγιστη ώση ανόδου	ZERO		1 000	250	
A300B4-203	DEFAULT	4	8	Άνοδος	Μέγιστη ώση ανόδου	ZERO	5 500			
A300B4-203	DEFAULT	4	9	Άνοδος	Μέγιστη ώση ανόδου	ZERO	7 500			
A300B4-203	DEFAULT	4	10	Άνοδος	Μέγιστη ώση ανόδου	ZERO	10 000			

▼**M2**

ACFTID	Profile_ID (Προφίλ αναχώρησης)	Μήκος καλυπτόμενης διαδρομής	Αριθμός σταδίου	Είδος σταδίου	Μέγεθος ώσης	Flap_ID (Θέση πτερυγίων καμπυλότητας)	Οροφή ανόδου (ft)	Ρυθμός ανόδου (ft/min)	Διακριβωμένη ταχύτητα αέρα στην οροφή ανόδου (kt)	Ποσοστό επιτάχυνσης (%)
A300B4-203	DEFAULT	5	1	Απογείωση	Μέγιστη ώση απογείωσης	8				
A300B4-203	DEFAULT	5	2	Άνοδος	Μέγιστη ώση απογείωσης	8	1 000			
A300B4-203	DEFAULT	5	3	Επιτάχυνση	Μέγιστη ώση απογείωσης	8		1 688	194	
A300B4-203	DEFAULT	5	4	Επιτάχυνση	Μέγιστη ώση απογείωσης	1		1 266	214	
A300B4-203	DEFAULT	5	5	Επιτάχυνση	Μέγιστη ώση ανόδου	ZERO		1 000	234	
A300B4-203	DEFAULT	5	6	Άνοδος	Μέγιστη ώση ανόδου	ZERO	3 000			
A300B4-203	DEFAULT	5	7	Επιτάχυνση	Μέγιστη ώση ανόδου	ZERO		1 000	250	
A300B4-203	DEFAULT	5	8	Άνοδος	Μέγιστη ώση ανόδου	ZERO	5 500			
A300B4-203	DEFAULT	5	9	Άνοδος	Μέγιστη ώση ανόδου	ZERO	7 500			
A300B4-203	DEFAULT	5	10	Άνοδος	Μέγιστη ώση ανόδου	ZERO	10 000			
A310-304	DEFAULT	1	1	Απογείωση	Μέγιστη ώση απογείωσης	1500				
A310-304	DEFAULT	1	2	Άνοδος	Μέγιστη ώση απογείωσης	1500	1 000			
A310-304	DEFAULT	1	3	Επιτάχυνση	Μέγιστη ώση απογείωσης	1500		1 475,7	179,5	

▼**M2**

ACFTID	Profile_ID (Προφίλ αναχώρησης)	Μήκος καλυπτόμενης διαδρομής	Αριθμός σταδίου	Είδος σταδίου	Μέγεθος ώσης	Flap_ID (Θέση πτερυγίων καμπυλότητας)	Οροφή ανόδου (ft)	Ρυθμός ανόδου (ft/min)	Διακριβωμένη ταχύτητα αέρα στην οροφή ανόδου (kt)	Ποσοστό επιτάχυνσης (%)
A310-304	DEFAULT	1	4	Άνοδος	Μέγιστη ώση ανόδου	0	3 000			
A310-304	DEFAULT	1	5	Επιτάχυνση	Μέγιστη ώση ανόδου	0		1 454,9	250	
A310-304	DEFAULT	1	6	Άνοδος	Μέγιστη ώση ανόδου	0	5 500			
A310-304	DEFAULT	1	7	Άνοδος	Μέγιστη ώση ανόδου	0	7 500			
A310-304	DEFAULT	1	8	Άνοδος	Μέγιστη ώση ανόδου	0	10 000			
A310-304	DEFAULT	2	1	Απογείωση	Μέγιστη ώση απογείωσης	1500				
A310-304	DEFAULT	2	2	Άνοδος	Μέγιστη ώση απογείωσης	1500	1 000			
A310-304	DEFAULT	2	3	Επιτάχυνση	Μέγιστη ώση απογείωσης	1500		1 415,7	183	
A310-304	DEFAULT	2	4	Άνοδος	Μέγιστη ώση ανόδου	0	3 000			
A310-304	DEFAULT	2	5	Επιτάχυνση	Μέγιστη ώση ανόδου	0		1 392,7	250	
A310-304	DEFAULT	2	6	Άνοδος	Μέγιστη ώση ανόδου	0	5 500			
A310-304	DEFAULT	2	7	Άνοδος	Μέγιστη ώση ανόδου	0	7 500			
A310-304	DEFAULT	2	8	Άνοδος	Μέγιστη ώση ανόδου	0	10 000			

▼**M2**

ACFTID	Profile_ID (Προφίλ αναχώρησης)	Μήκος καλυπτόμενης διαδρομής	Αριθμός σταδίου	Είδος σταδίου	Μέγεθος ώσης	Flap_ID (Θέση πτερυγίων καμπυλότητας)	Οροφή ανόδου (ft)	Ρυθμός ανόδου (ft/min)	Διακριβωμένη ταχύτητα αέρα στην οροφή ανόδου (kt)	Ποσοστό επιτάχυνσης (%)
A310-304	DEFAULT	3	1	Απογείωση	Μέγιστη ώση απογείωσης	1500				
A310-304	DEFAULT	3	2	Άνοδος	Μέγιστη ώση απογείωσης	1500	1 000			
A310-304	DEFAULT	3	3	Επιτάχυνση	Μέγιστη ώση απογείωσης	1500		1 357	186,6	
A310-304	DEFAULT	3	4	Άνοδος	Μέγιστη ώση ανόδου	0	3 000			
A310-304	DEFAULT	3	5	Επιτάχυνση	Μέγιστη ώση ανόδου	0		1 332,3	250	
A310-304	DEFAULT	3	6	Άνοδος	Μέγιστη ώση ανόδου	0	5 500			
A310-304	DEFAULT	3	7	Άνοδος	Μέγιστη ώση ανόδου	0	7 500			
A310-304	DEFAULT	3	8	Άνοδος	Μέγιστη ώση ανόδου	0	10 000			
A310-304	DEFAULT	4	1	Απογείωση	Μέγιστη ώση απογείωσης	1500				
A310-304	DEFAULT	4	2	Άνοδος	Μέγιστη ώση απογείωσης	1500	1 000			
A310-304	DEFAULT	4	3	Επιτάχυνση	Μέγιστη ώση απογείωσης	1500		1 262,8	192,8	
A310-304	DEFAULT	4	4	Άνοδος	Μέγιστη ώση ανόδου	0	3 000			
A310-304	DEFAULT	4	5	Επιτάχυνση	Μέγιστη ώση ανόδου	0		1 234,1	250	
A310-304	DEFAULT	4	6	Άνοδος	Μέγιστη ώση ανόδου	0	5 500			

▼**M2**

ACFTID	Profile_ID (Προφίλ αναχώρησης)	Μήκος καλυπτόμενης διαδρομής	Αριθμός σταδίου	Είδος σταδίου	Μέγεθος ώσης	Flap_ID (Θέση πτερυγίων καμπυλότητας)	Οροφή ανόδου (ft)	Ρυθμός ανόδου (ft/min)	Διακριβωμένη ταχύτητα αέρα στην οροφή ανόδου (kt)	Ποσοστό επιτάχυνσης (%)
A310-304	DEFAULT	4	7	Άνοδος	Μέγιστη ώση ανόδου	0	7 500			
A310-304	DEFAULT	4	8	Άνοδος	Μέγιστη ώση ανόδου	0	10 000			
A310-304	DEFAULT	5	1	Απογείωση	Μέγιστη ώση απογείωσης	1500				
A310-304	DEFAULT	5	2	Άνοδος	Μέγιστη ώση απογείωσης	1500	1 000			
A310-304	DEFAULT	5	3	Επιτάχυνση	Μέγιστη ώση απογείωσης	1500		1 151,8	200,9	
A310-304	DEFAULT	5	4	Άνοδος	Μέγιστη ώση ανόδου	0	3 000			
A310-304	DEFAULT	5	5	Επιτάχυνση	Μέγιστη ώση ανόδου	0		1 117,9	250	
A310-304	DEFAULT	5	6	Άνοδος	Μέγιστη ώση ανόδου	0	5 500			
A310-304	DEFAULT	5	7	Άνοδος	Μέγιστη ώση ανόδου	0	7 500			
A310-304	DEFAULT	5	8	Άνοδος	Μέγιστη ώση ανόδου	0	10 000			
A310-304	DEFAULT	6	1	Απογείωση	Μέγιστη ώση απογείωσης	1500				
A310-304	DEFAULT	6	2	Άνοδος	Μέγιστη ώση απογείωσης	1500	1 000			
A310-304	DEFAULT	6	3	Επιτάχυνση	Μέγιστη ώση απογείωσης	1500		990,5	214,3	
A310-304	DEFAULT	6	4	Άνοδος	Μέγιστη ώση ανόδου	0	3 000			

▼**M2**

ACFTID	Profile_ID (Προφίλ αναχώρησης)	Μήκος καλυπτόμενης διαδρομής	Αριθμός σταδίου	Είδος σταδίου	Μέγεθος ώσης	Flap_ID (Θέση πτερυγίων καμπυλότητας)	Οροφή ανόδου (ft)	Ρυθμός ανόδου (ft/min)	Διακριβωμένη ταχύτητα αέρα στην οροφή ανόδου (kt)	Ποσοστό επιτάχυνσης (%)
A310-304	DEFAULT	6	5	Επιτάχυνση	Μέγιστη ώση ανόδου	0		944,8	250	
A310-304	DEFAULT	6	6	Άνοδος	Μέγιστη ώση ανόδου	0	5 500			
A310-304	DEFAULT	6	7	Άνοδος	Μέγιστη ώση ανόδου	0	7 500			
A310-304	DEFAULT	6	8	Άνοδος	Μέγιστη ώση ανόδου	0	10 000			
A310-304	ICAO_A	1	1	Απογείωση	Μέγιστη ώση απογείωσης	1500				
A310-304	ICAO_A	1	2	Άνοδος	Μέγιστη ώση απογείωσης	1500	1 500			
A310-304	ICAO_A	1	3	Άνοδος	Μέγιστη ώση ανόδου	1500	3 000			
A310-304	ICAO_A	1	4	Επιτάχυνση	Μέγιστη ώση ανόδου	1500		1 167,6	179,4	
A310-304	ICAO_A	1	5	Επιτάχυνση	Μέγιστη ώση ανόδου	0		1 273,6	200,4	
A310-304	ICAO_A	1	6	Επιτάχυνση	Μέγιστη ώση ανόδου	0		1 496,6	250	
A310-304	ICAO_A	1	7	Άνοδος	Μέγιστη ώση ανόδου	0	5 500			
A310-304	ICAO_A	1	8	Άνοδος	Μέγιστη ώση ανόδου	0	7 500			
A310-304	ICAO_A	1	9	Άνοδος	Μέγιστη ώση ανόδου	0	10 000			
A310-304	ICAO_A	2	1	Απογείωση	Μέγιστη ώση απογείωσης	1500				

▼**M2**

ACFTID	Profile_ID (Προφίλ αναχώρησης)	Μήκος καλυπτόμενης διαδρομής	Αριθμός σταδίου	Είδος σταδίου	Μέγεθος ώσης	Flap_ID (Θέση πτερυγίων καμπυλότητας)	Οροφή ανόδου (ft)	Ρυθμός ανόδου (ft/min)	Διακριβωμένη ταχύτητα αέρα στην οροφή ανόδου (kt)	Ποσοστό επιτάχυνσης (%)
A310-304	ICAO_A	2	2	Άνοδος	Μέγιστη ώση απογείωσης	1500	1 500			
A310-304	ICAO_A	2	3	Άνοδος	Μέγιστη ώση ανόδου	1500	3 000			
A310-304	ICAO_A	2	4	Επιτάχυνση	Μέγιστη ώση ανόδου	1500		1 115,8	182,9	
A310-304	ICAO_A	2	5	Επιτάχυνση	Μέγιστη ώση ανόδου	0		1 222,3	202,8	
A310-304	ICAO_A	2	6	Επιτάχυνση	Μέγιστη ώση ανόδου	0		1 430,5	250	
A310-304	ICAO_A	2	7	Άνοδος	Μέγιστη ώση ανόδου	0	5 500			
A310-304	ICAO_A	2	8	Άνοδος	Μέγιστη ώση ανόδου	0	7 500			
A310-304	ICAO_A	2	9	Άνοδος	Μέγιστη ώση ανόδου	0	10 000			
A310-304	ICAO_A	3	1	Απογείωση	Μέγιστη ώση απογείωσης	1500				
A310-304	ICAO_A	3	2	Άνοδος	Μέγιστη ώση απογείωσης	1500	1 500			
A310-304	ICAO_A	3	3	Άνοδος	Μέγιστη ώση ανόδου	1500	3 000			
A310-304	ICAO_A	3	4	Επιτάχυνση	Μέγιστη ώση ανόδου	1500		1 065,4	186,5	
A310-304	ICAO_A	3	5	Επιτάχυνση	Μέγιστη ώση ανόδου	0		1 172,6	205,3	

▼**M2**

ACFTID	Profile_ID (Προφίλ αναχώρησης)	Μήκος καλυπτόμενης διαδρομής	Αριθμός σταδίου	Είδος σταδίου	Μέγεθος ώσης	Flap_ID (Θέση πτερυγίων καμπυλότητας)	Οροφή ανόδου (ft)	Ρυθμός ανόδου (ft/min)	Διακριβωμένη ταχύτητα αέρα στην οροφή ανόδου (kt)	Ποσοστό επιτάχυνσης (%)
A310-304	ICAO_A	3	6	Επιτάχυνση	Μέγιστη ώση ανόδου	0		1 366,6	250	
A310-304	ICAO_A	3	7	Άνοδος	Μέγιστη ώση ανόδου	0	5 500			
A310-304	ICAO_A	3	8	Άνοδος	Μέγιστη ώση ανόδου	0	7 500			
A310-304	ICAO_A	3	9	Άνοδος	Μέγιστη ώση ανόδου	0	10 000			
A310-304	ICAO_A	4	1	Απογείωση	Μέγιστη ώση απογείωσης	1500				
A310-304	ICAO_A	4	2	Άνοδος	Μέγιστη ώση απογείωσης	1500	1 500			
A310-304	ICAO_A	4	3	Άνοδος	Μέγιστη ώση ανόδου	1500	3 000			
A310-304	ICAO_A	4	4	Επιτάχυνση	Μέγιστη ώση ανόδου	1500		984,3	192,7	
A310-304	ICAO_A	4	5	Επιτάχυνση	Μέγιστη ώση ανόδου	0		1 091,4	209,7	
A310-304	ICAO_A	4	6	Επιτάχυνση	Μέγιστη ώση ανόδου	0		1 262,9	250	
A310-304	ICAO_A	4	7	Άνοδος	Μέγιστη ώση ανόδου	0	5 500			
A310-304	ICAO_A	4	8	Άνοδος	Μέγιστη ώση ανόδου	0	7 500			
A310-304	ICAO_A	4	9	Άνοδος	Μέγιστη ώση ανόδου	0	10 000			
A310-304	ICAO_A	5	1	Απογείωση	Μέγιστη ώση απογείωσης	1500				

▼**M2**

ACFTID	Profile_ID (Προφίλ αναχώρησης)	Μήκος καλυπτόμενης διαδρομής	Αριθμός σταδίου	Είδος σταδίου	Μέγεθος ώσης	Flap_ID (Θέση πτερυγίων καμπυλότητας)	Οροφή ανόδου (ft)	Ρυθμός ανόδου (ft/min)	Διακριβωμένη ταχύτητα αέρα στην οροφή ανόδου (kt)	Ποσοστό επιτάχυνσης (%)
A310-304	ICAO_A	5	2	Άνοδος	Μέγιστη ώση απογείωσης	1500	1 500			
A310-304	ICAO_A	5	3	Άνοδος	Μέγιστη ώση ανόδου	1500	3 000			
A310-304	ICAO_A	5	4	Επιτάχυνση	Μέγιστη ώση ανόδου	1500		888,4	200,8	
A310-304	ICAO_A	5	5	Επιτάχυνση	Μέγιστη ώση ανόδου	0		994,5	215,7	
A310-304	ICAO_A	5	6	Επιτάχυνση	Μέγιστη ώση ανόδου	0		1 140,7	250	
A310-304	ICAO_A	5	7	Άνοδος	Μέγιστη ώση ανόδου	0	5 500			
A310-304	ICAO_A	5	8	Άνοδος	Μέγιστη ώση ανόδου	0	7 500			
A310-304	ICAO_A	5	9	Άνοδος	Μέγιστη ώση ανόδου	0	10 000			
A310-304	ICAO_A	6	1	Απογείωση	Μέγιστη ώση απογείωσης	1500				
A310-304	ICAO_A	6	2	Άνοδος	Μέγιστη ώση απογείωσης	1500	1 500			
A310-304	ICAO_A	6	3	Άνοδος	Μέγιστη ώση ανόδου	1500	3 000			
A310-304	ICAO_A	6	4	Επιτάχυνση	Μέγιστη ώση ανόδου	1500		747,4	214,2	
A310-304	ICAO_A	6	5	Επιτάχυνση	Μέγιστη ώση ανόδου	0		848,6	226,2	
A310-304	ICAO_A	6	6	Επιτάχυνση	Μέγιστη ώση ανόδου	0		959,5	250	

▼**M2**

ACFTID	Profile_ID (Προφίλ αναχώρησης)	Μήκος καλυπτόμενης διαδρομής	Αριθμός σταδίου	Είδος σταδίου	Μέγεθος ώσης	Flap_ID (Θέση πτερυγίων καμπυλότητας)	Οροφή ανόδου (ft)	Ρυθμός ανόδου (ft/min)	Διακριβωμένη ταχύτητα αέρα στην οροφή ανόδου (kt)	Ποσοστό επιτάχυνσης (%)
A310-304	ICAO_A	6	7	Άνοδος	Μέγιστη ώση ανόδου	0	5 500			
A310-304	ICAO_A	6	8	Άνοδος	Μέγιστη ώση ανόδου	0	7 500			
A310-304	ICAO_A	6	9	Άνοδος	Μέγιστη ώση ανόδου	0	10 000			
A310-304	ICAO_B	1	1	Απογείωση	Μέγιστη ώση απογείωσης	1500				
A310-304	ICAO_B	1	2	Άνοδος	Μέγιστη ώση απογείωσης	1500	1 000			
A310-304	ICAO_B	1	3	Επιτάχυνση	Μέγιστη ώση απογείωσης	1500		1 475,7	179,5	
A310-304	ICAO_B	1	4	Άνοδος	Μέγιστη ώση ανόδου	0	3 000			
A310-304	ICAO_B	1	5	Επιτάχυνση	Μέγιστη ώση ανόδου	0		1 454,9	250	
A310-304	ICAO_B	1	6	Άνοδος	Μέγιστη ώση ανόδου	0	5 500			
A310-304	ICAO_B	1	7	Άνοδος	Μέγιστη ώση ανόδου	0	7 500			
A310-304	ICAO_B	1	8	Άνοδος	Μέγιστη ώση ανόδου	0	10 000			
A310-304	ICAO_B	2	1	Απογείωση	Μέγιστη ώση απογείωσης	1500				
A310-304	ICAO_B	2	2	Άνοδος	Μέγιστη ώση απογείωσης	1500	1 000			
A310-304	ICAO_B	2	3	Επιτάχυνση	Μέγιστη ώση απογείωσης	1500		1 415,7	183	

▼**M2**

ACFTID	Profile_ID (Προφίλ αναχώρησης)	Μήκος καλυπτόμενης διαδρομής	Αριθμός σταδίου	Είδος σταδίου	Μέγεθος ώσης	Flap_ID (Θέση πτερυγίων καμπυλότητας)	Οροφή ανόδου (ft)	Ρυθμός ανόδου (ft/min)	Διακριβωμένη ταχύτητα αέρα στην οροφή ανόδου (kt)	Ποσοστό επιτάχυνσης (%)
A310-304	ICAO_B	2	4	Άνοδος	Μέγιστη ώση ανόδου	0	3 000			
A310-304	ICAO_B	2	5	Επιτάχυνση	Μέγιστη ώση ανόδου	0		1 392,7	250	
A310-304	ICAO_B	2	6	Άνοδος	Μέγιστη ώση ανόδου	0	5 500			
A310-304	ICAO_B	2	7	Άνοδος	Μέγιστη ώση ανόδου	0	7 500			
A310-304	ICAO_B	2	8	Άνοδος	Μέγιστη ώση ανόδου	0	10 000			
A310-304	ICAO_B	3	1	Απογείωση	Μέγιστη ώση απογείωσης	1500				
A310-304	ICAO_B	3	2	Άνοδος	Μέγιστη ώση απογείωσης	1500	1 000			
A310-304	ICAO_B	3	3	Επιτάχυνση	Μέγιστη ώση απογείωσης	1500		1 357	186,6	
A310-304	ICAO_B	3	4	Άνοδος	Μέγιστη ώση ανόδου	0	3 000			
A310-304	ICAO_B	3	5	Επιτάχυνση	Μέγιστη ώση ανόδου	0		1 332,3	250	
A310-304	ICAO_B	3	6	Άνοδος	Μέγιστη ώση ανόδου	0	5 500			
A310-304	ICAO_B	3	7	Άνοδος	Μέγιστη ώση ανόδου	0	7 500			
A310-304	ICAO_B	3	8	Άνοδος	Μέγιστη ώση ανόδου	0	10 000			
A310-304	ICAO_B	4	1	Απογείωση	Μέγιστη ώση απογείωσης	1500				

▼**M2**

ACFTID	Profile_ID (Προφίλ αναχώρησης)	Μήκος καλυπτόμενης διαδρομής	Αριθμός σταδίου	Είδος σταδίου	Μέγεθος ώσης	Flap_ID (Θέση πτερυγίων καμπυλότητας)	Οροφή ανόδου (ft)	Ρυθμός ανόδου (ft/min)	Διακριβωμένη ταχύτητα αέρα στην οροφή ανόδου (kt)	Ποσοστό επιτάχυνσης (%)
A310-304	ICAO_B	4	2	Άνοδος	Μέγιστη ώση απογείωσης	1500	1 000			
A310-304	ICAO_B	4	3	Επιτάχυνση	Μέγιστη ώση απογείωσης	1500		1 262,8	192,8	
A310-304	ICAO_B	4	4	Άνοδος	Μέγιστη ώση ανόδου	0	3 000			
A310-304	ICAO_B	4	5	Επιτάχυνση	Μέγιστη ώση ανόδου	0		1 234,1	250	
A310-304	ICAO_B	4	6	Άνοδος	Μέγιστη ώση ανόδου	0	5 500			
A310-304	ICAO_B	4	7	Άνοδος	Μέγιστη ώση ανόδου	0	7 500			
A310-304	ICAO_B	4	8	Άνοδος	Μέγιστη ώση ανόδου	0	10 000			
A310-304	ICAO_B	5	1	Απογείωση	Μέγιστη ώση απογείωσης	1500				
A310-304	ICAO_B	5	2	Άνοδος	Μέγιστη ώση απογείωσης	1500	1 000			
A310-304	ICAO_B	5	3	Επιτάχυνση	Μέγιστη ώση απογείωσης	1500		1 151,8	200,9	
A310-304	ICAO_B	5	4	Άνοδος	Μέγιστη ώση ανόδου	0	3 000			
A310-304	ICAO_B	5	5	Επιτάχυνση	Μέγιστη ώση ανόδου	0		1 117,9	250	
A310-304	ICAO_B	5	6	Άνοδος	Μέγιστη ώση ανόδου	0	5 500			
A310-304	ICAO_B	5	7	Άνοδος	Μέγιστη ώση ανόδου	0	7 500			

▼**M2**

ACFTID	Profile_ID (Προφίλ αναχώρησης)	Μήκος καλυπτόμενης διαδρομής	Αριθμός σταδίου	Είδος σταδίου	Μέγεθος ώσης	Flap_ID (Θέση πτερυγίων καμπυλότητας)	Οροφή ανόδου (ft)	Ρυθμός ανόδου (ft/min)	Διακριβωμένη ταχύτητα αέρα στην οροφή ανόδου (kt)	Ποσοστό επιτάχυνσης (%)
A310-304	ICAO_B	5	8	Άνοδος	Μέγιστη ώση ανόδου	0	10 000			
A310-304	ICAO_B	6	1	Απογείωση	Μέγιστη ώση απογείωσης	1500				
A310-304	ICAO_B	6	2	Άνοδος	Μέγιστη ώση απογείωσης	1500	1 000			
A310-304	ICAO_B	6	3	Επιτάχυνση	Μέγιστη ώση απογείωσης	1500		990,5	214,3	
A310-304	ICAO_B	6	4	Άνοδος	Μέγιστη ώση ανόδου	0	3 000			
A310-304	ICAO_B	6	5	Επιτάχυνση	Μέγιστη ώση ανόδου	0		944,8	250	
A310-304	ICAO_B	6	6	Άνοδος	Μέγιστη ώση ανόδου	0	5 500			
A310-304	ICAO_B	6	7	Άνοδος	Μέγιστη ώση ανόδου	0	7 500			
A310-304	ICAO_B	6	8	Άνοδος	Μέγιστη ώση ανόδου	0	10 000			
A319-131	DEFAULT	1	1	Απογείωση	Μέγιστη ώση απογείωσης	1+F				
A319-131	DEFAULT	1	2	Άνοδος	Μέγιστη ώση απογείωσης	1+F	1 000			
A319-131	DEFAULT	1	3	Επιτάχυνση	Μέγιστη ώση απογείωσης	1+F		1 042,6	181,6	
A319-131	DEFAULT	1	4	Επιτάχυνση	Μέγιστη ώση απογείωσης	1		1 177,5	200,7	
A319-131	DEFAULT	1	5	Άνοδος	Μέγιστη ώση ανόδου	ZERO	3 000			
A319-131	DEFAULT	1	6	Επιτάχυνση	Μέγιστη ώση ανόδου	ZERO		1 320,8	250	

▼**M2**

ACFTID	Profile_ID (Προφίλ αναχώρησης)	Μήκος καλυπτόμενης διαδρομής	Αριθμός σταδίου	Είδος σταδίου	Μέγεθος ώσης	Flap_ID (Θέση πτερυγίων καμπυλότητας)	Οροφή ανόδου (ft)	Ρυθμός ανόδου (ft/min)	Διακριβωμένη ταχύτητα αέρα στην οροφή ανόδου (kt)	Ποσοστό επιτάχυνσης (%)
A319-131	DEFAULT	1	7	Άνοδος	Μέγιστη ώση ανόδου	ZERO	5 500			
A319-131	DEFAULT	1	8	Άνοδος	Μέγιστη ώση ανόδου	ZERO	7 500			
A319-131	DEFAULT	1	9	Άνοδος	Μέγιστη ώση ανόδου	ZERO	10 000			
A319-131	DEFAULT	2	1	Απογείωση	Μέγιστη ώση απογείωσης	1+F				
A319-131	DEFAULT	2	2	Άνοδος	Μέγιστη ώση απογείωσης	1+F	1 000			
A319-131	DEFAULT	2	3	Επιτάχυνση	Μέγιστη ώση απογείωσης	1+F		997,1	185,3	
A319-131	DEFAULT	2	4	Επιτάχυνση	Μέγιστη ώση απογείωσης	1		1 128,9	203,3	
A319-131	DEFAULT	2	5	Άνοδος	Μέγιστη ώση ανόδου	ZERO	3 000			
A319-131	DEFAULT	2	6	Επιτάχυνση	Μέγιστη ώση ανόδου	ZERO		1 264	250	
A319-131	DEFAULT	2	7	Άνοδος	Μέγιστη ώση ανόδου	ZERO	5 500			
A319-131	DEFAULT	2	8	Άνοδος	Μέγιστη ώση ανόδου	ZERO	7 500			
A319-131	DEFAULT	2	9	Άνοδος	Μέγιστη ώση ανόδου	ZERO	10 000			
A319-131	DEFAULT	3	1	Απογείωση	Μέγιστη ώση απογείωσης	1+F				
A319-131	DEFAULT	3	2	Άνοδος	Μέγιστη ώση απογείωσης	1+F	1 000			
A319-131	DEFAULT	3	3	Επιτάχυνση	Μέγιστη ώση απογείωσης	1+F		952,7	189	

▼**M2**

ACFTID	Profile_ID (Προφίλ αναχώρησης)	Μήκος καλυπτόμενης διαδρομής	Αριθμός σταδίου	Είδος σταδίου	Μέγεθος ώσης	Flap_ID (Θέση πτερυγίων καμπυλότητας)	Οροφή ανόδου (ft)	Ρυθμός ανόδου (ft/min)	Διακριβωμένη ταχύτητα αέρα στην οροφή ανόδου (kt)	Ποσοστό επιτάχυνσης (%)
A319-131	DEFAULT	3	4	Επιτάχυνση	Μέγιστη ώση απογείωσης	1		1 081	206	
A319-131	DEFAULT	3	5	Άνοδος	Μέγιστη ώση ανόδου	ZERO	3 000			
A319-131	DEFAULT	3	6	Επιτάχυνση	Μέγιστη ώση ανόδου	ZERO		1 208,7	250	
A319-131	DEFAULT	3	7	Άνοδος	Μέγιστη ώση ανόδου	ZERO	5 500			
A319-131	DEFAULT	3	8	Άνοδος	Μέγιστη ώση ανόδου	ZERO	7 500			
A319-131	DEFAULT	3	9	Άνοδος	Μέγιστη ώση ανόδου	ZERO	10 000			
A319-131	DEFAULT	4	1	Απογείωση	Μέγιστη ώση απογείωσης	1+F				
A319-131	DEFAULT	4	2	Άνοδος	Μέγιστη ώση απογείωσης	1+F	1 000			
A319-131	DEFAULT	4	3	Επιτάχυνση	Μέγιστη ώση απογείωσης	1+F		880,8	195,6	
A319-131	DEFAULT	4	4	Επιτάχυνση	Μέγιστη ώση απογείωσης	1		1 001,7	210,8	
A319-131	DEFAULT	4	5	Άνοδος	Μέγιστη ώση ανόδου	ZERO	3 000			
A319-131	DEFAULT	4	6	Επιτάχυνση	Μέγιστη ώση ανόδου	ZERO		1 119,6	250	
A319-131	DEFAULT	4	7	Άνοδος	Μέγιστη ώση ανόδου	ZERO	5 500			
A319-131	DEFAULT	4	8	Άνοδος	Μέγιστη ώση ανόδου	ZERO	7 500			
A319-131	DEFAULT	4	9	Άνοδος	Μέγιστη ώση ανόδου	ZERO	10 000			

▼**M2**

ACFTID	Profile_ID (Προφίλ αναχώρησης)	Μήκος καλυπτόμενης διαδρομής	Αριθμός σταδίου	Είδος σταδίου	Μέγεθος ώσης	Flap_ID (Θέση πτερυγίων καμπυλότητας)	Οροφή ανόδου (ft)	Ρυθμός ανόδου (ft/min)	Διακριβωμένη ταχύτητα αέρα στην οροφή ανόδου (kt)	Ποσοστό επιτάχυνσης (%)
A319-131	DEFAULT	5	1	Απογείωση	Μέγιστη ώση απογείωσης	1+F				
A319-131	DEFAULT	5	2	Επιτάχυνση	Μέγιστη ώση απογείωσης	1+F		735,2	169,7	
A319-131	DEFAULT	5	3	Άνοδος	Μέγιστη ώση απογείωσης	1+F	1 000			
A319-131	DEFAULT	5	4	Επιτάχυνση	Μέγιστη ώση απογείωσης	1+F		793,4	208,8	
A319-131	DEFAULT	5	5	Επιτάχυνση	Μέγιστη ώση απογείωσης	ZERO		860	221,2	
A319-131	DEFAULT	5	6	Άνοδος	Μέγιστη ώση ανόδου	ZERO	3 000			
A319-131	DEFAULT	5	7	Επιτάχυνση	Μέγιστη ώση ανόδου	ZERO		964,2	250	
A319-131	DEFAULT	5	8	Άνοδος	Μέγιστη ώση ανόδου	ZERO	5 500			
A319-131	DEFAULT	5	9	Άνοδος	Μέγιστη ώση ανόδου	ZERO	7 500			
A319-131	DEFAULT	5	10	Άνοδος	Μέγιστη ώση ανόδου	ZERO	10 000			
A319-131	ICAO_A	1	1	Απογείωση	Μέγιστη ώση απογείωσης	1+F				
A319-131	ICAO_A	1	2	Άνοδος	Μέγιστη ώση απογείωσης	1+F	1 500			
A319-131	ICAO_A	1	3	Άνοδος	Μέγιστη ώση ανόδου	1+F	3 000			
A319-131	ICAO_A	1	4	Επιτάχυνση	Μέγιστη ώση ανόδου	1+F		822,7	181,4	
A319-131	ICAO_A	1	5	Επιτάχυνση	Μέγιστη ώση ανόδου	1		972,3	196,5	

▼**M2**

ACFTID	Profile_ID (Προφίλ αναχώρησης)	Μήκος καλυπτόμενης διαδρομής	Αριθμός σταδίου	Είδος σταδίου	Μέγεθος ώσης	Flap_ID (Θέση πτερυγίων καμπυλότητας)	Οροφή ανόδου (ft)	Ρυθμός ανόδου (ft/min)	Διακριβωμένη ταχύτητα αέρα στην οροφή ανόδου (kt)	Ποσοστό επιτάχυνσης (%)
A319-131	ICAO_A	1	6	Επιτάχυνση	Μέγιστη ώση ανόδου	ZERO		1 162,8	223,8	
A319-131	ICAO_A	1	7	Επιτάχυνση	Μέγιστη ώση ανόδου	ZERO		1 374,2	250	
A319-131	ICAO_A	1	8	Άνοδος	Μέγιστη ώση ανόδου	ZERO	5 500			
A319-131	ICAO_A	1	9	Άνοδος	Μέγιστη ώση ανόδου	ZERO	7 500			
A319-131	ICAO_A	1	10	Άνοδος	Μέγιστη ώση ανόδου	ZERO	10 000			
A319-131	ICAO_A	2	1	Απογείωση	Μέγιστη ώση απογείωσης	1+F				
A319-131	ICAO_A	2	2	Άνοδος	Μέγιστη ώση απογείωσης	1+F	1 500			
A319-131	ICAO_A	2	3	Άνοδος	Μέγιστη ώση ανόδου	1+F	3 000			
A319-131	ICAO_A	2	4	Επιτάχυνση	Μέγιστη ώση ανόδου	1+F		786,5	185,2	
A319-131	ICAO_A	2	5	Επιτάχυνση	Μέγιστη ώση ανόδου	1		935,4	199,4	
A319-131	ICAO_A	2	6	Επιτάχυνση	Μέγιστη ώση ανόδου	ZERO		1 115,9	225,3	
A319-131	ICAO_A	2	7	Επιτάχυνση	Μέγιστη ώση ανόδου	ZERO		1 312,1	250	
A319-131	ICAO_A	2	8	Άνοδος	Μέγιστη ώση ανόδου	ZERO	5 500			
A319-131	ICAO_A	2	9	Άνοδος	Μέγιστη ώση ανόδου	ZERO	7 500			

▼**M2**

ACFTID	Profile_ID (Προφίλ αναχώρησης)	Μήκος καλυπτόμενης διαδρομής	Αριθμός σταδίου	Είδος σταδίου	Μέγεθος ώσης	Flap_ID (Θέση πτερυγίων καμπυλότητας)	Οροφή ανόδου (ft)	Ρυθμός ανόδου (ft/min)	Διακριβωμένη ταχύτητα αέρα στην οροφή ανόδου (kt)	Ποσοστό επιτάχυνσης (%)
A319-131	ICAO_A	2	10	Άνοδος	Μέγιστη ώση ανόδου	ZERO	10 000			
A319-131	ICAO_A	3	1	Απογείωση	Μέγιστη ώση απογείωσης	1+F				
A319-131	ICAO_A	3	2	Άνοδος	Μέγιστη ώση απογείωσης	1+F	1 500			
A319-131	ICAO_A	3	3	Άνοδος	Μέγιστη ώση ανόδου	1+F	3 000			
A319-131	ICAO_A	3	4	Επιτάχυνση	Μέγιστη ώση ανόδου	1+F		751,1	188,9	
A319-131	ICAO_A	3	5	Επιτάχυνση	Μέγιστη ώση ανόδου	1		899,4	202,4	
A319-131	ICAO_A	3	6	Επιτάχυνση	Μέγιστη ώση ανόδου	ZERO		1 070,2	226,9	
A319-131	ICAO_A	3	7	Επιτάχυνση	Μέγιστη ώση ανόδου	ZERO		1 252	250	
A319-131	ICAO_A	3	8	Άνοδος	Μέγιστη ώση ανόδου	ZERO	5 500			
A319-131	ICAO_A	3	9	Άνοδος	Μέγιστη ώση ανόδου	ZERO	7 500			
A319-131	ICAO_A	3	10	Άνοδος	Μέγιστη ώση ανόδου	ZERO	10 000			
A319-131	ICAO_A	4	1	Απογείωση	Μέγιστη ώση απογείωσης	1+F				
A319-131	ICAO_A	4	2	Άνοδος	Μέγιστη ώση απογείωσης	1+F	1 500			
A319-131	ICAO_A	4	3	Άνοδος	Μέγιστη ώση ανόδου	1+F	3 000			

▼**M2**

ACFTID	Profile_ID (Προφίλ αναχώρησης)	Μήκος καλυπτόμενης διαδρομής	Αριθμός σταδίου	Είδος σταδίου	Μέγεθος ώσης	Flap_ID (Θέση πτερυγίων καμπυλότητας)	Οροφή ανόδου (ft)	Ρυθμός ανόδου (ft/min)	Διακριβωμένη ταχύτητα αέρα στην οροφή ανόδου (kt)	Ποσοστό επιτάχυνσης (%)
A319-131	ICAO_A	4	4	Επιτάχυνση	Μέγιστη ώση ανόδου	1+F		693,7	195,4	
A319-131	ICAO_A	4	5	Επιτάχυνση	Μέγιστη ώση ανόδου	1		840,2	207,6	
A319-131	ICAO_A	4	6	Επιτάχυνση	Μέγιστη ώση ανόδου	ZERO		996,8	230	
A319-131	ICAO_A	4	7	Επιτάχυνση	Μέγιστη ώση ανόδου	ZERO		1 155,3	250	
A319-131	ICAO_A	4	8	Άνοδος	Μέγιστη ώση ανόδου	ZERO	5 500			
A319-131	ICAO_A	4	9	Άνοδος	Μέγιστη ώση ανόδου	ZERO	7 500			
A319-131	ICAO_A	4	10	Άνοδος	Μέγιστη ώση ανόδου	ZERO	10 000			
A319-131	ICAO_A	5	1	Απογείωση	Μέγιστη ώση απογείωσης	1+F				
A319-131	ICAO_A	5	2	Επιτάχυνση	Μέγιστη ώση απογείωσης	1+F		735,2	169,7	
A319-131	ICAO_A	5	3	Άνοδος	Μέγιστη ώση απογείωσης	1+F	1 500			
A319-131	ICAO_A	5	4	Άνοδος	Μέγιστη ώση ανόδου	1+F	3 000			
A319-131	ICAO_A	5	5	Επιτάχυνση	Μέγιστη ώση ανόδου	1+F		637,2	208,7	
A319-131	ICAO_A	5	6	Επιτάχυνση	Μέγιστη ώση ανόδου	1		733,4	218,7	
A319-131	ICAO_A	5	7	Επιτάχυνση	Μέγιστη ώση ανόδου	ZERO		869,2	237,4	

▼**M2**

ACFTID	Profile_ID (Προφίλ αναχώρησης)	Μήκος καλυπτόμενης διαδρομής	Αριθμός σταδίου	Είδος σταδίου	Μέγεθος ώσης	Flap_ID (Θέση πτερυγίων καμπυλότητας)	Οροφή ανόδου (ft)	Ρυθμός ανόδου (ft/min)	Διακριβωμένη ταχύτητα αέρα στην οροφή ανόδου (kt)	Ποσοστό επιτάχυνσης (%)
A319-131	ICAO_A	5	8	Επιτάχυνση	Μέγιστη ώση ανόδου	ZERO		987,8	250	
A319-131	ICAO_A	5	9	Άνοδος	Μέγιστη ώση ανόδου	ZERO	5 500			
A319-131	ICAO_A	5	10	Άνοδος	Μέγιστη ώση ανόδου	ZERO	7 500			
A319-131	ICAO_A	5	11	Άνοδος	Μέγιστη ώση ανόδου	ZERO	10 000			
A319-131	ICAO_B	1	1	Απογείωση	Μέγιστη ώση απογείωσης	1+F				
A319-131	ICAO_B	1	2	Άνοδος	Μέγιστη ώση απογείωσης	1+F	1 000			
A319-131	ICAO_B	1	3	Επιτάχυνση	Μέγιστη ώση απογείωσης	1+F		1 042,6	181,6	
A319-131	ICAO_B	1	4	Επιτάχυνση	Μέγιστη ώση απογείωσης	1		1 177,5	200,7	
A319-131	ICAO_B	1	5	Άνοδος	Μέγιστη ώση ανόδου	ZERO	3 000			
A319-131	ICAO_B	1	6	Επιτάχυνση	Μέγιστη ώση ανόδου	ZERO		1 320,8	250	
A319-131	ICAO_B	1	7	Άνοδος	Μέγιστη ώση ανόδου	ZERO	5 500			
A319-131	ICAO_B	1	8	Άνοδος	Μέγιστη ώση ανόδου	ZERO	7 500			
A319-131	ICAO_B	1	9	Άνοδος	Μέγιστη ώση ανόδου	ZERO	10 000			
A319-131	ICAO_B	2	1	Απογείωση	Μέγιστη ώση απογείωσης	1+F				
A319-131	ICAO_B	2	2	Άνοδος	Μέγιστη ώση απογείωσης	1+F	1 000			

▼**M2**

ACFTID	Profile_ID (Προφίλ αναχώρησης)	Μήκος καλυπτόμενης διαδρομής	Αριθμός σταδίου	Είδος σταδίου	Μέγεθος ώσης	Flap_ID (Θέση πτερυγίων καμπυλότητας)	Οροφή ανόδου (ft)	Ρυθμός ανόδου (ft/min)	Διακριβωμένη ταχύτητα αέρα στην οροφή ανόδου (kt)	Ποσοστό επιτάχυνσης (%)
A319-131	ICAO_B	2	3	Επιτάχυνση	Μέγιστη ώση απογείωσης	1+F		997,1	185,3	
A319-131	ICAO_B	2	4	Επιτάχυνση	Μέγιστη ώση απογείωσης	1		1 128,9	203,3	
A319-131	ICAO_B	2	5	Άνοδος	Μέγιστη ώση ανόδου	ZERO	3 000			
A319-131	ICAO_B	2	6	Επιτάχυνση	Μέγιστη ώση ανόδου	ZERO		1 264	250	
A319-131	ICAO_B	2	7	Άνοδος	Μέγιστη ώση ανόδου	ZERO	5 500			
A319-131	ICAO_B	2	8	Άνοδος	Μέγιστη ώση ανόδου	ZERO	7 500			
A319-131	ICAO_B	2	9	Άνοδος	Μέγιστη ώση ανόδου	ZERO	10 000			
A319-131	ICAO_B	3	1	Απογείωση	Μέγιστη ώση απογείωσης	1+F				
A319-131	ICAO_B	3	2	Άνοδος	Μέγιστη ώση απογείωσης	1+F	1 000			
A319-131	ICAO_B	3	3	Επιτάχυνση	Μέγιστη ώση απογείωσης	1+F		952,7	189	
A319-131	ICAO_B	3	4	Επιτάχυνση	Μέγιστη ώση απογείωσης	1		1 081	206	
A319-131	ICAO_B	3	5	Άνοδος	Μέγιστη ώση ανόδου	ZERO	3 000			
A319-131	ICAO_B	3	6	Επιτάχυνση	Μέγιστη ώση ανόδου	ZERO		1 208,7	250	
A319-131	ICAO_B	3	7	Άνοδος	Μέγιστη ώση ανόδου	ZERO	5 500			
A319-131	ICAO_B	3	8	Άνοδος	Μέγιστη ώση ανόδου	ZERO	7 500			

▼**M2**

ACFTID	Profile_ID (Προφίλ αναχώρησης)	Μήκος καλυπτόμενης διαδρομής	Αριθμός σταδίου	Είδος σταδίου	Μέγεθος ώσης	Flap_ID (Θέση πτερυγίων καμπυλότητας)	Οροφή ανόδου (ft)	Ρυθμός ανόδου (ft/min)	Διακριβωμένη ταχύτητα αέρα στην οροφή ανόδου (kt)	Ποσοστό επιτάχυνσης (%)
A319-131	ICAO_B	3	9	Άνοδος	Μέγιστη ώση ανόδου	ZERO	10 000			
A319-131	ICAO_B	4	1	Απογείωση	Μέγιστη ώση απογείωσης	1+F				
A319-131	ICAO_B	4	2	Άνοδος	Μέγιστη ώση απογείωσης	1+F	1 000			
A319-131	ICAO_B	4	3	Επιτάχυνση	Μέγιστη ώση απογείωσης	1+F		880,8	195,6	
A319-131	ICAO_B	4	4	Επιτάχυνση	Μέγιστη ώση απογείωσης	1		1 001,7	210,8	
A319-131	ICAO_B	4	5	Άνοδος	Μέγιστη ώση ανόδου	ZERO	3 000			
A319-131	ICAO_B	4	6	Επιτάχυνση	Μέγιστη ώση ανόδου	ZERO		1 119,6	250	
A319-131	ICAO_B	4	7	Άνοδος	Μέγιστη ώση ανόδου	ZERO	5 500			
A319-131	ICAO_B	4	8	Άνοδος	Μέγιστη ώση ανόδου	ZERO	7 500			
A319-131	ICAO_B	4	9	Άνοδος	Μέγιστη ώση ανόδου	ZERO	10 000			
A319-131	ICAO_B	5	1	Απογείωση	Μέγιστη ώση απογείωσης	1+F				
A319-131	ICAO_B	5	2	Επιτάχυνση	Μέγιστη ώση απογείωσης	1+F		735,2	169,7	
A319-131	ICAO_B	5	3	Άνοδος	Μέγιστη ώση απογείωσης	1+F	1 000			
A319-131	ICAO_B	5	4	Επιτάχυνση	Μέγιστη ώση απογείωσης	1+F		793,4	208,8	
A319-131	ICAO_B	5	5	Επιτάχυνση	Μέγιστη ώση απογείωσης	ZERO		860	221,2	

▼**M2**

ACFTID	Profile_ID (Προφίλ αναχώρησης)	Μήκος καλυπτόμενης διαδρομής	Αριθμός σταδίου	Είδος σταδίου	Μέγεθος ώσης	Flap_ID (Θέση πτερυγίων καμπυλότητας)	Οροφή ανόδου (ft)	Ρυθμός ανόδου (ft/min)	Διακριβωμένη ταχύτητα αέρα στην οροφή ανόδου (kt)	Ποσοστό επιτάχυνσης (%)
A319-131	ICAO_B	5	6	Άνοδος	Μέγιστη ώση ανόδου	ZERO	3 000			
A319-131	ICAO_B	5	7	Επιτάχυνση	Μέγιστη ώση ανόδου	ZERO		964,2	250	
A319-131	ICAO_B	5	8	Άνοδος	Μέγιστη ώση ανόδου	ZERO	5 500			
A319-131	ICAO_B	5	9	Άνοδος	Μέγιστη ώση ανόδου	ZERO	7 500			
A319-131	ICAO_B	5	10	Άνοδος	Μέγιστη ώση ανόδου	ZERO	10 000			
A320-211	DEFAULT	1	1	Απογείωση	Μέγιστη ώση απογείωσης	1+F				
A320-211	DEFAULT	1	2	Άνοδος	Μέγιστη ώση απογείωσης	1+F	1 000			
A320-211	DEFAULT	1	3	Επιτάχυνση	Μέγιστη ώση απογείωσης	1+F		1 150,5	186,2	
A320-211	DEFAULT	1	4	Επιτάχυνση	Μέγιστη ώση απογείωσης	1		1 300,7	208,1	
A320-211	DEFAULT	1	5	Άνοδος	Μέγιστη ώση ανόδου	ZERO	3 000			
A320-211	DEFAULT	1	6	Επιτάχυνση	Μέγιστη ώση ανόδου	ZERO		1 230,7	250	
A320-211	DEFAULT	1	7	Άνοδος	Μέγιστη ώση ανόδου	ZERO	5 500			
A320-211	DEFAULT	1	8	Άνοδος	Μέγιστη ώση ανόδου	ZERO	7 500			
A320-211	DEFAULT	1	9	Άνοδος	Μέγιστη ώση ανόδου	ZERO	10 000			

▼**M2**

ACFTID	Profile_ID (Προφίλ αναχώρησης)	Μήκος καλυπτόμενης διαδρομής	Αριθμός σταδίου	Είδος σταδίου	Μέγεθος ώσης	Flap_ID (Θέση πτερυγίων καμπυλότητας)	Οροφή ανόδου (ft)	Ρυθμός ανόδου (ft/min)	Διακριβωμένη ταχύτητα αέρα στην οροφή ανόδου (kt)	Ποσοστό επιτάχυνσης (%)
A320-211	DEFAULT	2	1	Απογείωση	Μέγιστη ώση απογείωσης	1+F				
A320-211	DEFAULT	2	2	Άνοδος	Μέγιστη ώση απογείωσης	1+F	1 000			
A320-211	DEFAULT	2	3	Επιτάχυνση	Μέγιστη ώση απογείωσης	1+F		1 098,5	190,2	
A320-211	DEFAULT	2	4	Επιτάχυνση	Μέγιστη ώση απογείωσης	1		1 243,7	210,7	
A320-211	DEFAULT	2	5	Άνοδος	Μέγιστη ώση ανόδου	ZERO	3 000			
A320-211	DEFAULT	2	6	Επιτάχυνση	Μέγιστη ώση ανόδου	ZERO		1 171	250	
A320-211	DEFAULT	2	7	Άνοδος	Μέγιστη ώση ανόδου	ZERO	5 500			
A320-211	DEFAULT	2	8	Άνοδος	Μέγιστη ώση ανόδου	ZERO	7 500			
A320-211	DEFAULT	2	9	Άνοδος	Μέγιστη ώση ανόδου	ZERO	10 000			
A320-211	DEFAULT	3	1	Απογείωση	Μέγιστη ώση απογείωσης	1+F				
A320-211	DEFAULT	3	2	Άνοδος	Μέγιστη ώση απογείωσης	1+F	1 000			
A320-211	DEFAULT	3	3	Επιτάχυνση	Μέγιστη ώση απογείωσης	1+F		1 049,6	194,3	
A320-211	DEFAULT	3	4	Επιτάχυνση	Μέγιστη ώση απογείωσης	1		1 189,2	213,5	
A320-211	DEFAULT	3	5	Άνοδος	Μέγιστη ώση ανόδου	ZERO	3 000			

▼**M2**

ACFTID	Profile_ID (Προφίλ αναχώρησης)	Μήκος καλυπτόμενης διαδρομής	Αριθμός σταδίου	Είδος σταδίου	Μέγεθος ώσης	Flap_ID (Θέση πτερυγίων καμπυλότητας)	Οροφή ανόδου (ft)	Ρυθμός ανόδου (ft/min)	Διακριβωμένη ταχύτητα αέρα στην οροφή ανόδου (kt)	Ποσοστό επιτάχυνσης (%)
A320-211	DEFAULT	3	6	Επιτάχυνση	Μέγιστη ώση ανόδου	ZERO		1 113,9	250	
A320-211	DEFAULT	3	7	Άνοδος	Μέγιστη ώση ανόδου	ZERO	5 500			
A320-211	DEFAULT	3	8	Άνοδος	Μέγιστη ώση ανόδου	ZERO	7 500			
A320-211	DEFAULT	3	9	Άνοδος	Μέγιστη ώση ανόδου	ZERO	10 000			
A320-211	DEFAULT	4	1	Απογείωση	Μέγιστη ώση απογείωσης	1+F				
A320-211	DEFAULT	4	2	Άνοδος	Μέγιστη ώση απογείωσης	1+F	1 000			
A320-211	DEFAULT	4	3	Επιτάχυνση	Μέγιστη ώση απογείωσης	1+F		972,6	201,4	
A320-211	DEFAULT	4	4	Επιτάχυνση	Μέγιστη ώση απογείωσης	1		1 101	218,7	
A320-211	DEFAULT	4	5	Άνοδος	Μέγιστη ώση ανόδου	ZERO	3 000			
A320-211	DEFAULT	4	6	Επιτάχυνση	Μέγιστη ώση ανόδου	ZERO		1 021	250	
A320-211	DEFAULT	4	7	Άνοδος	Μέγιστη ώση ανόδου	ZERO	5 500			
A320-211	DEFAULT	4	8	Άνοδος	Μέγιστη ώση ανόδου	ZERO	7 500			
A320-211	DEFAULT	4	9	Άνοδος	Μέγιστη ώση ανόδου	ZERO	10 000			
A320-211	DEFAULT	5	1	Απογείωση	Μέγιστη ώση απογείωσης	1+F				
A320-211	DEFAULT	5	2	Άνοδος	Μέγιστη ώση απογείωσης	1+F	1 000			

▼**M2**

ACFTID	Profile_ID (Προφίλ αναχώρησης)	Μήκος καλυπτόμενης διαδρομής	Αριθμός σταδίου	Είδος σταδίου	Μέγεθος ώσης	Flap_ID (Θέση πτερυγίων καμπυλότητας)	Οροφή ανόδου (ft)	Ρυθμός ανόδου (ft/min)	Διακριβωμένη ταχύτητα αέρα στην οροφή ανόδου (kt)	Ποσοστό επιτάχυνσης (%)
A320-211	DEFAULT	5	3	Επιτάχυνση	Μέγιστη ώση απογείωσης	1+F		933,1	205,1	
A320-211	DEFAULT	5	4	Επιτάχυνση	Μέγιστη ώση απογείωσης	1		1 056	221,4	
A320-211	DEFAULT	5	5	Άνοδος	Μέγιστη ώση ανόδου	ZERO	3 000			
A320-211	DEFAULT	5	6	Επιτάχυνση	Μέγιστη ώση ανόδου	ZERO		973,2	250	
A320-211	DEFAULT	5	7	Άνοδος	Μέγιστη ώση ανόδου	ZERO	5 500			
A320-211	DEFAULT	5	8	Άνοδος	Μέγιστη ώση ανόδου	ZERO	7 500			
A320-211	DEFAULT	5	9	Άνοδος	Μέγιστη ώση ανόδου	ZERO	10 000			
A320-211	ICAO_A	1	1	Απογείωση	Μέγιστη ώση απογείωσης	1+F				
A320-211	ICAO_A	1	2	Άνοδος	Μέγιστη ώση απογείωσης	1+F	1 500			
A320-211	ICAO_A	1	3	Άνοδος	Μέγιστη ώση ανόδου	1+F	3 000			
A320-211	ICAO_A	1	4	Επιτάχυνση	Μέγιστη ώση ανόδου	1+F		812,1	186,1	
A320-211	ICAO_A	1	5	Επιτάχυνση	Μέγιστη ώση ανόδου	1		933,5	201,2	
A320-211	ICAO_A	1	6	Επιτάχυνση	Μέγιστη ώση ανόδου	ZERO		1 119,7	228,2	
A320-211	ICAO_A	1	7	Επιτάχυνση	Μέγιστη ώση ανόδου	ZERO		1 240,5	250	

▼**M2**

ACFTID	Profile_ID (Προφίλ αναχώρησης)	Μήκος καλυπτόμενης διαδρομής	Αριθμός σταδίου	Είδος σταδίου	Μέγεθος ώσης	Flap_ID (Θέση πτερυγίων καμπυλότητας)	Οροφή ανόδου (ft)	Ρυθμός ανόδου (ft/min)	Διακριβωμένη ταχύτητα αέρα στην οροφή ανόδου (kt)	Ποσοστό επιτάχυνσης (%)
A320-211	ICAO_A	1	8	Άνοδος	Μέγιστη ώση ανόδου	ZERO	5 500			
A320-211	ICAO_A	1	9	Άνοδος	Μέγιστη ώση ανόδου	ZERO	7 500			
A320-211	ICAO_A	1	10	Άνοδος	Μέγιστη ώση ανόδου	ZERO	10 000			
A320-211	ICAO_A	2	1	Απογείωση	Μέγιστη ώση απογείωσης	1+F				
A320-211	ICAO_A	2	2	Άνοδος	Μέγιστη ώση απογείωσης	1+F	1 500			
A320-211	ICAO_A	2	3	Άνοδος	Μέγιστη ώση ανόδου	1+F	3 000			
A320-211	ICAO_A	2	4	Επιτάχυνση	Μέγιστη ώση ανόδου	1+F		769,5	190,1	
A320-211	ICAO_A	2	5	Επιτάχυνση	Μέγιστη ώση ανόδου	1		899,8	204,3	
A320-211	ICAO_A	2	6	Επιτάχυνση	Μέγιστη ώση ανόδου	ZERO		1 069,9	229,9	
A320-211	ICAO_A	2	7	Επιτάχυνση	Μέγιστη ώση ανόδου	ZERO		1 176,4	250	
A320-211	ICAO_A	2	8	Άνοδος	Μέγιστη ώση ανόδου	ZERO	5 500			
A320-211	ICAO_A	2	9	Άνοδος	Μέγιστη ώση ανόδου	ZERO	7 500			
A320-211	ICAO_A	2	10	Άνοδος	Μέγιστη ώση ανόδου	ZERO	10 000			
A320-211	ICAO_A	3	1	Απογείωση	Μέγιστη ώση απογείωσης	1+F				

▼**M2**

ACFTID	Profile_ID (Προφίλ αναχώρησης)	Μήκος καλυπτόμενης διαδρομής	Αριθμός σταδίου	Είδος σταδίου	Μέγεθος ώσης	Flap_ID (Θέση πτερυγίων καμπυλότητας)	Οροφή ανόδου (ft)	Ρυθμός ανόδου (ft/min)	Διακριβωμένη ταχύτητα αέρα στην οροφή ανόδου (kt)	Ποσοστό επιτάχυνσης (%)
A320-211	ICAO_A	3	2	Άνοδος	Μέγιστη ώση απογείωσης	1+F	1 500			
A320-211	ICAO_A	3	3	Άνοδος	Μέγιστη ώση ανόδου	1+F	3 000			
A320-211	ICAO_A	3	4	Επιτάχυνση	Μέγιστη ώση ανόδου	1+F		730,3	194,1	
A320-211	ICAO_A	3	5	Επιτάχυνση	Μέγιστη ώση ανόδου	1		868	207,6	
A320-211	ICAO_A	3	6	Επιτάχυνση	Μέγιστη ώση ανόδου	ZERO		1 021,8	231,7	
A320-211	ICAO_A	3	7	Επιτάχυνση	Μέγιστη ώση ανόδου	ZERO		1 115,4	250	
A320-211	ICAO_A	3	8	Άνοδος	Μέγιστη ώση ανόδου	ZERO	5 500			
A320-211	ICAO_A	3	9	Άνοδος	Μέγιστη ώση ανόδου	ZERO	7 500			
A320-211	ICAO_A	3	10	Άνοδος	Μέγιστη ώση ανόδου	ZERO	10 000			
A320-211	ICAO_A	4	1	Απογείωση	Μέγιστη ώση απογείωσης	1+F				
A320-211	ICAO_A	4	2	Άνοδος	Μέγιστη ώση απογείωσης	1+F	1 500			
A320-211	ICAO_A	4	3	Άνοδος	Μέγιστη ώση ανόδου	1+F	3 000			
A320-211	ICAO_A	4	4	Επιτάχυνση	Μέγιστη ώση ανόδου	1+F		670,3	201,2	
A320-211	ICAO_A	4	5	Επιτάχυνση	Μέγιστη ώση ανόδου	1		816,4	213,5	
A320-211	ICAO_A	4	6	Επιτάχυνση	Μέγιστη ώση ανόδου	ZERO		942	235,2	

▼**M2**

ACFTID	Profile_ID (Προφίλ αναχώρησης)	Μήκος καλυπτόμενης διαδρομής	Αριθμός σταδίου	Είδος σταδίου	Μέγεθος ώσης	Flap_ID (Θέση πτερυγίων καμπυλότητας)	Οροφή ανόδου (ft)	Ρυθμός ανόδου (ft/min)	Διακριβωμένη ταχύτητα αέρα στην οροφή ανόδου (kt)	Ποσοστό επιτάχυνσης (%)
A320-211	ICAO_A	4	7	Επιτάχυνση	Μέγιστη ώση ανόδου	ZERO		1 017,5	250	
A320-211	ICAO_A	4	8	Άνοδος	Μέγιστη ώση ανόδου	ZERO	5 500			
A320-211	ICAO_A	4	9	Άνοδος	Μέγιστη ώση ανόδου	ZERO	7 500			
A320-211	ICAO_A	4	10	Άνοδος	Μέγιστη ώση ανόδου	ZERO	10 000			
A320-211	ICAO_A	5	1	Απογείωση	Μέγιστη ώση απογείωσης	1+F				
A320-211	ICAO_A	5	2	Άνοδος	Μέγιστη ώση απογείωσης	1+F	1 500			
A320-211	ICAO_A	5	3	Άνοδος	Μέγιστη ώση ανόδου	1+F	3 000			
A320-211	ICAO_A	5	4	Επιτάχυνση	Μέγιστη ώση ανόδου	1+F		640,5	205	
A320-211	ICAO_A	5	5	Επιτάχυνση	Μέγιστη ώση ανόδου	1		789,5	216,6	
A320-211	ICAO_A	5	6	Επιτάχυνση	Μέγιστη ώση ανόδου	ZERO		899,5	237,1	
A320-211	ICAO_A	5	7	Επιτάχυνση	Μέγιστη ώση ανόδου	ZERO		968,2	250	
A320-211	ICAO_A	5	8	Άνοδος	Μέγιστη ώση ανόδου	ZERO	5 500			
A320-211	ICAO_A	5	9	Άνοδος	Μέγιστη ώση ανόδου	ZERO	7 500			
A320-211	ICAO_A	5	10	Άνοδος	Μέγιστη ώση ανόδου	ZERO	10 000			

▼**M2**

ACFTID	Profile_ID (Προφίλ αναχώρησης)	Μήκος καλυπτόμενης διαδρομής	Αριθμός σταδίου	Είδος σταδίου	Μέγεθος ώσης	Flap_ID (Θέση πτερυγίων καμπυλότητας)	Οροφή ανόδου (ft)	Ρυθμός ανόδου (ft/min)	Διακριβωμένη ταχύτητα αέρα στην οροφή ανόδου (kt)	Ποσοστό επιτάχυνσης (%)
A320-211	ICAO_B	1	1	Απογείωση	Μέγιστη ώση απογείωσης	1+F				
A320-211	ICAO_B	1	2	Άνοδος	Μέγιστη ώση απογείωσης	1+F	1 000			
A320-211	ICAO_B	1	3	Επιτάχυνση	Μέγιστη ώση απογείωσης	1+F		1 150,5	186,2	
A320-211	ICAO_B	1	4	Επιτάχυνση	Μέγιστη ώση απογείωσης	1		1 300,7	208,1	
A320-211	ICAO_B	1	5	Άνοδος	Μέγιστη ώση ανόδου	ZERO	3 000			
A320-211	ICAO_B	1	6	Επιτάχυνση	Μέγιστη ώση ανόδου	ZERO		1 230,7	250	
A320-211	ICAO_B	1	7	Άνοδος	Μέγιστη ώση ανόδου	ZERO	5 500			
A320-211	ICAO_B	1	8	Άνοδος	Μέγιστη ώση ανόδου	ZERO	7 500			
A320-211	ICAO_B	1	9	Άνοδος	Μέγιστη ώση ανόδου	ZERO	10 000			
A320-211	ICAO_B	2	1	Απογείωση	Μέγιστη ώση απογείωσης	1+F				
A320-211	ICAO_B	2	2	Άνοδος	Μέγιστη ώση απογείωσης	1+F	1 000			
A320-211	ICAO_B	2	3	Επιτάχυνση	Μέγιστη ώση απογείωσης	1+F		1 098,5	190,2	
A320-211	ICAO_B	2	4	Επιτάχυνση	Μέγιστη ώση απογείωσης	1		1 243,7	210,7	
A320-211	ICAO_B	2	5	Άνοδος	Μέγιστη ώση ανόδου	ZERO	3 000			
A320-211	ICAO_B	2	6	Επιτάχυνση	Μέγιστη ώση ανόδου	ZERO		1 171	250	

▼**M2**

ACFTID	Profile_ID (Προφίλ αναχώρησης)	Μήκος καλυπτόμενης διαδρομής	Αριθμός σταδίου	Είδος σταδίου	Μέγεθος ώσης	Flap_ID (Θέση πτερυγίων καμπυλότητας)	Οροφή ανόδου (ft)	Ρυθμός ανόδου (ft/min)	Διακριβωμένη ταχύτητα αέρα στην οροφή ανόδου (kt)	Ποσοστό επιτάχυνσης (%)
A320-211	ICAO_B	2	7	Άνοδος	Μέγιστη ώση ανόδου	ZERO	5 500			
A320-211	ICAO_B	2	8	Άνοδος	Μέγιστη ώση ανόδου	ZERO	7 500			
A320-211	ICAO_B	2	9	Άνοδος	Μέγιστη ώση ανόδου	ZERO	10 000			
A320-211	ICAO_B	3	1	Απογείωση	Μέγιστη ώση απογείωσης	1+F				
A320-211	ICAO_B	3	2	Άνοδος	Μέγιστη ώση απογείωσης	1+F	1 000			
A320-211	ICAO_B	3	3	Επιτάχυνση	Μέγιστη ώση απογείωσης	1+F		1 049,6	194,3	
A320-211	ICAO_B	3	4	Επιτάχυνση	Μέγιστη ώση απογείωσης	1		1 189,2	213,5	
A320-211	ICAO_B	3	5	Άνοδος	Μέγιστη ώση ανόδου	ZERO	3 000			
A320-211	ICAO_B	3	6	Επιτάχυνση	Μέγιστη ώση ανόδου	ZERO		1 113,9	250	
A320-211	ICAO_B	3	7	Άνοδος	Μέγιστη ώση ανόδου	ZERO	5 500			
A320-211	ICAO_B	3	8	Άνοδος	Μέγιστη ώση ανόδου	ZERO	7 500			
A320-211	ICAO_B	3	9	Άνοδος	Μέγιστη ώση ανόδου	ZERO	10 000			
A320-211	ICAO_B	4	1	Απογείωση	Μέγιστη ώση απογείωσης	1+F				
A320-211	ICAO_B	4	2	Άνοδος	Μέγιστη ώση απογείωσης	1+F	1 000			

▼**M2**

ACFTID	Profile_ID (Προφίλ αναχώρησης)	Μήκος καλυπτόμενης διαδρομής	Αριθμός σταδίου	Είδος σταδίου	Μέγεθος ώσης	Flap_ID (Θέση πτερυγίων καμπυλότητας)	Οροφή ανόδου (ft)	Ρυθμός ανόδου (ft/min)	Διακριβωμένη ταχύτητα αέρα στην οροφή ανόδου (kt)	Ποσοστό επιτάχυνσης (%)
A320-211	ICAO_B	4	3	Επιτάχυνση	Μέγιστη ώση απογείωσης	1+F		972,6	201,4	
A320-211	ICAO_B	4	4	Επιτάχυνση	Μέγιστη ώση απογείωσης	1		1 101	218,7	
A320-211	ICAO_B	4	5	Άνοδος	Μέγιστη ώση ανόδου	ZERO	3 000			
A320-211	ICAO_B	4	6	Επιτάχυνση	Μέγιστη ώση ανόδου	ZERO		1 021	250	
A320-211	ICAO_B	4	7	Άνοδος	Μέγιστη ώση ανόδου	ZERO	5 500			
A320-211	ICAO_B	4	8	Άνοδος	Μέγιστη ώση ανόδου	ZERO	7 500			
A320-211	ICAO_B	4	9	Άνοδος	Μέγιστη ώση ανόδου	ZERO	10 000			
A320-211	ICAO_B	5	1	Απογείωση	Μέγιστη ώση απογείωσης	1+F				
A320-211	ICAO_B	5	2	Άνοδος	Μέγιστη ώση απογείωσης	1+F	1 000			
A320-211	ICAO_B	5	3	Επιτάχυνση	Μέγιστη ώση απογείωσης	1+F		933,1	205,1	
A320-211	ICAO_B	5	4	Επιτάχυνση	Μέγιστη ώση απογείωσης	1		1 056	221,4	
A320-211	ICAO_B	5	5	Άνοδος	Μέγιστη ώση ανόδου	ZERO	3 000			
A320-211	ICAO_B	5	6	Επιτάχυνση	Μέγιστη ώση ανόδου	ZERO		973,2	250	
A320-211	ICAO_B	5	7	Άνοδος	Μέγιστη ώση ανόδου	ZERO	5 500			
A320-211	ICAO_B	5	8	Άνοδος	Μέγιστη ώση ανόδου	ZERO	7 500			

▼**M2**

ACFTID	Profile_ID (Προφίλ αναχώρησης)	Μήκος καλυπτόμενης διαδρομής	Αριθμός σταδίου	Είδος σταδίου	Μέγεθος ώσης	Flap_ID (Θέση πτερυγίων καμπυλότητας)	Οροφή ανόδου (ft)	Ρυθμός ανόδου (ft/min)	Διακριβωμένη ταχύτητα αέρα στην οροφή ανόδου (kt)	Ποσοστό επιτάχυνσης (%)
A320-211	ICAO_B	5	9	Άνοδος	Μέγιστη ώση ανόδου	ZERO	10 000			
A320-232	DEFAULT	1	1	Απογείωση	Μέγιστη ώση απογείωσης	1+F				
A320-232	DEFAULT	1	2	Άνοδος	Μέγιστη ώση απογείωσης	1+F	1 000			
A320-232	DEFAULT	1	3	Επιτάχυνση	Μέγιστη ώση απογείωσης	1+F		1 219,6	185,5	
A320-232	DEFAULT	1	4	Επιτάχυνση	Μέγιστη ώση απογείωσης	1		1 372,6	208,6	
A320-232	DEFAULT	1	5	Άνοδος	Μέγιστη ώση ανόδου	ZERO	3 000			
A320-232	DEFAULT	1	6	Επιτάχυνση	Μέγιστη ώση ανόδου	ZERO		1 192,1	250	
A320-232	DEFAULT	1	7	Άνοδος	Μέγιστη ώση ανόδου	ZERO	5 500			
A320-232	DEFAULT	1	8	Άνοδος	Μέγιστη ώση ανόδου	ZERO	7 500			
A320-232	DEFAULT	1	9	Άνοδος	Μέγιστη ώση ανόδου	ZERO	10 000			
A320-232	DEFAULT	2	1	Απογείωση	Μέγιστη ώση απογείωσης	1+F				
A320-232	DEFAULT	2	2	Άνοδος	Μέγιστη ώση απογείωσης	1+F	1 000			
A320-232	DEFAULT	2	3	Επιτάχυνση	Μέγιστη ώση απογείωσης	1+F		1 167,9	189,3	
A320-232	DEFAULT	2	4	Επιτάχυνση	Μέγιστη ώση απογείωσης	1		1 315,7	211	
A320-232	DEFAULT	2	5	Άνοδος	Μέγιστη ώση ανόδου	ZERO	3 000			

▼**M2**

ACFTID	Profile_ID (Προφίλ αναχώρησης)	Μήκος καλυπτόμενης διαδρομής	Αριθμός σταδίου	Είδος σταδίου	Μέγεθος ώσης	Flap_ID (Θέση πτερυγίων καμπυλότητας)	Οροφή ανόδου (ft)	Ρυθμός ανόδου (ft/min)	Διακριβωμένη ταχύτητα αέρα στην οροφή ανόδου (kt)	Ποσοστό επιτάχυνσης (%)
A320-232	DEFAULT	2	6	Επιτάχυνση	Μέγιστη ώση ανόδου	ZERO		1 137,4	250	
A320-232	DEFAULT	2	7	Άνοδος	Μέγιστη ώση ανόδου	ZERO	5 500			
A320-232	DEFAULT	2	8	Άνοδος	Μέγιστη ώση ανόδου	ZERO	7 500			
A320-232	DEFAULT	2	9	Άνοδος	Μέγιστη ώση ανόδου	ZERO	10 000			
A320-232	DEFAULT	3	1	Απογείωση	Μέγιστη ώση απογείωσης	1+F				
A320-232	DEFAULT	3	2	Άνοδος	Μέγιστη ώση απογείωσης	1+F	1 000			
A320-232	DEFAULT	3	3	Επιτάχυνση	Μέγιστη ώση απογείωσης	1+F		1 118,6	193,2	
A320-232	DEFAULT	3	4	Επιτάχυνση	Μέγιστη ώση απογείωσης	1		1 260,6	213,6	
A320-232	DEFAULT	3	5	Άνοδος	Μέγιστη ώση ανόδου	ZERO	3 000			
A320-232	DEFAULT	3	6	Επιτάχυνση	Μέγιστη ώση ανόδου	ZERO		1 085,2	250	
A320-232	DEFAULT	3	7	Άνοδος	Μέγιστη ώση ανόδου	ZERO	5 500			
A320-232	DEFAULT	3	8	Άνοδος	Μέγιστη ώση ανόδου	ZERO	7 500			
A320-232	DEFAULT	3	9	Άνοδος	Μέγιστη ώση ανόδου	ZERO	10 000			
A320-232	DEFAULT	4	1	Απογείωση	Μέγιστη ώση απογείωσης	1+F				
A320-232	DEFAULT	4	2	Άνοδος	Μέγιστη ώση απογείωσης	1+F	1 000			

▼**M2**

ACFTID	Profile_ID (Προφίλ αναχώρησης)	Μήκος καλυπτόμενης διαδρομής	Αριθμός σταδίου	Είδος σταδίου	Μέγεθος ώσης	Flap_ID (Θέση πτερυγίων καμπυλότητας)	Οροφή ανόδου (ft)	Ρυθμός ανόδου (ft/min)	Διακριβωμένη ταχύτητα αέρα στην οροφή ανόδου (kt)	Ποσοστό επιτάχυνσης (%)
A320-232	DEFAULT	4	3	Επιτάχυνση	Μέγιστη ώση απογείωσης	1+F		1 040,6	199,9	
A320-232	DEFAULT	4	4	Επιτάχυνση	Μέγιστη ώση απογείωσης	1		1 170,7	218,4	
A320-232	DEFAULT	4	5	Άνοδος	Μέγιστη ώση ανόδου	ZERO	3 000			
A320-232	DEFAULT	4	6	Επιτάχυνση	Μέγιστη ώση ανόδου	ZERO		1 001,5	250	
A320-232	DEFAULT	4	7	Άνοδος	Μέγιστη ώση ανόδου	ZERO	5 500			
A320-232	DEFAULT	4	8	Άνοδος	Μέγιστη ώση ανόδου	ZERO	7 500			
A320-232	DEFAULT	4	9	Άνοδος	Μέγιστη ώση ανόδου	ZERO	10 000			
A320-232	DEFAULT	5	1	Απογείωση	Μέγιστη ώση απογείωσης	1+F				
A320-232	DEFAULT	5	2	Άνοδος	Μέγιστη ώση απογείωσης	1+F	1 000			
A320-232	DEFAULT	5	3	Επιτάχυνση	Μέγιστη ώση απογείωσης	1+F		921,9	210,9	
A320-232	DEFAULT	5	4	Επιτάχυνση	Μέγιστη ώση απογείωσης	1		1 033,9	226,5	
A320-232	DEFAULT	5	5	Άνοδος	Μέγιστη ώση ανόδου	ZERO	3 000			
A320-232	DEFAULT	5	6	Επιτάχυνση	Μέγιστη ώση ανόδου	ZERO		876,3	250	
A320-232	DEFAULT	5	7	Άνοδος	Μέγιστη ώση ανόδου	ZERO	5 500			
A320-232	DEFAULT	5	8	Άνοδος	Μέγιστη ώση ανόδου	ZERO	7 500			

▼**M2**

ACFTID	Profile_ID (Προφίλ αναχώρησης)	Μήκος καλυπτόμενης διαδρομής	Αριθμός σταδίου	Είδος σταδίου	Μέγεθος ώσης	Flap_ID (Θέση πτερυγίων καμπυλότητας)	Οροφή ανόδου (ft)	Ρυθμός ανόδου (ft/min)	Διακριβωμένη ταχύτητα αέρα στην οροφή ανόδου (kt)	Ποσοστό επιτάχυνσης (%)
A320-232	DEFAULT	5	9	Άνοδος	Μέγιστη ώση ανόδου	ZERO	10 000			
A320-232	ICAO_A	1	1	Απογείωση	Μέγιστη ώση απογείωσης	1+F				
A320-232	ICAO_A	1	2	Άνοδος	Μέγιστη ώση απογείωσης	1+F	1 500			
A320-232	ICAO_A	1	3	Άνοδος	Μέγιστη ώση ανόδου	1+F	3 000			
A320-232	ICAO_A	1	4	Επιτάχυνση	Μέγιστη ώση ανόδου	1+F		776,1	185,4	
A320-232	ICAO_A	1	5	Επιτάχυνση	Μέγιστη ώση ανόδου	1		906,7	200,1	
A320-232	ICAO_A	1	6	Επιτάχυνση	Μέγιστη ώση ανόδου	ZERO		1 062	226	
A320-232	ICAO_A	1	7	Επιτάχυνση	Μέγιστη ώση ανόδου	ZERO		1 218,7	250	
A320-232	ICAO_A	1	8	Άνοδος	Μέγιστη ώση ανόδου	ZERO	5 500			
A320-232	ICAO_A	1	9	Άνοδος	Μέγιστη ώση ανόδου	ZERO	7 500			
A320-232	ICAO_A	1	10	Άνοδος	Μέγιστη ώση ανόδου	ZERO	10 000			
A320-232	ICAO_A	2	1	Απογείωση	Μέγιστη ώση απογείωσης	1+F				
A320-232	ICAO_A	2	2	Άνοδος	Μέγιστη ώση απογείωσης	1+F	1 500			

▼**M2**

ACFTID	Profile_ID (Προφίλ αναχώρησης)	Μήκος καλυπτόμενης διαδρομής	Αριθμός σταδίου	Είδος σταδίου	Μέγεθος ώσης	Flap_ID (Θέση πτερυγίων καμπυλότητας)	Οροφή ανόδου (ft)	Ρυθμός ανόδου (ft/min)	Διακριβωμένη ταχύτητα αέρα στην οροφή ανόδου (kt)	Ποσοστό επιτάχυνσης (%)
A320-232	ICAO_A	2	3	Άνοδος	Μέγιστη ώση ανόδου	1+F	3 000			
A320-232	ICAO_A	2	4	Επιτάχυνση	Μέγιστη ώση ανόδου	1+F		739,7	189,1	
A320-232	ICAO_A	2	5	Επιτάχυνση	Μέγιστη ώση ανόδου	1		870	203	
A320-232	ICAO_A	2	6	Επιτάχυνση	Μέγιστη ώση ανόδου	ZERO		1 015,7	227,5	
A320-232	ICAO_A	2	7	Επιτάχυνση	Μέγιστη ώση ανόδου	ZERO		1 160,7	250	
A320-232	ICAO_A	2	8	Άνοδος	Μέγιστη ώση ανόδου	ZERO	5 500			
A320-232	ICAO_A	2	9	Άνοδος	Μέγιστη ώση ανόδου	ZERO	7 500			
A320-232	ICAO_A	2	10	Άνοδος	Μέγιστη ώση ανόδου	ZERO	10 000			
A320-232	ICAO_A	3	1	Απογείωση	Μέγιστη ώση απογείωσης	1+F				
A320-232	ICAO_A	3	2	Άνοδος	Μέγιστη ώση απογείωσης	1+F	1 500			
A320-232	ICAO_A	3	3	Άνοδος	Μέγιστη ώση ανόδου	1+F	3 000			
A320-232	ICAO_A	3	4	Επιτάχυνση	Μέγιστη ώση ανόδου	1+F		705	193	
A320-232	ICAO_A	3	5	Επιτάχυνση	Μέγιστη ώση ανόδου	1		834,6	206,1	

▼**M2**

ACFTID	Profile_ID (Προφίλ αναχώρησης)	Μήκος καλυπτόμενης διαδρομής	Αριθμός σταδίου	Είδος σταδίου	Μέγεθος ώσης	Flap_ID (Θέση πτερυγίων καμπυλότητας)	Οροφή ανόδου (ft)	Ρυθμός ανόδου (ft/min)	Διακριβωμένη ταχύτητα αέρα στην οροφή ανόδου (kt)	Ποσοστό επιτάχυνσης (%)
A320-232	ICAO_A	3	6	Επιτάχυνση	Μέγιστη ώση ανόδου	ZERO		971,6	229,2	
A320-232	ICAO_A	3	7	Επιτάχυνση	Μέγιστη ώση ανόδου	ZERO		1 105,4	250	
A320-232	ICAO_A	3	8	Άνοδος	Μέγιστη ώση ανόδου	ZERO	5 500			
A320-232	ICAO_A	3	9	Άνοδος	Μέγιστη ώση ανόδου	ZERO	7 500			
A320-232	ICAO_A	3	10	Άνοδος	Μέγιστη ώση ανόδου	ZERO	10 000			
A320-232	ICAO_A	4	1	Απογείωση	Μέγιστη ώση απογείωσης	1+F				
A320-232	ICAO_A	4	2	Άνοδος	Μέγιστη ώση απογείωσης	1+F	1 500			
A320-232	ICAO_A	4	3	Άνοδος	Μέγιστη ώση ανόδου	1+F	3 000			
A320-232	ICAO_A	4	4	Επιτάχυνση	Μέγιστη ώση ανόδου	1+F		650,5	199,8	
A320-232	ICAO_A	4	5	Επιτάχυνση	Μέγιστη ώση ανόδου	1		776,9	211,6	
A320-232	ICAO_A	4	6	Επιτάχυνση	Μέγιστη ώση ανόδου	ZERO		901,1	232,6	
A320-232	ICAO_A	4	7	Επιτάχυνση	Μέγιστη ώση ανόδου	ZERO		1 016,8	250	
A320-232	ICAO_A	4	8	Άνοδος	Μέγιστη ώση ανόδου	ZERO	5 500			

▼**M2**

ACFTID	Profile_ID (Προφίλ αναχώρησης)	Μήκος καλυπτόμενης διαδρομής	Αριθμός σταδίου	Είδος σταδίου	Μέγεθος ώσης	Flap_ID (Θέση πτερυγίων καμπυλότητας)	Οροφή ανόδου (ft)	Ρυθμός ανόδου (ft/min)	Διακριβωμένη ταχύτητα αέρα στην οροφή ανόδου (kt)	Ποσοστό επιτάχυνσης (%)
A320-232	ICAO_A	4	9	Άνοδος	Μέγιστη ώση ανόδου	ZERO	7 500			
A320-232	ICAO_A	4	10	Άνοδος	Μέγιστη ώση ανόδου	ZERO	10 000			
A320-232	ICAO_A	5	1	Απογείωση	Μέγιστη ώση απογείωσης	1+F				
A320-232	ICAO_A	5	2	Άνοδος	Μέγιστη ώση απογείωσης	1+F	1 500			
A320-232	ICAO_A	5	3	Άνοδος	Μέγιστη ώση ανόδου	1+F	3 000			
A320-232	ICAO_A	5	4	Επιτάχυνση	Μέγιστη ώση ανόδου	1+F		568,3	210,7	
A320-232	ICAO_A	5	5	Επιτάχυνση	Μέγιστη ώση ανόδου	1		687,3	220,6	
A320-232	ICAO_A	5	6	Επιτάχυνση	Μέγιστη ώση ανόδου	ZERO		794,5	238,5	
A320-232	ICAO_A	5	7	Επιτάχυνση	Μέγιστη ώση ανόδου	ZERO		884,4	250	
A320-232	ICAO_A	5	8	Άνοδος	Μέγιστη ώση ανόδου	ZERO	5 500			
A320-232	ICAO_A	5	9	Άνοδος	Μέγιστη ώση ανόδου	ZERO	7 500			
A320-232	ICAO_A	5	10	Άνοδος	Μέγιστη ώση ανόδου	ZERO	10 000			
A320-232	ICAO_B	1	1	Απογείωση	Μέγιστη ώση απογείωσης	1+F				

▼**M2**

ACFTID	Profile_ID (Προφίλ αναχώρησης)	Μήκος καλυπτόμενης διαδρομής	Αριθμός σταδίου	Είδος σταδίου	Μέγεθος ώσης	Flap_ID (Θέση πτερυγίων καμπυλότητας)	Οροφή ανόδου (ft)	Ρυθμός ανόδου (ft/min)	Διακριβωμένη ταχύτητα αέρα στην οροφή ανόδου (kt)	Ποσοστό επιτάχυνσης (%)
A320-232	ICAO_B	1	2	Άνοδος	Μέγιστη ώση απογείωσης	1+F	1 000			
A320-232	ICAO_B	1	3	Επιτάχυνση	Μέγιστη ώση απογείωσης	1+F		1 219,6	185,5	
A320-232	ICAO_B	1	4	Επιτάχυνση	Μέγιστη ώση απογείωσης	1		1 372,6	208,6	
A320-232	ICAO_B	1	5	Άνοδος	Μέγιστη ώση ανόδου	ZERO	3 000			
A320-232	ICAO_B	1	6	Επιτάχυνση	Μέγιστη ώση ανόδου	ZERO		1 192,1	250	
A320-232	ICAO_B	1	7	Άνοδος	Μέγιστη ώση ανόδου	ZERO	5 500			
A320-232	ICAO_B	1	8	Άνοδος	Μέγιστη ώση ανόδου	ZERO	7 500			
A320-232	ICAO_B	1	9	Άνοδος	Μέγιστη ώση ανόδου	ZERO	10 000			
A320-232	ICAO_B	2	1	Απογείωση	Μέγιστη ώση απογείωσης	1+F				
A320-232	ICAO_B	2	2	Άνοδος	Μέγιστη ώση απογείωσης	1+F	1 000			
A320-232	ICAO_B	2	3	Επιτάχυνση	Μέγιστη ώση απογείωσης	1+F		1 167,9	189,3	
A320-232	ICAO_B	2	4	Επιτάχυνση	Μέγιστη ώση απογείωσης	1		1 315,7	211	
A320-232	ICAO_B	2	5	Άνοδος	Μέγιστη ώση ανόδου	ZERO	3 000			

▼**M2**

ACFTID	Profile_ID (Προφίλ αναχώρησης)	Μήκος καλυπτόμενης διαδρομής	Αριθμός σταδίου	Είδος σταδίου	Μέγεθος ώσης	Flap_ID (Θέση πτερυγίων καμπυλότητας)	Οροφή ανόδου (ft)	Ρυθμός ανόδου (ft/min)	Διακριβωμένη ταχύτητα αέρα στην οροφή ανόδου (kt)	Ποσοστό επιτάχυνσης (%)
A320-232	ICAO_B	2	6	Επιτάχυνση	Μέγιστη ώση ανόδου	ZERO		1 137,4	250	
A320-232	ICAO_B	2	7	Άνοδος	Μέγιστη ώση ανόδου	ZERO	5 500			
A320-232	ICAO_B	2	8	Άνοδος	Μέγιστη ώση ανόδου	ZERO	7 500			
A320-232	ICAO_B	2	9	Άνοδος	Μέγιστη ώση ανόδου	ZERO	10 000			
A320-232	ICAO_B	3	1	Απογείωση	Μέγιστη ώση απογείωσης	1+F				
A320-232	ICAO_B	3	2	Άνοδος	Μέγιστη ώση απογείωσης	1+F	1 000			
A320-232	ICAO_B	3	3	Επιτάχυνση	Μέγιστη ώση απογείωσης	1+F		1 118,6	193,2	
A320-232	ICAO_B	3	4	Επιτάχυνση	Μέγιστη ώση απογείωσης	1		1 260,6	213,6	
A320-232	ICAO_B	3	5	Άνοδος	Μέγιστη ώση ανόδου	ZERO	3 000			
A320-232	ICAO_B	3	6	Επιτάχυνση	Μέγιστη ώση ανόδου	ZERO		1 085,2	250	
A320-232	ICAO_B	3	7	Άνοδος	Μέγιστη ώση ανόδου	ZERO	5 500			
A320-232	ICAO_B	3	8	Άνοδος	Μέγιστη ώση ανόδου	ZERO	7 500			
A320-232	ICAO_B	3	9	Άνοδος	Μέγιστη ώση ανόδου	ZERO	10 000			

▼**M2**

Πίνακας Θ-4 (μέρος 3)

Διαδικαστικά στάδια καθιερωμένης αναχώρησης

ACFTID	Profile_ID (Προφίλ αναχώρησης)	Μήκος καλυπτόμενης διαδρομής	Αριθμός σταδίου	Είδος σταδίου	Μέγεθος ώσης	Flap_ID (Θέση πτερυγίων καμπυλότητας)	Οροφή ανόδου (ft)	Ρυθμός ανόδου (ft/min)	Διακριβωμένη ταχύτητα αέρα στην οροφή ανόδου (kt)	Ποσοστό επιτάχυνσης (%)
A320-232	ICAO_B	4	1	Απογείωση	Μέγιστη ώση απογείωσης	1+F				
A320-232	ICAO_B	4	2	Άνοδος	Μέγιστη ώση απογείωσης	1+F	1 000			
A320-232	ICAO_B	4	3	Επιτάχυνση	Μέγιστη ώση απογείωσης	1+F		1 040,6	199,9	
A320-232	ICAO_B	4	4	Επιτάχυνση	Μέγιστη ώση απογείωσης	1		1 170,7	218,4	
A320-232	ICAO_B	4	5	Άνοδος	Μέγιστη ώση ανόδου	ZERO	3 000			
A320-232	ICAO_B	4	6	Επιτάχυνση	Μέγιστη ώση ανόδου	ZERO		1 001,5	250	
A320-232	ICAO_B	4	7	Άνοδος	Μέγιστη ώση ανόδου	ZERO	5 500			
A320-232	ICAO_B	4	8	Άνοδος	Μέγιστη ώση ανόδου	ZERO	7 500			
A320-232	ICAO_B	4	9	Άνοδος	Μέγιστη ώση ανόδου	ZERO	10 000			
A320-232	ICAO_B	5	1	Απογείωση	Μέγιστη ώση απογείωσης	1+F				
A320-232	ICAO_B	5	2	Άνοδος	Μέγιστη ώση απογείωσης	1+F	1 000			
A320-232	ICAO_B	5	3	Επιτάχυνση	Μέγιστη ώση απογείωσης	1+F		921,9	210,9	
A320-232	ICAO_B	5	4	Επιτάχυνση	Μέγιστη ώση απογείωσης	1		1 033,9	226,5	
A320-232	ICAO_B	5	5	Άνοδος	Μέγιστη ώση ανόδου	ZERO	3 000			

▼**M2**

ACFTID	Profile_ID (Προφίλ αναχώρησης)	Μήκος καλυπτόμενης διαδρομής	Αριθμός σταδίου	Είδος σταδίου	Μέγεθος ώσης	Flap_ID (Θέση πτερυγίων καμπυλότητας)	Οροφή ανόδου (ft)	Ρυθμός ανόδου (ft/min)	Διακριβωμένη ταχύτητα αέρα στην οροφή ανόδου (kt)	Ποσοστό επιτάχυνσης (%)
A320-232	ICAO_B	5	6	Επιτάχυνση	Μέγιστη ώση ανόδου	ZERO		876,3	250	
A320-232	ICAO_B	5	7	Άνοδος	Μέγιστη ώση ανόδου	ZERO	5 500			
A320-232	ICAO_B	5	8	Άνοδος	Μέγιστη ώση ανόδου	ZERO	7 500			
A320-232	ICAO_B	5	9	Άνοδος	Μέγιστη ώση ανόδου	ZERO	10 000			
A321-232	DEFAULT	1	1	Απογείωση	Μέγιστη ώση απογείωσης	1+F				
A321-232	DEFAULT	1	2	Άνοδος	Μέγιστη ώση απογείωσης	1+F	1 000			
A321-232	DEFAULT	1	3	Επιτάχυνση	Μέγιστη ώση απογείωσης	1+F		1 235,6	195	
A321-232	DEFAULT	1	4	Επιτάχυνση	Μέγιστη ώση απογείωσης	1		1 376	219,7	
A321-232	DEFAULT	1	5	Άνοδος	Μέγιστη ώση ανόδου	ZERO	3 000			
A321-232	DEFAULT	1	6	Επιτάχυνση	Μέγιστη ώση ανόδου	ZERO		1 127,8	250	
A321-232	DEFAULT	1	7	Άνοδος	Μέγιστη ώση ανόδου	ZERO	5 500			
A321-232	DEFAULT	1	8	Άνοδος	Μέγιστη ώση ανόδου	ZERO	7 500			
A321-232	DEFAULT	1	9	Άνοδος	Μέγιστη ώση ανόδου	ZERO	10 000			
A321-232	DEFAULT	2	1	Απογείωση	Μέγιστη ώση απογείωσης	1+F				

▼**M2**

ACFTID	Profile_ID (Προφίλ αναχώρησης)	Μήκος καλυπτόμενης διαδρομής	Αριθμός σταδίου	Είδος σταδίου	Μέγεθος ώσης	Flap_ID (Θέση πτερυγίων καμπυλότητας)	Οροφή ανόδου (ft)	Ρυθμός ανόδου (ft/min)	Διακριβωμένη ταχύτητα αέρα στην οροφή ανόδου (kt)	Ποσοστό επιτάχυνσης (%)
A321-232	DEFAULT	2	2	Άνοδος	Μέγιστη ώση απογείωσης	1+F	1 000			
A321-232	DEFAULT	2	3	Επιτάχυνση	Μέγιστη ώση απογείωσης	1+F		1 180,9	199	
A321-232	DEFAULT	2	4	Επιτάχυνση	Μέγιστη ώση απογείωσης	1		1 316,8	222,2	
A321-232	DEFAULT	2	5	Άνοδος	Μέγιστη ώση ανόδου	ZERO	3 000			
A321-232	DEFAULT	2	6	Επιτάχυνση	Μέγιστη ώση ανόδου	ZERO		1 070,3	250	
A321-232	DEFAULT	2	7	Άνοδος	Μέγιστη ώση ανόδου	ZERO	5 500			
A321-232	DEFAULT	2	8	Άνοδος	Μέγιστη ώση ανόδου	ZERO	7 500			
A321-232	DEFAULT	2	9	Άνοδος	Μέγιστη ώση ανόδου	ZERO	10 000			
A321-232	DEFAULT	3	1	Απογείωση	Μέγιστη ώση απογείωσης	1+F				
A321-232	DEFAULT	3	2	Άνοδος	Μέγιστη ώση απογείωσης	1+F	1 000			
A321-232	DEFAULT	3	3	Επιτάχυνση	Μέγιστη ώση απογείωσης	1+F		1 127,9	203	
A321-232	DEFAULT	3	4	Επιτάχυνση	Μέγιστη ώση απογείωσης	1		1 259,2	224,8	
A321-232	DEFAULT	3	5	Άνοδος	Μέγιστη ώση ανόδου	ZERO	3 000			
A321-232	DEFAULT	3	6	Επιτάχυνση	Μέγιστη ώση ανόδου	ZERO		1 015,1	250	

▼**M2**

ACFTID	Profile_ID (Προφίλ αναχώρησης)	Μήκος καλυπτόμενης διαδρομής	Αριθμός σταδίου	Είδος σταδίου	Μέγεθος ώσης	Flap_ID (Θέση πτερυγίων καμπυλότητας)	Οροφή ανόδου (ft)	Ρυθμός ανόδου (ft/min)	Διακριβωμένη ταχύτητα αέρα στην οροφή ανόδου (kt)	Ποσοστό επιτάχυνσης (%)
A321-232	DEFAULT	3	7	Άνοδος	Μέγιστη ώση ανόδου	ZERO	5 500			
A321-232	DEFAULT	3	8	Άνοδος	Μέγιστη ώση ανόδου	ZERO	7 500			
A321-232	DEFAULT	3	9	Άνοδος	Μέγιστη ώση ανόδου	ZERO	10 000			
A321-232	DEFAULT	4	1	Απογείωση	Μέγιστη ώση απογείωσης	1+F				
A321-232	DEFAULT	4	2	Άνοδος	Μέγιστη ώση απογείωσης	1+F	1 000			
A321-232	DEFAULT	4	3	Επιτάχυνση	Μέγιστη ώση απογείωσης	1+F		1 039	209	
A321-232	DEFAULT	4	4	Επιτάχυνση	Μέγιστη ώση απογείωσης	1		1 161,6	228,6	
A321-232	DEFAULT	4	5	Άνοδος	Μέγιστη ώση ανόδου	ZERO	3 000			
A321-232	DEFAULT	4	6	Επιτάχυνση	Μέγιστη ώση ανόδου	ZERO		923,7	250	
A321-232	DEFAULT	4	7	Άνοδος	Μέγιστη ώση ανόδου	ZERO	5 500			
A321-232	DEFAULT	4	8	Άνοδος	Μέγιστη ώση ανόδου	ZERO	7 500			
A321-232	DEFAULT	4	9	Άνοδος	Μέγιστη ώση ανόδου	ZERO	10 000			
A321-232	DEFAULT	5	1	Απογείωση	Μέγιστη ώση απογείωσης	1+F				

▼**M2**

ACFTID	Profile_ID (Προφίλ αναχώρησης)	Μήκος καλυπτόμενης διαδρομής	Αριθμός σταδίου	Είδος σταδίου	Μέγεθος ώσης	Flap_ID (Θέση πτερυγίων καμπυλότητας)	Οροφή ανόδου (ft)	Ρυθμός ανόδου (ft/min)	Διακριβωμένη ταχύτητα αέρα στην οροφή ανόδου (kt)	Ποσοστό επιτάχυνσης (%)
A321-232	DEFAULT	5	2	Άνοδος	Μέγιστη ώση απογείωσης	1+F	1 000			
A321-232	DEFAULT	5	3	Επιτάχυνση	Μέγιστη ώση απογείωσης	1+F		889,6	210	
A321-232	DEFAULT	5	4	Επιτάχυνση	Μέγιστη ώση απογείωσης	1		969,1	226,5	
A321-232	DEFAULT	5	5	Άνοδος	Μέγιστη ώση ανόδου	ZERO	3 000			
A321-232	DEFAULT	5	6	Επιτάχυνση	Μέγιστη ώση ανόδου	ZERO		752,3	250	
A321-232	DEFAULT	5	7	Άνοδος	Μέγιστη ώση ανόδου	ZERO	5 500			
A321-232	DEFAULT	5	8	Άνοδος	Μέγιστη ώση ανόδου	ZERO	7 500			
A321-232	DEFAULT	5	9	Άνοδος	Μέγιστη ώση ανόδου	ZERO	10 000			
A321-232	ICAO_A	1	1	Απογείωση	Μέγιστη ώση απογείωσης	1+F				
A321-232	ICAO_A	1	2	Άνοδος	Μέγιστη ώση απογείωσης	1+F	1 500			
A321-232	ICAO_A	1	3	Άνοδος	Μέγιστη ώση ανόδου	1+F	3 000			
A321-232	ICAO_A	1	4	Επιτάχυνση	Μέγιστη ώση ανόδου	1+F		819,7	194,9	
A321-232	ICAO_A	1	5	Επιτάχυνση	Μέγιστη ώση ανόδου	1		920,7	210,8	
A321-232	ICAO_A	1	6	Επιτάχυνση	Μέγιστη ώση ανόδου	ZERO		1 039,9	234,6	

▼**M2**

ACFTID	Profile_ID (Προφίλ αναχώρησης)	Μήκος καλυπτόμενης διαδρομής	Αριθμός σταδίου	Είδος σταδίου	Μέγεθος ώσης	Flap_ID (Θέση πτερυγίων καμπυλότητας)	Οροφή ανόδου (ft)	Ρυθμός ανόδου (ft/min)	Διακριβωμένη ταχύτητα αέρα στην οροφή ανόδου (kt)	Ποσοστό επιτάχυνσης (%)
A321-232	ICAO_A	1	7	Επιτάχυνση	Μέγιστη ώση ανόδου	ZERO		1 125,4	250	
A321-232	ICAO_A	1	8	Άνοδος	Μέγιστη ώση ανόδου	ZERO	5 500			
A321-232	ICAO_A	1	9	Άνοδος	Μέγιστη ώση ανόδου	ZERO	7 500			
A321-232	ICAO_A	1	10	Άνοδος	Μέγιστη ώση ανόδου	ZERO	10 000			
A321-232	ICAO_A	2	1	Απογείωση	Μέγιστη ώση απογείωσης	1+F				
A321-232	ICAO_A	2	2	Άνοδος	Μέγιστη ώση απογείωσης	1+F	1 500			
A321-232	ICAO_A	2	3	Άνοδος	Μέγιστη ώση ανόδου	1+F	3 000			
A321-232	ICAO_A	2	4	Επιτάχυνση	Μέγιστη ώση ανόδου	1+F		778,4	198,9	
A321-232	ICAO_A	2	5	Επιτάχυνση	Μέγιστη ώση ανόδου	1		874,3	213,7	
A321-232	ICAO_A	2	6	Επιτάχυνση	Μέγιστη ώση ανόδου	ZERO		987,1	236,1	
A321-232	ICAO_A	2	7	Επιτάχυνση	Μέγιστη ώση ανόδου	ZERO		1 066,3	250	
A321-232	ICAO_A	2	8	Άνοδος	Μέγιστη ώση ανόδου	ZERO	5 500			
A321-232	ICAO_A	2	9	Άνοδος	Μέγιστη ώση ανόδου	ZERO	7 500			
A321-232	ICAO_A	2	10	Άνοδος	Μέγιστη ώση ανόδου	ZERO	10 000			

▼**M2**

ACFTID	Profile_ID (Προφίλ αναχώρησης)	Μήκος καλυπτόμενης διαδρομής	Αριθμός σταδίου	Είδος σταδίου	Μέγεθος ώσης	Flap_ID (Θέση πτερυγίων καμπυλότητας)	Οροφή ανόδου (ft)	Ρυθμός ανόδου (ft/min)	Διακριβωμένη ταχύτητα αέρα στην οροφή ανόδου (kt)	Ποσοστό επιτάχυνσης (%)
A321-232	ICAO_A	3	1	Απογείωση	Μέγιστη ώση απογείωσης	1+F				
A321-232	ICAO_A	3	2	Άνοδος	Μέγιστη ώση απογείωσης	1+F	1 500			
A321-232	ICAO_A	3	3	Άνοδος	Μέγιστη ώση ανόδου	1+F	3 000			
A321-232	ICAO_A	3	4	Επιτάχυνση	Μέγιστη ώση ανόδου	1+F		737,9	202,9	
A321-232	ICAO_A	3	5	Επιτάχυνση	Μέγιστη ώση ανόδου	1		829,1	216,7	
A321-232	ICAO_A	3	6	Επιτάχυνση	Μέγιστη ώση ανόδου	ZERO		936,1	237,7	
A321-232	ICAO_A	3	7	Επιτάχυνση	Μέγιστη ώση ανόδου	ZERO		1 009,5	250	
A321-232	ICAO_A	3	8	Άνοδος	Μέγιστη ώση ανόδου	ZERO	5 500			
A321-232	ICAO_A	3	9	Άνοδος	Μέγιστη ώση ανόδου	ZERO	7 500			
A321-232	ICAO_A	3	10	Άνοδος	Μέγιστη ώση ανόδου	ZERO	10 000			
A321-232	ICAO_A	4	1	Απογείωση	Μέγιστη ώση απογείωσης	1+F				
A321-232	ICAO_A	4	2	Άνοδος	Μέγιστη ώση απογείωσης	1+F	1 500			
A321-232	ICAO_A	4	3	Άνοδος	Μέγιστη ώση ανόδου	1+F	3 000			
A321-232	ICAO_A	4	4	Επιτάχυνση	Μέγιστη ώση ανόδου	1+F		670,5	209,9	

▼**M2**

ACFTID	Profile_ID (Προφίλ αναχώρησης)	Μήκος καλυπτόμενης διαδρομής	Αριθμός σταδίου	Είδος σταδίου	Μέγεθος ώσης	Flap_ID (Θέση πτερυγίων καμπυλότητας)	Οροφή ανόδου (ft)	Ρυθμός ανόδου (ft/min)	Διακριβωμένη ταχύτητα αέρα στην οροφή ανόδου (kt)	Ποσοστό επιτάχυνσης (%)
A321-232	ICAO_A	4	5	Επιτάχυνση	Μέγιστη ώση ανόδου	1		754,2	222,1	
A321-232	ICAO_A	4	6	Επιτάχυνση	Μέγιστη ώση ανόδου	ZERO		852,9	240,9	
A321-232	ICAO_A	4	7	Επιτάχυνση	Μέγιστη ώση ανόδου	ZERO		917,2	250	
A321-232	ICAO_A	4	8	Άνοδος	Μέγιστη ώση ανόδου	ZERO	5 500			
A321-232	ICAO_A	4	9	Άνοδος	Μέγιστη ώση ανόδου	ZERO	7 500			
A321-232	ICAO_A	4	10	Άνοδος	Μέγιστη ώση ανόδου	ZERO	10 000			
A321-232	ICAO_A	5	1	Απογείωση	Μέγιστη ώση απογείωσης	1+F				
A321-232	ICAO_A	5	2	Άνοδος	Μέγιστη ώση απογείωσης	1+F	1 500			
A321-232	ICAO_A	5	3	Άνοδος	Μέγιστη ώση ανόδου	1+F	3 000			
A321-232	ICAO_A	5	4	Επιτάχυνση	Μέγιστη ώση ανόδου	1+F		551,5	210	
A321-232	ICAO_A	5	5	Επιτάχυνση	Μέγιστη ώση ανόδου	1		604,9	219,9	
A321-232	ICAO_A	5	6	Επιτάχυνση	Μέγιστη ώση ανόδου	ZERO		685,2	235,3	
A321-232	ICAO_A	5	7	Επιτάχυνση	Μέγιστη ώση ανόδου	ZERO		749,8	250	

▼**M2**

ACFTID	Profile_ID (Προφίλ αναχώρησης)	Μήκος καλυπτόμενης διαδρομής	Αριθμός σταδίου	Είδος σταδίου	Μέγεθος ώσης	Flap_ID (Θέση πτερυγίων καμπυλότητας)	Οροφή ανόδου (ft)	Ρυθμός ανόδου (ft/min)	Διακριβωμένη ταχύτητα αέρα στην οροφή ανόδου (kt)	Ποσοστό επιτάχυνσης (%)
A321-232	ICAO_A	5	8	Άνοδος	Μέγιστη ώση ανόδου	ZERO	5 500			
A321-232	ICAO_A	5	9	Άνοδος	Μέγιστη ώση ανόδου	ZERO	7 500			
A321-232	ICAO_A	5	10	Άνοδος	Μέγιστη ώση ανόδου	ZERO	10 000			
A321-232	ICAO_B	1	1	Απογείωση	Μέγιστη ώση απογείωσης	1+F				
A321-232	ICAO_B	1	2	Άνοδος	Μέγιστη ώση απογείωσης	1+F	1 000			
A321-232	ICAO_B	1	3	Επιτάχυνση	Μέγιστη ώση απογείωσης	1+F		1 235,6	195	
A321-232	ICAO_B	1	4	Επιτάχυνση	Μέγιστη ώση απογείωσης	1		1 376	219,7	
A321-232	ICAO_B	1	5	Άνοδος	Μέγιστη ώση ανόδου	ZERO	3 000			
A321-232	ICAO_B	1	6	Επιτάχυνση	Μέγιστη ώση ανόδου	ZERO		1 127,8	250	
A321-232	ICAO_B	1	7	Άνοδος	Μέγιστη ώση ανόδου	ZERO	5 500			
A321-232	ICAO_B	1	8	Άνοδος	Μέγιστη ώση ανόδου	ZERO	7 500			
A321-232	ICAO_B	1	9	Άνοδος	Μέγιστη ώση ανόδου	ZERO	10 000			
A321-232	ICAO_B	2	1	Απογείωση	Μέγιστη ώση απογείωσης	1+F				
A321-232	ICAO_B	2	2	Άνοδος	Μέγιστη ώση απογείωσης	1+F	1 000			

▼**M2**

ACFTID	Profile_ID (Προφίλ αναχώρησης)	Μήκος καλυπτόμενης διαδρομής	Αριθμός σταδίου	Είδος σταδίου	Μέγεθος ώσης	Flap_ID (Θέση πτερυγίων καμπυλότητας)	Οροφή ανόδου (ft)	Ρυθμός ανόδου (ft/min)	Διακριβωμένη ταχύτητα αέρα στην οροφή ανόδου (kt)	Ποσοστό επιτάχυνσης (%)
A321-232	ICAO_B	2	3	Επιτάχυνση	Μέγιστη ώση απογείωσης	1+F		1 180,9	199	
A321-232	ICAO_B	2	4	Επιτάχυνση	Μέγιστη ώση απογείωσης	1		1 316,8	222,2	
A321-232	ICAO_B	2	5	Άνοδος	Μέγιστη ώση ανόδου	ZERO	3 000			
A321-232	ICAO_B	2	6	Επιτάχυνση	Μέγιστη ώση ανόδου	ZERO		1 070,3	250	
A321-232	ICAO_B	2	7	Άνοδος	Μέγιστη ώση ανόδου	ZERO	5 500			
A321-232	ICAO_B	2	8	Άνοδος	Μέγιστη ώση ανόδου	ZERO	7 500			
A321-232	ICAO_B	2	9	Άνοδος	Μέγιστη ώση ανόδου	ZERO	10 000			
A321-232	ICAO_B	3	1	Απογείωση	Μέγιστη ώση απογείωσης	1+F				
A321-232	ICAO_B	3	2	Άνοδος	Μέγιστη ώση απογείωσης	1+F	1 000			
A321-232	ICAO_B	3	3	Επιτάχυνση	Μέγιστη ώση απογείωσης	1+F		1 127,9	203	
A321-232	ICAO_B	3	4	Επιτάχυνση	Μέγιστη ώση απογείωσης	1		1 259,2	224,8	
A321-232	ICAO_B	3	5	Άνοδος	Μέγιστη ώση ανόδου	ZERO	3 000			
A321-232	ICAO_B	3	6	Επιτάχυνση	Μέγιστη ώση ανόδου	ZERO		1 015,1	250	
A321-232	ICAO_B	3	7	Άνοδος	Μέγιστη ώση ανόδου	ZERO	5 500			

▼**M2**

ACFTID	Profile_ID (Προφίλ αναχώρησης)	Μήκος καλυπτόμενης διαδρομής	Αριθμός σταδίου	Είδος σταδίου	Μέγεθος ώσης	Flap_ID (Θέση πτερυγίων καμπυλότητας)	Οροφή ανόδου (ft)	Ρυθμός ανόδου (ft/min)	Διακριβωμένη ταχύτητα αέρα στην οροφή ανόδου (kt)	Ποσοστό επιτάχυνσης (%)
A321-232	ICAO_B	3	8	Άνοδος	Μέγιστη ώση ανόδου	ZERO	7 500			
A321-232	ICAO_B	3	9	Άνοδος	Μέγιστη ώση ανόδου	ZERO	10 000			
A321-232	ICAO_B	4	1	Απογείωση	Μέγιστη ώση απογείωσης	1+F				
A321-232	ICAO_B	4	2	Άνοδος	Μέγιστη ώση απογείωσης	1+F	1 000			
A321-232	ICAO_B	4	3	Επιτάχυνση	Μέγιστη ώση απογείωσης	1+F		1 039	209	
A321-232	ICAO_B	4	4	Επιτάχυνση	Μέγιστη ώση απογείωσης	1		1 161,6	228,6	
A321-232	ICAO_B	4	5	Άνοδος	Μέγιστη ώση ανόδου	ZERO	3 000			
A321-232	ICAO_B	4	6	Επιτάχυνση	Μέγιστη ώση ανόδου	ZERO		923,7	250	
A321-232	ICAO_B	4	7	Άνοδος	Μέγιστη ώση ανόδου	ZERO	5 500			
A321-232	ICAO_B	4	8	Άνοδος	Μέγιστη ώση ανόδου	ZERO	7 500			
A321-232	ICAO_B	4	9	Άνοδος	Μέγιστη ώση ανόδου	ZERO	10 000			
A321-232	ICAO_B	5	1	Απογείωση	Μέγιστη ώση απογείωσης	1+F				
A321-232	ICAO_B	5	2	Άνοδος	Μέγιστη ώση απογείωσης	1+F	1 000			
A321-232	ICAO_B	5	3	Επιτάχυνση	Μέγιστη ώση απογείωσης	1+F		889,6	210	

▼**M2**

ACFTID	Profile_ID (Προφίλ αναχώρησης)	Μήκος καλυπτόμενης διαδρομής	Αριθμός σταδίου	Είδος σταδίου	Μέγεθος ώσης	Flap_ID (Θέση πτερυγίων καμπυλότητας)	Οροφή ανόδου (ft)	Ρυθμός ανόδου (ft/min)	Διακριβωμένη ταχύτητα αέρα στην οροφή ανόδου (kt)	Ποσοστό επιτάχυνσης (%)
A321-232	ICAO_B	5	4	Επιτάχυνση	Μέγιστη ώση απογείωσης	1		969,1	226,5	
A321-232	ICAO_B	5	5	Άνοδος	Μέγιστη ώση ανόδου	ZERO	3 000			
A321-232	ICAO_B	5	6	Επιτάχυνση	Μέγιστη ώση ανόδου	ZERO		752,3	250	
A321-232	ICAO_B	5	7	Άνοδος	Μέγιστη ώση ανόδου	ZERO	5 500			
A321-232	ICAO_B	5	8	Άνοδος	Μέγιστη ώση ανόδου	ZERO	7 500			
A321-232	ICAO_B	5	9	Άνοδος	Μέγιστη ώση ανόδου	ZERO	10 000			
A330-301	DEFAULT	1	1	Απογείωση	Μέγιστη ώση απογείωσης	1+F				
A330-301	DEFAULT	1	2	Άνοδος	Μέγιστη ώση απογείωσης	1+F	1 000			
A330-301	DEFAULT	1	3	Επιτάχυνση	Μέγιστη ώση απογείωσης	1+F		1 160,6	170,7	
A330-301	DEFAULT	1	4	Επιτάχυνση	Μέγιστη ώση απογείωσης	1		1 267,7	207,4	
A330-301	DEFAULT	1	5	Άνοδος	Μέγιστη ώση ανόδου	ZERO	3 000			
A330-301	DEFAULT	1	6	Επιτάχυνση	Μέγιστη ώση ανόδου	ZERO		1 218,2	250	
A330-301	DEFAULT	1	7	Άνοδος	Μέγιστη ώση ανόδου	ZERO	5 500			
A330-301	DEFAULT	1	8	Άνοδος	Μέγιστη ώση ανόδου	ZERO	7 500			

▼**M2**

ACFTID	Profile_ID (Προφίλ αναχώρησης)	Μήκος καλυπτόμενης διαδρομής	Αριθμός σταδίου	Είδος σταδίου	Μέγεθος ώσης	Flap_ID (Θέση πτερυγίων καμπυλότητας)	Οροφή ανόδου (ft)	Ρυθμός ανόδου (ft/min)	Διακριβωμένη ταχύτητα αέρα στην οροφή ανόδου (kt)	Ποσοστό επιτάχυνσης (%)
A330-301	DEFAULT	1	9	Άνοδος	Μέγιστη ώση ανόδου	ZERO	10 000			
A330-301	DEFAULT	2	1	Απογείωση	Μέγιστη ώση απογείωσης	1+F				
A330-301	DEFAULT	2	2	Άνοδος	Μέγιστη ώση απογείωσης	1+F	1 000			
A330-301	DEFAULT	2	3	Επιτάχυνση	Μέγιστη ώση απογείωσης	1+F		1 121,7	173,4	
A330-301	DEFAULT	2	4	Επιτάχυνση	Μέγιστη ώση απογείωσης	1		1 228,7	208,6	
A330-301	DEFAULT	2	5	Άνοδος	Μέγιστη ώση ανόδου	ZERO	3 000			
A330-301	DEFAULT	2	6	Επιτάχυνση	Μέγιστη ώση ανόδου	ZERO		1 176	250	
A330-301	DEFAULT	2	7	Άνοδος	Μέγιστη ώση ανόδου	ZERO	5 500			
A330-301	DEFAULT	2	8	Άνοδος	Μέγιστη ώση ανόδου	ZERO	7 500			
A330-301	DEFAULT	2	9	Άνοδος	Μέγιστη ώση ανόδου	ZERO	10 000			
A330-301	DEFAULT	3	1	Απογείωση	Μέγιστη ώση απογείωσης	1+F				
A330-301	DEFAULT	3	2	Άνοδος	Μέγιστη ώση απογείωσης	1+F	1 000			
A330-301	DEFAULT	3	3	Επιτάχυνση	Μέγιστη ώση απογείωσης	1+F		1 083,6	176,1	
A330-301	DEFAULT	3	4	Επιτάχυνση	Μέγιστη ώση απογείωσης	1		1 190,2	209,8	

▼**M2**

ACFTID	Profile_ID (Προφίλ αναχώρησης)	Μήκος καλυπτόμενης διαδρομής	Αριθμός σταδίου	Είδος σταδίου	Μέγεθος ώσης	Flap_ID (Θέση πτερυγίων καμπυλότητας)	Οροφή ανόδου (ft)	Ρυθμός ανόδου (ft/min)	Διακριβωμένη ταχύτητα αέρα στην οροφή ανόδου (kt)	Ποσοστό επιτάχυνσης (%)
A330-301	DEFAULT	3	5	Άνοδος	Μέγιστη ώση ανόδου	ZERO	3 000			
A330-301	DEFAULT	3	6	Επιτάχυνση	Μέγιστη ώση ανόδου	ZERO		1 134,5	250	
A330-301	DEFAULT	3	7	Άνοδος	Μέγιστη ώση ανόδου	ZERO	5 500			
A330-301	DEFAULT	3	8	Άνοδος	Μέγιστη ώση ανόδου	ZERO	7 500			
A330-301	DEFAULT	3	9	Άνοδος	Μέγιστη ώση ανόδου	ZERO	10 000			
A330-301	DEFAULT	4	1	Απογείωση	Μέγιστη ώση απογείωσης	1+F				
A330-301	DEFAULT	4	2	Άνοδος	Μέγιστη ώση απογείωσης	1+F	1 000			
A330-301	DEFAULT	4	3	Επιτάχυνση	Μέγιστη ώση απογείωσης	1+F		1 022,6	180,8	
A330-301	DEFAULT	4	4	Επιτάχυνση	Μέγιστη ώση απογείωσης	1		1 126,6	212,1	
A330-301	DEFAULT	4	5	Άνοδος	Μέγιστη ώση ανόδου	ZERO	3 000			
A330-301	DEFAULT	4	6	Επιτάχυνση	Μέγιστη ώση ανόδου	ZERO		1 066,4	250	
A330-301	DEFAULT	4	7	Άνοδος	Μέγιστη ώση ανόδου	ZERO	5 500			
A330-301	DEFAULT	4	8	Άνοδος	Μέγιστη ώση ανόδου	ZERO	7 500			
A330-301	DEFAULT	4	9	Άνοδος	Μέγιστη ώση ανόδου	ZERO	10 000			

▼**M2**

ACFTID	Profile_ID (Προφίλ αναχώρησης)	Μήκος καλυπτόμενης διαδρομής	Αριθμός σταδίου	Είδος σταδίου	Μέγεθος ώσης	Flap_ID (Θέση πτερυγίων καμπυλότητας)	Οροφή ανόδου (ft)	Ρυθμός ανόδου (ft/min)	Διακριβωμένη ταχύτητα αέρα στην οροφή ανόδου (kt)	Ποσοστό επιτάχυνσης (%)
A330-301	DEFAULT	5	1	Απογείωση	Μέγιστη ώση απογείωσης	1+F				
A330-301	DEFAULT	5	2	Άνοδος	Μέγιστη ώση απογείωσης	1+F	1 000			
A330-301	DEFAULT	5	3	Επιτάχυνση	Μέγιστη ώση απογείωσης	1+F		951,6	186,7	
A330-301	DEFAULT	5	4	Επιτάχυνση	Μέγιστη ώση απογείωσης	1		1 051,7	215,3	
A330-301	DEFAULT	5	5	Άνοδος	Μέγιστη ώση ανόδου	ZERO	3 000			
A330-301	DEFAULT	5	6	Επιτάχυνση	Μέγιστη ώση ανόδου	ZERO		986,6	250	
A330-301	DEFAULT	5	7	Άνοδος	Μέγιστη ώση ανόδου	ZERO	5 500			
A330-301	DEFAULT	5	8	Άνοδος	Μέγιστη ώση ανόδου	ZERO	7 500			
A330-301	DEFAULT	5	9	Άνοδος	Μέγιστη ώση ανόδου	ZERO	10 000			
A330-301	DEFAULT	6	1	Απογείωση	Μέγιστη ώση απογείωσης	1+F				
A330-301	DEFAULT	6	2	Άνοδος	Μέγιστη ώση απογείωσης	1+F	1 000			
A330-301	DEFAULT	6	3	Επιτάχυνση	Μέγιστη ώση απογείωσης	1+F		883,9	193	
A330-301	DEFAULT	6	4	Επιτάχυνση	Μέγιστη ώση απογείωσης	1		978,1	218,9	
A330-301	DEFAULT	6	5	Άνοδος	Μέγιστη ώση ανόδου	ZERO	3 000			

▼**M2**

ACFTID	Profile_ID (Προφίλ αναχώρησης)	Μήκος καλυπτόμενης διαδρομής	Αριθμός σταδίου	Είδος σταδίου	Μέγεθος ώσης	Flap_ID (Θέση πτερυγίων καμπυλότητας)	Οροφή ανόδου (ft)	Ρυθμός ανόδου (ft/min)	Διακριβωμένη ταχύτητα αέρα στην οροφή ανόδου (kt)	Ποσοστό επιτάχυνσης (%)
A330-301	DEFAULT	6	6	Επιτάχυνση	Μέγιστη ώση ανόδου	ZERO		908,7	250	
A330-301	DEFAULT	6	7	Άνοδος	Μέγιστη ώση ανόδου	ZERO	5 500			
A330-301	DEFAULT	6	8	Άνοδος	Μέγιστη ώση ανόδου	ZERO	7 500			
A330-301	DEFAULT	6	9	Άνοδος	Μέγιστη ώση ανόδου	ZERO	10 000			
A330-301	DEFAULT	7	1	Απογείωση	Μέγιστη ώση απογείωσης	1+F				
A330-301	DEFAULT	7	2	Άνοδος	Μέγιστη ώση απογείωσης	1+F	1 000			
A330-301	DEFAULT	7	3	Επιτάχυνση	Μέγιστη ώση απογείωσης	1+F		864,2	195	
A330-301	DEFAULT	7	4	Επιτάχυνση	Μέγιστη ώση απογείωσης	1		956,5	220,1	
A330-301	DEFAULT	7	5	Άνοδος	Μέγιστη ώση ανόδου	ZERO	3 000			
A330-301	DEFAULT	7	6	Επιτάχυνση	Μέγιστη ώση ανόδου	ZERO		885,7	250	
A330-301	DEFAULT	7	7	Άνοδος	Μέγιστη ώση ανόδου	ZERO	5 500			
A330-301	DEFAULT	7	8	Άνοδος	Μέγιστη ώση ανόδου	ZERO	7 500			
A330-301	DEFAULT	7	9	Άνοδος	Μέγιστη ώση ανόδου	ZERO	10 000			
A330-301	ICAO_A	1	1	Απογείωση	Μέγιστη ώση απογείωσης	1+F				

▼**M2**

ACFTID	Profile_ID (Προφίλ αναχώρησης)	Μήκος καλυπτόμενης διαδρομής	Αριθμός σταδίου	Είδος σταδίου	Μέγεθος ώσης	Flap_ID (Θέση πτερυγίων καμπυλότητας)	Οροφή ανόδου (ft)	Ρυθμός ανόδου (ft/min)	Διακριβωμένη ταχύτητα αέρα στην οροφή ανόδου (kt)	Ποσοστό επιτάχυνσης (%)
A330-301	ICAO_A	1	2	Άνοδος	Μέγιστη ώση απογείωσης	1+F	1 500			
A330-301	ICAO_A	1	3	Άνοδος	Μέγιστη ώση ανόδου	1+F	3 000			
A330-301	ICAO_A	1	4	Επιτάχυνση	Μέγιστη ώση ανόδου	1+F		722,8	170,7	
A330-301	ICAO_A	1	5	Επιτάχυνση	Μέγιστη ώση ανόδου	1		783,9	193	
A330-301	ICAO_A	1	6	Επιτάχυνση	Μέγιστη ώση ανόδου	ZERO		965	210,2	
A330-301	ICAO_A	1	7	Επιτάχυνση	Μέγιστη ώση ανόδου	ZERO		1 210,9	250	
A330-301	ICAO_A	1	8	Άνοδος	Μέγιστη ώση ανόδου	ZERO	5 500			
A330-301	ICAO_A	1	9	Άνοδος	Μέγιστη ώση ανόδου	ZERO	7 500			
A330-301	ICAO_A	1	10	Άνοδος	Μέγιστη ώση ανόδου	ZERO	10 000			
A330-301	ICAO_A	2	1	Απογείωση	Μέγιστη ώση απογείωσης	1+F				
A330-301	ICAO_A	2	2	Άνοδος	Μέγιστη ώση απογείωσης	1+F	1 500			
A330-301	ICAO_A	2	3	Άνοδος	Μέγιστη ώση ανόδου	1+F	3 000			
A330-301	ICAO_A	2	4	Επιτάχυνση	Μέγιστη ώση ανόδου	1+F		694,4	173,3	
A330-301	ICAO_A	2	5	Επιτάχυνση	Μέγιστη ώση ανόδου	1		758,4	194,7	

▼**M2**

ACFTID	Profile_ID (Προφίλ αναχώρησης)	Μήκος καλυπτόμενης διαδρομής	Αριθμός σταδίου	Είδος σταδίου	Μέγεθος ώσης	Flap_ID (Θέση πτερυγίων καμπυλότητας)	Οροφή ανόδου (ft)	Ρυθμός ανόδου (ft/min)	Διακριβωμένη ταχύτητα αέρα στην οροφή ανόδου (kt)	Ποσοστό επιτάχυνσης (%)
A330-301	ICAO_A	2	6	Επιτάχυνση	Μέγιστη ώση ανόδου	ZERO		938	211,3	
A330-301	ICAO_A	2	7	Επιτάχυνση	Μέγιστη ώση ανόδου	ZERO		1 168,1	250	
A330-301	ICAO_A	2	8	Άνοδος	Μέγιστη ώση ανόδου	ZERO	5 500			
A330-301	ICAO_A	2	9	Άνοδος	Μέγιστη ώση ανόδου	ZERO	7 500			
A330-301	ICAO_A	2	10	Άνοδος	Μέγιστη ώση ανόδου	ZERO	10 000			
A330-301	ICAO_A	3	1	Απογείωση	Μέγιστη ώση απογείωσης	1+F				
A330-301	ICAO_A	3	2	Άνοδος	Μέγιστη ώση απογείωσης	1+F	1 500			
A330-301	ICAO_A	3	3	Άνοδος	Μέγιστη ώση ανόδου	1+F	3 000			
A330-301	ICAO_A	3	4	Επιτάχυνση	Μέγιστη ώση ανόδου	1+F		668,3	176	
A330-301	ICAO_A	3	5	Επιτάχυνση	Μέγιστη ώση ανόδου	1		734,4	196,4	
A330-301	ICAO_A	3	6	Επιτάχυνση	Μέγιστη ώση ανόδου	ZERO		911,9	212,4	
A330-301	ICAO_A	3	7	Επιτάχυνση	Μέγιστη ώση ανόδου	ZERO		1 126,3	250	
A330-301	ICAO_A	3	8	Άνοδος	Μέγιστη ώση ανόδου	ZERO	5 500			

▼**M2**

ACFTID	Profile_ID (Προφίλ αναχώρησης)	Μήκος καλυπτόμενης διαδρομής	Αριθμός σταδίου	Είδος σταδίου	Μέγεθος ώσης	Flap_ID (Θέση πτερυγίων καμπυλότητας)	Οροφή ανόδου (ft)	Ρυθμός ανόδου (ft/min)	Διακριβωμένη ταχύτητα αέρα στην οροφή ανόδου (kt)	Ποσοστό επιτάχυνσης (%)
A330-301	ICAO_A	3	9	Άνοδος	Μέγιστη ώση ανόδου	ZERO	7 500			
A330-301	ICAO_A	3	10	Άνοδος	Μέγιστη ώση ανόδου	ZERO	10 000			
A330-301	ICAO_A	4	1	Απογείωση	Μέγιστη ώση απογείωσης	1+F				
A330-301	ICAO_A	4	2	Άνοδος	Μέγιστη ώση απογείωσης	1+F	1 500			
A330-301	ICAO_A	4	3	Άνοδος	Μέγιστη ώση ανόδου	1+F	3 000			
A330-301	ICAO_A	4	4	Επιτάχυνση	Μέγιστη ώση ανόδου	1+F		622	180,8	
A330-301	ICAO_A	4	5	Επιτάχυνση	Μέγιστη ώση ανόδου	1		698,3	199,8	
A330-301	ICAO_A	4	6	Επιτάχυνση	Μέγιστη ώση ανόδου	ZERO		871,8	214,9	
A330-301	ICAO_A	4	7	Επιτάχυνση	Μέγιστη ώση ανόδου	ZERO		1 057,8	250	
A330-301	ICAO_A	4	8	Άνοδος	Μέγιστη ώση ανόδου	ZERO	5 500			
A330-301	ICAO_A	4	9	Άνοδος	Μέγιστη ώση ανόδου	ZERO	7 500			
A330-301	ICAO_A	4	10	Άνοδος	Μέγιστη ώση ανόδου	ZERO	10 000			
A330-301	ICAO_A	5	1	Απογείωση	Μέγιστη ώση απογείωσης	1+F				

▼**M2**

ACFTID	Profile_ID (Προφίλ αναχώρησης)	Μήκος καλυπτόμενης διαδρομής	Αριθμός σταδίου	Είδος σταδίου	Μέγεθος ώσης	Flap_ID (Θέση πτερυγίων καμπυλότητας)	Οροφή ανόδου (ft)	Ρυθμός ανόδου (ft/min)	Διακριβωμένη ταχύτητα αέρα στην οροφή ανόδου (kt)	Ποσοστό επιτάχυνσης (%)
A330-301	ICAO_A	5	2	Άνοδος	Μέγιστη ώση απογείωσης	1+F	1 500			
A330-301	ICAO_A	5	3	Άνοδος	Μέγιστη ώση ανόδου	1+F	3 000			
A330-301	ICAO_A	5	4	Επιτάχυνση	Μέγιστη ώση ανόδου	1+F		569,3	186,8	
A330-301	ICAO_A	5	5	Επιτάχυνση	Μέγιστη ώση ανόδου	1		663,1	204,4	
A330-301	ICAO_A	5	6	Επιτάχυνση	Μέγιστη ώση ανόδου	ZERO		827,1	218,4	
A330-301	ICAO_A	5	7	Επιτάχυνση	Μέγιστη ώση ανόδου	ZERO		977,1	250	
A330-301	ICAO_A	5	8	Άνοδος	Μέγιστη ώση ανόδου	ZERO	5 500			
A330-301	ICAO_A	5	9	Άνοδος	Μέγιστη ώση ανόδου	ZERO	7 500			
A330-301	ICAO_A	5	10	Άνοδος	Μέγιστη ώση ανόδου	ZERO	10 000			
A330-301	ICAO_A	6	1	Απογείωση	Μέγιστη ώση απογείωσης	1+F				
A330-301	ICAO_A	6	2	Άνοδος	Μέγιστη ώση απογείωσης	1+F	1 500			
A330-301	ICAO_A	6	3	Άνοδος	Μέγιστη ώση ανόδου	1+F	3 000			
A330-301	ICAO_A	6	4	Επιτάχυνση	Μέγιστη ώση ανόδου	1+F		519,8	193	

▼**M2**

ACFTID	Profile_ID (Προφίλ αναχώρησης)	Μήκος καλυπτόμενης διαδρομής	Αριθμός σταδίου	Είδος σταδίου	Μέγεθος ώσης	Flap_ID (Θέση πτερυγίων καμπυλότητας)	Οροφή ανόδου (ft)	Ρυθμός ανόδου (ft/min)	Διακριβωμένη ταχύτητα αέρα στην οροφή ανόδου (kt)	Ποσοστό επιτάχυνσης (%)
A330-301	ICAO_A	6	5	Επιτάχυνση	Μέγιστη ώση ανόδου	1		634,2	209,3	
A330-301	ICAO_A	6	6	Επιτάχυνση	Μέγιστη ώση ανόδου	ZERO		781	222,2	
A330-301	ICAO_A	6	7	Επιτάχυνση	Μέγιστη ώση ανόδου	ZERO		898,1	250	
A330-301	ICAO_A	6	8	Άνοδος	Μέγιστη ώση ανόδου	ZERO	5 500			
A330-301	ICAO_A	6	9	Άνοδος	Μέγιστη ώση ανόδου	ZERO	7 500			
A330-301	ICAO_A	6	10	Άνοδος	Μέγιστη ώση ανόδου	ZERO	10 000			
A330-301	ICAO_A	7	1	Απογείωση	Μέγιστη ώση απογείωσης	1+F				
A330-301	ICAO_A	7	2	Άνοδος	Μέγιστη ώση απογείωσης	1+F	1 500			
A330-301	ICAO_A	7	3	Άνοδος	Μέγιστη ώση ανόδου	1+F	3 000			
A330-301	ICAO_A	7	4	Επιτάχυνση	Μέγιστη ώση ανόδου	1+F		506,2	194,9	
A330-301	ICAO_A	7	5	Επιτάχυνση	Μέγιστη ώση ανόδου	1		625,8	210,8	
A330-301	ICAO_A	7	6	Επιτάχυνση	Μέγιστη ώση ανόδου	ZERO		766,4	223,5	
A330-301	ICAO_A	7	7	Επιτάχυνση	Μέγιστη ώση ανόδου	ZERO		875,2	250	

▼**M2**

ACFTID	Profile_ID (Προφίλ αναχώρησης)	Μήκος καλυπτόμενης διαδρομής	Αριθμός σταδίου	Είδος σταδίου	Μέγεθος ώσης	Flap_ID (Θέση πτερυγίων καμπυλότητας)	Οροφή ανόδου (ft)	Ρυθμός ανόδου (ft/min)	Διακριβωμένη ταχύτητα αέρα στην οροφή ανόδου (kt)	Ποσοστό επιτάχυνσης (%)
A330-301	ICAO_A	7	8	Άνοδος	Μέγιστη ώση ανόδου	ZERO	5 500			
A330-301	ICAO_A	7	9	Άνοδος	Μέγιστη ώση ανόδου	ZERO	7 500			
A330-301	ICAO_A	7	10	Άνοδος	Μέγιστη ώση ανόδου	ZERO	10 000			
A330-301	ICAO_B	1	1	Απογείωση	Μέγιστη ώση απογείωσης	1+F				
A330-301	ICAO_B	1	2	Άνοδος	Μέγιστη ώση απογείωσης	1+F	1 000			
A330-301	ICAO_B	1	3	Επιτάχυνση	Μέγιστη ώση απογείωσης	1+F		1 160,6	170,7	
A330-301	ICAO_B	1	4	Επιτάχυνση	Μέγιστη ώση απογείωσης	1		1 267,7	207,4	
A330-301	ICAO_B	1	5	Άνοδος	Μέγιστη ώση ανόδου	ZERO	3 000			
A330-301	ICAO_B	1	6	Επιτάχυνση	Μέγιστη ώση ανόδου	ZERO		1 218,2	250	
A330-301	ICAO_B	1	7	Άνοδος	Μέγιστη ώση ανόδου	ZERO	5 500			
A330-301	ICAO_B	1	8	Άνοδος	Μέγιστη ώση ανόδου	ZERO	7 500			
A330-301	ICAO_B	1	9	Άνοδος	Μέγιστη ώση ανόδου	ZERO	10 000			
A330-301	ICAO_B	2	1	Απογείωση	Μέγιστη ώση απογείωσης	1+F				

▼**M2**

ACFTID	Profile_ID (Προφίλ αναχώρησης)	Μήκος καλυπτόμενης διαδρομής	Αριθμός σταδίου	Είδος σταδίου	Μέγεθος ώσης	Flap_ID (Θέση πτερυγίων καμπυλότητας)	Οροφή ανόδου (ft)	Ρυθμός ανόδου (ft/min)	Διακριβωμένη ταχύτητα αέρα στην οροφή ανόδου (kt)	Ποσοστό επιτάχυνσης (%)
A330-301	ICAO_B	2	2	Άνοδος	Μέγιστη ώση απογείωσης	1+F	1 000			
A330-301	ICAO_B	2	3	Επιτάχυνση	Μέγιστη ώση απογείωσης	1+F		1 121,7	173,4	
A330-301	ICAO_B	2	4	Επιτάχυνση	Μέγιστη ώση απογείωσης	1		1 228,7	208,6	
A330-301	ICAO_B	2	5	Άνοδος	Μέγιστη ώση ανόδου	ZERO	3 000			
A330-301	ICAO_B	2	6	Επιτάχυνση	Μέγιστη ώση ανόδου	ZERO		1 176	250	
A330-301	ICAO_B	2	7	Άνοδος	Μέγιστη ώση ανόδου	ZERO	5 500			
A330-301	ICAO_B	2	8	Άνοδος	Μέγιστη ώση ανόδου	ZERO	7 500			
A330-301	ICAO_B	2	9	Άνοδος	Μέγιστη ώση ανόδου	ZERO	10 000			
A330-301	ICAO_B	3	1	Απογείωση	Μέγιστη ώση απογείωσης	1+F				
A330-301	ICAO_B	3	2	Άνοδος	Μέγιστη ώση απογείωσης	1+F	1 000			
A330-301	ICAO_B	3	3	Επιτάχυνση	Μέγιστη ώση απογείωσης	1+F		1 083,6	176,1	
A330-301	ICAO_B	3	4	Επιτάχυνση	Μέγιστη ώση απογείωσης	1		1 190,2	209,8	
A330-301	ICAO_B	3	5	Άνοδος	Μέγιστη ώση ανόδου	ZERO	3 000			
A330-301	ICAO_B	3	6	Επιτάχυνση	Μέγιστη ώση ανόδου	ZERO		1 134,5	250	

▼**M2**

ACFTID	Profile_ID (Προφίλ αναχώρησης)	Μήκος καλυπτόμενης διαδρομής	Αριθμός σταδίου	Είδος σταδίου	Μέγεθος ώσης	Flap_ID (Θέση πτερυγίων καμπυλότητας)	Οροφή ανόδου (ft)	Ρυθμός ανόδου (ft/min)	Διακριβωμένη ταχύτητα αέρα στην οροφή ανόδου (kt)	Ποσοστό επιτάχυνσης (%)
A330-301	ICAO_B	3	7	Άνοδος	Μέγιστη ώση ανόδου	ZERO	5 500			
A330-301	ICAO_B	3	8	Άνοδος	Μέγιστη ώση ανόδου	ZERO	7 500			
A330-301	ICAO_B	3	9	Άνοδος	Μέγιστη ώση ανόδου	ZERO	10 000			
A330-301	ICAO_B	4	1	Απογείωση	Μέγιστη ώση απογείωσης	1+F				
A330-301	ICAO_B	4	2	Άνοδος	Μέγιστη ώση απογείωσης	1+F	1 000			
A330-301	ICAO_B	4	3	Επιτάχυνση	Μέγιστη ώση απογείωσης	1+F		1 022,6	180,8	
A330-301	ICAO_B	4	4	Επιτάχυνση	Μέγιστη ώση απογείωσης	1		1 126,6	212,1	
A330-301	ICAO_B	4	5	Άνοδος	Μέγιστη ώση ανόδου	ZERO	3 000			
A330-301	ICAO_B	4	6	Επιτάχυνση	Μέγιστη ώση ανόδου	ZERO		1 066,4	250	
A330-301	ICAO_B	4	7	Άνοδος	Μέγιστη ώση ανόδου	ZERO	5 500			
A330-301	ICAO_B	4	8	Άνοδος	Μέγιστη ώση ανόδου	ZERO	7 500			
A330-301	ICAO_B	4	9	Άνοδος	Μέγιστη ώση ανόδου	ZERO	10 000			
A330-301	ICAO_B	5	1	Απογείωση	Μέγιστη ώση απογείωσης	1+F				
A330-301	ICAO_B	5	2	Άνοδος	Μέγιστη ώση απογείωσης	1+F	1 000			

▼**M2**

ACFTID	Profile_ID (Προφίλ αναχώρησης)	Μήκος καλυπτόμενης διαδρομής	Αριθμός σταδίου	Είδος σταδίου	Μέγεθος ώσης	Flap_ID (Θέση πτερυγίων καμπυλότητας)	Οροφή ανόδου (ft)	Ρυθμός ανόδου (ft/min)	Διακριβωμένη ταχύτητα αέρα στην οροφή ανόδου (kt)	Ποσοστό επιτάχυνσης (%)
A330-301	ICAO_B	5	3	Επιτάχυνση	Μέγιστη ώση απογείωσης	1+F		951,6	186,7	
A330-301	ICAO_B	5	4	Επιτάχυνση	Μέγιστη ώση απογείωσης	1		1 051,7	215,3	
A330-301	ICAO_B	5	5	Άνοδος	Μέγιστη ώση ανόδου	ZERO	3 000			
A330-301	ICAO_B	5	6	Επιτάχυνση	Μέγιστη ώση ανόδου	ZERO		986,6	250	
A330-301	ICAO_B	5	7	Άνοδος	Μέγιστη ώση ανόδου	ZERO	5 500			
A330-301	ICAO_B	5	8	Άνοδος	Μέγιστη ώση ανόδου	ZERO	7 500			
A330-301	ICAO_B	5	9	Άνοδος	Μέγιστη ώση ανόδου	ZERO	10 000			
A330-301	ICAO_B	6	1	Απογείωση	Μέγιστη ώση απογείωσης	1+F				
A330-301	ICAO_B	6	2	Άνοδος	Μέγιστη ώση απογείωσης	1+F	1 000			
A330-301	ICAO_B	6	3	Επιτάχυνση	Μέγιστη ώση απογείωσης	1+F		883,9	193	
A330-301	ICAO_B	6	4	Επιτάχυνση	Μέγιστη ώση απογείωσης	1		978,1	218,9	
A330-301	ICAO_B	6	5	Άνοδος	Μέγιστη ώση ανόδου	ZERO	3 000			
A330-301	ICAO_B	6	6	Επιτάχυνση	Μέγιστη ώση ανόδου	ZERO		908,7	250	
A330-301	ICAO_B	6	7	Άνοδος	Μέγιστη ώση ανόδου	ZERO	5 500			

▼**M2**

ACFTID	Profile_ID (Προφίλ αναχώρησης)	Μήκος καλυπτόμενης διαδρομής	Αριθμός σταδίου	Είδος σταδίου	Μέγεθος ώσης	Flap_ID (Θέση πτερυγίων καμπυλότητας)	Οροφή ανόδου (ft)	Ρυθμός ανόδου (ft/min)	Διακριβωμένη ταχύτητα αέρα στην οροφή ανόδου (kt)	Ποσοστό επιτάχυνσης (%)
A330-301	ICAO_B	6	8	Άνοδος	Μέγιστη ώση ανόδου	ZERO	7 500			
A330-301	ICAO_B	6	9	Άνοδος	Μέγιστη ώση ανόδου	ZERO	10 000			
A330-301	ICAO_B	7	1	Απογείωση	Μέγιστη ώση απογείωσης	1+F				
A330-301	ICAO_B	7	2	Άνοδος	Μέγιστη ώση απογείωσης	1+F	1 000			
A330-301	ICAO_B	7	3	Επιτάχυνση	Μέγιστη ώση απογείωσης	1+F		864,2	195	
A330-301	ICAO_B	7	4	Επιτάχυνση	Μέγιστη ώση απογείωσης	1		956,5	220,1	
A330-301	ICAO_B	7	5	Άνοδος	Μέγιστη ώση ανόδου	ZERO	3 000			
A330-301	ICAO_B	7	6	Επιτάχυνση	Μέγιστη ώση ανόδου	ZERO		885,7	250	
A330-301	ICAO_B	7	7	Άνοδος	Μέγιστη ώση ανόδου	ZERO	5 500			
A330-301	ICAO_B	7	8	Άνοδος	Μέγιστη ώση ανόδου	ZERO	7 500			
A330-301	ICAO_B	7	9	Άνοδος	Μέγιστη ώση ανόδου	ZERO	10 000			
A330-343	DEFAULT	1	1	Απογείωση	Μέγιστη ώση απογείωσης	1+F				
A330-343	DEFAULT	1	2	Άνοδος	Μέγιστη ώση απογείωσης	1+F	1 000			

▼**M2**

ACFTID	Profile_ID (Προφίλ αναχώρησης)	Μήκος καλυπτόμενης διαδρομής	Αριθμός σταδίου	Είδος σταδίου	Μέγεθος ώσης	Flap_ID (Θέση πτερυγίων καμπυλότητας)	Οροφή ανόδου (ft)	Ρυθμός ανόδου (ft/min)	Διακριβωμένη ταχύτητα αέρα στην οροφή ανόδου (kt)	Ποσοστό επιτάχυνσης (%)
A330-343	DEFAULT	1	3	Επιτάχυνση	Μέγιστη ώση απογείωσης	1+F		1 273,5	174,9	
A330-343	DEFAULT	1	4	Επιτάχυνση	Μέγιστη ώση απογείωσης	1		1 384,8	213,9	
A330-343	DEFAULT	1	5	Άνοδος	Μέγιστη ώση ανόδου	ZERO	3 000			
A330-343	DEFAULT	1	6	Επιτάχυνση	Μέγιστη ώση ανόδου	ZERO		1 268,1	250	
A330-343	DEFAULT	1	7	Άνοδος	Μέγιστη ώση ανόδου	ZERO	5 500			
A330-343	DEFAULT	1	8	Άνοδος	Μέγιστη ώση ανόδου	ZERO	7 500			
A330-343	DEFAULT	1	9	Άνοδος	Μέγιστη ώση ανόδου	ZERO	10 000			
A330-343	DEFAULT	2	1	Απογείωση	Μέγιστη ώση απογείωσης	1+F				
A330-343	DEFAULT	2	2	Άνοδος	Μέγιστη ώση απογείωσης	1+F	1 000			
A330-343	DEFAULT	2	3	Επιτάχυνση	Μέγιστη ώση απογείωσης	1+F		1 218,9	177,7	
A330-343	DEFAULT	2	4	Επιτάχυνση	Μέγιστη ώση απογείωσης	1		1 340,4	215	
A330-343	DEFAULT	2	5	Άνοδος	Μέγιστη ώση ανόδου	ZERO	3 000			
A330-343	DEFAULT	2	6	Επιτάχυνση	Μέγιστη ώση ανόδου	ZERO		1 223,6	250	
A330-343	DEFAULT	2	7	Άνοδος	Μέγιστη ώση ανόδου	ZERO	5 500			

▼**M2**

ACFTID	Profile_ID (Προφίλ αναχώρησης)	Μήκος καλυπτόμενης διαδρομής	Αριθμός σταδίου	Είδος σταδίου	Μέγεθος ώσης	Flap_ID (Θέση πτερυγίων καμπυλότητας)	Οροφή ανόδου (ft)	Ρυθμός ανόδου (ft/min)	Διακριβωμένη ταχύτητα αέρα στην οροφή ανόδου (kt)	Ποσοστό επιτάχυνσης (%)
A330-343	DEFAULT	2	8	Άνοδος	Μέγιστη ώση ανόδου	ZERO	7 500			
A330-343	DEFAULT	2	9	Άνοδος	Μέγιστη ώση ανόδου	ZERO	10 000			
A330-343	DEFAULT	3	1	Απογείωση	Μέγιστη ώση απογείωσης	1+F				
A330-343	DEFAULT	3	2	Άνοδος	Μέγιστη ώση απογείωσης	1+F	1 000			
A330-343	DEFAULT	3	3	Επιτάχυνση	Μέγιστη ώση απογείωσης	1+F		1 181,2	180,4	
A330-343	DEFAULT	3	4	Επιτάχυνση	Μέγιστη ώση απογείωσης	1		1 296,6	216,1	
A330-343	DEFAULT	3	5	Άνοδος	Μέγιστη ώση ανόδου	ZERO	3 000			
A330-343	DEFAULT	3	6	Επιτάχυνση	Μέγιστη ώση ανόδου	ZERO		1 180	250	
A330-343	DEFAULT	3	7	Άνοδος	Μέγιστη ώση ανόδου	ZERO	5 500			
A330-343	DEFAULT	3	8	Άνοδος	Μέγιστη ώση ανόδου	ZERO	7 500			
A330-343	DEFAULT	3	9	Άνοδος	Μέγιστη ώση ανόδου	ZERO	10 000			
A330-343	DEFAULT	4	1	Απογείωση	Μέγιστη ώση απογείωσης	1+F				
A330-343	DEFAULT	4	2	Άνοδος	Μέγιστη ώση απογείωσης	1+F	1 000			
A330-343	DEFAULT	4	3	Επιτάχυνση	Μέγιστη ώση απογείωσης	1+F		1 115,2	185,2	

▼**M2**

ACFTID	Profile_ID (Προφίλ αναχώρησης)	Μήκος καλυπτόμενης διαδρομής	Αριθμός σταδίου	Είδος σταδίου	Μέγεθος ώσης	Flap_ID (Θέση πτερυγίων καμπυλότητας)	Οροφή ανόδου (ft)	Ρυθμός ανόδου (ft/min)	Διακριβωμένη ταχύτητα αέρα στην οροφή ανόδου (kt)	Ποσοστό επιτάχυνσης (%)
A330-343	DEFAULT	4	4	Επιτάχυνση	Μέγιστη ώση απογείωσης	1		1 224,1	218,3	
A330-343	DEFAULT	4	5	Άνοδος	Μέγιστη ώση ανόδου	ZERO	3 000			
A330-343	DEFAULT	4	6	Επιτάχυνση	Μέγιστη ώση ανόδου	ZERO		1 108,4	250	
A330-343	DEFAULT	4	7	Άνοδος	Μέγιστη ώση ανόδου	ZERO	5 500			
A330-343	DEFAULT	4	8	Άνοδος	Μέγιστη ώση ανόδου	ZERO	7 500			
A330-343	DEFAULT	4	9	Άνοδος	Μέγιστη ώση ανόδου	ZERO	10 000			
A330-343	DEFAULT	5	1	Απογείωση	Μέγιστη ώση απογείωσης	1+F				
A330-343	DEFAULT	5	2	Άνοδος	Μέγιστη ώση απογείωσης	1+F	1 000			
A330-343	DEFAULT	5	3	Επιτάχυνση	Μέγιστη ώση απογείωσης	1+F		1 038,3	191,3	
A330-343	DEFAULT	5	4	Επιτάχυνση	Μέγιστη ώση απογείωσης	1		1 139,2	221,4	
A330-343	DEFAULT	5	5	Άνοδος	Μέγιστη ώση ανόδου	ZERO	3 000			
A330-343	DEFAULT	5	6	Επιτάχυνση	Μέγιστη ώση ανόδου	ZERO		1 025,2	250	
A330-343	DEFAULT	5	7	Άνοδος	Μέγιστη ώση ανόδου	ZERO	5 500			

▼**M2**

ACFTID	Profile_ID (Προφίλ αναχώρησης)	Μήκος καλυπτόμενης διαδρομής	Αριθμός σταδίου	Είδος σταδίου	Μέγεθος ώσης	Flap_ID (Θέση πτερυγίων καμπυλότητας)	Οροφή ανόδου (ft)	Ρυθμός ανόδου (ft/min)	Διακριβωμένη ταχύτητα αέρα στην οροφή ανόδου (kt)	Ποσοστό επιτάχυνσης (%)
A330-343	DEFAULT	5	8	Άνοδος	Μέγιστη ώση ανόδου	ZERO	7 500			
A330-343	DEFAULT	5	9	Άνοδος	Μέγιστη ώση ανόδου	ZERO	10 000			
A330-343	DEFAULT	6	1	Απογείωση	Μέγιστη ώση απογείωσης	1+F				
A330-343	DEFAULT	6	2	Άνοδος	Μέγιστη ώση απογείωσης	1+F	1 000			
A330-343	DEFAULT	6	3	Επιτάχυνση	Μέγιστη ώση απογείωσης	1+F		962,8	197,3	
A330-343	DEFAULT	6	4	Επιτάχυνση	Μέγιστη ώση απογείωσης	1		1 054,3	224,5	
A330-343	DEFAULT	6	5	Άνοδος	Μέγιστη ώση ανόδου	ZERO	3 000			
A330-343	DEFAULT	6	6	Επιτάχυνση	Μέγιστη ώση ανόδου	ZERO		943,3	250	
A330-343	DEFAULT	6	7	Άνοδος	Μέγιστη ώση ανόδου	ZERO	5 500			
A330-343	DEFAULT	6	8	Άνοδος	Μέγιστη ώση ανόδου	ZERO	7 500			
A330-343	DEFAULT	6	9	Άνοδος	Μέγιστη ώση ανόδου	ZERO	10 000			
A330-343	DEFAULT	7	1	Απογείωση	Μέγιστη ώση απογείωσης	1+F				
A330-343	DEFAULT	7	2	Άνοδος	Μέγιστη ώση απογείωσης	1+F	1 000			
A330-343	DEFAULT	7	3	Επιτάχυνση	Μέγιστη ώση απογείωσης	1+F		869,5	200,8	

▼**M2**

ACFTID	Profile_ID (Προφίλ αναχώρησης)	Μήκος καλυπτόμενης διαδρομής	Αριθμός σταδίου	Είδος σταδίου	Μέγεθος ώσης	Flap_ID (Θέση πτερυγίων καμπυλότητας)	Οροφή ανόδου (ft)	Ρυθμός ανόδου (ft/min)	Διακριβωμένη ταχύτητα αέρα στην οροφή ανόδου (kt)	Ποσοστό επιτάχυνσης (%)
A330-343	DEFAULT	7	4	Επιτάχυνση	Μέγιστη ώση απογείωσης	1		948,6	225	
A330-343	DEFAULT	7	5	Άνοδος	Μέγιστη ώση ανόδου	ZERO	3 000			
A330-343	DEFAULT	7	6	Επιτάχυνση	Μέγιστη ώση ανόδου	ZERO		842	250	
A330-343	DEFAULT	7	7	Άνοδος	Μέγιστη ώση ανόδου	ZERO	5 500			
A330-343	DEFAULT	7	8	Άνοδος	Μέγιστη ώση ανόδου	ZERO	7 500			
A330-343	DEFAULT	7	9	Άνοδος	Μέγιστη ώση ανόδου	ZERO	10 000			
A330-343	ICAO_A	1	1	Απογείωση	Μέγιστη ώση απογείωσης	1+F				
A330-343	ICAO_A	1	2	Άνοδος	Μέγιστη ώση απογείωσης	1+F	1 500			
A330-343	ICAO_A	1	3	Άνοδος	Μέγιστη ώση ανόδου	1+F	3 000			
A330-343	ICAO_A	1	4	Επιτάχυνση	Μέγιστη ώση ανόδου	1+F		839,6	174,8	
A330-343	ICAO_A	1	5	Επιτάχυνση	Μέγιστη ώση ανόδου	1		914,2	200,1	
A330-343	ICAO_A	1	6	Επιτάχυνση	Μέγιστη ώση ανόδου	ZERO		1 103,7	218,9	
A330-343	ICAO_A	1	7	Επιτάχυνση	Μέγιστη ώση ανόδου	ZERO		1 253,2	250	
A330-343	ICAO_A	1	8	Άνοδος	Μέγιστη ώση ανόδου	ZERO	5 500			

▼**M2**

ACFTID	Profile_ID (Προφίλ αναχώρησης)	Μήκος καλυπτόμενης διαδρομής	Αριθμός σταδίου	Είδος σταδίου	Μέγεθος ώσης	Flap_ID (Θέση πτερυγίων καμπυλότητας)	Οροφή ανόδου (ft)	Ρυθμός ανόδου (ft/min)	Διακριβωμένη ταχύτητα αέρα στην οροφή ανόδου (kt)	Ποσοστό επιτάχυνσης (%)
A330-343	ICAO_A	1	9	Άνοδος	Μέγιστη ώση ανόδου	ZERO	7 500			
A330-343	ICAO_A	1	10	Άνοδος	Μέγιστη ώση ανόδου	ZERO	10 000			
A330-343	ICAO_A	2	1	Απογείωση	Μέγιστη ώση απογείωσης	1+F				
A330-343	ICAO_A	2	2	Άνοδος	Μέγιστη ώση απογείωσης	1+F	1 500			
A330-343	ICAO_A	2	3	Άνοδος	Μέγιστη ώση ανόδου	1+F	3 000			
A330-343	ICAO_A	2	4	Επιτάχυνση	Μέγιστη ώση ανόδου	1+F		801,5	177,5	
A330-343	ICAO_A	2	5	Επιτάχυνση	Μέγιστη ώση ανόδου	1		885,4	201,7	
A330-343	ICAO_A	2	6	Επιτάχυνση	Μέγιστη ώση ανόδου	ZERO		1 068,3	219,8	
A330-343	ICAO_A	2	7	Επιτάχυνση	Μέγιστη ώση ανόδου	ZERO		1 208,4	250	
A330-343	ICAO_A	2	8	Άνοδος	Μέγιστη ώση ανόδου	ZERO	5 500			
A330-343	ICAO_A	2	9	Άνοδος	Μέγιστη ώση ανόδου	ZERO	7 500			
A330-343	ICAO_A	2	10	Άνοδος	Μέγιστη ώση ανόδου	ZERO	10 000			
A330-343	ICAO_A	3	1	Απογείωση	Μέγιστη ώση απογείωσης	1+F				

▼**M2**

ACFTID	Profile_ID (Προφίλ αναχώρησης)	Μήκος καλυπτόμενης διαδρομής	Αριθμός σταδίου	Είδος σταδίου	Μέγεθος ώσης	Flap_ID (Θέση πτερυγίων καμπυλότητας)	Οροφή ανόδου (ft)	Ρυθμός ανόδου (ft/min)	Διακριβωμένη ταχύτητα αέρα στην οροφή ανόδου (kt)	Ποσοστό επιτάχυνσης (%)
A330-343	ICAO_A	3	2	Άνοδος	Μέγιστη ώση απογείωσης	1+F	1 500			
A330-343	ICAO_A	3	3	Άνοδος	Μέγιστη ώση ανόδου	1+F	3 000			
A330-343	ICAO_A	3	4	Επιτάχυνση	Μέγιστη ώση ανόδου	1+F		766,4	180,3	
A330-343	ICAO_A	3	5	Επιτάχυνση	Μέγιστη ώση ανόδου	1		857,9	203,5	
A330-343	ICAO_A	3	6	Επιτάχυνση	Μέγιστη ώση ανόδου	ZERO		1 033,8	220,9	
A330-343	ICAO_A	3	7	Επιτάχυνση	Μέγιστη ώση ανόδου	ZERO		1 164,8	250	
A330-343	ICAO_A	3	8	Άνοδος	Μέγιστη ώση ανόδου	ZERO	5 500			
A330-343	ICAO_A	3	9	Άνοδος	Μέγιστη ώση ανόδου	ZERO	7 500			
A330-343	ICAO_A	3	10	Άνοδος	Μέγιστη ώση ανόδου	ZERO	10 000			
A330-343	ICAO_A	4	1	Απογείωση	Μέγιστη ώση απογείωσης	1+F				
A330-343	ICAO_A	4	2	Άνοδος	Μέγιστη ώση απογείωσης	1+F	1 500			
A330-343	ICAO_A	4	3	Άνοδος	Μέγιστη ώση ανόδου	1+F	3 000			
A330-343	ICAO_A	4	4	Επιτάχυνση	Μέγιστη ώση ανόδου	1+F		717,5	185,3	

▼**M2**

ACFTID	Profile_ID (Προφίλ αναχώρησης)	Μήκος καλυπτόμενης διαδρομής	Αριθμός σταδίου	Είδος σταδίου	Μέγεθος ώσης	Flap_ID (Θέση πτερυγίων καμπυλότητας)	Οροφή ανόδου (ft)	Ρυθμός ανόδου (ft/min)	Διακριβωμένη ταχύτητα αέρα στην οροφή ανόδου (kt)	Ποσοστό επιτάχυνσης (%)
A330-343	ICAO_A	4	5	Επιτάχυνση	Μέγιστη ώση ανόδου	1		814,6	206,8	
A330-343	ICAO_A	4	6	Επιτάχυνση	Μέγιστη ώση ανόδου	ZERO		977,3	223	
A330-343	ICAO_A	4	7	Επιτάχυνση	Μέγιστη ώση ανόδου	ZERO		1 093,5	250	
A330-343	ICAO_A	4	8	Άνοδος	Μέγιστη ώση ανόδου	ZERO	5 500			
A330-343	ICAO_A	4	9	Άνοδος	Μέγιστη ώση ανόδου	ZERO	7 500			
A330-343	ICAO_A	4	10	Άνοδος	Μέγιστη ώση ανόδου	ZERO	10 000			
A330-343	ICAO_A	5	1	Απογείωση	Μέγιστη ώση απογείωσης	1+F				
A330-343	ICAO_A	5	2	Άνοδος	Μέγιστη ώση απογείωσης	1+F	1 500			
A330-343	ICAO_A	5	3	Άνοδος	Μέγιστη ώση ανόδου	1+F	3 000			
A330-343	ICAO_A	5	4	Επιτάχυνση	Μέγιστη ώση ανόδου	1+F		661,1	191,5	
A330-343	ICAO_A	5	5	Επιτάχυνση	Μέγιστη ώση ανόδου	1		767	211,2	
A330-343	ICAO_A	5	6	Επιτάχυνση	Μέγιστη ώση ανόδου	ZERO		910,6	226,1	
A330-343	ICAO_A	5	7	Επιτάχυνση	Μέγιστη ώση ανόδου	ZERO		1 011	250	

▼**M2**

ACFTID	Profile_ID (Προφίλ αναχώρησης)	Μήκος καλυπτόμενης διαδρομής	Αριθμός σταδίου	Είδος σταδίου	Μέγεθος ώσης	Flap_ID (Θέση πτερυγίων καμπυλότητας)	Οροφή ανόδου (ft)	Ρυθμός ανόδου (ft/min)	Διακριβωμένη ταχύτητα αέρα στην οροφή ανόδου (kt)	Ποσοστό επιτάχυνσης (%)
A330-343	ICAO_A	5	8	Άνοδος	Μέγιστη ώση ανόδου	ZERO	5 500			
A330-343	ICAO_A	5	9	Άνοδος	Μέγιστη ώση ανόδου	ZERO	7 500			
A330-343	ICAO_A	5	10	Άνοδος	Μέγιστη ώση ανόδου	ZERO	10 000			
A330-343	ICAO_A	6	1	Απογείωση	Μέγιστη ώση απογείωσης	1+F				
A330-343	ICAO_A	6	2	Άνοδος	Μέγιστη ώση απογείωσης	1+F	1 500			
A330-343	ICAO_A	6	3	Άνοδος	Μέγιστη ώση ανόδου	1+F	3 000			
A330-343	ICAO_A	6	4	Επιτάχυνση	Μέγιστη ώση ανόδου	1+F		607,1	197,4	
A330-343	ICAO_A	6	5	Επιτάχυνση	Μέγιστη ώση ανόδου	1		717	215,3	
A330-343	ICAO_A	6	6	Επιτάχυνση	Μέγιστη ώση ανόδου	ZERO		840,3	228,8	
A330-343	ICAO_A	6	7	Επιτάχυνση	Μέγιστη ώση ανόδου	ZERO		929,9	250	
A330-343	ICAO_A	6	8	Άνοδος	Μέγιστη ώση ανόδου	ZERO	5 500			
A330-343	ICAO_A	6	9	Άνοδος	Μέγιστη ώση ανόδου	ZERO	7 500			
A330-343	ICAO_A	6	10	Άνοδος	Μέγιστη ώση ανόδου	ZERO	10 000			

▼**M2**

ACFTID	Profile_ID (Προφίλ αναχώρησης)	Μήκος καλυπτόμενης διαδρομής	Αριθμός σταδίου	Είδος σταδίου	Μέγεθος ώσης	Flap_ID (Θέση πτερυγίων καμπυλότητας)	Οροφή ανόδου (ft)	Ρυθμός ανόδου (ft/min)	Διακριβωμένη ταχύτητα αέρα στην οροφή ανόδου (kt)	Ποσοστό επιτάχυνσης (%)
A330-343	ICAO_A	7	1	Απογείωση	Μέγιστη ώση απογείωσης	1+F				
A330-343	ICAO_A	7	2	Άνοδος	Μέγιστη ώση απογείωσης	1+F	1 500			
A330-343	ICAO_A	7	3	Άνοδος	Μέγιστη ώση ανόδου	1+F	3 000			
A330-343	ICAO_A	7	4	Επιτάχυνση	Μέγιστη ώση ανόδου	1+F		538	200,4	
A330-343	ICAO_A	7	5	Επιτάχυνση	Μέγιστη ώση ανόδου	1		638,8	216,2	
A330-343	ICAO_A	7	6	Επιτάχυνση	Μέγιστη ώση ανόδου	ZERO		743,9	228,1	
A330-343	ICAO_A	7	7	Επιτάχυνση	Μέγιστη ώση ανόδου	ZERO		830,4	250	
A330-343	ICAO_A	7	8	Άνοδος	Μέγιστη ώση ανόδου	ZERO	5 500			
A330-343	ICAO_A	7	9	Άνοδος	Μέγιστη ώση ανόδου	ZERO	7 500			
A330-343	ICAO_A	7	10	Άνοδος	Μέγιστη ώση ανόδου	ZERO	10 000			
A330-343	ICAO_B	1	1	Απογείωση	Μέγιστη ώση απογείωσης	1+F				
A330-343	ICAO_B	1	2	Άνοδος	Μέγιστη ώση απογείωσης	1+F	1 000			
A330-343	ICAO_B	1	3	Επιτάχυνση	Μέγιστη ώση απογείωσης	1+F		1 273,5	174,9	

▼**M2**

ACFTID	Profile_ID (Προφίλ αναχώρησης)	Μήκος καλυπτόμενης διαδρομής	Αριθμός σταδίου	Είδος σταδίου	Μέγεθος ώσης	Flap_ID (Θέση πτερυγίων καμπυλότητας)	Οροφή ανόδου (ft)	Ρυθμός ανόδου (ft/min)	Διακριβωμένη ταχύτητα αέρα στην οροφή ανόδου (kt)	Ποσοστό επιτάχυνσης (%)
A330-343	ICAO_B	1	4	Επιτάχυνση	Μέγιστη ώση απογείωσης	1		1 384,8	213,9	
A330-343	ICAO_B	1	5	Άνοδος	Μέγιστη ώση ανόδου	ZERO	3 000			
A330-343	ICAO_B	1	6	Επιτάχυνση	Μέγιστη ώση ανόδου	ZERO		1 268,1	250	
A330-343	ICAO_B	1	7	Άνοδος	Μέγιστη ώση ανόδου	ZERO	5 500			
A330-343	ICAO_B	1	8	Άνοδος	Μέγιστη ώση ανόδου	ZERO	7 500			
A330-343	ICAO_B	1	9	Άνοδος	Μέγιστη ώση ανόδου	ZERO	10 000			
A330-343	ICAO_B	2	1	Απογείωση	Μέγιστη ώση απογείωσης	1+F				
A330-343	ICAO_B	2	2	Άνοδος	Μέγιστη ώση απογείωσης	1+F	1 000			
A330-343	ICAO_B	2	3	Επιτάχυνση	Μέγιστη ώση απογείωσης	1+F		1 218,9	177,7	
A330-343	ICAO_B	2	4	Επιτάχυνση	Μέγιστη ώση απογείωσης	1		1 340,4	215	
A330-343	ICAO_B	2	5	Άνοδος	Μέγιστη ώση ανόδου	ZERO	3 000			
A330-343	ICAO_B	2	6	Επιτάχυνση	Μέγιστη ώση ανόδου	ZERO		1 223,6	250	
A330-343	ICAO_B	2	7	Άνοδος	Μέγιστη ώση ανόδου	ZERO	5 500			

▼**M2**

ACFTID	Profile_ID (Προφίλ αναχώρησης)	Μήκος καλυπτόμενης διαδρομής	Αριθμός σταδίου	Είδος σταδίου	Μέγεθος ώσης	Flap_ID (Θέση πτερυγίων καμπυλότητας)	Οροφή ανόδου (ft)	Ρυθμός ανόδου (ft/min)	Διακριβωμένη ταχύτητα αέρα στην οροφή ανόδου (kt)	Ποσοστό επιτάχυνσης (%)
A330-343	ICAO_B	2	8	Άνοδος	Μέγιστη ώση ανόδου	ZERO	7 500			
A330-343	ICAO_B	2	9	Άνοδος	Μέγιστη ώση ανόδου	ZERO	10 000			
A330-343	ICAO_B	3	1	Απογείωση	Μέγιστη ώση απογείωσης	1+F				
A330-343	ICAO_B	3	2	Άνοδος	Μέγιστη ώση απογείωσης	1+F	1 000			
A330-343	ICAO_B	3	3	Επιτάχυνση	Μέγιστη ώση απογείωσης	1+F		1 181,2	180,4	
A330-343	ICAO_B	3	4	Επιτάχυνση	Μέγιστη ώση απογείωσης	1		1 296,6	216,1	
A330-343	ICAO_B	3	5	Άνοδος	Μέγιστη ώση ανόδου	ZERO	3 000			
A330-343	ICAO_B	3	6	Επιτάχυνση	Μέγιστη ώση ανόδου	ZERO		1 180	250	
A330-343	ICAO_B	3	7	Άνοδος	Μέγιστη ώση ανόδου	ZERO	5 500			
A330-343	ICAO_B	3	8	Άνοδος	Μέγιστη ώση ανόδου	ZERO	7 500			
A330-343	ICAO_B	3	9	Άνοδος	Μέγιστη ώση ανόδου	ZERO	10 000			
A330-343	ICAO_B	4	1	Απογείωση	Μέγιστη ώση απογείωσης	1+F				
A330-343	ICAO_B	4	2	Άνοδος	Μέγιστη ώση απογείωσης	1+F	1 000			
A330-343	ICAO_B	4	3	Επιτάχυνση	Μέγιστη ώση απογείωσης	1+F		1 115,2	185,2	

▼**M2**

ACFTID	Profile_ID (Προφίλ αναχώρησης)	Μήκος καλυπτόμενης διαδρομής	Αριθμός σταδίου	Είδος σταδίου	Μέγεθος ώσης	Flap_ID (Θέση πτερυγίων καμπυλότητας)	Οροφή ανόδου (ft)	Ρυθμός ανόδου (ft/min)	Διακριβωμένη ταχύτητα αέρα στην οροφή ανόδου (kt)	Ποσοστό επιτάχυνσης (%)
A330-343	ICAO_B	4	4	Επιτάχυνση	Μέγιστη ώση απογείωσης	1		1 224,1	218,3	
A330-343	ICAO_B	4	5	Άνοδος	Μέγιστη ώση ανόδου	ZERO	3 000			
A330-343	ICAO_B	4	6	Επιτάχυνση	Μέγιστη ώση ανόδου	ZERO		1 108,4	250	
A330-343	ICAO_B	4	7	Άνοδος	Μέγιστη ώση ανόδου	ZERO	5 500			
A330-343	ICAO_B	4	8	Άνοδος	Μέγιστη ώση ανόδου	ZERO	7 500			
A330-343	ICAO_B	4	9	Άνοδος	Μέγιστη ώση ανόδου	ZERO	10 000			
A330-343	ICAO_B	5	1	Απογείωση	Μέγιστη ώση απογείωσης	1+F				
A330-343	ICAO_B	5	2	Άνοδος	Μέγιστη ώση απογείωσης	1+F	1 000			
A330-343	ICAO_B	5	3	Επιτάχυνση	Μέγιστη ώση απογείωσης	1+F		1 038,3	191,3	
A330-343	ICAO_B	5	4	Επιτάχυνση	Μέγιστη ώση απογείωσης	1		1 139,2	221,4	
A330-343	ICAO_B	5	5	Άνοδος	Μέγιστη ώση ανόδου	ZERO	3 000			
A330-343	ICAO_B	5	6	Επιτάχυνση	Μέγιστη ώση ανόδου	ZERO		1 025,2	250	
A330-343	ICAO_B	5	7	Άνοδος	Μέγιστη ώση ανόδου	ZERO	5 500			
A330-343	ICAO_B	5	8	Άνοδος	Μέγιστη ώση ανόδου	ZERO	7 500			

▼**M2**

ACFTID	Profile_ID (Προφίλ αναχώρησης)	Μήκος καλυπτόμενης διαδρομής	Αριθμός σταδίου	Είδος σταδίου	Μέγεθος ώσης	Flap_ID (Θέση πτερυγίων καμπυλότητας)	Οροφή ανόδου (ft)	Ρυθμός ανόδου (ft/min)	Διακριβωμένη ταχύτητα αέρα στην οροφή ανόδου (kt)	Ποσοστό επιτάχυνσης (%)
A330-343	ICAO_B	5	9	Άνοδος	Μέγιστη ώση ανόδου	ZERO	10 000			
A330-343	ICAO_B	6	1	Απογείωση	Μέγιστη ώση απογείωσης	1+F				
A330-343	ICAO_B	6	2	Άνοδος	Μέγιστη ώση απογείωσης	1+F	1 000			
A330-343	ICAO_B	6	3	Επιτάχυνση	Μέγιστη ώση απογείωσης	1+F		962,8	197,3	
A330-343	ICAO_B	6	4	Επιτάχυνση	Μέγιστη ώση απογείωσης	1		1 054,3	224,5	
A330-343	ICAO_B	6	5	Άνοδος	Μέγιστη ώση ανόδου	ZERO	3 000			
A330-343	ICAO_B	6	6	Επιτάχυνση	Μέγιστη ώση ανόδου	ZERO		943,3	250	
A330-343	ICAO_B	6	7	Άνοδος	Μέγιστη ώση ανόδου	ZERO	5 500			
A330-343	ICAO_B	6	8	Άνοδος	Μέγιστη ώση ανόδου	ZERO	7 500			
A330-343	ICAO_B	6	9	Άνοδος	Μέγιστη ώση ανόδου	ZERO	10 000			
A330-343	ICAO_B	7	1	Απογείωση	Μέγιστη ώση απογείωσης	1+F				
A330-343	ICAO_B	7	2	Άνοδος	Μέγιστη ώση απογείωσης	1+F	1 000			
A330-343	ICAO_B	7	3	Επιτάχυνση	Μέγιστη ώση απογείωσης	1+F		869,5	200,8	
A330-343	ICAO_B	7	4	Επιτάχυνση	Μέγιστη ώση απογείωσης	1		948,6	225	

▼**M2**

ACFTID	Profile_ID (Προφίλ αναχώρησης)	Μήκος καλυπτόμενης διαδρομής	Αριθμός σταδίου	Είδος σταδίου	Μέγεθος ώσης	Flap_ID (Θέση πτερυγίων καμπυλότητας)	Οροφή ανόδου (ft)	Ρυθμός ανόδου (ft/min)	Διακριβωμένη ταχύτητα αέρα στην οροφή ανόδου (kt)	Ποσοστό επιτάχυνσης (%)
A330-343	ICAO_B	7	5	Άνοδος	Μέγιστη ώση ανόδου	ZERO	3 000			
A330-343	ICAO_B	7	6	Επιτάχυνση	Μέγιστη ώση ανόδου	ZERO		842	250	
A330-343	ICAO_B	7	7	Άνοδος	Μέγιστη ώση ανόδου	ZERO	5 500			
A330-343	ICAO_B	7	8	Άνοδος	Μέγιστη ώση ανόδου	ZERO	7 500			
A330-343	ICAO_B	7	9	Άνοδος	Μέγιστη ώση ανόδου	ZERO	10 000			
A340-211	DEFAULT	1	1	Απογείωση	Μέγιστη ώση απογείωσης	1+F				
A340-211	DEFAULT	1	2	Άνοδος	Μέγιστη ώση απογείωσης	1+F	1 000			
A340-211	DEFAULT	1	3	Επιτάχυνση	Μέγιστη ώση απογείωσης	1+F		1 019,3	177,6	
A340-211	DEFAULT	1	4	Επιτάχυνση	Μέγιστη ώση απογείωσης	1		1 101,1	215,2	
A340-211	DEFAULT	1	5	Άνοδος	Μέγιστη ώση ανόδου	ZERO	3 000			
A340-211	DEFAULT	1	6	Επιτάχυνση	Μέγιστη ώση ανόδου	ZERO		1 165,6	250	
A340-211	DEFAULT	1	7	Άνοδος	Μέγιστη ώση ανόδου	ZERO	5 500			
A340-211	DEFAULT	1	8	Άνοδος	Μέγιστη ώση ανόδου	ZERO	7 500			
A340-211	DEFAULT	1	9	Άνοδος	Μέγιστη ώση ανόδου	ZERO	10 000			

▼**M2**

ACFTID	Profile_ID (Προφίλ αναχώρησης)	Μήκος καλυπτόμενης διαδρομής	Αριθμός σταδίου	Είδος σταδίου	Μέγεθος ώσης	Flap_ID (Θέση πτερυγίων καμπυλότητας)	Οροφή ανόδου (ft)	Ρυθμός ανόδου (ft/min)	Διακριβωμένη ταχύτητα αέρα στην οροφή ανόδου (kt)	Ποσοστό επιτάχυνσης (%)
A340-211	DEFAULT	2	1	Απογείωση	Μέγιστη ώση απογείωσης	1+F				
A340-211	DEFAULT	2	2	Άνοδος	Μέγιστη ώση απογείωσης	1+F	1 000			
A340-211	DEFAULT	2	3	Επιτάχυνση	Μέγιστη ώση απογείωσης	1+F		973,9	180,5	
A340-211	DEFAULT	2	4	Επιτάχυνση	Μέγιστη ώση απογείωσης	1		1 061,1	216,3	
A340-211	DEFAULT	2	5	Άνοδος	Μέγιστη ώση ανόδου	ZERO	3 000			
A340-211	DEFAULT	2	6	Επιτάχυνση	Μέγιστη ώση ανόδου	ZERO		1 120,6	250	
A340-211	DEFAULT	2	7	Άνοδος	Μέγιστη ώση ανόδου	ZERO	5 500			
A340-211	DEFAULT	2	8	Άνοδος	Μέγιστη ώση ανόδου	ZERO	7 500			
A340-211	DEFAULT	2	9	Άνοδος	Μέγιστη ώση ανόδου	ZERO	10 000			
A340-211	DEFAULT	3	1	Απογείωση	Μέγιστη ώση απογείωσης	1+F				
A340-211	DEFAULT	3	2	Άνοδος	Μέγιστη ώση απογείωσης	1+F	1 000			
A340-211	DEFAULT	3	3	Επιτάχυνση	Μέγιστη ώση απογείωσης	1+F		930,2	183,1	
A340-211	DEFAULT	3	4	Επιτάχυνση	Μέγιστη ώση απογείωσης	1		1 021,2	217,3	
A340-211	DEFAULT	3	5	Άνοδος	Μέγιστη ώση ανόδου	ZERO	3 000			

▼**M2**

ACFTID	Profile_ID (Προφίλ αναχώρησης)	Μήκος καλυπτόμενης διαδρομής	Αριθμός σταδίου	Είδος σταδίου	Μέγεθος ώσης	Flap_ID (Θέση πτερυγίων καμπυλότητας)	Οροφή ανόδου (ft)	Ρυθμός ανόδου (ft/min)	Διακριβωμένη ταχύτητα αέρα στην οροφή ανόδου (kt)	Ποσοστό επιτάχυνσης (%)
A340-211	DEFAULT	3	6	Επιτάχυνση	Μέγιστη ώση ανόδου	ZERO		1 076,1	250	
A340-211	DEFAULT	3	7	Άνοδος	Μέγιστη ώση ανόδου	ZERO	5 500			
A340-211	DEFAULT	3	8	Άνοδος	Μέγιστη ώση ανόδου	ZERO	7 500			
A340-211	DEFAULT	3	9	Άνοδος	Μέγιστη ώση ανόδου	ZERO	10 000			
A340-211	DEFAULT	4	1	Απογείωση	Μέγιστη ώση απογείωσης	1+F				
A340-211	DEFAULT	4	2	Άνοδος	Μέγιστη ώση απογείωσης	1+F	1 000			
A340-211	DEFAULT	4	3	Επιτάχυνση	Μέγιστη ώση απογείωσης	1+F		860,1	188,2	
A340-211	DEFAULT	4	4	Επιτάχυνση	Μέγιστη ώση απογείωσης	1		955,9	219,5	
A340-211	DEFAULT	4	5	Άνοδος	Μέγιστη ώση ανόδου	ZERO	3 000			
A340-211	DEFAULT	4	6	Επιτάχυνση	Μέγιστη ώση ανόδου	ZERO		1 003,9	250	
A340-211	DEFAULT	4	7	Άνοδος	Μέγιστη ώση ανόδου	ZERO	5 500			
A340-211	DEFAULT	4	8	Άνοδος	Μέγιστη ώση ανόδου	ZERO	7 500			
A340-211	DEFAULT	4	9	Άνοδος	Μέγιστη ώση ανόδου	ZERO	10 000			

▼**M2**

ACFTID	Profile_ID (Προφίλ αναχώρησης)	Μήκος καλυπτόμενης διαδρομής	Αριθμός σταδίου	Είδος σταδίου	Μέγεθος ώσης	Flap_ID (Θέση πτερυγίων καμπυλότητας)	Οροφή ανόδου (ft)	Ρυθμός ανόδου (ft/min)	Διακριβωμένη ταχύτητα αέρα στην οροφή ανόδου (kt)	Ποσοστό επιτάχυνσης (%)
A340-211	DEFAULT	5	1	Απογείωση	Μέγιστη ώση απογείωσης	1+F				
A340-211	DEFAULT	5	2	Άνοδος	Μέγιστη ώση απογείωσης	1+F	1 000			
A340-211	DEFAULT	5	3	Επιτάχυνση	Μέγιστη ώση απογείωσης	1+F		779,4	194,9	
A340-211	DEFAULT	5	4	Επιτάχυνση	Μέγιστη ώση απογείωσης	1		879,4	222,9	
A340-211	DEFAULT	5	5	Άνοδος	Μέγιστη ώση ανόδου	ZERO	3 000			
A340-211	DEFAULT	5	6	Επιτάχυνση	Μέγιστη ώση ανόδου	ZERO		920,2	250	
A340-211	DEFAULT	5	7	Άνοδος	Μέγιστη ώση ανόδου	ZERO	5 500			
A340-211	DEFAULT	5	8	Άνοδος	Μέγιστη ώση ανόδου	ZERO	7 500			
A340-211	DEFAULT	5	9	Άνοδος	Μέγιστη ώση ανόδου	ZERO	10 000			
A340-211	DEFAULT	6	1	Απογείωση	Μέγιστη ώση απογείωσης	1+F				
A340-211	DEFAULT	6	2	Άνοδος	Μέγιστη ώση απογείωσης	1+F	1 000			
A340-211	DEFAULT	6	3	Επιτάχυνση	Μέγιστη ώση απογείωσης	1+F		705,2	199,2	
A340-211	DEFAULT	6	4	Επιτάχυνση	Μέγιστη ώση απογείωσης	1		802	224,4	
A340-211	DEFAULT	6	5	Άνοδος	Μέγιστη ώση ανόδου	ZERO	3 000			

▼**M2**

ACFTID	Profile_ID (Προφίλ αναχώρησης)	Μήκος καλυπτόμενης διαδρομής	Αριθμός σταδίου	Είδος σταδίου	Μέγεθος ώσης	Flap_ID (Θέση πτερυγίων καμπυλότητας)	Οροφή ανόδου (ft)	Ρυθμός ανόδου (ft/min)	Διακριβωμένη ταχύτητα αέρα στην οροφή ανόδου (kt)	Ποσοστό επιτάχυνσης (%)
A340-211	DEFAULT	6	6	Επιτάχυνση	Μέγιστη ώση ανόδου	ZERO		836,4	250	
A340-211	DEFAULT	6	7	Άνοδος	Μέγιστη ώση ανόδου	ZERO	5 500			
A340-211	DEFAULT	6	8	Άνοδος	Μέγιστη ώση ανόδου	ZERO	7 500			
A340-211	DEFAULT	6	9	Άνοδος	Μέγιστη ώση ανόδου	ZERO	10 000			
A340-211	DEFAULT	7	1	Απογείωση	Μέγιστη ώση απογείωσης	1+F				
A340-211	DEFAULT	7	2	Άνοδος	Μέγιστη ώση απογείωσης	1+F	1 000			
A340-211	DEFAULT	7	3	Επιτάχυνση	Μέγιστη ώση απογείωσης	1+F		519,8	199,2	
A340-211	DEFAULT	7	4	Επιτάχυνση	Μέγιστη ώση απογείωσης	1		591,5	218,2	
A340-211	DEFAULT	7	5	Επιτάχυνση	Μέγιστη ώση απογείωσης	1		653,7	223,4	
A340-211	DEFAULT	7	6	Άνοδος	Μέγιστη ώση ανόδου	ZERO	3 000			
A340-211	DEFAULT	7	7	Επιτάχυνση	Μέγιστη ώση ανόδου	ZERO		622,6	250	
A340-211	DEFAULT	7	8	Άνοδος	Μέγιστη ώση ανόδου	ZERO	5 500			
A340-211	DEFAULT	7	9	Άνοδος	Μέγιστη ώση ανόδου	ZERO	7 500			
A340-211	DEFAULT	7	10	Άνοδος	Μέγιστη ώση ανόδου	ZERO	10 000			

▼**M2**

ACFTID	Profile_ID (Προφίλ αναχώρησης)	Μήκος καλυπτόμενης διαδρομής	Αριθμός σταδίου	Είδος σταδίου	Μέγεθος ώσης	Flap_ID (Θέση πτερυγίων καμπυλότητας)	Οροφή ανόδου (ft)	Ρυθμός ανόδου (ft/min)	Διακριβωμένη ταχύτητα αέρα στην οροφή ανόδου (kt)	Ποσοστό επιτάχυνσης (%)
A340-211	ICAO_A	1	1	Απογείωση	Μέγιστη ώση απογείωσης	1+F				
A340-211	ICAO_A	1	2	Άνοδος	Μέγιστη ώση απογείωσης	1+F	1 500			
A340-211	ICAO_A	1	3	Άνοδος	Μέγιστη ώση ανόδου	1+F	3 000			
A340-211	ICAO_A	1	4	Επιτάχυνση	Μέγιστη ώση ανόδου	1+F		832,3	177,4	
A340-211	ICAO_A	1	5	Επιτάχυνση	Μέγιστη ώση ανόδου	1		890,6	206,8	
A340-211	ICAO_A	1	6	Επιτάχυνση	Μέγιστη ώση ανόδου	ZERO		1 039,6	227,9	
A340-211	ICAO_A	1	7	Επιτάχυνση	Μέγιστη ώση ανόδου	ZERO		1 154,4	250	
A340-211	ICAO_A	1	8	Άνοδος	Μέγιστη ώση ανόδου	ZERO	5 500			
A340-211	ICAO_A	1	9	Άνοδος	Μέγιστη ώση ανόδου	ZERO	7 500			
A340-211	ICAO_A	1	10	Άνοδος	Μέγιστη ώση ανόδου	ZERO	10 000			
A340-211	ICAO_A	2	1	Απογείωση	Μέγιστη ώση απογείωσης	1+F				
A340-211	ICAO_A	2	2	Άνοδος	Μέγιστη ώση απογείωσης	1+F	1 500			
A340-211	ICAO_A	2	3	Άνοδος	Μέγιστη ώση ανόδου	1+F	3 000			

▼**M2**

ACFTID	Profile_ID (Προφίλ αναχώρησης)	Μήκος καλυπτόμενης διαδρομής	Αριθμός σταδίου	Είδος σταδίου	Μέγεθος ώσης	Flap_ID (Θέση πτερυγίων καμπυλότητας)	Οροφή ανόδου (ft)	Ρυθμός ανόδου (ft/min)	Διακριβωμένη ταχύτητα αέρα στην οροφή ανόδου (kt)	Ποσοστό επιτάχυνσης (%)
A340-211	ICAO_A	2	4	Επιτάχυνση	Μέγιστη ώση ανόδου	1+F		793	180,4	
A340-211	ICAO_A	2	5	Επιτάχυνση	Μέγιστη ώση ανόδου	1		855,5	208,3	
A340-211	ICAO_A	2	6	Επιτάχυνση	Μέγιστη ώση ανόδου	ZERO		999,1	228,5	
A340-211	ICAO_A	2	7	Επιτάχυνση	Μέγιστη ώση ανόδου	ZERO		1 109,1	250	
A340-211	ICAO_A	2	8	Άνοδος	Μέγιστη ώση ανόδου	ZERO	5 500			
A340-211	ICAO_A	2	9	Άνοδος	Μέγιστη ώση ανόδου	ZERO	7 500			
A340-211	ICAO_A	2	10	Άνοδος	Μέγιστη ώση ανόδου	ZERO	10 000			
A340-211	ICAO_A	3	1	Απογείωση	Μέγιστη ώση απογείωσης	1+F				
A340-211	ICAO_A	3	2	Άνοδος	Μέγιστη ώση απογείωσης	1+F	1 500			
A340-211	ICAO_A	3	3	Άνοδος	Μέγιστη ώση ανόδου	1+F	3 000			
A340-211	ICAO_A	3	4	Επιτάχυνση	Μέγιστη ώση ανόδου	1+F		754,7	183	
A340-211	ICAO_A	3	5	Επιτάχυνση	Μέγιστη ώση ανόδου	1		820,5	209,4	
A340-211	ICAO_A	3	6	Επιτάχυνση	Μέγιστη ώση ανόδου	ZERO		959,1	228,8	

▼**M2**

ACFTID	Profile_ID (Προφίλ αναχώρησης)	Μήκος καλυπτόμενης διαδρομής	Αριθμός σταδίου	Είδος σταδίου	Μέγεθος ώσης	Flap_ID (Θέση πτερυγίων καμπυλότητας)	Οροφή ανόδου (ft)	Ρυθμός ανόδου (ft/min)	Διακριβωμένη ταχύτητα αέρα στην οροφή ανόδου (kt)	Ποσοστό επιτάχυνσης (%)
A340-211	ICAO_A	3	7	Επιτάχυνση	Μέγιστη ώση ανόδου	ZERO		1 064,5	250	
A340-211	ICAO_A	3	8	Άνοδος	Μέγιστη ώση ανόδου	ZERO	5 500			
A340-211	ICAO_A	3	9	Άνοδος	Μέγιστη ώση ανόδου	ZERO	7 500			
A340-211	ICAO_A	3	10	Άνοδος	Μέγιστη ώση ανόδου	ZERO	10 000			
A340-211	ICAO_A	4	1	Απογείωση	Μέγιστη ώση απογείωσης	1+F				
A340-211	ICAO_A	4	2	Άνοδος	Μέγιστη ώση απογείωσης	1+F	1 500			
A340-211	ICAO_A	4	3	Άνοδος	Μέγιστη ώση ανόδου	1+F	3 000			
A340-211	ICAO_A	4	4	Επιτάχυνση	Μέγιστη ώση ανόδου	1+F		690,8	188,1	
A340-211	ICAO_A	4	5	Επιτάχυνση	Μέγιστη ώση ανόδου	1		763	212,2	
A340-211	ICAO_A	4	6	Επιτάχυνση	Μέγιστη ώση ανόδου	ZERO		893,8	230	
A340-211	ICAO_A	4	7	Επιτάχυνση	Μέγιστη ώση ανόδου	ZERO		991,5	250	
A340-211	ICAO_A	4	8	Άνοδος	Μέγιστη ώση ανόδου	ZERO	5 500			
A340-211	ICAO_A	4	9	Άνοδος	Μέγιστη ώση ανόδου	ZERO	7 500			

▼**M2**

ACFTID	Profile_ID (Προφίλ αναχώρησης)	Μήκος καλυπτόμενης διαδρομής	Αριθμός σταδίου	Είδος σταδίου	Μέγεθος ώσης	Flap_ID (Θέση πτερυγίων καμπυλότητας)	Οροφή ανόδου (ft)	Ρυθμός ανόδου (ft/min)	Διακριβωμένη ταχύτητα αέρα στην οροφή ανόδου (kt)	Ποσοστό επιτάχυνσης (%)
A340-211	ICAO_A	4	10	Άνοδος	Μέγιστη ώση ανόδου	ZERO	10 000			
A340-211	ICAO_A	5	1	Απογείωση	Μέγιστη ώση απογείωσης	1+F				
A340-211	ICAO_A	5	2	Άνοδος	Μέγιστη ώση απογείωσης	1+F	1 500			
A340-211	ICAO_A	5	3	Άνοδος	Μέγιστη ώση ανόδου	1+F	3 000			
A340-211	ICAO_A	5	4	Επιτάχυνση	Μέγιστη ώση ανόδου	1+F		621,5	194,8	
A340-211	ICAO_A	5	5	Επιτάχυνση	Μέγιστη ώση ανόδου	1		695,5	216,1	
A340-211	ICAO_A	5	6	Επιτάχυνση	Μέγιστη ώση ανόδου	ZERO		818,3	232,2	
A340-211	ICAO_A	5	7	Επιτάχυνση	Μέγιστη ώση ανόδου	ZERO		906,8	250	
A340-211	ICAO_A	5	8	Άνοδος	Μέγιστη ώση ανόδου	ZERO	5 500			
A340-211	ICAO_A	5	9	Άνοδος	Μέγιστη ώση ανόδου	ZERO	7 500			
A340-211	ICAO_A	5	10	Άνοδος	Μέγιστη ώση ανόδου	ZERO	10 000			
A340-211	ICAO_A	6	1	Απογείωση	Μέγιστη ώση απογείωσης	1+F				
A340-211	ICAO_A	6	2	Άνοδος	Μέγιστη ώση απογείωσης	1+F	1 500			

▼**M2**

ACFTID	Profile_ID (Προφίλ αναχώρησης)	Μήκος καλυπτόμενης διαδρομής	Αριθμός σταδίου	Είδος σταδίου	Μέγεθος ώσης	Flap_ID (Θέση πτερυγίων καμπυλότητας)	Οροφή ανόδου (ft)	Ρυθμός ανόδου (ft/min)	Διακριβωμένη ταχύτητα αέρα στην οροφή ανόδου (kt)	Ποσοστό επιτάχυνσης (%)
A340-211	ICAO_A	6	3	Άνοδος	Μέγιστη ώση ανόδου	1+F	3 000			
A340-211	ICAO_A	6	4	Επιτάχυνση	Μέγιστη ώση ανόδου	1+F		555,3	199,2	
A340-211	ICAO_A	6	5	Επιτάχυνση	Μέγιστη ώση ανόδου	1		627,4	218,1	
A340-211	ICAO_A	6	6	Επιτάχυνση	Μέγιστη ώση ανόδου	ZERO		742,5	232,6	
A340-211	ICAO_A	6	7	Επιτάχυνση	Μέγιστη ώση ανόδου	ZERO		824,1	250	
A340-211	ICAO_A	6	8	Άνοδος	Μέγιστη ώση ανόδου	ZERO	5 500			
A340-211	ICAO_A	6	9	Άνοδος	Μέγιστη ώση ανόδου	ZERO	7 500			
A340-211	ICAO_A	6	10	Άνοδος	Μέγιστη ώση ανόδου	ZERO	10 000			
A340-211	ICAO_A	7	1	Απογείωση	Μέγιστη ώση απογείωσης	1+F				
A340-211	ICAO_A	7	2	Άνοδος	Μέγιστη ώση απογείωσης	1+F	1 500			
A340-211	ICAO_A	7	3	Άνοδος	Μέγιστη ώση ανόδου	1+F	3 000			
A340-211	ICAO_A	7	4	Επιτάχυνση	Μέγιστη ώση ανόδου	1+F		388,7	199,2	
A340-211	ICAO_A	7	5	Επιτάχυνση	Μέγιστη ώση ανόδου	1		444,2	212,8	

▼**M2**

ACFTID	Profile_ID (Προφίλ αναχώρησης)	Μήκος καλυπτόμενης διαδρομής	Αριθμός σταδίου	Είδος σταδίου	Μέγεθος ώσης	Flap_ID (Θέση πτερυγίων καμπυλότητας)	Οροφή ανόδου (ft)	Ρυθμός ανόδου (ft/min)	Διακριβωμένη ταχύτητα αέρα στην οροφή ανόδου (kt)	Ποσοστό επιτάχυνσης (%)
A340-211	ICAO_A	7	6	Επιτάχυνση	Μέγιστη ώση ανόδου	1		500,7	224,8	
A340-211	ICAO_A	7	7	Επιτάχυνση	Μέγιστη ώση ανόδου	ZERO		555,6	235,4	
A340-211	ICAO_A	7	8	Επιτάχυνση	Μέγιστη ώση ανόδου	ZERO		623	250	
A340-211	ICAO_A	7	9	Άνοδος	Μέγιστη ώση ανόδου	ZERO	5 500			
A340-211	ICAO_A	7	10	Άνοδος	Μέγιστη ώση ανόδου	ZERO	7 500			
A340-211	ICAO_A	7	11	Άνοδος	Μέγιστη ώση ανόδου	ZERO	10 000			
A340-211	ICAO_B	1	1	Απογείωση	Μέγιστη ώση απογείωσης	1+F				
A340-211	ICAO_B	1	2	Άνοδος	Μέγιστη ώση απογείωσης	1+F	1 000			
A340-211	ICAO_B	1	3	Επιτάχυνση	Μέγιστη ώση απογείωσης	1+F		1 019,3	177,6	
A340-211	ICAO_B	1	4	Επιτάχυνση	Μέγιστη ώση απογείωσης	1		1 101,1	215,2	
A340-211	ICAO_B	1	5	Άνοδος	Μέγιστη ώση ανόδου	ZERO	3 000			
A340-211	ICAO_B	1	6	Επιτάχυνση	Μέγιστη ώση ανόδου	ZERO		1 165,6	250	
A340-211	ICAO_B	1	7	Άνοδος	Μέγιστη ώση ανόδου	ZERO	5 500			
A340-211	ICAO_B	1	8	Άνοδος	Μέγιστη ώση ανόδου	ZERO	7 500			

▼**M2**

ACFTID	Profile_ID (Προφίλ αναχώρησης)	Μήκος καλυπτόμενης διαδρομής	Αριθμός σταδίου	Είδος σταδίου	Μέγεθος ώσης	Flap_ID (Θέση πτερυγίων καμπυλότητας)	Οροφή ανόδου (ft)	Ρυθμός ανόδου (ft/min)	Διακριβωμένη ταχύτητα αέρα στην οροφή ανόδου (kt)	Ποσοστό επιτάχυνσης (%)
A340-211	ICAO_B	1	9	Άνοδος	Μέγιστη ώση ανόδου	ZERO	10 000			
A340-211	ICAO_B	2	1	Απογείωση	Μέγιστη ώση απογείωσης	1+F				
A340-211	ICAO_B	2	2	Άνοδος	Μέγιστη ώση απογείωσης	1+F	1 000			
A340-211	ICAO_B	2	3	Επιτάχυνση	Μέγιστη ώση απογείωσης	1+F		973,9	180,5	
A340-211	ICAO_B	2	4	Επιτάχυνση	Μέγιστη ώση απογείωσης	1		1 061,1	216,3	
A340-211	ICAO_B	2	5	Άνοδος	Μέγιστη ώση ανόδου	ZERO	3 000			
A340-211	ICAO_B	2	6	Επιτάχυνση	Μέγιστη ώση ανόδου	ZERO		1 120,6	250	
A340-211	ICAO_B	2	7	Άνοδος	Μέγιστη ώση ανόδου	ZERO	5 500			
A340-211	ICAO_B	2	8	Άνοδος	Μέγιστη ώση ανόδου	ZERO	7 500			
A340-211	ICAO_B	2	9	Άνοδος	Μέγιστη ώση ανόδου	ZERO	10 000			
A340-211	ICAO_B	3	1	Απογείωση	Μέγιστη ώση απογείωσης	1+F				
A340-211	ICAO_B	3	2	Άνοδος	Μέγιστη ώση απογείωσης	1+F	1 000			

▼**M2**

ACFTID	Profile_ID (Προφίλ αναχώρησης)	Μήκος καλυπτόμενης διαδρομής	Αριθμός σταδίου	Είδος σταδίου	Μέγεθος ώσης	Flap_ID (Θέση πτερυγίων καμπυλότητας)	Οροφή ανόδου (ft)	Ρυθμός ανόδου (ft/min)	Διακριβωμένη ταχύτητα αέρα στην οροφή ανόδου (kt)	Ποσοστό επιτάχυνσης (%)
A340-211	ICAO_B	3	3	Επιτάχυνση	Μέγιστη ώση απογείωσης	1+F		930,2	183,1	
A340-211	ICAO_B	3	4	Επιτάχυνση	Μέγιστη ώση απογείωσης	1		1 021,2	217,3	
A340-211	ICAO_B	3	5	Άνοδος	Μέγιστη ώση ανόδου	ZERO	3 000			
A340-211	ICAO_B	3	6	Επιτάχυνση	Μέγιστη ώση ανόδου	ZERO		1 076,1	250	
A340-211	ICAO_B	3	7	Άνοδος	Μέγιστη ώση ανόδου	ZERO	5 500			
A340-211	ICAO_B	3	8	Άνοδος	Μέγιστη ώση ανόδου	ZERO	7 500			
A340-211	ICAO_B	3	9	Άνοδος	Μέγιστη ώση ανόδου	ZERO	10 000			
A340-211	ICAO_B	4	1	Απογείωση	Μέγιστη ώση απογείωσης	1+F				
A340-211	ICAO_B	4	2	Άνοδος	Μέγιστη ώση απογείωσης	1+F	1 000			
A340-211	ICAO_B	4	3	Επιτάχυνση	Μέγιστη ώση απογείωσης	1+F		860,1	188,2	
A340-211	ICAO_B	4	4	Επιτάχυνση	Μέγιστη ώση απογείωσης	1		955,9	219,5	
A340-211	ICAO_B	4	5	Άνοδος	Μέγιστη ώση ανόδου	ZERO	3 000			
A340-211	ICAO_B	4	6	Επιτάχυνση	Μέγιστη ώση ανόδου	ZERO		1 003,9	250	
A340-211	ICAO_B	4	7	Άνοδος	Μέγιστη ώση ανόδου	ZERO	5 500			

▼**M2**

ACFTID	Profile_ID (Προφίλ αναχώρησης)	Μήκος καλυπτόμενης διαδρομής	Αριθμός σταδίου	Είδος σταδίου	Μέγεθος ώσης	Flap_ID (Θέση πτερυγίων καμπυλότητας)	Οροφή ανόδου (ft)	Ρυθμός ανόδου (ft/min)	Διακριβωμένη ταχύτητα αέρα στην οροφή ανόδου (kt)	Ποσοστό επιτάχυνσης (%)
A340-211	ICAO_B	4	8	Άνοδος	Μέγιστη ώση ανόδου	ZERO	7 500			
A340-211	ICAO_B	4	9	Άνοδος	Μέγιστη ώση ανόδου	ZERO	10 000			
A340-211	ICAO_B	5	1	Απογείωση	Μέγιστη ώση απογείωσης	1+F				
A340-211	ICAO_B	5	2	Άνοδος	Μέγιστη ώση απογείωσης	1+F	1 000			
A340-211	ICAO_B	5	3	Επιτάχυνση	Μέγιστη ώση απογείωσης	1+F		779,4	194,9	
A340-211	ICAO_B	5	4	Επιτάχυνση	Μέγιστη ώση απογείωσης	1		879,4	222,9	
A340-211	ICAO_B	5	5	Άνοδος	Μέγιστη ώση ανόδου	ZERO	3 000			
A340-211	ICAO_B	5	6	Επιτάχυνση	Μέγιστη ώση ανόδου	ZERO		920,2	250	
A340-211	ICAO_B	5	7	Άνοδος	Μέγιστη ώση ανόδου	ZERO	5 500			
A340-211	ICAO_B	5	8	Άνοδος	Μέγιστη ώση ανόδου	ZERO	7 500			
A340-211	ICAO_B	5	9	Άνοδος	Μέγιστη ώση ανόδου	ZERO	10 000			
A340-211	ICAO_B	6	1	Απογείωση	Μέγιστη ώση απογείωσης	1+F				
A340-211	ICAO_B	6	2	Άνοδος	Μέγιστη ώση απογείωσης	1+F	1 000			
A340-211	ICAO_B	6	3	Επιτάχυνση	Μέγιστη ώση απογείωσης	1+F		705,2	199,2	

▼**M2**

ACFTID	Profile_ID (Προφίλ αναχώρησης)	Μήκος καλυπτόμενης διαδρομής	Αριθμός σταδίου	Είδος σταδίου	Μέγεθος ώσης	Flap_ID (Θέση πτερυγίων καμπυλότητας)	Οροφή ανόδου (ft)	Ρυθμός ανόδου (ft/min)	Διακριβωμένη ταχύτητα αέρα στην οροφή ανόδου (kt)	Ποσοστό επιτάχυνσης (%)
A340-211	ICAO_B	6	4	Επιτάχυνση	Μέγιστη ώση απογείωσης	1		802	224,4	
A340-211	ICAO_B	6	5	Άνοδος	Μέγιστη ώση ανόδου	ZERO	3 000			
A340-211	ICAO_B	6	6	Επιτάχυνση	Μέγιστη ώση ανόδου	ZERO		836,4	250	
A340-211	ICAO_B	6	7	Άνοδος	Μέγιστη ώση ανόδου	ZERO	5 500			
A340-211	ICAO_B	6	8	Άνοδος	Μέγιστη ώση ανόδου	ZERO	7 500			
A340-211	ICAO_B	6	9	Άνοδος	Μέγιστη ώση ανόδου	ZERO	10 000			
A340-211	ICAO_B	7	1	Απογείωση	Μέγιστη ώση απογείωσης	1+F				
A340-211	ICAO_B	7	2	Άνοδος	Μέγιστη ώση απογείωσης	1+F	1 000			
A340-211	ICAO_B	7	3	Επιτάχυνση	Μέγιστη ώση απογείωσης	1+F		519,8	199,2	
A340-211	ICAO_B	7	4	Επιτάχυνση	Μέγιστη ώση απογείωσης	1		591,5	218,2	
A340-211	ICAO_B	7	5	Επιτάχυνση	Μέγιστη ώση απογείωσης	1		653,7	223,4	
A340-211	ICAO_B	7	6	Άνοδος	Μέγιστη ώση ανόδου	ZERO	3 000			
A340-211	ICAO_B	7	7	Επιτάχυνση	Μέγιστη ώση ανόδου	ZERO		622,6	250	
A340-211	ICAO_B	7	8	Άνοδος	Μέγιστη ώση ανόδου	ZERO	5 500			

▼**M2**

ACFTID	Profile_ID (Προφίλ αναχώρησης)	Μήκος καλυπτόμενης διαδρομής	Αριθμός σταδίου	Είδος σταδίου	Μέγεθος ώσης	Flap_ID (Θέση πτερυγίων καμπυλότητας)	Οροφή ανόδου (ft)	Ρυθμός ανόδου (ft/min)	Διακριβωμένη ταχύτητα αέρα στην οροφή ανόδου (kt)	Ποσοστό επιτάχυνσης (%)
A340-211	ICAO_B	7	9	Άνοδος	Μέγιστη ώση ανόδου	ZERO	7 500			
A340-211	ICAO_B	7	10	Άνοδος	Μέγιστη ώση ανόδου	ZERO	10 000			
A340-642	DEFAULT	1	1	Απογείωση	Μέγιστη ώση απογείωσης	1+F				
A340-642	DEFAULT	1	2	Επιτάχυνση	Μέγιστη ώση απογείωσης	1+F		1 518,1	178,9	
A340-642	DEFAULT	1	3	Άνοδος	Μέγιστη ώση απογείωσης	1+F	1 000			
A340-642	DEFAULT	1	4	Επιτάχυνση	Μέγιστη ώση απογείωσης	1+F		1 534,7	191,5	
A340-642	DEFAULT	1	5	Επιτάχυνση	Μέγιστη ώση απογείωσης	1		1 638,4	240,3	
A340-642	DEFAULT	1	6	Άνοδος	Μέγιστη ώση ανόδου	ZERO	3 000			
A340-642	DEFAULT	1	7	Επιτάχυνση	Μέγιστη ώση ανόδου	ZERO		1 461,4	250	
A340-642	DEFAULT	1	8	Άνοδος	Μέγιστη ώση ανόδου	ZERO	5 500			
A340-642	DEFAULT	1	9	Άνοδος	Μέγιστη ώση ανόδου	ZERO	7 500			
A340-642	DEFAULT	1	10	Άνοδος	Μέγιστη ώση ανόδου	ZERO	10 000			
A340-642	DEFAULT	2	1	Απογείωση	Μέγιστη ώση απογείωσης	1+F				

▼**M2**

ACFTID	Profile_ID (Προφίλ αναχώρησης)	Μήκος καλυπτόμενης διαδρομής	Αριθμός σταδίου	Είδος σταδίου	Μέγεθος ώσης	Flap_ID (Θέση πτερυγίων καμπυλότητας)	Οροφή ανόδου (ft)	Ρυθμός ανόδου (ft/min)	Διακριβωμένη ταχύτητα αέρα στην οροφή ανόδου (kt)	Ποσοστό επιτάχυνσης (%)
A340-642	DEFAULT	2	2	Επιτάχυνση	Μέγιστη ώση απογείωσης	1+F		1 481	178,3	
A340-642	DEFAULT	2	3	Άνοδος	Μέγιστη ώση απογείωσης	1+F	1 000			
A340-642	DEFAULT	2	4	Επιτάχυνση	Μέγιστη ώση απογείωσης	1+F		1 452,6	194,6	
A340-642	DEFAULT	2	5	Επιτάχυνση	Μέγιστη ώση απογείωσης	1		1 595,8	241,6	
A340-642	DEFAULT	2	6	Άνοδος	Μέγιστη ώση ανόδου	ZERO	3 000			
A340-642	DEFAULT	2	7	Επιτάχυνση	Μέγιστη ώση ανόδου	ZERO		1 415	250	
A340-642	DEFAULT	2	8	Άνοδος	Μέγιστη ώση ανόδου	ZERO	5 500			
A340-642	DEFAULT	2	9	Άνοδος	Μέγιστη ώση ανόδου	ZERO	7 500			
A340-642	DEFAULT	2	10	Άνοδος	Μέγιστη ώση ανόδου	ZERO	10 000			
A340-642	DEFAULT	3	1	Απογείωση	Μέγιστη ώση απογείωσης	1+F				
A340-642	DEFAULT	3	2	Επιτάχυνση	Μέγιστη ώση απογείωσης	1+F		1 444,1	177,7	
A340-642	DEFAULT	3	3	Άνοδος	Μέγιστη ώση απογείωσης	1+F	1 000			
A340-642	DEFAULT	3	4	Επιτάχυνση	Μέγιστη ώση απογείωσης	1+F		1 382,6	197,7	
A340-642	DEFAULT	3	5	Επιτάχυνση	Μέγιστη ώση απογείωσης	1		1 554,9	243	

▼**M2**

ACFTID	Profile_ID (Προφίλ αναχώρησης)	Μήκος καλυπτόμενης διαδρομής	Αριθμός σταδίου	Είδος σταδίου	Μέγεθος ώσης	Flap_ID (Θέση πτερυγίων καμπυλότητας)	Οροφή ανόδου (ft)	Ρυθμός ανόδου (ft/min)	Διακριβωμένη ταχύτητα αέρα στην οροφή ανόδου (kt)	Ποσοστό επιτάχυνσης (%)
A340-642	DEFAULT	3	6	Άνοδος	Μέγιστη ώση ανόδου	ZERO	3 000			
A340-642	DEFAULT	3	7	Επιτάχυνση	Μέγιστη ώση ανόδου	ZERO		1 374,5	250	
A340-642	DEFAULT	3	8	Άνοδος	Μέγιστη ώση ανόδου	ZERO	5 500			
A340-642	DEFAULT	3	9	Άνοδος	Μέγιστη ώση ανόδου	ZERO	7 500			
A340-642	DEFAULT	3	10	Άνοδος	Μέγιστη ώση ανόδου	ZERO	10 000			
A340-642	DEFAULT	4	1	Απογείωση	Μέγιστη ώση απογείωσης	1+F				
A340-642	DEFAULT	4	2	Επιτάχυνση	Μέγιστη ώση απογείωσης	1+F		1 383,2	176,9	
A340-642	DEFAULT	4	3	Άνοδος	Μέγιστη ώση απογείωσης	1+F	1 000			
A340-642	DEFAULT	4	4	Επιτάχυνση	Μέγιστη ώση απογείωσης	1+F		1 292	203	
A340-642	DEFAULT	4	5	Επιτάχυνση	Μέγιστη ώση απογείωσης	1		1 478,5	245,2	
A340-642	DEFAULT	4	6	Άνοδος	Μέγιστη ώση ανόδου	ZERO	3 000			
A340-642	DEFAULT	4	7	Επιτάχυνση	Μέγιστη ώση ανόδου	ZERO		1 320,3	250	
A340-642	DEFAULT	4	8	Άνοδος	Μέγιστη ώση ανόδου	ZERO	5 500			
A340-642	DEFAULT	4	9	Άνοδος	Μέγιστη ώση ανόδου	ZERO	7 500			

▼**M2**

ACFTID	Profile_ID (Προφίλ αναχώρησης)	Μήκος καλυπτόμενης διαδρομής	Αριθμός σταδίου	Είδος σταδίου	Μέγεθος ώσης	Flap_ID (Θέση πτερυγίων καμπυλότητας)	Οροφή ανόδου (ft)	Ρυθμός ανόδου (ft/min)	Διακριβωμένη ταχύτητα αέρα στην οροφή ανόδου (kt)	Ποσοστό επιτάχυνσης (%)
A340-642	DEFAULT	4	10	Άνοδος	Μέγιστη ώση ανόδου	ZERO	10 000			
A340-642	DEFAULT	5	1	Απογείωση	Μέγιστη ώση απογείωσης	1+F				
A340-642	DEFAULT	5	2	Επιτάχυνση	Μέγιστη ώση απογείωσης	1+F		1 327,9	180,6	
A340-642	DEFAULT	5	3	Άνοδος	Μέγιστη ώση απογείωσης	1+F	1 000			
A340-642	DEFAULT	5	4	Επιτάχυνση	Μέγιστη ώση απογείωσης	1+F		1 209,7	210,1	
A340-642	DEFAULT	5	5	Επιτάχυνση	Μέγιστη ώση απογείωσης	1		1 373,5	248,4	
A340-642	DEFAULT	5	6	Άνοδος	Μέγιστη ώση ανόδου	ZERO	3 000			
A340-642	DEFAULT	5	7	Επιτάχυνση	Μέγιστη ώση ανόδου	ZERO		1 410,4	250	
A340-642	DEFAULT	5	8	Άνοδος	Μέγιστη ώση ανόδου	ZERO	5 500			
A340-642	DEFAULT	5	9	Άνοδος	Μέγιστη ώση ανόδου	ZERO	7 500			
A340-642	DEFAULT	5	10	Άνοδος	Μέγιστη ώση ανόδου	ZERO	10 000			
A340-642	DEFAULT	6	1	Απογείωση	Μέγιστη ώση απογείωσης	1+F				
A340-642	DEFAULT	6	2	Επιτάχυνση	Μέγιστη ώση απογείωσης	1+F		1 185	185,4	
A340-642	DEFAULT	6	3	Άνοδος	Μέγιστη ώση απογείωσης	1+F	1 000			

▼**M2**

ACFTID	Profile_ID (Προφίλ αναχώρησης)	Μήκος καλυπτόμενης διαδρομής	Αριθμός σταδίου	Είδος σταδίου	Μέγεθος ώσης	Flap_ID (Θέση πτερυγίων καμπυλότητας)	Οροφή ανόδου (ft)	Ρυθμός ανόδου (ft/min)	Διακριβωμένη ταχύτητα αέρα στην οροφή ανόδου (kt)	Ποσοστό επιτάχυνσης (%)
A340-642	DEFAULT	6	4	Επιτάχυνση	Μέγιστη ώση απογείωσης	1+F		1 126,6	214,9	
A340-642	DEFAULT	6	5	Επιτάχυνση	Μέγιστη ώση απογείωσης	1		1 268,8	249,8	
A340-642	DEFAULT	6	6	Άνοδος	Μέγιστη ώση ανόδου	ZERO	3 000			
A340-642	DEFAULT	6	7	Επιτάχυνση	Μέγιστη ώση ανόδου	ZERO		2 048,9	250	
A340-642	DEFAULT	6	8	Άνοδος	Μέγιστη ώση ανόδου	ZERO	5 500			
A340-642	DEFAULT	6	9	Άνοδος	Μέγιστη ώση ανόδου	ZERO	7 500			
A340-642	DEFAULT	6	10	Άνοδος	Μέγιστη ώση ανόδου	ZERO	10 000			
A340-642	DEFAULT	7	1	Απογείωση	Μέγιστη ώση απογείωσης	1+F				
A340-642	DEFAULT	7	2	Άνοδος	Μέγιστη ώση απογείωσης	1+F	1 000			
A340-642	DEFAULT	7	3	Επιτάχυνση	Μέγιστη ώση απογείωσης	1+F		868,2	214,9	
A340-642	DEFAULT	7	4	Επιτάχυνση	Μέγιστη ώση απογείωσης	1		929,6	241,1	
A340-642	DEFAULT	7	5	Άνοδος	Μέγιστη ώση ανόδου	ZERO	3 000			
A340-642	DEFAULT	7	6	Επιτάχυνση	Μέγιστη ώση ανόδου	ZERO		748,4	250	
A340-642	DEFAULT	7	7	Άνοδος	Μέγιστη ώση ανόδου	ZERO	5 500			

▼**M2**

ACFTID	Profile_ID (Προφίλ αναχώρησης)	Μήκος καλυπτόμενης διαδρομής	Αριθμός σταδίου	Είδος σταδίου	Μέγεθος ώσης	Flap_ID (Θέση πτερυγίων καμπυλότητας)	Οροφή ανόδου (ft)	Ρυθμός ανόδου (ft/min)	Διακριβωμένη ταχύτητα αέρα στην οροφή ανόδου (kt)	Ποσοστό επιτάχυνσης (%)
A340-642	DEFAULT	7	8	Άνοδος	Μέγιστη ώση ανόδου	ZERO	7 500			
A340-642	DEFAULT	7	9	Άνοδος	Μέγιστη ώση ανόδου	ZERO	10 000			
A340-642	ICAO_A	1	1	Απογείωση	Μέγιστη ώση απογείωσης	1+F				
A340-642	ICAO_A	1	2	Επιτάχυνση	Μέγιστη ώση απογείωσης	1+F		1 518,1	178,9	
A340-642	ICAO_A	1	3	Άνοδος	Μέγιστη ώση απογείωσης	1+F	1 500			
A340-642	ICAO_A	1	4	Άνοδος	Μέγιστη ώση ανόδου	1+F	3 000			
A340-642	ICAO_A	1	5	Επιτάχυνση	Μέγιστη ώση ανόδου	1+F		1 110,7	191,6	
A340-642	ICAO_A	1	6	Επιτάχυνση	Μέγιστη ώση ανόδου	1		1 176,6	225,9	
A340-642	ICAO_A	1	7	Επιτάχυνση	Μέγιστη ώση ανόδου	1		1 342,4	250	
A340-642	ICAO_A	1	8	Άνοδος	Μέγιστη ώση ανόδου	ZERO	5 500			
A340-642	ICAO_A	1	9	Άνοδος	Μέγιστη ώση ανόδου	ZERO	7 500			
A340-642	ICAO_A	1	10	Άνοδος	Μέγιστη ώση ανόδου	ZERO	10 000			
A340-642	ICAO_A	2	1	Απογείωση	Μέγιστη ώση απογείωσης	1+F				

▼**M2**

ACFTID	Profile_ID (Προφίλ αναχώρησης)	Μήκος καλυπτόμενης διαδρομής	Αριθμός σταδίου	Είδος σταδίου	Μέγεθος ώσης	Flap_ID (Θέση πτερυγίων καμπυλότητας)	Οροφή ανόδου (ft)	Ρυθμός ανόδου (ft/min)	Διακριβωμένη ταχύτητα αέρα στην οροφή ανόδου (kt)	Ποσοστό επιτάχυνσης (%)
A340-642	ICAO_A	2	2	Επιτάχυνση	Μέγιστη ώση απογείωσης	1+F		1 481	178,3	
A340-642	ICAO_A	2	3	Άνοδος	Μέγιστη ώση απογείωσης	1+F	1 500			
A340-642	ICAO_A	2	4	Άνοδος	Μέγιστη ώση ανόδου	1+F	3 000			
A340-642	ICAO_A	2	5	Επιτάχυνση	Μέγιστη ώση ανόδου	1+F		1 053,1	194,6	
A340-642	ICAO_A	2	6	Επιτάχυνση	Μέγιστη ώση ανόδου	1		1 135,6	227,4	
A340-642	ICAO_A	2	7	Επιτάχυνση	Μέγιστη ώση ανόδου	1		1 292,5	250	
A340-642	ICAO_A	2	8	Άνοδος	Μέγιστη ώση ανόδου	ZERO	5 500			
A340-642	ICAO_A	2	9	Άνοδος	Μέγιστη ώση ανόδου	ZERO	7 500			
A340-642	ICAO_A	2	10	Άνοδος	Μέγιστη ώση ανόδου	ZERO	10 000			
A340-642	ICAO_A	3	1	Απογείωση	Μέγιστη ώση απογείωσης	1+F				
A340-642	ICAO_A	3	2	Επιτάχυνση	Μέγιστη ώση απογείωσης	1+F		1 444,1	177,7	
A340-642	ICAO_A	3	3	Άνοδος	Μέγιστη ώση απογείωσης	1+F	1 500			
A340-642	ICAO_A	3	4	Άνοδος	Μέγιστη ώση ανόδου	1+F	3 000			

▼**M2**

ACFTID	Profile_ID (Προφίλ αναχώρησης)	Μήκος καλυπτόμενης διαδρομής	Αριθμός σταδίου	Είδος σταδίου	Μέγεθος ώσης	Flap_ID (Θέση πτερυγίων καμπυλότητας)	Οροφή ανόδου (ft)	Ρυθμός ανόδου (ft/min)	Διακριβωμένη ταχύτητα αέρα στην οροφή ανόδου (kt)	Ποσοστό επιτάχυνσης (%)
A340-642	ICAO_A	3	5	Επιτάχυνση	Μέγιστη ώση ανόδου	1+F		1 002,2	197,7	
A340-642	ICAO_A	3	6	Επιτάχυνση	Μέγιστη ώση ανόδου	1		1 095,6	228,9	
A340-642	ICAO_A	3	7	Επιτάχυνση	Μέγιστη ώση ανόδου	1		1 243,9	250	
A340-642	ICAO_A	3	8	Άνοδος	Μέγιστη ώση ανόδου	ZERO	5 500			
A340-642	ICAO_A	3	9	Άνοδος	Μέγιστη ώση ανόδου	ZERO	7 500			
A340-642	ICAO_A	3	10	Άνοδος	Μέγιστη ώση ανόδου	ZERO	10 000			
A340-642	ICAO_A	4	1	Απογείωση	Μέγιστη ώση απογείωσης	1+F				
A340-642	ICAO_A	4	2	Επιτάχυνση	Μέγιστη ώση απογείωσης	1+F		1 383,2	176,9	
A340-642	ICAO_A	4	3	Άνοδος	Μέγιστη ώση απογείωσης	1+F	1 500			
A340-642	ICAO_A	4	4	Άνοδος	Μέγιστη ώση ανόδου	1+F	3 000			
A340-642	ICAO_A	4	5	Επιτάχυνση	Μέγιστη ώση ανόδου	1+F		925,2	203,3	
A340-642	ICAO_A	4	6	Επιτάχυνση	Μέγιστη ώση ανόδου	1		1 029,9	232	
A340-642	ICAO_A	4	7	Επιτάχυνση	Μέγιστη ώση ανόδου	1		1 164	250	

▼**M2**

ACFTID	Profile_ID (Προφίλ αναχώρησης)	Μήκος καλυπτόμενης διαδρομής	Αριθμός σταδίου	Είδος σταδίου	Μέγεθος ώσης	Flap_ID (Θέση πτερυγίων καμπυλότητας)	Οροφή ανόδου (ft)	Ρυθμός ανόδου (ft/min)	Διακριβωμένη ταχύτητα αέρα στην οροφή ανόδου (kt)	Ποσοστό επιτάχυνσης (%)
A340-642	ICAO_A	4	8	Άνοδος	Μέγιστη ώση ανόδου	ZERO	5 500			
A340-642	ICAO_A	4	9	Άνοδος	Μέγιστη ώση ανόδου	ZERO	7 500			
A340-642	ICAO_A	4	10	Άνοδος	Μέγιστη ώση ανόδου	ZERO	10 000			
A340-642	ICAO_A	5	1	Απογείωση	Μέγιστη ώση απογείωσης	1+F				
A340-642	ICAO_A	5	2	Επιτάχυνση	Μέγιστη ώση απογείωσης	1+F		1 327,9	180,6	
A340-642	ICAO_A	5	3	Άνοδος	Μέγιστη ώση απογείωσης	1+F	1 500			
A340-642	ICAO_A	5	4	Άνοδος	Μέγιστη ώση ανόδου	1+F	3 000			
A340-642	ICAO_A	5	5	Επιτάχυνση	Μέγιστη ώση ανόδου	1+F		848,8	210,8	
A340-642	ICAO_A	5	6	Επιτάχυνση	Μέγιστη ώση ανόδου	1		950,4	236,5	
A340-642	ICAO_A	5	7	Επιτάχυνση	Μέγιστη ώση ανόδου	1		1 067,5	250	
A340-642	ICAO_A	5	8	Άνοδος	Μέγιστη ώση ανόδου	ZERO	5 500			
A340-642	ICAO_A	5	9	Άνοδος	Μέγιστη ώση ανόδου	ZERO	7 500			
A340-642	ICAO_A	5	10	Άνοδος	Μέγιστη ώση ανόδου	ZERO	10 000			

▼**M2**

ACFTID	Profile_ID (Προφίλ αναχώρησης)	Μήκος καλυπτόμενης διαδρομής	Αριθμός σταδίου	Είδος σταδίου	Μέγεθος ώσης	Flap_ID (Θέση πτερυγίων καμπυλότητας)	Οροφή ανόδου (ft)	Ρυθμός ανόδου (ft/min)	Διακριβωμένη ταχύτητα αέρα στην οροφή ανόδου (kt)	Ποσοστό επιτάχυνσης (%)
A340-642	ICAO_A	6	1	Απογείωση	Μέγιστη ώση απογείωσης	1+F				
A340-642	ICAO_A	6	2	Επιτάχυνση	Μέγιστη ώση απογείωσης	1+F		1 185	185,4	
A340-642	ICAO_A	6	3	Άνοδος	Μέγιστη ώση απογείωσης	1+F	1 500			
A340-642	ICAO_A	6	4	Άνοδος	Μέγιστη ώση ανόδου	1+F	3 000			
A340-642	ICAO_A	6	5	Επιτάχυνση	Μέγιστη ώση ανόδου	1+F		780,5	219	
A340-642	ICAO_A	6	6	Επιτάχυνση	Μέγιστη ώση ανόδου	1		875,9	242	
A340-642	ICAO_A	6	7	Επιτάχυνση	Μέγιστη ώση ανόδου	1		975,3	250	
A340-642	ICAO_A	6	8	Άνοδος	Μέγιστη ώση ανόδου	ZERO	5 500			
A340-642	ICAO_A	6	9	Άνοδος	Μέγιστη ώση ανόδου	ZERO	7 500			
A340-642	ICAO_A	6	10	Άνοδος	Μέγιστη ώση ανόδου	ZERO	10 000			
A340-642	ICAO_A	7	1	Απογείωση	Μέγιστη ώση απογείωσης	1+F				
A340-642	ICAO_A	7	2	Άνοδος	Μέγιστη ώση απογείωσης	1+F	1 500			
A340-642	ICAO_A	7	3	Άνοδος	Μέγιστη ώση ανόδου	1+F	3 000			

▼**M2**

ACFTID	Profile_ID (Προφίλ αναχώρησης)	Μήκος καλυπτόμενης διαδρομής	Αριθμός σταδίου	Είδος σταδίου	Μέγεθος ώσης	Flap_ID (Θέση πτερυγίων καμπυλότητας)	Οροφή ανόδου (ft)	Ρυθμός ανόδου (ft/min)	Διακριβωμένη ταχύτητα αέρα στην οροφή ανόδου (kt)	Ποσοστό επιτάχυνσης (%)
A340-642	ICAO_A	7	4	Επιτάχυνση	Μέγιστη ώση ανόδου	1+F		556,7	214,9	
A340-642	ICAO_A	7	5	Επιτάχυνση	Μέγιστη ώση ανόδου	1		601,9	231,3	
A340-642	ICAO_A	7	6	Επιτάχυνση	Μέγιστη ώση ανόδου	ZERO		681,8	244	
A340-642	ICAO_A	7	7	Επιτάχυνση	Μέγιστη ώση ανόδου	ZERO		729,1	250	
A340-642	ICAO_A	7	8	Άνοδος	Μέγιστη ώση ανόδου	ZERO	5 500			
A340-642	ICAO_A	7	9	Άνοδος	Μέγιστη ώση ανόδου	ZERO	7 500			
A340-642	ICAO_A	7	10	Άνοδος	Μέγιστη ώση ανόδου	ZERO	10 000			
A340-642	ICAO_B	1	1	Απογείωση	Μέγιστη ώση απογείωσης	1+F				
A340-642	ICAO_B	1	2	Επιτάχυνση	Μέγιστη ώση απογείωσης	1+F		1 518,1	178,9	
A340-642	ICAO_B	1	3	Άνοδος	Μέγιστη ώση απογείωσης	1+F	1 000			
A340-642	ICAO_B	1	4	Επιτάχυνση	Μέγιστη ώση απογείωσης	1+F		1 534,7	191,5	
A340-642	ICAO_B	1	5	Επιτάχυνση	Μέγιστη ώση απογείωσης	1		1 638,4	240,3	
A340-642	ICAO_B	1	6	Άνοδος	Μέγιστη ώση ανόδου	ZERO	3 000			

▼**M2**

ACFTID	Profile_ID (Προφίλ αναχώρησης)	Μήκος καλυπτόμενης διαδρομής	Αριθμός σταδίου	Είδος σταδίου	Μέγεθος ώσης	Flap_ID (Θέση πτερυγίων καμπυλότητας)	Οροφή ανόδου (ft)	Ρυθμός ανόδου (ft/min)	Διακριβωμένη ταχύτητα αέρα στην οροφή ανόδου (kt)	Ποσοστό επιτάχυνσης (%)
A340-642	ICAO_B	1	7	Επιτάχυνση	Μέγιστη ώση ανόδου	ZERO		1 461,4	250	
A340-642	ICAO_B	1	8	Άνοδος	Μέγιστη ώση ανόδου	ZERO	5 500			
A340-642	ICAO_B	1	9	Άνοδος	Μέγιστη ώση ανόδου	ZERO	7 500			
A340-642	ICAO_B	1	10	Άνοδος	Μέγιστη ώση ανόδου	ZERO	10 000			
A340-642	ICAO_B	2	1	Απογείωση	Μέγιστη ώση απογείωσης	1+F				
A340-642	ICAO_B	2	2	Επιτάχυνση	Μέγιστη ώση απογείωσης	1+F		1 481	178,3	
A340-642	ICAO_B	2	3	Άνοδος	Μέγιστη ώση απογείωσης	1+F	1 000			
A340-642	ICAO_B	2	4	Επιτάχυνση	Μέγιστη ώση απογείωσης	1+F		1 452,6	194,6	
A340-642	ICAO_B	2	5	Επιτάχυνση	Μέγιστη ώση απογείωσης	1		1 595,8	241,6	
A340-642	ICAO_B	2	6	Άνοδος	Μέγιστη ώση ανόδου	ZERO	3 000			
A340-642	ICAO_B	2	7	Επιτάχυνση	Μέγιστη ώση ανόδου	ZERO		1 415	250	
A340-642	ICAO_B	2	8	Άνοδος	Μέγιστη ώση ανόδου	ZERO	5 500			
A340-642	ICAO_B	2	9	Άνοδος	Μέγιστη ώση ανόδου	ZERO	7 500			

▼**M2**

ACFTID	Profile_ID (Προφίλ αναχώρησης)	Μήκος καλυπτόμενης διαδρομής	Αριθμός σταδίου	Είδος σταδίου	Μέγεθος ώσης	Flap_ID (Θέση πτερυγίων καμπυλότητας)	Οροφή ανόδου (ft)	Ρυθμός ανόδου (ft/min)	Διακριβωμένη ταχύτητα αέρα στην οροφή ανόδου (kt)	Ποσοστό επιτάχυνσης (%)
A340-642	ICAO_B	2	10	Άνοδος	Μέγιστη ώση ανόδου	ZERO	10 000			
A340-642	ICAO_B	3	1	Απογείωση	Μέγιστη ώση απογείωσης	1+F				
A340-642	ICAO_B	3	2	Επιτάχυνση	Μέγιστη ώση απογείωσης	1+F		1 444,1	177,7	
A340-642	ICAO_B	3	3	Άνοδος	Μέγιστη ώση απογείωσης	1+F	1 000			
A340-642	ICAO_B	3	4	Επιτάχυνση	Μέγιστη ώση απογείωσης	1+F		1 382,6	197,7	
A340-642	ICAO_B	3	5	Επιτάχυνση	Μέγιστη ώση απογείωσης	1		1 554,9	243	
A340-642	ICAO_B	3	6	Άνοδος	Μέγιστη ώση ανόδου	ZERO	3 000			
A340-642	ICAO_B	3	7	Επιτάχυνση	Μέγιστη ώση ανόδου	ZERO		1 374,5	250	
A340-642	ICAO_B	3	8	Άνοδος	Μέγιστη ώση ανόδου	ZERO	5 500			
A340-642	ICAO_B	3	9	Άνοδος	Μέγιστη ώση ανόδου	ZERO	7 500			
A340-642	ICAO_B	3	10	Άνοδος	Μέγιστη ώση ανόδου	ZERO	10 000			
A340-642	ICAO_B	4	1	Απογείωση	Μέγιστη ώση απογείωσης	1+F				
A340-642	ICAO_B	4	2	Επιτάχυνση	Μέγιστη ώση απογείωσης	1+F		1 383,2	176,9	

▼**M2**

ACFTID	Profile_ID (Προφίλ αναχώρησης)	Μήκος καλυπτόμενης διαδρομής	Αριθμός σταδίου	Είδος σταδίου	Μέγεθος ώσης	Flap_ID (Θέση πτερυγίων καμπυλότητας)	Οροφή ανόδου (ft)	Ρυθμός ανόδου (ft/min)	Διακριβωμένη ταχύτητα αέρα στην οροφή ανόδου (kt)	Ποσοστό επιτάχυνσης (%)
A340-642	ICAO_B	4	3	Άνοδος	Μέγιστη ώση απογείωσης	1+F	1 000			
A340-642	ICAO_B	4	4	Επιτάχυνση	Μέγιστη ώση απογείωσης	1+F		1 292	203	
A340-642	ICAO_B	4	5	Επιτάχυνση	Μέγιστη ώση απογείωσης	1		1 478,5	245,2	
A340-642	ICAO_B	4	6	Άνοδος	Μέγιστη ώση ανόδου	ZERO	3 000			
A340-642	ICAO_B	4	7	Επιτάχυνση	Μέγιστη ώση ανόδου	ZERO		1 320,3	250	
A340-642	ICAO_B	4	8	Άνοδος	Μέγιστη ώση ανόδου	ZERO	5 500			
A340-642	ICAO_B	4	9	Άνοδος	Μέγιστη ώση ανόδου	ZERO	7 500			
A340-642	ICAO_B	4	10	Άνοδος	Μέγιστη ώση ανόδου	ZERO	10 000			
A340-642	ICAO_B	5	1	Απογείωση	Μέγιστη ώση απογείωσης	1+F				
A340-642	ICAO_B	5	2	Επιτάχυνση	Μέγιστη ώση απογείωσης	1+F		1 327,9	180,6	
A340-642	ICAO_B	5	3	Άνοδος	Μέγιστη ώση απογείωσης	1+F	1 000			
A340-642	ICAO_B	5	4	Επιτάχυνση	Μέγιστη ώση απογείωσης	1+F		1 209,7	210,1	
A340-642	ICAO_B	5	5	Επιτάχυνση	Μέγιστη ώση απογείωσης	1		1 373,5	248,4	

▼**M2**

ACFTID	Profile_ID (Προφίλ αναχώρησης)	Μήκος καλυπτόμενης διαδρομής	Αριθμός σταδίου	Είδος σταδίου	Μέγεθος ώσης	Flap_ID (Θέση πτερυγίων καμπυλότητας)	Οροφή ανόδου (ft)	Ρυθμός ανόδου (ft/min)	Διακριβωμένη ταχύτητα αέρα στην οροφή ανόδου (kt)	Ποσοστό επιτάχυνσης (%)
A340-642	ICAO_B	5	6	Άνοδος	Μέγιστη ώση ανόδου	ZERO	3 000			
A340-642	ICAO_B	5	7	Επιτάχυνση	Μέγιστη ώση ανόδου	ZERO		1 410,4	250	
A340-642	ICAO_B	5	8	Άνοδος	Μέγιστη ώση ανόδου	ZERO	5 500			
A340-642	ICAO_B	5	9	Άνοδος	Μέγιστη ώση ανόδου	ZERO	7 500			
A340-642	ICAO_B	5	10	Άνοδος	Μέγιστη ώση ανόδου	ZERO	10 000			
A340-642	ICAO_B	6	1	Απογείωση	Μέγιστη ώση απογείωσης	1+F				
A340-642	ICAO_B	6	2	Επιτάχυνση	Μέγιστη ώση απογείωσης	1+F		1 185	185,4	
A340-642	ICAO_B	6	3	Άνοδος	Μέγιστη ώση απογείωσης	1+F	1 000			
A340-642	ICAO_B	6	4	Επιτάχυνση	Μέγιστη ώση απογείωσης	1+F		1 126,6	214,9	
A340-642	ICAO_B	6	5	Επιτάχυνση	Μέγιστη ώση απογείωσης	1		1 268,8	249,8	
A340-642	ICAO_B	6	6	Άνοδος	Μέγιστη ώση ανόδου	ZERO	3 000			
A340-642	ICAO_B	6	7	Επιτάχυνση	Μέγιστη ώση ανόδου	ZERO		2 048,9	250	
A340-642	ICAO_B	6	8	Άνοδος	Μέγιστη ώση ανόδου	ZERO	5 500			

▼**M2**

ACFTID	Profile_ID (Προφίλ αναχώρησης)	Μήκος καλυπτόμενης διαδρομής	Αριθμός σταδίου	Είδος σταδίου	Μέγεθος ώσης	Flap_ID (Θέση πτερυγίων καμπυλότητας)	Οροφή ανόδου (ft)	Ρυθμός ανόδου (ft/min)	Διακριβωμένη ταχύτητα αέρα στην οροφή ανόδου (kt)	Ποσοστό επιτάχυνσης (%)
A340-642	ICAO_B	6	9	Άνοδος	Μέγιστη ώση ανόδου	ZERO	7 500			
A340-642	ICAO_B	6	10	Άνοδος	Μέγιστη ώση ανόδου	ZERO	10 000			
A340-642	ICAO_B	7	1	Απογείωση	Μέγιστη ώση απογείωσης	1+F				
A340-642	ICAO_B	7	2	Άνοδος	Μέγιστη ώση απογείωσης	1+F	1 000			
A340-642	ICAO_B	7	3	Επιτάχυνση	Μέγιστη ώση απογείωσης	1+F		868,2	214,9	
A340-642	ICAO_B	7	4	Επιτάχυνση	Μέγιστη ώση απογείωσης	1		929,6	241,1	
A340-642	ICAO_B	7	5	Άνοδος	Μέγιστη ώση ανόδου	ZERO	3 000			
A340-642	ICAO_B	7	6	Επιτάχυνση	Μέγιστη ώση ανόδου	ZERO		748,4	250	
A340-642	ICAO_B	7	7	Άνοδος	Μέγιστη ώση ανόδου	ZERO	5 500			
A340-642	ICAO_B	7	8	Άνοδος	Μέγιστη ώση ανόδου	ZERO	7 500			
A340-642	ICAO_B	7	9	Άνοδος	Μέγιστη ώση ανόδου	ZERO	10 000			
A380-841	DEFAULT	1	1	Απογείωση	Μέγιστη ώση απογείωσης	D_1+F				
A380-841	DEFAULT	1	2	Άνοδος	Μέγιστη ώση απογείωσης	D_1+F	1 000			

▼**M2**

ACFTID	Profile_ID (Προφίλ αναχώρησης)	Μήκος καλυπτόμενης διαδρομής	Αριθμός σταδίου	Είδος σταδίου	Μέγεθος ώσης	Flap_ID (Θέση πτερυγίων καμπυλότητας)	Οροφή ανόδου (ft)	Ρυθμός ανόδου (ft/min)	Διακριβωμένη ταχύτητα αέρα στην οροφή ανόδου (kt)	Ποσοστό επιτάχυνσης (%)
A380-841	DEFAULT	1	3	Επιτάχυνση	Μέγιστη ώση απογείωσης	D_1+F		1 085	175,1	
A380-841	DEFAULT	1	4	Επιτάχυνση	Μέγιστη ώση απογείωσης	D_1		1 306	238,9	
A380-841	DEFAULT	1	5	Άνοδος	Μέγιστη ώση ανόδου	D_1	3 000			
A380-841	DEFAULT	1	6	Επιτάχυνση	Μέγιστη ώση ανόδου	ZERO		1 497,8	250	
A380-841	DEFAULT	1	7	Άνοδος	Μέγιστη ώση ανόδου	ZERO	10 000			
A380-841	DEFAULT	2	1	Απογείωση	Μέγιστη ώση απογείωσης	D_1+F				
A380-841	DEFAULT	2	2	Άνοδος	Μέγιστη ώση απογείωσης	D_1+F	1 000			
A380-841	DEFAULT	2	3	Επιτάχυνση	Μέγιστη ώση απογείωσης	D_1+F		1 054	177,6	
A380-841	DEFAULT	2	4	Επιτάχυνση	Μέγιστη ώση απογείωσης	D_1		1 262,8	238,9	
A380-841	DEFAULT	2	5	Άνοδος	Μέγιστη ώση ανόδου	D_1	3 000			
A380-841	DEFAULT	2	6	Επιτάχυνση	Μέγιστη ώση ανόδου	ZERO		1 444,8	250	
A380-841	DEFAULT	2	7	Άνοδος	Μέγιστη ώση ανόδου	ZERO	10 000			
A380-841	DEFAULT	3	1	Απογείωση	Μέγιστη ώση απογείωσης	D_1+F				

▼**M2**

ACFTID	Profile_ID (Προφίλ αναχώρησης)	Μήκος καλυπτόμενης διαδρομής	Αριθμός σταδίου	Είδος σταδίου	Μέγεθος ώσης	Flap_ID (Θέση πτερυγίων καμπυλότητας)	Οροφή ανόδου (ft)	Ρυθμός ανόδου (ft/min)	Διακριβωμένη ταχύτητα αέρα στην οροφή ανόδου (kt)	Ποσοστό επιτάχυνσης (%)
A380-841	DEFAULT	3	2	Άνοδος	Μέγιστη ώση απογείωσης	D_1+F	1 000			
A380-841	DEFAULT	3	3	Επιτάχυνση	Μέγιστη ώση απογείωσης	D_1+F		1 022,1	180,2	
A380-841	DEFAULT	3	4	Επιτάχυνση	Μέγιστη ώση απογείωσης	D_1		1 220,9	239,1	
A380-841	DEFAULT	3	5	Άνοδος	Μέγιστη ώση ανόδου	D_1	3 000			
A380-841	DEFAULT	3	6	Επιτάχυνση	Μέγιστη ώση ανόδου	ZERO		1 394,3	250	
A380-841	DEFAULT	3	7	Άνοδος	Μέγιστη ώση ανόδου	ZERO	10 000			
A380-841	DEFAULT	4	1	Απογείωση	Μέγιστη ώση απογείωσης	D_1+F				
A380-841	DEFAULT	4	2	Άνοδος	Μέγιστη ώση απογείωσης	D_1+F	1 000			
A380-841	DEFAULT	4	3	Επιτάχυνση	Μέγιστη ώση απογείωσης	D_1+F		975,4	184,8	
A380-841	DEFAULT	4	4	Επιτάχυνση	Μέγιστη ώση απογείωσης	D_1		1 152,5	239,6	
A380-841	DEFAULT	4	5	Άνοδος	Μέγιστη ώση ανόδου	D_1	3 000			
A380-841	DEFAULT	4	6	Επιτάχυνση	Μέγιστη ώση ανόδου	ZERO		1 313,6	250	
A380-841	DEFAULT	4	7	Άνοδος	Μέγιστη ώση ανόδου	ZERO	10 000			
A380-841	DEFAULT	5	1	Απογείωση	Μέγιστη ώση απογείωσης	D_1+F				

▼**M2**

ACFTID	Profile_ID (Προφίλ αναχώρησης)	Μήκος καλυπτόμενης διαδρομής	Αριθμός σταδίου	Είδος σταδίου	Μέγεθος ώσης	Flap_ID (Θέση πτερυγίων καμπυλότητας)	Οροφή ανόδου (ft)	Ρυθμός ανόδου (ft/min)	Διακριβωμένη ταχύτητα αέρα στην οροφή ανόδου (kt)	Ποσοστό επιτάχυνσης (%)
A380-841	DEFAULT	5	2	Άνοδος	Μέγιστη ώση απογείωσης	D_1+F	1 000			
A380-841	DEFAULT	5	3	Επιτάχυνση	Μέγιστη ώση απογείωσης	D_1+F		908,1	190,6	
A380-841	DEFAULT	5	4	Επιτάχυνση	Μέγιστη ώση απογείωσης	D_1		1 072,2	240,8	
A380-841	DEFAULT	5	5	Άνοδος	Μέγιστη ώση ανόδου	D_1	3 000			
A380-841	DEFAULT	5	6	Επιτάχυνση	Μέγιστη ώση ανόδου	ZERO		1 220,7	250	
A380-841	DEFAULT	5	7	Άνοδος	Μέγιστη ώση ανόδου	ZERO	10 000			
A380-841	DEFAULT	6	1	Απογείωση	Μέγιστη ώση απογείωσης	D_1+F				
A380-841	DEFAULT	6	2	Άνοδος	Μέγιστη ώση απογείωσης	D_1+F	1 000			
A380-841	DEFAULT	6	3	Επιτάχυνση	Μέγιστη ώση απογείωσης	D_1+F		843	196,7	
A380-841	DEFAULT	6	4	Επιτάχυνση	Μέγιστη ώση απογείωσης	D_1		994,4	242,4	
A380-841	DEFAULT	6	5	Άνοδος	Μέγιστη ώση ανόδου	D_1	3 000			
A380-841	DEFAULT	6	6	Επιτάχυνση	Μέγιστη ώση ανόδου	ZERO		1 134,1	250	
A380-841	DEFAULT	6	7	Άνοδος	Μέγιστη ώση ανόδου	ZERO	10 000			
A380-841	DEFAULT	7	1	Απογείωση	Μέγιστη ώση απογείωσης	D_1+F				

▼**M2**

ACFTID	Profile_ID (Προφίλ αναχώρησης)	Μήκος καλυπτόμενης διαδρομής	Αριθμός σταδίου	Είδος σταδίου	Μέγεθος ώσης	Flap_ID (Θέση πτερυγίων καμπυλότητας)	Οροφή ανόδου (ft)	Ρυθμός ανόδου (ft/min)	Διακριβωμένη ταχύτητα αέρα στην οροφή ανόδου (kt)	Ποσοστό επιτάχυνσης (%)
A380-841	DEFAULT	7	2	Άνοδος	Μέγιστη ώση απογείωσης	D_1+F	1 000			
A380-841	DEFAULT	7	3	Επιτάχυνση	Μέγιστη ώση απογείωσης	D_1+F		783	202,7	
A380-841	DEFAULT	7	4	Επιτάχυνση	Μέγιστη ώση απογείωσης	D_1		925	244,4	
A380-841	DEFAULT	7	5	Άνοδος	Μέγιστη ώση ανόδου	D_1	3 000			
A380-841	DEFAULT	7	6	Επιτάχυνση	Μέγιστη ώση ανόδου	ZERO		1 065,1	250	
A380-841	DEFAULT	7	7	Άνοδος	Μέγιστη ώση ανόδου	ZERO	10 000			
A380-841	DEFAULT	8	1	Απογείωση	Μέγιστη ώση απογείωσης	D_1+F				
A380-841	DEFAULT	8	2	Άνοδος	Μέγιστη ώση απογείωσης	D_1+F	1 000			
A380-841	DEFAULT	8	3	Επιτάχυνση	Μέγιστη ώση απογείωσης	D_1+F		622,4	220	
A380-841	DEFAULT	8	4	Επιτάχυνση	Μέγιστη ώση απογείωσης	D_1		744,8	251,7	
A380-841	DEFAULT	8	5	Άνοδος	Μέγιστη ώση ανόδου	D_1	3 000			
A380-841	DEFAULT	8	6	Άνοδος	Μέγιστη ώση ανόδου	ZERO	10 000			
A380-841	ICAO_A	1	1	Απογείωση	Μέγιστη ώση απογείωσης	D_1+F				
A380-841	ICAO_A	1	2	Άνοδος	Μέγιστη ώση απογείωσης	D_1+F	1 500			

▼**M2**

ACFTID	Profile_ID (Προφίλ αναχώρησης)	Μήκος καλυπτόμενης διαδρομής	Αριθμός σταδίου	Είδος σταδίου	Μέγεθος ώσης	Flap_ID (Θέση πτερυγίων καμπυλότητας)	Οροφή ανόδου (ft)	Ρυθμός ανόδου (ft/min)	Διακριβωμένη ταχύτητα αέρα στην οροφή ανόδου (kt)	Ποσοστό επιτάχυνσης (%)
A380-841	ICAO_A	1	3	Άνοδος	Μέγιστη ώση ανόδου	D_1+F	3 000			
A380-841	ICAO_A	1	4	Επιτάχυνση	Μέγιστη ώση ανόδου	D_1		1 049,1	175,1	
A380-841	ICAO_A	1	5	Επιτάχυνση	Μέγιστη ώση ανόδου	D_1		1 257,9	233,9	
A380-841	ICAO_A	1	6	Επιτάχυνση	Μέγιστη ώση ανόδου	ZERO		1 403,3	250	
A380-841	ICAO_A	1	7	Άνοδος	Μέγιστη ώση ανόδου	ZERO	10 000			
A380-841	ICAO_A	2	1	Απογείωση	Μέγιστη ώση απογείωσης	D_1+F				
A380-841	ICAO_A	2	2	Άνοδος	Μέγιστη ώση απογείωσης	D_1+F	1 500			
A380-841	ICAO_A	2	3	Άνοδος	Μέγιστη ώση ανόδου	D_1+F	3 000			
A380-841	ICAO_A	2	4	Επιτάχυνση	Μέγιστη ώση ανόδου	D_1		1 005,4	177,7	
A380-841	ICAO_A	2	5	Επιτάχυνση	Μέγιστη ώση ανόδου	D_1		1 217,2	234,1	
A380-841	ICAO_A	2	6	Επιτάχυνση	Μέγιστη ώση ανόδου	ZERO		1 355,3	250	
A380-841	ICAO_A	2	7	Άνοδος	Μέγιστη ώση ανόδου	ZERO	10 000			
A380-841	ICAO_A	3	1	Απογείωση	Μέγιστη ώση απογείωσης	D_1+F				

▼**M2**

ACFTID	Profile_ID (Προφίλ αναχώρησης)	Μήκος καλυπτόμενης διαδρομής	Αριθμός σταδίου	Είδος σταδίου	Μέγεθος ώσης	Flap_ID (Θέση πτερυγίων καμπυλότητας)	Οροφή ανόδου (ft)	Ρυθμός ανόδου (ft/min)	Διακριβωμένη ταχύτητα αέρα στην οροφή ανόδου (kt)	Ποσοστό επιτάχυνσης (%)
A380-841	ICAO_A	3	2	Άνοδος	Μέγιστη ώση απογείωσης	D_1+F	1 500			
A380-841	ICAO_A	3	3	Άνοδος	Μέγιστη ώση ανόδου	D_1+F	3 000			
A380-841	ICAO_A	3	4	Επιτάχυνση	Μέγιστη ώση ανόδου	D_1		965,1	180,3	
A380-841	ICAO_A	3	5	Επιτάχυνση	Μέγιστη ώση ανόδου	D_1		1 177,8	234,5	
A380-841	ICAO_A	3	6	Επιτάχυνση	Μέγιστη ώση ανόδου	ZERO		1 308,6	250	
A380-841	ICAO_A	3	7	Άνοδος	Μέγιστη ώση ανόδου	ZERO	10 000			
A380-841	ICAO_A	4	1	Απογείωση	Μέγιστη ώση απογείωσης	D_1+F				
A380-841	ICAO_A	4	2	Άνοδος	Μέγιστη ώση απογείωσης	D_1+F	1 500			
A380-841	ICAO_A	4	3	Άνοδος	Μέγιστη ώση ανόδου	D_1+F	3 000			
A380-841	ICAO_A	4	4	Επιτάχυνση	Μέγιστη ώση ανόδου	D_1		912,3	184,9	
A380-841	ICAO_A	4	5	Επιτάχυνση	Μέγιστη ώση ανόδου	D_1		1 113,9	235,4	
A380-841	ICAO_A	4	6	Επιτάχυνση	Μέγιστη ώση ανόδου	ZERO		1 231,9	250	
A380-841	ICAO_A	4	7	Άνοδος	Μέγιστη ώση ανόδου	ZERO	10 000			

▼**M2**

ACFTID	Profile_ID (Προφίλ αναχώρησης)	Μήκος καλυπτόμενης διαδρομής	Αριθμός σταδίου	Είδος σταδίου	Μέγεθος ώσης	Flap_ID (Θέση πτερυγίων καμπυλότητας)	Οροφή ανόδου (ft)	Ρυθμός ανόδου (ft/min)	Διακριβωμένη ταχύτητα αέρα στην οροφή ανόδου (kt)	Ποσοστό επιτάχυνσης (%)
A380-841	ICAO_A	5	1	Απογείωση	Μέγιστη ώση απογείωσης	D_1+F				
A380-841	ICAO_A	5	2	Άνοδος	Μέγιστη ώση απογείωσης	D_1+F	1 500			
A380-841	ICAO_A	5	3	Άνοδος	Μέγιστη ώση ανόδου	D_1+F	3 000			
A380-841	ICAO_A	5	4	Επιτάχυνση	Μέγιστη ώση ανόδου	D_1		850,1	190,8	
A380-841	ICAO_A	5	5	Επιτάχυνση	Μέγιστη ώση ανόδου	D_1		1 038,8	237,1	
A380-841	ICAO_A	5	6	Επιτάχυνση	Μέγιστη ώση ανόδου	ZERO		1 141,2	250	
A380-841	ICAO_A	5	7	Άνοδος	Μέγιστη ώση ανόδου	ZERO	10 000			
A380-841	ICAO_A	6	1	Απογείωση	Μέγιστη ώση απογείωσης	D_1+F				
A380-841	ICAO_A	6	2	Άνοδος	Μέγιστη ώση απογείωσης	D_1+F	1 500			
A380-841	ICAO_A	6	3	Άνοδος	Μέγιστη ώση ανόδου	D_1+F	3 000			
A380-841	ICAO_A	6	4	Επιτάχυνση	Μέγιστη ώση ανόδου	D_1		789,5	196,9	
A380-841	ICAO_A	6	5	Επιτάχυνση	Μέγιστη ώση ανόδου	D_1		965,9	239,1	
A380-841	ICAO_A	6	6	Επιτάχυνση	Μέγιστη ώση ανόδου	ZERO		1 053	250	

▼**M2**

ACFTID	Profile_ID (Προφίλ αναχώρησης)	Μήκος καλυπτόμενης διαδρομής	Αριθμός σταδίου	Είδος σταδίου	Μέγεθος ώσης	Flap_ID (Θέση πτερυγίων καμπυλότητας)	Οροφή ανόδου (ft)	Ρυθμός ανόδου (ft/min)	Διακριβωμένη ταχύτητα αέρα στην οροφή ανόδου (kt)	Ποσοστό επιτάχυνσης (%)
A380-841	ICAO_A	6	7	Άνοδος	Μέγιστη ώση ανόδου	ZERO	10 000			
A380-841	ICAO_A	7	1	Απογείωση	Μέγιστη ώση απογείωσης	D_1+F				
A380-841	ICAO_A	7	2	Άνοδος	Μέγιστη ώση απογείωσης	D_1+F	1 500			
A380-841	ICAO_A	7	3	Άνοδος	Μέγιστη ώση ανόδου	D_1+F	3 000			
A380-841	ICAO_A	7	4	Επιτάχυνση	Μέγιστη ώση ανόδου	D_1		735,4	203,1	
A380-841	ICAO_A	7	5	Επιτάχυνση	Μέγιστη ώση ανόδου	D_1		900,3	241,6	
A380-841	ICAO_A	7	6	Επιτάχυνση	Μέγιστη ώση ανόδου	ZERO		973,7	250	
A380-841	ICAO_A	7	7	Άνοδος	Μέγιστη ώση ανόδου	ZERO	10 000			
A380-841	ICAO_A	8	1	Απογείωση	Μέγιστη ώση απογείωσης	D_1+F				
A380-841	ICAO_A	8	2	Άνοδος	Μέγιστη ώση απογείωσης	D_1+F	1 500			
A380-841	ICAO_A	8	3	Άνοδος	Μέγιστη ώση ανόδου	D_1+F	3 000			
A380-841	ICAO_A	8	4	Επιτάχυνση	Μέγιστη ώση ανόδου	D_1		587,9	220	
A380-841	ICAO_A	8	5	Επιτάχυνση	Μέγιστη ώση ανόδου	D_1		722,8	249,2	

▼**M2**

ACFTID	Profile_ID (Προφίλ αναχώρησης)	Μήκος καλυπτόμενης διαδρομής	Αριθμός σταδίου	Είδος σταδίου	Μέγεθος ώσης	Flap_ID (Θέση πτερυγίων καμπυλότητας)	Οροφή ανόδου (ft)	Ρυθμός ανόδου (ft/min)	Διακριβωμένη ταχύτητα αέρα στην οροφή ανόδου (kt)	Ποσοστό επιτάχυνσης (%)
A380-841	ICAO_A	8	6	Επιτάχυνση	Μέγιστη ώση ανόδου	ZERO		762,6	250	
A380-841	ICAO_A	8	7	Άνοδος	Μέγιστη ώση ανόδου	ZERO	10 000			
A380-841	ICAO_B	1	1	Απογείωση	Μέγιστη ώση απογείωσης	D_1+F				
A380-841	ICAO_B	1	2	Άνοδος	Μέγιστη ώση απογείωσης	D_1+F	1 000			
A380-841	ICAO_B	1	3	Επιτάχυνση	Μέγιστη ώση απογείωσης	D_1+F		1 085	175,1	
A380-841	ICAO_B	1	4	Επιτάχυνση	Μέγιστη ώση απογείωσης	D_1		1 306	238,9	
A380-841	ICAO_B	1	5	Άνοδος	Μέγιστη ώση ανόδου	D_1	3 000			
A380-841	ICAO_B	1	6	Επιτάχυνση	Μέγιστη ώση ανόδου	ZERO		1 497,8	250	
A380-841	ICAO_B	1	7	Άνοδος	Μέγιστη ώση ανόδου	ZERO	10 000			
A380-841	ICAO_B	2	1	Απογείωση	Μέγιστη ώση απογείωσης	D_1+F				
A380-841	ICAO_B	2	2	Άνοδος	Μέγιστη ώση απογείωσης	D_1+F	1 000			
A380-841	ICAO_B	2	3	Επιτάχυνση	Μέγιστη ώση απογείωσης	D_1+F		1 054	177,6	
A380-841	ICAO_B	2	4	Επιτάχυνση	Μέγιστη ώση απογείωσης	D_1		1 262,8	238,9	
A380-841	ICAO_B	2	5	Άνοδος	Μέγιστη ώση ανόδου	D_1	3 000			

▼**M2**

ACFTID	Profile_ID (Προφίλ αναχώρησης)	Μήκος καλυπτόμενης διαδρομής	Αριθμός σταδίου	Είδος σταδίου	Μέγεθος ώσης	Flap_ID (Θέση πτερυγίων καμπυλότητας)	Οροφή ανόδου (ft)	Ρυθμός ανόδου (ft/min)	Διακριβωμένη ταχύτητα αέρα στην οροφή ανόδου (kt)	Ποσοστό επιτάχυνσης (%)
A380-841	ICAO_B	2	6	Επιτάχυνση	Μέγιστη ώση ανόδου	ZERO		1 444,8	250	
A380-841	ICAO_B	2	7	Άνοδος	Μέγιστη ώση ανόδου	ZERO	10 000			
A380-841	ICAO_B	3	1	Απογείωση	Μέγιστη ώση απογείωσης	D_1+F				
A380-841	ICAO_B	3	2	Άνοδος	Μέγιστη ώση απογείωσης	D_1+F	1 000			
A380-841	ICAO_B	3	3	Επιτάχυνση	Μέγιστη ώση απογείωσης	D_1+F		1 022,1	180,2	
A380-841	ICAO_B	3	4	Επιτάχυνση	Μέγιστη ώση απογείωσης	D_1		1 220,9	239,1	
A380-841	ICAO_B	3	5	Άνοδος	Μέγιστη ώση ανόδου	D_1	3 000			
A380-841	ICAO_B	3	6	Επιτάχυνση	Μέγιστη ώση ανόδου	ZERO		1 394,3	250	
A380-841	ICAO_B	3	7	Άνοδος	Μέγιστη ώση ανόδου	ZERO	10 000			
A380-841	ICAO_B	4	1	Απογείωση	Μέγιστη ώση απογείωσης	D_1+F				
A380-841	ICAO_B	4	2	Άνοδος	Μέγιστη ώση απογείωσης	D_1+F	1 000			
A380-841	ICAO_B	4	3	Επιτάχυνση	Μέγιστη ώση απογείωσης	D_1+F		975,4	184,8	
A380-841	ICAO_B	4	4	Επιτάχυνση	Μέγιστη ώση απογείωσης	D_1		1 152,5	239,6	
A380-841	ICAO_B	4	5	Άνοδος	Μέγιστη ώση ανόδου	D_1	3 000			

▼**M2**

ACFTID	Profile_ID (Προφίλ αναχώρησης)	Μήκος καλυπτόμενης διαδρομής	Αριθμός σταδίου	Είδος σταδίου	Μέγεθος ώσης	Flap_ID (Θέση πτερυγίων καμπυλότητας)	Οροφή ανόδου (ft)	Ρυθμός ανόδου (ft/min)	Διακριβωμένη ταχύτητα αέρα στην οροφή ανόδου (kt)	Ποσοστό επιτάχυνσης (%)
A380-841	ICAO_B	4	6	Επιτάχυνση	Μέγιστη ώση ανόδου	ZERO		1 313,6	250	
A380-841	ICAO_B	4	7	Άνοδος	Μέγιστη ώση ανόδου	ZERO	10 000			
A380-841	ICAO_B	5	1	Απογείωση	Μέγιστη ώση απογείωσης	D_1+F				
A380-841	ICAO_B	5	2	Άνοδος	Μέγιστη ώση απογείωσης	D_1+F	1 000			
A380-841	ICAO_B	5	3	Επιτάχυνση	Μέγιστη ώση απογείωσης	D_1+F		908,1	190,6	
A380-841	ICAO_B	5	4	Επιτάχυνση	Μέγιστη ώση απογείωσης	D_1		1 072,2	240,8	
A380-841	ICAO_B	5	5	Άνοδος	Μέγιστη ώση ανόδου	D_1	3 000			
A380-841	ICAO_B	5	6	Επιτάχυνση	Μέγιστη ώση ανόδου	ZERO		1 220,7	250	
A380-841	ICAO_B	5	7	Άνοδος	Μέγιστη ώση ανόδου	ZERO	10 000			
A380-841	ICAO_B	6	1	Απογείωση	Μέγιστη ώση απογείωσης	D_1+F				
A380-841	ICAO_B	6	2	Άνοδος	Μέγιστη ώση απογείωσης	D_1+F	1 000			
A380-841	ICAO_B	6	3	Επιτάχυνση	Μέγιστη ώση απογείωσης	D_1+F		843	196,7	
A380-841	ICAO_B	6	4	Επιτάχυνση	Μέγιστη ώση απογείωσης	D_1		994,4	242,4	
A380-841	ICAO_B	6	5	Άνοδος	Μέγιστη ώση ανόδου	D_1	3 000			

▼**M2**

ACFTID	Profile_ID (Προφίλ αναχώρησης)	Μήκος καλυπτόμενης διαδρομής	Αριθμός σταδίου	Είδος σταδίου	Μέγεθος ώσης	Flap_ID (Θέση πτερυγίων καμπυλότητας)	Οροφή ανόδου (ft)	Ρυθμός ανόδου (ft/min)	Διακριβωμένη ταχύτητα αέρα στην οροφή ανόδου (kt)	Ποσοστό επιτάχυνσης (%)
A380-841	ICAO_B	6	6	Επιτάχυνση	Μέγιστη ώση ανόδου	ZERO		1 134,1	250	
A380-841	ICAO_B	6	7	Άνοδος	Μέγιστη ώση ανόδου	ZERO	10 000			
A380-841	ICAO_B	7	1	Απογείωση	Μέγιστη ώση απογείωσης	D_1+F				
A380-841	ICAO_B	7	2	Άνοδος	Μέγιστη ώση απογείωσης	D_1+F	1 000			
A380-841	ICAO_B	7	3	Επιτάχυνση	Μέγιστη ώση απογείωσης	D_1+F		783	202,7	
A380-841	ICAO_B	7	4	Επιτάχυνση	Μέγιστη ώση απογείωσης	D_1		925	244,4	
A380-841	ICAO_B	7	5	Άνοδος	Μέγιστη ώση ανόδου	D_1	3 000			
A380-841	ICAO_B	7	6	Επιτάχυνση	Μέγιστη ώση ανόδου	ZERO		1 065,1	250	
A380-841	ICAO_B	7	7	Άνοδος	Μέγιστη ώση ανόδου	ZERO	10 000			
A380-841	ICAO_B	8	1	Απογείωση	Μέγιστη ώση απογείωσης	D_1+F				
A380-841	ICAO_B	8	2	Άνοδος	Μέγιστη ώση απογείωσης	D_1+F	1 000			
A380-841	ICAO_B	8	3	Επιτάχυνση	Μέγιστη ώση απογείωσης	D_1+F		622,4	220	
A380-841	ICAO_B	8	4	Επιτάχυνση	Μέγιστη ώση απογείωσης	D_1		744,8	251,7	
A380-841	ICAO_B	8	5	Άνοδος	Μέγιστη ώση ανόδου	D_1	3 000			

▼**M2**

ACFTID	Profile_ID (Προφίλ αναχώρησης)	Μήκος καλυπτόμενης διαδρομής	Αριθμός σταδίου	Είδος σταδίου	Μέγεθος ώσης	Flap_ID (Θέση πτερυγίων καμπυλότητας)	Οροφή ανόδου (ft)	Ρυθμός ανόδου (ft/min)	Διακριβωμένη ταχύτητα αέρα στην οροφή ανόδου (kt)	Ποσοστό επιτάχυνσης (%)
A380-841	ICAO_B	8	6	Άνοδος	Μέγιστη ώση ανόδου	ZERO	10 000			
A380-861	DEFAULT	1	1	Απογείωση	Μέγιστη ώση απογείωσης	D_1+F				
A380-861	DEFAULT	1	2	Άνοδος	Μέγιστη ώση απογείωσης	D_1+F	1 000			
A380-861	DEFAULT	1	3	Επιτάχυνση	Μέγιστη ώση απογείωσης	D_1+F		1 086	175,1	
A380-861	DEFAULT	1	4	Επιτάχυνση	Μέγιστη ώση απογείωσης	D_1		1 312,2	239,2	
A380-861	DEFAULT	1	5	Άνοδος	Μέγιστη ώση ανόδου	D_1	3 000			
A380-861	DEFAULT	1	6	Επιτάχυνση	Μέγιστη ώση ανόδου	ZERO		1 499,1	250	
A380-861	DEFAULT	1	7	Άνοδος	Μέγιστη ώση ανόδου	ZERO	10 000			
A380-861	DEFAULT	2	1	Απογείωση	Μέγιστη ώση απογείωσης	D_1+F				
A380-861	DEFAULT	2	2	Άνοδος	Μέγιστη ώση απογείωσης	D_1+F	1 000			
A380-861	DEFAULT	2	3	Επιτάχυνση	Μέγιστη ώση απογείωσης	D_1+F		1 056	177,6	
A380-861	DEFAULT	2	4	Επιτάχυνση	Μέγιστη ώση απογείωσης	D_1		1 269	239,2	
A380-861	DEFAULT	2	5	Άνοδος	Μέγιστη ώση ανόδου	D_1	3 000			

▼**M2**

ACFTID	Profile_ID (Προφίλ αναχώρησης)	Μήκος καλυπτόμενης διαδρομής	Αριθμός σταδίου	Είδος σταδίου	Μέγεθος ώσης	Flap_ID (Θέση πτερυγίων καμπυλότητας)	Οροφή ανόδου (ft)	Ρυθμός ανόδου (ft/min)	Διακριβωμένη ταχύτητα αέρα στην οροφή ανόδου (kt)	Ποσοστό επιτάχυνσης (%)
A380-861	DEFAULT	2	6	Επιτάχυνση	Μέγιστη ώση ανόδου	ZERO		1 446,4	250	
A380-861	DEFAULT	2	7	Άνοδος	Μέγιστη ώση ανόδου	ZERO	10 000			
A380-861	DEFAULT	3	1	Απογείωση	Μέγιστη ώση απογείωσης	D_1+F				
A380-861	DEFAULT	3	2	Άνοδος	Μέγιστη ώση απογείωσης	D_1+F	1 000			
A380-861	DEFAULT	3	3	Επιτάχυνση	Μέγιστη ώση απογείωσης	D_1+F		1 024,4	180,2	
A380-861	DEFAULT	3	4	Επιτάχυνση	Μέγιστη ώση απογείωσης	D_1		1 226,4	239,2	
A380-861	DEFAULT	3	5	Άνοδος	Μέγιστη ώση ανόδου	D_1	3 000			
A380-861	DEFAULT	3	6	Επιτάχυνση	Μέγιστη ώση ανόδου	ZERO		1 394,9	250	
A380-861	DEFAULT	3	7	Άνοδος	Μέγιστη ώση ανόδου	ZERO	10 000			
A380-861	DEFAULT	4	1	Απογείωση	Μέγιστη ώση απογείωσης	D_1+F				
A380-861	DEFAULT	4	2	Άνοδος	Μέγιστη ώση απογείωσης	D_1+F	1 000			
A380-861	DEFAULT	4	3	Επιτάχυνση	Μέγιστη ώση απογείωσης	D_1+F		972,5	184,7	
A380-861	DEFAULT	4	4	Επιτάχυνση	Μέγιστη ώση απογείωσης	D_1		1 158,3	239,8	
A380-861	DEFAULT	4	5	Άνοδος	Μέγιστη ώση ανόδου	D_1	3 000			

▼**M2**

ACFTID	Profile_ID (Προφίλ αναχώρησης)	Μήκος καλυπτόμενης διαδρομής	Αριθμός σταδίου	Είδος σταδίου	Μέγεθος ώσης	Flap_ID (Θέση πτερυγίων καμπυλότητας)	Οροφή ανόδου (ft)	Ρυθμός ανόδου (ft/min)	Διακριβωμένη ταχύτητα αέρα στην οροφή ανόδου (kt)	Ποσοστό επιτάχυνσης (%)
A380-861	DEFAULT	4	6	Επιτάχυνση	Μέγιστη ώση ανόδου	ZERO		1 315,9	250	
A380-861	DEFAULT	4	7	Άνοδος	Μέγιστη ώση ανόδου	ZERO	10 000			
A380-861	DEFAULT	5	1	Απογείωση	Μέγιστη ώση απογείωσης	D_1+F				
A380-861	DEFAULT	5	2	Άνοδος	Μέγιστη ώση απογείωσης	D_1+F	1 000			
A380-861	DEFAULT	5	3	Επιτάχυνση	Μέγιστη ώση απογείωσης	D_1+F		906,2	190,4	
A380-861	DEFAULT	5	4	Επιτάχυνση	Μέγιστη ώση απογείωσης	D_1		1 080,4	240,9	
A380-861	DEFAULT	5	5	Άνοδος	Μέγιστη ώση ανόδου	D_1	3 000			
A380-861	DEFAULT	5	6	Επιτάχυνση	Μέγιστη ώση ανόδου	ZERO		1 225,2	250	
A380-861	DEFAULT	5	7	Άνοδος	Μέγιστη ώση ανόδου	ZERO	10 000			
A380-861	DEFAULT	6	1	Απογείωση	Μέγιστη ώση απογείωσης	D_1+F				
A380-861	DEFAULT	6	2	Άνοδος	Μέγιστη ώση απογείωσης	D_1+F	1 000			
A380-861	DEFAULT	6	3	Επιτάχυνση	Μέγιστη ώση απογείωσης	D_1+F		840	196,4	
A380-861	DEFAULT	6	4	Επιτάχυνση	Μέγιστη ώση απογείωσης	D_1		1 003	242,5	
A380-861	DEFAULT	6	5	Άνοδος	Μέγιστη ώση ανόδου	D_1	3 000			

▼**M2**

ACFTID	Profile_ID (Προφίλ αναχώρησης)	Μήκος καλυπτόμενης διαδρομής	Αριθμός σταδίου	Είδος σταδίου	Μέγεθος ώσης	Flap_ID (Θέση πτερυγίων καμπυλότητας)	Οροφή ανόδου (ft)	Ρυθμός ανόδου (ft/min)	Διακριβωμένη ταχύτητα αέρα στην οροφή ανόδου (kt)	Ποσοστό επιτάχυνσης (%)
A380-861	DEFAULT	6	6	Επιτάχυνση	Μέγιστη ώση ανόδου	ZERO		1 139	250	
A380-861	DEFAULT	6	7	Άνοδος	Μέγιστη ώση ανόδου	ZERO	10 000			
A380-861	DEFAULT	7	1	Απογείωση	Μέγιστη ώση απογείωσης	D_1+F				
A380-861	DEFAULT	7	2	Άνοδος	Μέγιστη ώση απογείωσης	D_1+F	1 000			
A380-861	DEFAULT	7	3	Επιτάχυνση	Μέγιστη ώση απογείωσης	D_1+F		777,6	202,7	
A380-861	DEFAULT	7	4	Επιτάχυνση	Μέγιστη ώση απογείωσης	D_1		930,4	244,6	
A380-861	DEFAULT	7	5	Άνοδος	Μέγιστη ώση ανόδου	D_1	3 000			
A380-861	DEFAULT	7	6	Επιτάχυνση	Μέγιστη ώση ανόδου	ZERO		1 063,2	250	
A380-861	DEFAULT	7	7	Άνοδος	Μέγιστη ώση ανόδου	ZERO	10 000			
A380-861	DEFAULT	8	1	Απογείωση	Μέγιστη ώση απογείωσης	D_1+F				
A380-861	DEFAULT	8	2	Άνοδος	Μέγιστη ώση απογείωσης	D_1+F	1 000			
A380-861	DEFAULT	8	3	Επιτάχυνση	Μέγιστη ώση απογείωσης	D_1+F		618,5	220	
A380-861	DEFAULT	8	4	Επιτάχυνση	Μέγιστη ώση απογείωσης	D_1		746,6	251,8	
A380-861	DEFAULT	8	5	Άνοδος	Μέγιστη ώση ανόδου	D_1	3 000			

▼**M2**

ACFTID	Profile_ID (Προφίλ αναχώρησης)	Μήκος καλυπτόμενης διαδρομής	Αριθμός σταδίου	Είδος σταδίου	Μέγεθος ώσης	Flap_ID (Θέση πτερυγίων καμπυλότητας)	Οροφή ανόδου (ft)	Ρυθμός ανόδου (ft/min)	Διακριβωμένη ταχύτητα αέρα στην οροφή ανόδου (kt)	Ποσοστό επιτάχυνσης (%)
A380-861	DEFAULT	8	6	Άνοδος	Μέγιστη ώση ανόδου	ZERO	10 000			
A380-861	ICAO_A	1	1	Απογείωση	Μέγιστη ώση απογείωσης	D_1+F				
A380-861	ICAO_A	1	2	Άνοδος	Μέγιστη ώση απογείωσης	D_1+F	1 500			
A380-861	ICAO_A	1	3	Άνοδος	Μέγιστη ώση ανόδου	D_1+F	3 000			
A380-861	ICAO_A	1	4	Επιτάχυνση	Μέγιστη ώση ανόδου	D_1		1 057,7	175,1	
A380-861	ICAO_A	1	5	Επιτάχυνση	Μέγιστη ώση ανόδου	D_1		1 257,2	233,9	
A380-861	ICAO_A	1	6	Επιτάχυνση	Μέγιστη ώση ανόδου	ZERO		1 386,8	250	
A380-861	ICAO_A	1	7	Άνοδος	Μέγιστη ώση ανόδου	ZERO	10 000			
A380-861	ICAO_A	2	1	Απογείωση	Μέγιστη ώση απογείωσης	D_1+F				
A380-861	ICAO_A	2	2	Άνοδος	Μέγιστη ώση απογείωσης	D_1+F	1 500			
A380-861	ICAO_A	2	3	Άνοδος	Μέγιστη ώση ανόδου	D_1+F	3 000			
A380-861	ICAO_A	2	4	Επιτάχυνση	Μέγιστη ώση ανόδου	D_1		1 012,5	177,6	
A380-861	ICAO_A	2	5	Επιτάχυνση	Μέγιστη ώση ανόδου	D_1		1 208,1	233,8	
A380-861	ICAO_A	2	6	Επιτάχυνση	Μέγιστη ώση ανόδου	ZERO		1 339,4	250	

▼**M2**

ACFTID	Profile_ID (Προφίλ αναχώρησης)	Μήκος καλυπτόμενης διαδρομής	Αριθμός σταδίου	Είδος σταδίου	Μέγεθος ώσης	Flap_ID (Θέση πτερυγίων καμπυλότητας)	Οροφή ανόδου (ft)	Ρυθμός ανόδου (ft/min)	Διακριβωμένη ταχύτητα αέρα στην οροφή ανόδου (kt)	Ποσοστό επιτάχυνσης (%)
A380-861	ICAO_A	2	7	Άνοδος	Μέγιστη ώση ανόδου	ZERO	10 000			
A380-861	ICAO_A	3	1	Απογείωση	Μέγιστη ώση απογείωσης	D_1+F				
A380-861	ICAO_A	3	2	Άνοδος	Μέγιστη ώση απογείωσης	D_1+F	1 500			
A380-861	ICAO_A	3	3	Άνοδος	Μέγιστη ώση ανόδου	D_1+F	3 000			
A380-861	ICAO_A	3	4	Επιτάχυνση	Μέγιστη ώση ανόδου	D_1		970	180,2	
A380-861	ICAO_A	3	5	Επιτάχυνση	Μέγιστη ώση ανόδου	D_1		1 168,2	234,1	
A380-861	ICAO_A	3	6	Επιτάχυνση	Μέγιστη ώση ανόδου	ZERO		1 293	250	
A380-861	ICAO_A	3	7	Άνοδος	Μέγιστη ώση ανόδου	ZERO	10 000			
A380-861	ICAO_A	4	1	Απογείωση	Μέγιστη ώση απογείωσης	D_1+F				
A380-861	ICAO_A	4	2	Άνοδος	Μέγιστη ώση απογείωσης	D_1+F	1 500			
A380-861	ICAO_A	4	3	Άνοδος	Μέγιστη ώση ανόδου	D_1+F	3 000			
A380-861	ICAO_A	4	4	Επιτάχυνση	Μέγιστη ώση ανόδου	D_1		908,4	184,8	
A380-861	ICAO_A	4	5	Επιτάχυνση	Μέγιστη ώση ανόδου	D_1		1 103,5	235	
A380-861	ICAO_A	4	6	Επιτάχυνση	Μέγιστη ώση ανόδου	ZERO		1 216,8	250	

▼**M2**

ACFTID	Profile_ID (Προφίλ αναχώρησης)	Μήκος καλυπτόμενης διαδρομής	Αριθμός σταδίου	Είδος σταδίου	Μέγεθος ώσης	Flap_ID (Θέση πτερυγίων καμπυλότητας)	Οροφή ανόδου (ft)	Ρυθμός ανόδου (ft/min)	Διακριβωμένη ταχύτητα αέρα στην οροφή ανόδου (kt)	Ποσοστό επιτάχυνσης (%)
A380-861	ICAO_A	4	7	Άνοδος	Μέγιστη ώση ανόδου	ZERO	10 000			
A380-861	ICAO_A	5	1	Απογείωση	Μέγιστη ώση απογείωσης	D_1+F				
A380-861	ICAO_A	5	2	Άνοδος	Μέγιστη ώση απογείωσης	D_1+F	1 500			
A380-861	ICAO_A	5	3	Άνοδος	Μέγιστη ώση ανόδου	D_1+F	3 000			
A380-861	ICAO_A	5	4	Επιτάχυνση	Μέγιστη ώση ανόδου	D_1		847,3	190,5	
A380-861	ICAO_A	5	5	Επιτάχυνση	Μέγιστη ώση ανόδου	D_1		1 029,6	236,5	
A380-861	ICAO_A	5	6	Επιτάχυνση	Μέγιστη ώση ανόδου	ZERO		1 129,4	250	
A380-861	ICAO_A	5	7	Άνοδος	Μέγιστη ώση ανόδου	ZERO	10 000			
A380-861	ICAO_A	6	1	Απογείωση	Μέγιστη ώση απογείωσης	D_1+F				
A380-861	ICAO_A	6	2	Άνοδος	Μέγιστη ώση απογείωσης	D_1+F	1 500			
A380-861	ICAO_A	6	3	Άνοδος	Μέγιστη ώση ανόδου	D_1+F	3 000			
A380-861	ICAO_A	6	4	Επιτάχυνση	Μέγιστη ώση ανόδου	D_1		786	196,7	
A380-861	ICAO_A	6	5	Επιτάχυνση	Μέγιστη ώση ανόδου	D_1		955,7	238,5	
A380-861	ICAO_A	6	6	Επιτάχυνση	Μέγιστη ώση ανόδου	ZERO		1 041,8	250	

▼**M2**

ACFTID	Profile_ID (Προφίλ αναχώρησης)	Μήκος καλυπτόμενης διαδρομής	Αριθμός σταδίου	Είδος σταδίου	Μέγεθος ώσης	Flap_ID (Θέση πτερυγίων καμπυλότητας)	Οροφή ανόδου (ft)	Ρυθμός ανόδου (ft/min)	Διακριβωμένη ταχύτητα αέρα στην οροφή ανόδου (kt)	Ποσοστό επιτάχυνσης (%)
A380-861	ICAO_A	6	7	Άνοδος	Μέγιστη ώση ανόδου	ZERO	10 000			
A380-861	ICAO_A	7	1	Απογείωση	Μέγιστη ώση απογείωσης	D_1+F				
A380-861	ICAO_A	7	2	Άνοδος	Μέγιστη ώση απογείωσης	D_1+F	1 500			
A380-861	ICAO_A	7	3	Άνοδος	Μέγιστη ώση ανόδου	D_1+F	3 000			
A380-861	ICAO_A	7	4	Επιτάχυνση	Μέγιστη ώση ανόδου	D_1		728,1	203,1	
A380-861	ICAO_A	7	5	Επιτάχυνση	Μέγιστη ώση ανόδου	D_1		886,1	241,1	
A380-861	ICAO_A	7	6	Επιτάχυνση	Μέγιστη ώση ανόδου	ZERO		959,3	250	
A380-861	ICAO_A	7	7	Άνοδος	Μέγιστη ώση ανόδου	ZERO	10 000			
A380-861	ICAO_A	8	1	Απογείωση	Μέγιστη ώση απογείωσης	D_1+F				
A380-861	ICAO_A	8	2	Άνοδος	Μέγιστη ώση απογείωσης	D_1+F	1 500			
A380-861	ICAO_A	8	3	Άνοδος	Μέγιστη ώση ανόδου	D_1+F	3 000			
A380-861	ICAO_A	8	4	Επιτάχυνση	Μέγιστη ώση ανόδου	D_1		577,2	220	
A380-861	ICAO_A	8	5	Επιτάχυνση	Μέγιστη ώση ανόδου	D_1		705,6	248,6	
A380-861	ICAO_A	8	6	Επιτάχυνση	Μέγιστη ώση ανόδου	ZERO		749,1	250	

▼**M2**

ACFTID	Profile_ID (Προφίλ αναχώρησης)	Μήκος καλυπτόμενης διαδρομής	Αριθμός σταδίου	Είδος σταδίου	Μέγεθος ώσης	Flap_ID (Θέση πτερυγίων καμπυλότητας)	Οροφή ανόδου (ft)	Ρυθμός ανόδου (ft/min)	Διακριβωμένη ταχύτητα αέρα στην οροφή ανόδου (kt)	Ποσοστό επιτάχυνσης (%)
A380-861	ICAO_A	8	7	Άνοδος	Μέγιστη ώση ανόδου	ZERO	10 000			
A380-861	ICAO_B	1	1	Απογείωση	Μέγιστη ώση απογείωσης	D_1+F				
A380-861	ICAO_B	1	2	Άνοδος	Μέγιστη ώση απογείωσης	D_1+F	1 000			
A380-861	ICAO_B	1	3	Επιτάχυνση	Μέγιστη ώση απογείωσης	D_1+F		1 086	175,1	
A380-861	ICAO_B	1	4	Επιτάχυνση	Μέγιστη ώση απογείωσης	D_1		1 312,2	239,2	
A380-861	ICAO_B	1	5	Άνοδος	Μέγιστη ώση ανόδου	D_1	3 000			
A380-861	ICAO_B	1	6	Επιτάχυνση	Μέγιστη ώση ανόδου	ZERO		1 499,1	250	
A380-861	ICAO_B	1	7	Άνοδος	Μέγιστη ώση ανόδου	ZERO	10 000			
A380-861	ICAO_B	2	1	Απογείωση	Μέγιστη ώση απογείωσης	D_1+F				
A380-861	ICAO_B	2	2	Άνοδος	Μέγιστη ώση απογείωσης	D_1+F	1 000			
A380-861	ICAO_B	2	3	Επιτάχυνση	Μέγιστη ώση απογείωσης	D_1+F		1 056	177,6	
A380-861	ICAO_B	2	4	Επιτάχυνση	Μέγιστη ώση απογείωσης	D_1		1 269	239,2	
A380-861	ICAO_B	2	5	Άνοδος	Μέγιστη ώση ανόδου	D_1	3 000			
A380-861	ICAO_B	2	6	Επιτάχυνση	Μέγιστη ώση ανόδου	ZERO		1 446,4	250	

▼**M2**

ACFTID	Profile_ID (Προφίλ αναχώρησης)	Μήκος καλυπτόμενης διαδρομής	Αριθμός σταδίου	Είδος σταδίου	Μέγεθος ώσης	Flap_ID (Θέση πτερυγίων καμπυλότητας)	Οροφή ανόδου (ft)	Ρυθμός ανόδου (ft/min)	Διακριβωμένη ταχύτητα αέρα στην οροφή ανόδου (kt)	Ποσοστό επιτάχυνσης (%)
A380-861	ICAO_B	2	7	Άνοδος	Μέγιστη ώση ανόδου	ZERO	10 000			
A380-861	ICAO_B	3	1	Απογείωση	Μέγιστη ώση απογείωσης	D_1+F				
A380-861	ICAO_B	3	2	Άνοδος	Μέγιστη ώση απογείωσης	D_1+F	1 000			
A380-861	ICAO_B	3	3	Επιτάχυνση	Μέγιστη ώση απογείωσης	D_1+F		1 024,4	180,2	
A380-861	ICAO_B	3	4	Επιτάχυνση	Μέγιστη ώση απογείωσης	D_1		1 226,4	239,2	
A380-861	ICAO_B	3	5	Άνοδος	Μέγιστη ώση ανόδου	D_1	3 000			
A380-861	ICAO_B	3	6	Επιτάχυνση	Μέγιστη ώση ανόδου	ZERO		1 394,9	250	
A380-861	ICAO_B	3	7	Άνοδος	Μέγιστη ώση ανόδου	ZERO	10 000			
A380-861	ICAO_B	4	1	Απογείωση	Μέγιστη ώση απογείωσης	D_1+F				
A380-861	ICAO_B	4	2	Άνοδος	Μέγιστη ώση απογείωσης	D_1+F	1 000			
A380-861	ICAO_B	4	3	Επιτάχυνση	Μέγιστη ώση απογείωσης	D_1+F		972,5	184,7	
A380-861	ICAO_B	4	4	Επιτάχυνση	Μέγιστη ώση απογείωσης	D_1		1 158,3	239,8	
A380-861	ICAO_B	4	5	Άνοδος	Μέγιστη ώση ανόδου	D_1	3 000			
A380-861	ICAO_B	4	6	Επιτάχυνση	Μέγιστη ώση ανόδου	ZERO		1 315,9	250	

▼**M2**

ACFTID	Profile_ID (Προφίλ αναχώρησης)	Μήκος καλυπτόμενης διαδρομής	Αριθμός σταδίου	Είδος σταδίου	Μέγεθος ώσης	Flap_ID (Θέση πτερυγίων καμπυλότητας)	Οροφή ανόδου (ft)	Ρυθμός ανόδου (ft/min)	Διακριβωμένη ταχύτητα αέρα στην οροφή ανόδου (kt)	Ποσοστό επιτάχυνσης (%)
A380-861	ICAO_B	4	7	Άνοδος	Μέγιστη ώση ανόδου	ZERO	10 000			
A380-861	ICAO_B	5	1	Απογείωση	Μέγιστη ώση απογείωσης	D_1+F				
A380-861	ICAO_B	5	2	Άνοδος	Μέγιστη ώση απογείωσης	D_1+F	1 000			
A380-861	ICAO_B	5	3	Επιτάχυνση	Μέγιστη ώση απογείωσης	D_1+F		906,2	190,4	
A380-861	ICAO_B	5	4	Επιτάχυνση	Μέγιστη ώση απογείωσης	D_1		1 080,4	240,9	
A380-861	ICAO_B	5	5	Άνοδος	Μέγιστη ώση ανόδου	D_1	3 000			
A380-861	ICAO_B	5	6	Επιτάχυνση	Μέγιστη ώση ανόδου	ZERO		1 225,2	250	
A380-861	ICAO_B	5	7	Άνοδος	Μέγιστη ώση ανόδου	ZERO	10 000			
A380-861	ICAO_B	6	1	Απογείωση	Μέγιστη ώση απογείωσης	D_1+F				
A380-861	ICAO_B	6	2	Άνοδος	Μέγιστη ώση απογείωσης	D_1+F	1 000			
A380-861	ICAO_B	6	3	Επιτάχυνση	Μέγιστη ώση απογείωσης	D_1+F		840	196,4	
A380-861	ICAO_B	6	4	Επιτάχυνση	Μέγιστη ώση απογείωσης	D_1		1 003	242,5	
A380-861	ICAO_B	6	5	Άνοδος	Μέγιστη ώση ανόδου	D_1	3 000			
A380-861	ICAO_B	6	6	Επιτάχυνση	Μέγιστη ώση ανόδου	ZERO		1 139	250	

▼**M2**

ACFTID	Profile_ID (Προφίλ αναχώρησης)	Μήκος καλυπτόμενης διαδρομής	Αριθμός σταδίου	Είδος σταδίου	Μέγεθος ώσης	Flap_ID (Θέση πτερυγίων καμπυλότητας)	Οροφή ανόδου (ft)	Ρυθμός ανόδου (ft/min)	Διακριβωμένη ταχύτητα αέρα στην οροφή ανόδου (kt)	Ποσοστό επιτάχυνσης (%)
A380-861	ICAO_B	6	7	Άνοδος	Μέγιστη ώση ανόδου	ZERO	10 000			
A380-861	ICAO_B	7	1	Απογείωση	Μέγιστη ώση απογείωσης	D_1+F				
A380-861	ICAO_B	7	2	Άνοδος	Μέγιστη ώση απογείωσης	D_1+F	1 000			
A380-861	ICAO_B	7	3	Επιτάχυνση	Μέγιστη ώση απογείωσης	D_1+F		777,6	202,7	
A380-861	ICAO_B	7	4	Επιτάχυνση	Μέγιστη ώση απογείωσης	D_1		930,4	244,6	
A380-861	ICAO_B	7	5	Άνοδος	Μέγιστη ώση ανόδου	D_1	3 000			
A380-861	ICAO_B	7	6	Επιτάχυνση	Μέγιστη ώση ανόδου	ZERO		1 063,2	250	
A380-861	ICAO_B	7	7	Άνοδος	Μέγιστη ώση ανόδου	ZERO	10 000			
A380-861	ICAO_B	8	1	Απογείωση	Μέγιστη ώση απογείωσης	D_1+F				
A380-861	ICAO_B	8	2	Άνοδος	Μέγιστη ώση απογείωσης	D_1+F	1 000			
A380-861	ICAO_B	8	3	Επιτάχυνση	Μέγιστη ώση απογείωσης	D_1+F		618,5	220	
A380-861	ICAO_B	8	4	Επιτάχυνση	Μέγιστη ώση απογείωσης	D_1		746,6	251,8	
A380-861	ICAO_B	8	5	Άνοδος	Μέγιστη ώση ανόδου	D_1	3 000			
A380-861	ICAO_B	8	6	Άνοδος	Μέγιστη ώση ανόδου	ZERO	10 000			

▼**M2**

ACFTID	Profile_ID (Προφίλ αναχώρησης)	Μήκος καλυπτόμενης διαδρομής	Αριθμός σταδίου	Είδος σταδίου	Μέγεθος ώσης	Flap_ID (Θέση πτερυγίων καμπυλότητας)	Οροφή ανόδου (ft)	Ρυθμός ανόδου (ft/min)	Διακριβωμένη ταχύτητα αέρα στην οροφή ανόδου (kt)	Ποσοστό επιτάχυνσης (%)
BAC111	DEFAULT	1	1	Απογείωση	Μέγιστη ώση απογείωσης	8				
BAC111	DEFAULT	1	2	Άνοδος	Μέγιστη ώση απογείωσης	8	1 000			
BAC111	DEFAULT	1	3	Επιτάχυνση	Μέγιστη ώση απογείωσης	8		1 942	158	
BAC111	DEFAULT	1	4	Επιτάχυνση	Μέγιστη ώση απογείωσης	INT1		1 457	178	
BAC111	DEFAULT	1	5	Επιτάχυνση	Μέγιστη ώση ανόδου	INT1		1 000	198	
BAC111	DEFAULT	1	6	Άνοδος	Μέγιστη ώση ανόδου	ZERO	3 000			
BAC111	DEFAULT	1	7	Επιτάχυνση	Μέγιστη ώση ανόδου	ZERO		1 000	250	
BAC111	DEFAULT	1	8	Άνοδος	Μέγιστη ώση ανόδου	ZERO	5 500			
BAC111	DEFAULT	1	9	Άνοδος	Μέγιστη ώση ανόδου	ZERO	7 500			
BAC111	DEFAULT	1	10	Άνοδος	Μέγιστη ώση ανόδου	ZERO	10 000			
BAC111	DEFAULT	2	1	Απογείωση	Μέγιστη ώση απογείωσης	8				
BAC111	DEFAULT	2	2	Άνοδος	Μέγιστη ώση απογείωσης	8	1 000			
BAC111	DEFAULT	2	3	Επιτάχυνση	Μέγιστη ώση απογείωσης	8		1 809	163	
BAC111	DEFAULT	2	4	Επιτάχυνση	Μέγιστη ώση απογείωσης	INT1		1 357	183	

▼**M2**

ACFTID	Profile_ID (Προφίλ αναχώρησης)	Μήκος καλυπτόμενης διαδρομής	Αριθμός σταδίου	Είδος σταδίου	Μέγεθος ώσης	Flap_ID (Θέση πτερυγίων καμπυλότητας)	Οροφή ανόδου (ft)	Ρυθμός ανόδου (ft/min)	Διακριβωμένη ταχύτητα αέρα στην οροφή ανόδου (kt)	Ποσοστό επιτάχυνσης (%)
BAC111	DEFAULT	2	5	Επιτάχυνση	Μέγιστη ώση ανόδου	INT1		1 000	203	
BAC111	DEFAULT	2	6	Άνοδος	Μέγιστη ώση ανόδου	ZERO	3 000			
BAC111	DEFAULT	2	7	Επιτάχυνση	Μέγιστη ώση ανόδου	ZERO		1 000	250	
BAC111	DEFAULT	2	8	Άνοδος	Μέγιστη ώση ανόδου	ZERO	5 500			
BAC111	DEFAULT	2	9	Άνοδος	Μέγιστη ώση ανόδου	ZERO	7 500			
BAC111	DEFAULT	2	10	Άνοδος	Μέγιστη ώση ανόδου	ZERO	10 000			
BAC111	DEFAULT	3	1	Απογείωση	Μέγιστη ώση απογείωσης	8				
BAC111	DEFAULT	3	2	Άνοδος	Μέγιστη ώση απογείωσης	8	1 000			
BAC111	DEFAULT	3	3	Επιτάχυνση	Μέγιστη ώση απογείωσης	8		1 665	169	
BAC111	DEFAULT	3	4	Επιτάχυνση	Μέγιστη ώση απογείωσης	INT1		1 249	189	
BAC111	DEFAULT	3	5	Επιτάχυνση	Μέγιστη ώση ανόδου	INT1		1 000	209	
BAC111	DEFAULT	3	6	Άνοδος	Μέγιστη ώση ανόδου	ZERO	3 000			
BAC111	DEFAULT	3	7	Επιτάχυνση	Μέγιστη ώση ανόδου	ZERO		1 000	250	

▼**M2**

ACFTID	Profile_ID (Προφίλ αναχώρησης)	Μήκος καλυπτόμενης διαδρομής	Αριθμός σταδίου	Είδος σταδίου	Μέγεθος ώσης	Flap_ID (Θέση πτερυγίων καμπυλότητας)	Οροφή ανόδου (ft)	Ρυθμός ανόδου (ft/min)	Διακριβωμένη ταχύτητα αέρα στην οροφή ανόδου (kt)	Ποσοστό επιτάχυνσης (%)
BAC111	DEFAULT	3	8	Άνοδος	Μέγιστη ώση ανόδου	ZERO	5 500			
BAC111	DEFAULT	3	9	Άνοδος	Μέγιστη ώση ανόδου	ZERO	7 500			
BAC111	DEFAULT	3	10	Άνοδος	Μέγιστη ώση ανόδου	ZERO	10 000			
BAE146	DEFAULT	1	1	Απογείωση	Μέγιστη ώση απογείωσης	18				
BAE146	DEFAULT	1	2	Άνοδος	Μέγιστη ώση απογείωσης	18	1 000			
BAE146	DEFAULT	1	3	Επιτάχυνση	Μέγιστη ώση απογείωσης	18		970	171	
BAE146	DEFAULT	1	4	Επιτάχυνση	Μέγιστη ώση ανόδου	ZERO		900	201	
BAE146	DEFAULT	1	5	Άνοδος	Μέγιστη ώση ανόδου	ZERO	3 000			
BAE146	DEFAULT	1	6	Επιτάχυνση	Μέγιστη ώση ανόδου	ZERO		900	250	
BAE146	DEFAULT	1	7	Άνοδος	Μέγιστη ώση ανόδου	ZERO	5 500			
BAE146	DEFAULT	1	8	Άνοδος	Μέγιστη ώση ανόδου	ZERO	7 500			
BAE146	DEFAULT	1	9	Άνοδος	Μέγιστη ώση ανόδου	ZERO	10 000			
BAE146	DEFAULT	2	1	Απογείωση	Μέγιστη ώση απογείωσης	18				

▼**M2**

ACFTID	Profile_ID (Προφίλ αναχώρησης)	Μήκος καλυπτόμενης διαδρομής	Αριθμός σταδίου	Είδος σταδίου	Μέγεθος ώσης	Flap_ID (Θέση πτερυγίων καμπυλότητας)	Οροφή ανόδου (ft)	Ρυθμός ανόδου (ft/min)	Διακριβωμένη ταχύτητα αέρα στην οροφή ανόδου (kt)	Ποσοστό επιτάχυνσης (%)
BAE146	DEFAULT	2	2	Άνοδος	Μέγιστη ώση απογείωσης	18	1 000			
BAE146	DEFAULT	2	3	Επιτάχυνση	Μέγιστη ώση απογείωσης	18		801	178	
BAE146	DEFAULT	2	4	Επιτάχυνση	Μέγιστη ώση ανόδου	ZERO		750	208	
BAE146	DEFAULT	2	5	Άνοδος	Μέγιστη ώση ανόδου	ZERO	3 000			
BAE146	DEFAULT	2	6	Επιτάχυνση	Μέγιστη ώση ανόδου	ZERO		750	250	
BAE146	DEFAULT	2	7	Άνοδος	Μέγιστη ώση ανόδου	ZERO	5 500			
BAE146	DEFAULT	2	8	Άνοδος	Μέγιστη ώση ανόδου	ZERO	7 500			
BAE146	DEFAULT	2	9	Άνοδος	Μέγιστη ώση ανόδου	ZERO	10 000			
BAE146	DEFAULT	3	1	Απογείωση	Μέγιστη ώση απογείωσης	18				
BAE146	DEFAULT	3	2	Άνοδος	Μέγιστη ώση απογείωσης	18	1 000			
BAE146	DEFAULT	3	3	Επιτάχυνση	Μέγιστη ώση απογείωσης	18		671	184	
BAE146	DEFAULT	3	4	Επιτάχυνση	Μέγιστη ώση ανόδου	ZERO		500	214	
BAE146	DEFAULT	3	5	Άνοδος	Μέγιστη ώση ανόδου	ZERO	3 000			

▼**M2**

ACFTID	Profile_ID (Προφίλ αναχώρησης)	Μήκος καλυπτόμενης διαδρομής	Αριθμός σταδίου	Είδος σταδίου	Μέγεθος ώσης	Flap_ID (Θέση πτερυγίων καμπυλότητας)	Οροφή ανόδου (ft)	Ρυθμός ανόδου (ft/min)	Διακριβωμένη ταχύτητα αέρα στην οροφή ανόδου (kt)	Ποσοστό επιτάχυνσης (%)
BAE146	DEFAULT	3	6	Επιτάχυνση	Μέγιστη ώση ανόδου	ZERO		500	250	
BAE146	DEFAULT	3	7	Άνοδος	Μέγιστη ώση ανόδου	ZERO	5 500			
BAE146	DEFAULT	3	8	Άνοδος	Μέγιστη ώση ανόδου	ZERO	7 500			
BAE146	DEFAULT	3	9	Άνοδος	Μέγιστη ώση ανόδου	ZERO	10 000			
BAE300	DEFAULT	1	1	Απογείωση	Μέγιστη ώση απογείωσης	18				
BAE300	DEFAULT	1	2	Άνοδος	Μέγιστη ώση απογείωσης	18	1 000			
BAE300	DEFAULT	1	3	Επιτάχυνση	Μέγιστη ώση απογείωσης	18		920	176	
BAE300	DEFAULT	1	4	Επιτάχυνση	Μέγιστη ώση ανόδου	ZERO		900	206	
BAE300	DEFAULT	1	5	Άνοδος	Μέγιστη ώση ανόδου	ZERO	3 000			
BAE300	DEFAULT	1	6	Επιτάχυνση	Μέγιστη ώση ανόδου	ZERO		900	250	
BAE300	DEFAULT	1	7	Άνοδος	Μέγιστη ώση ανόδου	ZERO	5 500			
BAE300	DEFAULT	1	8	Άνοδος	Μέγιστη ώση ανόδου	ZERO	7 500			
BAE300	DEFAULT	1	9	Άνοδος	Μέγιστη ώση ανόδου	ZERO	10 000			

▼**M2**

ACFTID	Profile_ID (Προφίλ αναχώρησης)	Μήκος καλυπτόμενης διαδρομής	Αριθμός σταδίου	Είδος σταδίου	Μέγεθος ώσης	Flap_ID (Θέση πτερυγίων καμπυλότητας)	Οροφή ανόδου (ft)	Ρυθμός ανόδου (ft/min)	Διακριβωμένη ταχύτητα αέρα στην οροφή ανόδου (kt)	Ποσοστό επιτάχυνσης (%)
BAE300	DEFAULT	2	1	Απογείωση	Μέγιστη ώση απογείωσης	18				
BAE300	DEFAULT	2	2	Άνοδος	Μέγιστη ώση απογείωσης	18	1 000			
BAE300	DEFAULT	2	3	Επιτάχυνση	Μέγιστη ώση απογείωσης	18		762	183	
BAE300	DEFAULT	2	4	Επιτάχυνση	Μέγιστη ώση ανόδου	ZERO		750	213	
BAE300	DEFAULT	2	5	Άνοδος	Μέγιστη ώση ανόδου	ZERO	3 000			
BAE300	DEFAULT	2	6	Επιτάχυνση	Μέγιστη ώση ανόδου	ZERO		750	250	
BAE300	DEFAULT	2	7	Άνοδος	Μέγιστη ώση ανόδου	ZERO	5 500			
BAE300	DEFAULT	2	8	Άνοδος	Μέγιστη ώση ανόδου	ZERO	7 500			
BAE300	DEFAULT	2	9	Άνοδος	Μέγιστη ώση ανόδου	ZERO	10 000			
BAE300	DEFAULT	3	1	Απογείωση	Μέγιστη ώση απογείωσης	18				
BAE300	DEFAULT	3	2	Άνοδος	Μέγιστη ώση απογείωσης	18	1 000			
BAE300	DEFAULT	3	3	Επιτάχυνση	Μέγιστη ώση απογείωσης	18		622	189	
BAE300	DEFAULT	3	4	Επιτάχυνση	Μέγιστη ώση ανόδου	ZERO		500	219	

▼**M2**

ACFTID	Profile_ID (Προφίλ αναχώρησης)	Μήκος καλυπτόμενης διαδρομής	Αριθμός σταδίου	Είδος σταδίου	Μέγεθος ώσης	Flap_ID (Θέση πτερυγίων καμπυλότητας)	Οροφή ανόδου (ft)	Ρυθμός ανόδου (ft/min)	Διακριβωμένη ταχύτητα αέρα στην οροφή ανόδου (kt)	Ποσοστό επιτάχυνσης (%)
BAE300	DEFAULT	3	5	Άνοδος	Μέγιστη ώση ανόδου	ZERO	3 000			
BAE300	DEFAULT	3	6	Επιτάχυνση	Μέγιστη ώση ανόδου	ZERO		500	250	
BAE300	DEFAULT	3	7	Άνοδος	Μέγιστη ώση ανόδου	ZERO	5 500			
BAE300	DEFAULT	3	8	Άνοδος	Μέγιστη ώση ανόδου	ZERO	7 500			
BAE300	DEFAULT	3	9	Άνοδος	Μέγιστη ώση ανόδου	ZERO	10 000			
BEC58P	DEFAULT	1	1	Απογείωση	Μέγιστη ώση απογείωσης	TO				
BEC58P	DEFAULT	1	2	Επιτάχυνση	Μέγιστη ώση απογείωσης	TO		1 040	115	
BEC58P	DEFAULT	1	3	Άνοδος	Μέγιστη ώση απογείωσης	TO	1 000			
BEC58P	DEFAULT	1	4	Επιτάχυνση	Μέγιστη ώση απογείωσης	TO		1 040	130	
BEC58P	DEFAULT	1	5	Άνοδος	Μέγιστη ώση ανόδου	ZERO	3 000			
BEC58P	DEFAULT	1	6	Άνοδος	Μέγιστη ώση ανόδου	ZERO	5 500			
BEC58P	DEFAULT	1	7	Άνοδος	Μέγιστη ώση ανόδου	ZERO	7 500			
BEC58P	DEFAULT	1	8	Άνοδος	Μέγιστη ώση ανόδου	ZERO	10 000			

▼**M2**

ACFTID	Profile_ID (Προφίλ αναχώρησης)	Μήκος καλυπτόμενης διαδρομής	Αριθμός σταδίου	Είδος σταδίου	Μέγεθος ώσης	Flap_ID (Θέση πτερυγίων καμπυλότητας)	Οροφή ανόδου (ft)	Ρυθμός ανόδου (ft/min)	Διακριβωμένη ταχύτητα αέρα στην οροφή ανόδου (kt)	Ποσοστό επιτάχυνσης (%)
CIT3	DEFAULT	1	1	Απογείωση	Μέγιστη ώση απογείωσης	20				
CIT3	DEFAULT	1	2	Επιτάχυνση	Μέγιστη ώση απογείωσης	20		1 146	149	
CIT3	DEFAULT	1	3	Άνοδος	Μέγιστη ώση απογείωσης	20	1 500			
CIT3	DEFAULT	1	4	Επιτάχυνση	Μέγιστη ώση απογείωσης	10		1 146	174	
CIT3	DEFAULT	1	5	Άνοδος	Μέγιστη ώση ανόδου	ZERO	3 000			
CIT3	DEFAULT	1	6	Επιτάχυνση	Μέγιστη ώση ανόδου	ZERO		1 503	250	
CIT3	DEFAULT	1	7	Άνοδος	Μέγιστη ώση ανόδου	ZERO	5 500			
CIT3	DEFAULT	1	8	Άνοδος	Μέγιστη ώση ανόδου	ZERO	7 500			
CIT3	DEFAULT	1	9	Άνοδος	Μέγιστη ώση ανόδου	ZERO	10 000			
CL600	DEFAULT	1	1	Απογείωση	Μέγιστη ώση απογείωσης	20				
CL600	DEFAULT	1	2	Επιτάχυνση	Μέγιστη ώση απογείωσης	20		1 554	163	
CL600	DEFAULT	1	3	Άνοδος	Μέγιστη ώση απογείωσης	20	1 500			
CL600	DEFAULT	1	4	Επιτάχυνση	Μέγιστη ώση απογείωσης	10		1 554	200	
CL600	DEFAULT	1	5	Άνοδος	Μέγιστη ώση ανόδου	ZERO	3 000			

▼**M2**

ACFTID	Profile_ID (Προφίλ αναχώρησης)	Μήκος καλυπτόμενης διαδρομής	Αριθμός σταδίου	Είδος σταδίου	Μέγεθος ώσης	Flap_ID (Θέση πτερυγίων καμπυλότητας)	Οροφή ανόδου (ft)	Ρυθμός ανόδου (ft/min)	Διακριβωμένη ταχύτητα αέρα στην οροφή ανόδου (kt)	Ποσοστό επιτάχυνσης (%)
CL600	DEFAULT	1	6	Επιτάχυνση	Μέγιστη ώση ανόδου	ZERO		1 771	250	
CL600	DEFAULT	1	7	Άνοδος	Μέγιστη ώση ανόδου	ZERO	5 500			
CL600	DEFAULT	1	8	Άνοδος	Μέγιστη ώση ανόδου	ZERO	7 500			
CL600	DEFAULT	1	9	Άνοδος	Μέγιστη ώση ανόδου	ZERO	10 000			
CL601	DEFAULT	1	1	Απογείωση	Μέγιστη ώση απογείωσης	20				
CL601	DEFAULT	1	2	Επιτάχυνση	Μέγιστη ώση απογείωσης	20		1 673	177	
CL601	DEFAULT	1	3	Άνοδος	Μέγιστη ώση απογείωσης	20	1 500			
CL601	DEFAULT	1	4	Επιτάχυνση	Μέγιστη ώση απογείωσης	10		1 673	200	
CL601	DEFAULT	1	5	Άνοδος	Μέγιστη ώση ανόδου	ZERO	3 000			
CL601	DEFAULT	1	6	Επιτάχυνση	Μέγιστη ώση ανόδου	ZERO		1 724	250	
CL601	DEFAULT	1	7	Άνοδος	Μέγιστη ώση ανόδου	ZERO	5 500			
CL601	DEFAULT	1	8	Άνοδος	Μέγιστη ώση ανόδου	ZERO	7 500			
CL601	DEFAULT	1	9	Άνοδος	Μέγιστη ώση ανόδου	ZERO	10 000			

▼**M2**

ACFTID	Profile_ID (Προφίλ αναχώρησης)	Μήκος καλυπτόμενης διαδρομής	Αριθμός σταδίου	Είδος σταδίου	Μέγεθος ώσης	Flap_ID (Θέση πτερυγίων καμπυλότητας)	Οροφή ανόδου (ft)	Ρυθμός ανόδου (ft/min)	Διακριβωμένη ταχύτητα αέρα στην οροφή ανόδου (kt)	Ποσοστό επιτάχυνσης (%)
CNA172	DEFAULT	1	1	Απογείωση	Μέγιστη ώση απογείωσης	ZERO-C				
CNA172	DEFAULT	1	2	Επιτάχυνση	Μέγιστη ώση απογείωσης	ZERO-C		500	75	
CNA172	DEFAULT	1	3	Άνοδος	Μέγιστη ώση απογείωσης	ZERO-C	1 000			
CNA172	DEFAULT	1	4	Επιτάχυνση	Μέγιστη ώση απογείωσης	ZERO-C		500	80	
CNA172	DEFAULT	1	5	Άνοδος	Μέγιστη ώση ανόδου	ZERO-C	3 000			
CNA172	DEFAULT	1	6	Άνοδος	Μέγιστη ώση ανόδου	ZERO-C	5 000			
CNA172	DEFAULT	1	7	Άνοδος	Μέγιστη ώση ανόδου	ZERO-C	8 000			
CNA182	DEFAULT	1	1	Απογείωση	Μέγιστη ώση απογείωσης	F-20D				
CNA182	DEFAULT	1	2	Επιτάχυνση	Μέγιστη ώση απογείωσης	F-20D		500	80	
CNA182	DEFAULT	1	3	Άνοδος	Μέγιστη ώση απογείωσης	ZERO	1 000			
CNA182	DEFAULT	1	4	Επιτάχυνση	Μέγιστη ώση απογείωσης	ZERO		500	85	
CNA182	DEFAULT	1	5	Άνοδος	Μέγιστη ώση ανόδου	ZERO	3 000			
CNA182	DEFAULT	1	6	Άνοδος	Μέγιστη ώση ανόδου	ZERO	5 000			
CNA182	DEFAULT	1	7	Άνοδος	Μέγιστη ώση ανόδου	ZERO	8 000			

▼**M2**

ACFTID	Profile_ID (Προφίλ αναχώρησης)	Μήκος καλυπτόμενης διαδρομής	Αριθμός σταδίου	Είδος σταδίου	Μέγεθος ώσης	Flap_ID (Θέση πτερυγίων καμπυλότητας)	Οροφή ανόδου (ft)	Ρυθμός ανόδου (ft/min)	Διακριβωμένη ταχύτητα αέρα στην οροφή ανόδου (kt)	Ποσοστό επιτάχυνσης (%)
CNA182	DEFAULT	1	8	Άνοδος	Μέγιστη ώση ανόδου	ZERO	10 000			
CNA208	DEFAULT	1	1	Απογείωση	Μέγιστη ώση απογείωσης	F-20D				
CNA208	DEFAULT	1	2	Επιτάχυνση	Μέγιστη ώση απογείωσης	F-20D		915	104	
CNA208	DEFAULT	1	3	Άνοδος	Μέγιστη ώση απογείωσης	ZERO	1 000			
CNA208	DEFAULT	1	4	Επιτάχυνση	Μέγιστη ώση ανόδου	ZERO		846	115	
CNA208	DEFAULT	1	5	Άνοδος	Μέγιστη ώση ανόδου	ZERO	2 000			
CNA208	DEFAULT	1	6	Άνοδος	Μέγιστη ώση ανόδου	ZERO	4 000			
CNA208	DEFAULT	1	7	Άνοδος	Μέγιστη ώση ανόδου	ZERO	6 000			
CNA208	DEFAULT	1	8	Άνοδος	Μέγιστη ώση ανόδου	ZERO	8 000			
CNA208	DEFAULT	1	9	Άνοδος	Μέγιστη ώση ανόδου	ZERO	10 000			
CNA441	DEFAULT	1	1	Απογείωση	Μέγιστη ώση απογείωσης	TO				
CNA441	DEFAULT	1	2	Επιτάχυνση	Μέγιστη ώση απογείωσης	TO		1 216	120	
CNA441	DEFAULT	1	3	Επιτάχυνση	Μέγιστη ώση απογείωσης	ZERO		1 216	140	
CNA441	DEFAULT	1	4	Άνοδος	Μέγιστη ώση απογείωσης	ZERO	3 000			

▼**M2**

ACFTID	Profile_ID (Προφίλ αναχώρησης)	Μήκος καλυπτόμενης διαδρομής	Αριθμός σταδίου	Είδος σταδίου	Μέγεθος ώσης	Flap_ID (Θέση πτερυγίων καμπυλότητας)	Οροφή ανόδου (ft)	Ρυθμός ανόδου (ft/min)	Διακριβωμένη ταχύτητα αέρα στην οροφή ανόδου (kt)	Ποσοστό επιτάχυνσης (%)
CNA441	DEFAULT	1	5	Άνοδος	Μέγιστη ώση ανόδου	ZERO	5 500			
CNA441	DEFAULT	1	6	Άνοδος	Μέγιστη ώση ανόδου	ZERO	7 500			
CNA441	DEFAULT	1	7	Άνοδος	Μέγιστη ώση ανόδου	ZERO	10 000			
CNA500	DEFAULT	1	1	Απογείωση	Μέγιστη ώση απογείωσης	12				
CNA500	DEFAULT	1	2	Επιτάχυνση	Μέγιστη ώση απογείωσης	12		997	131	
CNA500	DEFAULT	1	3	Άνοδος	Μέγιστη ώση απογείωσης	12	1 500			
CNA500	DEFAULT	1	4	Επιτάχυνση	Μέγιστη ώση απογείωσης	1		997	200	
CNA500	DEFAULT	1	5	Άνοδος	Μέγιστη ώση ανόδου	ZERO	3 000			
CNA500	DEFAULT	1	6	Επιτάχυνση	Μέγιστη ώση ανόδου	ZERO		1 459	250	
CNA500	DEFAULT	1	7	Άνοδος	Μέγιστη ώση ανόδου	ZERO	5 500			
CNA500	DEFAULT	1	8	Άνοδος	Μέγιστη ώση ανόδου	ZERO	7 500			
CNA500	DEFAULT	1	9	Άνοδος	Μέγιστη ώση ανόδου	ZERO	10 000			
CNA510	DEFAULT	1	1	Απογείωση	Μέγιστη ώση απογείωσης	D_15				
CNA510	DEFAULT	1	2	Άνοδος	Μέγιστη ώση απογείωσης	D_15	535			

▼**M2**

ACFTID	Profile_ID (Προφίλ αναχώρησης)	Μήκος καλυπτόμενης διαδρομής	Αριθμός σταδίου	Είδος σταδίου	Μέγεθος ώσης	Flap_ID (Θέση πτερυγίων καμπυλότητας)	Οροφή ανόδου (ft)	Ρυθμός ανόδου (ft/min)	Διακριβωμένη ταχύτητα αέρα στην οροφή ανόδου (kt)	Ποσοστό επιτάχυνσης (%)
CNA510	DEFAULT	1	3	Επιτάχυνση	Μέγιστη ώση απογείωσης	D_15		1 500	138,3	
CNA510	DEFAULT	1	4	Άνοδος	Μέγιστη ώση απογείωσης	D_15	1 500			
CNA510	DEFAULT	1	5	Επιτάχυνση	Μέγιστη ώση ανόδου	ZERO_C		1 500	171	
CNA510	DEFAULT	1	6	Άνοδος	Μέγιστη ώση ανόδου	ZERO_C	3 000			
CNA510	DEFAULT	1	7	Επιτάχυνση	Μέγιστη ώση ανόδου	ZERO_C		1 000	250	
CNA510	DEFAULT	1	8	Άνοδος	Μέγιστη ώση ανόδου	ZERO_C	5 500			
CNA510	DEFAULT	1	9	Άνοδος	Μέγιστη ώση ανόδου	ZERO_C	7 500			
CNA510	DEFAULT	1	10	Άνοδος	Μέγιστη ώση ανόδου	ZERO_C	10 000			
CNA510	FLAPS_0	1	1	Απογείωση	Μέγιστη ώση απογείωσης	ZERO_D				
CNA510	FLAPS_0	1	2	Άνοδος	Μέγιστη ώση απογείωσης	ZERO_D	601			
CNA510	FLAPS_0	1	3	Επιτάχυνση	Μέγιστη ώση απογείωσης	ZERO_D		1 500	138,3	
CNA510	FLAPS_0	1	4	Άνοδος	Μέγιστη ώση απογείωσης	ZERO_D	1 500			
CNA510	FLAPS_0	1	5	Επιτάχυνση	Μέγιστη ώση ανόδου	ZERO_C		1 500	171	
CNA510	FLAPS_0	1	6	Άνοδος	Μέγιστη ώση ανόδου	ZERO_C	3 000			

▼**M2**

ACFTID	Profile_ID (Προφίλ αναχώρησης)	Μήκος καλυπτόμενης διαδρομής	Αριθμός σταδίου	Είδος σταδίου	Μέγεθος ώσης	Flap_ID (Θέση πτερυγίων καμπυλότητας)	Οροφή ανόδου (ft)	Ρυθμός ανόδου (ft/min)	Διακριβωμένη ταχύτητα αέρα στην οροφή ανόδου (kt)	Ποσοστό επιτάχυνσης (%)
CNA510	FLAPS_0	1	7	Επιτάχυνση	Μέγιστη ώση ανόδου	ZERO_C		1 000	250	
CNA510	FLAPS_0	1	8	Άνοδος	Μέγιστη ώση ανόδου	ZERO_C	5 500			
CNA510	FLAPS_0	1	9	Άνοδος	Μέγιστη ώση ανόδου	ZERO_C	7 500			
CNA510	FLAPS_0	1	10	Άνοδος	Μέγιστη ώση ανόδου	ZERO_C	10 000			
CNA510	FLAPS_15	1	1	Απογείωση	Μέγιστη ώση απογείωσης	D_15				
CNA510	FLAPS_15	1	2	Άνοδος	Μέγιστη ώση απογείωσης	D_15	535			
CNA510	FLAPS_15	1	3	Επιτάχυνση	Μέγιστη ώση απογείωσης	D_15		1 500	138,3	
CNA510	FLAPS_15	1	4	Άνοδος	Μέγιστη ώση απογείωσης	D_15	1 500			
CNA510	FLAPS_15	1	5	Επιτάχυνση	Μέγιστη ώση ανόδου	ZERO_C		1 500	171	
CNA510	FLAPS_15	1	6	Άνοδος	Μέγιστη ώση ανόδου	ZERO_C	3 000			
CNA510	FLAPS_15	1	7	Επιτάχυνση	Μέγιστη ώση ανόδου	ZERO_C		1 000	250	
CNA510	FLAPS_15	1	8	Άνοδος	Μέγιστη ώση ανόδου	ZERO_C	5 500			
CNA510	FLAPS_15	1	9	Άνοδος	Μέγιστη ώση ανόδου	ZERO_C	7 500			
CNA510	FLAPS_15	1	10	Άνοδος	Μέγιστη ώση ανόδου	ZERO_C	10 000			

▼**M2**

ACFTID	Profile_ID (Προφίλ αναχώρησης)	Μήκος καλυπτόμενης διαδρομής	Αριθμός σταδίου	Είδος σταδίου	Μέγεθος ώσης	Flap_ID (Θέση πτερυγίων καμπυλότητας)	Οροφή ανόδου (ft)	Ρυθμός ανόδου (ft/min)	Διακριβωμένη ταχύτητα αέρα στην οροφή ανόδου (kt)	Ποσοστό επιτάχυνσης (%)
CNA525C	DEFAULT	1	1	Απογείωση	Μέγιστη ώση απογείωσης	D-15				
CNA525C	DEFAULT	1	2	Άνοδος	Μέγιστη ώση απογείωσης	D-15	482,5			
CNA525C	DEFAULT	1	3	Επιτάχυνση	Μέγιστη ώση απογείωσης	D-15		1 500	140,3	
CNA525C	DEFAULT	1	4	Άνοδος	Μέγιστη ώση απογείωσης	D-15	1 500			
CNA525C	DEFAULT	1	5	Επιτάχυνση	Μέγιστη ώση ανόδου	ZERO_C		1 500	171	
CNA525C	DEFAULT	1	6	Άνοδος	Μέγιστη ώση ανόδου	ZERO_C	3 000			
CNA525C	DEFAULT	1	7	Επιτάχυνση	Μέγιστη ώση ανόδου	ZERO_C		1 000	250	
CNA525C	DEFAULT	1	8	Άνοδος	Μέγιστη ώση ανόδου	ZERO_C	5 500			
CNA525C	DEFAULT	1	9	Άνοδος	Μέγιστη ώση ανόδου	ZERO_C	7 500			
CNA525C	DEFAULT	1	10	Άνοδος	Μέγιστη ώση ανόδου	ZERO_C	10 000			
CNA55B	DEFAULT	1	1	Απογείωση	Μέγιστη ώση απογείωσης	D_15				
CNA55B	DEFAULT	1	2	Άνοδος	Μέγιστη ώση απογείωσης	D_15	379			
CNA55B	DEFAULT	1	3	Επιτάχυνση	Μέγιστη ώση απογείωσης	D_15		1 500	146,5	
CNA55B	DEFAULT	1	4	Άνοδος	Μέγιστη ώση απογείωσης	D_15	1 500			
CNA55B	DEFAULT	1	5	Επιτάχυνση	Μέγιστη ώση ανόδου	ZERO_C		1 500	171,5	

▼**M2**

ACFTID	Profile_ID (Προφίλ αναχώρησης)	Μήκος καλυπτόμενης διαδρομής	Αριθμός σταδίου	Είδος σταδίου	Μέγεθος ώσης	Flap_ID (Θέση πτερυγίων καμπυλότητας)	Οροφή ανόδου (ft)	Ρυθμός ανόδου (ft/min)	Διακριβωμένη ταχύτητα αέρα στην οροφή ανόδου (kt)	Ποσοστό επιτάχυνσης (%)
CNA55B	DEFAULT	1	6	Άνοδος	Μέγιστη ώση ανόδου	ZERO_C	3 000			
CNA55B	DEFAULT	1	7	Επιτάχυνση	Μέγιστη ώση ανόδου	ZERO_C		1 000	250	
CNA55B	DEFAULT	1	8	Άνοδος	Μέγιστη ώση ανόδου	ZERO_C	5 500			
CNA55B	DEFAULT	1	9	Άνοδος	Μέγιστη ώση ανόδου	ZERO_C	7 500			
CNA55B	DEFAULT	1	10	Άνοδος	Μέγιστη ώση ανόδου	ZERO_C	10 000			
CNA55B	FLAPS_0	1	1	Απογείωση	Μέγιστη ώση απογείωσης	ZERO_D				
CNA55B	FLAPS_0	1	2	Άνοδος	Μέγιστη ώση απογείωσης	ZERO_D	420			
CNA55B	FLAPS_0	1	3	Επιτάχυνση	Μέγιστη ώση απογείωσης	ZERO_D		1 500	156	
CNA55B	FLAPS_0	1	4	Άνοδος	Μέγιστη ώση απογείωσης	ZERO_D	1 500			
CNA55B	FLAPS_0	1	5	Επιτάχυνση	Μέγιστη ώση ανόδου	ZERO_C		1 500	181,1	
CNA55B	FLAPS_0	1	6	Άνοδος	Μέγιστη ώση ανόδου	ZERO_C	3 000			
CNA55B	FLAPS_0	1	7	Επιτάχυνση	Μέγιστη ώση ανόδου	ZERO_C		1 000	250	
CNA55B	FLAPS_0	1	8	Άνοδος	Μέγιστη ώση ανόδου	ZERO_C	5 500			
CNA55B	FLAPS_0	1	9	Άνοδος	Μέγιστη ώση ανόδου	ZERO_C	7 500			

▼**M2**

ACFTID	Profile_ID (Προφίλ αναχώρησης)	Μήκος καλυπτόμενης διαδρομής	Αριθμός σταδίου	Είδος σταδίου	Μέγεθος ώσης	Flap_ID (Θέση πτερυγίων καμπυλότητας)	Οροφή ανόδου (ft)	Ρυθμός ανόδου (ft/min)	Διακριβωμένη ταχύτητα αέρα στην οροφή ανόδου (kt)	Ποσοστό επιτάχυνσης (%)
CNA55B	FLAPS_0	1	10	Άνοδος	Μέγιστη ώση ανόδου	ZERO_C	10 000			
CNA55B	FLAPS_15	1	1	Απογείωση	Μέγιστη ώση απογείωσης	D_15				
CNA55B	FLAPS_15	1	2	Άνοδος	Μέγιστη ώση απογείωσης	D_15	379			
CNA55B	FLAPS_15	1	3	Επιτάχυνση	Μέγιστη ώση απογείωσης	D_15		1 500	146,5	
CNA55B	FLAPS_15	1	4	Άνοδος	Μέγιστη ώση απογείωσης	D_15	1 500			
CNA55B	FLAPS_15	1	5	Επιτάχυνση	Μέγιστη ώση ανόδου	ZERO_C		1 500	171,5	
CNA55B	FLAPS_15	1	6	Άνοδος	Μέγιστη ώση ανόδου	ZERO_C	3 000			
CNA55B	FLAPS_15	1	7	Επιτάχυνση	Μέγιστη ώση ανόδου	ZERO_C		1 000	250	
CNA55B	FLAPS_15	1	8	Άνοδος	Μέγιστη ώση ανόδου	ZERO_C	5 500			
CNA55B	FLAPS_15	1	9	Άνοδος	Μέγιστη ώση ανόδου	ZERO_C	7 500			
CNA55B	FLAPS_15	1	10	Άνοδος	Μέγιστη ώση ανόδου	ZERO_C	10 000			
CNA560E	DEFAULT	1	1	Απογείωση	Μέγιστη ώση απογείωσης	15				
CNA560E	DEFAULT	1	2	Άνοδος	Μέγιστη ώση απογείωσης	15	277			
CNA560E	DEFAULT	1	3	Επιτάχυνση	Μέγιστη ώση απογείωσης	15		1 500	161,7	

▼**M2**

ACFTID	Profile_ID (Προφίλ αναχώρησης)	Μήκος καλυπτόμενης διαδρομής	Αριθμός σταδίου	Είδος σταδίου	Μέγεθος ώσης	Flap_ID (Θέση πτερυγίων καμπυλότητας)	Οροφή ανόδου (ft)	Ρυθμός ανόδου (ft/min)	Διακριβωμένη ταχύτητα αέρα στην οροφή ανόδου (kt)	Ποσοστό επιτάχυνσης (%)
CNA560E	DEFAULT	1	4	Άνοδος	Μέγιστη ώση απογείωσης	15	1 500			
CNA560E	DEFAULT	1	5	Επιτάχυνση	Μέγιστη ώση ανόδου	15		1 500	186,7	
CNA560E	DEFAULT	1	6	Άνοδος	Μέγιστη ώση ανόδου	ZERO	3 000			
CNA560E	DEFAULT	1	7	Επιτάχυνση	Μέγιστη ώση ανόδου	ZERO		1 000	250	
CNA560E	DEFAULT	1	8	Άνοδος	Μέγιστη ώση ανόδου	ZERO	5 500			
CNA560E	DEFAULT	1	9	Άνοδος	Μέγιστη ώση ανόδου	ZERO	7 500			
CNA560E	DEFAULT	1	10	Άνοδος	Μέγιστη ώση ανόδου	ZERO	10 000			
CNA560U	DEFAULT	1	1	Απογείωση	Μέγιστη ώση απογείωσης	15				
CNA560U	DEFAULT	1	2	Επιτάχυνση	Μέγιστη ώση απογείωσης	15		1 200	148	
CNA560U	DEFAULT	1	3	Άνοδος	Μέγιστη ώση απογείωσης	15	1 500			
CNA560U	DEFAULT	1	4	Επιτάχυνση	Μέγιστη ώση απογείωσης	ZERO		1 500	175	
CNA560U	DEFAULT	1	5	Άνοδος	Μέγιστη ώση ανόδου	ZERO	3 000			
CNA560U	DEFAULT	1	6	Επιτάχυνση	Μέγιστη ώση ανόδου	ZERO		1 500	250	
CNA560U	DEFAULT	1	7	Άνοδος	Μέγιστη ώση ανόδου	ZERO	5 500			
CNA560U	DEFAULT	1	8	Άνοδος	Μέγιστη ώση ανόδου	ZERO	7 500			

▼**M2**

ACFTID	Profile_ID (Προφίλ αναχώρησης)	Μήκος καλυπτόμενης διαδρομής	Αριθμός σταδίου	Είδος σταδίου	Μέγεθος ώσης	Flap_ID (Θέση πτερυγίων καμπυλότητας)	Οροφή ανόδου (ft)	Ρυθμός ανόδου (ft/min)	Διακριβωμένη ταχύτητα αέρα στην οροφή ανόδου (kt)	Ποσοστό επιτάχυνσης (%)
CNA560U	DEFAULT	1	9	Άνοδος	Μέγιστη ώση ανόδου	ZERO	10 000			
CNA560XL	DEFAULT	1	1	Απογείωση	Μέγιστη ώση απογείωσης	15				
CNA560XL	DEFAULT	1	2	Επιτάχυνση	Μέγιστη ώση απογείωσης	15		1 500	158	
CNA560XL	DEFAULT	1	3	Άνοδος	Μέγιστη ώση απογείωσης	15	1 500			
CNA560XL	DEFAULT	1	4	Επιτάχυνση	Μέγιστη ώση ανόδου	ZERO		1 500	185	
CNA560XL	DEFAULT	1	5	Άνοδος	Μέγιστη ώση ανόδου	ZERO	3 000			
CNA560XL	DEFAULT	1	6	Επιτάχυνση	Μέγιστη ώση ανόδου	ZERO		1 500	250	
CNA560XL	DEFAULT	1	7	Άνοδος	Μέγιστη ώση ανόδου	ZERO	10 000			
CNA680	DEFAULT	1	1	Απογείωση	Μέγιστη ώση απογείωσης	15				
CNA680	DEFAULT	1	2	Άνοδος	Μέγιστη ώση απογείωσης	15	386			
CNA680	DEFAULT	1	3	Επιτάχυνση	Μέγιστη ώση απογείωσης	15		1 000	140,6	
CNA680	DEFAULT	1	4	Άνοδος	Μέγιστη ώση απογείωσης	15	1 500			
CNA680	DEFAULT	1	5	Επιτάχυνση	Μέγιστη ώση ανόδου	15		1 500	175	
CNA680	DEFAULT	1	6	Άνοδος	Μέγιστη ώση ανόδου	ZERO	3 000			
CNA680	DEFAULT	1	7	Επιτάχυνση	Μέγιστη ώση ανόδου	ZERO		1 500	250	

▼**M2**

ACFTID	Profile_ID (Προφίλ αναχώρησης)	Μήκος καλυπτόμενης διαδρομής	Αριθμός σταδίου	Είδος σταδίου	Μέγεθος ώσης	Flap_ID (Θέση πτερυγίων καμπυλότητας)	Οροφή ανόδου (ft)	Ρυθμός ανόδου (ft/min)	Διακριβωμένη ταχύτητα αέρα στην οροφή ανόδου (kt)	Ποσοστό επιτάχυνσης (%)
CNA680	DEFAULT	1	8	Άνοδος	Μέγιστη ώση ανόδου	ZERO	5 500			
CNA680	DEFAULT	1	9	Άνοδος	Μέγιστη ώση ανόδου	ZERO	7 500			
CNA680	DEFAULT	1	10	Άνοδος	Μέγιστη ώση ανόδου	ZERO	10 000			
CNA750	DEFAULT	1	1	Απογείωση	Μέγιστη ώση απογείωσης	15				
CNA750	DEFAULT	1	2	Άνοδος	Μέγιστη ώση απογείωσης	15	277			
CNA750	DEFAULT	1	3	Επιτάχυνση	Μέγιστη ώση απογείωσης	15		1 500	161,7	
CNA750	DEFAULT	1	4	Άνοδος	Μέγιστη ώση απογείωσης	15	1 500			
CNA750	DEFAULT	1	5	Επιτάχυνση	Μέγιστη ώση ανόδου	15		1 500	186,7	
CNA750	DEFAULT	1	6	Άνοδος	Μέγιστη ώση ανόδου	ZERO	3 000			
CNA750	DEFAULT	1	7	Επιτάχυνση	Μέγιστη ώση ανόδου	ZERO		1 000	250	
CNA750	DEFAULT	1	8	Άνοδος	Μέγιστη ώση ανόδου	ZERO	5 500			
CNA750	DEFAULT	1	9	Άνοδος	Μέγιστη ώση ανόδου	ZERO	7 500			
CNA750	DEFAULT	1	10	Άνοδος	Μέγιστη ώση ανόδου	ZERO	10 000			
CNA750	FLAP_15	1	1	Απογείωση	Μέγιστη ώση απογείωσης	15				
CNA750	FLAP_15	1	2	Άνοδος	Μέγιστη ώση απογείωσης	15	277			

▼**M2**

ACFTID	Profile_ID (Προφίλ αναχώρησης)	Μήκος καλυπτόμενης διαδρομής	Αριθμός σταδίου	Είδος σταδίου	Μέγεθος ώσης	Flap_ID (Θέση πτερυγίων καμπυλότητας)	Οροφή ανόδου (ft)	Ρυθμός ανόδου (ft/min)	Διακριβωμένη ταχύτητα αέρα στην οροφή ανόδου (kt)	Ποσοστό επιτάχυνσης (%)
CNA750	FLAP_15	1	3	Επιτάχυνση	Μέγιστη ώση απογείωσης	15		1 500	161,7	
CNA750	FLAP_15	1	4	Άνοδος	Μέγιστη ώση απογείωσης	15	1 500			
CNA750	FLAP_15	1	5	Επιτάχυνση	Μέγιστη ώση ανόδου	15		1 500	186,7	
CNA750	FLAP_15	1	6	Άνοδος	Μέγιστη ώση ανόδου	ZERO	3 000			
CNA750	FLAP_15	1	7	Επιτάχυνση	Μέγιστη ώση ανόδου	ZERO		1 000	250	
CNA750	FLAP_15	1	8	Άνοδος	Μέγιστη ώση ανόδου	ZERO	5 500			
CNA750	FLAP_15	1	9	Άνοδος	Μέγιστη ώση ανόδου	ZERO	7 500			
CNA750	FLAP_15	1	10	Άνοδος	Μέγιστη ώση ανόδου	ZERO	10 000			
CNA750	FLAP_5	1	1	Απογείωση	Μέγιστη ώση απογείωσης	5				
CNA750	FLAP_5	1	2	Άνοδος	Μέγιστη ώση απογείωσης	5	285			
CNA750	FLAP_5	1	3	Επιτάχυνση	Μέγιστη ώση απογείωσης	5		1 500	168,9	
CNA750	FLAP_5	1	4	Άνοδος	Μέγιστη ώση απογείωσης	5	1 500			
CNA750	FLAP_5	1	5	Επιτάχυνση	Μέγιστη ώση ανόδου	5		1 500	193,9	
CNA750	FLAP_5	1	6	Άνοδος	Μέγιστη ώση ανόδου	ZERO	3 000			
CNA750	FLAP_5	1	7	Επιτάχυνση	Μέγιστη ώση ανόδου	ZERO		1 000	250	

▼**M2**

ACFTID	Profile_ID (Προφίλ αναχώρησης)	Μήκος καλυπτόμενης διαδρομής	Αριθμός σταδίου	Είδος σταδίου	Μέγεθος ώσης	Flap_ID (Θέση πτερυγίων καμπυλότητας)	Οροφή ανόδου (ft)	Ρυθμός ανόδου (ft/min)	Διακριβωμένη ταχύτητα αέρα στην οροφή ανόδου (kt)	Ποσοστό επιτάχυνσης (%)
CNA750	FLAP_5	1	8	Άνοδος	Μέγιστη ώση ανόδου	ZERO	5 500			
CNA750	FLAP_5	1	9	Άνοδος	Μέγιστη ώση ανόδου	ZERO	7 500			
CNA750	FLAP_5	1	10	Άνοδος	Μέγιστη ώση ανόδου	ZERO	10 000			
CRJ9-ER	DEFAULT	1	1	Απογείωση	Μέγιστη ώση απογείωσης	D-8				
CRJ9-ER	DEFAULT	1	2	Άνοδος	Μέγιστη ώση απογείωσης	D-8	595			
CRJ9-ER	DEFAULT	1	3	Άνοδος	Μέγιστη ώση απογείωσης	U-8	1 000			
CRJ9-ER	DEFAULT	1	4	Επιτάχυνση	Μέγιστη ώση ανόδου	0-204		500	204	
CRJ9-ER	DEFAULT	1	5	Άνοδος	Μέγιστη ώση ανόδου	ZERO	3 000			
CRJ9-ER	DEFAULT	1	6	Επιτάχυνση	Μέγιστη ώση ανόδου	0-250		500	250	
CRJ9-ER	DEFAULT	1	7	Άνοδος	Μέγιστη ώση ανόδου	ZERO	10 000			
CRJ9-ER	DEFAULT	2	1	Απογείωση	Μέγιστη ώση απογείωσης	D-8				
CRJ9-ER	DEFAULT	2	2	Άνοδος	Μέγιστη ώση απογείωσης	D-8	555			
CRJ9-ER	DEFAULT	2	3	Άνοδος	Μέγιστη ώση απογείωσης	U-8	1 000			
CRJ9-ER	DEFAULT	2	4	Επιτάχυνση	Μέγιστη ώση ανόδου	0-204		500	204	
CRJ9-ER	DEFAULT	2	5	Άνοδος	Μέγιστη ώση ανόδου	ZERO	3 000			

▼**M2**

ACFTID	Profile_ID (Προφίλ αναχώρησης)	Μήκος καλυπτόμενης διαδρομής	Αριθμός σταδίου	Είδος σταδίου	Μέγεθος ώσης	Flap_ID (Θέση πτερυγίων καμπυλότητας)	Οροφή ανόδου (ft)	Ρυθμός ανόδου (ft/min)	Διακριβωμένη ταχύτητα αέρα στην οροφή ανόδου (kt)	Ποσοστό επιτάχυνσης (%)
CRJ9-ER	DEFAULT	2	6	Επιτάχυνση	Μέγιστη ώση ανόδου	0-250		500	250	
CRJ9-ER	DEFAULT	2	7	Άνοδος	Μέγιστη ώση ανόδου	ZERO	10 000			
CRJ9-ER	DEFAULT	3	1	Απογείωση	Μέγιστη ώση απογείωσης	D-8				
CRJ9-ER	DEFAULT	3	2	Άνοδος	Μέγιστη ώση απογείωσης	D-8	525			
CRJ9-ER	DEFAULT	3	3	Άνοδος	Μέγιστη ώση απογείωσης	U-8	1 000			
CRJ9-ER	DEFAULT	3	4	Επιτάχυνση	Μέγιστη ώση ανόδου	0-204		500	204	
CRJ9-ER	DEFAULT	3	5	Άνοδος	Μέγιστη ώση ανόδου	ZERO	3 000			
CRJ9-ER	DEFAULT	3	6	Επιτάχυνση	Μέγιστη ώση ανόδου	0-250		500	250	
CRJ9-ER	DEFAULT	3	7	Άνοδος	Μέγιστη ώση ανόδου	ZERO	10 000			
CRJ9-ER	DEFAULT	4	1	Απογείωση	Μέγιστη ώση απογείωσης	D-8				
CRJ9-ER	DEFAULT	4	2	Άνοδος	Μέγιστη ώση απογείωσης	D-8	485			
CRJ9-ER	DEFAULT	4	3	Άνοδος	Μέγιστη ώση απογείωσης	U-8	1 000			
CRJ9-ER	DEFAULT	4	4	Επιτάχυνση	Μέγιστη ώση ανόδου	0-204		500	204	
CRJ9-ER	DEFAULT	4	5	Άνοδος	Μέγιστη ώση ανόδου	ZERO	3 000			
CRJ9-ER	DEFAULT	4	6	Επιτάχυνση	Μέγιστη ώση ανόδου	0-250		500	250	

▼**M2**

ACFTID	Profile_ID (Προφίλ αναχώρησης)	Μήκος καλυπτόμενης διαδρομής	Αριθμός σταδίου	Είδος σταδίου	Μέγεθος ώσης	Flap_ID (Θέση πτερυγίων καμπυλότητας)	Οροφή ανόδου (ft)	Ρυθμός ανόδου (ft/min)	Διακριβωμένη ταχύτητα αέρα στην οροφή ανόδου (kt)	Ποσοστό επιτάχυνσης (%)
CRJ9-ER	DEFAULT	4	7	Άνοδος	Μέγιστη ώση ανόδου	ZERO	10 000			
CRJ9-ER	DEFAULT	5	1	Απογείωση	Μέγιστη ώση απογείωσης	D-8				
CRJ9-ER	DEFAULT	5	2	Άνοδος	Μέγιστη ώση απογείωσης	D-8	465			
CRJ9-ER	DEFAULT	5	3	Άνοδος	Μέγιστη ώση απογείωσης	U-8	1 000			
CRJ9-ER	DEFAULT	5	4	Επιτάχυνση	Μέγιστη ώση ανόδου	0-204		500	204	
CRJ9-ER	DEFAULT	5	5	Άνοδος	Μέγιστη ώση ανόδου	0-204	3 000			
CRJ9-ER	DEFAULT	5	6	Επιτάχυνση	Μέγιστη ώση ανόδου	0-250		500	250	
CRJ9-ER	DEFAULT	5	7	Άνοδος	Μέγιστη ώση ανόδου	ZERO	10 000			
CRJ9-ER	ICAO_A	1	1	Απογείωση	Μέγιστη ώση απογείωσης	D-8				
CRJ9-ER	ICAO_A	1	2	Άνοδος	Μέγιστη ώση απογείωσης	D-8	595			
CRJ9-ER	ICAO_A	1	3	Άνοδος	Μέγιστη ώση απογείωσης	U-8	1 500			
CRJ9-ER	ICAO_A	1	4	Άνοδος	Μέγιστη ώση ανόδου	U-8	3 000			
CRJ9-ER	ICAO_A	1	5	Επιτάχυνση	Μέγιστη ώση ανόδου	0-250		500	250	
CRJ9-ER	ICAO_A	1	6	Άνοδος	Μέγιστη ώση ανόδου	ZERO	10 000			
CRJ9-ER	ICAO_A	2	1	Απογείωση	Μέγιστη ώση απογείωσης	D-8				

▼**M2**

ACFTID	Profile_ID (Προφίλ αναχώρησης)	Μήκος καλυπτόμενης διαδρομής	Αριθμός σταδίου	Είδος σταδίου	Μέγεθος ώσης	Flap_ID (Θέση πτερυγίων καμπυλότητας)	Οροφή ανόδου (ft)	Ρυθμός ανόδου (ft/min)	Διακριβωμένη ταχύτητα αέρα στην οροφή ανόδου (kt)	Ποσοστό επιτάχυνσης (%)
CRJ9-ER	ICAO_A	2	2	Άνοδος	Μέγιστη ώση απογείωσης	D-8	555			
CRJ9-ER	ICAO_A	2	3	Άνοδος	Μέγιστη ώση απογείωσης	U-8	1 500			
CRJ9-ER	ICAO_A	2	4	Άνοδος	Μέγιστη ώση ανόδου	U-8	3 000			
CRJ9-ER	ICAO_A	2	5	Επιτάχυνση	Μέγιστη ώση ανόδου	0-250		500	250	
CRJ9-ER	ICAO_A	2	6	Άνοδος	Μέγιστη ώση ανόδου	ZERO	10 000			
CRJ9-ER	ICAO_A	3	1	Απογείωση	Μέγιστη ώση απογείωσης	D-8				
CRJ9-ER	ICAO_A	3	2	Άνοδος	Μέγιστη ώση απογείωσης	D-8	525			
CRJ9-ER	ICAO_A	3	3	Άνοδος	Μέγιστη ώση απογείωσης	U-8	1 500			
CRJ9-ER	ICAO_A	3	4	Άνοδος	Μέγιστη ώση ανόδου	U-8	3 000			
CRJ9-ER	ICAO_A	3	5	Επιτάχυνση	Μέγιστη ώση ανόδου	0-250		500	250	
CRJ9-ER	ICAO_A	3	6	Άνοδος	Μέγιστη ώση ανόδου	ZERO	10 000			
CRJ9-ER	ICAO_A	4	1	Απογείωση	Μέγιστη ώση απογείωσης	D-8				
CRJ9-ER	ICAO_A	4	2	Άνοδος	Μέγιστη ώση απογείωσης	D-8	485			
CRJ9-ER	ICAO_A	4	3	Άνοδος	Μέγιστη ώση απογείωσης	U-8	1 500			
CRJ9-ER	ICAO_A	4	4	Άνοδος	Μέγιστη ώση ανόδου	U-8	3 000			
CRJ9-ER	ICAO_A	4	5	Επιτάχυνση	Μέγιστη ώση ανόδου	0-250		500	250	

▼**M2**

ACFTID	Profile_ID (Προφίλ αναχώρησης)	Μήκος καλυπτόμενης διαδρομής	Αριθμός σταδίου	Είδος σταδίου	Μέγεθος ώσης	Flap_ID (Θέση πτερυγίων καμπυλότητας)	Οροφή ανόδου (ft)	Ρυθμός ανόδου (ft/min)	Διακριβωμένη ταχύτητα αέρα στην οροφή ανόδου (kt)	Ποσοστό επιτάχυνσης (%)
CRJ9-ER	ICAO_A	4	6	Άνοδος	Μέγιστη ώση ανόδου	ZERO	10 000			
CRJ9-ER	ICAO_A	5	1	Απογείωση	Μέγιστη ώση απογείωσης	D-8				
CRJ9-ER	ICAO_A	5	2	Άνοδος	Μέγιστη ώση απογείωσης	D-8	465			
CRJ9-ER	ICAO_A	5	3	Άνοδος	Μέγιστη ώση απογείωσης	U-8	1 500			
CRJ9-ER	ICAO_A	5	4	Άνοδος	Μέγιστη ώση ανόδου	U-8	3 000			
CRJ9-ER	ICAO_A	5	5	Επιτάχυνση	Μέγιστη ώση ανόδου	0-250		500	250	
CRJ9-ER	ICAO_A	5	6	Άνοδος	Μέγιστη ώση ανόδου	ZERO	10 000			
CRJ9-ER	ICAO_B	1	1	Απογείωση	Μέγιστη ώση απογείωσης	D-8				
CRJ9-ER	ICAO_B	1	2	Άνοδος	Μέγιστη ώση απογείωσης	D-8	595			
CRJ9-ER	ICAO_B	1	3	Άνοδος	Μέγιστη ώση απογείωσης	U-8	1 000			
CRJ9-ER	ICAO_B	1	4	Επιτάχυνση	Μέγιστη ώση απογείωσης	0-204		500	204	
CRJ9-ER	ICAO_B	1	5	Άνοδος	Μέγιστη ώση ανόδου	ZERO	3 000			
CRJ9-ER	ICAO_B	1	6	Επιτάχυνση	Μέγιστη ώση ανόδου	0-250		500	250	
CRJ9-ER	ICAO_B	1	7	Άνοδος	Μέγιστη ώση ανόδου	ZERO	10 000			
CRJ9-ER	ICAO_B	2	1	Απογείωση	Μέγιστη ώση απογείωσης	D-8				

▼**M2**

ACFTID	Profile_ID (Προφίλ αναχώρησης)	Μήκος καλυπτόμενης διαδρομής	Αριθμός σταδίου	Είδος σταδίου	Μέγεθος ώσης	Flap_ID (Θέση πτερυγίων καμπυλότητας)	Οροφή ανόδου (ft)	Ρυθμός ανόδου (ft/min)	Διακριβωμένη ταχύτητα αέρα στην οροφή ανόδου (kt)	Ποσοστό επιτάχυνσης (%)
CRJ9-ER	ICAO_B	2	2	Άνοδος	Μέγιστη ώση απογείωσης	D-8	555			
CRJ9-ER	ICAO_B	2	3	Άνοδος	Μέγιστη ώση απογείωσης	U-8	1 000			
CRJ9-ER	ICAO_B	2	4	Επιτάχυνση	Μέγιστη ώση απογείωσης	0-204		500	204	
CRJ9-ER	ICAO_B	2	5	Άνοδος	Μέγιστη ώση ανόδου	ZERO	3 000			
CRJ9-ER	ICAO_B	2	6	Επιτάχυνση	Μέγιστη ώση ανόδου	0-250		500	250	
CRJ9-ER	ICAO_B	2	7	Άνοδος	Μέγιστη ώση ανόδου	ZERO	10 000			
CRJ9-ER	ICAO_B	3	1	Απογείωση	Μέγιστη ώση απογείωσης	D-8				
CRJ9-ER	ICAO_B	3	2	Άνοδος	Μέγιστη ώση απογείωσης	D-8	525			
CRJ9-ER	ICAO_B	3	3	Άνοδος	Μέγιστη ώση απογείωσης	U-8	1 000			
CRJ9-ER	ICAO_B	3	4	Επιτάχυνση	Μέγιστη ώση απογείωσης	0-204		500	204	
CRJ9-ER	ICAO_B	3	5	Άνοδος	Μέγιστη ώση ανόδου	ZERO	3 000			
CRJ9-ER	ICAO_B	3	6	Επιτάχυνση	Μέγιστη ώση ανόδου	0-250		500	250	
CRJ9-ER	ICAO_B	3	7	Άνοδος	Μέγιστη ώση ανόδου	ZERO	10 000			
CRJ9-ER	ICAO_B	4	1	Απογείωση	Μέγιστη ώση απογείωσης	D-8				
CRJ9-ER	ICAO_B	4	2	Άνοδος	Μέγιστη ώση απογείωσης	D-8	485			

▼**M2**

ACFTID	Profile_ID (Προφίλ αναχώρησης)	Μήκος καλυπτόμενης διαδρομής	Αριθμός σταδίου	Είδος σταδίου	Μέγεθος ώσης	Flap_ID (Θέση πτερυγίων καμπυλότητας)	Οροφή ανόδου (ft)	Ρυθμός ανόδου (ft/min)	Διακριβωμένη ταχύτητα αέρα στην οροφή ανόδου (kt)	Ποσοστό επιτάχυνσης (%)
CRJ9-ER	ICAO_B	4	3	Άνοδος	Μέγιστη ώση απογείωσης	U-8	1 000			
CRJ9-ER	ICAO_B	4	4	Επιτάχυνση	Μέγιστη ώση απογείωσης	0-204		500	204	
CRJ9-ER	ICAO_B	4	5	Άνοδος	Μέγιστη ώση ανόδου	ZERO	3 000			
CRJ9-ER	ICAO_B	4	6	Επιτάχυνση	Μέγιστη ώση ανόδου	0-250		500	250	
CRJ9-ER	ICAO_B	4	7	Άνοδος	Μέγιστη ώση ανόδου	ZERO	10 000			
CRJ9-ER	ICAO_B	5	1	Απογείωση	Μέγιστη ώση απογείωσης	D-8				
CRJ9-ER	ICAO_B	5	2	Άνοδος	Μέγιστη ώση απογείωσης	D-8	465			
CRJ9-ER	ICAO_B	5	3	Άνοδος	Μέγιστη ώση απογείωσης	U-8	1 000			
CRJ9-ER	ICAO_B	5	4	Επιτάχυνση	Μέγιστη ώση απογείωσης	0-204		500	204	
CRJ9-ER	ICAO_B	5	5	Άνοδος	Μέγιστη ώση ανόδου	ZERO	3 000			
CRJ9-ER	ICAO_B	5	6	Επιτάχυνση	Μέγιστη ώση ανόδου	0-250		500	250	
CRJ9-ER	ICAO_B	5	7	Άνοδος	Μέγιστη ώση ανόδου	ZERO	10 000			
CRJ9-LR	DEFAULT	1	1	Απογείωση	Μέγιστη ώση απογείωσης	D-8				
CRJ9-LR	DEFAULT	1	2	Άνοδος	Μέγιστη ώση απογείωσης	D-8	615			
CRJ9-LR	DEFAULT	1	3	Άνοδος	Μέγιστη ώση απογείωσης	U-8	1 000			

▼**M2**

ACFTID	Profile_ID (Προφίλ αναχώρησης)	Μήκος καλυπτόμενης διαδρομής	Αριθμός σταδίου	Είδος σταδίου	Μέγεθος ώσης	Flap_ID (Θέση πτερυγίων καμπυλότητας)	Οροφή ανόδου (ft)	Ρυθμός ανόδου (ft/min)	Διακριβωμένη ταχύτητα αέρα στην οροφή ανόδου (kt)	Ποσοστό επιτάχυνσης (%)
CRJ9-LR	DEFAULT	1	4	Επιτάχυνση	Μέγιστη ώση ανόδου	0-204		500	204	
CRJ9-LR	DEFAULT	1	5	Άνοδος	Μέγιστη ώση ανόδου	ZERO	3 000			
CRJ9-LR	DEFAULT	1	6	Επιτάχυνση	Μέγιστη ώση ανόδου	0-250		500	250	
CRJ9-LR	DEFAULT	1	7	Άνοδος	Μέγιστη ώση ανόδου	ZERO	10 000			
CRJ9-LR	DEFAULT	2	1	Απογείωση	Μέγιστη ώση απογείωσης	D-8				
CRJ9-LR	DEFAULT	2	2	Άνοδος	Μέγιστη ώση απογείωσης	D-8	575			
CRJ9-LR	DEFAULT	2	3	Άνοδος	Μέγιστη ώση απογείωσης	U-8	1 000			
CRJ9-LR	DEFAULT	2	4	Επιτάχυνση	Μέγιστη ώση ανόδου	0-204		500	204	
CRJ9-LR	DEFAULT	2	5	Άνοδος	Μέγιστη ώση ανόδου	ZERO	3 000			
CRJ9-LR	DEFAULT	2	6	Επιτάχυνση	Μέγιστη ώση ανόδου	0-250		500	250	
CRJ9-LR	DEFAULT	2	7	Άνοδος	Μέγιστη ώση ανόδου	ZERO	10 000			
CRJ9-LR	DEFAULT	3	1	Απογείωση	Μέγιστη ώση απογείωσης	D-8				
CRJ9-LR	DEFAULT	3	2	Άνοδος	Μέγιστη ώση απογείωσης	D-8	545			
CRJ9-LR	DEFAULT	3	3	Άνοδος	Μέγιστη ώση απογείωσης	U-8	1 000			

▼**M2**

ACFTID	Profile_ID (Προφίλ αναχώρησης)	Μήκος καλυπτόμενης διαδρομής	Αριθμός σταδίου	Είδος σταδίου	Μέγεθος ώσης	Flap_ID (Θέση πτερυγίων καμπυλότητας)	Οροφή ανόδου (ft)	Ρυθμός ανόδου (ft/min)	Διακριβωμένη ταχύτητα αέρα στην οροφή ανόδου (kt)	Ποσοστό επιτάχυνσης (%)
CRJ9-LR	DEFAULT	3	4	Επιτάχυνση	Μέγιστη ώση ανόδου	0-204		500	204	
CRJ9-LR	DEFAULT	3	5	Άνοδος	Μέγιστη ώση ανόδου	0-204	3 000			
CRJ9-LR	DEFAULT	3	6	Επιτάχυνση	Μέγιστη ώση ανόδου	0-250		500	250	
CRJ9-LR	DEFAULT	3	7	Άνοδος	Μέγιστη ώση ανόδου	ZERO	10 000			
CRJ9-LR	DEFAULT	4	1	Απογείωση	Μέγιστη ώση απογείωσης	D-8				
CRJ9-LR	DEFAULT	4	2	Άνοδος	Μέγιστη ώση απογείωσης	D-8	505			
CRJ9-LR	DEFAULT	4	3	Άνοδος	Μέγιστη ώση απογείωσης	U-8	1 000			
CRJ9-LR	DEFAULT	4	4	Επιτάχυνση	Μέγιστη ώση ανόδου	0-204		500	204	
CRJ9-LR	DEFAULT	4	5	Άνοδος	Μέγιστη ώση ανόδου	ZERO	3 000			
CRJ9-LR	DEFAULT	4	6	Επιτάχυνση	Μέγιστη ώση ανόδου	0-250		500	250	
CRJ9-LR	DEFAULT	4	7	Άνοδος	Μέγιστη ώση ανόδου	0-250	10 000			
CRJ9-LR	DEFAULT	5	1	Απογείωση	Μέγιστη ώση απογείωσης	D-8				
CRJ9-LR	DEFAULT	5	2	Άνοδος	Μέγιστη ώση απογείωσης	D-8	455			
CRJ9-LR	DEFAULT	5	3	Άνοδος	Μέγιστη ώση απογείωσης	U-8	1 000			

▼**M2**

ACFTID	Profile_ID (Προφίλ αναχώρησης)	Μήκος καλυπτόμενης διαδρομής	Αριθμός σταδίου	Είδος σταδίου	Μέγεθος ώσης	Flap_ID (Θέση πτερυγίων καμπυλότητας)	Οροφή ανόδου (ft)	Ρυθμός ανόδου (ft/min)	Διακριβωμένη ταχύτητα αέρα στην οροφή ανόδου (kt)	Ποσοστό επιτάχυνσης (%)
CRJ9-LR	DEFAULT	5	4	Επιτάχυνση	Μέγιστη ώση ανόδου	0-204		500	204	
CRJ9-LR	DEFAULT	5	5	Άνοδος	Μέγιστη ώση ανόδου	ZERO	3 000			
CRJ9-LR	DEFAULT	5	6	Επιτάχυνση	Μέγιστη ώση ανόδου	0-250		500	250	
CRJ9-LR	DEFAULT	5	7	Άνοδος	Μέγιστη ώση ανόδου	ZERO	10 000			
CRJ9-LR	ICAO_A	1	1	Απογείωση	Μέγιστη ώση απογείωσης	D-8				
CRJ9-LR	ICAO_A	1	2	Άνοδος	Μέγιστη ώση απογείωσης	D-8	615			
CRJ9-LR	ICAO_A	1	3	Άνοδος	Μέγιστη ώση απογείωσης	U-8	1 500			
CRJ9-LR	ICAO_A	1	4	Άνοδος	Μέγιστη ώση ανόδου	U-8	3 000			
CRJ9-LR	ICAO_A	1	5	Επιτάχυνση	Μέγιστη ώση ανόδου	0-250		500	250	
CRJ9-LR	ICAO_A	1	6	Άνοδος	Μέγιστη ώση ανόδου	ZERO	10 000			
CRJ9-LR	ICAO_A	2	1	Απογείωση	Μέγιστη ώση απογείωσης	D-8				
CRJ9-LR	ICAO_A	2	2	Άνοδος	Μέγιστη ώση απογείωσης	D-8	575			
CRJ9-LR	ICAO_A	2	3	Άνοδος	Μέγιστη ώση απογείωσης	U-8	1 500			
CRJ9-LR	ICAO_A	2	4	Άνοδος	Μέγιστη ώση ανόδου	U-8	3 000			

▼**M2**

ACFTID	Profile_ID (Προφίλ αναχώρησης)	Μήκος καλυπτόμενης διαδρομής	Αριθμός σταδίου	Είδος σταδίου	Μέγεθος ώσης	Flap_ID (Θέση πτερυγίων καμπυλότητας)	Οροφή ανόδου (ft)	Ρυθμός ανόδου (ft/min)	Διακριβωμένη ταχύτητα αέρα στην οροφή ανόδου (kt)	Ποσοστό επιτάχυνσης (%)
CRJ9-LR	ICAO_A	2	5	Επιτάχυνση	Μέγιστη ώση ανόδου	U-8		500	250	
CRJ9-LR	ICAO_A	2	6	Άνοδος	Μέγιστη ώση ανόδου	ZERO	10 000			
CRJ9-LR	ICAO_A	3	1	Απογείωση	Μέγιστη ώση απογείωσης	D-8				
CRJ9-LR	ICAO_A	3	2	Άνοδος	Μέγιστη ώση απογείωσης	D-8	545			
CRJ9-LR	ICAO_A	3	3	Άνοδος	Μέγιστη ώση απογείωσης	U-8	1 500			
CRJ9-LR	ICAO_A	3	4	Άνοδος	Μέγιστη ώση ανόδου	U-8	3 000			
CRJ9-LR	ICAO_A	3	5	Επιτάχυνση	Μέγιστη ώση ανόδου	U-8		500	250	
CRJ9-LR	ICAO_A	3	6	Άνοδος	Μέγιστη ώση ανόδου	ZERO	10 000			
CRJ9-LR	ICAO_A	4	1	Απογείωση	Μέγιστη ώση απογείωσης	D-8				
CRJ9-LR	ICAO_A	4	2	Άνοδος	Μέγιστη ώση απογείωσης	D-8	505			
CRJ9-LR	ICAO_A	4	3	Άνοδος	Μέγιστη ώση απογείωσης	U-8	1 500			
CRJ9-LR	ICAO_A	4	4	Άνοδος	Μέγιστη ώση ανόδου	U-8	3 000			
CRJ9-LR	ICAO_A	4	5	Επιτάχυνση	Μέγιστη ώση ανόδου	U-8		500	250	
CRJ9-LR	ICAO_A	4	6	Άνοδος	Μέγιστη ώση ανόδου	ZERO	10 000			
CRJ9-LR	ICAO_A	5	1	Απογείωση	Μέγιστη ώση απογείωσης	D-8				

▼**M2**

ACFTID	Profile_ID (Προφίλ αναχώρησης)	Μήκος καλυπτόμενης διαδρομής	Αριθμός σταδίου	Είδος σταδίου	Μέγεθος ώσης	Flap_ID (Θέση πτερυγίων καμπυλότητας)	Οροφή ανόδου (ft)	Ρυθμός ανόδου (ft/min)	Διακριβωμένη ταχύτητα αέρα στην οροφή ανόδου (kt)	Ποσοστό επιτάχυνσης (%)
CRJ9-LR	ICAO_A	5	2	Άνοδος	Μέγιστη ώση απογείωσης	D-8	455			
CRJ9-LR	ICAO_A	5	3	Άνοδος	Μέγιστη ώση απογείωσης	U-8	1 500			
CRJ9-LR	ICAO_A	5	4	Άνοδος	Μέγιστη ώση ανόδου	U-8	3 000			
CRJ9-LR	ICAO_A	5	5	Επιτάχυνση	Μέγιστη ώση ανόδου	0-250		500	250	
CRJ9-LR	ICAO_A	5	6	Άνοδος	Μέγιστη ώση ανόδου	ZERO	10 000			
CRJ9-LR	ICAO_B	1	1	Απογείωση	Μέγιστη ώση απογείωσης	D-8				
CRJ9-LR	ICAO_B	1	2	Άνοδος	Μέγιστη ώση απογείωσης	D-8	615			
CRJ9-LR	ICAO_B	1	3	Άνοδος	Μέγιστη ώση απογείωσης	U-8	1 000			
CRJ9-LR	ICAO_B	1	4	Επιτάχυνση	Μέγιστη ώση απογείωσης	0-204		500	204	
CRJ9-LR	ICAO_B	1	5	Άνοδος	Μέγιστη ώση ανόδου	ZERO	3 000			
CRJ9-LR	ICAO_B	1	6	Επιτάχυνση	Μέγιστη ώση ανόδου	0-250		500	250	
CRJ9-LR	ICAO_B	1	7	Άνοδος	Μέγιστη ώση ανόδου	ZERO	10 000			
CRJ9-LR	ICAO_B	2	1	Απογείωση	Μέγιστη ώση απογείωσης	D-8				
CRJ9-LR	ICAO_B	2	2	Άνοδος	Μέγιστη ώση απογείωσης	D-8	575			
CRJ9-LR	ICAO_B	2	3	Άνοδος	Μέγιστη ώση απογείωσης	U-8	1 000			

▼**M2**

ACFTID	Profile_ID (Προφίλ αναχώρησης)	Μήκος καλυπτόμενης διαδρομής	Αριθμός σταδίου	Είδος σταδίου	Μέγεθος ώσης	Flap_ID (Θέση πτερυγίων καμπυλότητας)	Οροφή ανόδου (ft)	Ρυθμός ανόδου (ft/min)	Διακριβωμένη ταχύτητα αέρα στην οροφή ανόδου (kt)	Ποσοστό επιτάχυνσης (%)
CRJ9-LR	ICAO_B	2	4	Επιτάχυνση	Μέγιστη ώση απογείωσης	0-204		500	204	
CRJ9-LR	ICAO_B	2	5	Άνοδος	Μέγιστη ώση ανόδου	ZERO	3 000			
CRJ9-LR	ICAO_B	2	6	Επιτάχυνση	Μέγιστη ώση ανόδου	0-250		500	250	
CRJ9-LR	ICAO_B	2	7	Άνοδος	Μέγιστη ώση ανόδου	ZERO	10 000			
CRJ9-LR	ICAO_B	3	1	Απογείωση	Μέγιστη ώση απογείωσης	D-8				
CRJ9-LR	ICAO_B	3	2	Άνοδος	Μέγιστη ώση απογείωσης	D-8	545			
CRJ9-LR	ICAO_B	3	3	Άνοδος	Μέγιστη ώση απογείωσης	U-8	1 000			
CRJ9-LR	ICAO_B	3	4	Επιτάχυνση	Μέγιστη ώση απογείωσης	0-204		500	204	
CRJ9-LR	ICAO_B	3	5	Άνοδος	Μέγιστη ώση ανόδου	ZERO	3 000			
CRJ9-LR	ICAO_B	3	6	Επιτάχυνση	Μέγιστη ώση ανόδου	0-250		500	250	
CRJ9-LR	ICAO_B	3	7	Άνοδος	Μέγιστη ώση ανόδου	ZERO	10 000			
CRJ9-LR	ICAO_B	4	1	Απογείωση	Μέγιστη ώση απογείωσης	D-8				
CRJ9-LR	ICAO_B	4	2	Άνοδος	Μέγιστη ώση απογείωσης	D-8	505			
CRJ9-LR	ICAO_B	4	3	Άνοδος	Μέγιστη ώση απογείωσης	U-8	1 000			
CRJ9-LR	ICAO_B	4	4	Επιτάχυνση	Μέγιστη ώση απογείωσης	0-204		500	204	

▼**M2**

ACFTID	Profile_ID (Προφίλ αναχώρησης)	Μήκος καλυπτόμενης διαδρομής	Αριθμός σταδίου	Είδος σταδίου	Μέγεθος ώσης	Flap_ID (Θέση πτερυγίων καμπυλότητας)	Οροφή ανόδου (ft)	Ρυθμός ανόδου (ft/min)	Διακριβωμένη ταχύτητα αέρα στην οροφή ανόδου (kt)	Ποσοστό επιτάχυνσης (%)
CRJ9-LR	ICAO_B	4	5	Άνοδος	Μέγιστη ώση ανόδου	ZERO	3 000			
CRJ9-LR	ICAO_B	4	6	Επιτάχυνση	Μέγιστη ώση ανόδου	0-250		500	250	
CRJ9-LR	ICAO_B	4	7	Άνοδος	Μέγιστη ώση ανόδου	ZERO	10 000			
CRJ9-LR	ICAO_B	5	1	Απογείωση	Μέγιστη ώση απογείωσης	D-8				
CRJ9-LR	ICAO_B	5	2	Άνοδος	Μέγιστη ώση απογείωσης	D-8	455			
CRJ9-LR	ICAO_B	5	3	Άνοδος	Μέγιστη ώση απογείωσης	U-8	1 000			
CRJ9-LR	ICAO_B	5	4	Επιτάχυνση	Μέγιστη ώση απογείωσης	0-204		500	204	
CRJ9-LR	ICAO_B	5	5	Άνοδος	Μέγιστη ώση ανόδου	ZERO	3 000			
CRJ9-LR	ICAO_B	5	6	Επιτάχυνση	Μέγιστη ώση ανόδου	0-250		500	250	
CRJ9-LR	ICAO_B	5	7	Άνοδος	Μέγιστη ώση ανόδου	ZERO	10 000			
CVR580	DEFAULT	1	1	Απογείωση	Μέγιστη ώση απογείωσης	10				
CVR580	DEFAULT	1	2	Άνοδος	Μέγιστη ώση απογείωσης	10	1 000			
CVR580	DEFAULT	1	3	Επιτάχυνση	Μέγιστη ώση απογείωσης	10		1 907	130	
CVR580	DEFAULT	1	4	Επιτάχυνση	Μέγιστη ώση ανόδου	INTR		1 430	150	
CVR580	DEFAULT	1	5	Άνοδος	Μέγιστη ώση ανόδου	ZERO	3 000			

▼**M2**

ACFTID	Profile_ID (Προφίλ αναχώρησης)	Μήκος καλυπτόμενης διαδρομής	Αριθμός σταδίου	Είδος σταδίου	Μέγεθος ώσης	Flap_ID (Θέση πτερυγίων καμπυλότητας)	Οροφή ανόδου (ft)	Ρυθμός ανόδου (ft/min)	Διακριβωμένη ταχύτητα αέρα στην οροφή ανόδου (kt)	Ποσοστό επιτάχυνσης (%)
CVR580	DEFAULT	1	6	Άνοδος	Μέγιστη ώση ανόδου	ZERO	5 500			
CVR580	DEFAULT	1	7	Άνοδος	Μέγιστη ώση ανόδου	ZERO	7 500			
CVR580	DEFAULT	1	8	Άνοδος	Μέγιστη ώση ανόδου	ZERO	10 000			
CVR580	DEFAULT	2	1	Απογείωση	Μέγιστη ώση απογείωσης	10				
CVR580	DEFAULT	2	2	Άνοδος	Μέγιστη ώση απογείωσης	10	1 000			
CVR580	DEFAULT	2	3	Επιτάχυνση	Μέγιστη ώση απογείωσης	10		1 557	136	
CVR580	DEFAULT	2	4	Επιτάχυνση	Μέγιστη ώση ανόδου	INTR		1 168	156	
CVR580	DEFAULT	2	5	Άνοδος	Μέγιστη ώση ανόδου	ZERO	3 000			
CVR580	DEFAULT	2	6	Άνοδος	Μέγιστη ώση ανόδου	ZERO	5 500			
CVR580	DEFAULT	2	7	Άνοδος	Μέγιστη ώση ανόδου	ZERO	7 500			
CVR580	DEFAULT	2	8	Άνοδος	Μέγιστη ώση ανόδου	ZERO	10 000			
CVR580	DEFAULT	3	1	Απογείωση	Μέγιστη ώση απογείωσης	10				
CVR580	DEFAULT	3	2	Άνοδος	Μέγιστη ώση απογείωσης	10	1 000			
CVR580	DEFAULT	3	3	Επιτάχυνση	Μέγιστη ώση απογείωσης	10		1 321	140	

▼**M2**

ACFTID	Profile_ID (Προφίλ αναχώρησης)	Μήκος καλυπτόμενης διαδρομής	Αριθμός σταδίου	Είδος σταδίου	Μέγεθος ώσης	Flap_ID (Θέση πτερυγίων καμπυλότητας)	Οροφή ανόδου (ft)	Ρυθμός ανόδου (ft/min)	Διακριβωμένη ταχύτητα αέρα στην οροφή ανόδου (kt)	Ποσοστό επιτάχυνσης (%)
CVR580	DEFAULT	3	4	Επιτάχυνση	Μέγιστη ώση ανόδου	INTR		991	160	
CVR580	DEFAULT	3	5	Άνοδος	Μέγιστη ώση ανόδου	ZERO	3 000			
CVR580	DEFAULT	3	6	Άνοδος	Μέγιστη ώση ανόδου	ZERO	5 500			
CVR580	DEFAULT	3	7	Άνοδος	Μέγιστη ώση ανόδου	ZERO	7 500			
CVR580	DEFAULT	3	8	Άνοδος	Μέγιστη ώση ανόδου	ZERO	10 000			
DC1010	DEFAULT	1	1	Απογείωση	Μέγιστη ώση απογείωσης	10				
DC1010	DEFAULT	1	2	Άνοδος	Μέγιστη ώση απογείωσης	10	1 000			
DC1010	DEFAULT	1	3	Επιτάχυνση	Μέγιστη ώση απογείωσης	10		1 904	159	
DC1010	DEFAULT	1	4	Επιτάχυνση	Μέγιστη ώση απογείωσης	5		1 428	174	
DC1010	DEFAULT	1	5	Επιτάχυνση	Μέγιστη ώση ανόδου	INT		1 000	189	
DC1010	DEFAULT	1	6	Άνοδος	Μέγιστη ώση ανόδου	ZERO	3 000			
DC1010	DEFAULT	1	7	Επιτάχυνση	Μέγιστη ώση ανόδου	ZERO		1 000	250	
DC1010	DEFAULT	1	8	Άνοδος	Μέγιστη ώση ανόδου	ZERO	5 500			
DC1010	DEFAULT	1	9	Άνοδος	Μέγιστη ώση ανόδου	ZERO	7 500			

▼**M2**

ACFTID	Profile_ID (Προφίλ αναχώρησης)	Μήκος καλυπτόμενης διαδρομής	Αριθμός σταδίου	Είδος σταδίου	Μέγεθος ώσης	Flap_ID (Θέση πτερυγίων καμπυλότητας)	Οροφή ανόδου (ft)	Ρυθμός ανόδου (ft/min)	Διακριβωμένη ταχύτητα αέρα στην οροφή ανόδου (kt)	Ποσοστό επιτάχυνσης (%)
DC1010	DEFAULT	1	10	Άνοδος	Μέγιστη ώση ανόδου	ZERO	10 000			
DC1010	DEFAULT	2	1	Απογείωση	Μέγιστη ώση απογείωσης	10				
DC1010	DEFAULT	2	2	Άνοδος	Μέγιστη ώση απογείωσης	10	1 000			
DC1010	DEFAULT	2	3	Επιτάχυνση	Μέγιστη ώση απογείωσης	10		1 799	163	
DC1010	DEFAULT	2	4	Επιτάχυνση	Μέγιστη ώση απογείωσης	5		1 350	178	
DC1010	DEFAULT	2	5	Επιτάχυνση	Μέγιστη ώση ανόδου	INT		1 000	193	
DC1010	DEFAULT	2	6	Άνοδος	Μέγιστη ώση ανόδου	ZERO	3 000			
DC1010	DEFAULT	2	7	Επιτάχυνση	Μέγιστη ώση ανόδου	ZERO		1 000	250	
DC1010	DEFAULT	2	8	Άνοδος	Μέγιστη ώση ανόδου	ZERO	5 500			
DC1010	DEFAULT	2	9	Άνοδος	Μέγιστη ώση ανόδου	ZERO	7 500			
DC1010	DEFAULT	2	10	Άνοδος	Μέγιστη ώση ανόδου	ZERO	10 000			
DC1010	DEFAULT	3	1	Απογείωση	Μέγιστη ώση απογείωσης	10				
DC1010	DEFAULT	3	2	Άνοδος	Μέγιστη ώση απογείωσης	10	1 000			
DC1010	DEFAULT	3	3	Επιτάχυνση	Μέγιστη ώση απογείωσης	10		1 670	167	

▼**M2**

ACFTID	Profile_ID (Προφίλ αναχώρησης)	Μήκος καλυπτόμενης διαδρομής	Αριθμός σταδίου	Είδος σταδίου	Μέγεθος ώσης	Flap_ID (Θέση πτερυγίων καμπυλότητας)	Οροφή ανόδου (ft)	Ρυθμός ανόδου (ft/min)	Διακριβωμένη ταχύτητα αέρα στην οροφή ανόδου (kt)	Ποσοστό επιτάχυνσης (%)
DC1010	DEFAULT	3	4	Επιτάχυνση	Μέγιστη ώση απογείωσης	5		1 253	182	
DC1010	DEFAULT	3	5	Επιτάχυνση	Μέγιστη ώση ανόδου	INT		1 000	197	
DC1010	DEFAULT	3	6	Άνοδος	Μέγιστη ώση ανόδου	ZERO	3 000			
DC1010	DEFAULT	3	7	Επιτάχυνση	Μέγιστη ώση ανόδου	ZERO		1 000	250	
DC1010	DEFAULT	3	8	Άνοδος	Μέγιστη ώση ανόδου	ZERO	5 500			
DC1010	DEFAULT	3	9	Άνοδος	Μέγιστη ώση ανόδου	ZERO	7 500			
DC1010	DEFAULT	3	10	Άνοδος	Μέγιστη ώση ανόδου	ZERO	10 000			
DC1010	DEFAULT	4	1	Απογείωση	Μέγιστη ώση απογείωσης	10				
DC1010	DEFAULT	4	2	Άνοδος	Μέγιστη ώση απογείωσης	10	1 000			
DC1010	DEFAULT	4	3	Επιτάχυνση	Μέγιστη ώση απογείωσης	10		1 494	174	
DC1010	DEFAULT	4	4	Επιτάχυνση	Μέγιστη ώση απογείωσης	5		1 121	189	
DC1010	DEFAULT	4	5	Επιτάχυνση	Μέγιστη ώση ανόδου	INT		1 000	204	
DC1010	DEFAULT	4	6	Άνοδος	Μέγιστη ώση ανόδου	ZERO	3 000			
DC1010	DEFAULT	4	7	Επιτάχυνση	Μέγιστη ώση ανόδου	ZERO		1 000	250	

▼**M2**

ACFTID	Profile_ID (Προφίλ αναχώρησης)	Μήκος καλυπτόμενης διαδρομής	Αριθμός σταδίου	Είδος σταδίου	Μέγεθος ώσης	Flap_ID (Θέση πτερυγίων καμπυλότητας)	Οροφή ανόδου (ft)	Ρυθμός ανόδου (ft/min)	Διακριβωμένη ταχύτητα αέρα στην οροφή ανόδου (kt)	Ποσοστό επιτάχυνσης (%)
DC1010	DEFAULT	4	8	Άνοδος	Μέγιστη ώση ανόδου	ZERO	5 500			
DC1010	DEFAULT	4	9	Άνοδος	Μέγιστη ώση ανόδου	ZERO	7 500			
DC1010	DEFAULT	4	10	Άνοδος	Μέγιστη ώση ανόδου	ZERO	10 000			
DC1010	DEFAULT	5	1	Απογείωση	Μέγιστη ώση απογείωσης	10				
DC1010	DEFAULT	5	2	Άνοδος	Μέγιστη ώση απογείωσης	10	1 000			
DC1010	DEFAULT	5	3	Επιτάχυνση	Μέγιστη ώση απογείωσης	10		1 335	180	
DC1010	DEFAULT	5	4	Επιτάχυνση	Μέγιστη ώση απογείωσης	5		1 002	195	
DC1010	DEFAULT	5	5	Επιτάχυνση	Μέγιστη ώση ανόδου	INT		1 000	210	
DC1010	DEFAULT	5	6	Άνοδος	Μέγιστη ώση ανόδου	ZERO	3 000			
DC1010	DEFAULT	5	7	Επιτάχυνση	Μέγιστη ώση ανόδου	ZERO		1 000	250	
DC1010	DEFAULT	5	8	Άνοδος	Μέγιστη ώση ανόδου	ZERO	5 500			
DC1010	DEFAULT	5	9	Άνοδος	Μέγιστη ώση ανόδου	ZERO	7 500			
DC1010	DEFAULT	5	10	Άνοδος	Μέγιστη ώση ανόδου	ZERO	10 000			
DC1010	DEFAULT	6	1	Απογείωση	Μέγιστη ώση απογείωσης	10				

▼**M2**

ACFTID	Profile_ID (Προφίλ αναχώρησης)	Μήκος καλυπτόμενης διαδρομής	Αριθμός σταδίου	Είδος σταδίου	Μέγεθος ώσης	Flap_ID (Θέση πτερυγίων καμπυλότητας)	Οροφή ανόδου (ft)	Ρυθμός ανόδου (ft/min)	Διακριβωμένη ταχύτητα αέρα στην οροφή ανόδου (kt)	Ποσοστό επιτάχυνσης (%)
DC1010	DEFAULT	6	2	Άνοδος	Μέγιστη ώση απογείωσης	10	1 000			
DC1010	DEFAULT	6	3	Επιτάχυνση	Μέγιστη ώση απογείωσης	10		1 191	186	
DC1010	DEFAULT	6	4	Επιτάχυνση	Μέγιστη ώση απογείωσης	5		894	201	
DC1010	DEFAULT	6	5	Επιτάχυνση	Μέγιστη ώση ανόδου	INT		800	216	
DC1010	DEFAULT	6	6	Άνοδος	Μέγιστη ώση ανόδου	ZERO	3 000			
DC1010	DEFAULT	6	7	Επιτάχυνση	Μέγιστη ώση ανόδου	ZERO		800	250	
DC1010	DEFAULT	6	8	Άνοδος	Μέγιστη ώση ανόδου	ZERO	5 500			
DC1010	DEFAULT	6	9	Άνοδος	Μέγιστη ώση ανόδου	ZERO	7 500			
DC1010	DEFAULT	6	10	Άνοδος	Μέγιστη ώση ανόδου	ZERO	10 000			
DC1040	DEFAULT	1	1	Απογείωση	Μέγιστη ώση απογείωσης	15				
DC1040	DEFAULT	1	2	Άνοδος	Μέγιστη ώση απογείωσης	15	1 000			
DC1040	DEFAULT	1	3	Επιτάχυνση	Μέγιστη ώση απογείωσης	15		2 255	175	
DC1040	DEFAULT	1	4	Επιτάχυνση	Μέγιστη ώση απογείωσης	5		1 692	190	
DC1040	DEFAULT	1	5	Επιτάχυνση	Μέγιστη ώση ανόδου	INT		1 000	205	
DC1040	DEFAULT	1	6	Άνοδος	Μέγιστη ώση ανόδου	ZERO	3 000			

▼**M2**

ACFTID	Profile_ID (Προφίλ αναχώρησης)	Μήκος καλυπτόμενης διαδρομής	Αριθμός σταδίου	Είδος σταδίου	Μέγεθος ώσης	Flap_ID (Θέση πτερυγίων καμπυλότητας)	Οροφή ανόδου (ft)	Ρυθμός ανόδου (ft/min)	Διακριβωμένη ταχύτητα αέρα στην οροφή ανόδου (kt)	Ποσοστό επιτάχυνσης (%)
DC1040	DEFAULT	1	7	Επιτάχυνση	Μέγιστη ώση ανόδου	ZERO		1 000	250	
DC1040	DEFAULT	1	8	Άνοδος	Μέγιστη ώση ανόδου	ZERO	5 500			
DC1040	DEFAULT	1	9	Άνοδος	Μέγιστη ώση ανόδου	ZERO	7 500			
DC1040	DEFAULT	1	10	Άνοδος	Μέγιστη ώση ανόδου	ZERO	10 000			
DC1040	DEFAULT	2	1	Απογείωση	Μέγιστη ώση απογείωσης	15				
DC1040	DEFAULT	2	2	Άνοδος	Μέγιστη ώση απογείωσης	15	1 000			
DC1040	DEFAULT	2	3	Επιτάχυνση	Μέγιστη ώση απογείωσης	15		2 146	178	
DC1040	DEFAULT	2	4	Επιτάχυνση	Μέγιστη ώση απογείωσης	5		1 610	193	
DC1040	DEFAULT	2	5	Επιτάχυνση	Μέγιστη ώση ανόδου	INT		1 000	208	
DC1040	DEFAULT	2	6	Άνοδος	Μέγιστη ώση ανόδου	ZERO	3 000			
DC1040	DEFAULT	2	7	Επιτάχυνση	Μέγιστη ώση ανόδου	ZERO		1 000	250	
DC1040	DEFAULT	2	8	Άνοδος	Μέγιστη ώση ανόδου	ZERO	5 500			
DC1040	DEFAULT	2	9	Άνοδος	Μέγιστη ώση ανόδου	ZERO	7 500			
DC1040	DEFAULT	2	10	Άνοδος	Μέγιστη ώση ανόδου	ZERO	10 000			

▼**M2**

ACFTID	Profile_ID (Προφίλ αναχώρησης)	Μήκος καλυπτόμενης διαδρομής	Αριθμός σταδίου	Είδος σταδίου	Μέγεθος ώσης	Flap_ID (Θέση πτερυγίων καμπυλότητας)	Οροφή ανόδου (ft)	Ρυθμός ανόδου (ft/min)	Διακριβωμένη ταχύτητα αέρα στην οροφή ανόδου (kt)	Ποσοστό επιτάχυνσης (%)
DC1040	DEFAULT	3	1	Απογείωση	Μέγιστη ώση απογείωσης	15				
DC1040	DEFAULT	3	2	Άνοδος	Μέγιστη ώση απογείωσης	15	1 000			
DC1040	DEFAULT	3	3	Επιτάχυνση	Μέγιστη ώση απογείωσης	15		2 050	181	
DC1040	DEFAULT	3	4	Επιτάχυνση	Μέγιστη ώση απογείωσης	5		1 538	196	
DC1040	DEFAULT	3	5	Επιτάχυνση	Μέγιστη ώση ανόδου	INT		1 000	211	
DC1040	DEFAULT	3	6	Άνοδος	Μέγιστη ώση ανόδου	ZERO	3 000			
DC1040	DEFAULT	3	7	Επιτάχυνση	Μέγιστη ώση ανόδου	ZERO		1 000	250	
DC1040	DEFAULT	3	8	Άνοδος	Μέγιστη ώση ανόδου	ZERO	5 500			
DC1040	DEFAULT	3	9	Άνοδος	Μέγιστη ώση ανόδου	ZERO	7 500			
DC1040	DEFAULT	3	10	Άνοδος	Μέγιστη ώση ανόδου	ZERO	10 000			
DC1040	DEFAULT	4	1	Απογείωση	Μέγιστη ώση απογείωσης	15				
DC1040	DEFAULT	4	2	Άνοδος	Μέγιστη ώση απογείωσης	15	1 000			
DC1040	DEFAULT	4	3	Επιτάχυνση	Μέγιστη ώση απογείωσης	15		1 859	187	
DC1040	DEFAULT	4	4	Επιτάχυνση	Μέγιστη ώση απογείωσης	5		1 395	202	

▼**M2**

ACFTID	Profile_ID (Προφίλ αναχώρησης)	Μήκος καλυπτόμενης διαδρομής	Αριθμός σταδίου	Είδος σταδίου	Μέγεθος ώσης	Flap_ID (Θέση πτερυγίων καμπυλότητας)	Οροφή ανόδου (ft)	Ρυθμός ανόδου (ft/min)	Διακριβωμένη ταχύτητα αέρα στην οροφή ανόδου (kt)	Ποσοστό επιτάχυνσης (%)
DC1040	DEFAULT	4	5	Επιτάχυνση	Μέγιστη ώση ανόδου	INT		1 000	217	
DC1040	DEFAULT	4	6	Άνοδος	Μέγιστη ώση ανόδου	ZERO	3 000			
DC1040	DEFAULT	4	7	Επιτάχυνση	Μέγιστη ώση ανόδου	ZERO		1 000	250	
DC1040	DEFAULT	4	8	Άνοδος	Μέγιστη ώση ανόδου	ZERO	5 500			
DC1040	DEFAULT	4	9	Άνοδος	Μέγιστη ώση ανόδου	ZERO	7 500			
DC1040	DEFAULT	4	10	Άνοδος	Μέγιστη ώση ανόδου	ZERO	10 000			
DC1040	DEFAULT	5	1	Απογείωση	Μέγιστη ώση απογείωσης	15				
DC1040	DEFAULT	5	2	Άνοδος	Μέγιστη ώση απογείωσης	15	1 000			
DC1040	DEFAULT	5	3	Επιτάχυνση	Μέγιστη ώση απογείωσης	15		1 639	195	
DC1040	DEFAULT	5	4	Επιτάχυνση	Μέγιστη ώση απογείωσης	5		1 229	210	
DC1040	DEFAULT	5	5	Επιτάχυνση	Μέγιστη ώση ανόδου	INT		1 000	225	
DC1040	DEFAULT	5	6	Άνοδος	Μέγιστη ώση ανόδου	ZERO	3 000			
DC1040	DEFAULT	5	7	Επιτάχυνση	Μέγιστη ώση ανόδου	ZERO		1 000	250	
DC1040	DEFAULT	5	8	Άνοδος	Μέγιστη ώση ανόδου	ZERO	5 500			

▼**M2**

ACFTID	Profile_ID (Προφίλ αναχώρησης)	Μήκος καλυπτόμενης διαδρομής	Αριθμός σταδίου	Είδος σταδίου	Μέγεθος ώσης	Flap_ID (Θέση πτερυγίων καμπυλότητας)	Οροφή ανόδου (ft)	Ρυθμός ανόδου (ft/min)	Διακριβωμένη ταχύτητα αέρα στην οροφή ανόδου (kt)	Ποσοστό επιτάχυνσης (%)
DC1040	DEFAULT	5	9	Άνοδος	Μέγιστη ώση ανόδου	ZERO	7 500			
DC1040	DEFAULT	5	10	Άνοδος	Μέγιστη ώση ανόδου	ZERO	10 000			
DC1040	DEFAULT	6	1	Απογείωση	Μέγιστη ώση απογείωσης	15				
DC1040	DEFAULT	6	2	Άνοδος	Μέγιστη ώση απογείωσης	15	1 000			
DC1040	DEFAULT	6	3	Επιτάχυνση	Μέγιστη ώση απογείωσης	15		1 436	203	
DC1040	DEFAULT	6	4	Επιτάχυνση	Μέγιστη ώση απογείωσης	5		1 077	218	
DC1040	DEFAULT	6	5	Επιτάχυνση	Μέγιστη ώση ανόδου	INT		1 000	233	
DC1040	DEFAULT	6	6	Άνοδος	Μέγιστη ώση ανόδου	ZERO	3 000			
DC1040	DEFAULT	6	7	Επιτάχυνση	Μέγιστη ώση ανόδου	ZERO		1 000	250	
DC1040	DEFAULT	6	8	Άνοδος	Μέγιστη ώση ανόδου	ZERO	5 500			
DC1040	DEFAULT	6	9	Άνοδος	Μέγιστη ώση ανόδου	ZERO	7 500			
DC1040	DEFAULT	6	10	Άνοδος	Μέγιστη ώση ανόδου	ZERO	10 000			
DC1040	DEFAULT	7	1	Απογείωση	Μέγιστη ώση απογείωσης	15				
DC1040	DEFAULT	7	2	Άνοδος	Μέγιστη ώση απογείωσης	15	1 000			

▼**M2**

ACFTID	Profile_ID (Προφίλ αναχώρησης)	Μήκος καλυπτόμενης διαδρομής	Αριθμός σταδίου	Είδος σταδίου	Μέγεθος ώσης	Flap_ID (Θέση πτερυγίων καμπυλότητας)	Οροφή ανόδου (ft)	Ρυθμός ανόδου (ft/min)	Διακριβωμένη ταχύτητα αέρα στην οροφή ανόδου (kt)	Ποσοστό επιτάχυνσης (%)
DC1040	DEFAULT	7	3	Επιτάχυνση	Μέγιστη ώση απογείωσης	15		1 170	211	
DC1040	DEFAULT	7	4	Επιτάχυνση	Μέγιστη ώση απογείωσης	5		878	226	
DC1040	DEFAULT	7	5	Επιτάχυνση	Μέγιστη ώση ανόδου	INT		800	241	
DC1040	DEFAULT	7	6	Άνοδος	Μέγιστη ώση ανόδου	ZERO	3 000			
DC1040	DEFAULT	7	7	Επιτάχυνση	Μέγιστη ώση ανόδου	ZERO		800	250	
DC1040	DEFAULT	7	8	Άνοδος	Μέγιστη ώση ανόδου	ZERO	5 500			
DC1040	DEFAULT	7	9	Άνοδος	Μέγιστη ώση ανόδου	ZERO	7 500			
DC1040	DEFAULT	7	10	Άνοδος	Μέγιστη ώση ανόδου	ZERO	10 000			
DC3	DEFAULT	1	1	Απογείωση	Μέγιστη ώση απογείωσης	TO				
DC3	DEFAULT	1	2	Άνοδος	Μέγιστη ώση απογείωσης	TO	400			
DC3	DEFAULT	1	3	Άνοδος	Μέγιστη ώση ανόδου	ZERO	3 000			
DC3	DEFAULT	1	4	Επιτάχυνση	Μέγιστη ώση ανόδου	ZERO		1 000	126	
DC3	DEFAULT	1	5	Άνοδος	Μέγιστη ώση ανόδου	ZERO	5 500			

▼**M2**

ACFTID	Profile_ID (Προφίλ αναχώρησης)	Μήκος καλυπτόμενης διαδρομής	Αριθμός σταδίου	Είδος σταδίου	Μέγεθος ώσης	Flap_ID (Θέση πτερυγίων καμπυλότητας)	Οροφή ανόδου (ft)	Ρυθμός ανόδου (ft/min)	Διακριβωμένη ταχύτητα αέρα στην οροφή ανόδου (kt)	Ποσοστό επιτάχυνσης (%)
DC3	DEFAULT	1	6	Άνοδος	Μέγιστη ώση ανόδου	ZERO	7 500			
DC3	DEFAULT	1	7	Άνοδος	Μέγιστη ώση ανόδου	ZERO	10 000			
DC3	DEFAULT	2	1	Απογείωση	Μέγιστη ώση απογείωσης	TO				
DC3	DEFAULT	2	2	Άνοδος	Μέγιστη ώση απογείωσης	TO	400			
DC3	DEFAULT	2	3	Άνοδος	Μέγιστη ώση ανόδου	ZERO	3 000			
DC3	DEFAULT	2	4	Επιτάχυνση	Μέγιστη ώση ανόδου	ZERO		800	130	
DC3	DEFAULT	2	5	Άνοδος	Μέγιστη ώση ανόδου	ZERO	5 500			
DC3	DEFAULT	2	6	Άνοδος	Μέγιστη ώση ανόδου	ZERO	7 500			
DC3	DEFAULT	2	7	Άνοδος	Μέγιστη ώση ανόδου	ZERO	10 000			
DC3	DEFAULT	3	1	Απογείωση	Μέγιστη ώση απογείωσης	TO				
DC3	DEFAULT	3	2	Άνοδος	Μέγιστη ώση απογείωσης	TO	400			
DC3	DEFAULT	3	3	Άνοδος	Μέγιστη ώση ανόδου	ZERO	3 000			
DC3	DEFAULT	3	4	Επιτάχυνση	Μέγιστη ώση ανόδου	ZERO		633	134	

▼**M2**

ACFTID	Profile_ID (Προφίλ αναχώρησης)	Μήκος καλυπτόμενης διαδρομής	Αριθμός σταδίου	Είδος σταδίου	Μέγεθος ώσης	Flap_ID (Θέση πτερυγίων καμπυλότητας)	Οροφή ανόδου (ft)	Ρυθμός ανόδου (ft/min)	Διακριβωμένη ταχύτητα αέρα στην οροφή ανόδου (kt)	Ποσοστό επιτάχυνσης (%)
DC3	DEFAULT	3	5	Άνοδος	Μέγιστη ώση ανόδου	ZERO	7 500			
DC3	DEFAULT	3	6	Άνοδος	Μέγιστη ώση ανόδου	ZERO	10 000			
DC6	DEFAULT	1	1	Απογείωση	Μέγιστη ώση απογείωσης	TO				
DC6	DEFAULT	1	2	Άνοδος	Μέγιστη ώση απογείωσης	TO	1 500			
DC6	DEFAULT	1	3	Επιτάχυνση	Μέγιστη ώση απογείωσης	TO		818	135	
DC6	DEFAULT	1	4	Άνοδος	Μέγιστη ώση ανόδου	ZERO	3 000			
DC6	DEFAULT	1	5	Άνοδος	Μέγιστη ώση ανόδου	ZERO	5 500			
DC6	DEFAULT	1	6	Άνοδος	Μέγιστη ώση ανόδου	ZERO	7 500			
DC6	DEFAULT	1	7	Άνοδος	Μέγιστη ώση ανόδου	ZERO	10 000			
DC6	DEFAULT	2	1	Απογείωση	Μέγιστη ώση απογείωσης	TO				
DC6	DEFAULT	2	2	Άνοδος	Μέγιστη ώση απογείωσης	TO	1 500			
DC6	DEFAULT	2	3	Επιτάχυνση	Μέγιστη ώση απογείωσης	TO		643	143	
DC6	DEFAULT	2	4	Άνοδος	Μέγιστη ώση ανόδου	ZERO	3 000			
DC6	DEFAULT	2	5	Άνοδος	Μέγιστη ώση ανόδου	ZERO	5 500			

▼**M2**

ACFTID	Profile_ID (Προφίλ αναχώρησης)	Μήκος καλυπτόμενης διαδρομής	Αριθμός σταδίου	Είδος σταδίου	Μέγεθος ώσης	Flap_ID (Θέση πτερυγίων καμπυλότητας)	Οροφή ανόδου (ft)	Ρυθμός ανόδου (ft/min)	Διακριβωμένη ταχύτητα αέρα στην οροφή ανόδου (kt)	Ποσοστό επιτάχυνσης (%)
DC6	DEFAULT	2	6	Άνοδος	Μέγιστη ώση ανόδου	ZERO	7 500			
DC6	DEFAULT	2	7	Άνοδος	Μέγιστη ώση ανόδου	ZERO	10 000			
DC6	DEFAULT	3	1	Απογείωση	Μέγιστη ώση απογείωσης	TO				
DC6	DEFAULT	3	2	Άνοδος	Μέγιστη ώση απογείωσης	TO	1 500			
DC6	DEFAULT	3	3	Επιτάχυνση	Μέγιστη ώση απογείωσης	TO		498	149	
DC6	DEFAULT	3	4	Άνοδος	Μέγιστη ώση ανόδου	ZERO	3 000			
DC6	DEFAULT	3	5	Άνοδος	Μέγιστη ώση ανόδου	ZERO	5 500			
DC6	DEFAULT	3	6	Άνοδος	Μέγιστη ώση ανόδου	ZERO	7 500			
DC6	DEFAULT	3	7	Άνοδος	Μέγιστη ώση ανόδου	ZERO	10 000			
DC850	DEFAULT	1	1	Απογείωση	Μέγιστη ώση απογείωσης	15				
DC850	DEFAULT	1	2	Άνοδος	Μέγιστη ώση απογείωσης	15	1 000			
DC850	DEFAULT	1	3	Επιτάχυνση	Μέγιστη ώση απογείωσης	15		2 205	149	
DC850	DEFAULT	1	4	Επιτάχυνση	Μέγιστη ώση απογείωσης	INT		1 654	169	
DC850	DEFAULT	1	5	Επιτάχυνση	Μέγιστη ώση ανόδου	INT		1 000	189	

▼**M2**

ACFTID	Profile_ID (Προφίλ αναχώρησης)	Μήκος καλυπτόμενης διαδρομής	Αριθμός σταδίου	Είδος σταδίου	Μέγεθος ώσης	Flap_ID (Θέση πτερυγίων καμπυλότητας)	Οροφή ανόδου (ft)	Ρυθμός ανόδου (ft/min)	Διακριβωμένη ταχύτητα αέρα στην οροφή ανόδου (kt)	Ποσοστό επιτάχυνσης (%)
DC850	DEFAULT	1	6	Άνοδος	Μέγιστη ώση ανόδου	ZERO	3 000			
DC850	DEFAULT	1	7	Επιτάχυνση	Μέγιστη ώση ανόδου	ZERO		1 000	250	
DC850	DEFAULT	1	8	Άνοδος	Μέγιστη ώση ανόδου	ZERO	5 500			
DC850	DEFAULT	1	9	Άνοδος	Μέγιστη ώση ανόδου	ZERO	7 500			
DC850	DEFAULT	1	10	Άνοδος	Μέγιστη ώση ανόδου	ZERO	10 000			
DC850	DEFAULT	2	1	Απογείωση	Μέγιστη ώση απογείωσης	15				
DC850	DEFAULT	2	2	Άνοδος	Μέγιστη ώση απογείωσης	15	1 000			
DC850	DEFAULT	2	3	Επιτάχυνση	Μέγιστη ώση απογείωσης	15		2 089	153	
DC850	DEFAULT	2	4	Επιτάχυνση	Μέγιστη ώση απογείωσης	INT		1 567	173	
DC850	DEFAULT	2	5	Επιτάχυνση	Μέγιστη ώση ανόδου	INT		1 000	193	
DC850	DEFAULT	2	6	Άνοδος	Μέγιστη ώση ανόδου	ZERO	3 000			
DC850	DEFAULT	2	7	Επιτάχυνση	Μέγιστη ώση ανόδου	ZERO		1 000	250	
DC850	DEFAULT	2	8	Άνοδος	Μέγιστη ώση ανόδου	ZERO	5 500			

▼**M2**

ACFTID	Profile_ID (Προφίλ αναχώρησης)	Μήκος καλυπτόμενης διαδρομής	Αριθμός σταδίου	Είδος σταδίου	Μέγεθος ώσης	Flap_ID (Θέση πτερυγίων καμπυλότητας)	Οροφή ανόδου (ft)	Ρυθμός ανόδου (ft/min)	Διακριβωμένη ταχύτητα αέρα στην οροφή ανόδου (kt)	Ποσοστό επιτάχυνσης (%)
DC850	DEFAULT	2	9	Άνοδος	Μέγιστη ώση ανόδου	ZERO	7 500			
DC850	DEFAULT	2	10	Άνοδος	Μέγιστη ώση ανόδου	ZERO	10 000			
DC850	DEFAULT	3	1	Απογείωση	Μέγιστη ώση απογείωσης	15				
DC850	DEFAULT	3	2	Άνοδος	Μέγιστη ώση απογείωσης	15	1 000			
DC850	DEFAULT	3	3	Επιτάχυνση	Μέγιστη ώση απογείωσης	15		1 930	158	
DC850	DEFAULT	3	4	Επιτάχυνση	Μέγιστη ώση απογείωσης	INT		1 448	178	
DC850	DEFAULT	3	5	Επιτάχυνση	Μέγιστη ώση ανόδου	INT		1 000	198	
DC850	DEFAULT	3	6	Άνοδος	Μέγιστη ώση ανόδου	ZERO	3 000			
DC850	DEFAULT	3	7	Επιτάχυνση	Μέγιστη ώση ανόδου	ZERO		1 000	250	
DC850	DEFAULT	3	8	Άνοδος	Μέγιστη ώση ανόδου	ZERO	5 500			
DC850	DEFAULT	3	9	Άνοδος	Μέγιστη ώση ανόδου	ZERO	7 500			
DC850	DEFAULT	3	10	Άνοδος	Μέγιστη ώση ανόδου	ZERO	10 000			
DC850	DEFAULT	4	1	Απογείωση	Μέγιστη ώση απογείωσης	15				

▼**M2**

ACFTID	Profile_ID (Προφίλ αναχώρησης)	Μήκος καλυπτόμενης διαδρομής	Αριθμός σταδίου	Είδος σταδίου	Μέγεθος ώσης	Flap_ID (Θέση πτερυγίων καμπυλότητας)	Οροφή ανόδου (ft)	Ρυθμός ανόδου (ft/min)	Διακριβωμένη ταχύτητα αέρα στην οροφή ανόδου (kt)	Ποσοστό επιτάχυνσης (%)
DC850	DEFAULT	4	2	Άνοδος	Μέγιστη ώση απογείωσης	15	1 000			
DC850	DEFAULT	4	3	Επιτάχυνση	Μέγιστη ώση απογείωσης	15		1 743	165	
DC850	DEFAULT	4	4	Επιτάχυνση	Μέγιστη ώση απογείωσης	INT		1 308	185	
DC850	DEFAULT	4	5	Επιτάχυνση	Μέγιστη ώση ανόδου	INT		1 000	205	
DC850	DEFAULT	4	6	Άνοδος	Μέγιστη ώση ανόδου	ZERO	3 000			
DC850	DEFAULT	4	7	Επιτάχυνση	Μέγιστη ώση ανόδου	ZERO		1 000	250	
DC850	DEFAULT	4	8	Άνοδος	Μέγιστη ώση ανόδου	ZERO	5 500			
DC850	DEFAULT	4	9	Άνοδος	Μέγιστη ώση ανόδου	ZERO	7 500			
DC850	DEFAULT	4	10	Άνοδος	Μέγιστη ώση ανόδου	ZERO	10 000			
DC850	DEFAULT	5	1	Απογείωση	Μέγιστη ώση απογείωσης	15				
DC850	DEFAULT	5	2	Άνοδος	Μέγιστη ώση απογείωσης	15	1 000			
DC850	DEFAULT	5	3	Επιτάχυνση	Μέγιστη ώση απογείωσης	15		1 541	173	
DC850	DEFAULT	5	4	Επιτάχυνση	Μέγιστη ώση απογείωσης	INT		1 156	193	

▼**M2**

ACFTID	Profile_ID (Προφίλ αναχώρησης)	Μήκος καλυπτόμενης διαδρομής	Αριθμός σταδίου	Είδος σταδίου	Μέγεθος ώσης	Flap_ID (Θέση πτερυγίων καμπυλότητας)	Οροφή ανόδου (ft)	Ρυθμός ανόδου (ft/min)	Διακριβωμένη ταχύτητα αέρα στην οροφή ανόδου (kt)	Ποσοστό επιτάχυνσης (%)
DC850	DEFAULT	5	5	Επιτάχυνση	Μέγιστη ώση ανόδου	INT		1 000	213	
DC850	DEFAULT	5	6	Άνοδος	Μέγιστη ώση ανόδου	ZERO	3 000			
DC850	DEFAULT	5	7	Επιτάχυνση	Μέγιστη ώση ανόδου	ZERO		1 000	250	
DC850	DEFAULT	5	8	Άνοδος	Μέγιστη ώση ανόδου	ZERO	5 500			
DC850	DEFAULT	5	9	Άνοδος	Μέγιστη ώση ανόδου	ZERO	7 500			
DC850	DEFAULT	5	10	Άνοδος	Μέγιστη ώση ανόδου	ZERO	10 000			
DC850	DEFAULT	6	1	Απογείωση	Μέγιστη ώση απογείωσης	15				
DC850	DEFAULT	6	2	Άνοδος	Μέγιστη ώση απογείωσης	15	1 000			
DC850	DEFAULT	6	3	Επιτάχυνση	Μέγιστη ώση απογείωσης	15		1 397	180	
DC850	DEFAULT	6	4	Επιτάχυνση	Μέγιστη ώση απογείωσης	INT		1 048	200	
DC850	DEFAULT	6	5	Επιτάχυνση	Μέγιστη ώση ανόδου	INT		1 000	220	
DC850	DEFAULT	6	6	Άνοδος	Μέγιστη ώση ανόδου	ZERO	3 000			
DC850	DEFAULT	6	7	Επιτάχυνση	Μέγιστη ώση ανόδου	ZERO		1 000	250	

▼**M2**

ACFTID	Profile_ID (Προφίλ αναχώρησης)	Μήκος καλυπτόμενης διαδρομής	Αριθμός σταδίου	Είδος σταδίου	Μέγεθος ώσης	Flap_ID (Θέση πτερυγίων καμπυλότητας)	Οροφή ανόδου (ft)	Ρυθμός ανόδου (ft/min)	Διακριβωμένη ταχύτητα αέρα στην οροφή ανόδου (kt)	Ποσοστό επιτάχυνσης (%)
DC850	DEFAULT	6	8	Άνοδος	Μέγιστη ώση ανόδου	ZERO	5 500			
DC850	DEFAULT	6	9	Άνοδος	Μέγιστη ώση ανόδου	ZERO	7 500			
DC850	DEFAULT	6	10	Άνοδος	Μέγιστη ώση ανόδου	ZERO	10 000			
DC860	DEFAULT	1	1	Απογείωση	Μέγιστη ώση απογείωσης	12				
DC860	DEFAULT	1	2	Άνοδος	Μέγιστη ώση απογείωσης	12	1 000			
DC860	DEFAULT	1	3	Επιτάχυνση	Μέγιστη ώση απογείωσης	12		2 055	160	
DC860	DEFAULT	1	4	Επιτάχυνση	Μέγιστη ώση απογείωσης	INT		1 541	180	
DC860	DEFAULT	1	5	Επιτάχυνση	Μέγιστη ώση ανόδου	INT		1 000	200	
DC860	DEFAULT	1	6	Άνοδος	Μέγιστη ώση ανόδου	ZERO	3 000			
DC860	DEFAULT	1	7	Επιτάχυνση	Μέγιστη ώση ανόδου	ZERO		1 000	250	
DC860	DEFAULT	1	8	Άνοδος	Μέγιστη ώση ανόδου	ZERO	5 500			
DC860	DEFAULT	1	9	Άνοδος	Μέγιστη ώση ανόδου	ZERO	7 500			
DC860	DEFAULT	1	10	Άνοδος	Μέγιστη ώση ανόδου	ZERO	10 000			

▼**M2**

ACFTID	Profile_ID (Προφίλ αναχώρησης)	Μήκος καλυπτόμενης διαδρομής	Αριθμός σταδίου	Είδος σταδίου	Μέγεθος ώσης	Flap_ID (Θέση πτερυγίων καμπυλότητας)	Οροφή ανόδου (ft)	Ρυθμός ανόδου (ft/min)	Διακριβωμένη ταχύτητα αέρα στην οροφή ανόδου (kt)	Ποσοστό επιτάχυνσης (%)
DC860	DEFAULT	2	1	Απογείωση	Μέγιστη ώση απογείωσης	12				
DC860	DEFAULT	2	2	Άνοδος	Μέγιστη ώση απογείωσης	12	1 000			
DC860	DEFAULT	2	3	Επιτάχυνση	Μέγιστη ώση απογείωσης	12		1 959	164	
DC860	DEFAULT	2	4	Επιτάχυνση	Μέγιστη ώση απογείωσης	INT		1 470	184	
DC860	DEFAULT	2	5	Επιτάχυνση	Μέγιστη ώση ανόδου	INT		1 000	204	
DC860	DEFAULT	2	6	Άνοδος	Μέγιστη ώση ανόδου	ZERO	3 000			
DC860	DEFAULT	2	7	Επιτάχυνση	Μέγιστη ώση ανόδου	ZERO		1 000	250	
DC860	DEFAULT	2	8	Άνοδος	Μέγιστη ώση ανόδου	ZERO	5 500			
DC860	DEFAULT	2	9	Άνοδος	Μέγιστη ώση ανόδου	ZERO	7 500			
DC860	DEFAULT	2	10	Άνοδος	Μέγιστη ώση ανόδου	ZERO	10 000			
DC860	DEFAULT	3	1	Απογείωση	Μέγιστη ώση απογείωσης	12				
DC860	DEFAULT	3	2	Άνοδος	Μέγιστη ώση απογείωσης	12	1 000			
DC860	DEFAULT	3	3	Επιτάχυνση	Μέγιστη ώση απογείωσης	12		1 827	168	
DC860	DEFAULT	3	4	Επιτάχυνση	Μέγιστη ώση απογείωσης	INT		1 371	188	

▼**M2**

ACFTID	Profile_ID (Προφίλ αναχώρησης)	Μήκος καλυπτόμενης διαδρομής	Αριθμός σταδίου	Είδος σταδίου	Μέγεθος ώσης	Flap_ID (Θέση πτερυγίων καμπυλότητας)	Οροφή ανόδου (ft)	Ρυθμός ανόδου (ft/min)	Διακριβωμένη ταχύτητα αέρα στην οροφή ανόδου (kt)	Ποσοστό επιτάχυνσης (%)
DC860	DEFAULT	3	5	Επιτάχυνση	Μέγιστη ώση ανόδου	INT		1 000	208	
DC860	DEFAULT	3	6	Άνοδος	Μέγιστη ώση ανόδου	ZERO	3 000			
DC860	DEFAULT	3	7	Επιτάχυνση	Μέγιστη ώση ανόδου	ZERO		1 000	250	
DC860	DEFAULT	3	8	Άνοδος	Μέγιστη ώση ανόδου	ZERO	5 500			
DC860	DEFAULT	3	9	Άνοδος	Μέγιστη ώση ανόδου	ZERO	7 500			
DC860	DEFAULT	3	10	Άνοδος	Μέγιστη ώση ανόδου	ZERO	10 000			
DC860	DEFAULT	4	1	Απογείωση	Μέγιστη ώση απογείωσης	12				
DC860	DEFAULT	4	2	Άνοδος	Μέγιστη ώση απογείωσης	12	1 000			
DC860	DEFAULT	4	3	Επιτάχυνση	Μέγιστη ώση απογείωσης	12		1 668	175	
DC860	DEFAULT	4	4	Επιτάχυνση	Μέγιστη ώση απογείωσης	INT		1 251	195	
DC860	DEFAULT	4	5	Επιτάχυνση	Μέγιστη ώση ανόδου	INT		1 000	215	
DC860	DEFAULT	4	6	Άνοδος	Μέγιστη ώση ανόδου	ZERO	3 000			
DC860	DEFAULT	4	7	Επιτάχυνση	Μέγιστη ώση ανόδου	ZERO		1 000	250	
DC860	DEFAULT	4	8	Άνοδος	Μέγιστη ώση ανόδου	ZERO	5 500			

▼**M2**

ACFTID	Profile_ID (Προφίλ αναχώρησης)	Μήκος καλυπτόμενης διαδρομής	Αριθμός σταδίου	Είδος σταδίου	Μέγεθος ώσης	Flap_ID (Θέση πτερυγίων καμπυλότητας)	Οροφή ανόδου (ft)	Ρυθμός ανόδου (ft/min)	Διακριβωμένη ταχύτητα αέρα στην οροφή ανόδου (kt)	Ποσοστό επιτάχυνσης (%)
DC860	DEFAULT	4	9	Άνοδος	Μέγιστη ώση ανόδου	ZERO	7 500			
DC860	DEFAULT	4	10	Άνοδος	Μέγιστη ώση ανόδου	ZERO	10 000			
DC860	DEFAULT	5	1	Απογείωση	Μέγιστη ώση απογείωσης	12				
DC860	DEFAULT	5	2	Άνοδος	Μέγιστη ώση απογείωσης	12	1 000			
DC860	DEFAULT	5	3	Επιτάχυνση	Μέγιστη ώση απογείωσης	12		1 491	182	
DC860	DEFAULT	5	4	Επιτάχυνση	Μέγιστη ώση απογείωσης	INT		1 118	202	
DC860	DEFAULT	5	5	Επιτάχυνση	Μέγιστη ώση ανόδου	INT		1 000	222	
DC860	DEFAULT	5	6	Άνοδος	Μέγιστη ώση ανόδου	ZERO	3 000			
DC860	DEFAULT	5	7	Επιτάχυνση	Μέγιστη ώση ανόδου	ZERO		1 000	250	
DC860	DEFAULT	5	8	Άνοδος	Μέγιστη ώση ανόδου	ZERO	5 500			
DC860	DEFAULT	5	9	Άνοδος	Μέγιστη ώση ανόδου	ZERO	7 500			
DC860	DEFAULT	5	10	Άνοδος	Μέγιστη ώση ανόδου	ZERO	10 000			
DC860	DEFAULT	6	1	Απογείωση	Μέγιστη ώση απογείωσης	12				
DC860	DEFAULT	6	2	Άνοδος	Μέγιστη ώση απογείωσης	12	1 000			

▼**M2**

ACFTID	Profile_ID (Προφίλ αναχώρησης)	Μήκος καλυπτόμενης διαδρομής	Αριθμός σταδίου	Είδος σταδίου	Μέγεθος ώσης	Flap_ID (Θέση πτερυγίων καμπυλότητας)	Οροφή ανόδου (ft)	Ρυθμός ανόδου (ft/min)	Διακριβωμένη ταχύτητα αέρα στην οροφή ανόδου (kt)	Ποσοστό επιτάχυνσης (%)
DC860	DEFAULT	6	3	Επιτάχυνση	Μέγιστη ώση απογείωσης	12		1 394	187	
DC860	DEFAULT	6	4	Επιτάχυνση	Μέγιστη ώση απογείωσης	INT		1 046	207	
DC860	DEFAULT	6	5	Επιτάχυνση	Μέγιστη ώση ανόδου	INT		1 000	227	
DC860	DEFAULT	6	6	Άνοδος	Μέγιστη ώση ανόδου	ZERO	3 000			
DC860	DEFAULT	6	7	Επιτάχυνση	Μέγιστη ώση ανόδου	ZERO		1 000	250	
DC860	DEFAULT	6	8	Άνοδος	Μέγιστη ώση ανόδου	ZERO	5 500			
DC860	DEFAULT	6	9	Άνοδος	Μέγιστη ώση ανόδου	ZERO	7 500			
DC860	DEFAULT	6	10	Άνοδος	Μέγιστη ώση ανόδου	ZERO	10 000			
DC860	DEFAULT	7	1	Απογείωση	Μέγιστη ώση απογείωσης	12				
DC860	DEFAULT	7	2	Άνοδος	Μέγιστη ώση απογείωσης	12	1 000			
DC860	DEFAULT	7	3	Επιτάχυνση	Μέγιστη ώση απογείωσης	12		1 275	192	
DC860	DEFAULT	7	4	Επιτάχυνση	Μέγιστη ώση απογείωσης	INT		956	212	
DC860	DEFAULT	7	5	Επιτάχυνση	Μέγιστη ώση ανόδου	INT		900	232	
DC860	DEFAULT	7	6	Άνοδος	Μέγιστη ώση ανόδου	ZERO	3 000			

▼**M2**

ACFTID	Profile_ID (Προφίλ αναχώρησης)	Μήκος καλυπτόμενης διαδρομής	Αριθμός σταδίου	Είδος σταδίου	Μέγεθος ώσης	Flap_ID (Θέση πτερυγίων καμπυλότητας)	Οροφή ανόδου (ft)	Ρυθμός ανόδου (ft/min)	Διακριβωμένη ταχύτητα αέρα στην οροφή ανόδου (kt)	Ποσοστό επιτάχυνσης (%)
DC860	DEFAULT	7	7	Επιτάχυνση	Μέγιστη ώση ανόδου	ZERO		900	250	
DC860	DEFAULT	7	8	Άνοδος	Μέγιστη ώση ανόδου	ZERO	5 500			
DC860	DEFAULT	7	9	Άνοδος	Μέγιστη ώση ανόδου	ZERO	7 500			
DC860	DEFAULT	7	10	Άνοδος	Μέγιστη ώση ανόδου	ZERO	10 000			
DC870	DEFAULT	1	1	Απογείωση	Μέγιστη ώση απογείωσης	12				
DC870	DEFAULT	1	2	Άνοδος	Μέγιστη ώση απογείωσης	12	1 000			
DC870	DEFAULT	1	3	Επιτάχυνση	Μέγιστη ώση απογείωσης	12		2 405	160	
DC870	DEFAULT	1	4	Επιτάχυνση	Μέγιστη ώση απογείωσης	INT		1 804	180	
DC870	DEFAULT	1	5	Επιτάχυνση	Μέγιστη ώση ανόδου	INT		1 000	200	
DC870	DEFAULT	1	6	Άνοδος	Μέγιστη ώση ανόδου	ZERO	3 000			
DC870	DEFAULT	1	7	Επιτάχυνση	Μέγιστη ώση ανόδου	ZERO		1 000	250	
DC870	DEFAULT	1	8	Άνοδος	Μέγιστη ώση ανόδου	ZERO	5 500			
DC870	DEFAULT	1	9	Άνοδος	Μέγιστη ώση ανόδου	ZERO	7 500			

▼**M2**

ACFTID	Profile_ID (Προφίλ αναχώρησης)	Μήκος καλυπτόμενης διαδρομής	Αριθμός σταδίου	Είδος σταδίου	Μέγεθος ώσης	Flap_ID (Θέση πτερυγίων καμπυλότητας)	Οροφή ανόδου (ft)	Ρυθμός ανόδου (ft/min)	Διακριβωμένη ταχύτητα αέρα στην οροφή ανόδου (kt)	Ποσοστό επιτάχυνσης (%)
DC870	DEFAULT	1	10	Άνοδος	Μέγιστη ώση ανόδου	ZERO	10 000			
DC870	DEFAULT	2	1	Απογείωση	Μέγιστη ώση απογείωσης	12				
DC870	DEFAULT	2	2	Άνοδος	Μέγιστη ώση απογείωσης	12	1 000			
DC870	DEFAULT	2	3	Επιτάχυνση	Μέγιστη ώση απογείωσης	12		2 289	164	
DC870	DEFAULT	2	4	Επιτάχυνση	Μέγιστη ώση απογείωσης	INT		1 717	184	
DC870	DEFAULT	2	5	Επιτάχυνση	Μέγιστη ώση ανόδου	INT		1 000	204	
DC870	DEFAULT	2	6	Άνοδος	Μέγιστη ώση ανόδου	ZERO	3 000			
DC870	DEFAULT	2	7	Επιτάχυνση	Μέγιστη ώση ανόδου	ZERO		1 000	250	
DC870	DEFAULT	2	8	Άνοδος	Μέγιστη ώση ανόδου	ZERO	5 500			
DC870	DEFAULT	2	9	Άνοδος	Μέγιστη ώση ανόδου	ZERO	7 500			
DC870	DEFAULT	2	10	Άνοδος	Μέγιστη ώση ανόδου	ZERO	10 000			
DC870	DEFAULT	3	1	Απογείωση	Μέγιστη ώση απογείωσης	12				
DC870	DEFAULT	3	2	Άνοδος	Μέγιστη ώση απογείωσης	12	1 000			

▼**M2**

ACFTID	Profile_ID (Προφίλ αναχώρησης)	Μήκος καλυπτόμενης διαδρομής	Αριθμός σταδίου	Είδος σταδίου	Μέγεθος ώσης	Flap_ID (Θέση πτερυγίων καμπυλότητας)	Οροφή ανόδου (ft)	Ρυθμός ανόδου (ft/min)	Διακριβωμένη ταχύτητα αέρα στην οροφή ανόδου (kt)	Ποσοστό επιτάχυνσης (%)
DC870	DEFAULT	3	3	Επιτάχυνση	Μέγιστη ώση απογείωσης	12		2 129	168	
DC870	DEFAULT	3	4	Επιτάχυνση	Μέγιστη ώση απογείωσης	INT		1 597	188	
DC870	DEFAULT	3	5	Επιτάχυνση	Μέγιστη ώση ανόδου	INT		1 000	208	
DC870	DEFAULT	3	6	Άνοδος	Μέγιστη ώση ανόδου	ZERO	3 000			
DC870	DEFAULT	3	7	Επιτάχυνση	Μέγιστη ώση ανόδου	ZERO		1 000	250	
DC870	DEFAULT	3	8	Άνοδος	Μέγιστη ώση ανόδου	ZERO	5 500			
DC870	DEFAULT	3	9	Άνοδος	Μέγιστη ώση ανόδου	ZERO	7 500			
DC870	DEFAULT	3	10	Άνοδος	Μέγιστη ώση ανόδου	ZERO	10 000			
DC870	DEFAULT	4	1	Απογείωση	Μέγιστη ώση απογείωσης	12				
DC870	DEFAULT	4	2	Άνοδος	Μέγιστη ώση απογείωσης	12	1 000			
DC870	DEFAULT	4	3	Επιτάχυνση	Μέγιστη ώση απογείωσης	12		1 938	175	
DC870	DEFAULT	4	4	Επιτάχυνση	Μέγιστη ώση απογείωσης	INT		1 454	195	
DC870	DEFAULT	4	5	Επιτάχυνση	Μέγιστη ώση ανόδου	INT		1 000	215	

▼**M2**

ACFTID	Profile_ID (Προφίλ αναχώρησης)	Μήκος καλυπτόμενης διαδρομής	Αριθμός σταδίου	Είδος σταδίου	Μέγεθος ώσης	Flap_ID (Θέση πτερυγίων καμπυλότητας)	Οροφή ανόδου (ft)	Ρυθμός ανόδου (ft/min)	Διακριβωμένη ταχύτητα αέρα στην οροφή ανόδου (kt)	Ποσοστό επιτάχυνσης (%)
DC870	DEFAULT	4	6	Άνοδος	Μέγιστη ώση ανόδου	ZERO	3 000			
DC870	DEFAULT	4	7	Επιτάχυνση	Μέγιστη ώση ανόδου	ZERO		1 000	250	
DC870	DEFAULT	4	8	Άνοδος	Μέγιστη ώση ανόδου	ZERO	5 500			
DC870	DEFAULT	4	9	Άνοδος	Μέγιστη ώση ανόδου	ZERO	7 500			
DC870	DEFAULT	4	10	Άνοδος	Μέγιστη ώση ανόδου	ZERO	10 000			
DC870	DEFAULT	5	1	Απογείωση	Μέγιστη ώση απογείωσης	12				
DC870	DEFAULT	5	2	Άνοδος	Μέγιστη ώση απογείωσης	12	1 000			
DC870	DEFAULT	5	3	Επιτάχυνση	Μέγιστη ώση απογείωσης	12		1 727	182	
DC870	DEFAULT	5	4	Επιτάχυνση	Μέγιστη ώση απογείωσης	INT		1 295	202	
DC870	DEFAULT	5	5	Επιτάχυνση	Μέγιστη ώση ανόδου	INT		1 000	222	
DC870	DEFAULT	5	6	Άνοδος	Μέγιστη ώση ανόδου	ZERO	3 000			
DC870	DEFAULT	5	7	Επιτάχυνση	Μέγιστη ώση ανόδου	ZERO		1 000	250	
DC870	DEFAULT	5	8	Άνοδος	Μέγιστη ώση ανόδου	ZERO	5 500			
DC870	DEFAULT	5	9	Άνοδος	Μέγιστη ώση ανόδου	ZERO	7 500			

▼**M2**

ACFTID	Profile_ID (Προφίλ αναχώρησης)	Μήκος καλυπτόμενης διαδρομής	Αριθμός σταδίου	Είδος σταδίου	Μέγεθος ώσης	Flap_ID (Θέση πτερυγίων καμπυλότητας)	Οροφή ανόδου (ft)	Ρυθμός ανόδου (ft/min)	Διακριβωμένη ταχύτητα αέρα στην οροφή ανόδου (kt)	Ποσοστό επιτάχυνσης (%)
DC870	DEFAULT	5	10	Άνοδος	Μέγιστη ώση ανόδου	ZERO	10 000			
DC870	DEFAULT	6	1	Απογείωση	Μέγιστη ώση απογείωσης	12				
DC870	DEFAULT	6	2	Άνοδος	Μέγιστη ώση απογείωσης	12	1 000			
DC870	DEFAULT	6	3	Επιτάχυνση	Μέγιστη ώση απογείωσης	12		1 611	187	
DC870	DEFAULT	6	4	Επιτάχυνση	Μέγιστη ώση απογείωσης	INT		1 209	207	
DC870	DEFAULT	6	5	Επιτάχυνση	Μέγιστη ώση ανόδου	INT		1 000	227	
DC870	DEFAULT	6	6	Άνοδος	Μέγιστη ώση ανόδου	ZERO	3 000			
DC870	DEFAULT	6	7	Επιτάχυνση	Μέγιστη ώση ανόδου	ZERO		1 000	250	
DC870	DEFAULT	6	8	Άνοδος	Μέγιστη ώση ανόδου	ZERO	5 500			
DC870	DEFAULT	6	9	Άνοδος	Μέγιστη ώση ανόδου	ZERO	7 500			
DC870	DEFAULT	6	10	Άνοδος	Μέγιστη ώση ανόδου	ZERO	10 000			
DC870	DEFAULT	7	1	Απογείωση	Μέγιστη ώση απογείωσης	12				
DC870	DEFAULT	7	2	Άνοδος	Μέγιστη ώση απογείωσης	12	1 000			

▼**M2**

ACFTID	Profile_ID (Προφίλ αναχώρησης)	Μήκος καλυπτόμενης διαδρομής	Αριθμός σταδίου	Είδος σταδίου	Μέγεθος ώσης	Flap_ID (Θέση πτερυγίων καμπυλότητας)	Οροφή ανόδου (ft)	Ρυθμός ανόδου (ft/min)	Διακριβωμένη ταχύτητα αέρα στην οροφή ανόδου (kt)	Ποσοστό επιτάχυνσης (%)
DC870	DEFAULT	7	3	Επιτάχυνση	Μέγιστη ώση απογείωσης	12		1 470	192	
DC870	DEFAULT	7	4	Επιτάχυνση	Μέγιστη ώση απογείωσης	INT		1 103	212	
DC870	DEFAULT	7	5	Επιτάχυνση	Μέγιστη ώση ανόδου	INT		1 000	232	
DC870	DEFAULT	7	6	Άνοδος	Μέγιστη ώση ανόδου	ZERO	3 000			
DC870	DEFAULT	7	7	Επιτάχυνση	Μέγιστη ώση ανόδου	ZERO		1 000	250	
DC870	DEFAULT	7	8	Άνοδος	Μέγιστη ώση ανόδου	ZERO	5 500			
DC870	DEFAULT	7	9	Άνοδος	Μέγιστη ώση ανόδου	ZERO	7 500			
DC870	DEFAULT	7	10	Άνοδος	Μέγιστη ώση ανόδου	ZERO	10 000			
DC8QN	DEFAULT	1	1	Απογείωση	Μέγιστη ώση απογείωσης	12				
DC8QN	DEFAULT	1	2	Άνοδος	Μέγιστη ώση απογείωσης	12	1 000			
DC8QN	DEFAULT	1	3	Επιτάχυνση	Μέγιστη ώση απογείωσης	12		2 055	160	
DC8QN	DEFAULT	1	4	Επιτάχυνση	Μέγιστη ώση απογείωσης	INT		1 541	180	

▼**M2**

ACFTID	Profile_ID (Προφίλ αναχώρησης)	Μήκος καλυπτόμενης διαδρομής	Αριθμός σταδίου	Είδος σταδίου	Μέγεθος ώσης	Flap_ID (Θέση πτερυγίων καμπυλότητας)	Οροφή ανόδου (ft)	Ρυθμός ανόδου (ft/min)	Διακριβωμένη ταχύτητα αέρα στην οροφή ανόδου (kt)	Ποσοστό επιτάχυνσης (%)
DC8QN	DEFAULT	1	5	Επιτάχυνση	Μέγιστη ώση ανόδου	INT		1 000	200	
DC8QN	DEFAULT	1	6	Άνοδος	Μέγιστη ώση ανόδου	ZERO	3 000			
DC8QN	DEFAULT	1	7	Επιτάχυνση	Μέγιστη ώση ανόδου	ZERO		1 000	250	
DC8QN	DEFAULT	1	8	Άνοδος	Μέγιστη ώση ανόδου	ZERO	5 500			
DC8QN	DEFAULT	1	9	Άνοδος	Μέγιστη ώση ανόδου	ZERO	7 500			
DC8QN	DEFAULT	1	10	Άνοδος	Μέγιστη ώση ανόδου	ZERO	10 000			
DC8QN	DEFAULT	2	1	Απογείωση	Μέγιστη ώση απογείωσης	12				
DC8QN	DEFAULT	2	2	Άνοδος	Μέγιστη ώση απογείωσης	12	1 000			
DC8QN	DEFAULT	2	3	Επιτάχυνση	Μέγιστη ώση απογείωσης	12		1 959	164	
DC8QN	DEFAULT	2	4	Επιτάχυνση	Μέγιστη ώση απογείωσης	INT		1 470	184	
DC8QN	DEFAULT	2	5	Επιτάχυνση	Μέγιστη ώση ανόδου	INT		1 000	204	
DC8QN	DEFAULT	2	6	Άνοδος	Μέγιστη ώση ανόδου	ZERO	3 000			
DC8QN	DEFAULT	2	7	Επιτάχυνση	Μέγιστη ώση ανόδου	ZERO		1 000	250	

▼**M2**

ACFTID	Profile_ID (Προφίλ αναχώρησης)	Μήκος καλυπτόμενης διαδρομής	Αριθμός σταδίου	Είδος σταδίου	Μέγεθος ώσης	Flap_ID (Θέση πτερυγίων καμπυλότητας)	Οροφή ανόδου (ft)	Ρυθμός ανόδου (ft/min)	Διακριβωμένη ταχύτητα αέρα στην οροφή ανόδου (kt)	Ποσοστό επιτάχυνσης (%)
DC8QN	DEFAULT	2	8	Άνοδος	Μέγιστη ώση ανόδου	ZERO	5 500			
DC8QN	DEFAULT	2	9	Άνοδος	Μέγιστη ώση ανόδου	ZERO	7 500			
DC8QN	DEFAULT	2	10	Άνοδος	Μέγιστη ώση ανόδου	ZERO	10 000			
DC8QN	DEFAULT	3	1	Απογείωση	Μέγιστη ώση απογείωσης	12				
DC8QN	DEFAULT	3	2	Άνοδος	Μέγιστη ώση απογείωσης	12	1 000			
DC8QN	DEFAULT	3	3	Επιτάχυνση	Μέγιστη ώση απογείωσης	12		1 827	168	
DC8QN	DEFAULT	3	4	Επιτάχυνση	Μέγιστη ώση απογείωσης	INT		1 371	188	
DC8QN	DEFAULT	3	5	Επιτάχυνση	Μέγιστη ώση ανόδου	INT		1 000	208	
DC8QN	DEFAULT	3	6	Άνοδος	Μέγιστη ώση ανόδου	ZERO	3 000			
DC8QN	DEFAULT	3	7	Επιτάχυνση	Μέγιστη ώση ανόδου	ZERO		1 000	250	
DC8QN	DEFAULT	3	8	Άνοδος	Μέγιστη ώση ανόδου	ZERO	5 500			
DC8QN	DEFAULT	3	9	Άνοδος	Μέγιστη ώση ανόδου	ZERO	7 500			
DC8QN	DEFAULT	3	10	Άνοδος	Μέγιστη ώση ανόδου	ZERO	10 000			

▼**M2**

ACFTID	Profile_ID (Προφίλ αναχώρησης)	Μήκος καλυπτόμενης διαδρομής	Αριθμός σταδίου	Είδος σταδίου	Μέγεθος ώσης	Flap_ID (Θέση πτερυγίων καμπυλότητας)	Οροφή ανόδου (ft)	Ρυθμός ανόδου (ft/min)	Διακριβωμένη ταχύτητα αέρα στην οροφή ανόδου (kt)	Ποσοστό επιτάχυνσης (%)
DC8QN	DEFAULT	4	1	Απογείωση	Μέγιστη ώση απογείωσης	12				
DC8QN	DEFAULT	4	2	Άνοδος	Μέγιστη ώση απογείωσης	12	1 000			
DC8QN	DEFAULT	4	3	Επιτάχυνση	Μέγιστη ώση απογείωσης	12		1 668	175	
DC8QN	DEFAULT	4	4	Επιτάχυνση	Μέγιστη ώση απογείωσης	INT		1 251	195	
DC8QN	DEFAULT	4	5	Επιτάχυνση	Μέγιστη ώση ανόδου	INT		1 000	215	
DC8QN	DEFAULT	4	6	Άνοδος	Μέγιστη ώση ανόδου	ZERO	3 000			
DC8QN	DEFAULT	4	7	Επιτάχυνση	Μέγιστη ώση ανόδου	ZERO		1 000	250	
DC8QN	DEFAULT	4	8	Άνοδος	Μέγιστη ώση ανόδου	ZERO	5 500			
DC8QN	DEFAULT	4	9	Άνοδος	Μέγιστη ώση ανόδου	ZERO	7 500			
DC8QN	DEFAULT	4	10	Άνοδος	Μέγιστη ώση ανόδου	ZERO	10 000			
DC8QN	DEFAULT	5	1	Απογείωση	Μέγιστη ώση απογείωσης	12				
DC8QN	DEFAULT	5	2	Άνοδος	Μέγιστη ώση απογείωσης	12	1 000			
DC8QN	DEFAULT	5	3	Επιτάχυνση	Μέγιστη ώση απογείωσης	12		1 491	182	

▼**M2**

ACFTID	Profile_ID (Προφίλ αναχώρησης)	Μήκος καλυπτόμενης διαδρομής	Αριθμός σταδίου	Είδος σταδίου	Μέγεθος ώσης	Flap_ID (Θέση πτερυγίων καμπυλότητας)	Οροφή ανόδου (ft)	Ρυθμός ανόδου (ft/min)	Διακριβωμένη ταχύτητα αέρα στην οροφή ανόδου (kt)	Ποσοστό επιτάχυνσης (%)
DC8QN	DEFAULT	5	4	Επιτάχυνση	Μέγιστη ώση απογείωσης	INT		1 118	202	
DC8QN	DEFAULT	5	5	Επιτάχυνση	Μέγιστη ώση ανόδου	INT		1 000	222	
DC8QN	DEFAULT	5	6	Άνοδος	Μέγιστη ώση ανόδου	ZERO	3 000			
DC8QN	DEFAULT	5	7	Επιτάχυνση	Μέγιστη ώση ανόδου	ZERO		1 000	250	
DC8QN	DEFAULT	5	8	Άνοδος	Μέγιστη ώση ανόδου	ZERO	5 500			
DC8QN	DEFAULT	5	9	Άνοδος	Μέγιστη ώση ανόδου	ZERO	7 500			
DC8QN	DEFAULT	5	10	Άνοδος	Μέγιστη ώση ανόδου	ZERO	10 000			
DC8QN	DEFAULT	6	1	Απογείωση	Μέγιστη ώση απογείωσης	12				
DC8QN	DEFAULT	6	2	Άνοδος	Μέγιστη ώση απογείωσης	12	1 000			
DC8QN	DEFAULT	6	3	Επιτάχυνση	Μέγιστη ώση απογείωσης	12		1 394	187	
DC8QN	DEFAULT	6	4	Επιτάχυνση	Μέγιστη ώση απογείωσης	INT		1 046	207	
DC8QN	DEFAULT	6	5	Επιτάχυνση	Μέγιστη ώση ανόδου	INT		1 000	227	
DC8QN	DEFAULT	6	6	Άνοδος	Μέγιστη ώση ανόδου	ZERO	3 000			

▼**M2**

ACFTID	Profile_ID (Προφίλ αναχώρησης)	Μήκος καλυπτόμενης διαδρομής	Αριθμός σταδίου	Είδος σταδίου	Μέγεθος ώσης	Flap_ID (Θέση πτερυγίων καμπυλότητας)	Οροφή ανόδου (ft)	Ρυθμός ανόδου (ft/min)	Διακριβωμένη ταχύτητα αέρα στην οροφή ανόδου (kt)	Ποσοστό επιτάχυνσης (%)
DC8QN	DEFAULT	6	7	Επιτάχυνση	Μέγιστη ώση ανόδου	ZERO		1 000	250	
DC8QN	DEFAULT	6	8	Άνοδος	Μέγιστη ώση ανόδου	ZERO	5 500			
DC8QN	DEFAULT	6	9	Άνοδος	Μέγιστη ώση ανόδου	ZERO	7 500			
DC8QN	DEFAULT	6	10	Άνοδος	Μέγιστη ώση ανόδου	ZERO	10 000			
DC8QN	DEFAULT	7	1	Απογείωση	Μέγιστη ώση απογείωσης	12				
DC8QN	DEFAULT	7	2	Άνοδος	Μέγιστη ώση απογείωσης	12	1 000			
DC8QN	DEFAULT	7	3	Επιτάχυνση	Μέγιστη ώση απογείωσης	12		1 275	192	
DC8QN	DEFAULT	7	4	Επιτάχυνση	Μέγιστη ώση απογείωσης	INT		956	212	
DC8QN	DEFAULT	7	5	Επιτάχυνση	Μέγιστη ώση ανόδου	INT		900	232	
DC8QN	DEFAULT	7	6	Άνοδος	Μέγιστη ώση ανόδου	ZERO	3 000			
DC8QN	DEFAULT	7	7	Επιτάχυνση	Μέγιστη ώση ανόδου	ZERO		900	250	
DC8QN	DEFAULT	7	8	Άνοδος	Μέγιστη ώση ανόδου	ZERO	5 500			
DC8QN	DEFAULT	7	9	Άνοδος	Μέγιστη ώση ανόδου	ZERO	7 500			

▼**M2**

ACFTID	Profile_ID (Προφίλ αναχώρησης)	Μήκος καλυπτόμενης διαδρομής	Αριθμός σταδίου	Είδος σταδίου	Μέγεθος ώσης	Flap_ID (Θέση πτερυγίων καμπυλότητας)	Οροφή ανόδου (ft)	Ρυθμός ανόδου (ft/min)	Διακριβωμένη ταχύτητα αέρα στην οροφή ανόδου (kt)	Ποσοστό επιτάχυνσης (%)
DC8QN	DEFAULT	7	10	Άνοδος	Μέγιστη ώση ανόδου	ZERO	10 000			
DC910	DEFAULT	1	1	Απογείωση	Μέγιστη ώση απογείωσης	15				
DC910	DEFAULT	1	2	Άνοδος	Μέγιστη ώση απογείωσης	15	1 000			
DC910	DEFAULT	1	3	Επιτάχυνση	Μέγιστη ώση απογείωσης	15		2 296	136	
DC910	DEFAULT	1	4	Επιτάχυνση	Μέγιστη ώση απογείωσης	5		1 722	146	
DC910	DEFAULT	1	5	Επιτάχυνση	Μέγιστη ώση ανόδου	INT		1 000	181	
DC910	DEFAULT	1	6	Άνοδος	Μέγιστη ώση ανόδου	ZERO	3 000			
DC910	DEFAULT	1	7	Επιτάχυνση	Μέγιστη ώση ανόδου	ZERO		1 000	250	
DC910	DEFAULT	1	8	Άνοδος	Μέγιστη ώση ανόδου	ZERO	5 500			
DC910	DEFAULT	1	9	Άνοδος	Μέγιστη ώση ανόδου	ZERO	7 500			
DC910	DEFAULT	1	10	Άνοδος	Μέγιστη ώση ανόδου	ZERO	10 000			
DC910	DEFAULT	2	1	Απογείωση	Μέγιστη ώση απογείωσης	15				
DC910	DEFAULT	2	2	Άνοδος	Μέγιστη ώση απογείωσης	15	1 000			

▼**M2**

ACFTID	Profile_ID (Προφίλ αναχώρησης)	Μήκος καλυπτόμενης διαδρομής	Αριθμός σταδίου	Είδος σταδίου	Μέγεθος ώσης	Flap_ID (Θέση πτερυγίων καμπυλότητας)	Οροφή ανόδου (ft)	Ρυθμός ανόδου (ft/min)	Διακριβωμένη ταχύτητα αέρα στην οροφή ανόδου (kt)	Ποσοστό επιτάχυνσης (%)
DC910	DEFAULT	2	3	Επιτάχυνση	Μέγιστη ώση απογείωσης	15		2 070	143	
DC910	DEFAULT	2	4	Επιτάχυνση	Μέγιστη ώση απογείωσης	5		1 553	153	
DC910	DEFAULT	2	5	Επιτάχυνση	Μέγιστη ώση ανόδου	INT		1 000	188	
DC910	DEFAULT	2	6	Άνοδος	Μέγιστη ώση ανόδου	ZERO	3 000			
DC910	DEFAULT	2	7	Επιτάχυνση	Μέγιστη ώση ανόδου	ZERO		1 000	250	
DC910	DEFAULT	2	8	Άνοδος	Μέγιστη ώση ανόδου	ZERO	5 500			
DC910	DEFAULT	2	9	Άνοδος	Μέγιστη ώση ανόδου	ZERO	7 500			
DC910	DEFAULT	2	10	Άνοδος	Μέγιστη ώση ανόδου	ZERO	10 000			
DC910	DEFAULT	3	1	Απογείωση	Μέγιστη ώση απογείωσης	15				
DC910	DEFAULT	3	2	Άνοδος	Μέγιστη ώση απογείωσης	15	1 000			
DC910	DEFAULT	3	3	Επιτάχυνση	Μέγιστη ώση απογείωσης	15		1 901	149	
DC910	DEFAULT	3	4	Επιτάχυνση	Μέγιστη ώση απογείωσης	5		1 426	159	
DC910	DEFAULT	3	5	Επιτάχυνση	Μέγιστη ώση ανόδου	INT		1 000	194	

▼**M2**

ACFTID	Profile_ID (Προφίλ αναχώρησης)	Μήκος καλυπτόμενης διαδρομής	Αριθμός σταδίου	Είδος σταδίου	Μέγεθος ώσης	Flap_ID (Θέση πτερυγίων καμπυλότητας)	Οροφή ανόδου (ft)	Ρυθμός ανόδου (ft/min)	Διακριβωμένη ταχύτητα αέρα στην οροφή ανόδου (kt)	Ποσοστό επιτάχυνσης (%)
DC910	DEFAULT	3	6	Άνοδος	Μέγιστη ώση ανόδου	ZERO	3 000			
DC910	DEFAULT	3	7	Επιτάχυνση	Μέγιστη ώση ανόδου	ZERO		1 000	250	
DC910	DEFAULT	3	8	Άνοδος	Μέγιστη ώση ανόδου	ZERO	5 500			
DC910	DEFAULT	3	9	Άνοδος	Μέγιστη ώση ανόδου	ZERO	7 500			
DC910	DEFAULT	3	10	Άνοδος	Μέγιστη ώση ανόδου	ZERO	10 000			
DC930	DEFAULT	1	1	Απογείωση	Μέγιστη ώση απογείωσης	15				
DC930	DEFAULT	1	2	Άνοδος	Μέγιστη ώση απογείωσης	15	1 000			
DC930	DEFAULT	1	3	Επιτάχυνση	Μέγιστη ώση απογείωσης	15		1 741	154	
DC930	DEFAULT	1	4	Επιτάχυνση	Μέγιστη ώση απογείωσης	5		1 306	164	
DC930	DEFAULT	1	5	Επιτάχυνση	Μέγιστη ώση ανόδου	INT		1 000	199	
DC930	DEFAULT	1	6	Άνοδος	Μέγιστη ώση ανόδου	ZERO	3 000			
DC930	DEFAULT	1	7	Επιτάχυνση	Μέγιστη ώση ανόδου	ZERO		1 000	250	
DC930	DEFAULT	1	8	Άνοδος	Μέγιστη ώση ανόδου	ZERO	5 500			

▼**M2**

ACFTID	Profile_ID (Προφίλ αναχώρησης)	Μήκος καλυπτόμενης διαδρομής	Αριθμός σταδίου	Είδος σταδίου	Μέγεθος ώσης	Flap_ID (Θέση πτερυγίων καμπυλότητας)	Οροφή ανόδου (ft)	Ρυθμός ανόδου (ft/min)	Διακριβωμένη ταχύτητα αέρα στην οροφή ανόδου (kt)	Ποσοστό επιτάχυνσης (%)
DC930	DEFAULT	1	9	Άνοδος	Μέγιστη ώση ανόδου	ZERO	7 500			
DC930	DEFAULT	1	10	Άνοδος	Μέγιστη ώση ανόδου	ZERO	10 000			
DC930	DEFAULT	2	1	Απογείωση	Μέγιστη ώση απογείωσης	15				
DC930	DEFAULT	2	2	Άνοδος	Μέγιστη ώση απογείωσης	15	1 000			
DC930	DEFAULT	2	3	Επιτάχυνση	Μέγιστη ώση απογείωσης	15		1 559	161	
DC930	DEFAULT	2	4	Επιτάχυνση	Μέγιστη ώση απογείωσης	5		1 169	171	
DC930	DEFAULT	2	5	Επιτάχυνση	Μέγιστη ώση ανόδου	INT		1 000	206	
DC930	DEFAULT	2	6	Άνοδος	Μέγιστη ώση ανόδου	ZERO	3 000			
DC930	DEFAULT	2	7	Επιτάχυνση	Μέγιστη ώση ανόδου	ZERO		1 000	250	
DC930	DEFAULT	2	8	Άνοδος	Μέγιστη ώση ανόδου	ZERO	5 500			
DC930	DEFAULT	2	9	Άνοδος	Μέγιστη ώση ανόδου	ZERO	7 500			
DC930	DEFAULT	2	10	Άνοδος	Μέγιστη ώση ανόδου	ZERO	10 000			
DC930	DEFAULT	3	1	Απογείωση	Μέγιστη ώση απογείωσης	15				

▼**M2**

ACFTID	Profile_ID (Προφίλ αναχώρησης)	Μήκος καλυπτόμενης διαδρομής	Αριθμός σταδίου	Είδος σταδίου	Μέγεθος ώσης	Flap_ID (Θέση πτερυγίων καμπυλότητας)	Οροφή ανόδου (ft)	Ρυθμός ανόδου (ft/min)	Διακριβωμένη ταχύτητα αέρα στην οροφή ανόδου (kt)	Ποσοστό επιτάχυνσης (%)
DC930	DEFAULT	3	2	Άνοδος	Μέγιστη ώση απογείωσης	15	1 000			
DC930	DEFAULT	3	3	Επιτάχυνση	Μέγιστη ώση απογείωσης	15		1 406	168	
DC930	DEFAULT	3	4	Επιτάχυνση	Μέγιστη ώση απογείωσης	5		1 055	178	
DC930	DEFAULT	3	5	Επιτάχυνση	Μέγιστη ώση ανόδου	INT		1 000	213	
DC930	DEFAULT	3	6	Άνοδος	Μέγιστη ώση ανόδου	ZERO	3 000			
DC930	DEFAULT	3	7	Επιτάχυνση	Μέγιστη ώση ανόδου	ZERO		1 000	250	
DC930	DEFAULT	3	8	Άνοδος	Μέγιστη ώση ανόδου	ZERO	5 500			
DC930	DEFAULT	3	9	Άνοδος	Μέγιστη ώση ανόδου	ZERO	7 500			
DC930	DEFAULT	3	10	Άνοδος	Μέγιστη ώση ανόδου	ZERO	10 000			
DC93LW	DEFAULT	1	1	Απογείωση	Μέγιστη ώση απογείωσης	15				
DC93LW	DEFAULT	1	2	Άνοδος	Μέγιστη ώση απογείωσης	15	1 000			
DC93LW	DEFAULT	1	3	Επιτάχυνση	Μέγιστη ώση απογείωσης	15		1 741	154	
DC93LW	DEFAULT	1	4	Επιτάχυνση	Μέγιστη ώση απογείωσης	5		1 306	164	

▼**M2**

ACFTID	Profile_ID (Προφίλ αναχώρησης)	Μήκος καλυπτόμενης διαδρομής	Αριθμός σταδίου	Είδος σταδίου	Μέγεθος ώσης	Flap_ID (Θέση πτερυγίων καμπυλότητας)	Οροφή ανόδου (ft)	Ρυθμός ανόδου (ft/min)	Διακριβωμένη ταχύτητα αέρα στην οροφή ανόδου (kt)	Ποσοστό επιτάχυνσης (%)
DC93LW	DEFAULT	1	5	Επιτάχυνση	Μέγιστη ώση ανόδου	INT		1 000	199	
DC93LW	DEFAULT	1	6	Άνοδος	Μέγιστη ώση ανόδου	ZERO	3 000			
DC93LW	DEFAULT	1	7	Επιτάχυνση	Μέγιστη ώση ανόδου	ZERO		1 000	250	
DC93LW	DEFAULT	1	8	Άνοδος	Μέγιστη ώση ανόδου	ZERO	5 500			
DC93LW	DEFAULT	1	9	Άνοδος	Μέγιστη ώση ανόδου	ZERO	7 500			
DC93LW	DEFAULT	1	10	Άνοδος	Μέγιστη ώση ανόδου	ZERO	10 000			
DC93LW	DEFAULT	2	1	Απογείωση	Μέγιστη ώση απογείωσης	15				
DC93LW	DEFAULT	2	2	Άνοδος	Μέγιστη ώση απογείωσης	15	1 000			
DC93LW	DEFAULT	2	3	Επιτάχυνση	Μέγιστη ώση απογείωσης	15		1 559	161	
DC93LW	DEFAULT	2	4	Επιτάχυνση	Μέγιστη ώση απογείωσης	5		1 169	171	
DC93LW	DEFAULT	2	5	Επιτάχυνση	Μέγιστη ώση ανόδου	INT		1 000	206	
DC93LW	DEFAULT	2	6	Άνοδος	Μέγιστη ώση ανόδου	ZERO	3 000			
DC93LW	DEFAULT	2	7	Επιτάχυνση	Μέγιστη ώση ανόδου	ZERO		1 000	250	

▼**M2**

ACFTID	Profile_ID (Προφίλ αναχώρησης)	Μήκος καλυπτόμενης διαδρομής	Αριθμός σταδίου	Είδος σταδίου	Μέγεθος ώσης	Flap_ID (Θέση πτερυγίων καμπυλότητας)	Οροφή ανόδου (ft)	Ρυθμός ανόδου (ft/min)	Διακριβωμένη ταχύτητα αέρα στην οροφή ανόδου (kt)	Ποσοστό επιτάχυνσης (%)
DC93LW	DEFAULT	2	8	Άνοδος	Μέγιστη ώση ανόδου	ZERO	5 500			
DC93LW	DEFAULT	2	9	Άνοδος	Μέγιστη ώση ανόδου	ZERO	7 500			
DC93LW	DEFAULT	2	10	Άνοδος	Μέγιστη ώση ανόδου	ZERO	10 000			
DC93LW	DEFAULT	3	1	Απογείωση	Μέγιστη ώση απογείωσης	15				
DC93LW	DEFAULT	3	2	Άνοδος	Μέγιστη ώση απογείωσης	15	1 000			
DC93LW	DEFAULT	3	3	Επιτάχυνση	Μέγιστη ώση απογείωσης	15		1 406	168	
DC93LW	DEFAULT	3	4	Επιτάχυνση	Μέγιστη ώση απογείωσης	5		1 055	178	
DC93LW	DEFAULT	3	5	Επιτάχυνση	Μέγιστη ώση ανόδου	INT		1 000	213	
DC93LW	DEFAULT	3	6	Άνοδος	Μέγιστη ώση ανόδου	ZERO	3 000			
DC93LW	DEFAULT	3	7	Επιτάχυνση	Μέγιστη ώση ανόδου	ZERO		1 000	250	
DC93LW	DEFAULT	3	8	Άνοδος	Μέγιστη ώση ανόδου	ZERO	5 500			
DC93LW	DEFAULT	3	9	Άνοδος	Μέγιστη ώση ανόδου	ZERO	7 500			
DC93LW	DEFAULT	3	10	Άνοδος	Μέγιστη ώση ανόδου	ZERO	10 000			

▼**M2**

ACFTID	Profile_ID (Προφίλ αναχώρησης)	Μήκος καλυπτόμενης διαδρομής	Αριθμός σταδίου	Είδος σταδίου	Μέγεθος ώσης	Flap_ID (Θέση πτερυγίων καμπυλότητας)	Οροφή ανόδου (ft)	Ρυθμός ανόδου (ft/min)	Διακριβωμένη ταχύτητα αέρα στην οροφή ανόδου (kt)	Ποσοστό επιτάχυνσης (%)
DC950	DEFAULT	1	1	Απογείωση	Μέγιστη ώση απογείωσης	15				
DC950	DEFAULT	1	2	Άνοδος	Μέγιστη ώση απογείωσης	15	1 000			
DC950	DEFAULT	1	3	Επιτάχυνση	Μέγιστη ώση απογείωσης	15		1 983	159	
DC950	DEFAULT	1	4	Επιτάχυνση	Μέγιστη ώση απογείωσης	5		1 487	169	
DC950	DEFAULT	1	5	Επιτάχυνση	Μέγιστη ώση ανόδου	INTR		1 000	204	
DC950	DEFAULT	1	6	Άνοδος	Μέγιστη ώση ανόδου	ZERO	3 000			
DC950	DEFAULT	1	7	Επιτάχυνση	Μέγιστη ώση ανόδου	ZERO		1 000	250	
DC950	DEFAULT	1	8	Άνοδος	Μέγιστη ώση ανόδου	ZERO	5 500			
DC950	DEFAULT	1	9	Άνοδος	Μέγιστη ώση ανόδου	ZERO	7 500			
DC950	DEFAULT	1	10	Άνοδος	Μέγιστη ώση ανόδου	ZERO	10 000			
DC950	DEFAULT	2	1	Απογείωση	Μέγιστη ώση απογείωσης	15				
DC950	DEFAULT	2	2	Άνοδος	Μέγιστη ώση απογείωσης	15	1 000			
DC950	DEFAULT	2	3	Επιτάχυνση	Μέγιστη ώση απογείωσης	15		1 843	164	

▼**M2**

ACFTID	Profile_ID (Προφίλ αναχώρησης)	Μήκος καλυπτόμενης διαδρομής	Αριθμός σταδίου	Είδος σταδίου	Μέγεθος ώσης	Flap_ID (Θέση πτερυγίων καμπυλότητας)	Οροφή ανόδου (ft)	Ρυθμός ανόδου (ft/min)	Διακριβωμένη ταχύτητα αέρα στην οροφή ανόδου (kt)	Ποσοστό επιτάχυνσης (%)
DC950	DEFAULT	2	4	Επιτάχυνση	Μέγιστη ώση απογείωσης	5		1 382	174	
DC950	DEFAULT	2	5	Επιτάχυνση	Μέγιστη ώση ανόδου	INTR		1 000	209	
DC950	DEFAULT	2	6	Άνοδος	Μέγιστη ώση ανόδου	ZERO	3 000			
DC950	DEFAULT	2	7	Επιτάχυνση	Μέγιστη ώση ανόδου	ZERO		1 000	250	
DC950	DEFAULT	2	8	Άνοδος	Μέγιστη ώση ανόδου	ZERO	5 500			
DC950	DEFAULT	2	9	Άνοδος	Μέγιστη ώση ανόδου	ZERO	7 500			
DC950	DEFAULT	2	10	Άνοδος	Μέγιστη ώση ανόδου	ZERO	10 000			
DC950	DEFAULT	3	1	Απογείωση	Μέγιστη ώση απογείωσης	15				
DC950	DEFAULT	3	2	Άνοδος	Μέγιστη ώση απογείωσης	15	1 000			
DC950	DEFAULT	3	3	Επιτάχυνση	Μέγιστη ώση απογείωσης	15		1 698	170	
DC950	DEFAULT	3	4	Επιτάχυνση	Μέγιστη ώση απογείωσης	5		1 274	180	
DC950	DEFAULT	3	5	Επιτάχυνση	Μέγιστη ώση ανόδου	INTR		1 000	215	
DC950	DEFAULT	3	6	Άνοδος	Μέγιστη ώση ανόδου	ZERO	3 000			

▼**M2**

ACFTID	Profile_ID (Προφίλ αναχώρησης)	Μήκος καλυπτόμενης διαδρομής	Αριθμός σταδίου	Είδος σταδίου	Μέγεθος ώσης	Flap_ID (Θέση πτερυγίων καμπυλότητας)	Οροφή ανόδου (ft)	Ρυθμός ανόδου (ft/min)	Διακριβωμένη ταχύτητα αέρα στην οροφή ανόδου (kt)	Ποσοστό επιτάχυνσης (%)
DC950	DEFAULT	3	7	Επιτάχυνση	Μέγιστη ώση ανόδου	ZERO		1 000	250	
DC950	DEFAULT	3	8	Άνοδος	Μέγιστη ώση ανόδου	ZERO	5 500			
DC950	DEFAULT	3	9	Άνοδος	Μέγιστη ώση ανόδου	ZERO	7 500			
DC950	DEFAULT	3	10	Άνοδος	Μέγιστη ώση ανόδου	ZERO	10 000			
DC95HW	DEFAULT	1	1	Απογείωση	Μέγιστη ώση απογείωσης	15				
DC95HW	DEFAULT	1	2	Άνοδος	Μέγιστη ώση απογείωσης	15	1 000			
DC95HW	DEFAULT	1	3	Επιτάχυνση	Μέγιστη ώση απογείωσης	15		1 983	159	
DC95HW	DEFAULT	1	4	Επιτάχυνση	Μέγιστη ώση απογείωσης	5		1 487	169	
DC95HW	DEFAULT	1	5	Επιτάχυνση	Μέγιστη ώση ανόδου	INTR		1 000	204	
DC95HW	DEFAULT	1	6	Άνοδος	Μέγιστη ώση ανόδου	ZERO	3 000			
DC95HW	DEFAULT	1	7	Επιτάχυνση	Μέγιστη ώση ανόδου	ZERO		1 000	250	
DC95HW	DEFAULT	1	8	Άνοδος	Μέγιστη ώση ανόδου	ZERO	5 500			
DC95HW	DEFAULT	1	9	Άνοδος	Μέγιστη ώση ανόδου	ZERO	7 500			

▼**M2**

ACFTID	Profile_ID (Προφίλ αναχώρησης)	Μήκος καλυπτόμενης διαδρομής	Αριθμός σταδίου	Είδος σταδίου	Μέγεθος ώσης	Flap_ID (Θέση πτερυγίων καμπυλότητας)	Οροφή ανόδου (ft)	Ρυθμός ανόδου (ft/min)	Διακριβωμένη ταχύτητα αέρα στην οροφή ανόδου (kt)	Ποσοστό επιτάχυνσης (%)
DC95HW	DEFAULT	1	10	Άνοδος	Μέγιστη ώση ανόδου	ZERO	10 000			
DC95HW	DEFAULT	2	1	Απογείωση	Μέγιστη ώση απογείωσης	15				
DC95HW	DEFAULT	2	2	Άνοδος	Μέγιστη ώση απογείωσης	15	1 000			
DC95HW	DEFAULT	2	3	Επιτάχυνση	Μέγιστη ώση απογείωσης	15		1 843	164	
DC95HW	DEFAULT	2	4	Επιτάχυνση	Μέγιστη ώση απογείωσης	5		1 382	174	
DC95HW	DEFAULT	2	5	Επιτάχυνση	Μέγιστη ώση ανόδου	INTR		1 000	209	
DC95HW	DEFAULT	2	6	Άνοδος	Μέγιστη ώση ανόδου	ZERO	3 000			
DC95HW	DEFAULT	2	7	Επιτάχυνση	Μέγιστη ώση ανόδου	ZERO		1 000	250	
DC95HW	DEFAULT	2	8	Άνοδος	Μέγιστη ώση ανόδου	ZERO	5 500			
DC95HW	DEFAULT	2	9	Άνοδος	Μέγιστη ώση ανόδου	ZERO	7 500			
DC95HW	DEFAULT	2	10	Άνοδος	Μέγιστη ώση ανόδου	ZERO	10 000			
DC95HW	DEFAULT	3	1	Απογείωση	Μέγιστη ώση απογείωσης	15				
DC95HW	DEFAULT	3	2	Άνοδος	Μέγιστη ώση απογείωσης	15	1 000			

▼**M2**

ACFTID	Profile_ID (Προφίλ αναχώρησης)	Μήκος καλυπτόμενης διαδρομής	Αριθμός σταδίου	Είδος σταδίου	Μέγεθος ώσης	Flap_ID (Θέση πτερυγίων καμπυλότητας)	Οροφή ανόδου (ft)	Ρυθμός ανόδου (ft/min)	Διακριβωμένη ταχύτητα αέρα στην οροφή ανόδου (kt)	Ποσοστό επιτάχυνσης (%)
DC95HW	DEFAULT	3	3	Επιτάχυνση	Μέγιστη ώση απογείωσης	15		1 698	170	
DC95HW	DEFAULT	3	4	Επιτάχυνση	Μέγιστη ώση απογείωσης	5		1 274	180	
DC95HW	DEFAULT	3	5	Επιτάχυνση	Μέγιστη ώση ανόδου	INTR		1 000	215	
DC95HW	DEFAULT	3	6	Άνοδος	Μέγιστη ώση ανόδου	ZERO	3 000			
DC95HW	DEFAULT	3	7	Επιτάχυνση	Μέγιστη ώση ανόδου	ZERO		1 000	250	
DC95HW	DEFAULT	3	8	Άνοδος	Μέγιστη ώση ανόδου	ZERO	5 500			
DC95HW	DEFAULT	3	9	Άνοδος	Μέγιστη ώση ανόδου	ZERO	7 500			
DC95HW	DEFAULT	3	10	Άνοδος	Μέγιστη ώση ανόδου	ZERO	10 000			
DC9Q7	DEFAULT	1	1	Απογείωση	Μέγιστη ώση απογείωσης	15				
DC9Q7	DEFAULT	1	2	Άνοδος	Μέγιστη ώση απογείωσης	15	1 000			
DC9Q7	DEFAULT	1	3	Επιτάχυνση	Μέγιστη ώση απογείωσης	15		2 296	136	
DC9Q7	DEFAULT	1	4	Επιτάχυνση	Μέγιστη ώση απογείωσης	5		1 722	146	
DC9Q7	DEFAULT	1	5	Επιτάχυνση	Μέγιστη ώση ανόδου	INT		1 000	181	
DC9Q7	DEFAULT	1	6	Άνοδος	Μέγιστη ώση ανόδου	ZERO	3 000			

▼**M2**

ACFTID	Profile_ID (Προφίλ αναχώρησης)	Μήκος καλυπτόμενης διαδρομής	Αριθμός σταδίου	Είδος σταδίου	Μέγεθος ώσης	Flap_ID (Θέση πτερυγίων καμπυλότητας)	Οροφή ανόδου (ft)	Ρυθμός ανόδου (ft/min)	Διακριβωμένη ταχύτητα αέρα στην οροφή ανόδου (kt)	Ποσοστό επιτάχυνσης (%)
DC9Q7	DEFAULT	1	7	Επιτάχυνση	Μέγιστη ώση ανόδου	ZERO		1 000	250	
DC9Q7	DEFAULT	1	8	Άνοδος	Μέγιστη ώση ανόδου	ZERO	5 500			
DC9Q7	DEFAULT	1	9	Άνοδος	Μέγιστη ώση ανόδου	ZERO	7 500			
DC9Q7	DEFAULT	1	10	Άνοδος	Μέγιστη ώση ανόδου	ZERO	10 000			
DC9Q7	DEFAULT	2	1	Απογείωση	Μέγιστη ώση απογείωσης	15				
DC9Q7	DEFAULT	2	2	Άνοδος	Μέγιστη ώση απογείωσης	15	1 000			
DC9Q7	DEFAULT	2	3	Επιτάχυνση	Μέγιστη ώση απογείωσης	15		2 070	143	
DC9Q7	DEFAULT	2	4	Επιτάχυνση	Μέγιστη ώση απογείωσης	5		1 553	153	
DC9Q7	DEFAULT	2	5	Επιτάχυνση	Μέγιστη ώση ανόδου	INT		1 000	188	
DC9Q7	DEFAULT	2	6	Άνοδος	Μέγιστη ώση ανόδου	ZERO	3 000			
DC9Q7	DEFAULT	2	7	Επιτάχυνση	Μέγιστη ώση ανόδου	ZERO		1 000	250	
DC9Q7	DEFAULT	2	8	Άνοδος	Μέγιστη ώση ανόδου	ZERO	5 500			
DC9Q7	DEFAULT	2	9	Άνοδος	Μέγιστη ώση ανόδου	ZERO	7 500			
DC9Q7	DEFAULT	2	10	Άνοδος	Μέγιστη ώση ανόδου	ZERO	10 000			

▼**M2**

ACFTID	Profile_ID (Προφίλ αναχώρησης)	Μήκος καλυπτόμενης διαδρομής	Αριθμός σταδίου	Είδος σταδίου	Μέγεθος ώσης	Flap_ID (Θέση πτερυγίων καμπυλότητας)	Οροφή ανόδου (ft)	Ρυθμός ανόδου (ft/min)	Διακριβωμένη ταχύτητα αέρα στην οροφή ανόδου (kt)	Ποσοστό επιτάχυνσης (%)
DC9Q7	DEFAULT	3	1	Απογείωση	Μέγιστη ώση απογείωσης	15				
DC9Q7	DEFAULT	3	2	Άνοδος	Μέγιστη ώση απογείωσης	15	1 000			
DC9Q7	DEFAULT	3	3	Επιτάχυνση	Μέγιστη ώση απογείωσης	15		1 901	149	
DC9Q7	DEFAULT	3	4	Επιτάχυνση	Μέγιστη ώση απογείωσης	5		1 426	159	
DC9Q7	DEFAULT	3	5	Επιτάχυνση	Μέγιστη ώση ανόδου	INT		1 000	194	
DC9Q7	DEFAULT	3	6	Άνοδος	Μέγιστη ώση ανόδου	ZERO	3 000			
DC9Q7	DEFAULT	3	7	Επιτάχυνση	Μέγιστη ώση ανόδου	ZERO		1 000	250	
DC9Q7	DEFAULT	3	8	Άνοδος	Μέγιστη ώση ανόδου	ZERO	5 500			
DC9Q7	DEFAULT	3	9	Άνοδος	Μέγιστη ώση ανόδου	ZERO	7 500			
DC9Q7	DEFAULT	3	10	Άνοδος	Μέγιστη ώση ανόδου	ZERO	10 000			
DC9Q9	DEFAULT	1	1	Απογείωση	Μέγιστη ώση απογείωσης	15				
DC9Q9	DEFAULT	1	2	Άνοδος	Μέγιστη ώση απογείωσης	15	1 000			
DC9Q9	DEFAULT	1	3	Επιτάχυνση	Μέγιστη ώση απογείωσης	15		1 741	154	
DC9Q9	DEFAULT	1	4	Επιτάχυνση	Μέγιστη ώση απογείωσης	5		1 306	164	
DC9Q9	DEFAULT	1	5	Επιτάχυνση	Μέγιστη ώση ανόδου	INT		1 000	199	

▼**M2**

ACFTID	Profile_ID (Προφίλ αναχώρησης)	Μήκος καλυπτόμενης διαδρομής	Αριθμός σταδίου	Είδος σταδίου	Μέγεθος ώσης	Flap_ID (Θέση πτερυγίων καμπυλότητας)	Οροφή ανόδου (ft)	Ρυθμός ανόδου (ft/min)	Διακριβωμένη ταχύτητα αέρα στην οροφή ανόδου (kt)	Ποσοστό επιτάχυνσης (%)
DC9Q9	DEFAULT	1	6	Άνοδος	Μέγιστη ώση ανόδου	ZERO	3 000			
DC9Q9	DEFAULT	1	7	Επιτάχυνση	Μέγιστη ώση ανόδου	ZERO		1 000	250	
DC9Q9	DEFAULT	1	8	Άνοδος	Μέγιστη ώση ανόδου	ZERO	5 500			
DC9Q9	DEFAULT	1	9	Άνοδος	Μέγιστη ώση ανόδου	ZERO	7 500			
DC9Q9	DEFAULT	1	10	Άνοδος	Μέγιστη ώση ανόδου	ZERO	10 000			
DC9Q9	DEFAULT	2	1	Απογείωση	Μέγιστη ώση απογείωσης	15				
DC9Q9	DEFAULT	2	2	Άνοδος	Μέγιστη ώση απογείωσης	15	1 000			
DC9Q9	DEFAULT	2	3	Επιτάχυνση	Μέγιστη ώση απογείωσης	15		1 559	161	
DC9Q9	DEFAULT	2	4	Επιτάχυνση	Μέγιστη ώση απογείωσης	5		1 169	171	
DC9Q9	DEFAULT	2	5	Επιτάχυνση	Μέγιστη ώση ανόδου	INT		1 000	206	
DC9Q9	DEFAULT	2	6	Άνοδος	Μέγιστη ώση ανόδου	ZERO	3 000			
DC9Q9	DEFAULT	2	7	Επιτάχυνση	Μέγιστη ώση ανόδου	ZERO		1 000	250	
DC9Q9	DEFAULT	2	8	Άνοδος	Μέγιστη ώση ανόδου	ZERO	5 500			
DC9Q9	DEFAULT	2	9	Άνοδος	Μέγιστη ώση ανόδου	ZERO	7 500			

▼**M2**

ACFTID	Profile_ID (Προφίλ αναχώρησης)	Μήκος καλυπτόμενης διαδρομής	Αριθμός σταδίου	Είδος σταδίου	Μέγεθος ώσης	Flap_ID (Θέση πτερυγίων καμπυλότητας)	Οροφή ανόδου (ft)	Ρυθμός ανόδου (ft/min)	Διακριβωμένη ταχύτητα αέρα στην οροφή ανόδου (kt)	Ποσοστό επιτάχυνσης (%)
DC9Q9	DEFAULT	2	10	Άνοδος	Μέγιστη ώση ανόδου	ZERO	10 000			
DC9Q9	DEFAULT	3	1	Απογείωση	Μέγιστη ώση απογείωσης	15				
DC9Q9	DEFAULT	3	2	Άνοδος	Μέγιστη ώση απογείωσης	15	1 000			
DC9Q9	DEFAULT	3	3	Επιτάχυνση	Μέγιστη ώση απογείωσης	15		1 406	168	
DC9Q9	DEFAULT	3	4	Επιτάχυνση	Μέγιστη ώση απογείωσης	5		1 055	178	
DC9Q9	DEFAULT	3	5	Επιτάχυνση	Μέγιστη ώση ανόδου	INT		1 000	213	
DC9Q9	DEFAULT	3	6	Άνοδος	Μέγιστη ώση ανόδου	ZERO	3 000			
DC9Q9	DEFAULT	3	7	Επιτάχυνση	Μέγιστη ώση ανόδου	ZERO		1 000	250	
DC9Q9	DEFAULT	3	8	Άνοδος	Μέγιστη ώση ανόδου	ZERO	5 500			
DC9Q9	DEFAULT	3	9	Άνοδος	Μέγιστη ώση ανόδου	ZERO	7 500			
DC9Q9	DEFAULT	3	10	Άνοδος	Μέγιστη ώση ανόδου	ZERO	10 000			
DHC6	DEFAULT	1	1	Απογείωση	Μέγιστη ώση απογείωσης	TO				
DHC6	DEFAULT	1	2	Άνοδος	Μέγιστη ώση απογείωσης	TO	1 000			
DHC6	DEFAULT	1	3	Επιτάχυνση	Μέγιστη ώση απογείωσης	TO		952	98	
DHC6	DEFAULT	1	4	Άνοδος	Μέγιστη ώση ανόδου	ZERO	3 000			

▼**M2**

ACFTID	Profile_ID (Προφίλ αναχώρησης)	Μήκος καλυπτόμενης διαδρομής	Αριθμός σταδίου	Είδος σταδίου	Μέγεθος ώσης	Flap_ID (Θέση πτερυγίων καμπυλότητας)	Οροφή ανόδου (ft)	Ρυθμός ανόδου (ft/min)	Διακριβωμένη ταχύτητα αέρα στην οροφή ανόδου (kt)	Ποσοστό επιτάχυνσης (%)
DHC6	DEFAULT	1	5	Άνοδος	Μέγιστη ώση ανόδου	ZERO	5 500			
DHC6	DEFAULT	1	6	Άνοδος	Μέγιστη ώση ανόδου	ZERO	7 500			
DHC6	DEFAULT	1	7	Άνοδος	Μέγιστη ώση ανόδου	ZERO	10 000			
DHC6QP	DEFAULT	1	1	Απογείωση	Μέγιστη ώση απογείωσης	TO				
DHC6QP	DEFAULT	1	2	Άνοδος	Μέγιστη ώση απογείωσης	TO	1 000			
DHC6QP	DEFAULT	1	3	Επιτάχυνση	Μέγιστη ώση απογείωσης	TO		952	98	
DHC6QP	DEFAULT	1	4	Άνοδος	Μέγιστη ώση ανόδου	ZERO	3 000			
DHC6QP	DEFAULT	1	5	Άνοδος	Μέγιστη ώση ανόδου	ZERO	5 500			
DHC6QP	DEFAULT	1	6	Άνοδος	Μέγιστη ώση ανόδου	ZERO	7 500			
DHC6QP	DEFAULT	1	7	Άνοδος	Μέγιστη ώση ανόδου	ZERO	10 000			
DHC7	DEFAULT	1	1	Απογείωση	Μέγιστη ώση απογείωσης	25				
DHC7	DEFAULT	1	2	Άνοδος	Μέγιστη ώση απογείωσης	25	1 000			
DHC7	DEFAULT	1	3	Επιτάχυνση	Μέγιστη ώση απογείωσης	25		933	102	
DHC7	DEFAULT	1	4	Επιτάχυνση	Μέγιστη ώση απογείωσης	10		700	122	

▼**M2**

ACFTID	Profile_ID (Προφίλ αναχώρησης)	Μήκος καλυπτόμενης διαδρομής	Αριθμός σταδίου	Είδος σταδίου	Μέγεθος ώσης	Flap_ID (Θέση πτερυγίων καμπυλότητας)	Οροφή ανόδου (ft)	Ρυθμός ανόδου (ft/min)	Διακριβωμένη ταχύτητα αέρα στην οροφή ανόδου (kt)	Ποσοστό επιτάχυνσης (%)
DHC7	DEFAULT	1	5	Άνοδος	Μέγιστη ώση ανόδου	ZERO	3 000			
DHC7	DEFAULT	1	6	Επιτάχυνση	Μέγιστη ώση ανόδου	ZERO		700	160	
DHC7	DEFAULT	1	7	Άνοδος	Μέγιστη ώση ανόδου	ZERO	5 500			
DHC7	DEFAULT	1	8	Άνοδος	Μέγιστη ώση ανόδου	ZERO	7 500			
DHC7	DEFAULT	1	9	Άνοδος	Μέγιστη ώση ανόδου	ZERO	10 000			
DHC8	DEFAULT	1	1	Απογείωση	Μέγιστη ώση απογείωσης	15				
DHC8	DEFAULT	1	2	Άνοδος	Μέγιστη ώση απογείωσης	15	1 000			
DHC8	DEFAULT	1	3	Επιτάχυνση	Μέγιστη ώση απογείωσης	15		1 491	110	
DHC8	DEFAULT	1	4	Επιτάχυνση	Μέγιστη ώση ανόδου	5		1 119	125	
DHC8	DEFAULT	1	5	Άνοδος	Μέγιστη ώση ανόδου	ZERO	3 000			
DHC8	DEFAULT	1	6	Επιτάχυνση	Μέγιστη ώση ανόδου	ZERO		1 119	165	
DHC8	DEFAULT	1	7	Άνοδος	Μέγιστη ώση ανόδου	ZERO	5 500			
DHC8	DEFAULT	1	8	Άνοδος	Μέγιστη ώση ανόδου	ZERO	7 500			
DHC8	DEFAULT	1	9	Άνοδος	Μέγιστη ώση ανόδου	ZERO	10 000			

▼**M2**

Πίνακας Θ-4 (μέρος 4)

Διαδικαστικά στάδια καθιερωμένης αναχώρησης

ACFTID	Profile_ID (Προφίλ αναχώρησης)	Μήκος καλυπτόμενης διαδρομής	Αριθμός σταδίου	Είδος σταδίου	Μέγεθος ώσης	Flap_ID (Θέση πτερυγίων καμπυλότητας)	Οροφή ανόδου (ft)	Ρυθμός ανόδου (ft/min)	Διακριβωμένη ταχύτητα αέρα στην οροφή ανόδου (kt)	Ποσοστό επιτάχυνσης (%)
DHC830	DEFAULT	1	1	Απογείωση	Μέγιστη ώση απογείωσης	10				
DHC830	DEFAULT	1	2	Άνοδος	Μέγιστη ώση απογείωσης	10	1 000			
DHC830	DEFAULT	1	3	Επιτάχυνση	Μέγιστη ώση απογείωσης	10		1 280	122	
DHC830	DEFAULT	1	4	Επιτάχυνση	Μέγιστη ώση ανόδου	5		960	137	
DHC830	DEFAULT	1	5	Άνοδος	Μέγιστη ώση ανόδου	ZERO	3 000			
DHC830	DEFAULT	1	6	Επιτάχυνση	Μέγιστη ώση ανόδου	ZERO		960	179	
DHC830	DEFAULT	1	7	Άνοδος	Μέγιστη ώση ανόδου	ZERO	5 500			
DHC830	DEFAULT	1	8	Άνοδος	Μέγιστη ώση ανόδου	ZERO	7 500			
DHC830	DEFAULT	1	9	Άνοδος	Μέγιστη ώση ανόδου	ZERO	10 000			
DO228	DEFAULT	1	1	Απογείωση	Μέγιστη ώση απογείωσης	FLAPS1				
DO228	DEFAULT	1	2	Επιτάχυνση	Μέγιστη ώση απογείωσης	FLAPS1		1 000	101	
DO228	DEFAULT	1	3	Άνοδος	Μέγιστη ώση απογείωσης	ZERO	1 000			
DO228	DEFAULT	1	4	Επιτάχυνση	Μέγιστη ώση ανόδου	ZERO		1 000	122	

▼**M2**

ACFTID	Profile_ID (Προφίλ αναχώρησης)	Μήκος καλυπτόμενης διαδρομής	Αριθμός σταδίου	Είδος σταδίου	Μέγεθος ώσης	Flap_ID (Θέση πτερυγίων καμπυλότητας)	Οροφή ανόδου (ft)	Ρυθμός ανόδου (ft/min)	Διακριβωμένη ταχύτητα αέρα στην οροφή ανόδου (kt)	Ποσοστό επιτάχυνσης (%)
DO228	DEFAULT	1	5	Άνοδος	Μέγιστη ώση ανόδου	ZERO	2 000			
DO228	DEFAULT	1	6	Άνοδος	Μέγιστη ώση ανόδου	ZERO	4 000			
DO228	DEFAULT	1	7	Άνοδος	Μέγιστη ώση ανόδου	ZERO	6 000			
DO228	DEFAULT	1	8	Άνοδος	Μέγιστη ώση ανόδου	ZERO	8 000			
DO228	DEFAULT	1	9	Άνοδος	Μέγιστη ώση ανόδου	ZERO	10 000			
DO328	DEFAULT	1	1	Απογείωση	Μέγιστη ώση απογείωσης	F12-D				
DO328	DEFAULT	1	2	Επιτάχυνση	Μέγιστη ώση απογείωσης	F12-D		1 000	120	
DO328	DEFAULT	1	3	Άνοδος	Μέγιστη ώση απογείωσης	ZERO	1 000			
DO328	DEFAULT	1	4	Επιτάχυνση	Μέγιστη ώση απογείωσης	ZERO		1 000	130	
DO328	DEFAULT	1	5	Άνοδος	Μέγιστη ώση ανόδου	ZERO	2 000			
DO328	DEFAULT	1	6	Άνοδος	Μέγιστη ώση ανόδου	ZERO	4 000			
DO328	DEFAULT	1	7	Άνοδος	Μέγιστη ώση ανόδου	ZERO	6 000			
DO328	DEFAULT	1	8	Άνοδος	Μέγιστη ώση ανόδου	ZERO	8 000			

▼**M2**

ACFTID	Profile_ID (Προφίλ αναχώρησης)	Μήκος καλυπτόμενης διαδρομής	Αριθμός σταδίου	Είδος σταδίου	Μέγεθος ώσης	Flap_ID (Θέση πτερυγίων καμπυλότητας)	Οροφή ανόδου (ft)	Ρυθμός ανόδου (ft/min)	Διακριβωμένη ταχύτητα αέρα στην οροφή ανόδου (kt)	Ποσοστό επιτάχυνσης (%)
DO328	DEFAULT	1	9	Άνοδος	Μέγιστη ώση ανόδου	ZERO	10 000			
ECLIPSE500	DEFAULT	1	1	Απογείωση	Μέγιστη ώση απογείωσης	TO_DN				
ECLIPSE500	DEFAULT	1	2	Άνοδος	Μέγιστη ώση απογείωσης	TO_DN	200			
ECLIPSE500	DEFAULT	1	3	Άνοδος	Μέγιστη ώση απογείωσης	TO_UP	400			
ECLIPSE500	DEFAULT	1	4	Επιτάχυνση	Μέγιστη ώση ανόδου	UP_UP		1 972,9	114	
ECLIPSE500	DEFAULT	1	5	Επιτάχυνση	Μέγιστη ώση ανόδου	UP_UP		2 153,3	130,7	
ECLIPSE500	DEFAULT	1	6	Επιτάχυνση	Μέγιστη ώση ανόδου	UP_UP		2 276	145,3	
ECLIPSE500	DEFAULT	1	7	Επιτάχυνση	Μέγιστη ώση ανόδου	UP_UP		2 313,3	158,2	
ECLIPSE500	DEFAULT	1	8	Επιτάχυνση	Μέγιστη ώση ανόδου	UP_UP		2 288,2	170	
ECLIPSE500	DEFAULT	1	9	Άνοδος	Μείωση ανόδου	UP_UP	6 000			
ECLIPSE500	DEFAULT	1	10	Άνοδος	Μείωση ανόδου	UP_UP	8 000			
ECLIPSE500	DEFAULT	1	11	Άνοδος	Μείωση ανόδου	UP_UP	10 000			
ECLIPSE500	DEFAULT	2	1	Απογείωση	Μέγιστη ώση απογείωσης	TO_DN				
ECLIPSE500	DEFAULT	2	2	Άνοδος	Μέγιστη ώση απογείωσης	TO_DN	200			

▼**M2**

ACFTID	Profile_ID (Προφίλ αναχώρησης)	Μήκος καλυπτόμενης διαδρομής	Αριθμός σταδίου	Είδος σταδίου	Μέγεθος ώσης	Flap_ID (Θέση πτερυγίων καμπυλότητας)	Οροφή ανόδου (ft)	Ρυθμός ανόδου (ft/min)	Διακριβωμένη ταχύτητα αέρα στην οροφή ανόδου (kt)	Ποσοστό επιτάχυνσης (%)
ECLIPSE500	DEFAULT	2	3	Άνοδος	Μέγιστη ώση απογείωσης	TO_UP	400			
ECLIPSE500	DEFAULT	2	4	Επιτάχυνση	Μέγιστη ώση ανόδου	UP_UP		1 803,3	114,8	
ECLIPSE500	DEFAULT	2	5	Επιτάχυνση	Μέγιστη ώση ανόδου	UP_UP		1 971,7	131,2	
ECLIPSE500	DEFAULT	2	6	Επιτάχυνση	Μέγιστη ώση ανόδου	UP_UP		2 087,6	145,6	
ECLIPSE500	DEFAULT	2	7	Επιτάχυνση	Μέγιστη ώση ανόδου	UP_UP		2 124,1	158,4	
ECLIPSE500	DEFAULT	2	8	Επιτάχυνση	Μέγιστη ώση ανόδου	UP_UP		2 102,8	170	
ECLIPSE500	DEFAULT	2	9	Άνοδος	Μείωση ανόδου	UP_UP	6 000			
ECLIPSE500	DEFAULT	2	10	Άνοδος	Μείωση ανόδου	UP_UP	8 000			
ECLIPSE500	DEFAULT	2	11	Άνοδος	Μείωση ανόδου	UP_UP	10 000			
ECLIPSE500	DEFAULT	3	1	Απογείωση	Μέγιστη ώση απογείωσης	TO_DN				
ECLIPSE500	DEFAULT	3	2	Άνοδος	Μέγιστη ώση απογείωσης	TO_DN	200			
ECLIPSE500	DEFAULT	3	3	Άνοδος	Μέγιστη ώση απογείωσης	TO_UP	400			
ECLIPSE500	DEFAULT	3	4	Επιτάχυνση	Μέγιστη ώση ανόδου	UP_UP		1 760,4	115	
ECLIPSE500	DEFAULT	3	5	Επιτάχυνση	Μέγιστη ώση ανόδου	UP_UP		1 926,2	131,4	

▼**M2**

ACFTID	Profile_ID (Προφίλ αναχώρησης)	Μήκος καλυπτόμενης διαδρομής	Αριθμός σταδίου	Είδος σταδίου	Μέγεθος ώσης	Flap_ID (Θέση πτερυγίων καμπυλότητας)	Οροφή ανόδου (ft)	Ρυθμός ανόδου (ft/min)	Διακριβωμένη ταχύτητα αέρα στην οροφή ανόδου (kt)	Ποσοστό επιτάχυνσης (%)
ECLIPSE500	DEFAULT	3	6	Επιτάχυνση	Μέγιστη ώση ανόδου	UP_UP		2 039,6	145,7	
ECLIPSE500	DEFAULT	3	7	Επιτάχυνση	Μέγιστη ώση ανόδου	UP_UP		2 075,3	158,4	
ECLIPSE500	DEFAULT	3	8	Επιτάχυνση	Μέγιστη ώση ανόδου	UP_UP		2 054,5	170	
ECLIPSE500	DEFAULT	3	9	Άνοδος	Μείωση ανόδου	UP_UP	6 000			
ECLIPSE500	DEFAULT	3	10	Άνοδος	Μείωση ανόδου	UP_UP	8 000			
ECLIPSE500	DEFAULT	3	11	Άνοδος	Μείωση ανόδου	UP_UP	10 000			
ECLIPSE500	HI_ALT	1	1	Απογείωση	Μέγιστη ώση απογείωσης	TO_DN				
ECLIPSE500	HI_ALT	1	2	Άνοδος	Μέγιστη ώση απογείωσης	TO_DN	200			
ECLIPSE500	HI_ALT	1	3	Άνοδος	Μέγιστη ώση απογείωσης	TO_UP	400			
ECLIPSE500	HI_ALT	1	4	Επιτάχυνση	Μείωση ανόδου	UP_UP		1 798,3	113,9	
ECLIPSE500	HI_ALT	1	5	Επιτάχυνση	Μείωση ανόδου	UP_UP		1 951,8	130,7	
ECLIPSE500	HI_ALT	1	6	Επιτάχυνση	Μείωση ανόδου	UP_UP		2 043,9	145,3	
ECLIPSE500	HI_ALT	1	7	Επιτάχυνση	Μείωση ανόδου	UP_UP		2 054,7	158,2	
ECLIPSE500	HI_ALT	1	8	Επιτάχυνση	Μείωση ανόδου	UP_UP		1 998,7	170	

▼**M2**

ACFTID	Profile_ID (Προφίλ αναχώρησης)	Μήκος καλυπτόμενης διαδρομής	Αριθμός σταδίου	Είδος σταδίου	Μέγεθος ώσης	Flap_ID (Θέση πτερυγίων καμπυλότητας)	Οροφή ανόδου (ft)	Ρυθμός ανόδου (ft/min)	Διακριβωμένη ταχύτητα αέρα στην οροφή ανόδου (kt)	Ποσοστό επιτάχυνσης (%)
ECLIPSE500	HI_ALT	1	9	Άνοδος	Μείωση ανόδου	UP_UP	6 000			
ECLIPSE500	HI_ALT	1	10	Άνοδος	Μείωση ανόδου	UP_UP	8 000			
ECLIPSE500	HI_ALT	1	11	Άνοδος	Μείωση ανόδου	UP_UP	10 000			
ECLIPSE500	HI_ALT	2	1	Απογείωση	Μέγιστη ώση απογείωσης	TO_DN				
ECLIPSE500	HI_ALT	2	2	Άνοδος	Μέγιστη ώση απογείωσης	TO_DN	200			
ECLIPSE500	HI_ALT	2	3	Άνοδος	Μέγιστη ώση απογείωσης	TO_UP	400			
ECLIPSE500	HI_ALT	2	4	Επιτάχυνση	Μείωση ανόδου	UP_UP		1 637	114,8	
ECLIPSE500	HI_ALT	2	5	Επιτάχυνση	Μείωση ανόδου	UP_UP		1 780,8	131,2	
ECLIPSE500	HI_ALT	2	6	Επιτάχυνση	Μείωση ανόδου	UP_UP		1 868,3	145,6	
ECLIPSE500	HI_ALT	2	7	Επιτάχυνση	Μείωση ανόδου	UP_UP		1 880,3	158,4	
ECLIPSE500	HI_ALT	2	8	Επιτάχυνση	Μείωση ανόδου	UP_UP		1 838,2	170	
ECLIPSE500	HI_ALT	2	9	Άνοδος	Μείωση ανόδου	UP_UP	6 000			
ECLIPSE500	HI_ALT	2	10	Άνοδος	Μείωση ανόδου	UP_UP	8 000			
ECLIPSE500	HI_ALT	2	11	Άνοδος	Μείωση ανόδου	UP_UP	10 000			

▼**M2**

ACFTID	Profile_ID (Προφίλ αναχώρησης)	Μήκος καλυπτόμενης διαδρομής	Αριθμός σταδίου	Είδος σταδίου	Μέγεθος ώσης	Flap_ID (Θέση πτερυγίων καμπυλότητας)	Οροφή ανόδου (ft)	Ρυθμός ανόδου (ft/min)	Διακριβωμένη ταχύτητα αέρα στην οροφή ανόδου (kt)	Ποσοστό επιτάχυνσης (%)
ECLIPSE500	HI_ALT	3	1	Απογείωση	Μέγιστη ώση απογείωσης	TO_DN				
ECLIPSE500	HI_ALT	3	2	Άνοδος	Μέγιστη ώση απογείωσης	TO_DN	200			
ECLIPSE500	HI_ALT	3	3	Άνοδος	Μέγιστη ώση απογείωσης	TO_UP	400			
ECLIPSE500	HI_ALT	3	4	Επιτάχυνση	Μείωση ανόδου	UP_UP		1 595,5	115	
ECLIPSE500	HI_ALT	3	5	Επιτάχυνση	Μείωση ανόδου	UP_UP		1 736,8	131,4	
ECLIPSE500	HI_ALT	3	6	Επιτάχυνση	Μείωση ανόδου	UP_UP		1 823,1	145,6	
ECLIPSE500	HI_ALT	3	7	Επιτάχυνση	Μείωση ανόδου	UP_UP		1 835,6	158,4	
ECLIPSE500	HI_ALT	3	8	Επιτάχυνση	Μείωση ανόδου	UP_UP		1 794,8	170	
ECLIPSE500	HI_ALT	3	9	Άνοδος	Μείωση ανόδου	UP_UP	6 000			
ECLIPSE500	HI_ALT	3	10	Άνοδος	Μείωση ανόδου	UP_UP	8 000			
ECLIPSE500	HI_ALT	3	11	Άνοδος	Μείωση ανόδου	UP_UP	10 000			
EMB120	DEFAULT	1	1	Απογείωση	Μέγιστη ώση απογείωσης	15				
EMB120	DEFAULT	1	2	Άνοδος	Μέγιστη ώση απογείωσης	15	1 000			
EMB120	DEFAULT	1	3	Επιτάχυνση	Μέγιστη ώση απογείωσης	15		460	130	

▼**M2**

ACFTID	Profile_ID (Προφίλ αναχώρησης)	Μήκος καλυπτόμενης διαδρομής	Αριθμός σταδίου	Είδος σταδίου	Μέγεθος ώσης	Flap_ID (Θέση πτερυγίων καμπυλότητας)	Οροφή ανόδου (ft)	Ρυθμός ανόδου (ft/min)	Διακριβωμένη ταχύτητα αέρα στην οροφή ανόδου (kt)	Ποσοστό επιτάχυνσης (%)
EMB120	DEFAULT	1	4	Επιτάχυνση	Μέγιστη ώση απογείωσης	ZERO		345	135	
EMB120	DEFAULT	1	5	Επιτάχυνση	Μέγιστη ώση ανόδου	ZERO		1 000	143	
EMB120	DEFAULT	1	6	Άνοδος	Μέγιστη ώση ανόδου	ZERO	3 000			
EMB120	DEFAULT	1	7	Άνοδος	Μέγιστη ώση ανόδου	ZERO	5 500			
EMB120	DEFAULT	1	8	Άνοδος	Μέγιστη ώση ανόδου	ZERO	7 500			
EMB120	DEFAULT	1	9	Άνοδος	Μέγιστη ώση ανόδου	ZERO	10 000			
EMB145	DEFAULT	1	1	Απογείωση	Μέγιστη ώση απογείωσης	9-GEAR				
EMB145	DEFAULT	1	2	Άνοδος	Μέγιστη ώση απογείωσης	9	1 000			
EMB145	DEFAULT	1	3	Επιτάχυνση	Μέγιστη ώση ανόδου	ZERO		1 367	220	
EMB145	DEFAULT	1	4	Άνοδος	Μέγιστη ώση ανόδου	ZERO	3 000			
EMB145	DEFAULT	1	5	Επιτάχυνση	Μέγιστη ώση ανόδου	ZERO		1 000	250	
EMB145	DEFAULT	1	6	Άνοδος	Μέγιστη ώση ανόδου	ZERO	5 500			
EMB145	DEFAULT	1	7	Άνοδος	Μέγιστη ώση ανόδου	ZERO	7 500			
EMB145	DEFAULT	1	8	Άνοδος	Μέγιστη ώση ανόδου	ZERO	10 000			

▼**M2**

ACFTID	Profile_ID (Προφίλ αναχώρησης)	Μήκος καλυπτόμενης διαδρομής	Αριθμός σταδίου	Είδος σταδίου	Μέγεθος ώσης	Flap_ID (Θέση πτερυγίων καμπυλότητας)	Οροφή ανόδου (ft)	Ρυθμός ανόδου (ft/min)	Διακριβωμένη ταχύτητα αέρα στην οροφή ανόδου (kt)	Ποσοστό επιτάχυνσης (%)
EMB145	DEFAULT	2	1	Απογείωση	Μέγιστη ώση απογείωσης	9-GEAR				
EMB145	DEFAULT	2	2	Άνοδος	Μέγιστη ώση απογείωσης	9	1 000			
EMB145	DEFAULT	2	3	Επιτάχυνση	Μέγιστη ώση ανόδου	ZERO		1 334	220	
EMB145	DEFAULT	2	4	Άνοδος	Μέγιστη ώση ανόδου	ZERO	3 000			
EMB145	DEFAULT	2	5	Επιτάχυνση	Μέγιστη ώση ανόδου	ZERO		1 000	250	
EMB145	DEFAULT	2	6	Άνοδος	Μέγιστη ώση ανόδου	ZERO	5 500			
EMB145	DEFAULT	2	7	Άνοδος	Μέγιστη ώση ανόδου	ZERO	7 500			
EMB145	DEFAULT	2	8	Άνοδος	Μέγιστη ώση ανόδου	ZERO	10 000			
EMB145	DEFAULT	3	1	Απογείωση	Μέγιστη ώση απογείωσης	9-GEAR				
EMB145	DEFAULT	3	2	Άνοδος	Μέγιστη ώση απογείωσης	9	1 000			
EMB145	DEFAULT	3	3	Επιτάχυνση	Μέγιστη ώση ανόδου	ZERO		1 315	220	
EMB145	DEFAULT	3	4	Άνοδος	Μέγιστη ώση ανόδου	ZERO	3 000			
EMB145	DEFAULT	3	5	Επιτάχυνση	Μέγιστη ώση ανόδου	ZERO		1 000	250	
EMB145	DEFAULT	3	6	Άνοδος	Μέγιστη ώση ανόδου	ZERO	5 500			

▼**M2**

ACFTID	Profile_ID (Προφίλ αναχώρησης)	Μήκος καλυπτόμενης διαδρομής	Αριθμός σταδίου	Είδος σταδίου	Μέγεθος ώσης	Flap_ID (Θέση πτερυγίων καμπυλότητας)	Οροφή ανόδου (ft)	Ρυθμός ανόδου (ft/min)	Διακριβωμένη ταχύτητα αέρα στην οροφή ανόδου (kt)	Ποσοστό επιτάχυνσης (%)
EMB145	DEFAULT	3	7	Άνοδος	Μέγιστη ώση ανόδου	ZERO	7 500			
EMB145	DEFAULT	3	8	Άνοδος	Μέγιστη ώση ανόδου	ZERO	10 000			
EMB145	DEFAULT	4	1	Απογείωση	Μέγιστη ώση απογείωσης	9-GEAR				
EMB145	DEFAULT	4	2	Άνοδος	Μέγιστη ώση απογείωσης	9	1 000			
EMB145	DEFAULT	4	3	Επιτάχυνση	Μέγιστη ώση ανόδου	ZERO		1 293	220	
EMB145	DEFAULT	4	4	Άνοδος	Μέγιστη ώση ανόδου	ZERO	3 200			
EMB145	DEFAULT	4	5	Επιτάχυνση	Μέγιστη ώση ανόδου	ZERO		1 000	250	
EMB145	DEFAULT	4	6	Άνοδος	Μέγιστη ώση ανόδου	ZERO	5 500			
EMB145	DEFAULT	4	7	Άνοδος	Μέγιστη ώση ανόδου	ZERO	7 500			
EMB145	DEFAULT	4	8	Άνοδος	Μέγιστη ώση ανόδου	ZERO	10 000			
EMB14L	DEFAULT	1	1	Απογείωση	Μέγιστη ώση απογείωσης	9-GEAR				
EMB14L	DEFAULT	1	2	Άνοδος	Μέγιστη ώση απογείωσης	9	1 000			
EMB14L	DEFAULT	1	3	Επιτάχυνση	Μέγιστη ώση ανόδου	ZERO		1 465	220	
EMB14L	DEFAULT	1	4	Άνοδος	Μέγιστη ώση ανόδου	ZERO	3 000			

▼**M2**

ACFTID	Profile_ID (Προφίλ αναχώρησης)	Μήκος καλυπτόμενης διαδρομής	Αριθμός σταδίου	Είδος σταδίου	Μέγεθος ώσης	Flap_ID (Θέση πτερυγίων καμπυλότητας)	Οροφή ανόδου (ft)	Ρυθμός ανόδου (ft/min)	Διακριβωμένη ταχύτητα αέρα στην οροφή ανόδου (kt)	Ποσοστό επιτάχυνσης (%)
EMB14L	DEFAULT	1	5	Επιτάχυνση	Μέγιστη ώση ανόδου	ZERO		1 000	250	
EMB14L	DEFAULT	1	6	Άνοδος	Μέγιστη ώση ανόδου	ZERO	5 500			
EMB14L	DEFAULT	1	7	Άνοδος	Μέγιστη ώση ανόδου	ZERO	7 500			
EMB14L	DEFAULT	1	8	Άνοδος	Μέγιστη ώση ανόδου	ZERO	10 000			
EMB14L	DEFAULT	2	1	Απογείωση	Μέγιστη ώση απογείωσης	9-GEAR				
EMB14L	DEFAULT	2	2	Άνοδος	Μέγιστη ώση απογείωσης	9	1 000			
EMB14L	DEFAULT	2	3	Επιτάχυνση	Μέγιστη ώση ανόδου	ZERO		1 420	220	
EMB14L	DEFAULT	2	4	Άνοδος	Μέγιστη ώση ανόδου	ZERO	3 000			
EMB14L	DEFAULT	2	5	Επιτάχυνση	Μέγιστη ώση ανόδου	ZERO		1 000	250	
EMB14L	DEFAULT	2	6	Άνοδος	Μέγιστη ώση ανόδου	ZERO	5 500			
EMB14L	DEFAULT	2	7	Άνοδος	Μέγιστη ώση ανόδου	ZERO	7 500			
EMB14L	DEFAULT	2	8	Άνοδος	Μέγιστη ώση ανόδου	ZERO	10 000			
EMB14L	DEFAULT	3	1	Απογείωση	Μέγιστη ώση απογείωσης	9-GEAR				

▼**M2**

ACFTID	Profile_ID (Προφίλ αναχώρησης)	Μήκος καλυπτόμενης διαδρομής	Αριθμός σταδίου	Είδος σταδίου	Μέγεθος ώσης	Flap_ID (Θέση πτερυγίων καμπυλότητας)	Οροφή ανόδου (ft)	Ρυθμός ανόδου (ft/min)	Διακριβωμένη ταχύτητα αέρα στην οροφή ανόδου (kt)	Ποσοστό επιτάχυνσης (%)
EMB14L	DEFAULT	3	2	Άνοδος	Μέγιστη ώση απογείωσης	9	1 000			
EMB14L	DEFAULT	3	3	Επιτάχυνση	Μέγιστη ώση ανόδου	ZERO		1 395	220	
EMB14L	DEFAULT	3	4	Άνοδος	Μέγιστη ώση ανόδου	ZERO	3 000			
EMB14L	DEFAULT	3	5	Επιτάχυνση	Μέγιστη ώση ανόδου	ZERO		1 000	250	
EMB14L	DEFAULT	3	6	Άνοδος	Μέγιστη ώση ανόδου	ZERO	5 500			
EMB14L	DEFAULT	3	7	Άνοδος	Μέγιστη ώση ανόδου	ZERO	7 500			
EMB14L	DEFAULT	3	8	Άνοδος	Μέγιστη ώση ανόδου	ZERO	10 000			
EMB14L	DEFAULT	4	1	Απογείωση	Μέγιστη ώση απογείωσης	9-GEAR				
EMB14L	DEFAULT	4	2	Άνοδος	Μέγιστη ώση απογείωσης	9	1 000			
EMB14L	DEFAULT	4	3	Επιτάχυνση	Μέγιστη ώση ανόδου	ZERO		1 366	220	
EMB14L	DEFAULT	4	4	Άνοδος	Μέγιστη ώση ανόδου	ZERO	3 000			
EMB14L	DEFAULT	4	5	Επιτάχυνση	Μέγιστη ώση ανόδου	ZERO		1 000	250	
EMB14L	DEFAULT	4	6	Άνοδος	Μέγιστη ώση ανόδου	ZERO	5 500			
EMB14L	DEFAULT	4	7	Άνοδος	Μέγιστη ώση ανόδου	ZERO	7 500			

▼**M2**

ACFTID	Profile_ID (Προφίλ αναχώρησης)	Μήκος καλυπτόμενης διαδρομής	Αριθμός σταδίου	Είδος σταδίου	Μέγεθος ώσης	Flap_ID (Θέση πτερυγίων καμπυλότητας)	Οροφή ανόδου (ft)	Ρυθμός ανόδου (ft/min)	Διακριβωμένη ταχύτητα αέρα στην οροφή ανόδου (kt)	Ποσοστό επιτάχυνσης (%)
EMB14L	DEFAULT	4	8	Άνοδος	Μέγιστη ώση ανόδου	ZERO	10 000			
EMB14L	DEFAULT	5	1	Απογείωση	Μέγιστη ώση απογείωσης	9-GEAR				
EMB14L	DEFAULT	5	2	Άνοδος	Μέγιστη ώση απογείωσης	9	1 000			
EMB14L	DEFAULT	5	3	Επιτάχυνση	Μέγιστη ώση ανόδου	ZERO		1 335	220	
EMB14L	DEFAULT	5	4	Άνοδος	Μέγιστη ώση ανόδου	ZERO	3 000			
EMB14L	DEFAULT	5	5	Επιτάχυνση	Μέγιστη ώση ανόδου	ZERO		1 000	250	
EMB14L	DEFAULT	5	6	Άνοδος	Μέγιστη ώση ανόδου	ZERO	5 500			
EMB14L	DEFAULT	5	7	Άνοδος	Μέγιστη ώση ανόδου	ZERO	7 500			
EMB14L	DEFAULT	5	8	Άνοδος	Μέγιστη ώση ανόδου	ZERO	10 000			
EMB14L	DEFAULT	6	1	Απογείωση	Μέγιστη ώση απογείωσης	9-GEAR				
EMB14L	DEFAULT	6	2	Άνοδος	Μέγιστη ώση απογείωσης	9	1 000			
EMB14L	DEFAULT	6	3	Επιτάχυνση	Μέγιστη ώση ανόδου	ZERO		1 298	220	
EMB14L	DEFAULT	6	4	Άνοδος	Μέγιστη ώση ανόδου	ZERO	3 000			
EMB14L	DEFAULT	6	5	Επιτάχυνση	Μέγιστη ώση ανόδου	ZERO		1 000	250	
EMB14L	DEFAULT	6	6	Άνοδος	Μέγιστη ώση ανόδου	ZERO	5 500			

▼**M2**

ACFTID	Profile_ID (Προφίλ αναχώρησης)	Μήκος καλυπτόμενης διαδρομής	Αριθμός σταδίου	Είδος σταδίου	Μέγεθος ώσης	Flap_ID (Θέση πτερυγίων καμπυλότητας)	Οροφή ανόδου (ft)	Ρυθμός ανόδου (ft/min)	Διακριβωμένη ταχύτητα αέρα στην οροφή ανόδου (kt)	Ποσοστό επιτάχυνσης (%)
EMB14L	DEFAULT	6	7	Άνοδος	Μέγιστη ώση ανόδου	ZERO	7 500			
EMB14L	DEFAULT	6	8	Άνοδος	Μέγιστη ώση ανόδου	ZERO	10 000			
EMB170	DEFAULT	1	1	Απογείωση	Μέγιστη ώση απογείωσης	1				
EMB170	DEFAULT	1	2	Άνοδος	Μέγιστη ώση απογείωσης	1	1 000			
EMB170	DEFAULT	1	3	Επιτάχυνση	Μέγιστη ώση ανόδου	ZERO		1 936	196	
EMB170	DEFAULT	1	4	Άνοδος	Μέγιστη ώση ανόδου	ZERO	3 000			
EMB170	DEFAULT	1	5	Επιτάχυνση	Μέγιστη ώση ανόδου	ZERO		2 339	240	
EMB170	DEFAULT	1	6	Άνοδος	Μέγιστη ώση ανόδου	ZERO	5 500			
EMB170	DEFAULT	1	7	Άνοδος	Μέγιστη ώση ανόδου	ZERO	7 500			
EMB170	DEFAULT	1	8	Άνοδος	Μέγιστη ώση ανόδου	ZERO	10 000			
EMB170	DEFAULT	2	1	Απογείωση	Μέγιστη ώση απογείωσης	1				
EMB170	DEFAULT	2	2	Άνοδος	Μέγιστη ώση απογείωσης	1	1 000			
EMB170	DEFAULT	2	3	Επιτάχυνση	Μέγιστη ώση ανόδου	ZERO		1 836	197,1	
EMB170	DEFAULT	2	4	Άνοδος	Μέγιστη ώση ανόδου	ZERO	3 000			
EMB170	DEFAULT	2	5	Επιτάχυνση	Μέγιστη ώση ανόδου	ZERO		2 228	240	

▼**M2**

ACFTID	Profile_ID (Προφίλ αναχώρησης)	Μήκος καλυπτόμενης διαδρομής	Αριθμός σταδίου	Είδος σταδίου	Μέγεθος ώσης	Flap_ID (Θέση πτερυγίων καμπυλότητας)	Οροφή ανόδου (ft)	Ρυθμός ανόδου (ft/min)	Διακριβωμένη ταχύτητα αέρα στην οροφή ανόδου (kt)	Ποσοστό επιτάχυνσης (%)
EMB170	DEFAULT	2	6	Άνοδος	Μέγιστη ώση ανόδου	ZERO	5 500			
EMB170	DEFAULT	2	7	Άνοδος	Μέγιστη ώση ανόδου	ZERO	7 500			
EMB170	DEFAULT	2	8	Άνοδος	Μέγιστη ώση ανόδου	ZERO	10 000			
EMB170	DEFAULT	3	1	Απογείωση	Μέγιστη ώση απογείωσης	1				
EMB170	DEFAULT	3	2	Άνοδος	Μέγιστη ώση απογείωσης	1	1 000			
EMB170	DEFAULT	3	3	Επιτάχυνση	Μέγιστη ώση ανόδου	ZERO		1 772	200,9	
EMB170	DEFAULT	3	4	Άνοδος	Μέγιστη ώση ανόδου	ZERO	3 000			
EMB170	DEFAULT	3	5	Επιτάχυνση	Μέγιστη ώση ανόδου	ZERO		2 120	240	
EMB170	DEFAULT	3	6	Άνοδος	Μέγιστη ώση ανόδου	ZERO	5 500			
EMB170	DEFAULT	3	7	Άνοδος	Μέγιστη ώση ανόδου	ZERO	7 500			
EMB170	DEFAULT	3	8	Άνοδος	Μέγιστη ώση ανόδου	ZERO	10 000			
EMB170	ICAO_A	1	1	Απογείωση	Μέγιστη ώση απογείωσης	1				
EMB170	ICAO_A	1	2	Άνοδος	Μέγιστη ώση απογείωσης	1	1 500			
EMB170	ICAO_A	1	3	Άνοδος	Μέγιστη ώση ανόδου	1	3 000			
EMB170	ICAO_A	1	4	Επιτάχυνση	Μέγιστη ώση ανόδου	ZERO		1 650	195	

▼**M2**

ACFTID	Profile_ID (Προφίλ αναχώρησης)	Μήκος καλυπτόμενης διαδρομής	Αριθμός σταδίου	Είδος σταδίου	Μέγεθος ώσης	Flap_ID (Θέση πτερυγίων καμπυλότητας)	Οροφή ανόδου (ft)	Ρυθμός ανόδου (ft/min)	Διακριβωμένη ταχύτητα αέρα στην οροφή ανόδου (kt)	Ποσοστό επιτάχυνσης (%)
EMB170	ICAO_A	1	5	Επιτάχυνση	Μέγιστη ώση ανόδου	ZERO		2 035	240	
EMB170	ICAO_A	1	6	Άνοδος	Μέγιστη ώση ανόδου	ZERO	5 500			
EMB170	ICAO_A	1	7	Άνοδος	Μέγιστη ώση ανόδου	ZERO	7 500			
EMB170	ICAO_A	1	8	Άνοδος	Μέγιστη ώση ανόδου	ZERO	10 000			
EMB170	ICAO_A	2	1	Απογείωση	Μέγιστη ώση απογείωσης	1				
EMB170	ICAO_A	2	2	Άνοδος	Μέγιστη ώση απογείωσης	1	1 500			
EMB170	ICAO_A	2	3	Άνοδος	Μέγιστη ώση ανόδου	1	3 000			
EMB170	ICAO_A	2	4	Επιτάχυνση	Μέγιστη ώση ανόδου	ZERO		1 617	198,1	
EMB170	ICAO_A	2	5	Επιτάχυνση	Μέγιστη ώση ανόδου	ZERO		1 944	240	
EMB170	ICAO_A	2	6	Άνοδος	Μέγιστη ώση ανόδου	ZERO	5 500			
EMB170	ICAO_A	2	7	Άνοδος	Μέγιστη ώση ανόδου	ZERO	7 500			
EMB170	ICAO_A	2	8	Άνοδος	Μέγιστη ώση ανόδου	ZERO	10 000			
EMB170	ICAO_A	3	1	Απογείωση	Μέγιστη ώση απογείωσης	1				
EMB170	ICAO_A	3	2	Άνοδος	Μέγιστη ώση απογείωσης	1	1 500			
EMB170	ICAO_A	3	3	Άνοδος	Μέγιστη ώση ανόδου	1	3 000			

▼**M2**

ACFTID	Profile_ID (Προφίλ αναχώρησης)	Μήκος καλυπτόμενης διαδρομής	Αριθμός σταδίου	Είδος σταδίου	Μέγεθος ώσης	Flap_ID (Θέση πτερυγίων καμπυλότητας)	Οροφή ανόδου (ft)	Ρυθμός ανόδου (ft/min)	Διακριβωμένη ταχύτητα αέρα στην οροφή ανόδου (kt)	Ποσοστό επιτάχυνσης (%)
EMB170	ICAO_A	3	4	Επιτάχυνση	Μέγιστη ώση ανόδου	ZERO		1 546	200,4	
EMB170	ICAO_A	3	5	Επιτάχυνση	Μέγιστη ώση ανόδου	ZERO		1 850	240	
EMB170	ICAO_A	3	6	Άνοδος	Μέγιστη ώση ανόδου	ZERO	5 500			
EMB170	ICAO_A	3	7	Άνοδος	Μέγιστη ώση ανόδου	ZERO	7 500			
EMB170	ICAO_A	3	8	Άνοδος	Μέγιστη ώση ανόδου	ZERO	10 000			
EMB170	ICAO_B	1	1	Απογείωση	Μέγιστη ώση απογείωσης	1				
EMB170	ICAO_B	1	2	Άνοδος	Μέγιστη ώση απογείωσης	1	1 000			
EMB170	ICAO_B	1	3	Επιτάχυνση	Μέγιστη ώση απογείωσης	ZERO		1 899	195,5	
EMB170	ICAO_B	1	4	Άνοδος	Μέγιστη ώση ανόδου	ZERO	3 000			
EMB170	ICAO_B	1	5	Επιτάχυνση	Μέγιστη ώση ανόδου	ZERO		2 301	240	
EMB170	ICAO_B	1	6	Άνοδος	Μέγιστη ώση ανόδου	ZERO	5 500			
EMB170	ICAO_B	1	7	Άνοδος	Μέγιστη ώση ανόδου	ZERO	7 500			
EMB170	ICAO_B	1	8	Άνοδος	Μέγιστη ώση ανόδου	ZERO	10 000			
EMB170	ICAO_B	2	1	Απογείωση	Μέγιστη ώση απογείωσης	1				
EMB170	ICAO_B	2	2	Άνοδος	Μέγιστη ώση απογείωσης	1	1 000			

▼**M2**

ACFTID	Profile_ID (Προφίλ αναχώρησης)	Μήκος καλυπτόμενης διαδρομής	Αριθμός σταδίου	Είδος σταδίου	Μέγεθος ώσης	Flap_ID (Θέση πτερυγίων καμπυλότητας)	Οροφή ανόδου (ft)	Ρυθμός ανόδου (ft/min)	Διακριβωμένη ταχύτητα αέρα στην οροφή ανόδου (kt)	Ποσοστό επιτάχυνσης (%)
EMB170	ICAO_B	2	3	Επιτάχυνση	Μέγιστη ώση απογείωσης	ZERO		1 823	198,2	
EMB170	ICAO_B	2	4	Άνοδος	Μέγιστη ώση ανόδου	ZERO	3 000			
EMB170	ICAO_B	2	5	Επιτάχυνση	Μέγιστη ώση ανόδου	ZERO		2 195	240	
EMB170	ICAO_B	2	6	Άνοδος	Μέγιστη ώση ανόδου	ZERO	5 500			
EMB170	ICAO_B	2	7	Άνοδος	Μέγιστη ώση ανόδου	ZERO	7 500			
EMB170	ICAO_B	2	8	Άνοδος	Μέγιστη ώση ανόδου	ZERO	10 000			
EMB170	ICAO_B	3	1	Απογείωση	Μέγιστη ώση απογείωσης	1				
EMB170	ICAO_B	3	2	Άνοδος	Μέγιστη ώση απογείωσης	1	1 000			
EMB170	ICAO_B	3	3	Επιτάχυνση	Μέγιστη ώση απογείωσης	ZERO		1 743	201	
EMB170	ICAO_B	3	4	Άνοδος	Μέγιστη ώση ανόδου	ZERO	3 000			
EMB170	ICAO_B	3	5	Επιτάχυνση	Μέγιστη ώση ανόδου	ZERO		2 085	240	
EMB170	ICAO_B	3	6	Άνοδος	Μέγιστη ώση ανόδου	ZERO	5 500			
EMB170	ICAO_B	3	7	Άνοδος	Μέγιστη ώση ανόδου	ZERO	7 500			
EMB170	ICAO_B	3	8	Άνοδος	Μέγιστη ώση ανόδου	ZERO	10 000			
EMB175	DEFAULT	1	1	Απογείωση	Μέγιστη ώση απογείωσης	1				

▼**M2**

ACFTID	Profile_ID (Προφίλ αναχώρησης)	Μήκος καλυπτόμενης διαδρομής	Αριθμός σταδίου	Είδος σταδίου	Μέγεθος ώσης	Flap_ID (Θέση πτερυγίων καμπυλότητας)	Οροφή ανόδου (ft)	Ρυθμός ανόδου (ft/min)	Διακριβωμένη ταχύτητα αέρα στην οροφή ανόδου (kt)	Ποσοστό επιτάχυνσης (%)
EMB175	DEFAULT	1	2	Άνοδος	Μέγιστη ώση απογείωσης	1	1 000			
EMB175	DEFAULT	1	3	Επιτάχυνση	Μέγιστη ώση ανόδου	ZERO		1 900	196	
EMB175	DEFAULT	1	4	Άνοδος	Μέγιστη ώση ανόδου	ZERO	3 000			
EMB175	DEFAULT	1	5	Επιτάχυνση	Μέγιστη ώση ανόδου	ZERO		2 308	240	
EMB175	DEFAULT	1	6	Άνοδος	Μέγιστη ώση ανόδου	ZERO	5 500			
EMB175	DEFAULT	1	7	Άνοδος	Μέγιστη ώση ανόδου	ZERO	7 500			
EMB175	DEFAULT	1	8	Άνοδος	Μέγιστη ώση ανόδου	ZERO	10 000			
EMB175	DEFAULT	2	1	Απογείωση	Μέγιστη ώση απογείωσης	1				
EMB175	DEFAULT	2	2	Άνοδος	Μέγιστη ώση απογείωσης	1	1 000			
EMB175	DEFAULT	2	3	Επιτάχυνση	Μέγιστη ώση ανόδου	ZERO		1 823	198,1	
EMB175	DEFAULT	2	4	Άνοδος	Μέγιστη ώση ανόδου	ZERO	3 000			
EMB175	DEFAULT	2	5	Επιτάχυνση	Μέγιστη ώση ανόδου	ZERO		2 190	240	
EMB175	DEFAULT	2	6	Άνοδος	Μέγιστη ώση ανόδου	ZERO	5 500			
EMB175	DEFAULT	2	7	Άνοδος	Μέγιστη ώση ανόδου	ZERO	7 500			

▼**M2**

ACFTID	Profile_ID (Προφίλ αναχώρησης)	Μήκος καλυπτόμενης διαδρομής	Αριθμός σταδίου	Είδος σταδίου	Μέγεθος ώσης	Flap_ID (Θέση πτερυγίων καμπυλότητας)	Οροφή ανόδου (ft)	Ρυθμός ανόδου (ft/min)	Διακριβωμένη ταχύτητα αέρα στην οροφή ανόδου (kt)	Ποσοστό επιτάχυνσης (%)
EMB175	DEFAULT	2	8	Άνοδος	Μέγιστη ώση ανόδου	ZERO	10 000			
EMB175	DEFAULT	3	1	Απογείωση	Μέγιστη ώση απογείωσης	1				
EMB175	DEFAULT	3	2	Άνοδος	Μέγιστη ώση απογείωσης	1	1 000			
EMB175	DEFAULT	3	3	Επιτάχυνση	Μέγιστη ώση ανόδου	ZERO		1 745	200,3	
EMB175	DEFAULT	3	4	Άνοδος	Μέγιστη ώση ανόδου	ZERO	3 000			
EMB175	DEFAULT	3	5	Επιτάχυνση	Μέγιστη ώση ανόδου	ZERO		2 086	240	
EMB175	DEFAULT	3	6	Άνοδος	Μέγιστη ώση ανόδου	ZERO	5 500			
EMB175	DEFAULT	3	7	Άνοδος	Μέγιστη ώση ανόδου	ZERO	7 500			
EMB175	DEFAULT	3	8	Άνοδος	Μέγιστη ώση ανόδου	ZERO	10 000			
EMB175	ICAO_A	1	1	Απογείωση	Μέγιστη ώση απογείωσης	1				
EMB175	ICAO_A	1	2	Άνοδος	Μέγιστη ώση απογείωσης	1	1 500			
EMB175	ICAO_A	1	3	Άνοδος	Μέγιστη ώση ανόδου	1	3 000			
EMB175	ICAO_A	1	4	Επιτάχυνση	Μέγιστη ώση ανόδου	ZERO		1 634	195	
EMB175	ICAO_A	1	5	Επιτάχυνση	Μέγιστη ώση ανόδου	ZERO		1 979	240	

▼**M2**

ACFTID	Profile_ID (Προφίλ αναχώρησης)	Μήκος καλυπτόμενης διαδρομής	Αριθμός σταδίου	Είδος σταδίου	Μέγεθος ώσης	Flap_ID (Θέση πτερυγίων καμπυλότητας)	Οροφή ανόδου (ft)	Ρυθμός ανόδου (ft/min)	Διακριβωμένη ταχύτητα αέρα στην οροφή ανόδου (kt)	Ποσοστό επιτάχυνσης (%)
EMB175	ICAO_A	1	6	Άνοδος	Μέγιστη ώση ανόδου	ZERO	5 500			
EMB175	ICAO_A	1	7	Άνοδος	Μέγιστη ώση ανόδου	ZERO	7 500			
EMB175	ICAO_A	1	8	Άνοδος	Μέγιστη ώση ανόδου	ZERO	10 000			
EMB175	ICAO_A	2	1	Απογείωση	Μέγιστη ώση απογείωσης	1				
EMB175	ICAO_A	2	2	Άνοδος	Μέγιστη ώση απογείωσης	1	1 500			
EMB175	ICAO_A	2	3	Άνοδος	Μέγιστη ώση ανόδου	1	3 000			
EMB175	ICAO_A	2	4	Επιτάχυνση	Μέγιστη ώση ανόδου	ZERO		1 568	198,5	
EMB175	ICAO_A	2	5	Επιτάχυνση	Μέγιστη ώση ανόδου	ZERO		1 885	240	
EMB175	ICAO_A	2	6	Άνοδος	Μέγιστη ώση ανόδου	ZERO	5 500			
EMB175	ICAO_A	2	7	Άνοδος	Μέγιστη ώση ανόδου	ZERO	7 500			
EMB175	ICAO_A	2	8	Άνοδος	Μέγιστη ώση ανόδου	ZERO	10 000			
EMB175	ICAO_A	3	1	Απογείωση	Μέγιστη ώση απογείωσης	1				
EMB175	ICAO_A	3	2	Άνοδος	Μέγιστη ώση απογείωσης	1	1 500			
EMB175	ICAO_A	3	3	Άνοδος	Μέγιστη ώση ανόδου	1	3 000			

▼**M2**

ACFTID	Profile_ID (Προφίλ αναχώρησης)	Μήκος καλυπτόμενης διαδρομής	Αριθμός σταδίου	Είδος σταδίου	Μέγεθος ώσης	Flap_ID (Θέση πτερυγίων καμπυλότητας)	Οροφή ανόδου (ft)	Ρυθμός ανόδου (ft/min)	Διακριβωμένη ταχύτητα αέρα στην οροφή ανόδου (kt)	Ποσοστό επιτάχυνσης (%)
EMB175	ICAO_A	3	4	Επιτάχυνση	Μέγιστη ώση ανόδου	ZERO		1 499	201,3	
EMB175	ICAO_A	3	5	Επιτάχυνση	Μέγιστη ώση ανόδου	ZERO		1 794	240	
EMB175	ICAO_A	3	6	Άνοδος	Μέγιστη ώση ανόδου	ZERO	5 500			
EMB175	ICAO_A	3	7	Άνοδος	Μέγιστη ώση ανόδου	ZERO	7 500			
EMB175	ICAO_A	3	8	Άνοδος	Μέγιστη ώση ανόδου	ZERO	10 000			
EMB175	ICAO_B	1	1	Απογείωση	Μέγιστη ώση απογείωσης	1				
EMB175	ICAO_B	1	2	Άνοδος	Μέγιστη ώση απογείωσης	1	1 000			
EMB175	ICAO_B	1	3	Επιτάχυνση	Μέγιστη ώση απογείωσης	ZERO		1 818	195,5	
EMB175	ICAO_B	1	4	Άνοδος	Μέγιστη ώση ανόδου	ZERO	3 000			
EMB175	ICAO_B	1	5	Επιτάχυνση	Μέγιστη ώση ανόδου	ZERO		2 202	240	
EMB175	ICAO_B	1	6	Άνοδος	Μέγιστη ώση ανόδου	ZERO	5 500			
EMB175	ICAO_B	1	7	Άνοδος	Μέγιστη ώση ανόδου	ZERO	7 500			
EMB175	ICAO_B	1	8	Άνοδος	Μέγιστη ώση ανόδου	ZERO	10 000			
EMB175	ICAO_B	2	1	Απογείωση	Μέγιστη ώση απογείωσης	1				

▼**M2**

ACFTID	Profile_ID (Προφίλ αναχώρησης)	Μήκος καλυπτόμενης διαδρομής	Αριθμός σταδίου	Είδος σταδίου	Μέγεθος ώσης	Flap_ID (Θέση πτερυγίων καμπυλότητας)	Οροφή ανόδου (ft)	Ρυθμός ανόδου (ft/min)	Διακριβωμένη ταχύτητα αέρα στην οροφή ανόδου (kt)	Ποσοστό επιτάχυνσης (%)
EMB175	ICAO_B	2	2	Άνοδος	Μέγιστη ώση απογείωσης	1	1 000			
EMB175	ICAO_B	2	3	Επιτάχυνση	Μέγιστη ώση απογείωσης	ZERO		1 744	197,1	
EMB175	ICAO_B	2	4	Άνοδος	Μέγιστη ώση ανόδου	ZERO	3 000			
EMB175	ICAO_B	2	5	Επιτάχυνση	Μέγιστη ώση ανόδου	ZERO		2 099	240	
EMB175	ICAO_B	2	6	Άνοδος	Μέγιστη ώση ανόδου	ZERO	5 500			
EMB175	ICAO_B	2	7	Άνοδος	Μέγιστη ώση ανόδου	ZERO	7 500			
EMB175	ICAO_B	2	8	Άνοδος	Μέγιστη ώση ανόδου	ZERO	10 000			
EMB175	ICAO_B	3	1	Απογείωση	Μέγιστη ώση απογείωσης	1				
EMB175	ICAO_B	3	2	Άνοδος	Μέγιστη ώση απογείωσης	1	1 000			
EMB175	ICAO_B	3	3	Επιτάχυνση	Μέγιστη ώση απογείωσης	ZERO		1 668	200,8	
EMB175	ICAO_B	3	4	Άνοδος	Μέγιστη ώση ανόδου	ZERO	3 000			
EMB175	ICAO_B	3	5	Επιτάχυνση	Μέγιστη ώση ανόδου	ZERO		1 996	240	
EMB175	ICAO_B	3	6	Άνοδος	Μέγιστη ώση ανόδου	ZERO	5 500			
EMB175	ICAO_B	3	7	Άνοδος	Μέγιστη ώση ανόδου	ZERO	7 500			

▼**M2**

ACFTID	Profile_ID (Προφίλ αναχώρησης)	Μήκος καλυπτόμενης διαδρομής	Αριθμός σταδίου	Είδος σταδίου	Μέγεθος ώσης	Flap_ID (Θέση πτερυγίων καμπυλότητας)	Οροφή ανόδου (ft)	Ρυθμός ανόδου (ft/min)	Διακριβωμένη ταχύτητα αέρα στην οροφή ανόδου (kt)	Ποσοστό επιτάχυνσης (%)
EMB175	ICAO_B	3	8	Άνοδος	Μέγιστη ώση ανόδου	ZERO	10 000			
EMB190	DEFAULT	1	1	Απογείωση	Μέγιστη ώση απογείωσης	1				
EMB190	DEFAULT	1	2	Άνοδος	Μέγιστη ώση απογείωσης	1	1 000			
EMB190	DEFAULT	1	3	Επιτάχυνση	Μέγιστη ώση ανόδου	ZERO		1 685	194,5	
EMB190	DEFAULT	1	4	Άνοδος	Μέγιστη ώση ανόδου	ZERO	3 000			
EMB190	DEFAULT	1	5	Επιτάχυνση	Μέγιστη ώση ανόδου	ZERO		2 041	250	
EMB190	DEFAULT	1	6	Άνοδος	Μέγιστη ώση ανόδου	ZERO	5 500			
EMB190	DEFAULT	1	7	Άνοδος	Μέγιστη ώση ανόδου	ZERO	7 500			
EMB190	DEFAULT	1	8	Άνοδος	Μέγιστη ώση ανόδου	ZERO	10 000			
EMB190	DEFAULT	2	1	Απογείωση	Μέγιστη ώση απογείωσης	1				
EMB190	DEFAULT	2	2	Άνοδος	Μέγιστη ώση απογείωσης	1	1 000			
EMB190	DEFAULT	2	3	Επιτάχυνση	Μέγιστη ώση ανόδου	ZERO		1 616	197,1	
EMB190	DEFAULT	2	4	Άνοδος	Μέγιστη ώση ανόδου	ZERO	3 000			
EMB190	DEFAULT	2	5	Επιτάχυνση	Μέγιστη ώση ανόδου	ZERO		1 944	250	

▼**M2**

ACFTID	Profile_ID (Προφίλ αναχώρησης)	Μήκος καλυπτόμενης διαδρομής	Αριθμός σταδίου	Είδος σταδίου	Μέγεθος ώσης	Flap_ID (Θέση πτερυγίων καμπυλότητας)	Οροφή ανόδου (ft)	Ρυθμός ανόδου (ft/min)	Διακριβωμένη ταχύτητα αέρα στην οροφή ανόδου (kt)	Ποσοστό επιτάχυνσης (%)
EMB190	DEFAULT	2	6	Άνοδος	Μέγιστη ώση ανόδου	ZERO	5 500			
EMB190	DEFAULT	2	7	Άνοδος	Μέγιστη ώση ανόδου	ZERO	7 500			
EMB190	DEFAULT	2	8	Άνοδος	Μέγιστη ώση ανόδου	ZERO	10 000			
EMB190	DEFAULT	3	1	Απογείωση	Μέγιστη ώση απογείωσης	1				
EMB190	DEFAULT	3	2	Άνοδος	Μέγιστη ώση απογείωσης	1	1 000			
EMB190	DEFAULT	3	3	Επιτάχυνση	Μέγιστη ώση ανόδου	ZERO		1 546	199,7	
EMB190	DEFAULT	3	4	Άνοδος	Μέγιστη ώση ανόδου	ZERO	3 000			
EMB190	DEFAULT	3	5	Επιτάχυνση	Μέγιστη ώση ανόδου	ZERO		1 850	250	
EMB190	DEFAULT	3	6	Άνοδος	Μέγιστη ώση ανόδου	ZERO	5 500			
EMB190	DEFAULT	3	7	Άνοδος	Μέγιστη ώση ανόδου	ZERO	7 500			
EMB190	DEFAULT	3	8	Άνοδος	Μέγιστη ώση ανόδου	ZERO	10 000			
EMB190	DEFAULT	4	1	Απογείωση	Μέγιστη ώση απογείωσης	1				
EMB190	DEFAULT	4	2	Άνοδος	Μέγιστη ώση απογείωσης	1	1 000			

▼**M2**

ACFTID	Profile_ID (Προφίλ αναχώρησης)	Μήκος καλυπτόμενης διαδρομής	Αριθμός σταδίου	Είδος σταδίου	Μέγεθος ώσης	Flap_ID (Θέση πτερυγίων καμπυλότητας)	Οροφή ανόδου (ft)	Ρυθμός ανόδου (ft/min)	Διακριβωμένη ταχύτητα αέρα στην οροφή ανόδου (kt)	Ποσοστό επιτάχυνσης (%)
EMB190	DEFAULT	4	3	Επιτάχυνση	Μέγιστη ώση ανόδου	ZERO		1 416	205,2	
EMB190	DEFAULT	4	4	Άνοδος	Μέγιστη ώση ανόδου	ZERO	3 000			
EMB190	DEFAULT	4	5	Επιτάχυνση	Μέγιστη ώση ανόδου	ZERO		1 677	250	
EMB190	DEFAULT	4	6	Άνοδος	Μέγιστη ώση ανόδου	ZERO	5 500			
EMB190	DEFAULT	4	7	Άνοδος	Μέγιστη ώση ανόδου	ZERO	7 500			
EMB190	DEFAULT	4	8	Άνοδος	Μέγιστη ώση ανόδου	ZERO	10 000			
EMB190	ICAO_A	1	1	Απογείωση	Μέγιστη ώση απογείωσης	1				
EMB190	ICAO_A	1	2	Άνοδος	Μέγιστη ώση απογείωσης	1	1 500			
EMB190	ICAO_A	1	3	Άνοδος	Μέγιστη ώση ανόδου	1	3 000			
EMB190	ICAO_A	1	4	Επιτάχυνση	Μέγιστη ώση ανόδου	ZERO		1 652	194,1	
EMB190	ICAO_A	1	5	Επιτάχυνση	Μέγιστη ώση ανόδου	ZERO		2 012	250	
EMB190	ICAO_A	1	6	Άνοδος	Μέγιστη ώση ανόδου	ZERO	5 500			
EMB190	ICAO_A	1	7	Άνοδος	Μέγιστη ώση ανόδου	ZERO	7 500			

▼**M2**

ACFTID	Profile_ID (Προφίλ αναχώρησης)	Μήκος καλυπτόμενης διαδρομής	Αριθμός σταδίου	Είδος σταδίου	Μέγεθος ώσης	Flap_ID (Θέση πτερυγίων καμπυλότητας)	Οροφή ανόδου (ft)	Ρυθμός ανόδου (ft/min)	Διακριβωμένη ταχύτητα αέρα στην οροφή ανόδου (kt)	Ποσοστό επιτάχυνσης (%)
EMB190	ICAO_A	1	8	Άνοδος	Μέγιστη ώση ανόδου	ZERO	10 000			
EMB190	ICAO_A	2	1	Απογείωση	Μέγιστη ώση απογείωσης	1				
EMB190	ICAO_A	2	2	Άνοδος	Μέγιστη ώση απογείωσης	1	1 500			
EMB190	ICAO_A	2	3	Άνοδος	Μέγιστη ώση ανόδου	1	3 000			
EMB190	ICAO_A	2	4	Επιτάχυνση	Μέγιστη ώση ανόδου	ZERO		1 582	196,6	
EMB190	ICAO_A	2	5	Επιτάχυνση	Μέγιστη ώση ανόδου	ZERO		1 918	250	
EMB190	ICAO_A	2	6	Άνοδος	Μέγιστη ώση ανόδου	ZERO	5 500			
EMB190	ICAO_A	2	7	Άνοδος	Μέγιστη ώση ανόδου	ZERO	7 500			
EMB190	ICAO_A	2	8	Άνοδος	Μέγιστη ώση ανόδου	ZERO	10 000			
EMB190	ICAO_A	3	1	Απογείωση	Μέγιστη ώση απογείωσης	1				
EMB190	ICAO_A	3	2	Άνοδος	Μέγιστη ώση απογείωσης	1	1 500			
EMB190	ICAO_A	3	3	Άνοδος	Μέγιστη ώση ανόδου	1	3 000			
EMB190	ICAO_A	3	4	Επιτάχυνση	Μέγιστη ώση ανόδου	ZERO		1 513	199,4	
EMB190	ICAO_A	3	5	Επιτάχυνση	Μέγιστη ώση ανόδου	ZERO		1 826	250	

▼**M2**

ACFTID	Profile_ID (Προφίλ αναχώρησης)	Μήκος καλυπτόμενης διαδρομής	Αριθμός σταδίου	Είδος σταδίου	Μέγεθος ώσης	Flap_ID (Θέση πτερυγίων καμπυλότητας)	Οροφή ανόδου (ft)	Ρυθμός ανόδου (ft/min)	Διακριβωμένη ταχύτητα αέρα στην οροφή ανόδου (kt)	Ποσοστό επιτάχυνσης (%)
EMB190	ICAO_A	3	6	Άνοδος	Μέγιστη ώση ανόδου	ZERO	5 500			
EMB190	ICAO_A	3	7	Άνοδος	Μέγιστη ώση ανόδου	ZERO	7 500			
EMB190	ICAO_A	3	8	Άνοδος	Μέγιστη ώση ανόδου	ZERO	10 000			
EMB190	ICAO_A	4	1	Απογείωση	Μέγιστη ώση απογείωσης	1				
EMB190	ICAO_A	4	2	Άνοδος	Μέγιστη ώση απογείωσης	1	1 500			
EMB190	ICAO_A	4	3	Άνοδος	Μέγιστη ώση ανόδου	1	3 000			
EMB190	ICAO_A	4	4	Επιτάχυνση	Μέγιστη ώση ανόδου	ZERO		1 382	204,8	
EMB190	ICAO_A	4	5	Επιτάχυνση	Μέγιστη ώση ανόδου	ZERO		1 658	250	
EMB190	ICAO_A	4	6	Άνοδος	Μέγιστη ώση ανόδου	ZERO	7 500			
EMB190	ICAO_A	4	7	Άνοδος	Μέγιστη ώση ανόδου	ZERO	10 000			
EMB190	ICAO_B	1	1	Απογείωση	Μέγιστη ώση απογείωσης	1				
EMB190	ICAO_B	1	2	Άνοδος	Μέγιστη ώση απογείωσης	1	1 000			
EMB190	ICAO_B	1	3	Επιτάχυνση	Μέγιστη ώση απογείωσης	ZERO		1 899	194,4	
EMB190	ICAO_B	1	4	Άνοδος	Μέγιστη ώση ανόδου	ZERO	3 000			

▼**M2**

ACFTID	Profile_ID (Προφίλ αναχώρησης)	Μήκος καλυπτόμενης διαδρομής	Αριθμός σταδίου	Είδος σταδίου	Μέγεθος ώσης	Flap_ID (Θέση πτερυγίων καμπυλότητας)	Οροφή ανόδου (ft)	Ρυθμός ανόδου (ft/min)	Διακριβωμένη ταχύτητα αέρα στην οροφή ανόδου (kt)	Ποσοστό επιτάχυνσης (%)
EMB190	ICAO_B	1	5	Επιτάχυνση	Μέγιστη ώση ανόδου	ZERO		2 171	250	
EMB190	ICAO_B	1	6	Άνοδος	Μέγιστη ώση ανόδου	ZERO	5 500			
EMB190	ICAO_B	1	7	Άνοδος	Μέγιστη ώση ανόδου	ZERO	7 500			
EMB190	ICAO_B	1	8	Άνοδος	Μέγιστη ώση ανόδου	ZERO	10 000			
EMB190	ICAO_B	2	1	Απογείωση	Μέγιστη ώση απογείωσης	1				
EMB190	ICAO_B	2	2	Άνοδος	Μέγιστη ώση απογείωσης	1	1 000			
EMB190	ICAO_B	2	3	Επιτάχυνση	Μέγιστη ώση απογείωσης	ZERO		1 824	197	
EMB190	ICAO_B	2	4	Άνοδος	Μέγιστη ώση ανόδου	ZERO	3 000			
EMB190	ICAO_B	2	5	Επιτάχυνση	Μέγιστη ώση ανόδου	ZERO		2 069	250	
EMB190	ICAO_B	2	6	Άνοδος	Μέγιστη ώση ανόδου	ZERO	5 500			
EMB190	ICAO_B	2	7	Άνοδος	Μέγιστη ώση ανόδου	ZERO	7 500			
EMB190	ICAO_B	2	8	Άνοδος	Μέγιστη ώση ανόδου	ZERO	10 000			
EMB190	ICAO_B	3	1	Απογείωση	Μέγιστη ώση απογείωσης	1				
EMB190	ICAO_B	3	2	Άνοδος	Μέγιστη ώση απογείωσης	1	1 000			
EMB190	ICAO_B	3	3	Επιτάχυνση	Μέγιστη ώση απογείωσης	ZERO		1 628	199,7	

▼**M2**

ACFTID	Profile_ID (Προφίλ αναχώρησης)	Μήκος καλυπτόμενης διαδρομής	Αριθμός σταδίου	Είδος σταδίου	Μέγεθος ώσης	Flap_ID (Θέση πτερυγίων καμπυλότητας)	Οροφή ανόδου (ft)	Ρυθμός ανόδου (ft/min)	Διακριβωμένη ταχύτητα αέρα στην οροφή ανόδου (kt)	Ποσοστό επιτάχυνσης (%)
EMB190	ICAO_B	3	4	Άνοδος	Μέγιστη ώση ανόδου	ZERO	3 000			
EMB190	ICAO_B	3	5	Επιτάχυνση	Μέγιστη ώση ανόδου	ZERO		1 969	250	
EMB190	ICAO_B	3	6	Άνοδος	Μέγιστη ώση ανόδου	ZERO	5 500			
EMB190	ICAO_B	3	7	Άνοδος	Μέγιστη ώση ανόδου	ZERO	7 500			
EMB190	ICAO_B	3	8	Άνοδος	Μέγιστη ώση ανόδου	ZERO	10 000			
EMB190	ICAO_B	4	1	Απογείωση	Μέγιστη ώση απογείωσης	1				
EMB190	ICAO_B	4	2	Άνοδος	Μέγιστη ώση απογείωσης	1	1 000			
EMB190	ICAO_B	4	3	Επιτάχυνση	Μέγιστη ώση απογείωσης	ZERO		1 603	205,1	
EMB190	ICAO_B	4	4	Άνοδος	Μέγιστη ώση ανόδου	ZERO	3 000			
EMB190	ICAO_B	4	5	Επιτάχυνση	Μέγιστη ώση ανόδου	ZERO		1 784	250	
EMB190	ICAO_B	4	6	Άνοδος	Μέγιστη ώση ανόδου	ZERO	5 500			
EMB190	ICAO_B	4	7	Άνοδος	Μέγιστη ώση ανόδου	ZERO	7 500			
EMB190	ICAO_B	4	8	Άνοδος	Μέγιστη ώση ανόδου	ZERO	10 000			
EMB195	DEFAULT	1	1	Απογείωση	Μέγιστη ώση απογείωσης	1				
EMB195	DEFAULT	1	2	Άνοδος	Μέγιστη ώση απογείωσης	1	1 000			

▼**M2**

ACFTID	Profile_ID (Προφίλ αναχώρησης)	Μήκος καλυπτόμενης διαδρομής	Αριθμός σταδίου	Είδος σταδίου	Μέγεθος ώσης	Flap_ID (Θέση πτερυγίων καμπυλότητας)	Οροφή ανόδου (ft)	Ρυθμός ανόδου (ft/min)	Διακριβωμένη ταχύτητα αέρα στην οροφή ανόδου (kt)	Ποσοστό επιτάχυνσης (%)
EMB195	DEFAULT	1	3	Επιτάχυνση	Μέγιστη ώση ανόδου	ZERO		1 622	195	
EMB195	DEFAULT	1	4	Άνοδος	Μέγιστη ώση ανόδου	ZERO	3 000			
EMB195	DEFAULT	1	5	Επιτάχυνση	Μέγιστη ώση ανόδου	ZERO		1 965	250	
EMB195	DEFAULT	1	6	Άνοδος	Μέγιστη ώση ανόδου	ZERO	5 500			
EMB195	DEFAULT	1	7	Άνοδος	Μέγιστη ώση ανόδου	ZERO	7 500			
EMB195	DEFAULT	1	8	Άνοδος	Μέγιστη ώση ανόδου	ZERO	10 000			
EMB195	DEFAULT	2	1	Απογείωση	Μέγιστη ώση απογείωσης	1				
EMB195	DEFAULT	2	2	Άνοδος	Μέγιστη ώση απογείωσης	1	1 000			
EMB195	DEFAULT	2	3	Επιτάχυνση	Μέγιστη ώση ανόδου	ZERO		1 556	197,6	
EMB195	DEFAULT	2	4	Άνοδος	Μέγιστη ώση ανόδου	ZERO	3 000			
EMB195	DEFAULT	2	5	Επιτάχυνση	Μέγιστη ώση ανόδου	ZERO		1 872	250	
EMB195	DEFAULT	2	6	Άνοδος	Μέγιστη ώση ανόδου	ZERO	5 500			
EMB195	DEFAULT	2	7	Άνοδος	Μέγιστη ώση ανόδου	ZERO	7 500			
EMB195	DEFAULT	2	8	Άνοδος	Μέγιστη ώση ανόδου	ZERO	10 000			

▼**M2**

ACFTID	Profile_ID (Προφίλ αναχώρησης)	Μήκος καλυπτόμενης διαδρομής	Αριθμός σταδίου	Είδος σταδίου	Μέγεθος ώσης	Flap_ID (Θέση πτερυγίων καμπυλότητας)	Οροφή ανόδου (ft)	Ρυθμός ανόδου (ft/min)	Διακριβωμένη ταχύτητα αέρα στην οροφή ανόδου (kt)	Ποσοστό επιτάχυνσης (%)
EMB195	DEFAULT	3	1	Απογείωση	Μέγιστη ώση απογείωσης	1				
EMB195	DEFAULT	3	2	Άνοδος	Μέγιστη ώση απογείωσης	1	1 000			
EMB195	DEFAULT	3	3	Επιτάχυνση	Μέγιστη ώση ανόδου	ZERO		1 489	200,2	
EMB195	DEFAULT	3	4	Άνοδος	Μέγιστη ώση ανόδου	ZERO	3 000			
EMB195	DEFAULT	3	5	Επιτάχυνση	Μέγιστη ώση ανόδου	ZERO		1 781	250	
EMB195	DEFAULT	3	6	Άνοδος	Μέγιστη ώση ανόδου	ZERO	5 500			
EMB195	DEFAULT	3	7	Άνοδος	Μέγιστη ώση ανόδου	ZERO	7 500			
EMB195	DEFAULT	3	8	Άνοδος	Μέγιστη ώση ανόδου	ZERO	10 000			
EMB195	DEFAULT	4	1	Απογείωση	Μέγιστη ώση απογείωσης	1				
EMB195	DEFAULT	4	2	Άνοδος	Μέγιστη ώση απογείωσης	1	1 000			
EMB195	DEFAULT	4	3	Επιτάχυνση	Μέγιστη ώση ανόδου	ZERO		1 364	205,7	
EMB195	DEFAULT	4	4	Άνοδος	Μέγιστη ώση ανόδου	ZERO	3 000			
EMB195	DEFAULT	4	5	Επιτάχυνση	Μέγιστη ώση ανόδου	ZERO		1 615	250	
EMB195	DEFAULT	4	6	Άνοδος	Μέγιστη ώση ανόδου	ZERO	7 500			

▼**M2**

ACFTID	Profile_ID (Προφίλ αναχώρησης)	Μήκος καλυπτόμενης διαδρομής	Αριθμός σταδίου	Είδος σταδίου	Μέγεθος ώσης	Flap_ID (Θέση πτερυγίων καμπυλότητας)	Οροφή ανόδου (ft)	Ρυθμός ανόδου (ft/min)	Διακριβωμένη ταχύτητα αέρα στην οροφή ανόδου (kt)	Ποσοστό επιτάχυνσης (%)
EMB195	DEFAULT	4	7	Άνοδος	Μέγιστη ώση ανόδου	ZERO	10 000			
EMB195	ICAO_A	1	1	Απογείωση	Μέγιστη ώση απογείωσης	1				
EMB195	ICAO_A	1	2	Άνοδος	Μέγιστη ώση απογείωσης	1	1 500			
EMB195	ICAO_A	1	3	Άνοδος	Μέγιστη ώση ανόδου	1	3 000			
EMB195	ICAO_A	1	4	Επιτάχυνση	Μέγιστη ώση ανόδου	ZERO		1 605	196,5	
EMB195	ICAO_A	1	5	Επιτάχυνση	Μέγιστη ώση ανόδου	ZERO		1 930	250	
EMB195	ICAO_A	1	6	Άνοδος	Μέγιστη ώση ανόδου	ZERO	7 500			
EMB195	ICAO_A	1	7	Άνοδος	Μέγιστη ώση ανόδου	ZERO	10 000			
EMB195	ICAO_A	2	1	Απογείωση	Μέγιστη ώση απογείωσης	1				
EMB195	ICAO_A	2	2	Άνοδος	Μέγιστη ώση απογείωσης	1	1 500			
EMB195	ICAO_A	2	3	Άνοδος	Μέγιστη ώση ανόδου	1	3 000			
EMB195	ICAO_A	2	4	Επιτάχυνση	Μέγιστη ώση ανόδου	ZERO		1 538	198,1	
EMB195	ICAO_A	2	5	Επιτάχυνση	Μέγιστη ώση ανόδου	ZERO		1 871	250	
EMB195	ICAO_A	2	6	Άνοδος	Μέγιστη ώση ανόδου	ZERO	7 500			

▼**M2**

ACFTID	Profile_ID (Προφίλ αναχώρησης)	Μήκος καλυπτόμενης διαδρομής	Αριθμός σταδίου	Είδος σταδίου	Μέγεθος ώσης	Flap_ID (Θέση πτερυγίων καμπυλότητας)	Οροφή ανόδου (ft)	Ρυθμός ανόδου (ft/min)	Διακριβωμένη ταχύτητα αέρα στην οροφή ανόδου (kt)	Ποσοστό επιτάχυνσης (%)
EMB195	ICAO_A	2	7	Άνοδος	Μέγιστη ώση ανόδου	ZERO	10 000			
EMB195	ICAO_A	3	1	Απογείωση	Μέγιστη ώση απογείωσης	1				
EMB195	ICAO_A	3	2	Άνοδος	Μέγιστη ώση απογείωσης	1	1 500			
EMB195	ICAO_A	3	3	Άνοδος	Μέγιστη ώση ανόδου	1	3 000			
EMB195	ICAO_A	3	4	Επιτάχυνση	Μέγιστη ώση ανόδου	ZERO		1 467	201,3	
EMB195	ICAO_A	3	5	Επιτάχυνση	Μέγιστη ώση ανόδου	ZERO		1 768	250	
EMB195	ICAO_A	3	6	Άνοδος	Μέγιστη ώση ανόδου	ZERO	7 500			
EMB195	ICAO_A	3	7	Άνοδος	Μέγιστη ώση ανόδου	ZERO	10 000			
EMB195	ICAO_A	4	1	Απογείωση	Μέγιστη ώση απογείωσης	1				
EMB195	ICAO_A	4	2	Άνοδος	Μέγιστη ώση απογείωσης	1	1 500			
EMB195	ICAO_A	4	3	Άνοδος	Μέγιστη ώση ανόδου	1	3 000			
EMB195	ICAO_A	4	4	Επιτάχυνση	Μέγιστη ώση ανόδου	ZERO		1 336	206,2	
EMB195	ICAO_A	4	5	Επιτάχυνση	Μέγιστη ώση ανόδου	ZERO		1 607	250	
EMB195	ICAO_A	4	6	Άνοδος	Μέγιστη ώση ανόδου	ZERO	7 500			

▼**M2**

ACFTID	Profile_ID (Προφίλ αναχώρησης)	Μήκος καλυπτόμενης διαδρομής	Αριθμός σταδίου	Είδος σταδίου	Μέγεθος ώσης	Flap_ID (Θέση πτερυγίων καμπυλότητας)	Οροφή ανόδου (ft)	Ρυθμός ανόδου (ft/min)	Διακριβωμένη ταχύτητα αέρα στην οροφή ανόδου (kt)	Ποσοστό επιτάχυνσης (%)
EMB195	ICAO_A	4	7	Άνοδος	Μέγιστη ώση ανόδου	ZERO	10 000			
EMB195	ICAO_B	1	1	Απογείωση	Μέγιστη ώση απογείωσης	1				
EMB195	ICAO_B	1	2	Άνοδος	Μέγιστη ώση απογείωσης	1	1 000			
EMB195	ICAO_B	1	3	Επιτάχυνση	Μέγιστη ώση απογείωσης	ZERO		1 732	194,8	
EMB195	ICAO_B	1	4	Άνοδος	Μέγιστη ώση ανόδου	ZERO	3 000			
EMB195	ICAO_B	1	5	Επιτάχυνση	Μέγιστη ώση ανόδου	ZERO		1 988	250	
EMB195	ICAO_B	1	6	Άνοδος	Μέγιστη ώση ανόδου	ZERO	5 500			
EMB195	ICAO_B	1	7	Άνοδος	Μέγιστη ώση ανόδου	ZERO	7 500			
EMB195	ICAO_B	1	8	Άνοδος	Μέγιστη ώση ανόδου	ZERO	10 000			
EMB195	ICAO_B	2	1	Απογείωση	Μέγιστη ώση απογείωσης	1				
EMB195	ICAO_B	2	2	Άνοδος	Μέγιστη ώση απογείωσης	1	1 000			
EMB195	ICAO_B	2	3	Επιτάχυνση	Μέγιστη ώση απογείωσης	ZERO		1 664	197	
EMB195	ICAO_B	2	4	Άνοδος	Μέγιστη ώση ανόδου	ZERO	3 000			
EMB195	ICAO_B	2	5	Επιτάχυνση	Μέγιστη ώση ανόδου	ZERO		1 895	250	
EMB195	ICAO_B	2	6	Άνοδος	Μέγιστη ώση ανόδου	ZERO	5 500			

▼**M2**

ACFTID	Profile_ID (Προφίλ αναχώρησης)	Μήκος καλυπτόμενης διαδρομής	Αριθμός σταδίου	Είδος σταδίου	Μέγεθος ώσης	Flap_ID (Θέση πτερυγίων καμπυλότητας)	Οροφή ανόδου (ft)	Ρυθμός ανόδου (ft/min)	Διακριβωμένη ταχύτητα αέρα στην οροφή ανόδου (kt)	Ποσοστό επιτάχυνσης (%)
EMB195	ICAO_B	2	7	Άνοδος	Μέγιστη ώση ανόδου	ZERO	7 500			
EMB195	ICAO_B	2	8	Άνοδος	Μέγιστη ώση ανόδου	ZERO	10 000			
EMB195	ICAO_B	3	1	Απογείωση	Μέγιστη ώση απογείωσης	1				
EMB195	ICAO_B	3	2	Άνοδος	Μέγιστη ώση απογείωσης	1	1 000			
EMB195	ICAO_B	3	3	Επιτάχυνση	Μέγιστη ώση απογείωσης	ZERO		1 485	195	
EMB195	ICAO_B	3	4	Άνοδος	Μέγιστη ώση ανόδου	ZERO	3 000			
EMB195	ICAO_B	3	5	Επιτάχυνση	Μέγιστη ώση ανόδου	ZERO		1 800	250	
EMB195	ICAO_B	3	6	Άνοδος	Μέγιστη ώση ανόδου	ZERO	5 500			
EMB195	ICAO_B	3	7	Άνοδος	Μέγιστη ώση ανόδου	ZERO	7 500			
EMB195	ICAO_B	3	8	Άνοδος	Μέγιστη ώση ανόδου	ZERO	10 000			
EMB195	ICAO_B	4	1	Απογείωση	Μέγιστη ώση απογείωσης	1				
EMB195	ICAO_B	4	2	Άνοδος	Μέγιστη ώση απογείωσης	1	1 000			
EMB195	ICAO_B	4	3	Επιτάχυνση	Μέγιστη ώση απογείωσης	ZERO		1 468	205,4	
EMB195	ICAO_B	4	4	Άνοδος	Μέγιστη ώση ανόδου	ZERO	3 000			
EMB195	ICAO_B	4	5	Επιτάχυνση	Μέγιστη ώση ανόδου	ZERO		1 631	250	

▼**M2**

ACFTID	Profile_ID (Προφίλ αναχώρησης)	Μήκος καλυπτόμενης διαδρομής	Αριθμός σταδίου	Είδος σταδίου	Μέγεθος ώσης	Flap_ID (Θέση πτερυγίων καμπυλότητας)	Οροφή ανόδου (ft)	Ρυθμός ανόδου (ft/min)	Διακριβωμένη ταχύτητα αέρα στην οροφή ανόδου (kt)	Ποσοστό επιτάχυνσης (%)
EMB195	ICAO_B	4	6	Άνοδος	Μέγιστη ώση ανόδου	ZERO	5 500			
EMB195	ICAO_B	4	7	Άνοδος	Μέγιστη ώση ανόδου	ZERO	7 500			
EMB195	ICAO_B	4	8	Άνοδος	Μέγιστη ώση ανόδου	ZERO	10 000			
F10062	DEFAULT	1	1	Απογείωση	Μέγιστη ώση απογείωσης	TO				
F10062	DEFAULT	1	2	Άνοδος	Μέγιστη ώση απογείωσης	TO	1 000			
F10062	DEFAULT	1	3	Επιτάχυνση	Μέγιστη ώση απογείωσης	TO		2 196	154	
F10062	DEFAULT	1	4	Επιτάχυνση	Μέγιστη ώση απογείωσης	TO		1 647	169	
F10062	DEFAULT	1	5	Επιτάχυνση	Μέγιστη ώση ανόδου	TO		1 000	184	
F10062	DEFAULT	1	6	Άνοδος	Μέγιστη ώση ανόδου	TO	3 000			
F10062	DEFAULT	1	7	Επιτάχυνση	Μέγιστη ώση ανόδου	TO		1 000	250	
F10062	DEFAULT	1	8	Άνοδος	Μέγιστη ώση ανόδου	TO	5 500			
F10062	DEFAULT	1	9	Άνοδος	Μέγιστη ώση ανόδου	TO	7 500			
F10062	DEFAULT	1	10	Άνοδος	Μέγιστη ώση ανόδου	TO	10 000			
F10062	DEFAULT	2	1	Απογείωση	Μέγιστη ώση απογείωσης	TO				

▼**M2**

ACFTID	Profile_ID (Προφίλ αναχώρησης)	Μήκος καλυπτόμενης διαδρομής	Αριθμός σταδίου	Είδος σταδίου	Μέγεθος ώσης	Flap_ID (Θέση πτερυγίων καμπυλότητας)	Οροφή ανόδου (ft)	Ρυθμός ανόδου (ft/min)	Διακριβωμένη ταχύτητα αέρα στην οροφή ανόδου (kt)	Ποσοστό επιτάχυνσης (%)
F10062	DEFAULT	2	2	Άνοδος	Μέγιστη ώση απογείωσης	TO	1 000			
F10062	DEFAULT	2	3	Επιτάχυνση	Μέγιστη ώση απογείωσης	TO		1 982	161	
F10062	DEFAULT	2	4	Επιτάχυνση	Μέγιστη ώση απογείωσης	TO		1 487	176	
F10062	DEFAULT	2	5	Επιτάχυνση	Μέγιστη ώση ανόδου	TO		1 000	191	
F10062	DEFAULT	2	6	Άνοδος	Μέγιστη ώση ανόδου	TO	3 000			
F10062	DEFAULT	2	7	Επιτάχυνση	Μέγιστη ώση ανόδου	TO		1 000	250	
F10062	DEFAULT	2	8	Άνοδος	Μέγιστη ώση ανόδου	TO	5 500			
F10062	DEFAULT	2	9	Άνοδος	Μέγιστη ώση ανόδου	TO	7 500			
F10062	DEFAULT	2	10	Άνοδος	Μέγιστη ώση ανόδου	TO	10 000			
F10062	DEFAULT	3	1	Απογείωση	Μέγιστη ώση απογείωσης	TO				
F10062	DEFAULT	3	2	Άνοδος	Μέγιστη ώση απογείωσης	TO	1 000			
F10062	DEFAULT	3	3	Επιτάχυνση	Μέγιστη ώση απογείωσης	TO		1 819	167	
F10062	DEFAULT	3	4	Επιτάχυνση	Μέγιστη ώση απογείωσης	TO		1 364	182	
F10062	DEFAULT	3	5	Επιτάχυνση	Μέγιστη ώση ανόδου	TO		1 000	197	

▼**M2**

ACFTID	Profile_ID (Προφίλ αναχώρησης)	Μήκος καλυπτόμενης διαδρομής	Αριθμός σταδίου	Είδος σταδίου	Μέγεθος ώσης	Flap_ID (Θέση πτερυγίων καμπυλότητας)	Οροφή ανόδου (ft)	Ρυθμός ανόδου (ft/min)	Διακριβωμένη ταχύτητα αέρα στην οροφή ανόδου (kt)	Ποσοστό επιτάχυνσης (%)
F10062	DEFAULT	3	6	Άνοδος	Μέγιστη ώση ανόδου	TO	3 000			
F10062	DEFAULT	3	7	Επιτάχυνση	Μέγιστη ώση ανόδου	TO		1 000	250	
F10062	DEFAULT	3	8	Άνοδος	Μέγιστη ώση ανόδου	TO	5 500			
F10062	DEFAULT	3	9	Άνοδος	Μέγιστη ώση ανόδου	TO	7 500			
F10062	DEFAULT	3	10	Άνοδος	Μέγιστη ώση ανόδου	TO	10 000			
F10065	DEFAULT	1	1	Απογείωση	Μέγιστη ώση απογείωσης	TO				
F10065	DEFAULT	1	2	Άνοδος	Μέγιστη ώση απογείωσης	TO	1 000			
F10065	DEFAULT	1	3	Επιτάχυνση	Μέγιστη ώση απογείωσης	TO		2 446	157	
F10065	DEFAULT	1	4	Επιτάχυνση	Μέγιστη ώση απογείωσης	TO		1 835	172	
F10065	DEFAULT	1	5	Επιτάχυνση	Μέγιστη ώση ανόδου	TO		1 000	187	
F10065	DEFAULT	1	6	Άνοδος	Μέγιστη ώση ανόδου	TO	3 000			
F10065	DEFAULT	1	7	Επιτάχυνση	Μέγιστη ώση ανόδου	TO		1 000	250	
F10065	DEFAULT	1	8	Άνοδος	Μέγιστη ώση ανόδου	TO	5 500			

▼**M2**

ACFTID	Profile_ID (Προφίλ αναχώρησης)	Μήκος καλυπτόμενης διαδρομής	Αριθμός σταδίου	Είδος σταδίου	Μέγεθος ώσης	Flap_ID (Θέση πτερυγίων καμπυλότητας)	Οροφή ανόδου (ft)	Ρυθμός ανόδου (ft/min)	Διακριβωμένη ταχύτητα αέρα στην οροφή ανόδου (kt)	Ποσοστό επιτάχυνσης (%)
F10065	DEFAULT	1	9	Άνοδος	Μέγιστη ώση ανόδου	TO	7 500			
F10065	DEFAULT	1	10	Άνοδος	Μέγιστη ώση ανόδου	TO	10 000			
F10065	DEFAULT	2	1	Απογείωση	Μέγιστη ώση απογείωσης	TO				
F10065	DEFAULT	2	2	Άνοδος	Μέγιστη ώση απογείωσης	TO	1 000			
F10065	DEFAULT	2	3	Επιτάχυνση	Μέγιστη ώση απογείωσης	TO		2 218	165	
F10065	DEFAULT	2	4	Επιτάχυνση	Μέγιστη ώση απογείωσης	TO		1 664	180	
F10065	DEFAULT	2	5	Επιτάχυνση	Μέγιστη ώση ανόδου	TO		1 000	195	
F10065	DEFAULT	2	6	Άνοδος	Μέγιστη ώση ανόδου	TO	3 000			
F10065	DEFAULT	2	7	Επιτάχυνση	Μέγιστη ώση ανόδου	TO		1 000	250	
F10065	DEFAULT	2	8	Άνοδος	Μέγιστη ώση ανόδου	TO	5 500			
F10065	DEFAULT	2	9	Άνοδος	Μέγιστη ώση ανόδου	TO	7 500			
F10065	DEFAULT	2	10	Άνοδος	Μέγιστη ώση ανόδου	TO	10 000			
F10065	DEFAULT	3	1	Απογείωση	Μέγιστη ώση απογείωσης	TO				

▼**M2**

ACFTID	Profile_ID (Προφίλ αναχώρησης)	Μήκος καλυπτόμενης διαδρομής	Αριθμός σταδίου	Είδος σταδίου	Μέγεθος ώσης	Flap_ID (Θέση πτερυγίων καμπυλότητας)	Οροφή ανόδου (ft)	Ρυθμός ανόδου (ft/min)	Διακριβωμένη ταχύτητα αέρα στην οροφή ανόδου (kt)	Ποσοστό επιτάχυνσης (%)
F10065	DEFAULT	3	2	Άνοδος	Μέγιστη ώση απογείωσης	TO	1 000			
F10065	DEFAULT	3	3	Επιτάχυνση	Μέγιστη ώση απογείωσης	TO		2 021	171	
F10065	DEFAULT	3	4	Επιτάχυνση	Μέγιστη ώση απογείωσης	TO		1 516	186	
F10065	DEFAULT	3	5	Επιτάχυνση	Μέγιστη ώση ανόδου	TO		1 000	201	
F10065	DEFAULT	3	6	Άνοδος	Μέγιστη ώση ανόδου	TO	3 000			
F10065	DEFAULT	3	7	Επιτάχυνση	Μέγιστη ώση ανόδου	TO		1 000	250	
F10065	DEFAULT	3	8	Άνοδος	Μέγιστη ώση ανόδου	TO	5 500			
F10065	DEFAULT	3	9	Άνοδος	Μέγιστη ώση ανόδου	TO	7 500			
F10065	DEFAULT	3	10	Άνοδος	Μέγιστη ώση ανόδου	TO	10 000			
F28MK2	DEFAULT	1	1	Απογείωση	Μέγιστη ώση απογείωσης	6				
F28MK2	DEFAULT	1	2	Άνοδος	Μέγιστη ώση απογείωσης	6	1 000			
F28MK2	DEFAULT	1	3	Επιτάχυνση	Μέγιστη ώση απογείωσης	6		2 229	155	
F28MK2	DEFAULT	1	4	Επιτάχυνση	Μέγιστη ώση απογείωσης	ZERO		1 672	170	
F28MK2	DEFAULT	1	5	Επιτάχυνση	Μέγιστη ώση ανόδου	ZERO		1 000	185	

▼**M2**

ACFTID	Profile_ID (Προφίλ αναχώρησης)	Μήκος καλυπτόμενης διαδρομής	Αριθμός σταδίου	Είδος σταδίου	Μέγεθος ώσης	Flap_ID (Θέση πτερυγίων καμπυλότητας)	Οροφή ανόδου (ft)	Ρυθμός ανόδου (ft/min)	Διακριβωμένη ταχύτητα αέρα στην οροφή ανόδου (kt)	Ποσοστό επιτάχυνσης (%)
F28MK2	DEFAULT	1	6	Άνοδος	Μέγιστη ώση ανόδου	ZERO	3 000			
F28MK2	DEFAULT	1	7	Επιτάχυνση	Μέγιστη ώση ανόδου	ZERO		1 000	250	
F28MK2	DEFAULT	1	8	Άνοδος	Μέγιστη ώση ανόδου	ZERO	5 500			
F28MK2	DEFAULT	1	9	Άνοδος	Μέγιστη ώση ανόδου	ZERO	7 500			
F28MK2	DEFAULT	1	10	Άνοδος	Μέγιστη ώση ανόδου	ZERO	10 000			
F28MK2	DEFAULT	2	1	Απογείωση	Μέγιστη ώση απογείωσης	6				
F28MK2	DEFAULT	2	2	Άνοδος	Μέγιστη ώση απογείωσης	6	1 000			
F28MK2	DEFAULT	2	3	Επιτάχυνση	Μέγιστη ώση απογείωσης	6		2 011	162	
F28MK2	DEFAULT	2	4	Επιτάχυνση	Μέγιστη ώση απογείωσης	ZERO		1 508	177	
F28MK2	DEFAULT	2	5	Επιτάχυνση	Μέγιστη ώση ανόδου	ZERO		1 000	192	
F28MK2	DEFAULT	2	6	Άνοδος	Μέγιστη ώση ανόδου	ZERO	3 000			
F28MK2	DEFAULT	2	7	Επιτάχυνση	Μέγιστη ώση ανόδου	ZERO		1 000	250	
F28MK2	DEFAULT	2	8	Άνοδος	Μέγιστη ώση ανόδου	ZERO	5 500			
F28MK2	DEFAULT	2	9	Άνοδος	Μέγιστη ώση ανόδου	ZERO	7 500			

▼**M2**

ACFTID	Profile_ID (Προφίλ αναχώρησης)	Μήκος καλυπτόμενης διαδρομής	Αριθμός σταδίου	Είδος σταδίου	Μέγεθος ώσης	Flap_ID (Θέση πτερυγίων καμπυλότητας)	Οροφή ανόδου (ft)	Ρυθμός ανόδου (ft/min)	Διακριβωμένη ταχύτητα αέρα στην οροφή ανόδου (kt)	Ποσοστό επιτάχυνσης (%)
F28MK2	DEFAULT	2	10	Άνοδος	Μέγιστη ώση ανόδου	ZERO	10 000			
F28MK4	DEFAULT	1	1	Απογείωση	Μέγιστη ώση απογείωσης	6				
F28MK4	DEFAULT	1	2	Άνοδος	Μέγιστη ώση απογείωσης	6	1 000			
F28MK4	DEFAULT	1	3	Επιτάχυνση	Μέγιστη ώση απογείωσης	6		2 103	152	
F28MK4	DEFAULT	1	4	Επιτάχυνση	Μέγιστη ώση απογείωσης	ZERO		1 578	167	
F28MK4	DEFAULT	1	5	Επιτάχυνση	Μέγιστη ώση ανόδου	ZERO		1 000	182	
F28MK4	DEFAULT	1	6	Άνοδος	Μέγιστη ώση ανόδου	ZERO	3 000			
F28MK4	DEFAULT	1	7	Επιτάχυνση	Μέγιστη ώση ανόδου	ZERO		1 000	250	
F28MK4	DEFAULT	1	8	Άνοδος	Μέγιστη ώση ανόδου	ZERO	5 500			
F28MK4	DEFAULT	1	9	Άνοδος	Μέγιστη ώση ανόδου	ZERO	7 500			
F28MK4	DEFAULT	1	10	Άνοδος	Μέγιστη ώση ανόδου	ZERO	10 000			
F28MK4	DEFAULT	2	1	Απογείωση	Μέγιστη ώση απογείωσης	6				
F28MK4	DEFAULT	2	2	Άνοδος	Μέγιστη ώση απογείωσης	6	1 000			
F28MK4	DEFAULT	2	3	Επιτάχυνση	Μέγιστη ώση απογείωσης	6		1 941	157	

▼**M2**

ACFTID	Profile_ID (Προφίλ αναχώρησης)	Μήκος καλυπτόμενης διαδρομής	Αριθμός σταδίου	Είδος σταδίου	Μέγεθος ώσης	Flap_ID (Θέση πτερυγίων καμπυλότητας)	Οροφή ανόδου (ft)	Ρυθμός ανόδου (ft/min)	Διακριβωμένη ταχύτητα αέρα στην οροφή ανόδου (kt)	Ποσοστό επιτάχυνσης (%)
F28MK4	DEFAULT	2	4	Επιτάχυνση	Μέγιστη ώση απογείωσης	ZERO		1 456	172	
F28MK4	DEFAULT	2	5	Επιτάχυνση	Μέγιστη ώση ανόδου	ZERO		1 000	187	
F28MK4	DEFAULT	2	6	Άνοδος	Μέγιστη ώση ανόδου	ZERO	3 000			
F28MK4	DEFAULT	2	7	Επιτάχυνση	Μέγιστη ώση ανόδου	ZERO		1 000	250	
F28MK4	DEFAULT	2	8	Άνοδος	Μέγιστη ώση ανόδου	ZERO	5 500			
F28MK4	DEFAULT	2	9	Άνοδος	Μέγιστη ώση ανόδου	ZERO	7 500			
F28MK4	DEFAULT	2	10	Άνοδος	Μέγιστη ώση ανόδου	ZERO	10 000			
F28MK4	DEFAULT	3	1	Απογείωση	Μέγιστη ώση απογείωσης	6				
F28MK4	DEFAULT	3	2	Άνοδος	Μέγιστη ώση απογείωσης	6	1 000			
F28MK4	DEFAULT	3	3	Επιτάχυνση	Μέγιστη ώση απογείωσης	6		1 743	165	
F28MK4	DEFAULT	3	4	Επιτάχυνση	Μέγιστη ώση απογείωσης	6		1 307	180	
F28MK4	DEFAULT	3	5	Επιτάχυνση	Μέγιστη ώση ανόδου	ZERO		1 000	195	
F28MK4	DEFAULT	3	6	Άνοδος	Μέγιστη ώση ανόδου	ZERO	3 000			
F28MK4	DEFAULT	3	7	Επιτάχυνση	Μέγιστη ώση ανόδου	ZERO		1 000	250	

▼**M2**

ACFTID	Profile_ID (Προφίλ αναχώρησης)	Μήκος καλυπτόμενης διαδρομής	Αριθμός σταδίου	Είδος σταδίου	Μέγεθος ώσης	Flap_ID (Θέση πτερυγίων καμπυλότητας)	Οροφή ανόδου (ft)	Ρυθμός ανόδου (ft/min)	Διακριβωμένη ταχύτητα αέρα στην οροφή ανόδου (kt)	Ποσοστό επιτάχυνσης (%)
F28MK4	DEFAULT	3	8	Άνοδος	Μέγιστη ώση ανόδου	ZERO	5 500			
F28MK4	DEFAULT	3	9	Άνοδος	Μέγιστη ώση ανόδου	ZERO	7 500			
F28MK4	DEFAULT	3	10	Άνοδος	Μέγιστη ώση ανόδου	ZERO	10 000			
FAL20	DEFAULT	1	1	Απογείωση	Μέγιστη ώση απογείωσης	10				
FAL20	DEFAULT	1	2	Επιτάχυνση	Μέγιστη ώση απογείωσης	10		1 388	152	
FAL20	DEFAULT	1	3	Άνοδος	Μέγιστη ώση απογείωσης	10	1 500			
FAL20	DEFAULT	1	4	Επιτάχυνση	Μέγιστη ώση απογείωσης	10		1 388	162	
FAL20	DEFAULT	1	5	Επιτάχυνση	Μέγιστη ώση ανόδου	INTR		1 041	177	
FAL20	DEFAULT	1	6	Άνοδος	Μέγιστη ώση ανόδου	ZERO	3 000			
FAL20	DEFAULT	1	7	Επιτάχυνση	Μέγιστη ώση ανόδου	ZERO		1 432	250	
FAL20	DEFAULT	1	8	Άνοδος	Μέγιστη ώση ανόδου	ZERO	5 500			
FAL20	DEFAULT	1	9	Άνοδος	Μέγιστη ώση ανόδου	ZERO	7 500			
FAL20	DEFAULT	1	10	Άνοδος	Μέγιστη ώση ανόδου	ZERO	10 000			
GII	DEFAULT	1	1	Απογείωση	Μείωση απογείωσης	T-20-D				

▼**M2**

ACFTID	Profile_ID (Προφίλ αναχώρησης)	Μήκος καλυπτόμενης διαδρομής	Αριθμός σταδίου	Είδος σταδίου	Μέγεθος ώσης	Flap_ID (Θέση πτερυγίων καμπυλότητας)	Οροφή ανόδου (ft)	Ρυθμός ανόδου (ft/min)	Διακριβωμένη ταχύτητα αέρα στην οροφή ανόδου (kt)	Ποσοστό επιτάχυνσης (%)
GII	DEFAULT	1	2	Άνοδος	Μείωση απογείωσης	T-20-D	35			
GII	DEFAULT	1	3	Επιτάχυνση	Μείωση απογείωσης	T-20-D		1 500	162	
GII	DEFAULT	1	4	Άνοδος	Μείωση απογείωσης	T-20-D	400			
GII	DEFAULT	1	5	Άνοδος	Μείωση ανόδου	T-10-U	520			
GII	DEFAULT	1	6	Άνοδος	Μείωση ανόδου	T-10-U	1 500			
GII	DEFAULT	1	7	Άνοδος	Μείωση ανόδου	T-10-U	3 000			
GII	DEFAULT	1	8	Επιτάχυνση	Μέγιστη ώση ανόδου	T-0-U		1 675	192	
GII	DEFAULT	1	9	Επιτάχυνση	Μέγιστη ώση ανόδου	T-0-U		1 775	250	
GII	DEFAULT	1	10	Άνοδος	Μέγιστη ώση ανόδου	T-0-U	5 500			
GII	DEFAULT	1	11	Άνοδος	Μέγιστη ώση ανόδου	T-0-U	7 500			
GII	DEFAULT	1	12	Άνοδος	Μέγιστη ώση ανόδου	T-0-U	10 000			
GII	QF_FULL	1	1	Απογείωση	Μέγιστη ώση απογείωσης	T-20-D				
GII	QF_FULL	1	2	Άνοδος	Μέγιστη ώση απογείωσης	T-20-D	35			
GII	QF_FULL	1	3	Επιτάχυνση	Μέγιστη ώση απογείωσης	T-20-D		1 500	162	

▼**M2**

ACFTID	Profile_ID (Προφίλ αναχώρησης)	Μήκος καλυπτόμενης διαδρομής	Αριθμός σταδίου	Είδος σταδίου	Μέγεθος ώσης	Flap_ID (Θέση πτερυγίων καμπυλότητας)	Οροφή ανόδου (ft)	Ρυθμός ανόδου (ft/min)	Διακριβωμένη ταχύτητα αέρα στην οροφή ανόδου (kt)	Ποσοστό επιτάχυνσης (%)
GII	QF_FULL	1	4	Άνοδος	Μέγιστη ώση απογείωσης	T-20-D	400			
GII	QF_FULL	1	5	Άνοδος	Μείωση ανόδου	T-10-U	520			
GII	QF_FULL	1	6	Άνοδος	Μείωση ανόδου	T-10-U	1 500			
GII	QF_FULL	1	7	Άνοδος	Μείωση ανόδου	T-10-U	3 000			
GII	QF_FULL	1	8	Επιτάχυνση	Μέγιστη ώση ανόδου	T-0-U		1 675	192	
GII	QF_FULL	1	9	Επιτάχυνση	Μέγιστη ώση ανόδου	T-0-U		1 775	250	
GII	QF_FULL	1	10	Άνοδος	Μέγιστη ώση ανόδου	T-0-U	5 500			
GII	QF_FULL	1	11	Άνοδος	Μέγιστη ώση ανόδου	T-0-U	7 500			
GII	QF_FULL	1	12	Άνοδος	Μέγιστη ώση ανόδου	T-0-U	10 000			
GIIB	DEFAULT	1	1	Απογείωση	Μείωση απογείωσης	T-20-D				
GIIB	DEFAULT	1	2	Άνοδος	Μείωση απογείωσης	T-20-D	35			
GIIB	DEFAULT	1	3	Επιτάχυνση	Μείωση απογείωσης	T-20-D		1 500	156	
GIIB	DEFAULT	1	4	Άνοδος	Μείωση απογείωσης	T-20-D	400			
GIIB	DEFAULT	1	5	Άνοδος	Μείωση ανόδου	T-10-U	520			

▼**M2**

ACFTID	Profile_ID (Προφίλ αναχώρησης)	Μήκος καλυπτόμενης διαδρομής	Αριθμός σταδίου	Είδος σταδίου	Μέγεθος ώσης	Flap_ID (Θέση πτερυγίων καμπυλότητας)	Οροφή ανόδου (ft)	Ρυθμός ανόδου (ft/min)	Διακριβωμένη ταχύτητα αέρα στην οροφή ανόδου (kt)	Ποσοστό επιτάχυνσης (%)
GIIB	DEFAULT	1	6	Άνοδος	Μείωση ανόδου	T-10-U	1 500			
GIIB	DEFAULT	1	7	Άνοδος	Μείωση ανόδου	T-10-U	3 000			
GIIB	DEFAULT	1	8	Επιτάχυνση	Μέγιστη ώση ανόδου	T-0-U		1 675	192	
GIIB	DEFAULT	1	9	Επιτάχυνση	Μέγιστη ώση ανόδου	T-0-U		1 775	250	
GIIB	DEFAULT	1	10	Άνοδος	Μέγιστη ώση ανόδου	T-0-U	5 500			
GIIB	DEFAULT	1	11	Άνοδος	Μέγιστη ώση ανόδου	T-0-U	7 500			
GIIB	DEFAULT	1	12	Άνοδος	Μέγιστη ώση ανόδου	T-0-U	10 000			
GIIB	QF_FULL	1	1	Απογείωση	Μέγιστη ώση απογείωσης	T-20-D				
GIIB	QF_FULL	1	2	Άνοδος	Μέγιστη ώση απογείωσης	T-20-D	35			
GIIB	QF_FULL	1	3	Επιτάχυνση	Μέγιστη ώση απογείωσης	T-20-D		1 500	156	
GIIB	QF_FULL	1	4	Άνοδος	Μέγιστη ώση απογείωσης	T-20-D	400			
GIIB	QF_FULL	1	5	Άνοδος	Μείωση ανόδου	T-10-U	520			
GIIB	QF_FULL	1	6	Άνοδος	Μείωση ανόδου	T-10-U	1 500			
GIIB	QF_FULL	1	7	Άνοδος	Μείωση ανόδου	T-10-U	3 000			

▼**M2**

ACFTID	Profile_ID (Προφίλ αναχώρησης)	Μήκος καλυπτόμενης διαδρομής	Αριθμός σταδίου	Είδος σταδίου	Μέγεθος ώσης	Flap_ID (Θέση πτερυγίων καμπυλότητας)	Οροφή ανόδου (ft)	Ρυθμός ανόδου (ft/min)	Διακριβωμένη ταχύτητα αέρα στην οροφή ανόδου (kt)	Ποσοστό επιτάχυνσης (%)
GIIB	QF_FULL	1	8	Επιτάχυνση	Μέγιστη ώση ανόδου	T-0-U		1 675	192	
GIIB	QF_FULL	1	9	Επιτάχυνση	Μέγιστη ώση ανόδου	T-0-U		1 775	250	
GIIB	QF_FULL	1	10	Άνοδος	Μέγιστη ώση ανόδου	T-0-U	5 500			
GIIB	QF_FULL	1	11	Άνοδος	Μέγιστη ώση ανόδου	T-0-U	7 500			
GIIB	QF_FULL	1	12	Άνοδος	Μέγιστη ώση ανόδου	T-0-U	10 000			
GIV	DEFAULT	1	1	Απογείωση	Μέγιστη ώση απογείωσης	T-20-D				
GIV	DEFAULT	1	2	Άνοδος	Μέγιστη ώση απογείωσης	T-20-D	35			
GIV	DEFAULT	1	3	Επιτάχυνση	Μέγιστη ώση απογείωσης	T-20-D		1 800	159,2	
GIV	DEFAULT	1	4	Άνοδος	Μέγιστη ώση απογείωσης	T-20-U	400			
GIV	DEFAULT	1	5	Άνοδος	Μέγιστη ώση ανόδου	T-20-U	600			
GIV	DEFAULT	1	6	Άνοδος	Μέγιστη ώση ανόδου	T-20-U	750			
GIV	DEFAULT	1	7	Άνοδος	Μέγιστη ώση ανόδου	T-10-U	1 850			
GIV	DEFAULT	1	8	Άνοδος	Μέγιστη ώση ανόδου	T-10-U	3 000			
GIV	DEFAULT	1	9	Επιτάχυνση	Μέγιστη ώση ανόδου	T-0-U		1 750	250	

▼**M2**

ACFTID	Profile_ID (Προφίλ αναχώρησης)	Μήκος καλυπτόμενης διαδρομής	Αριθμός σταδίου	Είδος σταδίου	Μέγεθος ώσης	Flap_ID (Θέση πτερυγίων καμπυλότητας)	Οροφή ανόδου (ft)	Ρυθμός ανόδου (ft/min)	Διακριβωμένη ταχύτητα αέρα στην οροφή ανόδου (kt)	Ποσοστό επιτάχυνσης (%)
GIV	DEFAULT	1	10	Άνοδος	Μέγιστη ώση ανόδου	T-0-U	5 000			
GIV	DEFAULT	1	11	Άνοδος	Μέγιστη ώση ανόδου	T-0-U	6 000			
GIV	DEFAULT	1	12	Άνοδος	Μέγιστη ώση ανόδου	T-0-U	7 000			
GIV	DEFAULT	1	13	Άνοδος	Μέγιστη ώση ανόδου	T-0-U	8 000			
GIV	DEFAULT	1	14	Άνοδος	Μέγιστη ώση ανόδου	T-0-U	9 000			
GIV	DEFAULT	1	15	Άνοδος	Μέγιστη ώση ανόδου	T-0-U	10 000			
GV	DEFAULT	1	1	Απογείωση	Μέγιστη ώση απογείωσης	T-20-D				
GV	DEFAULT	1	2	Άνοδος	Μέγιστη ώση απογείωσης	T-20-D	35			
GV	DEFAULT	1	3	Επιτάχυνση	Μέγιστη ώση απογείωσης	T-20-D		1 500	165,7	
GV	DEFAULT	1	4	Άνοδος	Μέγιστη ώση απογείωσης	T-20-U	400			
GV	DEFAULT	1	5	Άνοδος	Μέγιστη ώση ανόδου	T-20-U	600			
GV	DEFAULT	1	6	Άνοδος	Μέγιστη ώση ανόδου	T-20-U	750			
GV	DEFAULT	1	7	Άνοδος	Μέγιστη ώση ανόδου	T-10-U	1 800			
GV	DEFAULT	1	8	Άνοδος	Μέγιστη ώση ανόδου	T-10-U	3 000			

▼**M2**

ACFTID	Profile_ID (Προφίλ αναχώρησης)	Μήκος καλυπτόμενης διαδρομής	Αριθμός σταδίου	Είδος σταδίου	Μέγεθος ώσης	Flap_ID (Θέση πτερυγίων καμπυλότητας)	Οροφή ανόδου (ft)	Ρυθμός ανόδου (ft/min)	Διακριβωμένη ταχύτητα αέρα στην οροφή ανόδου (kt)	Ποσοστό επιτάχυνσης (%)
GV	DEFAULT	1	9	Επιτάχυνση	Μέγιστη ώση ανόδου	T-0-U		1 750	250	
GV	DEFAULT	1	10	Άνοδος	Μέγιστη ώση ανόδου	T-0-U	5 000			
GV	DEFAULT	1	11	Άνοδος	Μέγιστη ώση ανόδου	T-0-U	6 000			
GV	DEFAULT	1	12	Άνοδος	Μέγιστη ώση ανόδου	T-0-U	7 000			
GV	DEFAULT	1	13	Άνοδος	Μέγιστη ώση ανόδου	T-0-U	8 000			
GV	DEFAULT	1	14	Άνοδος	Μέγιστη ώση ανόδου	T-0-U	9 000			
GV	DEFAULT	1	15	Άνοδος	Μέγιστη ώση ανόδου	T-0-U	10 000			
HS748A	DEFAULT	1	1	Απογείωση	Μέγιστη ώση απογείωσης	TO				
HS748A	DEFAULT	1	2	Άνοδος	Μέγιστη ώση απογείωσης	TO	1 000			
HS748A	DEFAULT	1	3	Επιτάχυνση	Μέγιστη ώση απογείωσης	TO		917	127	
HS748A	DEFAULT	1	4	Επιτάχυνση	Μέγιστη ώση ανόδου	INTR		688	147	
HS748A	DEFAULT	1	5	Άνοδος	Μέγιστη ώση ανόδου	ZERO	3 000			
HS748A	DEFAULT	1	6	Άνοδος	Μέγιστη ώση ανόδου	ZERO	5 500			
HS748A	DEFAULT	1	7	Άνοδος	Μέγιστη ώση ανόδου	ZERO	7 500			

▼**M2**

ACFTID	Profile_ID (Προφίλ αναχώρησης)	Μήκος καλυπτόμενης διαδρομής	Αριθμός σταδίου	Είδος σταδίου	Μέγεθος ώσης	Flap_ID (Θέση πτερυγίων καμπυλότητας)	Οροφή ανόδου (ft)	Ρυθμός ανόδου (ft/min)	Διακριβωμένη ταχύτητα αέρα στην οροφή ανόδου (kt)	Ποσοστό επιτάχυνσης (%)
HS748A	DEFAULT	1	8	Άνοδος	Μέγιστη ώση ανόδου	ZERO	10 000			
IA1125	DEFAULT	1	1	Απογείωση	Μέγιστη ώση απογείωσης	12				
IA1125	DEFAULT	1	2	Επιτάχυνση	Μέγιστη ώση απογείωσης	12		1 094	163	
IA1125	DEFAULT	1	3	Άνοδος	Μέγιστη ώση απογείωσης	12	1 500			
IA1125	DEFAULT	1	4	Επιτάχυνση	Μέγιστη ώση απογείωσης	INTR		1 094	188	
IA1125	DEFAULT	1	5	Άνοδος	Μέγιστη ώση ανόδου	ZERO	3 000			
IA1125	DEFAULT	1	6	Επιτάχυνση	Μέγιστη ώση ανόδου	ZERO		1 286	250	
IA1125	DEFAULT	1	7	Άνοδος	Μέγιστη ώση ανόδου	ZERO	5 500			
IA1125	DEFAULT	1	8	Άνοδος	Μέγιστη ώση ανόδου	ZERO	7 500			
IA1125	DEFAULT	1	9	Άνοδος	Μέγιστη ώση ανόδου	ZERO	10 000			
L1011	DEFAULT	1	1	Απογείωση	Μέγιστη ώση απογείωσης	10				
L1011	DEFAULT	1	2	Άνοδος	Μέγιστη ώση απογείωσης	10	1 000			
L1011	DEFAULT	1	3	Επιτάχυνση	Μέγιστη ώση απογείωσης	10		2 145	162	
L1011	DEFAULT	1	4	Επιτάχυνση	Μέγιστη ώση απογείωσης	INTR		1 609	182	

▼**M2**

ACFTID	Profile_ID (Προφίλ αναχώρησης)	Μήκος καλυπτόμενης διαδρομής	Αριθμός σταδίου	Είδος σταδίου	Μέγεθος ώσης	Flap_ID (Θέση πτερυγίων καμπυλότητας)	Οροφή ανόδου (ft)	Ρυθμός ανόδου (ft/min)	Διακριβωμένη ταχύτητα αέρα στην οροφή ανόδου (kt)	Ποσοστό επιτάχυνσης (%)
L1011	DEFAULT	1	5	Επιτάχυνση	Μέγιστη ώση ανόδου	INTR		1 000	202	
L1011	DEFAULT	1	6	Άνοδος	Μέγιστη ώση ανόδου	ZERO	3 000			
L1011	DEFAULT	1	7	Επιτάχυνση	Μέγιστη ώση ανόδου	ZERO		1 000	250	
L1011	DEFAULT	1	8	Άνοδος	Μέγιστη ώση ανόδου	ZERO	5 500			
L1011	DEFAULT	1	9	Άνοδος	Μέγιστη ώση ανόδου	ZERO	7 500			
L1011	DEFAULT	1	10	Άνοδος	Μέγιστη ώση ανόδου	ZERO	10 000			
L1011	DEFAULT	2	1	Απογείωση	Μέγιστη ώση απογείωσης	10				
L1011	DEFAULT	2	2	Άνοδος	Μέγιστη ώση απογείωσης	10	1 000			
L1011	DEFAULT	2	3	Επιτάχυνση	Μέγιστη ώση απογείωσης	10		2 068	165	
L1011	DEFAULT	2	4	Επιτάχυνση	Μέγιστη ώση απογείωσης	INTR		1 551	185	
L1011	DEFAULT	2	5	Επιτάχυνση	Μέγιστη ώση ανόδου	INTR		1 000	205	
L1011	DEFAULT	2	6	Άνοδος	Μέγιστη ώση ανόδου	ZERO	3 000			
L1011	DEFAULT	2	7	Επιτάχυνση	Μέγιστη ώση ανόδου	ZERO		1 000	250	

▼**M2**

ACFTID	Profile_ID (Προφίλ αναχώρησης)	Μήκος καλυπτόμενης διαδρομής	Αριθμός σταδίου	Είδος σταδίου	Μέγεθος ώσης	Flap_ID (Θέση πτερυγίων καμπυλότητας)	Οροφή ανόδου (ft)	Ρυθμός ανόδου (ft/min)	Διακριβωμένη ταχύτητα αέρα στην οροφή ανόδου (kt)	Ποσοστό επιτάχυνσης (%)
L1011	DEFAULT	2	8	Άνοδος	Μέγιστη ώση ανόδου	ZERO	5 500			
L1011	DEFAULT	2	9	Άνοδος	Μέγιστη ώση ανόδου	ZERO	7 500			
L1011	DEFAULT	2	10	Άνοδος	Μέγιστη ώση ανόδου	ZERO	10 000			
L1011	DEFAULT	3	1	Απογείωση	Μέγιστη ώση απογείωσης	10				
L1011	DEFAULT	3	2	Άνοδος	Μέγιστη ώση απογείωσης	10	1 000			
L1011	DEFAULT	3	3	Επιτάχυνση	Μέγιστη ώση απογείωσης	10		1 959	168	
L1011	DEFAULT	3	4	Επιτάχυνση	Μέγιστη ώση απογείωσης	INTR		1 469	188	
L1011	DEFAULT	3	5	Επιτάχυνση	Μέγιστη ώση ανόδου	INTR		1 000	208	
L1011	DEFAULT	3	6	Άνοδος	Μέγιστη ώση ανόδου	ZERO	3 000			
L1011	DEFAULT	3	7	Επιτάχυνση	Μέγιστη ώση ανόδου	ZERO		1 000	250	
L1011	DEFAULT	3	8	Άνοδος	Μέγιστη ώση ανόδου	ZERO	5 500			
L1011	DEFAULT	3	9	Άνοδος	Μέγιστη ώση ανόδου	ZERO	7 500			
L1011	DEFAULT	3	10	Άνοδος	Μέγιστη ώση ανόδου	ZERO	10 000			
L1011	DEFAULT	4	1	Απογείωση	Μέγιστη ώση απογείωσης	10				

▼**M2**

ACFTID	Profile_ID (Προφίλ αναχώρησης)	Μήκος καλυπτόμενης διαδρομής	Αριθμός σταδίου	Είδος σταδίου	Μέγεθος ώσης	Flap_ID (Θέση πτερυγίων καμπυλότητας)	Οροφή ανόδου (ft)	Ρυθμός ανόδου (ft/min)	Διακριβωμένη ταχύτητα αέρα στην οροφή ανόδου (kt)	Ποσοστό επιτάχυνσης (%)
L1011	DEFAULT	4	2	Άνοδος	Μέγιστη ώση απογείωσης	10	1 000			
L1011	DEFAULT	4	3	Επιτάχυνση	Μέγιστη ώση απογείωσης	10		1 857	171	
L1011	DEFAULT	4	4	Επιτάχυνση	Μέγιστη ώση απογείωσης	INTR		1 393	191	
L1011	DEFAULT	4	5	Επιτάχυνση	Μέγιστη ώση ανόδου	INTR		1 000	211	
L1011	DEFAULT	4	6	Άνοδος	Μέγιστη ώση ανόδου	ZERO	3 000			
L1011	DEFAULT	4	7	Επιτάχυνση	Μέγιστη ώση ανόδου	ZERO		1 000	250	
L1011	DEFAULT	4	8	Άνοδος	Μέγιστη ώση ανόδου	ZERO	5 500			
L1011	DEFAULT	4	9	Άνοδος	Μέγιστη ώση ανόδου	ZERO	7 500			
L1011	DEFAULT	4	10	Άνοδος	Μέγιστη ώση ανόδου	ZERO	10 000			
L1011	DEFAULT	5	1	Απογείωση	Μέγιστη ώση απογείωσης	10				
L1011	DEFAULT	5	2	Άνοδος	Μέγιστη ώση απογείωσης	10	1 000			
L1011	DEFAULT	5	3	Επιτάχυνση	Μέγιστη ώση απογείωσης	10		1 669	178	
L1011	DEFAULT	5	4	Επιτάχυνση	Μέγιστη ώση απογείωσης	INTR		1 252	198	
L1011	DEFAULT	5	5	Επιτάχυνση	Μέγιστη ώση ανόδου	INTR		1 000	218	

▼**M2**

ACFTID	Profile_ID (Προφίλ αναχώρησης)	Μήκος καλυπτόμενης διαδρομής	Αριθμός σταδίου	Είδος σταδίου	Μέγεθος ώσης	Flap_ID (Θέση πτερυγίων καμπυλότητας)	Οροφή ανόδου (ft)	Ρυθμός ανόδου (ft/min)	Διακριβωμένη ταχύτητα αέρα στην οροφή ανόδου (kt)	Ποσοστό επιτάχυνσης (%)
L1011	DEFAULT	5	6	Άνοδος	Μέγιστη ώση ανόδου	ZERO	3 000			
L1011	DEFAULT	5	7	Επιτάχυνση	Μέγιστη ώση ανόδου	ZERO		1 000	250	
L1011	DEFAULT	5	8	Άνοδος	Μέγιστη ώση ανόδου	ZERO	5 500			
L1011	DEFAULT	5	9	Άνοδος	Μέγιστη ώση ανόδου	ZERO	7 500			
L1011	DEFAULT	5	10	Άνοδος	Μέγιστη ώση ανόδου	ZERO	10 000			
L1011	DEFAULT	6	1	Απογείωση	Μέγιστη ώση απογείωσης	10				
L1011	DEFAULT	6	2	Άνοδος	Μέγιστη ώση απογείωσης	10	1 000			
L1011	DEFAULT	6	3	Επιτάχυνση	Μέγιστη ώση απογείωσης	10		1 501	184	
L1011	DEFAULT	6	4	Επιτάχυνση	Μέγιστη ώση απογείωσης	INTR		1 126	204	
L1011	DEFAULT	6	5	Επιτάχυνση	Μέγιστη ώση ανόδου	INTR		1 000	224	
L1011	DEFAULT	6	6	Άνοδος	Μέγιστη ώση ανόδου	ZERO	3 000			
L1011	DEFAULT	6	7	Επιτάχυνση	Μέγιστη ώση ανόδου	ZERO		1 000	250	
L1011	DEFAULT	6	8	Άνοδος	Μέγιστη ώση ανόδου	ZERO	5 500			
L1011	DEFAULT	6	9	Άνοδος	Μέγιστη ώση ανόδου	ZERO	7 500			

▼**M2**

ACFTID	Profile_ID (Προφίλ αναχώρησης)	Μήκος καλυπτόμενης διαδρομής	Αριθμός σταδίου	Είδος σταδίου	Μέγεθος ώσης	Flap_ID (Θέση πτερυγίων καμπυλότητας)	Οροφή ανόδου (ft)	Ρυθμός ανόδου (ft/min)	Διακριβωμένη ταχύτητα αέρα στην οροφή ανόδου (kt)	Ποσοστό επιτάχυνσης (%)
L1011	DEFAULT	6	10	Άνοδος	Μέγιστη ώση ανόδου	ZERO	10 000			
L10115	DEFAULT	1	1	Απογείωση	Μέγιστη ώση απογείωσης	10				
L10115	DEFAULT	1	2	Άνοδος	Μέγιστη ώση απογείωσης	10	1 000			
L10115	DEFAULT	1	3	Επιτάχυνση	Μέγιστη ώση απογείωσης	10		2 632	166	
L10115	DEFAULT	1	4	Επιτάχυνση	Μέγιστη ώση απογείωσης	INTR		1 974	186	
L10115	DEFAULT	1	5	Επιτάχυνση	Μέγιστη ώση ανόδου	INTR		1 000	206	
L10115	DEFAULT	1	6	Άνοδος	Μέγιστη ώση ανόδου	ZERO	3 000			
L10115	DEFAULT	1	7	Επιτάχυνση	Μέγιστη ώση ανόδου	ZERO		1 000	250	
L10115	DEFAULT	1	8	Άνοδος	Μέγιστη ώση ανόδου	ZERO	5 500			
L10115	DEFAULT	1	9	Άνοδος	Μέγιστη ώση ανόδου	ZERO	7 500			
L10115	DEFAULT	1	10	Άνοδος	Μέγιστη ώση ανόδου	ZERO	10 000			
L10115	DEFAULT	2	1	Απογείωση	Μέγιστη ώση απογείωσης	10				
L10115	DEFAULT	2	2	Άνοδος	Μέγιστη ώση απογείωσης	10	1 000			
L10115	DEFAULT	2	3	Επιτάχυνση	Μέγιστη ώση απογείωσης	10		2 547	168	
L10115	DEFAULT	2	4	Επιτάχυνση	Μέγιστη ώση απογείωσης	INTR		1 911	188	

▼**M2**

ACFTID	Profile_ID (Προφίλ αναχώρησης)	Μήκος καλυπτόμενης διαδρομής	Αριθμός σταδίου	Είδος σταδίου	Μέγεθος ώσης	Flap_ID (Θέση πτερυγίων καμπυλότητας)	Οροφή ανόδου (ft)	Ρυθμός ανόδου (ft/min)	Διακριβωμένη ταχύτητα αέρα στην οροφή ανόδου (kt)	Ποσοστό επιτάχυνσης (%)
L10115	DEFAULT	2	5	Επιτάχυνση	Μέγιστη ώση ανόδου	INTR		1 000	208	
L10115	DEFAULT	2	6	Άνοδος	Μέγιστη ώση ανόδου	ZERO	3 000			
L10115	DEFAULT	2	7	Επιτάχυνση	Μέγιστη ώση ανόδου	ZERO		1 000	250	
L10115	DEFAULT	2	8	Άνοδος	Μέγιστη ώση ανόδου	ZERO	5 500			
L10115	DEFAULT	2	9	Άνοδος	Μέγιστη ώση ανόδου	ZERO	7 500			
L10115	DEFAULT	2	10	Άνοδος	Μέγιστη ώση ανόδου	ZERO	10 000			
L10115	DEFAULT	3	1	Απογείωση	Μέγιστη ώση απογείωσης	10				
L10115	DEFAULT	3	2	Άνοδος	Μέγιστη ώση απογείωσης	10	1 000			
L10115	DEFAULT	3	3	Επιτάχυνση	Μέγιστη ώση απογείωσης	10		2 428	171	
L10115	DEFAULT	3	4	Επιτάχυνση	Μέγιστη ώση απογείωσης	INTR		1 821	191	
L10115	DEFAULT	3	5	Επιτάχυνση	Μέγιστη ώση ανόδου	INTR		1 000	211	
L10115	DEFAULT	3	6	Άνοδος	Μέγιστη ώση ανόδου	ZERO	3 000			
L10115	DEFAULT	3	7	Επιτάχυνση	Μέγιστη ώση ανόδου	ZERO		1 000	250	
L10115	DEFAULT	3	8	Άνοδος	Μέγιστη ώση ανόδου	ZERO	5 500			

▼**M2**

ACFTID	Profile_ID (Προφίλ αναχώρησης)	Μήκος καλυπτόμενης διαδρομής	Αριθμός σταδίου	Είδος σταδίου	Μέγεθος ώσης	Flap_ID (Θέση πτερυγίων καμπυλότητας)	Οροφή ανόδου (ft)	Ρυθμός ανόδου (ft/min)	Διακριβωμένη ταχύτητα αέρα στην οροφή ανόδου (kt)	Ποσοστό επιτάχυνσης (%)
L10115	DEFAULT	3	9	Άνοδος	Μέγιστη ώση ανόδου	ZERO	7 500			
L10115	DEFAULT	3	10	Άνοδος	Μέγιστη ώση ανόδου	ZERO	10 000			
L10115	DEFAULT	4	1	Απογείωση	Μέγιστη ώση απογείωσης	10				
L10115	DEFAULT	4	2	Άνοδος	Μέγιστη ώση απογείωσης	10	1 000			
L10115	DEFAULT	4	3	Επιτάχυνση	Μέγιστη ώση απογείωσης	10		2 317	175	
L10115	DEFAULT	4	4	Επιτάχυνση	Μέγιστη ώση απογείωσης	INTR		1 738	195	
L10115	DEFAULT	4	5	Επιτάχυνση	Μέγιστη ώση ανόδου	INTR		1 000	215	
L10115	DEFAULT	4	6	Άνοδος	Μέγιστη ώση ανόδου	ZERO	3 000			
L10115	DEFAULT	4	7	Επιτάχυνση	Μέγιστη ώση ανόδου	ZERO		1 000	250	
L10115	DEFAULT	4	8	Άνοδος	Μέγιστη ώση ανόδου	ZERO	5 500			
L10115	DEFAULT	4	9	Άνοδος	Μέγιστη ώση ανόδου	ZERO	7 500			
L10115	DEFAULT	4	10	Άνοδος	Μέγιστη ώση ανόδου	ZERO	10 000			
L10115	DEFAULT	5	1	Απογείωση	Μέγιστη ώση απογείωσης	10				
L10115	DEFAULT	5	2	Άνοδος	Μέγιστη ώση απογείωσης	10	1 000			

▼**M2**

ACFTID	Profile_ID (Προφίλ αναχώρησης)	Μήκος καλυπτόμενης διαδρομής	Αριθμός σταδίου	Είδος σταδίου	Μέγεθος ώσης	Flap_ID (Θέση πτερυγίων καμπυλότητας)	Οροφή ανόδου (ft)	Ρυθμός ανόδου (ft/min)	Διακριβωμένη ταχύτητα αέρα στην οροφή ανόδου (kt)	Ποσοστό επιτάχυνσης (%)
L10115	DEFAULT	5	3	Επιτάχυνση	Μέγιστη ώση απογείωσης	10		2 125	181	
L10115	DEFAULT	5	4	Επιτάχυνση	Μέγιστη ώση απογείωσης	INTR		1 594	201	
L10115	DEFAULT	5	5	Επιτάχυνση	Μέγιστη ώση ανόδου	INTR		1 000	221	
L10115	DEFAULT	5	6	Άνοδος	Μέγιστη ώση ανόδου	ZERO	3 000			
L10115	DEFAULT	5	7	Επιτάχυνση	Μέγιστη ώση ανόδου	ZERO		1 000	250	
L10115	DEFAULT	5	8	Άνοδος	Μέγιστη ώση ανόδου	ZERO	5 500			
L10115	DEFAULT	5	9	Άνοδος	Μέγιστη ώση ανόδου	ZERO	7 500			
L10115	DEFAULT	5	10	Άνοδος	Μέγιστη ώση ανόδου	ZERO	10 000			
L10115	DEFAULT	6	1	Απογείωση	Μέγιστη ώση απογείωσης	10				
L10115	DEFAULT	6	2	Άνοδος	Μέγιστη ώση απογείωσης	10	1 000			
L10115	DEFAULT	6	3	Επιτάχυνση	Μέγιστη ώση απογείωσης	10		1 953	186	
L10115	DEFAULT	6	4	Επιτάχυνση	Μέγιστη ώση απογείωσης	INTR		1 465	206	
L10115	DEFAULT	6	5	Επιτάχυνση	Μέγιστη ώση ανόδου	INTR		1 000	226	
L10115	DEFAULT	6	6	Άνοδος	Μέγιστη ώση ανόδου	ZERO	3 000			

▼**M2**

ACFTID	Profile_ID (Προφίλ αναχώρησης)	Μήκος καλυπτόμενης διαδρομής	Αριθμός σταδίου	Είδος σταδίου	Μέγεθος ώσης	Flap_ID (Θέση πτερυγίων καμπυλότητας)	Οροφή ανόδου (ft)	Ρυθμός ανόδου (ft/min)	Διακριβωμένη ταχύτητα αέρα στην οροφή ανόδου (kt)	Ποσοστό επιτάχυνσης (%)
L10115	DEFAULT	6	7	Επιτάχυνση	Μέγιστη ώση ανόδου	ZERO		1 000	250	
L10115	DEFAULT	6	8	Άνοδος	Μέγιστη ώση ανόδου	ZERO	5 500			
L10115	DEFAULT	6	9	Άνοδος	Μέγιστη ώση ανόδου	ZERO	7 500			
L10115	DEFAULT	6	10	Άνοδος	Μέγιστη ώση ανόδου	ZERO	10 000			
L10115	DEFAULT	7	1	Απογείωση	Μέγιστη ώση απογείωσης	10				
L10115	DEFAULT	7	2	Άνοδος	Μέγιστη ώση απογείωσης	10	1 000			
L10115	DEFAULT	7	3	Επιτάχυνση	Μέγιστη ώση απογείωσης	10		1 790	192	
L10115	DEFAULT	7	4	Επιτάχυνση	Μέγιστη ώση απογείωσης	INTR		1 343	212	
L10115	DEFAULT	7	5	Επιτάχυνση	Μέγιστη ώση ανόδου	INTR		1 000	232	
L10115	DEFAULT	7	6	Άνοδος	Μέγιστη ώση ανόδου	ZERO	3 000			
L10115	DEFAULT	7	7	Επιτάχυνση	Μέγιστη ώση ανόδου	ZERO		1 000	250	
L10115	DEFAULT	7	8	Άνοδος	Μέγιστη ώση ανόδου	ZERO	5 500			
L10115	DEFAULT	7	9	Άνοδος	Μέγιστη ώση ανόδου	ZERO	7 500			
L10115	DEFAULT	7	10	Άνοδος	Μέγιστη ώση ανόδου	ZERO	10 000			

▼**M2**

ACFTID	Profile_ID (Προφίλ αναχώρησης)	Μήκος καλυπτόμενης διαδρομής	Αριθμός σταδίου	Είδος σταδίου	Μέγεθος ώσης	Flap_ID (Θέση πτερυγίων καμπυλότητας)	Οροφή ανόδου (ft)	Ρυθμός ανόδου (ft/min)	Διακριβωμένη ταχύτητα αέρα στην οροφή ανόδου (kt)	Ποσοστό επιτάχυνσης (%)
L188	DEFAULT	1	1	Απογείωση	Μέγιστη ώση απογείωσης	78-%				
L188	DEFAULT	1	2	Άνοδος	Μέγιστη ώση απογείωσης	78-%	1 000			
L188	DEFAULT	1	3	Επιτάχυνση	Μέγιστη ώση απογείωσης	78-%		1 653	133	
L188	DEFAULT	1	4	Επιτάχυνση	Μέγιστη ώση ανόδου	INTR		1 240	153	
L188	DEFAULT	1	5	Άνοδος	Μέγιστη ώση ανόδου	ZERO	3 000			
L188	DEFAULT	1	6	Άνοδος	Μέγιστη ώση ανόδου	ZERO	5 500			
L188	DEFAULT	1	7	Άνοδος	Μέγιστη ώση ανόδου	ZERO	7 500			
L188	DEFAULT	1	8	Άνοδος	Μέγιστη ώση ανόδου	ZERO	10 000			
L188	DEFAULT	2	1	Απογείωση	Μέγιστη ώση απογείωσης	78-%				
L188	DEFAULT	2	2	Άνοδος	Μέγιστη ώση απογείωσης	78-%	1 000			
L188	DEFAULT	2	3	Επιτάχυνση	Μέγιστη ώση απογείωσης	78-%		1 309	139	
L188	DEFAULT	2	4	Επιτάχυνση	Μέγιστη ώση ανόδου	INTR		982	159	
L188	DEFAULT	2	5	Άνοδος	Μέγιστη ώση ανόδου	ZERO	3 000			
L188	DEFAULT	2	6	Άνοδος	Μέγιστη ώση ανόδου	ZERO	5 500			

▼**M2**

ACFTID	Profile_ID (Προφίλ αναχώρησης)	Μήκος καλυπτόμενης διαδρομής	Αριθμός σταδίου	Είδος σταδίου	Μέγεθος ώσης	Flap_ID (Θέση πτερυγίων καμπυλότητας)	Οροφή ανόδου (ft)	Ρυθμός ανόδου (ft/min)	Διακριβωμένη ταχύτητα αέρα στην οροφή ανόδου (kt)	Ποσοστό επιτάχυνσης (%)
L188	DEFAULT	2	7	Άνοδος	Μέγιστη ώση ανόδου	ZERO	7 500			
L188	DEFAULT	2	8	Άνοδος	Μέγιστη ώση ανόδου	ZERO	10 000			
L188	DEFAULT	3	1	Απογείωση	Μέγιστη ώση απογείωσης	78-%				
L188	DEFAULT	3	2	Άνοδος	Μέγιστη ώση απογείωσης	78-%	1 000			
L188	DEFAULT	3	3	Επιτάχυνση	Μέγιστη ώση απογείωσης	78-%		905	147	
L188	DEFAULT	3	4	Επιτάχυνση	Μέγιστη ώση ανόδου	INTR		679	167	
L188	DEFAULT	3	5	Άνοδος	Μέγιστη ώση ανόδου	ZERO	3 000			
L188	DEFAULT	3	6	Άνοδος	Μέγιστη ώση ανόδου	ZERO	5 500			
L188	DEFAULT	3	7	Άνοδος	Μέγιστη ώση ανόδου	ZERO	7 500			
L188	DEFAULT	3	8	Άνοδος	Μέγιστη ώση ανόδου	ZERO	10 000			
LEAR25	DEFAULT	1	1	Απογείωση	Μέγιστη ώση απογείωσης	20				
LEAR25	DEFAULT	1	2	Επιτάχυνση	Μέγιστη ώση απογείωσης	20		1 698	171	
LEAR25	DEFAULT	1	3	Άνοδος	Μέγιστη ώση απογείωσης	20	1 500			
LEAR25	DEFAULT	1	4	Επιτάχυνση	Μέγιστη ώση απογείωσης	10		1 698	196	

▼**M2**

ACFTID	Profile_ID (Προφίλ αναχώρησης)	Μήκος καλυπτόμενης διαδρομής	Αριθμός σταδίου	Είδος σταδίου	Μέγεθος ώσης	Flap_ID (Θέση πτερυγίων καμπυλότητας)	Οροφή ανόδου (ft)	Ρυθμός ανόδου (ft/min)	Διακριβωμένη ταχύτητα αέρα στην οροφή ανόδου (kt)	Ποσοστό επιτάχυνσης (%)
LEAR25	DEFAULT	1	5	Άνοδος	Μέγιστη ώση ανόδου	ZERO	3 000			
LEAR25	DEFAULT	1	6	Επιτάχυνση	Μέγιστη ώση ανόδου	ZERO		2 075	250	
LEAR25	DEFAULT	1	7	Άνοδος	Μέγιστη ώση ανόδου	ZERO	5 500			
LEAR25	DEFAULT	1	8	Άνοδος	Μέγιστη ώση ανόδου	ZERO	7 500			
LEAR25	DEFAULT	1	9	Άνοδος	Μέγιστη ώση ανόδου	ZERO	10 000			
LEAR35	DEFAULT	1	1	Απογείωση	Μέγιστη ώση απογείωσης	20				
LEAR35	DEFAULT	1	2	Επιτάχυνση	Μέγιστη ώση απογείωσης	20		1 493	158	
LEAR35	DEFAULT	1	3	Άνοδος	Μέγιστη ώση απογείωσης	20	1 500			
LEAR35	DEFAULT	1	4	Επιτάχυνση	Μέγιστη ώση απογείωσης	10		1 493	183	
LEAR35	DEFAULT	1	5	Άνοδος	Μέγιστη ώση ανόδου	ZERO	3 000			
LEAR35	DEFAULT	1	6	Επιτάχυνση	Μέγιστη ώση ανόδου	ZERO		1 706	250	
LEAR35	DEFAULT	1	7	Άνοδος	Μέγιστη ώση ανόδου	ZERO	5 500			
LEAR35	DEFAULT	1	8	Άνοδος	Μέγιστη ώση ανόδου	ZERO	7 500			

▼**M2**

ACFTID	Profile_ID (Προφίλ αναχώρησης)	Μήκος καλυπτόμενης διαδρομής	Αριθμός σταδίου	Είδος σταδίου	Μέγεθος ώσης	Flap_ID (Θέση πτερυγίων καμπυλότητας)	Οροφή ανόδου (ft)	Ρυθμός ανόδου (ft/min)	Διακριβωμένη ταχύτητα αέρα στην οροφή ανόδου (kt)	Ποσοστό επιτάχυνσης (%)
LEAR35	DEFAULT	1	9	Άνοδος	Μέγιστη ώση ανόδου	ZERO	10 000			
MD11GE	DEFAULT	1	1	Απογείωση	Μέγιστη ώση απογείωσης	25				
MD11GE	DEFAULT	1	2	Άνοδος	Μέγιστη ώση απογείωσης	25	1 000			
MD11GE	DEFAULT	1	3	Επιτάχυνση	Μέγιστη ώση απογείωσης	0/EXT		1 500	211	
MD11GE	DEFAULT	1	4	Άνοδος	Μέγιστη ώση ανόδου	0/EXT	2 000			
MD11GE	DEFAULT	1	5	Άνοδος	Μέγιστη ώση ανόδου	0/EXT	3 000			
MD11GE	DEFAULT	1	6	Επιτάχυνση	Μέγιστη ώση ανόδου	0/RET		1 500	250	
MD11GE	DEFAULT	1	7	Άνοδος	Μέγιστη ώση ανόδου	0/RET	10 000			
MD11GE	DEFAULT	2	1	Απογείωση	Μέγιστη ώση απογείωσης	25				
MD11GE	DEFAULT	2	2	Άνοδος	Μέγιστη ώση απογείωσης	25	1 000			
MD11GE	DEFAULT	2	3	Επιτάχυνση	Μέγιστη ώση απογείωσης	0/EXT		1 500	210	
MD11GE	DEFAULT	2	4	Άνοδος	Μέγιστη ώση ανόδου	0/EXT	2 000			
MD11GE	DEFAULT	2	5	Άνοδος	Μέγιστη ώση ανόδου	0/EXT	3 000			
MD11GE	DEFAULT	2	6	Επιτάχυνση	Μέγιστη ώση ανόδου	0/RET		1 500	250	

▼**M2**

ACFTID	Profile_ID (Προφίλ αναχώρησης)	Μήκος καλυπτόμενης διαδρομής	Αριθμός σταδίου	Είδος σταδίου	Μέγεθος ώσης	Flap_ID (Θέση πτερυγίων καμπυλότητας)	Οροφή ανόδου (ft)	Ρυθμός ανόδου (ft/min)	Διακριβωμένη ταχύτητα αέρα στην οροφή ανόδου (kt)	Ποσοστό επιτάχυνσης (%)
MD11GE	DEFAULT	2	7	Άνοδος	Μέγιστη ώση ανόδου	0/RET	10 000			
MD11GE	DEFAULT	3	1	Απογείωση	Μέγιστη ώση απογείωσης	25				
MD11GE	DEFAULT	3	2	Άνοδος	Μέγιστη ώση απογείωσης	25	1 000			
MD11GE	DEFAULT	3	3	Επιτάχυνση	Μέγιστη ώση απογείωσης	0/EXT		1 500	210	
MD11GE	DEFAULT	3	4	Άνοδος	Μέγιστη ώση ανόδου	0/EXT	2 000			
MD11GE	DEFAULT	3	5	Άνοδος	Μέγιστη ώση ανόδου	0/EXT	3 000			
MD11GE	DEFAULT	3	6	Επιτάχυνση	Μέγιστη ώση ανόδου	0/RET		1 500	250	
MD11GE	DEFAULT	3	7	Άνοδος	Μέγιστη ώση ανόδου	0/RET	10 000			
MD11GE	DEFAULT	4	1	Απογείωση	Μέγιστη ώση απογείωσης	25				
MD11GE	DEFAULT	4	2	Άνοδος	Μέγιστη ώση απογείωσης	25	1 000			
MD11GE	DEFAULT	4	3	Επιτάχυνση	Μέγιστη ώση απογείωσης	0/EXT		1 500	209	
MD11GE	DEFAULT	4	4	Άνοδος	Μέγιστη ώση ανόδου	0/EXT	2 000			
MD11GE	DEFAULT	4	5	Άνοδος	Μέγιστη ώση ανόδου	0/EXT	3 000			
MD11GE	DEFAULT	4	6	Επιτάχυνση	Μέγιστη ώση ανόδου	0/RET		1 500	250	

▼**M2**

ACFTID	Profile_ID (Προφίλ αναχώρησης)	Μήκος καλυπτόμενης διαδρομής	Αριθμός σταδίου	Είδος σταδίου	Μέγεθος ώσης	Flap_ID (Θέση πτερυγίων καμπυλότητας)	Οροφή ανόδου (ft)	Ρυθμός ανόδου (ft/min)	Διακριβωμένη ταχύτητα αέρα στην οροφή ανόδου (kt)	Ποσοστό επιτάχυνσης (%)
MD11GE	DEFAULT	4	7	Άνοδος	Μέγιστη ώση ανόδου	0/RET	10 000			
MD11GE	DEFAULT	5	1	Απογείωση	Μέγιστη ώση απογείωσης	25				
MD11GE	DEFAULT	5	2	Άνοδος	Μέγιστη ώση απογείωσης	25	1 000			
MD11GE	DEFAULT	5	3	Επιτάχυνση	Μέγιστη ώση απογείωσης	0/EXT		1 500	208	
MD11GE	DEFAULT	5	4	Άνοδος	Μέγιστη ώση ανόδου	0/EXT	2 000			
MD11GE	DEFAULT	5	5	Άνοδος	Μέγιστη ώση ανόδου	0/EXT	3 000			
MD11GE	DEFAULT	5	6	Επιτάχυνση	Μέγιστη ώση ανόδου	0/RET		1 500	250	
MD11GE	DEFAULT	5	7	Άνοδος	Μέγιστη ώση ανόδου	0/RET	10 000			
MD11GE	DEFAULT	6	1	Απογείωση	Μέγιστη ώση απογείωσης	25				
MD11GE	DEFAULT	6	2	Άνοδος	Μέγιστη ώση απογείωσης	25	1 000			
MD11GE	DEFAULT	6	3	Επιτάχυνση	Μέγιστη ώση απογείωσης	0/EXT		1 500	208	
MD11GE	DEFAULT	6	4	Άνοδος	Μέγιστη ώση ανόδου	0/EXT	2 000			
MD11GE	DEFAULT	6	5	Άνοδος	Μέγιστη ώση ανόδου	0/EXT	3 000			
MD11GE	DEFAULT	6	6	Επιτάχυνση	Μέγιστη ώση ανόδου	0/RET		1 500	250	

▼**M2**

ACFTID	Profile_ID (Προφίλ αναχώρησης)	Μήκος καλυπτόμενης διαδρομής	Αριθμός σταδίου	Είδος σταδίου	Μέγεθος ώσης	Flap_ID (Θέση πτερυγίων καμπυλότητας)	Οροφή ανόδου (ft)	Ρυθμός ανόδου (ft/min)	Διακριβωμένη ταχύτητα αέρα στην οροφή ανόδου (kt)	Ποσοστό επιτάχυνσης (%)
MD11GE	DEFAULT	6	7	Άνοδος	Μέγιστη ώση ανόδου	0/RET	10 000			
MD11GE	DEFAULT	7	1	Απογείωση	Μέγιστη ώση απογείωσης	25				
MD11GE	DEFAULT	7	2	Άνοδος	Μέγιστη ώση απογείωσης	25	1 000			
MD11GE	DEFAULT	7	3	Επιτάχυνση	Μέγιστη ώση απογείωσης	0/EXT		1 500	207	
MD11GE	DEFAULT	7	4	Άνοδος	Μέγιστη ώση ανόδου	0/EXT	2 000			
MD11GE	DEFAULT	7	5	Άνοδος	Μέγιστη ώση ανόδου	0/EXT	3 000			
MD11GE	DEFAULT	7	6	Επιτάχυνση	Μέγιστη ώση ανόδου	0/RET		1 500	250	
MD11GE	DEFAULT	7	7	Άνοδος	Μέγιστη ώση ανόδου	0/RET	10 000			
MD11PW	DEFAULT	1	1	Απογείωση	Μέγιστη ώση απογείωσης	25				
MD11PW	DEFAULT	1	2	Άνοδος	Μέγιστη ώση απογείωσης	25	1 000			
MD11PW	DEFAULT	1	3	Επιτάχυνση	Μέγιστη ώση απογείωσης	0/EXT		1 500	206	
MD11PW	DEFAULT	1	4	Άνοδος	Μέγιστη ώση ανόδου	0/EXT	2 000			
MD11PW	DEFAULT	1	5	Άνοδος	Μέγιστη ώση ανόδου	0/EXT	3 000			
MD11PW	DEFAULT	1	6	Επιτάχυνση	Μέγιστη ώση ανόδου	0/RET		1 500	250	

▼**M2**

ACFTID	Profile_ID (Προφίλ αναχώρησης)	Μήκος καλυπτόμενης διαδρομής	Αριθμός σταδίου	Είδος σταδίου	Μέγεθος ώσης	Flap_ID (Θέση πτερυγίων καμπυλότητας)	Οροφή ανόδου (ft)	Ρυθμός ανόδου (ft/min)	Διακριβωμένη ταχύτητα αέρα στην οροφή ανόδου (kt)	Ποσοστό επιτάχυνσης (%)
MD11PW	DEFAULT	1	7	Άνοδος	Μέγιστη ώση ανόδου	0/RET	10 000			
MD11PW	DEFAULT	2	1	Απογείωση	Μέγιστη ώση απογείωσης	25				
MD11PW	DEFAULT	2	2	Άνοδος	Μέγιστη ώση απογείωσης	25	1 000			
MD11PW	DEFAULT	2	3	Επιτάχυνση	Μέγιστη ώση απογείωσης	0/EXT		1 500	206	
MD11PW	DEFAULT	2	4	Άνοδος	Μέγιστη ώση ανόδου	0/EXT	2 000			
MD11PW	DEFAULT	2	5	Άνοδος	Μέγιστη ώση ανόδου	0/EXT	3 000			
MD11PW	DEFAULT	2	6	Επιτάχυνση	Μέγιστη ώση ανόδου	0/RET		1 500	250	
MD11PW	DEFAULT	2	7	Άνοδος	Μέγιστη ώση ανόδου	0/RET	10 000			
MD11PW	DEFAULT	3	1	Απογείωση	Μέγιστη ώση απογείωσης	25				
MD11PW	DEFAULT	3	2	Άνοδος	Μέγιστη ώση απογείωσης	25	1 000			
MD11PW	DEFAULT	3	3	Επιτάχυνση	Μέγιστη ώση απογείωσης	0/EXT		1 500	205	
MD11PW	DEFAULT	3	4	Άνοδος	Μέγιστη ώση ανόδου	0/EXT	2 000			
MD11PW	DEFAULT	3	5	Άνοδος	Μέγιστη ώση ανόδου	0/EXT	3 000			
MD11PW	DEFAULT	3	6	Επιτάχυνση	Μέγιστη ώση ανόδου	0/RET		1 500	250	

▼**M2**

ACFTID	Profile_ID (Προφίλ αναχώρησης)	Μήκος καλυπτόμενης διαδρομής	Αριθμός σταδίου	Είδος σταδίου	Μέγεθος ώσης	Flap_ID (Θέση πτερυγίων καμπυλότητας)	Οροφή ανόδου (ft)	Ρυθμός ανόδου (ft/min)	Διακριβωμένη ταχύτητα αέρα στην οροφή ανόδου (kt)	Ποσοστό επιτάχυνσης (%)
MD11PW	DEFAULT	3	7	Άνοδος	Μέγιστη ώση ανόδου	0/RET	10 000			
MD11PW	DEFAULT	4	1	Απογείωση	Μέγιστη ώση απογείωσης	25				
MD11PW	DEFAULT	4	2	Άνοδος	Μέγιστη ώση απογείωσης	25	1 000			
MD11PW	DEFAULT	4	3	Επιτάχυνση	Μέγιστη ώση απογείωσης	0/EXT		1 500	205	
MD11PW	DEFAULT	4	4	Άνοδος	Μέγιστη ώση ανόδου	0/EXT	2 000			
MD11PW	DEFAULT	4	5	Άνοδος	Μέγιστη ώση ανόδου	0/EXT	3 000			
MD11PW	DEFAULT	4	6	Επιτάχυνση	Μέγιστη ώση ανόδου	0/RET		1 500	250	
MD11PW	DEFAULT	4	7	Άνοδος	Μέγιστη ώση ανόδου	0/RET	10 000			
MD11PW	DEFAULT	5	1	Απογείωση	Μέγιστη ώση απογείωσης	25				
MD11PW	DEFAULT	5	2	Άνοδος	Μέγιστη ώση απογείωσης	25	1 000			
MD11PW	DEFAULT	5	3	Επιτάχυνση	Μέγιστη ώση απογείωσης	0/EXT		1 500	205	
MD11PW	DEFAULT	5	4	Άνοδος	Μέγιστη ώση ανόδου	0/EXT	2 000			
MD11PW	DEFAULT	5	5	Άνοδος	Μέγιστη ώση ανόδου	0/EXT	3 000			
MD11PW	DEFAULT	5	6	Επιτάχυνση	Μέγιστη ώση ανόδου	0/RET		1 500	250	

▼**M2**

ACFTID	Profile_ID (Προφίλ αναχώρησης)	Μήκος καλυπτόμενης διαδρομής	Αριθμός σταδίου	Είδος σταδίου	Μέγεθος ώσης	Flap_ID (Θέση πτερυγίων καμπυλότητας)	Οροφή ανόδου (ft)	Ρυθμός ανόδου (ft/min)	Διακριβωμένη ταχύτητα αέρα στην οροφή ανόδου (kt)	Ποσοστό επιτάχυνσης (%)
MD11PW	DEFAULT	5	7	Άνοδος	Μέγιστη ώση ανόδου	0/RET	10 000			
MD11PW	DEFAULT	6	1	Απογείωση	Μέγιστη ώση απογείωσης	25				
MD11PW	DEFAULT	6	2	Άνοδος	Μέγιστη ώση απογείωσης	25	1 000			
MD11PW	DEFAULT	6	3	Επιτάχυνση	Μέγιστη ώση απογείωσης	0/EXT		1 500	206	
MD11PW	DEFAULT	6	4	Άνοδος	Μέγιστη ώση ανόδου	0/EXT	2 000			
MD11PW	DEFAULT	6	5	Άνοδος	Μέγιστη ώση ανόδου	0/EXT	3 000			
MD11PW	DEFAULT	6	6	Επιτάχυνση	Μέγιστη ώση ανόδου	0/RET		1 500	250	
MD11PW	DEFAULT	6	7	Άνοδος	Μέγιστη ώση ανόδου	0/RET	10 000			
MD11PW	DEFAULT	7	1	Απογείωση	Μέγιστη ώση απογείωσης	25				
MD11PW	DEFAULT	7	2	Άνοδος	Μέγιστη ώση απογείωσης	25	1 000			
MD11PW	DEFAULT	7	3	Επιτάχυνση	Μέγιστη ώση απογείωσης	0/EXT		1 500	207	
MD11PW	DEFAULT	7	4	Άνοδος	Μέγιστη ώση ανόδου	0/EXT	2 000			
MD11PW	DEFAULT	7	5	Άνοδος	Μέγιστη ώση ανόδου	0/EXT	3 000			
MD11PW	DEFAULT	7	6	Επιτάχυνση	Μέγιστη ώση ανόδου	0/RET		1 500	250	

▼**M2**

ACFTID	Profile_ID (Προφίλ αναχώρησης)	Μήκος καλυπτόμενης διαδρομής	Αριθμός σταδίου	Είδος σταδίου	Μέγεθος ώσης	Flap_ID (Θέση πτερυγίων καμπυλότητας)	Οροφή ανόδου (ft)	Ρυθμός ανόδου (ft/min)	Διακριβωμένη ταχύτητα αέρα στην οροφή ανόδου (kt)	Ποσοστό επιτάχυνσης (%)
MD11PW	DEFAULT	7	7	Άνοδος	Μέγιστη ώση ανόδου	0/RET	10 000			
MD81	DEFAULT	1	1	Απογείωση	Μέγιστη ώση απογείωσης	T_15				
MD81	DEFAULT	1	2	Άνοδος	Μέγιστη ώση απογείωσης	T_15	1 000			
MD81	DEFAULT	1	3	Επιτάχυνση	Μέγιστη ώση ανόδου	T_INT		1 434,2	214,1	
MD81	DEFAULT	1	4	Άνοδος	Μέγιστη ώση ανόδου	T_ZERO	3 000			
MD81	DEFAULT	1	5	Επιτάχυνση	Μέγιστη ώση ανόδου	T_ZERO		1 866,9	250	
MD81	DEFAULT	1	6	Άνοδος	Μέγιστη ώση ανόδου	T_ZERO	5 500			
MD81	DEFAULT	1	7	Άνοδος	Μέγιστη ώση ανόδου	T_ZERO	7 500			
MD81	DEFAULT	1	8	Άνοδος	Μέγιστη ώση ανόδου	T_ZERO	10 000			
MD81	DEFAULT	2	1	Απογείωση	Μέγιστη ώση απογείωσης	T_15				
MD81	DEFAULT	2	2	Άνοδος	Μέγιστη ώση απογείωσης	T_15	1 000			
MD81	DEFAULT	2	3	Επιτάχυνση	Μέγιστη ώση ανόδου	T_INT		1 346,9	218,7	
MD81	DEFAULT	2	4	Άνοδος	Μέγιστη ώση ανόδου	T_ZERO	3 000			

▼**M2**

ACFTID	Profile_ID (Προφίλ αναχώρησης)	Μήκος καλυπτόμενης διαδρομής	Αριθμός σταδίου	Είδος σταδίου	Μέγεθος ώσης	Flap_ID (Θέση πτερυγίων καμπυλότητας)	Οροφή ανόδου (ft)	Ρυθμός ανόδου (ft/min)	Διακριβωμένη ταχύτητα αέρα στην οροφή ανόδου (kt)	Ποσοστό επιτάχυνσης (%)
MD81	DEFAULT	2	5	Επιτάχυνση	Μέγιστη ώση ανόδου	T_ZERO		1 745	250	
MD81	DEFAULT	2	6	Άνοδος	Μέγιστη ώση ανόδου	T_ZERO	5 500			
MD81	DEFAULT	2	7	Άνοδος	Μέγιστη ώση ανόδου	T_ZERO	7 500			
MD81	DEFAULT	2	8	Άνοδος	Μέγιστη ώση ανόδου	T_ZERO	10 000			
MD81	DEFAULT	3	1	Απογείωση	Μέγιστη ώση απογείωσης	T_15				
MD81	DEFAULT	3	2	Άνοδος	Μέγιστη ώση απογείωσης	T_15	1 000			
MD81	DEFAULT	3	3	Επιτάχυνση	Μέγιστη ώση ανόδου	T_INT		1 266	223,2	
MD81	DEFAULT	3	4	Άνοδος	Μέγιστη ώση ανόδου	T_ZERO	3 000			
MD81	DEFAULT	3	5	Επιτάχυνση	Μέγιστη ώση ανόδου	T_ZERO		1 643,2	250	
MD81	DEFAULT	3	6	Άνοδος	Μέγιστη ώση ανόδου	T_ZERO	5 500			
MD81	DEFAULT	3	7	Άνοδος	Μέγιστη ώση ανόδου	T_ZERO	7 500			
MD81	DEFAULT	3	8	Άνοδος	Μέγιστη ώση ανόδου	T_ZERO	10 000			
MD81	DEFAULT	4	1	Απογείωση	Μέγιστη ώση απογείωσης	T_15				

▼**M2**

ACFTID	Profile_ID (Προφίλ αναχώρησης)	Μήκος καλυπτόμενης διαδρομής	Αριθμός σταδίου	Είδος σταδίου	Μέγεθος ώσης	Flap_ID (Θέση πτερυγίων καμπυλότητας)	Οροφή ανόδου (ft)	Ρυθμός ανόδου (ft/min)	Διακριβωμένη ταχύτητα αέρα στην οροφή ανόδου (kt)	Ποσοστό επιτάχυνσης (%)
MD81	DEFAULT	4	2	Άνοδος	Μέγιστη ώση απογείωσης	T_15	1 000			
MD81	DEFAULT	4	3	Επιτάχυνση	Μέγιστη ώση ανόδου	T_INT		1 211,7	226,3	
MD81	DEFAULT	4	4	Άνοδος	Μέγιστη ώση ανόδου	T_ZERO	3 000			
MD81	DEFAULT	4	5	Επιτάχυνση	Μέγιστη ώση ανόδου	T_ZERO		1 577,9	250	
MD81	DEFAULT	4	6	Άνοδος	Μέγιστη ώση ανόδου	T_ZERO	5 500			
MD81	DEFAULT	4	7	Άνοδος	Μέγιστη ώση ανόδου	T_ZERO	7 500			
MD81	DEFAULT	4	8	Άνοδος	Μέγιστη ώση ανόδου	T_ZERO	10 000			
MD81	ICAO_A	1	1	Απογείωση	Μέγιστη ώση απογείωσης	T_15				
MD81	ICAO_A	1	2	Άνοδος	Μέγιστη ώση απογείωσης	T_15	1 500			
MD81	ICAO_A	1	3	Άνοδος	Μέγιστη ώση ανόδου	T_15	3 000			
MD81	ICAO_A	1	4	Επιτάχυνση	Μέγιστη ώση ανόδου	T_ZERO		1 169,8	250	
MD81	ICAO_A	1	5	Άνοδος	Μέγιστη ώση ανόδου	T_ZERO	5 500			
MD81	ICAO_A	1	6	Άνοδος	Μέγιστη ώση ανόδου	T_ZERO	7 500			

▼**M2**

ACFTID	Profile_ID (Προφίλ αναχώρησης)	Μήκος καλυπτόμενης διαδρομής	Αριθμός σταδίου	Είδος σταδίου	Μέγεθος ώσης	Flap_ID (Θέση πτερυγίων καμπυλότητας)	Οροφή ανόδου (ft)	Ρυθμός ανόδου (ft/min)	Διακριβωμένη ταχύτητα αέρα στην οροφή ανόδου (kt)	Ποσοστό επιτάχυνσης (%)
MD81	ICAO_A	1	7	Άνοδος	Μέγιστη ώση ανόδου	T_ZERO	10 000			
MD81	ICAO_A	2	1	Απογείωση	Μέγιστη ώση απογείωσης	T_15				
MD81	ICAO_A	2	2	Άνοδος	Μέγιστη ώση απογείωσης	T_15	1 500			
MD81	ICAO_A	2	3	Άνοδος	Μέγιστη ώση ανόδου	T_15	3 000			
MD81	ICAO_A	2	4	Επιτάχυνση	Μέγιστη ώση ανόδου	T_ZERO		1 089,3	250	
MD81	ICAO_A	2	5	Άνοδος	Μέγιστη ώση ανόδου	T_ZERO	5 500			
MD81	ICAO_A	2	6	Άνοδος	Μέγιστη ώση ανόδου	T_ZERO	7 500			
MD81	ICAO_A	2	7	Άνοδος	Μέγιστη ώση ανόδου	T_ZERO	10 000			
MD81	ICAO_A	3	1	Απογείωση	Μέγιστη ώση απογείωσης	T_15				
MD81	ICAO_A	3	2	Άνοδος	Μέγιστη ώση απογείωσης	T_15	1 500			
MD81	ICAO_A	3	3	Άνοδος	Μέγιστη ώση ανόδου	T_15	3 000			
MD81	ICAO_A	3	4	Επιτάχυνση	Μέγιστη ώση ανόδου	T_ZERO		1 049,8	250	
MD81	ICAO_A	3	5	Άνοδος	Μέγιστη ώση ανόδου	T_ZERO	5 500			

▼**M2**

ACFTID	Profile_ID (Προφίλ αναχώρησης)	Μήκος καλυπτόμενης διαδρομής	Αριθμός σταδίου	Είδος σταδίου	Μέγεθος ώσης	Flap_ID (Θέση πτερυγίων καμπυλότητας)	Οροφή ανόδου (ft)	Ρυθμός ανόδου (ft/min)	Διακριβωμένη ταχύτητα αέρα στην οροφή ανόδου (kt)	Ποσοστό επιτάχυνσης (%)
MD81	ICAO_A	3	6	Άνοδος	Μέγιστη ώση ανόδου	T_ZERO	7 500			
MD81	ICAO_A	3	7	Άνοδος	Μέγιστη ώση ανόδου	T_ZERO	10 000			
MD81	ICAO_A	4	1	Απογείωση	Μέγιστη ώση απογείωσης	T_15				
MD81	ICAO_A	4	2	Άνοδος	Μέγιστη ώση απογείωσης	T_15	1 500			
MD81	ICAO_A	4	3	Άνοδος	Μέγιστη ώση ανόδου	T_15	3 000			
MD81	ICAO_A	4	4	Επιτάχυνση	Μέγιστη ώση ανόδου	T_ZERO		998,8	250	
MD81	ICAO_A	4	5	Άνοδος	Μέγιστη ώση ανόδου	T_ZERO	5 500			
MD81	ICAO_A	4	6	Άνοδος	Μέγιστη ώση ανόδου	T_ZERO	7 500			
MD81	ICAO_A	4	7	Άνοδος	Μέγιστη ώση ανόδου	T_ZERO	10 000			
MD81	ICAO_B	1	1	Απογείωση	Μέγιστη ώση απογείωσης	T_15				
MD81	ICAO_B	1	2	Άνοδος	Μέγιστη ώση απογείωσης	T_15	1 000			
MD81	ICAO_B	1	3	Επιτάχυνση	Μέγιστη ώση απογείωσης	T_INT		1 434,8	218,8	
MD81	ICAO_B	1	4	Άνοδος	Μέγιστη ώση ανόδου	T_ZERO	3 000			

▼**M2**

ACFTID	Profile_ID (Προφίλ αναχώρησης)	Μήκος καλυπτόμενης διαδρομής	Αριθμός σταδίου	Είδος σταδίου	Μέγεθος ώσης	Flap_ID (Θέση πτερυγίων καμπυλότητας)	Οροφή ανόδου (ft)	Ρυθμός ανόδου (ft/min)	Διακριβωμένη ταχύτητα αέρα στην οροφή ανόδου (kt)	Ποσοστό επιτάχυνσης (%)
MD81	ICAO_B	1	5	Επιτάχυνση	Μέγιστη ώση ανόδου	T_ZERO		1 900,5	250	
MD81	ICAO_B	1	6	Άνοδος	Μέγιστη ώση ανόδου	T_ZERO	5 500			
MD81	ICAO_B	1	7	Άνοδος	Μέγιστη ώση ανόδου	T_ZERO	7 500			
MD81	ICAO_B	1	8	Άνοδος	Μέγιστη ώση ανόδου	T_ZERO	10 000			
MD81	ICAO_B	2	1	Απογείωση	Μέγιστη ώση απογείωσης	T_15				
MD81	ICAO_B	2	2	Άνοδος	Μέγιστη ώση απογείωσης	T_15	1 000			
MD81	ICAO_B	2	3	Επιτάχυνση	Μέγιστη ώση απογείωσης	T_INT		1 345,2	223	
MD81	ICAO_B	2	4	Άνοδος	Μέγιστη ώση ανόδου	T_ZERO	3 000			
MD81	ICAO_B	2	5	Επιτάχυνση	Μέγιστη ώση ανόδου	T_ZERO		1 779,8	250	
MD81	ICAO_B	2	6	Άνοδος	Μέγιστη ώση ανόδου	T_ZERO	5 500			
MD81	ICAO_B	2	7	Άνοδος	Μέγιστη ώση ανόδου	T_ZERO	7 500			
MD81	ICAO_B	2	8	Άνοδος	Μέγιστη ώση ανόδου	T_ZERO	10 000			
MD81	ICAO_B	3	1	Απογείωση	Μέγιστη ώση απογείωσης	T_15				

▼**M2**

ACFTID	Profile_ID (Προφίλ αναχώρησης)	Μήκος καλυπτόμενης διαδρομής	Αριθμός σταδίου	Είδος σταδίου	Μέγεθος ώσης	Flap_ID (Θέση πτερυγίων καμπυλότητας)	Οροφή ανόδου (ft)	Ρυθμός ανόδου (ft/min)	Διακριβωμένη ταχύτητα αέρα στην οροφή ανόδου (kt)	Ποσοστό επιτάχυνσης (%)
MD81	ICAO_B	3	2	Άνοδος	Μέγιστη ώση απογείωσης	T_15	1 000			
MD81	ICAO_B	3	3	Επιτάχυνση	Μέγιστη ώση απογείωσης	T_INT		1 264,5	227,4	
MD81	ICAO_B	3	4	Άνοδος	Μέγιστη ώση ανόδου	T_ZERO	3 000			
MD81	ICAO_B	3	5	Επιτάχυνση	Μέγιστη ώση ανόδου	T_ZERO		1 664,2	250	
MD81	ICAO_B	3	6	Άνοδος	Μέγιστη ώση ανόδου	T_ZERO	5 500			
MD81	ICAO_B	3	7	Άνοδος	Μέγιστη ώση ανόδου	T_ZERO	7 500			
MD81	ICAO_B	3	8	Άνοδος	Μέγιστη ώση ανόδου	T_ZERO	10 000			
MD81	ICAO_B	4	1	Απογείωση	Μέγιστη ώση απογείωσης	T_15				
MD81	ICAO_B	4	2	Άνοδος	Μέγιστη ώση απογείωσης	T_15	1 000			
MD81	ICAO_B	4	3	Επιτάχυνση	Μέγιστη ώση απογείωσης	T_INT		1 211,1	230,2	
MD81	ICAO_B	4	4	Άνοδος	Μέγιστη ώση ανόδου	T_ZERO	3 000			
MD81	ICAO_B	4	5	Επιτάχυνση	Μέγιστη ώση ανόδου	T_ZERO		1 594,3	250	
MD81	ICAO_B	4	6	Άνοδος	Μέγιστη ώση ανόδου	T_ZERO	5 500			
MD81	ICAO_B	4	7	Άνοδος	Μέγιστη ώση ανόδου	T_ZERO	7 500			

▼**M2**

ACFTID	Profile_ID (Προφίλ αναχώρησης)	Μήκος καλυπτόμενης διαδρομής	Αριθμός σταδίου	Είδος σταδίου	Μέγεθος ώσης	Flap_ID (Θέση πτερυγίων καμπυλότητας)	Οροφή ανόδου (ft)	Ρυθμός ανόδου (ft/min)	Διακριβωμένη ταχύτητα αέρα στην οροφή ανόδου (kt)	Ποσοστό επιτάχυνσης (%)
MD81	ICAO_B	4	8	Άνοδος	Μέγιστη ώση ανόδου	T_ZERO	10 000			
MD82	DEFAULT	1	1	Απογείωση	Μέγιστη ώση απογείωσης	T_15				
MD82	DEFAULT	1	2	Άνοδος	Μέγιστη ώση απογείωσης	T_15	1 000			
MD82	DEFAULT	1	3	Επιτάχυνση	Μέγιστη ώση ανόδου	INT4		1 247,7	216,4	
MD82	DEFAULT	1	4	Άνοδος	Μέγιστη ώση ανόδου	INT3	3 000			
MD82	DEFAULT	1	5	Επιτάχυνση	Μέγιστη ώση ανόδου	T_ZERO		1 933	250	
MD82	DEFAULT	1	6	Άνοδος	Μέγιστη ώση ανόδου	T_ZERO	5 500			
MD82	DEFAULT	1	7	Άνοδος	Μέγιστη ώση ανόδου	T_ZERO	7 500			
MD82	DEFAULT	1	8	Άνοδος	Μέγιστη ώση ανόδου	T_ZERO	10 000			
MD82	DEFAULT	2	1	Απογείωση	Μέγιστη ώση απογείωσης	T_15				
MD82	DEFAULT	2	2	Άνοδος	Μέγιστη ώση απογείωσης	T_15	1 000			
MD82	DEFAULT	2	3	Επιτάχυνση	Μέγιστη ώση ανόδου	INT4		1 169,5	220,7	
MD82	DEFAULT	2	4	Άνοδος	Μέγιστη ώση ανόδου	INT3	3 000			
MD82	DEFAULT	2	5	Επιτάχυνση	Μέγιστη ώση ανόδου	T_ZERO		1 805,5	250	

▼**M2**

ACFTID	Profile_ID (Προφίλ αναχώρησης)	Μήκος καλυπτόμενης διαδρομής	Αριθμός σταδίου	Είδος σταδίου	Μέγεθος ώσης	Flap_ID (Θέση πτερυγίων καμπυλότητας)	Οροφή ανόδου (ft)	Ρυθμός ανόδου (ft/min)	Διακριβωμένη ταχύτητα αέρα στην οροφή ανόδου (kt)	Ποσοστό επιτάχυνσης (%)
MD82	DEFAULT	2	6	Άνοδος	Μέγιστη ώση ανόδου	T_ZERO	5 500			
MD82	DEFAULT	2	7	Άνοδος	Μέγιστη ώση ανόδου	T_ZERO	7 500			
MD82	DEFAULT	2	8	Άνοδος	Μέγιστη ώση ανόδου	T_ZERO	10 000			
MD82	DEFAULT	3	1	Απογείωση	Μέγιστη ώση απογείωσης	T_15				
MD82	DEFAULT	3	2	Άνοδος	Μέγιστη ώση απογείωσης	T_15	1 000			
MD82	DEFAULT	3	3	Επιτάχυνση	Μέγιστη ώση ανόδου	INT4		1 099,1	225,1	
MD82	DEFAULT	3	4	Άνοδος	Μέγιστη ώση ανόδου	INT3	3 000			
MD82	DEFAULT	3	5	Επιτάχυνση	Μέγιστη ώση ανόδου	T_ZERO		1 710,9	250	
MD82	DEFAULT	3	6	Άνοδος	Μέγιστη ώση ανόδου	T_ZERO	5 500			
MD82	DEFAULT	3	7	Άνοδος	Μέγιστη ώση ανόδου	T_ZERO	7 500			
MD82	DEFAULT	3	8	Άνοδος	Μέγιστη ώση ανόδου	T_ZERO	10 000			
MD82	DEFAULT	4	1	Απογείωση	Μέγιστη ώση απογείωσης	T_15				
MD82	DEFAULT	4	2	Άνοδος	Μέγιστη ώση απογείωσης	T_15	1 000			

▼**M2**

ACFTID	Profile_ID (Προφίλ αναχώρησης)	Μήκος καλυπτόμενης διαδρομής	Αριθμός σταδίου	Είδος σταδίου	Μέγεθος ώσης	Flap_ID (Θέση πτερυγίων καμπυλότητας)	Οροφή ανόδου (ft)	Ρυθμός ανόδου (ft/min)	Διακριβωμένη ταχύτητα αέρα στην οροφή ανόδου (kt)	Ποσοστό επιτάχυνσης (%)
MD82	DEFAULT	4	3	Επιτάχυνση	Μέγιστη ώση ανόδου	INT4		989,5	231,9	
MD82	DEFAULT	4	4	Άνοδος	Μέγιστη ώση ανόδου	INT3	3 000			
MD82	DEFAULT	4	5	Επιτάχυνση	Μέγιστη ώση ανόδου	T_ZERO		1 563,6	250	
MD82	DEFAULT	4	6	Άνοδος	Μέγιστη ώση ανόδου	T_ZERO	5 500			
MD82	DEFAULT	4	7	Άνοδος	Μέγιστη ώση ανόδου	T_ZERO	7 500			
MD82	DEFAULT	4	8	Άνοδος	Μέγιστη ώση ανόδου	T_ZERO	10 000			
MD82	DEFAULT	5	1	Απογείωση	Μέγιστη ώση απογείωσης	T_15				
MD82	DEFAULT	5	2	Άνοδος	Μέγιστη ώση απογείωσης	T_15	1 000			
MD82	DEFAULT	5	3	Επιτάχυνση	Μέγιστη ώση ανόδου	INT4		950,4	234,2	
MD82	DEFAULT	5	4	Άνοδος	Μέγιστη ώση ανόδου	INT3	3 000			
MD82	DEFAULT	5	5	Επιτάχυνση	Μέγιστη ώση ανόδου	T_ZERO		1 518,1	250	
MD82	DEFAULT	5	6	Άνοδος	Μέγιστη ώση ανόδου	T_ZERO	5 500			
MD82	DEFAULT	5	7	Άνοδος	Μέγιστη ώση ανόδου	T_ZERO	7 500			

▼**M2**

ACFTID	Profile_ID (Προφίλ αναχώρησης)	Μήκος καλυπτόμενης διαδρομής	Αριθμός σταδίου	Είδος σταδίου	Μέγεθος ώσης	Flap_ID (Θέση πτερυγίων καμπυλότητας)	Οροφή ανόδου (ft)	Ρυθμός ανόδου (ft/min)	Διακριβωμένη ταχύτητα αέρα στην οροφή ανόδου (kt)	Ποσοστό επιτάχυνσης (%)
MD82	DEFAULT	5	8	Άνοδος	Μέγιστη ώση ανόδου	T_ZERO	10 000			
MD82	ICAO_A	1	1	Απογείωση	Μέγιστη ώση απογείωσης	T_15				
MD82	ICAO_A	1	2	Άνοδος	Μέγιστη ώση απογείωσης	T_15	1 500			
MD82	ICAO_A	1	3	Άνοδος	Μέγιστη ώση ανόδου	T_INT	3 000			
MD82	ICAO_A	1	4	Επιτάχυνση	Μέγιστη ώση ανόδου	T_ZERO		1 200	250	
MD82	ICAO_A	1	5	Άνοδος	Μέγιστη ώση ανόδου	T_ZERO	5 500			
MD82	ICAO_A	1	6	Άνοδος	Μέγιστη ώση ανόδου	T_ZERO	7 500			
MD82	ICAO_A	1	7	Άνοδος	Μέγιστη ώση ανόδου	T_ZERO	10 000			
MD82	ICAO_A	2	1	Απογείωση	Μέγιστη ώση απογείωσης	T_15				
MD82	ICAO_A	2	2	Άνοδος	Μέγιστη ώση απογείωσης	T_15	1 500			
MD82	ICAO_A	2	3	Άνοδος	Μέγιστη ώση ανόδου	T_15	3 000			
MD82	ICAO_A	2	4	Επιτάχυνση	Μέγιστη ώση ανόδου	T_ZERO		1 120,6	250	
MD82	ICAO_A	2	5	Άνοδος	Μέγιστη ώση ανόδου	T_ZERO	5 500			

▼**M2**

ACFTID	Profile_ID (Προφίλ αναχώρησης)	Μήκος καλυπτόμενης διαδρομής	Αριθμός σταδίου	Είδος σταδίου	Μέγεθος ώσης	Flap_ID (Θέση πτερυγίων καμπυλότητας)	Οροφή ανόδου (ft)	Ρυθμός ανόδου (ft/min)	Διακριβωμένη ταχύτητα αέρα στην οροφή ανόδου (kt)	Ποσοστό επιτάχυνσης (%)
MD82	ICAO_A	2	6	Άνοδος	Μέγιστη ώση ανόδου	T_ZERO	7 500			
MD82	ICAO_A	2	7	Άνοδος	Μέγιστη ώση ανόδου	T_ZERO	10 000			
MD82	ICAO_A	3	1	Απογείωση	Μέγιστη ώση απογείωσης	T_15				
MD82	ICAO_A	3	2	Άνοδος	Μέγιστη ώση απογείωσης	T_15	1 500			
MD82	ICAO_A	3	3	Άνοδος	Μέγιστη ώση ανόδου	T_15	3 000			
MD82	ICAO_A	3	4	Επιτάχυνση	Μέγιστη ώση ανόδου	T_ZERO		1 051,4	250	
MD82	ICAO_A	3	5	Άνοδος	Μέγιστη ώση ανόδου	T_ZERO	5 500			
MD82	ICAO_A	3	6	Άνοδος	Μέγιστη ώση ανόδου	T_ZERO	7 500			
MD82	ICAO_A	3	7	Άνοδος	Μέγιστη ώση ανόδου	T_ZERO	10 000			
MD82	ICAO_A	4	1	Απογείωση	Μέγιστη ώση απογείωσης	T_15				
MD82	ICAO_A	4	2	Άνοδος	Μέγιστη ώση απογείωσης	T_15	1 500			
MD82	ICAO_A	4	3	Άνοδος	Μέγιστη ώση ανόδου	T_15	3 000			
MD82	ICAO_A	4	4	Επιτάχυνση	Μέγιστη ώση ανόδου	T_ZERO		939,4	250	

▼**M2**

ACFTID	Profile_ID (Προφίλ αναχώρησης)	Μήκος καλυπτόμενης διαδρομής	Αριθμός σταδίου	Είδος σταδίου	Μέγεθος ώσης	Flap_ID (Θέση πτερυγίων καμπυλότητας)	Οροφή ανόδου (ft)	Ρυθμός ανόδου (ft/min)	Διακριβωμένη ταχύτητα αέρα στην οροφή ανόδου (kt)	Ποσοστό επιτάχυνσης (%)
MD82	ICAO_A	4	5	Άνοδος	Μέγιστη ώση ανόδου	T_ZERO	5 500			
MD82	ICAO_A	4	6	Άνοδος	Μέγιστη ώση ανόδου	T_ZERO	7 500			
MD82	ICAO_A	4	7	Άνοδος	Μέγιστη ώση ανόδου	T_ZERO	10 000			
MD82	ICAO_A	5	1	Απογείωση	Μέγιστη ώση απογείωσης	T_15				
MD82	ICAO_A	5	2	Άνοδος	Μέγιστη ώση απογείωσης	T_15	1 500			
MD82	ICAO_A	5	3	Άνοδος	Μέγιστη ώση ανόδου	T_15	3 000			
MD82	ICAO_A	5	4	Επιτάχυνση	Μέγιστη ώση ανόδου	T_ZERO		900	250	
MD82	ICAO_A	5	5	Άνοδος	Μέγιστη ώση ανόδου	T_ZERO	5 500			
MD82	ICAO_A	5	6	Άνοδος	Μέγιστη ώση ανόδου	T_ZERO	7 500			
MD82	ICAO_A	5	7	Άνοδος	Μέγιστη ώση ανόδου	T_ZERO	10 000			
MD82	ICAO_B	1	1	Απογείωση	Μέγιστη ώση απογείωσης	T_15				
MD82	ICAO_B	1	2	Άνοδος	Μέγιστη ώση απογείωσης	T_15	1 000			
MD82	ICAO_B	1	3	Επιτάχυνση	Μέγιστη ώση απογείωσης	T_INT		1 447,7	218,7	
MD82	ICAO_B	1	4	Άνοδος	Μέγιστη ώση ανόδου	T_ZERO	3 000			

▼**M2**

ACFTID	Profile_ID (Προφίλ αναχώρησης)	Μήκος καλυπτόμενης διαδρομής	Αριθμός σταδίου	Είδος σταδίου	Μέγεθος ώσης	Flap_ID (Θέση πτερυγίων καμπυλότητας)	Οροφή ανόδου (ft)	Ρυθμός ανόδου (ft/min)	Διακριβωμένη ταχύτητα αέρα στην οροφή ανόδου (kt)	Ποσοστό επιτάχυνσης (%)
MD82	ICAO_B	1	5	Επιτάχυνση	Μέγιστη ώση ανόδου	T_ZERO		1 952,8	250	
MD82	ICAO_B	1	6	Άνοδος	Μέγιστη ώση ανόδου	T_ZERO	5 500			
MD82	ICAO_B	1	7	Άνοδος	Μέγιστη ώση ανόδου	T_ZERO	7 500			
MD82	ICAO_B	1	8	Άνοδος	Μέγιστη ώση ανόδου	T_ZERO	10 000			
MD82	ICAO_B	2	1	Απογείωση	Μέγιστη ώση απογείωσης	T_15				
MD82	ICAO_B	2	2	Άνοδος	Μέγιστη ώση απογείωσης	T_15	1 000			
MD82	ICAO_B	2	3	Επιτάχυνση	Μέγιστη ώση απογείωσης	T_INT		1 360,4	222,9	
MD82	ICAO_B	2	4	Άνοδος	Μέγιστη ώση ανόδου	T_ZERO	3 000			
MD82	ICAO_B	2	5	Επιτάχυνση	Μέγιστη ώση ανόδου	T_ZERO		1 838,2	250	
MD82	ICAO_B	2	6	Άνοδος	Μέγιστη ώση ανόδου	T_ZERO	5 500			
MD82	ICAO_B	2	7	Άνοδος	Μέγιστη ώση ανόδου	T_ZERO	7 500			
MD82	ICAO_B	2	8	Άνοδος	Μέγιστη ώση ανόδου	T_ZERO	10 000			
MD82	ICAO_B	3	1	Απογείωση	Μέγιστη ώση απογείωσης	T_15				
MD82	ICAO_B	3	2	Άνοδος	Μέγιστη ώση απογείωσης	T_15	1 000			

▼**M2**

ACFTID	Profile_ID (Προφίλ αναχώρησης)	Μήκος καλυπτόμενης διαδρομής	Αριθμός σταδίου	Είδος σταδίου	Μέγεθος ώσης	Flap_ID (Θέση πτερυγίων καμπυλότητας)	Οροφή ανόδου (ft)	Ρυθμός ανόδου (ft/min)	Διακριβωμένη ταχύτητα αέρα στην οροφή ανόδου (kt)	Ποσοστό επιτάχυνσης (%)
MD82	ICAO_B	3	3	Επιτάχυνση	Μέγιστη ώση απογείωσης	T_INT		1 279,8	227,2	
MD82	ICAO_B	3	4	Άνοδος	Μέγιστη ώση ανόδου	T_ZERO	3 000			
MD82	ICAO_B	3	5	Επιτάχυνση	Μέγιστη ώση ανόδου	T_ZERO		1 732,3	250	
MD82	ICAO_B	3	6	Άνοδος	Μέγιστη ώση ανόδου	T_ZERO	5 500			
MD82	ICAO_B	3	7	Άνοδος	Μέγιστη ώση ανόδου	T_ZERO	7 500			
MD82	ICAO_B	3	8	Άνοδος	Μέγιστη ώση ανόδου	T_ZERO	10 000			
MD82	ICAO_B	4	1	Απογείωση	Μέγιστη ώση απογείωσης	T_15				
MD82	ICAO_B	4	2	Άνοδος	Μέγιστη ώση απογείωσης	T_15	1 000			
MD82	ICAO_B	4	3	Επιτάχυνση	Μέγιστη ώση απογείωσης	T_INT		1 160,8	233,9	
MD82	ICAO_B	4	4	Άνοδος	Μέγιστη ώση ανόδου	T_ZERO	3 000			
MD82	ICAO_B	4	5	Επιτάχυνση	Μέγιστη ώση ανόδου	T_ZERO		1 564,9	250	
MD82	ICAO_B	4	6	Άνοδος	Μέγιστη ώση ανόδου	T_ZERO	5 500			
MD82	ICAO_B	4	7	Άνοδος	Μέγιστη ώση ανόδου	T_ZERO	7 500			
MD82	ICAO_B	4	8	Άνοδος	Μέγιστη ώση ανόδου	T_ZERO	10 000			

▼**M2**

ACFTID	Profile_ID (Προφίλ αναχώρησης)	Μήκος καλυπτόμενης διαδρομής	Αριθμός σταδίου	Είδος σταδίου	Μέγεθος ώσης	Flap_ID (Θέση πτερυγίων καμπυλότητας)	Οροφή ανόδου (ft)	Ρυθμός ανόδου (ft/min)	Διακριβωμένη ταχύτητα αέρα στην οροφή ανόδου (kt)	Ποσοστό επιτάχυνσης (%)
MD82	ICAO_B	5	1	Απογείωση	Μέγιστη ώση απογείωσης	T_15				
MD82	ICAO_B	5	2	Άνοδος	Μέγιστη ώση απογείωσης	T_15	1 000			
MD82	ICAO_B	5	3	Επιτάχυνση	Μέγιστη ώση απογείωσης	T_INT		1 131,1	236,1	
MD82	ICAO_B	5	4	Άνοδος	Μέγιστη ώση ανόδου	T_ZERO	3 000			
MD82	ICAO_B	5	5	Επιτάχυνση	Μέγιστη ώση ανόδου	T_ZERO		1 522,4	250	
MD82	ICAO_B	5	6	Άνοδος	Μέγιστη ώση ανόδου	T_ZERO	5 500			
MD82	ICAO_B	5	7	Άνοδος	Μέγιστη ώση ανόδου	T_ZERO	7 500			
MD82	ICAO_B	5	8	Άνοδος	Μέγιστη ώση ανόδου	T_ZERO	10 000			
MD83	DEFAULT	1	1	Απογείωση	Μέγιστη ώση απογείωσης	T_15				
MD83	DEFAULT	1	2	Άνοδος	Μέγιστη ώση απογείωσης	T_15	1 000			
MD83	DEFAULT	1	3	Επιτάχυνση	Μέγιστη ώση ανόδου	T_INT		1 319	218,1	
MD83	DEFAULT	1	4	Άνοδος	Μέγιστη ώση ανόδου	T_ZERO	3 000			
MD83	DEFAULT	1	5	Επιτάχυνση	Μέγιστη ώση ανόδου	T_ZERO		2 033,2	250	

▼**M2**

ACFTID	Profile_ID (Προφίλ αναχώρησης)	Μήκος καλυπτόμενης διαδρομής	Αριθμός σταδίου	Είδος σταδίου	Μέγεθος ώσης	Flap_ID (Θέση πτερυγίων καμπυλότητας)	Οροφή ανόδου (ft)	Ρυθμός ανόδου (ft/min)	Διακριβωμένη ταχύτητα αέρα στην οροφή ανόδου (kt)	Ποσοστό επιτάχυνσης (%)
MD83	DEFAULT	1	6	Άνοδος	Μέγιστη ώση ανόδου	T_ZERO	5 500			
MD83	DEFAULT	1	7	Άνοδος	Μέγιστη ώση ανόδου	T_ZERO	7 500			
MD83	DEFAULT	1	8	Άνοδος	Μέγιστη ώση ανόδου	T_ZERO	10 000			
MD83	DEFAULT	2	1	Απογείωση	Μέγιστη ώση απογείωσης	T_15				
MD83	DEFAULT	2	2	Άνοδος	Μέγιστη ώση απογείωσης	T_15	1 000			
MD83	DEFAULT	2	3	Επιτάχυνση	Μέγιστη ώση ανόδου	T_INT		1 239,2	222,2	
MD83	DEFAULT	2	4	Άνοδος	Μέγιστη ώση ανόδου	T_ZERO	3 000			
MD83	DEFAULT	2	5	Επιτάχυνση	Μέγιστη ώση ανόδου	T_ZERO		1 921,8	250	
MD83	DEFAULT	2	6	Άνοδος	Μέγιστη ώση ανόδου	T_ZERO	5 500			
MD83	DEFAULT	2	7	Άνοδος	Μέγιστη ώση ανόδου	T_ZERO	7 500			
MD83	DEFAULT	2	8	Άνοδος	Μέγιστη ώση ανόδου	T_ZERO	10 000			
MD83	DEFAULT	3	1	Απογείωση	Μέγιστη ώση απογείωσης	T_15				
MD83	DEFAULT	3	2	Άνοδος	Μέγιστη ώση απογείωσης	T_15	1 000			

▼**M2**

ACFTID	Profile_ID (Προφίλ αναχώρησης)	Μήκος καλυπτόμενης διαδρομής	Αριθμός σταδίου	Είδος σταδίου	Μέγεθος ώσης	Flap_ID (Θέση πτερυγίων καμπυλότητας)	Οροφή ανόδου (ft)	Ρυθμός ανόδου (ft/min)	Διακριβωμένη ταχύτητα αέρα στην οροφή ανόδου (kt)	Ποσοστό επιτάχυνσης (%)
MD83	DEFAULT	3	3	Επιτάχυνση	Μέγιστη ώση ανόδου	T_INT		1 158,7	226,6	
MD83	DEFAULT	3	4	Άνοδος	Μέγιστη ώση ανόδου	T_ZERO	3 000			
MD83	DEFAULT	3	5	Επιτάχυνση	Μέγιστη ώση ανόδου	T_ZERO		1 810	250	
MD83	DEFAULT	3	6	Άνοδος	Μέγιστη ώση ανόδου	T_ZERO	5 500			
MD83	DEFAULT	3	7	Άνοδος	Μέγιστη ώση ανόδου	T_ZERO	7 500			
MD83	DEFAULT	3	8	Άνοδος	Μέγιστη ώση ανόδου	T_ZERO	10 000			
MD83	DEFAULT	4	1	Απογείωση	Μέγιστη ώση απογείωσης	T_15				
MD83	DEFAULT	4	2	Άνοδος	Μέγιστη ώση απογείωσης	T_15	1 000			
MD83	DEFAULT	4	3	Επιτάχυνση	Μέγιστη ώση ανόδου	T_INT		1 049,7	233,6	
MD83	DEFAULT	4	4	Άνοδος	Μέγιστη ώση ανόδου	T_ZERO	3 000			
MD83	DEFAULT	4	5	Επιτάχυνση	Μέγιστη ώση ανόδου	T_ZERO		1 649	250	
MD83	DEFAULT	4	6	Άνοδος	Μέγιστη ώση ανόδου	T_ZERO	5 500			
MD83	DEFAULT	4	7	Άνοδος	Μέγιστη ώση ανόδου	T_ZERO	7 500			

▼**M2**

ACFTID	Profile_ID (Προφίλ αναχώρησης)	Μήκος καλυπτόμενης διαδρομής	Αριθμός σταδίου	Είδος σταδίου	Μέγεθος ώσης	Flap_ID (Θέση πτερυγίων καμπυλότητας)	Οροφή ανόδου (ft)	Ρυθμός ανόδου (ft/min)	Διακριβωμένη ταχύτητα αέρα στην οροφή ανόδου (kt)	Ποσοστό επιτάχυνσης (%)
MD83	DEFAULT	4	8	Άνοδος	Μέγιστη ώση ανόδου	T_ZERO	10 000			
MD83	DEFAULT	5	1	Απογείωση	Μέγιστη ώση απογείωσης	T_15				
MD83	DEFAULT	5	2	Άνοδος	Μέγιστη ώση απογείωσης	T_15	1 000			
MD83	DEFAULT	5	3	Επιτάχυνση	Μέγιστη ώση ανόδου	T_INT		929,7	241,3	
MD83	DEFAULT	5	4	Άνοδος	Μέγιστη ώση ανόδου	T_ZERO	3 000			
MD83	DEFAULT	5	5	Επιτάχυνση	Μέγιστη ώση ανόδου	T_ZERO		1 482,4	250	
MD83	DEFAULT	5	6	Άνοδος	Μέγιστη ώση ανόδου	T_ZERO	5 500			
MD83	DEFAULT	5	7	Άνοδος	Μέγιστη ώση ανόδου	T_ZERO	7 500			
MD83	DEFAULT	5	8	Άνοδος	Μέγιστη ώση ανόδου	T_ZERO	10 000			
MD83	ICAO_A	1	1	Απογείωση	Μέγιστη ώση απογείωσης	T_15				
MD83	ICAO_A	1	2	Άνοδος	Μέγιστη ώση απογείωσης	T_15	1 500			
MD83	ICAO_A	1	3	Άνοδος	Μέγιστη ώση ανόδου	T_15	3 000			
MD83	ICAO_A	1	4	Επιτάχυνση	Μέγιστη ώση ανόδου	T_INT		1 269,6	250	
MD83	ICAO_A	1	5	Άνοδος	Μέγιστη ώση ανόδου	T_ZERO	5 500			

▼**M2**

ACFTID	Profile_ID (Προφίλ αναχώρησης)	Μήκος καλυπτόμενης διαδρομής	Αριθμός σταδίου	Είδος σταδίου	Μέγεθος ώσης	Flap_ID (Θέση πτερυγίων καμπυλότητας)	Οροφή ανόδου (ft)	Ρυθμός ανόδου (ft/min)	Διακριβωμένη ταχύτητα αέρα στην οροφή ανόδου (kt)	Ποσοστό επιτάχυνσης (%)
MD83	ICAO_A	1	6	Άνοδος	Μέγιστη ώση ανόδου	T_ZERO	7 500			
MD83	ICAO_A	1	7	Άνοδος	Μέγιστη ώση ανόδου	T_ZERO	10 000			
MD83	ICAO_A	2	1	Απογείωση	Μέγιστη ώση απογείωσης	T_15				
MD83	ICAO_A	2	2	Άνοδος	Μέγιστη ώση απογείωσης	T_15	1 500			
MD83	ICAO_A	2	3	Άνοδος	Μέγιστη ώση ανόδου	T_15	3 000			
MD83	ICAO_A	2	4	Επιτάχυνση	Μέγιστη ώση ανόδου	T_INT		1 188,7	250	
MD83	ICAO_A	2	5	Άνοδος	Μέγιστη ώση ανόδου	T_ZERO	5 500			
MD83	ICAO_A	2	6	Άνοδος	Μέγιστη ώση ανόδου	T_ZERO	7 500			
MD83	ICAO_A	2	7	Άνοδος	Μέγιστη ώση ανόδου	T_ZERO	10 000			
MD83	ICAO_A	3	1	Απογείωση	Μέγιστη ώση απογείωσης	T_15				
MD83	ICAO_A	3	2	Άνοδος	Μέγιστη ώση απογείωσης	T_15	1 500			
MD83	ICAO_A	3	3	Άνοδος	Μέγιστη ώση ανόδου	T_15	3 000			
MD83	ICAO_A	3	4	Επιτάχυνση	Μέγιστη ώση ανόδου	T_INT		1 109,5	250	
MD83	ICAO_A	3	5	Άνοδος	Μέγιστη ώση ανόδου	T_ZERO	5 500			

▼**M2**

ACFTID	Profile_ID (Προφίλ αναχώρησης)	Μήκος καλυπτόμενης διαδρομής	Αριθμός σταδίου	Είδος σταδίου	Μέγεθος ώσης	Flap_ID (Θέση πτερυγίων καμπυλότητας)	Οροφή ανόδου (ft)	Ρυθμός ανόδου (ft/min)	Διακριβωμένη ταχύτητα αέρα στην οροφή ανόδου (kt)	Ποσοστό επιτάχυνσης (%)
MD83	ICAO_A	3	6	Άνοδος	Μέγιστη ώση ανόδου	T_ZERO	7 500			
MD83	ICAO_A	3	7	Άνοδος	Μέγιστη ώση ανόδου	T_ZERO	10 000			
MD83	ICAO_A	4	1	Απογείωση	Μέγιστη ώση απογείωσης	T_15				
MD83	ICAO_A	4	2	Άνοδος	Μέγιστη ώση απογείωσης	T_15	1 500			
MD83	ICAO_A	4	3	Άνοδος	Μέγιστη ώση ανόδου	T_15	3 000			
MD83	ICAO_A	4	4	Επιτάχυνση	Μέγιστη ώση ανόδου	T_INT		989,8	250	
MD83	ICAO_A	4	5	Άνοδος	Μέγιστη ώση ανόδου	T_ZERO	5 500			
MD83	ICAO_A	4	6	Άνοδος	Μέγιστη ώση ανόδου	T_ZERO	7 500			
MD83	ICAO_A	4	7	Άνοδος	Μέγιστη ώση ανόδου	T_ZERO	10 000			
MD83	ICAO_A	5	1	Απογείωση	Μέγιστη ώση απογείωσης	T_15				
MD83	ICAO_A	5	2	Άνοδος	Μέγιστη ώση απογείωσης	T_15	1 500			
MD83	ICAO_A	5	3	Άνοδος	Μέγιστη ώση ανόδου	T_15	3 000			
MD83	ICAO_A	5	4	Επιτάχυνση	Μέγιστη ώση ανόδου	T_INT		880,1	250	
MD83	ICAO_A	5	5	Άνοδος	Μέγιστη ώση ανόδου	T_ZERO	5 500			

▼**M2**

ACFTID	Profile_ID (Προφίλ αναχώρησης)	Μήκος καλυπτόμενης διαδρομής	Αριθμός σταδίου	Είδος σταδίου	Μέγεθος ώσης	Flap_ID (Θέση πτερυγίων καμπυλότητας)	Οροφή ανόδου (ft)	Ρυθμός ανόδου (ft/min)	Διακριβωμένη ταχύτητα αέρα στην οροφή ανόδου (kt)	Ποσοστό επιτάχυνσης (%)
MD83	ICAO_A	5	6	Άνοδος	Μέγιστη ώση ανόδου	T_ZERO	7 500			
MD83	ICAO_A	5	7	Άνοδος	Μέγιστη ώση ανόδου	T_ZERO	10 000			
MD83	ICAO_B	1	1	Απογείωση	Μέγιστη ώση απογείωσης	T_15				
MD83	ICAO_B	1	2	Άνοδος	Μέγιστη ώση απογείωσης	T_15	1 000			
MD83	ICAO_B	1	3	Επιτάχυνση	Μέγιστη ώση απογείωσης	T_INT		1 546,8	221,1	
MD83	ICAO_B	1	4	Άνοδος	Μέγιστη ώση ανόδου	T_ZERO	3 000			
MD83	ICAO_B	1	5	Επιτάχυνση	Μέγιστη ώση ανόδου	T_ZERO		2 056,2	250	
MD83	ICAO_B	1	6	Άνοδος	Μέγιστη ώση ανόδου	T_ZERO	5 500			
MD83	ICAO_B	1	7	Άνοδος	Μέγιστη ώση ανόδου	T_ZERO	7 500			
MD83	ICAO_B	1	8	Άνοδος	Μέγιστη ώση ανόδου	T_ZERO	10 000			
MD83	ICAO_B	2	1	Απογείωση	Μέγιστη ώση απογείωσης	T_15				
MD83	ICAO_B	2	2	Άνοδος	Μέγιστη ώση απογείωσης	T_15	1 000			
MD83	ICAO_B	2	3	Επιτάχυνση	Μέγιστη ώση απογείωσης	T_INT		1 462	225,1	
MD83	ICAO_B	2	4	Άνοδος	Μέγιστη ώση ανόδου	T_ZERO	3 000			

▼**M2**

ACFTID	Profile_ID (Προφίλ αναχώρησης)	Μήκος καλυπτόμενης διαδρομής	Αριθμός σταδίου	Είδος σταδίου	Μέγεθος ώσης	Flap_ID (Θέση πτερυγίων καμπυλότητας)	Οροφή ανόδου (ft)	Ρυθμός ανόδου (ft/min)	Διακριβωμένη ταχύτητα αέρα στην οροφή ανόδου (kt)	Ποσοστό επιτάχυνσης (%)
MD83	ICAO_B	2	5	Επιτάχυνση	Μέγιστη ώση ανόδου	T_ZERO		1 941,6	250	
MD83	ICAO_B	2	6	Άνοδος	Μέγιστη ώση ανόδου	T_ZERO	5 500			
MD83	ICAO_B	2	7	Άνοδος	Μέγιστη ώση ανόδου	T_ZERO	7 500			
MD83	ICAO_B	2	8	Άνοδος	Μέγιστη ώση ανόδου	T_ZERO	10 000			
MD83	ICAO_B	3	1	Απογείωση	Μέγιστη ώση απογείωσης	T_15				
MD83	ICAO_B	3	2	Άνοδος	Μέγιστη ώση απογείωσης	T_15	1 000			
MD83	ICAO_B	3	3	Επιτάχυνση	Μέγιστη ώση απογείωσης	T_INT		1 376,3	229,2	
MD83	ICAO_B	3	4	Άνοδος	Μέγιστη ώση ανόδου	T_ZERO	3 000			
MD83	ICAO_B	3	5	Επιτάχυνση	Μέγιστη ώση ανόδου	T_ZERO		1 837,5	250	
MD83	ICAO_B	3	6	Άνοδος	Μέγιστη ώση ανόδου	T_ZERO	5 500			
MD83	ICAO_B	3	7	Άνοδος	Μέγιστη ώση ανόδου	T_ZERO	7 500			
MD83	ICAO_B	3	8	Άνοδος	Μέγιστη ώση ανόδου	T_ZERO	10 000			
MD83	ICAO_B	4	1	Απογείωση	Μέγιστη ώση απογείωσης	T_15				
MD83	ICAO_B	4	2	Άνοδος	Μέγιστη ώση απογείωσης	T_15	1 000			

▼**M2**

ACFTID	Profile_ID (Προφίλ αναχώρησης)	Μήκος καλυπτόμενης διαδρομής	Αριθμός σταδίου	Είδος σταδίου	Μέγεθος ώσης	Flap_ID (Θέση πτερυγίων καμπυλότητας)	Οροφή ανόδου (ft)	Ρυθμός ανόδου (ft/min)	Διακριβωμένη ταχύτητα αέρα στην οροφή ανόδου (kt)	Ποσοστό επιτάχυνσης (%)
MD83	ICAO_B	4	3	Επιτάχυνση	Μέγιστη ώση απογείωσης	T_INT		1 249,5	236,1	
MD83	ICAO_B	4	4	Άνοδος	Μέγιστη ώση ανόδου	T_ZERO	3 000			
MD83	ICAO_B	4	5	Επιτάχυνση	Μέγιστη ώση ανόδου	T_ZERO		1 671,1	250	
MD83	ICAO_B	4	6	Άνοδος	Μέγιστη ώση ανόδου	T_ZERO	5 500			
MD83	ICAO_B	4	7	Άνοδος	Μέγιστη ώση ανόδου	T_ZERO	7 500			
MD83	ICAO_B	4	8	Άνοδος	Μέγιστη ώση ανόδου	T_ZERO	10 000			
MD83	ICAO_B	5	1	Απογείωση	Μέγιστη ώση απογείωσης	T_15				
MD83	ICAO_B	5	2	Άνοδος	Μέγιστη ώση απογείωσης	T_15	1 000			
MD83	ICAO_B	5	3	Επιτάχυνση	Μέγιστη ώση απογείωσης	T_INT		1 130,3	243,6	
MD83	ICAO_B	5	4	Άνοδος	Μέγιστη ώση ανόδου	T_ZERO	3 000			
MD83	ICAO_B	5	5	Επιτάχυνση	Μέγιστη ώση ανόδου	T_ZERO		1 504,9	250	
MD83	ICAO_B	5	6	Άνοδος	Μέγιστη ώση ανόδου	T_ZERO	5 500			
MD83	ICAO_B	5	7	Άνοδος	Μέγιστη ώση ανόδου	T_ZERO	7 500			

▼**M2**

ACFTID	Profile_ID (Προφίλ αναχώρησης)	Μήκος καλυπτόμενης διαδρομής	Αριθμός σταδίου	Είδος σταδίου	Μέγεθος ώσης	Flap_ID (Θέση πτερυγίων καμπυλότητας)	Οροφή ανόδου (ft)	Ρυθμός ανόδου (ft/min)	Διακριβωμένη ταχύτητα αέρα στην οροφή ανόδου (kt)	Ποσοστό επιτάχυνσης (%)
MD83	ICAO_B	5	8	Άνοδος	Μέγιστη ώση ανόδου	T_ZERO	10 000			
MD9025	DEFAULT	1	1	Απογείωση	Μέγιστη ώση απογείωσης	EXT/11				
MD9025	DEFAULT	1	2	Άνοδος	Μέγιστη ώση απογείωσης	EXT/11	1 000			
MD9025	DEFAULT	1	3	Επιτάχυνση	Μέγιστη ώση απογείωσης	RET/0		2 280	194	
MD9025	DEFAULT	1	4	Άνοδος	Μέγιστη ώση ανόδου	RET/0	3 000			
MD9025	DEFAULT	1	5	Επιτάχυνση	Μέγιστη ώση ανόδου	RET/0		1 000	250	
MD9025	DEFAULT	1	6	Άνοδος	Μέγιστη ώση ανόδου	RET/0	10 000			
MD9025	DEFAULT	2	1	Απογείωση	Μέγιστη ώση απογείωσης	EXT/11				
MD9025	DEFAULT	2	2	Άνοδος	Μέγιστη ώση απογείωσης	EXT/11	1 000			
MD9025	DEFAULT	2	3	Επιτάχυνση	Μέγιστη ώση απογείωσης	RET/0		2 150	193	
MD9025	DEFAULT	2	4	Άνοδος	Μέγιστη ώση ανόδου	RET/0	3 000			
MD9025	DEFAULT	2	5	Επιτάχυνση	Μέγιστη ώση ανόδου	RET/0		1 000	250	
MD9025	DEFAULT	2	6	Άνοδος	Μέγιστη ώση ανόδου	RET/0	10 000			
MD9025	DEFAULT	3	1	Απογείωση	Μέγιστη ώση απογείωσης	EXT/11				

▼**M2**

ACFTID	Profile_ID (Προφίλ αναχώρησης)	Μήκος καλυπτόμενης διαδρομής	Αριθμός σταδίου	Είδος σταδίου	Μέγεθος ώσης	Flap_ID (Θέση πτερυγίων καμπυλότητας)	Οροφή ανόδου (ft)	Ρυθμός ανόδου (ft/min)	Διακριβωμένη ταχύτητα αέρα στην οροφή ανόδου (kt)	Ποσοστό επιτάχυνσης (%)
MD9025	DEFAULT	3	2	Άνοδος	Μέγιστη ώση απογείωσης	EXT/11	1 000			
MD9025	DEFAULT	3	3	Επιτάχυνση	Μέγιστη ώση απογείωσης	RET/0		2 031	192	
MD9025	DEFAULT	3	4	Άνοδος	Μέγιστη ώση ανόδου	RET/0	3 000			
MD9025	DEFAULT	3	5	Επιτάχυνση	Μέγιστη ώση ανόδου	RET/0		1 000	250	
MD9025	DEFAULT	3	6	Άνοδος	Μέγιστη ώση ανόδου	RET/0	10 000			
MD9025	DEFAULT	4	1	Απογείωση	Μέγιστη ώση απογείωσης	EXT/11				
MD9025	DEFAULT	4	2	Άνοδος	Μέγιστη ώση απογείωσης	EXT/11	1 000			
MD9025	DEFAULT	4	3	Επιτάχυνση	Μέγιστη ώση απογείωσης	RET/0		1 916	191	
MD9025	DEFAULT	4	4	Άνοδος	Μέγιστη ώση ανόδου	RET/0	3 000			
MD9025	DEFAULT	4	5	Επιτάχυνση	Μέγιστη ώση ανόδου	RET/0		1 000	250	
MD9025	DEFAULT	4	6	Άνοδος	Μέγιστη ώση ανόδου	RET/0	10 000			
MD9025	DEFAULT	5	1	Απογείωση	Μέγιστη ώση απογείωσης	EXT/11				
MD9025	DEFAULT	5	2	Άνοδος	Μέγιστη ώση απογείωσης	EXT/11	1 000			
MD9025	DEFAULT	5	3	Επιτάχυνση	Μέγιστη ώση απογείωσης	RET/0		1 840	190	

▼**M2**

ACFTID	Profile_ID (Προφίλ αναχώρησης)	Μήκος καλυπτόμενης διαδρομής	Αριθμός σταδίου	Είδος σταδίου	Μέγεθος ώσης	Flap_ID (Θέση πτερυγίων καμπυλότητας)	Οροφή ανόδου (ft)	Ρυθμός ανόδου (ft/min)	Διακριβωμένη ταχύτητα αέρα στην οροφή ανόδου (kt)	Ποσοστό επιτάχυνσης (%)
MD9025	DEFAULT	5	4	Άνοδος	Μέγιστη ώση ανόδου	RET/0	3 000			
MD9025	DEFAULT	5	5	Επιτάχυνση	Μέγιστη ώση ανόδου	RET/0		1 000	250	
MD9025	DEFAULT	5	6	Άνοδος	Μέγιστη ώση ανόδου	RET/0	10 000			
MD9028	DEFAULT	1	1	Απογείωση	Μέγιστη ώση απογείωσης	EXT/11				
MD9028	DEFAULT	1	2	Άνοδος	Μέγιστη ώση απογείωσης	EXT/11	1 000			
MD9028	DEFAULT	1	3	Επιτάχυνση	Μέγιστη ώση απογείωσης	RET/0		2 666	196	
MD9028	DEFAULT	1	4	Άνοδος	Μέγιστη ώση ανόδου	RET/0	3 000			
MD9028	DEFAULT	1	5	Επιτάχυνση	Μέγιστη ώση ανόδου	RET/0		1 000	250	
MD9028	DEFAULT	1	6	Άνοδος	Μέγιστη ώση ανόδου	RET/0	10 000			
MD9028	DEFAULT	2	1	Απογείωση	Μέγιστη ώση απογείωσης	EXT/11				
MD9028	DEFAULT	2	2	Άνοδος	Μέγιστη ώση απογείωσης	EXT/11	1 000			
MD9028	DEFAULT	2	3	Επιτάχυνση	Μέγιστη ώση απογείωσης	RET/0		2 525	194	
MD9028	DEFAULT	2	4	Άνοδος	Μέγιστη ώση ανόδου	RET/0	3 000			
MD9028	DEFAULT	2	5	Επιτάχυνση	Μέγιστη ώση ανόδου	RET/0		1 000	250	

▼**M2**

ACFTID	Profile_ID (Προφίλ αναχώρησης)	Μήκος καλυπτόμενης διαδρομής	Αριθμός σταδίου	Είδος σταδίου	Μέγεθος ώσης	Flap_ID (Θέση πτερυγίων καμπυλότητας)	Οροφή ανόδου (ft)	Ρυθμός ανόδου (ft/min)	Διακριβωμένη ταχύτητα αέρα στην οροφή ανόδου (kt)	Ποσοστό επιτάχυνσης (%)
MD9028	DEFAULT	2	6	Άνοδος	Μέγιστη ώση ανόδου	RET/0	10 000			
MD9028	DEFAULT	3	1	Απογείωση	Μέγιστη ώση απογείωσης	EXT/11				
MD9028	DEFAULT	3	2	Άνοδος	Μέγιστη ώση απογείωσης	EXT/11	1 000			
MD9028	DEFAULT	3	3	Επιτάχυνση	Μέγιστη ώση απογείωσης	RET/0		2 391	193	
MD9028	DEFAULT	3	4	Άνοδος	Μέγιστη ώση ανόδου	RET/0	3 000			
MD9028	DEFAULT	3	5	Επιτάχυνση	Μέγιστη ώση ανόδου	RET/0		1 000	250	
MD9028	DEFAULT	3	6	Άνοδος	Μέγιστη ώση ανόδου	RET/0	10 000			
MD9028	DEFAULT	4	1	Απογείωση	Μέγιστη ώση απογείωσης	EXT/11				
MD9028	DEFAULT	4	2	Άνοδος	Μέγιστη ώση απογείωσης	EXT/11	1 000			
MD9028	DEFAULT	4	3	Επιτάχυνση	Μέγιστη ώση απογείωσης	RET/0		2 263	192	
MD9028	DEFAULT	4	4	Άνοδος	Μέγιστη ώση ανόδου	RET/0	3 000			
MD9028	DEFAULT	4	5	Επιτάχυνση	Μέγιστη ώση ανόδου	RET/0		1 000	250	
MD9028	DEFAULT	4	6	Άνοδος	Μέγιστη ώση ανόδου	RET/0	10 000			

▼**M2**

ACFTID	Profile_ID (Προφίλ αναχώρησης)	Μήκος καλυπτόμενης διαδρομής	Αριθμός σταδίου	Είδος σταδίου	Μέγεθος ώσης	Flap_ID (Θέση πτερυγίων καμπυλότητας)	Οροφή ανόδου (ft)	Ρυθμός ανόδου (ft/min)	Διακριβωμένη ταχύτητα αέρα στην οροφή ανόδου (kt)	Ποσοστό επιτάχυνσης (%)
MD9028	DEFAULT	5	1	Απογείωση	Μέγιστη ώση απογείωσης	EXT/11				
MD9028	DEFAULT	5	2	Άνοδος	Μέγιστη ώση απογείωσης	EXT/11	1 000			
MD9028	DEFAULT	5	3	Επιτάχυνση	Μέγιστη ώση απογείωσης	RET/0		2 180	189	
MD9028	DEFAULT	5	4	Άνοδος	Μέγιστη ώση ανόδου	RET/0	3 000			
MD9028	DEFAULT	5	5	Επιτάχυνση	Μέγιστη ώση ανόδου	RET/0		1 000	250	
MD9028	DEFAULT	5	6	Άνοδος	Μέγιστη ώση ανόδου	RET/0	10 000			
MU3001	DEFAULT	1	1	Απογείωση	Μέγιστη ώση απογείωσης	10				
MU3001	DEFAULT	1	2	Επιτάχυνση	Μέγιστη ώση απογείωσης	10		1 130	142	
MU3001	DEFAULT	1	3	Άνοδος	Μέγιστη ώση απογείωσης	1	1 500			
MU3001	DEFAULT	1	4	Επιτάχυνση	Μέγιστη ώση απογείωσης	1		1 130	200	
MU3001	DEFAULT	1	5	Άνοδος	Μέγιστη ώση ανόδου	ZERO	3 000			
MU3001	DEFAULT	1	6	Επιτάχυνση	Μέγιστη ώση ανόδου	ZERO		1 555	250	
MU3001	DEFAULT	1	7	Άνοδος	Μέγιστη ώση ανόδου	ZERO	5 500			
MU3001	DEFAULT	1	8	Άνοδος	Μέγιστη ώση ανόδου	ZERO	7 500			

▼**M2**

ACFTID	Profile_ID (Προφίλ αναχώρησης)	Μήκος καλυπτόμενης διαδρομής	Αριθμός σταδίου	Είδος σταδίου	Μέγεθος ώσης	Flap_ID (Θέση πτερυγίων καμπυλότητας)	Οροφή ανόδου (ft)	Ρυθμός ανόδου (ft/min)	Διακριβωμένη ταχύτητα αέρα στην οροφή ανόδου (kt)	Ποσοστό επιτάχυνσης (%)
MU3001	DEFAULT	1	9	Άνοδος	Μέγιστη ώση ανόδου	ZERO	10 000			
PA30	DEFAULT	1	1	Απογείωση	Μέγιστη ώση απογείωσης	15-D				
PA30	DEFAULT	1	2	Επιτάχυνση	Μέγιστη ώση απογείωσης	15-D		415	79	
PA30	DEFAULT	1	3	Επιτάχυνση	Μέγιστη ώση απογείωσης	15-D		500	113	
PA30	DEFAULT	1	4	Άνοδος	Μέγιστη ώση απογείωσης	ZERO-D	1 500			
PA30	DEFAULT	1	5	Άνοδος	Μέγιστη ώση απογείωσης	ZERO-D	3 000			
PA30	DEFAULT	1	6	Άνοδος	Μέγιστη ώση ανόδου	ZERO-D	5 500			
PA30	DEFAULT	1	7	Άνοδος	Μέγιστη ώση ανόδου	ZERO-D	7 500			
PA30	DEFAULT	1	8	Άνοδος	Μέγιστη ώση ανόδου	ZERO-D	10 000			
PA42	DEFAULT	1	1	Απογείωση	Μέγιστη ώση απογείωσης	ZER-DN				
PA42	DEFAULT	1	2	Επιτάχυνση	Μέγιστη ώση απογείωσης	ZER-DN		1 000	118	
PA42	DEFAULT	1	3	Άνοδος	Μέγιστη ώση απογείωσης	ZER-DN	1 000			
PA42	DEFAULT	1	4	Επιτάχυνση	Μέγιστη ώση ανόδου	ZERO		1 000	154	
PA42	DEFAULT	1	5	Άνοδος	Μέγιστη ώση ανόδου	ZERO	3 000			

▼**M2**

ACFTID	Profile_ID (Προφίλ αναχώρησης)	Μήκος καλυπτόμενης διαδρομής	Αριθμός σταδίου	Είδος σταδίου	Μέγεθος ώσης	Flap_ID (Θέση πτερυγίων καμπυλότητας)	Οροφή ανόδου (ft)	Ρυθμός ανόδου (ft/min)	Διακριβωμένη ταχύτητα αέρα στην οροφή ανόδου (kt)	Ποσοστό επιτάχυνσης (%)
PA42	DEFAULT	1	6	Άνοδος	Μέγιστη ώση ανόδου	ZERO	4 000			
PA42	DEFAULT	1	7	Άνοδος	Μέγιστη ώση ανόδου	ZERO	6 000			
PA42	DEFAULT	1	8	Άνοδος	Μέγιστη ώση ανόδου	ZERO	8 000			
PA42	DEFAULT	1	9	Άνοδος	Μέγιστη ώση ανόδου	ZERO	10 000			
SD330	DEFAULT	1	1	Απογείωση	Μέγιστη ώση απογείωσης	10				
SD330	DEFAULT	1	2	Άνοδος	Μέγιστη ώση απογείωσης	10	1 000			
SD330	DEFAULT	1	3	Επιτάχυνση	Μέγιστη ώση απογείωσης	10		971	117	
SD330	DEFAULT	1	4	Επιτάχυνση	Μέγιστη ώση ανόδου	INTR		728	137	
SD330	DEFAULT	1	5	Άνοδος	Μέγιστη ώση ανόδου	ZERO	3 000			
SD330	DEFAULT	1	6	Άνοδος	Μέγιστη ώση ανόδου	ZERO	5 500			
SD330	DEFAULT	1	7	Άνοδος	Μέγιστη ώση ανόδου	ZERO	7 500			
SD330	DEFAULT	1	8	Άνοδος	Μέγιστη ώση ανόδου	ZERO	10 000			
SF340	DEFAULT	1	1	Απογείωση	Μέγιστη ώση απογείωσης	15				
SF340	DEFAULT	1	2	Άνοδος	Μέγιστη ώση απογείωσης	15	1 000			

▼**M2**

ACFTID	Profile_ID (Προφίλ αναχώρησης)	Μήκος καλυπτόμενης διαδρομής	Αριθμός σταδίου	Είδος σταδίου	Μέγεθος ώσης	Flap_ID (Θέση πτερυγίων καμπυλότητας)	Οροφή ανόδου (ft)	Ρυθμός ανόδου (ft/min)	Διακριβωμένη ταχύτητα αέρα στην οροφή ανόδου (kt)	Ποσοστό επιτάχυνσης (%)
SF340	DEFAULT	1	3	Επιτάχυνση	Μέγιστη ώση απογείωσης	15		1 821	127	
SF340	DEFAULT	1	4	Επιτάχυνση	Μέγιστη ώση ανόδου	5		1 366	147	
SF340	DEFAULT	1	5	Άνοδος	Μέγιστη ώση ανόδου	ZERO	3 000			
SF340	DEFAULT	1	6	Άνοδος	Μέγιστη ώση ανόδου	ZERO	5 500			
SF340	DEFAULT	1	7	Άνοδος	Μέγιστη ώση ανόδου	ZERO	7 500			
SF340	DEFAULT	1	8	Άνοδος	Μέγιστη ώση ανόδου	ZERO	10 000			
SF340	DEFAULT	2	1	Απογείωση	Μέγιστη ώση απογείωσης	15				
SF340	DEFAULT	2	2	Άνοδος	Μέγιστη ώση απογείωσης	15	1 000			
SF340	DEFAULT	2	3	Επιτάχυνση	Μέγιστη ώση απογείωσης	15		1 450	133	
SF340	DEFAULT	2	4	Επιτάχυνση	Μέγιστη ώση ανόδου	5		1 088	153	
SF340	DEFAULT	2	5	Άνοδος	Μέγιστη ώση ανόδου	ZERO	3 000			
SF340	DEFAULT	2	6	Άνοδος	Μέγιστη ώση ανόδου	ZERO	5 500			
SF340	DEFAULT	2	7	Άνοδος	Μέγιστη ώση ανόδου	ZERO	7 500			
SF340	DEFAULT	2	8	Άνοδος	Μέγιστη ώση ανόδου	ZERO	10 000			

▼M2

Πίνακας Θ-5

Προκαθορισμένα σταθερά σημεία ίχνους

ACFTID	Περιγραφή	Τύπος κινητήρα	Αριθμός κινητήρων	Κατηγοριοποίηση βάρους	Κατηγορία ιδιοκτήτη	MGTOW (lb)	MGLW (lb)	Μέγιστη διαδρομή προσγείωσης (ft)	Μέγιστη στατική στη στάθμη της θάλασσας (lb)	Κεφάλαιο Θόρυβος	NPD_ID (Κατηγοριοποίηση βάσει θορύβου, ισχύος, απόστασης)	Παράμετροι ισχύος	Ηχοφασματική ανάλυση προσέγγισης αεροσκάφους	Ηχοφασματική ανάλυση αναχώρησης αεροσκάφους	Δείκτης εγκάρσιας εκπομπής θορύβου
1900D	Beech 1900D/PT6A67	Ελικοστρόβιλος	2	Μεγάλο	Εμπορικό	16 950	14 940	1 696	3 367	1	PT6A67	CNT (lb)	213	109	Έλικας
707	Boeing 707-120/JT3C	Αεριοστρόβιλος	4	Βαρύ	Εμπορικό	302 400	188 900	6 682	10 120	1	JT4A	CNT (lb)	208	107	Πτέρυγα
707120	Boeing 707-120B/JT3D-3	Αεριοστρόβιλος	4	Βαρύ	Εμπορικό	302 400	188 900	6 893	14 850	1	JT3D	CNT (lb)	208	107	Πτέρυγα
707320	Boeing 707-320B/JT3D-7	Αεριοστρόβιλος	4	Βαρύ	Εμπορικό	334 000	247 000	5 622	19 000	1	JT3D	CNT (lb)	208	107	Πτέρυγα
707QN	Boeing 707-320B/JT3D-7QN	Αεριοστρόβιλος	4	Βαρύ	Εμπορικό	334 000	247 000	5 622	19 000	2	JT3DQ	CNT (lb)	208	106	Πτέρυγα
717200	Boeing 717-200/BR 715	Αεριοστρόβιλος	2	Μεγάλο	Εμπορικό	121 000	110 000	4 600	18 000	3	BR715	CNT (lb)	203	105	Άτρακτος
720	Boeing 720/JT3C	Αεριοστρόβιλος	4	Μεγάλο	Εμπορικό	223 500	155 600	4 871	10 120	1	JT4A	CNT (lb)	208	107	Πτέρυγα
720B	Boeing 720B/JT3D-3	Αεριοστρόβιλος	4	Μεγάλο	Εμπορικό	234 000	175 000	5 717	18 000	1	JT3D	CNT (lb)	208	107	Πτέρυγα
727100	Boeing 727-100/JT8D-7	Αεριοστρόβιλος	3	Μεγάλο	Εμπορικό	169 500	142 500	4 867	14 000	1	3JT8D	CNT (lb)	201	101	Άτρακτος
727200	Boeing 727-200/JT8D-7	Αεριοστρόβιλος	3	Μεγάλο	Εμπορικό	217 600	163 300	5 571	11 895	1	3JT8D	CNT (lb)	201	101	Άτρακτος
727D15	Boeing 727-200/JT8D-15	Αεριοστρόβιλος	3	Μεγάλο	Εμπορικό	208 000	169 000	4 922	15 500	1	3JT8D	CNT (lb)	201	101	Άτρακτος
727D17	Boeing 727-200/JT8D-17	Αεριοστρόβιλος	3	Μεγάλο	Εμπορικό	208 000	169 000	5 444	16 000	2	3JT8DQ	CNT (lb)	201	101	Άτρακτος
727EM1	FEDX 727-100/JT8D-7	Αεριοστρόβιλος	3	Μεγάλο	Εμπορικό	169 500	142 500	4 867	14 000	3	3JT8E7	CNT (lb)	201	101	Άτρακτος

▼M2

ACFTID	Περιγραφή	Τύπος κινητήρα	Αριθμός κινητήρων	Κατηγοριοποίηση βάρους	Κατηγορία ιδιοκτήτη	MGTOW (lb)	MGLW (lb)	Μέγιστη διαδρομή προσγείωσης (ft)	Μέγιστη στατική στη στάθμη της θάλασσας (lb)	Κεφάλαιο Θόρυβος	NPD_ID (Κατηγοριοποίηση βάσει θορύβου, ισχύος, απόστασης)	Παράμετροι ισχύος	Ηχοφασματική ανάλυση προσέγγισης αεροσκάφους	Ηχοφασματική ανάλυση αναχώρησης αεροσκάφους	Δείκτης εγκάρσιας εκπομπής θορύβου
727EM2	FEDX 727-200/JT8D-15	Αεριοστρόβιλος	3	Μεγάλο	Εμπορικό	208 000	169 000	4 922	15 500	3	3JT8E5	CNT (lb)	201	101	Άτρακτος
727Q15	Boeing 727-200/JT8D-15QN	Αεριοστρόβιλος	3	Μεγάλο	Εμπορικό	208 000	169 000	4 922	15 500	2	3JT8DQ	CNT (lb)	201	101	Άτρακτος
727Q7	Boeing 727-100/JT8D-7QN	Αεριοστρόβιλος	3	Μεγάλο	Εμπορικό	169 500	142 500	4 867	14 000	2	3JT8DQ	CNT (lb)	201	101	Άτρακτος
727Q9	Boeing 727-200/JT8D-9	Αεριοστρόβιλος	3	Μεγάλο	Εμπορικό	191 000	160 000	5 444	14 500	2	3JT8DQ	CNT (lb)	201	101	Άτρακτος
727QF	UPS 727-100 22C 25C	Αεριοστρόβιλος	3	Μεγάλο	Εμπορικό	169 000	142 500	4 448	15 380	3	TAY651	CNT (lb)	201	101	Άτρακτος
737	Boeing 737/JT8D-9	Αεριοστρόβιλος	2	Μεγάλο	Εμπορικό	109 000	98 000	3 900	14 500	1	2JT8DW	CNT (lb)	201	101	Πτέρυγα
737300	Boeing 737-300/CFM56-3B-1	Αεριοστρόβιλος	2	Μεγάλο	Εμπορικό	135 000	114 000	4 580	20 000	3	CFM563	CNT (lb)	202	102	Πτέρυγα
7373B2	Boeing 737-300/CFM56-3B-2	Αεριοστρόβιλος	2	Μεγάλο	Εμπορικό	139 500	114 000	4 580	22 000	3	CFM563	CNT (lb)	202	102	Πτέρυγα
737400	Boeing 737-400/CFM56-3C-1	Αεριοστρόβιλος	2	Μεγάλο	Εμπορικό	150 000	124 000	5 062	23 500	3	CFM563	CNT (lb)	202	102	Πτέρυγα
737500	Boeing 737-500/CFM56-3C-1	Αεριοστρόβιλος	2	Μεγάλο	Εμπορικό	133 500	111 000	4 551	20 000	3	CFM563	CNT (lb)	202	102	Πτέρυγα
737700	Boeing 737-700/CFM56-7B24	Αεριοστρόβιλος	2	Μεγάλο	Εμπορικό	154 500	129 200	4 445	24 000	3	CF567B	CNT (lb)	203	104	Πτέρυγα
737800	Boeing 737-800/CFM56-7B26	Αεριοστρόβιλος	2	Μεγάλο	Εμπορικό	174 200	146 300	5 435	26 300	3	CF567B	CNT (lb)	203	104	Πτέρυγα
737D17	Boeing 737-200/JT8D-17	Αεριοστρόβιλος	2	Μεγάλο	Εμπορικό	124 000	107 000	4 244	16 000	2	2JT8QW	CNT (lb)	201	101	Πτέρυγα

▼M2

ACFTID	Περιγραφή	Τύπος κινητήρα	Αριθμός κινητήρων	Κατηγοριοποίηση βάρους	Κατηγορία ιδιοκτήτη	MGTOW (lb)	MGLW (lb)	Μέγιστη διαδρομή προσγείωσης (ft)	Μέγιστη στατική στη στάθμη της θάλασσας (lb)	Κεφάλαιο Θόρυβος	NPD_ID (Κατηγοριοποίηση βάσει θορύβου, ισχύος, απόστασης)	Παράμετροι ισχύος	Ηχοφασματική ανάλυση προσέγγισης αεροσκάφους	Ηχοφασματική ανάλυση αναχώρησης αεροσκάφους	Δείκτης εγκάρσιας εκπομπής θορύβου
737N17	Boeing 737-200/JT8D-17 Nordam B737 LGW Hushkit	Αεριοστρόβιλος	2	Μεγάλο	Εμπορικό	124 000	107 000	4 244	16 000	3	2JT8DN	CNT (lb)	202	104	Πτέρυγα
737N9	Boeing 737/JT8D-9 Nordam B737 LGW Hushkit	Αεριοστρόβιλος	2	Μεγάλο	Εμπορικό	109 000	98 000	3 900	14 500	3	2JT8DN	CNT (lb)	202	104	Πτέρυγα
737QN	Boeing 737/JT8D-9QN	Αεριοστρόβιλος	2	Μεγάλο	Εμπορικό	109 000	98 000	3 900	14 500	2	2JT8QW	CNT (lb)	201	101	Πτέρυγα
747100	Boeing 747-100/JT9DBD	Αεριοστρόβιλος	4	Βαρύ	Εμπορικό	733 000	516 600	5 727	33 042	2	JT9DBD	CNT (lb)	209	107	Πτέρυγα
74710Q	Boeing 747-100/JT9D-7QN	Αεριοστρόβιλος	4	Βαρύ	Εμπορικό	733 000	564 000	6 200	45 500	3	JT9DFL	CNT (lb)	207	107	Πτέρυγα
747200	Boeing 747-200/JT9D-7	Αεριοστρόβιλος	4	Βαρύ	Εμπορικό	775 000	564 000	6 200	45 500	3	JT9DFL	CNT (lb)	207	107	Πτέρυγα
74720A	Boeing 747-200/JT9D-7A	Αεριοστρόβιλος	4	Βαρύ	Εμπορικό	785 000	564 000	6 200	46 300	3	JT9D7Q	CNT (lb)	207	107	Πτέρυγα
74720B	Boeing 747-200/JT9D-7Q	Αεριοστρόβιλος	4	Βαρύ	Εμπορικό	800 000	630 000	6 200	53 000	3	JT9D7Q	CNT (lb)	207	107	Πτέρυγα
747400	Boeing 747-400/PW4056	Αεριοστρόβιλος	4	Βαρύ	Εμπορικό	875 000	652 000	6 989	56 800	3	PW4056	CNT (lb)	207	107	Πτέρυγα
7478	Boeing 747-8F/GEnx-2B67	Αεριοστρόβιλος	4	Βαρύ	Εμπορικό	987 000	757 000	7 900	68 000	4	GENX67	CNT (lb)	205	107	Πτέρυγα
747SP	Boeing 747SP/JT9D-7	Αεριοστρόβιλος	4	Βαρύ	Εμπορικό	702 000	475 000	5 911	45 500	3	JT9DFL	CNT (lb)	207	107	Πτέρυγα
757300	Boeing 757-300/RB211-535E4B	Αεριοστρόβιλος	2	Μεγάλο	Εμπορικό	275 000	224 000	5 651	43 100	3	RR535E	CNT (lb)	203	103	Πτέρυγα
757PW	Boeing 757-200/PW2037	Αεριοστρόβιλος	2	Μεγάλο	Εμπορικό	255 000	210 000	4 790	38 300	3	PW2037	CNT (lb)	203	103	Πτέρυγα

▼M2

ACFTID	Περιγραφή	Τύπος κινητήρα	Αριθμός κινητήρων	Κατηγοριοποίηση βάρους	Κατηγορία ιδιοκτήτη	MGTOW (lb)	MGLW (lb)	Μέγιστη διαδρομή προσγείωσης (ft)	Μέγιστη στατική στη στάθμη της θάλασσας (lb)	Κεφάλαιο Θόρυβος	NPD_ID (Κατηγοριοποίηση βάσει θορύβου, ισχύος, απόστασης)	Παράμετροι ισχύος	Ηχοφασματική ανάλυση προσέγγισης αεροσκάφους	Ηχοφασματική ανάλυση αναχώρησης αεροσκάφους	Δείκτης εγκάρσιας εκπομπής θορύβου
757RR	Boeing 757-200/RB211-535E4	Αεριοστρόβιλος	2	Μεγάλο	Εμπορικό	255 000	210 000	4 640	40 100	3	RR535E	CNT (lb)	203	103	Πτέρυγα
767300	Boeing 767-300/PW4060	Αεριοστρόβιλος	2	Βαρύ	Εμπορικό	407 000	320 000	4 710	60 000	3	2CF680	CNT (lb)	203	103	Πτέρυγα
767400	Boeing 767-400ER/CF6-80C2B(F)	Αεριοστρόβιλος	2	Βαρύ	Εμπορικό	450 000	340 000	6 000	58 685	3	CF680C	CNT (lb)	205	102	Πτέρυγα
767CF6	Boeing 767-200/CF6-80A	Αεριοστρόβιλος	2	Βαρύ	Εμπορικό	315 500	270 000	4 700	48 000	3	2CF680	CNT (lb)	203	103	Πτέρυγα
767JT9	Boeing 767-200/JT9D-7R4D	Αεριοστρόβιλος	2	Βαρύ	Εμπορικό	351 000	270 000	4 744	48 000	3	2CF680	CNT (lb)	203	103	Πτέρυγα
777200	Boeing 777-200/GE90-76B	Αεριοστρόβιλος	2	Βαρύ	Εμπορικό	656 000	470 000	4 450	90 000	3	GE90	CNT (lb)	205	105	Πτέρυγα
777300	Boeing 777-300/Trent 892	Αεριοστρόβιλος	2	Βαρύ	Εμπορικό	660 000	524 000	6 012	77 000	0	TRENT8	CNT (lb)	203	105	Πτέρυγα
7773ER	Boeing 777-300ER/GE90-115B-EIS	Αεριοστρόβιλος	2	Βαρύ	Εμπορικό	775 000	554 000	5 805	115 000	3	GE9015	CNT (lb)	204	107	Πτέρυγα
7878R	Boeing 787-8/T1000-C/01 Family Plan Cert	Αεριοστρόβιλος	2	Βαρύ	Εμπορικό	502 500	380 000	5 090	70 000	4	T1KBFP	CNT (lb)	205	103	Πτέρυγα
A300-622R	Airbus A300-622R/PW4158	Αεριοστρόβιλος	2	Βαρύ	Εμπορικό	378 533	308 647	4 735	58 000	3	PW4158	CNT (lb)	202	103	Πτέρυγα
A300B4-203	Airbus A300B4-200/CF6-50C2	Αεριοστρόβιλος	2	Βαρύ	Εμπορικό	364 000	295 000	5 367	52 500	3	2CF650	CNT (lb)	203	103	Πτέρυγα
A310-304	Airbus A310-304/GE CF6-80C2A2	Αεριοστρόβιλος	2	Βαρύ	Εμπορικό	346 126	273 373	4 682	53 500	3	A310	CNT (lb)	204	103	Πτέρυγα

▼M2

ACFTID	Περιγραφή	Τύπος κινητήρα	Αριθμός κινητήρων	Κατηγοριοποίηση βάρους	Κατηγορία ιδιοκτήτη	MGTOW (lb)	MGLW (lb)	Μέγιστη διαδρομή προσγείωσης (ft)	Μέγιστη στατική στη στάθμη της θάλασσας (lb)	Κεφάλαιο Θόρυβος	NPD_ID (Κατηγοριοποίηση βάσει θορύβου, ισχύος, απόστασης)	Παράμετροι ισχύος	Ηχοφασματική ανάλυση προσέγγισης αεροσκάφους	Ηχοφασματική ανάλυση αναχώρησης αεροσκάφους	Δείκτης εγκάρσιας εκπομπής θορύβου
A319-131	Airbus A319-131/V2522-A5	Αεριοστρόβιλος	2	Μεγάλο	Εμπορικό	166 449	137 789	4 364	22 000	3	V2522A	CNT (lb)	205	103	Πτέρυγα
A320-211	Airbus A320-211/CFM56-5A1	Αεριοστρόβιλος	2	Μεγάλο	Εμπορικό	169 756	142 198	4 753	25 000	3	CFM565	CNT (lb)	202	103	Πτέρυγα
A320-232	Airbus A320-232/V2527-A5	Αεριοστρόβιλος	2	Μεγάλο	Εμπορικό	169 756	145 505	4 917	26 500	3	V2527A	CNT (lb)	205	103	Πτέρυγα
A321-232	Airbus A321-232/IAE V2530-A5	Αεριοστρόβιλος	2	Μεγάλο	Εμπορικό	196 211	166 449	5 587	30 000	3	V2530	CNT (lb)	202	103	Πτέρυγα
A330-301	Airbus A330-301/GE CF6-80 E1A2	Αεριοστρόβιλος	2	Βαρύ	Εμπορικό	478 400	383 604	5 966	67 500	3	CF680E	CNT (lb)	202	102	Πτέρυγα
A330-343	Airbus A330-343/RR Trent 772B	Αεριοστρόβιλος	2	Βαρύ	Εμπορικό	513 677	412 264	5 512	71 100	3	TRENT7	CNT (lb)	205	102	Πτέρυγα
A340-211	Airbus A340-211/CFM56-5C2	Αεριοστρόβιλος	4	Βαρύ	Εμπορικό	573 200	399 036	5 900	31 200	3	CF565C	CNT (lb)	206	107	Πτέρυγα
A340-642	Airbus A340-642/RR Trent 556	Αεριοστρόβιλος	4	Βαρύ	Εμπορικό	804 687	564 383	6 919	56 000	4	TRENT5	CNT (lb)	205	102	Πτέρυγα
A380-841	Airbus A380-841/RR Trent 970	Αεριοστρόβιλος	4	Βαρύ	Εμπορικό	1 254 430	862 007	6 752	70 000	4	TRENT9	CNT (lb)	205	105	Πτέρυγα
A380-861	Airbus A380-861/EA GP7270	Αεριοστρόβιλος	4	Βαρύ	Εμπορικό	1 254 430	862 007	6 837	70 000	4	GP7270	CNT (lb)	206	105	Πτέρυγα
BAC111	BAC 111/SPEY MK511-14	Αεριοστρόβιλος	2	Μεγάλο	Εμπορικό	89 600	82 000	4 449	11 400	2	2JT8D	CNT (lb)	201	101	Άτρακτος
BAE146	BAe 146-200/ALF502R-5	Αεριοστρόβιλος	4	Μεγάλο	Εμπορικό	93 000	81 000	3 770	6 970	3	AL502R	CNT (lb)	206	108	Πτέρυγα

▼M2

ACFTID	Περιγραφή	Τύπος κινητήρα	Αριθμός κινητήρων	Κατηγοριοποίηση βάρους	Κατηγορία ιδιοκτήτη	MGTOW (lb)	MGLW (lb)	Μέγιστη διαδρομή προσγείωσης (ft)	Μέγιστη στατική στη στάθμη της θάλασσας (lb)	Κεφάλαιο Θόρυβος	NPD_ID (Κατηγοριοποίηση βάσει θορύβου, ισχύος, απόστασης)	Παράμετροι ισχύος	Ηχοφασματική ανάλυση προσέγγισης αεροσκάφους	Ηχοφασματική ανάλυση αναχώρησης αεροσκάφους	Δείκτης εγκάρσιας εκπομπής θορύβου
BAE300	BAe 146-300/ALF502R-5	Αεριοστρόβιλος	4	Μεγάλο	Εμπορικό	97 500	84 500	3 960	6 970	3	AL502R	CNT (lb)	206	108	Πτέρυγα
BEC58P	Raytheon BARON 58P/TS10-520-L	Ελικοφόρος	2	Μικρό	Γενική αεροπορία	6 100	6 100	2 733	779	0	TSIO52	CNT (% of Max Static Thrust)	215	109	Έλικας
CIT3	Cessna Citation III/TFE731-3-100S	Αεριοστρόβιλος	2	Μεγάλο	Γενική αεροπορία	20 000	17 000	2 770	3 650	3	TF7313	CNT (lb)	216	113	Άτρακτος
CL600	Canadair CL-600/ALF502L	Αεριοστρόβιλος	2	Μεγάλο	Γενική αεροπορία	36 000	33 000	3 300	7 500	3	AL502L	CNT (lb)	216	113	Άτρακτος
CL601	Canadair CL-601/CF34-3A	Αεριοστρόβιλος	2	Μεγάλο	Γενική αεροπορία	43 100	36 000	3 550	9 220	3	CF34	CNT (lb)	216	113	Άτρακτος
CNA172	Cessna 172R/Lycoming IO-360-L2A	Ελικοφόρος	1	Μικρό	Γενική αεροπορία	2 450	2 450	1 695	436	0	IO360L	CNT (% of Max Static Thrust)	215	109	Έλικας
CNA182	Cessna 182H/Continental O-470-R	Ελικοφόρος	1	Μικρό	Γενική αεροπορία	2 800	2 800	1 544	965	2	O470R	CNT (lb)	215	113	Έλικας
CNA206	Cessna 206H/Lycoming IO-540-AC	Ελικοφόρος	1	Μικρό	Γενική αεροπορία	3 600	3 600	1 880	798	0	IO540	Other (RPM)	215	109	Έλικας
CNA208	Cessna 208/PT6A-114	Ελικοστρόβιλος	1	Μικρό	Γενική αεροπορία	8 750	8 500	1 740	2 300	3	PT6A114	CNT (lb)	210	109	Έλικας
CNA20T	Cessna T206H/Lycoming TIO-540-AJ1A	Ελικοφόρος	1	Μικρό	Γενική αεροπορία	3 600	3 600	1 880	825	0	TIO540	Other (RPM)	215	109	Έλικας

▼M2

ACFTID	Περιγραφή	Τύπος κινητήρα	Αριθμός κινητήρων	Κατηγοριοποίηση βάρους	Κατηγορία ιδιοκτήτη	MGTOW (lb)	MGLW (lb)	Μέγιστη διαδρομή προσγείωσης (ft)	Μέγιστη στατική στη στάθμη της θάλασσας (lb)	Κεφάλαιο Θόρυβος	NPD_ID (Κατηγοριοποίηση βάσει θορύβου, ισχύος, απόστασης)	Παράμετροι ισχύος	Ηχοφασματική ανάλυση προσέγγισης αεροσκάφους	Ηχοφασματική ανάλυση αναχώρησης αεροσκάφους	Δείκτης εγκάρσιας εκπομπής θορύβου
CNA441	Cessna CONQUEST II / TPE331-8	Ελικοστρόβιλος	2	Μικρό	Εμπορικό	9 900	9 400	1 939	1 535	0	TPE331	CNT (% of Max Static Thrust)	210	111	Έλικας
CNA500	Cessna Citation II/JT15D-4	Αεριοστρόβιλος	2	Μεγάλο	Γενική αεροπορία	14 700	14 000	3 050	2 500	3	JT15D1	CNT (lb)	216	113	Άτρακτος
CNA510	Cessna Mustang Model 510/ PW615F	Αεριοστρόβιλος	2	Μικρό	Εμπορικό	8 645	7 200	3 010	1 466	0	PW615F	CNT (lb)	203	113	Άτρακτος
CNA525C	Cessna Citation CJ4 525C / FJ44-4A	Αεριοστρόβιλος	2	Μικρό	Εμπορικό	16 950	15 500	3 010	3 600	4	FJ44-4	CNT (lb)	235	136	Άτρακτος
CNA55B	Cessna 550 Citation Bravo/ PW530A	Αεριοστρόβιλος	2	Μεγάλο	Γενική αεροπορία	14 800	13 500	3 010	2 863	0	PW530A	CNT (lb)	203	113	Άτρακτος
CNA560E	Cessna Citation Encore 560/ PW535A	Αεριοστρόβιλος	2	Μικρό	Εμπορικό	16 300	13 680	3 000	3 313	3	2PW535	CNT (lb)	238	138	Άτρακτος
CNA560U	Cessna Citation Ultra 560/ JT15D-5D	Αεριοστρόβιλος	2	Μικρό	Εμπορικό	16 300	13 680	2 700	3 029	3	2J155D	CNT (lb)	237	113	Άτρακτος
CNA560XL	Cessna Citation Excel 560/ PW545A	Αεριοστρόβιλος	2	Μικρό	Εμπορικό	20 000	16 830	3 000	3 824	3	PW545A	CNT (lb)	238	137	Άτρακτος
CNA680	Cessna Citation Sovereign 680/PW306C	Αεριοστρόβιλος	2	Μικρό	Εμπορικό	30 000	24 390	3 010	5 749	3	PW306C	CNT (lb)	236	136	Άτρακτος
CNA750	Cessna Citation X/Rolls Royce Allison AE3007C	Αεριοστρόβιλος	2	Μεγάλο	Γενική αεροπορία	35 700	31 800	3 500	6 407	3	AE300C	CNT (lb)	202	105	Άτρακτος
CONCRD	Concorde/OLY593	Αεριοστρόβιλος	4	Βαρύ	Εμπορικό	400 000	245 000	10 600	38 100	0	OLY593	CNT (lb)	206	106	Πτέρυγα

▼M2

ACFTID	Περιγραφή	Τύπος κινητήρα	Αριθμός κινητήρων	Κατηγοριοποίηση βάρους	Κατηγορία ιδιοκτήτη	MGTOW (lb)	MGLW (lb)	Μέγιστη διαδρομή προσγείωσης (ft)	Μέγιστη στατική στη στάθμη της θάλασσας (lb)	Κεφάλαιο Θόρυβος	NPD_ID (Κατηγοριοποίηση βάσει θορύβου, ισχύος, απόστασης)	Παράμετροι ισχύος	Ηχοφασματική ανάλυση προσέγγισης αεροσκάφους	Ηχοφασματική ανάλυση αναχώρησης αεροσκάφους	Δείκτης εγκάρσιας εκπομπής θορύβου
CRJ9-ER	Bombardier CL-600-2D15/ CL-600-2D24/CF34-8C5	Αεριοστρόβιλος	2	Μεγάλο	Εμπορικό	82 500	73 500	5 779	13 525	3	CF348C5	CNT (lb)	216	113	Άτρακτος
CRJ9-LR	Bombardier CL-600-2D15/ CL-600-2D24/CF34-8C5	Αεριοστρόβιλος	2	Μεγάλο	Εμπορικό	84 500	75 100	5 680	13 525	3	CF348C5	CNT (lb)	216	113	Άτρακτος
CVR580	Convair CV-580/ALL 501-D15	Ελικοστρόβιλος	2	Μεγάλο	Εμπορικό	58 000	52 000	4 256	8 100	0	501D13	CNT (% of Max Static Thrust)	214	112	Έλικας
DC1010	McDonnell Douglas DC10-10/CF6-6D	Αεριοστρόβιλος	3	Βαρύ	Εμπορικό	455 000	363 000	5 820	40 000	3	CF66D	CNT (lb)	203	101	Πτέρυγα
DC1030	McDonnell Douglas DC10-30/CF6-50C2	Αεριοστρόβιλος	3	Βαρύ	Εμπορικό	572 000	403 000	5 418	53 200	3	CF66D	CNT (lb)	203	101	Πτέρυγα
DC1040	McDonnell Douglas DC10-40/JT9D-20	Αεριοστρόβιλος	3	Βαρύ	Εμπορικό	555 000	403 000	6 020	49 400	3	CF66D	CNT (lb)	203	101	Πτέρυγα
DC3	Douglas DC-3/R1820-86	Ελικοφόρος	2	Μεγάλο	Εμπορικό	28 000	24 500	2 222	3 120	0	2R2800	CNT (% of Max Static Thrust)	213	110	Έλικας
DC6	Douglas DC-6/R2800-CB17	Ελικοφόρος	4	Μεγάλο	Εμπορικό	106 000	95 000	3 010	4 180	0	4R2800	CNT (% of Max Static Thrust)	213	110	Έλικας
DC820	Douglas DC-8-20/JT4A	Αεριοστρόβιλος	4	Βαρύ	Εμπορικό	317 600	194 400	6 527	11 850	1	JT4A	CNT (lb)	208	107	Πτέρυγα

▼M2

ACFTID	Περιγραφή	Τύπος κινητήρα	Αριθμός κινητήρων	Κατηγοριοποίηση βάρους	Κατηγορία ιδιοκτήτη	MGTOW (lb)	MGLW (lb)	Μέγιστη διαδρομή προσγείωσης (ft)	Μέγιστη στατική στη στάθμη της θάλασσας (lb)	Κεφάλαιο Θόρυβος	NPD_ID (Κατηγοριοποίηση βάσει θορύβου, ισχύος, απόστασης)	Παράμετροι ισχύος	Ηχοφασματική ανάλυση προσέγγισης αεροσκάφους	Ηχοφασματική ανάλυση αναχώρησης αεροσκάφους	Δείκτης εγκάρσιας εκπομπής θορύβου
DC850	Douglas DC-8-50/JT3D-3B	Αεριοστρόβιλος	4	Βαρύ	Εμπορικό	325 000	240 000	5 400	18 000	1	JT3D	CNT (lb)	208	107	Πτέρυγα
DC860	Douglas DC-8-60/JT3D-7	Αεριοστρόβιλος	4	Βαρύ	Εμπορικό	355 000	275 000	5 310	19 000	1	JT3D	CNT (lb)	208	107	Πτέρυγα
DC870	Douglas DC-8-70/CFM56-2C-5	Αεριοστρόβιλος	4	Βαρύ	Εμπορικό	355 000	258 000	6 500	22 000	3	CFM562	CNT (lb)	206	106	Πτέρυγα
DC8QN	Douglas DC-8-60/JT8D-7QN	Αεριοστρόβιλος	4	Βαρύ	Εμπορικό	355 000	275 000	5 310	19 000	2	JT3DQ	CNT (lb)	208	106	Πτέρυγα
DC910	McDonnell Douglas DC-9-10/JT8D-7	Αεριοστρόβιλος	2	Μεγάλο	Εμπορικό	90 700	81 700	5 030	14 000	1	2JT8D	CNT (lb)	201	101	Άτρακτος
DC930	McDonnell Douglas DC-9-30/JT8D-9	Αεριοστρόβιλος	2	Μεγάλο	Εμπορικό	114 000	102 000	4 680	14 500	1	2JT8D	CNT (lb)	201	101	Άτρακτος
DC93LW	McDonnell Douglas DC-9-30/JT8D-9 w/ ABS Lightweight hushkit	Αεριοστρόβιλος	2	Μεγάλο	Εμπορικό	114 000	102 000	4 680	14 500	3	2JT8DL	CNT (lb)	201	101	Άτρακτος
DC950	McDonnell Douglas DC-9-50/JT8D-17	Αεριοστρόβιλος	2	Μεγάλο	Εμπορικό	121 000	110 000	4 880	16 000	2	2JT8DQ	CNT (lb)	201	101	Άτρακτος
DC95HW	McDonnell Douglas DC-9-50/JT8D17 w/ ABS Heavyweight hushkit	Αεριοστρόβιλος	2	Μεγάλο	Εμπορικό	121 000	110 000	4 880	16 000	3	2JT8DH	CNT (lb)	201	101	Άτρακτος
DC9Q7	McDonnell Douglas DC-9-10/JT8D-7QN	Αεριοστρόβιλος	2	Μεγάλο	Εμπορικό	90 700	81 700	5 030	14 000	2	2JT8DQ	CNT (lb)	201	101	Άτρακτος
DC9Q9	McDonnell Douglas DC-9-30/JT8D-9QN	Αεριοστρόβιλος	2	Μεγάλο	Εμπορικό	114 000	102 000	4 680	14 500	2	2JT8DQ	CNT (lb)	201	101	Άτρακτος

▼M2

ACFTID	Περιγραφή	Τύπος κινητήρα	Αριθμός κινητήρων	Κατηγοριοποίηση βάρους	Κατηγορία ιδιοκτήτη	MGTOW (lb)	MGLW (lb)	Μέγιστη διαδρομή προσγείωσης (ft)	Μέγιστη στατική στη στάθμη της θάλασσας (lb)	Κεφάλαιο Θόρυβος	NPD_ID (Κατηγοριοποίηση βάσει θορύβου, ισχύος, απόστασης)	Παράμετροι ισχύος	Ηχοφασματική ανάλυση προσέγγισης αεροσκάφους	Ηχοφασματική ανάλυση αναχώρησης αεροσκάφους	Δείκτης εγκάρσιας εκπομπής θορύβου
DHC6	De Havilland DASH 6/PT6A-27	Ελικοστρόβιλος	2	Μικρό	Εμπορικό	12 500	12 300	1 500	2 000	0	PT6A27	CNT (% of Max Static Thrust)	210	109	Έλικας
DHC6QP	De Havilland DASH 6/PT6A-27 Raisbeck Quiet PropMod	Ελικοστρόβιλος	2	Μικρό	Εμπορικό	12 500	12 300	1 500	2 000	0	RAISQP	CNT (% of Max Static Thrust)	210	109	Έλικας
DHC7	De Havilland DASH 7/PT6A-50	Ελικοστρόβιλος	4	Μεγάλο	Εμπορικό	41 000	39 000	2 150	2 850	3	PT6A50	CNT (% of Max Static Thrust)	213	112	Έλικας
DHC8	Bombardier de Havilland DASH 8-100/PW121	Ελικοστρόβιλος	2	Μεγάλο	Εμπορικό	34 500	33 900	3 000	4 750	3	PW120	CNT (% of Max Static Thrust)	213	112	Έλικας
DHC830	Bombardier de Havilland DASH 8-300/PW123	Ελικοστρόβιλος	2	Μεγάλο	Εμπορικό	43 000	42 000	3 500	4 918	3	PW120	CNT (% of Max Static Thrust)	213	112	Έλικας
DO228	Dornier 228-202/TPE 311-5	Ελικοστρόβιλος	2	Μεγάλο	Εμπορικό	13 669	13 448	2 375	2 240	3	TPE331-5	CNT (lb)	216	110	Έλικας
DO328	Dornier 328-100/PW119C	Ελικοστρόβιλος	2	Μεγάλο	Εμπορικό	30 843	29 167	3 825	6 745	3	PW119C	CNT (lb)	214	109	Έλικας
ECLIP-SE500	Eclipse 500/PW610F	Αεριοστρόβιλος	2	Μικρό	Γενική αεροπορία	6 000	5 600	2 389	1 031	3	PW610F	CNT (lb)	201	103	Άτρακτος
EMB120	Embraer 120 ER/Pratt & Whitney PW118	Ελικοστρόβιλος	2	Μεγάλο	Εμπορικό	26 433	25 794	5 571	4 000	3	EPW118	CNT (lb)	213	109	Έλικας

▼M2

ACFTID	Περιγραφή	Τύπος κινητήρα	Αριθμός κινητήρων	Κατηγοριοποίηση βάρους	Κατηγορία ιδιοκτήτη	MGTOW (lb)	MGLW (lb)	Μέγιστη διαδρομή προσγείωσης (ft)	Μέγιστη στατική στη στάθμη της θάλασσας (lb)	Κεφάλαιο Θόρυβος	NPD_ID (Κατηγοριοποίηση βάσει θορύβου, ισχύος, απόστασης)	Παράμετροι ισχύος	Ηχοφασματική ανάλυση προσέγγισης αεροσκάφους	Ηχοφασματική ανάλυση αναχώρησης αεροσκάφους	Δείκτης εγκάρσιας εκπομπής θορύβου
EMB145	Embraer 145 ER/Allison AE3007	Αεριοστρόβιλος	2	Μεγάλο	Εμπορικό	45 420	41 230	4 232	7 500	3	AE3007	CNT (lb)	216	113	Άτρακτος
EMB14L	Embraer 145 LR/Allison AE3007A1	Αεριοστρόβιλος	2	Μεγάλο	Εμπορικό	48 500	42 550	4 232	7 500	3	AE3007	CNT (lb)	216	113	Άτρακτος
EMB170	Embraer ERJ170-100	Αεριοστρόβιλος	2	Μεγάλο	Εμπορικό	82 012	72 312	4 029	13 800	3	CF348E	CNT (lb)	216	113	Πτέρυγα
EMB175	Embraer ERJ170-200	Αεριοστρόβιλος	2	Μεγάλο	Εμπορικό	85 517	74 957	4 130	13 800	3	CF348E	CNT (lb)	216	113	Πτέρυγα
EMB190	Embraer ERJ190-100	Αεριοστρόβιλος	2	Μεγάλο	Εμπορικό	114 199	97 003	4 081	18 500	3	CF3410E	CNT (lb)	205	105	Πτέρυγα
EMB195	Embraer ERJ190-200	Αεριοστρόβιλος	2	Μεγάλο	Εμπορικό	115 280	100 972	4 183	18 500	3	CF3410E	CNT (lb)	205	105	Πτέρυγα
F10062	Fokker 100/TAY 620-15	Αεριοστρόβιλος	2	Μεγάλο	Εμπορικό	95 000	85 500	4 560	13 900	3	TAY620	CNT (lb)	201	101	Άτρακτος
F10065	Fokker 100/TAY 650-15	Αεριοστρόβιλος	2	Μεγάλο	Εμπορικό	98 000	88 000	4 704	15 100	3	TAY650	CNT (lb)	201	101	Άτρακτος
F28MK2	Fokker F-28-2000/ RB183MK555	Αεριοστρόβιλος	2	Μεγάλο	Εμπορικό	65 000	59 000	3 540	9 850	2	RB183	CNT (lb)	216	104	Άτρακτος
F28MK4	Fokker F-28-4000/ RB183MK555	Αεριοστρόβιλος	2	Μεγάλο	Εμπορικό	73 000	64 000	3 546	9 900	2	RB183P	CNT (lb)	216	104	Άτρακτος
FAL20	Dassault FALCON 20/CF700-2D-2	Αεριοστρόβιλος	2	Μεγάλο	Γενική αεροπορία	28 700	27 300	2 490	4 500	2	CF700	CNT (lb)	203	113	Άτρακτος
GII	Gulfstream GII/SPEY 511-8	Αεριοστρόβιλος	2	Μεγάλο	Γενική αεροπορία	64 800	58 500	3 200	11 400	2	SPEYHK	CNT (lb)	216	104	Άτρακτος
GIIB	Gulfstream GIIB/GIII — SPEY 511-8	Αεριοστρόβιλος	2	Μεγάλο	Γενική αεροπορία	69 700	58 500	3 250	11 400	2	SPEYHK	CNT (lb)	216	104	Άτρακτος

▼M2

ACFTID	Περιγραφή	Τύπος κινητήρα	Αριθμός κινητήρων	Κατηγοριοποίηση βάρους	Κατηγορία ιδιοκτήτη	MGTOW (lb)	MGLW (lb)	Μέγιστη διαδρομή προσγείωσης (ft)	Μέγιστη στατική στη στάθμη της θάλασσας (lb)	Κεφάλαιο Θόρυβος	NPD_ID (Κατηγοριοποίηση βάσει θορύβου, ισχύος, απόστασης)	Παράμετροι ισχύος	Ηχοφασματική ανάλυση προσέγγισης αεροσκάφους	Ηχοφασματική ανάλυση αναχώρησης αεροσκάφους	Δείκτης εγκάρσιας εκπομπής θορύβου
GIV	Gulfstream GIV-SP/TAY 611-8	Αεριοστρόβιλος	2	Μεγάλο	Γενική αεροπορία	74 600	66 000	3 190	13 850	3	TAYGIV	CNT (lb)	203	113	Άτρακτος
GV	Gulfstream GV/BR 710	Αεριοστρόβιλος	2	Μεγάλο	Γενική αεροπορία	90 500	75 300	2 760	14 750	3	BR710	CNT (lb)	205	105	Άτρακτος
HS748A	Hawker Siddeley HS-748/ DART MK532-2	Ελικοστρόβιλος	2	Μεγάλο	Εμπορικό	46 500	43 000	3 360	5 150	2	RDA532	CNT (% of Max Static Thrust)	212	110	Έλικας
IA1125	IAI-1125 ASTRA/TFE731-3A	Αεριοστρόβιλος	2	Μεγάλο	Γενική αεροπορία	23 500	20 700	3 689	3 700	3	TF7313	CNT (lb)	216	113	Άτρακτος
L1011	Lockheed Martin L-1011/ RB211-22B	Αεριοστρόβιλος	3	Βαρύ	Εμπορικό	430 000	358 000	5 693	42 000	3	RB2112	CNT (lb)	203	101	Πτέρυγα
L10115	Lockheed Martin L-1011-500/ RB211-224B	Αεριοστρόβιλος	3	Βαρύ	Εμπορικό	510 000	368 000	6 800	50 000	3	RB2112	CNT (lb)	203	101	Πτέρυγα
L188	Lockheed L-188C/ALL 501-D13	Ελικοστρόβιλος	4	Μεγάλο	Εμπορικό	116 000	98 100	4 960	8 000	0	T56A7	CNT (% of Max Static Thrust)	214	112	Έλικας
LEAR25	Learjet 25/CJ610-8	Αεριοστρόβιλος	2	Μεγάλο	Γενική αεροπορία	15 000	13 500	2 620	2 950	2	CJ610	CNT (lb)	202	113	Άτρακτος
LEAR35	Learjet 36/TFE731-2	Αεριοστρόβιλος	2	Μεγάλο	Γενική αεροπορία	18 300	15 300	3 076	3 500	3	TF7312	CNT (lb)	216	113	Άτρακτος
MD11GE	McDonnell Douglas MD-11/ CF6-80C2D1F	Αεριοστρόβιλος	3	Βαρύ	Εμπορικό	682 400	433 300	5 131	61 500	3	2CF68D	CNT (lb)	203	103	Πτέρυγα

▼M2

ACFTID	Περιγραφή	Τύπος κινητήρα	Αριθμός κινητήρων	Κατηγοριοποίηση βάρους	Κατηγορία ιδιοκτήτη	MGTOW (lb)	MGLW (lb)	Μέγιστη διαδρομή προσγείωσης (ft)	Μέγιστη στατική στη στάθμη της θάλασσας (lb)	Κεφάλαιο Θόρυβος	NPD_ID (Κατηγοριοποίηση βάσει θορύβου, ισχύος, απόστασης)	Παράμετροι ισχύος	Ηχοφασματική ανάλυση προσέγγισης αεροσκάφους	Ηχοφασματική ανάλυση αναχώρησης αεροσκάφους	Δείκτης εγκάρσιας εκπομπής θορύβου
MD11PW	McDonnell Douglas MD-11/PW 4460	Αεριοστρόβιλος	3	Βαρύ	Εμπορικό	682 400	433 300	4 681	60 000	3	PW4460	CNT (lb)	203	103	Πτέρυγα
MD81	McDonnell Douglas MD-81/JT8D-209	Αεριοστρόβιλος	2	Μεγάλο	Εμπορικό	140 000	128 000	4 860	19 300	3	2JT8D2	CNT (lb)	204	104	Άτρακτος
MD82	McDonnell Douglas MD-82/JT8D-217A	Αεριοστρόβιλος	2	Μεγάλο	Εμπορικό	149 500	130 000	4 920	20 900	3	2JT8D2	CNT (lb)	204	104	Άτρακτος
MD83	McDonnell Douglas MD-83/JT8D-219	Αεριοστρόβιλος	2	Μεγάλο	Εμπορικό	160 000	139 500	5 200	21 700	3	2JT8D2	CNT (lb)	204	104	Άτρακτος
MD9025	McDonnell Douglas MD-90/V2525-D5	Αεριοστρόβιλος	2	Μεγάλο	Εμπορικό	156 000	142 000	3 000	25 000	3	V2525	CNT (lb)	205	105	Άτρακτος
MD9028	McDonnell Douglas MD-90/V2528-D5	Αεριοστρόβιλος	2	Μεγάλο	Εμπορικό	156 000	142 000	3 000	28 000	3	V2525	CNT (lb)	205	105	Άτρακτος
MU3001	Mitsubishi MU300-10 Diamond II/JT15D-5	Αεριοστρόβιλος	2	Μεγάλο	Γενική αεροπορία	14 100	13 200	2 800	2 500	3	JT15D5	CNT (lb)	203	113	Άτρακτος
PA28	Piper Warrior PA-28-161/O-320-D3G	Ελικοφόρος	1	Μικρό	Γενική αεροπορία	2 325	2 325	1 695	400	0	O320D3	Other (RPM)	213	113	Έλικας
PA30	Piper Twin Comanche PA-30/IO-320-B1A	Ελικοφόρος	2	Μικρό	Γενική αεροπορία	3 600	3 600	1 654	777	0	IO320B	CNT (lb)	213	113	Έλικας
PA31	Piper Navajo Chieftain PA-31-350/TIO-5	Ελικοφόρος	2	Μικρό	Γενική αεροπορία	7 000	7 000	1 850	1 481	0	TIO542	Other (RPM)	213	109	Έλικας
PA42	Piper PA-42/PT6A-41	Ελικοστρόβιλος	2	Μικρό	Γενική αεροπορία	11 200	10 330	3 300	1 800	3	PT6A41	CNT (lb)	213	109	Έλικας

▼M2

ACFTID	Περιγραφή	Τύπος κινητήρα	Αριθμός κινητήρων	Κατηγοριοποίηση βάρους	Κατηγορία ιδιοκτήτη	MGTOW (lb)	MGLW (lb)	Μέγιστη διαδρομή προσγείωσης (ft)	Μέγιστη στατική στη στάθμη της θάλασσας (lb)	Κεφάλαιο Θόρυβος	NPD_ID (Κατηγοριοποίηση βάσει θορύβου, ισχύος, απόστασης)	Παράμετροι ισχύος	Ηχοφασματική ανάλυση προσέγγισης αεροσκάφους	Ηχοφασματική ανάλυση αναχώρησης αεροσκάφους	Δείκτης εγκάρσιας εκπομπής θορύβου
SABR80	NA Sabreliner 80	Αεριοστρόβιλος	2	Μεγάλο	Γενική αεροπορία	33 720	27 290	2 490	3 962	2	CF700	CNT (lb)	203	113	Άτρακτος
SD330	Short SD3-30/PT6A-45AR	Ελικοστρόβιλος	2	Μεγάλο	Εμπορικό	22 900	22 600	3 650	2 670	3	PT6A45	CNT (% of Max Static Thrust)	211	109	Έλικας
SF340	Saab SF340B/CT7-9B	Ελικοστρόβιλος	2	Μεγάλο	Εμπορικό	27 300	26 500	3 470	4 067	3	CT75	CNT (% of Max Static Thrust)	211	110	Έλικας

▼**M2**

Πίνακας Θ-6

Βάρη κατασκευαστή

ACFTID	Μήκος σταδίου	Βάρος (lb)
1900D	1	15 500
1900D	2	16 950
707	1	175 000
707	2	185 000
707	3	200 000
707	4	220 000
707	5	245 000
707	6	257 000
707120	1	175 000
707120	2	185 000
707120	3	200 000
707120	4	220 000
707120	5	245 000
707120	6	257 000
707320	1	214 000
707320	2	228 000
707320	3	240 000
707320	4	260 000
707320	5	286 000
707320	6	312 000
707320	7	330 000
707QN	1	214 000
707QN	2	228 000
707QN	3	240 000
707QN	4	260 000
707QN	5	286 000
707QN	6	312 000
707QN	7	330 000
717200	1	94 900
717200	2	99 700
717200	3	104 900
717200	4	110 400
717200	5	112 700
717200	6	121 000

▼**M2**

ACFTID	Μήκος σταδίου	Βάρος (lb)
720	1	145 000
720	2	155 000
720	3	165 000
720	4	180 000
720	5	190 000
720B	1	165 000
720B	2	175 000
720B	3	185 000
720B	4	200 000
720B	5	210 000
727100	1	136 000
727100	2	143 000
727100	3	150 000
727100	4	158 000
727200	1	152 000
727200	2	163 000
727200	3	174 000
727200	4	185 000
727D15	1	156 000
727D15	2	164 000
727D15	3	175 000
727D15	4	189 000
727D15	5	204 000
727D17	1	157 000
727D17	2	169 000
727D17	3	180 000
727D17	4	189 000
727EM1	1	136 000
727EM1	2	143 000
727EM1	3	150 000
727EM1	4	158 000
727EM2	1	156 000
727EM2	2	164 000
727EM2	3	175 000
727EM2	4	189 000
727EM2	5	204 000

▼**M2**

ACFTID	Μήκος σταδίου	Βάρος (lb)
727Q15	1	156 000
727Q15	2	164 000
727Q15	3	175 000
727Q15	4	189 000
727Q15	5	204 000
727Q7	1	136 000
727Q7	2	143 000
727Q7	3	150 000
727Q7	4	158 000
727Q9	1	156 000
727Q9	2	168 000
727Q9	3	180 000
727Q9	4	191 000
727QF	1	136 000
727QF	2	143 000
727QF	3	150 000
727QF	4	158 000
737	1	82 000
737	2	85 000
737	3	92 000
737	4	100 000
737300	1	108 800
737300	2	114 100
737300	3	119 900
737300	4	131 800
7373B2	1	108 800
7373B2	2	114 100
7373B2	3	119 900
7373B2	4	131 800
7373B2	M	139 500
737400	1	115 800
737400	2	121 400
737400	3	127 700
737400	4	138 200
737400	M	150 000
737500	1	103 400

▼**M2**

ACFTID	Μήκος σταδίου	Βάρος (lb)
737500	2	108 500
737500	3	114 100
737500	4	125 700
737500	5	126 900
737500	M	128 500
737700	1	120 000
737700	2	125 000
737700	3	130 300
737700	4	141 100
737700	5	154 400
737700	6	154 500
737800	1	133 300
737800	2	139 200
737800	3	145 500
737800	4	156 700
737800	5	167 600
737800	6	172 300
737D17	1	90 000
737D17	2	95 000
737D17	3	100 000
737D17	4	105 000
737N17	1	90 000
737N17	2	95 000
737N17	3	100 000
737N17	4	105 000
737N9	1	82 000
737N9	2	85 000
737N9	3	92 000
737N9	4	100 000
737QN	1	82 000
737QN	2	85 000
737QN	3	92 000
737QN	4	100 000
747100	1	475 000
747100	2	495 000
747100	3	520 000

▼**M2**

ACFTID	Μήκος σταδίου	Βάρος (lb)
747100	4	550 000
747100	5	625 000
747100	6	635 000
74710Q	1	475 000
74710Q	2	495 000
74710Q	3	520 000
74710Q	4	550 000
74710Q	5	625 000
74710Q	6	635 000
747200	1	525 000
747200	2	545 000
747200	3	565 000
747200	4	610 000
747200	5	665 000
747200	6	725 000
747200	7	775 000
74720A	1	475 000
74720A	2	500 000
74720A	3	520 000
74720A	4	560 000
74720A	5	610 000
74720A	6	675 000
74720A	7	725 000
74720B	1	525 000
74720B	2	545 000
74720B	3	565 000
74720B	4	610 000
74720B	5	665 000
74720B	6	725 000
74720B	7	775 000
747400	1	545 000
747400	2	563 800
747400	3	583 100
747400	4	621 500
747400	5	669 500
747400	6	720 900

▼**M2**

ACFTID	Μήκος σταδίου	Βάρος (lb)
747400	7	776 600
747400	8	836 200
747400	9	875 000
7478	1	671 100
7478	2	691 200
7478	3	713 300
7478	4	752 400
7478	5	801 000
7478	6	853 400
7478	7	909 300
7478	8	969 000
7478	9	987 000
747SP	1	400 000
747SP	2	422 000
747SP	3	443 000
747SP	4	475 000
747SP	5	518 000
747SP	6	560 000
747SP	7	625 000
757300	1	203 900
757300	2	212 700
757300	3	222 100
757300	4	239 100
757300	5	260 700
757300	6	269 400
757PW	1	183 200
757PW	2	190 000
757PW	3	197 500
757PW	4	212 600
757PW	5	230 900
757PW	6	243 200
757PW	7	255 000
757RR	1	183 900
757RR	2	191 200
757RR	3	199 100
757RR	4	215 200

▼**M2**

ACFTID	Μήκος σταδίου	Βάρος (lb)
757RR	5	234 800
757RR	6	243 200
757RR	7	255 000
767300	1	265 000
767300	2	275 500
767300	3	286 400
767300	4	305 700
767300	5	330 000
767300	6	355 900
767300	7	367 700
767400	1	288 818
767400	2	299 037
767400	3	310 125
767400	4	329 861
767400	5	354 427
767400	6	380 906
767400	7	422 420
767CF6	1	227 000
767CF6	2	236 000
767CF6	3	245 300
767CF6	4	261 400
767CF6	5	281 600
767CF6	6	303 300
767CF6	7	315 500
767JT9	1	228 500
767JT9	2	237 600
767JT9	3	247 000
767JT9	4	263 600
767JT9	5	284 600
767JT9	6	306 900
767JT9	7	317 100
777200	1	429 900
777200	2	442 400
777200	3	456 100
777200	4	483 100
777200	5	516 400

▼**M2**

ACFTID	Μήκος σταδίου	Βάρος (lb)
777200	6	551 700
777200	7	589 400
777200	8	629 500
777200	9	656 000
777300	1	435 100
777300	2	449 700
777300	3	465 300
777300	4	493 100
777300	5	527 700
777300	6	564 500
777300	7	636 100
7773ER	1	503 600
7773ER	2	519 100
7773ER	3	536 100
7773ER	4	565 800
7773ER	5	602 700
7773ER	6	642 600
7773ER	7	684 500
7773ER	8	728 900
7773ER	9	775 000
7878R	1	343 400
7878R	2	353 200
7878R	3	363 900
7878R	4	382 600
7878R	5	405 700
7878R	6	430 100
7878R	7	455 900
7878R	8	483 600
7878R	9	502 500
A300-622R	1	278 700
A300-622R	2	290 300
A300-622R	3	302 400
A300-622R	4	324 100
A300-622R	5	353 300
A300-622R	6	378 500
A300B4-203	1	262 000

▼**M2**

ACFTID	Μήκος σταδίου	Βάρος (lb)
A300B4-203	2	280 000
A300B4-203	3	295 000
A300B4-203	4	324 000
A300B4-203	5	357 000
A310-304	1	243 300
A310-304	2	253 000
A310-304	3	262 900
A310-304	4	280 700
A310-304	5	304 400
A310-304	6	346 100
A319-131	1	125 900
A319-131	2	131 000
A319-131	3	136 500
A319-131	4	146 100
A319-131	5	166 400
A320-211	1	133 400
A320-211	2	139 200
A320-211	3	145 200
A320-211	4	155 900
A320-211	5	169 800
A320-232	1	132 900
A320-232	2	138 500
A320-232	3	144 200
A320-232	4	154 300
A320-232	5	172 000
A321-232	1	156 800
A321-232	2	163 300
A321-232	3	170 000
A321-232	4	182 100
A321-232	5	206 100
A330-301	1	367 000
A330-301	2	378 500
A330-301	3	390 500
A330-301	4	411 700
A330-301	5	439 200
A330-301	6	469 100

▼**M2**

ACFTID	Μήκος σταδίου	Βάρος (lb)
A330-301	7	478 400
A330-343	1	369 200
A330-343	2	380 800
A330-343	3	392 900
A330-343	4	414 300
A330-343	5	441 900
A330-343	6	472 000
A330-343	7	513 700
A340-211	1	369 500
A340-211	2	381 600
A340-211	3	394 100
A340-211	4	416 600
A340-211	5	446 000
A340-211	6	477 600
A340-211	7	573 200
A340-642	1	524 100
A340-642	2	540 700
A340-642	3	557 800
A340-642	4	588 000
A340-642	5	628 600
A340-642	6	671 300
A340-642	7	811 300
A380-841	1	799 160
A380-841	2	822 921
A380-841	3	847 265
A380-841	4	890 164
A380-841	5	945 893
A380-841	6	1 006 106
A380-841	7	1 066 266
A380-841	8	1 254 430
A380-861	1	798 928
A380-861	2	822 613
A380-861	3	846 941
A380-861	4	889 750
A380-861	5	943 737
A380-861	6	1 003 582

▼**M2**

ACFTID	Μήκος σταδίου	Βάρος (lb)
A380-861	7	1 066 266
A380-861	8	1 254 430
BAC111	1	74 000
BAC111	2	79 000
BAC111	3	85 000
BAE146	1	76 000
BAE146	2	84 000
BAE146	3	91 000
BAE300	1	80 000
BAE300	2	88 000
BAE300	3	96 000
BEC58P	1	5 500
CIT3	1	20 000
CL600	1	36 000
CL601	1	43 100
CNA172	1	2 450
CNA182	1	2 800
CNA206	1	3 000
CNA206	2	3 300
CNA206	3	3 600
CNA208	1	8 750
CNA20T	1	3 000
CNA20T	2	3 300
CNA20T	3	3 600
CNA441	1	9 850
CNA500	1	14 700
CNA510	1	8 645
CNA525C	1	16 950
CNA55B	1	14 800
CNA560E	1	16 300
CNA560U	1	16 300
CNA560XL	1	20 000
CNA680	1	30 000
CNA750	1	35 700
CONCRD	1	340 000
CONCRD	2	340 000

▼**M2**

ACFTID	Μήκος σταδίου	Βάρος (lb)
CONCRD	3	375 000
CONCRD	4	375 000
CONCRD	5	400 000
CONCRD	6	400 000
CRJ9-ER	1	67 500
CRJ9-ER	2	71 000
CRJ9-ER	3	75 000
CRJ9-ER	4	80 000
CRJ9-ER	5	82 500
CRJ9-LR	1	65 500
CRJ9-LR	2	69 000
CRJ9-LR	3	73 000
CRJ9-LR	4	78 000
CRJ9-LR	5	84 500
CVR580	1	49 000
CVR580	2	54 000
CVR580	3	58 000
DC1010	1	325 000
DC1010	2	340 000
DC1010	3	360 000
DC1010	4	390 000
DC1010	5	420 000
DC1010	6	450 000
DC1030	1	375 000
DC1030	2	390 000
DC1030	3	405 000
DC1030	4	436 000
DC1030	5	476 000
DC1030	6	517 000
DC1030	7	561 000
DC1040	1	364 000
DC1040	2	379 000
DC1040	3	393 000
DC1040	4	423 000
DC1040	5	462 000
DC1040	6	502 000

▼**M2**

ACFTID	Μήκος σταδίου	Βάρος (lb)
DC1040	7	544 000
DC3	1	24 000
DC3	2	26 000
DC3	3	28 000
DC6	1	85 000
DC6	2	95 000
DC6	3	105 000
DC820	1	180 000
DC820	2	190 000
DC820	3	205 000
DC820	4	225 000
DC820	5	250 000
DC820	6	270 000
DC850	1	185 000
DC850	2	195 000
DC850	3	210 000
DC850	4	230 000
DC850	5	255 000
DC850	6	275 000
DC860	1	220 000
DC860	2	230 000
DC860	3	245 000
DC860	4	265 000
DC860	5	290 000
DC860	6	305 000
DC860	7	325 000
DC870	1	220 000
DC870	2	230 000
DC870	3	245 000
DC870	4	265 000
DC870	5	290 000
DC870	6	305 000
DC870	7	325 000
DC8QN	1	220 000
DC8QN	2	230 000
DC8QN	3	245 000

▼**M2**

ACFTID	Μήκος σταδίου	Βάρος (lb)
DC8QN	4	265 000
DC8QN	5	290 000
DC8QN	6	305 000
DC8QN	7	325 000
DC910	1	70 000
DC910	2	78 000
DC910	3	85 000
DC930	1	93 500
DC930	2	103 000
DC930	3	112 000
DC93LW	1	93 500
DC93LW	2	103 000
DC93LW	3	112 000
DC950	1	100 000
DC950	2	107 000
DC950	3	115 000
DC95HW	1	100 000
DC95HW	2	107 000
DC95HW	3	115 000
DC9Q7	1	70 000
DC9Q7	2	78 000
DC9Q7	3	85 000
DC9Q9	1	93 500
DC9Q9	2	103 000
DC9Q9	3	112 000
DHC6	1	12 500
DHC6QP	1	12 500
DHC7	1	38 950
DHC8	1	31 000
DHC830	1	38 700
DO228	1	13 669
DO328	1	30 843
ECLIPSE500	1	5 500
ECLIPSE500	2	5 891
ECLIPSE500	3	6 000
EMB120	1	22 475

▼**M2**

ACFTID	Μήκος σταδίου	Βάρος (lb)
EMB145	1	35 500
EMB145	2	39 500
EMB145	3	41 800
EMB145	4	44 000
EMB14L	1	35 275
EMB14L	2	39 675
EMB14L	3	41 900
EMB14L	4	44 100
EMB14L	5	46 300
EMB14L	6	48 500
EMB170	1	63 070
EMB170	2	66 599
EMB170	3	70 484
EMB175	1	65 698
EMB175	2	69 459
EMB175	3	73 518
EMB190	1	83 520
EMB190	2	87 757
EMB190	3	92 363
EMB190	4	100 656
EMB195	1	87 096
EMB195	2	91 558
EMB195	3	96 388
EMB195	4	105 138
F10062	1	78 000
F10062	2	86 000
F10062	3	93 000
F10065	1	80 000
F10065	2	88 000
F10065	3	96 000
F28MK2	1	58 000
F28MK2	2	64 000
F28MK4	1	61 000
F28MK4	2	66 000
F28MK4	3	73 000

▼**M2**

ACFTID	Μήκος σταδίου	Βάρος (lb)
FAL20	1	28 660
GII	1	56 000
GIIB	1	59 245
GIV	1	63 410
GV	1	76 925
HS748A	1	46 500
IA1125	1	23 500
L1011	1	330 000
L1011	2	340 000
L1011	3	355 000
L1011	4	370 000
L1011	5	400 000
L1011	6	430 000
L10115	1	345 000
L10115	2	355 000
L10115	3	370 000
L10115	4	385 000
L10115	5	413 000
L10115	6	441 000
L10115	7	470 000
L188	1	93 000
L188	2	102 000
L188	3	115 000
LEAR25	1	15 000
LEAR35	1	18 300
MD11GE	1	395 000
MD11GE	2	410 000
MD11GE	3	425 000
MD11GE	4	460 000
MD11GE	5	495 000
MD11GE	6	535 000
MD11GE	7	580 000
MD11PW	1	395 000
MD11PW	2	410 000
MD11PW	3	425 000
MD11PW	4	460 000
MD11PW	5	495 000

▼**M2**

ACFTID	Μήκος σταδίου	Βάρος (lb)
MD11PW	6	535 000
MD11PW	7	580 000
MD81	1	120 680
MD81	2	127 804
MD81	3	135 134
MD81	4	140 000
MD82	1	120 383
MD82	2	127 379
MD82	3	134 584
MD82	4	145 838
MD82	5	149 500
MD83	1	121 555
MD83	2	128 361
MD83	3	135 456
MD83	4	147 079
MD83	5	160 000
MD9025	1	131 021
MD9025	2	137 490
MD9025	3	144 181
MD9025	4	151 107
MD9025	5	156 000
MD9028	1	131 021
MD9028	2	137 490
MD9028	3	144 181
MD9028	4	151 107
MD9028	5	156 000
MU3001	1	14 100
PA28	1	2 325
PA30	1	3 600
PA31	1	7 000
PA42	1	11 200
SABR80	1	28 660
SD330	1	21 800
SF340	1	24 548
SF340	2	27 275

▼M2

Πίνακας Θ-7

Συντελεστές αεριοστροβιλοκινητήρων

ACFTID	Μέγεθος ώσης	E (lb)	F (lb/kt)	Ga (lb/ft)	Gb (lb/ft^2)	H (lb/ °C)	K1 (lb/EPR)	K2 (lb/EPR^2)	K3 (lb/(N1/√θ))	K4 (lb/(N1/√θ)^2)
1900D	Μέγιστη ώση ανόδου	2 548,8	– 6,7075	– 0,014	0	– 0,72				
1900D	Μέγιστη ώση απογείωσης	3 374,6	– 9,6869	– 0,0046	0	– 0,504				
707320	Γενική ώση	– 25 447,4	– 6,79039	– 0,01775	0	0	33 299,8	– 5 817		
707320	Μέγιστη ώση ανόδου	15 943,8	– 13,9584	0,1672	5,7074E-06	0				
707320	Μέγιστη ώση απογείωσης	18 044,7	– 15,7976	0,1893	6,4595E-06	0				
707QN	Γενική ώση	– 25 447,4	– 6,79039	– 0,01775	0	0	33 299,8	– 5 817		
707QN	Μέγιστη ώση ανόδου	15 943,8	– 13,9584	0,1672	5,7074E-06	0				
707QN	Μέγιστη ώση απογείωσης	18 044,7	– 15,7976	0,1893	6,4595E-06	0				
717200	Μέγιστη ώση ανόδου	15 541,5	– 17,8282	0,253495	0	0				
717200	Ανώτατη θερμοκρασία μέγιστης ώσης ανόδου	22 232	– 18,025	– 0,201	0	– 218				
717200	Μέγιστη ώση απογείωσης	17 542,7	– 19,588	0,234981	0	0				
717200	Ανώτατη θερμοκρασία μέγιστης ώσης απογείωσης	22 280,7	– 19,819	– 0,097	0	– 154,5				
720B	Γενική ώση	– 27 419,9	– 5,81791	– 0,01175	0	0	35 654,5	– 6 560,9		
720B	Μέγιστη ώση ανόδου	14 540,1	– 13,4149	0,121548	1,78264E-06	0				

▼M2

ACFTID	Μέγεθος ώσης	E (lb)	F (lb/kt)	Ga (lb/ft)	Gb (lb/ft^2)	H (lb/ °C)	K1 (lb/EPR)	K2 (lb/EPR^2)	K3 (lb/(N1/√θ))	K4 (lb/(N1/√θ)^2)
720B	Μέγιστη ώση απογείωσης	16 768,6	– 15,471	0,140178	2,0559E-06	0				
727100	Γενική ώση	– 14 205,5	– 4,53212	0	0	0	16 602,8	– 1 403,02		
727100	Μέγιστη ώση ανόδου	12 029,2	– 7,99864	– 0,05203	5,44617E-06	0				
727100	Μέγιστη ώση απογείωσης	13 218,9	– 8,78972	– 0,05717	5,9848E-06	0				
727D15	Γενική ώση	– 14 773,7	– 5,09534	0	0	0	17 717,3	– 1 845,07		
727D15	Μέγιστη ώση ανόδου	14 249,6	– 8,103	– 0,0436	0	– 103				
727D15	Μέγιστη ώση απογείωσης	14 935,3	– 7,459	0,3337	0	– 14,78				
727D15	Ανώτατη θερμοκρασία μέγιστης ώσης απογείωσης	15 524,3	– 7,066	0	0	– 32,38				
727D17	Γενική ώση	– 14 773,7	– 5,09534	0	0	0	17 717,3	– 1 845,07		
727D17	Μέγιστη ώση ανόδου	13 812,7	– 7,52948	0,207702	– 0,000025939	0				
727D17	Μέγιστη ώση απογείωσης	15 519,8	– 8,46009	0,233373	– 0,000029145	0				
727EM1	Μέγιστη ώση ανόδου	12 029,2	– 7,99864	– 0,05203	5,44617E-06	0				
727EM1	Μέγιστη ώση απογείωσης	13 218,9	– 8,78972	– 0,05717	5,9848E-06	0				
727EM2	Γενική ώση	– 14 773,7	– 5,09534	0	0	0	17 717,3	– 1 845,07		
727EM2	Μέγιστη ώση ανόδου	14 249,6	– 8,103	– 0,0436	0	– 103				
727EM2	Μέγιστη ώση απογείωσης	14 935,3	– 7,459	0,3337	0	– 14,78				
727EM2	Ανώτατη θερμοκρασία μέγιστης ώσης απογείωσης	15 524,3	– 7,066	0	0	– 32,38				

▼M2

ACFTID	Μέγεθος ώσης	E (lb)	F (lb/kt)	Ga (lb/ft)	Gb (lb/ft^2)	H (lb/ °C)	K1 (lb/EPR)	K2 (lb/EPR^2)	K3 (lb/(N1/√θ))	K4 (lb/(N1/√θ)^2)
727Q15	Γενική ώση	– 14 773,7	– 5,09534	0	0	0	17 717,3	– 1 845,07		
727Q15	Μέγιστη ώση ανόδου	14 249,6	– 8,103	– 0,0436	0	– 103				
727Q15	Μέγιστη ώση απογείωσης	14 935,3	– 7,459	0,3337	0	– 14,78				
727Q15	Ανώτατη θερμοκρασία μέγιστης ώσης απογείωσης	15 524,3	– 7,066	0	0	– 32,38				
727Q7	Γενική ώση	– 14 205,5	– 4,53212	0	0	0	16 602,8	– 1 403,02		
727Q7	Μέγιστη ώση ανόδου	12 029,2	– 7,99864	– 0,05203	5,44617E-06	0				
727Q7	Μέγιστη ώση απογείωσης	13 218,9	– 8,78972	– 0,05717	5,9848E-06	0				
727Q9	Γενική ώση	– 14 095,4	– 4,77532	0	0	0	16 666,2	– 1 490,42		
727Q9	Μέγιστη ώση ανόδου	12 746,2	– 8,11613	– 0,00049	– 4,53384E-06	0				
727Q9	Μέγιστη ώση απογείωσης	13 705,6	– 8,72702	– 0,00053	– 4,8751E-06	0				
727QF	Γενική ώση	– 10 908	– 23,3571	– 0,0723	– 0,00000138	0	10 929,8	2 380,86		
727QF	Μέγιστη ώση ανόδου	11 266	– 9,335	0,169297	– 4,70391E-06	0				
727QF	Ανώτατη θερμοκρασία μέγιστης ώσης ανόδου	13 966	– 9,335	0	0	– 90				
727QF	Ανώτατη θερμοκρασία συνεχούς μέγιστης ώσης	14 687	– 9,335	0	0	– 90				
727QF	Συνεχής μέγιστη ώση	11 987	– 9,335	0,158001	– 4,70391E-06	0				
727QF	Μέγιστη ώση απογείωσης	14 100	– 12,25	0,1495	– 0,00001175	0				

▼M2

ACFTID	Μέγεθος ώσης	E (lb)	F (lb/kt)	Ga (lb/ft)	Gb (lb/ft^2)	H (lb/ °C)	K1 (lb/EPR)	K2 (lb/EPR^2)	K3 (lb/(N1/√θ))	K4 (lb/(N1/√θ)^2)
727QF	Ανώτατη θερμοκρασία μέγιστης ώσης απογείωσης	16 800	– 12,25	0	0	– 90				
737	Γενική ώση	– 14 095,4	– 4,77532	0	0	0	16 666,2	– 1 490,42		
737	Μέγιστη ώση ανόδου	12 740,1	– 7,93589	– 0,02662	– 4,2762E-07	0				
737	Μέγιστη ώση απογείωσης	13 847,9	– 8,62596	– 0,02894	– 4,648E-07	0				
737300	Γενική ώση	11 106	– 10,09	– 0,0409	0	0			– 369,8	4,835
737300	Μέγιστη ώση ανόδου	17 383,1	– 15,6072	0,148043	– 0,000001	– 24,2				
737300	Ανώτατη θερμοκρασία μέγιστης ώσης ανόδου	20 363,9	– 17,0452	– 0,06578	– 0,000001	– 119				
737300	Μέγιστη ώση απογείωσης	19 347	– 25,8689	0,456499	– 0,0000112	– 14,78				
737300	Ανώτατη θερμοκρασία μέγιστης ώσης απογείωσης	21 143,7	– 26,2402	0,398451	– 0,000014	– 79,95				
7373B2	Γενική ώση	11 106	– 10,09	– 0,0409	0	0			– 369,8	4,835
7373B2	Μέγιστη ώση ανόδου	18 623,5	– 16,4797	0,169674	0	– 9,126				
7373B2	Ανώτατη θερμοκρασία μέγιστης ώσης ανόδου	21 906,6	– 17,4327	– 0,07536	0	– 132,5				
7373B2	Μέγιστη ώση απογείωσης	21 480,7	– 25,888	0,225791	0	– 8,441				
7373B2	Ανώτατη θερμοκρασία μέγιστης ώσης απογείωσης	25 393,2	– 25,7175	– 0,0246	0	– 141,3				
737400	Γενική ώση	21 384	– 13,79	– 0,0435	0	0			– 615,8	6,409

▼M2

ACFTID	Μέγεθος ώσης	E (lb)	F (lb/kt)	Ga (lb/ft)	Gb (lb/ft^2)	H (lb/ °C)	K1 (lb/EPR)	K2 (lb/EPR^2)	K3 (lb/(N1/√θ))	K4 (lb/(N1/√θ)^2)
737400	Μέγιστη ώση ανόδου	19 662,2	– 18,221	0,207237	0	0				
737400	Ανώτατη θερμοκρασία μέγιστης ώσης ανόδου	22 875,1	– 18,001	– 0,07615	0	– 124,7				
737400	Μέγιστη ώση απογείωσης	22 116,3	– 26,0175	0,259442	0	0				
737400	Ανώτατη θερμοκρασία μέγιστης ώσης απογείωσης	26 883,2	– 26,1707	– 0,04324	0	– 159,7				
737500	Γενική ώση	11 106	– 10,09	0,0409	0	0			– 369,8	4,835
737500	Μέγιστη ώση ανόδου	17 530,9	– 16,3556	0,153997	– 0,0000013	– 23,39				
737500	Ανώτατη θερμοκρασία μέγιστης ώσης ανόδου	20 510,5	– 17,1336	– 0,07687	– 0,0000004	– 122,3				
737500	Μέγιστη ώση απογείωσης	19 629,4	– 26,7504	0,550433	– 0,0000217	– 7,999				
737500	Ανώτατη θερμοκρασία μέγιστης ώσης απογείωσης	22 636,2	– 28,0937	0,225263	0,0000409	– 105,6				
737700	Μέγιστη ώση ανόδου	22 106,7	– 23,7147	0,165546	0,0000065	0				
737700	Ανώτατη θερμοκρασία μέγιστης ώσης ανόδου	29 618,1	– 24,596	– 0,273	0	– 249,1				
737700	Μέγιστη ώση απογείωσης	23 534,8	– 29,3547	0,308407	0	0				
737700	Ανώτατη θερμοκρασία μέγιστης ώσης απογείωσης	29 335,5	– 28,632	– 0,105	0	– 195,6				
737800	Μέγιστη ώση ανόδου	22 403,5	– 27,2645	0,305603	0	0				

▼M2

ACFTID	Μέγεθος ώσης	E (lb)	F (lb/kt)	Ga (lb/ft)	Gb (lb/ft^2)	H (lb/ °C)	K1 (lb/EPR)	K2 (lb/EPR^2)	K3 (lb/(N1/√θ))	K4 (lb/(N1/√θ)^2)
737800	Ανώτατη θερμοκρασία μέγιστης ώσης ανόδου	26 593,3	– 26,293	– 0,078	0	– 174,4				
737800	Μέγιστη ώση απογείωσης	26 089,1	– 29,1098	0,143559	0	0				
737800	Ανώτατη θερμοκρασία μέγιστης ώσης απογείωσης	30 143,2	– 29,773	– 0,029	0	– 145,2				
737D17	Γενική ώση	– 14 773,7	– 5,09534	0	0	0	17 717,3	– 1 845,07		
737D17	Μέγιστη ώση ανόδου	13 083,2	– 7,13185	0,196733	– 0,000024569	0				
737D17	Μέγιστη ώση απογείωσης	15 519,8	– 8,46009	0,233373	– 0,000029145	0				
737N17	Γενική ώση	– 14 773,7	– 5,09534	0	0	0	17 717,3	– 1 845,07		
737N17	Μέγιστη ώση ανόδου	13 083,2	– 7,13185	0,196733	– 0,000024569	0				
737N17	Μέγιστη ώση απογείωσης	15 519,8	– 8,46009	0,233373	– 0,000029145	0				
737N9	Γενική ώση	– 14 095,4	– 4,77532	0	0	0	16 666,2	– 1 490,42		
737N9	Μέγιστη ώση ανόδου	12 740,1	– 7,93589	– 0,02662	– 4,2762E-07	0				
737N9	Μέγιστη ώση απογείωσης	13 847,9	– 8,62596	– 0,02894	– 4,648E-07	0				
737QN	Γενική ώση	– 14 095,4	– 4,77532	0	0	0	16 666,2	– 1 490,42		
737QN	Μέγιστη ώση ανόδου	12 740,1	– 7,93589	– 0,02662	– 4,2762E-07	0				
737QN	Μέγιστη ώση απογείωσης	13 847,9	– 8,62596	– 0,02894	– 4,648E-07	0				
74710Q	Γενική ώση	– 141 079	– 11,7298	– 0,02833	0	0	201 105	– 53 843		
74710Q	Μέγιστη ώση ανόδου	36 791,4	– 43,5074	0,3004	– 0,0000092	0				

▼M2

ACFTID	Μέγεθος ώσης	E (lb)	F (lb/kt)	Ga (lb/ft)	Gb (lb/ft^2)	H (lb/ °C)	K1 (lb/EPR)	K2 (lb/EPR^2)	K3 (lb/(N1/√θ))	K4 (lb/(N1/√θ)^2)
74710Q	Μέγιστη ώση απογείωσης	42 780,7	– 50,59	0,349279	– 0,000010697	0				
747200	Γενική ώση	– 141 079	– 11,7298	– 0,02833	0	0	201 105	– 53 843		
747200	Μέγιστη ώση ανόδου	36 791,4	– 43,5074	0,3004	– 0,0000092	0				
747200	Μέγιστη ώση απογείωσης	42 780,7	– 50,59	0,349279	– 0,000010697	0				
74720A	Γενική ώση	– 32 370	– 7,83	– 0,02105	0	0	47 590	0		
74720A	Μέγιστη ώση ανόδου	34 860	– 35	0,4962	0	0				
74720A	Μέγιστη ώση απογείωσης	40 870	– 40,11	0,4435	0	0				
74720B	Γενική ώση	– 28 110	– 10,05	– 0,03543	0	0	46 375	0		
74720B	Μέγιστη ώση ανόδου	39 594	– 38,08	0,5262	0	0				
74720B	Μέγιστη ώση απογείωσης	48 866	– 43,68	0,6641	0	0				
747400	Γενική ώση	– 49 250	0	0	0	0	62 210	0		
747400	Μέγιστη ώση ανόδου	44 157,4	– 42,6142	0,635772	0	0				
747400	Ανώτατη θερμοκρασία μέγιστης ώσης ανόδου	56 826,2	– 45,4912	– 0,20856	0	– 392,3				
747400	Μέγιστη ώση απογείωσης	53 290,5	– 53,434	0,606283	0	0				
747400	Ανώτατη θερμοκρασία μέγιστης ώσης απογείωσης	66 921,4	– 54,5627	– 0,1278	0	– 410,2				
7478	Ώση βραδείας λειτουργίας κατά την προσέγγιση	5 920	– 19,02	0,225	0	0				
7478	Μέγιστη ώση ανόδου	50 523	– 39,8663	0,842437	– 0,000015	0				

▼M2

ACFTID	Μέγεθος ώσης	E (lb)	F (lb/kt)	Ga (lb/ft)	Gb (lb/ft^2)	H (lb/ °C)	K1 (lb/EPR)	K2 (lb/EPR^2)	K3 (lb/(N1/√θ))	K4 (lb/(N1/√θ)^2)
7478	Ανώτατη θερμοκρασία μέγιστης ώσης ανόδου	56 739,2	– 27,469	– 0,1411	– 0,000015	– 343,137				
7478	Μέγιστη ώση απογείωσης	64 247,2	– 66,0662	0,481932	0,000004	0				
7478	Ανώτατη θερμοκρασία μέγιστης ώσης απογείωσης	80 923,7	– 71,3162	– 0,30655	– 0,00001	– 520,464				
747SP	Γενική ώση	– 141 079	– 11,7298	– 0,02833	0	0	201 105	– 53 843		
747SP	Μέγιστη ώση ανόδου	36 791,4	– 43,5074	0,3004	– 0,0000092	0				
747SP	Μέγιστη ώση απογείωσης	42 780,7	– 50,59	0,349279	– 0,000010697	0				
757300	Μέγιστη ώση ανόδου	29 549,2	– 30,6086	0,398179	0	0				
757300	Ανώτατη θερμοκρασία μέγιστης ώσης ανόδου	36 157	– 30,9643	– 0,16465	0	– 250,7				
757300	Μέγιστη ώση απογείωσης	40 175,5	– 35,323	– 0,11328	0	0				
757300	Ανώτατη θερμοκρασία μέγιστης ώσης απογείωσης	46 892,4	– 35,6127	– 0,53031	0	– 241,7				
757PW	Γενική ώση	– 44 951	– 0,83	0,0198	0	0	52 972	0		
757PW	Μέγιστη ώση ανόδου	27 775,1	– 27,6876	0,381725	0	0				
757PW	Ανώτατη θερμοκρασία μέγιστης ώσης ανόδου	34 748,3	– 29,9467	– 0,16641	0	– 250,7				
757PW	Μέγιστη ώση απογείωσης	36 214,8	– 48,2704	0,908044	0	0				
757PW	Ανώτατη θερμοκρασία μέγιστης ώσης απογείωσης	45 592,5	– 49,7383	0,213208	0	– 290,6				

▼M2

ACFTID	Μέγεθος ώσης	E (lb)	F (lb/kt)	Ga (lb/ft)	Gb (lb/ft^2)	H (lb/ °C)	K1 (lb/EPR)	K2 (lb/EPR^2)	K3 (lb/(N1/√θ))	K4 (lb/(N1/√θ)^2)
757RR	Γενική ώση	– 44 907	– 21,97	– 0,0589	0	0	46 999	0		
757RR	Μέγιστη ώση ανόδου	30 065,2	– 32,4779	0,397321	0	0				
757RR	Ανώτατη θερμοκρασία μέγιστης ώσης ανόδου	36 735,1	– 32,445	– 0,16871	0	– 258,4				
757RR	Μέγιστη ώση απογείωσης	37 802,1	– 38,2839	0,527181	0	0				
757RR	Ανώτατη θερμοκρασία μέγιστης ώσης απογείωσης	45 336,5	– 39,1302	– 0,00514	0	– 257,4				
767300	Γενική ώση	– 49 250	0	0	0	0	62 210	0		
767300	Μέγιστη ώση ανόδου	45 480	– 41,9	0,559	0	0				
767300	Μέγιστη ώση απογείωσης	56 370	– 53	0,251	0	0				
767400	Μέγιστη ώση ανόδου	45 902,7	– 39,5895	0,633446	0	0				
767400	Ανώτατη θερμοκρασία μέγιστης ώσης ανόδου	63 647,5	– 41,082	– 0,55	0	– 562,3				
767400	Μέγιστη ώση απογείωσης	60 475,4	– 56,8041	0,478788	0	0				
767400	Ανώτατη θερμοκρασία μέγιστης ώσης απογείωσης	72 425,5	– 55,569	– 0,236	0	– 416,2				
767CF6	Γενική ώση	62 790	– 35,03	– 0,1177	0	0			– 1 610,37	14
767CF6	Μέγιστη ώση ανόδου	38 057	– 43,24	0,705	0	0				
767CF6	Μέγιστη ώση απογείωσης	44 769	– 48,34	0,5	0	0				
767JT9	Γενική ώση	– 39 777	– 17,367	– 0,0467	0	0	56 550	0		

▼M2

ACFTID	Μέγεθος ώσης	E (lb)	F (lb/kt)	Ga (lb/ft)	Gb (lb/ft^2)	H (lb/ °C)	K1 (lb/EPR)	K2 (lb/EPR^2)	K3 (lb/(N1/√θ))	K4 (lb/(N1/√θ)^2)
767JT9	Μέγιστη ώση ανόδου	38 700	– 34,5	0,49	0	0				
767JT9	Μέγιστη ώση απογείωσης	43 190	– 38,3	0,876	0	0				
777200	Γενική ώση	32 710	0	0	0	0			– 1 258	16,16
777200	Μέγιστη ώση ανόδου	67 093,7	– 85,7553	1,8498	– 0,000076	0				
777200	Ανώτατη θερμοκρασία μέγιστης ώσης ανόδου	82 096,7	– 72,2859	– 0,32818	– 0,0000179	– 637				
777200	Μέγιστη ώση απογείωσης	93 672,6	– 122,251	1,1818	– 0,0000806	0				
777200	Ανώτατη θερμοκρασία μέγιστης ώσης απογείωσης	114 758,6	– 125,38	– 0,159	– 0,0000261	– 702,4				
777300	Μέγιστη ώση ανόδου	64 636,2	– 70,833	0,880073	0	0				
777300	Ανώτατη θερμοκρασία μέγιστης ώσης ανόδου	90 015,1	– 70,745	– 0,852	0	– 823				
777300	Μέγιστη ώση απογείωσης	87 833,8	– 97,7894	0,27543	0	0				
777300	Ανώτατη θερμοκρασία μέγιστης ώσης απογείωσης	103 835,2	– 97,831	– 0,632	0	– 549,1				
7773ER	Ώση βραδείας λειτουργίας κατά την προσέγγιση	8 950	– 27,25	0,131	0	0				
7773ER	Μέγιστη ώση ανόδου	92 110	– 119	1,14	– 0,000007	0				
7773ER	Ανώτατη θερμοκρασία μέγιστης ώσης ανόδου	96 550	– 69,4	– 0,542	– 0,00005	– 533				
7773ER	Μέγιστη ώση απογείωσης	112 250	– 120	0,713	– 0,00011	0				

▼M2

ACFTID	Μέγεθος ώσης	E (lb)	F (lb/kt)	Ga (lb/ft)	Gb (lb/ft^2)	H (lb/ °C)	K1 (lb/EPR)	K2 (lb/EPR^2)	K3 (lb/(N1/√θ))	K4 (lb/(N1/√θ)^2)
7878R	Ώση βραδείας λειτουργίας κατά την προσέγγιση	3 425	– 12,03	0,0955	0	0				
7878R	Μέγιστη ώση ανόδου	61 142,6	– 78,8116	1,219801	– 0,000039	0				
7878R	Ανώτατη θερμοκρασία μέγιστης ώσης ανόδου	65 000	– 55	0,1	– 0,00002	– 404,274				
7878R	Μέγιστη ώση απογείωσης	71 214,6	– 93,4796	0,652462	0,000002	0				
7878R	Ανώτατη θερμοκρασία μέγιστης ώσης απογείωσης	86 784,2	– 92	– 0,27021	– 0,00001	– 520,488				
A300-622R	Γενική ώση	– 148 952	– 6,71	– 0,03	0	0	203 740	– 50 104,7		
A300-622R	Ώση βραδείας λειτουργίας κατά την προσέγγιση	8 432,8	– 47,7662	0,750523	– 0,000059071	0				
A300-622R	Ανώτατη θερμοκρασία ώσης βραδείας λειτουργίας κατά την προσέγγιση	8 432,8	– 47,7662	0,750523	– 0,000059071	0				
A300-622R	Μέγιστη ώση ανόδου	44 457,2	– 45,778	0,735506	– 0,000015775	0				
A300-622R	Ανώτατη θερμοκρασία μέγιστης ώσης ανόδου	52 183,7	– 44,1929	0	0	– 271				
A300-622R	Μέγιστη ώση απογείωσης	56 307,1	– 50,9157	0,405632	– 2,0986E-06	0				
A300-622R	Ανώτατη θερμοκρασία μέγιστης ώσης απογείωσης	61 250,3	– 51,5373	0	0	– 192				
A300B4-203	Γενική ώση	– 132 687	– 30,4092	– 0,10796	4,02686E-07	0			2 535,75	– 8,23842
A300B4-203	Μέγιστη ώση ανόδου	43 416,5	– 35	– 0,12523	6,27209E-07	0				
A300B4-203	Μέγιστη ώση απογείωσης	49 336,9	– 39,8243	– 0,14231	7,12738E-07	0				
A310-304	Γενική ώση	41 317	– 32,9	– 0,0857	– 0,0000016	0	– 1 131,6	11,8		

▼M2

ACFTID	Μέγεθος ώσης	E (lb)	F (lb/kt)	Ga (lb/ft)	Gb (lb/ft^2)	H (lb/ °C)	K1 (lb/EPR)	K2 (lb/EPR^2)	K3 (lb/(N1/√θ))	K4 (lb/(N1/√θ)^2)
A310-304	Ώση βραδείας λειτουργίας κατά την προσέγγιση	4 613,2	– 22,0136	0,082133	– 2,7376E-06	0				
A310-304	Ανώτατη θερμοκρασία ώσης βραδείας λειτουργίας κατά την προσέγγιση	4 613,2	– 22,0136	0,082133	– 2,7376E-06	0				
A310-304	Μέγιστη ώση ανόδου	42 008	– 49,5706	1,64076	– 0,000043059	0				
A310-304	Ανώτατη θερμοκρασία μέγιστης ώσης ανόδου	55 143,3	– 37,4839	0	0	– 505				
A310-304	Μέγιστη ώση απογείωσης	50 530,5	– 51,1538	1,26398	– 0,000012839	0				
A310-304	Ανώτατη θερμοκρασία μέγιστης ώσης απογείωσης	71 457,7	– 50,7768	0	0	– 608				
A319-131	Γενική ώση	– 105 513	– 6,58	0,006828	– 8,055E-07	0	149 900	– 42 300		
A319-131	Ώση βραδείας λειτουργίας κατά την προσέγγιση	1 219,5	– 7,22737	0,154266	– 0,000007955	0				
A319-131	Ανώτατη θερμοκρασία ώσης βραδείας λειτουργίας κατά την προσέγγιση	1 219,5	– 7,22737	0,154266	– 0,000007955	0				
A319-131	Μέγιστη ώση ανόδου	14 957,2	1,71654	0,442593	– 0,000013824	0				
A319-131	Ανώτατη θερμοκρασία μέγιστης ώσης ανόδου	12 977,6	18,59062	0	0	– 78,7				
A319-131	Μέγιστη ώση απογείωσης	21 435,4	– 21,3236	0,309465	1,26125E-05	0				
A319-131	Ανώτατη θερμοκρασία μέγιστης ώσης απογείωσης	23 853,8	– 18,7311	0	0	– 76,8				
A320-211	Γενική ώση	24 380	– 18,534	– 0,07842	– 2,509E-07	0			– 669,457	6,9451
A320-211	Ώση βραδείας λειτουργίας κατά την προσέγγιση	2 858,8	– 14,7325	0,096537	– 6,7861E-06	0				

▼M2

ACFTID	Μέγεθος ώσης	E (lb)	F (lb/kt)	Ga (lb/ft)	Gb (lb/ft^2)	H (lb/ °C)	K1 (lb/EPR)	K2 (lb/EPR^2)	K3 (lb/(N1/√θ))	K4 (lb/(N1/√θ)^2)
A320-211	Ανώτατη θερμοκρασία ώσης βραδείας λειτουργίας κατά την προσέγγιση	2 858,8	– 14,7325	0,096537	– 6,7861E-06	0				
A320-211	Μέγιστη ώση ανόδου	16 859,1	– 4,3786	0,183576	2,9851E-06	0				
A320-211	Ανώτατη θερμοκρασία μέγιστης ώσης ανόδου	19 148,5	– 6,50173	0	0	– 95				
A320-211	Μέγιστη ώση απογείωσης	23 652,9	– 22,9338	0,295879	– 5,4631E-06	0				
A320-211	Ανώτατη θερμοκρασία μέγιστης ώσης απογείωσης	27 385	– 23,3	0	0	– 132				
A320-232	Γενική ώση	– 65 083,3	– 7,25	– 0,01918	2,575E-08	0	87 817,6	– 18 693,1		
A320-232	Ώση βραδείας λειτουργίας κατά την προσέγγιση	1 138,9	– 6,52566	0,1667	– 9,2579E-06	0				
A320-232	Ανώτατη θερμοκρασία ώσης βραδείας λειτουργίας κατά την προσέγγιση	1 138,9	– 6,52566	0,1667	– 9,2579E-06	0				
A320-232	Μέγιστη ώση ανόδου	15 539,2	– 4,08932	0,438331	– 0,00001439	0				
A320-232	Ανώτατη θερμοκρασία μέγιστης ώσης ανόδου	14 111,4	10,67953	0	0	– 82,2				
A320-232	Μέγιστη ώση απογείωσης	24 746,2	– 25,2473	0,304165	9,2451E-06	0				
A320-232	Ανώτατη θερμοκρασία μέγιστης ώσης απογείωσης	29 506,5	– 24,4165	0	0	– 139				
A321-232	Γενική ώση	– 26 190,2	– 6,6	– 0,0197	– 3,408E-07	0	33 032,2	0		
A321-232	Ώση βραδείας λειτουργίας κατά την προσέγγιση	1 274,1	– 7,34054	0,175187	– 0,000011478	0				
A321-232	Ανώτατη θερμοκρασία ώσης βραδείας λειτουργίας κατά την προσέγγιση	1 274,1	– 7,34054	0,175187	– 0,000011478	0				

▼M2

ACFTID	Μέγεθος ώσης	E (lb)	F (lb/kt)	Ga (lb/ft)	Gb (lb/ft^2)	H (lb/ °C)	K1 (lb/EPR)	K2 (lb/EPR^2)	K3 (lb/(N1/√θ))	K4 (lb/(N1/√θ)^2)
A321-232	Μέγιστη ώση ανόδου	21 870,8	– 21,4867	0,380647	– 5,5566E-06	0				
A321-232	Ανώτατη θερμοκρασία μέγιστης ώσης ανόδου	24 158,5	– 16,8504	0	0	– 147				
A321-232	Μέγιστη ώση απογείωσης	28 636,4	– 26,7318	0,249782	– 3,9163E-06	0				
A321-232	Ανώτατη θερμοκρασία μέγιστης ώσης απογείωσης	31 608,2	– 25,9736	0	0	– 114				
A330-301	Γενική ώση	– 36 339,3	– 31,32	– 0,1297	0	0			484,645	4,0056
A330-301	Ώση βραδείας λειτουργίας κατά την προσέγγιση	4 572,4	– 26,0005	0,013461	2,8669E-06	0				
A330-301	Ανώτατη θερμοκρασία ώσης βραδείας λειτουργίας κατά την προσέγγιση	4 572,4	– 26,0005	0,013461	2,8669E-06	0				
A330-301	Μέγιστη ώση ανόδου	34 249,9	25,9859	0,764157	– 8,1437E-07	0				
A330-301	Ανώτατη θερμοκρασία μέγιστης ώσης ανόδου	46 667,8	10,51272	0	0	– 346				
A330-301	Μέγιστη ώση απογείωσης	61 384,5	– 48,4678	0,582821	– 6,2628E-06	0				
A330-301	Ανώτατη θερμοκρασία μέγιστης ώσης απογείωσης	69 058	– 46,465	0	0	– 288				
A330-343	Γενική ώση	– 127 410	– 9,31	– 0,0386	0,000000569	0	162 922	– 29 498,6		
A330-343	Ώση βραδείας λειτουργίας κατά την προσέγγιση	3 134,3	– 13,0338	0,085938	1,7155E-06	0				
A330-343	Ανώτατη θερμοκρασία ώσης βραδείας λειτουργίας κατά την προσέγγιση	3 134,3	– 13,0338	0,085938	1,7155E-06	0				
A330-343	Μέγιστη ώση ανόδου	44 462	– 12,031	0,711026	5,12762E-06	0				

▼M2

ACFTID	Μέγεθος ώσης	E (lb)	F (lb/kt)	Ga (lb/ft)	Gb (lb/ft^2)	H (lb/ °C)	K1 (lb/EPR)	K2 (lb/EPR^2)	K3 (lb/(N1/√θ))	K4 (lb/(N1/√θ)^2)
A330-343	Ανώτατη θερμοκρασία μέγιστης ώσης ανόδου	63 522,4	– 50,7504	0	0	– 411				
A330-343	Μέγιστη ώση απογείωσης	69 831	– 77,9676	0,882955	– 0,000026894	0				
A330-343	Ανώτατη θερμοκρασία μέγιστης ώσης απογείωσης	85 732,2	– 78,8957	0	0	– 451				
A340-211	Γενική ώση	19 716	– 17,65	– 0,0878	0	0			– 590,77	7,341
A340-211	Ώση βραδείας λειτουργίας κατά την προσέγγιση	4 019,5	– 20,508	– 0,02271	1,16972E-05	0				
A340-211	Ανώτατη θερμοκρασία ώσης βραδείας λειτουργίας κατά την προσέγγιση	4 019,5	– 20,508	– 0,02271	1,16972E-05	0				
A340-211	Μέγιστη ώση ανόδου	26 802,9	– 28,8264	0,31673	3,50144E-06	0				
A340-211	Ανώτατη θερμοκρασία μέγιστης ώσης ανόδου	31 091,8	– 31,4492	0	0	– 160				
A340-211	Μέγιστη ώση απογείωσης	29 929,8	– 30,7732	0,29922	– 4,1757E-06	0				
A340-211	Ανώτατη θερμοκρασία μέγιστης ώσης απογείωσης	34 594,4	– 30,094	0	0	– 175				
A340-642	Ώση βραδείας λειτουργίας κατά την προσέγγιση	6 529,4	– 29,9521	0,272155	– 0,000020281	0				
A340-642	Ανώτατη θερμοκρασία ώσης βραδείας λειτουργίας κατά την προσέγγιση	6 529,4	– 29,9521	0,272155	– 0,000020281	0				
A340-642	Μέγιστη ώση ανόδου	42 621,6	– 44,2784	0,484124	2,668E-07	0				
A340-642	Ανώτατη θερμοκρασία μέγιστης ώσης ανόδου	50 112	– 60,5262	0	0	– 212				
A340-642	Μέγιστη ώση απογείωσης	55 248,1	– 61,4744	0,506968	– 9,6324E-06	0				

▼M2

ACFTID	Μέγεθος ώσης	E (lb)	F (lb/kt)	Ga (lb/ft)	Gb (lb/ft^2)	H (lb/ °C)	K1 (lb/EPR)	K2 (lb/EPR^2)	K3 (lb/(N1/√θ))	K4 (lb/(N1/√θ)^2)
A340-642	Ανώτατη θερμοκρασία μέγιστης ώσης απογείωσης	63 276,8	– 59,6458	0	0	– 300				
A380-841	Ώση βραδείας λειτουργίας κατά την προσέγγιση	10 914,8	– 31,2899	– 2,1424	0,000260636	0				
A380-841	Ανώτατη θερμοκρασία ώσης βραδείας λειτουργίας κατά την προσέγγιση	10 914,8	– 31,2899	– 2,1424	0,000260636	0				
A380-841	Μέγιστη ώση ανόδου	63 586,2	– 53,9292	1,23082	– 0,00003343	0				
A380-841	Ανώτατη θερμοκρασία μέγιστης ώσης ανόδου	72 974,3	– 52,6993	0	0	– 420				
A380-841	Μέγιστη ώση απογείωσης	71 176,1	– 84,4052	0,220679	0,000428339	0				
A380-841	Ανώτατη θερμοκρασία μέγιστης ώσης απογείωσης	90 820,8	– 94,5354	0	0	– 610				
A380-861	Ώση βραδείας λειτουργίας κατά την προσέγγιση	8 921,7	– 30,2153	– 0,87777	0,000104691	0				
A380-861	Ανώτατη θερμοκρασία ώσης βραδείας λειτουργίας κατά την προσέγγιση	8 921,7	– 30,2153	– 0,87777	0,000104691	0				
A380-861	Μέγιστη ώση ανόδου	66 053,2	– 61,754	0,977183	– 0,000025178	0				
A380-861	Ανώτατη θερμοκρασία μέγιστης ώσης ανόδου	73 729,7	– 65,1895	0	0	– 324				
A380-861	Μέγιστη ώση απογείωσης	70 053,6	– 76,0931	0,838794	– 0,000010766	0				
A380-861	Ανώτατη θερμοκρασία μέγιστης ώσης απογείωσης	83 320,5	– 82,3362	0	0	– 432				
BAC111	Μέγιστη ώση ανόδου	9 827,9	– 5,89674	– 0,01966	0	0				
BAC111	Μέγιστη ώση απογείωσης	11 168,1	– 6,70084	– 0,02234	0	0				

▼M2

ACFTID	Μέγεθος ώσης	E (lb)	F (lb/kt)	Ga (lb/ft)	Gb (lb/ft^2)	H (lb/ °C)	K1 (lb/EPR)	K2 (lb/EPR^2)	K3 (lb/(N1/√θ))	K4 (lb/(N1/√θ)^2)
BAE146	Γενική ώση	– 13 783	– 9,9585	0,056057	– 1,23124E-05	0			304,295	– 0,84327
BAE146	Μέγιστη ώση ανόδου	6 339,4	– 9,9585	0,056057	– 0,0000035	0				
BAE146	Μέγιστη ώση απογείωσης	6 542,4	– 9,9585	0,056057	– 0,0000035	0				
BAE300	Γενική ώση	– 13 783	– 9,9585	0,056057	– 1,23124E-05	0			304,295	– 0,84327
BAE300	Μέγιστη ώση ανόδου	6 339,4	– 9,9585	0,056057	– 0,0000035	0				
BAE300	Μέγιστη ώση απογείωσης	6 542,4	– 9,9585	0,056057	– 0,0000035	0				
CIT3	Μέγιστη ώση ανόδου	2 987,4	– 3,4992	0,06123	– 1,1664E-06	0				
CIT3	Μέγιστη ώση απογείωσης	3 319,3	– 3,888	0,068032	– 0,000001296	0				
CL600	Μέγιστη ώση ανόδου	5 543,3	– 5,6542	0,08442	0	0				
CL600	Μέγιστη ώση απογείωσης	6 159,2	– 6,2824	0,0938	0	0				
CL601	Μέγιστη ώση ανόδου	6 517,3	– 6,6476	0,09776	0	0				
CL601	Μέγιστη ώση απογείωσης	7 241,4	– 7,3862	0,10862	0	0				
CNA208	Μέγιστη ώση ανόδου	2 953,9	– 8,581	– 0,00453	– 7,2035E-07	– 1,44				
CNA208	Μέγιστη ώση απογείωσης	3 245,2	– 11,69	– 0,01053	– 6,777E-07	– 1,62				
CNA500	Γενική ώση	1 743,1	– 1,64678	– 0,00201	– 1,5642E-07	0			– 49,6794	0,545
CNA500	Μέγιστη ώση ανόδου	1 919,5	– 1,99614	0,0615	– 2,40502E-06	0				
CNA500	Μέγιστη ώση απογείωσης	2 132,8	– 2,21793	0,068333	– 2,67224E-06	0				

▼M2

ACFTID	Μέγεθος ώσης	E (lb)	F (lb/kt)	Ga (lb/ft)	Gb (lb/ft^2)	H (lb/ °C)	K1 (lb/EPR)	K2 (lb/EPR^2)	K3 (lb/(N1/√θ))	K4 (lb/(N1/√θ)^2)
CNA510	Γενική ώση	4 234,6	– 1,68388	0,001047	– 5,78019E-08	0			– 103,817	0,811333
CNA510	Μέγιστη ώση ανόδου	1 486	– 1,60533	0	– 1,04748E-07	0				
CNA510	Μέγιστη ώση απογείωσης	1 492,8	– 1,87734	0	– 2,55208E-06	0				
CNA525C	Γενική ώση	1 528,4	– 2,83667	– 0,00013	2,55648E-07	0			– 51,50512788	0,724013467
CNA525C	Μέγιστη ώση ανόδου	3 001,7	– 2,38854	0,004585	– 1,4045E-07	0				
CNA525C	Μέγιστη ώση απογείωσης	3 464,1	– 2,5254	0,001981	– 1,46353E-06	0				
CNA55B	Γενική ώση	1 373,8	– 2,2903	– 8,9E-05	3,2273E-08	0			– 44,861	0,66327
CNA55B	Μέγιστη ώση ανόδου	2 323,1	– 2,4386	0,002159	– 2,1456E-07	0				
CNA55B	Μέγιστη ώση απογείωσης	2 658,7	– 2,6269	– 0,00359	1,7262E-07	0				
CNA560E	Γενική ώση	1 533,4	– 2,49247	0,011973	– 6,90894E-07	0			– 53,9835	0,839574
CNA560E	Μέγιστη ώση ανόδου	3 194,3	– 2,53358	0,028038	2,70832E-07	0				
CNA560E	Μέγιστη ώση απογείωσης	3 316,5	– 2,7005	0,04349	– 6,52616E-07	0				
CNA560U	Μέγιστη ώση ανόδου	2 597,5	– 2,22178	0,023781	6,12239E-08	0				
CNA560U	Μέγιστη ώση απογείωσης	2 920	– 2,0264	0,025133	2,95314E-07	0				
CNA560XL	Μέγιστη ώση ανόδου	3 454,5	– 3,98132	– 0,0704	0	0				
CNA560XL	Μέγιστη ώση απογείωσης	3 838,3	– 4,42368	– 0,07823	0	0				
CNA680	Γενική ώση	2 904,8	– 4,80092	– 0,00174	5,62892E-07	0			– 101,327	1,3401

▼M2

ACFTID	Μέγεθος ώσης	E (lb)	F (lb/kt)	Ga (lb/ft)	Gb (lb/ft^2)	H (lb/ °C)	K1 (lb/EPR)	K2 (lb/EPR^2)	K3 (lb/(N1/√θ))	K4 (lb/(N1/√θ)^2)
CNA680	Μέγιστη ώση ανόδου	5 520,2	– 5,32711	– 0,02377	1,89918E-06	0				
CNA680	Μέγιστη ώση απογείωσης	5 683	– 6,55907	– 0,00159	8,72971E-07	0				
CNA750	Γενική ώση	4 778,6	– 6,56521	0,000671	– 4,11321E-07	0			– 146,712	1,9748
CNA750	Μέγιστη ώση ανόδου	6 097,8	– 7,0102	– 0,00528	3,74689E-08	0				
CNA750	Μέγιστη ώση απογείωσης	6 127,8	– 7,07624	– 0,00394	3,95764E-08	0				
CONCRD	Μέγιστη ώση ανόδου	33 252,1	– 26,6	0,2328	0	0				
CONCRD	Μέγιστη ώση απογείωσης	39 653	– 31,722	0,2776	0	0				
CRJ9-ER	Γενική ώση	6 087,3	– 9,35507	– 0,04736	1,55476E-07	– 1,4767			– 183,9266	2,785981
CRJ9-ER	Ώση βραδείας λειτουργίας κατά την προσέγγιση	1 163,1	– 4,5855	– 0,0238	1,63611E-06	– 0,0249				
CRJ9-ER	Μέγιστη ώση ανόδου	10 438,3	– 9,64192	0,15855	– 3,00077E-07	– 1,3095				
CRJ9-ER	Ανώτατη θερμοκρασία μέγιστης ώσης ανόδου	12 973,4	– 9,57675	– 0,05589	3,05523E-07	– 100,415				
CRJ9-ER	Μέγιστη ώση απογείωσης	13 260,6	– 16,6244	0,19849	– 7,00045E-06	– 1,6224				
CRJ9-ER	Ανώτατη θερμοκρασία μέγιστης ώσης απογείωσης	16 247,3	– 17,4575	0,077341	– 1,06353E-05	– 109,219				
CRJ9-LR	Γενική ώση	6 087,3	– 9,35507	– 0,04736	1,55476E-07	– 1,4767			– 183,9266	2,785981
CRJ9-LR	Ώση βραδείας λειτουργίας κατά την προσέγγιση	1 163,1	– 4,5855	– 0,0238	1,63611E-06	– 0,0249				
CRJ9-LR	Μέγιστη ώση ανόδου	10 438,3	– 9,64192	0,15855	– 3,00077E-07	– 1,3095				

▼M2

ACFTID	Μέγεθος ώσης	E (lb)	F (lb/kt)	Ga (lb/ft)	Gb (lb/ft^2)	H (lb/ °C)	K1 (lb/EPR)	K2 (lb/EPR^2)	K3 (lb/(N1/√θ))	K4 (lb/(N1/√θ)^2)
CRJ9-LR	Ανώτατη θερμοκρασία μέγιστης ώσης ανόδου	12 973,4	– 9,57675	– 0,05589	3,05523E-07	– 100,415				
CRJ9-LR	Μέγιστη ώση απογείωσης	13 260,6	– 16,6244	0,19849	– 7,00045E-06	– 1,6224				
CRJ9-LR	Ανώτατη θερμοκρασία μέγιστης ώσης απογείωσης	16 247,3	– 17,4575	0,077341	– 1,06353E-05	– 109,219				
DC1010	Γενική ώση	25 027,6	– 27,4313	– 0,07828	0	0			– 694,556	8,02362
DC1010	Μέγιστη ώση ανόδου	30 596	– 28,4416	– 0,10164	5,0902E-07	0				
DC1010	Μέγιστη ώση απογείωσης	35 985,4	– 30,9909	– 0,11075	5,5465E-07	0				
DC1030	Μέγιστη ώση ανόδου	38 520	– 29,38	0,49	0	0				
DC1030	Μέγιστη ώση απογείωσης	49 310	– 42,42	0,61	0	0				
DC1040	Γενική ώση	– 143 602	– 14,4996	– 0,05026	0	0	204 567	– 54 761,9		
DC1040	Μέγιστη ώση ανόδου	34 087,9	– 12,9859	– 0,04641	2,3241E-07	0				
DC1040	Μέγιστη ώση απογείωσης	41 594,9	– 22,3071	– 0,07971	3,9923E-07	0				
DC850	Γενική ώση	– 22 582,8	– 6,58409	– 0,02081	0	0	29 070,9	– 4 341,84		
DC850	Μέγιστη ώση ανόδου	14 243,5	– 5,6565	– 0,02021	1,0123E-07	0				
DC850	Μέγιστη ώση απογείωσης	15 670,3	– 5,8955	– 0,02107	1,0551E-07	0				
DC860	Γενική ώση	– 27 959,5	– 6,35297	– 0,01835	0	0	35 850,3	– 6 157,74		
DC860	Μέγιστη ώση ανόδου	15 558,7	– 7,2339	– 0,02585	1,2947E-07	0				
DC860	Μέγιστη ώση απογείωσης	16 740,5	– 4,9394	– 0,01765	8,8401E-08	0				

▼M2

ACFTID	Μέγεθος ώσης	E (lb)	F (lb/kt)	Ga (lb/ft)	Gb (lb/ft^2)	H (lb/ °C)	K1 (lb/EPR)	K2 (lb/EPR^2)	K3 (lb/(N1/√θ))	K4 (lb/(N1/√θ)^2)
DC870	Γενική ώση	11 106	– 10,09	– 0,0409	0	0			– 369,8	4,835
DC870	Μέγιστη ώση ανόδου	18 859	– 17,91	0,1953	0	– 2,034				
DC870	Μέγιστη ώση απογείωσης	20 758	– 20,65	0,2173	0	0				
DC8QN	Γενική ώση	– 27 959,5	– 6,35297	– 0,01835	0	0	35 850,3	– 6 157,74		
DC8QN	Μέγιστη ώση ανόδου	15 558,7	– 7,2339	– 0,02585	1,2947E-07	0				
DC8QN	Μέγιστη ώση απογείωσης	16 740,5	– 4,9394	– 0,01765	8,8401E-08	0				
DC910	Γενική ώση	– 10 596,5	– 1,51369	– 0,00525	0	0	11 541,7	162,698		
DC910	Μέγιστη ώση ανόδου	11 194,3	– 3,0274	– 0,01082	5,4181E-08	0				
DC910	Μέγιστη ώση απογείωσης	12 308,2	– 0,478	0,001708	8,55E-09	0				
DC930	Γενική ώση	– 13 523,2	– 2,66888	– 0,00925	0	0	15 803,6	– 1 257,94		
DC930	Μέγιστη ώση ανόδου	11 561,8	– 2,94773	– 0,01053	5,2756E-08	0				
DC930	Μέγιστη ώση απογείωσης	12 972	– 2,31038	– 0,00826	4,1349E-08	0				
DC93LW	Γενική ώση	– 13 523,2	– 2,66888	– 0,00925	0	0	15 803,6	– 1 257,94		
DC93LW	Μέγιστη ώση ανόδου	11 561,8	– 2,94773	– 0,01053	5,2756E-08	0				
DC93LW	Μέγιστη ώση απογείωσης	12 972	– 2,31038	– 0,00826	4,1349E-08	0				
DC950	Γενική ώση	– 13 523,2	– 2,66888	– 0,00925	0	0	15 803,6	– 1 257,94		
DC950	Μέγιστη ώση ανόδου	12 365,4	– 2,54939	– 0,00911	4,5627E-08	0				
DC950	Μέγιστη ώση απογείωσης	14 698,5	– 2,13511	– 0,00763	3,8212E-08	0				

▼M2

ACFTID	Μέγεθος ώσης	E (lb)	F (lb/kt)	Ga (lb/ft)	Gb (lb/ft^2)	H (lb/ °C)	K1 (lb/EPR)	K2 (lb/EPR^2)	K3 (lb/(N1/√θ))	K4 (lb/(N1/√θ)^2)
DC95HW	Γενική ώση	– 13 523,2	– 2,66888	– 0,00925	0	0	15 803,6	– 1 257,94		
DC95HW	Μέγιστη ώση ανόδου	12 365,4	– 2,54939	– 0,00911	4,5627E-08	0				
DC95HW	Μέγιστη ώση απογείωσης	14 698,5	– 2,13511	– 0,00763	3,8212E-08	0				
DC9Q7	Γενική ώση	– 10 596,5	– 1,51369	– 0,00525	0	0	11 541,7	162,698		
DC9Q7	Μέγιστη ώση ανόδου	11 194,3	– 3,0274	– 0,01082	5,4181E-08	0				
DC9Q7	Μέγιστη ώση απογείωσης	12 308,2	– 0,478	0,001708	8,55E-09	0				
DC9Q9	Γενική ώση	– 13 523,2	– 2,66888	– 0,00925	0	0	15 803,6	– 1 257,94		
DC9Q9	Μέγιστη ώση ανόδου	11 561,8	– 2,94773	– 0,01053	5,2756E-08	0				
DC9Q9	Μέγιστη ώση απογείωσης	12 972	– 2,31038	– 0,00826	4,1349E-08	0				
DHC8	Γενική ώση	2 010,7	– 19,409	0,07743	0	0			54,6666	– 0,0828
DHC8	Μέγιστη ώση ανόδου	6 323,6	– 21,4445	0,088232	0	0				
DHC8	Μέγιστη ώση απογείωσης	7 026,2	– 23,8272	0,098036	0	0				
DHC830	Γενική ώση	1 623,1	– 18,411	0,075104	0	0			72,6356	– 0,17951
DHC830	Μέγιστη ώση ανόδου	6 679	– 21,9919	0,090305	0	0				
DHC830	Μέγιστη ώση απογείωσης	7 421,1	– 24,4354	0,100339	0	0				
DO228	Μέγιστη ώση ανόδου	2 571	– 7,9721	0,07004	– 4,9292E-06	0				
DO228	Μέγιστη ώση απογείωσης	2 524,3	– 8,067	0,06042	– 6,8678E-06	0				
DO328	Μέγιστη ώση ανόδου	7 752,5	– 23,2	0,225	– 0,0000158	0				

▼M2

ACFTID	Μέγεθος ώσης	E (lb)	F (lb/kt)	Ga (lb/ft)	Gb (lb/ft^2)	H (lb/ °C)	K1 (lb/EPR)	K2 (lb/EPR^2)	K3 (lb/(N1/√θ))	K4 (lb/(N1/√θ)^2)
DO328	Μέγιστη ώση απογείωσης	8 138,2	– 28,1	0,199	– 0,000021	0				
ECLIPSE500	Μέγιστη ώση ανόδου	947,7	– 0,73662	0,018307	2,63346E-07	– 0,0571				
ECLIPSE500	Ανώτατη θερμοκρασία μέγιστης ώσης ανόδου	1 077,4	– 1,20966	– 0,00912	1,28125E-07	– 9,84248				
ECLIPSE500	Μέγιστη ώση απογείωσης	1 039,2	– 1,57439	0,034769	– 0,000002274	– 0,0323				
ECLIPSE500	Ανώτατη θερμοκρασία μέγιστης ώσης απογείωσης	1 258,9	– 1,6144	– 0,00748	3,13285E-08	– 10,7499				
ECLIPSE500	Μειωμένη ώση ανόδου	1 084,2	– 1,38862	0,009974	7,08687E-08	0,048579				
ECLIPSE500	Ανώτατη θερμοκρασία μειωμένης ώσης ανόδου	1 168,6	– 1,50732	– 0,01586	3,07776E-07	– 11,2558				
EMB120	Μέγιστη ώση ανόδου	4 668	– 11,932	0,0664	0	– 5,663				
EMB120	Μέγιστη ώση απογείωσης	5 212	– 12,45	0,0728	0	– 6,87				
EMB145	Μέγιστη ώση ανόδου	5 554,3	– 6,86092	0,065416	0	– 4,036				
EMB145	Μέγιστη ώση απογείωσης	7 499,5	– 9,12812	0,045563	0	– 22,89				
EMB14L	Μέγιστη ώση ανόδου	6 432,5	– 7,56929	0,069004	0	– 5,419				
EMB14L	Μέγιστη ώση απογείωσης	7 246,1	– 8,61031	0,232825	0	– 0,9689				
EMB170	Ώση βραδείας λειτουργίας κατά την προσέγγιση	945	– 3,5	– 0,01	0	0				
EMB170	Μέγιστη ώση ανόδου	11 716	– 13,423	0,25	– 0,000019	0				

▼M2

ACFTID	Μέγεθος ώσης	E (lb)	F (lb/kt)	Ga (lb/ft)	Gb (lb/ft^2)	H (lb/ °C)	K1 (lb/EPR)	K2 (lb/EPR^2)	K3 (lb/(N1/√θ))	K4 (lb/(N1/√θ)^2)
EMB170	Μέγιστη ώση απογείωσης	13 350	– 17,43	0,1875	– 0,000013	– 4,47				
EMB175	Ώση βραδείας λειτουργίας κατά την προσέγγιση	945	– 3,5	– 0,01	0	0				
EMB175	Μέγιστη ώση ανόδου	11 716	– 13,423	0,25	– 0,000019	0				
EMB175	Μέγιστη ώση απογείωσης	13 350	– 17,43	0,1875	– 0,000013	– 4,47				
EMB190	Ώση βραδείας λειτουργίας κατά την προσέγγιση	1 080	– 3,65	0,011	0	0				
EMB190	Μέγιστη ώση ανόδου	15 137	– 14,3	0,239	– 0,0000187	0				
EMB190	Μέγιστη ώση απογείωσης	17 499	– 18,99	0,3207	– 0,000021	– 4,29				
EMB195	Ώση βραδείας λειτουργίας κατά την προσέγγιση	1 080	– 3,65	0,011	0	0				
EMB195	Μέγιστη ώση ανόδου	15 137	– 14,3	0,239	– 0,0000187	0				
EMB195	Μέγιστη ώση απογείωσης	17 499	– 18,99	0,3207	– 0,000021	– 4,29				
F10062	Μέγιστη ώση ανόδου	10 472	– 9,57	0,137	0	0				
F10062	Μέγιστη ώση απογείωσης	13 551	– 16,56	0,2804	0	0				
F10065	Μέγιστη ώση ανόδου	10 970	– 10,52	0,1238	0	0				
F10065	Μέγιστη ώση απογείωσης	14 814	– 16,72	0,065	0	0				
F28MK2	Μέγιστη ώση ανόδου	8 408	– 4,72	0,1048	0	0				
F28MK2	Μέγιστη ώση απογείωσης	9 851	– 7,68	0,0889	0	0				
F28MK4	Μέγιστη ώση ανόδου	8 459	– 4,874	0,0997	0	0				

▼M2

ACFTID	Μέγεθος ώσης	E (lb)	F (lb/kt)	Ga (lb/ft)	Gb (lb/ft^2)	H (lb/ °C)	K1 (lb/EPR)	K2 (lb/EPR^2)	K3 (lb/(N1/√θ))	K4 (lb/(N1/√θ)^2)
F28MK4	Μέγιστη ώση απογείωσης	9 905	– 7,445	0,0765	0	0				
FAL20	Μέγιστη ώση ανόδου	4 102	– 2,3831	– 0,11465	1,02126E-05	0				
FAL20	Μέγιστη ώση απογείωσης	4 017,4	– 3,4567	0,058024	– 2,49247E-06	0				
GII	Μέγιστη ώση ανόδου	9 827,9	– 5,89674	– 0,01966	0	0				
GII	Μέγιστη ώση απογείωσης	11 324	– 9,697	0,1539	– 0,000004	0				
GII	Ανώτατη θερμοκρασία μέγιστης ώσης απογείωσης	12 833	– 8,35	0,0346	– 0,000004	– 74,58				
GII	Μειωμένη ώση ανόδου	6 030	0	– 0,0081	0,0000002	0				
GII	ΜείωσηΑπογείωση	9 060	– 7,27	0,121	– 0,000003	0				
GII	Ανώτατη θερμοκρασία μειωμένης ώσης απογείωσης	10 266	– 6,25	0,0277	– 0,0000003	– 59,7				
GIIB	Μέγιστη ώση ανόδου	9 827,9	– 5,89674	– 0,01966	0	0				
GIIB	Μέγιστη ώση απογείωσης	11 324	– 9,697	0,1539	– 0,000004	0				
GIIB	Ανώτατη θερμοκρασία μέγιστης ώσης απογείωσης	12 833	– 8,35	0,0346	– 0,000004	– 74,58				
GIIB	Μειωμένη ώση ανόδου	5 369	0	– 0,0081	0	0				
GIIB	ΜείωσηΑπογείωση	9 060	– 7,27	0,121	– 0,000003	0				
GIIB	Ανώτατη θερμοκρασία μειωμένης ώσης απογείωσης	10 266	– 6,25	0,0277	– 0,0000003	– 59,7				
GIV	Μέγιστη ώση ανόδου	10 770	– 10,96	0,1784	– 0,000001	0				

▼M2

ACFTID	Μέγεθος ώσης	E (lb)	F (lb/kt)	Ga (lb/ft)	Gb (lb/ft^2)	H (lb/ °C)	K1 (lb/EPR)	K2 (lb/EPR^2)	K3 (lb/(N1/√θ))	K4 (lb/(N1/√θ)^2)
GIV	Ανώτατη θερμοκρασία μέγιστης ώσης ανόδου	11 805	– 9,4	– 0,0624	0	– 89				
GIV	Μέγιστη ώση απογείωσης	13 725	– 18,2	0,3189	– 0,00002	0				
GIV	Ανώτατη θερμοκρασία μέγιστης ώσης απογείωσης	17 129	– 17,6	– 0,0472	0,0000003	– 114				
GV	Μέγιστη ώση ανόδου	12 400	– 11,6	0,12	0	0				
GV	Ανώτατη θερμοκρασία μέγιστης ώσης ανόδου	14 900	– 11,2	– 0,11	0	– 107				
GV	Μέγιστη ώση απογείωσης	14 600	– 18,86	0,1649	0	0				
GV	Ανώτατη θερμοκρασία μέγιστης ώσης απογείωσης	18 970	– 18,4	– 0,115	0	– 126,5				
IA1125	Μέγιστη ώση ανόδου	3 114,4	– 3,4992	0,04125	– 2,81988E-06	0				
IA1125	Μέγιστη ώση απογείωσης	3 460,5	– 3,888	0,045834	– 3,1332E-06	0				
L1011	Γενική ώση	– 80 222,2	– 25,0263	0	0	0	92 893,5	– 10 186,1		
L1011	Μέγιστη ώση ανόδου	34 204,8	– 43,8172	0,270193	2,0153E-06	0				
L1011	Μέγιστη ώση απογείωσης	40 720	– 52,1633	0,321659	2,3992E-06	0				
L10115	Μέγιστη ώση ανόδου	39 532,9	– 44,0258	0,27148	2,02494E-06	0				
L10115	Μέγιστη ώση απογείωσης	46 840	– 52,1633	0,321659	2,3992E-06	0				
LEAR25	Μέγιστη ώση ανόδου	2 560,9	– 1,8352	– 0,01509	1,95912E-06	0				

▼M2

ACFTID	Μέγεθος ώσης	E (lb)	F (lb/kt)	Ga (lb/ft)	Gb (lb/ft^2)	H (lb/ °C)	K1 (lb/EPR)	K2 (lb/EPR^2)	K3 (lb/(N1/√θ))	K4 (lb/(N1/√θ)^2)
LEAR25	Μέγιστη ώση απογείωσης	2 845,4	– 2,03911	– 0,01677	2,1768E-06	0				
LEAR35	Μέγιστη ώση ανόδου	3 071	– 3,4992	– 0,00397	1,38915E-06	0				
LEAR35	Μέγιστη ώση απογείωσης	3 412,2	– 3,888	– 0,00441	1,5435E-06	0				
MD11GE	Μέγιστη ώση ανόδου	47 037	– 45,71	0,854	0	– 368,1				
MD11GE	Μέγιστη ώση απογείωσης	57 156	– 42,73	0,303	0	– 357,5				
MD11PW	Μέγιστη ώση ανόδου	51 197	– 59,27	0,416	0	– 357				
MD11PW	Μέγιστη ώση απογείωσης	57 661	– 51,3	0,513	0	– 426,6				
MD81	Γενική ώση	– 15 384	– 10	0,019	0	0	17 917	0		
MD81	Μέγιστη ώση ανόδου	18 040,9	– 8,83022	– 0,02993	0	– 114,3				
MD81	Ανώτατη θερμοκρασία μέγιστης ώσης ανόδου	21 047,1	– 12,8373	– 0,07163	0	– 151,8				
MD81	Μέγιστη ώση απογείωσης	18 810,5	– 11,1271	0,092622	0	– 2,101				
MD81	Ανώτατη θερμοκρασία μέγιστης ώσης απογείωσης	22 678,5	– 14,546	– 0,05823	0	– 138,4				
MD82	Γενική ώση	– 13 488	– 10	0,025	0	0	16 750	0		
MD82	Μέγιστη ώση ανόδου	16 810,1	– 5,36467	0,048334	0	– 60,8				
MD82	Ανώτατη θερμοκρασία μέγιστης ώσης ανόδου	22 606,4	– 13,9975	– 0,09177	0	– 168,1				
MD82	Μέγιστη ώση απογείωσης	19 344,5	– 15,5531	0,333164	0	– 1,031				

▼M2

ACFTID	Μέγεθος ώσης	E (lb)	F (lb/kt)	Ga (lb/ft)	Gb (lb/ft^2)	H (lb/ °C)	K1 (lb/EPR)	K2 (lb/EPR^2)	K3 (lb/(N1/√θ))	K4 (lb/(N1/√θ)^2)
MD82	Ανώτατη θερμοκρασία μέγιστης ώσης απογείωσης	24 452	– 16,6869	0,005711	0	– 162,5				
MD83	Γενική ώση	– 13 845	– 13,33	0,019	0	0	17 500	0		
MD83	Μέγιστη ώση ανόδου	18 075,2	– 7,63873	0,058915	0	– 64,7				
MD83	Ανώτατη θερμοκρασία μέγιστης ώσης ανόδου	23 181,6	– 13,4908	– 0,09344	0	– 164				
MD83	Μέγιστη ώση απογείωσης	20 080,8	– 11,9047	0,191099	0	– 4,078				
MD83	Ανώτατη θερμοκρασία μέγιστης ώσης απογείωσης	25 460,4	– 15,5681	– 0,05468	0	– 176,1				
MD9025	Γενική ώση	– 31 899	– 8,5718	– 0,0276	0	0	37 206	0		
MD9025	Μέγιστη ώση ανόδου	23 881	– 30,625	0,2551	0	0				
MD9025	Ανώτατη θερμοκρασία μέγιστης ώσης ανόδου	27 078,4	– 30,625	0	0	– 213,2				
MD9025	Μέγιστη ώση απογείωσης	23 066	– 23,5769	0,3147	0	0				
MD9025	Ανώτατη θερμοκρασία μέγιστης ώσης απογείωσης	28 697,1	– 23,5769	0	0	– 225,2				
MD9028	Γενική ώση	– 31 899	– 8,5718	– 0,0276	0	0	37 206	0		
MD9028	Μέγιστη ώση ανόδου	23 421	– 26,5453	0,2599	0	0				
MD9028	Ανώτατη θερμοκρασία μέγιστης ώσης ανόδου	26 678,6	– 26,5453	0	0	– 217,2				
MD9028	Μέγιστη ώση απογείωσης	25 656	– 25,3418	0,2419	0	0				

▼M2

ACFTID	Μέγεθος ώσης	E (lb)	F (lb/kt)	Ga (lb/ft)	Gb (lb/ft^2)	H (lb/ °C)	K1 (lb/EPR)	K2 (lb/EPR^2)	K3 (lb/(N1/√θ))	K4 (lb/(N1/√θ)^2)
MD9028	Ανώτατη θερμοκρασία μέγιστης ώσης απογείωσης	30 520	– 25,3418	0	0	– 194,6				
MU3001	Γενική ώση	1 743,1	– 1,64678	– 0,00201	– 1,5642E-07	0			– 49,6794	0,545
MU3001	Μέγιστη ώση ανόδου	1 919,5	– 1,99614	0,0615	– 2,40502E-06	0				
MU3001	Μέγιστη ώση απογείωσης	2 132,8	– 2,21793	0,068333	– 2,67224E-06	0				
PA42	Μέγιστη ώση ανόδου	2 295,2	– 6,6307	0,041917	5,8567E-07	0				
PA42	Μέγιστη ώση απογείωσης	2 219,6	– 5,9898	0,044468	2,8008E-07	0				

▼**M2**

Πίνακας Θ-8

Συντελεστές ελικοφόρου κινητήρα

ACFT_ID	Μέγεθος ώσης	Απόδοση έλικα	Καθαρή εγκατεστημένη ισχύς πρόωσης (hp)
BEC58P	Μέγιστη ώση ανόδου	0,90	261,3
BEC58P	Μέγιστη ώση απογείωσης	0,90	310,0
CNA172	Μέγιστη ώση ανόδου	0,69	140,0
CNA172	Μέγιστη ώση απογείωσης	0,67	155,0
CNA182	Μέγιστη ώση ανόδου	0,78	189,8
CNA182	Μέγιστη ώση απογείωσης	0,75	222,4
CNA206	Μέγιστη ώση ανόδου	0,77	234,0
CNA206	Μέγιστη ώση απογείωσης	0,70	300,0
CNA20T	Μέγιστη ώση ανόδου	0,77	238,0
CNA20T	Μέγιστη ώση απογείωσης	0,69	310,0
CNA441	Μέγιστη ώση ανόδου	0,90	620,0
CNA441	Μέγιστη ώση απογείωσης	0,90	635,5
CVR580	Μέγιστη ώση ανόδου	0,85	3 344,0
CVR580	Μέγιστη ώση απογείωσης	0,85	3 800,0
DC3	Μέγιστη ώση ανόδου	0,85	1 130,0
DC3	Μέγιστη ώση απογείωσης	0,85	1 302,0
DC6	Μέγιστη ώση ανόδου	0,90	1 750,0
DC6	Μέγιστη ώση απογείωσης	0,90	1 900,0
DHC6	Μέγιστη ώση ανόδου	0,90	557,5

▼**M2**

ACFT_ID	Μέγεθος ώσης	Απόδοση έλικα	Καθαρή εγκατεστημένη ισχύς πρόωσης (hp)
DHC6	Μέγιστη ώση απογείωσης	0,90	587,0
DHC6QP	Μέγιστη ώση ανόδου	0,90	557,5
DHC6QP	Μέγιστη ώση απογείωσης	0,90	587,0
DHC7	Μέγιστη ώση ανόδου	0,90	846,0
DHC7	Μέγιστη ώση απογείωση	0,90	940,0
HS748A	Μέγιστη ώση ανόδου	0,90	1 805,0
HS748A	Μέγιστη ώση απογείωσης	0,90	2 006,0
L188	Μέγιστη ώση ανόδου	0,90	3 180,0
L188	Μέγιστη ώση απογείωσης	0,90	3 460,0
PA30	Μέγιστη ώση ανόδου	0,80	130,5
PA30	Μέγιστη ώση απογείωσης	0,80	139,5
SD330	Μέγιστη ώση ανόδου	0,90	972,0
SD330	Μέγιστη ώση απογείωσης	0,90	1 080,0
SF340	Μέγιστη ώση ανόδου	0,90	1 587,0
SF340	Μέγιστη ώση απογείωσης	0,90	1 763,0

▼M2

Πίνακας Θ-9

Δεδομένα θορύβου-ισχύος-απόστασης (NPD)

Μέτρηση θορύβου	NPD_ID	Είδος λειτουργίας (Op type)	Ρύθμιση ισχύος (το πεδίο «Παράμετρος ισχύος» στον πίνακα «Αεροσκάφος» ορίζει τον τύπο και τη μονάδα ρύθμισης της ισχύος)	L_200ft	L_400ft	L_630ft	L_1000ft	L_2000ft	L_4000ft	L_6300ft	L_10000ft	L_16000ft	L_25000ft
2CF650	LAmax	A	10 000,0	99,2	91,9	86,7	81,0	72,1	63,0	56,7	49,6	41,6	33,1
2CF650	LAmax	A	25 000,0	105,3	98,3	93,4	88,0	79,5	70,5	64,3	57,4	49,7	41,5
2CF650	LAmax	D	25 000,0	105,3	98,3	93,4	88,0	79,5	70,5	64,3	57,4	49,7	41,5
2CF650	LAmax	D	40 000,0	109,1	102,3	97,6	92,5	84,3	75,4	69,3	62,6	55,1	47,2
2CF650	SEL	A	10 000,0	99,9	95,0	91,4	87,5	81,3	74,6	69,7	64,2	57,7	50,7
2CF650	SEL	A	25 000,0	103,7	99,3	96,1	92,7	87,1	80,6	75,8	70,5	64,3	57,5
2CF650	SEL	D	25 000,0	103,7	99,3	96,1	92,7	87,1	80,6	75,8	70,5	64,3	57,5
2CF650	SEL	D	40 000,0	106,8	102,9	100,1	97,1	92,0	85,8	81,0	75,9	69,9	63,4
2CF680	LAmax	A	7 000,0	96,3	89,8	85,2	80,2	71,9	63,2	56,9	50,8	44,1	37,7
2CF680	LAmax	A	12 000,0	97,5	90,9	86,3	81,3	73,0	64,4	58,3	52,3	45,8	39,6
2CF680	LAmax	D	17 000,0	98,2	91,5	87,0	82,1	74,2	65,8	59,7	53,6	46,9	40,4
2CF680	LAmax	D	25 000,0	98,5	92,6	88,3	83,7	76,4	68,0	62,0	55,6	48,7	41,8
2CF680	LAmax	D	33 000,0	101,5	95,8	91,7	87,3	80,2	71,8	65,8	59,4	52,5	45,5
2CF680	LAmax	D	41 000,0	104,4	99,0	95,2	91,0	84,1	75,8	69,7	63,2	56,0	48,8
2CF680	SEL	A	7 000,0	98,1	93,9	90,8	87,4	81,4	75,0	70,3	65,7	60,6	55,7
2CF680	SEL	A	12 000,0	99,3	95,0	91,9	88,5	82,5	76,2	71,7	67,2	62,3	57,6

▼M2

Μέτρηση θορύβου	NPD_ID	Είδος λειτουργίας (Op type)	Ρύθμιση ισχύος (το πεδίο «Παράμετρος ισχύος» στον πίνακα «Αεροσκάφος» ορίζει τον τύπο και τη μονάδα ρύθμισης της ισχύος)	L_200ft	L_400ft	L_630ft	L_1000ft	L_2000ft	L_4000ft	L_6300ft	L_10000ft	L_16000ft	L_25000ft
2CF680	SEL	D	17 000,0	100,0	95,6	92,6	89,3	83,7	77,6	73,1	68,5	63,4	58,4
2CF680	SEL	D	25 000,0	100,3	96,7	93,9	90,9	85,9	79,8	75,4	70,5	65,2	59,8
2CF680	SEL	D	33 000,0	103,3	99,9	97,3	94,5	89,7	83,6	79,2	74,3	69,0	63,5
2CF680	SEL	D	41 000,0	106,2	103,1	100,8	98,2	93,6	87,6	83,1	78,1	72,5	66,8
2CF68D	LAmax	A	10 020,0	97,7	91,0	85,8	81,1	73,0	64,5	58,5	51,7	44,8	38,3
2CF68D	LAmax	A	23 190,0	103,3	96,5	91,5	86,5	77,5	68,3	61,7	54,6	47,5	40,4
2CF68D	LAmax	D	25 940,0	101,9	94,6	89,8	85,0	77,5	68,9	62,6	55,3	47,5	37,2
2CF68D	LAmax	D	39 180,0	104,2	97,6	93,1	89,0	81,7	73,4	66,8	60,1	52,2	42,2
2CF68D	LAmax	D	51 530,0	108,4	102,1	97,8	93,5	86,7	78,9	72,8	66,3	58,7	49,2
2CF68D	LAmax	D	55 500,0	111,4	105,1	100,8	96,5	88,7	82,4	76,3	70,3	62,7	54,0
2CF68D	SEL	A	10 020,0	99,5	95,1	91,4	88,3	82,5	76,3	71,9	66,6	61,3	56,3
2CF68D	SEL	A	23 190,0	105,1	100,6	97,1	93,7	87,0	80,1	75,1	69,5	64,0	58,4
2CF68D	SEL	D	25 940,0	103,7	98,7	95,4	92,2	87,0	80,7	76,0	70,2	64,0	55,2
2CF68D	SEL	D	39 180,0	106,0	101,7	98,7	96,2	91,2	85,2	80,2	75,0	68,7	60,2
2CF68D	SEL	D	51 530,0	110,2	106,2	103,4	100,7	96,2	90,7	86,2	81,2	75,2	67,2
2CF68D	SEL	D	55 500,0	113,2	109,2	106,4	103,7	98,2	94,2	89,7	85,2	79,2	72,0
2J155D	LAmax	A	500,0	87,0	79,3	74,0	68,2	59,0	49,2	42,4	35,2	27,6	20,0
2J155D	LAmax	A	1 000,0	92,9	85,4	80,2	74,6	65,6	56,0	49,4	42,4	35,0	27,6

▼M2

Μέτρηση θορύβου	NPD_ID	Είδος λειτουργίας (Op type)	Ρύθμιση ισχύος (το πεδίο «Παράμετρος ισχύος» στον πίνακα «Αεροσκάφος» ορίζει τον τύπο και τη μονάδα ρύθμισης της ισχύος)	L_200ft	L_400ft	L_630ft	L_1000ft	L_2000ft	L_4000ft	L_6300ft	L_10000ft	L_16000ft	L_25000ft
2J155D	LAmax	D	1 500,0	98,3	90,9	85,7	80,1	71,2	61,7	55,1	48,1	40,7	33,4
2J155D	LAmax	D	2 400,0	103,2	97,1	92,5	87,5	79,2	70,0	63,4	56,3	48,7	41,1
2J155D	LAmax	D	2 800,0	107,7	101,4	96,9	91,8	83,5	74,2	67,7	60,6	53,0	45,4
2J155D	SEL	A	500,0	87,3	81,9	78,1	73,8	66,9	59,3	54,0	48,3	42,3	36,2
2J155D	SEL	A	1 000,0	93,3	88,1	84,4	80,3	73,6	66,3	61,1	55,6	49,7	43,8
2J155D	SEL	D	1 500,0	99,5	94,3	90,6	86,5	79,9	72,6	67,5	62,0	56,1	50,3
2J155D	SEL	D	2 400,0	106,2	102,4	99,3	95,8	89,8	82,8	77,8	72,2	66,1	59,9
2J155D	SEL	D	2 800,0	109,9	106,0	102,9	99,4	93,3	86,4	81,3	75,7	69,6	63,4
2JT8D	LAmax	A	3 000,0	102,6	94,6	88,6	82,3	73,8	64,5	58,0	51,0	42,8	34,4
2JT8D	LAmax	A	6 000,0	105,4	97,9	91,5	85,8	77,2	68,5	61,9	55,1	47,1	38,5
2JT8D	LAmax	D	8 000,0	108,6	100,7	95,6	89,9	81,8	73,2	66,5	59,9	52,0	43,8
2JT8D	LAmax	D	10 000,0	111,6	104,3	99,5	94,6	86,3	77,7	71,8	64,9	57,2	48,9
2JT8D	LAmax	D	12 000,0	115,9	108,9	104,3	99,4	91,1	82,8	76,8	70,1	62,8	54,6
2JT8D	LAmax	D	14 000,0	120,8	113,4	109,4	104,5	96,4	88,2	82,3	75,8	68,6	60,9
2JT8D	SEL	A	3 000,0	102,3	97,2	92,9	88,5	82,8	75,6	70,9	65,4	58,8	51,8
2JT8D	SEL	A	6 000,0	106,1	100,5	96,7	93,0	87,2	80,9	76,1	70,7	64,1	56,9
2JT8D	SEL	D	8 000,0	108,8	103,9	100,5	96,8	91,5	85,7	80,5	75,1	68,9	62,0
2JT8D	SEL	D	10 000,0	111,4	107,2	104,3	101,1	95,7	89,5	85,0	79,8	73,5	66,7
2JT8D	SEL	D	12 000,0	115,1	111,1	108,4	105,5	100,2	94,3	89,9	85,0	78,8	72,1

▼M2

Μέτρηση θορύβου	NPD_ID	Είδος λειτουργίας (Op type)	Ρύθμιση ισχύος (το πεδίο «Παράμετρος ισχύος» στον πίνακα «Αεροσκάφος» ορίζει τον τύπο και τη μονάδα ρύθμισης της ισχύος)	L_200ft	L_400ft	L_630ft	L_1000ft	L_2000ft	L_4000ft	L_6300ft	L_10000ft	L_16000ft	L_25000ft
2JT8D	SEL	D	14 000,0	119,8	115,9	113,3	110,5	105,4	99,7	95,3	90,3	84,5	78,4
2JT8D2	LAmax	A	4 000,0	89,8	82,7	78,0	73,2	65,6	57,3	51,1	44,5	37,7	31,3
2JT8D2	LAmax	A	4 667,0	90,8	83,6	79,0	74,2	66,6	58,2	52,0	45,4	38,6	32,2
2JT8D2	LAmax	A	5 333,0	91,8	84,6	79,9	75,1	67,5	59,1	52,9	46,3	39,4	33,0
2JT8D2	LAmax	A	6 000,0	92,9	85,6	80,9	76,1	68,4	60,0	53,8	47,1	40,3	33,9
2JT8D2	LAmax	D	9 000,0	100,6	93,9	89,5	84,8	77,3	69,0	62,9	56,1	49,2	42,5
2JT8D2	LAmax	D	11 000,0	103,0	96,3	91,9	87,2	79,6	71,2	65,0	58,2	51,2	44,4
2JT8D2	LAmax	D	13 000,0	105,4	98,7	94,2	89,5	81,8	73,3	67,1	60,2	53,1	46,3
2JT8D2	LAmax	D	15 000,0	107,8	101,1	96,6	91,8	84,1	75,5	69,2	62,2	55,1	48,2
2JT8D2	LAmax	D	17 000,0	110,2	103,5	99,0	94,2	86,4	77,6	71,3	64,2	57,0	50,1
2JT8D2	LAmax	D	19 000,0	112,6	105,9	101,4	96,5	88,6	79,8	73,4	66,2	59,0	52,0
2JT8D2	SEL	A	4 000,0	91,5	87,5	84,7	81,9	77,1	71,6	67,2	62,4	57,5	52,9
2JT8D2	SEL	A	4 667,0	92,6	88,5	85,8	82,9	78,1	72,6	68,2	63,4	58,5	53,8
2JT8D2	SEL	A	5 333,0	93,7	89,6	86,8	83,9	79,1	73,6	69,2	64,4	59,4	54,8
2JT8D2	SEL	A	6 000,0	94,7	90,6	87,8	84,9	80,1	74,6	70,2	65,4	60,4	55,7
2JT8D2	SEL	D	9 000,0	100,1	96,3	93,7	91,0	86,3	80,8	76,6	71,6	66,5	61,7
2JT8D2	SEL	D	11 000,0	102,4	98,7	96,1	93,3	88,6	83,0	78,7	73,7	68,7	63,8
2JT8D2	SEL	D	13 000,0	104,8	101,0	98,5	95,6	90,9	85,2	80,9	75,9	70,8	65,9
2JT8D2	SEL	D	15 000,0	107,1	103,4	100,8	98,0	93,1	87,4	83,1	78,0	72,9	68,0

▼M2

Μέτρηση θορύβου	NPD_ID	Είδος λειτουργίας (Op type)	Ρύθμιση ισχύος (το πεδίο «Παράμετρος ισχύος» στον πίνακα «Αεροσκάφος» ορίζει τον τύπο και τη μονάδα ρύθμισης της ισχύος)	L_200ft	L_400ft	L_630ft	L_1000ft	L_2000ft	L_4000ft	L_6300ft	L_10000ft	L_16000ft	L_25000ft
2JT8D2	SEL	D	17 000,0	109,5	105,7	103,2	100,3	95,4	89,6	85,2	80,2	75,0	70,1
2JT8D2	SEL	D	19 000,0	111,8	108,1	105,5	102,7	97,7	91,8	87,4	82,3	77,2	72,2
2JT8DH	LAmax	A	3 000,0	88,6	83,0	76,9	71,2	62,7	54,1	48,0	41,2	33,4	25,2
2JT8DH	LAmax	A	6 000,0	93,9	88,7	84,5	79,9	72,5	64,0	57,8	50,8	42,9	34,3
2JT8DH	LAmax	D	8 000,0	101,1	94,5	90,0	85,2	77,5	68,8	62,5	55,4	47,3	38,7
2JT8DH	LAmax	D	10 000,0	103,5	96,9	92,5	87,7	79,9	71,2	64,8	57,6	49,6	41,2
2JT8DH	LAmax	D	12 000,0	108,0	101,4	97,0	92,2	84,5	75,8	69,4	62,4	54,4	45,9
2JT8DH	LAmax	D	14 000,0	110,7	104,2	99,8	95,1	87,5	79,0	72,8	65,9	58,2	50,0
2JT8DH	SEL	A	3 000,0	92,6	88,5	85,0	81,2	75,5	69,0	64,1	58,5	51,9	44,9
2JT8DH	SEL	A	6 000,0	97,9	93,6	90,8	87,9	83,0	76,7	71,7	65,9	59,2	51,8
2JT8DH	SEL	D	8 000,0	99,5	95,8	93,2	90,3	85,4	79,0	73,8	67,9	61,1	53,6
2JT8DH	SEL	D	10 000,0	103,6	99,9	97,3	94,4	89,5	83,0	77,8	71,8	65,0	57,7
2JT8DH	SEL	D	12 000,0	107,2	103,5	100,9	98,0	93,1	86,7	81,5	75,6	68,9	61,5
2JT8DH	SEL	D	14 000,0	110,8	107,2	104,6	101,8	97,0	90,6	85,6	79,9	73,4	66,4
2JT8DL	LAmax	A	3 000,0	92,7	85,7	80,8	75,8	67,8	59,0	52,6	45,4	37,2	28,7
2JT8DL	LAmax	A	6 000,0	96,7	89,9	85,3	80,4	72,4	63,6	57,2	50,0	41,8	33,2
2JT8DL	LAmax	D	8 000,0	102,0	95,2	90,7	85,8	77,8	69,0	62,6	55,5	47,3	38,7
2JT8DL	LAmax	D	10 000,0	105,7	98,5	93,9	89,0	81,0	72,2	65,8	58,6	50,6	42,0

▼M2

Μέτρηση θορύβου	NPD_ID	Είδος λειτουργίας (Op type)	Ρύθμιση ισχύος (το πεδίο «Παράμετρος ισχύος» στον πίνακα «Αεροσκάφος» ορίζει τον τύπο και τη μονάδα ρύθμισης της ισχύος)	L_200ft	L_400ft	L_630ft	L_1000ft	L_2000ft	L_4000ft	L_6300ft	L_10000ft	L_16000ft	L_25000ft
2JT8DL	LAmax	D	12 000,0	109,3	102,5	98,0	93,2	85,3	76,5	70,0	62,9	54,9	46,4
2JT8DL	LAmax	D	14 000,0	112,5	105,8	101,3	96,4	88,5	79,5	72,9	65,7	57,6	49,1
2JT8DL	SEL	A	3 000,0	94,7	90,2	87,0	83,7	78,4	71,7	66,5	60,4	53,5	46,1
2JT8DL	SEL	A	6 000,0	97,9	94,0	91,2	88,2	83,0	76,5	71,2	65,2	58,3	50,8
2JT8DL	SEL	D	8 000,0	101,2	97,3	94,5	91,5	86,3	79,7	74,5	68,5	61,6	54,1
2JT8DL	SEL	D	10 000,0	104,6	101,3	98,4	95,3	90,1	83,6	78,3	72,4	65,5	58,1
2JT8DL	SEL	D	12 000,0	108,1	104,7	101,9	99,0	94,0	87,4	82,1	76,2	69,4	62,1
2JT8DL	SEL	D	14 000,0	111,7	108,0	105,3	102,4	97,3	90,6	85,3	79,2	72,3	65,0
2JT8DN	LAmax	A	3 000,0	90,6	84,2	79,7	74,9	67,3	59,2	53,6	47,7	41,5	35,4
2JT8DN	LAmax	A	5 000,0	95,8	89,3	84,8	80,0	72,4	64,3	58,8	52,9	46,6	40,5
2JT8DN	LAmax	D	6 000,0	96,8	90,8	86,5	81,8	74,1	65,8	59,9	53,7	47,0	40,4
2JT8DN	LAmax	D	8 000,0	101,2	95,2	90,9	86,1	78,5	70,2	64,4	58,2	51,6	45,0
2JT8DN	LAmax	D	10 000,0	105,1	99,1	94,7	90,0	82,3	73,8	67,9	61,6	54,8	48,0
2JT8DN	LAmax	D	12 000,0	108,5	102,5	98,1	93,3	85,5	77,0	71,0	64,6	57,8	51,0
2JT8DN	LAmax	D	14 000,0	111,4	105,4	101,0	96,3	88,5	80,1	74,1	67,8	60,9	54,2
2JT8DN	LAmax	D	16 000,0	113,8	107,8	103,4	98,7	90,9	82,5	76,5	70,1	63,3	56,6
2JT8DN	SEL	A	3 000,0	94,0	90,4	87,5	84,2	78,4	71,7	66,7	61,3	55,3	49,3
2JT8DN	SEL	A	5 000,0	98,5	94,9	92,1	88,8	83,0	76,3	71,4	66,0	60,0	53,9

▼M2

Μέτρηση θορύβου	NPD_ID	Είδος λειτουργίας (Op type)	Ρύθμιση ισχύος (το πεδίο «Παράμετρος ισχύος» στον πίνακα «Αεροσκάφος» ορίζει τον τύπο και τη μονάδα ρύθμισης της ισχύος)	L_200ft	L_400ft	L_630ft	L_1000ft	L_2000ft	L_4000ft	L_6300ft	L_10000ft	L_16000ft	L_25000ft
2JT8DN	SEL	D	6 000,0	98,6	94,8	92,0	88,8	83,4	77,4	73,0	68,3	63,1	57,9
2JT8DN	SEL	D	8 000,0	102,7	99,0	96,1	92,9	87,6	81,5	77,2	72,5	67,4	62,3
2JT8DN	SEL	D	10 000,0	106,6	102,9	100,0	96,8	91,3	85,1	80,7	75,9	70,6	65,3
2JT8DN	SEL	D	12 000,0	110,2	106,4	103,5	100,2	94,7	88,4	83,9	79,0	73,7	68,3
2JT8DN	SEL	D	14 000,0	113,1	109,5	106,7	103,5	98,0	91,8	87,3	82,4	77,0	71,6
2JT8DN	SEL	D	16 000,0	115,9	112,3	109,5	106,3	100,8	94,6	90,1	85,2	79,8	74,4
2JT8DQ	LAmax	A	3 000,0	94,9	88,2	83,6	78,6	70,8	62,3	56,1	49,2	41,3	32,8
2JT8DQ	LAmax	A	6 000,0	99,1	92,4	87,8	82,8	75,0	66,5	60,3	53,4	45,5	37,0
2JT8DQ	LAmax	D	8 000,0	104,1	97,4	92,7	87,8	80,0	71,6	65,5	58,6	50,9	42,6
2JT8DQ	LAmax	D	10 000,0	109,2	102,5	98,4	92,8	85,2	76,8	70,8	64,1	56,5	48,5
2JT8DQ	LAmax	D	12 000,0	114,6	107,9	103,3	98,2	90,5	82,3	76,4	69,7	62,4	54,6
2JT8DQ	LAmax	D	14 000,0	120,1	113,4	108,8	104,0	96,1	87,9	82,1	75,6	68,4	60,9
2JT8DQ	SEL	A	3 000,0	94,6	90,8	87,9	84,8	79,8	73,4	69,0	63,6	57,2	50,2
2JT8DQ	SEL	A	6 000,0	99,8	96,0	93,1	90,0	85,0	78,9	74,2	68,8	62,4	55,4
2JT8DQ	SEL	D	8 000,0	104,3	100,6	97,7	94,7	89,7	83,7	79,1	73,8	67,6	60,8
2JT8DQ	SEL	D	10 000,0	109,0	105,2	102,5	99,5	94,6	88,6	84,1	79,0	72,9	66,3
2JT8DQ	SEL	D	12 000,0	113,8	110,1	107,4	104,5	99,6	93,8	89,3	84,2	78,4	72,1
2JT8DQ	SEL	D	14 000,0	119,1	115,4	112,8	110,0	105,1	99,4	95,0	90,1	84,4	78,4

▼M2

Μέτρηση θορύβου	NPD_ID	Είδος λειτουργίας (Op type)	Ρύθμιση ισχύος (το πεδίο «Παράμετρος ισχύος» στον πίνακα «Αεροσκάφος» ορίζει τον τύπο και τη μονάδα ρύθμισης της ισχύος)	L_200ft	L_400ft	L_630ft	L_1000ft	L_2000ft	L_4000ft	L_6300ft	L_10000ft	L_16000ft	L_25000ft
2JT8DW	LAmax	A	3 000,0	102,6	94,6	88,6	82,3	73,8	64,5	58,0	51,0	42,8	34,4
2JT8DW	LAmax	A	6 000,0	105,4	97,9	91,5	85,8	77,2	68,5	61,9	55,1	47,1	38,5
2JT8DW	LAmax	D	8 000,0	108,6	100,7	95,6	89,9	81,8	73,2	66,5	59,9	52,0	43,8
2JT8DW	LAmax	D	10 000,0	111,6	104,3	99,5	94,6	86,3	77,7	71,8	64,9	57,2	48,9
2JT8DW	LAmax	D	12 000,0	115,9	108,9	104,3	99,4	91,1	82,8	76,8	70,1	62,8	54,6
2JT8DW	LAmax	D	14 000,0	120,8	113,4	109,4	104,5	96,4	88,2	82,3	75,8	68,6	60,9
2JT8DW	SEL	A	3 000,0	102,3	97,2	92,9	88,5	82,8	75,6	70,9	65,4	58,8	51,8
2JT8DW	SEL	A	6 000,0	106,1	100,5	96,7	93,0	87,2	80,9	76,1	70,7	64,1	56,9
2JT8DW	SEL	D	8 000,0	108,8	103,9	100,5	96,8	91,5	85,7	80,5	75,1	68,9	62,0
2JT8DW	SEL	D	10 000,0	111,4	107,2	104,3	101,1	95,7	89,5	85,0	79,8	73,5	66,7
2JT8DW	SEL	D	12 000,0	115,1	111,1	108,4	105,5	100,2	94,3	89,9	85,0	78,8	72,1
2JT8DW	SEL	D	14 000,0	119,8	115,9	113,3	110,5	105,4	99,7	95,3	90,3	84,5	78,4
2JT8QW	LAmax	A	3 000,0	94,9	88,2	83,6	78,6	70,8	62,3	56,1	49,2	41,3	32,8
2JT8QW	LAmax	A	6 000,0	99,1	92,4	87,8	82,8	75,0	66,5	60,3	53,4	45,5	37,0
2JT8QW	LAmax	D	8 000,0	104,1	97,4	92,7	87,8	80,0	71,6	65,5	58,6	50,9	42,6
2JT8QW	LAmax	D	10 000,0	109,2	102,5	98,4	92,8	85,2	76,8	70,8	64,1	56,5	48,5
2JT8QW	LAmax	D	12 000,0	114,6	107,9	103,3	98,2	90,5	82,3	76,4	69,7	62,4	54,6
2JT8QW	LAmax	D	14 000,0	120,1	113,4	108,8	104,0	96,1	87,9	82,1	75,6	68,4	60,9

▼M2

Μέτρηση θορύβου	NPD_ID	Είδος λειτουργίας (Op type)	Ρύθμιση ισχύος (το πεδίο «Παράμετρος ισχύος» στον πίνακα «Αεροσκάφος» ορίζει τον τύπο και τη μονάδα ρύθμισης της ισχύος)	L_200ft	L_400ft	L_630ft	L_1000ft	L_2000ft	L_4000ft	L_6300ft	L_10000ft	L_16000ft	L_25000ft
2JT8QW	SEL	A	3 000,0	94,6	90,8	87,9	84,8	79,8	73,4	69,0	63,6	57,2	50,2
2JT8QW	SEL	A	6 000,0	99,8	96,0	93,1	90,0	85,0	78,9	74,2	68,8	62,4	55,4
2JT8QW	SEL	D	8 000,0	104,3	100,6	97,7	94,7	89,7	83,7	79,1	73,8	67,6	60,8
2JT8QW	SEL	D	10 000,0	109,0	105,2	102,5	99,5	94,6	88,6	84,1	79,0	72,9	66,3
2JT8QW	SEL	D	12 000,0	113,8	110,1	107,4	104,5	99,6	93,8	89,3	84,2	78,4	72,1
2JT8QW	SEL	D	14 000,0	119,1	115,4	112,8	110,0	105,1	99,4	95,0	90,1	84,4	78,4
2PW535	LAmax	A	500,0	89,5	81,8	76,3	70,3	60,6	50,0	42,6	34,6	26,2	17,7
2PW535	LAmax	A	700,0	89,6	82,2	76,9	71,1	61,6	51,2	43,9	36,1	28,7	19,5
2PW535	LAmax	D	1 200,0	96,1	87,5	81,6	75,4	65,6	55,3	48,3	40,9	33,2	25,6
2PW535	LAmax	D	1 600,0	99,2	89,9	83,7	77,2	67,2	57,0	50,2	43,1	35,8	28,8
2PW535	LAmax	D	2 000,0	100,7	92,2	86,4	80,3	70,9	61,1	54,4	47,4	40,2	33,1
2PW535	LAmax	D	3 000,0	103,5	96,4	91,5	86,1	77,3	67,9	61,3	54,3	46,8	39,4
2PW535	SEL	A	500,0	89,4	84,8	81,3	77,4	70,8	63,2	57,8	51,9	45,6	39,1
2PW535	SEL	A	700,0	89,3	85,1	81,8	78,1	71,7	64,5	59,3	53,5	47,3	41,0
2PW535	SEL	D	1 200,0	90,8	87,1	84,1	80,7	74,7	67,8	62,8	57,2	51,1	44,9
2PW535	SEL	D	1 600,0	92,6	89,0	86,2	82,9	77,2	70,6	65,8	60,5	54,7	48,8
2PW535	SEL	D	2 000,0	96,0	92,3	89,4	86,1	80,4	73,9	69,2	64,0	58,3	52,6
2PW535	SEL	D	3 000,0	102,3	98,9	96,2	93,1	87,7	81,5	77,0	72,0	66,6	61,1

▼M2

Μέτρηση θορύβου	NPD_ID	Είδος λειτουργίας (Op type)	Ρύθμιση ισχύος (το πεδίο «Παράμετρος ισχύος» στον πίνακα «Αεροσκάφος» ορίζει τον τύπο και τη μονάδα ρύθμισης της ισχύος)	L_200ft	L_400ft	L_630ft	L_1000ft	L_2000ft	L_4000ft	L_6300ft	L_10000ft	L_16000ft	L_25000ft
2R2800	LAmax	A	30,0	92,6	86,1	81,7	77,0	69,5	61,3	55,5	49,6	43,4	36,6
2R2800	LAmax	A	100,0	103,5	97,2	92,9	88,4	81,3	73,6	68,0	61,9	55,3	47,9
2R2800	LAmax	D	30,0	92,6	86,1	81,7	77,0	69,5	61,3	55,5	49,6	43,4	36,6
2R2800	LAmax	D	100,0	103,5	97,2	92,9	88,4	81,3	73,6	68,0	61,9	55,3	47,9
2R2800	SEL	A	30,0	96,9	92,7	89,7	86,5	81,3	75,3	71,0	66,6	61,9	56,6
2R2800	SEL	A	100,0	107,5	103,0	99,9	96,6	91,3	85,4	81,0	76,2	70,7	64,5
2R2800	SEL	D	30,0	96,9	92,7	89,7	86,5	81,3	75,3	71,0	66,6	61,9	56,6
2R2800	SEL	D	100,0	107,5	103,0	99,9	96,6	91,3	85,4	81,0	76,2	70,7	64,5
3JT8D	LAmax	A	3 000,0	104,6	96,6	90,6	84,3	75,8	66,5	60,0	53,0	44,8	36,4
3JT8D	LAmax	A	6 000,0	107,4	98,9	93,5	87,8	79,2	70,5	63,9	57,1	49,1	40,5
3JT8D	LAmax	D	8 000,0	110,6	102,7	97,6	91,9	83,8	75,2	68,5	61,9	54,0	45,8
3JT8D	LAmax	D	10 000,0	113,6	106,3	101,5	96,6	88,3	79,7	73,8	66,9	59,2	50,9
3JT8D	LAmax	D	12 000,0	117,9	110,9	106,3	101,4	93,1	84,8	78,8	72,1	64,8	56,6
3JT8D	LAmax	D	14 000,0	122,8	115,4	111,4	106,5	98,4	90,2	84,3	77,8	70,6	62,8
3JT8D	SEL	A	3 000,0	104,3	99,2	94,9	90,5	84,8	77,6	72,9	67,4	60,8	53,8
3JT8D	SEL	A	6 000,0	108,1	102,5	98,7	95,0	89,2	82,9	78,1	72,7	66,1	58,9
3JT8D	SEL	D	8 000,0	110,8	105,9	102,5	98,8	93,5	87,7	82,5	77,1	70,9	64,0
3JT8D	SEL	D	10 000,0	113,4	109,2	106,3	103,1	97,7	91,5	87,0	81,8	75,5	68,7

▼M2

Μέτρηση θορύβου	NPD_ID	Είδος λειτουργίας (Op type)	Ρύθμιση ισχύος (το πεδίο «Παράμετρος ισχύος» στον πίνακα «Αεροσκάφος» ορίζει τον τύπο και τη μονάδα ρύθμισης της ισχύος)	L_200ft	L_400ft	L_630ft	L_1000ft	L_2000ft	L_4000ft	L_6300ft	L_10000ft	L_16000ft	L_25000ft
3JT8D	SEL	D	12 000,0	117,1	113,1	110,4	107,5	102,2	96,3	91,9	87,0	80,8	74,1
3JT8D	SEL	D	14 000,0	121,8	117,9	115,3	112,5	107,4	101,7	97,3	92,3	86,5	80,4
3JT8DQ	LAmax	A	3 000,0	96,9	90,2	85,6	80,6	72,8	64,3	58,1	51,2	43,3	34,8
3JT8DQ	LAmax	A	6 000,0	101,1	94,4	89,8	84,8	77,0	68,5	62,3	55,4	47,5	39,0
3JT8DQ	LAmax	D	8 000,0	106,1	99,4	94,8	89,8	82,0	73,6	67,5	60,6	52,9	44,6
3JT8DQ	LAmax	D	10 000,0	111,2	104,5	99,9	95,0	87,2	78,8	72,8	66,1	58,5	50,5
3JT8DQ	LAmax	D	12 000,0	116,6	109,9	105,3	100,4	92,5	84,3	78,4	71,7	64,4	56,6
3JT8DQ	LAmax	D	14 000,0	122,1	115,4	110,8	106,0	98,1	89,9	84,1	77,6	70,4	62,9
3JT8DQ	SEL	A	3 000,0	96,6	92,8	89,8	86,8	81,8	75,4	71,0	65,6	59,2	52,2
3JT8DQ	SEL	A	6 000,0	101,8	98,0	95,1	92,0	87,0	80,9	76,2	70,8	64,4	57,4
3JT8DQ	SEL	D	8 000,0	106,3	102,6	99,7	96,7	91,7	85,7	81,1	75,8	69,6	62,8
3JT8DQ	SEL	D	10 000,0	111,0	107,2	104,5	101,5	96,6	90,6	86,1	81,0	74,9	68,3
3JT8DQ	SEL	D	12 000,0	115,8	112,1	109,4	106,5	101,6	95,8	91,3	86,2	80,4	74,1
3JT8DQ	SEL	D	14 000,0	121,1	117,4	114,8	112,0	107,1	101,4	97,0	92,1	86,4	80,4
3JT8E5	LAmax	A	3 000,0	96,4	89,3	84,5	79,3	71,3	62,6	56,1	49,0	41,0	32,0
3JT8E5	LAmax	A	5 000,0	98,0	91,3	86,7	81,8	74,0	65,4	59,1	52,2	44,3	35,6
3JT8E5	LAmax	D	7 000,0	104,7	97,8	93,0	87,8	79,5	70,3	63,4	55,8	47,3	38,0
3JT8E5	LAmax	D	10 000,0	109,2	102,3	97,5	92,4	84,2	75,1	68,4	61,3	53,3	44,7

▼M2

Μέτρηση θορύβου	NPD_ID	Είδος λειτουργίας (Op type)	Ρύθμιση ισχύος (το πεδίο «Παράμετρος ισχύος» στον πίνακα «Αεροσκάφος» ορίζει τον τύπο και τη μονάδα ρύθμισης της ισχύος)	L_200ft	L_400ft	L_630ft	L_1000ft	L_2000ft	L_4000ft	L_6300ft	L_10000ft	L_16000ft	L_25000ft
3JT8E5	LAmax	D	12 000,0	112,1	105,3	100,6	95,6	87,7	79,3	73,2	66,7	59,5	51,5
3JT8E5	LAmax	D	14 000,0	115,5	108,7	104,1	99,1	91,4	83,1	77,1	70,9	63,9	56,2
3JT8E5	SEL	A	3 000,0	98,2	93,4	90,1	86,5	80,8	74,4	69,5	63,9	57,5	50,0
3JT8E5	SEL	A	5 000,0	99,8	95,4	92,3	89,0	83,5	77,2	72,5	67,1	60,8	53,6
3JT8E5	SEL	D	7 000,0	106,5	101,9	98,6	95,0	89,0	82,1	76,8	70,7	63,8	56,0
3JT8E5	SEL	D	10 000,0	111,0	106,4	103,1	99,6	93,7	86,9	81,8	76,2	69,8	62,7
3JT8E5	SEL	D	12 000,0	113,9	109,4	106,2	102,8	97,2	91,1	86,6	81,6	76,0	69,5
3JT8E5	SEL	D	14 000,0	117,3	112,8	109,7	106,3	100,9	94,9	90,5	85,8	80,4	74,2
3JT8E7	LAmax	A	3 000,0	95,1	88,3	84,0	78,3	70,1	61,1	54,4	47,2	39,2	30,4
3JT8E7	LAmax	A	5 000,0	98,1	91,3	86,5	81,3	73,1	64,1	57,4	50,2	42,2	33,4
3JT8E7	LAmax	D	7 000,0	103,9	97,0	92,2	87,0	78,7	69,5	62,6	55,0	46,5	37,2
3JT8E7	LAmax	D	10 000,0	109,1	102,2	97,4	92,2	83,9	74,7	68,0	60,8	52,9	44,0
3JT8E7	LAmax	D	12 000,0	111,9	105,2	100,4	95,4	87,4	78,6	72,1	65,1	57,0	47,9
3JT8E7	LAmax	D	14 000,0	114,6	107,9	103,2	98,2	90,3	81,7	75,2	68,3	60,5	51,7
3JT8E7	SEL	A	3 000,0	96,9	92,4	89,6	85,5	79,6	72,9	67,8	62,1	55,7	48,4
3JT8E7	SEL	A	5 000,0	99,9	95,4	92,1	88,5	82,6	75,9	70,8	65,1	58,7	51,4
3JT8E7	SEL	D	7 000,0	105,7	101,1	97,8	94,2	88,2	81,3	76,0	69,9	63,0	55,2
3JT8E7	SEL	D	10 000,0	110,9	106,3	103,0	99,4	93,4	86,5	81,4	75,7	69,4	62,0

▼M2

Μέτρηση θορύβου	NPD_ID	Είδος λειτουργίας (Op type)	Ρύθμιση ισχύος (το πεδίο «Παράμετρος ισχύος» στον πίνακα «Αεροσκάφος» ορίζει τον τύπο και τη μονάδα ρύθμισης της ισχύος)	L_200ft	L_400ft	L_630ft	L_1000ft	L_2000ft	L_4000ft	L_6300ft	L_10000ft	L_16000ft	L_25000ft
3JT8E7	SEL	D	12 000,0	113,7	109,3	106,0	102,6	96,9	90,4	85,5	80,0	73,5	65,9
3JT8E7	SEL	D	14 000,0	116,4	112,0	108,8	105,4	99,8	93,5	88,6	83,2	77,0	69,7
4R2800	LAmax	A	30,0	95,6	89,1	84,7	80,0	72,5	64,3	58,5	52,6	46,4	39,6
4R2800	LAmax	A	100,0	106,5	100,2	95,9	91,4	84,3	76,6	71,0	64,9	58,3	50,9
4R2800	LAmax	D	30,0	95,6	89,1	84,7	80,0	72,5	64,3	58,5	52,6	46,4	39,6
4R2800	LAmax	D	100,0	106,5	100,2	95,9	91,4	84,3	76,6	71,0	64,9	58,3	50,9
4R2800	SEL	A	30,0	99,9	95,7	92,7	89,5	84,3	78,3	74,0	69,6	64,9	59,6
4R2800	SEL	A	100,0	110,5	106,0	102,9	99,6	94,3	88,4	84,0	79,2	73,7	67,5
4R2800	SEL	D	30,0	99,9	95,7	92,7	89,5	84,3	78,3	74,0	69,6	64,9	59,6
4R2800	SEL	D	100,0	110,5	106,0	102,9	99,6	94,3	88,4	84,0	79,2	73,7	67,5
501D13	LAmax	A	30,0	93,0	86,4	81,8	76,9	68,9	59,4	52,0	44,0	36,2	28,6
501D13	LAmax	A	100,0	96,8	90,3	85,9	81,3	74,3	67,0	62,1	57,0	51,5	45,4
501D13	LAmax	D	30,0	93,0	86,4	81,8	76,9	68,9	59,4	52,0	44,0	36,2	28,6
501D13	LAmax	D	100,0	96,8	90,3	85,9	81,3	74,3	67,0	62,1	57,0	51,5	45,4
501D13	SEL	A	30,0	95,0	90,7	87,6	84,2	78,4	71,2	65,3	58,8	52,5	46,4
501D13	SEL	A	100,0	97,1	92,8	89,9	86,8	82,0	77,0	73,6	69,9	66,0	61,4
501D13	SEL	D	30,0	95,0	90,7	87,6	84,2	78,4	71,2	65,3	58,8	52,5	46,4

▼**M2**

Μέτρηση θορύβου	NPD_ID	Είδος λειτουργίας (Op type)	Ρύθμιση ισχύος (το πεδίο «Παράμετρος ισχύος» στον πίνακα «Αεροσκάφος» ορίζει τον τύπο και τη μονάδα ρύθμισης της ισχύος)	L_200ft	L_400ft	L_630ft	L_1000ft	L_2000ft	L_4000ft	L_6300ft	L_10000ft	L_16000ft	L_25000ft
501D13	SEL	D	100,0	97,1	92,8	89,9	86,8	82,0	77,0	73,6	69,9	66,0	61,4
A310	LAmax	A	3 000,0	92,2	86,2	81,7	77,0	69,2	60,4	54,0	47,1	39,4	31,4
A310	LAmax	A	12 000,0	95,5	89,4	84,4	79,2	70,8	61,9	55,6	48,6	40,8	32,6
A310	LAmax	D	20 000,0	101,6	93,8	88,6	82,7	73,0	63,1	56,1	48,3	40,1	31,8
A310	LAmax	D	30 000,0	103,4	95,3	89,9	84,2	75,4	66,1	59,6	52,5	44,5	36,1
A310	LAmax	D	40 000,0	104,4	96,9	91,9	86,6	78,3	69,2	62,7	55,7	48,0	39,7
A310	LAmax	D	50 000,0	108,8	101,6	96,7	91,5	83,0	73,7	67,7	61,0	53,3	44,8
A310	SEL	A	3 000,0	97,5	93,3	90,1	87,0	81,6	75,7	71,2	66,4	60,0	51,9
A310	SEL	A	12 000,0	98,9	94,5	91,3	88,0	82,6	76,4	71,8	66,4	60,5	52,3
A310	SEL	D	20 000,0	102,7	98,3	94,5	90,5	83,8	76,5	71,6	66,1	59,5	52,7
A310	SEL	D	30 000,0	103,7	99,2	95,8	92,3	86,7	80,4	75,8	70,4	64,3	57,6
A310	SEL	D	40 000,0	104,5	100,4	97,6	94,4	89,2	83,4	79,0	73,9	68,0	61,4
A310	SEL	D	50 000,0	108,0	103,9	101,2	98,2	93,3	87,8	83,6	78,6	72,9	66,4
AE3007	LAmax	A	2 000,0	85,5	78,7	74,2	69,3	61,5	52,7	46,4	39,3	31,2	22,7
AE3007	LAmax	A	3 000,0	90,4	83,5	78,7	73,5	65,5	56,8	50,6	43,6	35,4	26,9
AE3007	LAmax	D	4 000,0	90,8	84,3	79,8	75,1	67,5	58,9	52,6	45,5	37,4	28,6
AE3007	LAmax	D	5 000,0	93,0	86,6	82,1	77,4	69,8	61,2	54,9	47,8	39,8	31,3
AE3007	LAmax	D	6 000,0	96,0	89,5	85,0	80,3	72,6	64,0	57,7	50,6	42,5	34,0
AE3007	SEL	A	2 000,0	89,8	85,6	82,7	79,5	74,1	67,8	63,2	57,7	51,4	44,3

▼M2

Μέτρηση θορύβου	NPD_ID	Είδος λειτουργίας (Op type)	Ρύθμιση ισχύος (το πεδίο «Παράμετρος ισχύος» στον πίνακα «Αεροσκάφος» ορίζει τον τύπο και τη μονάδα ρύθμισης της ισχύος)	L_200ft	L_400ft	L_630ft	L_1000ft	L_2000ft	L_4000ft	L_6300ft	L_10000ft	L_16000ft	L_25000ft
AE3007	SEL	A	3 000,0	92,7	88,6	85,6	82,3	77,0	70,9	66,3	61,0	54,8	47,9
AE3007	SEL	D	4 000,0	91,7	88,1	85,4	82,5	77,7	72,0	67,6	62,4	56,1	49,1
AE3007	SEL	D	5 000,0	93,6	90,0	87,4	84,6	79,8	74,2	69,9	64,8	58,7	51,9
AE3007	SEL	D	6 000,0	96,7	93,0	90,3	87,5	82,8	77,2	72,8	67,7	61,6	54,9
AE300C	LAmax	A	1 100,0	88,6	80,4	74,8	69,0	59,9	50,4	44,0	37,0	30,4	23,6
AE300C	LAmax	A	1 400,0	88,6	80,4	74,8	69,0	59,9	50,4	44,0	37,0	30,4	23,6
AE300C	LAmax	A	1 900,0	88,6	80,7	75,3	69,5	60,6	51,3	44,9	38,1	31,3	24,5
AE300C	LAmax	D	3 500,0	90,6	83,5	78,4	73,1	64,4	55,2	48,7	42,0	34,7	27,5
AE300C	LAmax	D	4 500,0	92,7	85,7	80,7	75,5	67,1	58,1	51,9	45,2	38,3	31,4
AE300C	LAmax	D	5 500,0	94,7	88,0	83,3	78,2	69,9	60,9	54,7	47,9	40,9	33,9
AE300C	SEL	A	1 100,0	91,1	86,1	82,6	78,7	72,5	65,8	61,1	56,0	50,8	45,5
AE300C	SEL	A	1 400,0	91,1	86,1	82,6	78,7	72,5	65,8	61,1	56,0	50,8	45,5
AE300C	SEL	A	1 900,0	92,5	87,1	83,3	79,4	73,1	66,4	61,8	56,7	51,8	46,8
AE300C	SEL	D	3 500,0	92,9	88,2	84,7	80,8	74,4	67,2	62,1	56,7	50,6	44,6
AE300C	SEL	D	4 500,0	95,2	90,4	87,0	83,2	77,1	70,4	65,7	60,6	55,2	49,8
AE300C	SEL	D	5 500,0	96,6	92,4	89,3	85,7	79,7	72,9	68,0	62,7	57,0	51,2
AL502L	LAmax	A	1 900,0	88,4	81,5	76,6	71,3	62,7	53,2	46,4	39,1	31,4	23,2
AL502L	LAmax	A	5 000,0	98,0	91,5	86,9	82,2	74,4	65,8	59,4	52,6	45,1	36,8

▼M2

Μέτρηση θορύβου	NPD_ID	Είδος λειτουργίας (Op type)	Ρύθμιση ισχύος (το πεδίο «Παράμετρος ισχύος» στον πίνακα «Αεροσκάφος» ορίζει τον τύπο και τη μονάδα ρύθμισης της ισχύος)	L_200ft	L_400ft	L_630ft	L_1000ft	L_2000ft	L_4000ft	L_6300ft	L_10000ft	L_16000ft	L_25000ft
AL502L	LAmax	D	1 900,0	88,4	81,5	76,6	71,3	62,7	53,2	46,4	39,1	31,4	23,2
AL502L	LAmax	D	5 000,0	98,0	91,5	86,9	82,2	74,4	65,8	59,4	52,6	45,1	36,8
AL502L	SEL	A	1 900,0	90,2	85,5	82,1	78,3	72,0	64,7	59,4	53,6	47,4	40,7
AL502L	SEL	A	5 000,0	101,1	96,8	93,8	90,5	85,0	78,6	73,8	68,4	62,5	55,6
AL502L	SEL	D	1 900,0	90,2	85,5	82,1	78,3	72,0	64,7	59,4	53,6	47,4	40,7
AL502L	SEL	D	5 000,0	101,1	96,8	93,8	90,5	85,0	78,6	73,8	68,4	62,5	55,6
AL502R	LAmax	A	1 600,0	91,2	84,5	79,7	74,5	66,3	57,0	50,1	42,3	33,7	25,0
AL502R	LAmax	A	5 200,0	101,6	94,8	89,8	84,6	76,3	67,5	61,2	54,3	47,0	39,7
AL502R	LAmax	D	1 600,0	91,2	84,5	79,7	74,5	66,3	57,0	50,1	42,3	33,7	25,0
AL502R	LAmax	D	5 200,0	101,6	94,8	89,8	84,6	76,3	67,5	61,2	54,3	47,0	39,7
AL502R	SEL	A	1 600,0	92,9	89,0	86,0	82,7	77,3	70,4	65,0	58,7	51,6	44,3
AL502R	SEL	A	5 200,0	102,3	98,4	95,4	92,1	86,8	80,4	75,6	70,3	64,4	58,7
AL502R	SEL	D	1 600,0	92,9	89,0	86,0	82,7	77,3	70,4	65,0	58,7	51,6	44,3
AL502R	SEL	D	5 200,0	102,3	98,4	95,4	92,1	86,8	80,4	75,6	70,3	64,4	58,7
BR710	LAmax	A	1 830,0	87,7	80,6	75,8	70,7	62,6	54,0	47,8	41,1	33,7	26,0
BR710	LAmax	A	2 000,0	87,9	80,7	75,9	70,7	62,7	54,0	47,9	41,2	33,7	25,9
BR710	LAmax	A	3 000,0	88,9	81,7	76,7	71,5	63,4	54,8	48,6	41,7	34,1	26,1
BR710	LAmax	A	4 000,0	90,1	82,9	77,9	72,7	64,6	55,9	49,7	42,8	35,1	27,1

▼M2

Μέτρηση θορύβου	NPD_ID	Είδος λειτουργίας (Op type)	Ρύθμιση ισχύος (το πεδίο «Παράμετρος ισχύος» στον πίνακα «Αεροσκάφος» ορίζει τον τύπο και τη μονάδα ρύθμισης της ισχύος)	L_200ft	L_400ft	L_630ft	L_1000ft	L_2000ft	L_4000ft	L_6300ft	L_10000ft	L_16000ft	L_25000ft
BR710	LAmax	A	5 000,0	92,5	85,3	80,4	75,0	66,6	57,6	51,1	44,0	35,9	27,5
BR710	LAmax	A	6 000,0	94,7	87,7	82,7	77,3	68,8	59,8	53,3	46,0	37,9	29,3
BR710	LAmax	A	7 000,0	96,7	89,7	84,7	79,3	70,9	61,8	55,2	47,9	39,7	31,1
BR710	LAmax	A	8 000,0	98,4	91,5	86,5	81,1	72,7	63,6	57,1	49,8	41,6	32,9
BR710	LAmax	A	9 000,0	99,9	93,0	88,0	82,7	74,4	65,3	58,8	51,5	43,3	34,7
BR710	LAmax	A	10 000,0	101,0	94,1	89,3	84,0	75,8	66,8	60,4	53,2	45,0	36,5
BR710	LAmax	A	11 000,0	101,6	95,0	90,2	85,1	77,0	68,2	61,8	54,7	46,7	38,3
BR710	LAmax	A	12 000,0	102,6	95,6	90,9	85,9	78,0	69,3	63,1	56,1	48,3	40,1
BR710	LAmax	A	12 900,0	102,9	95,9	91,3	86,4	78,7	70,3	64,1	57,3	49,7	41,7
BR710	LAmax	D	4 000,0	90,0	82,7	77,7	72,5	64,1	55,2	48,9	41,8	33,9	25,7
BR710	LAmax	D	5 000,0	92,5	85,3	80,4	75,0	66,6	57,6	51,1	44,0	35,9	27,5
BR710	LAmax	D	6 000,0	94,7	87,7	82,7	77,3	68,8	59,8	53,3	46,0	37,9	29,3
BR710	LAmax	D	7 000,0	96,7	89,7	84,7	79,3	70,9	61,8	55,2	47,9	39,7	31,1
BR710	LAmax	D	8 000,0	98,4	91,5	86,5	81,1	72,7	63,6	57,1	49,8	41,6	32,9
BR710	LAmax	D	9 000,0	99,9	93,0	88,0	82,7	74,4	65,3	58,8	51,5	43,3	34,7
BR710	LAmax	D	10 000,0	101,0	94,1	89,3	84,0	75,8	66,8	60,4	53,2	45,0	36,5
BR710	LAmax	D	11 000,0	101,6	95,0	90,2	85,1	77,0	68,2	61,8	54,7	46,7	38,3
BR710	LAmax	D	12 000,0	102,6	95,6	90,9	85,9	78,0	69,3	63,1	56,1	48,3	40,1

▼M2

Μέτρηση θορύβου	NPD_ID	Είδος λειτουργίας (Op type)	Ρύθμιση ισχύος (το πεδίο «Παράμετρος ισχύος» στον πίνακα «Αεροσκάφος» ορίζει τον τύπο και τη μονάδα ρύθμισης της ισχύος)	L_200ft	L_400ft	L_630ft	L_1000ft	L_2000ft	L_4000ft	L_6300ft	L_10000ft	L_16000ft	L_25000ft
BR710	LAmax	D	12 900,0	102,9	95,9	91,3	86,4	78,7	70,3	64,1	57,3	49,7	41,7
BR710	SEL	A	1 830,0	90,3	85,8	82,8	79,6	74,3	68,3	63,8	58,7	53,0	46,8
BR710	SEL	A	2 000,0	90,3	85,9	82,9	79,7	74,4	68,4	63,9	58,8	53,0	46,8
BR710	SEL	A	3 000,0	91,0	86,6	83,6	80,3	75,0	69,1	64,6	59,5	53,6	47,2
BR710	SEL	A	4 000,0	92,2	87,6	84,5	81,2	76,0	70,1	65,7	60,6	54,7	48,2
BR710	SEL	A	5 000,0	92,7	88,5	85,6	82,3	76,9	70,8	66,3	61,1	54,9	48,1
BR710	SEL	A	6 000,0	94,7	90,5	87,6	84,2	78,8	72,7	68,1	62,9	56,7	49,9
BR710	SEL	A	7 000,0	96,5	92,4	89,4	86,1	80,6	74,5	69,9	64,7	58,5	51,7
BR710	SEL	A	8 000,0	98,1	94,1	91,1	87,8	82,3	76,2	71,7	66,4	60,3	53,5
BR710	SEL	A	9 000,0	99,6	95,6	92,6	89,4	83,9	77,9	73,4	68,1	62,0	55,3
BR710	SEL	A	10 000,0	100,9	96,9	94,0	90,8	85,5	79,5	75,0	69,8	63,8	57,1
BR710	SEL	A	11 000,0	102,1	98,1	95,3	92,2	86,9	81,0	76,6	71,5	65,5	58,9
BR710	SEL	A	12 000,0	103,1	99,1	96,4	93,4	88,3	82,5	78,1	73,1	67,2	60,7
BR710	SEL	A	12 900,0	103,8	99,9	97,3	94,4	89,5	83,8	79,5	74,5	68,7	62,3
BR710	SEL	D	4 000,0	90,5	86,4	83,5	80,2	74,9	68,9	64,4	59,2	53,0	46,2
BR710	SEL	D	5 000,0	92,7	88,5	85,6	82,3	76,9	70,8	66,3	61,1	54,9	48,1
BR710	SEL	D	6 000,0	94,7	90,5	87,6	84,2	78,8	72,7	68,1	62,9	56,7	49,9
BR710	SEL	D	7 000,0	96,5	92,4	89,4	86,1	80,6	74,5	69,9	64,7	58,5	51,7

▼M2

Μέτρηση θορύβου	NPD_ID	Είδος λειτουργίας (Op type)	Ρύθμιση ισχύος (το πεδίο «Παράμετρος ισχύος» στον πίνακα «Αεροσκάφος» ορίζει τον τύπο και τη μονάδα ρύθμισης της ισχύος)	L_200ft	L_400ft	L_630ft	L_1000ft	L_2000ft	L_4000ft	L_6300ft	L_10000ft	L_16000ft	L_25000ft
BR710	SEL	D	8 000,0	98,1	94,1	91,1	87,8	82,3	76,2	71,7	66,4	60,3	53,5
BR710	SEL	D	9 000,0	99,6	95,6	92,6	89,4	83,9	77,9	73,4	68,1	62,0	55,3
BR710	SEL	D	10 000,0	100,9	96,9	94,0	90,8	85,5	79,5	75,0	69,8	63,8	57,1
BR710	SEL	D	11 000,0	102,1	98,1	95,3	92,2	86,9	81,0	76,6	71,5	65,5	58,9
BR710	SEL	D	12 000,0	103,1	99,1	96,4	93,4	88,3	82,5	78,1	73,1	67,2	60,7
BR710	SEL	D	12 900,0	103,8	99,9	97,3	94,4	89,5	83,8	79,5	74,5	68,7	62,3
BR715	LAmax	A	4 250,0	89,2	81,6	76,8	71,6	63,4	54,6	48,3	41,6	34,7	28,2
BR715	LAmax	A	5 000,0	89,6	82,4	77,5	72,4	64,2	55,4	49,1	42,3	35,5	28,9
BR715	LAmax	A	5 750,0	89,9	83,0	78,2	73,0	64,9	56,1	49,7	43,0	36,1	29,6
BR715	LAmax	A	9 875,0	93,8	87,0	82,4	77,6	69,8	61,4	55,3	48,6	41,8	35,3
BR715	LAmax	D	11 000,0	95,7	88,9	84,3	79,5	71,7	63,1	57,0	50,2	43,4	36,9
BR715	LAmax	D	13 000,0	98,6	91,9	87,3	82,5	74,6	66,0	59,8	52,9	46,0	39,4
BR715	LAmax	D	15 000,0	101,2	94,5	90,0	85,1	77,2	68,5	62,2	55,3	48,3	41,6
BR715	LAmax	D	17 000,0	103,5	97,0	92,4	87,5	79,6	70,7	64,4	57,4	50,4	43,7
BR715	LAmax	D	19 000,0	106,4	99,9	95,3	90,4	82,4	73,4	67,0	60,0	52,9	46,2
BR715	LAmax	D	19 750,0	107,5	101,0	96,5	91,6	83,5	74,5	68,1	61,1	53,9	47,2
BR715	SEL	A	4 250,0	91,9	87,1	84,1	80,7	75,2	69,0	64,4	59,4	54,2	49,4
BR715	SEL	A	5 000,0	92,2	88,0	84,9	81,5	76,1	69,9	65,3	60,3	55,2	50,3

▼M2

Μέτρηση θορύβου	NPD_ID	Είδος λειτουργίας (Op type)	Ρύθμιση ισχύος (το πεδίο «Παράμετρος ισχύος» στον πίνακα «Αεροσκάφος» ορίζει τον τύπο και τη μονάδα ρύθμισης της ισχύος)	L_200ft	L_400ft	L_630ft	L_1000ft	L_2000ft	L_4000ft	L_6300ft	L_10000ft	L_16000ft	L_25000ft
BR715	SEL	A	5 750,0	92,5	88,6	85,6	82,2	76,8	70,6	66,0	61,0	55,9	51,1
BR715	SEL	A	9 875,0	95,7	91,5	88,7	85,6	80,5	74,8	70,5	65,6	60,7	56,0
BR715	SEL	D	11 000,0	97,3	93,1	90,3	87,2	82,1	76,4	72,1	67,2	62,3	57,6
BR715	SEL	D	13 000,0	99,8	95,7	92,9	89,8	84,7	78,9	74,7	69,8	64,9	60,2
BR715	SEL	D	15 000,0	102,1	98,0	95,2	92,1	87,0	81,2	77,0	72,1	67,2	62,5
BR715	SEL	D	17 000,0	104,1	100,1	97,3	94,2	89,1	83,3	79,0	74,2	69,2	64,6
BR715	SEL	D	19 000,0	106,6	102,7	99,8	96,7	91,6	85,8	81,5	76,7	71,8	67,2
BR715	SEL	D	19 750,0	107,6	103,7	100,8	97,7	92,6	86,8	82,5	77,7	72,8	68,2
CF34	LAmax	A	2 000,0	87,3	80,7	76,0	71,1	63,0	54,1	47,6	40,6	33,0	24,6
CF34	LAmax	A	3 000,0	90,6	83,8	79,0	73,9	65,6	56,5	49,8	42,7	34,9	26,5
CF34	LAmax	D	4 000,0	93,1	86,3	81,5	76,5	68,4	59,6	53,1	46,0	38,2	29,6
CF34	LAmax	D	5 000,0	95,0	88,2	83,5	78,6	70,6	61,9	55,6	48,7	40,9	32,3
CF34	LAmax	D	6 000,0	97,2	90,9	86,1	81,2	73,2	64,5	58,2	51,5	43,5	34,9
CF34	SEL	A	2 000,0	90,9	86,7	83,3	79,9	74,1	67,4	62,4	56,9	50,7	43,9
CF34	SEL	A	3 000,0	94,3	89,8	86,5	82,9	76,9	70,0	64,8	59,2	52,9	46,0
CF34	SEL	D	4 000,0	96,3	91,8	88,5	85,0	79,1	72,5	67,5	61,9	55,6	48,6
CF34	SEL	D	5 000,0	97,7	93,2	90,0	86,5	80,8	74,3	69,5	64,1	57,9	50,7
CF34	SEL	D	6 000,0	99,7	95,2	92,0	88,5	82,8	76,3	71,5	66,1	59,9	52,7

▼M2

Μέτρηση θορύβου	NPD_ID	Είδος λειτουργίας (Op type)	Ρύθμιση ισχύος (το πεδίο «Παράμετρος ισχύος» στον πίνακα «Αεροσκάφος» ορίζει τον τύπο και τη μονάδα ρύθμισης της ισχύος)	L_200ft	L_400ft	L_630ft	L_1000ft	L_2000ft	L_4000ft	L_6300ft	L_10000ft	L_16000ft	L_25000ft
CF3410E	LAmax	A	3 000,0	90,1	83,6	79,1	74,4	66,9	58,6	52,6	45,7	37,9	29,5
CF3410E	LAmax	A	5 000,0	91,9	85,3	80,7	75,9	68,3	59,9	53,9	47,2	39,6	31,4
CF3410E	LAmax	D	8 000,0	94,9	88,5	84,0	79,3	71,9	63,7	57,7	51,0	43,3	34,8
CF3410E	LAmax	D	10 000,0	97,6	91,1	86,6	81,9	74,3	66,0	60,2	53,4	45,6	37,1
CF3410E	LAmax	D	15 000,0	103,3	96,8	92,3	87,5	79,8	71,3	65,1	58,3	50,4	42,0
CF3410E	SEL	A	3 000,0	92,5	88,8	86,1	83,2	78,4	72,7	68,3	63,3	57,2	50,5
CF3410E	SEL	A	5 000,0	93,9	90,1	87,4	84,4	79,5	73,9	69,6	64,7	58,9	52,4
CF3410E	SEL	D	8 000,0	95,9	92,2	89,6	86,7	81,8	76,3	72,1	67,1	61,2	54,5
CF3410E	SEL	D	10 000,0	98,6	94,9	92,1	89,2	84,4	78,8	74,6	69,9	63,9	57,2
CF3410E	SEL	D	15 000,0	103,8	100,2	97,5	94,6	89,8	84,1	79,9	74,9	69,1	62,6
CF348C5	LAmax	A	2 500,0	89,7	83,1	78,6	73,8	66,2	57,6	51,3	44,1	36,0	27,3
CF348C5	LAmax	A	7 250,0	91,3	84,7	80,2	75,4	67,6	58,9	52,6	45,5	37,6	29,2
CF348C5	LAmax	D	7 250,0	94,5	87,9	83,5	78,7	71,0	62,3	56,0	48,8	40,5	31,7
CF348C5	LAmax	D	16 250,0	103,6	97,1	92,6	87,9	80,2	71,6	65,3	58,3	50,3	42,0
CF348C5	SEL	A	2 500,0	93,1	89,2	86,4	83,3	78,2	72,0	67,1	61,5	54,9	47,7
CF348C5	SEL	A	7 250,0	95,2	91,0	88,1	85,0	79,8	73,6	68,8	63,2	56,8	49,9
CF348C5	SEL	D	7 250,0	96,4	92,3	89,5	86,5	81,5	75,3	70,4	64,7	58,0	50,6
CF348C5	SEL	D	16 250,0	104,7	100,9	98,2	95,3	90,4	84,4	79,6	74,0	67,6	60,7

▼M2

Μέτρηση θορύβου	NPD_ID	Είδος λειτουργίας (Op type)	Ρύθμιση ισχύος (το πεδίο «Παράμετρος ισχύος» στον πίνακα «Αεροσκάφος» ορίζει τον τύπο και τη μονάδα ρύθμισης της ισχύος)	L_200ft	L_400ft	L_630ft	L_1000ft	L_2000ft	L_4000ft	L_6300ft	L_10000ft	L_16000ft	L_25000ft
CF348E	LAmax	A	3 000,0	91,1	84,4	79,8	74,8	66,8	57,8	51,3	44,0	35,9	27,5
CF348E	LAmax	A	4 000,0	92,0	85,3	80,7	75,8	67,8	59,0	52,5	45,5	37,6	29,6
CF348E	LAmax	D	7 000,0	95,5	88,9	84,3	79,4	71,5	62,8	56,5	49,5	41,6	33,5
CF348E	LAmax	D	9 000,0	99,3	92,7	88,2	83,4	75,5	66,8	60,6	53,7	46,0	38,0
CF348E	LAmax	D	11 000,0	103,3	96,6	92,0	87,1	79,2	70,3	64,0	57,2	49,6	41,8
CF348E	SEL	A	3 000,0	93,5	89,6	86,7	83,5	78,2	72,0	67,2	61,6	55,3	48,6
CF348E	SEL	A	4 000,0	94,7	90,7	87,9	84,7	79,4	73,3	68,7	63,3	57,2	50,7
CF348E	SEL	D	7 000,0	97,3	93,2	90,5	87,4	82,3	76,2	71,7	66,4	60,4	54,0
CF348E	SEL	D	9 000,0	100,3	96,5	93,9	91,0	86,0	80,3	75,9	70,9	65,0	58,6
CF348E	SEL	D	11 000,0	103,4	99,7	97,1	94,2	89,4	83,8	79,5	74,6	68,9	62,5
CF565C	LAmax	A	3 000,0	93,3	86,6	82,1	77,3	69,7	61,5	55,6	48,9	41,5	33,6
CF565C	LAmax	A	5 000,0	94,2	87,3	82,5	77,6	69,9	61,6	55,6	49,0	41,5	33,6
CF565C	LAmax	D	12 500,0	98,9	89,4	82,8	76,4	67,3	57,8	51,3	44,2	36,3	27,7
CF565C	LAmax	D	20 000,0	103,4	95,3	89,8	83,9	75,3	66,2	59,9	53,0	45,0	36,3
CF565C	LAmax	D	27 500,0	106,9	99,4	94,4	89,3	81,0	71,9	65,4	58,3	50,2	41,5
CF565C	SEL	A	3 000,0	98,7	92,8	89,9	86,8	81,7	76,0	71,7	66,6	60,8	54,3
CF565C	SEL	A	5 000,0	99,0	93,3	90,1	86,9	81,9	76,1	71,8	66,7	60,9	54,3
CF565C	SEL	D	12 500,0	98,8	92,6	88,7	84,8	78,6	71,9	67,1	61,6	55,4	48,5

▼M2

Μέτρηση θορύβου	NPD_ID	Είδος λειτουργίας (Op type)	Ρύθμιση ισχύος (το πεδίο «Παράμετρος ισχύος» στον πίνακα «Αεροσκάφος» ορίζει τον τύπο και τη μονάδα ρύθμισης της ισχύος)	L_200ft	L_400ft	L_630ft	L_1000ft	L_2000ft	L_4000ft	L_6300ft	L_10000ft	L_16000ft	L_25000ft
CF565C	SEL	D	20 000,0	105,3	99,9	96,4	92,9	87,3	81,0	76,4	70,9	64,7	57,8
CF565C	SEL	D	27 500,0	108,0	103,5	100,5	97,4	92,1	86,2	81,7	76,2	70,7	64,6
CF567B	LAmax	A	3 000,0	93,0	85,9	81,1	76,1	68,0	59,2	52,5	45,6	37,5	29,3
CF567B	LAmax	A	4 000,0	93,6	86,5	81,7	76,6	68,7	59,9	53,4	46,6	37,8	29,7
CF567B	LAmax	A	5 000,0	94,1	87,0	82,2	77,2	69,2	60,5	54,1	47,4	39,0	31,1
CF567B	LAmax	A	6 000,0	94,6	87,5	82,7	77,6	69,7	61,1	54,7	48,1	40,4	32,9
CF567B	LAmax	A	7 000,0	95,0	87,9	83,0	78,0	70,1	61,5	55,2	48,7	41,8	34,5
CF567B	LAmax	D	10 000,0	95,2	87,9	83,6	78,8	71,3	63,0	57,3	50,4	44,2	36,9
CF567B	LAmax	D	13 000,0	98,1	91,0	86,7	82,0	74,5	66,3	60,7	53,9	46,9	39,6
CF567B	LAmax	D	16 000,0	100,5	93,7	89,3	84,6	77,3	69,2	63,5	56,8	49,4	42,1
CF567B	LAmax	D	19 000,0	102,7	96,0	91,7	87,1	79,7	71,7	66,1	59,5	52,2	44,9
CF567B	LAmax	D	23 500,0	107,2	100,9	96,5	91,9	84,7	76,8	71,4	64,6	57,7	50,4
CF567B	SEL	A	3 000,0	95,5	91,3	88,2	84,9	79,5	73,3	68,3	63,2	55,9	49,6
CF567B	SEL	A	4 000,0	96,2	91,9	88,8	85,6	80,2	74,1	69,4	64,3	56,8	50,7
CF567B	SEL	A	5 000,0	96,7	92,5	89,4	86,1	80,8	74,8	70,1	65,2	58,0	52,4
CF567B	SEL	A	6 000,0	97,2	93,0	89,9	86,7	81,4	75,5	70,9	66,0	59,4	54,3
CF567B	SEL	A	7 000,0	97,7	93,4	90,4	87,1	81,9	76,0	71,5	66,7	60,8	55,6
CF567B	SEL	D	10 000,0	96,3	92,1	89,4	86,3	81,4	75,9	72,0	67,0	61,3	51,9

▼M2

Μέτρηση θορύβου	NPD_ID	Είδος λειτουργίας (Op type)	Ρύθμιση ισχύος (το πεδίο «Παράμετρος ισχύος» στον πίνακα «Αεροσκάφος» ορίζει τον τύπο και τη μονάδα ρύθμισης της ισχύος)	L_200ft	L_400ft	L_630ft	L_1000ft	L_2000ft	L_4000ft	L_6300ft	L_10000ft	L_16000ft	L_25000ft
CF567B	SEL	D	13 000,0	99,2	95,2	92,4	89,4	84,7	79,3	75,4	70,5	64,5	56,1
CF567B	SEL	D	16 000,0	101,7	97,6	95,0	92,1	87,4	82,1	78,3	73,5	67,3	60,0
CF567B	SEL	D	19 000,0	103,9	99,9	97,3	94,5	89,9	84,7	81,0	76,2	70,3	63,7
CF567B	SEL	D	23 500,0	108,4	104,5	102,0	99,3	95,0	89,9	86,4	81,5	75,5	69,5
CF66D	LAmax	A	8 000,0	99,2	92,0	86,6	81,0	72,1	63,0	56,5	49,1	40,8	32,5
CF66D	LAmax	A	14 000,0	102,1	95,0	89,9	84,5	76,0	67,0	60,6	53,3	45,1	37,1
CF66D	LAmax	D	20 000,0	104,5	97,6	92,7	87,5	79,3	70,4	64,1	56,9	48,9	41,0
CF66D	LAmax	D	28 000,0	106,2	99,4	94,6	89,5	81,5	72,6	66,4	59,3	51,3	43,6
CF66D	LAmax	D	36 000,0	107,8	101,1	96,5	91,5	83,7	74,9	68,7	61,7	53,8	46,2
CF66D	SEL	A	8 000,0	100,7	95,5	91,7	87,5	81,1	74,0	68,8	63,0	56,3	49,7
CF66D	SEL	A	14 000,0	104,4	99,5	95,9	92,0	85,9	79,0	73,9	68,3	61,7	55,2
CF66D	SEL	D	20 000,0	106,8	102,2	98,7	95,0	89,0	82,3	77,3	71,8	65,4	58,9
CF66D	SEL	D	28 000,0	109,3	104,8	101,4	98,0	92,2	85,6	80,7	75,3	69,0	62,6
CF66D	SEL	D	36 000,0	110,9	106,6	103,3	100,0	94,3	87,8	83,0	77,6	71,4	65,1
CF680C	LAmax	A	5 500,0	94,4	87,4	82,8	78,0	70,4	61,9	55,7	48,8	40,9	31,7
CF680C	LAmax	A	7 000,0	95,3	88,1	83,5	78,5	70,7	62,1	55,8	49,0	40,9	31,4
CF680C	LAmax	A	12 000,0	95,9	88,8	84,1	79,1	71,3	62,7	56,4	49,6	41,7	32,5
CF680C	LAmax	A	15 000,0	98,9	91,2	86,2	80,7	72,3	63,4	57,0	50,1	42,0	32,1

▼M2

Μέτρηση θορύβου	NPD_ID	Είδος λειτουργίας (Op type)	Ρύθμιση ισχύος (το πεδίο «Παράμετρος ισχύος» στον πίνακα «Αεροσκάφος» ορίζει τον τύπο και τη μονάδα ρύθμισης της ισχύος)	L_200ft	L_400ft	L_630ft	L_1000ft	L_2000ft	L_4000ft	L_6300ft	L_10000ft	L_16000ft	L_25000ft
CF680C	LAmax	D	17 000,0	101,6	93,6	87,8	81,4	71,6	62,2	55,8	48,8	40,6	30,5
CF680C	LAmax	D	21 000,0	100,8	93,1	87,6	81,7	72,6	63,6	57,4	50,7	42,7	33,0
CF680C	LAmax	D	25 000,0	100,6	93,1	87,8	82,3	73,8	65,0	59,0	52,4	44,7	35,2
CF680C	LAmax	D	33 000,0	101,3	94,2	89,3	84,2	76,3	67,9	62,1	55,7	48,2	39,2
CF680C	LAmax	D	41 000,0	103,1	96,3	91,5	86,7	79,1	70,9	65,1	58,9	51,5	42,6
CF680C	LAmax	D	54 000,0	109,7	103,2	98,8	94,0	86,4	78,2	72,5	66,2	59,0	50,4
CF680C	SEL	A	5 500,0	95,9	93,2	90,4	87,2	82,1	76,2	71,6	66,4	60,4	53,5
CF680C	SEL	A	7 000,0	96,6	93,7	90,7	87,5	82,2	76,2	71,5	66,4	60,4	53,4
CF680C	SEL	A	12 000,0	98,0	94,9	91,8	88,5	83,0	76,9	72,2	67,1	61,0	53,9
CF680C	SEL	A	15 000,0	99,2	97,1	93,8	90,1	84,2	77,6	72,9	67,7	61,6	54,5
CF680C	SEL	D	17 000,0	104,5	99,3	95,3	90,7	83,1	75,4	70,6	65,4	59,2	51,4
CF680C	SEL	D	21 000,0	103,1	98,4	94,7	90,5	83,7	76,8	72,3	67,3	61,4	53,9
CF680C	SEL	D	25 000,0	102,5	98,0	94,6	90,8	84,6	78,2	73,8	69,1	63,4	56,2
CF680C	SEL	D	33 000,0	102,6	98,5	95,5	92,1	86,7	80,9	76,9	72,3	66,9	60,1
CF680C	SEL	D	41 000,0	104,0	100,1	97,3	94,2	89,2	83,8	79,9	75,4	70,1	63,5
CF680C	SEL	D	54 000,0	109,8	106,1	103,6	100,8	96,1	90,8	86,9	82,6	77,5	71,2
CF680E	LAmax	A	6 000,0	93,8	86,6	82,0	77,2	69,6	61,4	55,4	48,7	41,1	33,0
CF680E	LAmax	A	12 000,0	96,7	89,2	84,3	79,1	71,0	62,4	56,2	49,2	41,6	33,5

▼M2

Μέτρηση θορύβου	NPD_ID	Είδος λειτουργίας (Op type)	Ρύθμιση ισχύος (το πεδίο «Παράμετρος ισχύος» στον πίνακα «Αεροσκάφος» ορίζει τον τύπο και τη μονάδα ρύθμισης της ισχύος)	L_200ft	L_400ft	L_630ft	L_1000ft	L_2000ft	L_4000ft	L_6300ft	L_10000ft	L_16000ft	L_25000ft
CF680E	LAmax	D	34 000,0	105,5	97,4	92,0	86,3	77,7	68,4	61,8	54,3	46,2	37,4
CF680E	LAmax	D	42 000,0	106,0	98,2	93,2	88,0	79,8	70,7	64,2	56,9	48,8	40,1
CF680E	LAmax	D	52 000,0	107,5	100,1	95,2	90,2	82,3	73,8	67,6	60,6	52,7	44,0
CF680E	LAmax	D	62 000,0	111,7	104,4	99,6	94,5	86,6	78,4	72,4	65,6	57,6	48,8
CF680E	SEL	A	6 000,0	99,1	93,5	90,3	87,1	81,9	76,1	71,7	66,6	60,3	53,7
CF680E	SEL	A	12 000,0	100,0	94,8	91,5	88,2	82,8	76,9	72,3	67,1	60,8	54,2
CF680E	SEL	D	34 000,0	106,7	101,4	98,1	94,5	88,6	82,2	77,6	72,2	65,9	58,9
CF680E	SEL	D	42 000,0	107,2	102,4	99,4	96,0	90,6	84,4	79,9	74,6	68,4	61,5
CF680E	SEL	D	52 000,0	108,4	104,1	101,2	98,2	93,2	87,4	83,0	77,6	71,6	64,8
CF680E	SEL	D	62 000,0	112,7	108,3	105,4	102,5	97,6	91,9	87,7	82,5	76,5	70,4
CF700	LAmax	A	850,0	98,2	90,6	84,9	78,7	68,7	59,1	52,4	45,3	37,6	29,2
CF700	LAmax	A	1 500,0	100,5	93,5	88,6	83,5	74,6	64,9	57,6	49,7	41,7	33,0
CF700	LAmax	D	2 500,0	101,0	94,0	89,1	84,0	75,9	66,9	60,2	52,8	44,8	36,1
CF700	LAmax	D	3 750,0	108,6	101,4	96,3	91,0	82,4	72,6	65,3	57,2	48,4	38,9
CF700	SEL	A	850,0	100,7	95,3	91,2	86,4	78,7	71,4	66,2	60,5	54,4	47,4
CF700	SEL	A	1 500,0	102,8	97,8	94,1	90,0	83,4	75,9	70,1	63,7	57,2	50,0
CF700	SEL	D	2 500,0	104,2	99,5	96,1	92,5	86,7	79,9	74,7	68,9	62,3	55,1
CF700	SEL	D	3 750,0	111,3	106,4	102,8	99,0	92,6	85,1	79,2	72,7	65,4	57,4

▼M2

Μέτρηση θορύβου	NPD_ID	Είδος λειτουργίας (Op type)	Ρύθμιση ισχύος (το πεδίο «Παράμετρος ισχύος» στον πίνακα «Αεροσκάφος» ορίζει τον τύπο και τη μονάδα ρύθμισης της ισχύος)	L_200ft	L_400ft	L_630ft	L_1000ft	L_2000ft	L_4000ft	L_6300ft	L_10000ft	L_16000ft	L_25000ft
CFM562	LAmax	A	5 000,0	96,4	89,8	85,2	80,4	72,6	64,0	57,5	50,3	42,1	33,4
CFM562	LAmax	A	10 000,0	100,5	94,0	89,2	84,4	76,7	68,7	61,8	54,7	46,5	37,8
CFM562	LAmax	D	10 000,0	100,5	94,0	89,2	84,4	76,7	68,7	61,8	54,7	46,5	37,8
CFM562	LAmax	D	15 500,0	106,1	99,5	94,8	89,9	82,3	73,9	67,8	60,8	52,6	43,9
CFM562	SEL	A	5 000,0	97,9	93,5	90,4	87,1	81,9	75,6	70,7	64,9	58,2	51,0
CFM562	SEL	A	10 000,0	101,5	97,2	94,2	91,0	85,9	79,8	75,0	69,3	62,6	55,4
CFM562	SEL	D	10 000,0	101,5	97,2	94,2	91,0	85,9	79,8	75,0	69,3	62,6	55,4
CFM562	SEL	D	15 500,0	106,5	102,5	99,6	96,5	91,6	85,7	81,0	75,5	68,9	61,6
CFM563	LAmax	A	2 500,0	93,4	85,7	80,8	75,6	67,4	58,2	51,5	44,0	36,5	29,1
CFM563	LAmax	A	3 500,0	94,5	86,7	81,8	76,5	68,2	59,1	52,5	45,1	37,6	30,4
CFM563	LAmax	A	4 500,0	95,8	88,0	83,0	77,7	69,5	60,4	53,9	46,6	39,2	32,1
CFM563	LAmax	A	5 500,0	97,2	89,3	84,4	79,1	71,0	62,0	55,6	48,3	41,0	33,9
CFM563	LAmax	D	6 500,0	95,8	89,1	84,5	79,6	71,7	63,2	56,9	49,8	42,5	35,7
CFM563	LAmax	D	9 000,0	97,0	90,3	85,8	80,9	73,2	64,8	58,6	51,6	44,5	37,8
CFM563	LAmax	D	11 500,0	98,6	92,0	87,4	82,7	75,0	66,7	60,6	53,8	46,8	40,2
CFM563	LAmax	D	14 000,0	100,4	93,8	89,3	84,5	77,0	68,8	62,8	56,0	49,2	42,7
CFM563	LAmax	D	16 500,0	102,2	95,7	91,2	86,5	79,0	70,9	65,0	58,4	51,6	45,3
CFM563	LAmax	D	19 000,0	104,4	97,9	93,5	88,9	81,5	73,5	67,6	61,1	54,5	48,3

▼M2

Μέτρηση θορύβου	NPD_ID	Είδος λειτουργίας (Op type)	Ρύθμιση ισχύος (το πεδίο «Παράμετρος ισχύος» στον πίνακα «Αεροσκάφος» ορίζει τον τύπο και τη μονάδα ρύθμισης της ισχύος)	L_200ft	L_400ft	L_630ft	L_1000ft	L_2000ft	L_4000ft	L_6300ft	L_10000ft	L_16000ft	L_25000ft
CFM563	SEL	A	2 500,0	94,7	90,2	87,1	83,7	78,1	71,5	66,7	61,1	55,4	49,8
CFM563	SEL	A	3 500,0	96,3	91,5	88,3	84,7	79,0	72,5	67,7	62,2	56,6	51,2
CFM563	SEL	A	4 500,0	97,6	92,8	89,5	85,8	80,1	73,7	69,0	63,6	58,1	52,8
CFM563	SEL	A	5 500,0	98,8	93,9	90,6	86,9	81,4	75,0	70,4	65,1	59,7	54,4
CFM563	SEL	D	6 500,0	96,4	92,3	89,3	86,1	80,9	75,2	70,8	65,6	60,3	55,4
CFM563	SEL	D	9 000,0	97,9	93,7	90,7	87,5	82,4	76,8	72,5	67,5	62,5	57,7
CFM563	SEL	D	11 500,0	99,5	95,4	92,5	89,3	84,3	78,9	74,7	69,9	64,9	60,3
CFM563	SEL	D	14 000,0	101,1	97,2	94,4	91,3	86,5	81,2	77,1	72,3	67,5	63,0
CFM563	SEL	D	16 500,0	102,8	99,0	96,3	93,5	88,8	83,6	79,6	74,9	70,2	65,8
CFM563	SEL	D	19 000,0	104,7	101,2	98,7	96,0	91,5	86,4	82,5	78,0	73,4	69,1
CFM565	LAmax	A	2 700,0	91,7	84,4	79,7	74,8	67,0	58,5	52,2	45,3	37,5	29,5
CFM565	LAmax	A	6 000,0	93,8	86,1	80,9	75,6	67,4	58,7	52,4	45,5	37,7	29,7
CFM565	LAmax	D	12 000,0	100,3	92,0	86,2	80,3	71,1	61,7	55,4	48,6	40,9	33,1
CFM565	LAmax	D	15 500,0	102,5	94,9	89,5	83,6	74,0	65,0	58,8	52,1	44,7	36,8
CFM565	LAmax	D	19 000,0	104,3	96,6	91,1	85,7	77,2	68,2	62,2	55,5	47,9	40,0
CFM565	LAmax	D	22 500,0	105,9	98,9	94,1	88,9	80,9	72,5	66,1	59,4	51,7	43,3
CFM565	SEL	A	2 700,0	96,6	90,5	87,5	84,2	78,9	72,8	68,2	62,9	56,8	50,3
CFM565	SEL	A	6 000,0	97,4	91,6	88,2	84,8	79,3	73,1	68,5	63,3	57,1	50,6

▼M2

Μέτρηση θορύβου	NPD_ID	Είδος λειτουργίας (Op type)	Ρύθμιση ισχύος (το πεδίο «Παράμετρος ισχύος» στον πίνακα «Αεροσκάφος» ορίζει τον τύπο και τη μονάδα ρύθμισης της ισχύος)	L_200ft	L_400ft	L_630ft	L_1000ft	L_2000ft	L_4000ft	L_6300ft	L_10000ft	L_16000ft	L_25000ft
CFM565	SEL	D	12 000,0	100,9	96,2	92,4	88,3	81,9	75,5	71,1	66,0	60,0	53,8
CFM565	SEL	D	15 500,0	103,6	99,0	95,3	91,5	85,6	79,3	74,9	69,9	64,2	57,9
CFM565	SEL	D	19 000,0	104,7	100,5	97,3	93,9	88,3	82,4	78,1	73,2	67,3	61,0
CFM565	SEL	D	22 500,0	106,5	102,4	99,6	96,4	91,4	85,7	81,5	76,5	70,8	64,3
CJ610	LAmax	A	700,0	98,5	91,9	87,3	82,4	74,3	65,0	58,0	50,1	41,3	31,6
CJ610	LAmax	A	1 800,0	117,1	110,3	105,6	100,5	92,2	82,5	75,1	66,7	57,0	46,0
CJ610	LAmax	D	1 800,0	117,1	110,3	105,6	100,5	92,2	82,5	75,1	66,7	57,0	46,0
CJ610	LAmax	D	2 600,0	122,2	115,0	109,8	104,3	95,3	85,3	77,6	68,9	59,0	47,9
CJ610	SEL	A	700,0	100,8	96,4	93,3	89,9	84,0	77,0	71,5	65,1	57,8	49,6
CJ610	SEL	A	1 800,0	119,3	114,8	111,6	108,0	101,9	94,5	88,6	81,6	73,4	63,9
CJ610	SEL	D	1 800,0	119,3	114,8	111,6	108,0	101,9	94,5	88,6	81,6	73,4	63,9
CJ610	SEL	D	2 600,0	124,7	119,7	116,0	112,0	105,3	97,5	91,3	84,1	75,7	66,1
CT75	LAmax	A	30,0	86,9	80,5	76,1	71,6	64,5	57,0	51,6	45,6	38,6	30,9
CT75	LAmax	A	75,0	88,1	81,7	77,4	73,0	66,0	58,5	53,3	47,6	41,3	34,5
CT75	LAmax	D	75,0	88,1	81,7	77,4	73,0	66,0	58,5	53,3	47,6	41,3	34,5
CT75	LAmax	D	100,0	95,2	88,9	84,7	80,3	73,4	66,1	60,8	54,8	47,9	40,1
CT75	SEL	A	30,0	87,5	83,4	80,5	77,5	72,7	67,4	63,6	59,1	53,6	47,3
CT75	SEL	A	75,0	89,0	85,1	82,5	79,5	75,1	69,9	66,2	62,0	57,2	51,8

▼M2

Μέτρηση θορύβου	NPD_ID	Είδος λειτουργίας (Op type)	Ρύθμιση ισχύος (το πεδίο «Παράμετρος ισχύος» στον πίνακα «Αεροσκάφος» ορίζει τον τύπο και τη μονάδα ρύθμισης της ισχύος)	L_200ft	L_400ft	L_630ft	L_1000ft	L_2000ft	L_4000ft	L_6300ft	L_10000ft	L_16000ft	L_25000ft
CT75	SEL	D	75,0	89,0	85,1	82,5	79,5	75,1	69,9	66,2	62,0	57,2	51,8
CT75	SEL	D	100,0	97,0	92,8	90,1	87,3	82,9	77,8	74,0	69,5	64,1	57,8
EPW118	LAmax	A	700,0	88,9	82,0	77,1	71,9	63,6	55,2	49,3	42,9	34,7	27,0
EPW118	LAmax	A	1 000,0	88,3	81,5	76,8	71,8	64,0	55,5	49,4	42,4	33,5	25,1
EPW118	LAmax	D	2 000,0	85,8	79,2	74,8	70,2	63,0	55,2	49,6	43,2	35,4	28,1
EPW118	LAmax	D	3 000,0	86,4	79,9	75,6	71,1	64,0	56,6	51,3	45,6	38,7	32,1
EPW118	LAmax	D	3 800,0	92,0	85,7	81,5	77,1	70,4	63,3	58,4	53,0	46,2	39,7
EPW118	SEL	A	700,0	94,5	87,5	82,7	77,5	69,2	60,7	54,9	48,4	40,3	32,6
EPW118	SEL	A	1 000,0	94,9	88,1	83,4	78,4	70,6	62,1	56,0	49,0	40,2	31,7
EPW118	SEL	D	2 000,0	98,4	91,9	87,4	82,8	75,6	67,8	62,2	55,9	48,1	40,7
EPW118	SEL	D	3 000,0	98,7	92,3	87,9	83,4	76,4	68,9	63,7	58,0	51,0	44,5
EPW118	SEL	D	3 800,0	100,9	94,6	90,4	86,0	79,3	72,2	67,3	61,9	55,0	48,6
FJ44-4	LAmax	A	600,0	86,7	79,1	73,8	68,1	59,1	49,4	42,7	35,7	28,2	20,8
FJ44-4	LAmax	A	900,0	89,1	81,8	76,6	70,9	61,7	51,7	44,6	37,1	29,1	21,1
FJ44-4	LAmax	D	1 700,0	96,4	88,4	82,8	76,9	67,6	57,7	50,9	43,7	36,2	28,8
FJ44-4	LAmax	D	2 400,0	98,2	91,8	87,1	81,8	73,2	63,5	56,7	49,3	41,3	33,4
FJ44-4	LAmax	D	3 000,0	101,5	95,2	90,6	85,4	76,8	67,3	60,5	53,1	45,2	37,3
FJ44-4	LAmax	D	3 300,0	103,8	97,4	92,7	87,5	78,9	69,4	62,7	55,4	47,6	39,8

▼M2

Μέτρηση θορύβου	NPD_ID	Είδος λειτουργίας (Op type)	Ρύθμιση ισχύος (το πεδίο «Παράμετρος ισχύος» στον πίνακα «Αεροσκάφος» ορίζει τον τύπο και τη μονάδα ρύθμισης της ισχύος)	L_200ft	L_400ft	L_630ft	L_1000ft	L_2000ft	L_4000ft	L_6300ft	L_10000ft	L_16000ft	L_25000ft
FJ44-4	SEL	A	600,0	87,3	82,8	79,5	75,9	70,0	63,4	58,8	53,9	48,6	43,3
FJ44-4	SEL	A	900,0	90,4	85,5	82,0	78,1	71,8	64,9	60,0	54,8	49,2	43,6
FJ44-4	SEL	D	1 700,0	94,2	90,0	86,8	83,2	77,2	70,5	65,7	60,6	55,0	49,3
FJ44-4	SEL	D	2 400,0	98,2	94,4	91,5	88,2	82,5	76,0	71,3	66,1	60,5	54,8
FJ44-4	SEL	D	3 000,0	102,0	98,5	95,7	92,5	86,9	80,4	75,7	70,5	64,9	59,1
FJ44-4	SEL	D	3 300,0	104,5	101,0	98,2	95,0	89,5	83,2	78,6	73,5	68,0	62,4
GE90	LAmax	A	12 000,0	94,2	86,8	81,8	76,8	68,9	60,3	54,1	47,5	40,8	34,5
GE90	LAmax	A	17 000,0	95,3	87,9	82,9	77,9	69,9	61,2	55,0	48,3	41,5	35,1
GE90	LAmax	A	22 000,0	96,6	89,0	84,0	78,9	70,7	62,0	55,6	48,9	42,0	35,6
GE90	LAmax	A	27 000,0	97,9	90,0	84,9	79,7	71,4	62,5	56,2	49,4	42,5	36,0
GE90	LAmax	D	31 000,0	97,5	90,7	86,0	80,8	72,8	63,8	57,5	50,4	43,3	36,4
GE90	LAmax	D	41 000,0	98,8	92,0	87,3	82,2	74,2	65,3	59,0	52,1	45,1	38,4
GE90	LAmax	D	51 000,0	100,6	93,8	89,2	84,1	76,2	67,3	61,1	54,3	47,5	40,9
GE90	LAmax	D	61 000,0	102,8	96,0	91,4	86,4	78,5	69,7	63,6	56,9	50,1	43,5
GE90	LAmax	D	71 000,0	105,0	98,3	93,7	88,7	80,8	72,1	66,1	59,4	52,7	46,3
GE90	LAmax	D	81 000,0	109,0	102,4	97,8	92,9	85,2	76,7	70,8	64,4	58,0	52,0
GE90	SEL	A	12 000,0	97,7	92,8	89,5	86,3	80,9	74,9	70,4	65,5	60,5	55,8
GE90	SEL	A	17 000,0	98,6	93,9	90,6	87,2	81,7	75,7	71,1	66,1	61,1	56,4

▼M2

Μέτρηση θορύβου	NPD_ID	Είδος λειτουργίας (Op type)	Ρύθμιση ισχύος (το πεδίο «Παράμετρος ισχύος» στον πίνακα «Αεροσκάφος» ορίζει τον τύπο και τη μονάδα ρύθμισης της ισχύος)	L_200ft	L_400ft	L_630ft	L_1000ft	L_2000ft	L_4000ft	L_6300ft	L_10000ft	L_16000ft	L_25000ft
GE90	SEL	A	22 000,0	99,8	94,9	91,5	88,1	82,5	76,3	71,7	66,7	61,6	56,9
GE90	SEL	A	27 000,0	101,0	95,9	92,4	88,8	83,2	76,9	72,3	67,2	62,1	57,3
GE90	SEL	D	31 000,0	100,0	95,8	92,7	89,2	83,5	76,9	72,2	66,9	61,4	56,2
GE90	SEL	D	41 000,0	101,2	97,1	94,2	90,7	85,1	78,5	73,9	68,7	63,4	58,4
GE90	SEL	D	51 000,0	102,7	98,8	95,9	92,5	87,0	80,6	76,1	71,1	66,0	61,1
GE90	SEL	D	61 000,0	104,4	100,6	97,7	94,5	89,2	82,9	78,6	73,7	68,7	64,0
GE90	SEL	D	71 000,0	106,1	102,3	99,5	96,4	91,3	85,3	81,1	76,3	71,5	66,9
GE90	SEL	D	81 000,0	109,1	105,4	102,7	99,7	95,0	89,6	85,7	81,3	77,0	73,0
GE9015	LAmax	A	12 000,0	96,1	88,9	84,3	79,4	71,6	63,2	57,1	50,5	43,8	37,5
GE9015	LAmax	A	17 333,0	96,5	89,3	84,6	79,7	71,9	63,4	57,3	50,7	43,9	37,6
GE9015	LAmax	A	22 667,0	97,2	90,0	85,3	80,3	72,5	63,9	57,6	51,0	44,1	37,7
GE9015	LAmax	A	28 000,0	98,2	90,9	86,1	81,1	73,2	64,5	58,1	51,4	44,4	37,9
GE9015	LAmax	D	39 000,0	100,4	93,2	88,4	83,4	75,3	66,5	60,1	52,9	45,6	38,6
GE9015	LAmax	D	50 600,0	101,8	94,7	89,9	84,8	76,6	67,7	61,5	54,5	47,4	40,6
GE9015	LAmax	D	62 200,0	103,5	96,6	91,8	86,7	78,5	69,6	63,3	56,4	49,4	42,7
GE9015	LAmax	D	73 800,0	105,5	98,6	93,8	88,7	80,5	71,7	65,4	58,6	51,7	45,0
GE9015	LAmax	D	85 400,0	108,5	101,7	96,9	91,9	83,8	75,1	68,9	62,1	55,3	48,8
GE9015	LAmax	D	97 000,0	114,5	107,6	103,0	98,1	90,4	81,8	75,7	68,9	61,9	55,4

▼M2

Μέτρηση θορύβου	NPD_ID	Είδος λειτουργίας (Op type)	Ρύθμιση ισχύος (το πεδίο «Παράμετρος ισχύος» στον πίνακα «Αεροσκάφος» ορίζει τον τύπο και τη μονάδα ρύθμισης της ισχύος)	L_200ft	L_400ft	L_630ft	L_1000ft	L_2000ft	L_4000ft	L_6300ft	L_10000ft	L_16000ft	L_25000ft
GE9015	SEL	A	12 000,0	99,5	94,9	91,8	88,7	83,5	77,6	73,1	68,3	63,3	58,6
GE9015	SEL	A	17 333,0	99,9	95,2	92,1	88,9	83,6	77,7	73,2	68,3	63,2	58,5
GE9015	SEL	A	22 667,0	100,5	95,9	92,8	89,5	84,1	78,1	73,5	68,5	63,4	58,6
GE9015	SEL	A	28 000,0	101,3	96,7	93,5	90,2	84,8	78,7	74,0	68,9	63,7	58,9
GE9015	SEL	D	39 000,0	102,7	97,8	94,4	90,9	85,3	78,9	74,3	68,9	63,5	58,3
GE9015	SEL	D	50 600,0	103,6	98,9	95,7	92,3	86,7	80,4	75,9	70,7	65,5	60,6
GE9015	SEL	D	62 200,0	105,0	100,5	97,4	94,1	88,5	82,3	77,9	72,9	67,8	63,0
GE9015	SEL	D	73 800,0	106,6	102,3	99,2	96,0	90,5	84,4	80,0	75,1	70,1	65,4
GE9015	SEL	D	85 400,0	109,3	105,0	102,1	98,9	93,6	87,7	83,4	78,6	73,7	69,1
GE9015	SEL	D	97 000,0	114,7	110,6	107,7	104,7	99,7	94,1	89,9	85,1	80,2	75,6
GENX67	LAmax	A	7 000,0	99,0	91,8	87,0	82,2	74,4	65,9	59,6	52,8	45,9	39,4
GENX67	LAmax	A	12 000,0	99,6	92,4	87,6	82,8	75,0	66,5	60,2	53,3	46,4	39,9
GENX67	LAmax	A	17 000,0	100,0	92,8	88,0	83,2	75,3	66,7	60,4	53,5	46,5	40,0
GENX67	LAmax	A	22 000,0	100,4	93,2	88,3	83,4	75,4	66,8	60,4	53,5	46,5	39,9
GENX67	LAmax	D	17 000,0	101,0	94,3	89,7	84,9	77,2	68,7	62,5	55,5	48,4	41,5
GENX67	LAmax	D	25 000,0	101,5	94,8	90,2	85,3	77,5	68,8	62,6	55,6	48,4	41,6
GENX67	LAmax	D	33 000,0	102,9	96,2	91,5	86,6	78,7	70,0	63,7	56,6	49,5	42,6
GENX67	LAmax	D	41 000,0	104,8	98,0	93,4	88,5	80,5	71,7	65,4	58,3	51,0	44,1

▼M2

Μέτρηση θορύβου	NPD_ID	Είδος λειτουργίας (Op type)	Ρύθμιση ισχύος (το πεδίο «Παράμετρος ισχύος» στον πίνακα «Αεροσκάφος» ορίζει τον τύπο και τη μονάδα ρύθμισης της ισχύος)	L_200ft	L_400ft	L_630ft	L_1000ft	L_2000ft	L_4000ft	L_6300ft	L_10000ft	L_16000ft	L_25000ft
GENX67	LAmax	D	49 000,0	107,0	100,2	95,5	90,6	82,6	73,8	67,4	60,2	53,0	46,0
GENX67	LAmax	D	57 000,0	110,1	103,4	98,7	93,8	85,8	76,9	70,5	63,2	55,9	49,0
GENX67	SEL	A	7 000,0	101,0	96,8	93,9	90,9	85,7	79,7	75,1	70,0	64,9	60,1
GENX67	SEL	A	12 000,0	101,6	97,4	94,5	91,4	86,2	80,2	75,6	70,5	65,3	60,4
GENX67	SEL	A	17 000,0	102,3	98,0	95,0	91,9	86,6	80,6	75,9	70,7	65,4	60,5
GENX67	SEL	A	22 000,0	102,8	98,5	95,5	92,3	86,9	80,8	76,1	70,8	65,4	60,4
GENX67	SEL	D	17 000,0	102,0	98,1	95,3	92,4	87,4	81,7	77,3	72,1	66,9	61,8
GENX67	SEL	D	25 000,0	102,6	98,6	95,8	92,8	87,6	81,7	77,3	72,1	66,9	61,8
GENX67	SEL	D	33 000,0	103,9	99,9	97,1	94,0	88,8	82,8	78,4	73,2	68,0	62,9
GENX67	SEL	D	41 000,0	105,5	101,6	98,8	95,7	90,5	84,5	80,1	74,9	69,7	64,7
GENX67	SEL	D	49 000,0	107,4	103,5	100,7	97,7	92,5	86,6	82,2	77,0	71,8	66,8
GENX67	SEL	D	57 000,0	110,1	106,3	103,5	100,6	95,5	89,7	85,3	80,2	75,1	70,2
GP7270	LAmax	A	5 500,0	92,0	86,2	81,9	77,4	69,8	61,4	55,3	48,6	41,2	33,5
GP7270	LAmax	A	7 500,0	92,4	86,4	82,1	77,5	69,9	61,6	55,5	48,8	41,3	33,5
GP7270	LAmax	A	12 000,0	93,4	87,0	82,5	77,9	70,3	61,9	55,8	49,1	41,6	33,7
GP7270	LAmax	A	14 000,0	94,0	87,5	82,9	78,1	70,4	62,0	55,9	49,2	41,7	33,9
GP7270	LAmax	D	40 000,0	99,3	92,8	88,5	83,7	75,9	67,2	60,9	53,9	45,9	37,3
GP7270	LAmax	D	50 000,0	102,0	95,9	91,3	86,5	78,7	70,1	63,8	56,8	48,8	40,2

▼M2

Μέτρηση θορύβου	NPD_ID	Είδος λειτουργίας (Op type)	Ρύθμιση ισχύος (το πεδίο «Παράμετρος ισχύος» στον πίνακα «Αεροσκάφος» ορίζει τον τύπο και τη μονάδα ρύθμισης της ισχύος)	L_200ft	L_400ft	L_630ft	L_1000ft	L_2000ft	L_4000ft	L_6300ft	L_10000ft	L_16000ft	L_25000ft
GP7270	LAmax	D	60 000,0	104,1	98,2	93,8	89,1	81,6	73,0	66,8	59,7	51,7	43,1
GP7270	LAmax	D	80 000,0	111,3	105,6	101,7	97,1	90,0	81,7	75,5	68,2	61,1	52,5
GP7270	SEL	A	5 500,0	96,8	92,6	89,8	86,7	81,6	75,7	71,2	66,2	60,4	54,2
GP7270	SEL	A	7 500,0	97,3	93,0	90,0	86,9	81,8	75,9	71,5	66,4	60,6	54,3
GP7270	SEL	A	12 000,0	98,4	93,9	90,8	87,6	82,4	76,4	72,0	66,9	61,0	54,6
GP7270	SEL	A	14 000,0	99,0	94,3	91,2	88,0	82,7	76,8	72,3	67,2	61,3	54,8
GP7270	SEL	D	40 000,0	102,6	98,2	95,0	91,8	86,5	80,6	76,1	71,0	64,9	58,2
GP7270	SEL	D	50 000,0	105,6	101,0	97,9	94,8	89,7	83,8	79,5	74,3	68,3	61,6
GP7270	SEL	D	60 000,0	107,7	103,5	100,5	97,4	92,2	86,4	82,0	76,9	70,8	64,1
GP7270	SEL	D	80 000,0	114,8	111,0	108,5	105,6	100,6	94,9	90,6	85,5	79,6	72,7
IO320B	LAmax	A	55,0	79,0	72,6	68,2	63,6	56,4	48,5	43,0	36,8	30,0	22,9
IO320B	LAmax	A	107,0	79,8	73,3	68,9	64,3	56,8	48,3	42,1	35,3	27,9	20,6
IO320B	LAmax	D	201,0	86,6	79,8	75,1	70,0	62,5	54,3	48,3	41,6	34,2	26,7
IO320B	LAmax	D	214,0	89,5	82,6	77,8	72,7	64,6	56,2	50,1	43,4	35,8	28,1
IO320B	LAmax	D	339,0	96,1	89,0	84,0	78,6	70,2	61,5	55,3	48,3	40,5	32,3
IO320B	SEL	A	55,0	82,3	78,4	75,7	72,9	68,2	62,8	58,8	54,3	49,2	44,1
IO320B	SEL	A	107,0	83,5	79,8	77,1	74,2	69,1	63,0	58,5	53,5	48,0	42,8
IO320B	SEL	D	201,0	90,2	85,8	82,8	79,6	74,3	68,3	63,9	58,8	53,0	47,2

▼M2

Μέτρηση θορύβου	NPD_ID	Είδος λειτουργίας (Op type)	Ρύθμιση ισχύος (το πεδίο «Παράμετρος ισχύος» στον πίνακα «Αεροσκάφος» ορίζει τον τύπο και τη μονάδα ρύθμισης της ισχύος)	L_200ft	L_400ft	L_630ft	L_1000ft	L_2000ft	L_4000ft	L_6300ft	L_10000ft	L_16000ft	L_25000ft
IO320B	SEL	D	214,0	93,9	89,0	85,7	82,2	76,6	70,4	65,9	60,7	54,7	48,6
IO320B	SEL	D	339,0	98,8	94,5	91,4	88,1	82,5	76,1	71,4	66,1	60,0	53,5
IO360L	LAmax	A	26,6	71,6	64,2	59,7	55,0	47,7	39,8	34,4	28,5	22,4	16,9
IO360L	LAmax	A	58,2	78,8	72,2	67,7	62,9	55,2	46,7	40,7	34,1	27,0	20,3
IO360L	LAmax	D	59,6	82,7	75,6	71,1	66,4	58,9	50,8	45,0	38,6	31,7	24,5
IO360L	LAmax	D	100,0	84,6	77,8	73,2	68,2	60,4	52,0	46,2	39,9	33,5	25,6
IO360L	SEL	A	26,6	73,0	68,7	65,8	63,0	58,6	53,6	50,0	46,2	42,4	38,8
IO360L	SEL	A	58,2	79,3	75,3	72,7	69,9	65,1	59,6	55,5	51,1	46,3	43,0
IO360L	SEL	D	59,6	83,5	79,8	77,2	74,4	69,7	64,1	59,9	55,3	50,3	45,8
IO360L	SEL	D	100,0	84,9	81,4	78,9	76,0	71,2	65,5	61,3	56,5	51,8	46,3
IO540	LAmax	A	2 400,0	82,2	75,8	71,7	67,3	60,6	53,5	48,7	43,4	37,7	31,6
IO540	LAmax	A	2 500,0	86,4	80,1	75,9	71,5	64,7	57,6	52,7	47,4	41,7	35,6
IO540	LAmax	A	2 700,0	94,6	88,2	83,8	79,3	72,0	63,9	58,2	52,2	45,6	38,8
IO540	LAmax	D	2 500,0	92,0	85,6	81,2	76,7	69,5	62,0	56,8	51,3	45,2	38,8
IO540	LAmax	D	2 700,0	99,0	92,6	88,3	83,8	76,6	68,7	63,1	56,9	50,0	42,7
IO540	SEL	A	2 400,0	82,7	79,3	77,0	74,6	70,8	66,6	63,5	60,1	56,1	51,7
IO540	SEL	A	2 500,0	86,6	83,2	80,8	78,4	74,4	70,2	67,1	63,7	59,8	55,4
IO540	SEL	A	2 700,0	92,9	89,5	87,2	84,6	80,5	75,8	72,2	68,2	63,6	58,4

▼M2

Μέτρηση θορύβου	NPD_ID	Είδος λειτουργίας (Op type)	Ρύθμιση ισχύος (το πεδίο «Παράμετρος ισχύος» στον πίνακα «Αεροσκάφος» ορίζει τον τύπο και τη μονάδα ρύθμισης της ισχύος)	L_200ft	L_400ft	L_630ft	L_1000ft	L_2000ft	L_4000ft	L_6300ft	L_10000ft	L_16000ft	L_25000ft
IO540	SEL	D	2 500,0	91,8	88,3	85,8	83,2	78,9	74,1	70,8	67,1	63,0	58,3
IO540	SEL	D	2 700,0	96,8	93,5	91,1	88,6	84,3	79,4	75,7	71,5	66,7	61,4
JT15D1	LAmax	A	300,0	83,2	76,3	71,5	66,5	58,6	50,1	43,9	37,1	29,5	21,0
JT15D1	LAmax	A	600,0	85,7	78,8	74,0	69,0	61,1	52,6	46,4	39,6	32,0	23,5
JT15D1	LAmax	D	1 200,0	93,2	86,2	81,3	76,0	67,6	58,4	51,8	44,6	36,7	28,1
JT15D1	LAmax	D	1 550,0	95,3	88,6	83,9	79,0	71,1	62,3	55,7	48,4	40,1	31,0
JT15D1	SEL	A	300,0	85,6	81,0	77,7	74,2	68,5	62,3	57,6	52,3	46,2	39,2
JT15D1	SEL	A	600,0	86,8	82,2	78,9	75,4	69,7	63,5	58,8	53,5	47,4	40,4
JT15D1	SEL	D	1 200,0	96,4	91,7	88,2	84,5	78,3	71,4	66,3	60,6	54,2	47,1
JT15D1	SEL	D	1 550,0	98,0	93,6	90,4	87,0	81,4	74,8	69,7	63,9	57,1	49,5
JT15D5	LAmax	A	670,0	90,2	82,7	77,2	71,2	61,7	52,0	45,5	38,5	30,7	21,2
JT15D5	LAmax	A	1 500,0	101,3	94,4	89,6	84,4	75,8	67,2	61,3	54,4	46,4	37,5
JT15D5	LAmax	D	1 500,0	101,3	94,4	89,6	84,4	75,8	67,2	61,3	54,4	46,4	37,5
JT15D5	LAmax	D	2 100,0	103,7	97,2	92,6	87,8	80,1	72,0	66,0	59,2	51,1	42,2
JT15D5	SEL	A	670,0	90,2	85,6	82,2	78,4	72,3	65,3	60,3	54,7	48,4	41,4
JT15D5	SEL	A	1 500,0	104,1	99,8	96,8	93,4	87,3	81,1	76,6	71,3	64,8	57,4
JT15D5	SEL	D	1 500,0	104,1	99,8	96,8	93,4	87,3	81,1	76,6	71,3	64,8	57,4
JT15D5	SEL	D	2 100,0	106,0	102,4	99,7	96,8	91,6	85,7	81,2	75,9	69,3	61,8

▼M2

Μέτρηση θορύβου	NPD_ID	Είδος λειτουργίας (Op type)	Ρύθμιση ισχύος (το πεδίο «Παράμετρος ισχύος» στον πίνακα «Αεροσκάφος» ορίζει τον τύπο και τη μονάδα ρύθμισης της ισχύος)	L_200ft	L_400ft	L_630ft	L_1000ft	L_2000ft	L_4000ft	L_6300ft	L_10000ft	L_16000ft	L_25000ft
JT3D	LAmax	A	4 000,0	111,8	104,5	98,9	93,0	81,8	67,8	59,2	50,9	41,8	32,9
JT3D	LAmax	A	6 000,0	114,0	106,8	101,5	95,5	84,6	71,3	63,3	55,3	46,4	37,2
JT3D	LAmax	D	8 000,0	115,9	109,0	103,7	98,0	87,6	75,4	67,7	59,8	51,1	42,1
JT3D	LAmax	D	10 000,0	117,5	110,8	105,6	100,0	90,4	79,5	71,8	63,8	55,2	46,5
JT3D	LAmax	D	12 000,0	118,2	111,5	106,4	101,0	92,1	82,0	74,5	66,8	58,6	49,7
JT3D	LAmax	D	15 000,0	119,7	113,0	107,9	102,5	94,0	85,0	78,1	70,3	62,0	53,5
JT3D	SEL	A	4 000,0	112,5	107,5	103,6	99,0	90,0	78,3	71,2	64,5	57,0	49,5
JT3D	SEL	A	6 000,0	114,8	109,8	105,9	101,5	92,8	81,8	75,2	68,9	61,7	54,1
JT3D	SEL	D	8 000,0	117,1	112,0	108,2	104,0	95,9	85,9	79,6	73,4	66,1	58,6
JT3D	SEL	D	10 000,0	119,0	113,9	110,1	106,0	98,5	90,0	83,7	77,5	70,1	62,8
JT3D	SEL	D	12 000,0	120,7	115,6	111,9	107,7	100,8	92,6	87,1	81,0	73,9	66,5
JT3D	SEL	D	15 000,0	122,5	117,4	113,6	109,5	103,1	96,4	90,8	85,1	77,9	70,4
JT3DQ	LAmax	A	3 000,0	102,8	95,2	89,6	83,1	74,3	65,0	58,4	51,0	42,6	34,0
JT3DQ	LAmax	A	5 000,0	105,2	96,2	89,9	84,4	75,7	66,2	59,5	52,1	43,9	35,5
JT3DQ	LAmax	D	11 000,0	107,5	100,8	96,3	91,4	83,5	75,0	68,7	61,7	53,6	45,3
JT3DQ	LAmax	D	15 500,0	114,2	107,7	103,2	98,7	91,4	83,7	78,2	72,0	64,9	57,3
JT3DQ	SEL	A	3 000,0	104,4	99,4	95,6	91,4	84,8	77,8	72,6	66,7	59,9	52,7
JT3DQ	SEL	A	5 000,0	105,1	100,0	96,2	91,9	85,4	78,4	73,2	67,3	60,6	53,7

▼M2

Μέτρηση θορύβου	NPD_ID	Είδος λειτουργίας (Op type)	Ρύθμιση ισχύος (το πεδίο «Παράμετρος ισχύος» στον πίνακα «Αεροσκάφος» ορίζει τον τύπο και τη μονάδα ρύθμισης της ισχύος)	L_200ft	L_400ft	L_630ft	L_1000ft	L_2000ft	L_4000ft	L_6300ft	L_10000ft	L_16000ft	L_25000ft
JT3DQ	SEL	D	11 000,0	109,1	105,4	102,7	99,8	95,0	88,9	84,2	78,6	72,1	65,2
JT3DQ	SEL	D	15 500,0	116,9	113,3	110,8	108,1	103,5	98,1	94,1	89,4	83,9	77,7
JT4A	LAmax	A	4 000,0	109,2	101,7	96,3	90,5	80,6	69,0	61,7	54,5	45,7	36,9
JT4A	LAmax	A	6 000,0	111,1	103,6	98,2	92,5	82,7	71,2	63,7	56,3	48,1	39,5
JT4A	LAmax	D	10 000,0	116,5	109,3	104,1	98,5	89,3	79,0	71,6	63,7	54,5	45,4
JT4A	LAmax	D	12 000,0	119,6	112,4	107,4	102,0	93,1	82,9	75,3	67,4	58,4	48,8
JT4A	LAmax	D	15 000,0	125,3	118,3	113,2	108,0	99,1	89,2	81,5	73,5	64,3	54,6
JT4A	SEL	A	4 000,0	110,8	105,4	101,2	97,0	89,6	80,6	74,3	68,6	60,9	52,7
JT4A	SEL	A	6 000,0	112,7	107,3	103,3	99,0	91,8	82,9	76,8	71,1	63,6	55,7
JT4A	SEL	D	10 000,0	117,4	112,4	108,7	104,5	97,4	89,2	83,3	76,9	69,4	61,5
JT4A	SEL	D	12 000,0	120,0	115,2	111,6	107,5	100,6	92,6	86,6	80,3	72,6	64,7
JT4A	SEL	D	15 000,0	125,5	120,8	117,6	113,5	106,9	99,3	93,3	86,6	78,7	70,6
JT9D7Q	LAmax	A	8 560,0	101,8	95,4	91,0	86,3	78,6	69,9	63,6	56,7	49,0	40,9
JT9D7Q	LAmax	A	14 000,0	103,3	96,8	92,2	87,1	79,2	70,5	64,2	57,5	49,9	41,9
JT9D7Q	LAmax	D	24 370,0	106,3	99,8	95,3	90,3	82,6	74,2	68,1	61,6	54,2	46,4
JT9D7Q	LAmax	D	34 850,0	110,0	103,8	99,4	94,7	87,2	78,7	72,7	66,0	58,6	50,8
JT9D7Q	LAmax	D	40 240,0	112,5	106,3	102,0	97,3	89,9	81,4	75,3	68,6	61,2	53,4
JT9D7Q	LAmax	D	44 940,0	115,3	109,1	104,8	100,0	92,6	84,2	78,0	71,4	63,9	56,1

▼M2

Μέτρηση θορύβου	NPD_ID	Είδος λειτουργίας (Op type)	Ρύθμιση ισχύος (το πεδίο «Παράμετρος ισχύος» στον πίνακα «Αεροσκάφος» ορίζει τον τύπο και τη μονάδα ρύθμισης της ισχύος)	L_200ft	L_400ft	L_630ft	L_1000ft	L_2000ft	L_4000ft	L_6300ft	L_10000ft	L_16000ft	L_25000ft
JT9D7Q	SEL	A	8 560,0	103,6	99,5	96,6	93,5	88,1	81,7	77,0	71,6	65,5	58,9
JT9D7Q	SEL	A	14 000,0	105,1	100,9	97,8	94,3	88,7	82,3	77,6	72,4	66,4	59,9
JT9D7Q	SEL	D	24 370,0	108,1	103,9	100,9	97,5	92,1	86,0	81,5	76,5	70,7	64,4
JT9D7Q	SEL	D	34 850,0	111,8	107,9	105,0	101,9	96,7	90,5	86,1	80,9	75,1	68,8
JT9D7Q	SEL	D	40 240,0	114,3	110,4	107,6	104,5	99,4	93,2	88,7	83,5	77,7	71,4
JT9D7Q	SEL	D	44 940,0	117,1	113,2	110,4	107,2	102,1	96,0	91,4	86,3	80,4	74,1
JT9DBD	LAmax	A	8 000,0	106,5	99,5	94,5	89,0	79,8	69,1	61,2	53,2	44,9	36,3
JT9DBD	LAmax	A	14 000,0	111,0	104,0	99,0	93,5	84,3	73,6	65,7	57,7	49,4	40,8
JT9DBD	LAmax	D	20 000,0	114,3	107,2	102,1	96,5	87,1	76,9	69,8	62,3	54,2	45,4
JT9DBD	LAmax	D	28 000,0	116,4	109,3	104,2	98,5	89,0	79,1	72,3	65,0	57,0	48,0
JT9DBD	LAmax	D	36 000,0	117,9	110,8	105,7	100,0	90,5	80,6	73,8	66,5	58,5	49,7
JT9DBD	SEL	A	8 000,0	108,2	103,5	99,9	96,0	89,1	80,6	74,2	67,6	60,9	53,7
JT9DBD	SEL	A	14 000,0	113,2	108,5	104,9	101,0	94,1	85,6	79,2	72,6	65,9	58,7
JT9DBD	SEL	D	20 000,0	116,6	111,8	108,1	104,0	96,9	89,0	83,4	77,3	70,7	63,4
JT9DBD	SEL	D	28 000,0	118,7	113,9	110,2	106,0	98,8	91,2	85,9	80,0	73,5	66,2
JT9DBD	SEL	D	36 000,0	120,2	115,4	111,7	107,5	100,3	92,7	87,4	81,5	75,0	67,7
JT9DFL	LAmax	A	8 000,0	103,0	95,5	90,2	84,3	75,1	66,0	59,7	52,6	44,5	35,6
JT9DFL	LAmax	A	16 000,0	107,1	99,6	94,3	88,4	79,2	70,1	63,8	56,7	48,6	39,7

▼M2

Μέτρηση θορύβου	NPD_ID	Είδος λειτουργίας (Op type)	Ρύθμιση ισχύος (το πεδίο «Παράμετρος ισχύος» στον πίνακα «Αεροσκάφος» ορίζει τον τύπο και τη μονάδα ρύθμισης της ισχύος)	L_200ft	L_400ft	L_630ft	L_1000ft	L_2000ft	L_4000ft	L_6300ft	L_10000ft	L_16000ft	L_25000ft
JT9DFL	LAmax	D	24 000,0	110,6	103,1	97,8	92,1	83,3	74,5	68,3	61,5	53,7	45,4
JT9DFL	LAmax	D	32 000,0	113,5	105,9	100,6	95,1	86,5	77,9	71,9	65,3	57,7	49,7
JT9DFL	LAmax	D	40 000,0	115,7	108,1	102,8	97,3	88,7	80,1	74,1	67,5	59,9	51,9
JT9DFL	SEL	A	8 000,0	102,3	97,8	94,3	90,5	84,4	77,7	72,9	67,3	60,7	53,3
JT9DFL	SEL	A	16 000,0	106,3	101,8	98,3	94,5	88,4	81,7	76,9	71,3	64,7	57,3
JT9DFL	SEL	D	24 000,0	109,4	105,1	101,7	98,0	92,2	85,8	81,2	75,9	69,7	62,8
JT9DFL	SEL	D	32 000,0	111,8	107,4	104,1	100,5	94,9	88,7	84,2	79,1	73,1	66,5
JT9DFL	SEL	D	40 000,0	113,8	109,4	106,1	102,5	96,9	90,7	86,2	81,1	75,1	68,5
O320D3	LAmax	A	1 500,0	66,9	60,5	56,2	51,7	44,7	37,2	32,1	26,7	21,1	15,9
O320D3	LAmax	A	1 600,0	68,1	61,7	57,4	52,9	45,9	38,4	33,2	27,7	21,9	16,6
O320D3	LAmax	A	1 800,0	72,1	65,6	61,2	56,6	49,3	41,3	35,8	30,0	23,9	18,0
O320D3	LAmax	D	2 150,0	79,8	73,1	68,6	63,9	56,2	47,9	42,2	36,1	29,7	23,1
O320D3	LAmax	D	2 442,0	87,3	80,7	76,1	71,2	63,5	55,1	49,4	43,1	36,1	28,7
O320D3	LAmax	D	2 600,0	88,8	82,1	77,5	72,6	64,7	56,2	50,2	43,8	36,7	29,3
O320D3	SEL	A	1 500,0	69,0	65,6	62,8	60,2	56,0	51,3	48,0	44,5	41,3	38,2
O320D3	SEL	A	1 600,0	70,4	67,1	64,6	62,0	57,7	53,0	49,6	45,9	42,3	38,9
O320D3	SEL	A	1 800,0	74,1	70,5	68,0	65,3	60,7	55,5	51,8	47,8	43,8	39,9
O320D3	SEL	D	2 150,0	80,4	76,9	74,3	71,4	66,5	60,9	57,0	52,7	48,1	43,7

▼M2

Μέτρηση θορύβου	NPD_ID	Είδος λειτουργίας (Op type)	Ρύθμιση ισχύος (το πεδίο «Παράμετρος ισχύος» στον πίνακα «Αεροσκάφος» ορίζει τον τύπο και τη μονάδα ρύθμισης της ισχύος)	L_200ft	L_400ft	L_630ft	L_1000ft	L_2000ft	L_4000ft	L_6300ft	L_10000ft	L_16000ft	L_25000ft
O320D3	SEL	D	2 442,0	87,9	84,2	81,5	78,5	73,4	67,9	63,9	59,5	54,4	48,9
O320D3	SEL	D	2 600,0	89,4	85,5	82,8	79,8	74,8	69,0	64,8	60,2	55,0	49,2
O470R	LAmax	A	169,0	73,3	67,1	62,9	58,6	51,8	44,6	39,6	34,1	28,1	21,8
O470R	LAmax	A	244,0	73,9	67,7	63,5	59,2	52,5	45,4	40,3	34,8	28,8	22,4
O470R	LAmax	D	533,0	87,5	81,2	77,0	72,7	65,7	58,2	52,7	46,6	39,7	32,3
O470R	LAmax	D	640,0	96,1	89,8	85,5	80,9	73,5	65,0	58,6	51,3	43,0	34,3
O470R	SEL	A	169,0	75,6	71,7	69,0	66,2	61,7	56,7	53,1	49,2	44,7	39,8
O470R	SEL	A	244,0	76,2	72,3	69,6	66,8	62,3	57,3	53,7	49,7	45,1	40,2
O470R	SEL	D	533,0	87,8	83,8	81,1	78,2	73,6	68,2	64,2	59,6	54,2	48,4
O470R	SEL	D	640,0	95,4	91,3	88,5	85,4	80,3	74,1	69,2	63,4	56,5	49,3
OLY593	LAmax	A	10 000,0	115,8	109,2	104,6	99,8	92,0	83,2	76,5	68,8	60,3	50,7
OLY593	LAmax	A	20 000,0	126,4	119,4	113,3	109,2	101,2	92,4	85,9	78,7	70,2	60,7
OLY593	LAmax	D	20 000,0	126,4	119,4	113,3	109,2	101,2	92,4	85,9	78,7	70,2	60,7
OLY593	LAmax	D	28 000,0	132,1	124,8	119,6	114,3	106,1	97,3	90,8	83,6	75,1	65,3
OLY593	LAmax	D	32 000,0	134,0	126,7	121,4	116,0	107,8	98,9	92,4	85,2	76,7	67,3
OLY593	SEL	A	10 000,0	117,7	113,4	110,3	107,0	101,5	94,8	89,6	83,5	76,5	68,3
OLY593	SEL	A	20 000,0	130,3	125,5	122,0	118,3	112,6	106,1	101,1	95,3	88,3	80,3
OLY593	SEL	D	20 000,0	130,3	125,5	122,0	118,3	112,6	106,1	101,1	95,3	88,3	80,3
OLY593	SEL	D	28 000,0	136,4	131,3	127,6	123,8	118,0	111,4	106,4	100,6	93,7	85,7

▼M2

Μέτρηση θορύβου	NPD_ID	Είδος λειτουργίας (Op type)	Ρύθμιση ισχύος (το πεδίο «Παράμετρος ισχύος» στον πίνακα «Αεροσκάφος» ορίζει τον τύπο και τη μονάδα ρύθμισης της ισχύος)	L_200ft	L_400ft	L_630ft	L_1000ft	L_2000ft	L_4000ft	L_6300ft	L_10000ft	L_16000ft	L_25000ft
OLY593	SEL	D	32 000,0	138,4	133,2	129,4	125,5	119,6	113,0	108,0	102,2	95,3	87,4
PT6A114	LAmax	A	400,0	90,0	83,6	79,4	75,0	68,0	60,4	54,8	48,3	40,5	31,7
PT6A114	LAmax	A	427,0	90,0	83,6	79,4	75,0	68,0	60,4	54,8	48,3	40,5	31,7
PT6A114	LAmax	A	463,0	90,3	84,0	79,7	75,2	68,2	60,6	55,1	48,7	41,1	32,6
PT6A114	LAmax	D	1 009,0	88,2	82,0	77,8	73,5	66,7	59,1	53,5	47,1	39,4	30,8
PT6A114	LAmax	D	1 899,0	90,0	83,8	79,7	75,4	68,7	61,4	56,1	50,1	43,1	35,4
PT6A114	SEL	A	400,0	89,9	85,8	83,0	80,1	75,4	70,1	65,9	61,0	54,7	47,4
PT6A114	SEL	A	427,0	89,9	85,8	83,0	80,1	75,4	70,1	65,9	61,0	54,7	47,4
PT6A114	SEL	A	463,0	89,4	85,3	82,4	79,4	74,7	69,3	65,3	60,6	54,7	47,9
PT6A114	SEL	D	1 009,0	87,7	83,8	81,1	78,3	73,7	68,4	64,3	59,4	53,2	46,1
PT6A114	SEL	D	1 899,0	89,7	85,8	83,2	80,4	75,9	70,9	67,1	62,6	57,1	50,9
PT6A27	LAmax	A	30,0	90,9	84,6	80,4	76,0	69,1	61,6	56,0	49,8	42,6	34,0
PT6A27	LAmax	A	100,0	95,6	89,5	85,3	81,0	74,3	67,0	61,6	55,6	49,0	41,4
PT6A27	LAmax	D	30,0	90,9	84,6	80,4	76,0	69,1	61,6	56,0	49,8	42,6	34,0
PT6A27	LAmax	D	100,0	95,6	89,5	85,3	81,0	74,3	67,0	61,6	55,6	49,0	41,4
PT6A27	SEL	A	30,0	91,3	87,2	84,4	81,6	76,9	71,7	67,6	62,9	57,2	50,0
PT6A27	SEL	A	100,0	95,9	92,0	89,3	86,5	82,0	77,0	73,1	68,6	63,5	57,4
PT6A27	SEL	D	30,0	91,3	87,2	84,4	81,6	76,9	71,7	67,6	62,9	57,2	50,0

▼M2

Μέτρηση θορύβου	NPD_ID	Είδος λειτουργίας (Op type)	Ρύθμιση ισχύος (το πεδίο «Παράμετρος ισχύος» στον πίνακα «Αεροσκάφος» ορίζει τον τύπο και τη μονάδα ρύθμισης της ισχύος)	L_200ft	L_400ft	L_630ft	L_1000ft	L_2000ft	L_4000ft	L_6300ft	L_10000ft	L_16000ft	L_25000ft
PT6A27	SEL	D	100,0	95,9	92,0	89,3	86,5	82,0	77,0	73,1	68,6	63,5	57,4
PT6A41	LAmax	A	300,0	83,6	77,2	72,8	68,2	60,9	52,8	47,0	40,4	32,8	24,9
PT6A41	LAmax	A	311,0	83,6	77,2	72,8	68,2	60,9	52,8	47,0	40,4	32,8	24,9
PT6A41	LAmax	D	820,0	85,2	78,9	74,7	70,3	63,5	56,0	50,6	44,4	37,2	29,1
PT6A41	LAmax	D	1 153,0	87,2	81,0	76,9	72,6	65,9	58,6	53,4	47,5	40,6	32,9
PT6A41	SEL	A	300,0	87,8	83,6	80,7	77,6	72,5	66,7	62,3	57,3	51,3	44,8
PT6A41	SEL	A	311,0	87,8	83,6	80,7	77,6	72,5	66,7	62,3	57,3	51,3	44,8
PT6A41	SEL	D	820,0	86,6	82,5	79,8	77,0	72,3	67,1	63,2	58,5	52,8	46,3
PT6A41	SEL	D	1 153,0	88,6	84,7	82,0	79,2	74,8	69,8	66,0	61,6	56,2	50,0
PT6A45	LAmax	A	35,0	87,2	81,0	76,7	72,4	65,1	57,7	52,9	48,0	41,9	35,1
PT6A45	LAmax	A	65,0	87,8	81,4	77,0	72,5	64,9	57,4	52,4	47,4	41,7	35,5
PT6A45	LAmax	D	65,0	87,8	81,4	77,0	72,5	64,9	57,4	52,4	47,4	41,7	35,5
PT6A45	LAmax	D	100,0	94,9	88,6	84,4	80,0	72,6	65,2	60,3	55,4	49,4	42,4
PT6A45	SEL	A	35,0	88,0	84,0	81,3	78,5	74,0	69,2	65,6	61,6	57,0	51,6
PT6A45	SEL	A	65,0	88,5	84,4	81,5	78,5	73,7	68,5	64,8	60,9	56,8	52,0
PT6A45	SEL	D	65,0	88,5	84,4	81,5	78,5	73,7	68,5	64,8	60,9	56,8	52,0
PT6A45	SEL	D	100,0	95,1	91,1	88,4	85,5	81,0	76,1	72,4	68,4	63,8	58,4
PT6A50	LAmax	A	35,0	83,9	78,2	74,0	68,8	60,7	51,8	45,5	38,6	31,4	24,2

▼M2

Μέτρηση θορύβου	NPD_ID	Είδος λειτουργίας (Op type)	Ρύθμιση ισχύος (το πεδίο «Παράμετρος ισχύος» στον πίνακα «Αεροσκάφος» ορίζει τον τύπο και τη μονάδα ρύθμισης της ισχύος)	L_200ft	L_400ft	L_630ft	L_1000ft	L_2000ft	L_4000ft	L_6300ft	L_10000ft	L_16000ft	L_25000ft
PT6A50	LAmax	A	40,0	87,4	81,7	77,5	72,4	64,2	55,5	49,0	42,1	34,4	26,7
PT6A50	LAmax	D	80,0	84,7	78,5	74,4	69,8	62,5	54,0	48,1	41,3	34,0	26,4
PT6A50	LAmax	D	100,0	86,9	80,7	76,6	72,0	64,7	56,2	50,2	43,5	36,4	29,3
PT6A50	SEL	A	35,0	85,7	82,3	79,6	76,0	70,2	63,6	58,9	53,5	47,9	42,2
PT6A50	SEL	A	40,0	89,2	85,8	83,1	79,6	73,7	67,3	62,4	57,0	50,9	44,7
PT6A50	SEL	D	80,0	86,5	82,6	80,0	77,0	72,0	65,8	61,5	56,2	50,5	44,4
PT6A50	SEL	D	100,0	88,7	84,8	82,2	79,2	74,2	68,0	63,6	58,4	52,9	47,3
PT6A67	LAmax	A	400,0	87,8	81,2	76,8	72,2	64,9	56,7	50,6	43,5	35,4	27,1
PT6A67	LAmax	A	600,0	89,1	82,4	77,9	73,3	66,1	58,1	52,3	45,7	37,8	29,2
PT6A67	LAmax	D	1 000,0	90,2	83,7	79,2	74,5	67,0	58,8	52,9	46,7	39,9	33,2
PT6A67	LAmax	D	1 100,0	90,2	83,7	79,2	74,5	67,0	58,8	52,9	46,7	39,9	33,2
PT6A67	LAmax	D	1 600,0	87,9	81,5	77,2	72,7	65,7	58,1	52,7	46,9	40,5	34,0
PT6A67	LAmax	D	1 700,0	87,9	81,5	77,2	72,7	65,7	58,1	52,7	46,9	40,5	34,0
PT6A67	SEL	A	400,0	90,6	86,4	83,9	81,0	76,3	70,7	66,2	60,9	54,6	48,2
PT6A67	SEL	A	600,0	90,8	86,6	83,9	80,9	76,3	71,0	66,8	61,8	55,7	48,8
PT6A67	SEL	D	1 000,0	92,8	88,9	86,3	83,3	78,4	72,7	68,5	63,9	58,8	53,6
PT6A67	SEL	D	1 100,0	92,8	88,9	86,3	83,3	78,4	72,7	68,5	63,9	58,8	53,6
PT6A67	SEL	D	1 600,0	89,4	85,7	83,2	80,5	76,0	70,9	67,2	63,1	58,5	53,7

▼M2

Μέτρηση θορύβου	NPD_ID	Είδος λειτουργίας (Op type)	Ρύθμιση ισχύος (το πεδίο «Παράμετρος ισχύος» στον πίνακα «Αεροσκάφος» ορίζει τον τύπο και τη μονάδα ρύθμισης της ισχύος)	L_200ft	L_400ft	L_630ft	L_1000ft	L_2000ft	L_4000ft	L_6300ft	L_10000ft	L_16000ft	L_25000ft
PT6A67	SEL	D	1 700,0	89,4	85,7	83,2	80,5	76,0	70,9	67,2	63,1	58,5	53,7
PW119C	LAmax	A	108,0	91,0	84,0	79,0	73,6	64,7	55,1	48,4	41,1	33,2	25,4
PW119C	LAmax	A	465,0	91,8	84,6	79,4	73,7	64,1	53,6	46,5	39,0	31,1	22,9
PW119C	LAmax	D	3 412,0	87,2	80,6	76,2	71,5	64,3	56,5	51,0	44,9	38,3	31,6
PW119C	LAmax	D	4 300,0	88,8	82,4	78,2	73,8	67,0	59,9	55,0	49,7	43,9	37,8
PW119C	LAmax	D	4 301,0	88,8	82,4	78,2	73,8	67,0	59,9	55,0	49,7	43,9	37,8
PW119C	SEL	A	108,0	95,0	90,3	86,8	82,8	76,2	68,8	63,6	57,8	51,4	45,1
PW119C	SEL	A	465,0	95,3	90,4	86,7	82,5	75,1	66,9	61,3	55,3	48,8	42,2
PW119C	SEL	D	3 412,0	90,0	85,7	82,7	79,6	74,6	69,1	65,0	60,5	55,4	50,1
PW119C	SEL	D	4 300,0	90,2	86,0	83,2	80,3	75,8	71,0	67,6	63,8	59,5	54,8
PW119C	SEL	D	4 301,0	90,2	86,0	83,2	80,3	75,8	71,0	67,6	63,8	59,5	54,8
PW120	LAmax	A	35,0	87,1	80,3	75,5	70,5	62,4	54,0	48,9	43,8	39,1	34,8
PW120	LAmax	A	40,0	90,0	83,7	79,2	74,3	66,7	59,0	54,0	48,8	43,4	38,1
PW120	LAmax	D	90,0	82,8	76,9	72,9	68,7	62,8	56,3	51,8	47,3	42,3	37,6
PW120	LAmax	D	100,0	85,2	79,4	75,8	71,9	65,9	59,7	55,3	51,0	46,2	41,6
PW120	LAmax	D	150,0	90,2	84,4	80,8	76,9	70,9	64,7	60,3	56,0	51,2	46,6
PW120	SEL	A	35,0	88,9	84,4	81,1	77,7	71,9	65,8	62,3	58,7	55,6	52,8
PW120	SEL	A	40,0	91,8	87,8	84,8	81,5	76,2	70,8	67,4	63,7	59,9	56,1

▼M2

Μέτρηση θορύβου	NPD_ID	Είδος λειτουργίας (Op type)	Ρύθμιση ισχύος (το πεδίο «Παράμετρος ισχύος» στον πίνακα «Αεροσκάφος» ορίζει τον τύπο και τη μονάδα ρύθμισης της ισχύος)	L_200ft	L_400ft	L_630ft	L_1000ft	L_2000ft	L_4000ft	L_6300ft	L_10000ft	L_16000ft	L_25000ft
PW120	SEL	D	90,0	84,6	81,0	78,5	75,9	72,3	68,1	65,2	62,2	58,8	55,6
PW120	SEL	D	100,0	87,0	83,5	81,4	79,1	75,4	71,5	68,7	65,9	62,7	59,6
PW120	SEL	D	150,0	92,0	88,5	86,4	84,1	80,4	76,5	73,7	70,9	67,7	64,6
PW2037	LAmax	A	5 000,0	93,3	86,7	82,1	77,1	69,2	60,2	53,4	46,2	38,2	30,2
PW2037	LAmax	A	12 000,0	97,8	90,9	86,1	80,9	72,6	63,4	56,5	49,0	40,7	32,4
PW2037	LAmax	D	13 000,0	95,6	89,2	84,6	79,6	71,4	62,1	55,2	47,6	39,3	30,8
PW2037	LAmax	D	24 000,0	99,7	93,1	88,4	83,2	75,2	66,1	59,8	53,3	46,2	39,0
PW2037	LAmax	D	30 000,0	101,5	95,5	91,1	86,4	78,8	70,1	63,7	57,0	49,5	41,9
PW2037	LAmax	D	36 000,0	103,7	98,4	94,6	90,5	83,8	75,5	68,9	61,6	53,2	44,6
PW2037	SEL	A	5 000,0	95,1	90,8	87,7	84,3	78,7	72,0	66,8	61,1	54,7	48,2
PW2037	SEL	A	12 000,0	99,6	95,0	91,7	88,1	82,1	75,2	69,9	63,9	57,2	50,4
PW2037	SEL	D	13 000,0	97,4	93,3	90,2	86,8	80,9	73,9	68,6	62,5	55,8	48,8
PW2037	SEL	D	24 000,0	101,5	97,2	94,0	90,4	84,7	77,9	73,2	68,2	62,7	57,0
PW2037	SEL	D	30 000,0	103,3	99,6	96,7	93,6	88,3	81,9	77,1	71,9	66,0	59,9
PW2037	SEL	D	36 000,0	105,5	102,5	100,2	97,7	93,3	87,3	82,3	76,5	69,7	62,6
PW306C	LAmax	A	500,0	84,2	77,2	72,2	66,8	58,1	48,7	42,1	35,1	27,7	20,3
PW306C	LAmax	A	1 000,0	85,4	78,1	73,0	67,6	58,8	49,4	42,8	35,9	28,5	21,3
PW306C	LAmax	D	1 500,0	86,2	79,5	74,7	69,4	60,7	51,2	44,5	37,2	29,5	21,8

▼M2

Μέτρηση θορύβου	NPD_ID	Είδος λειτουργίας (Op type)	Ρύθμιση ισχύος (το πεδίο «Παράμετρος ισχύος» στον πίνακα «Αεροσκάφος» ορίζει τον τύπο και τη μονάδα ρύθμισης της ισχύος)	L_200ft	L_400ft	L_630ft	L_1000ft	L_2000ft	L_4000ft	L_6300ft	L_10000ft	L_16000ft	L_25000ft
PW306C	LAmax	D	3 500,0	95,2	88,8	84,1	78,9	70,3	60,8	54,1	46,9	39,1	31,3
PW306C	LAmax	D	5 500,0	101,4	95,1	90,4	85,2	76,5	66,8	60,0	52,6	44,6	36,5
PW306C	SEL	A	500,0	85,4	81,5	78,6	75,2	69,3	62,7	57,8	52,6	46,8	41,0
PW306C	SEL	A	1 000,0	86,5	82,4	79,3	75,8	69,9	63,3	58,5	53,4	47,8	42,1
PW306C	SEL	D	1 500,0	85,8	82,3	79,5	76,2	70,6	64,0	59,1	53,8	47,9	41,9
PW306C	SEL	D	3 500,0	94,9	91,3	88,4	85,2	79,5	72,9	68,1	62,9	57,1	51,2
PW306C	SEL	D	5 500,0	101,3	97,9	95,1	91,9	86,3	79,8	75,0	69,7	64,0	58,1
PW4056	LAmax	A	7 000,0	99,8	92,4	87,3	82,0	74,1	65,7	59,6	52,8	45,8	39,1
PW4056	LAmax	A	10 000,0	99,9	92,4	87,3	82,0	74,2	65,8	59,7	52,8	45,8	39,0
PW4056	LAmax	A	13 000,0	100,5	92,9	87,7	82,4	74,5	66,1	60,0	53,1	46,1	39,4
PW4056	LAmax	A	16 000,0	101,4	93,6	88,2	82,9	74,9	66,5	60,4	53,6	46,6	40,0
PW4056	LAmax	D	20 000,0	101,9	94,4	89,3	83,9	75,7	67,7	61,9	55,5	49,1	42,9
PW4056	LAmax	D	26 000,0	103,4	96,2	91,2	86,1	78,0	69,7	64,0	57,6	51,1	44,9
PW4056	LAmax	D	32 000,0	105,1	98,0	93,2	88,1	80,2	71,8	66,0	59,7	53,2	47,0
PW4056	LAmax	D	38 000,0	107,0	100,1	95,3	90,4	82,5	74,1	68,3	61,9	55,4	49,2
PW4056	LAmax	D	44 000,0	109,5	102,7	98,0	93,1	85,3	76,9	71,2	64,8	58,3	52,2
PW4056	LAmax	D	50 000,0	113,3	106,5	101,7	96,9	89,1	81,0	75,3	68,9	62,5	56,4
PW4056	SEL	A	7 000,0	102,9	98,2	94,9	91,5	86,1	80,1	75,6	70,5	65,2	60,1

▼M2

Μέτρηση θορύβου	NPD_ID	Είδος λειτουργίας (Op type)	Ρύθμιση ισχύος (το πεδίο «Παράμετρος ισχύος» στον πίνακα «Αεροσκάφος» ορίζει τον τύπο και τη μονάδα ρύθμισης της ισχύος)	L_200ft	L_400ft	L_630ft	L_1000ft	L_2000ft	L_4000ft	L_6300ft	L_10000ft	L_16000ft	L_25000ft
PW4056	SEL	A	10 000,0	103,3	98,6	95,2	91,7	86,3	80,3	75,8	70,6	65,2	60,1
PW4056	SEL	A	13 000,0	103,9	99,1	95,7	92,1	86,6	80,6	76,1	70,9	65,6	60,6
PW4056	SEL	A	16 000,0	104,6	99,8	96,3	92,6	87,0	80,9	76,5	71,4	66,3	61,4
PW4056	SEL	D	20 000,0	104,5	99,9	96,5	92,7	86,9	81,1	77,1	72,6	68,0	63,6
PW4056	SEL	D	26 000,0	105,0	100,7	97,5	94,1	88,7	83,0	79,0	74,5	70,0	65,6
PW4056	SEL	D	32 000,0	106,1	102,0	99,0	95,8	90,6	85,0	81,0	76,5	72,0	67,6
PW4056	SEL	D	38 000,0	107,6	103,6	100,8	97,7	92,7	87,2	83,3	78,8	74,3	69,9
PW4056	SEL	D	44 000,0	109,9	106,0	103,2	100,2	95,4	90,0	86,2	81,8	77,3	73,0
PW4056	SEL	D	50 000,0	113,5	109,6	106,9	104,0	99,2	94,2	90,5	86,1	81,7	77,5
PW4158	LAmax	A	4 000,0	97,0	90,1	84,8	78,9	70,6	62,1	56,0	49,2	41,5	33,6
PW4158	LAmax	A	12 000,0	99,5	92,3	86,8	81,1	72,4	63,4	57,2	50,2	42,5	34,5
PW4158	LAmax	D	23 000,0	104,9	95,7	89,4	83,0	73,2	62,8	56,1	49,2	41,7	34,0
PW4158	LAmax	D	32 000,0	107,8	99,8	94,4	88,6	79,1	68,1	61,4	54,6	47,0	39,0
PW4158	LAmax	D	41 000,0	108,7	101,0	95,9	90,3	81,0	71,5	65,1	58,2	50,5	42,4
PW4158	LAmax	D	50 000,0	111,5	103,9	98,9	93,7	85,4	76,6	70,4	63,7	56,0	47,6
PW4158	SEL	A	4 000,0	99,7	94,9	91,6	88,2	82,7	76,6	72,0	66,8	60,8	54,3
PW4158	SEL	A	12 000,0	102,5	97,8	94,1	90,2	84,2	77,8	73,1	67,8	61,6	55,1
PW4158	SEL	D	23 000,0	104,1	98,5	94,2	90,0	83,7	76,8	71,9	66,8	61,0	54,7

▼M2

Μέτρηση θορύβου	NPD_ID	Είδος λειτουργίας (Op type)	Ρύθμιση ισχύος (το πεδίο «Παράμετρος ισχύος» στον πίνακα «Αεροσκάφος» ορίζει τον τύπο και τη μονάδα ρύθμισης της ισχύος)	L_200ft	L_400ft	L_630ft	L_1000ft	L_2000ft	L_4000ft	L_6300ft	L_10000ft	L_16000ft	L_25000ft
PW4158	SEL	D	32 000,0	106,1	101,4	97,6	94,0	88,1	81,6	77,0	72,0	66,2	60,0
PW4158	SEL	D	41 000,0	107,3	103,1	99,7	96,4	91,0	85,0	80,6	75,7	70,1	63,8
PW4158	SEL	D	50 000,0	110,6	106,5	103,4	100,2	95,1	89,5	85,3	80,4	74,6	68,1
PW4460	LAmax	A	9 300,0	99,2	92,8	87,4	82,4	74,1	65,9	59,6	53,2	46,6	40,4
PW4460	LAmax	A	22 400,0	102,5	95,6	90,5	84,9	76,3	67,5	61,2	54,8	48,1	41,7
PW4460	LAmax	D	24 960,0	101,9	94,1	89,1	84,0	76,2	67,6	61,3	54,8	47,2	40,0
PW4460	LAmax	D	37 100,0	104,4	97,1	92,4	87,5	80,2	71,9	65,8	59,1	51,7	44,7
PW4460	LAmax	D	49 010,0	107,4	100,9	96,4	91,9	84,7	76,9	70,8	64,4	56,7	50,2
PW4460	LAmax	D	53 830,0	109,6	103,2	98,6	94,0	87,3	79,4	73,8	67,1	59,7	53,2
PW4460	SEL	A	9 300,0	101,0	96,9	93,0	89,6	83,6	77,7	73,0	68,1	63,1	58,4
PW4460	SEL	A	22 400,0	104,3	99,7	96,1	92,1	85,8	79,3	74,6	69,7	64,6	59,7
PW4460	SEL	D	24 960,0	103,7	98,2	94,7	91,2	85,7	79,4	74,7	69,7	63,7	58,0
PW4460	SEL	D	37 100,0	106,2	101,2	98,0	94,7	89,7	83,7	79,2	74,0	68,2	62,7
PW4460	SEL	D	49 010,0	109,2	105,0	102,0	99,1	94,2	88,7	84,2	79,3	73,2	68,2
PW4460	SEL	D	53 830,0	111,4	107,3	104,2	101,2	96,8	91,2	87,2	82,0	76,2	71,2
PW530A	LAmax	A	500,0	88,7	81,1	75,8	70,1	60,9	51,1	44,3	37,1	29,4	21,9
PW530A	LAmax	A	800,0	90,3	82,7	77,5	71,8	62,9	53,3	46,7	39,7	32,3	25,0
PW530A	LAmax	D	1 200,0	94,0	87,0	81,9	76,3	67,2	57,2	50,1	42,6	34,5	26,4

▼M2

Μέτρηση θορύβου	NPD_ID	Είδος λειτουργίας (Op type)	Ρύθμιση ισχύος (το πεδίο «Παράμετρος ισχύος» στον πίνακα «Αεροσκάφος» ορίζει τον τύπο και τη μονάδα ρύθμισης της ισχύος)	L_200ft	L_400ft	L_630ft	L_1000ft	L_2000ft	L_4000ft	L_6300ft	L_10000ft	L_16000ft	L_25000ft
PW530A	LAmax	D	1 600,0	95,8	89,1	84,2	78,9	70,0	60,3	53,4	45,9	38,0	30,0
PW530A	LAmax	D	2 000,0	98,5	91,8	86,8	81,4	72,4	62,5	55,5	47,9	39,8	31,7
PW530A	LAmax	D	2 400,0	100,2	93,6	88,8	83,5	74,7	65,0	58,1	50,7	42,8	34,8
PW530A	SEL	A	500,0	88,6	84,0	80,7	77,1	71,1	64,4	59,7	54,6	49,2	43,7
PW530A	SEL	A	800,0	90,4	85,8	82,5	78,9	73,0	66,6	62,0	57,1	51,8	46,6
PW530A	SEL	D	1 200,0	92,2	88,0	84,8	81,3	75,3	68,5	63,7	58,4	52,6	46,9
PW530A	SEL	D	1 600,0	95,5	91,5	88,4	84,8	78,8	71,9	66,9	61,4	55,5	49,5
PW530A	SEL	D	2 000,0	98,8	94,4	91,2	87,5	81,4	74,6	69,7	64,5	58,7	53,0
PW530A	SEL	D	2 400,0	100,2	96,4	93,5	90,1	84,2	77,4	72,5	67,0	61,1	55,0
PW545A	LAmax	A	550,0	91,5	84,2	78,9	73,1	63,6	53,3	46,0	38,2	29,9	21,6
PW545A	LAmax	A	750,0	93,0	85,6	80,3	74,5	65,1	54,7	47,4	39,6	31,3	23,0
PW545A	LAmax	D	1 750,0	94,4	87,6	82,7	77,3	68,3	58,5	51,5	44,0	35,9	27,8
PW545A	LAmax	D	2 000,0	94,6	87,6	82,5	77,1	68,3	58,7	52,1	45,0	37,5	30,0
PW545A	LAmax	D	2 500,0	96,4	89,3	84,3	78,9	70,1	60,6	53,9	46,8	39,3	31,8
PW545A	LAmax	D	3 000,0	97,4	90,8	86,1	81,0	72,6	63,5	57,1	50,2	42,8	35,5
PW545A	LAmax	D	3 500,0	99,7	93,2	88,5	83,4	75,1	66,0	59,6	52,8	45,6	38,3
PW545A	SEL	A	550,0	92,1	87,1	83,4	79,1	71,7	63,4	57,4	50,8	43,6	36,4
PW545A	SEL	A	750,0	93,6	88,6	84,8	80,5	73,2	64,9	58,9	52,4	45,3	38,1

▼M2

Μέτρηση θορύβου	NPD_ID	Είδος λειτουργίας (Op type)	Ρύθμιση ισχύος (το πεδίο «Παράμετρος ισχύος» στον πίνακα «Αεροσκάφος» ορίζει τον τύπο και τη μονάδα ρύθμισης της ισχύος)	L_200ft	L_400ft	L_630ft	L_1000ft	L_2000ft	L_4000ft	L_6300ft	L_10000ft	L_16000ft	L_25000ft
PW545A	SEL	D	1 750,0	94,8	90,3	86,9	83,0	76,3	68,7	63,2	57,2	50,6	44,0
PW545A	SEL	D	2 000,0	95,9	91,1	87,5	83,6	77,1	69,8	64,7	59,1	53,1	47,1
PW545A	SEL	D	2 500,0	98,0	93,2	89,6	85,7	79,2	71,9	66,8	61,2	55,2	49,2
PW545A	SEL	D	3 000,0	98,7	94,4	91,2	87,6	81,5	74,6	69,7	64,3	58,5	52,6
PW545A	SEL	D	3 500,0	101,1	96,8	93,6	90,1	84,0	77,2	72,3	67,0	61,3	55,5
PW610F	LAmax	A	79,0	77,0	69,5	64,6	59,8	52,4	44,4	38,6	32,1	24,5	16,3
PW610F	LAmax	A	112,0	77,3	69,8	64,9	59,9	52,4	44,3	38,5	32,0	24,5	16,2
PW610F	LAmax	A	160,0	77,9	70,4	65,4	60,3	52,5	44,4	38,5	32,0	24,5	16,2
PW610F	LAmax	A	208,0	78,5	71,0	66,0	60,8	52,9	44,6	38,7	32,1	24,6	16,3
PW610F	LAmax	A	262,0	79,2	71,8	66,8	61,5	53,5	45,0	39,0	32,4	24,8	16,6
PW610F	LAmax	A	328,0	80,1	72,9	67,9	62,7	54,5	45,8	39,7	32,9	25,2	17,0
PW610F	LAmax	A	404,0	81,2	74,3	69,5	64,3	56,1	47,1	40,7	33,8	26,0	17,7
PW610F	LAmax	D	489,0	83,7	76,9	72,1	66,9	58,4	48,9	42,1	34,6	26,1	17,0
PW610F	LAmax	D	587,0	86,2	79,1	74,2	68,9	60,4	50,9	44,0	36,4	27,8	18,7
PW610F	LAmax	D	689,0	88,3	81,2	76,2	70,9	62,3	52,9	46,0	38,3	29,6	20,4
PW610F	LAmax	D	807,0	90,3	83,3	78,3	73,1	64,6	55,2	48,3	40,5	31,8	22,6
PW610F	LAmax	D	910,0	91,7	84,8	80,0	74,9	66,5	57,1	50,2	42,5	33,7	24,4
PW610F	LAmax	D	935,0	91,9	85,1	80,4	75,3	67,0	57,6	50,7	43,0	34,2	24,9

▼M2

Μέτρηση θορύβου	NPD_ID	Είδος λειτουργίας (Op type)	Ρύθμιση ισχύος (το πεδίο «Παράμετρος ισχύος» στον πίνακα «Αεροσκάφος» ορίζει τον τύπο και τη μονάδα ρύθμισης της ισχύος)	L_200ft	L_400ft	L_630ft	L_1000ft	L_2000ft	L_4000ft	L_6300ft	L_10000ft	L_16000ft	L_25000ft
PW610F	SEL	A	79,0	78,5	74,3	71,3	68,3	63,5	58,1	54,0	49,2	43,4	36,9
PW610F	SEL	A	112,0	78,7	74,4	71,5	68,4	63,5	58,1	54,0	49,1	43,4	36,8
PW610F	SEL	A	160,0	79,0	74,7	71,8	68,7	63,7	58,2	54,0	49,2	43,4	36,8
PW610F	SEL	A	208,0	79,5	75,2	72,3	69,2	64,1	58,4	54,2	49,3	43,5	36,9
PW610F	SEL	A	262,0	80,1	75,9	72,9	69,8	64,7	58,9	54,7	49,7	43,8	37,2
PW610F	SEL	A	328,0	81,0	76,9	74,0	70,8	65,7	59,8	55,5	50,4	44,4	37,7
PW610F	SEL	A	404,0	82,2	78,3	75,5	72,4	67,2	61,3	56,8	51,6	45,4	38,6
PW610F	SEL	D	489,0	83,4	79,6	76,8	73,6	68,4	62,1	57,3	51,7	44,9	37,5
PW610F	SEL	D	587,0	85,7	81,9	78,9	75,7	70,4	64,2	59,4	53,8	47,0	39,6
PW610F	SEL	D	689,0	87,9	84,1	81,0	77,7	72,4	66,3	61,5	55,9	49,2	41,7
PW610F	SEL	D	807,0	90,1	86,3	83,4	80,1	74,9	68,7	64,0	58,4	51,7	44,1
PW610F	SEL	D	910,0	91,8	88,1	85,3	82,2	77,0	70,8	66,1	60,5	53,7	46,1
PW610F	SEL	D	935,0	92,2	88,4	85,7	82,7	77,5	71,3	66,6	60,9	54,2	46,6
PW615F	LAmax	A	300,0	82,8	75,7	70,6	65,1	56,1	46,3	39,5	32,2	24,4	16,6
PW615F	LAmax	A	500,0	87,1	79,9	74,7	69,0	59,8	49,7	42,6	35,0	26,9	18,8
PW615F	LAmax	D	700,0	90,2	83,5	78,6	73,1	64,1	54,0	46,9	39,2	31,0	22,7
PW615F	LAmax	D	900,0	94,8	87,7	82,6	77,0	67,7	57,5	50,3	42,5	34,2	25,9
PW615F	LAmax	D	1 100,0	96,4	89,8	85,0	79,6	70,6	60,5	53,4	45,7	37,3	28,9

▼M2

Μέτρηση θορύβου	NPD_ID	Είδος λειτουργίας (Op type)	Ρύθμιση ισχύος (το πεδίο «Παράμετρος ισχύος» στον πίνακα «Αεροσκάφος» ορίζει τον τύπο και τη μονάδα ρύθμισης της ισχύος)	L_200ft	L_400ft	L_630ft	L_1000ft	L_2000ft	L_4000ft	L_6300ft	L_10000ft	L_16000ft	L_25000ft
PW615F	LAmax	D	1 300,0	97,4	91,1	86,4	81,2	72,5	62,7	55,8	48,3	40,2	32,0
PW615F	SEL	A	300,0	85,5	81,7	78,7	75,3	69,5	62,8	58,0	52,7	46,9	41,1
PW615F	SEL	A	500,0	87,0	82,9	79,8	76,3	70,4	63,8	59,0	53,9	48,3	42,6
PW615F	SEL	D	700,0	89,6	85,7	82,6	79,0	73,0	65,9	60,8	55,2	49,1	42,8
PW615F	SEL	D	900,0	92,9	89,0	86,0	82,5	76,5	69,6	64,6	59,2	53,2	47,1
PW615F	SEL	D	1 100,0	95,6	92,0	89,1	85,7	79,8	73,0	68,0	62,5	56,5	50,4
PW615F	SEL	D	1 300,0	97,4	94,1	91,3	88,1	82,4	75,7	70,8	65,4	59,4	53,3
RAISQP	LAmax	A	23,0	77,2	70,0	65,1	59,9	51,5	42,3	36,2	30,0	23,6	17,9
RAISQP	LAmax	A	30,0	78,3	71,3	67,4	61,7	53,9	45,6	39,8	33,6	27,0	20,1
RAISQP	LAmax	D	60,0	84,7	78,1	73,6	68,9	61,5	53,8	48,4	42,6	36,3	29,8
RAISQP	LAmax	D	85,0	89,2	82,7	78,4	74,0	67,2	60,1	55,3	50,2	44,6	38,7
RAISQP	LAmax	D	100,0	96,8	90,5	86,3	82,1	75,4	68,3	63,3	57,7	51,3	44,6
RAISQP	SEL	A	23,0	82,3	77,9	74,7	71,4	65,5	59,2	54,8	50,1	45,6	41,3
RAISQP	SEL	A	30,0	82,6	78,6	76,3	72,7	67,6	61,8	57,6	52,9	48,2	43,9
RAISQP	SEL	D	60,0	87,6	84,1	81,6	78,8	74,1	68,8	65,0	60,8	56,1	51,4
RAISQP	SEL	D	85,0	92,3	88,6	86,1	83,4	79,2	74,7	71,3	68,0	63,9	60,1
RAISQP	SEL	D	100,0	97,8	94,5	92,3	90,0	86,3	82,0	78,9	75,2	70,9	66,0
RB183	LAmax	A	1 798,0	94,7	87,6	82,6	77,6	69,3	60,8	54,7	47,4	38,9	29,9

▼M2

Μέτρηση θορύβου	NPD_ID	Είδος λειτουργίας (Op type)	Ρύθμιση ισχύος (το πεδίο «Παράμετρος ισχύος» στον πίνακα «Αεροσκάφος» ορίζει τον τύπο και τη μονάδα ρύθμισης της ισχύος)	L_200ft	L_400ft	L_630ft	L_1000ft	L_2000ft	L_4000ft	L_6300ft	L_10000ft	L_16000ft	L_25000ft
RB183	LAmax	A	2 698,0	95,6	89,1	84,5	79,8	72,3	64,0	57,9	50,6	42,0	32,9
RB183	LAmax	A	3 147,0	98,1	91,3	86,4	81,6	74,2	65,6	59,5	52,2	43,7	34,8
RB183	LAmax	A	3 597,0	98,7	92,2	87,3	82,6	75,6	67,2	61,1	53,8	45,3	36,3
RB183	LAmax	A	4 496,0	100,4	94,3	90,1	85,4	78,8	70,4	64,3	57,0	48,5	39,5
RB183	LAmax	D	4 496,0	101,6	95,0	90,6	85,8	78,6	70,9	65,2	58,5	50,0	39,6
RB183	LAmax	D	10 116,0	119,8	113,4	108,9	104,2	96,9	89,3	83,5	76,9	68,4	58,0
RB183	SEL	A	1 798,0	96,5	91,7	88,2	84,8	78,8	72,6	68,1	62,3	55,4	47,9
RB183	SEL	A	2 698,0	97,4	93,2	90,1	87,0	81,8	75,8	71,3	65,5	58,5	50,9
RB183	SEL	A	3 147,0	99,9	95,4	92,0	88,8	83,7	77,4	72,9	67,1	60,2	52,8
RB183	SEL	A	3 597,0	100,5	96,3	92,9	89,8	85,1	79,0	74,5	68,7	61,8	54,3
RB183	SEL	A	4 496,0	102,2	98,4	95,7	92,6	88,3	82,2	77,7	71,9	65,0	57,5
RB183	SEL	D	4 496,0	103,4	99,1	96,2	93,0	88,1	82,7	78,6	73,4	66,5	57,6
RB183	SEL	D	10 116,0	121,6	117,5	114,5	111,4	106,4	101,1	96,9	91,8	84,9	76,0
RB183P	LAmax	A	1 798,0	93,7	86,9	82,3	77,3	69,1	60,6	54,2	46,5	37,4	27,6
RB183P	LAmax	A	2 698,0	94,0	87,9	83,8	79,5	72,0	63,5	57,0	49,3	40,2	30,5
RB183P	LAmax	A	3 147,0	97,0	90,5	85,9	81,3	73,7	64,9	58,5	50,8	41,9	32,4
RB183P	LAmax	A	3 597,0	97,8	91,5	87,2	82,5	74,9	66,4	59,9	52,2	43,3	33,7
RB183P	LAmax	A	4 496,0	99,9	93,8	89,6	85,3	77,8	69,3	62,8	55,1	46,1	36,4

▼M2

Μέτρηση θορύβου	NPD_ID	Είδος λειτουργίας (Op type)	Ρύθμιση ισχύος (το πεδίο «Παράμετρος ισχύος» στον πίνακα «Αεροσκάφος» ορίζει τον τύπο και τη μονάδα ρύθμισης της ισχύος)	L_200ft	L_400ft	L_630ft	L_1000ft	L_2000ft	L_4000ft	L_6300ft	L_10000ft	L_16000ft	L_25000ft
RB183P	LAmax	D	4 496,0	101,5	94,6	89,9	84,9	77,4	69,3	63,3	56,3	47,5	36,5
RB183P	LAmax	D	10 116,0	116,3	109,6	104,9	100,1	92,5	84,4	78,4	71,4	62,5	51,5
RB183P	SEL	A	1 798,0	95,5	91,0	87,9	84,5	78,6	72,4	67,6	61,4	53,9	45,6
RB183P	SEL	A	2 698,0	95,8	92,0	89,4	86,7	81,5	75,3	70,4	64,2	56,7	48,5
RB183P	SEL	A	3 147,0	98,8	94,6	91,5	88,5	83,2	76,7	71,9	65,7	58,4	50,4
RB183P	SEL	A	3 597,0	99,6	95,6	92,8	89,7	84,4	78,2	73,3	67,1	59,8	51,7
RB183P	SEL	A	4 496,0	101,7	97,9	95,2	92,5	87,3	81,1	76,2	70,0	62,6	54,4
RB183P	SEL	D	4 496,0	103,3	98,7	95,5	92,1	86,9	81,1	76,7	71,2	64,0	54,5
RB183P	SEL	D	10 116,0	118,1	113,7	110,5	107,3	102,0	96,2	91,8	86,3	79,0	69,5
RB2112	LAmax	A	8 000,0	99,2	92,0	86,6	81,0	72,1	63,0	56,5	49,1	40,8	32,5
RB2112	LAmax	A	14 000,0	102,8	95,8	90,7	85,3	76,8	67,9	61,5	54,2	46,1	38,1
RB2112	LAmax	D	20 000,0	104,8	97,4	93,0	87,8	79,6	70,7	64,4	57,2	49,2	41,4
RB2112	LAmax	D	28 000,0	106,7	99,9	95,1	90,0	82,0	73,2	66,9	59,8	51,9	44,1
RB2112	LAmax	D	36 000,0	108,3	101,6	97,0	92,0	84,2	75,4	69,2	62,2	54,3	46,7
RB2112	SEL	A	8 000,0	100,7	95,5	91,7	87,5	81,1	74,0	68,8	63,0	56,3	49,7
RB2112	SEL	A	14 000,0	104,8	100,0	96,4	92,5	86,4	79,5	74,5	68,8	62,3	55,8
RB2112	SEL	D	20 000,0	107,3	102,6	99,1	95,5	89,5	82,8	77,8	72,3	65,8	59,5
RB2112	SEL	D	28 000,0	109,8	105,3	101,9	98,5	92,7	86,1	81,2	75,8	69,5	63,2

▼M2

Μέτρηση θορύβου	NPD_ID	Είδος λειτουργίας (Op type)	Ρύθμιση ισχύος (το πεδίο «Παράμετρος ισχύος» στον πίνακα «Αεροσκάφος» ορίζει τον τύπο και τη μονάδα ρύθμισης της ισχύος)	L_200ft	L_400ft	L_630ft	L_1000ft	L_2000ft	L_4000ft	L_6300ft	L_10000ft	L_16000ft	L_25000ft
RB2112	SEL	D	36 000,0	111,4	107,1	103,8	100,5	94,8	88,3	83,5	78,1	71,9	65,6
RDA532	LAmax	A	32,0	96,4	88,7	82,9	76,2	65,3	55,1	48,3	41,3	34,1	26,4
RDA532	LAmax	A	73,0	98,2	91,1	86,2	81,2	73,6	65,9	60,5	54,7	48,2	40,7
RDA532	LAmax	D	73,0	98,2	91,1	86,2	81,2	73,6	65,9	60,5	54,7	48,2	40,7
RDA532	LAmax	D	100,0	98,6	92,2	87,8	83,4	76,4	68,9	63,4	57,3	50,3	42,0
RDA532	SEL	A	32,0	98,9	93,5	89,1	84,0	75,3	67,3	62,0	56,5	50,8	44,6
RDA532	SEL	A	73,0	100,2	95,4	92,0	88,4	83,1	77,7	73,8	69,5	64,5	58,5
RDA532	SEL	D	73,0	100,2	95,4	92,0	88,4	83,1	77,7	73,8	69,5	64,5	58,5
RDA532	SEL	D	100,0	101,3	97,2	94,3	91,4	86,7	81,4	77,5	72,8	67,3	60,6
RR535E	LAmax	A	6 000,0	91,9	84,7	80,1	75,2	67,4	58,6	52,1	45,1	38,1	31,4
RR535E	LAmax	A	7 000,0	92,0	84,9	80,3	75,4	67,6	58,8	52,4	45,4	38,4	31,8
RR535E	LAmax	A	8 000,0	92,2	85,2	80,6	75,6	67,8	59,0	52,7	45,8	38,8	32,2
RR535E	LAmax	A	9 000,0	92,5	85,5	80,8	75,9	68,0	59,3	53,0	46,2	39,2	32,7
RR535E	LAmax	D	10 000,0	91,0	84,0	79,7	75,1	67,5	59,1	53,0	46,3	39,4	33,0
RR535E	LAmax	D	15 000,0	95,7	87,9	83,1	78,4	70,8	62,3	56,3	49,8	43,1	36,8
RR535E	LAmax	D	20 000,0	99,1	91,1	86,3	81,5	73,8	65,4	59,5	53,0	46,4	40,1
RR535E	LAmax	D	25 000,0	101,6	93,9	89,1	84,3	76,7	68,3	62,4	55,9	49,2	43,0
RR535E	LAmax	D	30 000,0	103,7	96,5	91,9	87,2	79,6	71,2	65,3	58,7	52,0	45,8

▼M2

Μέτρηση θορύβου	NPD_ID	Είδος λειτουργίας (Op type)	Ρύθμιση ισχύος (το πεδίο «Παράμετρος ισχύος» στον πίνακα «Αεροσκάφος» ορίζει τον τύπο και τη μονάδα ρύθμισης της ισχύος)	L_200ft	L_400ft	L_630ft	L_1000ft	L_2000ft	L_4000ft	L_6300ft	L_10000ft	L_16000ft	L_25000ft
RR535E	LAmax	D	35 000,0	106,2	100,3	96,1	91,6	84,1	75,8	69,7	63,0	56,2	49,9
RR535E	SEL	A	6 000,0	95,9	90,9	87,8	84,6	79,2	72,9	68,1	62,9	57,6	52,5
RR535E	SEL	A	7 000,0	95,8	91,0	88,0	84,7	79,3	73,1	68,4	63,2	58,0	53,0
RR535E	SEL	A	8 000,0	95,9	91,2	88,2	84,9	79,6	73,4	68,7	63,6	58,4	53,5
RR535E	SEL	A	9 000,0	96,0	91,5	88,5	85,2	79,8	73,7	69,1	64,0	58,9	54,1
RR535E	SEL	D	10 000,0	93,9	89,5	86,4	83,5	78,3	72,4	68,0	63,0	57,9	53,2
RR535E	SEL	D	15 000,0	98,4	93,9	90,7	87,5	82,1	76,1	71,8	67,0	62,1	57,6
RR535E	SEL	D	20 000,0	101,6	97,1	94,0	90,8	85,4	79,4	75,1	70,4	65,7	61,2
RR535E	SEL	D	25 000,0	104,0	99,7	96,6	93,5	88,2	82,3	78,1	73,5	68,8	64,4
RR535E	SEL	D	30 000,0	106,0	101,8	98,8	95,9	90,8	85,1	81,0	76,5	71,8	67,5
RR535E	SEL	D	35 000,0	108,3	104,5	101,8	99,4	94,6	89,4	85,4	80,9	76,2	71,9
SPEYHK	LAmax	A	1 000,0	86,5	80,4	76,1	71,5	64,1	56,3	50,8	45,0	38,9	32,8
SPEYHK	LAmax	A	2 000,0	90,6	84,5	80,2	75,6	68,2	60,4	54,9	49,1	43,0	36,9
SPEYHK	LAmax	A	4 000,0	98,8	92,7	88,4	83,8	76,4	68,6	63,1	57,3	51,2	45,1
SPEYHK	LAmax	A	6 000,0	108,7	102,6	98,3	93,7	86,3	78,5	73,0	67,2	61,1	55,0
SPEYHK	LAmax	A	8 000,0	113,5	107,4	103,1	98,5	91,1	83,3	77,8	72,0	65,9	59,8
SPEYHK	LAmax	A	10 000,0	119,4	113,3	109,0	104,4	97,0	89,2	83,7	77,9	71,8	65,7
SPEYHK	LAmax	D	1 000,0	86,5	80,4	76,1	71,5	64,1	56,3	50,8	45,0	38,9	32,8

▼M2

Μέτρηση θορύβου	NPD_ID	Είδος λειτουργίας (Op type)	Ρύθμιση ισχύος (το πεδίο «Παράμετρος ισχύος» στον πίνακα «Αεροσκάφος» ορίζει τον τύπο και τη μονάδα ρύθμισης της ισχύος)	L_200ft	L_400ft	L_630ft	L_1000ft	L_2000ft	L_4000ft	L_6300ft	L_10000ft	L_16000ft	L_25000ft
SPEYHK	LAmax	D	2 000,0	90,6	84,5	80,2	75,6	68,2	60,4	54,9	49,1	43,0	36,9
SPEYHK	LAmax	D	4 000,0	98,8	92,7	88,4	83,8	76,4	68,6	63,1	57,3	51,2	45,1
SPEYHK	LAmax	D	6 000,0	108,7	102,6	98,3	93,7	86,3	78,5	73,0	67,2	61,1	55,0
SPEYHK	LAmax	D	8 000,0	113,5	107,4	103,1	98,5	91,1	83,3	77,8	72,0	65,9	59,8
SPEYHK	LAmax	D	10 000,0	119,4	113,3	109,0	104,4	97,0	89,2	83,7	77,9	71,8	65,7
SPEYHK	SEL	A	1 000,0	89,4	85,5	82,5	79,1	73,3	66,8	62,1	56,9	51,3	45,6
SPEYHK	SEL	A	2 000,0	93,5	89,6	86,6	83,2	77,4	70,9	66,2	61,0	55,4	49,7
SPEYHK	SEL	A	4 000,0	101,7	97,8	94,8	91,4	85,6	79,1	74,4	69,2	63,6	57,9
SPEYHK	SEL	A	6 000,0	111,8	107,9	104,9	101,5	95,7	89,2	84,5	79,3	73,7	68,0
SPEYHK	SEL	A	8 000,0	117,3	113,4	110,4	107,0	101,2	94,7	90,0	84,8	79,2	73,5
SPEYHK	SEL	A	10 000,0	123,9	120,0	117,0	113,6	107,8	101,3	96,6	91,4	85,8	80,1
SPEYHK	SEL	D	1 000,0	89,4	85,5	82,5	79,1	73,3	66,8	62,1	56,9	51,3	45,6
SPEYHK	SEL	D	2 000,0	93,5	89,6	86,6	83,2	77,4	70,9	66,2	61,0	55,4	49,7
SPEYHK	SEL	D	4 000,0	101,7	97,8	94,8	91,4	85,6	79,1	74,4	69,2	63,6	57,9
SPEYHK	SEL	D	6 000,0	111,8	107,9	104,9	101,5	95,7	89,2	84,5	79,3	73,7	68,0
SPEYHK	SEL	D	8 000,0	117,3	113,4	110,4	107,0	101,2	94,7	90,0	84,8	79,2	73,5
SPEYHK	SEL	D	10 000,0	123,9	120,0	117,0	113,6	107,8	101,3	96,6	91,4	85,8	80,1
T1KBFP	LAmax	A	5 250,0	92,3	85,1	80,3	75,4	67,4	58,8	52,6	45,9	39,1	32,7

▼M2

Μέτρηση θορύβου	NPD_ID	Είδος λειτουργίας (Op type)	Ρύθμιση ισχύος (το πεδίο «Παράμετρος ισχύος» στον πίνακα «Αεροσκάφος» ορίζει τον τύπο και τη μονάδα ρύθμισης της ισχύος)	L_200ft	L_400ft	L_630ft	L_1000ft	L_2000ft	L_4000ft	L_6300ft	L_10000ft	L_16000ft	L_25000ft
T1KBFP	LAmax	A	10 500,0	92,7	85,5	80,7	75,7	67,8	59,2	53,0	46,3	39,6	33,3
T1KBFP	LAmax	A	15 750,0	93,6	86,4	81,5	76,5	68,6	60,0	53,9	47,2	40,5	34,3
T1KBFP	LAmax	A	21 000,0	94,6	87,4	82,5	77,5	69,5	61,0	54,9	48,3	41,7	35,5
T1KBFP	LAmax	D	20 000,0	92,9	85,9	81,3	76,4	68,5	60,0	53,9	47,0	40,1	33,6
T1KBFP	LAmax	D	29 000,0	94,8	88,0	83,3	78,2	70,1	61,4	55,2	48,5	41,7	35,4
T1KBFP	LAmax	D	38 000,0	97,1	90,2	85,7	80,4	72,3	63,5	57,3	50,7	44,0	37,8
T1KBFP	LAmax	D	47 000,0	99,5	92,5	88,2	82,8	74,6	65,9	59,8	53,2	46,6	40,4
T1KBFP	LAmax	D	56 000,0	101,9	94,8	90,8	85,1	77,0	68,4	62,4	55,9	49,3	43,2
T1KBFP	LAmax	D	65 000,0	105,2	97,8	94,2	88,3	80,3	71,9	66,0	59,6	53,2	47,2
T1KBFP	SEL	A	5 250,0	94,9	90,5	87,4	84,3	79,1	73,1	68,5	63,4	58,3	53,5
T1KBFP	SEL	A	10 500,0	95,9	91,3	88,2	84,9	79,4	73,3	68,7	63,7	58,6	53,9
T1KBFP	SEL	A	15 750,0	97,1	92,5	89,2	85,8	80,2	74,1	69,6	64,7	59,6	55,0
T1KBFP	SEL	A	21 000,0	98,4	93,7	90,2	86,8	81,2	75,2	70,8	65,9	61,0	56,4
T1KBFP	SEL	D	20 000,0	96,4	91,8	88,6	84,8	79,1	73,0	68,5	63,5	58,4	53,6
T1KBFP	SEL	D	29 000,0	97,1	92,7	90,0	86,1	80,5	74,5	70,1	65,2	60,3	55,8
T1KBFP	SEL	D	38 000,0	98,6	94,3	91,8	87,9	82,4	76,6	72,3	67,5	62,8	58,4
T1KBFP	SEL	D	47 000,0	100,5	96,2	94,0	89,9	84,7	78,9	74,8	70,1	65,5	61,2
T1KBFP	SEL	D	56 000,0	102,5	98,3	96,2	92,1	87,0	81,5	77,4	72,9	68,3	64,1

▼M2

Μέτρηση θορύβου	NPD_ID	Είδος λειτουργίας (Op type)	Ρύθμιση ισχύος (το πεδίο «Παράμετρος ισχύος» στον πίνακα «Αεροσκάφος» ορίζει τον τύπο και τη μονάδα ρύθμισης της ισχύος)	L_200ft	L_400ft	L_630ft	L_1000ft	L_2000ft	L_4000ft	L_6300ft	L_10000ft	L_16000ft	L_25000ft
T1KBFP	SEL	D	65 000,0	105,4	101,2	99,3	95,1	90,2	84,9	81,0	76,6	72,2	68,2
T56A7	LAmax	A	30,0	96,0	89,4	84,8	79,9	71,9	62,4	55,0	47,0	39,2	31,6
T56A7	LAmax	A	100,0	99,8	93,3	88,9	84,3	77,3	70,0	65,1	60,0	54,5	48,4
T56A7	LAmax	D	30,0	96,0	89,4	84,8	79,9	71,9	62,4	55,0	47,0	39,2	31,6
T56A7	LAmax	D	100,0	99,8	93,3	88,9	84,3	77,3	70,0	65,1	60,0	54,5	48,4
T56A7	SEL	A	30,0	98,0	93,7	90,6	87,2	81,4	74,2	68,3	61,8	55,5	49,4
T56A7	SEL	A	100,0	100,1	95,8	92,9	89,8	85,0	80,0	76,6	72,9	69,0	64,4
T56A7	SEL	D	30,0	98,0	93,7	90,6	87,2	81,4	74,2	68,3	61,8	55,5	49,4
T56A7	SEL	D	100,0	100,1	95,8	92,9	89,8	85,0	80,0	76,6	72,9	69,0	64,4
TAY620	LAmax	A	3 372,0	89,1	82,7	78,4	73,9	66,8	58,9	53,1	46,9	40,4	34,3
TAY620	LAmax	A	5 620,0	93,0	86,8	82,6	78,0	70,7	62,6	56,8	50,3	43,6	37,2
TAY620	LAmax	D	4 496,0	91,5	85,3	81,0	76,1	68,7	60,2	54,3	48,0	41,4	35,7
TAY620	LAmax	D	13 489,0	106,2	100,2	96,1	91,5	84,4	76,4	70,3	63,6	56,4	50,3
TAY620	SEL	A	3 372,0	90,9	86,8	84,0	81,1	76,3	70,7	66,5	61,8	56,9	52,3
TAY620	SEL	A	5 620,0	94,8	90,9	88,2	85,2	80,2	74,4	70,2	65,2	60,1	55,2
TAY620	SEL	D	4 496,0	93,3	89,4	86,6	83,3	78,2	72,0	67,7	62,9	57,9	53,7
TAY620	SEL	D	13 489,0	108,0	104,3	101,7	98,7	93,9	88,2	83,7	78,5	72,9	68,3
TAY650	LAmax	A	3 372,0	89,3	82,9	78,6	74,0	66,7	58,8	53,1	46,9	40,4	34,3

▼M2

Μέτρηση θορύβου	NPD_ID	Είδος λειτουργίας (Op type)	Ρύθμιση ισχύος (το πεδίο «Παράμετρος ισχύος» στον πίνακα «Αεροσκάφος» ορίζει τον τύπο και τη μονάδα ρύθμισης της ισχύος)	L_200ft	L_400ft	L_630ft	L_1000ft	L_2000ft	L_4000ft	L_6300ft	L_10000ft	L_16000ft	L_25000ft
TAY650	LAmax	A	5 620,0	92,3	86,0	81,7	77,1	69,7	61,7	56,0	49,8	43,3	37,2
TAY650	LAmax	D	4 496,0	91,3	84,8	80,2	75,0	67,3	58,6	53,0	47,2	41,1	35,8
TAY650	LAmax	D	13 488,0	104,7	98,8	94,6	90,2	83,2	75,5	69,8	63,6	57,1	51,5
TAY650	SEL	A	3 372,0	91,1	87,0	84,2	81,2	76,2	70,6	66,5	61,8	56,9	52,3
TAY650	SEL	A	5 620,0	94,1	90,1	87,3	84,3	79,2	73,5	69,4	64,7	59,8	55,2
TAY650	SEL	D	4 496,0	93,1	88,9	85,8	82,2	76,8	70,4	66,4	62,1	57,6	53,8
TAY650	SEL	D	13 488,0	106,5	102,9	100,2	97,4	92,7	87,3	83,2	78,5	73,6	69,5
TAY651	LAmax	A	5 000,0	91,4	84,7	80,1	75,3	67,7	59,5	53,7	47,3	40,8	34,6
TAY651	LAmax	A	7 000,0	97,9	91,2	86,7	82,0	74,4	66,0	60,1	53,4	46,6	40,1
TAY651	LAmax	D	9 000,0	101,2	94,6	90,1	85,4	77,8	69,4	63,3	56,6	49,8	43,3
TAY651	LAmax	D	11 000,0	104,0	97,4	92,9	88,2	80,6	72,2	66,2	59,4	52,5	45,9
TAY651	LAmax	D	13 000,0	108,4	101,8	97,4	92,7	85,1	76,8	70,8	64,4	57,9	51,7
TAY651	SEL	A	5 000,0	95,7	91,1	87,8	84,4	79,0	73,0	68,7	63,7	58,6	53,8
TAY651	SEL	A	7 000,0	100,5	96,1	93,1	89,8	84,5	78,4	73,9	68,7	63,4	58,4
TAY651	SEL	D	9 000,0	103,5	99,1	96,2	92,9	87,6	81,5	76,9	71,7	66,4	61,3
TAY651	SEL	D	11 000,0	106,3	101,9	98,9	95,7	90,4	84,3	79,7	74,3	68,8	63,6
TAY651	SEL	D	13 000,0	110,2	105,9	102,9	99,7	94,4	88,3	83,8	78,7	73,5	68,6
TAYGIV	LAmax	A	2 000,0	86,0	79,9	75,6	71,0	63,7	55,8	50,3	44,5	38,4	32,4

▼M2

Μέτρηση θορύβου	NPD_ID	Είδος λειτουργίας (Op type)	Ρύθμιση ισχύος (το πεδίο «Παράμετρος ισχύος» στον πίνακα «Αεροσκάφος» ορίζει τον τύπο και τη μονάδα ρύθμισης της ισχύος)	L_200ft	L_400ft	L_630ft	L_1000ft	L_2000ft	L_4000ft	L_6300ft	L_10000ft	L_16000ft	L_25000ft
TAYGIV	LAmax	A	3 000,0	87,2	81,1	76,8	72,2	64,8	57,0	51,5	45,7	39,6	33,5
TAYGIV	LAmax	A	4 000,0	88,5	82,4	78,1	73,5	66,2	58,3	52,8	47,0	40,9	34,9
TAYGIV	LAmax	A	6 000,0	91,5	85,4	81,1	76,5	69,2	61,3	55,8	50,0	43,9	37,9
TAYGIV	LAmax	A	8 000,0	95,1	88,9	84,7	80,0	72,7	64,8	59,4	53,6	47,4	41,4
TAYGIV	LAmax	A	10 000,0	99,1	93,0	88,7	84,1	76,7	68,9	63,4	57,6	51,5	45,4
TAYGIV	LAmax	D	2 000,0	86,0	79,9	75,6	71,0	63,7	55,8	50,3	44,5	38,4	32,4
TAYGIV	LAmax	D	3 000,0	87,2	81,1	76,8	72,2	64,8	57,0	51,5	45,7	39,6	33,5
TAYGIV	LAmax	D	4 000,0	88,5	82,4	78,1	73,5	66,2	58,3	52,8	47,0	40,9	34,9
TAYGIV	LAmax	D	6 000,0	91,5	85,4	81,1	76,5	69,2	61,3	55,8	50,0	43,9	37,9
TAYGIV	LAmax	D	8 000,0	95,1	88,9	84,7	80,0	72,7	64,8	59,4	53,6	47,4	41,4
TAYGIV	LAmax	D	10 000,0	99,1	93,0	88,7	84,1	76,7	68,9	63,4	57,6	51,5	45,4
TAYGIV	LAmax	D	11 000,0	101,0	95,0	91,0	86,0	79,0	71,0	65,5	60,0	54,0	47,5
TAYGIV	LAmax	D	11 200,0	101,5	95,5	91,5	86,5	79,5	71,5	66,0	60,5	54,5	48,0
TAYGIV	SEL	A	2 000,0	89,9	86,0	83,0	79,6	73,9	67,3	62,6	57,4	51,8	46,2
TAYGIV	SEL	A	3 000,0	90,7	86,8	83,8	80,4	74,6	68,0	63,3	58,2	52,6	46,9
TAYGIV	SEL	A	4 000,0	91,6	87,7	84,7	81,3	75,5	69,0	64,2	59,1	53,5	47,8
TAYGIV	SEL	A	6 000,0	93,9	90,0	87,0	83,6	77,8	71,3	66,5	61,4	55,8	50,1
TAYGIV	SEL	A	8 000,0	96,8	92,9	89,9	86,5	80,8	74,2	69,5	64,3	58,7	53,1

▼M2

Μέτρηση θορύβου	NPD_ID	Είδος λειτουργίας (Op type)	Ρύθμιση ισχύος (το πεδίο «Παράμετρος ισχύος» στον πίνακα «Αεροσκάφος» ορίζει τον τύπο και τη μονάδα ρύθμισης της ισχύος)	L_200ft	L_400ft	L_630ft	L_1000ft	L_2000ft	L_4000ft	L_6300ft	L_10000ft	L_16000ft	L_25000ft
TAYGIV	SEL	A	10 000,0	100,4	96,5	93,5	90,1	84,4	77,8	73,1	67,9	62,3	56,6
TAYGIV	SEL	D	2 000,0	89,9	86,0	83,0	79,6	73,9	67,3	62,6	57,4	51,8	46,2
TAYGIV	SEL	D	3 000,0	90,7	86,8	83,8	80,4	74,6	68,0	63,3	58,2	52,6	46,9
TAYGIV	SEL	D	4 000,0	91,6	87,7	84,7	81,3	75,5	69,0	64,2	59,1	53,5	47,8
TAYGIV	SEL	D	6 000,0	93,9	90,0	87,0	83,6	77,8	71,3	66,5	61,4	55,8	50,1
TAYGIV	SEL	D	8 000,0	96,8	92,9	89,9	86,5	80,8	74,2	69,5	64,3	58,7	53,1
TAYGIV	SEL	D	10 000,0	100,4	96,5	93,5	90,1	84,4	77,8	73,1	67,9	62,3	56,6
TAYGIV	SEL	D	11 000,0	102,0	98,0	95,5	92,0	86,0	79,5	74,5	70,0	64,0	58,5
TAYGIV	SEL	D	11 200,0	102,5	98,5	96,0	92,5	86,5	80,0	75,0	70,5	64,5	59,0
TF7312	LAmax	A	1 000,0	91,1	84,2	79,2	73,9	65,5	56,6	50,2	43,5	36,3	28,6
TF7312	LAmax	A	1 500,0	96,1	89,3	84,4	79,3	71,0	61,9	55,2	48,0	40,1	31,6
TF7312	LAmax	D	1 500,0	96,1	89,3	84,4	79,3	71,0	61,9	55,2	48,0	40,1	31,6
TF7312	LAmax	D	2 650,0	107,5	99,8	94,4	88,9	80,1	70,3	62,9	54,6	45,3	35,0
TF7312	SEL	A	1 000,0	93,7	89,0	85,6	81,8	75,6	68,9	64,1	58,8	53,1	46,9
TF7312	SEL	A	1 500,0	99,3	94,8	91,4	87,8	81,8	74,9	69,7	64,0	57,6	50,6
TF7312	SEL	D	1 500,0	99,3	94,8	91,4	87,8	81,8	74,9	69,7	64,0	57,6	50,6
TF7312	SEL	D	2 650,0	110,5	105,0	101,1	97,1	90,6	83,0	77,1	70,3	62,5	53,8
TF7313	LAmax	A	880,0	85,8	78,6	73,4	67,9	59,1	50,0	43,6	36,6	28,8	20,7

▼M2

Μέτρηση θορύβου	NPD_ID	Είδος λειτουργίας (Op type)	Ρύθμιση ισχύος (το πεδίο «Παράμετρος ισχύος» στον πίνακα «Αεροσκάφος» ορίζει τον τύπο και τη μονάδα ρύθμισης της ισχύος)	L_200ft	L_400ft	L_630ft	L_1000ft	L_2000ft	L_4000ft	L_6300ft	L_10000ft	L_16000ft	L_25000ft
TF7313	LAmax	A	2 300,0	95,2	88,6	84,1	79,3	71,7	63,4	57,3	50,1	41,6	32,2
TF7313	LAmax	D	2 300,0	95,2	88,6	84,1	79,3	71,7	63,4	57,3	50,1	41,6	32,2
TF7313	LAmax	D	3 000,0	101,0	94,4	89,8	85,0	77,4	69,1	63,0	55,9	47,6	38,6
TF7313	SEL	A	880,0	87,1	82,9	79,8	76,4	70,8	64,3	59,3	53,8	47,6	41,0
TF7313	SEL	A	2 300,0	95,9	92,0	89,3	86,3	81,3	75,4	70,8	65,1	58,1	50,2
TF7313	SEL	D	2 300,0	95,9	92,0	89,3	86,3	81,3	75,4	70,8	65,1	58,1	50,2
TF7313	SEL	D	3 000,0	103,4	99,4	96,4	93,8	88,8	82,9	78,3	72,7	65,9	58,3
TIO540	LAmax	A	1 900,0	77,7	70,8	65,6	61,2	54,5	47,5	42,6	37,3	31,4	25,3
TIO540	LAmax	A	2 300,0	83,6	77,1	72,7	68,1	60,9	53,4	48,1	42,5	36,3	29,8
TIO540	LAmax	D	2 400,0	85,2	78,7	74,4	69,9	62,8	55,5	50,4	45,0	39,0	32,7
TIO540	LAmax	D	2 500,0	89,5	83,1	78,8	74,3	67,3	60,1	55,1	49,7	43,7	37,4
TIO540	SEL	A	1 900,0	78,6	74,8	72,3	69,7	65,9	61,7	58,6	55,1	50,9	46,4
TIO540	SEL	A	2 300,0	84,3	80,8	78,4	75,9	71,8	67,3	64,0	60,3	55,7	50,6
TIO540	SEL	D	2 400,0	86,0	82,5	80,1	77,5	73,5	69,0	65,7	62,1	57,7	52,9
TIO540	SEL	D	2 500,0	88,9	85,4	82,9	80,4	76,4	72,0	68,8	65,2	61,0	56,2
TIO542	LAmax	A	2 380,0	85,1	78,8	74,6	70,2	63,4	56,2	51,1	45,4	39,2	32,5
TIO542	LAmax	A	2 400,0	86,8	80,5	76,3	71,9	65,0	57,6	52,3	46,5	40,1	33,4
TIO542	LAmax	D	2 190,0	85,9	79,4	75,0	70,5	63,4	56,0	51,0	45,6	39,7	33,6

▼M2

Μέτρηση θορύβου	NPD_ID	Είδος λειτουργίας (Op type)	Ρύθμιση ισχύος (το πεδίο «Παράμετρος ισχύος» στον πίνακα «Αεροσκάφος» ορίζει τον τύπο και τη μονάδα ρύθμισης της ισχύος)	L_200ft	L_400ft	L_630ft	L_1000ft	L_2000ft	L_4000ft	L_6300ft	L_10000ft	L_16000ft	L_25000ft
TIO542	LAmax	D	2 280,0	88,2	81,7	77,4	72,8	65,7	58,1	53,0	47,4	41,4	35,0
TIO542	LAmax	D	2 500,0	92,1	85,7	81,3	76,7	69,4	61,7	56,2	50,3	43,8	37,0
TIO542	SEL	A	2 380,0	85,2	81,6	79,3	76,8	72,9	68,4	65,2	61,5	57,1	52,4
TIO542	SEL	A	2 400,0	86,8	83,2	80,9	78,4	74,3	69,8	66,4	62,5	58,0	53,2
TIO542	SEL	D	2 190,0	87,8	84,1	81,6	78,8	74,4	69,5	66,0	62,1	57,9	53,3
TIO542	SEL	D	2 280,0	89,5	85,6	82,9	80,2	75,7	70,9	67,4	63,5	59,1	54,3
TIO542	SEL	D	2 500,0	93,1	89,4	87,0	84,3	80,0	75,0	71,4	67,3	62,4	57,2
TPE331	LAmax	A	30,0	83,9	77,6	73,4	69,0	62,1	54,6	49,0	42,8	35,6	27,0
TPE331	LAmax	A	100,0	88,4	82,3	78,2	74,0	67,5	60,5	55,4	49,8	43,5	36,4
TPE331	LAmax	D	30,0	83,9	77,6	73,4	69,0	62,1	54,6	49,0	42,8	35,6	27,0
TPE331	LAmax	D	100,0	88,4	82,3	78,2	74,0	67,5	60,5	55,4	49,8	43,5	36,4
TPE331	SEL	A	30,0	84,3	80,2	77,4	74,6	69,9	64,7	60,6	55,9	50,2	43,7
TPE331	SEL	A	100,0	88,5	84,6	82,0	79,3	75,0	70,3	66,7	62,7	57,9	52,2
TPE331	SEL	D	30,0	84,3	80,2	77,4	74,6	69,9	64,7	60,6	55,9	50,2	43,7
TPE331	SEL	D	100,0	88,5	84,6	82,0	79,3	75,0	70,3	66,7	62,7	57,9	52,2
TPE331-5	LAmax	A	300,0	85,5	78,8	74,3	69,5	61,8	53,5	47,6	41,1	33,7	26,0
TPE331-5	LAmax	A	306,0	85,5	78,8	74,3	69,5	61,8	53,5	47,6	41,1	33,7	26,0
TPE331-5	LAmax	A	460,0	84,2	77,5	73,0	68,2	60,5	52,2	46,2	39,5	32,1	24,5

▼M2

Μέτρηση θορύβου	NPD_ID	Είδος λειτουργίας (Op type)	Ρύθμιση ισχύος (το πεδίο «Παράμετρος ισχύος» στον πίνακα «Αεροσκάφος» ορίζει τον τύπο και τη μονάδα ρύθμισης της ισχύος)	L_200ft	L_400ft	L_630ft	L_1000ft	L_2000ft	L_4000ft	L_6300ft	L_10000ft	L_16000ft	L_25000ft
TPE331-5	LAmax	D	1 491,0	86,9	80,5	76,1	71,5	64,3	56,6	51,1	45,3	39,1	32,9
TPE331-5	LAmax	D	1 791,0	88,1	81,6	77,2	72,6	65,3	57,3	51,5	45,2	38,4	31,5
TPE331-5	LAmax	D	1 800,0	88,1	81,6	77,2	72,6	65,3	57,3	51,5	45,2	38,4	31,5
TPE331-5	SEL	A	300,0	88,5	84,1	81,1	77,8	72,4	66,4	61,9	56,9	51,0	44,8
TPE331-5	SEL	A	306,0	88,5	84,1	81,1	77,8	72,4	66,4	61,9	56,9	51,0	44,8
TPE331-5	SEL	A	460,0	86,7	82,3	79,3	76,0	70,6	64,5	59,9	54,8	48,9	42,7
TPE331-5	SEL	D	1 491,0	89,7	85,5	82,6	79,6	74,6	69,1	65,1	60,8	56,2	51,4
TPE331-5	SEL	D	1 791,0	89,9	85,7	82,8	79,7	74,6	68,9	64,6	59,8	54,5	49,1
TPE331-5	SEL	D	1 800,0	89,9	85,7	82,8	79,7	74,6	68,9	64,6	59,8	54,5	49,1
TRENT5	LAmax	A	3 000,0	94,6	88,1	83,3	78,3	70,5	61,8	55,6	48,7	41,1	33,2
TRENT5	LAmax	A	5 000,0	95,6	88,8	84,0	78,9	70,9	62,1	55,8	48,9	41,2	33,3
TRENT5	LAmax	A	7 000,0	96,2	89,6	84,6	79,5	71,3	62,6	56,3	49,3	41,7	33,9
TRENT5	LAmax	A	9 000,0	97,2	90,7	85,7	80,5	72,2	63,2	56,8	49,8	42,1	34,1
TRENT5	LAmax	D	30 000,0	104,0	96,3	91,0	85,5	77,0	67,8	61,1	53,8	45,9	37,8
TRENT5	LAmax	D	35 000,0	104,8	97,3	92,2	86,9	78,6	69,5	62,8	55,7	47,8	39,7
TRENT5	LAmax	D	40 000,0	105,8	98,5	93,5	88,3	80,1	71,0	64,4	57,0	49,3	41,1
TRENT5	LAmax	D	47 000,0	107,8	100,4	95,4	90,3	82,2	73,2	66,6	59,3	51,3	43,0
TRENT5	SEL	A	3 000,0	99,0	94,3	91,0	87,7	82,3	76,1	71,5	66,3	60,4	53,9

▼M2

Μέτρηση θορύβου	NPD_ID	Είδος λειτουργίας (Op type)	Ρύθμιση ισχύος (το πεδίο «Παράμετρος ισχύος» στον πίνακα «Αεροσκάφος» ορίζει τον τύπο και τη μονάδα ρύθμισης της ισχύος)	L_200ft	L_400ft	L_630ft	L_1000ft	L_2000ft	L_4000ft	L_6300ft	L_10000ft	L_16000ft	L_25000ft
TRENT5	SEL	A	5 000,0	99,6	94,8	91,6	88,2	82,7	76,4	71,8	66,5	60,5	54,1
TRENT5	SEL	A	7 000,0	100,5	95,5	92,3	88,8	83,3	76,9	72,2	66,9	60,9	54,4
TRENT5	SEL	A	9 000,0	101,5	96,4	93,1	89,5	83,9	77,5	72,8	67,5	61,4	54,9
TRENT5	SEL	D	30 000,0	104,9	100,0	97,0	93,6	88,2	82,0	77,4	72,0	65,9	59,0
TRENT5	SEL	D	35 000,0	106,0	101,4	98,4	95,1	89,8	83,7	79,2	73,8	67,6	60,9
TRENT5	SEL	D	40 000,0	107,1	102,7	99,7	96,5	91,4	85,4	80,9	75,6	69,4	62,7
TRENT5	SEL	D	47 000,0	108,6	104,4	101,5	98,4	93,3	87,3	82,8	77,6	71,6	65,1
TRENT7	LAmax	A	4 000,0	93,6	86,6	81,9	77,1	69,4	61,2	55,3	48,7	41,2	33,4
TRENT7	LAmax	A	12 000,0	95,1	88,1	83,3	78,4	70,7	62,3	56,2	49,4	41,8	33,8
TRENT7	LAmax	D	31 000,0	102,6	95,4	90,6	85,5	77,3	68,0	61,1	53,3	45,0	36,6
TRENT7	LAmax	D	41 000,0	102,6	95,3	90,5	85,4	77,4	68,5	62,0	54,7	46,6	38,1
TRENT7	LAmax	D	52 000,0	105,6	98,5	93,8	88,8	80,8	72,0	65,5	58,3	50,2	41,8
TRENT7	LAmax	D	62 000,0	108,7	101,6	96,9	91,9	83,9	75,1	68,9	62,0	54,1	45,5
TRENT7	SEL	A	4 000,0	97,4	93,0	89,8	86,6	81,5	75,7	71,4	66,3	60,5	54,1
TRENT7	SEL	A	12 000,0	98,4	94,0	90,8	87,6	82,4	76,5	72,1	67,0	61,1	54,6
TRENT7	SEL	D	31 000,0	104,2	99,6	96,5	93,1	87,7	81,2	76,2	70,6	64,3	57,6
TRENT7	SEL	D	41 000,0	104,0	99,8	96,9	93,7	88,3	82,2	77,7	72,3	66,2	59,7
TRENT7	SEL	D	52 000,0	106,4	102,4	99,6	96,6	91,5	85,5	81,1	75,9	69,9	63,4

▼M2

Μέτρηση θορύβου	NPD_ID	Είδος λειτουργίας (Op type)	Ρύθμιση ισχύος (το πεδίο «Παράμετρος ισχύος» στον πίνακα «Αεροσκάφος» ορίζει τον τύπο και τη μονάδα ρύθμισης της ισχύος)	L_200ft	L_400ft	L_630ft	L_1000ft	L_2000ft	L_4000ft	L_6300ft	L_10000ft	L_16000ft	L_25000ft
TRENT7	SEL	D	62 000,0	109,1	105,1	102,4	99,5	94,6	88,9	84,5	79,4	73,4	67,3
TRENT8	LAmax	A	7 000,0	93,6	85,9	80,9	75,9	68,1	59,5	53,3	46,7	39,2	30,3
TRENT8	LAmax	A	14 000,0	96,4	88,7	83,6	78,3	70,1	61,2	54,9	48,2	40,6	31,8
TRENT8	LAmax	A	22 000,0	98,7	90,8	85,6	80,2	71,8	62,8	56,5	49,7	42,0	33,1
TRENT8	LAmax	A	28 000,0	100,2	91,9	86,7	81,3	72,9	63,8	57,5	50,8	43,2	34,4
TRENT8	LAmax	D	32 000,0	100,4	93,4	88,5	83,3	74,9	65,7	59,4	52,6	44,8	35,6
TRENT8	LAmax	D	42 000,0	102,1	95,3	90,6	85,5	77,2	68,1	61,9	55,3	47,7	38,6
TRENT8	LAmax	D	52 000,0	103,8	97,1	92,5	87,5	79,3	70,4	64,3	57,8	50,3	41,3
TRENT8	LAmax	D	62 000,0	105,7	99,0	94,4	89,6	81,6	72,9	66,9	60,4	52,8	43,8
TRENT8	LAmax	D	72 000,0	107,9	101,3	96,9	92,1	84,6	76,2	70,3	63,8	56,3	47,4
TRENT8	LAmax	D	80 000,0	110,5	104,0	99,6	95,1	88,0	80,3	74,4	67,9	60,5	52,0
TRENT8	SEL	A	7 000,0	97,4	92,1	88,8	85,3	80,0	74,0	69,6	64,8	59,3	52,8
TRENT8	SEL	A	14 000,0	99,6	94,6	91,3	87,8	82,2	75,9	71,2	66,2	60,4	53,7
TRENT8	SEL	A	22 000,0	101,6	96,7	93,3	89,7	83,9	77,4	72,7	67,6	61,8	55,2
TRENT8	SEL	A	28 000,0	103,1	97,9	94,5	90,8	84,9	78,3	73,6	68,6	63,0	56,6
TRENT8	SEL	D	32 000,0	102,6	98,4	95,3	91,8	85,9	79,1	74,2	69,1	63,5	57,2
TRENT8	SEL	D	42 000,0	104,5	100,4	97,4	94,0	88,2	81,5	76,8	71,9	66,5	60,4
TRENT8	SEL	D	52 000,0	106,1	102,1	99,2	95,9	90,3	83,9	79,3	74,4	69,1	63,1

▼M2

Μέτρηση θορύβου	NPD_ID	Είδος λειτουργίας (Op type)	Ρύθμιση ισχύος (το πεδίο «Παράμετρος ισχύος» στον πίνακα «Αεροσκάφος» ορίζει τον τύπο και τη μονάδα ρύθμισης της ισχύος)	L_200ft	L_400ft	L_630ft	L_1000ft	L_2000ft	L_4000ft	L_6300ft	L_10000ft	L_16000ft	L_25000ft
TRENT8	SEL	D	62 000,0	107,6	103,8	101,0	97,8	92,4	86,2	81,7	77,0	71,6	65,3
TRENT8	SEL	D	72 000,0	109,5	105,8	103,1	100,1	95,0	89,2	84,9	80,2	74,8	68,3
TRENT8	SEL	D	80 000,0	111,6	108,0	105,4	102,7	98,0	92,7	88,7	84,2	78,7	72,0
TRENT9	LAmax	A	4 000,0	93,1	86,6	82,2	77,5	69,9	61,4	55,3	48,6	41,2	33,5
TRENT9	LAmax	A	6 000,0	93,4	86,8	82,3	77,6	70,0	61,5	55,5	48,8	41,4	33,6
TRENT9	LAmax	A	9 000,0	93,9	87,2	82,6	77,9	70,3	61,8	55,7	49,1	41,6	33,9
TRENT9	LAmax	A	13 000,0	94,2	87,7	83,2	78,5	71,0	62,5	56,4	49,7	42,1	34,3
TRENT9	LAmax	D	40 000,0	98,9	92,4	87,8	83,0	75,1	66,4	60,2	53,3	45,6	37,4
TRENT9	LAmax	D	50 000,0	101,1	94,9	90,3	85,5	77,6	68,9	62,7	55,8	48,2	40,1
TRENT9	LAmax	D	60 000,0	104,1	98,0	93,5	88,6	80,8	72,0	65,7	58,7	50,9	42,7
TRENT9	LAmax	D	80 000,0	107,0	101,2	97,0	92,3	84,6	76,0	69,8	62,8	55,0	46,8
TRENT9	SEL	A	4 000,0	98,5	93,7	90,5	87,2	82,0	76,0	71,5	66,4	60,6	54,3
TRENT9	SEL	A	6 000,0	98,7	93,8	90,6	87,3	82,1	76,1	71,6	66,6	60,8	54,5
TRENT9	SEL	A	9 000,0	99,2	94,2	91,0	87,7	82,4	76,4	72,0	66,9	61,1	54,8
TRENT9	SEL	A	13 000,0	99,8	95,0	91,8	88,5	83,2	77,3	72,8	67,7	61,7	55,2
TRENT9	SEL	D	40 000,0	102,7	98,2	95,0	91,6	86,3	80,3	75,8	70,8	64,9	58,5
TRENT9	SEL	D	50 000,0	104,7	100,4	97,4	94,1	88,9	83,0	79,0	73,6	67,8	61,4

▼M2

Μέτρηση θορύβου	NPD_ID	Είδος λειτουργίας (Op type)	Ρύθμιση ισχύος (το πεδίο «Παράμετρος ισχύος» στον πίνακα «Αεροσκάφος» ορίζει τον τύπο και τη μονάδα ρύθμισης της ισχύος)	L_200ft	L_400ft	L_630ft	L_1000ft	L_2000ft	L_4000ft	L_6300ft	L_10000ft	L_16000ft	L_25000ft
TRENT9	SEL	D	60 000,0	107,5	103,5	100,6	97,4	92,2	86,2	81,8	76,7	70,8	64,4
TRENT9	SEL	D	80 000,0	110,3	106,6	103,7	100,7	95,7	89,9	85,5	80,4	74,6	68,4
TSIO52	LAmax	A	30,0	83,1	76,9	72,6	68,3	61,5	54,1	48,7	42,8	36,4	29,5
TSIO52	LAmax	A	100,0	95,4	89,1	84,9	80,5	73,7	66,3	60,9	55,1	48,8	42,0
TSIO52	LAmax	D	30,0	83,1	76,9	72,6	68,3	61,5	54,1	48,7	42,8	36,4	29,5
TSIO52	LAmax	D	100,0	95,4	89,1	84,9	80,5	73,7	66,3	60,9	55,1	48,8	42,0
TSIO52	SEL	A	30,0	84,6	80,6	77,9	75,1	70,5	65,3	61,4	57,1	52,2	46,8
TSIO52	SEL	A	100,0	97,6	93,6	90,9	88,0	83,4	78,3	74,4	70,1	65,3	59,9
TSIO52	SEL	D	30,0	84,6	80,6	77,9	75,1	70,5	65,3	61,4	57,1	52,2	46,8
TSIO52	SEL	D	100,0	97,6	93,6	90,9	88,0	83,4	78,3	74,4	70,1	65,3	59,9
V2522A	LAmax	A	2 000,0	89,7	83,1	78,5	73,4	65,3	56,3	49,8	42,6	34,5	26,3
V2522A	LAmax	A	2 700,0	89,9	83,3	78,6	73,6	65,5	56,5	49,9	42,8	34,7	26,6
V2522A	LAmax	A	6 000,0	91,8	85,0	80,0	74,8	66,6	57,6	51,0	43,7	35,5	27,2
V2522A	LAmax	D	10 000,0	94,8	86,3	80,5	74,7	66,4	57,4	50,9	43,8	36,0	27,9
V2522A	LAmax	D	14 000,0	96,6	88,4	83,2	78,2	70,3	61,5	55,1	47,9	39,8	31,5
V2522A	LAmax	D	18 000,0	101,4	93,9	89,1	84,0	76,1	67,2	60,8	53,6	46,0	37,7
V2522A	LAmax	D	21 000,0	103,1	95,8	91,0	86,1	78,2	69,4	63,2	56,3	48,6	40,5
V2522A	SEL	A	2 000,0	93,7	89,5	86,3	82,8	77,0	70,6	65,6	60,2	53,9	47,2

▼M2

Μέτρηση θορύβου	NPD_ID	Είδος λειτουργίας (Op type)	Ρύθμιση ισχύος (το πεδίο «Παράμετρος ισχύος» στον πίνακα «Αεροσκάφος» ορίζει τον τύπο και τη μονάδα ρύθμισης της ισχύος)	L_200ft	L_400ft	L_630ft	L_1000ft	L_2000ft	L_4000ft	L_6300ft	L_10000ft	L_16000ft	L_25000ft
V2522A	SEL	A	2 700,0	93,9	89,7	86,4	82,9	77,1	70,7	65,8	60,4	54,0	47,4
V2522A	SEL	A	6 000,0	95,6	91,3	87,9	84,1	78,2	71,5	66,7	61,2	54,7	47,9
V2522A	SEL	D	10 000,0	94,9	90,1	86,7	83,3	77,9	71,7	67,0	61,7	55,7	49,1
V2522A	SEL	D	14 000,0	98,2	94,0	90,9	87,6	82,1	75,7	71,0	65,4	59,2	52,6
V2522A	SEL	D	18 000,0	102,6	98,6	95,6	92,5	87,2	81,1	76,6	71,3	65,3	58,9
V2522A	SEL	D	21 000,0	103,9	100,0	97,1	94,1	89,0	83,0	78,7	73,6	67,8	61,7
V2525	LAmax	A	3 000,0	89,2	83,0	78,2	73,7	66,0	57,5	51,0	44,1	36,5	28,3
V2525	LAmax	A	6 950,0	91,0	84,5	80,0	75,0	67,7	58,9	53,0	46,0	38,2	30,0
V2525	LAmax	D	10 500,0	93,1	86,5	82,0	77,2	69,9	61,1	55,3	48,7	41,2	33,4
V2525	LAmax	D	13 150,0	95,2	88,8	84,0	79,5	72,1	63,5	57,9	51,0	43,8	36,0
V2525	LAmax	D	18 500,0	100,0	93,4	88,8	84,0	76,7	68,1	62,2	56,0	48,6	40,8
V2525	LAmax	D	23 000,0	104,8	98,5	93,9	89,0	81,8	73,3	67,8	61,0	53,5	45,4
V2525	SEL	A	3 000,0	91,9	88,5	85,4	81,9	76,7	71,2	66,9	61,7	55,7	49,1
V2525	SEL	A	6 950,0	94,3	90,2	86,6	83,5	78,3	72,8	68,4	63,7	57,5	51,5
V2525	SEL	D	10 500,0	95,8	91,6	88,5	85,3	80,2	74,7	70,2	65,7	59,5	54,1
V2525	SEL	D	13 150,0	98,1	94,0	91,0	87,9	82,7	76,9	72,7	68,2	62,7	56,7
V2525	SEL	D	18 500,0	102,4	98,5	95,7	92,7	87,7	82,2	78,2	73,2	67,8	61,7
V2525	SEL	D	23 000,0	106,2	102,7	99,7	97,0	92,2	86,7	82,7	78,0	72,7	66,5

▼M2

Μέτρηση θορύβου	NPD_ID	Είδος λειτουργίας (Op type)	Ρύθμιση ισχύος (το πεδίο «Παράμετρος ισχύος» στον πίνακα «Αεροσκάφος» ορίζει τον τύπο και τη μονάδα ρύθμισης της ισχύος)	L_200ft	L_400ft	L_630ft	L_1000ft	L_2000ft	L_4000ft	L_6300ft	L_10000ft	L_16000ft	L_25000ft
V2527A	LAmax	A	2 000,0	89,3	82,8	78,2	73,4	65,8	57,4	51,2	44,4	36,7	28,6
V2527A	LAmax	A	2 700,0	89,5	83,0	78,3	73,5	65,8	57,4	51,3	44,4	36,7	28,6
V2527A	LAmax	A	6 000,0	91,6	84,7	79,5	74,2	66,5	58,0	51,9	45,0	37,2	29,1
V2527A	LAmax	D	10 000,0	94,8	86,3	80,5	74,8	66,5	57,6	51,1	44,0	36,2	28,2
V2527A	LAmax	D	14 000,0	96,7	88,6	83,5	78,4	70,5	61,7	55,3	48,1	40,1	31,8
V2527A	LAmax	D	19 000,0	101,2	93,9	89,0	84,0	76,1	67,3	61,1	54,1	46,3	38,2
V2527A	LAmax	D	23 000,0	104,0	96,9	92,2	87,3	79,4	70,8	64,7	57,9	50,3	42,0
V2527A	SEL	A	2 000,0	93,1	89,1	86,1	82,9	77,7	71,7	67,1	61,9	55,8	49,2
V2527A	SEL	A	2 700,0	93,3	89,2	86,2	83,0	77,7	71,8	67,2	62,0	55,8	49,3
V2527A	SEL	A	6 000,0	94,7	90,5	87,4	83,9	78,5	72,3	67,7	62,5	56,3	49,7
V2527A	SEL	D	10 000,0	95,0	90,2	86,8	83,5	78,1	71,8	67,2	61,9	55,9	49,4
V2527A	SEL	D	14 000,0	98,3	93,9	90,9	87,6	82,1	75,8	71,1	65,6	59,4	52,8
V2527A	SEL	D	19 000,0	102,5	98,4	95,5	92,3	87,2	81,1	76,7	71,5	65,7	59,4
V2527A	SEL	D	23 000,0	104,6	100,7	98,0	95,0	90,0	84,3	80,0	75,1	69,5	63,3
V2530	LAmax	A	2 000,0	91,8	84,4	79,6	74,5	66,3	57,2	50,5	43,2	35,2	26,9
V2530	LAmax	A	6 000,0	93,3	86,1	81,2	75,9	67,6	58,5	51,8	44,4	36,2	27,8
V2530	LAmax	D	13 000,0	96,8	88,3	83,2	78,2	70,3	61,4	54,9	47,6	39,6	31,3
V2530	LAmax	D	18 000,0	99,6	92,1	87,3	82,3	74,3	65,4	59,0	51,9	44,1	35,9

▼M2

Μέτρηση θορύβου	NPD_ID	Είδος λειτουργίας (Op type)	Ρύθμιση ισχύος (το πεδίο «Παράμετρος ισχύος» στον πίνακα «Αεροσκάφος» ορίζει τον τύπο και τη μονάδα ρύθμισης της ισχύος)	L_200ft	L_400ft	L_630ft	L_1000ft	L_2000ft	L_4000ft	L_6300ft	L_10000ft	L_16000ft	L_25000ft
V2530	LAmax	D	22 000,0	103,3	96,1	91,4	86,4	78,5	69,8	63,6	56,9	49,2	41,1
V2530	LAmax	D	27 000,0	107,0	100,0	95,3	90,4	82,6	74,2	68,1	61,5	54,0	45,8
V2530	SEL	A	2 000,0	94,6	90,2	86,9	83,4	77,7	71,2	66,2	60,5	54,3	47,6
V2530	SEL	A	6 000,0	96,0	91,4	88,1	84,6	78,8	72,3	67,4	61,7	55,4	48,6
V2530	SEL	D	13 000,0	98,3	94,3	91,2	87,8	82,2	75,8	71,0	65,5	59,2	52,5
V2530	SEL	D	18 000,0	100,8	96,8	93,8	90,7	85,4	79,4	74,8	69,5	63,6	57,1
V2530	SEL	D	22 000,0	104,1	100,1	97,3	94,3	89,3	83,5	79,1	74,0	68,4	62,2
V2530	SEL	D	27 000,0	107,5	103,5	100,9	98,0	93,2	87,6	83,4	78,6	73,0	67,1

▼M2

Πίνακας Θ-10

Ηχοφασματικές κατηγορίες

Ηχοφασματική κατηγορία	Τύπος λειτουργίας	Περιγραφή	L_50Hz	L_63Hz	L_80Hz	L_100Hz	L_125Hz	L_160Hz	L_200Hz	L_250Hz	L_315Hz	L_400Hz	L_500Hz
101	Αναχώρηση	2/3-κινητήρες στροβιλοανεμιστήρες ροής χαμηλής παρέκκλισης	59,5	61,6	62,8	73,1	80,8	78,3	72,3	75,8	75,9	73,6	71,8
102	Αναχώρηση	2-κινητήρες στροβιλοανεμιστήρες ροής υψηλής παρέκκλισης	59,7	60,0	68,5	73,0	73,8	70,4	67,6	71,4	68,7	72,8	73,2
103	Αναχώρηση	2-κινητήρες στροβιλοανεμιστήρες ροής υψηλής παρέκκλισης	56,7	66,1	70,1	72,8	76,6	73,0	74,5	77,0	75,3	72,2	72,2
104	Αναχώρηση	2 κινητήρες στροβιλοανεμιστήρες ροής χαμηλής/μέσης παρέκκλισης	57,3	56,3	61,5	67,7	71,4	73,7	67,0	72,1	73,8	74,1	71,3
105	Αναχώρηση	2-κινητήρες στροβιλοανεμιστήρες ροής υψηλής παρέκκλισης	66,5	60,4	67,1	75,0	78,2	79,3	71,5	76,7	74,4	74,6	72,3
106	Αναχώρηση	4-κινητήρες στροβιλοανεμιστήρες+υπερηχητικοί	62,5	57,4	66,9	73,7	75,5	74,0	71,4	73,4	73,4	75,7	75,8
107	Αναχώρηση	4-κινητήρες στροβιλοανεμιστήρες	58,6	62,7	69,1	74,1	76,0	74,3	74,1	74,4	74,0	73,6	73,2
108	Αναχώρηση	4-κινητήρες στροβιλοανεμιστήρες	66,2	66,2	66,2	72,2	80,8	67,9	67,6	72,0	70,0	70,7	71,1
109	Αναχώρηση	2 -ελικοστροβιλοκινητήρες+1/2 εμβολοφόροι κινητήρες	64,7	67,1	73,1	89,4	84,5	76,3	89,3	80,7	79,3	79,3	81,6
110	Αναχώρηση	2-ελικοστροβιλοκινητήρες+4 εμβολοφόροι κινητήρες	71,4	69,9	79,9	87,4	76,5	80,9	86,2	86,0	85,6	81,2	76,8
111	Αναχώρηση	2-ελικοστροβιλοκινητήρες	78,0	76,0	90,0	103,0	82,0	85,0	97,0	89,0	94,0	80,0	79,0
112	Αναχώρηση	2/4-ελικοστροβιλοκινητήρες	74,0	95,0	92,0	75,0	96,0	90,0	74,9	78,0	75,0	75,0	74,1

▼M2

Ηχοφασματική κατηγορία	Τύπος λειτουργίας	Περιγραφή	L_50Hz	L_63Hz	L_80Hz	L_100Hz	L_125Hz	L_160Hz	L_200Hz	L_250Hz	L_315Hz	L_400Hz	L_500Hz
113	Αναχώρηση	2-αεριοστροβιλοκινητήρες+κινητήρες business στροβιλοανεμιστήρες	58,5	57,9	60,7	67,0	71,2	72,6	70,3	72,7	72,9	73,5	72,8
136	Αναχώρηση	2-κινητήρες business στροβιλοανεμιστήρες	59,7	60,0	68,5	73,0	73,8	70,4	67,6	71,4	68,7	72,8	73,2
137	Αναχώρηση	2-κινητήρες business στροβιλοανεμιστήρες	58,6	62,7	69,1	74,1	76,0	74,3	74,1	74,4	74,0	73,6	73,2
138	Αναχώρηση	2-κινητήρες business στροβιλοανεμιστήρες	66,2	66,2	66,2	72,2	80,8	67,9	67,6	72,0	70,0	70,7	71,1
201	Προσέγγιση	2/3-κινητήρες στροβιλοανεμιστήρες ροής χαμηλής παρέκκλισης	64,9	65,5	66,2	66,7	73,0	77,6	74,8	70,7	76,6	72,5	74,4
202	Προσέγγιση	2-κινητήρες στροβιλοανεμιστήρες ροής χαμηλής/υψηλής παρέκκλισης	68,5	68,5	68,5	68,4	68,5	70,9	73,3	67,3	72,6	72,5	72,1
203	Προσέγγιση	2-κινητήρες στροβιλοανεμιστήρες ροής υψηλής παρέκκλισης+business	67,3	68,9	69,6	70,0	70,2	74,0	74,7	73,1	71,3	74,1	72,9
204	Προσέγγιση	2 κινητήρες στροβιλοανεμιστήρες ροής χαμηλής/μέσης παρέκκλισης	58,8	57,1	59,4	68,0	72,8	73,7	69,1	72,3	74,8	75,6	73,6
205	Προσέγγιση	2-κινητήρες στροβιλοανεμιστήρες ροής υψηλής παρέκκλισης	68,3	60,7	64,6	67,4	78,4	74,8	71,4	72,4	72,0	72,4	71,6
206	Προσέγγιση	4-αεριοστροβιλοκινητήρες+κινητήρες στροβιλοανεμιστήρες	63,3	65,4	64,1	63,2	66,0	66,6	69,6	70,1	71,5	67,1	71,0
207	Προσέγγιση	4-κινητήρες στροβιλοανεμιστήρες	67,0	61,1	62,7	64,1	70,4	74,4	71,8	68,4	76,3	72,3	73,5
208	Προσέγγιση	4-αεριοστροβιλοκινητήρες+κινητήρες στροβιλοανεμιστήρες	66,7	65,0	61,7	65,4	72,9	76,2	73,0	68,1	72,7	70,7	72,1
209	Προσέγγιση	4-κινητήρες στροβιλοανεμιστήρες	60,0	59,0	60,0	69,0	71,0	70,0	69,0	69,0	69,0	69,0	70,0
210	Προσέγγιση	2-ελικοστροβιλοκινητήρες	65,0	70,0	65,0	72,0	77,0	68,0	78,0	85,0	86,0	79,0	73,0

▼**M2**

Ηχοφασματική κατηγορία	Τύπος λειτουργίας	Περιγραφή	L_50Hz	L_63Hz	L_80Hz	L_100Hz	L_125Hz	L_160Hz	L_200Hz	L_250Hz	L_315Hz	L_400Hz	L_500Hz
211	Προσέγγιση	2-ελικοστροβιλοκινητήρες	71,3	65,4	74,7	88,1	77,1	80,3	86,9	80,0	86,8	78,2	75,5
212	Προσέγγιση	2-ελικοστροβιλοκινητήρες	72,0	68,0	79,0	71,0	73,0	84,0	74,0	75,0	73,0	72,0	71,0
213	Προσέγγιση	4-ελικοστροβιλοκινητήρες+εμβολοφόροι κινητήρες	64,0	73,0	76,0	71,0	82,0	83,0	67,0	71,0	70,0	69,0	69,0
214	Προσέγγιση	2/4-ελικοστροβιλοκινητήρες	61,8	69,8	61,8	58,8	67,8	70,8	62,8	59,8	62,8	60,8	60,8
215	Προσέγγιση	1/2-εμβολοφόροι κινητήρχες	83,0	98,0	83,0	79,0	91,0	80,0	85,0	76,0	75,0	73,0	72,0
216	Προσέγγιση	2-αεριοστροβιλοκινητήρες+κινητήρες στροβιλοανεμιστήρες	68,0	63,1	64,7	71,2	74,3	75,0	70,3	72,6	72,1	73,3	71,3
235	Προσέγγιση	2-κινητήρες business στροβιλοανεμιστήρες	67,3	68,9	69,6	70,0	70,2	74,0	74,7	73,1	71,3	74,1	72,9
236	Προσέγγιση	2-κινητήρες business στροβιλοανεμιστήρες	62,7	64,8	63,5	62,6	65,4	66,0	69,0	69,5	70,8	66,5	70,4
237	Προσέγγιση	2-κινητήρες business στροβιλοανεμιστήρες	67,0	61,1	62,7	64,1	70,4	74,4	71,8	68,4	76,3	72,3	73,5
238	Προσέγγιση	2-κινητήρες business στροβιλοανεμιστήρες	60,0	59,0	60,0	69,0	71,0	70,0	69,0	69,0	69,0	69,0	70,0

Ηχοφασματική κατηγορία	Τύπος λειτουργίας	Περιγραφή	L_50Hz	L_63Hz	L_80Hz	L_100Hz	L_125Hz	L_160Hz	L_200Hz	L_250Hz	L_315Hz	L_400Hz	L_500Hz	L_630Hz	L_800Hz	L_1000Hz	L_1250Hz	L_1600Hz	L_2000Hz	L_2500Hz	L_3150Hz	L_4000Hz	L_5000Hz	L_6300Hz	L_8000Hz	L_10000Hz
101	Αναχώρηση	2/3-κινητήρες στροβιλοανεμιστήρες ροής χαμηλής παρέκκλισης	59,5	61,6	62,8	73,1	80,8	78,3	72,3	75,8	75,9	73,6	71,8	71,6	72,3	70,0	68,3	66,6	64,2	61,4	58,6	54,8	50,9	45,7	43,9	40,9

▼M2

Ηχοφασματική κατηγορία	Τύπος λειτουργίας	Περιγραφή	L_50Hz	L_63Hz	L_80Hz	L_100Hz	L_125Hz	L_160Hz	L_200Hz	L_250Hz	L_315Hz	L_400Hz	L_500Hz	L_630Hz	L_800Hz	L_1000Hz	L_1250Hz	L_1600Hz	L_2000Hz	L_2500Hz	L_3150Hz	L_4000Hz	L_5000Hz	L_6300Hz	L_8000Hz	L_10000Hz
102	Αναχώρηση	2-κινητήρες στροβιλοανεμιστήρες ροής υψηλής παρέκκλισης	59,7	60,0	68,5	73,0	73,8	70,4	67,6	71,4	68,7	72,8	73,2	73,0	72,9	70,0	68,0	67,3	62,3	61,4	58,0	58,8	58,7	46,7	44,2	44,1
103	Αναχώρηση	2-κινητήρες στροβιλοανεμιστήρες ροής υψηλής παρέκκλισης	56,7	66,1	70,1	72,8	76,6	73,0	74,5	77,0	75,3	72,2	72,2	71,2	70,2	70,0	69,6	71,1	70,6	67,1	63,4	63,5	58,2	51,5	42,3	37,7
104	Αναχώρηση	2 κινητήρες στροβιλοανεμιστήρες ροής χαμηλής/μέσης παρέκκλισης	57,3	56,3	61,5	67,7	71,4	73,7	67,0	72,1	73,8	74,1	71,3	70,4	70,9	70,0	68,2	67,3	63,4	60,9	56,6	53,2	47,8	40,5	31,7	27,9
105	Αναχώρηση	2-κινητήρες στροβιλοανεμιστήρες ροής υψηλής παρέκκλισης	66,5	60,4	67,1	75,0	78,2	79,3	71,5	76,7	74,4	74,6	72,3	71,9	71,1	70,0	69,0	68,8	67,0	65,5	63,4	59,2	53,8	50,0	44,7	38,2
106	Αναχώρηση	4-κινητήρες στροβιλοανεμιστήρες+υπερηχητικοί	62,5	57,4	66,9	73,7	75,5	74,0	71,4	73,4	73,4	75,7	75,8	74,1	71,6	70,0	68,9	68,2	66,4	63,5	62,5	62,5	59,2	53,7	48,1	41,2
107	Αναχώρηση	4-κινητήρες στροβιλοανεμιστήρες	58,6	62,7	69,1	74,1	76,0	74,3	74,1	74,4	74,0	73,6	73,2	72,3	71,7	70,0	69,1	69,4	69,6	73,6	67,7	63,1	58,3	51,5	44,2	34,7

▼**M2**

Ηχοφασματική κατηγορία	Τύπος λειτουργίας	Περιγραφή	L_50Hz	L_63Hz	L_80Hz	L_100Hz	L_125Hz	L_160Hz	L_200Hz	L_250Hz	L_315Hz	L_400Hz	L_500Hz	L_630Hz	L_800Hz	L_1000Hz	L_1250Hz	L_1600Hz	L_2000Hz	L_2500Hz	L_3150Hz	L_4000Hz	L_5000Hz	L_6300Hz	L_8000Hz	L_10000Hz
108	Αναχώρηση	4-κινητήρες στροβιλοανεμιστήρες	66,2	66,2	66,2	72,2	80,8	67,9	67,6	72,0	70,0	70,7	71,1	68,9	71,1	70,0	68,3	67,5	65,4	63,6	63,9	64,8	62,1	59,3	54,6	47,3
109	Αναχώρηση	2 -ελικοστροβιλοκινητήρες+1/2 εμβολοφόροι κινητήρες	64,7	67,1	73,1	89,4	84,5	76,3	89,3	80,7	79,3	79,3	81,6	80,3	76,4	70,0	65,0	61,9	59,8	57,3	55,6	52,7	50,9	44,8	36,3	28,4
110	Αναχώρηση	2-ελικοστροβιλοκινητήρες+4 εμβολοφόροι κινητήρες	71,4	69,9	79,9	87,4	76,5	80,9	86,2	86,0	85,6	81,2	76,8	74,5	73,2	70,0	69,5	69,2	67,2	65,4	63,2	60,2	58,4	51,4	40,4	29,0
111	Αναχώρηση	2-ελικοστροβιλοκινητήρες	78,0	76,0	90,0	103,0	82,0	85,0	97,0	89,0	94,0	80,0	79,0	79,0	75,0	70,0	68,0	64,0	62,0	58,0	57,0	53,0	48,0	43,0	38,0	33,0
112	Αναχώρηση	2/4-ελικοστροβιλοκινητήρες	74,0	95,0	92,0	75,0	96,0	90,0	74,9	78,0	75,0	75,0	74,1	74,0	72,0	70,0	71,0	72,0	71,0	70,0	66,0	64,0	60,0	54,0	46,0	39,9
113	Αναχώρηση	2-αεριοστροβιλοκινητήρες+κινητήρες business στροβιλοανεμιστήρες	58,5	57,9	60,7	67,0	71,2	72,6	70,3	72,7	72,9	73,5	72,8	72,0	71,3	70,0	68,9	67,1	64,5	63,0	60,2	55,8	52,1	45,1	38,8	29,6
136	Αναχώρηση	2-κινητήρες business στροβιλοανεμιστήρες	59,7	60,0	68,5	73,0	73,8	70,4	67,6	71,4	68,7	72,8	73,2	73,0	72,9	70,0	68,0	67,3	62,3	61,4	58,0	58,8	58,7	46,7	44,2	44,1
137	Αναχώρηση	2-κινητήρες business στροβιλοανεμιστήρες	58,6	62,7	69,1	74,1	76,0	74,3	74,1	74,4	74,0	73,6	73,2	72,3	71,7	70,0	69,1	69,4	69,6	73,6	67,7	63,1	58,3	51,5	44,2	34,7

▼**M2**

Ηχοφασματική κατηγορία	Τύπος λειτουργίας	Περιγραφή	L_50Hz	L_63Hz	L_80Hz	L_100Hz	L_125Hz	L_160Hz	L_200Hz	L_250Hz	L_315Hz	L_400Hz	L_500Hz	L_630Hz	L_800Hz	L_1000Hz	L_1250Hz	L_1600Hz	L_2000Hz	L_2500Hz	L_3150Hz	L_4000Hz	L_5000Hz	L_6300Hz	L_8000Hz	L_10000Hz
138	Αναχώρηση	2-κινητήρες business στροβιλοανεμιστήρες	66,2	66,2	66,2	72,2	80,8	67,9	67,6	72,0	70,0	70,7	71,1	68,9	71,1	70,0	68,3	67,5	65,4	63,6	63,9	64,8	62,1	59,3	54,6	47,3
201	Προσέγγιση	2/3-κινητήρες στροβιλοανεμιστήρες ροής χαμηλής παρέκκλισης	64,9	65,5	66,2	66,7	73,0	77,6	74,8	70,7	76,6	72,5	74,4	73,6	70,9	70,0	69,2	67,8	66,5	68,0	63,0	60,0	57,6	56,3	54,6	45,8
202	Προσέγγιση	2-κινητήρες στροβιλοανεμιστήρες ροής χαμηλής/υψηλής παρέκκλισης	68,5	68,5	68,5	68,4	68,5	70,9	73,3	67,3	72,6	72,5	72,1	75,4	75,4	70,0	68,9	68,3	65,8	64,7	63,5	62,1	60,2	57,8	48,6	38,8
203	Προσέγγιση	2-κινητήρες στροβιλοανεμιστήρες ροής υψηλής παρέκκλισης+business	67,3	68,9	69,6	70,0	70,2	74,0	74,7	73,1	71,3	74,1	72,9	73,1	71,6	70,0	70,4	67,4	67,4	70,8	69,7	72,1	64,2	56,4	49,6	38,9
204	Προσέγγιση	2 κινητήρες στροβιλοανεμιστήρες ροής χαμηλής/μέσης παρέκκλισης	58,8	57,1	59,4	68,0	72,8	73,7	69,1	72,3	74,8	75,6	73,6	72,1	72,1	70,0	66,3	63,6	59,9	57,5	54,8	51,8	48,8	45,8	42,8	39,8

▼**M2**

Ηχοφασματική κατηγορία	Τύπος λειτουργίας	Περιγραφή	L_50Hz	L_63Hz	L_80Hz	L_100Hz	L_125Hz	L_160Hz	L_200Hz	L_250Hz	L_315Hz	L_400Hz	L_500Hz	L_630Hz	L_800Hz	L_1000Hz	L_1250Hz	L_1600Hz	L_2000Hz	L_2500Hz	L_3150Hz	L_4000Hz	L_5000Hz	L_6300Hz	L_8000Hz	L_10000Hz
205	Προσέγγιση	2-κινητήρες στροβιλοανεμιστήρες ροής υψηλής παρέκκλισης	68,3	60,7	64,6	67,4	78,4	74,8	71,4	72,4	72,0	72,4	71,6	72,0	71,0	70,0	68,9	67,2	65,8	64,4	63,0	62,0	60,6	54,4	48,5	39,0
206	Προσέγγιση	4-αεριοστροβιλοκινητήρες+κινητήρες στροβιλοανεμιστήρες	63,3	65,4	64,1	63,2	66,0	66,6	69,6	70,1	71,5	67,1	71,0	70,4	71,8	70,0	69,6	66,6	62,9	62,0	62,7	59,1	58,8	53,3	50,2	40,6
207	Προσέγγιση	4-κινητήρες στροβιλοανεμιστήρες	67,0	61,1	62,7	64,1	70,4	74,4	71,8	68,4	76,3	72,3	73,5	71,2	70,5	70,0	68,7	67,1	67,5	69,4	71,1	72,5	65,7	59,3	52,2	45,6
208	Προσέγγιση	4-αεριοστροβιλοκινητήρες+κινητήρες στροβιλοανεμιστήρες	66,7	65,0	61,7	65,4	72,9	76,2	73,0	68,1	72,7	70,7	72,1	70,1	69,0	70,0	70,9	70,2	70,6	81,3	73,7	62,8	62,6	56,0	49,6	37,9
209	Προσέγγιση	4-κινητήρες στροβιλοανεμιστήρες	60,0	59,0	60,0	69,0	71,0	70,0	69,0	69,0	69,0	69,0	70,0	69,0	69,0	70,0	72,0	77,0	72,0	72,0	70,0	66,0	63,0	57,0	49,0	38,0
210	Προσέγγιση	2-ελικοστροβιλοκινητήρες	65,0	70,0	65,0	72,0	77,0	68,0	78,0	85,0	86,0	79,0	73,0	76,0	71,0	70,0	68,0	68,0	65,0	63,0	60,0	56,0	53,0	52,0	42,0	28,0
211	Προσέγγιση	2-ελικοστροβιλοκινητήρες	71,3	65,4	74,7	88,1	77,1	80,3	86,9	80,0	86,8	78,2	75,5	75,2	71,6	70,0	70,7	69,6	68,6	67,5	67,0	63,9	59,9	53,0	45,7	40,0
212	Προσέγγιση	2-ελικοστροβιλοκινητήρες	72,0	68,0	79,0	71,0	73,0	84,0	74,0	75,0	73,0	72,0	71,0	77,0	73,0	70,0	77,0	75,0	72,0	70,0	71,0	83,0	75,0	57,0	54,0	45,0

▼**M2**

Ηχοφασματική κατηγορία	Τύπος λειτουργίας	Περιγραφή	L_50Hz	L_63Hz	L_80Hz	L_100Hz	L_125Hz	L_160Hz	L_200Hz	L_250Hz	L_315Hz	L_400Hz	L_500Hz	L_630Hz	L_800Hz	L_1000Hz	L_1250Hz	L_1600Hz	L_2000Hz	L_2500Hz	L_3150Hz	L_4000Hz	L_5000Hz	L_6300Hz	L_8000Hz	L_10000Hz
213	Προσέγγιση	4-ελικοστροβιλοκινητήρες+εμβολοφόροι κινητήρες	64,0	73,0	76,0	71,0	82,0	83,0	67,0	71,0	70,0	69,0	69,0	68,0	67,0	70,0	69,0	67,0	64,0	60,0	57,0	54,0	49,0	42,0	32,0	20,0
214	Προσέγγιση	2/4-ελικοστροβιλοκινητήρες	61,8	69,8	61,8	58,8	67,8	70,8	62,8	59,8	62,8	60,8	60,8	59,8	60,8	70,0	67,8	61,8	59,8	56,8	52,8	49,8	47,8	45,8	35,8	27,8
215	Προσέγγιση	1/2-εμβολοφόροι κινητήρες	83,0	98,0	83,0	79,0	91,0	80,0	85,0	76,0	75,0	73,0	72,0	73,0	71,0	70,0	68,0	66,0	65,0	64,0	60,0	57,0	53,0	49,0	43,0	32,0
216	Προσέγγιση	2-αεριοστροβιλοκινητήρες+κινητήρες στροβιλοανεμιστήρες	68,0	63,1	64,7	71,2	74,3	75,0	70,3	72,6	72,1	73,3	71,3	70,7	70,3	70,0	69,3	68,0	67,8	66,3	64,4	62,0	57,2	52,2	43,5	33,1
235	Προσέγγιση	2-κινητήρες business στροβιλοανεμιστήρες	67,3	68,9	69,6	70,0	70,2	74,0	74,7	73,1	71,3	74,1	72,9	73,1	71,6	70,0	70,4	67,4	67,4	70,8	69,7	72,1	64,2	56,4	49,6	38,9
236	Προσέγγιση	2-κινητήρες business στροβιλοανεμιστήρες	62,7	64,8	63,5	62,6	65,4	66,0	69,0	69,5	70,8	66,5	70,4	69,8	71,2	69,4	68,9	66,0	62,3	61,4	62,1	58,5	58,2	52,7	49,6	40,0
237	Προσέγγιση	2-κινητήρες business στροβιλοανεμιστήρες	67,0	61,1	62,7	64,1	70,4	74,4	71,8	68,4	76,3	72,3	73,5	71,2	70,5	70,0	68,7	67,1	67,5	69,4	71,1	72,5	65,7	59,3	52,2	45,6
238	Προσέγγιση	2-κινητήρες business στροβιλοανεμιστήρες	60,0	59,0	60,0	69,0	71,0	70,0	69,0	69,0	69,0	69,0	70,0	69,0	69,0	70,0	72,0	77,0	72,0	72,0	70,0	66,0	63,0	57,0	49,0	38,0

▼M2

Το παρόν τμήμα περιλαμβάνει συμπληρωματικά δεδομένα για αεροσκάφη γενικής αεροπορίας.

Αεροσκάφη GASEPF και GASEPV

Πίνακας Θ-11

Τύποι αεροσκαφών GASEPF και GASEPV

ACFTID	Περιγραφή	Τύπος κινητήρα	Αριθμός κινητήρων	Κατηγοριοποίηση βάρους	Κατηγορία ιδιοκτήτη	MGTOW (lb)	MGLW (lb)	Μέγιστη διαδρομή προσγείωσης (ft)	Μέγιστη στατική ώση σε επίπεδο θάλασσας (lb)	Κεφάλαιο Θόρυβος	Κατηγοριοποίηση βάσει θορύβου, ισχύος, απόστασης (NPD_ID)	Παράμετρος ισχύος	Ηχοφασματική ανάλυση προσέγγισης αεροσκάφους	Ηχοφασματική ανάλυση αναχώρησης αεροσκάφους	Δείκτης εγκάρσιας εκπομπής θορύβου
GASEPF	Μονοκινητήριο αεροσκάφος με έλικα σταθερού βήματος	Εμβολοφόρος	1	Μικρό	Γενική αεροπορία	2 200	2 200	1 160	560	0	GASEPF	Τοις εκατό	215	109	Prop
GASEPV	Μονοκινητήριο αεροσκάφος με έλικα μεταβλητού βήματος	Εμβολοφόρος	1	Μικρό	Γενική αεροπορία	3 000	3 000	1 111	790	0	GASEPV	Τοις εκατό	215	109	Prop

(τα σχετικά ηχοφασματικά δεδομένα είναι διαθέσιμα στον πίνακα ANP «Ηχοφασματικές κατηγορίες»)

Πίνακας Θ-12

Δεδομένα προφίλ πτήσης αναχώρησης και άφιξης για αεροσκάφη GASEPF και GASEPV

ACFTID	Τύπος λειτουργίας	Profile_ID (Προφίλ προσέγγισης)	Μήκος καλυπτόμενης διαδρομής	Αριθμός σημείου	Απόσταση (ft)	Ύψος AFE (ft)	TAS (kt)	Ποσοστό μέγιστης στατικής ώσης (%)
GASEPF	A	APP_3_DEG	1	1	– 114 486,8	6 000,0	109,4	34,21
GASEPF	A	APP_3_DEG	1	2	– 57 243,4	3 000,0	71,8	37,57
GASEPF	A	APP_3_DEG	1	3	– 28 621,7	1 500,0	60,0	40,59
GASEPF	A	APP_3_DEG	1	4	– 19 081,1	1 000,0	59,6	39,85

▼M2

ACFTID	Τύπος λειτουργίας	Profile_ID (Προφίλ προσέγγισης)	Μήκος καλυπτόμενης διαδρομής	Αριθμός σημείου	Απόσταση (ft)	Ύψος AFE (ft)	TAS (kt)	Ποσοστό μέγιστης στατικής ώσης (%)
GASEPF	A	APP_3_DEG	1	5	0,0	0,0	58,7	38,43
GASEPF	A	APP_3_DEG	1	6	47,2	0,0	55,7	27,20
GASEPF	A	APP_3_DEG	1	7	472,0	0,0	30,0	10,00
GASEPF	A	APP_5_DEG	1	1	– 68 580,3	6 000,0	109,4	18,03
GASEPF	A	APP_5_DEG	1	2	– 34 290,2	3 000,0	71,8	22,59
GASEPF	A	APP_5_DEG	1	3	– 17 145,1	1 500,0	60,0	26,14
GASEPF	A	APP_5_DEG	1	4	– 11 430,1	1 000,0	59,6	25,67
GASEPF	A	APP_5_DEG	1	5	0,0	0,0	58,7	24,75
GASEPF	A	APP_5_DEG	1	6	47,2	0,0	55,7	27,20
GASEPF	A	APP_5_DEG	1	7	472,0	0,0	30,0	10,00
GASEPF	D	DEFAULT_DEP	1	1	0,0	0,0	0,0	113,06
GASEPF	D	DEFAULT_DEP	1	2	972,8	0,0	62,1	113,06
GASEPF	D	DEFAULT_DEP	1	3	2 077,9	51,4	73,1	96,32
GASEPF	D	DEFAULT_DEP	1	4	13 665,7	1 000,0	74,1	98,31
GASEPF	D	DEFAULT_DEP	1	5	16 079,7	1 097,7	84,3	86,65
GASEPF	D	DEFAULT_DEP	1	6	17 079,7	1 155,4	84,4	81,16
GASEPF	D	DEFAULT_DEP	1	7	49 057,1	3 000,0	86,8	84,60
GASEPF	D	DEFAULT_DEP	1	8	97 253,2	5 500,0	90,1	89,42
GASEPF	D	DEFAULT_DEP	1	9	140 694,0	7 500,0	92,9	93,53
GASEPF	D	DEFAULT_DEP	1	10	202 700,4	10 000,0	96,6	99,04
GASEPV	A	APP_3_DEG	1	1	– 114 486,8	6 000,0	109,4	24,34

▼M2

ACFTID	Τύπος λειτουργίας	Profile_ID (Προφίλ προσέγγισης)	Μήκος καλυπτόμενης διαδρομής	Αριθμός σημείου	Απόσταση (ft)	Ύψος AFE (ft)	TAS (kt)	Ποσοστό μέγιστης στατικής ώσης (%)
GASEPV	A	APP_3_DEG	1	2	– 57 243,4	3 000,0	79,4	26,37
GASEPV	A	APP_3_DEG	1	3	– 28 621,7	1 500,0	67,5	45,05
GASEPV	A	APP_3_DEG	1	4	– 19 081,1	1 000,0	67,0	44,24
GASEPV	A	APP_3_DEG	1	5	0,0	0,0	66,0	42,66
GASEPV	A	APP_3_DEG	1	6	42,8	0,0	62,6	31,00
GASEPV	A	APP_3_DEG	1	7	428,0	0,0	30,0	10,00
GASEPV	A	APP_5_DEG	1	1	– 68 580,3	6 000,0	109,4	8,70
GASEPV	A	APP_5_DEG	1	2	– 34 290,2	3 000,0	79,4	12,04
GASEPV	A	APP_5_DEG	1	3	– 17 145,1	1 500,0	67,5	31,28
GASEPV	A	APP_5_DEG	1	4	– 11 430,1	1 000,0	67,0	30,72
GASEPV	A	APP_5_DEG	1	5	0,0	0,0	66,0	29,62
GASEPV	A	APP_5_DEG	1	6	42,8	0,0	62,6	31,00
GASEPV	A	APP_5_DEG	1	7	428,0	0,0	30,0	10,00
GASEPV	D	DEFAULT_DEP	1	1	0,0	0,0	0,0	163,92
GASEPV	D	DEFAULT_DEP	1	2	861,8	0,0	55,6	163,92
GASEPV	D	DEFAULT_DEP	1	3	1 302,6	42,7	66,0	138,25
GASEPV	D	DEFAULT_DEP	1	4	2 963,7	172,0	90,2	101,67
GASEPV	D	DEFAULT_DEP	1	5	9 389,6	1 000,0	91,3	103,50
GASEPV	D	DEFAULT_DEP	1	6	10 985,9	1 102,9	101,6	93,36
GASEPV	D	DEFAULT_DEP	1	7	11 985,9	1 200,6	101,8	86,89
GASEPV	D	DEFAULT_DEP	1	8	30 407,6	3 000,0	104,5	90,57
GASEPV	D	DEFAULT_DEP	1	9	57 858,2	5 500,0	108,5	95,72
GASEPV	D	DEFAULT_DEP	1	10	81 543,2	7 500,0	111,9	100,13
GASEPV	D	DEFAULT_DEP	1	11	113 618,2	10 000,0	116,4	106,03

▼M2

Πίνακας Θ-13

Δεδομένα θορύβου, ισχύος, απόστασης (NPD) για αεροσκάφη GASEPF και GASEPV

Κατηγοριοποίηση βάσει θορύβου, ισχύος, απόστασης (NPD_ID)	Μετρούμενο μέγεθος θορύβου	Τύπος λειτουργίας	Ρυθμίσεις ισχύος — Ποσοστό μέγιστης στατικής ώσης (%)	L_200ft	L_400ft	L_630ft	L_1000ft	L_2000ft	L_4000ft	L_6300ft	L_10000ft	L_16000ft	L_25000ft
GASEPF	LAmax	A	30,00	72,2	65,9	61,6	57,2	50,3	43,1	38,0	32,7	27,0	20,9
GASEPF	LAmax	A	100,00	84,9	78,6	74,4	70,0	63,2	55,8	50,4	44,6	38,3	31,5
GASEPF	LAmax	D	30,00	72,2	65,9	61,6	57,2	50,3	43,1	38,0	32,7	27,0	20,9
GASEPF	LAmax	D	100,00	84,9	78,6	74,4	70,0	63,2	55,8	50,4	44,6	38,3	31,5
GASEPF	SEL	A	30,00	74,2	70,1	67,3	64,4	59,8	54,8	51,2	47,4	43,2	38,6
GASEPF	SEL	A	100,00	87,1	83,1	80,4	77,5	72,9	67,8	63,9	59,6	54,8	49,4
GASEPF	SEL	D	30,00	74,2	70,1	67,3	64,4	59,8	54,8	51,2	47,4	43,2	38,6
GASEPF	SEL	D	100,00	87,1	83,1	80,4	77,5	72,9	67,8	63,9	59,6	54,8	49,4
GASEPV	LAmax	A	30,00	82,8	73,9	69,6	65,2	58,3	51,1	46,0	40,7	35,0	28,9
GASEPV	LAmax	A	100,00	92,4	86,1	81,9	77,5	70,7	63,3	57,9	52,1	45,8	39,0
GASEPV	LAmax	D	30,00	82,8	73,9	69,6	65,2	58,3	51,1	46,0	40,7	35,0	28,9
GASEPV	LAmax	D	100,00	92,4	86,1	81,9	77,5	70,7	63,3	57,9	52,1	45,8	39,0
GASEPV	SEL	A	30,00	81,7	77,6	74,8	71,9	67,3	62,3	58,7	54,9	50,7	46,1
GASEPV	SEL	A	100,00	94,6	90,6	87,9	85,0	80,4	75,3	71,4	67,1	62,3	56,9
GASEPV	SEL	D	30,00	81,7	77,6	74,8	71,9	67,3	62,3	58,7	54,9	50,7	46,1
GASEPV	SEL	D	100,00	94,6	90,6	87,9	85,0	80,4	75,3	71,4	67,1	62,3	56,9

▼M2

Δεδομένα κατηγοριών αεροσκαφών

Ομάδα αεροσκα-φών	Παραδείγματα τύπων αεροσκαφών (μέγιστη μάζα απογείωσης)
P 1.0	Dewald Sunny, Flightstar II, Ikarus C42, Quicksilver MXL II, Sherpa, Stratos, Tecnam P92 Echo
P 1.1	DG-400 (500 kg), Grob 109B (900 kg), H 36 Dimona (800 kg), Scheibe SF 25C (700 kg)
P 1.2	DR 400/180R (1 000 kg), H 36 Dimona (800 kg), PZL-104 «Wilga 35» (1 200 kg), Scheibe SF 25 (700 kg)
P 1.3	DR 400/180R (1 000 kg), Cessna 172N (1 000 kg), Piper PA-28- 181 (1 200 kg), Piper PA-34-200 (1 900 kg)

Τα δεδομένα θορύβου και επιδόσεων αεροσκάφους για τις τέσσερις κατηγορίες παρουσιάζονται στους ακόλουθους πίνακες.

Πίνακας Θ-14

Δεδομένα ομάδων θορύβου για τις κατηγορίες αεροσκαφών P 1.0, P 1.1, P 1.2, P 1.3

NOISE_ID,C,12	THRSET_TYP,C,1	MODEL_TYPE,C,1	SPECT_APP,N,3,0	SPECT_DEP,N,3,0	SPECT_AFB,N,3,0
P1.0	P	I	215	109	0
P1.1	P	I	215	109	0
P1.2	P	I	215	109	0
P1.3	P	I	215	109	0

ACFT_ID,C,12	ACFT_DESCR,C,40	WGT_CAT,C,1	OWNER_ CAT,C,1	ENG_ TYPE,C,1	NOISE_ CAT,C,1	NOISE_ ID,C,12	NUMB_ ENG,N,1,0	THR_ RESTOR,C,1	MX_GW_ TKO,N,7,0	MX_GW_ LND,N,7,0	MX_DS_ STOP,N,5,0	COEFF_ TYPE,C,1	THR_ STA-TIC,N,6,0
P1.0	Πολύ ελαφρά	S	G	P	0	P1.0	1	N	0	0	0	P	100
P1.1	Μηχανοκίνητα ανεμό-πτερα	S	G	P	0	P1.1	1	N	0	0	0	P	100
P1.2	Έλικας MTOM <= 2 t ρυμουλκούμενα ανεμό-πτερα	S	G	P	0	P1.2	1	N	0	0	0	P	100
P1.3	Έλικας MTOM <= 2 t	S	G	P	0	P1.3	1	N	0	0	0	P	100

▼M2

Πίνακας Θ-15

Δεδομένα προφίλ πτήσης άφιξης και αναχώρησης για τις κατηγορίες αεροσκαφών P 1.0, P 1.1, P 1.2, P 1.3

ACFT_ID,C,12	OP_TYPE,C,1	PROF_ID1,C,8	PROF_ID2,C,1	WEIGHT,N,7,0
P1.0	A	DEFAULT	1	100
P1.0	D	DEFAULT	1	100
P1.1	A	DEFAULT	1	100
P1.1	D	DEFAULT	1	100
P1.2	A	DEFAULT	1	100
P1.2	D	DEFAULT	1	100
P1.3	A	DEFAULT	1	100
P1.3	D	DEFAULT	1	100

Πίνακας Θ-16

Δεδομένα σημείων προφίλ θορύβου για τις κατηγορίες αεροσκαφών P 1.0, P 1.1, P 1.2, P 1.3

ACFT_ID,C,12	OP_TYPE,C,1	PROF_ID1,C,8	PROF_ID2,C,1	PT_NUM,N,3,0	DISTANCE,N,10,1	ALTITUDE,N,7,1	SPEED,N,5,1	THR_SET,N,9,2	OP_MODE,C,1
P1.0	A	DEFAULT	1	1	– 114 486	6 000	50,5	70	A
P1.0	A	DEFAULT	1	2	– 18 917,1	1 000	50,5	70	A
P1.0	A	DEFAULT	1	3	– 15 636,3	828,1	50,5	70	A
P1.0	A	DEFAULT	1	4	164	0	50,5	70	A
P1.0	A	DEFAULT	1	5	656,2	0	19,4	30	A
P1.0	D	DEFAULT	1	1	0	0	19,4	100	D
P1.0	D	DEFAULT	1	2	328,1	0	62,2	100	D
P1.0	D	DEFAULT	1	3	12 986,3	1 000	62,2	100	D

▼M2

ACFT_ID,C,12	OP_TYPE,C,1	PROF_ID1,C,8	PROF_ID2,C,1	PT_NUM,N,3,0	DISTANCE,N,10,1	ALTITUDE,N,7,1	SPEED,N,5,1	THR_SET,N,9,2	OP_MODE,C,1
P1.0	D	DEFAULT	1	4	42 000	3 000	65	100	D
P1.0	D	DEFAULT	1	5	200 000	10 000	68	100	D
P1.1	A	DEFAULT	1	1	– 114 486	6 000	50,5	70	A
P1.1	A	DEFAULT	1	2	– 18 589	1 000	50,5	70	A
P1.1	A	DEFAULT	1	3	– 15 308,2	828,1	50,5	70	A
P1.1	A	DEFAULT	1	4	492,1	0	50,5	70	A
P1.1	A	DEFAULT	1	5	656,2	0	19,4	30	A
P1.1	D	DEFAULT	1	1	0	0	19,4	100	D
P1.1	D	DEFAULT	1	2	656,2	0	66,1	100	D
P1.1	D	DEFAULT	1	3	13 314,4	1 000	66,1	100	D
P1.1	D	DEFAULT	1	4	43 000	3 000	70	100	D
P1.1	D	DEFAULT	1	5	200 000	10 000	73,9	100	D
P1.2	A	DEFAULT	1	1	– 114 486	6 000	60,3	70	A
P1.2	A	DEFAULT	1	2	– 18 589	1 000	60,3	70	A
P1.2	A	DEFAULT	1	3	– 15 308,2	828,1	60,3	70	A
P1.2	A	DEFAULT	1	4	492,1	0	60,3	70	A
P1.2	A	DEFAULT	1	5	1 476,4	0	19,4	30	A
P1.2	D	DEFAULT	1	1	0	0	19,4	100	D
P1.2	D	DEFAULT	1	2	1 312,3	0	62,2	100	D
P1.2	D	DEFAULT	1	3	17 705,8	1 000	62,2	100	D
P1.2	D	DEFAULT	1	4	50 000	3 000	64	100	D
P1.2	D	DEFAULT	1	5	200 000	10 000	66,1	100	D
P1.3	A	DEFAULT	1	1	– 114 486	6 000	60,3	70	A
P1.3	A	DEFAULT	1	2	– 18 589	1 000	60,3	70	A

▼M2

ACFT_ID,C,12	OP_TYPE,C,1	PROF_ID1,C,8	PROF_ID2,C,1	PT_NUM,N,3,0	DISTANCE,N,10,1	ALTITUDE,N,7,1	SPEED,N,5,1	THR_SET,N,9,2	OP_MODE,C,1
P1.3	A	DEFAULT	1	3	– 15 308,2	828,1	60,3	70	A
P1.3	A	DEFAULT	1	4	492,1	0	60,3	70	A
P1.3	A	DEFAULT	1	5	1 476,4	0	19,4	30	A
P1.3	D	DEFAULT	1	1	0	0	19,4	100	D
P1.3	D	DEFAULT	1	2	820,2	0	70	100	D
P1.3	D	DEFAULT	1	3	10 344	1 000	70	100	D
P1.3	D	DEFAULT	1	4	40 000	3 000	75	100	D
P1.3	D	DEFAULT	1	5	200 000	10 000	83	100	D

Πίνακας Θ-17

Δεδομένα θορύβου, ισχύος, απόστασης (NPD) για τις κατηγορίες αεροσκαφών P 1.0, P 1.1, P 1.2, P 1.3

NOISE_ID,C,12	NOISE_TYPE,C,1	OP_MODE,C,1	THR_SET,N,9,2	L_200,N,5,1	L_400,N,5,1	L_630,N,5,1	L_1000,N,5,1	L_2000,N,5,1	L_4000,N,5,1	L_6300,N,5,1	L_10000,N,5,1	L_16000,N,5,1	L_25000,N,5,1
P1.0	M	A	30	55,2	49	44,8	40,4	33,6	26,3	21,2	15,6	9,3	2,8
P1.0	M	A	70	65,2	59	54,8	50,4	43,6	36,3	31,2	25,6	19,3	12,8
P1.0	M	D	88	71,2	65	60,8	56,4	49,6	42,3	37,2	31,6	25,3	18,8
P1.0	M	D	100	75,2	69	64,8	60,4	53,6	46,3	41,2	35,6	29,3	22,8
P1.0	S	A	30	54,7	51,4	49,1	46,7	42,8	38,4	35,2	31,4	27,1	22,3
P1.0	S	A	70	64,7	61,4	59,1	56,7	52,8	48,4	45,2	41,4	37,1	32,3
P1.0	S	D	88	70,7	67,4	65,1	62,7	58,8	54,4	51,2	47,4	43,1	38,3
P1.0	S	D	100	74,7	71,4	69,1	66,7	62,8	58,4	55,2	51,4	47,1	42,3
P1.1	M	A	30	60,2	54	49,8	45,4	38,6	31,3	26,2	20,6	14,3	7,8
P1.1	M	A	70	70,2	64	59,8	55,4	48,6	41,3	36,2	30,6	24,3	17,8
P1.1	M	D	82	74,2	68	63,8	59,4	52,6	45,3	40,2	34,6	28,3	21,8

▼M2

NOISE_ID,C,12	NOISE_TYPE,C,1	OP_MODE,C,1	THR_SET,N,9,2	L_200,N,5,1	L_400,N,5,1	L_630,N,5,1	L_1000,N,5,1	L_2000,N,5,1	L_4000,N,5,1	L_6300,N,5,1	L_10000,N,5,1	L_16000,N,5,1	L_25000,N,5,1
P1.1	M	D	100	80,2	74	69,8	65,4	58,6	51,3	46,2	40,6	34,3	27,8
P1.1	S	A	30	59,7	56,4	54,1	51,7	47,8	43,4	40,2	36,4	32,1	27,3
P1.1	S	A	70	69,7	66,4	64,1	61,7	57,8	53,4	50,2	46,4	42,1	37,3
P1.1	S	D	82	73,7	70,4	68,1	65,7	61,8	57,4	54,2	50,4	46,1	41,3
P1.1	S	D	100	79,7	76,4	74,1	71,7	67,8	63,4	60,2	56,4	52,1	47,3
P1.2	M	A	30	64,4	58,2	53,9	49,5	42,6	35,1	29,8	24	17,5	10,6
P1.2	M	A	70	74,4	68,2	63,9	59,5	52,6	45,1	39,8	34	27,5	20,6
P1.2	M	D	76	76,4	70,2	65,9	61,5	54,6	47,1	41,8	36	29,5	22,6
P1.2	M	D	100	84,4	78,2	73,9	69,5	62,6	55,1	49,8	44	37,5	30,6
P1.2	S	A	30	63,9	60,5	58,2	55,8	51,8	47,2	43,8	39,8	35,2	30,1
P1.2	S	A	70	73,9	70,5	68,2	65,8	61,8	57,2	53,8	49,8	45,2	40,1
P1.2	S	D	76	75,9	72,5	70,2	67,8	63,8	59,2	55,8	51,8	47,2	42,1
P1.2	S	D	100	83,9	80,5	78,2	75,8	71,8	67,2	63,8	59,8	55,2	50,1
P1.3	M	A	30	66,4	60,2	55,9	51,5	44,6	37,1	31,8	26	19,5	12,6
P1.3	M	A	70	76,4	70,2	65,9	61,5	54,6	47,1	41,8	36	29,5	22,6
P1.3	M	D	76	78,4	72,2	67,9	63,5	56,6	49,1	43,8	38	31,5	24,6
P1.3	M	D	100	86,4	80,2	75,9	71,5	64,6	57,1	51,8	46	39,5	32,6
P1.3	S	A	30	65,9	62,5	60,2	57,8	53,8	49,2	45,8	41,8	37,2	32,1
P1.3	S	A	70	75,9	72,5	70,2	67,8	63,8	59,2	55,8	51,8	47,2	42,1
P1.3	S	D	76	77,9	74,5	72,2	69,8	65,8	61,2	57,8	53,8	49,2	44,1
P1.3	S	D	100	85,9	82,5	80,2	77,8	73,8	69,2	65,8	61,8	57,2	52,1

▼M2

Σύνολο δεδομένων θορύβου και επιδόσεων ελικοπτέρων 1

Περιλαμβάνονται δεδομένα για πέντε κατηγορίες ελικοπτέρων, με βάση τα ελικόπτερα MTOM:

Πίνακας Θ-18

Πίνακας περιγραφής συνόλου δεδομένων ελικοπτέρων 1

ACFT_ID	Περιγραφή	Τύπος κινητήρα	Αριθμός κινητήρων	Κατηγοριοποίηση βάρους	Κατηγορία ιδιοκτήτη	MGTOW (lb)	MGLW (lb)	Μέγιστη διαδρομή προσγείωσης (ft)	Μέγιστη στατική ώση σε επίπεδο θάλασσας (lb)	Κεφάλαιο Θόρυβος	NPD_ID (Κατηγοριοποίηση βάσει θορύβου, ισχύος, απόστασης)	Παράμετρος ισχύος	Ηχοφασματική ανάλυση προσέγγισης ελικοπτέρου	Ηχοφασματική ανάλυση αναχώρησης ελικοπτέρου	Δείκτης εγκάρσιας εκπομπής θορύβου
H1.0	Ελικόπτερα με MTOM <= 1 t	Έλικας	0	0	Ελικόπτερο	0	0	0	100	0	H1.0	SHP (% της μέγιστης στατικής ώσης)	215	109	Έλικας
H1.1	Ελικόπτερα με MTOM 1-3 t	Έλικας	0	0	Ελικόπτερο	0	0	0	100	0	H1.1	SHP (% της μέγιστης στατικής ώσης)	215	109	Έλικας
H1.2	Ελικόπτερα με MTOM 3-5 t	Έλικας	0	0	Ελικόπτερο	0	0	0	100	0	H1.2	SHP (% της μέγιστης στατικής ώσης)	215	109	Έλικας
H2.1	Ελικόπτερα με MTOM 5-10 t	Έλικας	0	0	Ελικόπτερο	0	0	0	100	0	H2.1	SHP (% της μέγιστης στατικής ώσης)	215	109	Έλικας
H2.2	Ελικόπτερα με MTOM > 10 t	Έλικας	0	0	Ελικόπτερο	0	0	0	100	0	H2.2	SHP (% της μέγιστης στατικής ώσης)	215	109	Έλικας

Πίνακας Θ-19

Προφίλ αναχώρησης συνόλου δεδομένων ελικοπτέρων 1

ACFT_ID	OP_TYPE	PROF_ID1	PROF_ID2	PT_NUM	ΑΠΟΣΤΑΣΗ (ft)	ΥΨΟΣ (ft)	ΤΑΧΥΤΗΤΑ (kt)	THR_SET (%)	OP_MODE
H1.0	D	H1.0_S	1	1	0,0	0,0	3,9	100,00	D
H1.0	D	H1.0_S	1	2	9,8	6,6	5,8	100,00	D
H1.0	D	H1.0_S	1	3	32,8	16,4	9,7	100,00	D
H1.0	D	H1.0_S	1	4	295,3	49,2	40,8	100,00	D

▼M2

ACFT_ID	OP_TYPE	PROF_ID1	PROF_ID2	PT_NUM	ΑΠΟΣΤΑΣΗ (ft)	ΥΨΟΣ (ft)	ΤΑΧΥΤΗΤΑ (kt)	THR_SET (%)	OP_MODE
H1.0	D	H1.0_S	1	5	5 687,5	1 000,0	60,3	100,00	D
H1.0	D	H1.0_S	1	6	8 968,3	1 000,0	64,1	100,00	D
H1.0	D	H1.0_S	1	7	200 000,0	1 000,0	64,1	100,00	D
H1.1	D	H1.1_S	1	1	0,0	0,0	3,9	100,00	D
H1.1	D	H1.1_S	1	2	9,8	6,6	5,8	100,00	D
H1.1	D	H1.1_S	1	3	32,8	16,4	9,7	100,00	D
H1.1	D	H1.1_S	1	4	295,3	49,2	40,8	100,00	D
H1.1	D	H1.1_S	1	5	6 298,3	1 000,0	64,1	100,00	D
H1.1	D	H1.1_S	1	6	9 579,2	1 000,0	70,0	100,00	D
H1.1	D	H1.1_S	1	7	200 000,0	1 000,0	70,0	100,00	D
H1.2	D	H1.2_S	1	1	0,0	0,0	3,9	100,00	D
H1.2	D	H1.2_S	1	2	9,8	6,6	5,8	100,00	D
H1.2	D	H1.2_S	1	3	32,8	16,4	9,7	100,00	D
H1.2	D	H1.2_S	1	4	295,3	49,2	40,8	100,00	D
H1.2	D	H1.2_S	1	5	6 298,3	1 000,0	70,0	100,00	D
H1.2	D	H1.2_S	1	6	9 579,2	1 000,0	75,8	100,00	D
H1.2	D	H1.2_S	1	7	200 000,0	1 000,0	75,8	100,00	D
H2.1	D	H2.1_S	1	1	0,0	0,0	3,9	100,00	D
H2.1	D	H2.1_S	1	2	9,8	6,6	5,8	100,00	D

▼M2

ACFT_ID	OP_TYPE	PROF_ID1	PROF_ID2	PT_NUM	ΑΠΟΣΤΑΣΗ (ft)	ΥΨΟΣ (ft)	ΤΑΧΥΤΗΤΑ (kt)	THR_SET (%)	OP_MODE
H2.1	D	H2.1_S	1	3	32,8	16,4	9,7	100,00	D
H2.1	D	H2.1_S	1	4	295,3	49,2	40,8	100,00	D
H2.1	D	H2.1_S	1	5	6 298,3	1 000,0	70,0	100,00	D
H2.1	D	H2.1_S	1	6	9 579,2	1 000,0	75,8	100,00	D
H2.1	D	H2.1_S	1	7	200 000,0	1 000,0	75,8	100,00	D
H2.2	D	H2.2_S	1	1	0,0	0,0	3,9	100,00	D
H2.2	D	H2.2_S	1	2	9,8	0,0	5,8	100,00	D
H2.2	D	H2.2_S	1	3	32,8	16,4	9,7	100,00	D
H2.2	D	H2.2_S	1	4	295,3	49,2	40,8	100,00	D
H2.2	D	H2.2_S	1	5	6 298,3	1 000,0	70,0	100,00	D
H2.2	D	H2.2_S	1	6	9 579,2	1 000,0	75,8	100,00	D
H2.2	D	H2.2_S	1	7	200 000,0	1 000,0	75,8	100,00	D

Πίνακας Θ-20

Προφίλ άφιξης συνόλου δεδομένων ελικοπτέρων 1

ACFT_ID	OP_TYPE	PROF_ID1	PROF_ID2	PT_NUM	ΑΠΟΣΤΑΣΗ	ΥΨΟΣ	ΤΑΧΥΤΗΤΑ	THR_SET	OP_MODE
H1.0	A	H1.0_L	1	1	– 200 000,0	1 000,0	64,1	100,00	A
H1.0	A	H1.0_L	1	2	– 10 836,6	1 000,0	64,1	100,00	A
H1.0	A	H1.0_L	1	3	– 7 555,8	1 000,0	60,3	100,00	A
H1.0	A	H1.0_L	1	4	– 295,3	44,1	40,8	100,00	A
H1.0	A	H1.0_L	1	5	– 32,8	9,6	9,7	100,00	A
H1.0	A	H1.0_L	1	6	– 9,8	6,6	5,8	100,00	A

▼M2

ACFT_ID	OP_TYPE	PROF_ID1	PROF_ID2	PT_NUM	ΑΠΟΣΤΑΣΗ	ΥΨΟΣ	ΤΑΧΥΤΗΤΑ	THR_SET	OP_MODE
H1.0	A	H1.0_L	1	7	0,0	0,0	3,9	100,00	A
H1.1	A	H1.1_L	1	1	– 200 000,0	1 000,0	70,0	100,00	A
H1.1	A	H1.1_L	1	2	– 8 401,5	1 000,0	70,0	100,00	A
H1.1	A	H1.1_L	1	3	– 5 120,6	1 000,0	64,1	100,00	A
H1.1	A	H1.1_L	1	4	– 295,3	62,0	40,8	100,00	A
H1.1	A	H1.1_L	1	5	– 32,8	11,0	9,7	100,00	A
H1.1	A	H1.1_L	1	6	– 9,8	6,6	5,8	100,00	A
H1.1	A	H1.1_L	1	7	0,0	0,0	3,9	100,00	A
H1.2	A	H1.2_L	1	1	– 200 000,0	1 000,0	75,8	100,00	A
H1.2	A	H1.2_L	1	2	– 9 563,0	1 000,0	75,8	100,00	A
H1.2	A	H1.2_L	1	3	– 6 282,2	1 000,0	70,0	100,00	A
H1.2	A	H1.2_L	1	4	– 295,3	51,8	40,8	100,00	A
H1.2	A	H1.2_L	1	5	– 32,8	10,2	9,7	100,00	A
H1.2	A	H1.2_L	1	6	– 9,8	6,6	5,8	100,00	A
H1.2	A	H1.2_L	1	7	0,0	0,0	3,9	100,00	A
H2.1	A	H2.1_L	1	1	– 200 000,0	1 000,0	75,8	100,00	A
H2.1	A	H2.1_L	1	2	– 9 563,0	1 000,0	75,8	100,00	A
H2.1	A	H2.1_L	1	3	– 6 282,2	1 000,0	70,0	100,00	A
H2.1	A	H2.1_L	1	4	– 295,3	51,8	40,8	100,00	A
H2.1	A	H2.1_L	1	5	– 32,8	10,2	9,7	100,00	A
H2.1	A	H2.1_L	1	6	– 9,8	6,6	5,8	100,00	A
H2.1	A	H2.1_L	1	7	0,0	0,0	3,9	100,00	A
H2.2	A	H2.2_L	1	1	– 200 000,0	1 000,0	75,8	100,00	A
H2.2	A	H2.2_L	1	2	– 9 604,4	1 000,0	75,8	100,00	A

▼M2

ACFT_ID	OP_TYPE	PROF_ID1	PROF_ID2	PT_NUM	ΑΠΟΣΤΑΣΗ	ΥΨΟΣ	ΤΑΧΥΤΗΤΑ	THR_SET	OP_MODE
H2.2	A	H2.2_L	1	3	– 6 323,6	1 000,0	70,0	100,00	A
H2.2	A	H2.2_L	1	4	– 295,3	45,2	40,8	100,00	A
H2.2	A	H2.2_L	1	5	– 32,8	3,6	9,7	100,00	A
H2.2	A	H2.2_L	1	6	– 9,8	0,0	5,8	100,00	A
H2.2	A	H2.2_L	1	7	0,0	0,0	3,9	100,00	A

Πίνακας Θ-21

Δεδομένα χαρακτηριστικών θορύβου για το σύνολο δεδομένων ελικοπτέρων 1

NOISE_ID	THRSET_TYP	MODEL_TYPE	SPECT_APP	SPECT_DEP	SPECT_AFB
H1.0	Έλικας	I	215	109	0
H1.1	Έλικας	I	215	109	0
H1.2	Έλικας	I	215	109	0
H2.1	Έλικας	I	215	109	0
H2.2	Έλικας	I	215	109	0

Πίνακας Θ-22

Δεδομένα θορύβου, ισχύος, απόστασης (NPD) για το σύνολο δεδομένων ελικοπτέρων 1

NOISE_ID	NOISE_TYPE	OP_MODE	THR_SET	L_200	L_400	L_630	L_1000	L_2000	L_4000	L_6300	L_10000	L_16000	L_25000
H1.0	M	A	80,00	81,3	75,0	70,7	66,3	59,2	51,4	45,6	39,1	31,5	23,1
H1.0	M	A	100,00	84,3	78,0	73,7	69,3	62,2	54,4	48,6	42,1	34,5	26,1
H1.0	M	D	80,00	81,3	75,0	70,7	66,3	59,2	51,4	45,6	39,1	31,5	23,1
H1.0	M	D	100,00	84,3	78,0	73,7	69,3	62,2	54,4	48,6	42,1	34,5	26,1
H1.0	S	A	80,00	82,0	78,6	76,2	73,6	69,2	64,1	60,1	55,3	49,4	42,8

▼M2

NOISE_ID	NOISE_TYPE	OP_MODE	THR_SET	L_200	L_400	L_630	L_1000	L_2000	L_4000	L_6300	L_10000	L_16000	L_25000
H1.0	S	A	100,00	85,0	81,6	79,2	76,6	72,2	67,1	63,1	58,3	52,4	45,8
H1.0	S	D	80,00	82,0	78,6	76,2	73,6	69,2	64,1	60,1	55,3	49,4	42,8
H1.0	S	D	100,00	85,0	81,6	79,2	76,6	72,2	67,1	63,1	58,3	52,4	45,8
H1.1	M	A	80,00	86,5	80,2	75,9	71,5	64,4	56,6	50,8	44,3	36,7	28,3
H1.1	M	A	100,00	89,5	83,2	78,9	74,5	67,4	59,6	53,8	47,3	39,7	31,3
H1.1	M	D	80,00	86,5	80,2	75,9	71,5	64,4	56,6	50,8	44,3	36,7	28,3
H1.1	M	D	100,00	89,5	83,2	78,9	74,5	67,4	59,6	53,8	47,3	39,7	31,3
H1.1	S	A	80,00	87,2	83,8	81,4	78,8	74,4	69,3	65,3	60,5	54,6	48,0
H1.1	S	A	100,00	90,2	86,8	84,4	81,8	77,4	72,3	68,3	63,5	57,6	51,0
H1.1	S	D	80,00	87,2	83,8	81,4	78,8	74,4	69,3	65,3	60,5	54,6	48,0
H1.1	S	D	100,00	90,2	86,8	84,4	81,8	77,4	72,3	68,3	63,5	57,6	51,0
H1.2	M	A	80,00	89,1	82,8	78,5	74,1	67,0	59,2	53,4	46,9	39,3	30,9
H1.2	M	A	100,00	92,1	85,8	81,5	77,1	70,0	62,2	56,4	49,9	42,3	33,9
H1.2	M	D	80,00	89,1	82,8	78,5	74,1	67,0	59,2	53,4	46,9	39,3	30,9
H1.2	M	D	100,00	92,1	85,8	81,5	77,1	70,0	62,2	56,4	49,9	42,3	33,9
H1.2	S	A	80,00	89,8	86,4	84,0	81,4	77,0	71,9	67,9	63,1	57,2	50,6
H1.2	S	A	100,00	92,8	89,4	87,0	84,4	80,0	74,9	70,9	66,1	60,2	53,6
H1.2	S	D	80,00	89,8	86,4	84,0	81,4	77,0	71,9	67,9	63,1	57,2	50,6
H1.2	S	D	100,00	92,8	89,4	87,0	84,4	80,0	74,9	70,9	66,1	60,2	53,6
H2.1	M	A	80,00	91,3	85,0	80,7	76,3	69,2	61,4	55,6	49,1	41,5	33,1
H2.1	M	A	100,00	94,3	88,0	83,7	79,3	72,2	64,4	58,6	52,1	44,5	36,1
H2.1	M	D	80,00	91,3	85,0	80,7	76,3	69,2	61,4	55,6	49,1	41,5	33,1

▼M2

NOISE_ID	NOISE_TYPE	OP_MODE	THR_SET	L_200	L_400	L_630	L_1000	L_2000	L_4000	L_6300	L_10000	L_16000	L_25000
H2.1	M	D	100,00	94,3	88,0	83,7	79,3	72,2	64,4	58,6	52,1	44,5	36,1
H2.1	S	A	80,00	92,0	88,6	86,2	83,6	79,2	74,1	70,1	65,3	59,4	52,8
H2.1	S	A	100,00	95,0	91,6	89,2	86,6	82,2	77,1	73,1	68,3	62,4	55,8
H2.1	S	D	80,00	92,0	88,6	86,2	83,6	79,2	74,1	70,1	65,3	59,4	52,8
H2.1	S	D	100,00	95,0	91,6	89,2	86,6	82,2	77,1	73,1	68,3	62,4	55,8
H2.2	M	A	80,00	94,3	88,0	83,7	79,3	72,2	64,4	58,6	52,1	44,5	36,1
H2.2	M	A	100,00	97,3	91,0	86,7	82,3	75,2	67,4	61,6	55,1	47,5	39,1
H2.2	M	D	80,00	94,3	88,0	83,7	79,3	72,2	64,4	58,6	52,1	44,5	36,1
H2.2	M	D	100,00	97,3	91,0	86,7	82,3	75,2	67,4	61,6	55,1	47,5	39,1
H2.2	S	A	80,00	95,0	91,6	89,2	86,6	82,2	77,1	73,1	68,3	62,4	55,8
H2.2	S	A	100,00	98,0	94,6	92,2	89,6	85,2	80,1	76,1	71,3	65,4	58,8
H2.2	S	D	80,00	95,0	91,6	89,2	86,6	82,2	77,1	73,1	68,3	62,4	55,8
H2.2	S	D	100,00	98,0	94,6	92,2	89,6	85,2	80,1	76,1	71,3	65,4	58,8

Σύνολο δεδομένων θορύβου και επιδόσεων ελικοπτέρων 2

Παρέχονται δεδομένα για τρεις κατηγορίες ελικοπτέρων με βάση τη μέγιστη μάζα απογείωσης:

1. Ελαφρύ ελικόπτερο (LHEL) MTOM < 3 000kg

2. Μέσο ελικόπτερο (LHEL) MTOM < 6 000 kg

3. Βαρύ ελικόπτερο (LHEL) MTOM < 6 000 kg

Τα καθιερωμένα προφίλ πτήσεων άφιξης και αναχώρησης παρέχονται ως σταθερά σημεία προφίλ. Για τα καθιερωμένα προφίλ πτήσης αναχώρησης θεωρείται άνοδος σε οριζόντια πτήση ύψους 1 000 ft (305 m) για κάθε κατηγορία ελικοπτέρων. Αν το τμήμα της οριζόντιας πτήσης κατά την αναχώρηση ή την άφιξη διαφέρει τοπικά από τις τιμές αυτές, συνιστάται τα καθιερωμένα προφίλ να προσαρμόζονται ώστε να αντικατοπτρίζουν τις τοπικές συνθήκες.

02002L0049 — EL — 02.07.2015 — 002.002 — 1013

▼M2

Πίνακας Θ-23

Πίνακας περιγραφής συνόλου δεδομένων ελικοπτέρων 2

ACFT_ID	Περιγραφή	Τύπος κινητήρα	Αριθμός κινητήρων	Κατηγοριοποίηση βάρους	Κατηγορία ιδιοκτήτη	MGTOW (lb)	MGLW (lb)	Μέγιστη διαδρομή προσγείωσης (ft)	Μέγιστη στατική ώση σε επίπεδο θάλασσας (lb)	Κεφάλαιο Θόρυβος	NPD_ID (Κατηγοριοποίηση βάσει θορύβου, ισχύος, απόστασης)	Παράμετρος ισχύος	Ηχοφασματική ανάλυση προσέγγισης ελικοπτέρου	Ηχοφασματική ανάλυση αναχώρησης ελικοπτέρου	Δείκτης εγκάρσιας εκπομπής θορύβου
LHEL	Ελικόπτερα με MTOM <= 1 t	Ελικοστρόβιλος	0	0	Ελικόπτερο	0	0	0	100	0	LHEL	SHP (% της μέγιστης στατικής ώσης)	215	112	Έλικας
MHEL	Ελικόπτερα με MTOM 1-3 t	Ελικοστρόβιλος	0	0	Ελικόπτερο	0	0	0	100	0	MHEL	SHP (% της μέγιστης στατικής ώσης)	215	112	Έλικας
THEL	Ελικόπτερα με MTOM 3-5 t	Ελικοστρόβιλος	0	0	Ελικόπτερο	0	0	0	100	0	THEL	SHP (% της μέγιστης στατικής ώσης)	215	112	Έλικας

Πίνακας Θ-24

Προφίλ αναχώρησης συνόλου δεδομένων ελικοπτέρων 2

ACFT_ID	Τύπος λειτουργίας	Profile ID (Προφίλ προσέγγισης)	Μήκος καλυπτόμενης διαδρομής	Αριθμός σημείου	Απόσταση (ft)	Ύψος (ft)	TAS (kt)	Διορθωμένη καθαρή ώση (%)	OP_MODE
LHEL	D	DEFAULT	1	1	0	0	1	50	X
LHEL	D	DEFAULT	1	2	10	0	3	50	X
LHEL	D	DEFAULT	1	3	20	16	5	50	X
LHEL	D	DEFAULT	1	4	102	16	5	60	D
LHEL	D	DEFAULT	1	5	561	30	50	60	D
LHEL	D	DEFAULT	1	6	2 297	515	70	60	D
LHEL	D	DEFAULT	1	7	4 032	1 001	90	70	D
LHEL	D	DEFAULT	1	8	7 014	1 001	100	70	D
LHEL	D	DEFAULT	1	9	10 000	1 001	110	70	D

▼M2

MHEL	D	DEFAULT	1	1	0	0	1	50	D
MHEL	D	DEFAULT	1	2	10	0	2	50	D
MHEL	D	DEFAULT	1	3	20	16	3	50	D
MHEL	D	DEFAULT	1	4	102	16	30	50	D
MHEL	D	DEFAULT	1	5	561	30	60	50	D
MHEL	D	DEFAULT	1	6	4 032	1 001	65	75	D
MHEL	D	DEFAULT	1	7	6 785	1 001	100	75	D
MHEL	D	DEFAULT	1	8	10 000	1 001	126	75	D
THEL	D	DEFAULT	1	1	0	0	1	100	X
THEL	D	DEFAULT	1	2	10	0	2	100	X
THEL	D	DEFAULT	1	3	20	16	3	50	D
THEL	D	DEFAULT	1	4	102	16	30	50	D
THEL	D	DEFAULT	1	5	1 001	151	60	50	D
THEL	D	DEFAULT	1	5	4 679	1 000	65	75	D
THEL	D	DEFAULT	1	5	6 681	1 000	83	75	D
THEL	D	DEFAULT	1	5	8 679	1 000	100	75	D
THEL	D	DEFAULT	1	5	13 679	1 000	113	75	D
THEL	D	DEFAULT	1	5	18 679	1 000	126	75	D

Πίνακας Θ-25

Προφίλ άφιξης συνόλου δεδομένων ελικοπτέρων 2

ACFT_ID	Τύπος λειτουργίας	Profile ID (Προφίλ προσέγγισης)	Μήκος καλυπτόμενης διαδρομής	Αριθμός σημείου	Απόσταση (ft)	Ύψος (ft)	TAS (kt)	Διορθωμένη καθαρή ώση (%)	OP_MODE
LHEL	D	DEFAULT	1	3	– 50 003	1 000	115	70	X
LHEL	D	DEFAULT	1	4	– 9 332	1 000	113	70	X
LHEL	D	DEFAULT	1	5	– 6 340	686	110	80	A

▼M2

ACFT_ID	Τύπος λειτουργίας	Profile ID (Προφίλ προσέγγισης)	Μήκος καλυπτόμενης διαδρομής	Αριθμός σημείου	Απόσταση (ft)	Ύψος (ft)	TAS (kt)	Διορθωμένη καθαρή ώση (%)	OP_MODE
LHEL	D	DEFAULT	1	6	– 4 029	443	95	80	A
LHEL	D	DEFAULT	1	7	– 1 686	197	80	80	A
LHEL	D	DEFAULT	1	8	– 843	108	60	80	A
LHEL	D	DEFAULT	1	9	0	20	5	80	A
LHEL	D	DEFAULT	1	9	102	0	3	80	A
LHEL	D	DEFAULT	1	9	121	0	1	80	A
MHEL	D	DEFAULT	1	2	– 40 229	1 000	135	75	X
MHEL	D	DEFAULT	1	3	– 36 322	1 000	123	75	X
MHEL	D	DEFAULT	1	4	– 32 411	1 000	112	75	X
MHEL	D	DEFAULT	1	5	– 28 504	1 000	100	75	X
MHEL	D	DEFAULT	1	6	– 22 145	1 000	90	75	X
MHEL	D	DEFAULT	1	7	– 15 784	1 000	80	75	X
MHEL	D	DEFAULT	1	8	– 9 426	1 000	70	75	X
MHEL	D	DEFAULT	1	8	– 5 153	551	60	60	A
MHEL	D	DEFAULT	1	8	– 750	89	50	60	A
MHEL	D	DEFAULT	1	8	– 62	16	20	60	A
MHEL	D	DEFAULT	1	8	0	10	5	60	A
MHEL	D	DEFAULT	1	8	102	0	2	60	A
MHEL	D	DEFAULT	1	8	121	0	1	60	A
MHEL	D	DEFAULT	1	8	– 40 229	1 000	135	75	X
MHEL	D	DEFAULT	1	8	– 36 322	1 000	123	75	X
MHEL	D	DEFAULT	1	8	– 32 411	1 000	112	75	X
MHEL	D	DEFAULT	1	8	– 28 504	1 000	100	75	X

▼M2

ACFT_ID	Τύπος λειτουργίας	Profile ID (Προφίλ προσέγγισης)	Μήκος καλυπτόμενης διαδρομής	Αριθμός σημείου	Απόσταση (ft)	Ύψος (ft)	TAS (kt)	Διορθωμένη καθαρή ώση (%)	OP_MODE
MHEL	D	DEFAULT	1	8	– 22 145	1 000	90	75	X
MHEL	D	DEFAULT	1	8	– 15 784	1 000	80	75	X
MHEL	D	DEFAULT	1	8	– 9 426	1 000	70	75	X
MHEL	D	DEFAULT	1	8	– 5 153	551	60	60	A
MHEL	D	DEFAULT	1	8	– 750	89	50	60	A
MHEL	D	DEFAULT	1	8	– 62	16	20	60	A
MHEL	D	DEFAULT	1	8	0	10	5	60	A
MHEL	D	DEFAULT	1	8	102	0	2	60	A
MHEL	D	DEFAULT	1	8	121	0	1	60	A

Πίνακας Θ-26

Δεδομένα χαρακτηριστικών θορύβου για το σύνολο δεδομένων ελικοπτέρων 2

NOISE_ID	THRSET_TYP	MODEL_TYPE	SPECT_APP	SPECT_DEP	SPECT_AFB
LHEL	P	I	215	109	0
MHEL	P	I	215	109	0
THEL	P	I	215	109	0

Πίνακας Θ-27

Δεδομένα θορύβου, ισχύος, απόστασης (NPD) για τρεις κατηγορίες ελικοπτέρων

Αναγνωριστικό NPD	Περιγραφή θορύβου	Ρύθμιση ισχύος	Τρόπος λειτουργίας	L _200ft	L_400ft	L_630ft	L_1000ft	L_2000ft	L_4000ft	L_6300ft	L_10000ft	L_16000ft	L_25000ft
LHEL	MAX	80	A	84,6	79,1	75,7	71,6	65,8	60,1	56	48,8	41,6	34,4
LHEL	MAX	70	X	88,4	82,9	79,5	75,6	70,3	65	61,6	55,4	49,2	43

▼M2

Αναγνωριστικό NPD	Περιγραφή θορύβου	Ρύθμιση ισχύος	Τρόπος λειτουργίας	L _200ft	L_400ft	L_630ft	L_1000ft	L_2000ft	L_4000ft	L_6300ft	L_10000ft	L_16000ft	L_25000ft
LHEL	MAX	60	D	83,6	78,2	75,1	70,3	66,5	61,7	58,9	53,3	47,7	42,1
LHEL	MAX	50	S	91,7	85,3	81,5	76,5	69,4	61,5	56,5	49,6	42,7	35,8
LHEL	SEL	80	A	90,5	87,1	84,9	82,1	77,6	72,1	67,9	62,4	56,9	51,4
LHEL	SEL	70	X	90,4	87	84,7	81,9	77,5	72	68,1	62,9	57,7	52,5
LHEL	SEL	60	D	85,9	82,5	80,4	77,7	73,4	68,4	64,6	59,6	54,6	49,6
LHEL	SEL	50	S	85,9	82,5	80,4	77,7	73,4	68,4	64,6	59,6	54,6	49,6
MHEL	MAX	50	D	91,8	85,2	80,6	75,7	67,5	58,1	51,2	42,6	34	25,4
MHEL	MAX	60	A	90,2	83,9	80	75,3	68,4	60,9	55,8	49,5	43,2	36,9
MHEL	MAX	75	X	92,4	86	82	77,2	70	62,3	57,1	50,8	44,5	38,2
MHEL	SEL	50	D	91,2	87,2	84,8	80,8	75	68,1	63,7	57,6	51,5	45,4
MHEL	SEL	60	A	94,2	90,1	88,1	84,7	80	74,7	71,3	66	60,7	55,4
MHEL	SEL	75	X	89,3	85,3	82,8	78,9	73,1	66,6	62,6	57	51,4	45,8
THEL	MAX	50	D	91,2	85,2	81,7	76,3	68,8	60,4	54,9	46	37,1	28,2
THEL	MAX	60	A	90	84,1	80,7	75,5	68,5	60,6	55,3	48	40,7	33,4
THEL	MAX	75	X	92,4	86,4	82,9	77,5	70,1	61,6	55,7	48,1	40,5	32,9
THEL	MAX	100	S	100,2	93,8	90,3	84,9	77,5	69,3	64,3	56,5	48,7	40,9
THEL	SEL	50	D	92,8	89,3	87,4	84	79,2	73,5	69,6	63,7	57,8	51,9
THEL	SEL	60	A	91,6	88,2	86,4	83,2	78,8	73,7	70	64,7	59,4	54,1
THEL	SEL	75	X	94	90,5	88,6	85,2	80,5	74,7	70,4	64,8	59,2	53,6
THEL	SEL	100	S	92,8	89,3	87,4	84	79,2	73,5	69,6	63,7	57,8	51,9

02002L0049 — EL — 02.07.2015 — 002.002 — 1018

▼B

ΠΑΡΑΡΤΗΜΑ III

ΜΕΘΟΔΟΙ ΑΞΙΟΛΟΓΗΣΗΣ ΓΙΑ ΤΙΣ ΕΠΙΒΛΑΒΕΙΣ ΕΠΙΔΡΑΣΕΙΣ

οι οποίες αναφέρονται στο άρθρο 6 παράγραφος 3

▼M1

Οι σχέσεις δόσης-επίδρασης που εισάγονται με τις μελλοντικές αναθεωρήσεις του παρόντος παραρτήματος οι οποίες πραγματοποιούνται σύμφωνα με την κανονιστική διαδικασία με έλεγχο στην οποία παραπέμπει το άρθρο 13, παράγραφος 3, αφορούν ιδίως:

▼B

— τη σχέση μεταξύ ενόχλησης και L_{den} για το θόρυβο των οδικών, σιδηροδρομικών και αεροπορικών μεταφορών και για το βιομηχανικό θόρυβο,

— τη σχέση μεταξύ διαταραχής του ύπνου και L_{night} για το θόρυβο των οδικών, σιδηροδρομικών και αεροπορικών μεταφορών και για το βιομηχανικό θόρυβο.

Αν χρειάζεται, θα μπορούσαν να παρουσιάζονται ειδικές σχέσεις δόσης-επίδρασης για:

— κατοικίες με ειδική ηχομόνωση, όπως ορίζεται στο παράρτημα VI,

— κατοικίες με ήσυχη πρόσοψη, όπως ορίζεται στο παράρτημα VI,

— διαφορετικά κλίματα/διαφορετικές συνήθειες,

— ευπαθείς πληθυσμιακές ομάδες,

— τονικό βιομηχανικό θόρυβο,

— ωθητικό βιομηχανικό θόρυβο και άλλες ειδικές περιπτώσεις.

▼B

ΠΑΡΑΡΤΗΜΑ IV

ΕΛΑΧΙΣΤΕΣ ΑΠΑΙΤΗΣΕΙΣ ΓΙΑ ΤΗ ΣΤΡΑΤΗΓΙΚΗ ΧΑΡΤΟΓΡΑΦΗΣΗ ΘΟΡΥΒΟΥ

οι οποίες αναφέρονται στο άρθρο 7

1. Στρατηγικός χάρτης θορύβων είναι η παρουσίαση δεδομένων σχετικών με ένα από τα ακόλουθα:

   — μια υπάρχουσα, προγενέστερη ή προβλεπόμενη ηχητική κατάσταση υπό μορφή δείκτη θορύβου,

   — η υπέρβαση μιας οριακής τιμής,

   — ο εκτιμώμενος αριθμός κατοικιών, σχολείων και νοσοκομείων σε μια ορισμένη περιοχή που εκτίθενται σε συγκεκριμένες τιμές ενός δείκτη θορύβου,

   — ο εκτιμώμενος αριθμός ανθρώπων που βρίσκονται σε περιοχή εκτεθειμένη σε θόρυβο.

2. Οι στρατηγικοί χάρτες θορύβου μπορούν να παρουσιάζονται στο κοινό ως:

   — γραφικές παραστάσεις,

   — αριθμητικά δεδομένα σε πίνακες,

   — αριθμητικά δεδομένα υπό ηλεκτρονική μορφή.

3. Οι στρατηγικοί χάρτες θορύβου για πολεοδομικά συγκροτήματα πρέπει να δίνουν ιδιαίτερη έμφαση στο θόρυβο που εκπέμπεται από:

   — την οδική κυκλοφορία,

   — τη σιδηροδρομική κυκλοφορία,

   — τα αεροδρόμια,

   — τους χώρους βιομηχανικών δραστηριοτήτων, συμπεριλαμβανομένων των λιμένων.

4. Η στρατηγική χαρτογράφηση θορύβου χρησιμοποιείται για τους ακόλουθους σκοπούς:

   — παροχή δεδομένων που αποστέλλονται στην Επιτροπή, σύμφωνα με το άρθρο 10 παράγραφος 2 και το παράρτημα VI,

   — πηγή πληροφοριών για τους πολίτες, σύμφωνα με το άρθρο 9,

   — βάση για σχέδια δράσης, σύμφωνα με το άρθρο 8.

   Καθένας από τους στόχους αυτούς απαιτεί διαφορετικό τύπο στρατηγικών χαρτών θορύβου.

5. Οι ελάχιστες απαιτήσεις για τους στρατηγικούς χάρτες θορύβου αναφορικά με τα δεδομένα που αποστέλλονται στην Επιτροπή, δίδονται στα σημεία 1.5, 1.6, 2.5, 2.6 και 2.7 του παραρτήματος VI.

6. Για την ενημέρωση των πολιτών σύμφωνα με το άρθρο 9 και για την εκπόνηση σχεδίων δράσης σύμφωνα με το άρθρο 8, απαιτούνται πρόσθετα και πιο λεπτομερή πληροφοριακά στοιχεία, όπως:

   — γραφική παράσταση,

   — χάρτες όπου παρουσιάζονται οι υπερβάσεις μιας οριακής τιμής,

   — διαφορικοί χάρτες, στους οποίους παριστάνεται η τρέχουσα κατάσταση σε σχέση με μελλοντικές καταστάσεις,

   — χάρτες στους οποίους παρουσιάζεται η τιμή του δείκτη θορύβου σε άλλο ύψος από τα τέσσερα μέτρα, οσάκις ενδείκνυται.

   Τα κράτη μέλη μπορούν να θεσπίζουν κανονισμούς σχετικά με τον τύπο και την μορφή των εν λόγω χαρτών θορύβου.

▼B

7. Εκπονούνται στρατηγικοί χάρτες θορύβου τοπικής ή εθνικής χρήσεως για αξιολογήσεις σε ύψος τεσσάρων μέτρων και για κλίμακες τιμών των δεικτών L_{den} και L_{night} 5 dB, όπως ορίζεται στο παράρτημα VI.

8. Για τα πολεοδομικά συγκροτήματα, εκπονούνται ιδιαίτεροι στρατηγικοί χάρτες θορύβου για τους θορύβους οδικής, σιδηροδρομικής και αεροπορικής κυκλοφορίας και για τους βιομηχανικούς θορύβους. Μπορούν να καταρτίζονται χάρτες και για άλλες πηγές θορύβου.

9. Η Επιτροπή εκπονεί κατευθυντήριες γραμμές για περαιτέρω καθοδήγηση αναφορικά με τους χάρτες θορύβου, τη χαρτογράφηση του θορύβου και το σχετικό λογισμικό, σύμφωνα με το άρθρο 13 παράγραφος 2.

▼B

ΠΑΡΑΡΤΗΜΑ V

ΣΤΟΙΧΕΙΩΔΕΙΣ ΑΠΑΙΤΗΣΕΙΣ ΓΙΑ ΤΑ ΣΧΕΔΙΑ ΔΡΑΣΗΣ

τα οποία αναφέρονται στο άρθρο 8

1. Τα σχέδια δράσης πρέπει να περιλαμβάνουν τουλάχιστον τα ακόλουθα στοιχεία:

   — περιγραφή του πολεοδομικού συγκροτήματος, των μεγάλων οδικών και σιδηροδρομικών αξόνων ή των μεγάλων αεροδρομίων και άλλων πηγών θορύβου που λαμβάνονται υπόψη,

   — υπεύθυνη αρχή,

   — νομικό πλαίσιο,

   — τυχόν ισχύουσες οριακές τιμές σύμφωνα με το άρθρο 5,

   — περίληψη αποτελεσμάτων της χαρτογράφησης θορύβου,

   — εκτίμηση του αριθμού ατόμων που εκτίθενται στο θόρυβο, επισήμανση προβλημάτων και καταστάσεων προς βελτίωση,

   — ιστορικό των δημόσιων διαβουλεύσεων που διοργανώθηκαν σύμφωνα με το άρθρο 8 παράγραφος 7,

   — μέτρα κατά του θορύβου τα οποία ήδη εφαρμόζονται και σχέδια τα οποία προετοιμάζονται,

   — σχεδιαζόμενες δράσεις των αρμόδιων αρχών για τα επόμενα πέντε χρόνια, συμπεριλαμβανομένων μέτρων για τη διατήρηση των ήσυχων περιοχών,

   — μακροπρόθεσμη στρατηγική,

   — χρηματοοικονομικές πληροφορίες (εφόσον υπάρχουν): προϋπολογισμοί, αξιολόγηση κόστους/απόδοσης, αξιολόγηση κόστους/ωφελείας,

   — προβλεπόμενες διατάξεις για την αξιολόγηση της εφαρμογής και των αποτελεσμάτων του σχεδίου δράσης.

2. Στις δράσεις που σχεδιάζουν οι αρμόδιες αρχές στους αντίστοιχους τομείς αρμοδιότητάς τους, μπορούν να συγκαταλέγονται π.χ. οι ακόλουθες:

   — κυκλοφοριακός σχεδιασμός,

   — χωροταξικός σχεδιασμός,

   — τεχνικά μέτρα επί των πηγών θορύβου,

   — επιλογή πηγών χαμηλότερου θορύβου,

   — περιορισμοί στη διάδοση των θορύβων,

   — κανονιστικά ή οικονομικά μέτρα ή κίνητρα.

3. Κάθε σχέδιο δράσης θα πρέπει να περιλαμβάνει εκτιμήσεις αναφορικά με τη μείωση του αριθμού των επηρεαζόμενων ατόμων (ενοχλήσεις, διαταραχές ύπνου ή άλλο τι).

4. Σύμφωνα με το άρθρο 13 παράγραφος 2, η Επιτροπή μπορεί να εκπονεί κατευθυντήριες γραμμές με περαιτέρω οδηγίες για τα σχέδια δράσης.

▼B

ΠΑΡΑΡΤΗΜΑ VI

ΔΕΔΟΜΕΝΑ ΔΙΑΒΙΒΑΣΤΕΑ ΣΤΗΝ ΕΠΙΤΡΟΠΗ

τα οποία αναφέρονται στο άρθρο 10

Τα δεδομένα που πρέπει να διαβιβάζονται στην Επιτροπή έχουν ως εξής:

1. **Για τα πολεοδομικά συγκροτήματα**

1.1. Σύντομη περιγραφή του πολεοδομικού συγκροτήματος: γεωγραφική θέση, μέγεθος, αριθμός κατοίκων.

1.2. Αρμόδια αρχή.

1.3. Προγράμματα ελέγχου θορύβου που έχουν εκτελεστεί στο παρελθόν και εφαρμοζόμενα μέτρα κατά του θορύβου.

1.4. Εφαρμοζόμενες μέθοδοι υπολογισμού ή μέτρησης.

1.5. Υπολογιζόμενος αριθμός ατόμων (σε εκατοντάδες) που ζουν σε κατοικίες εκτεθειμένες στα ακόλουθα επίπεδα του L_{den} (σε dB) σε ύψος τεσσάρων μέτρων από το έδαφος στην πιο εκτεθειμένη πρόσοψη: 55-59, 60-64, 65-69, 70-74, > 75, χωριστά για θορύβους από οδική, σιδηροδρομική και αεροπορική κυκλοφορία και από βιομηχανικές πηγές. Οι αριθμοί δίδονται κατά προσέγγιση εκατοντάδας (π.χ.: 5 200 = μεταξύ 5 150 και 5 249 ατόμων, 100 = μεταξύ 50 και 149, 0 = λιγότερο από 50 άτομα).

Επιπλέον, θα πρέπει να αναφέρεται, εφόσον είναι σκόπιμο και εφόσον υπάρχουν κατάλληλα στοιχεία, πόσα άτομα των παραπάνω κατηγοριών ζουν σε κτίρια τα οποία έχουν:

— ειδική μόνωση κατά του συγκεκριμένου θορύβου, δηλαδή ειδική μόνωση κτιρίου κατά ενός ή περισσότερων τύπων περιβαλλοντικού θορύβου σε συνδυασμό με εγκαταστάσεις αερισμού ή κλιματισμού που να επιτρέπουν τη διατήρηση υψηλών τιμών μόνωσης κατά του περιβαλλοντικού θορύβου,

— ήσυχη πρόσοψη, δηλαδή πρόσοψη κατοικίας στην οποία η τιμή L_{den} σε ύψος τεσσάρων μέτρων από το έδαφος και σε απόσταση δύο μέτρων από την πρόσοψη, για το θόρυβο που εκπέμπεται από μια συγκεκριμένη πηγή, είναι κατά 20 dB τουλάχιστον κατώτερη από ό,τι στην πρόσοψη με την υψηλότερη τιμή L_{den}.

Αναφέρεται επίσης το πώς οι μεγάλοι οδικοί και σιδηροδρομικοί άξονες και τα μεγάλα αεροδρόμια, κατά την έννοια του άρθρου 3, συμβάλλουν στην προαναφερόμενη κατάσταση.

1.6. Ο εκτιμώμενος συνολικός αριθμός ατόμων (σε εκατοντάδες) που ζουν σε κατοικίες εκτεθειμένες σε κάποια από τις εξής ζώνες τιμών του L_{night} σε dB και σε ύψος τεσσάρων μέτρων από το έδαφος στην πιο εκτεθειμένη πρόσοψη: 50-54, 55-59, 60-64, 65-69, > 70, χωριστά για θορύβους οδικής, σιδηροδρομικής και αεροπορικής κυκλοφορίας και για βιομηχανικές πηγές. Τα στοιχεία αυτά μπορούν επίσης να υπολογισθούν για τη ζώνη τιμών των 45-49 πριν από την ημερομηνία που προβλέπεται στο άρθρο 11 παράγραφος 1.

Επιπλέον, θα πρέπει να αναφέρεται, εφόσον υπάρχουν κατάλληλα στοιχεία και είναι σκόπιμο, πόσα άτομα των παραπάνω κατηγοριών ζουν σε κτίρια τα οποία έχουν:

— ειδική μόνωση κατά του συγκεκριμένου θορύβου, όπως ορίζεται στο σημείο 1.5,

— ήσυχη πρόσοψη, όπως ορίζεται στο σημείο 1.5.

Αναφέρεται επίσης το πώς οι μεγάλοι οδικοί και σιδηροδρομικοί άξονες και τα μεγάλα αεροδρόμια συμβάλλουν στην προαναφερόμενη κατάσταση.

▼B

1.7. Όταν χρησιμοποιείται γραφική παράσταση, στους στρατηγικούς χάρτες, πρέπει να εμφαίνονται τουλάχιστον οι ισοθορυβικές καμπύλες 60, 65, 70 και 75 dB.

1.8. Περίληψη του σχεδίου δράσης, το πολύ δέκα σελίδων, με όλες τις σημαντικές πτυχές που αναφέρονται στο παράρτημα V.

2. **Μεγάλοι οδικοί και σιδηροδρομικοί άξονες και μεγάλα αεροδρόμια**

2.1. Γενική περιγραφή των οδικών ή σιδηροδρομικών αξόνων ή των μεγάλων αεροδρομίων: γεωγραφική θέση, μέγεθος, δεδομένα περί της κυκλοφορίας.

2.2. Χαρακτηριστικά των περιχώρων: πολεοδομικά συγκροτήματα, χωριά, εξοχή ή άλλο τι, πληροφορίες περί των χρήσεων γης, άλλες σημαντικές πηγές θορύβου.

2.3. Προγράμματα ελέγχου των θορύβων εκτελεσθέντα στο παρελθόν και εφαρμοζόμενα μέτρα κατά του θορύβου.

2.4. Εφαρμοζόμενες μέθοδοι υπολογισμού και μέτρησης.

2.5. Ο εκτιμώμενος συνολικός αριθμός ατόμων (σε εκατοντάδες) εκτός πολεοδομικών συγκροτημάτων που ζουν σε κατοικίες εκτεθειμένες σε μια από τις ακόλουθες ζώνες τιμών του L_{den} (σε dB),σε ύψος τεσσάρων μέτρων από το έδαφος στην πιο εκτεθειμένη πρόσοψη: 55-59, 60-64, 65-69, 70-74, > 75.

Επιπλέον, θα πρέπει να αναφέρεται, εφόσον υπάρχουν κατάλληλα στοιχεία και είναι σκόπιμο, πόσα άτομα των παραπάνω κατηγοριών ζουν σε κτίρια τα οποία έχουν:

— ειδική μόνωση κατά του συγκεκριμένου θορύβου, όπως ορίζεται στο σημείο 1.5,

— ήσυχη πρόσοψη, όπως ορίζεται στο σημείο 1.5.

2.6. Ο εκτιμώμενος συνολικός αριθμός ατόμων (σε εκατοντάδες) εκτός πολεοδομικών συγκροτημάτων που ζουν σε κατοικίες εκτεθειμένες σε κάποια από τις ακόλουθες ζώνες τιμών του L_{night} (σε dB), σε ύψος τεσσάρων μέτρων από το έδαφος στην πιο εκτεθειμένη πρόσοψη: 50-54, 55-59, 60-64, 65-69, >70. Τα στοιχεία αυτά μπορούν επίσης να υπολογισθούν για τη ζώνη τιμών των 45-49 πριν από την ημερομηνία που προβλέπεται στο άρθρο 11 παράγραφος 1.

Επιπλέον, θα πρέπει να αναφέρεται, εφόσον υπάρχουν κατάλληλα στοιχεία και είναι σκόπιμο, πόσα άτομα των παραπάνω κατηγοριών ζουν σε κτίρια τα οποία έχουν:

— ειδική μόνωση κατά του συγκεκριμένου θορύβου, όπως ορίζεται στο σημείο 1.5,

— ήσυχη πρόσοψη, όπως ορίζεται στο σημείο 1.5.

2.7. Η συνολική έκταση (σε km^2) που εκτίθεται σε τιμές του L_{den} υψηλότερες των 55, 65 και 75 dB, αντιστοίχως. Επιπλέον, ο εκτιμώμενος συνολικός αριθμός κτιρίων (σε εκατοντάδες) και ο εκτιμώμενος συνολικός αριθμός ατόμων (σε εκατοντάδες) που ζουν σε καθεμία από τις προαναφερόμενες περιοχές. Οι αριθμοί αυτοί πρέπει να περιλαμβάνουν τα πολεοδομικά συγκροτήματα.

Οι ισοθορυβικές καμπύλες 55 και 65 dB πρέπει να εμφαίνονται επίσης σε έναν ή περισσότερους χάρτες, όπου περιλαμβάνονται πληροφορίες για τη γεωγραφική θέση των χωριών, πόλεων και πολεοδομικών συγκροτημάτων εντός των καμπυλών αυτών.

2.8. Περίληψη του σχεδίου δράσης, το πολύ δέκα σελίδων, με όλες τις σημαντικές πτυχές που αναφέρονται στο παράρτημα V.

3. **Κατευθυντήριες γραμμές**

Σύμφωνα με το άρθρο 13 παράγραφος 2, η Επιτροπή μπορεί να εκπονεί κατευθυντήριες γραμμές με περαιτέρω οδηγίες για την προαναφερόμενη παροχή πληροφοριών.